

Die südionischen Knickrandschalen.
Eine chronologische Untersuchung zu den sog. Ionischen Schalen
in Milet.

INAUGURALDISSERTATION

zur

Erlangung des Grades eines Doktors der Philosophie

in der

FAKULTÄT FÜR GESCHICHTSWISSENSCHAFT

der

RUHR-UNIVERSITÄT BOCHUM

vorgelegt

von

Udo Schlotzhauer

Inhaltsverzeichnis

Inhaltsverzeichnis	I
Vorwort	XI
Abkürzungsverzeichnis	XIV
1. Einleitung	1
2. Grundsätzliches zum Aufbau der Knickrandskyphoi und –schalen	5
2.1 Allgemeine Probleme bei der Bestimmung von Fragmenten	5
2.2 Form und Formaufbau der Knickrandskyphoi und -schalen	9
2.2.1 <i>Der Knickrandskyphos</i>	9
2.2.2 <i>Die Knickrandschale</i>	10
3. Forschungsgeschichte	11
3.1. Die bestehenden Klassifizierungsmodelle für ostgriechische Knickrandschalen	17
3.1.1 <i>Das Klassifizierungsmodell von Villard und Vallet (Villard – Vallet)</i>	21
3.1.2 <i>Das Klassifizierungsmodell von Hayes (Tocra/Taucheira)</i>	26
3.1.3 <i>Das Klassifizierungsmodell von Hanfmann</i>	35
3.1.4 <i>Das Klassifizierungsmodell von Ploug</i>	39
3.1.5 <i>Das Klassifizierungsmodell von Isler</i>	45
3.1.6 <i>Die Klassifizierungsmodelle von Furtwängler</i>	49
3.1.7 <i>Das Klassifizierungsmodell von Gjerstad</i>	56
3.1.8 <i>Das Klassifizierungsmodell von Thalmann</i>	59
3.1.9 <i>Das Klassifizierungsmodell von Utili</i>	62
4. Die Klassifizierung der Knickrandskyphoi und -schalen in Südionien: Eine Typologie	66
4.1 Die geometrischen Knickrandskyphoi in Südionien: Die Vorläufer der archaischen Knickrandschalen	66

4.1.1	<i>Die südionischen mittel-, spät- und subgeometrischen Knickrandskyphoi</i>	69
4.1.1.1	<i>Der Typus 1</i>	71
4.1.1.1.1	<i>Die mittel und spätgeometrischen Knickrandskyphoi der Variante 1,1</i>	71
4.1.1.1.2	<i>Die mittel- und spätgeometrischen Knickrandskyphoi der Variante 1,2</i>	73
4.1.1.1.3	<i>Die spät- und subgeometrischen Knickrandskyphoi der Variante 1,3</i>	78
4.1.1.1.4	<i>Die mittel- und spätgeometrischen Knickrandskyphoi der Variante 1,4</i>	79
4.1.1.2	<i>Der Typus 2</i>	80
4.1.1.2.1	<i>Die spät- und subgeometrische Variante 2,1</i>	81
4.1.1.2.2	<i>Die spät- und subgeometrische Variante 2,2</i>	83
4.1.1.2.3	<i>Die spät- und subgeometrische Variante 2,3</i>	84
4.1.1.2.4	<i>Die spät- und subgeometrische Variante 2,4</i>	85
4.1.1.2.5	<i>Die archaische ostdorische Variante des Typus 2: ein Exkurs</i>	86
4.1.1.3	<i>Der Typus 3</i>	87
4.1.1.3.1	<i>Die spät- (?) und subgeometrischen Knickrandschalen (und -skyphoi)</i>	89
4.1.1.3.2	<i>Die spät- (?) und subgeometrischen Knickrandschalen (und -skyphoi?) der Variante 3,2</i>	90
4.1.1.3.3	<i>Die spät- (?) und subgeometrischen Knickrandschalen (und -skyphoi ?) der Variante 3,3</i>	90
4.2	<i>Die archaischen Knickrandschalen: Die einfach dekorierten Serien</i>	91
4.2.1	<i>Die Schalen der Stufe SiA I</i>	91
4.2.1.1	<i>Der Typus 4 und seine Varianten</i>	92
4.2.1.2	<i>Der Typus 5 und seine Varianten</i>	94
4.2.1.3	<i>Der Typus 6 und seine Varianten</i>	97
4.2.1.4	<i>Der Typus 7 und seine Varianten</i>	101

4.2.1.5	<i>Der Typus 8 und seine Varianten</i>	103
4.2.2	<i>Die Knickrandschalen der Stufe SiA II</i>	105
4.2.2.1	<i>Der Typus 9 und seine Varianten</i>	105
4.2.2.2	<i>Der Typus 10 und seine Varianten</i>	111
4.2.2.3	<i>Der Typus 11 und seine Varianten</i>	115
4.2.2.4	<i>Der Typus 12 und seine Varianten</i>	118
4.2.2.5	<i>Der Typus 13 und seine Varianten</i>	119
4.2.2.6	<i>Typen und Varianten der Knickrandschalen der sog. Grauen Ware</i>	121
5	Überblick und Aussagen über die Gattung im Kontext der Siedlungsphasen am Kalabaktepe-Süd	125
5.1	Die Untersuchungen von 1989 bis 1993	130
5.1.1	<i>Der Südhang des Kalabaktepe</i>	130
5.1.2	<i>Die Gesamtübersicht der Siedlungsschichten und der stratifizierten Knickrandskyphoi und -schalen vom Südhang des Kalabaktepe</i>	134
5.1.2.1	<i>Überblick über die Siedlungsphasen und ihre Aussagen</i>	135
5.1.2.2	<i>Die Vorsiedlungsphase 0</i>	139
5.1.2.2.1	<i>Die Datierung der Phase 0</i>	139
5.1.2.2.2	<i>Die Rückschlüsse für das Gebiet am Kalabaktepe-Süd in der Phase 0</i>	140
5.1.2.2.3	<i>Das Bild der Knickrandskyphoi und -schalen aus der Phase 0</i>	143
5.1.2.2.4	<i>Die Verteilung der KRsk- und KRS-Typen in Phase 0</i>	146
5.1.2.2.5	<i>Vergleich mit der Ostterrasse des Kalabaktepe</i>	146
5.1.2.2.6	<i>Zusammenfassung Phase 0</i>	147
5.1.2.3	<i>Die Siedlungsphase 1</i>	148
5.1.2.3.1	<i>Datierung der Phase 1</i>	148
5.1.2.3.2	<i>Die Rückschlüsse für das Gebiet am Kalabaktepe-Süd in der Phase 1</i>	149

5.1.2.3.3	<i>Das Bild der Knickrandskyphoi und -schalen aus der Phase 1</i>	149
5.1.2.3.3.1	<i>Die Knickrandskyphoi und -schalen aus dem Boden der Phase 1</i>	151
5.1.2.3.3.2	<i>Die Knickrandskyphoi und -schalen aus dem Zusammenhang der Unterphase 1c</i>	155
5.1.2.3.3.3	<i>Die Knickrandskyphoi und -schalen aus der Aufschüttung zur Phase 2</i>	156
5.1.2.3.3.4	<i>Die Verteilung der KRSk- und KRS-Typen in Phase 1 insgesamt</i>	160
5.1.2.3.4	<i>Zusammenfassung Phase 1</i>	161
5.1.2.4	<i>Die Siedlungsphase 2</i>	162
5.1.2.4.1	<i>Datierung der Phase 2</i>	163
5.1.2.4.2	<i>Die Rückschlüsse für das Gebiet am Kalabaktepe-Süd in der Phase 2</i>	165
5.1.2.4.3	<i>Das Bild der Knickrandskyphoi und -schalen aus der Phase 2</i>	165
5.1.2.4.3.1	<i>Die Knickrandskyphoi und -schalen aus der Stadtmauer zu Beginn der Phase 2</i>	165
5.1.2.4.3.2	<i>Die Knickrandskyphoi und -schalen aus dem Boden der Phase 2</i>	166
5.1.2.4.3.3	<i>Die Knickrandskyphoi und -schalen aus dem Boden und dem Benutzungshorizont der Phase 2</i>	166
5.1.2.4.3.4	<i>Die Knickrandskyphoi und -schalen aus der Aufschüttung zur Phase 3</i>	168
5.1.2.4.3.5	<i>Die Verteilung der KRS-Typen in Phase 2 insgesamt</i>	174
5.1.2.4.4	<i>Zusammenfassung Phase 2</i>	176
5.1.2.5	<i>Die Siedlungsphase 3</i>	177
5.1.2.5.1	<i>Datierung der Phase 3</i>	178
5.1.2.5.2	<i>Die Rückschlüsse für das Gebiet am Kalabaktepe-Süd während der Siedlungsphase 3</i>	179

5.1.2.5.3	<i>Das Bild der Knickrandskyphoi und -schalen aus der Phase 3</i>	179
5.1.2.5.3.1	<i>Die Knickrandskyphoi und -schalen aus der Auffüllung zur Phase 3 und deren Boden</i>	179
5.1.2.5.3.2	<i>Die Knickrandskyphoi und -schalen aus dem Boden der Phase 3</i>	180
5.1.2.5.3.3	<i>Die Knickrandskyphoi und -schalen aus dem Boden und Benutzungshorizont der Phase 3</i>	182
5.1.2.5.3.4	<i>Die Knickrandskyphoi und -schalen aus dem Boden der Phase 3 und der Aufschüttung zur Phase 4</i>	183
5.1.2.5.3.5	<i>Die Knickrandskyphoi und -schalen aus der Aufschüttung zur Phase 4</i>	185
5.1.2.5.3.6	<i>Die Verteilung der KRS-Typen in Phase 3 insgesamt</i>	191
5.1.2.5.4	<i>Zusammenfassung Phase 3</i>	192
5.1.2.6	<i>Die Siedlungsphase 4</i>	194
5.1.2.6.1	<i>Datierung der Phase 4</i>	194
5.1.2.6.2	<i>Die Rückschlüsse für das Gebiet am Kalabaktepe-Süd in der Phase 4</i>	194
5.1.2.6.3	<i>Das Bild der Gattung während der Phase 4</i>	195
5.1.2.6.3.1	<i>Die Knickrandskyphoi und -schalen aus dem Boden der Phase 4</i>	195
5.1.2.6.3.2	<i>Die Knickrandskyphoi und -schalen aus dem Benutzungshorizont der Phase 4</i>	198
5.1.2.6.3.2.1	<i>Die Knickrandskyphoi und -schalen aus dem Benutzungshorizont der Unterphase 4a</i>	198
5.1.2.6.3.3	<i>Die Knickrandskyphoi und -schalen aus der Aufschüttung zur Phase 5</i>	200
5.1.2.6.3.4	<i>Die Verteilung der Typen in Phase 4 insgesamt</i>	202
5.1.2.6.4	<i>Zusammenfassung Phase 4</i>	204
5.1.2.7	<i>Die Siedlungsphase 5</i>	204

5.1.2.7.1	<i>Datierung der Phase 5</i>	205
5.1.2.7.2	<i>Die Rückschlüsse für das Gebiet am Kalabaktepe-Süd in der Phase 5</i>	205
5.1.2.7.3	<i>Das Bild der Knickrandskyphoi und -schalen aus der Siedlungsphase 5</i>	207
5.1.2.7.3.1	<i>Die Knickrandskyphoi und -schalen aus dem Boden der Phase 5</i>	207
5.1.2.7.3.2	<i>Die Knickrandskyphoi und -schalen aus dem Boden der Phase 5 (möglicherweise auch Phase 6)</i>	209
5.1.2.7.3.3	<i>Die Knickrandskyphoi und -schalen aus dem Benutzungshorizont der Phase 5</i>	210
5.1.2.7.3.3.1	<i>Die Knickrandskyphoi und -schalen aus dem Benutzungshorizont der Unterphasen 5a und 5b</i>	211
5.1.2.7.3.4	<i>Die Knickrandskyphoi und -schalen aus der Aufschüttung zur Phase 6</i>	213
5.1.2.7.3.5	<i>Die Verteilung der Typen in Phase 5 insgesamt</i>	220
5.1.2.7.4	<i>Zusammenfassung Phase 5</i>	222
5.1.2.8	<i>Die Siedlungsphase 6</i>	223
5.1.2.8.1	<i>Datierung der Phase 6</i>	224
5.1.2.8.2	<i>Rückschlüsse für das Gebiet am Kalabaktepe-Süd in der Phase 6</i>	225
5.1.2.8.3	<i>Das Bild der Knickrandschalen aus der Phase 6</i>	225
5.1.2.8.3.1	<i>Die Knickrandschalen aus dem Boden der Phase 6</i>	225
5.1.2.8.3.2	<i>Die Knickrandschalen aus dem Benutzungshorizont der Phase 6</i>	227
5.1.2.8.3.3	<i>Die Knickrandskyphoi und -schalen aus der Auffüllung zur Phase 7, der temporären nacharchaischen Wiederbesiedlung</i>	228
5.1.2.8.3.4	<i>Die Verteilung der Gruppen in Phase 6 insgesamt</i>	232
5.1.2.8.4	<i>Zusammenfassung Phase 6</i>	234

5.1.2.9	<i>Die kurzfristige Wiederbesiedlungsphase 7 nach 494 v. Chr.</i>	235
5.1.3	<i>Zusammenfassung zu den neuen Grabungen</i>	236
6	Die Datierung der südionischen Knickrandschalen und ihrer Vorläufer	274
6.1	Datierung der Knickrandskyphoi geometrischer Zeit	275
6.2	Die Periodisierungen der geometrischen Epoche in Ostgriechenland	275
6.3	Die mittelgeometrischen Knickrandskyphoi der Stufe SiG II	280
6.3.1	<i>Die mittelgeometrischen Knickrandskyphoi (SiG II) des Typus 1</i>	280
6.4	Die spätgeometrischen Knickrandskyphoi der Stufe SiG III	283
6.4.1	<i>Die spätgeometrischen Knickrandskyphoi (SiG III) des Typus 1</i>	283
6.4.2	<i>Die spät- und subgeometrischen Knickrandskyphoi (SiG III) des Typus 2</i>	285
6.4.3	<i>Die spät und subgeometrischen Knickrandskyphoi und -schalen des Typus 3 (SiG III)</i>	288
6.5	Datierung der Knickrandskyphoi und -schalen der früharchaischen Stufe SiA I	290
6.5.1	<i>Die subgeometrischen Knickrandskyphoi des Typus 1</i>	291
6.5.2	<i>Die subgeometrischen Knickrandskyphoi des Typus 2</i>	292
6.5.3	<i>Die subgeometrischen Knickrandskyphoi und -schalen des Typus 3</i>	292
6.5.4	<i>Die Knickrandschalen des Typus 4</i>	292
6.5.5	<i>Die Knickrandschalen des Typus 5</i>	295
6.5.6	<i>Die Knickrandschalen des Typus 6</i>	308
6.5.7	<i>Die Knickrandschalen des Typus 7</i>	316
6.5.8	<i>Die Knickrandschalen des Typus 8</i>	317
6.6	Datierung der Knickrandschalen der spätarchaischen Stufe SiA II	328
6.6.1	<i>Die Knickrandschalen des Typus 9</i>	328
6.6.2	<i>Die Knickrandschalen des Typus 10</i>	337
6.6.3	<i>Die Knickrandschalen des Typus 11</i>	345
6.6.4	<i>Die Knickrandschalen des Typus 12</i>	349

6.6.5	<i>Die Knickrandschalen des Typus 13</i>	350
6.6.6	<i>Die Knickrandschalen der sog. Grauen Ware</i>	351
6.7	Die südionische/milesische Malerei auf Gefäßen	352
6.8	Zusammenfassung zur Datierung	354
6.8.1	<i>Schaubild zur Chronologie der milesischen KRSk und KRS</i>	354
7	Zur Herkunftsbestimmung der südionischen Knickrandschalen: Archäometrischer Exkurs	358
7.1	Die Archäometrie als Methode der Herkunftsbestimmung	359
7.2	Die Fragestellung der aktuellen Untersuchungen	362
7.3	Bisherige Ergebnisse zu den Knickrandschalen und der südionischen Gefäßmalerei	364
7.3.1	<i>Südionische Knickrandschalen</i>	368
7.3.2	<i>Bemalte Gefäße der Stilstufen SiA I und SiA II</i>	372
7.3.3	<i>Zusammenfassung</i>	375
7.4	Die neuen Untersuchungen in Milet	375
7.4.1	<i>Die Voraussetzungen für einen lokalen Nachweis</i>	376
7.4.2	<i>Die Proben</i>	378
7.4.3	<i>Die Ergebnisse der Untersuchungen</i>	380
7.4.3.1	<i>Das 'chemische Feld' Milet</i>	380
7.4.3.2	<i>Die Gattung der südionischen Knickrandschalen innerhalb des 'chemischen Miletfeldes'</i>	382
7.4.3.3	<i>Die Serie der einfach dekorierten Knickrandschalen aus Milet</i>	386
7.4.3.3.1	<i>Die geometrischen Knickrandskyphoi</i>	387
7.4.3.3.1.1	<i>Typus 1</i>	387
7.4.3.3.1.2	<i>Typus 2</i>	388
7.4.3.3.2	<i>Die spät- und subgeometrischen Knickrandskyphoi und -schalen</i>	390
7.4.3.3.2.1	<i>Typus 3</i>	390

7.4.3.3.2.2	<i>Typus 4</i>	3908
7.4.3.3.3	<i>Die einfach dekorierten Knickrandschalen der Stufe SiA I</i>	391
7.4.3.3.3.1	<i>Typus 5</i>	391
7.4.3.3.3.2	<i>Typus 6</i>	393
7.4.3.3.3.3	<i>Typus 7</i>	394
7.4.3.3.3.4	<i>Typus 8</i>	394
7.4.3.3.4	<i>Die einfach dekorierten Knickrandschalen der Stufe SiA II</i>	395
7.4.3.3.4.1	<i>Typus 9</i>	395
7.4.3.3.4.2	<i>Typus 10</i>	398
7.4.3.3.4.3	<i>Typus 11</i>	401
7.4.3.3.4.4	<i>Typus 12</i>	402
7.4.3.3.4.5	<i>Typus 13</i>	403
7.4.3.3.4.6	<i>Graue Ware</i>	403
7.4.3.4	<i>Die Serie der bemalten Knickrandschalen aus Milet</i>	405
7.4.3.4.1	<i>Die bemalten Gefäße mit Dekoren der Stufen MileG und MileA</i>	405
7.4.3.4.1.1	<i>Bemalte Gefäße der Stufe MileG</i>	405
7.4.3.4.1.2	<i>Bemalte Gefäße der Stufe MileA I</i>	406
7.4.3.4.1.3	<i>Bemalte Gefäße der Stufe MileA IIa</i>	409
7.4.3.4.1.4	<i>Bemalte Gefäße der Stufe MileA II</i>	411
7.4.3.4.1.5	<i>Eine eigene Werkstatt Ionischer Kleinmeister?</i>	412
7.4.3.5	<i>Chronologische Implikationen</i>	414
7.4.3.5.1	<i>Die innere Organisation des Töpferzentrums Milet</i>	419
7.5	Schlußfolgerungen für die milesischen Funde	420
7.6	Klassifizierung von südionischen Knickrandschalen und einigen weiteren ostgriechischen Trinkgefäßen aus den Grabungen in Milet durch Neutronenaktivierungsanalyse	422

7.6.1	<i>Herkunftsbestimmung von Keramik und die Neutronenaktivierungsanalyse in Bonn</i>	422
7.6.2	<i>Auswahl der für eine NAA beprobten Gefäße</i>	423
7.6.3	<i>Ergebnisse der NAA</i>	424
7.7	Aufschlüsselung nach Probennummern Bochumer Proben (Yalçın)	438
7.8	Aufschlüsselung der Proben aus dem Bochumer Labor (Yalçın) nach Kat.-Nr.	442
7.9	Aufschlüsselung der Proben aus dem Bochumer Labor (Yalçın) nach Herkunftsgruppen	446
7.10	Aufschlüsselung der Proben aus dem Bochumer Labor (Yalçın) nach Klassifikation	451
7.11	Abgleich der parallel untersuchten Proben durch das Bonner Labor von Mommsen und dem Bochumer Labor von Yalçın	455
7.12	Aufschlüsselung nach Probennummern Bonner Proben (Mommsen)	457
7.13	Aufschlüsselung der Proben aus dem Bonner Labor (Mommsen) nach Kat.-Nr.	460
7.14	Aufschlüsselung der Proben aus dem Bonner Labor (Mommsen) nach Herkunftsgruppen	462
7.15	Aufschlüsselung der Proben aus dem Bonner Labor (Mommsen) nach Klassifikation	464
8	Schlußbetrachtung	467
9	Katalog	478
10	Abbildungsverzeichnis	613

Tafeln 1-205**Appendix I-XXIII****Appendix Sammelfotos 1-21**

Vorwort

Die hier vorgestellte Untersuchung verfolgt die Absicht, eine der am weitesten verbreiteten Gattungen archaischer Keramikerzeugnisse, die sog. Ionischen Schalen, die im Folgenden Knickrandschalen, abgekürzt KRS (vgl. Kapitel »Terminologie«), genannt werden, unter chronologischen und typologischen Gesichtspunkten zu untersuchen. Der Rahmen der vorliegenden Untersuchung wurde in erster Linie von den neuen Ausgrabung zum archaischen Milet, die seit 1990 von der Ruhr-Universität Bochum unter der Leitung von Prof. Dr. Volkmar von Graeve unternommen wurden, gesteckt. Dementsprechend bilden die Funde und Befunde in Milet selbst sowie der Umgebung Südionien bis nach Samos hin die Grundlage. Weitere wichtige Fundplätze der in Rede stehenden Gattung im östlichen Mittelmeer, an der afrikanischen Mittelmeerküste, in Italien, am Schwarzen Meer oder im westlichen Kleinasien und auf den vorgelagerten Inseln sind dort punktuell in die Arbeit eingeflossen, wo sie zur Erweiterung der Typologie oder Konkretisierung der Chronologie Beiträge leisten konnten. Wer eine umfassende Aufarbeitung der quantitativ unübersehbaren Gattung an allen ihren Fundplätze und der mit ihrer Verbreitung verbundenen Fragen erwartet, wird enttäuscht sein. Eine solche Studie hätte die vorliegende Arbeit bei weitem überfordern.

Angesichts der herrschenden großen Unsicherheit hinsichtlich der Datierung archaischer ostgriechischer Keramik wird mit diesem Beitrag auf zwei Wegen eine Milderung des Umstandes angestrebt. Zum Einen sollen die bestehenden Datierungsgrundlagen herausgearbeitet, die zum Teil apokryphen Datierungsmethoden transparent gemacht und nach eingehender Diskussion die wichtigsten Methoden und verlässlichsten Ergebnisse anderer Grabungsplätze zusammengetragen werden. Auf der anderen Seite steht die Auswertung der Stratigraphie in Milet, die die gesamte Epoche mit ihren verschiedenen Phasen abdeckt. Hier kann erstmals verlässlich, von einer breiten Materialbasis ausgehend, eine Aussage zur Formentwicklung und zur relativen Chronologie getroffen werden. Sog. absolute Daten lassen sich zudem sowohl direkt in Milet finden, als auch indirekt mit den Ergebnissen in Milet verbinden. Daß absolute Zahlen aber hier in historischem Sinn zu verstehen sind, sollte sich für die hier besprochene Zeit natürlich von selbst verstehen. Absolute Zahlen können für den betreffenden Zeitraum nur als Verständigungsmittel, nicht aber wörtlich genommen werden.

Daß die vorliegende Arbeit ungebührlich spät erschien, lag nicht ausschließlich in der Verantwortung des Autors. Es handelt sich um eine leicht gekürzte, aber aktualisierte Fassung der ursprüngliche eingereichten Arbeit. In ihr konnten nun die wichtigen Funde und besonders die vollständigen Gefäße sowie die mit Malerei versehenen Gefäße bis 2012 eingearbeitet werden. Darüber hinaus sind die für die Chronologie der vorgelegten Gattung besonders wichtigen Fundorte in Ashkelon und Assesos inzwischen erschienen. Sie bestätigen und sichern sowohl in willkommener Weise die in Milet erarbeitete Typologie sowie Chronologie und konnten darüber hinaus einzelne Ergebnisse konkretisieren.

Neben wenigen eigenen photographischen Aufnahmen erscheinen hier einige Photographien, für die D. Johannes (ehemals DAI Istanbul) und für besonders viele J. Ulrich (Kiel) gewonnen werden konnten. Die Zeichnungen stammen größtenteils aus der Hand des Verfassers, außer einigen Funden

aus den alten Grabungen, die A. Hommel (München) bereits in den 1970er Jahren anfertigte. Einige Schalen mit besonders aufwendiger Malerei stammen aus der Hand von H. Grönwald (Berlin) und mehrere, die erst in den letzten Jahren ausgegraben wurden, sind von J. Ulrich (Kiel) gezeichnet worden. An den anschließenden Umzeichnungen waren neben dem Verfasser auch T. Carl (Bochum), E. Forbeck (Duisburg), A. Schwarz (Berlin), vor allem aber S. Büchner (Berlin) und J. Ulrich (Kiel) beteiligt.

J. Heiden (DAI Athen) hat Photos von Gefäßen aus Samos im Photoarchiv im DAI Athen bereitgestellt und H. Kienast (ehemals DAI Athen) hat mir dankenswerterweise erlaubt, Gefäße im deutschen Grabungsdepot auf Samos zeichnerisch aufzunehmen, sowie den Zugang zum Museum in Vathy (Samos) ermöglicht. Den dort zuständigen Museumsbehörden ist für die Erlaubnis zu danken, in den Jahren 1995 bis 1998 während dreier Besuche Zeichnungen von Schalen anfertigen zu dürfen. Ebenso gilt mein Dank M. Laubenberger (Kunsthistorisches Museum, Wien), M. Denoyelle (Musée du Louvre, Paris) und N. Kunisch (ehemals Kunstsammlungen der Ruhr-Universität Bochum) dafür, einzelne Gefäße studieren und zeichnen zu dürfen.

Die Arbeit ist auf Anregung meines Lehrers Volkmar von Graeve (Bochum) entstanden, der stets diskussionsbereit war und mit Interesse den Fortgang verfolgt hat. Auch hat er mir die Freiräume, die zur Fertigstellung der Arbeit notwendig waren, gewährt. An dieser Stelle ist auch den ehemaligen Mitarbeitern des Milet-Archivs Bochum, E. Forbeck und St. Käufler, zu danken, die mit viel Verständnis so manche geduldige Stunde aufgebracht haben, um mir die Arbeit zu erleichtern. R. Senff (Athen), der die zentrale Stratigraphie erstellte, und Ü. Yalcin (Bochum), der den naturwissenschaftlichen Teil der archäometrischen Keramikuntersuchungen durchführte, sei für ihre kollegiale Hilfe gedankt, die sie dort leisteten, wo sich unsere Themen überschneiden. H. Mommsen (Bonn) hat in bewährter und kollegialer Weise die im Bonner Labor erzielten Ergebnisse zur untersuchten Keramik mit mir diskutiert.

Besonders aber sei den Freunden Michael Kerschner (Wien), Richard Posamentir (Tübingen), Elke Forbeck (Duisburg), Klaus Totti (Duisburg) und Svend Hansen (Berlin) zu danken, die stets diskussionsbereit waren und mich bei der Durchsicht der Arbeit unterstützt und aufgemuntert haben. K. Hellström (Berlin/Tübingen) und E. Kühnelt (Berlin) haben das abschließende Korrekturlesen auf sich genommen. Andrea Schwarz (Berlin) bin ich zu aufrichtigem Dank verpflichtet für ihre Unterstützung und ihren reichlich gespendeten Zuspruch. Auch meinen Schwestern Anke Kraus und Martina Schlotzhauer danke ich herzlich für ihren nie müde werdenden Zuspruch.

Zuletzt sind hier aber vor allem meine Eltern zu nennen, ohne deren Vertrauen und finanzielle Unterstützung diese Arbeit niemals zu einem Ende geführt worden wäre.

Berlin, im Juli 2014

**Hagen, Bodil, Anselm und Arvid
zugeeignet**

Abkürzungsverzeichnis

Dem Text liegen die Richtlinien des Deutschen Archäologischen Institutes zugrunde, wie sie im AA 1997, 611 ff. aufgestellt wurden. Über die dort verzeichneten Abkürzungen hinaus werden folgende verwendet:

Akurgal u. a. 2002	M. Akurgal – M. Kerschner – H. Mommsen – W.D. Niemeier, Töpferzentren der Ostägäis. Archäometrische und archäologische Untersuchungen zur mykenischen, geometrischen und archaischen Keramik aus Fundorten in Westkleinasien. Mit einem Beitrag von Sabine Ladstätter, 3. Erg. ÖJH (Wien 2002).
Boardman 1967	J. Boardman, Excavations in Chios 1952-1955. Greek Emporio (1967).
Boardman 1990	J. Boardman, Al Mina and History, OxJA 9, 1990, 169–190.
Boardman 1981a	J. Boardman, Kolonien und Handel bei den Griechen ² (1981).
Boardman 1988	J. Boardman, The Greeks Overseas ² (1988).
Boardman 1998	J. Boardman, Early Greek Vase Painting (1998).
Boehlau 1898	J. Boehlau, Aus ionischen und italienischen Nekropolen (1898).
Bol u. a. 2008	R. Bol – U. Höckmann – P. Schollmeyer (Hrsg.), Kult(ur)kontakte: Apollon in Milet/Didyma, Histria, Myus, Naukratis und auf Zypern. Akten der Table Ronde Mainz vom 11.–12. März 2004, Internationale Archäologie ASTK 11 (2008).
Boldrini 1994	S. Boldrini, Le ceramiche ioniche, Gravisca 4 (1994).
Brijder 1983	H. A. G. Brijder, Siana Cups I and Komast Cups, Allard Pierson Series 4 (1983).
Brijder 1991	H. A. G. Brijder, Siana Cups II. The Heidelberg Painter, Allard Pierson Series 8 (1991).
Brijder 2000	H. A. G. Brijder, Siana Cups III. The Red-black Painter, Griffin-bird Painter and Siana Cups resembling Lip-cups, Allard Pierson Series 13 (2000).
Cabrera Bonet 1988/89	P. Cabrera Bonet, El comercio foceo en Huelva: cronología y fisinomía, in: J. Fernández Jurado (Hrsg.), Tartessos y Huelva,

- HuelvaA 10/11.1, 1988/89, 41–100.
- Cobet u. a. 2007 J. Cobet – V. v. Graeve – W.-D. Niemeier – K. Zimmermann (Hrsg.), Frühes Ionien: Eine Bestandsaufnahme. Panionion-Symposium Güzelçamlı (Türkei), 26. September – 1. Oktober 1999, *MilForsch* 5 (2007).
- Coldstream 1968 J. N. Coldstream, *Greek Geometric Pottery* (1968).
- Coldstream 1977 J. N. Coldstream, *Geometric Greece* (1977).
- CollNeapel Les céramiques de la Grèce de l'Est et leur diffusion en occident, Colloques du Centre Jean Bérard. Institut Français de Naples 6–9 Juillet 1976 (1978).
- Cook 1933/34 R. M. Cook, *Fikellura Pottery*, *BSA* 34, 1933/34, 1–98.
- Cook 1965 R. M. Cook, *Rez. zu C. Kardara, ἰοδιακῶν Ἀγγειογραφία* 1963, *Gnomon* 37, 1965, 502–507.
- Cook 1972 R. M. Cook, *Greek Painted Pottery*² (1972).
- Cook 1989 R. M. Cook, *The Francis-Vickers chronology*, *JHS* 109, 1989, 165–170.
- Cook 1992 R. M. Cook, *The Wild Goat and Fikellura Styles. Some Speculations*, *OxJA* 11, 1992, 255–266.
- Cook 1997 R. M. Cook, *Greek Painted Pottery*³ (1997).
- Cook 1998 R. M. Cook, in: R. M. Cook – P. Dupont, *East Greek Pottery* (1998).
- Délos 15 Ch. Dugas – C. Rhomaios, *Les Vases Préhelléniques et Géométriques Délos* 15 (1934).
- Dupont 1983 P. Dupont, *Classification et Détermination de provenance des céramiques Grecques orientales archaïques d'Istros. Rapport préliminaire*, *Dacia* 27, 1983, 19–43.
- Ehrhardt u. a. 2008 N. Ehrhardt – U. Höckmann – U. Schlotzhauer, *Weihungen an Apollon Didymeus und Apollon Milesios in Naukratis*, in: R. Bol – U. Höckmann – P. Schollmeyer (Hrsg.), *Kult(ur)kontakte. Apollon in Milet/Didyma, Histria, Myus und auf Zypern. Akten der Table Ronde in Mainz vom 11.–12. März 2004. Internationale Archäologie* 11 (2008) 163–178.

- Eilmann 1933 R. Eilmann, Frühe griechische Keramik im samischen Heraion, AM 58, 1933, 47–145.
- Furtwängler 1980 A. Furtwängler, Heraion von Samos: Grabungen im Südtemenos 1977, I. Schicht- und Baubefund, Keramik, AM 95, 1980, 149–224.
- Gates 1979 C.W. Gates, Burials at Ialysos and Kameiros (Rhodes) in the Mid Archaic Period, ca. 625 – 525 B.C. (1979).
- Gjerstad 1977 E. Gjerstad (Hrsg.), Greek Geometric and Archaic Pottery found in Cyprus (1977).
- Graeve 1973/74 V. v. Graeve, Milet. Bericht über die Arbeiten im Südschnitt an der hellenistischen Stadtmauer 1963, IstMitt 23/24, 1973/74, 63–115.
- Graeve 1975 V. v. Graeve, Milet. Vorläufiger Bericht über die Grabungen im Südschnitt an der hellenistischen Stadtmauer 1966, IstMitt 25, 1975, 35–59.
- Graeve 1987 V. v. Graeve u. a., Grabung auf dem Kalabaktepe, in: W. Müller-Wiener, IstMitt 37, 1987, 6–33.
- Graeve 1990 V. v. Graeve u. a., Milet 1989. Vorbericht über die Arbeiten des Jahres 1989 und einer 1988 auf dem Kalabaktepe durchgeführten Sondierung, IstMitt 40, 1990, 37–71.
- Graeve 1992 V. v. Graeve u. a., Milet 1991. Vorbericht über die Arbeiten des Jahres 1991, IstMitt 42, 1992, 97–134.
- Graeve 1995 V. v. Graeve u. a., Milet 1992–1993. Vorbericht über die Grabungen und Geländeerkundungen, die Denkmälerrestaurierung und die naturwissenschaftlichen Begleitprogramme der Miletgrabung in den Jahren 1992 und 1993, AA 1995, 195–333.
- Graeve 1997 V. v. Graeve u. a., Milet 1994–1995. Vorbericht über die Grabungsarbeiten und Geländeerkundungen, die Denkmälerrestaurierung und die naturwissenschaftlichen Begleitprogramme der Miletgrabung in den Jahren 1994 und 1995, AA 1997, 109–311.
- Graeve 1997/98 V. v. Graeve, Neue Ausgrabungen und Forschungen im archaischen Milet, Nürnberger Blätter zur Archäologie 14, 1997/98, 73–88.

- Graeve 1999 V. v. Graeve u. a., Milet 1996-1997. Vorbericht über die Grabungsarbeiten und Geländeuntersuchungen, die Denkmälerrestaurierung und Ruinenpflege sowie die naturwissenschaftlichen Begleitprogramme der Miletgrabung in den Jahren 1996 und 1997, AA 1999, 1–124.
- Hanfmann 1956 G. M. A. Hanfmann, On some Eastern Greek Wares Found in Tarsus, in: S. S. Weinberg (Hrsg.), *The Aegean and the Near East*. Festschrift H. Goldman (1956) 165–184.
- Histria 4 P. Alexandrescu, La céramique d'époque archaïque et classique (VIIe-IVe S.), *Histria* 4 (1978).
- Hommel 1959/60 P. Hommel, II. Der Abschnitt östlich des Athena-Tempels, in: C. Weickert, *Die Ausgrabungen beim Athena-Tempel in Milet 1957*, *IstMitt* 9/10, 1959/60, 31–62.
- Iasos 1987 *Studi su Iasos di Cari*. Venticinque anni di scavi della missione archaeologica Italiana, *BdA* 31/32, 1985, Suppl. (1987).
- Jacobi 1929 G. Jacobi, Scavi nella necropoli di Jalisso, *CIRh* 3 (1929).
- Jacopi 1931 G. Jacobi, Esplorazione archeologica di Camiro I. Scavi nelle necropolis Camiresi 1929-1930, *CIRh* 4 (1931).
- Jacobi 1932/33 G. Jacobi, Parte I. Esplorazione archeologica di Camiro II; Parte II. Scavi nella necropolis di Rodi; Scavi e ricerche di Nisiro; Le basiliche paleocristiane di Arcassa, *CIRh* 6/7 (1932/33).
- Johansen 1957 F. Johansen, Exochi, ein frührhodisches Gräberfeld, *ActaArch* 28, 1957, 1–192.
- Jones 1986 R. E. Jones, *Greek and Cypriot Pottery* (1986).
- Kardara 1963 Ch. Kardara, *Ῥοδιακὴ Ἀγγειογραφία* (1963).
- Kerschner 1995 M. Kerschner, *Ostgriechische Vogelschalen und Verwandtes*. Studien zur Chronologie und Verbreitung der ostgriechischen Keramik (unveröffentl. Diss., Bochum 1995).
- Kerschner 1997a M. Kerschner, Ein Kessel des frühen Tierfriesstiles aus den Grabungen unter der Tetragonos-Agora in Ephesos, *ÖJH* 66, 1997, 9–27.
- Kerschner 1997b M. Kerschner, Ein stratifizierter Opferkomplex des 7. Jh. v. Chr. aus dem Artemision von Ephesos, *ÖJH* 66, 1997, Beibl. 85–226.

- Kerschner 1999 M. Kerschner, Das Artemisheiligtum auf der Ostterrasse des Kalabaktepe in Milet. Stratigraphie und Keramikfunde der Sondagen des Jahres 1995, *AA* 1999, 7–51.
- Kerschner - Schlotzhauer 2005 M. Kerschner – U. Schlotzhauer, A New Classification System for East Greek Pottery, *AncWestEast* 2005, 1–56.
- Kerschner – Schlotzhauer 2007 M. Kerschner – U. Schlotzhauer, Ein neues Klassifikationssystem der ostgriechischen Keramik, in: Cobet u. a. 2007, 295–317.
- Kinch 1914 K. F. Kinch, *Vroulia* (1914).
- Kleine 1979 J. Kleine, Milet. Bericht über die Arbeiten im Südschnitt an der hellenistischen Stadtmauer 1968-1973, *IstMitt* 29, 1979, 109–159.
- Knossos 1-4 J. N. Coldstream – H. W. Catling (Hrsg.), *Knossos North Cemetery. Early Greek Tombs 1–4* (1996).
- KollFrankfurt W. Müller-Wiener (Hrsg.), *Milet 1899–1980. Ergebnisse, Probleme und Perspektiven einer Ausgrabung. Kolloquium Frankfurt am Main 1980*, 31. Beih. *IstMitt* (1986).
- Kopcke 1968 G. Kopcke, Heraion von Samos. Die Kampagnen 1961/1965 im Südtemenos (8.–6. Jahrhundert), *AM* 83, 1968, 250–314.
- Krinzinger 2000 F. Krinzinger (Hrsg.), *Die Ägäis und das westliche Mittelmeer. Beziehungen und Wechselwirkungen, 8. bis 5. Jh. v. Chr. Akten des Symposions Wien, 24. bis 27. März 1999*, *AF* 4 (Wien 2000).
- Kunze 1934 E. Kunze, *Ionische Kleinmeister*, *AM* 59, 1934, 81–122.
- Lambrino 1938 M. F. Lambrino, *Les Vases Archaïques d’Histria* (1938).
- Lemos 1991 A. A. Lemos, *Archaic Pottery of Chios* (1991).
- Lentini 2008 M. C. Lentini (Hrsg.), *Vasi del Wild Goat Style dalla Sicilia e dai Musei Europei. Catalogo della Mostra Gela, Museum Archaeologico Regionale, 27 aprile – 21 maggio 2006, Bochum, Kunstsammlung der Ruhr-Universität, 30 maggio – 15 luglio 2006* (2008).
- Magness – Waldbaum 1997 J. Magness – J. C. Waldbaum, The Chronology of Early Greek Pottery. New Evidence from Seventh-Century B.C. Destruction Levels in Israel, *AJA* 101, 1997, 23–40.
- Megara Hyblaea 2 G. Vallet – F. Villard, *La céramique archaïque, Mégara Hyblaea 2*, *MEFRA Suppl.* 1 (1964).

- Mommsen 1986 H. Mommsen, Archäometrie. Neuere naturwissenschaftliche Methoden und Erfolge in der Archäologie (1986).
- Morricone 1978 L. Morricone, ASAtene 56, 1978 (1982), 9–427.
- Naukratis 1 W. M. Flinders Petrie, Naukratis I: 1884–1885 (1886)
- Oakley 2009 J. H. Oakley, Greek Vase Painting. State of the Discipline, AJA 113, 2009, 599–627.
- Panionion G. Kleiner – P. Hommel – W. Müller-Wiener, Panionion und Melie, 23. Ergh. JDI (1967).
- Ploug 1973 G. Ploug, The Aegean, Corinthian and East Greek Pottery and Terracottas, Sukas 2 (1973).
- Pithekoussai 1 G. Buchner – D. Ridgway, La necropoli: Tomb 1–723 scavate dal 1952 al 1961, Pithekoussai 1 (1993).
- Price 1924 E. R. Price, Pottery of Naucratis, JHS 44, 1924, 180–222.
- Riis 1970 P. J. Riis, The North-East Sanctuary and the First Settling of Greeks in Syria and Palestine, Sukas 1 (1970).
- Robertson 1940 M. Robertson, The Excavations at Al Mina, Sueidia IV. The Early Greek Vases, JHS 60, 1940, 2–21.
- Rumpf 1933 A. Rumpf, Zu den Klazomenischen Denkmälern, JdI 48, 1933, 55–83.
- Samos 3 A. E. Furtwängler – H. J. Kienast, Der Nordbau im Heraion von Samos, Samos 3 (1989).
- Samos 4 H. P. Isler, Das archaische Nordtor und seine Umgebung im Heraion von Samos, Samos 4 (1978).
- Samos 5 H. Walter, Frühe samische Gefäße. Chronologie und Landschaftsstile ostgriechischer Gefäße, Samos 5 (1968).
- Samos VI 1 E. Walter-Karydi, Samische Gefäße des 6. Jahrhunderts. v. Chr. Landschaftsstile ostgriechischer Gefäße, Samos VI 1 (1973).
- Schaus 1986 G. P. Schaus, Two Fikellura Vase Painter, BSA 81, 1986, 251–295.
- Schiering 1957 W. Schiering, Werkstätten orientalisierender Keramik auf Rhodos (1957).

- Schlotzhauer 1999 a U. Schlotzhauer, Funde aus Milet, 4. Beobachtungen zu Trinkgefäßen des Fikellurastils, AA 1999, 223–239.
- Schlotzhauer 1999 b U. Schlotzhauer, Knickrandskyphoi und -schalen aus der Nordhangsondage (Kat.-Nr. 33–42 Abb. 11), in: Kerschner 1999, 21–23.
- Schlotzhauer 2000 U. Schlotzhauer, Die südionischen Knickrandschalen. Formen und Entwicklung der sogenannten Ionischen Schalen in archaischer Zeit, in: Krinzinger 2000, 407–416.
- Schlotzhauer 2001 U. Schlotzhauer, Ausgewählte Beispiele ostgriechischer Keramik aus Naukratis im Blickwinkel neuer Forschungen, in: U. Höckmann – D. Kreikenbom (Hrsg.), Naukratis. Die Beziehungen zu Ostgriechenland, Ägypten und Zypern in archaischer Zeit, Akten der Table Ronde Mainz, 25.–27. November 1999 (2001) 111–125.
- Schlotzhauer 2006 U. Schlotzhauer, Some Observations on Milesian Pottery. In: Villing – Schlotzhauer 2006, 133–144.
- Schlotzhauer 2007 U. Schlotzhauer, Zum Verhältnis zwischen sogenanntem Tierfries- und Fikellurastil (SiA I und II) in Milet. Mit einem Beitrag von N. Ehrhardt, in: Cobet u. a. 2007, 263–293.
- Schlotzhauer 2008 U. Schlotzhauer, Die südionische Knickrandschale in London, British Museum, in: Ehrhardt u. a. 2008, 163–167.
- Schlotzhauer 2012 U. Schlotzhauer, Untersuchung zur archaisch griechischen Keramik aus Naukratis, in: U. Schlotzhauer – S. Weber – H. Mommsen, Griechische Keramik des 7. und 6. Jhs. v. Chr. aus Naukratis und anderen Orten in Ägypten. Archäologische Studien zu Naukratis 3 (2012) 21–194.
- Schweitzer 1969 B. Schweitzer, Die geometrische Kunst Griechenlands (1969).
- Shefton 1989 B. B. Shefton, East Greek Influences in Sixth-Century Attic Vase-Painting and some Laconian Trails, in: Greek Vases in the J. Paul Getty Museum 4 (1989) 41–72.
- Stager 1996 L. E. Stager, Ashkelon and the archaeology of destruction. Kislev 604 B.C.E., *ErIsr* 25, 1996, 61–74.
- Stibbe 1972 C. M. Stibbe, Lakonische Vasenmaler des sechsten Jahrhunderts v. Chr. *Studies in Ancient Civilization*, NS 1 (1972).

- Tarsus 3 H. Goldman – G. M. A. Hanfmann – E. Porada, Excavations at Gözülü Kule. The Iron Age. Tarsus 3 (1963).
- Technau 1929 W. Technau, Griechische Keramik im samischen Heraion, AM 54, 1929, 6–64.
- Thera 2 H. Dragendorff (Hrsg.), Theraeische Graeber, Thera 2 (1903).
- Tocra 1 J. Boardman – J. Hayes, Excavations at Tocra 1963–1965. The Archaic Deposits 1, Suppl. BSA 4 (1966).
- Tocra 2 J. Boardman – J. Hayes, Excavations at Tocra 1963–1965. The Archaic Deposits 2 and Later Deposits, Suppl. BSA 10 (1973).
- Utili 1999 F. Utili, Die archaische Nekropole von Assos, Asia Minor Studien 31 (1999).
- Villard – Vallet 1955 F. Villard – G. Vallet, Megara Hyblaea 5, Lampes du VIIe siècles et chronologie des coupes ioniennes, MEFRA 65, 1955, 7–34.
- Vallet – Villard 1964 G. Vallet – F. Villard, Mégara Hyblaea 2, La céramique archaïque. Mélanges d'Archéologie et d'Histoire Suppl. 1 (1964).
- Villing – Schlotzhauer 2006b A. Villing – U. Schlotzhauer, East Greek Pottery from Naukratis. The Current State of Research. In: Villing – Schlotzhauer 2006 a, 53–68.
- Vierneisel – Kaeser 1990 K. Vierneisel – B. Kaeser, Kunst der Schale – Kultur des Trinkens, Ausstellungskatalog der Antikensammlung München (1990).
- Waldbaum 1994 J. C. Waldbaum, Early Greek Contacts with the Southern Levant, ca. 1000–600 B.C.: The Eastern Perspective, BASOR 293, 1994, 53–66.
- Waldbaum – Magness 1997 J. C. Waldbaum – J. Magness, The Chronology of Early Greek Pottery: New Evidence from Seventh-Century B.C. Destruction Levels in Israel, AJA 101, 1997, 23–40.
- Waldbaum 2011 J. C. Waldbaum, 10. Greek Pottery, in: L.E. Stager – D.M. Master – J.D. Schloen (Hrsg.), The Seventh Century B.C., Ashkelon 3 (2011) 127–338.
- Walter 1957 H. Walter, Frühe samische Gefäße und ihre Fundlage I, AM 72, 1957, 35–51.
- Walter – Vierneisel 1959 H. Walter – K. Vierneisel, Heraion von Samos. Die Funde der

Kampagne 1958 und 1959, AM 74, 1959, 10–42.

- Walter-Karydi 1998 E. Walter-Karydi, Nothing to do with Crete: Towards Defining the Character of East Dorian Art, in: V. Karageorghis – N. Stampolidis (Hrsg.), Eastern Mediterranean. Cyprus-Dodecanese-Crete 16th - 6th cent. B.C. Proceedings of the International Symposium held at Rethymnon, Crete in May 1997 (1998) 287–300.
- Weickert 1957 C. Weickert, Die Ausgrabung beim Athena-Tempel in Milet 1955, IstMitt 7, 1957, 102–132.
- Weickert 1959/60 C. Weickert, Die Ausgrabung beim Athena-Tempel in Milet 1957, IstMitt 9/10, 1959/60, 1–96.

Folgende Abkürzungen werden im Text verwendet:

ChiA	Chiotisch archaisch/ Chian archaic
EC	Early Corinthian
EWG	Early Wilde Goat style
LC	Late Corinthian
LPC	Late Protocorinthian
LWG	Late Wild Goat style
MC	Middle Corinthian
MileA	Milesisch archaisch/ Milesian Archaic
MWG	Middle Wilde Goat style
NiA	Nordionisch archaisch/ Northionian Archaic
OdA	Ostdorisch archaisch
OA	Ostionisch archaisch
RhoA	Rhodisch archaisch/ Rhodian Archaic
SamA	Samisch archaisch (Insel)/ Samian Archaic (Island)
SamoA	Samisch archaisch (antike Stadt)/ Samian Archaic (ancient city)
SiA	Südionisch archaisch/ South Ionian Archaic
SiG	Südionisch geometrisch
SiMG	Südionisch mittelgeometrisch
SiSG	Südionisch spätgeometrisch
TR	Transitional Corinthian

1 Einleitung

Ausgehend von den Funden aus den Grabungen seit 1989 unter der Leitung von Prof. Volkmar von Graeve in Milet, die vor allem der Erforschung der archaischen Stadt galten¹, wird mit dieser Arbeit eine Gattungsmonographie zu den sog. 'Ionischen Schalen'², die von nun an südionischen Knickrandschalen (im Folgenden: KRS) genannt werden, in archaischer Zeit sowie zu ihren spät- und subgeometrischen Vorgängern vorgelegt. Sie ist Teil der auf der zentralen Stratigraphie des Stadtviertels am Kalabaktepe-Süd beruhenden Auswertung der gesamten Fundkeramik und stellt zudem einen ersten Beitrag zur Darstellung des Gesamtkeramikbildes der archaischen Stadt Milet dar. Darüber hinaus wird der Versuch unternommen, eine der südionischen 'Leitgattungen' archaischer Keramik erstmals von einem Herstellungsort aus in ihrem gesamten Spektrum zu erfassen³. Es wurden zudem sowohl Funde aus älteren Grabungen in Milet, als auch – in Auswahl – aus dem zweiten bekannten südionischen Keramikzentrum archaischer Zeit, Samos, mit einbezogen. Weiterhin galt es, existierende Klassifikationen und Chronologien zur Gattung zu überprüfen, gegebenenfalls zur revidieren und neu zu entwickeln⁴. Die Ausgangsvoraussetzungen für ein solches Unterfangen haben sich aufgrund der in Milet erarbeiteten Stratigraphie erheblich verbessert, so daß die zeitliche Stellung der einzelnen Typen der KRS sowie ihrer Vorläufer überprüft und im Einzelnen neu bestimmt werden konnten.

Bekanntlich gelten die südionischen KRS als eine der keramischen 'Leitgattungen' der Landschaft Südionien mit ihren bedeutenden archaischen Zentren Milet und Samos⁵. Ihre Fundhäufigkeit sowohl in Südionien selbst

¹ Die Grabungen wurden seit der Übernahme der Grabungsleitung durch Prof. Dr. Volkmar von Graeve vor allem seit 1989 durch die DFG im Rahmen der »Förderung Ausgrabung und Erforschung von Milet« sowie durch das Deutsche Archäologische Institut und die Ruhr-Universität Bochum, wo die Grabung mit Mitarbeitern und dem Miletarchiv angesiedelt ist, finanziert.

² Zum bisher geläufigen und mit dieser Arbeit ersetzten Terminus 'Ionische Schale' s. u. S. 2 mit Anm. 7; S. 11 mit Anm. 19.

³ Bisherige Versuche der Klassifizierung und Chronologisierung der Gattung weisen das Manko auf, daß sie von Importzentren aus unternommen wurden und damit automatisch der Beschränkung unterlagen, nicht exportierte Gruppen nicht einbeziehen sowie außerhalb des Importzeitraums gefertigte KRS und ihre Vorgänger nicht berücksichtigen zu können, s. hierzu auch S. 11 ff.

⁴ Eine für den größeren Zusammenhang der gesamten Ostgriechischen Keramik entwickelte Klassifizierung der Geometrischen bis Klassischen Epoche, die ursprünglich im Kontext der dieser Arbeit zugrundeliegenden Dissertation erstellt wurde, ist inzwischen vom Verfasser zusammen mit M. Kerschner (Wien) weiterentwickelt und publiziert worden; vgl. Kerschner – Schlotzhauer 2005; 2007. Im weiteren werden diese Klassifizierung und die dort zu findende Terminologie verwendet. Später hat S. Käufler (Bochum) einige Veränderungen (etwa eine stärkere Untergliederung der ersten Stilstufe der archaischen Vasenmalerei Südioniens/Milets und eine leicht veränderte Terminologie, z. B. MilA statt MileA) vorgenommen, die dem grundsätzlichen Ziel der neuen Klassifizierung zuwiderläuft. Denn diese möchte ja eine verbindliche Vergleichbarkeit von Entwicklungen und eine vergleichbare, leicht verständliche Terminologie vermitteln, die es auch denjenigen Wissenschaftlern und Studenten einfacher macht, die ostgriechische Keramik- und Vasenmalereientwicklung nachzuvollziehen, die sich nicht in die komplexen, seit mehr als 150 Jahren in den verschiedenen Wissenschaftstraditionen jeweils anders entwickelten, bestehenden Klassifizierungen und Terminologien einarbeiten wollen. **Abb. 1** zeigt das neue Klassifizierungsmodell für ostgriechische Keramik am Beispiel von Südionien.

⁵ Zur Beurteilung der »Ionian cups« s. etwa Cook in Cook – Dupont 1998, 129 ff.; zur historischen Topographie Südioniens s. zuletzt H. Lohmann, Zur historischen Topographie des südlichen Ionien, *Orbis Terrarum* 8, 2002 (2006), 163 ff.; für weitere in archaischer Zeit bezeugte Städte wie Priene, Myus oder Herakleia am Latmos liegen bisher keine gesicherten archaischen Schichten vor. Die erst kürzlich untersuchten Orte Aessos (s. zuletzt Kalaitzoglou 2008), vermutlich ein Phourion Milets südlich des Mäandertals, und ein Fundort auf der Mykale oberhalb von Priene, das wenig wahrscheinlich mit dem karischen Ort Melie und seiner Überbauung eines temporär eingerichteten Panionions

als auch in vielen Orten des Mittel- und Schwarzmeerraumes belegt nicht nur ihre Beliebtheit in den Produktionsorten, sondern auch ihre Bedeutung als Exportware⁶.

Bereits der bisher verwendete Begriff 'Ionische Schale'⁷ drückte die ostionische Herkunft dieser Schalengattung aus, war aber insofern unzureichend, als daß ihr Ursprung auf den südionischen Raum eingengt wurde⁸. Zudem stand der feststehende Terminus 'ionisch' bisher in Gegensatz zur ebenfalls häufig verwendeten, inzwischen als falsch erkannten Herkunftsangabe 'rhodisch'. Mit der vor allem aufgrund naturwissenschaftlicher Untersuchungen zur Herkunftsbestimmung fortschreitenden landschaftlichen Ausdifferenzierung der ostägäischen Keramikproduktion, die hier in einem eigenen Kapitel eingehend behandelt wird, kann dieser Widerspruch aufgelöst werden. Es bleibt allerdings ein terminologisches Problem bestehen, da tatsächlich verschiedene lokale Varianten des gleichen Grundtypus existierten. Weil sich die

(H. Lohmann, Melia, das Panionion und der Kult des Poseidon Helikonios, in: E. Schwertheim – E. Winter (Hrsg.), Neue Forschungen zu Ionien. Fahri Işık zum 60. Geburtstag gewidmet. *Asia Minor Studien* 54 (2005) 57 ff.; ders. u.a. Forschungen und Ausgrabungen in der Mykale 2001-2006, *IstMitt* 57, 2007, 129 ff.; ders. – G. Kalaitzoglou – G. Lüdorf, Sondagen in der befestigten karischen Höhensiedlung von Melia in der Mykale [Dilek Dağları/Aydın] AA 2010, 123 ff.), bzw. überzeugender mit der Siedlung Mykalessos (A. Herda, Panionion-Melia, Mykalessos-Mykale, Perseus und Medusa. Überlegungen zur Besiedlungsgeschichte der Mykale in der frühen Eisenzeit, *IstMitt* 56, 2006, 43 ff.) erklärt wird, haben neuerlich archaische Keramik in Südionien geliefert (G. Kalaitzoglou, Notgrabung im archaischen Panionion: Funde und Befunde, in: H. Lohmann u. a., Forschungen und Ausgrabungen in der Mykale 2001-2006, *IstMitt* 57, 2007, 141 ff.; Kalaitzoglou 2008; Kalaitzoglou in: H. Lohmann – G. Kalaitzoglou – G. Lüdorf, Sondagen in der befestigten karischen Höhensiedlung von Melia in der Mykale [Dilek Dağları/Aydın], AA 2010, 123-137), wiesen aber keine Hinweise auf lokal gefertigte Töpferwaren an diesen Orten auf. Das gleiche gilt für Didyma mit dem Orakelheiligtum des Apollon, das ohnehin von Milet kontrolliert wurde, was sich durch die jährliche Neujahrsprozession seit spätgeometrischer Zeit, spätestens aber seit der baulichen Errichtung der Prozessionsstraße um 550 v. Chr. manifestiert (A. Herda, Apollon Delphinios – Apollon Didymeus: Zwei Gesichter eines milesischen Gottes und ihr Bezug zur Kolonisation Milet in archaischer Zeit, in: R. Bol – U. Höckmann – P. Schollmeyer [Hrsg.], Kult[ur]kontakte. Apollon in Milet/Didyma, Histria, Myus und auf Zypern. Akten der Table Ronde in Mainz vom 11.-12. März 2004. *Internationale Archäologie* 11 (2008) 22); hier wurden auch vielfach archaische Schichten und Funde angetroffen (vgl. etwa R. Naumann – K. Tuchelt, Die Ausgrabungen im Südwesten des Tempels von Didyma 1962, *IstMitt* 13/14, 1963/64, 15 ff.; K. Tuchelt, Didyma: Bericht über die Arbeiten 1969/70, *IstMitt* 21, 1971, 45 ff.; T. G. Schattner, Frühe Keramik II, *Didyma Wegweiser* 27 (1993); T. G. Schattner, Die Fundkeramik, in: K. Tuchelt (Hrsg.), Ein Kultbezirk an der Heiligen Straße von Milet nach Didyma. *Didyma* 3,1 (1996), 190 ff.; T. Schattner, Die Fundkeramik vom 8. bis zum 4. Jahrhundert v. Chr., *Didyma* 3,4 (2007) 304 ff.; H. Bumke – A. Herda – E. Röver – T. Schattner, Bericht über die Ausgrabungen 1994 an der heiligen Strasse von Milet nach Didyma. Das Heiligtum der Nymphen? AA 2000, 57 ff.). Auch aus Ephesos sind archaische Schichten und lokale Keramik bekannt geworden. Ephesos kann aber nicht eindeutig der südlichen oder nördlichen Sphäre Ioniens zugeschrieben werden (vgl. zu dem Problem Kerschner 2007, der eine mehr südionische Ausrichtung der Keramikproduktion im 7. Jh. v. Chr., dagegen eine mehr nordionische Ausrichtung im 6. Jh. v. Chr. postuliert). Jedenfalls ist für Ephesos und Samos eine eigene Keramikproduktion vorauszusetzen, was bereits die naturwissenschaftlichen Untersuchungen zur Herkunftszuweisung nahelegen. Zum Stand der Zuordnung naturwissenschaftlich untersuchter Keramik und deren Zuweisung an südionische Herstellungszentren s. etwa M. Kerschner in: Akurgal u. a. 2002, 37–55; Schlotzhauer 2012, 43–58. 90–159 und hier S. 380 ff. im Kapitel 7.3.2 'Bisherige Ergebnisse zu den Knickrandschalen und der südionischen Gefäßmalerei').

⁶ Der Frage nach Nachahmungen in lokalen Töpferzentren im Mittelmeer- und Schwarzmeerraum kann nur in Einzelfällen nachgegangen werden.

⁷ Zum bisher verwendeten und zum neu vorgeschlagenen Begriff s. erstmals U. Schlotzhauer, Die KRS aus Milet (unveröffentl. Mag. Arbeit, Bochum 1995) 4 f.; Schlotzhauer 1999b, 21 f.; U. Schlotzhauer in: Krininger 2000, 407 ff. bes. 413; Schlotzhauer 2008, 165 mit Anm. 9 ff.. Ohne Verweis benutzt Kalaitzoglou 2008, 67 ff. den Begriff 'Knickrandschale', als hätte er ihn neu eingeführt, obgleich er die lange vor der Erstellung seines Manuskripts fertigen Arbeiten U. Schlotzhauer, Die Knickrandschalen aus Milet (unveröffentl. Mag. Arbeit, Bochum 1995) und Ders., Die südionischen Knickrandschalen. Eine chronologische Untersuchung zu den sog. Ionischen Schalen in Milet (unveröffentl. Diss., Bochum 2001) benutzt und aufführt. Die zudem bereits veröffentlichten Artikel seit 1999 mit der Begründung der neuen Terminologie verschweigt er vollständig.

⁸ Zur naturwissenschaftlichen Beweisführung vgl. S. 376 ff. das Kapitel '7.3.1 Südionische' (mit Besprechung der bisherigen Literatur); zur archäologischen Beweisführung: ebenda und S. 11 mit Anm. 21.

Varianten mit unterschiedlichen Orten bzw. Regionen verbinden lassen, schien es angezeigt, eine Terminologie zu entwickeln, mit der die Widersprüche der genannten Art vermieden und in der die neuen Ergebnisse zur Herkunftsbestimmung berücksichtigt werden.

Nach der Diskussion zur Terminologie steht die Klassifizierung der Gattung KRSk (Knickrandskyphoi) und KRS im Mittelpunkt. Unter Berücksichtigung der Forschungsgeschichte und in Auseinandersetzung mit älteren Klassifizierungsmodellen der Gattung, denen ein eigenes Kapitel gewidmet ist, wird das Gesamtspektrum milesischer KRS und ihrer geometrischen Vorläufer entsprechend ihrer form- und dekorationstypologischen Aspekte in Typen und Varianten gegliedert.

Anschließend stehen chronologische, entwicklungsgeschichtliche und siedlungsgeschichtliche Fragestellungen im Mittelpunkt. Sie werden im Kapitel 5 'Überblick und Aussagen über die Gattung im Kontext der Siedlungsphasen am Kalabaktepe-Süd anhand der Kombination von statistischer Auswertung und stratigraphischer Einbindung der Gattung' behandelt und verfolgen zwei Ziele: Erstens gilt es, ein Bild der beinahe 200-jährigen Entwicklungsgeschichte der Gattung anhand der Funde aus der milesischen 'Südstadt' am Kalabaktepe nachzuvollziehen, indem einerseits die relative Chronologie der KRS und ihrer Vorläufer im Zusammenspiel mit den Aussagemöglichkeiten der Stratigraphie thematisiert, andererseits aber die Beziehung der Keramik zur Siedlung selbst hinterfragt werden, um mögliche Rückschlüsse auf Funktion und Gebrauch zu gewinnen. Ein Versuch der hier beschriebenen Art warf eine Vielzahl von weiteren Fragen auf. Ein seit langem diskutiertes Problem beschreibt die sog. Laufzeit einer keramischen Formgruppe bzw. eines Typus. Die Voraussetzungen, im vorgezeichneten Zusammenhang verlässliche Aussagen treffen und so auch das zeitliche Verhältnis der Typen zueinander in Beziehung setzen zu können, schienen unter den beschriebenen Bedingungen günstig und wurden deshalb besonders aufmerksam betrachtet. Die Schlußfolgerungen zur Gattung, die sich aus dem vorbezeichneten Vorgehen zur Chronologie der Gattung aufdrängen, dürften dann bereits als gesichert angesehen werden; solche, die auf größere Zusammenhänge zielen, können auf Grundlage nur einer untersuchten Keramikgattung allerdings nur als vorläufig betrachtet werden. Diese sind nach den Untersuchungen zu den weiteren keramischen Fundgattungen und anderen Funden aus denselben Grabungen im Zusammenspiel mit der hier entwickelten Stratigraphie zu bestätigen oder zu korrigieren.

Nachdem in dem genannten Zusammenhang die Stratigraphie eingehend besprochen und ihre Bedeutung für die Chronologie der Gattung herausgestellt worden ist, wird der Blick über die Stadt Milet und Südionien hinaus ausgedehnt. Andere Grabungsplätze im Mittel- und Schwarzmeerraum werden nach möglichen Datierungshinweisen befragt. Dabei wird keine vollständige Untersuchung aller Orte, die südionische Keramik aufweisen, angestrebt. Vielmehr sind nur die Grabungsplätze mit südionischer Keramikpräsenz heranzuziehen, die Möglichkeiten einer engeren zeitlichen Einordnung für die Gattung zulassen. Die so gewonnenen Ergebnisse aus Milet und anderen Orten wird im Kapitel 6 'Die Datierung der südionischen Knickrandschalen und ihrer Vorläufer' zusammengeführt, indem die einzelnen Typen der KRSk und KRS in ihrer Abfolge und ihrer Datierung dargestellt werden.

Im abschließenden Kapitel 7 'Zur Herkunftsbestimmung der südionischen KRS: Archäometrischer Exkurs' wird die Frage nach der Herkunft südionischer KRS auf der Grundlage naturwissenschaftlicher Untersuchungen behandelt.

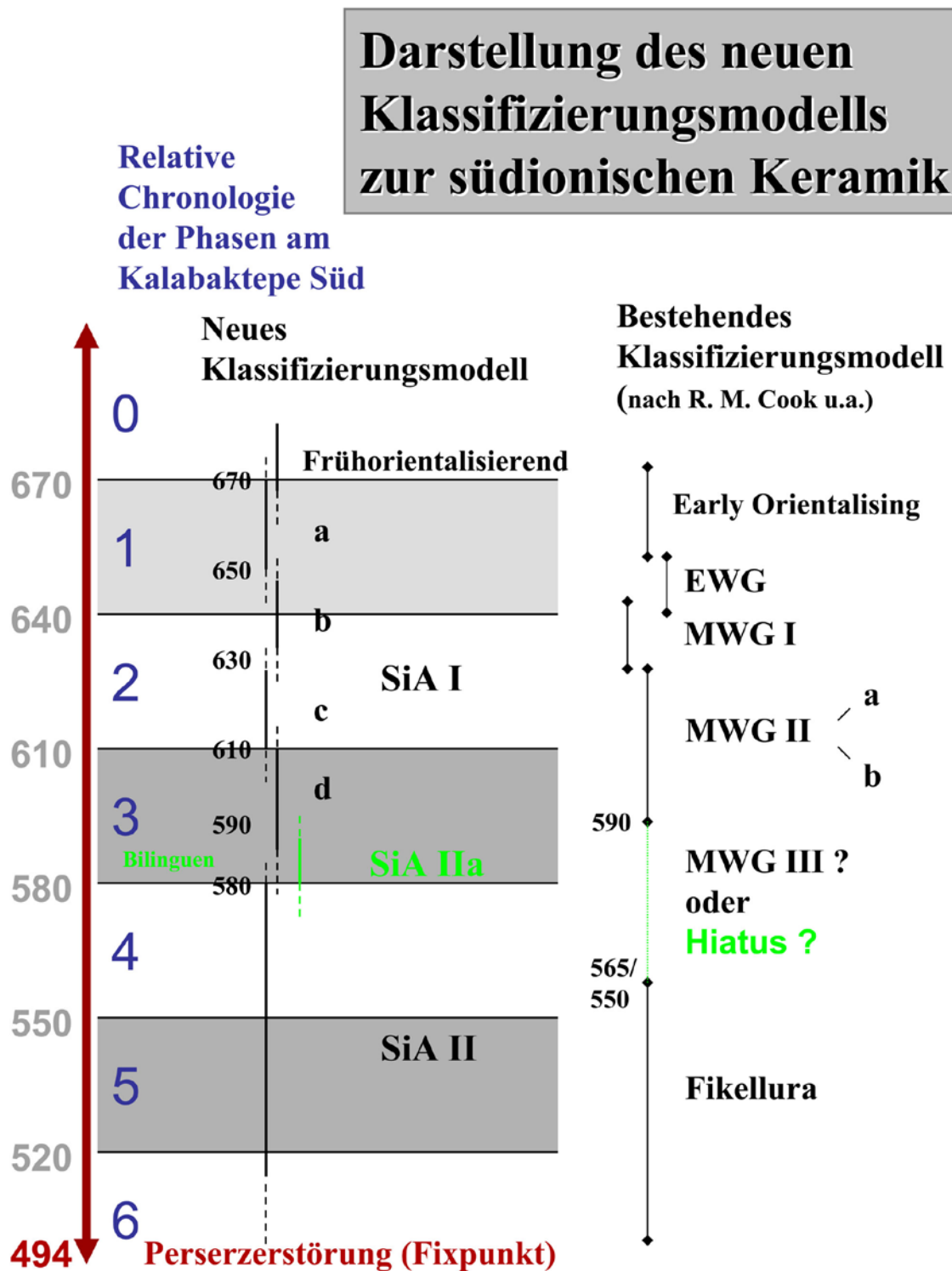


Abb. 1: Neues Klassifizierungsmodell nach Kerschner – Schlotzhauer 2005 und 2007

2. Grundsätzliches zum Aufbau der Knickrandskyphoi und -schalen

Im Folgenden sind einige grundsätzliche Probleme zur Formbestimmung der KRSSk und KRS zu erläutern. Die Bearbeitung von Grabungsfunden bringt es mit sich, daß das zu bearbeitende Material in fragmentiertem bis stark fragmentiertem Zustand angetroffen wird. Es stellt sich somit das Problem, von Fragmenten ausgehend auf die Gesamtform rückschließen zu müssen. Welche Möglichkeiten zur Klärung der Gesamtform aber lassen Fragmente – und bis zu welcher Größe – überhaupt zu?

Nicht jeder Bereich eines Gefäßes weist spezifische Merkmale nur einer Formgruppe oder -gattung auf⁹. Daher sind die Chancen zur korrekten Differenzierung der Form oder der Bestimmung der Gattung abhängig von Fragmentgröße, Erhaltungszustand und Bereich des Gefäßes, von dem das Fragment stammt. Technische und funktionale Fragen¹⁰, die ebenfalls mit der Fragmentbeschaffenheit zusammenhängen, werden in diesem Zusammenhang nicht erörtert, da sie für die Gesamtdarstellung dieser Arbeit nicht von Relevanz sind.

Im Weiteren wird die Terminologie in aller gebotenen Kürze diskutiert, und anhand von Beispielen werden die in dieser Arbeit verwendeten Benennungen der Grundformen und Teile exemplarisch veranschaulicht.

2.1 *Allgemeine Probleme bei der Bestimmung von Fragmenten*

Anders als es Exponate in Museen allgemein nahelegen, werden im Verlauf von Feldforschungen, seien es Surveys oder Ausgrabungen, in der Regel 'lediglich' Fragmente keramischer Gefäße angetroffen. Soweit sich in diesen Fällen sog. signifikante Fragmente, etwa Gefäßränder oder -füße, und zudem ein nicht geringer Teil des Gefäßkörpers erhalten haben, scheint ihre Bestimmung verlässlich. Doch der gleiche Grundaufbau eines Gefäßes kann gleichwohl für die Erzeugung verschiedener in der archäologischen Forschung getrennter Gattungen genutzt worden sein. Die moderne Trennung in wissenschaftliche Formgruppen ist vom antiken Hersteller und Nutzer sicher nicht in gleicher Weise geteilt worden¹¹. Wenn also im Folgenden auch Fragmente aufgenommen worden sind, deren Henkel, Füße und teilweise auch Becken entweder nicht gefunden wurden oder nicht angepaßt werden konnten, dann ist stets die Möglichkeit in Rechnung zu stellen, daß es sich gleichwohl um eine andere Gesamtform handeln könnte. Im Folgenden seien einige Möglichkeiten und Probleme an Beispielen aufgezeigt.

⁹ Allgemein zur Relevanz der Formen griechischer Keramik und den immanenten Möglichkeiten zur chronologischen, landschaftlichen, funktionalen oder ästhetischen Bestimmung s. etwa W. Schiering, Griechische Tongefäße. Gestalt, Bestimmung und Formenwandel (1967); auf diesen Zusammenhang gehen zudem, allerdings nur sehr knapp ein: I. Scheibler, Griechische Töpferkunst. Herstellung, Handel und Gebrauch der antiken Tongefäße (1983) 14 mit Anm. 6; B. Sparkes, Greek Pottery. An Introduction (1991) 28–29; 60–61; 71–79.

¹⁰ Z. B. scharfkantige oder abgerundete Kanten des Fragmentes, die etwa Auskunft über mögliche Umlagerungen oder Lagerungsbedingungen geben.

¹¹ Vgl. etwa Sparkes a. O. 65.

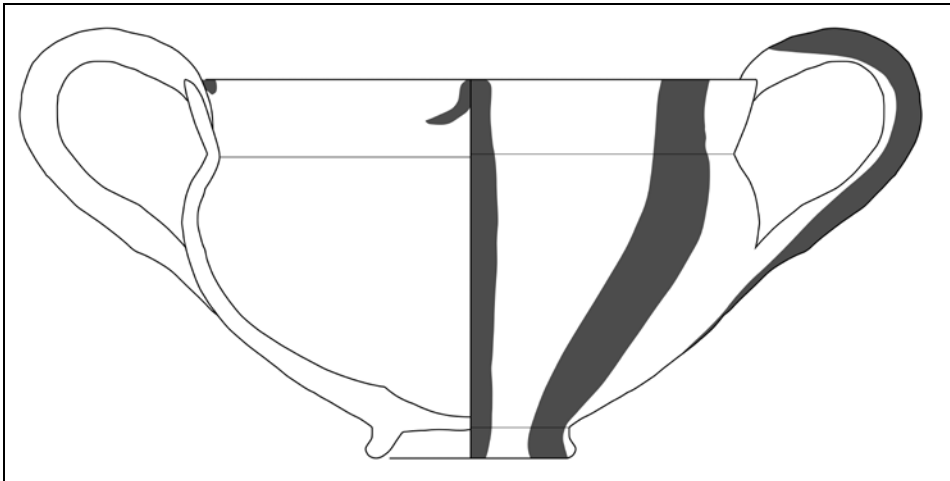


Abb. 2: Kantharos, Samos (Hera-Heiligtum K 5742), zweites Viertel des 7. Jhs. v. Chr.

Verwechslungen mit Gefäßformen, die über den gleichen Randaufbau verfügen, können bei Kantharoi (Abb. 2–3), Tassen (Abb. 4)¹² oder henkellosen Schalen vorkommen. Doch haben sich bisher von den aufgeführten Gattungen unter der Vielzahl der milesischen Funde im Gegensatz zu den KRS nur äußerst wenige vollständige Stücke gefunden, so daß ihre Gesamtzahl eher niedrig zu schätzen ist. Es kann also mit einer gewissen Berechtigung zunächst davon ausgegangen werden, daß die meisten der in dieser Arbeit angesprochenen

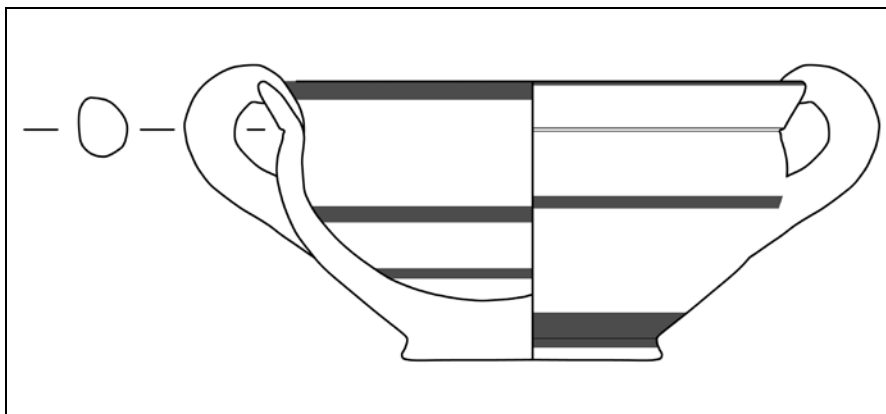


Abb. 3: Kantharos, Milet (Stadtmauergrabung SM 97.12.147), Perserschutt

Fragmente wahrscheinlich tatsächlich KRS sind. Unter den genannten andersartigen Trinkgefäßen mit ähnlicher oder gleicher Randbildung vertreten Tassen sicher die größte Gruppe. Die Randformen verschiedener südionischer Tassentypen (Abb. 4) gleichen denen einiger Varianten des Typus 10 des hier vorgestellten neuen Klassifizierungsmodells milesisch/südionischer KRS. Doch läßt sich die Unsicherheit, die sich aufgrund der Formübereinstimmung von Rändern verschiedener Formgattungen ergibt, wiederum für den gegenseitigen Abgleich der Datierung dieser Gattungen nutzbar machen. Denn die Formgesetze der Zeit gelten für alle Gattungen, die dieselbe Grundform mit den gleichen Charakteristika aufweisen. So hat ein Töpfer, der eine KRS des Typus 10 geformt hat, sicher auch eine Tasse oder einen Kantharos auf seiner

¹² Furtwängler 1980, 223 Abb. 22, IV/5. Tasse aus dem Südtemenos, Planquadrat O 13/ O 14; nach der Fundlage zur Phase II oder IV gehörig.

Drehscheibe hochgezogen und lediglich einen anderen Fuß, andere Henkel oder verschiedene Ränder angesetzt.

Besonders deutlich wird die beschriebene Problematik, wenn weniger signifikante Scherben herangezogen werden, wie es im Verlauf dieser Untersuchungen etwa häufiger im Fall der bemalten Schalen geschehen ist. Ein Wandfragment ohne erhaltenen Ansatz von Rand, Henkel oder Fuß läßt entsprechend immer nur die Aussage zu, daß es sich mit hoher Wahrscheinlichkeit um eine KRS handeln könnte. Dies gilt deshalb, weil die Form der KRS im Produktionszentrum Milet die beheimatete und unter den Randstücken bemalter Schalen die am häufigsten nachgewiesene Formgruppe darstellt. Doch zeigen vereinzelt bekannt gemachte wie auch unpublizierte Beispiele aus Milet selbst, daß zudem die Grundform der nordionischen Kalottenschalen von den milesischen Gefäßmalern für die Verzierung mit milesischem Fikellurastil (MileA II) verwendet wurde, was beispielsweise eine südionische Kalottenschale aus Al Mina deutlich macht¹³. Darüber hinaus variieren die Wandstärken der südionischen KRS in einem Maß, daß auch Überschneidungen etwa mit Schüsseln nicht ausgeschlossen werden können. Im Fall des Typus 12 ('schüsselartige' KRS) und Typus 13 ('kraterartige' KRS) ist die Überschneidung bereits in ihre begriffliche Definition eingeflossen.

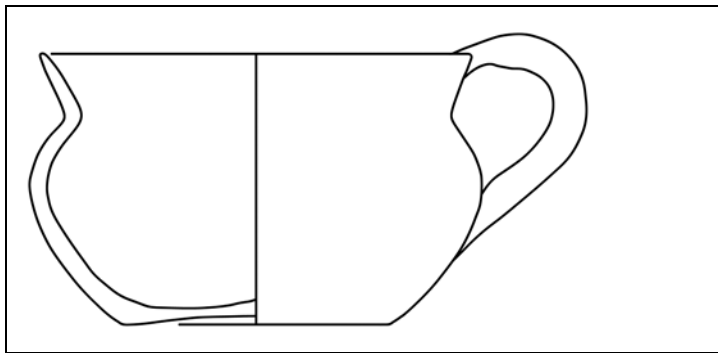


Abb. 4: Tasse, Samos (Hera-Heiligtum IV/5), letztes Drittel des 7. oder erste Hälfte des 6. Jhs. v. Chr.

Selbst ein erhaltener Fuß mit einem Teil des Beckens kann keine Klarheit über die Gesamtform vermitteln. Es sei denn, daß sich eine bestimmte Fußform ausschließlich mit einer bestimmten Gesamtform verbinden läßt, wie dies am ehesten für den Typus 8.B mit seinen niedrigen geschweiften Füßen (Abb. 5) oder für die Scheibenfüße der Vogelschalen anzunehmen ist¹⁴. Daher kann von einer allgemeingültigen Fußform der milesischen bzw. der südionischen KRS nicht die Rede sein. Zudem ist von einem Fuß (etwa einem Standring ohne einen hinreichend großen Bereich des Gefäßbeckens) in der Regel nicht sicher auf die Gesamtform zurückzuschließen. Wenn nicht ein glücklicher Fundumstand die Scherben eines Gefäßes zusammenführen läßt, ist die Verbindung ihrer Einzelteile bei einer Scherbenanzahl, wie sie in den Grabungen der milesischen 'Südstadt' vorliegen, und der Streuung der Scherben, die durch spätere Umlagerungen erfolgte, besonders im Fall der einfach dekorierten Gefäße, die in die Millionen gehen, nahezu unmöglich. Eine solche Zusammenführung von Fragmenten ist am ehesten noch da zu erwarten, wo ausgefallene Motive oder Malereien vorliegen. Denn bei ihnen ist zum einen die Gefahr, daß Teile aussortiert wurden, sehr gering, zum

¹³ Robertson 1940, 12 f. Abb. 6 Taf. 1, m-n.

¹⁴ Doch zuletzt fand sich auch hier eine Ausnahme unter den milesischen KRS des Typus 6.B, vgl. 132 (mit dem für eine KRS exzeptionellen Scheibenfuß).

anderen ist der Wiedererkennungseffekt von signifikanten Stil-, Werkstatt- oder Künstlereigenschaften selbst aus weit auseinanderliegenden Befunden gegeben.

Auf Gefäßfüße und Fußfragmente wird daher aus den oben genannten Gründen in dieser Arbeit wenig eingegangen und eine Klassifizierung nicht angestrebt. Die Gefäßfüße, die ohne Beziehung zur Gesamtform des Gefäßes gefunden wurden – und das gilt für die bei weitem überwiegende Anzahl der Funde –, können in der Regel nicht sicher KRS zugewiesen werden. Standringe von kleinen Schüsseln, Tellern oder Kalottenschalen beispielsweise sind mitunter mit denen von KRS identisch. Diesen sollte daher eine eigene typologische und chronologische Untersuchung gewidmet werden. Gleichwohl bietet diese Arbeit bereits einen ersten Anhaltspunkt, indem hier vermutete oder sicher zu bestimmende Schalenfüße aus den vorgestellten Phasen der Siedlungsschichten mitberücksichtigt sind (vgl. die Kapitel zu den einzelnen Phasen).



Abb. 5: Füße von KRS des Typus 8, Milet (Kalabaktepe K 92.414.1; K 89.430.9; K 89.491.12; K 91.224.12), 650/40–600/590 v. Chr.

Zusammenfassend läßt sich festhalten, daß weder Fuß-, noch Schalenbecken- oder Henkelfragmente sichere Aussagen zur Gattung zulassen. Einzig Randfragmente versprechen eine relativ sichere Zuordnung zur Schalengattung. Nur sie besitzen die charakteristische Gestalt, die bis auf die wenigen Überschneidungen mit den genannten Trinkgefäßen einzig auf die Gattung der südionischen KRS zutrifft. Daher sind es die Randfragmente, die in dieser Gattungsmonographie behandelt werden und zudem aufgrund ihrer Formentwicklung ein so differenziertes Bild ergaben, daß eine formgeschichtliche Untersuchung überhaupt möglich wurde¹⁵. Die Fußfragmente, die neben den Randfragmenten als sog. signifikante Gefäßteile zu gelten haben und eine ähnlich differenzierte Formentwicklung aufweisen, sind aufgrund der wesentlich größeren Unsicherheit hinsichtlich ihrer Bestimmbarkeit der Gesamtform von geringerer Bedeutung¹⁶.

¹⁵ Eine solche Untersuchung aus einem der vermuteten Herstellungsorte ist bereits mehrfach gefordert, aber bisher nicht umgesetzt worden, vgl. Kopcke 1968, 257; Samos 4, 93.

¹⁶ Daher eignet sich auch der häufig verwendete Begriff 'Ringfußschale' für die Gattung nicht, vgl. die Verwendung des Terminus etwa bei Isler in Samos 4, 93–94 (er differenziert zwar mittels verschiedener Termini unterschiedliche Typen der KRS, erläutert diese aber in der Regel nicht näher). Denn streng genommen sind typengleiche Ringfüße (in dieser Studie auch als Standring bezeichnet) in allen Formen und Größen von den Töpfen auch für Kalottenschalen, Teller, Schüsseln und Tassen usw. verwendet worden. Da sie in einem separaten Arbeitsschritt gefertigt wurden und an das

2.2 Form und Formaufbau der Knickrandskyphoi und –schalen

Eine Trennung der beiden Grundformen, die zugleich auch eine chronologische ist und in etwa mit dem Epochenwechsel von der geometrischen zur archaischen Zeit zusammenfällt, soll hier kurz vorgestellt werden. Außerdem ist mit diesem Abschnitt die Darstellung einer verbindlichen Benennung zu den Gefäßteilen intendiert.

2.2.1 Der Knickrandskyphos

Die Entwicklung der archaischen KRS in Südionien knüpft an die geometrischen Skyphoi dieser Region an, die sich ihrerseits wohl an attischen Vorbildern orientierten¹⁷. Die frühesten Beispiele sind südionische Skyphoi auf flachen Standflächen oder Böden, die leicht gewölbte und vorkragende Standplatten aufweisen (Abb. 6). Darauf sitzt ein 'geblähter', fast 'kugeliger', tiefer Körper auf. Die horizontal angebrachten Henkel sind 'stämmig' und breit angelegt. Bezeichnend für die geometrische Zeitstellung ist die steil aufgestellte Ausrichtung dieser Henkel. Charakteristisch für die Gefäße ist vor allem der klar akzentuierte, abgesetzte Rand. Er ist der namensgebende Gefäßbereich für die Folgeentwicklung in archaischer Zeit, dem abgknickten Rand der KRS. Der Skyphosrand der geometrischen Zeit ist hingegen in einer geschwungenen Bewegung nach außen gebogen, nicht abgknickt. Dies ist das entwicklungsgeschichtliche Hauptmerkmal, das den Unterschied zwischen den Skyphoi und Schalen beschreibt. Ein weiterer ist in der Fußgestaltung zu erkennen.

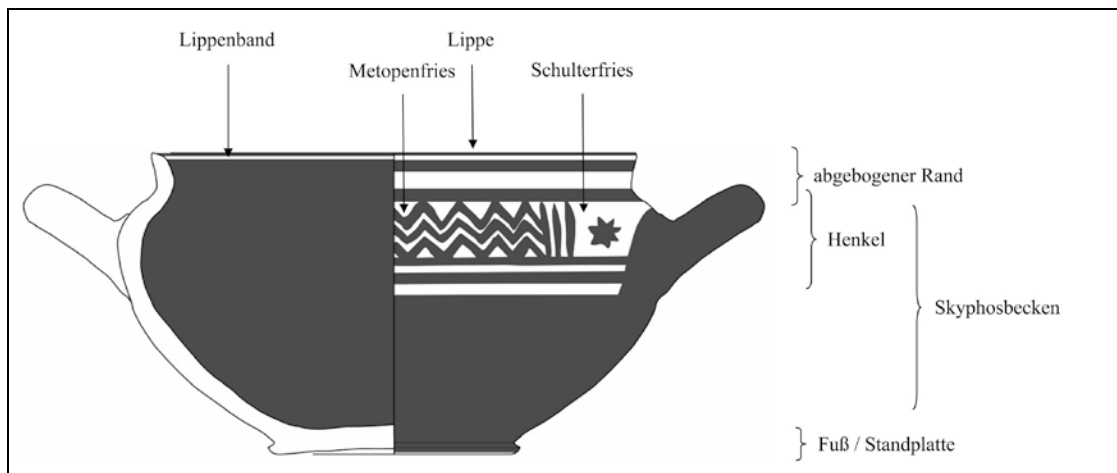


Abb. 6: Aufbau des KRSk

Als Schale können nur solche Trinkgefäße bezeichnet werden, die über einen Fuß verfügen, der ihren Gefäßkörper vom Boden abhebt und zusammen mit dem Knick des Randes den Wechsel zur archaischen Schalenform deutlich macht. Doch werden in Übergangsphasen solcherlei Regeln selten strikt eingehalten. Es

Gefäß angesetzt wurden, konnten sie schon auf Vorrat produziert worden und somit nicht einmal von vornherein für diese oder jene Form verbindlich bestimmt gewesen sein.

¹⁷ Dies sahen so schon Coldstream 1967, 270; Graeve 1973/74, 85; die Genese in geometrischer Zeit wird die Studie von M. Krumme (Berlin) zur geometrischen Keramik von Milet sicher näher beleuchten; vgl. auch die Kapitel 6.3-5 (S. 287 ff.).

kann durchaus vorkommen, daß ein Skyphos mit gebogenem Rand bereits einen Standring (52–53), oder einer mit flachem Boden einen abgeknickten Rand aufweist (51)¹⁸.

2.2.2 Die Knickrandschalen

In archaischer Zeit wandelt sich die Form des Gefäßes. Nicht mehr geschwungene, biegsame Formen und eine schwere, lastende Erscheinung zeichnen die Gefäße der nachgeometrischen Epoche aus, sondern eine deutliche Zergliederung und Akzentuierung der Einzelformen, einhergehend mit dem Aufwachsen in eine gestreckte, leichte Erscheinung. Nun hebt ein Fuß, der viele Formvarianten annehmen kann, das Gefäß vom Boden ab (Abb. 7). Einzelne Teile des Gefäßes werden voneinander durch scharfes Umknicken markiert. Auch die Henkel unterscheiden sich von denen der geometrischen Skyphoi. Im Laufe der Entwicklung werden sie zu dünnen Stabhenkeln, deren Ansätze am Gefäß immer weiter zusammenrücken. Außerdem ist ihre Ausrichtung am Gefäß nicht mehr nach oben gewinkelt, sondern sie nähern sich fortschreitend einer waagerechten Ausrichtung an. In der zweiten Hälfte des 6. Jhs. v. Chr. sind sie dann in der Regel waagrecht ausgerichtet. Gleichzeitig macht sich mitunter eine Gegenbewegung bemerkbar.

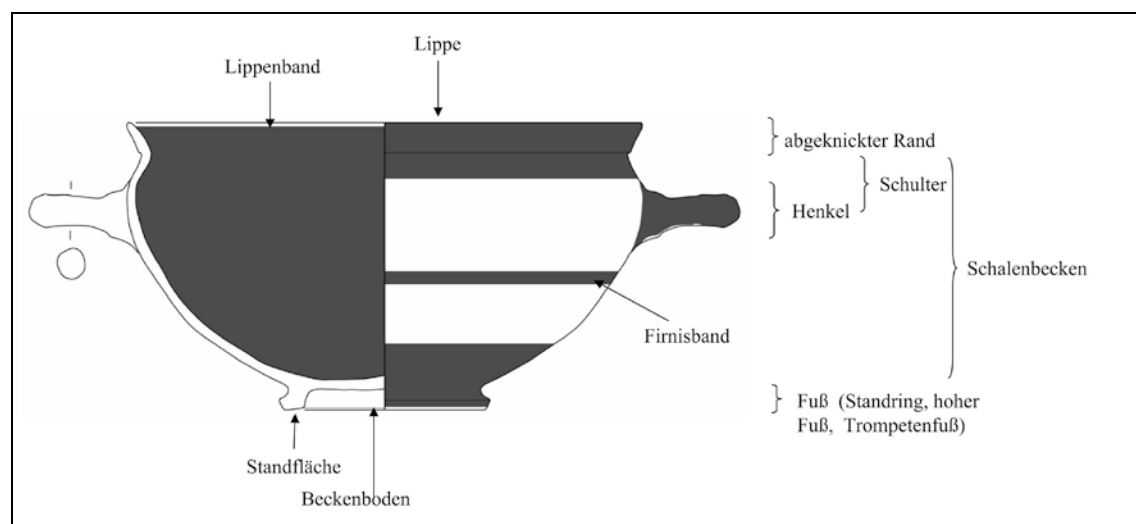


Abb. 7: Aufbau der KRS

¹⁸ Strenge evolutionäre Entwicklungen sind Modelle, die den realen Verhältnissen in antiken Töpferzentren nicht gerecht werden, vgl. hierzu schon Isler in Samos IV, 92 f..

3 Forschungsgeschichte

Die in dieser Arbeit als *Knickrandschalen* (KRS) bezeichneten Trinkgefäße sind in der Literatur unter dem Begriff 'Ionische Schale' geläufig¹⁹. Wissenschaftsgeschichtlich verfestigte sich der Terminus um die Wende zum 20. Jahrhundert, als eine Überlegenheit der ionischen Kunst propagiert wurde²⁰. In dieser Zeit nahm man für diese spezifischen Schalen mit einfachem Dekor einen ostionischen Ursprung sowie eine Entwicklung in den Keramikzentren an der kleinasiatischen Küste und auf den unmittelbar gegenüberliegenden Inseln an²¹.

Zahlreiche Funde auf Rhodos, die durch A. Biliotti und A. Salzmann seit 1859 bekannt gemacht wurden, führten dazu, ostionische Keramik allgemein als »rhodisch« zu bezeichnen²². Vor allem A. Furtwängler und G. Loeschke tasteten sich bereits im letzten Viertel des 19. Jahrhunderts an eine Gliederung des Malereistils und der keramischen Produktionspalette der ostgriechischen Landschaften heran²³. Bereits 1888 erschien ein

¹⁹ Der Terminus 'Ionische Schale' fand in der Folge die weiteste Verbreitung, in der englischsprachigen Literatur wurde er als 'Ionian cup' bezeichnet (vgl. Cook 1998, 129 ff.), in der italienischen als 'coppa Ionica' (s. Boldrini 1994, 137 ff.), in der französischen als 'coupes ioniennes' (s. Villard – Vallet 1955, 14 ff.), in der spanischen als 'copa jonia' (vgl. Cabrera Bonet 1988/89, 59), in der türkischen 'Ionia kyliksi' (s. Y. Ersoy, Clazomenae: the Archaic Settlement (1996) 380 ff. Kat.-Nr. 518–524 Taf. 23. 51. 77. 81) und in der griechischen Literatur als 'Ἴωνική κύλικα' (z. B. L. Marangou, Ἐργασίες στερέωσης, συντήρησης καὶ μελέτης ἀνασκαφῆς Μινωασ Αμοργου, Prakt 1996, Taf. 143 β–γ). Statt Schale wird mitunter auch der Terminus Kylix auf die Gattung angewandt (vgl. etwa Price 1924, 182 f. oder die türkische und griechische Bezeichnung s. o.), der aus der Antike überliefert ist, aber auf mehrere Trinkgefäßformen bezogen war (vgl. die kritische Stellungnahme zum Begriff: F. Brommer, Kylix, AA 1967, 546 oder die Sammlung des Terminus Κύλιξ [auch ἑσλικα, ἑσλιχῶ] als Dipinti und Graffiti, der mit verschiedenen Schalen aus verschiedenen Landschaften und Produktionsorten verbunden ist: Sparkes – Talcott 1970, 5 ff., bes. 5 und 8 sowie 9, wo Κύλιξ als Dipinto auf einem chiotischen Kelch und Κυλίχνη auf einer Schale vom Typus Kalottenschale ['Vogelschalentypus'] sowie ein Skyphosfragment aus Keos als Κυλικά aufgeführt sind). Kylix sollte daher als Gattungsbegriff für den hier definierten Schalentypus KRS vermieden werden. Obgleich er auf einigen der hier behandelten Schalen aus Milet in Inschriften aufgebracht worden ist (vgl. etwa **440**; s. zu dieser auch den epigraphischen Kommentar von N. Ehrhardt in: Schlotzhauer 2007, 287 ff.). Schon 1886 publizierte W. M. Flinders Petrie diese Gattung, die er in seiner Klassifizierung unter L1–L2, V und die – wie wir heute wissen – ostdorische Variante als X aufnahm, unter dem Begriff »kylix« (s. Naukratis 1, 20 f.). Vielleicht war auch er durch Inschriften auf diesem Schalentypus angeregt worden. vgl. etwa die Inschrift]θεμιος ημι κ[ύλιξ auf einer sog. Knidischen KRS: A. Möller, Naukratis. Trade in Archaic Greece (2000) 257 k 2 (zu den Knidischen KRS s. Schlotzhauer 2012, 59 f. 65 f. 160 ff.).

²⁰ Vgl. etwa A. Rumpf, Malerei, HdArch IV 1 (1953) 9; Cook 1972, 310; diese Tendenz läßt sich beispielsweise im Aufsatz von J. Boehlau, Die Jonischen Augenschalen, AM 25, 1900, 40 ff. allgegenwärtig nachempfinden.

²¹ Inzwischen sollte aber eher davon ausgegangen werden, daß zumindest für die 'Ionischen Schalen' ab dem Ende des 7. Jhs. v. Chr. parallele Entwicklungen in vielen griechischen Regionen existierten. Sicher waren die gegenseitigen Beeinflussungen stets gegeben, ohne daß sich in jedem Fall die Richtung der Beeinflussung eindeutig klären läßt. Für die Entwicklung der in Frage stehenden Schalenform vgl. etwa die knappe, fokussierte Diskussion sowie die übersichtliche Darstellung in einer mitgegebenen Tabelle bei R. M. V. Catling – D. G. J. Shipley, Messapian Zeus: An Early Sixth-Century Inscribed Cup from Lakonia, BSA 84, 1989, 188 ff. 199 Taf. 1.

²² Zur allgemeinen Entwicklung der Vasenforschung siehe z. B. Cook 1997, 275 ff. – Zu den Veränderungen in der Vasenforschung in Folge der 1870 begonnenen Ausgrabungen in Kleinasien s. auch: W. Schiering in: U. Hausmann (Hrsg.), Allgemeine Grundlagen der Archäologie, HdArch 6 (1969) 66; Rumpf a. O. 8 f. – Zur Erforschung der ostgriechischen Keramik ('East Greek') vgl. bes. Cook 1997, 295 ff.

²³ Z. B. Cook 1997, 296 f. Der von Cook charakterisierte Stand der Forschungsgeschichte in den 1880er Jahren läßt sich beispielsweise leicht ablesen an der Gliederung bei A. Furtwängler, Erwerbungen der Königlichen Museen zu Berlin im Jahre 1885, II. Antiquarium, JdI 1, 1886, 137 ff. Noch 1885 ordnete Furtwängler eine schwarz gefirnißte KRS des ostdorischen Typus 'Ionische Schale', inzwischen als sog. Vroulia-Schale klassifiziert (vgl. hier die Kat.-Nr. **49–50**; A. Furtwängler, Beschreibungen der Vasensammlung im Antiquarium (1885) 143 Kat.-Nr. 2960 mit Abb.) der »Altrhodischen Gattung« zu, während er in dieser auch sowohl sog. chiotische Kelche (Furtwängler a. O. 201 Kat.-Nr. 1646 = Kunisch CVA Berlin (4) 35 f. Taf. 171, 2) als auch lakonische KRS (Furtwängler a. O. 201 Kat.-Nr. 1647 = Kunisch a. O. 51 Taf. 181, 1–3) zusammenfaßte.

Aufsatz von P. Herrmann²⁴, der eine KRS des Typus 'Ionische Schale' mit Myrtenbanddekoration auf dem äußeren Rand publizierte²⁵. Herrmann berief sich auf eine Mitteilung von Furtwängler, der drei bzw. zwei Jahre nach der Veröffentlichung der Berliner Vasensammlungs-Kataloge²⁶ die Schale aus Zypern nicht mehr wie zuvor üblich als »rhodisch«, sondern als »kleinasiatisch-ionisches« Fabrikat bezeichnete²⁷. In der Folgezeit verfestigte J. Böhlau den Begriff 'ionisch'²⁸ für ostionische Keramikprodukte²⁹. Er folgte den Ideen Löschkes, indem er große Teile der 'rhodischen' Keramik den ostionischen Landschaften und Poleis zuschrieb³⁰. Vor allem Milet wurde von ihm nun als Hauptzentrum des sog. rhodischen Stils (= Tierfriesstil) in Betracht gezogen³¹, dagegen sei der Fikellurastil auf Samos beheimatet³². Die KRS beschrieb er von den Funden aus Samos ausgehend als Fabrikate, die in dieser Region beheimatet seien³³. Erstmal finden wir den

Die Suche nach einer Gliederung der Stile und Warengruppen ist ein bis heute nicht abgeschlossener Prozeß, auf dessen bisherigem Weg die unterschiedlichsten Methoden eingesetzt wurden (s. hierzu auch schon ausführlich M. Kerschner in: Akurgal u. a. 2002, 28 ff.). Man vergleiche nur etwa die programmatischen Titel von E. Langlotz, *Frueh-griechische Bildhauerschulen* (1927) 8 ff., oder in den 1960er und 70er Jahren von Walter und Walter-Karydi (»Frühe samische Gefäße. Chronologie und Landschaftsstile ostgriechischer Gefäße« oder »Samische Gefäße des 6. Jahrhunderts v. Chr. Landschaftsstile ostgriechischer Gefäße«). Neben dem 'Stilempfinden' traten aber auch stets Versuche, Landschaften, Regionen oder Herstellungszentren durch Einteilung in Warengruppen zu unterscheiden (s. etwa U. Wintermeyer, *Die hellenistische und frühkaiserzeitliche Gebrauchskeramik*, *Didyma III 2* [2004] 7 ff.; T. Schattner, 2. Die Fundkeramik, in: K Tuchelt u. a., *Ein Kultbezirk an der Heiligen Straße von Milet nach Didyma*, *Didyma III 1* [1996] 165 ff.), was schon im 19. und frühen 20. Jahrhundert durchaus praktiziert wurde (vgl. etwa Naukratis 1, 17 »The following is a classification of the varieties of it [s.c. Greek pottery] [...], judging more by the material than by design.« oder Eilmann 1933, 47 ff.), bis hin zum Einsatz von naturwissenschaftlichen Methoden zur Herkunftsbestimmung (Dupont 1983; Jones 1986; Mommsen 1986, 98 f.; J. Riederer, *Archäologie und Chemie* (1986) 40; Mommsen und Kerschner in: Akurgal u. a. 2002, 11 ff.; 34 ff.). Dabei ist die Einteilung in Kunstlandschaften oder Kunstregionen zum Teil soweit betrieben worden, daß historisch kaum mehr nachzuvollziehende Trennungen in Nord- und Südionien oder Abtrennungen wie Chios von Nordionien entstanden sind.

²⁴ P. Herrmann, *Das Gräberfeld von Marion auf Cypern*, *BWPr* 48 (1888) 17 f. Abb. 8.

²⁵ Die Form entspricht dem Typus 9,1–3.C, wie die im Katalog aufgenommenen Stücke **591–593**.

²⁶ Furtwängler a. O. (1885); Furtwängler a. O. (1886) (s. Anm. 5).

²⁷ Herrmann a. O. 18

²⁸ A. Rumpf, *JdI* 48,1933, 57 Anm. 18 gibt eine Definition: »Unter 'ionisch' verstehe ich hier nach dem allgemeinen archäologischen Sprachgebrauch 'kleinasiatisch-griechisch' ...«.

²⁹ Boehlau 1898, 133–136 führt unter dem Kapitel »Ionisches« auch eine Schale der Gattung in Samos an, wie Herrmann sie ein Jahrzehnt zuvor aus Zypern publiziert hat (Boehlau 1898, 135 Taf. 10, 1). In diesen 'ionischen' Zusammenhang führt er auch die formähnlichen KRS mit plastischen Applikationen (Boehlau nennt sie Attache) in der Henkelzone ein, die zuvor in großem Typenreichtum vor allem aus Naukratis (Naukratis 1, Taf. 13, 1; vgl. Schlotzhauer 2012, 112 f. Nau 71 Taf. 15, h–i mit der Auflistung der inzwischen identifizierten Vertreter dieser außergewöhnlichen Gruppe), aber etwa auch aus Rhodos (Samos VI 1, Taf. 42, 346, heute in München) bekannt geworden waren (Boehlau 1898, 135), später sollten sie zudem für Samos nicht selten belegt werden (s. etwa Samos VI 1, Taf. 37; 42). Bereits in den Grabungen Boehlaus auf Samos hat sich eine plastische Verzierung einer solchen Schale gefunden, allerdings sind gerade aus Samos auch andere Gefäßformen gleichen Fabrikats bekannt geworden (Samos VI 1, Taf. 37, 289); vgl. jetzt auch KRS mit Applikation aus Milet **611–612**. Für »ionisch« hält er dann aber die übrigen Schalen mit abgeknickten, bzw. abgesetzten Rand, aber auch solche, die den attischen Randschalen (wie **614**) nahestehen, und für samisch die Fikellura-Schälchen mit flachem Standring (wie **487**) (Boehlau 1898, 150 mit Taf. 8, 20–24; 9, 9).

³⁰ Boehlau 1898, 75 »Die rhodische Keramik (...) deren Heimat zu bestimmen, hat Löschcke den richtigen Weg gefunden, der mir erlaubt hat, seine Vermutungen zu veröffentlichen«.

³¹ Ebenda 75 f.; er bezeichnet mit »rhodischem Stil« den Tierfriesstil, den er auch milesischen Stil nennt, ebenda 76–77.

³² Ebenda 52–73. 76.

³³ Ebenda 135. 150 (vgl. Anm. 29). Allerdings ist die Chronologie und die allgemeine Entwicklung der spezifischen Schalenform um 1900 bei Boehlau noch recht vereinfacht, so hält er sie – wie auch andere Forscher in dieser Periode – für eine auf dem griechischen Festland entstandene Entwicklung und benutzt eine Terminologie, die die Grundform als »korinthische Schale« bezeichnet, die dann beispielsweise in Ionien weiterentwickelt wird; gleichzeitig ist auch der Begriff »Napf« als Synonym verwendet (J. Boehlau, *Die Ionischen Augenschalen*, *AM* 25,1900, 65 ff. mit Abb. 27 »Neben dem Skyphos und der φιάλη benutzt man einen Napf tiefen, gewölbten Körpers, mit absetzender, steiler Lippe, zwei waagerechte Henkel und einem niedrigen, teils echinusförmigen teils konischen Fusse: die sog. korinthische

Begriff 'Ionische Schale' 1903 bei H. Dragendorff, der eine eigene Definition gibt, aber für die Herkunft und Entwicklung J. Böhlau zitierte³⁴. E. Pfuhl verwendet 'Ionische Schale' bereits als feststehenden Begriff, der nicht mehr eigens erklärt werden muß: »Ionische Schalen der von Dragendorff Thera II 217 f. besprochenen Art ...«³⁵. In der Literatur fand der Begriff 'Ionische Schale' nun seinen Niederschlag bei K. F. Kinch 1914³⁶, W. Technau 1929³⁷, E. Kunze 1934³⁸ und M. F. Lambrino 1938³⁹.

Der erste Versuch einer Typologie der KRS führte zurück zu den Anfängen der Ausgrabungen in Naukratis, dem griechischen *emporion* am kanopischen Nilarm. W. M. Flinders Petrie, archäologischer Pionier in mehrfacher Hinsicht, hatte sich als einer der ersten Ausgräber zur kontextbezogenen Ausgrabungsmethode bekannt⁴⁰. Nicht nur in theoretischen Abhandlungen, sondern in praktischer Ausübung führte er erfolgreiche und wegweisende Ausgrabungen vor allem in Ägypten durch⁴¹. Beachtenswert waren besonders seine methodischen Neuerungen, die auch auf die klassische Archäologie der Mittelmeerländer nicht ohne Wirkung blieben⁴². So ist es bezeichnend, daß er sich in seiner Publikation der ersten Grabungskampagne in Naukratis vom Winter 1884/1885 ebenfalls den kleineren und wenig spektakulären Funden widmete. Mit der gleichen Intensität und dem gleichen Erkenntnisinteresse wie den übrigen Funden gegenüber beschäftigte er sich folglich auch mit der Keramik. Flinders Petrie klassifizierte erstmals die gesamte Fundkeramik, auch die vollständig undekorierte, nach Waren, Formen und Dekoren. Bereits 1886 erschienen, beinhaltete die Publikation »Naukratis 1« neben der ersten stratigraphischen Einbindung der KRS eine Typologie von drei Haupttypen und zwei Untergruppen⁴³. Diese Pionierleistung einer Einteilung und chronologischen Einordnung der südionischen KRS blieb auf längere Sicht ohne Nachfolge. Erst Lambrino erstellte gut ein halbes Jahrhundert später von den Funden in der milesischen Schwarzmeerkolonie Histria ausgehend ein neues Ordnungsschema der Gattung⁴⁴. Sie schied die histrianischen »Coupes Ioniennes« in die zwei

Schale. [...] Lange haben auch die kleinasiatischen Griechen keine andere Schalenform besessen als eben diesen korinthischen Napf.«.)

³⁴ Thera 2, 217 f. mit Anm. 179.

³⁵ E. Pfuhl, Der archaische Friedhof am Stadtberg von Thera, AM 28, 1903, 177 Taf. 23,1.

³⁶ Kinch 1914, 144: »M. D. (sc. Dragendorff) et d'autres appellent ces coups 'ioniennes'«.

³⁷ Technau 1929, 34: »... der bekannte ionische Schalentypus ...«.

³⁸ Kunze 1934, 89: »... die im ganzen Osten verbreiteten 'Ionische Schalen' ...«.

³⁹ Lambrino 1938, 81 ff. Sie unterscheidet bereits terminologisch Vogelschalen ohne abgesetzten Rand als »Bols Ioniens« (ebenda 37 ff.) und die mit abgeknicktem Rand, die sie »Coupes Ioniennes« nennt.

⁴⁰ Vgl. z. B. S. v. Schnurbein in: A. H. Borbein – T. Hölscher – P. Zanker (Hrsg.), Klassische Archäologie (2000) 25; F. G. Maier, Von Winckelmann zu Schliemann – Archäologie als Eroberungswissenschaft des 19. Jahrhunderts (1992) 20 ff.; T. Wiegand in: HdArch 1, 1 (1939) 86, 114 und besonders im Kapitel 'Methode der wissenschaftlichen Ausgrabung' (ebenda 103 f.) setzt er sich auffällig häufig mit den Gedanken Flinders Petries auseinander.

⁴¹ W. M. Flinders Petrie, Ten Years' Digging in Egypt (1892) 156 ff.; ders., Methods and Aims of Archaeology (1904).

⁴² Zur Beurteilung Flinders Petries im Hinblick auf die methodischen Neuerungen vgl. M. Kerschner, Perspektiven der Keramikforschungen in Naukratis 75 Jahre nach Elinore Price in: U. Höckmann – D. Kreikenboom (Hrsg.), Naukratis. Die Beziehung zu Ostgriechenland, Ägypten und Zypern in archaischer Zeit, Akten der Table Ronde, Mainz 1999 (2001) 70.

⁴³ Naukratis 1, 18 ff.: Die Gruppen L¹; L²; V¹; V²; X¹. Zurecht wies Kerschner drauf hin, daß »die Klasse L (...), in der Petrie, offensichtlich verleitet durch die gemeinsame Gefäßform, südionische und lakonische KRS trotz unterschiedlichen Scherbentyps und Dekors zusammenfasst«, aus heutiger Sicht sehr heterogen erscheint und als eine gewisse Inkonsequenz seiner Methode von Warenbestimmung betrachtet werden kann. Aber die Zusammenstellung nach Gefäßformen war eben doch auch eine nicht gering zu erachtende Leistung, die deutlich macht, daß Petries Gliederung des Fundmaterials auf mehr als nur ein Kriterium beruhte. Welche Kriterien wann mehr Gewicht hatten, ist heute schwer nachzueupfinden.

⁴⁴ Lambrino a. O.

Hauptgruppen A und B⁴⁵. Doch erst den beiden französischen Wissenschaftlern F. Villard und F. Vallet gelang es 1955, eine allgemein akzeptierte Typologie der 'Ionischen Schalen' zu erstellen, die bis in die Gegenwart hinein wirkt⁴⁶. Es ist das wohl am häufigsten verwendete Klassifizierungssystem der Gattung. Der Erfolg beruht neben dem klaren und einfachen System auf dem Umstand, daß die Entwicklungsgeschichte der Schalengattung 'coupes ioniennes' durch Funde aus zwei zeitlich versetzt geschlossenen Kontexten gestützt werden konnte. Zwei archaische Brunnen in Megara Hyblaea, von denen der eine Material des 7. und der andere vornehmlich des 6. Jhs. v. Chr. enthielten, bildeten die Basis ihrer Untersuchung⁴⁷. Zudem stützten sie die daraus gewonnenen Erkenntnisse auf Grabfunde in Megara Hyblaea, Syrakus und Rhodos⁴⁸. Auch sie ordneten wie Lambrino die Schalen in zwei Hauptgruppen: Typus A mit zwei Varianten und Typus B mit drei Varianten⁴⁹. Im Folgejahr nahm G. M. A. Hanfmann⁵⁰ die ostgriechischen Funde in Tarsus zum Anlaß, eine Entwicklungsgeschichte der 'Ionischen Schale' beginnend mit dem 9. Jh. v. Chr. zu entwerfen. 300 Fragmente⁵¹ der Gattung, die ihm aus den Grabungen in Tarsus zur Verfügung standen, und eine Forschungsreise entlang der westkleinasiatischen Küste veranlaßten ihn, die 'Ionian cups' nun sogar in vier Haupttypen zu scheiden⁵². Sein hoher chronologischer Ansatz für die frühen Typen der 'Ionian cups', den er aus der tarsischen Chronologie erschloß, ist zurecht von J. Boardman⁵³ in Teilen entkräftet worden. Dies mag einer von sicher mehreren Gründen sein, die seinem Klassifizierungssystem allgemeine Akzeptanz verwehrten. Vielfältiges Fundmaterial aus den Grabungen im nordafrikanischen Tocra (Taucheira) bewog 1966 J. Hayes, erneut eine Klassifizierung der Gattung vorzunehmen, die sich durch eine wesentlich feinere Gliederung von den bisherigen Typologien unterschied⁵⁴. Er stellte elf Typen mit rhodischer Herkunft und drei, von denen er samischen Ursprung annahm, zusammen und unterteilte diese darüber hinaus in Varianten und Imitationen⁵⁵. Ein weiterer Versuch, eine Typologie zu den 'Ionian Cups' aufzustellen, unternahm G. Ploug⁵⁶ auf Grundlage von 250 Schalenfragmenten aus Tell Sukas. Sie ordnete die Fragmente der Grabung zehn Gruppen zu⁵⁷. Vermutlich haben Unschärfen der Gruppenbildung und ihre Chronologie, die sie zum wenigsten auf die Stratigraphie der eigenen Grabung stützte, dazu geführt, daß ihre Klassifikation

⁴⁵ Vgl. Tab. 1.

⁴⁶ Villard – Vallet 1955, 7 ff.; vgl. auch das nächste Kapitel.

⁴⁷ Ebenda 8.

⁴⁸ Z. B. ebenda 16 ff.

⁴⁹ Eine Tabelle zeigt dies übersichtlich, ebenda 29.

⁵⁰ Hanfmann 1956, 165 ff.

⁵¹ Ebenda 167.

⁵² Ebenda 163 ff.; dabei gelang ihm aber keine scharfe Trennung der Gattung. Indem ihm auch Derivate der Vogelschalen (Kalottenschalen vom Typus 'Reifenschale') und Teller auf hohem Fuß (was auch schon bei Lambrino zu beobachten war und bis in moderne Publikationen nachwirkt) in seine Gliederung der KRS gerieten, entstanden einige Unschärfen bei der Formbestimmung seiner Typen, vgl. ebenda, 177 Abb. 3 oder 170, wo er einen Teller unter seinem Typus III auführt = C. Dugas, *Délos* 17 (1935) Taf. 44,27. Dennoch waren – trotz eines zu hohen Ansatzes der frühen Typen – seine chronologischen Überlegungen zunächst wegweisend für die Gattung.

⁵³ J. Boardman, *JHS* 85, 1965, 5 ff. bes. 10 f., der aber nicht die gesamte Stratigraphie und Chronologie von Tarsus anzweifelt S. 12.

⁵⁴ Tocra 1, 111 ff.; Tocra 2, 55 f.; zu Hayes s. u.

⁵⁵ Tocra 1, 114. 124.

⁵⁶ Ploug 1973, 27 ff.; zu Ploug s. u. .

⁵⁷ Ebenda 28 ff.

weitestgehend unbeachtet bleibt⁵⁸. Dennoch findet sich hier ein grundsätzlich richtiger Ansatz zur Bearbeitung von Fundkeramik einer Grabung: nämlich zunächst eine Typologie für den auszuwertenden Ort selbst zu erstellen. Weitere kaum beachtete Klassifizierungssysteme der KRS finden sich in Tab. 1 (Abb. 8).

Es fällt auf, daß alle wesentlichen Versuche, Typologien zur KRS aufzustellen, von Importorten ausgingen⁵⁹. Dabei haben sich die Systeme, die für einen Ort aufgestellt wurden, für andere Orte oft als unbrauchbar oder nicht ausreichend erwiesen. Folglich mußten die Typologien ständig erweitert oder ersetzt werden⁶⁰. Auch das Zusammenfassen zweier oder mehrerer Typen bestehender Klassifizierungen zu einer Gruppe, wie es Ploug⁶¹ und andere Bearbeiter⁶² ostgriechischer Keramik an ihren Grabungsplätzen taten, zeigt die Unzulänglichkeiten der bestehenden Typologisierungen.

Gingen jene Versuche von Importorten der KRS aus, so setzten sich in Samos erstellte Klassifizierungsmodelle mit Funden aus einem vermuteten Herstellungszentrum auseinander. Dabei war anzunehmen, daß in einem Herstellungszentrum der 'Ionischen Schalen', eine noch größere Typenvielfalt zu erwarten war. H. Walter publizierte bereits 1957⁶³ und zusammen mit K. Vierneisel 1959⁶⁴ eine große Menge an Keramik aus dem samischen Heraion. Doch beschränkten sie sich vor allem darauf, die frühen Funde des 8. und 7. Jhs. v. Chr. vorzulegen und in die chronologische Durchsicht der Gesamtkeramik einzubeziehen⁶⁵. Eine Typologie strebten aber weder Walter noch G. Kopcke⁶⁶ an. Letzterer veröffentlichte 1968 Funde aus einem Wasserbecken im Heraion⁶⁷ und forderte aufgrund der Fundmasse der Gattung im samischen Heraion einen Typologisierungsversuch der 'Ionischen Schalen'⁶⁸. Dieser blieb aber zunächst noch aus, denn im 1973 erschienen Samosband VI 1 verfolgte E. Walter-Karydi vor allem eine Zuordnung der samischen und sonstigen bekannten ostgriechischen Keramik des 6. Jhs. v. Chr. an die verschiedenen ostgriechischen 'Kunstlandschaften'⁶⁹. Demzufolge wurden die feinen KRS und sog. ionischen Kleinmeisterschalen in ihrer beachtlichen Formen- und Dekorationsvielfalt vorgestellt, aber nicht explizit unter einem klassifikationstechnischen Aspekt behandelt⁷⁰. Aus Milet wurde durch V. von Graeve 1973/74⁷¹ und 1975⁷² eine Vielzahl an 'Ionischen Schalen' aus den Grabungen im sog. Südschnitt bekannt gemacht. Eine

⁵⁸ s. auch Kapitel 3.1.4 'Das Klassifizierungsmodell von Ploug' (S. 39 ff.).

⁵⁹ Die Orte mit ostionischen Importen können gleichwohl Imitationen aus eigenen Werkstätten aufweisen z. B. für Megara Hyblaea s. F. Villard, MEFRA 43, 1951, 17 Anm. 2 Taf. 5,13; für Tarsos: Hanfmann (1956) 173.

⁶⁰ Von zwei Haupttypen bei F. Villard und G. Vallet, auf vier von G. M. A. Hanfmann und dreizehn Typen mit Varianten bei J. Hayes. Zusätzlich stellte G. Ploug noch weitere Typen fest, die bei den bereits existierenden Typologien nicht unterzubringen waren. Auch H. P. Isler nahm zu diesem Problem bereits kritisch Stellung (Samos IV, 92 f.).

⁶¹ Ploug 1973, 29 faßte z. B. unter ihrer Gruppe 5 die Typen A2 und B2 von Villard – Vallet sowie die Typen VIII und IX von Hayes zusammen.

⁶² Z. B. E. Pierro, *Ceramica 'ionica' non figurata e coppe attiche a figure nere* (1984) 21 ordnete eine Gruppe von Schalenfunden aus Tarquinia den Typen 1 von Hanfmann, A1 von Villard – Vallet sowie 1 und 3 von Hayes zu.

⁶³ Walter 1957.

⁶⁴ Walter – Vierneisel 1959.

⁶⁵ Ebenda; Walter, 1957.

⁶⁶ Kopcke 1968.

⁶⁷ Ebenda.

⁶⁸ Kopcke 1968, 257.

⁶⁹ Samos VI 1.

⁷⁰ Ebenda, behandelt die Verfasserin nur nebenbei die einfache, schlicht dekorierte Keramik.

⁷¹ Graeve 1973/74, 85.

⁷² Graeve 1975, 41.

Typologisierung wurde aber auch hier nicht versucht. H. P. Isler, der die Keramikfunde vom Nordtor des samischen Heraion behandelte, stellte 1978 – in Kenntnis der dort gemachten Funde sowie der vorangegangenen Grabungen – zu den 'Ionischen Schalen' fest: »Solche Schalen lassen sich wohl kaum in eine allzu fein differenzierende stilistische Entwicklungsreihe pressen. Auch muß die Entwicklung in mehreren parallelen Strängen, die untereinander aber Beziehungen hatten, verlaufen sein«⁷³. Isler war es dann auch, der den ersten Versuch unternahm, ein Klassifizierungssystem für die KRS aus Samos zu erstellen. Die Funde im Südtemenos des samischen Heraion veranlaßten A. Furtwängler, über die Feststellung von Isler hinauszugehen, indem er 1980 bemerkte: »Eine Typologisierung des an Formenvarianten außerordentlich reichen Materials aus dem Heraion kann den samischen Töpfern des 7. Jh. v. Chr. nicht annähernd gerecht werden«⁷⁴ und erneut 1989: »[...] die Einheitlichkeit dieses Trinkgeschirrs war für den samischen Töpfer dieser Epoche (s.c. 7. Jh. v. Chr.) kein primäres Anliegen, ja es scheint, als ob dieses in keiner Weise angestrebt wurde«⁷⁵. Dementsprechend vermag Furtwänglers Versuch, eine allzu fein gegliederte Typologie der »streifenverzierten Ionischen Schalen« des 6. Jhs. v. Chr. aufzustellen, auch wenig zu überzeugen⁷⁶.

Die wechselnden Ansichten zur Herkunft des Schalentypus führten vor allem in der ersten Hälfte des 20. Jahrhunderts die Idee einer ostionischen Koiné herauf, die bereits Böhlau vorbereitete, indem er die Schalen »aus einer ionischen Quelle abzuleiten«⁷⁷ versuchte. Nahm noch Lambrino⁷⁸ Rhodos und Milet als Herkunftsorte der KRS in Anspruch, verwies E. Price⁷⁹ darauf, daß die Schalen dieser Gattung an verschiedenen Orten der Ostägäis hergestellt worden seien, wobei sie der Insel Samos ein besonderes Gewicht zugestand. Noch Boardman hielt 1967 an dieser These fest⁸⁰. Dagegen hatte bereits Hayes 1966, von den Funden in Tocra ausgehend, die Gattung in mehrheitlich rhodische und nur wenige samische Produkte eingeteilt, womit er die ältere Idee wiederbelebte⁸¹. Die häufige Verwendung des Hayes'schen Klassifizierungsmodells führte zugleich dazu, daß seine noch ohne naturwissenschaftliche Methode vorgenommene regionale Zuweisung an Rhodos und Samos mehrheitlich übernommen wurde. Dagegen hielten Villard und Vallet eine Produktion der Gattung an verschiedenen Orten im sog. ostionischen Raum für wahrscheinlich. Die ostgriechische Herkunft wurde nie geleugnet, und so verwunderte es auch kaum, daß die naturwissenschaftlichen Herkunftsbestimmungen seit den 1970er Jahren, die vor allem mit Duponts Untersuchungen begonnen wurden, die Vermutungen zu den KRS bestätigten. Hierbei wurden lange die beiden südionischen Städte Samos und Milet sowie ein noch nicht lokalisiertes Zentrum als die bedeutendsten Produktionsplätze dieses Schalentypus bestimmt⁸². Allerdings werden sowohl in den Kolonien am Schwarzen

⁷³ Samos IV, 93.

⁷⁴ Furtwängler 1980, 163.

⁷⁵ Samos III, 81.

⁷⁶ Ebenda. Vgl. auch das nächste Kapitel.

⁷⁷ Böhlau 1898, 150.

⁷⁸ Lambrino 1938, 86.

⁷⁹ E. R. Price, JHS 44, 1924, 181 f.

⁸⁰ Boardman 1967, 135.

⁸¹ Tocra I, 111 ff.

⁸² Vgl. das Kapitel 7.3 S. 372.

Meer als auch im westlichen Mittelmeerraum lokale Produktionen eingesetzt haben, die mitunter eigene Entwicklungen im 5. Jh. v. Chr. auslösen konnten⁸³.

Der sich stets vergrößernde Kenntnisstand der Keramikforschung ließ den konstituierten Begriff 'Ionisch' vor allem seit der Mitte des 20. Jahrhunderts auf Ablehnung stoßen⁸⁴. Doch wurde er bis heute beibehalten, da er sich längst als Fachterminus verselbständigt hatte.

3.1 Die bestehenden Klassifikationsmodelle für ostgriechische Knickrandschalen

Inzwischen ist eine Vielzahl von Klassifizierungsmodellen zu den südionischen KRS ('ionische Schalen') entwickelt worden, die erstmals von Catling und Shipley versuchsweise zusammengestellt wurden⁸⁵. So schwierig es ist, die Typologie eines Bearbeiters mit der eines anderen zu vergleichen, so sinnvoll erscheint es dennoch, die Vielzahl der existierenden Klassifizierungsmodelle zueinander in Bezug zu setzen. Deshalb ist die folgende Tabelle (Tab. 1 in Abb. 8) unter dem genannten Vorbehalt zu betrachten. Wurden von Catling und Shipley die verschiedenen Klassifizierungsmodelle in Bezug zum System von Hayes (Tocra I) gesetzt, so stellt in der hier gebotenen Vergleichstabelle das in dieser Arbeit für Südionien (Milet/Samos) entwickelte neue Modell die Bezugsgröße dar. Aufgeführt sind die meisten der bisherigen Klassifizierungsmodelle⁸⁶. Ihre Reihung folgt im Wesentlichen der Bedeutung ihrer Rezeption in der Forschung, womit freilich keine Wertung angestrebt wurde. Das Klassifizierungsmodell von Lambrino⁸⁷ und das hier nicht aufgeführte von Kinch⁸⁸, sowie die von zyprischem Fundmaterial ausgehenden Klassifizierungsmodelle von Thalmann⁸⁹, Calvet – Yon⁹⁰ und Gjerstad⁹¹ fanden bei den Bearbeitern der südionischen KRS nur wenig Resonanz. Ebenso erging es – zumal außerhalb Italiens – den Versuchen von Pierro⁹² und Boldrini⁹³, welche die in einer sehr begrenzten Zeitspanne und damit einhergehend mit einem geringen Typenspektrum nach Etrurien

⁸³ Diese Fragen werden sicher erst naturwissenschaftliche Untersuchungen der Keramik lösen können. Erste lokale Nachbildungen im Schwarzmeerraum konnte Dupont bereits zeigen, s. Kapitel 7.3 'Bisherige Ergebnisse zu den Knickrandschalen und der südionischen Gefäßmalerei' (S. 372ff.). In Unteritalien, Frankreich und Spanien sowie in Nordafrika sind bislang noch keine nennenswerten Versuche unternommen worden (vgl. S. 371 mit Anm. 1136).

⁸⁴ Bereits Villard – Vallet 1955, 15 Anm. 1 erklärten, daß der Begriff 'ionisch' eine konventionelle Bezeichnung für 'ostgriechisch' sei, ohne daß es möglich wäre, genauer zu präzisieren; Ploug 1973, 28 Anm. 184 trifft dann die Feststellung zum Begriff 'ionisch': »... it is certainly wrong, the cups are not only produced in Eastern Greece, as was supposed earlier ...«; lediglich Hayes hat mit 'rhodisch' und 'samisch' den Begriff 'ionisch' umgangen; auch Isler (Samos 4, 93) nennt die als einheimisch erkannten KRS 'samisch', die übrigen 'ostgriechisch': »... da dieser Terminus (...) dem geläufigeren ostionisch oder gar ionisch aus Gründen der Exaktheit vorzuziehen ist ...«.

⁸⁵ R. W. V. Catling – D. G. J. Shipley, Messapian Zeus: An Early Sixth-Century Inscribed Cup from Lakonia, BSA 84, 1989, 187 ff. bes. 199 Tab. 1.

⁸⁶ Hierbei sind nicht alle von Catling – Shipley angeführten Modelle berücksichtigt, dafür aber andere, die dort vernachlässigt oder erst später erstellt worden sind.

⁸⁷ Lambrino 1938, 81 ff.

⁸⁸ Kinch 1914, 24 ff.

⁸⁹ P. Thalmann in: Gjerstad 1977, 70 ff.

⁹⁰ Y. Calvet – M. Yon, Salamine de Chypre et le commerce Ionien, in: CollNeapel 43 ff. bes. 46 ff. und einem anderen hier nicht aufgenommenen Klassifizierungssystem dies., Céramique trouvée à Salamine, in: Gjerstad 1977, 15 ff.

⁹¹ E. Gjerstad, Pottery from Various Parts of Cyprus, in: Gjerstad 1977, 32 ff. faßte die KRS nicht unter dem sonst üblichen Begriff 'Ionian Cup', sondern unter 'Skyphoi' zusammen.

⁹² E. Pierro, Ceramica 'ionica' non figurata e coppe attiche a figure nere, Tarquinia 6 (1984) 9 ff.

⁹³ S. Boldrini, Le ceramiche ioniche, Gravisca 4 (1994) 137 ff.

importierte⁹⁴ Gattung klassifizierten. Verschiedentlich hingegen wird die Typologie von Hommel⁹⁵ zitiert, die für die wenigen Funde aus der karischen Festung Melie in der Nähe des panionischen Heiligtums beim modernen türkischen Dorf Güzelçamlı erstellt wurde. Die dort angetroffenen Typen sind im Verhältnis zu den in Milet und Samos aus archaischen Schichten bekannten Formgruppen teilweise derart unkanonisch, daß man einige vermutlich als Importe anzusehen hat⁹⁶.

⁹⁴ Vielleicht handelt es sich bei einigen oder vielen Produkten auch um großgriechische oder lokale Produktionen. Hierzu ist noch viel zu wenig geforscht worden; vgl. dazu auch hier im Kapitel 7.2 (vgl. S. 371 mit Anm. 1136).

⁹⁵ Panionion, 149 ff.

⁹⁶ Inzwischen hat T. Schattner einen Typus näher betrachtet und P. Guzzo folgend (P. G. Guzzo, *Importazioni fittili Greco-Orientali sulla costa Jonica d'Italia, Excursus II: coppe così dette Ioniche*, in: *CollNeapel* 123 ff. bes. 124, der den Typus 'Panionion' oder auch als 'Sybaris Gruppe V' bezeichnet) als sog. Panionion-Schale bezeichnet (vielleicht wäre der Terminus Panioinion-Typus besser), s. T. Schattner, *Panionionschalen*, in: R. Bierung – V. Brinkmann – U. Schlotzhauer – B. Weber (Hrsg.), *Maiandros. Festschrift für Volkmar von Graeve* (2006), 221 ff. Allerdings ist es schwierig, seiner Argumentation zu folgen, in der er einen Zusammenhang der angeführten Stücke vom 11. bis 6. Jh. v. Chr. herstellte. Einleuchtender bleibt der Zusammenhang einiger Stücke im 7. und 6. Jh. v. Chr. Allerdings gehören die tiefen Skyphoi aus Athen sicher nicht in die Reihe der sog. Panionion-Schalen (B. A. Sparkes – L. Talcott, *Black and Plain Pottery of the 6th, 5th and 4th centuries B.C.*, *The Athenian Agora* 12 (1970) Abb. 4, 331 Taf. 15, 330–331). Auch wäre eine Unterscheidung schon unter den Stücken vom Panionion selbst glücklicher gewesen, denn Schattner a. O. 227 Abb. 1, b mit seinem klar abgeknickten kurzen Rand, ist streng von den Schalen Abb. 1, a, c mit einem leicht ausschwingendem Rand zu trennen; vgl. auch hier im Kapitel 4.2.1.3 'Der Typus 6 und seine Varianten' S. 100 und die Schalen **134. 614**.

Schlotzhauer			Vallet – Villard ⁹⁷	Boldrini	Pierro	Hayes	Hanfmann	Ploug	Lambrino	Hommel	Isler	Furtwängler	Gjerstad	Calvet–Yon ⁹⁸	Thalmann	Utili														
1.A	1.1.		–				IV.a (Abb. 2)			I (3)																				
	1.2.																													
	1.4.																													
1.B	1.2.		–																											
	1.3.																													
2.A	2.2.		–				IV.b (Abb. 13)																							
2.B	2.1.																													
	2.2.																													
	2.3.																													
	2.4.																													
3.A	3.2.		–			IV.a (Abb. 7)					SG (I/12)																			
3.B																														
4.B			–																											
5.B	5.1.	ea	A2 filets noirs sur le rebord	II/2 (248) II/1 II/2 (249-250)			IV.a (Abb. 8)				a (3)	1																		
		e															9-13. 18. 21		a (4; 8-9)	2	7 (Isler 141)									
	5.2.	ea					16										IV.a (Abb. 12)			1										
		e																		2										F (67); G (71)
	5.3.	ea					14-15										1	AI (no. 5)												
5.4.	e	19-20		IV.a (Abb. 15)																										
6.B	6.1.		–				I (Abb. 9)	3 (103); 7 (?)				3																		
	6.2.																													
	6.3.	A1/A2															3													
	6.4.	A1 plus grandes																												
	6.5.																													
6.6.																														
7.B			–	II/vari. (274)																										
8.B	8.1.	ay	A1	I/1			I	2?			b (14; 18)	4	1	a rhod.																
		a															rhod. III													
	8.2.	ay		I/2			4-7										rhod. I													
	a			8																										
8.3.																														

⁹⁷ Neben der grundsätzlichen Klassifizierung in Villard – Vallet 1955 ist in diese Tabelle auch die Ergänzung aus Villard – Vallet 1964, 87 ff. Taf. 74–75 eingeflossen.

⁹⁸ Hier die Klassifizierung aus Y. Calvet – M. Yon, Salamine de Chypre et le commerce Ionien in: CollNeapel 43–51 Taf. 19–23; dagegen erfolgt in Y. Calvet – M. Yon, Céramique trouvée à Salamine in: E. Gjerstad (Hrsg.), Greek Geometric Pottery Found in Cyprus (1977)15–17 Taf. 7–9 die Klassifizierung nach Vallet – Villard und Hayes.

(Abb. vorhergehende Seiten)

Abb. 8: Tab. 1. Konkordanzliste der gebräuchlichsten Typologien und Klassifizierungen zu den ostgriechischen KRS

Die Klassifizierungsmodelle von Villard – Vallet⁹⁹ und Hayes¹⁰⁰ werden am häufigsten herangezogen, wenn es gilt, Fragmente oder vollständige Schalen der Gattung zu klassifizieren und zu datieren. Ihren Typologien wurden in Tab. 1 (Abb. 8) die Klassifizierungsmodelle von Boldrini und Pierro angeschlossen, da sie als Erweiterung der vorgenannten, nicht als Neuschaffung zu gelten haben. Die Wirkung der Klassifizierungssysteme von Villard – Vallet und Hayes mag auch daran zu ermessen sein, daß Gesamtdarstellungen zur ostgriechischen Keramik, wie die von Cook, kein eigenes System zu Klassifizierung dieser Gattung aufweisen, sondern auf jene zurückgreifen¹⁰¹. Darüber hinaus sind die Klassifizierungen von Ploug¹⁰² und Hanfmann¹⁰³ häufig zitiert worden. Weit weniger als ihrer Bedeutung gemäß, sind dagegen die Arbeiten von Isler¹⁰⁴ und Furtwängler¹⁰⁵ zur Klassifizierung der südionischen KRS herangezogen worden. Gerade sie, deren Untersuchungen vom vermeintlichen Produktionsort Samos in Südionien ausgingen, verbanden das größte Typenspektrum mit den frühesten bekannten Typen der Gattung.

3.1.1 Das Klassifizierungsmodell von Villard und Vallet (Villard – Vallet)

Die Typologie der beiden französischen Wissenschaftler Villard und Vallet wird dort, wo es gilt KRS zu bestimmen und zu datieren, am häufigsten herangezogen. Ihr Klassifikationsmodell stellten sie in einem Aufsatz von 1955 in seinen Grundzügen dar¹⁰⁶. Einige spätere Modifikationen, wie die Bestimmung von Typen, die zwischen den Typen A1 und A2 sowie zwischen A2 und B2 und anderen liegen, als neuer Typus A1/A2 und A2/B2 usw., wurde von ihnen selbst sowie von anderen Bearbeitern der KRS in späteren Publikationen hinzugefügt¹⁰⁷. Zwei Brunnen in Megara Hyblaea boten den beiden Autoren chronologische Anhaltspunkte, um ein grundsätzliches Problem der Entwicklung innerhalb dieser Schalengattung lösen zu können¹⁰⁸. In dem einen Brunnen befand sich nur Material des 7. Jhs. v. Chr., was durch die Vorlage der signifikanten Importkeramik dargelegt wurde¹⁰⁹ und bis heute unwidersprochen ist. Der andere Brunnen hatte eine längere Lebensdauer und

⁹⁹ Villard – Vallet 1955, 14 ff.

¹⁰⁰ Tocra I, 111 ff.; Tocra II, 55 f.

¹⁰¹ Zuletzt Cook 1998, 129 ff. bes Anm. 1 und Abb. 18.1 (mit Beschreibung S. 131).

¹⁰² Ploug 1973, 27 ff.

¹⁰³ Hanfmann 1956, 167 ff.

¹⁰⁴ H.P. Isler, Samos: la ceramica arcaica, in: CollNeapel 77 ff.

¹⁰⁵ Samos 3, 81 ff.; Furtwängler 1980, 163.

¹⁰⁶ Villard – Vallet 1955, 7 ff.

¹⁰⁷ Zu A1/A2 s. Vallet – Villard 1964, 88 Taf. 75,2; einen Übergangstypus A2/B2 aus Gravisca postulierte F. Boitani Visentini in: CollNeapel 222 (allerdings klingt die Beschreibung eher wie ein Typus A2); einen Übergangstypus A1/B1 aus Matera meldete etwa Lo Porto (zitiert bei P.G. Guzzo in: CollNeapel 126 Nr. 51); von einem Fragment aus Ampurias ausgehend bestimmte P. Rouillard (in: CollNeapel 280 Taf. 121, 7 [=Abb. 2, 7]) einen Übergangstypus B1/B2.

¹⁰⁸ Villard – Vallet 1955, 7 f.

¹⁰⁹ Villard – Vallet 1955, Taf. 1–2. 3, a–b.

enthielt Material, das bis in die zweite Hälfte des 6. Jhs. v. Chr. hinabreicht¹¹⁰. In beiden Brunnen waren zahlreiche Fragmente und vollständige KRS enthalten. Nach der Analyse der beiden Brunneninhalte zeigte sich, daß in dem jüngeren Brunnen Schalenformen enthalten waren, die in dem älteren noch fehlten. Somit war auf Grundlage einer repräsentativen Anzahl von KRS eine gesicherte chronologische Differenzierung zur Gattung anhand zweier zeitlich versetzter Fundkomplexe möglich geworden. Villard – Vallet trugen dieser Erkenntnis Rechnung und schieden den bereits im chronologisch älteren Fundzusammenhang vorkommenden Grundtypus mit tiefem Schalenbecken als Typus A von dem nur im jüngeren Kontext nachzuweisenden Grundtypus mit flachem Schalenbecken, Typus B. Hiermit war die folgenreiche Trennung der Gattung vollzogen, die bis heute nicht nur in vielen Untersuchungen und Handbüchern zitiert wird, sondern bis in jüngste Zeit hinein neu entwickelten Klassifikationssystemen als Modell zu Grunde liegt. Dies gilt augenscheinlich für die Klassifikationssysteme von Pierro und Boldrini, aber auch für Isler, Furtwängler, Ploug und für manchen Versuch mehr. Ebenso verdankt das hier erstellte Klassifizierungssystem dieser grundsätzlichen Teilung wesentliche Impulse. Es ist mit Recht davon auszugehen, daß von Villard – Vallet eine grundsätzlich richtige Trennung innerhalb der Materialgruppe nachvollzogen worden ist.

Villard – Vallet begnügten sich aber nicht mit dieser generellen Teilung in die Grundtypen A und B, sondern untergliederten diese weiter, gestützt auf zeitliche Anhaltspunkte aus Grabkontexten in Großgriechenland und Rhodos. So entstand ein System von zwei Varianten des Grundtypus A (A1 und A2) sowie drei des Grundtypus B (B1, B2 und B3), die übersichtlich und mit den erzielten Ergebnissen zu ihrer jeweiligen Datierung in einer Tabelle aufgelistet wurden¹¹¹.

KRS des Typus A1¹¹² waren nicht sehr zahlreich unter den Funden des älteren Brunnen vertreten, weil ihre Produktion nach Meinung der Bearbeiter nicht sehr umfangreich gewesen sei. Vor allem die im Brunnen enthaltene korinthische Importkeramik wies die Entstehung des Typus A bereits vor 620 v. Chr. nach¹¹³. Damit konnte die Produktion dieser KRS entgegen der bis dahin üblichen Datierung an das Ende des 7. Jhs. oder um 600 v. Chr. erheblich früher festgelegt werden¹¹⁴. Um diese These zu stützen, wurde nach weiteren chronologischen Anhaltspunkten gesucht, und tatsächlich konnten Villard – Vallet gleich mehrere Fundkontexte heranziehen, welche die frühe chronologische These bestätigten¹¹⁵.

¹¹⁰ Villard – Vallet 1955, Taf. 5–7.

¹¹¹ Villard – Vallet 1955, 29 Tab.

¹¹² Villard – Vallet 1955, 15 ff. Taf. 4, a (rechts).b (links u. rechts).c (links u. rechts). Der Typus A1 entspricht dem Typus 8 (Schlotzhauer) des hier zugrundegelegten Klassifizierungssystems, mit den Varianten 8,1.B bis 8,3.B.

¹¹³ Villard – Vallet 1955, 15.

¹¹⁴ Villard – Vallet 1955, 16 mit Anm. 2.

¹¹⁵ Villard – Vallet 1955, 16 ff. Allerdings beruht die Datierung eines zitierten Fundkontextes (Megara, Votivdepot der Ausgrabung 1951; s. G. Vallet – F.Villard, MEFR 63, 1953, 35 im Widerspruch zu S. 38) auf einem klassischen Zirkelschluß und darf nicht länger zur Datierung des Typus Vallet – Villard A1 herangezogen werden (Vallet – Villard 1955, 16 mit Anm. 3).

Neben dem feinen und qualitätvollen Typus A1 definierten Villard – Vallet innerhalb der Hauptserie mit tiefem Schalenbecken einen größeren Typus A2 mit größeren Abmessungen¹¹⁶. Der Typus A2 ist von den Autoren der Klassifikation nicht ganz eindeutig festgelegt worden und wird von verschiedenen Wissenschaftlern auf Schalen mit und ohne Streifendekor auf dem Rand angewandt¹¹⁷. Doch vergleicht man nur die von Villard – Vallet angeführten Beispiele, anhand derer sie den Typus konzipierten, so ist vor allem der Typus 5.B der hier erstellten neuen Klassifizierung eindeutig belegt¹¹⁸. Die Variante 9.1.B, die sicher eng mit dem Typus 5.B zu verbinden ist, aber wohl doch einen neuen Typus einleitet, muß aber nach der Sachlage ebenfalls mit dem von Villard – Vallet entwickelten Typus A2 verbunden werden. Damit ist der Typus A2 eine etwas unglückliche Zusammenstellung. Dies drückt sich schon in der Datierung aus. Der Typus A2 war offenkundig nicht im Brunnen des 7. Jhs. v. Chr. vertreten und wird daher vor allem aufgrund von Grabbefunden chronologisch bestimmt¹¹⁹. Dabei ist es aber die Variante mit Streifen auf dem Rand, die frühe Kontexte erschließen läßt. Nach heutiger Kenntnis, sind eine Trennung der beiden Varianten und die Annahme ihrer zeitlichen Abfolge angeraten.

Ganz anders sind die KRS des Typus B1¹²⁰ gebildet. Sie haben ein flaches Becken und einen Standing statt eines konischen Fußes. B1 ist zusätzlich dadurch charakterisiert, daß er größtenteils schwarz gefirnißt ist und außen sowie innen Gruppen von roten und weißen Streifen aufweist¹²¹. Der Typus B1 war zwar aus den archaischen Schichten und den Gräbern in Megara Hyblaea bekannt, wurde aber weder im Brunnen des 6. Jh. v. Chr., noch im Brunnen des 7. Jh. v. Chr. angetroffen¹²². Damit konnte diese Variante mit roten und weißen Streifen zwischen dem Verschluß des älteren und

¹¹⁶ Villard – Vallet 1955, 18 f. Abb. 3, a–b.

¹¹⁷ So etwa Cook in seinem Handbuch (Cook 1998, 130 Abb. 18.1, c und e und Legende S. 131) oder M. Martelli Cristofani in: CollNeapel 196–199 Taf. 86, 65–68 (Taf. 86, 66 Fuß ist wohl nicht zugehörig s. S. 198 Nr. 116); dagegen nur auf die Typen mit Streifenverzierung auf dem Rand z. B. M. Mănuclu-Adameşteanu, *Ceramica arhaică, Orgame/Argamum* 2 (2008) 63 Kat.-Nr. 83 Taf. 4, 83 (die allerdings einige falsche Vergleiche herangezogen hat, denn bei den Stücken 1194 aus Tocra sowie IVNE9 002 aus Tel Miquene-Ekron und den beiden Schalen aus Ashkelon und Mezad Hashavyahu handelt es sich jeweils eindeutig um den Typus Villard – Vallet A1, nicht A2).

¹¹⁸ Vallet – Villard 1964, Taf. 75, 4–5. Die in Villard – Vallet 1955, 18 f. abgebildeten Zeichnungen lassen nicht auf den Dekor schließen und auch die Beschreibung ist nicht eindeutig, auch wenn der Typus mit »Coupe à rebord réserve« übertitelt ist und über die Randgestaltung ausgesagt wird »parfois, filets noirs sur le rebord« eindeutig scheint. Dennoch sind die aufgeführten Beispiele, wo eindeutig, stets mit Streifen auf dem Rand (so P. Orsi, *Gela. Scavi del 1900–1905*, *MonAnt* 17, 1906, 642 Abb. 461; J. Sieveking – R. Hack, *Die königliche Vasensammlung zu München* 1 (1912) 49 Kat.-Nr. 481 Taf. 18, 481; Technau 1929, 36 Abb. 28, 3; Lambrino 1938, 83 Abb. 50), andere Beispiele sind nicht eindeutig von ihren Abbildungen und Beschreibungen (wo vorhanden), vgl. etwa Jacobi 1932/33, Abb. 91 (Grab Camiros 27) und Abb. 105 (Grab Camiros 28). Damit bleibt eine gewisse Unsicherheit bestehen. Folgt man aber der oben zitierten Beschreibung, muß davon ausgegangen werden, daß Villard – Vallet tatsächlich auch die KRS meinten, die »bisweilen keine feinen schwarzen Linien auf dem Rand« aufweisen.

¹¹⁹ Villard – Vallet 1955, 18 f. Dabei geht nach heutigem Stand die Variante A2 mit »filets noirs sur le rebord« zumindest bis in die Mitte des 7. Jhs. v. Chr. zurück, vgl. hier den Typus 5.B. Damit hätte der Typus durchaus im Brunnen vorkommen können, zumal er in anderen Grabungsbereichen angetroffen wurde (Vallet – Villard 1964, 88 Taf. 75,4–5).

¹²⁰ Villard – Vallet 1955, 23 ff. Abb. 4, a–f.

¹²¹ Villard – Vallet 1955, 23. 25 Abb. 4, a–f.

¹²² Villard – Vallet 1955, 23.

dem Beginn des jüngeren Brunnen datiert werden, mithin zwischen 620 und 580 v. Chr.¹²³. Damit entspricht der Typus B1 in Megara Hybaea lediglich den Varianten mit roten und weißen Streifen des Typus 10.C des für Südionien entwickelten Klassifikationssystems, mithin denen mit den Dekorsystemen *ay*, *ky*, *ny*, *my*. Allerdings stimmen die bei Villard – Vallet aufgeführten Varianten¹²⁴ lediglich mit den Formvarianten 10,1.B–C, 10,2.B, 10,5.C und 10,6.C überein, aber nicht mehr mit 10,9.D, dessen Dekor ebenfalls noch durch rote und weiße Streifen ausgezeichnet sein kann. Besonders die Variante 10,6.C hat einen engen Formverwandten unter den in Megara Hybaea zwischen 620 und 580 v. Chr. datierten Schalen des Typus B1¹²⁵. Spätere Bearbeiter von KRS achteten aber selten darauf, daß hier eine sehr spezielle Dekorvariante vorliegt und so wurden auch andere teilweise spätere Varianten als B1 bezeichnet. Auch gibt es Bearbeiter, die ihrerseits aufgrund späterer Fundkontexte mit KRS des Typus B1, bei denen es sich zudem teilweise um andere Varianten handelte, diesen später datierten¹²⁶.

Ein zweiter Typus der Serie mit flachem Schalenbecken wurde von Villard – Vallet als Typus B2 bezeichnet¹²⁷. Die Autoren der Klassifikation machen bei ihrer Beschreibung des Übergangs¹²⁸ deutlich, daß sie von einer linearen Entwicklung ausgehen. Der ältere Typus B1 wird um 580 v. Chr. vom jüngeren Typus B2 abgelöst¹²⁹, wobei der Fuß und der Rand plötzlich wieder höher gestaltet werden und der Rand sich zunehmend aufrichtet¹³⁰. Dabei übersehen sie, daß die Verbindung von A2 und B2 eigentlich viel näher liegt und eine bruchlosere Entwicklung anzeigt¹³¹. Zudem werden von den Autoren verschiedene Dekorvarianten für diesen Typus angeführt¹³². Im Wesentlichen entspricht Villard – Vallet B2 in der neuen Klassifizierung dem Typus 9,2.C. Er gehört zu den am häufigsten angetroffenen Typen in Großgriechenland und anderen griechischen Koloniegebieten¹³³. Große Fragmente des Typus B2 wurden erst im Brunnen des 6. Jhs. v. Chr. in Megara Hybaea angetroffen¹³⁴. Die darüber hinaus für den Typus B2 untersuchten Grabkontexte veranlaßten die Autoren dann zu dem Datierungszeitraum zwischen 580 und 540 v. Chr.¹³⁵.

¹²³ Villard – Vallet 1955, 23. 26.

¹²⁴ Villard – Vallet 1955, 25 Abb. 4, a–f.

¹²⁵ Vergleiche Villard – Vallet 1955, 25 Abb. 4, c mit **266. 269–270**.

¹²⁶ So z. B. Hayes (Tocra 1, 112); Isler in: CollNeapel, 79; Furtwängler 1980, 164, der eine Entwicklung vom späten 7. bis in das ausgehende 6. Jh. v. Chr. beschreibt; vgl. auch unten die Diskussion zu den entsprechenden Typen bei Hayes, Isler und Furtwängler.

¹²⁷ Villard – Vallet 1955, 21 ff.; 27 Abb. 5 Taf. 6, A.1–3.

¹²⁸ Hier zählen sie auch Übergangstücke auf Villard – Vallet 1955, 26 Anm. 4.

¹²⁹ Villard – Vallet 1955, 26.

¹³⁰ Villard – Vallet 1955, 27.

¹³¹ Man vgl. nur die Abfolge der Form und der Dekoration der Typen 5.B (**106. 109**) zu 9.B (**171**) bis 9.C (**188**), was in etwa der Abfolge Villard – Vallet Typus A2 zu B2 entspricht.

¹³² Villard – Vallet 1955, 21.

¹³³ Auch etwa in Naukratis, vgl. jetzt Schlotzhauer 2012, 45–53.

¹³⁴ Villard – Vallet 1955, 21 Taf. 6, 1–3.

¹³⁵ Villard – Vallet 1955, 22 f.

Mit der letzten von ihnen bestimmten Variante der flachen Schalenserie, dem Typus B3¹³⁶, wird ein besonders exquisiter Schalentypus beschrieben, der sich aus dem Typus B2 heraus entwickelte. Villard – Vallet bezeichnen die Schalen entsprechend auch als »petits maîtres« und setzen sie in Beziehung zu den ionischen Kleinmeisterschalen und damit zugleich zu den attischen Siana-Schalen. Aufgrund fehlender datierender Fundkontexte zu diesem Typus fixierten die Autoren die Produktionszeit anhand der attischen Vergleichsstücke im dritten Viertel des 6. Jhs. v. Chr. (560/550 bis 530 v. Chr.)¹³⁷.

Villard – Vallet war allerdings bewußt, daß die aus den Brunnen und Grabkontexten gewonnene Chronologie, die ihrerseits auf der mitgefundenen korinthischen Importkeramik beruhte, vor allem eine relative Abfolge der von ihnen entwickelten Typen zuließ¹³⁸. Daher versuchten sie, ihre absoluten Daten anhand der literarisch bezeugten Gründungsdaten einiger griechischer Kolonien in Frankreich und Unteritalien zu präzisieren. Dazu führten sie das jeweils aus diesen Kolonien bekannt gewordene Spektrum der KRS an. Im Ergebnis zeigt sich, daß der Typus A schon vor 600 v. Chr. existiert haben mußte und Typus B2 erst nach 580 v. Chr. zu belegen war¹³⁹. Allerdings ist diese Methode sehr fraglich, denn weitere Grabungen in den Orten könnten jederzeit frühere Typen zum Vorschein bringen. Gleichwohl zeigt sich durchaus eine Tendenz, die ja auch schon auf anderem Weg gewonnen worden ist.

Allerdings haben einzelne Fragmente bzw. vollständige Profile oder Schalen, die von den beiden Autoren des Klassifikationssystems in späteren Publikationen bestimmt wurden, bereits die Schwäche des Systems aufgezeigt. Nicht nur, daß Zwischen- oder Übergangstypen (»transition«) kreiert werden mußten¹⁴⁰, sondern es kam auch zu kuriosen Bestimmungen von Fragmenten. Dies muß wohl auf die geringe Diversität südionischer KRS in Megara Hyblaea selbst, die ja die Grundlage für das Ordnungsschema dargestellt hatten, zurückgeführt werden. Während Übergangsstücke und Zwischentypen aufgrund der nichtindustriellen Fertigung der Keramik in archaischer Zeit nie auszuschließen sind – es sind zum Teil 'Launen' der Töpfer –, bleibt die Klassifizierung eines Beckenfragmentes in ihrer Endpublikation zur archaischen Keramik aus Megara Hyblaea von 1964 überraschend¹⁴¹. Nach allen heute bekannten Parallelen kann es sich nur um das Becken einer KRS vom Typus B1 oder B2 handeln. Villard – Vallet bestimmten es aber als A2 der Variante mit »filets noirs sur le rebord«. Der Typus Villard – Vallet A2 mit »filets noirs sur le rebord« ist aber mit dem Typus 5.B der hier neu erstellten Klassifizierung gleichzusetzen. Dieser Typus weist aber niemals eine Verzierung mit konzentrischen Kreisen im Schalenbecken auf.

¹³⁶ Villard – Vallet 1955, 27 ff.

¹³⁷ Villard – Vallet 1955, 28 f.

¹³⁸ Villard – Vallet 1955, 29.

¹³⁹ Villard – Vallet 1955, 30 f.

¹⁴⁰ Vallet – Villard 1964, 88 mit Taf. 74, 3. 75, 1–5.

¹⁴¹ Vallet – Villard 1964, 88 Taf. 75, 6.

Neben der gelegentlichen Erwähnung von lokaler Herstellung trugen die beiden Autoren nicht viel zur Lokalisierung des Exportzentrums oder der Exportzentren der Gattung bei. Sie begnügten sich mit der lapidaren Bemerkung zum Terminus 'ionische' Schale: »Il est entendu que le mot ionien a ici une valeur conventionnelle et qu'il équivaut à grec oriental, sans qu'il soit possible de préciser davantage ou ces coupes ont pu être fabriquées«¹⁴².

3.1.2 Das Klassifizierungsmodell von Hayes (Tocra/Taucheira)

Boardman und Hayes publizierten bereits 1966 und nochmals 1973 die Funde aus den 1963 bis 1965 unternommenen Grabungen in Tocra in der nordafrikanischen Kyrenaika¹⁴³. Hayes war es, der sich der griechischen Keramik archaischer Zeit annahm. Für das reiche Fundmaterial der »so-called Ionian cups«¹⁴⁴, die er mit anderen KRS-Serien unter dem Begriff »black-glazed cups« zusammenfaßte, entwickelte er eigens ein Klassifizierungssystem, das sich auf einige chronologische Anhaltspunkte der in Tocra festgestellten Fundkomplexe stützen konnte¹⁴⁵. Allerdings kommt es immer wieder zu methodisch zweifelhaften Spätdatierungen, indem auf eine längere Laufzeit von Keramiktypen aufgrund des Vorkommens in späteren »Deposits« verwiesen wird¹⁴⁶. An anderen Stellen werden solche vereinzelt Vorkommen von Typen in verhältnismäßig späten Schichten auch schon mal anders gedeutet, etwa bei Tocra 221 aus Deposit III: »... its findspot is probably not truly indicative of its date«¹⁴⁷. Die Typologie von Hayes sollte später neben der von Villard – Vallet das populärste Klassifizierungsmodell zu den 'ionischen KRS' werden.

Mit seiner Klassifikation beabsichtigte Hayes neben der Herkunftsbestimmung der KRS aus Tocra auch eine chronologische Gliederung von Typen nach den Kriterien Form und Dekor. Er schied die KRS der Grabung in zwei regionale Gruppen, von denen die größere mit elf Typen auf Rhodos¹⁴⁸ hergestellt sein sollte und eine kleinere mit insgesamt drei Varianten auf Samos¹⁴⁹. Ferner teilte er solche Gefäße, die sich nicht sicher diesen beiden regionalen Gruppen zuordnen ließen, der Kategorie »Various East Greek or Cycladic wares« zu, die ebenfalls in zwei Untergruppen unterteilt wurden¹⁵⁰. Ebenfalls zur gleichen Grundform und zum Dekor des rhodischen Typus III ist eine große Schale zu zählen, die Hayes – vermutlich aufgrund ihrer Größe – nicht als Schale, sondern als rhodischen Krater

¹⁴² Villard – Vallet 1955, 15 Anm. 1.

¹⁴³ Tocra 1; Tocra 2.

¹⁴⁴ Tocra 1, 111.

¹⁴⁵ Tocra 1, 5 ff. 170: Deposit I 620 – 590 v. Chr.; Deposit II 590 – ca. 565 v. Chr.; Deposit III ca. 565 – ca. 530 v. Chr.; leichte Modifikation der Datierungen in Tocra 2, 3. 87 f., was aber im Grunde nur eine leichte Herabdatierung des dritten und letzten archaischen 'Deposits' betrifft: Deposit I 620 – ca. 590 v. Chr.; Deposit II ca. 590 – 565 v. Chr.; Deposit III ca. 565 – 520/510 v. Chr.

¹⁴⁶ Solche in späteren Schichten angetroffene einzelne Schalen oder teilweise nur Fragmente, die zudem in den Befunden durch keine statistische Breite abgesichert sind, können mit gleichem Recht auch als verlagertes älteres Material angesehen werden, was bei Umbauphasen oder anderen Eingriffen am Fundort immer wieder zu beobachten ist.

¹⁴⁷ Tocra 2, 55.

¹⁴⁸ Tocra 1, 111 ff.

¹⁴⁹ Tocra 1, 115 f.

¹⁵⁰ Tocra 1, 116. 124 f.

auflistet¹⁵¹. Von diesem Gefäßtyp wurden offensichtlich sogar zwei Exemplare in Tocra gefunden, aber der Autor geht nicht näher auf sie ein.

Die rhodischen Typen I und III bezeichnen zwei Varianten des Typus 8.B der hier für Südionien neu entwickelten Klassifizierung. Von diesen fanden sich in Tocra nur wenige Bruchstücke. Um sinnvolle eigenständige Typen bestimmen zu können, war dies offenbar zu wenig. Hayes bezeichnete daher folgerichtig seinen Typus I als einfachere Version des Typus III¹⁵². Der eigentliche Typus III entspricht im Wesentlichen dem Typus A1 von Villard – Vallet, worauf Hayes im Nachtrag von Tocra 2 selbst hinweist¹⁵³.

Dementsprechend bleibt auch Typus II unbefriedigend, von dem sich nur ein Fragment in Tocra fand¹⁵⁴. Viel enger hängt das abgebildete Randfragment mit den Schalen des Typus IV und den Beispielen des Typus V zusammen¹⁵⁵. Auch im neuen Entwicklungsschema ist der von Hayes gebildete Typus II nicht dem Typus 8.B, dem ja seine Typen I und III zuzuordnen sind, sondern dem in Milet fundhäufigsten Typus 10.B–C anzuschließen. Vor allem der Dekor, aber auch die Form lassen ihn in die Nähe von 10,1.B–C rücken. Noch eher läßt sich das Fragment Tocra 1193 wie die Beispiele der Variante 10,5.C rekonstruieren, etwa wie **264**. In diesen Zusammenhang gehört auch der von Hayes definierte Typus IV. Mit Ausnahme des Fußes stellt er die Form der Variante 10,6.C im neuen Klassifikationssystem dar. Aber auch die Variante 10,1.C hat in Milet ein ebenfalls vollständig schwarz gefirnißtes Beispiel, allerdings nur mit roten Streifen, nicht mit rot-weiß-roten Bändern (**220**). Dennoch bleibt die Kombination des in Südionien vor allem von Beispielen der Typen 8.B und 6.B sowie der Variante 10,1.B–C her bekannten Dekors mit dem hohen Kegelfuß ungewöhnlich. Letzterer ähnelt entfernt dem Kegelfuß des Typus 8.B, zu dem aber auf keinen Fall Rand und Wandstärke von Tocra 1195 passen. Die ungewöhnliche Zusammenstellung von Tocra 1195 läßt vielleicht eine nicht

¹⁵¹ Tocra 1, 53 Kat.-Nr. 719; 54 Abb. 27, 719; obgleich Hayes selbst die Verbindung zu den Schalen des Typus III herstellt, die im hier verwendeten Klassifizierungssystem der Variante 8,1.Bay entsprechen. Zudem hat er eine weitere KRS in Übergröße aufgelistet (Tocra 1, 71 Kat.-Nr. 864; 54 Abb. 27, 864), die er ebenfalls indirekt mit der samischen Serie in Verbindung bringt. Aufgrund der Größe bezeichnet es sie ebenfalls als Krater, was funktional vermutlich richtig ist. Typologisch aber gehören beide Beispiele aus Tocra zu den südionischen KRS, weswegen sie – ganz im Sinne der formtypologischen Ausrichtung dieser Arbeit – auch hier besprochen werden. Die Schalen Tocra 719 mit 24,5 cm und Tocra 864 mit 26 cm Randdurchmessern gehören zu den seltenen Übergrößen dieses Typus, wie sie auch auf Samos (hier mit dem erstaunlichen Durchmesser von 49 cm) gefunden wurden oder etwa im Museum in Leiden (Durchmesser ca. 31 cm) ausgestellt sind, vgl. Samos 4, Taf. 70, 539 und bes. R. B. Halbertsma, *Recent Acquisitions; III. The Classical World, OudhMeded* 70, 1990, 223 Kat.-Nr. III.a.5 233 Taf. 3 Abb. 1. Die in Samos gefundene KRS des Typus 8,1.B wurde auch von Iser besprochen, der sie »Coppa ionica gigantesca« nannte. Sie gehört seinem Typus b an, vgl. Anm. 330.

Unter den milesischen KRS ist am ehesten der Typus 6, allerdings mit dickerer Gefäßwand, zu vergleichen; hier erreichen sie bis zu 21,5 cm Randdurchmesser (**118**). Beispiele der Varianten 10,1.B–C weisen Durchmesser von 21 bis über 25 cm auf (**330–334**) und der Typus 13 (**385–391**) erreicht immerhin bis zu 32 cm Durchmesser. Die Beispiele aus Milet zeigen aber lediglich auf, daß hier KRS in Übergrößen hergestellt werden konnten.

¹⁵² Tocra 1, 112; 120 f. Kat.-Nr. 1194 Abb. 55, 1194 und Tocra 2, 56 f. Kat.-Nr. 2207 Abb. 23, 2207.

¹⁵³ Tocra 2, 55 Anm. 4.

¹⁵⁴ Tocra 1, 112. 120 f. Kat.-Nr. 1193 Abb. 55, 1193.

¹⁵⁵ Vgl. Tocra 1, 121 Abb. 55, 1195 (Typus IV). 1197 (Typus V).

milesisch/südionische Herkunft erwägen. Auf der anderen Seite führt Hayes nur zwei Beispiele für diesen Typus an. Dies könnte auch darauf schließen lassen, daß es sich hierbei um die 'Laune' eines Töpfers gehandelt haben mag, der ausnahmsweise mal einen nicht zum Typus gehörenden Fuß angefügt hat. Solche 'launischen' Zusammenstellungen sind beispielsweise auch im Fundgut aus dem samischen Heraion und in Milet nicht unbekannt¹⁵⁶.

Als Typus im engeren Sinne kann Hayes' Typus V¹⁵⁷ bezeichnet werden, denn er deckt sich mit einem Typus, der bereits an mehreren Grabungsplätzen nachgewiesen worden war und beispielsweise von Villard – Vallet als Typus B1 charakterisiert wurde (s. o.)¹⁵⁸. Die späte Fundlage eines Beispiels in Tocra wurde dahingehend gedeutet, daß die Nutzungszeit des Typus länger angedauert haben könnte, als dies von Villard – Vallet mit ca. 580 v. Chr. vorgeschlagen wurde¹⁵⁹. Allerdings ist ein solches Vorgehen äußerst zweifelhaft, denn eine späte Fundlage eines einzigen Gefäßes oder Fragmentes kann viele Gründe haben und sichert keinesfalls ohne weitere Argumente ein Weiterleben oder eine Weiterverwendung in späterer Zeit. In Bezug auf das Klassifikationsmodell der milesisch/südionischen KRS korrespondiert der Typus V mit einer der quantitativ größten KRS-Gruppen in Milet – dem Typus 10.B/C. Es handelt sich hier allerdings, ebenso wie bei Villard – Vallet, vornehmlich um die Varianten 10,1.B–C bzw. 10,5.C (263–264). Denn auch in den Publikationen aus Tocra sind nur die dünnwandigen Versionen des Typus 10.B–C mit polychromen Dekoren der Variante ky, d. h. relativ dunkel gefirnißte Schalen mit aufgesetzten roten Linien oder Liniengruppen¹⁶⁰, vertreten.

Nur sehr wenige Beispiele des Typus VI wurden in Tocra selbst festgestellt. Dennoch rechtfertigte der ungewöhnliche Gefäßbau durchaus einen eigenen Typus¹⁶¹. Denn der weit nach innen gesetzte Rand sowie die knappe und stark umgebogene Schulter und das steile, fast 'trichterförmige' Becken fallen aus dem Rahmen der südionischen KRS deutlich heraus. Hier handelt es sich tatsächlich um eine originäre ostdorische Variante der KRS (OdA), wie sie besonders unter den Funden der rhodischen Gräber und als Gefäßform der sog. Vroulia-Schalen nachzuweisen sind¹⁶². Demnach ist es auch kaum verwunderlich, daß Hayes feststellte: »Type VI is in a class of its own; on grounds of distribution it

¹⁵⁶ Vgl. etwa hier **132** aus dem Bothros des 7. Jhs. v. Chr. im Aphrodite-Heiligtum, der im Gegensatz zu den anderen Beispielen des Typus 6.B einen sonst nur bei Kalottenschalen, etwa Vogelschalen, üblichen Scheibenfuß erhalten hat, oder **214** aus Samos, wo dem Schalentypus 9.D aus dem mittleren 6. Jhs. v. Chr. statt eines hohen Stiefußes in singulärer Weise ein Standring angefügt wurde. Oder s. o. die Bemerkung zu Übergangsstücken und Zwischentypen in der Diskussion zum System von Villard – Vallet.

¹⁵⁷ Tocra 1, 112; 120 f. Kat.-Nr. 1197–1199; Tocra 2, 56 f. Kat.-Nr. 2208 Abb. 23, 2208.

¹⁵⁸ Tocra 1, 112 stellt Hayes diese Verbindung zum entsprechenden Typus im Klassifikationsschema von Vallet – Villard her.

¹⁵⁹ Tocra 1, 112.

¹⁶⁰ Tocra 1, 112. 120 f. Kat.-Nr. 1197 Abb. 55, 1197 (Typus V); Tocra 2, 55 f. Kat.-Nr. 2208 Abb. 23, 2208.

¹⁶¹ Als Beispiele wurden die vollständige Profilzeichnung der KRS Tocra 1, 121 Abb. 55, 1200 und Tocra 2, 57 Abb. 23, 2209 abgebildet.

¹⁶² Vgl. inzwischen auch den naturwissenschaftlichen Nachweis einer solchen KRS aus Naukratis, heute im BM London: zuletzt Schlotzhauer 2012, 59 f. 160 ff. Kat.-Nr. Nau 134 und 439. 442 Probe-Nr. Nauk 51 (mit Lit. zu älteren Publikationen).

may be assigned to a workshop in the neighbourhood of Kameiros¹⁶³. Damit bestätigt sich allein in diesem Typus VI die ostdorische Zuweisung von Hayes¹⁶⁴. In der Korrespondenztabelle (Tab. 1 in Abb. 8) fehlt eine Gegenüberstellung zu den neu klassifizierten südionischen Typen, da es kein südionischer Typus ist, auch wenn Beziehungen zu dem älteren Typus 2.B bestehen¹⁶⁵. Der Typus VI, der nach neueren Untersuchungen tatsächlich eine ostdorische Provenienz und vermutlich auch Varianten in Rhodos selbst aufweist, hat über die entfernten Beziehungen zu dem weit vorangehenden spätgeometrisch-früharchaischen milesischen Typus 2.B und der Ähnlichkeit des vermutlich zeitgleichen Dekors des hocharchaischen Typus 6 hinaus keine direkten Verbindungen zu den südionischen KRS. Es bleibt also lediglich ein allgemeiner chronologischer Bezug zu den KRS des Typus 6 und vielleicht auch zum Typus 8 festzustellen. In Tocra läßt sich nur ein Exemplar, Tocra 2209, im Deposit I (620 – ca. 590 v. Chr.) verorten¹⁶⁶. Allerdings bezeichnet Hayes dieses Stück als »Variant of VI«, weil es kein tongrundiges Henkelband aufweist. Diese Eigenart im Dekor wiederum verbindet Tocra 2209 mit zwei ostdorischen Beispielen aus Milet (49–50), von denen eines zusätzlich rote Bänder hat, und sichert wohl auch für diese eine Datierung im letzten Viertel des 7. bis zum Beginn des 6. Jhs. v. Chr. Hayes, der den Typus VI auch als »Kameiran series« bezeichnet, gliedert die besonders in der antiken Stadt Kamiros auf Rhodos gefundenen Mitglieder dieser Serie in drei Stufen, die er vor allem an den Ausgestaltungen des tongrundigen Henkelbandes festmacht und daher vor allem stilistisch datiert: Variante i (spätes 7. – frühes 6. Jh. v. Chr.); Variante ii (zweites und drittes Viertel des 6. Jhs. v. Chr.); Variante iii (spätes 6. Jh. v. Chr. und später)¹⁶⁷.

Die Typen VII–IX hält Hayes aufgrund ihres Fabrikats für eng zusammengehörig¹⁶⁸. Darüber hinaus sind die dargestellten Beispiele der drei Typen auch formtypologisch und in ihrer Dekoration auf das Engste verwandt. Vor allem ihr Dekor mit der von knappen Firnisstreifen gefaßten tongrundigen Randaußenseite verbindet sie eng. Das Hauptkriterium zur Unterscheidung begründet Hayes mit dem Dekor der Innenseite. Der erstgenannte Typus ist innen – bis auf ein schmales Lippenband – vollständig mit Firnis bedeckt, während Typus VIII im Becken eine bestimmte Abfolge von

¹⁶³ Tocra 1, 114.

¹⁶⁴ Hayes war offensichtlich bereits die Besonderheit innerhalb der als rhodische Typen zusammengefaßten 'black-glazed cups' aufgegangen, denn er verweist nur bei diesen auf die bereits bestehende Klassifizierung der vielen rhodischen Funde bei Kinch (Tocra 1, 113 mit Anm. 2) und fügt auch nur hier ein weiteres Spezifikum zur Unterscheidung und Herausstellung dieser Gruppe an: »Kameiran series (Rhodian Type VI) « (Tocra 2, 55). Und nur hier sah er sich genötigt anhand der »Kameiros pieces« drei Varianten des Typus VI zu unterscheiden (Tocra 1, 112 f.).

¹⁶⁵ Daher sind KRS, wie sie Hayes Typus VI vertreten, in Milet unter dem Typus 2 kurz besprochen und zwei Beispiele, allerdings ohne Typenbezeichnung, am Ende der Gruppe zum Vergleich dargestellt 49–50.

¹⁶⁶ Tocra 2, 56 f. Kat.-Nr. 2209 Abb. 23, 2209.

¹⁶⁷ Die Datierungen beruhen auf einer Analyse solcher Schalen in den rhodischen Gräbern, die in den CIRh-Bänden und den Datierungen von Kinch, s. Tocra 1, 113 mit Anm. 1). Allerdings fehlen in den CIRh-Bänden im wesentlichen Profilzeichnungen, weswegen die Bestimmung dieser Schalen von den Fotos allein unsicher bleiben müssen und vor allem die Formanalyse für eine Gliederung ausfällt. Daher ist die Unterscheidung der Varianten von Typus VI eine reine Ordnung einfachster Dekorationsprinzipien. Zu den Klassifizierungen der ostdorischen KRS und Diskussionen der Klassifizierungen von Kinch und Hayes sowie dessen fehlenden Datierungsgrundlagen für die Variante i–ii s. auch Schlotzhauer 2012, 162.

¹⁶⁸ Tocra 1, 113 f.

Firnisländern und tongrundigen Streifen aufweist. Dagegen wird der Typus IX von ihm als parallele Entwicklung zum Typus VIII angesehen, der wieder innen bis auf das obligatorische Lippenband vollständig gefirnißt erscheint, also ganz so dekoriert ist wie Typus VII. Mit Typus IX ist der häufigste Vertreter der 'Ionian cups' der Gruppe der 'black-glazed cups' in Tocra mit über fünfzig Exemplaren beschrieben. Wie dargestellt, sind die von Hayes angeführten Indizien für die Trennung der drei Typen kaum zwingend. Besonders Typus VII, von dem nur ein Fragment in Tocra gefunden wurde, und zu dem Hayes auch keine weiteren Beispiele etwa aus anderen Fundorten anführt, taugt wohl kaum, um von diesem aus einen Typus zu bestimmen. In dem neuen Klassifizierungssystem entsprechen die Typen einigen Varianten des Typus 9.B–C. Unter den Beispielen, die er im Katalog unter den Gefäßen dieser Typen aufführt, stellen auch einige (Tocra 1228–1267) einen Zwischentypus A2/B2 der Klassifikation von Villard – Vallet dar. Besonders ihr tiefes Becken ließ sie stets als eine frühe Entwicklungsstufe des Typus Villard – Vallet B2 erscheinen, der in vielem auch noch an A2 erinnert¹⁶⁹. Von diesen stehen zwei Beispiele (1228, 1263)¹⁷⁰ solchen in der Äolis – z. B. in Assos oder in der milesischen Kolonie Sinope – nahe. Hierbei handelt es sich vermutlich um eine lokale Interpretation der südionischen KRS mit extrem tiefem und engem Schalenbecken¹⁷¹. Neuere archäometrische Untersuchungen von Posamentir, Kerschner und Mommsen lassen inzwischen eine Produktion in den milesischen Kolonien am Hellespont vermuten, vielleicht in Abydos¹⁷². Eine weitere Untergruppe stellte Hayes als Variante des Typus IX dar. Es handelt sich um Tocra 1273–1276¹⁷³. Der Autor reihte sie zwar unter den Typus IX ein, doch trotz des gleichen Dekorschemas scheinen sie »not to belong to the main series«¹⁷⁴. Der Hauptunterschied zu den übrigen liegt im Fabrikat und in den »silvery mica flakes« im Ton des Scherbens. Hayes nahm für einige eine kykladische, teilweise parische Herkunft an. Zudem führte er bei einigen ein flacheres Schalenbecken oder scharfkantigere Schalenfüße an. Desweiteren scheinen Imitationen dieses Typus in Tocra hergestellt worden zu sein¹⁷⁵ (s. u.).

Mit den beiden letzten rhodischen Typen X und XI stellte Hayes eine kleine Gruppe von KRS vor, welche elaborierte Varianten der zuvor geschilderten Typen bezeichnen¹⁷⁶. Sie werden in der hier erstellten Klassifizierung unter der Variante 9,3.C geführt und gehören nicht zu den qualitativsten Stücken wie 9,4.C–D, die in Tocra offensichtlich nicht vorkommen oder als attisch bzw. lakonisch

¹⁶⁹ Tocra 1, 113 Hayes weist in seinen Ausführungen zu Typus VIII und IX häufiger auf diese Zwischenstellungen hin.

¹⁷⁰ Tocra 1, 122 Abb. 56, 1228. 1263.

¹⁷¹ Vgl. etwa aus Assos Utili 1999, 156 Kat.-Nr. 60; 158 f. Kat.-Nr. 68.289 f. Abb. 4, 60; 5, 67–68. 70. Ähnlich auch schon Kerschner in: Akurgal u. a. 2002, 38 f. mit Anm. 161–163. Auch Hayes selbst bezweifelte im Vergleich mit den übrigen Beispielen des Typus eine gleiche Herkunft (Tocra I, 114).

¹⁷² Vgl. hier S. 379 mit Anm. 1197.

¹⁷³ Tocra 1, 114. 124 Kat.-Nr. 1267–1272 (Variants).

¹⁷⁴ Ebenda.

¹⁷⁵ Tocra 1, 124 Kat.-Nr. 1273–1276 (Imitation).

¹⁷⁶ Tocra 1, 114 f. 124 Kat.-Nr. 1277–1289 (Typus X); 1290–1297 (Typus XI). In diesen Zusammenhang stellt er auch die nicht in Tocra gefundenen ionischen Kleinmeisterschalen (vgl. hier **596–610**) und solche mit Applikationen in der Henkelzone (vgl. hier **611–612**) s. Tocra 1, 115 mit Anm. 1 f..

klassifiziert werden¹⁷⁷. Hayes unterscheidet den Typus X von den vorgenannten aufgrund seines stämmigeren Fußes und des generell flacheren und weiter 'geöffneten' Schalenbeckens. Außerdem weisen die Gefäße eine Eigenheit im Dekor auf. So haben die KRS des Typus X einen zusätzlich ausgesparten Streifen außen auf der Unterseite des Schalenbeckens und innen feine dünne Linien auf dem Rand sowie ein Tondo im Schalenbecken. Die gleichen Kriterien gelten auch für den Typus XI, der zusätzlich ein Myrtenband auf der Außenseite des tongrundig ausgesparten Randes trägt. Dabei konstatiert der Autor zum letztgenannten Typus XI, daß »most of the Tocra examples are miniatures«¹⁷⁸. Als Datierung schlägt Hayes für diese beiden Typen das zweite Viertel des 6. Jhs. v. Chr. vor¹⁷⁹. In der hier entwickelten Klassifizierung gehört Typus XI zu den Typen 9,1–3.C. Nur ihr Dekor weist zusätzlich das Myrtenband auf dem Rand auf, weswegen sie bereits zu den bemalten Stücken der Stilstufe MileA II gehören und Sonderformen der Südionischen Kleinmeisterschalen darstellen.

Ausgehend von seinen Arbeiten zu den Grabkontexten in Ialysos und Kamiros auf Rhodos, hat C. W. Gates die Tocra Typen I–III und VI besprochen¹⁸⁰. Zurecht kritisierte er, daß Hayes den Typen I und II keine ausreichende Bebilderung zur Seite stellte, so daß die Abgrenzung der beiden Typen nicht eindeutig ausfällt¹⁸¹. Jedenfalls ließen sich die Schalen aus den rhodischen Gräbern selten zweifelsfrei dem tieferen Typus I oder flacheren Typus II zuordnen, sondern scheinen »a continuum of the shape, from shallow to deep«¹⁸² aufzuzeigen. Demnach lassen sich die Typen I und II, deren rhodische Herkunft Hayes explizit herausstrich, nicht auf die KRS aus den rhodischen Gräbern anwenden. Konsequenterweise zog Gates die beiden Typen zu einem zusammen: »Since it is difficult to separate one type from the other, I have lumped them together here«¹⁸³. Die konsequente Anbindung an die Vroulia-Schalen, die er vornahm¹⁸⁴, deutet aber andererseits darauf hin, daß die in Rhodos vorgefundenen KRS vielleicht gar nicht die Typen meinen, die Hayes mit den Tocra Typen I und II in Zusammenhang brachte. Jedenfalls zog Hayes diese Verbindung zu den Vroulia-Schalen in diesem Zusammenhang nicht¹⁸⁵.

Der Tocra Typus III bestätigt sich dagegen in der Zusammenstellung von Gates. Lediglich eine längere Laufzeit bis in die Zeit der Stilstufe MC scheinen die Gräber auf Rhodos nahezulegen¹⁸⁶. Damit würden auch für den Typus 8.B der neuen Klassifizierung Hinweise auf eine längere Laufzeit,

¹⁷⁷ Vgl. etwa Tocra 1, 131 f. Abb. 63 f.

¹⁷⁸ Tocra 1, 114.

¹⁷⁹ Tocra 115, dabei argumentiert er aber ausschließlich mit ähnliche Schalen mit Fikellurastil-Bemalung.

¹⁸⁰ Gates 1979, 318 ff.

¹⁸¹ Gates 1979, 318.

¹⁸² Ebenda.

¹⁸³ Ebenda.

¹⁸⁴ Gates 1979, 319 ff.

¹⁸⁵ Tocra 1, 112, überraschender Weise aber wohl in einem anderen, wenn er ausgerechnet für die Typen III und IV aufgrund ihres metallischen Firnis' und des polychromen Dekors vorschlägt »... may be assumed to have come from the same workshops as the decorated 'Vroulia cups' and a series of other dark-ground vessels« (Tocra 1, 114).

¹⁸⁶ Gates 1979, 322.

weiter in das 6. Jh. v. Chr. hinein, gegeben sein, sofern solche einzelnen Hinweise nicht als ältere Gefäße, die in einen jüngeren Grabkontext geraten sein könnten, zu beurteilen sind.

Gates folgt der Typologie von Hayes auch hinsichtlich der Unterteilung des Tocra Typus VI in die Untergruppen i–iii¹⁸⁷. So wenig überzeugend die Gliederung in nur drei Dekorationsvarianten ist, die den Typus in drei Phasen einer nach Hayes 150-jährigen Laufzeit untergliedert, so wenig konnte diese Klassifizierung gegenüber den durch keramische Funde datierten rhodischen Gräbern bestehen. Vier Beispiele der Untergruppe VI i fanden sich tatsächlich in Gräbern, die sich zwischen 625 und 525 v. Chr. datieren lassen, und drei weitere Beispiele der Gruppe VI ii, die nach dem Fundinventar der entsprechenden Gräber zwischen 575 und 500 v. Chr. zu datieren sind¹⁸⁸. Auf den ersten Blick scheint dieser Befund die Typologie von Hayes zu stützen, was Gates auch ausführlich herausstreicht. Andererseits dürfte aber ein gewisser Zweifel angebracht sein, da die Zeitspanne, die durch die Gräber angezeigt wird, die beiden Untertypen nicht entscheidend voneinander trennt. Demnach ist es auch nicht überraschend, daß eine der beiden KRS der Untergruppe VI iii in einem Grabzusammenhang des ersten Viertels des 6. Jhs. v. Chr. auftaucht, obwohl die Variante doch nach der Typologie von Hayes erst 50 Jahre später entstanden sein sollte¹⁸⁹. Gates' Versuch, die Typologie zu modifizieren und die Dekoration des Beispiels als Erweiterung der Variante VI i zu erklären, ist dann auch nur noch wenig überzeugend¹⁹⁰. Neben der chronologischen Schwierigkeit, die innerhalb der Untergruppen des Typus VI festzustellen ist, kommt aber noch der Umstand zum Tragen, daß die Gruppe sich in ihrer regionalen Zugehörigkeit von den meisten anderen von Hayes als rhodisch bezeichneten unterscheidet. Dies wird bereits in der Tabelle von Catling und Shipley deutlich¹⁹¹. Dort wurde nämlich von der Hayes'schen Typologie ausgegangen. Im Gegensatz zu den meisten anderen Typen fanden sich für den Typus VI samt seiner Untergruppen keine Entsprechungen in den Klassifizierungsmodellen, die in südionischen Fundorten erstellt wurden (Isler, Furtwängler). Wohl aber bot die Klassifizierung von Kinch Vergleiche, die anhand rhodischer Funde gefertigt wurde. Hierin mag man bereits ermessen, daß es sich bei dem Typus VI gar nicht um einen südionischen KRS-Typus, sondern tatsächlich um rhodische Produktion handelt.

Für samisch hielt Hayes drei Varianten unter den Funden in Tocra¹⁹². Allerdings konnte er lediglich jeweils nur ein Exemplar für zwei der Varianten anführen. Seine Klassifizierung dieses samischen Typus mit den drei Varianten beruht auf einer Zusammenstellung von KRS aus Samos und anderen Fundplätzen in Ostionien sowie am Schwarzen Meer und der Levante¹⁹³. Rhodos hält er nicht für die

¹⁸⁷ Ebenda 325 ff.

¹⁸⁸ Ebenda 326.

¹⁸⁹ Ebenda 327.

¹⁹⁰ Ebenda.

¹⁹¹ R. W. V. Catling – D. G. J. Shipley, *Messapian Zeus. An Early Sixth-Century Inscribed Cup from Lakonia.*, BSA 84, 1989, 199 Tab. 1.

¹⁹² Tocra 1, 115 f. 124 Kat.-Nr. 1298–1300.

¹⁹³ Tocra 1, 115 mit Anm. 4–6.

Heimat dieses Typus, da er dort nicht zu finden sei¹⁹⁴. Die Variante 'samos i' beschreibt ein Randfragment mit Henkelansatz, das außer einem tongrundigen Henkelstreifen innen und außen schwarz gefirnißt ist¹⁹⁵. Dekor und Form sind den Beispielen des hier definierten Typus 6.B, konkreter sogar mit der Variante 6,3.B, gleichzusetzen. Vollständiger ist die abgebildete und einzige KRS des Typus 'samos ii' aus Tocra¹⁹⁶. Hier handelt es sich um ein Beispiel des südionischen KRS-Typus 5,3.B. Die dritte samische Variante iii gleicht der samischen Variante ii und weist lediglich eine zusätzliche Wellenlinie zuoberst auf der Außenseite des Randes auf. Damit handelt es sich auch bei diesem um den Typus 5.B der neuen Klassifizierung für Milet/Südionien, allerdings mit der Dekorvariante α . Demnach haben wir es mit sehr eng verwandten Typen von KRS zu tun, die typologisch sämtlich älter sind als die rhodischen Typen I und III. Das hat schon Hayes erkannt, der bei der Gegenüberstellung der rhodischen und samischen Typen bei allen Unterschieden in der Form die zeitgleiche Dekoration herausstellte¹⁹⁷. Die wenigen Fundlagen in Tocra legen bereits eine Datierung in das späte 7. und frühe 6. Jh. v. Chr. nahe. Hayes verwies auch auf die Fundsituationen in Al Mina und den Vergleich mit der frühen rhodischen Serie, wodurch er eine Datierung für die ganze Serie von 650 bis 575 v. Chr. erhielt¹⁹⁸. Vermutlich ist aber der untere Zeitansatz zu tief gesetzt, denn die wenigen Beispiele dieser frühen Typen südionischer KRS in Tocra lassen darauf schließen, daß sie nur aus der Gründungsphase und der frühesten Phase der Siedlung stammen. Wie sich im Zusammenhang mit den im Rahmen dieser Studie angestellten naturwissenschaftlichen Untersuchungen gezeigt hat, ist Hayes' Zuweisung der von ihm als samische von den anderen geschiedene Serie tatsächlich vor allem ein samischer Typus¹⁹⁹.

Ebenfalls mit den in Milet und Südionien angetroffenen Typen können einige 'black-glazed cups' der von Hayes als »Various East Greek or Cycladic Wares« bezeichneten Beispiele in Zusammenhang gebracht werden²⁰⁰. Hayes schied diese KRS von den rhodischen und samischen Serien aufgrund technischer Aspekte ihres Fabrikats, nicht aufgrund formtypologischer Unterschiede oder Dekorvarianten. Sie wurden in zwei Gruppen gegliedert. In Gruppe I sammelte er solche Typen, die er zuvor in der rhodischen Serie getrennt hatte. Tocra 1302 beispielsweise stellte er selbst seinem rhodischen Typus V zur Seite, und weitere nicht katalogisierte Stücke würden seinen rhodischen Typus IX kopieren²⁰¹. Tocra 1303 gehört ebenfalls zur Gruppe I und stellt eine elaborierte Variante seines rhodischen Typus X dar. Tocra 1302 steht mit seinem relativ hohen und schmalen Rand der Variante 10,1 nahe, müßte aber aufgrund seines flachen, gedrungenen Beckens als 10,1.C–D

¹⁹⁴ Tocra 1, 115 »Similar cups have been found on a number of eastern Mediterranean sites (Rhodes being a notable exception)«.

¹⁹⁵ Tocra 1, 121 Abb. 55, 1298.

¹⁹⁶ Tocra 1, 121 Abb. 55, 1299.

¹⁹⁷ Tocra 1, 115.

¹⁹⁸ Tocra 1, 116.

¹⁹⁹ s. S. 400 ff. Im Kapitel 7.4.3.3.3.1 'Typus 5'.

²⁰⁰ Tocra 1, 116. 124 f. Kat.-Nr. 1301–1306; 125 Abb. 58; 131 Abb. 63, 1306 Taf. 88, 1302–1304. 1306.

²⁰¹ Tocra 1, 116.

klassifiziert werden. Eine solche Kombination ist so bisher in Milet und Samos noch nicht angetroffen worden, was aber nicht heißt, daß es sie in Südionien nicht gibt. Ungewöhnlicher ist der Standing mit seiner hohen, innen abgekanteten Fläche und dem wulstigen Ring auf der Außenseite²⁰². Auch Tocra 1304 weicht von den in Südionien anzutreffenden Beispielen der Variante 9,2.C ab²⁰³. Dagegen würde sich Tocra 2229, das ebenfalls in Gruppe I eingegliedert ist, als südionischer Typus 9,2.C in der neuen Typologie einreihen lassen²⁰⁴, sollte nicht das Fabrikat dagegen sprechen²⁰⁵. Besonders die roten Bänder im Becken sind in Milet und Samos beim Typus 9.C und 9.D unüblich. Die KRS, die Hayes in Gruppe II versammelte, verglich er dann aber mit seinen attischen 'black-glazed cups', die lediglich aufgrund ihres ausgezeichneten Fabrikats und der rot aufgesetzten Linien mit den ostgriechischen Serien lose verbunden werden könnten.

Hayes legte ein weiteres Augenmerk auf die lokale Produktion in Tocra oder der Region²⁰⁶. Unter diese reiht er auch einige 'Ionian Cups' ein²⁰⁷. Die ältesten Nachahmungen (»copies«), die auch im frühesten Deposit I gefunden und von Hayes um 600 v. Chr. datiert wurden, sind dünnwandige, polychrom dekorierte Schalen vom ostdorischen Typus. Jedenfalls weist das abgebildete Beispiel Tocra 2284 den typischen Schulterknick der ostdorischen KRS auf. Polychrome Dekoration mit rot-weiß-roten Bändern haben in ähnlicher Weise die südionischen KRS des Typus 8.B oder 6,5.B, auch bisweilen mit einem weißen Wellenband, das nicht unbedingt kanonisch zuoberst auf der Außenseite des Rands aufgesetzt sein muß (vgl. 152). Doch ist das Wellenband in der Henkelzone und seine Fortführung über die Henkel der Schale Tocra 2284 in Südionien bisher unbekannt. Die ostdorischen, vermutlich rhodischen Vroulia-Schalen sind ebenfalls polychrom bemalt und weisen zusätzlich Ritzungen auf²⁰⁸. Eine genaue Entsprechung von Tocra 2284 (und sicher auch 2288, wenn die Fragmente nicht ohnehin zusammengehören) findet sich aber weder in Südionien noch in der Ostdoris oder in einem der Importzentren im Mittel- und Schwarzmeerraum. Dennoch ist m. E. eine so frühe Nachahmung in der Kyrenaika eher auszuschließen. Vermutlich handelt es sich bei Beispielen wie Tocra 2284 und 2288 eher um ostdorische KRS, die süd- und nordionische Dekorelemente adaptieren. In einem späterem Kontext (Deposit III) hat sich die 'Ionian Cup' Tocra 2291²⁰⁹ gefunden, die von Hayes ebenfalls als Nachahmung eingestuft wurde und es vermutlich auch ist. Diese recht kleine

²⁰² Die Profilzeichnung ist allerdings irreführend, denn die rekonstruierte Seitenansicht rechts gibt nicht korrekt den Schnitt links wieder oder umgekehrt, s. Tocra 1, 125 Abb. 58, 1302. Mir sind ähnliche Beispiele, vor allem mit flachem Becken, auch aus Sizilien bekannt. Ob diese aber importiert oder lokal hergestellt sind, ist bisher nicht untersucht.

²⁰³ Tocra 1, 125 Abb. 58, 1304.

²⁰⁴ Tocra 2, 56 f. Kat.-Nr. 2229 Abb. 23, 229 Taf. 31, 2229.

²⁰⁵ Was ohne erneute Untersuchung nicht möglich erscheint. Das abgebildete Foto allerdings läßt keine deutlichen Abweichungen von den südionisch/milesischen Stücken erkennen.

²⁰⁶ Vgl. Tocra 1, 142 f.; Tocra 2, 65; zu den lokalen 'Ionian Cups'.

²⁰⁷ Tocra 1, 144 Kat.-Nr. 1453–1454 Taaf. 91, 1453–1454; Tocra 2, 67 ff. Kat.-Nr. 2284–2288. 2291; 2313–2316 Abb. 27, 2284. 2288. 2291 Taf. 33, 2283–2284. 2286.

²⁰⁸ Ein Beispiel der Vroulia-Schalen stellt etwa folgende aus Vroulia dar: Cook in: Cook – Dupont 1998, S. 115 Abb. 14.1.

²⁰⁹ Tocra 2, 67 f. Kat.-Nr. 2291 Abb. 27, 2291.

(DmR 13,4 cm) KRS ahmt den Typus 11,1.B der neuen südionischen Typologie nach, obgleich sich in Milet dieser Typus eher auf größere Schalen beschränkt (DmR stets mehr als 20 cm)²¹⁰. Zwei Beispiele – Tocra 1453²¹¹ und 1454²¹² –, die den rhodischen Typus IX, in der neuen Klassifizierung den Typus 9,1.B nachahmen, könnten tatsächlich lokaler Herstellung sein²¹³. Hayes charakterisierte sie wie folgt: »... an unsuccessful attempt is made to copy a black glaze. These copy a Rhodian type«²¹⁴. Das heißt, er ging von der Qualität der Gefäße aus und hielt sie daher für Nachahmungen. Bestätigen läßt sich diese These vorläufig nicht.

3.1.3 Das Klassifizierungsmodell von Hanfmann²¹⁵

Hanfmann unterschied vier grundsätzliche Typen der sog. Ionian cups in seiner 1956 veröffentlichten Typologie, die er aber zugleich einschränkend beurteilt: »The (s.c. 'Ionian') cups show a rather bewildering variability of shapes; and the task of setting up a typology is not lightened when the bulk of the material consists largely of fragments, as it does at Tarsus. In the following notes, I propose to discuss several types which appear to be prominent in the development without pretending to a complete typological investigation«²¹⁶. Vergleicht man seinen 'eingeschränkten' Typologisierungsvorhaben mit anderen Klassifikationssystemen (Tab. 1 in Abb. 8), wird aber deutlich, daß er bereits die meisten südionischen Gruppen der Gattung erfaßt hat, auch wenn er tatsächlich keine sehr differenzierte Typologisierung zu diesen erstellte.

Unter Typus I hat Hanfmann eine Gruppe von KRS zusammengefaßt, die er als mit »high body, tall conical foot« charakterisiert und aus geometrischen Vorbildern ableitet. Er führt die Entstehung des Typus sogar auf proto- und frühgeometrische »black-glazed skyphoi on conical foot« zurück, wie sie V. Desborough besprochen hat²¹⁷. Die archaischen Schalen dieses Typus seien »much narrower and taller« als die übrigen 'Ionian cups' und »may be traced at least through the seventh century«²¹⁸. Damit gab er eine äußerst vage Datierung seines Typus I, was kaum verwundert eingedenk der Tatsache, daß in Tarsus nicht ein gesichertes Beispiel angetroffen wurde²¹⁹. Vermutlich hat ihm eine Studienreise in die Ostägäis und die Levante, die er zur Erweiterung seiner Keramikkenntnisse antrat, die Grundlage

²¹⁰ Allerdings könnte der DmR von Tocra 2291 auch falsch bestimmt worden sein, falls das Fragment klein und das Gefäß vielleicht verzogen war.

²¹¹ Diese mit ca. 19 cm großem Randdurchmesser eher größere Schale mit tiefem Becken hat einen etwas ungewöhnlich geformten Fuß. Insgesamt macht die Schale den Eindruck, als könnte man sie unter die in der Äolis anzutreffenden Beispiele einordnen (vgl. hier Anm. 169 und s. u. das Klassifizierungsmodell von Uthmann).

²¹² Mit ca. 12 cm Randdurchmesser ist es eher eine kleinere Variante des Typus 9,1.B. Hier sind die Proportionen den in Milet gefundenen Beispielen durchaus ähnlich (vgl. 171–172), aber auch in anderen Fundorten findet sich diese Variante häufig.

²¹³ Tocra 1, 144 Kat.-Nr. 1453–1454 Taf. 91, 1453–1454.

²¹⁴ Tocra 1, 143.

²¹⁵ Hanfmann 1956, 167 ff.

²¹⁶ Hanfmann 1956, 168.

²¹⁷ V. Desborough, *Protogeometric Pottery* (1952) Taf. 2, 905. Damit wird aber eine Verbindung konstruiert, die einen chronologischen Hiatus von 200 Jahren ergibt, den Hanfmann nicht mit Zwischenstücken füllt.

²¹⁸ Ebenda.

²¹⁹ Ebenda.

geboten, diese Gruppe zusammenzustellen²²⁰. In Bezug auf das hier entwickelte Klassifizierungssystem führte er hauptsächlich Beispiele des Typus 8.B, daneben aber auch ein Beispiel der Variante 5,4.B²²¹ sowie eines der Varianten 6,2–4.B²²² an, die sich doch entscheidend von den KRS des Typus 8.B abheben. Damit hatte er den Typus I auch im Vergleich mit anderen älteren Typologien sehr weit gefaßt. In Tarsus selbst meinte Hanfmann aber Beispiele für die geometrischen Vorläufer des Typus benennen zu können²²³.

Der Typus II beschreibt vor allem KRS des Typus 10 der neuen Klassifikation. Doch auch hier nahm es Hanfmann mit den Grenzen der Gattung nicht so genau und führte etwa ein Beispiel für den Typus II 'Ionian Cup' an, der die Hauptkriterien der Gattung nicht erfüllt. Es handelt sich um eine Kalottenschale vom Typ 'Reifenschale', deren charakteristische Form, wie er selbst erkannte, sich von den nordionischen Vogelschalen herleiten läßt, also keinen abgesetzten Rand aufweist²²⁴. Darüber hinaus listete Hanfmann verschiedene Varianten des Typus 10 auf (sowohl solche mit aufgesetzten roten Bändern als auch ohne). Lediglich die Varianten 10,1.B–C sowie 10,9.C–D sind unter den aus unterschiedlichen Fundplätzen angeführten Beispielen sicher nicht vertreten. Bei anderen läßt sich die Zugehörigkeit zu einer bestimmten Variante nicht sicher bestimmen, da häufig nur Fotos, mitunter auch sehr schlechte Abbildungen verfügbar sind. Neben der im Zusammenhang mit dem Typus II unpassend erscheinenden Kalottenschale versuchte er auch Vorläufer des Typus II zu identifizieren. Dafür zog er einen Skyphos aus Rhodos heran²²⁵. Die Verbindung mit den für Typus II angeführten KRS scheint aber nicht glücklich, und ohne Zwischenschritte konnte er sie auch nicht plausibel machen. Zusätzlich scheint auch der Kontext des rhodischen Skyphos nicht gesichert, wodurch seine frühe Datierung umstritten bleiben muß²²⁶. Die Hauptserie des Typus II kann also vage mit dem Typus 10.B–C der neuen Klassifizierung gleichgesetzt werden, für die er aufgrund der Datierungsgrundlagen in Tarsus das 6. Jh. v. Chr. annimmt²²⁷. Da sich aber teils kuriose Zuordnungen anderer Schalen- und Skyphoi-Grundformen beobachten lassen, ist Hanfmanns Typus II insgesamt als wenig konsistent zu bezeichnen.

Mit dem Typus III von Hanfmann, den er indirekt auch als »Lip Cup« bezeichnete, ist die Grundform 9.C der neuen Typologie zu vergleichen²²⁸. Hier schloß er auch indirekt die sog. ionischen

²²⁰ Hanfmann 1956, 167 Anm. 8.

²²¹ Ebenda (= Technau 1929, 34 Abb. 28,5).

²²² Ebenda 168. 177 Abb. 9 (= J. Sieveking – R. Hackel, Die königliche Vasensammlung zu München (1912) Taf 18, 481).

²²³ Hanfmann 1956, 168.

²²⁴ Hanfmann 1956, 169. 177 Abb. 3 »but the cup is clearly of the same shape and make as the Rhodian bird bowls«.

²²⁵ Hanfmann 1956, 169. 177 Abb. 1.

²²⁶ Ebenda.

²²⁷ Ebenda.

²²⁸ Hanfmann 1956, 169 f.

Kleinmeisterschalen an²²⁹. Allerdings werden diesem Typus auch die sog. Panionion-Schalen²³⁰, eine Sonderform der KRS, zugeordnet, genauso wie eine attische 'black-glazed' Type C-Schale, deren Zugehörigkeit er aber immerhin selbst relativiert²³¹. Mit diesen Beispielen formiert sich erneut eine 'unscharfe Gruppe'. Unverständlicherweise zählt er auch einen Teller aus Delos unter den Beispielen des Typus auf, bespricht diesen aber nicht, so daß nicht klar wird, ob es sich um ein Mißverständnis handelt, wozu man geneigt ist zu tendieren²³². Es zeigen sich aber erneut unklare Formbestimmungen bei der Definition eines Typus, für den der Autor kein Beispiel aus der Grabung in Tarsus selbst vor Augen hatte. Den Typus III ließ er bereits im 7. Jh. v. Chr. beginnen und verfolgte seine Entwicklung durch das 6. Jh. v. Chr. hindurch²³³.

Zum Typus IV, den Hanfmann als Standardtypus bezeichnete, bemerkte er: »The type is so long-lived and so readily suggested archaic forms that it is apt to be misjudged«²³⁴. Tatsächlich faßt der Autor diesen Typus sehr weit, auch wenn er ihn in zwei chronologisch leicht versetzte Varianten gliedert. Vor allem der von ihm angegebene Zeitrahmen vom 9. bis zum 6. Jh. v. Chr. für die Variante a²³⁵ und vom späten 8. bis ins 6. Jh. v. Chr. für die Variante b²³⁶ spannt einen wesentlich zu weit gefaßten Zeitrahmen auf²³⁷. Auch wenn grundsätzlich der Ansatz Hanfmanns, die Entwicklung von den geometrischen Skyphoi mit abgebogenem Rand herzuleiten richtig war, werden unter den Varianten des Typus sowohl die geometrischen, als auch die subgeometrischen und archaischen KRS zusammengefaßt. Damit sind feinere Datierungen nahezu unmöglich. Solche sind lediglich dann einigermaßen gegeben, wenn Datierungsvorschläge einzelner Gefäße herangezogen werden. Da diese aber häufig nicht abgebildet sind, sondern aus anderen Publikationen erschlossen werden müssen, ist die Entwicklungsgeschichte, die er für die beiden Varianten des Standardtypus IV entwickelt, nur schwer nachzuvollziehen. Grundsätzlich ist die der Variante a klarer, obgleich die frühe Entwicklung in der geometrischen Zeit diffus bleibt. Für diese wird lediglich Abb. 2 auf Seite 177 angeführt, die hier in etwa mit dem Typus 1.B zu vergleichen sein dürfte. Eine spät- und subgeometrische Weiterentwicklung der Variante a erkannte er dann in dem samischen Stück Abb. 7, die in der neuen

²²⁹ Hanfmann 156, 170 mit dem Hinweis auf die Ähnlichkeit zu den attischen Kleinmeisterschalen verweist er auf den Aufsatz von Kunze und der dortigen Abbildung einer Profilzeichnung einer ionischen Kleinmeisterschale (Kunze 1934, 89 Abb. 1; Beil. 6).

²³⁰ Hanfmann 1956, 170 führt eine Schale aus Samos an (Boehlau 1898, Taf. 8, 22) und bezeichnet sie als Variante, hat also offenkundig bereits eine Abweichung von der Grundform erkannt; vgl. hier **614**; zuletzt zu den Panionion-Schalen s. T. G. Schattner, Panionionschalen, in: R. Biering – V. Brinkmann – U. Schlotzhauer – B. F. Weber (Hrsg.), Maiandros. Festschrift für Volkmar von Graeve (2006), 221 ff.; vgl. aber auch hier S. 100.

²³¹ Hanfmann 1956, 170 verweist auf einen »black-glazed Type C-Cup« aus Samothrake, wobei er gleichzeitig feststellt, daß in Tarsos dieser Typus nicht vorkommt; allgemein zu Type C-Cups B. A. Sparkes – B. Talcott, Black and Plain Pottery of the 6th, 5th and 4th Centuries B.C. The Athenian Agora 12 (1970) 91 ff. Abb. 4 Taf. 20.

²³² Hanfmann 1956, 170.

²³³ Hanfmann 1956, 169 »This type develops in the seventh century from the standard 'Ionian' type«.

²³⁴ Hanfmann 1956, 170; zum Typus und seine Datierung 170 ff.

²³⁵ Hanfmann 1956, 171.

²³⁶ Hanfmann 1956, 172.

²³⁷ Vgl. zur umstrittenen Datierung und Stratigraphie von Tarsus S. 311 mit Anm. 904.

Klassifizierung etwa dem Typus 3.B entspricht, und dem in Tarsus gefundenen Beispiel Abb. 8, das in der neuen Typologie exakt der Variante 5,1.C gleichzusetzen ist. Hanfmann kann diesen »older, heavier type of steep rim« noch im 7. Jh. v. Chr. verfolgen, bevor »the 'refined' form begins perhaps about the middle of the seventh century« mit den dünnwandigen Schalen Abb. 11, 12 und 15²³⁸. Vermutlich aber haben sich auch einige Fehler in den Rekonstruktionen der gefundenen Fragmente eingeschlichen, so ist nach allen bisher publizierten und in Milet und Samos angetroffenen Vergleichen davon auszugehen, daß die Abb. 11 auf Seite 177 auf der Außenseite des Randes feine, verdünnte umlaufende Linien aufgewiesen haben muß, die häufig nur sehr schwach erhalten sind, dagegen wird vermutlich Abb. 15 keine feinen Linien an der Außenseite des Randes gehabt haben, obgleich mitunter beim Fertigungsprozeß auf der Drehscheibe feine Rillen entstehen können, die diesen Eindruck erwecken. Damit würden die beiden tarsischen Beispiele der Variante a des Standardtypus IV hinsichtlich der neuen Typologie anders zu werten sein: Abb. 11 wäre als Typus 5,3.Be zu werten, während Abb. 15 sicher als Typus 9,1.C klassifiziert werden müßte²³⁹. Die Variante b dagegen läßt sich im neuen Klassifizierungsmodell nicht abbilden, da Hanfmann hiermit die ostdorischen KRS mit Schulterknick beschrieb, die er ebenfalls dem Standardtypus IV zuordnete²⁴⁰.

Zusammenfassend läßt sich zur Typologie Hanfmanns feststellen, daß es immer dann, wenn Hanfmann sich nicht auf Beispiele stützen konnte, die ihm aus den Grabungen in Tarsus zur Untersuchung bereit lagen, zu eklatanten Unschärfen bei der Definition seiner Typen kommt. Eine weitere Schwäche seines Klassifizierungssystems liegt darin begründet, daß er die Typen in zu weite Grenzen faßte, so daß sie sowohl für Herkunftszuweisungen als auch für eine feine Datierung ungeeignet sind. Dies gilt vor allem für seinen Standardtyp IV. Unter diesen listet der Autor neben südionischen auch ostdorische KRS auf²⁴¹. Es ist von daher nicht weiter verwunderlich, daß sein Klassifizierungssystem wenige Anhänger fand.

Neben einigen wenigen aiolischen und ionischen Produkten der Grundform 'Ionian cup', hält Hanfmann vor allem Samos, mehr noch Rhodos für die Hauptproduktionsorte dieser Schalen²⁴². Daneben beschrieb er aber auch lokale Imitationen dieser Gefäßgattung, die aber aufgrund der »native techniques« und des »native (but not Tarsian?) clay«²⁴³ nicht direkt in Tarsus hergestellt worden seien.

Auffällig ist, daß unter den Beispielen aus Tarsus keine KRS des Typus 11 der neuen Typologie vorkommen, wogegen der Typus 10.C durchaus anzutreffen ist. Außerdem finden sich beinahe alle Vorläufer der Typen 10 und 11 unter dem Fundmaterial des Fundorts. Möglicherweise kann dies als chronologischer Hinweis auf die zeitliche Stellung der beiden Gruppen zueinander verstanden werden.

²³⁸ Hanfmann 1956, 172 und die Abb. auf S. 177.

²³⁹ In der Konkordanztafel (Tab. 1) sind sie noch unverändert eingeordnet, aber mit Fragezeichen versehen.

²⁴⁰ Hanfmann, 1956, 172 mit 177 Abb. 14. Zu den ostdorischen KRS vgl. zuletzt Schlotzhauer 2012, 59 f. 160 ff. Kat.-Nr. Nau 134–135.

²⁴¹ Hanfmann 156, 173. 177 Abb. 14.

²⁴² Hanfmann 1956, 172 f. 183.

²⁴³ Hanfmann 1956, 173.

Das die Varianten 9,2–4.C (Hanfmanns Typus III) ebenfalls nicht in Tarsus anzutreffen ist, hat sicher eine chronologische Ursache: Ab dem zweiten/dritten Viertel des 6. Jhs. v. Chr. wurden offensichtlich keine südionischen KRS mehr importiert. Dies hat eine gewisse Logik, denn »the latest phase ends apparently in the third quarter of the sixth century, when habitation on the mound was interrupted; it was not resumed until the Hellenistic Age«²⁴⁴.

Erhebliche Probleme ergeben sich hinsichtlich der Datierungen im System von Hanfmann. Dabei sei nur darauf verwiesen, daß er gänzlich unreflektiert angeblich fixe Datierungen von Fundplätzen wie Naukratis²⁴⁵, Istros²⁴⁶ oder Tell Sukas²⁴⁷ oder die doch heftig umstrittene 'zyprische Chronologie' von Gjerstadt²⁴⁸ übernommen hat. Auch die Datierung der KRS in Tarsus machen deutlich, daß Hanfmann eine zu hohe Datierung des Materials vornahm, was er letztendlich nur mit den stratigraphischen Befunden in Tarsus selbst begründete²⁴⁹. So datierte er die subgeometrische KRS des Typus 3,2.B²⁵⁰, die bereits aufgrund der Schalenform später datiert werden muß, in das 8. Jh. v. Chr. und auch den Typus 5,1.C setzte Hanfmann im letzten Viertel des 8. Jhs. v. Chr.²⁵¹ an, was sicher zu früh ist und von keinem anderen Fundort eine Bestätigung erfährt²⁵². Eine Herabdatierung der wichtigen stratigraphischen Schichten in Tarsus (z. B. Tarsus 17 'Destruction Level') ist inzwischen allgemein akzeptiert²⁵³.

3.1.4 Das Klassifizierungsmodell von Ploug

Die dänischen Grabungen in Tell Sukas an der levantinischen Küste haben einige importierte griechische Keramik erbracht, die 1973 von Ploug vorgelegt wurden²⁵⁴. Ploug ordnete die 'Ionian Cups' nach neuen Gesichtspunkten und klassifizierte sie in zehn Gruppen. Mitunter erstellte sie

²⁴⁴ Hanfmann 1956, 166 ließ aber ein genaues Datum offen, auch wenn er mit Verweis auf die Publikation Tarsus 1 547 v. Chr. anführte, das Ende der Kilikischen Königsherrschaft und in etwa der Beginn der Persischen Herrschaft.

²⁴⁵ Hier nahm er 650 v. Chr. an, obgleich er in diesem Fall wenigstens ein Fragezeichen hinter diesen sehr frühen Datierungsansatz für die Gründung des griechischen Ortes setzte und auch immerhin in der Fußnote die spätere Datierung von R. M. Cook mit 615–610 v. Chr. erwähnte (s. Hanfmann 1956 170 mit Anm. 18). Vgl. zur Datierung von Naukratis auch Schlotzhauer 2012, 25 ff., der frühestens 610 v. Chr. für die griechische Gründung annimmt.

²⁴⁶ Auch hier ging Hanfmann 1956, 170 f. ohne weitere Diskussion von einer Datierung um 650 v. Chr. aus, womit die ältesten hier angetroffenen KRS automatisch chronologisch gleichgesetzt wurden. Ebenda Anm. 19 wies er immerhin noch darauf hin, daß R. M. Cook für Istros 610 v. Chr. als Gründungsdatum angab.

²⁴⁷ In diesem Fall übernahm er Forrers Datierungsansatz, s. Hanfmann 1956, 171 mit Anm. 19.

²⁴⁸ Hanfmann 1956, 171 mit Anm. 20; vgl. zur Diskussion des Chronologiesystems Schlotzhauer 2012, 26 Anm. 21 mit weiterführender Lit.

²⁴⁹ Vgl. etwa Hanfmann 1956, 171 »Stratification at Tarsus provides data which suggest that the »Ionian« cups go back to the ninth century«; zur allgemeinen Chronologie in Tarsus vgl. Hanfmann 1956, 165 f. mit Anm. 1 (weitere Lit.) oder auch die kritische Stellungnahme von J. Boardman, JHS 85, 1965, 5 ff. mit weiterführender Lit.

²⁵⁰ Hanfmann 1956, 177 Abb. 7 = Technau 1929, 36 Abb. 28,4.

²⁵¹ Hanfmann 1956, 171 f.

²⁵² Vgl. hier S. 307 ff. mit Anm. 874 ff. zur Datierung der Variante 5,1.Bea.

²⁵³ Zuerst hatte Boardman a. O. die hohe Datierung kritisiert und mit überzeugenden Argumenten widerlegt. Zuletzt hat Lehmann (1996) 256 ff. bes. 262 f. den Forschungsstand zu Tarsus als chronologischen »Fixpunkt« zusammengefaßt.

²⁵⁴ Ploug 1973, 27 ff.

allerdings Gruppen, deren Basis lediglich aus einzelnen Fragmenten bestand. Zwar versuchte sie stets mit möglichst vielen Vergleichsstücken die Gruppen zu rechtfertigen, dennoch bleiben einige dieser Gruppen unbefriedigend. Wo es ihr möglich erschien, setzte Ploug ihre Gruppen zu den älteren Klassifizierungssystemen von Villard – Vallet, Hayes und Hanfmann in Beziehung.

Schon die Zusammenstellung von Gruppe 1 basiert nur auf zwei Randfragmenten aus Sukas²⁵⁵. Allgemeine Vergleiche des besser erhaltenen Fragments mit Skyphoi der ersten Hälfte des 8. Jhs. v. Chr. erscheinen zunächst einigermaßen überzeugend, doch hat die Schale Sukas 100 diesen gegenüber eine geringere Beckentiefe. Daher zog Ploug zum Vergleich einen weiteren Skyphos aus Samos heran und klassifizierte Sukas 100 als spätgeometrisch²⁵⁶. Der zum Vergleich herangezogene samische KRSk wurde vom Ausgräber H. Walter in das »spätere achte Jahrhundert«²⁵⁷ datiert. Offensichtlich kannte Ploug den KRSk **51**²⁵⁸ aus Samos nicht aus eigener Anschauung, sondern nur vom schlechten Photo. Denn weder die Form des Randes noch die grobe, dicke Gefäßwand des in der neuen Typologie als Übergangstück zwischen den Typen 1/3.A klassifizierten KRSk erinnert an das Skyphosfragment in Sukas²⁵⁹. Auch der Dekor des gänzlich schwarz gefirnißten Gefäßes Sukas 100 hilft hier nicht weiter. Ferner ist das zweite Stück der Gruppe 1 (Sukas 101)²⁶⁰ unzureichend abgebildet und bietet nichts Neues. Dennoch führte Ploug zu diesem Vergleiche aus Samos an, die sie zu einer Datierung der Gruppe 1 in das zweite bis dritte Viertel des 7. Jhs. v. Chr. verleiteten²⁶¹. Für ihre Gruppe 1 konnte Ploug zudem auf keine älteren Typologien verweisen. Außer auf Samos, wo bis dahin noch keine Klassifizierung vorgelegt wurde, schienen keine vergleichbaren Skyphoi zu existieren. In der neuen Klassifizierung für Südionien/Milet ist die Gruppe 1 dem Typus 2.B nahestehend und entspricht am ehesten der Variante 2,4.B, auch wenn die Sukas-Stücke dünnwandiger zu sein scheinen.

Mit nur einem einzigen Randfragment ist die Gruppe 2 in Sukas belegt²⁶². Das dazugehörige Photo reicht kaum für eine Beurteilung aus. Daher ist man vollständig auf die Zuweisung des Fragments durch die Autorin in bereits bestehende Typologien angewiesen. Sie klassifiziert das Randfragment als Hanfmann Typus I, Villard – Vallet Typus A1 und Hayes Typus III. Alle angeführten Vergleiche lassen auf den Typus 8.B der neuen südionisch/milesischen Typologie schließen²⁶³. Allerdings läßt die schlechte Abbildung die Möglichkeit offen, daß es sich auch um eine ostdorische KRS handeln könnte, wie sie etwa **49–50** darstellen²⁶⁴. Hinsichtlich einer Herkunftszuweisung und der Datierung

²⁵⁵ Ploug 1973, 28 f.; 15 Abb. a, 100 Taf. 5, 100.101.

²⁵⁶ Ploug 1973, 28 f.

²⁵⁷ Walter 1957, 41.

²⁵⁸ Der besprochene und von Walter bereits publizierte Skyphos wird hier erneut publiziert, diesmal auch mit einer Profilzeichnung und Beschreibung, s. Kat.-Nr. 51 und Taf. 9, 51; 104, 51.

²⁵⁹ Der samische KRSk ist im Profil hier unter der Kat.-Nr. **56** besprochen und auf Taf. 28 abgebildet.

²⁶⁰ Ploug 1973, 33 Kat.-Nr. 101 Taf. 5, 101.

²⁶¹ Ploug 1973, 29 mit Anm. 190.

²⁶² Ploug 1973, 29; 33 Kat.-Nr. 102 Taf. 5, 102.

²⁶³ Ploug 1973, 29 mit Anm. 191–193.

²⁶⁴ **50** weist z. B. auch rote Bänder auf. Natürlich erwähnt Ploug weiß-rot-weiße Bänder, die bei den ostdorischen Dekoren eher selten sind.

der Gruppe referierte Ploug die bestehenden Annahmen in der Literatur, die neben Rhodos weitere ostgriechische Zentren als potentielle Produktionsstätte nennen und das letzte Drittel des 7. Jhs. v. Chr. als Herstellungszeitraum angeben.

Ebenfalls nur zwei Fragmente in Sukas bildeten die Grundlage für Plougs Gruppe 3²⁶⁵. Der Vergleich zum Typus Hayes II, den Ploug anführte, und auch die Vergleichsstücke, die sie darüber hinaus der Gruppe zuwies²⁶⁶, bestätigen aber bereits den von ihr selbst formulierten Zweifel an der Homogenität der Gruppe: »... the rim of 103 is a little steeper than that of the Tocra cup ...«²⁶⁷. Während man Ploug zustimmen kann, daß Sukas 103.1 dem Typus Hayes II an die Seite zu stellen ist, zeigt sich Sukas 103 mehr als nur »ein wenig steiler«, denn auch der Rand ist völlig anders gestaltet. Sukas 103.1 ist wie der Typus Hayes II am ehesten mit dem Typus 10.C der neuen Typologie zu verbinden, vermutlich 10,5.C. Allerdings gilt nun auch für die Gruppe 3 in Sukas die Kritik, die bereits dem Typus Hayes II gegolten hat (s. o.). Dagegen scheint das Fragment Sukas 103 am ehesten eine bisher auch in Milet und Samos noch nicht angetroffenen Variante des Typus 6.B–C darzustellen. Die Form von Sukas 103 ähnelt am ehesten den südionischen Varianten 4,3.B und 9,2.C. Grundsätzlich ist an eine bisher noch nicht belegte Variante 6.B–C in Südionien zu denken, oder es handelt sich erneut um eine 'Laune' des Töpfer/Malers, der zeitgleich bekannte Formmerkmale verschiedener Typen miteinander verknüpfte. Letztlich bleibt festzuhalten, daß die Gruppe 3 zwei sehr verschiedene Gefäßformen, die lediglich ein recht schlichtes Dekorschema zu verbinden scheint²⁶⁸, vereinigt.

Nur ein Fragment einer ungewöhnlichen KRS in Sukas bildet die Grundlage für die Gruppe 4²⁶⁹. Das zusätzlich angegebene Vergleichsstück aus Tarsos²⁷⁰ ist aufgrund der publizierten Abbildung nicht aussagekräftig. Damit muß auch die für die Gruppe aufgrund dieses Vergleiches angegebene, ohnehin recht weitgefaßte Datierung in das 7. Jh. v. Chr. angezweifelt werden²⁷¹. Auch unter dem milesischen und samischen Fundmaterial ist kein Beispiel für diese Gruppe bekannt. Ungewöhnlich ist sowohl die tiefe, kugelige Beckenform²⁷², als auch das Fehlen des tongrundigen Henkelfeldes, was selbst für die ansonsten vollständig gefirnißten KRS des Typus 6.B der neuen Klassifizierung stets verbindlich blieb. Das vom Foto zu entnehmende Fabrikat und auch die roten Bänder auf der Außenseite sind allerdings unter den milesischen und samischen KRS durchaus gängig. Damit bleiben zwei Möglichkeiten offen: entweder ist es ein 'Single' und hatte keine Nachfolge, oder es ist das Produkt eines noch unbekanntem Produktionszentrums, das bisher in den Importzentren noch nicht hinreichend

²⁶⁵ Ploug 1973, 15 Abb. a, 103. 103.1; 29; 24 Kat.-Nr. 103 Taf. 5, 103.

²⁶⁶ Ploug 1973, 29 Anm. 195–196.

²⁶⁷ Ebenda 29.

²⁶⁸ Denn von den Fragmenten ausgehend muß zwangsläufig der zu erschließende Gesamtdekor unsicher bleiben. Besonders Sukas 103.1 könnte wie die milesischen KRS **238. 263–264** eine tongrundige untere Außenseite aufweisen.

²⁶⁹ Ploug 1973, 29. 34 Kat.-Nr. 104; 15 Abb. a, 104 Taf. 5, 104.

²⁷⁰ Tarsos III Abb. 96, 1394.

²⁷¹ Ploug 1973, 29.

²⁷² Hier kann am ehesten auf die Ähnlichkeit zu relativ frühen Stücken der Variante 6,3.B (**123–124**) verwiesen werden, die jedoch keine roten Bänder aufweisen und deren Rand ebenfalls anders gestaltet ist.

nachgewiesen werden konnte. Jedenfalls ist die Gruppe aus Mangel an Vergleichen nicht in der Konkordanztabelle (Tab. 1 in Abb. 8) aufgeführt.

Für die Gruppe 5²⁷³ hat Ploug die Gleichsetzung mit den Typen Hanfmann IV, Vallet – Villard A2 und B2 und Hayes VIII–IX vorgeschlagen²⁷⁴. Bereits diese Verweise auf bestehende Klassifikationssysteme machen klar, daß mit der Gruppe 5 KRS zusammengefaßt sind, die von anderen Bearbeitern verschiedenen Typen zugeordnet wurden. So verwundert es auch nicht, wenn sich im Vergleich zum hier erstellten Klassifizierungsmodell die Gruppe 5 auf verschiedene Typen verteilt. Obgleich die von Ploug zusammengestellten Beispiele durch ein einheitliches Dekorschema vereint werden (und auch ihre Gruppe 6 zeigt das gleiche Dekorschema), sind die Gefäßcharakteristika der Stücke sehr unterschiedlich. Die KRS Sukas 105, 105.1 und 105.2 entsprechen durchaus den Varianten 9,1.B–C in der neuen Typologie und weisen alle das Dekorationsschema g auf. Sukas 106 ist vermutlich ebenfalls dem Typus 9,1.C zuzuordnen²⁷⁵, aber hier wurde das Dekorschema i, mit Banddekor im Becken, gewählt. Dagegen fällt Sukas 106.1 sicher aus dem bisherigen Schema heraus. Das Profil von Sukas 106.1 entspricht Varianten des Typus 10.B–C und 11.B²⁷⁶, wenn auch das Dekorschema unter denen des Typus 11 überhaupt nicht und des Typus 10 nicht restlos überzeugend nachgewiesen werden kann²⁷⁷. Hier haben wir es wieder mit einer der Ausnahmen zu tun, wo Elemente von verschiedenen Typen kombiniert werden²⁷⁸. Die weiteren Beispiele der Gruppe 5 mit ihren hohen Rändern, dem flachen Becken und dem charakteristischen Dekor sind dann wieder alle beim Typus 9.B–C der neuen Typologie wiederzufinden²⁷⁹. Das Fragment Sukas 107.2 hingegen fällt in seiner Randgestaltung erneut aus dem Rahmen. Über den Dekor des Gefäßes ist aus der Abbildung und auch aus dem Katalog nichts Genauer zu entnehmen, daher ist lediglich anzunehmen, daß es sich im Rahmen des für Typus 9 Üblichen bewegt. Dennoch bleibt Sukas 107.2 hier unberücksichtigt, da ansonsten keine Parallelen bekannt sind²⁸⁰. Die weiteren Stücke der Gruppe 5 sind Gefäßfüße²⁸¹, die aber in diesem Zusammenhang nicht näher besprochen werden, da nur wenige spezifische Fußformen existieren, die ausschließlich einem KRS-Typus zugesprochen werden können²⁸². Für die Gruppe 5

²⁷³ Ploug 1973, 29 f.; 15 Abb. a, 105–106.1; 37 Abb. b, 107–107.7.108–109 Taf. 5, 105–109.

²⁷⁴ Ploug 1973, 29.

²⁷⁵ Leider fehlt für Sukas 106 eine Profilzeichnung.

²⁷⁶ In der Konkordanztabelle (Tab. 1) wurde es dem Typus 10,6.C zugeordnet.

²⁷⁷ Für Vgl. des Typus 10.B–C, s. **267–268** (Variante 10,6.C) zu Typus 11.B, vgl. **345** (Variante 11,4.B Sonderform); zum Dekor können folgende Beispiele von den Typen 10.C und 11.B herangezogen werden: **266–267. 277. 366**. Grundsätzlich ist aber der Dekor von Sukas 106.1 durchaus häufiger und überzeugender beim Typus 9.C anzutreffen; vermutlich wies Sukas 106.1 auch ein Banddekor im Becken auf, also Dekorschema i.

²⁷⁸ Für das Beispiel Sukas (105) hat sich ansonsten bisher auch noch keine weitere Parallele finden lassen.

²⁷⁹ Die einzelnen Varianten können der Tab. 1 entnommen werden.

²⁸⁰ Vielleicht handelt es sich um eine nicht vollständig geglückte Fertigung oder während des Fertigungsprozesses wurde der Rand verdrückt; so auch schon Ploug 1973, 30 »107.1 is apparently of bad potting ...«. Auch unter den milesischen KRSk und KRS ist Ähnliches mitunter anzutreffen: **75. 85. 156**.

²⁸¹ Ploug 1973, 34 f. Kat.-Nr. 108–109.

²⁸² Häufig läßt sich vom Fuß aus nicht sicher auf eine KRS schließen, sondern es kann genauso gut eine andere Schalen- oder Gefäßform vorliegen.

gab Ploug die erste Hälfte des 6. Jhs. v. Chr. an, indem sie die Datierungen der älteren Klassifikationssysteme übernahm²⁸³. Lediglich innerhalb des gegebenen Zeitrahmens kommt es zu weiteren zeitlichen Differenzierungen. So wird etwa Sukas 106 spät in der ersten Hälfte des 6. Jhs. v. Chr. vermutet, während Sukas 106.1 zu den frühesten Beispielen gezählt wird und zu Beginn der ersten Hälfte des 6. Jhs. v. Chr. produziert worden sein soll²⁸⁴. Doch gehört Sukas 106.1 sicher nicht dem gleichen Typus an (s. o.).

Die Gruppe 6²⁸⁵ ist zusammen mit der zuvor besprochenen Gruppe 5 die quantitativ stärkste Gruppe unter den 'Ionian Cups' in Sukas. Sie wurde von der Autorin mit folgenden Typen anderer Bearbeiter gleichgesetzt: Hanfmann III, Villard – Vallet B3 und Hayes X–XI²⁸⁶. Die in dieser Gruppe enthaltenen Varianten unterscheiden sich im Gegensatz zur vorherigen Gruppe nur geringfügig. Es sind alles Beispiele der südionischen Varianten von Typus 9.B–C. der milesisch/südionischen Typologie. Nicht alle aufgelisteten Stücke lassen sich eindeutig der einen oder der anderen Variante zuordnen, da sie auf dem Foto nur in schlechter Qualität wiedergegeben sind. Allerdings wird schon in der von Ploug benutzten alternativen Bezeichnung »East Greek lip-cup« für diese Gruppe klar, daß es sich vor allem um die elaborierten Mitglieder des Typus 9.C–D der neuen Typologie handelt. Diese umfassen auch die sog. Ionischen Kleinmeister; darauf machte Ploug in diesem Zusammenhang aufmerksam. Differenzieren lassen sich vor allem die Varianten in Gruppe 6, die in Profilzeichnungen oder guten Photos vorliegen. Dazu gehören Sukas 121–123²⁸⁷, die der südionischen Varianten 9,1.B entsprechen. Die KRS-Fragmente Sukas 113–114 und 120²⁸⁸ lassen sich mit der Variante 9,2.C in der milesisch/südionischen Typologie gleichsetzen. Lediglich Sukas 124²⁸⁹ kann aufgrund der mitgelieferten Profilzeichnung sicher als Variante 9,3.C bestimmt werden. Feine konzentrische Bänder auf dem Rand und/oder Kreise im Schalenbecken, wie sie innerhalb der Gruppe 6 von den Fragmenten Sukas 111–112 und 125–126 vertreten werden, sind typisch für die elaborierten milesisch/südionischen KRS 9,2–4.C, selten auch 9,3–4.D²⁹⁰. Sukas 122–123 gehören aufgrund der dargestellten Myrtenbänder auf den Rändern aber zu den bemalten ionischen Kleinmeisterschalen der Stilstufe MileA II (Sondergruppe Kleinmeister)²⁹¹. Ploug datierte die Gruppe 6 mit Villard – Vallet in das dritte Viertel des 6. Jhs. v. Chr. und diskutierte die frühere Ansetzung bereits im zweiten Viertel des 6. Jhs. v. Chr. durch Hayes²⁹². Auch für die Produktionsorte Samos und Rhodos werden die

²⁸³ Ploug 1973, 29 f. mit Anm. 203–206; lediglich für einige Gefäßfüße gibt sie Fundsituationen in Tell Sukas an, die die bereits gegebene Datierung stützt. Ebenda, Anm. 204.

²⁸⁴ Ploug 1973, 30.

²⁸⁵ Ploug 1973, 30 f. 35 ff. Kat.-Nr. 110–126 Abb. b; Taf. 5–6, 110–126.

²⁸⁶ Ploug 1973, 30 f.

²⁸⁷ Ploug 1973, 36 Kat.-Nr. 121–123; 39 Abb. c, 121 Taf. 6, 121–123.

²⁸⁸ Ploug 1973, 35 f. Kat.-Nr. 113–114, 120; 37 Abb. b, 113–114; Taf. 5, 114; 6, 120.

²⁸⁹ Ploug 1973, 36 Kat.-Nr. 124; 39 Abb. c, 124 Taf. 6, 124.

²⁹⁰ Gute Vergleiche zu Sukas 125–126 bieten etwa **216–218**.

²⁹¹ Vgl. **591–593**.

²⁹² Ploug 1973, 31 mit Anm. 210–211.

Argumente der älteren Klassifizierungssysteme herangezogen. Neues ist hier nicht vorgetragen worden.

Die Gruppe 7²⁹³ besteht in Tell Sukas aus einem einzigen Beispiel, das leider ohne Profilzeichnung publiziert wurde. So muß letztlich unklar bleiben, wie dieses Stück in der neuen Typologie einzuordnen ist. Die von Ploug herangezogenen Vergleiche und ihre Beschreibung lassen eine Nähe zu den attischen Randschalen erkennen²⁹⁴. Vermutlich handelt es sich mithin um eine Randschale, wie sie hier als bemaltes Beispiel **614** vorgestellt ist. Doch kann auch die Möglichkeit nicht ausgeschlossen werden, daß Sukas 127b eine Variante des Typus 6.B darstellt.

Völlig unklar dagegen ist die Bildung der Gruppe 8²⁹⁵. Hier wird ein »low conical ring foot« vorgestellt, der vermutlich zu einer Schale, aber nicht zwingend zu einer KRS gehört. Es könnte sich mit gleichem Recht um eine Kalottenschale oder eine kleine Schüssel handeln. Gruppe 8 ist folglich zu vernachlässigen.

Ein größeres Typenspektrum weist wiederum die Gruppe 9²⁹⁶ auf. Im Wesentlichen entspricht die Gruppe dem milesisch/südionischen Typus 10.C. Doch wie bereits im Zusammenhang mit der Gruppe 1 thematisiert, befinden sich unter den 'Ionian Cups' in Sukas auch solche mit dem typischen Schulterknick ostdorischer KRS²⁹⁷ (Sukas 128c.3–8²⁹⁸). Ploug hatte bereits den Formunterschied erkannt, denn sie faßte die meisten ostdorischen Typen unter den Beispielen Sukas 128c zusammen, verglich sie mit dem Typus Hayes VI²⁹⁹ und ordnete sie auch im Text aufgrund ihrer verschiedenen Profile in eine eigene, zweite Gruppe³⁰⁰. Sie erkannte durchaus das Charakteristische der ostdorischen Gruppe: die »angular shoulder«³⁰¹. Die übrigen Beispiele vertreten in der neuen Klassifizierung die Varianten 10,4.B (Sukas 128a–c; 130; 131.1–3³⁰²) und 10,6.B (Sukas 128c.1; 131³⁰³). Aufgrund der Dekoration mit Bändern oder Tondo im Schalenbecken verwies Ploug die meisten Varianten der Gruppe in das 6. Jh. v. Chr. Sukas 130–131 verglich sie mit den spätesten Vogel- und Rosettenschalen und datierte sie um 580 v. Chr. Dagegen werden die Randfragmente, die auf ein gefirnißtes Becken schließen lassen und nur ein tongrundiges Lippenband aufweisen, konventionell in die Zeit 620–580 v. Chr. gesetzt. Dabei berief sich Ploug auf die Datierungen von Vallet – Villard für den Typus B1, der allerdings stets mit zusätzlichen roten Bändern versehen ist³⁰⁴. Diesen Unterschied sah auch Ploug,

²⁹³ Ploug 1973, 31 f. 36 Kat.-Nr. 127b Taf. 6, 127b.

²⁹⁴ Ploug 1973, 31 f. mit Anm. 223, aber sie ist sich letztendlich nicht einmal sicher, »... whether the fragment is Attic or East Greek ...« Ploug 1973, 32.

²⁹⁵ Ploug 1973, 32; 36 Kat.-Nr. 127a Taf. 6, 127a.

²⁹⁶ Ploug 1973, 32 f.; 36 ff. Kat.-Nr. 128a–131; 39 Abb. c, 128–131 Taf. 6, 128a–c.130.

²⁹⁷ Zu den ostdorischen KRS vgl. Anm. 167. 240.

²⁹⁸ Ploug 1973, 39 Abb.c, 128c.4–8.

²⁹⁹ Ploug 1973, 33.

³⁰⁰ Ploug 1973, 32 »Two sorts of profile can be distinguished ...«.

³⁰¹ Ebenda.

³⁰² Ploug 1973, 36 ff. Kat.-Nr. 128a–c; 130; 131.1–3; 39 Abb. c, 128a–c; 130; 131.1–3.

³⁰³ Ploug 1973, 36 ff. Kat.-Nr. 128c.1; 131; 39 Abb. c, 128c.1; 131 Taf. 6, 128c.1; 131.

³⁰⁴ Ploug 1973, 32 mit Anm. 228

meinte aber eine gleichzeitige Datierung vertreten zu können³⁰⁵. Hinsichtlich der ostdorischen Gruppe 128c.3–8 wies Ploug zurecht auf die schwachen Datierungsgrundlagen zum Typus Hayes VI hin. Hier kann sie aber in Tell Sukas einzelne Mitglieder aus stratifizierten Kontexten benennen: Sukas 128c.4 stammt aus G³, einer Schicht, die 675–588 v. Chr. datiert wird; Sukas 128c.6 wurde in der Schicht G² gefunden, die 588–552 v. Chr. datiert³⁰⁶.

In ihrer Gruppe 10³⁰⁷ versuchte Ploug, Henkel zu gruppieren. Sie haben entsprechend keine Relevanz für die hier vorgestellte Untersuchung.

In der Klassifizierung des neuen Systems zeigt sich für die 'Ionian Cups' aus Sukas, daß ein eng begrenztes Typenspektrum der südionischen KRS nach Tell Sukas gelangt sind. Zusätzlich sind einige wenige Typen der ostdorischen KRS-Serie importiert worden. Das Klassifizierungssystem von Ploug hat in der Forschungsgeschichte keine bedeutende Rolle gespielt. Die Vermischung von ostdorischen und südionischen KRS-Serien, die Überbewertung der Aussagekraft schlichter Henkel und Füße, die teilweise eigene Gruppen erhielten, sowie Kleinstgruppen bestehend aus ein oder zwei Fragmenten haben kein konsistentes System entstehen lassen.

3.1.5 Das Klassifizierungsmodell von Isler

Obgleich bereits verschiedentlich von den Bearbeitern der Fundkeramik aus dem samischen Heiligtum auch die südionischen KRS und ihre Vorgänger besprochen wurden, hatten weder Böhlau³⁰⁸ am Ende des 19. Jahrhunderts, noch Eilmann 1933³⁰⁹, Kunze 1934³¹⁰ oder Walter in den 1950er und 60er Jahren³¹¹ und auch nicht Walter-Karydi 1973³¹² eine eigene Typologie zu dieser Schalengattung angestrebt. Kopcke hatte zwar eine Typologisierung der 'Ionischen Schalen' aufgrund der Fundmassen eindringlich gefordert, einen solchen Versuch in seiner Publikation von 1968 aber unterlassen³¹³. Erst Isler unternahm 1977 den ersten Versuch, die »coppe ioniche« aus Samos in eine Systematik einzubinden³¹⁴. Chronologisch konnte er sich bei seiner Anordnung vor allem auf drei zeitlich geschiedene Fundkomplexe um die Mitte des 6. Jhs. v. Chr. am Nordtor des Heiligtums stützen³¹⁵. Für die übrigen Zeiträume war er auf die teils wenigen Angaben aus den Grabungen und Publikationen von Walter, Walter-Karydi und Kopcke angewiesen³¹⁶. Isler gliederte die archaischen KRS in 6 Typen, von denen einige auch Varianten aufweisen.

³⁰⁵ Ploug 1973, 32 f.

³⁰⁶ Ploug 1973, 33.

³⁰⁷ Ploug 1973, 33 f. 38 Kat.-Nr. 132a–b Taf. 6, 132a–b.

³⁰⁸ Boehlau 1898, 133 f.

³⁰⁹ Eilmann 1933, 60 ff.

³¹⁰ Kunze 1934, 89 ff.

³¹¹ Walter 1957, 46 f.; 49 f.; Walter – Vierneisel 1959, 19 f.; Samos 5, 57 f.; 70.

³¹² Samos VI 1, 21 ff.

³¹³ Kopcke 1968, 257.

³¹⁴ H.P. Isler in: CollNeapel 77 ff.

³¹⁵ Isler in: CollNeapel 72.

³¹⁶ Samos 5, 85 ff.; Samos VI 1, 98; Kopcke 1968, 303 ff.

Unter dem Typus a wird eine Gruppe von 'coppe ioniche' zusammengefaßt, deren Entwicklung vom Spätgeometrischen bis in die erste Hälfte des 6. Jhs. v. Chr. zu verfolgen ist³¹⁷. Isler charakterisierte die Gruppe als »coppe a piede basso con esterno dell'orlo risparmiato«. Dies sind die früharchaischen Beispiele Isler 3, 4, 8 und 9³¹⁸, die der Variante 5,1.B der neuen Typologie entsprechen, wobei Isler 3 die Dekorvariante ea und Isler 4, 8 und 9 die schlichtere Dekorvariante e vertreten. Isler 5³¹⁹ und 6–7³²⁰ dagegen sind in der neuen Typologie mit der Variante 5,3.B mit der schlichten Dekorvariante e gleichzusetzen. Isler nimmt eine fast 150-jährige Laufzeit seines Typus a vom Spätgeometrischen bis in die Mitte des 6. Jhs. v. Chr. an³²¹. Typologisch deckt sich der Typus a einigermaßen mit dem hier auf der Grundlage der milesischen und samischen Funde definierten Typus 5.B. Von Typus a führt, laut Isler, eine Variante zu den ionischen Kleinmeisterschalen³²². Diese 'a-Variante' entspricht in der neuen Typologie allerdings der Variante 9,1.C³²³ des Typus 9.C.

Von ungefähr dem zweiten Viertel des 7. Jhs. v. Chr. an stellt Isler eine weitere Serie neben die oben beschriebene – den Typus b³²⁴. Er umschreibt die Gruppe als »coppe a piede basso con esterno dell'orlo verniciato«. Dieser Typus umfaßt die hier entwickelten südionischen Typen 6.B und 8.B. Dabei verfolgt der Autor eine Entwicklung vom frühesten Stück Isler 12³²⁵, das mit der hiesigen Variante 6,4.B verbunden werden kann, über das Beispiel Isler 13³²⁶ aus der Mitte des 6. Jhs. v. Chr., das hier der Variante 6,2.B entspricht. Diese Entwicklung mündet laut Isler um 600 v. Chr. bzw. Anfang des 6. Jhs. v. Chr. in einfachere Beispiele wie Isler 15 und 16³²⁷, die sich ebenfalls nicht von der Variante 6,2.B in der neuen Typologie unterscheiden. In dieser letzten Phase – dementsprechend etwa zeitgleich zu Isler 15–16 – entstünde auch eine feinere Variante³²⁸ wie Isler 14³²⁹, die im vorliegenden Gliederungssystem der Variante 8,1.B entspricht. Unter diesen feinen 'coppe ioniche' des Typus b fand sich am Nordtor des samischen Heraion noch ein in seiner Dimension um ein Vielfaches größeres Gefäß. Isler bezeichnete diese übersteigerte Schale als »Coppa ionica gigantesca«³³⁰. Wieder verfolgte er über den langen Zeitraum von nahezu einem Jahrhundert die Entwicklung eines Typus und beschrieb die chronologische Entwicklung als eine, die von einem flacheren zu einem tieferen Becken verläuft und zuletzt in eine einfachere Produktion mündet. Parallel zu den späten, qualitativ einfachen Stücken entstünden noch hochqualitative, feine Schälchen mit weiß-rot-weißen Bändern.

³¹⁷ Isler in: CollNeapel 77 f.

³¹⁸ Isler in: CollNeapel 77 Taf. 32–33 3–4. 8–9.

³¹⁹ Isler in: CollNeapel 77 Taf. 32, 5 (= **103**).

³²⁰ Isler in: CollNeapel 77 Taf. 33, 6–7.

³²¹ Isler in: CollNeapel 77.

³²² Isler in: CollNeapel, Taf. 34, 10–11.

³²³ Vgl. etwa **181**.

³²⁴ Isler in: CollNeapel 78.

³²⁵ Isler in: CollNeapel 78 Taf. 34, 12.

³²⁶ Isler in: CollNeapel, Taf. 34, 13.

³²⁷ Isler in: CollNeapel, Taf. 35, 15–16.

³²⁸ Isler (in: CollNeapel, 78) bezeichnet diese feine Produktion, die hier als eigener Typus 8.B bezeichnet wird, eigentlich nicht als Variante.

³²⁹ Isler in: CollNeapel, Taf. 34, 14.

³³⁰ Isler in: CollNeapel, 78 Taf. 35, 17–18; s. zu Schalen in Übergröße auch hier Anm. 151.

Warum er diese feinen Schälchen, deren Unterschied zu den anderen Schalen des Typus deutlich beschrieben wird³³¹, nicht als Variante oder neuen Typus definierte, bleibt allerdings unklar.

Die dritte Serie der Gattung 'coppe ioniche' bezeichnete Isler als »coppe a decorazione lineare« und definierte sie als Typus c. Dieser Typus c sei eine auf das samische Heiligtum der Hera beschränkte Gruppe mit Dipinti³³². Ihre Laufzeit erstreckt sich über die gesamte erste Hälfte des 6. Jhs. v. Chr. Zwar stellt das Hera-Dipinto tatsächlich eine Eigenheit des samischen Hera-Kultes dar³³³, doch ist die Form und die streifenverzierte Dekoration dieser KRS auch in milesischen Heiligtümern und Siedlungen üblich. Die von Isler angeführten Stücke Isler 19–20³³⁴ stimmen mit der Variante 11,3.B der neuen südionisch/milesischen Typologie überein.

Neben dem Typus c unterschied der Autor noch einen weiteren formgleichen Typus d. Seinen Vertretern fehlt im Gegensatz zum vorhergehenden Typus jegliche Firnisdekoration, weswegen sie von Isler als »coppe senza vernice« bezeichnet wurde³³⁵. Der Typus d beginnt, laut Isler, in der Mitte des 6. Jhs. v. Chr. und beschreibt die Weiterentwicklung von Typus a und c³³⁶. Die Form entspricht ebenfalls dem Typus 11, Variante 11,3–4.B. Fehlender Dekor ist bisher jedoch für keinen Typus der KRS in Milet, außer auf einigen Beispielen der sog. Grauen Ware, zu belegen. Isler 21 zeigte noch das typische Hera-Dipinto auf der Schulter, womit sich die ansonsten vollständig tongrundigen KRS wohl ebenfalls als heiligtumsspezifisch zu erkennen geben. Isler bezeichnete Isler 21 auch als »transizione« zwischen Typus c und d³³⁷.

Typus e wurde vom Autor selbst mit dem Villard – Vallet Typus B1 in Zusammenhang gebracht³³⁸. Die Beispiele dieser »coppe basse a piede anulare con linee sovraddipinte« entsprechen auch tatsächlich den von Villard – Vallet als Typus B1 definierten Schalen, denn beide weisen zusätzliche rote Linien bzw. Liniengruppen auf dem dunklen Firnis auf. Allerdings konnte Isler die von Villard – Vallet vorgegebene Datierung aufgrund der Ergebnisse seiner Nordtor-Grabungen senken, da sie hier erstmals in Fundzusammenhängen von 560–550 v. Chr. angetroffen wurden³³⁹. Im Vergleich mit der neuen Typologie entsprechen Isler 24–25 der Variante 10,4.C. Vermutlich aber sind mit dem Typus e

³³¹ Denn diese feinen Schalen hätten im Unterschied zum Rest dünne Wände (»pareti sottili«) und einen anders gestalteten konischen Fuß (»piede conico«); zudem bringt er ihn zurecht mit dem Typus A1 von Villard – Vallet in Zusammenhang.

³³² Isler in: CollNeapel, 78 f.

³³³ Lediglich das wohl von Samiern gegründete Hera-Heiligtum in Naukratis (samisches »Filialheiligtum« [U. Kron]) weist den gleichen Dipinto auf gleichen Keramikformen (Tasse und KRS) auf wie es aus Samos bekannt ist (vgl. U. Kron in: H. A. G. Brijder [Hrsg.], *Ancient Greek and Related Pottery. Symposium Amsterdam 1984, Allard Pierson Series 5* [1984] 292 ff. bes. 296 mit Anm. 22.; dies. in: R. Hägg – u. a. [Hrsg.], *Early Greek Cult Practice. Symposium Athen 1986, ActaAth 38* [1988] 144 ff. bes. 145); s. auch Schlotzhauer 2012, 56 f. 154 ff. Kat.-Nr. Nau 125–Nau 129.

³³⁴ Isler in: CollNeapel, Taf. 36, 19–20; Technau 1929, 36 Abb. 28, 6.

³³⁵ Isler in: CollNeapel, 79 Taf. 36, 21–23.

³³⁶ Isler in: CollNeapel, 79.

³³⁷ Ebenda.

³³⁸ Isler in: CollNeapel, 79 Anm. 63.

³³⁹ Isler in: CollNeapel, 79.

mehrere Varianten des Typus 10.C–D gemeint. Mit dem sehr qualitätvollen Stück Isler 26–28³⁴⁰ wird zudem eine Variante des Typus e mit Malerei der Stufe MileA II vorgestellt. Es handelt sich um das namengebende Gefäß des Nordtor-Malers, von dem ein Zwilling auch in Milet gefunden wurde (vgl. 582). Die KRS mit Fikellurastil-Bemalung der Stufe MileA II gehören in der Regel der Variante 10,9.C–D an. Auch Isler 26–28 sind der Variante 10,9.C anzuschließen.

Den Typus f³⁴¹ beschrieb Isler mit »coppe a piede alto (tipo«piccoli maestri»)« und vergleicht sie mit den Typen Villard – Vallet B2 und B3³⁴². Dieser letzte Typus im Klassifizierungssystem des Autors entspricht den Varianten 9,3–4.C des hier entwickelten Gliederungssystems. Das Fragment Isler 29–30³⁴³ ist in der Rekonstruktionszeichnung zu steil wiedergegeben. Wahrscheinlich ist das Becken tatsächlich flacher gewesen, womit Isler 29–30 der hiesigen Variante 9,3.C entspräche. Die vollständige »coppa ionica« Isler 31–32³⁴⁴ ist dagegen mit der Variante 9,4.C gleichzusetzen. Mit diesem Typus verband Isler, wie bereits vor ihm Kunze, von den Funden im Heraion ausgehend, die ionischen Kleinmeisterschalen, welche die gleichen Formen und herausragenden töpferischen Merkmale aufweisen³⁴⁵. Für die Frage nach der Herkunft sowohl der einfachen Serie f als auch der ionischen Kleinmeister kam für ihn nur Samos in Frage. Die Entwicklung innerhalb der Serie dieses Typus machte Isler am Schalenbecken fest³⁴⁶. Mit dem Beginn der Produktion in der Mitte des 6. Jhs. v. Chr. sollen die Schalen des Typus f zunächst ein tiefes Schalenbecken wie Isler 29–30 aufweisen, das sich dann im Verlaufe des dritten Viertels des Jahrhunderts zu der flacheren Form Isler 31–32 entwickelte. Auch für den Typus Isler f hatte er eine Variante Isler »f variante« festgestellt³⁴⁷. Diese deckt sich in ihrer Form am ehesten mit der Variante 9,2.D der neuen Typologie. Ungewöhnlich allerdings ist der Dekor. Bereits Isler machte darauf aufmerksam und stellte fest, daß Isler 33–34 »che combina in un certo modo elementi della coppa tipo a) (orlo a linee orizzontali), della coppa tipo e) (coppa bassa ad orlo basso) e della tipo f) (piede alto)«³⁴⁸. Vor allem die Kombination dieses Formtypus mit Linien auf der Außenseite des Randes ist außer von den wenigen Stücken aus Samos gänzlich unbekannt. Hier handelt es sich offenkundig um eine nahezu singuläre Kombination³⁴⁹. In der Regel haben aber die weiteren aufgeführten KRS der Variante f von Isler einen tongrundigen Rand außen und deckten sich folglich mit dem ansonsten in Milet und an anderen Orten anzutreffenden Dekor des Typus 9.C allgemein und der Variante 9,2.C im Speziellen.

³⁴⁰ Isler in: CollNeapel, 79 Taf. 37, 26–28 (= Samos IV Beil. 1, 131 Taf. 48 f., 131).

³⁴¹ Isler in: CollNeapel, 79 f. Taf. 38, 29–32.

³⁴² Isler in: CollNeapel, 79 Anm. 67.

³⁴³ Isler in: CollNeapel, Taf. 38, 29–30.

³⁴⁴ Isler in: CollNeapel, Taf. 38, 31–32.

³⁴⁵ Isler in: CollNeapel, 80.

³⁴⁶ Ebenda.

³⁴⁷ Isler in: CollNeapel, 80 Taf. 38, 33–34 (= Samos IV Beil. 14, 538).

³⁴⁸ Isler in: CollNeapel, 80.

³⁴⁹ Es ist die einzige mir bekannte KRS mit dieser Kombination.

Das Klassifikationsmodell von Isler entspricht wohl – wenig überraschend – unter den bestehenden Modellen dem neuen, in Südionien/Milet entwickelten Gliederungssystem am ehesten und umfaßt bereits nahezu das ganze Typenspektrum archaischer Zeit in Südionien. Lediglich die Laufzeit der frühen Typen scheint zu weit gefaßt. Hier haben offensichtlich die stratigraphischen Anhaltspunkte im Hera-Heiligtum nicht ausgereicht, um parallele Entwicklungen von Typen deutlich zu machen. Hierin liegt die entscheidende Schwäche des von Isler konzipierten Modells. Die entwickelten Typen sind nicht weiter untergliedert, so daß bis zu 150-jährige Laufzeiten für die Datierung eines Typus entstanden sind. Auch gliederte er dann nicht konsequent bereits erkannte signifikant veränderte Varianten oder Gruppen aus, sondern zwängt auch recht Unterschiedliches in denselben Typus und erklärt die Unterschiede als zeitgegeben. Sein Klassifizierungssystem wurde nur wenig rezipiert.

3.1.6 Die Klassifizierungsmodell von Furtwängler

Nach dem ersten vom samischen Fundmaterial ausgehenden Klassifizierungsversuch zu den 'coppe ioniche' durch Isler, unternahm in der Folge Furtwängler einen weiteren mit den Publikationen von 1980³⁵⁰ und 1989³⁵¹. Er nahm die Gattung in einen erweiterten Blick, als es Isler getan hatte, und bezog auch die spätgeometrischen Skyphoi mit ein, die zu den 'Ionische Schalen' hinführten. Seine relative Chronologie der KRS und ihrer Vorläufer stützte sich auf vier zeitlich aufeinander folgende Fundkomplexe im Südtemenos des samischen Hera-Heiligtums, dem Gelände O 13/14³⁵². Furtwängler scheint sich einer strikten Klassifizierung nach Typen zu entziehen, indem er bemerkte: »Eine enge Typologisierung des an Formvarianten außerordentlich reichen Materials aus dem Heraion kann den samischen Töpfern des 7. Jhs. v. Chr. nicht annähernd gerecht werden«³⁵³. In der Folge legte er nicht nur für das 6. Jh. v. Chr., sondern auch schon für die zweite Hälfte des 7. Jhs. v. Chr. eine Tabelle vor, in der er die Chronologie der 'Ionische Schalen' anhand einer statistischen Auswertung in den Fundlagen der vier chronologisch geschiedenen Phasen im Gelände O 13/14 darstellte. In der Forschung wurde diese Zusammenstellung von KRS als Furtwänglers Typen 1–10 betrachtet³⁵⁴. Hinzuzuzählen sind die spätgeometrischen Skyphoi und Schalen, die er in einem gesonderten Kapitel besprach³⁵⁵. Diese haben keine Typenbezeichnung und werden hier als 'Furtwängler SG' bezeichnet. Auf den unmittelbaren Zusammenhang dieser spätgeometrischen Skyphoi mit dem Beginn der Serie der 'ionischen Schalen', der mit Furtwänglers Typus 1 beginnt, wies er anhand von Beispielen selbst explizit hin³⁵⁶.

³⁵⁰ Furtwängler 1980, 161 ff.

³⁵¹ Samos 3, 81 ff..

³⁵² Furtwängler 1980, 149 ff. (zu den Phasen I–IV bes. 158 f.).

³⁵³ Furtwängler 1980, 163.

³⁵⁴ z. B. R. W. V. Catling – D. G. J. Shipley, BSA 84, 1989, 199 Tab. 1. Dies ist auch gerechtfertigt, denn Furtwängler sprach diese im Text selbst als Typen an: »... gemeinsam mit den Schalen des Typus I/11 und I/13 ...« (Furtwängler 1980, 161).

³⁵⁵ Furtwängler 1980, 161 f.

³⁵⁶ Vom Skyphos Furtwängler 1980, 201 Abb. I/12, über die Schale (Technau 1929, 36 Abb. 28,4) zu den KRS Furtwängler Typus 1 (Furtwängler 1980, 201 Abb. 12, I/11.13).

Die hier behelfsmäßig als 'Furtwängler SG' bezeichneten spätgeometrischen Skyphoi und Schalen decken sich mit den Varianten des Typus 3 der neuen Klassifizierung.

Typus 1 wurde von Furtwängler mit zwei Beispielen belegt, die den neuen milesisch/südionischen Typus 5.B zuzurechnen sind³⁵⁷. Mit Furtwängler I/11 und I/13 treffen wir aber nur die Varianten 5,2–3.B mit dem Dekor *ea* an. Doch ist anzunehmen, daß Furtwängler in seiner Zusammenstellung des Typus 1 auch die Variante 5,1.B mit einschloß. Allerdings waren in der frühesten Phase I seines Grabungsbereichs gerade mal zwei signifikante Scherben des Typus enthalten. Damit deckte sich laut der Interpretation des Bearbeiters das Ende der Produktion dieses Typus 1 spätestens mit dieser Phase, und für die späteren Schichten war damit auch kein weiteres Beispiel mehr zu erwarten gewesen³⁵⁸. Ausschlaggebend für die Gruppenbildung scheint aber nur ein einziges Merkmal der Verzierung gewesen sein. Denn der folgende Typus 2, der in seiner Form fast vollständig dem Typus 1 entspricht, hat den gleichen Dekor, es fehlt lediglich der oberer Abschluß des streifenverzierten Randes in Form der Wellenlinie des Typus 1. Damit ist also der Typus 1 vor allem mit der Dekorationsvariante *ea* der Gruppe 5.B zu verbinden, gleicht also den Varianten 5,1–3.Be α der neuen Typologie.

Aus dem Gesagten kann bereits geschlossen werden, daß unter dem Typus 2 die übrigen Varianten der südionischen Gruppe 5 zusammengefaßt sind³⁵⁹. Das sind die Varianten 5,1–4.Be. Diese sind im Fundzusammenhang des Südtemenos vor allem in der zweiten Hälfte des 7. Jhs. v. Chr. nachzuweisen und werden dann nicht mehr produziert.

Parallel zum Typus 2 wurde der Typus 3 in der zweiten Hälfte des 7. Jhs. v. Chr. entwickelt³⁶⁰. Mit den von Furtwängler aufgeführten Beispielen³⁶¹ treffen wir eine Gruppe von Schalen, die dem Typus 6.B des neuen Klassifizierungssystems entspricht. Furtwängler I/18 entspricht in der neuen Klassifikation der Variante 6,2.B³⁶², Furtwängler I/19 in etwa der Variante 6,3.B und Furtwängler I/20 der Variante 6,4.B. Dagegen ist per definitionem Furtwängler I/23 nicht als Typus 6.B anzusprechen – ein Schalenbecken, wie es Furtwängler I/23 aufweist, ist viel zu flach und offen für den Typus 6 gestaltet. Auch die Füße der samischen Schalen sind ungewöhnlich und finden unter den milesischen Beispielen keine Parallelen. Lediglich die Fußfragmente Furtwängler I/21–22 lassen sich an den wenigen mit Fuß erhaltenen KRS des Typus 6.B in Milet wiederfinden. Aber auch hier bildet der Fuß von Furtwängler I/23 eine absolute Ausnahme, sowohl unter den milesischen des Typus 6.B, als auch unter den samischen KRS von Furtwänglers Typus 1. Darüber hinaus führte Furtwängler noch zwei

³⁵⁷ Furtwängler 1980, 201 Abb. 12, I/11.13.

³⁵⁸ Furtwängler 1980, 162. Doch ist seine Datierung des Typus in das 8. und vielleicht die ersten Jahrzehnte des 7. Jhs. v. Chr., die er durch die Ergebnisse in Tarsus als gesichert ansah, zu hoch (vgl. o. S. 37 mit Anm. 237 und die Kritik an der hohen Datierung in Tarsos S. 311 mit Anm. 904).

³⁵⁹ Furtwängler 1980, 203 Abb. 13, I/16.17; 207 Abb. 15, Ia/2; 209 Abb. 16 II/4.5; Kopcke 1968, 259 Abb. 9, 21–23; Walter-Vierneisel 1959, Beil. 61, 4.

³⁶⁰ Furtwängler 1980, 165 Tab.

³⁶¹ Furtwängler 1980, 203 Abb. 13, I/18–23; Walter 1957, Beil. 72, 1.3.

³⁶² Besonders 122.

Beispiele aus den älteren Grabungen von Walter an, die ebenfalls dem neuen Typus und den Varianten 6,2.B und 6,3.B zugerechnet werden sollten³⁶³.

Mit dem Typus 4 beschrieb Furtwängler KRS des Typus 8.B des neuen Gliederungssystems. Allerdings bildet er lediglich das Foto eines Schalenfußes³⁶⁴ ab und verwies zusätzlich auf eine fast vollständig erhaltene Schale aus einer früheren Grabung im Hera-Heiligtum³⁶⁵. Laut der Fundstatistik ist das stärkste Vorkommen des Typus in der Phase II zu verzeichnen, womit er in diesem Grabungskontext vor allem im letzten Drittel des 7. und zu Beginn des 6. Jhs. v. Chr. nachgewiesen werden konnte.

Der Typus 5 umfaßt 'Ionische Schalen', die einen einheitlichen Dekor aufweisen, wohingegen ihre Gefäßform divergiert³⁶⁶. Die Schalen sind beidseitig gefirnißt, aber auf der Außenseite sind der Rand bis auf die Schulter und die Henkelzone tongrundig ausgespart. Dieser Dekor ist im neuen Klassifizierungssystem ausschließlich beim Typus 9 anzutreffen. Die von Furtwängler benannten, durchgehend vollständigen Beispiele von Furtwänglers Typus 5 lassen sich aber nur bedingt unter den bekannten Varianten der Formgruppe der neuen südionisch/milesischen Typologie einordnen. Wenige Probleme bereiten die angeführten Beispiele Isler 543–544³⁶⁷. Sie entsprechen recht genau der Variante 9,1.B. Dagegen weisen Furtwängler III/8–10 einen viel tieferen Schalenkörper auf, wie er eher für den hier neu definierten Typus 5.B typisch ist. Wenn auch das Gefäßbecken verglichen mit den übrigen aus Samos und besonders aus Milet bekannten KRS der Variante 9,1.B der neuen Typologie sehr tief ist, so ist Furtwängler III/10 dennoch eindeutig dieser Variante zuzuordnen. Das nicht nur sehr tiefe, sondern auch kugelige Becken von Furtwängler III/8–9 hat ansonsten keine Vergleiche in Südionien. Trotzdem sind sie wohl südionisch und wären mithin eine Erweiterung der Varianten von 9.B: sie wären entsprechend als Variante 9,0.B anzusprechen. Eine Besonderheit ist ferner bei dem Fuß von Furtwängler III/10 festzustellen. Der außen leicht gewölbte und innen abgekantete Fuß weist eher auf ältere Typen und Typus 11.B der neuen Typologie hin. Daher ist nicht auszuschließen, daß es sich bei Furtwängler III/8–9 und besonders III/10 auch um die Variante 5,4.B (vgl. bes. **115**) handeln könnte, denn unter bestimmten Bedingungen der Bodenlagerung können die verdünnten Linien auf der Randaußenseite verloren gehen. Der Typus Furtwängler 5 ist in der Fundstatistik lediglich in Fundlagen des 6. Jhs. v. Chr. belegt (Phasen III/IV)³⁶⁸.

Mit dem Typus 6³⁶⁹ umschrieb der Autor die gleichen Charakteristika, wie sie Typus 10.B–C des neuen Klassifizierungssystems aufweist. Die von Furtwängler angeführten Stücke entsprechen in etwa

³⁶³ Walter 1957, Taf. 72, 1.3.

³⁶⁴ Furtwängler 1980, Taf. 49, 15.

³⁶⁵ Walter-Vierneisel 1957, Beil. 72, 4 (= **160**).

³⁶⁶ Furtwängler 1980, 213 Abb. 18, III/8.10; Samos IV, Beil. 15, 543.544.550.

³⁶⁷ Samos 4, Beil. 15, 543.544.

³⁶⁸ Furtwängler 1980, 165 Tab. Nr. 5.

³⁶⁹ Furtwängler 1980, 213 Abb. 18, III/11.12; 223 Abb. 22, IV/9; Samos 4, Beil. 1, 129.130; E. Gjerstad in: ders. (1977) Taf. 2, 4.

den Varianten 10,1–2.B–C der neuen Typologie. Die Schalen aus dem von Furtwängler bearbeiteten Grabungsareal fanden sich laut Fundstatistik in Schichten des 6. Jhs. v. Chr.³⁷⁰. In einer ausführlicheren Diskussion untergliederte Furtwängler seinen Typus 6 anhand weiterer Schalen aus älteren Grabungen vom ausgehenden 7. bis an das Ende des 6. Jhs. v. Chr., wobei er seine Gliederung vor allem an den Formveränderungen der Schalenfüße vornahm³⁷¹. Dies ist selbstverständlich nur für vollständig erhaltene Gefäße möglich. Denn das charakteristische an den 'Ionischen Schalen' bzw. südionischen KRS ist ja der abgeknickte Rand. Dagegen sind insbesondere die Standringe der KRS des Typus 10, die gesondert getöpft und angefügt wurden, teils unterschiedslos auch an Kalottenschalen, kleinen Tellerchen, Schälchen und mitunter sogar an kleinen geschlossenen Gefäßen anzutreffen.

Furtwänglers Typus 7³⁷² umfaßt dann allerdings 'Ionische Schalen', wie wir sie bereits von seinem Typus 2 her kennen. Demnach sind die von ihm angeführten Beispiele, die nur zu einem verschwindend geringen Prozentsatz im Planierungsschutt der 'polykratischen' Aufschüttung angetroffen worden sind, am ehesten als umgelagerte Fragmente aus früheren Zusammenhängen zu interpretieren. Demnach ist Furtwänglers Typus 7 ebenfalls dem Typus 5, den Varianten 5,1.B (Isler 140) und 5,3.B (Isler 141) der neuen Typologie zuzurechnen.

Auch für seinen Typus 8 konnte Furtwängler kein Beispiel aus seinem Grabungsareal anführen. Eine Vorstellung der Gruppe verbildlichte er mit einem ebenfalls aus dem samischen Heraion stammenden vollständigen Gefäß³⁷³. In dem hier entwickelten Klassifizierungsmodell entspricht es dem Typus 9.C, vermutlich der Variante 9,1.C, soweit man dies ohne Profilzeichnung beurteilen kann. Da nur sehr wenige Fragmente, die Furtwängler dem Typus 8 zuordnete, in seine Fundstatistik und ausschließlich in der spätesten Schicht auftauchen, läßt sich hieraus vermutlich kein sicherer Datierungsanhalt ableiten.

Als 'Ionische Kleinmeister' bezeichnete Furtwängler die Schalen seines Typus 9³⁷⁴. Damit sind im neuen Klassifizierungssystem die Varianten 9,3–4.C gemeint. Das einzige Beispiel, das Furtwängler abbildet, ist Furtwängler IV/10, das in der neuen Typologie exakt die Variante 9,4.C–D beschreibt. Ob sich sein Typus 9 auf diese Variante beschränken läßt, oder ob sie auch die Variante 9,3.C umfaßt, kann aus seinen Beschreibungen nicht sicher erschlossen werden. Da diese sehr späte Variante der 'Ionischen Schalen' selten ist, wirft ihr prozentual stärkeres Vorkommen in Phase IV des Südtemenos, Planquadrat O 13/14, ein bezeichnendes Licht auf die gerade in Zweifel gezogene Datierung des Furtwängler Typus 7.

³⁷⁰ Furtwängler 1980, 165 Tab. Nr. 6.

³⁷¹ Furtwängler 1980, 164.

³⁷² Samos 4, Beil. 2, 140.141. Kein einziges Beispiel wird interessanterweise von Furtwängler aus seinem Grabungsareal selbst abgebildet.

³⁷³ Samos VI 1, Taf. 41, 344.

³⁷⁴ Furtwängler 1980, 223 Abb. 22, IV, 10.

Ein in Milet kaum belegter und wahrscheinlich für die Kultkeramik des samischen Hera-Heiligtums spezifischer Typus ist Furtwänglers Typus 10³⁷⁵. Diese gänzlich ungefirnißten, teils mit Dipinto versehenen KRS sind bereits oben im Zusammenhang mit Islers Typus d («coppe senza vernice») besprochen worden. Wie bereits Isler die frühesten Beispiele dieses Typus nicht vor der Mitte des 6. Jhs. v. Chr. belegen konnte, so kann auch Furtwängler ihn erst in der Phase IV, der 'polykratischen' Aufschüttung, ab der Mitte des 6. Jhs. v. Chr. belegen. Da er aber bereits mit einem relativ starken Anteil von 19 % an der Gesamtkeramik vorkommt, ist an der späten Datierung wohl kaum zu zweifeln.

Furtwänglers Typologie weist einige 'Unschärfen' in der Typenbildung auf. So sind seine Typen 2 und 7 sicher so eng zusammengehörig, daß sie kaum mehr als Varianten sein dürften. Ganz sicher aber werden sie chronologisch nicht soweit auseinander sein, wie es Furtwängler hier vorschlug.

Neun Jahre später entwarf Furtwängler im Rahmen des mit H. Kienast publizierten Samosbandes ein differenzierteres Klassifizierungsmodell zur 'einfachen' Kultkeramik³⁷⁶ vor allem des 6. Jhs. v. Chr. In diesem Zusammenhang behauptete er erneut, daß sich eine Klassifizierung der 'Ionischen Schalen', die er nun als »Trinkschalen« bezeichnet, und ihrer Vorläufer vor dem letzten Drittel des 7. Jhs. v. Chr. »als wenig sinnvoll erwies«³⁷⁷. Beginnend mit den »ersten formvereinheitlichenden Elementen«³⁷⁸ zum Ende des 7. Jhs. v. Chr. sei eine differenzierte Einteilung der Gattung möglich. Dieser neue Ansatz führte Furtwängler zu einer Differenzierung der recht anspruchlosen KRS der einfachen samischen Heiligtumskeramik in 13 Typen (a–m) im Zeitraum von ca. 610 bis 490 v. Chr.³⁷⁹. In der Konkordanztafel (Tab. 1 in Abb. 8) wird diese zweite Typologie Furtwänglers nicht berücksichtigt, aber der Vollständigkeit halber sei sie im Folgenden kurz dargestellt.

Der Furtwängler Typus a der 'Trinkschalen' kommt ausschließlich in einem 590/80 v. Chr. geschlossenen Becken vor. Konsequenterweise wird Typus a daher vor dessen Schließung datiert³⁸⁰. Im neuen Klassifizierungssystem entspräche er dem Typus 5.B, am ehesten gar der Variante 5,2.B.

Furtwängler b gehört wie Furtwängler a/c »zu den letzten Ausläufern jener töpferischen Freiheiten des 7. Jhs.«³⁸¹. Wie der Autor aber einschränkt, sind die Exemplare dieses Typus sehr selten. So verwundert es auch wenig, daß die Dekoration dieses Typus bisher für Milet mit keinem einzigen Beispiel belegt ist. Auch die sehr tiefe und kugelige Form, die uns auch schon bei Furtwänglers Typus 5 (Furtwängler III/8–9) begegnete, ist in Milet bisher nicht zu finden. Wir fassen mithin wieder eine der seltenen Eigenheiten, die als samisch wahrscheinlich gemacht werden können. Möglicherweise

³⁷⁵ Ein Beispiel gibt Furtwängler mit dem Fragment (Furtwängler 1980, 223 Abb. 22, IV/6).

³⁷⁶ Samos 3, 81.

³⁷⁷ Ebenda.

³⁷⁸ Ebenda.

³⁷⁹ Samos 3, 81 ff. bes. 103 Abb. 17.

³⁸⁰ Samos 3, 81 ff. Abb. 12, a.

³⁸¹ Samos 3, 83; 82 Abb. 12, b.

sind es nicht exportierte Gefäße aus heiligtumseigner Produktion für den dortigen Kult und/oder Ritus³⁸².

Die gleiche Datierungsgrundlage wie für Furtwänglers Typus a liegt auch dem Typus c zugrunde³⁸³. Auch er stammt aus dem 590/80 v. Chr. geschlossenen Becken. Furtwängler bezeichnet die einzige Schale, die er für Typus c anführen kann, als »Unikat«. Warum die eine Schale dann einen Typus begründen soll, ist nicht ersichtlich. In Milet allerdings sind KRS dieses Beispiels nicht selten. Die Schale Furtwängler c entspricht dem Typus 11.B, Varianten 11,2–3.B der neuen Typologie.

Mit dem Typus d setzt spätestens nach 580 v. Chr. eine vereinheitlichende Massenherstellung ein, was bei diesem Typus gut durch seinen »sog. Kegelfuß mit Drillspitze« zu belegen sei³⁸⁴. Zusätzlich erkannte Furtwängler das Einsetzen eines starren Dekorationsprinzips mit je einem Firnisband über und unter dem Henkel. Auch sein Typus d läßt sich der neuen Variante 5,3.B zuschreiben.

Seine Typen e, f und g trennt Furtwängler aufgrund der zum Entwicklungsprinzip erhobenen Tendenz zu breiter gelagerten Schalenbecken³⁸⁵. In der Dekoration dieser »Trinkschalen« sind lediglich leichte Variationen in der Anordnung der Firnisbänder zu verzeichnen. Zu dem entworfenen Entwicklungsschema hat auch Furtwänglers Typus i zu zählen³⁸⁶. Zugleich ist mit letzterem das Ende der »streifenverzierten Produktion«³⁸⁷ im zweiten Viertel des 6. Jhs. v. Chr. erreicht. Furtwänglers Typen e–g und i gehören ebenfalls noch zum Repertoire der Varianten 5,2–3.B des neuen Klassifizierungssystems. Allerdings bezieht sich dies nur auf die allgemeinen Formprinzipien. Ansonsten geben sich die von Furtwängler aus dem samischen Heraion angeführten 'Trinkschalen' der Typen e–g und i deutlich als heiligtumsspezifische Produkte zu erkennen.

Mit Furtwänglers Typus h³⁸⁸ beginnt die Serie der ungefirnißten 'Trinkschalen'. Diese sind, wie oben bereits ausgeführt, unter den milesischen Funden nicht nachzuweisen. Furtwängler stellte eine merkwürdige Verbindung von alten Schalenformen wie die Typen a und e mit einer Eigenart der Standringgestaltung fest: die »fein artikulierten, höheren Standringe der zeitgenössischen Schalen«³⁸⁹. Diese Kombination führte ihn zu dem Schluß, daß die 'Trinkschalen' des Typus h nur zum späteren Zeitpunkt der Standringentwicklung entstanden sein könnten. Außer der von ihm konstruierten Abfolge einer 'stilistischen' Entwicklungsreihe der Standringe scheinen keine Argumente für diesen Schluß angeführt werden zu können. Eine exakte Datierung versuchte Furtwängler hier aber nicht, sondern beließ es bei einer relativen Einordnung.

³⁸² So bezeichnet es auch schon Furtwängler »... die spezifische und sichtlich auf den Hera-Kult bezogene Schalenproduktion ...«, Samos 3, 83.

³⁸³ Samos 3, 83; 82 Abb. 12, c.

³⁸⁴ Samos 3, 83; 82 Abb. 12, d.

³⁸⁵ Samos 3, 83 ff.; 82 Abb. 12, e–g.

³⁸⁶ Samos 3, 85; 84 Abb. 13, i.

³⁸⁷ Samos 3, 85.

³⁸⁸ Samos 3, 85; 84 Abb. 13, h.

³⁸⁹ Samos 3, 85.

Der Typus j³⁹⁰ gleicht in seinem Formaufbau dem Furtwängler Typus i und trägt ebenfalls ein Dipinto, allerdings ist er gänzlich unverziert, was ihn einzig vom vorhergehenden Typus unterscheidet.

Ebenso ohne jede Dekoration ist der Typus k³⁹¹, dessen »Höhen-Durchmesser-Verhältnis die Grenze von 1:2 überschreitet«³⁹². Die Form ähnelt ebenfalls wieder am ehesten der Variante 5,2–3.B des neuen Gliederungssystems.

Die 'Trinkschalen' des Furtwängler-Typus l³⁹³ zeichnen sich durch ein sehr flaches Becken und einen leicht versetzten Rand aus. Dieser zu den bisher betrachteten Schalen grundlegend anderen Formaufbau korrespondiert im für Südionien/Milet neu entwickelten Klassifizierungsmodell mit dem Typus 9.C–D, bzw. der Variante 9,4.C–D. Von den abgebildeten Schalen vertritt die Variante lα die neue Variante 9,4.C und die Variante lβ die neue Variante 9,4.D. Auch die 'Trinkschalen' des Typus l sind undekoriert, was außerhalb des Heraion von Samos bisher noch nicht aufgetreten ist. Furtwängler datierte den Typus in die zweite Hälfte des 6. Jhs. v. Chr.

Der letzte Typus in Furtwänglers zweiter Typologie, der Typus m³⁹⁴, vereint eine 'Trinkschale' des Typus l – allerdings mit tieferem Schalenbecken (Furtwänglers Variante mβ) – mit solchen, die eine andere Randgestaltung aufweisen (Furtwänglers Varianten mα und mγ), zu einem Typus. Die beiden letztgenannten Varianten des Typus m bieten nun einen guten Vergleich zu der Variante 11,4.B der neuen Typologie. Sie entsprechen einander auch teilweise in ihren Fußprofilen. Man vergleiche nur Variante mγ mit **344**. Allerdings wird die KRS **344** aus Milet rund einhundert Jahre früher datiert als die samische 'Trinkschale' Furtwängler mγ. Während Furtwängler die Schalen des Typus m und damit auch das Fußprofil von mγ sicher in die spätarchaische Zeit datiert³⁹⁵, stammt das milesische Beispiel **344** aus der Siedlungsphase 2 am Kalabaktepe und gehört somit sicher bereits in das letzte Drittel des 7. Jhs. v. Chr.³⁹⁶

In der vorangegangenen Besprechung der zweiten Furtwängler'schen Typologie der 'Ionischen Schalen' wurde bereits auf einige Grundprobleme hingewiesen. Als nicht unumstritten hat sicher die sehr feine Untergliederung und chronologische Differenzierung anhand von Fußprofilen und

³⁹⁰ Samos 3, 85; 84 Abb. 13, j.

³⁹¹ Samos 3, 85; 84 Abb. 13, k.

³⁹² Samos 3, 85. Solche Berechnungen sind für Fragmente, wie sie in den meisten Siedlungen und Heiligtümern, so auch in Milet, angetroffen werden, in den meisten Fällen nicht durchführbar.

³⁹³ Samos 3, 85; 84 Abb. 13, l.

³⁹⁴ Samos 3, 85; 84 Abb. 13, m.

³⁹⁵ Samos 3, 85 f. mit Anm. 357, wo sich der Verweis auf die Fundsituation der drei »Trinkschalen« in der Publikation von U. Sinn, Der sog. Tempel D im Heraion von Samos II. Ein archäologischer Befund aus der nachpolykratischen Zeit. Mit einem Exkurs zum griechischen Bauopfer, AM 100, 1985, 134 ff. (Bauopfer); 140 f. (Datierung) 154 Kat.-Nr. 36–39 Abb. 7, b (= Furtwängler mα); d (= Furtwängler mγ); f (= Furtwängler mβ); Sinn datierte aufgrund der Funde die Aufschüttung für Tempel D an die Wende vom 6. zum 5. Jh. v. Chr. und läßt keinen Zweifel daran, daß die von der Aufschüttung verdeckte Opfergrube (Bauopfer), in der die drei KRS gefunden wurden, zeitlich unmittelbar vorausging und mit den Vorbereitungen des Bauvorhabens unmittelbar zusammenhängt.

³⁹⁶ Vgl. hierzu auch S. 168 und 353 ff.

Varianten der einfachen Dekoration zu gelten³⁹⁷. Diese Kritik scheint sich hinsichtlich der in einer Tabelle eingetragenen Laufzeiten der einzelnen Typen zu bestätigen, denn die meisten von diesen Typen (a und c–k) sind zeitgleich, wie es die geringen Form- und Dekorationsunterschiede auch anzuzeigen scheinen. Damit scheint also mit der feinen Typologisierung keine wirkliche Datierungshilfe gewonnen. Lediglich durch die vorgenommene Trennung der Typen b (Typus 5.B) von den Typen d–k (Typus 5.B) sowie i/m (Variante 5,2–3.B/Variante 11,4.B) kommen sichtbare Datierungsunterschiede zum Tragen.

3.1.7 Das Klassifizierungsmodell von Gjerstad

1977 stellte Gjerstad griechische Importkeramik aus Zypern zusammen³⁹⁸. In diesem Zusammenhang schied er unter dem vagen Begriff »skyphos« verschiedene Typen und Varianten von KRS. Den älteren Terminus zur Gattung erklärte er beiläufig für überholt – »... formerly called 'Ionian cups' ...«³⁹⁹ – und erläuterte ferner in keiner Zeile, warum er den neuen Terminus 'skyphos' einführt⁴⁰⁰. Teilweise ordnet er unverständlicherweise auch andere Gefäßformen der Gruppe zu (s. u. Gjerstad 151). Gjerstad führte alle 'skyphoi' unter der Rubrik »East Greek pottery«, ohne regionale Differenzierungen vorzunehmen. Seine Typologie scheint zudem keine chronologische Ordnung angestrebt zu haben. Statt dessen begnügte er sich mit einem Verweis auf die Chronologien der beiden bestehenden Klassifizierungsmodelle von Villard – Vallet und Hayes⁴⁰¹. Diese Mängel mögen die Ursache dafür gewesen sein, daß die Typologie von Gjerstad in der Forschung fast vollständig übergegangen wurde.

Wie erwähnt, erstellte Gjerstad selbst bereits eine detaillierte Konkordanz seiner Gruppen 1–7 zu den Klassifizierungssystemen von Villard – Vallet und Hayes⁴⁰². Dabei verglich er seine Gruppe 1 mit den Typen Villard – Vallet A1 und Hayes III, seine Gruppen 2–3 mit Villard – Vallet B1, seine Gruppen 4–5 mit Villard – Vallet A2, seine Gruppe 6 mit Hayes VIII–IX. Zudem entsprächen Gjerstads

³⁹⁷ Die Fixierung auf die Fußgestaltung als Merkmal der Entwicklung wird immer wieder deutlich, so auch etwa in Samos 3, 81 »Die ersten formvereinheitlichenden Elemente zeichnen sich im letzten Drittel des 7. Jhs. ab, zunächst in der Standringgestaltung [...]. In der Feinkeramik kommen jene dünnwandigen Schalen auf, die mit rot-weiß-rottem Reifendekor versehen und mit ihrem kleinen Kegelfuß an Schärfe und Prägnanz der Form alles Bisherige übertreffen [...] jene breiteren und tieferen, schwarzgefirnißten Schalen, deren unteren Abschluß ein 'konkaver Schrägfuß' bildet«.

³⁹⁸ E. Gjerstad in: Gjerstad 1977, 23 ff.

³⁹⁹ E. Gjerstad in: Gjerstad 1977, 32. Dagegen benennt er die KRS des Typus 9,2–3.C der neuen Typologie noch 1966 als »Ionian cups«, vgl. E. Gjerstad, *Synthesis of archaeological evidence. Early Rom 4* (1966) 523 f. Abb. 160–161.

⁴⁰⁰ Er ersetzte sogar in existierenden Typologien die feststehenden Termini, etwa den von Hayes eingeführten Terminus für 'Black Glazed cups' nennt er ohne Diskussion »Black Glazed skyphoi«, E. Gjerstad in: Gjerstad 1977, 33 Anm. 31.

⁴⁰¹ E. Gjerstad in: Gjerstad 1977, 32 f. mit Anm. 31; gleichwohl diskutierte er hier einige der von Villard – Vallet und Hayes vorgegebenen Datierungen; es fällt aber erneut auf, daß er hier mit keinem Wort auf die Datierung seiner Gruppen einging, sondern nur die von Villard – Vallet und Hayes definierten Typen bespricht. Einzelnes zu diesen Ergänzungen der besagten Datierungen dann in der folgenden Diskussion zu den Gruppen von Gjerstad.

⁴⁰² E. Gjerstad in: Gjerstad 1977, 33 Anm. 31.

Gruppen 2–5 den Typen Hayes I–II und IV–VII⁴⁰³. Die in Gjerstads Klassifizierung ohne Gruppenbezeichnung gebliebenen »cups with tall stemmed foot as Pl. XVII, 2« hätten ihre Entsprechung in der Typologie von Hayes bei den Typen X–XI und der »stemmed atticizing lip-cup (Pl. XVII, 3–5)« bei Villard – Vallet B3. Einzig Gjerstads Gruppe 7 sei weder von Villard – Vallet, noch von Hayes erfaßt worden.

Seine Gruppe 1 bebilderte Gjerstad mit drei auf Zypern gefundenen 'skyphoi', die angeblich »Vroulian« genannt würden, weil solche Schalen zunächst nur von diesem Fundort bekannt geworden waren. Da inzwischen auf der ganzen Insel Rhodos weitere Beispiele zum Vorschein gekommen seien, plädierte er für eine Bezeichnung als »Polychrome Rhodian«, womit er hier zumindest indirekt vermuten ließ, daß er eine rhodische Provenienz der Gruppe 1 annahm⁴⁰⁴. Inzwischen ist klar, daß die KRS der Gjerstad Gruppe 1 mit größter Sicherheit nicht auf Rhodos und auch nicht in der Ostdoris hergestellt worden sind. Damit ist sein Benennungsversuch vollständig überholt. Gjerstad verglich seine Gruppe 1 selbst mit den Typen Villard – Vallet A1 und Hayes III. Hinsichtlich der Datierung benannte er den von Villard – Vallet und Hayes vorgegebenen Zeitraum von 640/630 bis 600 v. Chr., wobei er eine Fortsetzung bis in das beginnende 6. Jh. v. Chr. favorisierte⁴⁰⁵. Auch den frühen Beginn um 640/630 v. Chr. kritisierte er unter Hinweis auf seine eigene Publikation von 1966, in der er bereits festgestellt hatte, daß die für den frühen Beginn herangezogene spätprotokorinthische und übergangszeitliche korinthische Keramik stets in Kontexten mit frühkorinthischer Keramik vorkommt, daher sei eher 625 v. Chr. als Beginn für die Gruppe 1 anzunehmen⁴⁰⁶. Die Gjerstad Gruppe 1 entspricht in der neuen, hier entwickelten Klassifizierung dem Typus 8.B, und die abgebildeten Beispiele⁴⁰⁷ lassen zumindest die Varianten 8,1.B und 8,2.B sowie durchgehend die Dekorvariante $\epsilon\alpha$ erkennen.

Ein »shallow body with base-ring and small offset rim«⁴⁰⁸ sei charakteristisch für die Gjerstad Gruppe 2, die er selbst mit dem Typus Villard – Vallet B1 verglich. Die von ihm angeführten Beispiele⁴⁰⁹ entsprechen dem Typus 10.C der neuen Typologie und besonders den Varianten 10,1.B–C (= Gjerstad 128) und 10,4.C (= Gjerstad 127). Dabei hatte er in dieser Gruppe sowohl KRS mit zusätzlichem roten Reifendekor als auch ohne aufgeführt. Letzteres entspricht streng genommen nicht mehr dem Typus Villard – Vallet B1, der sich lediglich auf die polychrome Dekorvariante bezog.

⁴⁰³ Diese Verbindung der Gjerstad-Gruppen mit den genannten Hayes-Typen sind teilweise nicht nachvollziehbar, beispielsweise findet Hayes' Typus I keinerlei Entsprechung in den Gruppen 2–5 von Gjerstad.

⁴⁰⁴ E. Gjerstad, *Synthesis of archaeological evidence. Early Rom 4* (1966) 288 bereits 1966 nannte er diese Gruppe »Polychrom Rhodian« und ebenfalls hinsichtlich der Provenienz äußerte er sich deutlicher »their original homeland seems to be Rhodes«.

⁴⁰⁵ Gjerstad a. O. 288 Anm. 8 forderte eine Datierung bis in die Mittelkorinthische Periode, indem er auf einen Grabbefund in Megara (Tomb 833) verwies.

⁴⁰⁶ E. Gjerstad in: Gjerstad 1977, 33 Anm. 31; E. Gjerstad, *Synthesis of archaeological evidence. Early Rom 4* (1966) 288 Anm. 8.

⁴⁰⁷ E. Gjerstad in: Gjerstad 1977, 32 Taf. 16, 1–3.

⁴⁰⁸ E. Gjerstad in: Gjerstad 1977, 32.

⁴⁰⁹ E. Gjerstad in: Gjerstad 1977, Taf. 13, 4–9.

Gjerstads Gruppe 3 faßt 'skyphoi' mit »wide, shallow body with depressed body, higher base-ring and larger offset rim« zusammen⁴¹⁰. Bezogen auf bestehende Klassifikationssysteme entspräche seine Gruppe 3 angeblich dem Typus Villard – Vallet B1, bezüglich der Typologie von Hayes äußerte sich Gjerstad eher vage, so daß man nur vermuten kann, daß er seine Gruppe 3 mit Hayes' Typus II und V, vielleicht auch IV gleichsetzte⁴¹¹. Die abgebildeten 'skyphoi' dieser Gruppe⁴¹² lassen auf eine ostdorische Produktion schließen, wie es der zusätzliche Schulterknick anzuzeigen scheint⁴¹³. Ungewöhnlich für die ostdorischen KRS sind bisher flache Formvarianten, wie sie von Gjerstad mit den zyprischen Beispielen belegt wurden. Bezogen auf die hier entwickelte südionisch/milesische Klassifikation haben diese Schalen aber keine Bedeutung.

Sehr heterogen ist die Gjerstad Gruppe 4⁴¹⁴, deren Mitglieder er mit »conical, deeper body with base-ring or short narrow foot; offset rim as that of Group 2 (Pl. XIII, 12)«⁴¹⁵ beschrieb. Bei einem Teil der abgebildeten 'skyphoi' ist Gjerstad beizupflichten, wenn er sie mit dem Typus Villard – Vallet A2 gleichsetzte. Dies sind Gjerstad 132–134, die auch in der neuen südionisch/milesischen Typologie dem Typus 6.B. und am ehesten der Variante 6,2.B entsprechen. Dagegen sind Gjerstad 131 und 136 der ostdorischen Variante der KRS zuzurechnen und haben entsprechend keinen direkten Bezug zur hier in Frage stehenden südionischen Gattung. Unklar muß die exakte Zugehörigkeit von Gjerstad 135 in einem der Klassifikationssysteme bleiben, da das Photo für die Bestimmung in diesem Fall nicht ausreichend ist.

Mit der Gjerstad Gruppe 5⁴¹⁶ ist ein sehr ungewöhnliches Beispiel bezeichnet, wobei zu fragen wäre, ob ein Gefäß bereits ausreicht, eine eigene Gruppe zu formen. Der Autor selbst hielt den 'skyphos' bereits für »a sort of hybride product«⁴¹⁷. Es handelt sich um eine elaborierte Sonderform des südionischen Typus 9.C–D der neuen Typologie und ist am ehesten vielleicht mit einem Sonderstück wie dem aus Samos stammenden KRS **214** zu vergleichen. Auch in diesem Fall wurde der gewöhnlich hohe Stiefuß durch einen flachen Standring ersetzt.

In der Gjerstad Gruppe 6⁴¹⁸ sind die Varianten des Typus 9,1–3.C des neuen Klassifizierungssystems zusammengestellt. Der Autor beschrieb die 'skyphoi' der Gruppe 6 folgendermaßen: »the body is conical as in Group 4 or depressed semiglobular as in Group 5; large offset rim and conical spayed foot«⁴¹⁹. Diesen quantitativ wohl bedeutendsten Typus südionischer Importe der Formgattung auf

⁴¹⁰ E. Gjerstad in: Gjerstad 1977, 32.

⁴¹¹ E. Gjerstad in: Gjerstad 1977, 33 Anm. 31.

⁴¹² E. Gjerstad in: Gjerstad 1977, 32 Taf. 13, 10.11.

⁴¹³ Vgl. hier **49–50**.

⁴¹⁴ E. Gjerstad in: Gjerstad 1977, Taf. 13, 12–14; 14, 1–3.

⁴¹⁵ E. Gjerstad in: Gjerstad 1977, 32.

⁴¹⁶ E. Gjerstad in: Gjerstad 1977, Taf. 14, 4.

⁴¹⁷ E. Gjerstad in: Gjerstad 1977, 32.

⁴¹⁸ E. Gjerstad in: Gjerstad 1977, 32 Taf. 14, 5–10; 15, 1–7.

⁴¹⁹ E. Gjerstad in: Gjerstad 1977, 32.

Zypern verglich Gjerstad lediglich mit Hayes' Typus VIII–IX⁴²⁰. Warum er die naheliegende Parallele zum Typus Villard – Vallet B2 nicht gezogen hat, bleibt unerklärlich.

Ein einziger unkanonischer 'skyphos' wurde für die Gjerstad Gruppe 7 angeführt⁴²¹. Gjerstad charakterisierte die Gruppe als »body depressed conical ... with base-ring and collar-shaped rim«⁴²². Der Autor erklärte bereits, daß es keine Übereinstimmungen mit den Typologien von Villard – Vallet und Hayes gäbe. Auch im neuen Klassifikationssystem findet sich der 'skyphos' nicht wieder.

Als separate Kategorien führte Gjerstad dann noch zwei Schalengruppen an, die nicht in seine Gruppierung Eingang gefunden hatten. Sie sind mit den Begriffen »stemmed skyphos«⁴²³ bzw. »kylix«⁴²⁴ bezeichnet worden. Es handelt sich bei beiden Kategorien um südionische KRS des Typus 9.C–D der neuen Typologie. Gjerstad 153–155, die er einmal als »kylix«⁴²⁵, in anderem Zusammenhang als »stemmed atticizing lip-cup«⁴²⁶ bezeichnete, verband er bereits mit Villard – Vallet Typus B3. Sie entsprechen in der neuen Klassifizierung der Variante 9,4.C, wobei Gjerstad 154–155 einen niedrigen Stiel und eine massive Fußplatte aufweisen. Es ist nicht auszuschließen, daß es sich bei ihnen tatsächlich um attische KRS der Variante 'Randschale' handelt. Dagegen sind die »stemmed skyphoi«, die er im Weiteren auch als »cups with tall stemmed foot as Pl. XVII, 2« bezeichnete, sicher südionisch und entsprechen den hier definierten Varianten 9,1–2.C mit Dekoration der Stufe SiA II. Das ebenfalls dieser letzten Kategorie zugeordnete Gefäß Gjerstad 151, gehört allerdings nicht hierher⁴²⁷.

3.1.8 Das Klassifizierungsmodell von Thalmann

Thalmann schlug ebenfalls 1977 ein Klassifizierungssystem für die »coupes ioniennes« vor, die auf der Akropolis von Amathus auf Zypern zwischen 1960 und 1963 ergraben wurden⁴²⁸. Auch Thalmann orientierte seine Typen wieder an den beiden bekanntesten Klassifizierungsmodellen von Villard – Vallet und Hayes. Allerdings bildete er für einige Beispiele der 'coupes ioniennes' neue Gruppen, wenn sie von den genannten Klassifizierungsmodellen nicht abgedeckt wurden. Thalmann konnte auf keine eigene Stratigraphie zurückgreifen, und so beruht seine chronologische Ordnung der Typen vor allem auf den Vorschlägen von Villard – Vallet und Hayes.

⁴²⁰ E. Gjerstad in: Gjerstad 1977, 33 Anm. 31.

⁴²¹ E. Gjerstad in: Gjerstad 1977, Taf. 15, 8.

⁴²² E. Gjerstad in: Gjerstad 1977, 32.

⁴²³ E. Gjerstad in: Gjerstad 1977, 34 Taf. 17,2.

⁴²⁴ E. Gjerstad in: Gjerstad 1977, Taf. 17, 3–5.

⁴²⁵ E. Gjerstad in: Gjerstad 1977, 34.

⁴²⁶ E. Gjerstad in: Gjerstad 1977, 33 Anm. 31.

⁴²⁷ Es handelt sich um eine milesische Schüssel auf hohem Fuß mit Tierfriesdekoration der Stufe MileA Ic, die heute im BM London aufbewahrt wird und von A. Villing in einem Vorbericht zu den milesischen Schüsseln erneut publiziert und ausführlich besprochen sowie neu klassifiziert wurde (Zwei archaische Schüsselformen in Milet, AA 1999, 189 ff. Abb. 1,a–c).

⁴²⁸ J.P. Thalmann in: Gjerstad 1977, 65 ff., zur Typologie bes. S. 70 ff.

Seine frühesten Gruppen sind A–C und wurden von ihm an das Ende des 7. Jhs. v Chr. datiert⁴²⁹. Die Gruppe A setzte er mit den Typen Villard – Vallet A1 und Hayes III gleich. Das Beispiel, welches Thalmann abbildete, hat aber ein überraschend flach rekonstruiertes Becken⁴³⁰. Damit handelt es sich bei Thalmann 46 vermutlich um ein Beispiel der neuen südionisch/milesischen Variante 10,1.C mit rot-weißer Streifenverzierung, also der Dekorvariante ay. Mit der Thalmann Gruppe B verlassen wir erneut den südionischen Produktionsraum, da aufgrund des deutlichen Schulterknicks zweifellos die ostdorische Variante der KRS vorliegt⁴³¹. Daher ist die Thalmann Gruppe B in der Konkordanztabelle oben nicht verzeichnet. Die Thalmann Gruppe C findet laut Autor keine Entsprechung unter den bekannten Klassifizierungsmodellen⁴³². Doch ist sie sicher mit dem Typus Villard – Vallet A2 anzuschließen⁴³³. Die Vergleichbarkeit ist allerdings dadurch erschwert, daß Thalmann nur ein sehr schlecht erhaltenes Randfragment in Profilzeichnung zur Veranschaulichung des Typus bereitstellte. Dennoch wird man nicht fehlgehen, Thalmann 52 der Gruppe C dem neuen südionischen Typus 11 zuzurechnen.

Für das erste Viertel des 6. Jhs. v. Chr. führte der Autor die Gruppen D–E an⁴³⁴. Die Thalmann Gruppe D⁴³⁵ ähnelt stark der Gruppe A, allerdings mit einem gerundeten, nicht mehr spitzen Rand. In der hier vorgenommenen Klassifizierung der südionischen KRS entspricht ihr die Variante 10,2.B–C. Ebenfalls sehr eng verwandt ist die Thalmann Gruppe E⁴³⁶. Ihren Mitgliedern fehlen im Vergleich zur vorgenannten Gruppe die aufgesetzten roten Streifen, und in der Formgestaltung fällt bei den meisten das tiefere Schalenbecken auf. Die meisten 'coupes ioniennes' der Gruppe E können mit der neuen südionisch/milesischen Variante 10,3.B–C gleichgesetzt werden. Eine Ausnahme in der Gruppe E stellt aber das Beispiel Thalmann 62 dar⁴³⁷. Bei diesem finden sich alle Kriterien des Typus Villard – Vallet A2 und der Variante 11,4.B der neuen Typologie wieder, und nicht, wie Thalmann angab, Villard – Vallet B1. Thalmann 62 entspricht recht genau der KRS **345** aus der 'Südstadt' Milets, die eine Sonderform der Variante 11,4.B vorstellt.

In die erste Hälfte des 6. Jhs. v. Chr. datierte Thalmann die Gruppen F–G⁴³⁸. Unter diesen lassen sich die beiden abgebildeten Beispiele der Gruppe F noch weniger als bisherige Gruppen mit den bestehenden Klassifizierungsmodellen vereinbaren⁴³⁹. Thalmann zieht zwar als Vergleich den Typus Hayes VIII heran, doch deckt sich Thalmann 66 gar nicht und Thalmann 67⁴⁴⁰ scheinbar in einem

⁴²⁹ J.P. Thalmann in: Gjerstad 1977, 70.

⁴³⁰ J.P. Thalmann in: Gjerstad 1977, 71 Taf. 3, 8.

⁴³¹ Vgl. **49–50**.

⁴³² J.P. Thalmann in: Gjerstad 1977, Taf. 3, 11.

⁴³³ Vgl. Villard – Vallet 1955, 19 Abb. 3.

⁴³⁴ J.P. Thalmann in: Gjerstad 1977, 70.

⁴³⁵ J.P. Thalmann in: Gjerstad 1977, 71 Taf. 3, 9.13.

⁴³⁶ J.P. Thalmann in: Gjerstad 1977, Taf. 3, 10. 14–15; 4, 1.9.

⁴³⁷ J.P. Thalmann in: Gjerstad 1977, Taf. 4. 1.

⁴³⁸ J.P. Thalmann in: Gjerstad 1977, 70.

⁴³⁹ J.P. Thalmann in: Gjerstad 1977, Taf. 4, 2–3.

⁴⁴⁰ J.P. Thalmann in: Gjerstad 1977, Taf. 4, 3.

Merkmal nicht mit diesem. Thalmann 67 hat in der Zeichnung feine Linien auf der Außenseite des Randes. Das wäre aber singulär. Eine KRS, die im Becken einen Reifendekor besitzt, hat normalerweise keine Bänder auf der Randaußenseite. Es ist anzunehmen, daß hier die beim Fertigungsprozeß auf der Töpferscheibe entstandenen feinen Rillen den Eindruck erweckt haben, als seien auf die Schale Streifen mit stark verdünntem Firnis aufgetragen worden⁴⁴¹. Dazu scheint auch die Zeichnung einen Hinweis zu geben, denn die Linien sind so fein und schwach dargestellt, daß es sich sicher eher um Spuren vom Fertigungsprozeß handelt. Somit wäre die 'coupe ionienne' tatsächlich ein Vertreter von Hayes VIII und entspräche in der neuen Typologie 9,1.C. Dagegen muß Thalmann 66⁴⁴² ganz anders beurteilt werden. Diese KRS ist eines der wenigen exportierten Beispiele für den Typus 11,4.B des neuen Klassifizierungssystems. Damit zeigt sich die Zusammensetzung der Thalmann Gruppe F als wenig glaubhaft. Sinnvoll hingegen erscheint im Großen und Ganzen die Zusammensetzung der Thalmann Gruppe G⁴⁴³. Man darf wohl zu Recht annehmen, daß bei dem Beispiel Thalmann 71⁴⁴⁴ der gleiche systematische Fehler vorliegt wie bei Thalmann 66 und die Bänder auf der Außenseite des Randes nicht existieren. Somit können alle aufgelisteten Randfragmente tatsächlich widerspruchlos dem Typus Hayes IX und in der neuen Typologie dem Typus 9.B–C, Variante 9,1.B–C angegliedert werden.

In das zweite Viertel des 6. Jhs. v. Chr. führen dann die Gruppen H–I⁴⁴⁵. Die Thalmann Gruppe H⁴⁴⁶ schließt sich eng an die vorgenannte Gruppe G an. Lediglich ein etwas höher gezogener Rand und feine konzentrische Kreise auf der Innenseite des Randes unterscheiden die beiden Gruppen. In der neuen Klassifizierung entsprechen sie der Variante 9,2.C. Dagegen ist die Gruppe I⁴⁴⁷ zwar von der gleichen Grundform, doch weist sie bereits Bemalung auf der Außenseite des Randes auf. Die Schale ist mit einem umlaufenden Myrtenband geschmückt, dessen Stiel aufgesetzte weiße Punkte aufweist. Damit ist es im neuen Gliederungssystem als Variante 9,2.C mit einem Dekor der Stufe MileA II zu bezeichnen⁴⁴⁸.

Zuletzt hat Thalmann noch die Gruppe J definiert⁴⁴⁹. Er datierte sie in das dritte Viertel des 6. Jhs. v. Chr.⁴⁵⁰. Sie entspricht der Variante 9,4.C–D der neuen Typologie und stellt die anspruchvollste töpferische Form der Gattung dar, die auch für die ionischen Kleinmeisterschalen herangezogen wurden.

⁴⁴¹ Dieses Phänomen ist dem Verfasser vielfach begegnet und ist ganz typisch für den Typus 9.B–C: feine Rillen des Fertigungsprozesses, deren feines Relief durchaus für verdünnte, aufgetragene Firnisbänder gehalten werden können.

⁴⁴² J.P. Thalmann in: Gjerstad 1977, Taf. 4, 2.

⁴⁴³ J.P. Thalmann in: Gjerstad 1977, 72 Taf. 4, 4–7. 10–12.

⁴⁴⁴ J.P. Thalmann in: Gjerstad 1977, Taf. 4, 12.

⁴⁴⁵ J.P. Thalmann in: Gjerstad 1977, 70 f.

⁴⁴⁶ J.P. Thalmann in: Gjerstad 1977, 72 Taf. 4, 13.

⁴⁴⁷ J.P. Thalmann in: Gjerstad 1977, Taf. 4, 14.

⁴⁴⁸ Vgl. **591–593**.

⁴⁴⁹ J.P. Thalmann in: Gjerstad 1977, 72 Taf. 4, 15; 5, 1.

⁴⁵⁰ J.P. Thalmann in: Gjerstad 1977, 71.

Zusammenfassend läßt sich zum Klassifizierungsmodell Thalmanns resümieren, daß seine Gruppen auf zu wenigen Beispielen fußen. Teilweise gründen sie lediglich auf einem Exemplar. Zudem sind manche Gruppen – wie Gruppe F – in sich zu inhomogen. Auch diese Typologie blieb in der Forschung weitgehend unberücksichtigt.

3.1.9 Das Klassifizierungsmodell von Utili⁴⁵¹

Ausgehend vom Fundmaterial der in der südlichen Troas, in der Bucht von Lesbos, hoch an der Steilküste gelegenen Stadt Assos, hat Utili für die 'Ionischen Schalen' aus den archaischen Gräbern der Stadt eine dem vorgefundenen Schalenspektrum entsprechende Typologie erstellt⁴⁵². Utili setzte die Gattung unter die Überschrift »Ionische Schalen«, bezeichnete sie aber in Text und Katalog mit dem nirgends definierten Begriff »Knickwandschale«. Sieben Gruppen wurden mit den laufenden Bezeichnungen von *a* bis *f* zusammengestellt.

Die Gruppe *a*⁴⁵³ wird von Utili mit den Typen Villard – Vallet B1 und Hayes V gleichgesetzt⁴⁵⁴. Dabei überschritt auch er die definierten Grenzen der beiden Typen, indem er auch solche 'Knickwandschalen' als Villard – Vallet B1 bzw. Hayes V bezeichnete, die keine polychrome Bemalung aufweisen. Im neuen Klassifizierungssystem beschreibt die Utili Gruppe *a* den Typus 10.C, die abgebildeten Beispiele Utili 54 und 55 entsprechen der Variante 10,2.B. Aufgrund seiner Beschreibung der Gruppe sind in Assos offensichtlich nur wenige Dekorvarianten vertreten: *ky* und *k*. Vermutlich handelt es sich sogar um eine Sonderform der Dekorvariante *k* (wie **279** und **282**), da Utili feststellte, daß die Schalen »im unteren Drittel tongrundig«⁴⁵⁵ seien. Auf seine Datierung 620–580 v. Chr. ging er nicht näher ein. Sie scheint aber auf den Vorschlag von Villard – Vallet für ihren Typus B1 zurückzugehen⁴⁵⁶. Hinweise auf das Fortdauern der Form in der zweiten Hälfte des 6. Jhs. v. Chr. wurden vom Autor nicht berücksichtigt⁴⁵⁷. Zuletzt diskutierte er noch die Herkunft der Gefäße dieser Gruppe, für die er offensichtlich den Vorschlag von Calvet und Yon favorisierte, die Rhodos und Samos vorschlugen, wobei er Samos gleich wieder hinterfragte – und das, obgleich die archäometrischen Ergebnisse von Dupont zu dieser Zeit längst bekannt waren.

Die Utili Gruppe *b*⁴⁵⁸ wird anhand der Beschreibung und der beiden abgebildeten Beispiele dem neuen Typus 8.B gleichgesetzt. Dabei sind zumindest zwei Varianten in Assos vertreten: Utili 59 ist Variante 8,1.Bay, und Utili 60 vertritt Variante 8,2.Ba. Utili hatte seine Gruppe *b* bereits mit den Typen Villard – Vallet A1, Hayes III und Hanfmanns Typus I verglichen. Unverständlicherweise versuchte er dann, die einfachere Variante ohne polychrome Dekoration – die 'Knickwandschale' Utili 60 – auch dem

⁴⁵¹ Utili 1999, 13 ff.

⁴⁵² Utili 1999, 13.

⁴⁵³ Utili 1999, 13 f. 155 Kat.-Nr. 54–57; 289 Abb. 4, 54–55.

⁴⁵⁴ Utili 1999, 13.

⁴⁵⁵ Ebenda.

⁴⁵⁶ Villard – Vallet 1955, 26 und 29 (Tabelle Typ B 1).

⁴⁵⁷ Z. B. Tocra I, 112; H.P. Isler in: CollNeaple 79.

⁴⁵⁸ Utili 1999, 14. 155 f. Kat.-Nr. 58–61; 289 Abb. 4, 59–60.

Typus Hayes IX gleichzustellen. Die Datierung der Gruppe in das vierte Viertel des 7. und an den Beginn des 6. Jhs. v. Chr. übernahm er erneut von den älteren Klassifizierungssystemen. Die Schalen dieser Gruppe in Assos schränkte er aber auf die Zeit um 600 v. Chr. ein, was er mit den Grabkontexten in Assos begründete.

Ausschließlich Beispiele des Typus 9.B–C des hier entwickelten Klassifizierungssystems beinhaltet Utilis Gruppe c⁴⁵⁹, die zugleich die größte Gruppe der Gattung in Assos vertritt. Der Autor stellte erneut eine Konkordanz zu älteren Klassifikationssystemen her: Ploug Gruppe 5; Hanfmann Typus IV; Villard – Vallet Typus B2; Hayes VIII–IX. Die Gruppe c wurde zunächst mit Bezug auf die älteren Bearbeiter der Gattung »etwa ins erste Viertel des 6. Jhs., allerhöchstens in die erste Hälfte des 6. Jhs. ...«⁴⁶⁰ datiert. Darüber hinaus diskutierte er einzelne Mitglieder seiner Gruppe hinsichtlich ihrer Herkunft, indem er erneut auf die Bearbeiter älterer Typologien verwies. Ganz nebenbei schränkte er hin und wieder Datierungen einzelner Schalen ein, etwa auf das zweite Viertel des 6. Jhs. v. Chr. Utili konnte zudem einige Beispiele aus Grabkontexten nach 550 v. Chr. benennen und vor allem eine ganze Anzahl an solchen des ersten Viertels des 6. Jhs. v. Chr.⁴⁶¹. Zu diesen gehören Utili 67–73, 76, 81, 86–87 und 91–93. Im Spiegel der Kontexte in Assos wurden die Varianten 9,1.B–C und 9,2.B des neuen Klassifizierungssystems demnach auf jeden Fall schon im ersten Viertel des 6. Jhs. v. Chr. produziert.

Ein einziges Gefäß – Utili 95⁴⁶² – veranlaßte den Bearbeiter, die Gruppe d⁴⁶³ zu begründen. Es handelt sich um eine sehr große Schale, die der Autor mit Krateren in Verbindung bringt. Diese Feststellung legt bereits nahe, daß diese Schale dem Typus 13.B des neuen Klassifizierungssystems entspricht, den 'kraterartigen' KRS. Rand und Fuß sind aber beim Fragment aus Assos nicht erhalten, was eine Einordnung erschwert. Ungewöhnlich sind allerdings die hochgezogenen Henkel des assischen Stücks, wobei für Milet dieses Detail im Wesentlichen auch noch ungeklärt ist. Assos ist bisher der einzige Ort, an der der südionisch/milesische Typus 13.B angetroffen wurde.

Auch die Gruppe e⁴⁶⁴ wurde lediglich anhand dreier Fragmente in Assos gebildet. Die Gruppe scheint in ihrer Zusammensetzung inhomogen. Die 'Knickwandschale' Utili 96⁴⁶⁵ entspricht der Variante 10,1.Bay. Dagegen erweisen sich die Randfragmente Utili 97–98⁴⁶⁶ tatsächlich im Wortsinn als Knickwandschalen, denn sie sind unterhalb des abgeknickten Randes erneut durch einen Knick in der Beckenwand charakterisiert. Aufgrund dieses Schulterknicks gehören sie zur ostdorischen Variante der KRS. Letztere sind erneut für den hier verfolgten Zusammenhang nicht von direktem Interesse.

⁴⁵⁹ Utili 1999, 14 f. 156 ff. Kat.-Nr. 62–94; 289 f. Abb. 4, 62–66; 5, 67–76.

⁴⁶⁰ Utili 1999, 15.

⁴⁶¹ Ebenda.

⁴⁶² Utili 1999, 290 Abb. 5, 95.

⁴⁶³ Utili 1999, 15 f.

⁴⁶⁴ Utili 1999, 16; 290 f. Abb. 5, 96; 6, 97–98.

⁴⁶⁵ Utili 1999, 290 Abb. 5, 96.

⁴⁶⁶ Utili 1999, 291 Abb. 6, 97–98.

Diese Sonderstellung hatte auch schon Utili erkannt, der Utili 97–98 bereits mit den Vroulia-Schalen verglich und auf den Typus Hayes VI.i verwies. Für die letztere Sonderform führte er dann eine Datierung zwischen 620 und 580 v. Chr. an, die er gleich ohne Diskussion auf die ganze Gruppe, mithin auf Utili 96, erweiterte.

Die Schale Utili 99⁴⁶⁷ wurde vom Bearbeiter als Einzelstück in Assos angesprochen⁴⁶⁸. Für diesen 'Single', den der Autor auch als »Bandschale« bezeichnete, richtete er die Gruppe f ein. Utili erkannte in ihr ein Vorbild der attischen Gordionschalen und schlug eine Datierung zwischen 560 und 530 v. Chr. vor. Zu den älteren Klassifizierungssystemen der 'Ionischen Schalen' erkannte er Parallelen zu Hanfmanns Typus II, Villard – Vallet B3 und Hayes X–XI. Doch strich Utili zu diesen Vergleichen sogleich wieder Unterschiede heraus. In der neuen südionisch/milesischen Typologie findet Utili 99 keine Entsprechung. Eine südionische, sicher auch eine ostdorische Herkunft scheint ausgeschlossen.

Dagegen hat die Utili Gruppe g⁴⁶⁹ Vergleiche im Panionion, Samos und Milet. Sie scheint ein südionisch inspirierter Typus zu sein. Er entspricht im Wesentlichen der mit Fikelluradekor der Stufe MileA II geschmückten KRS **614** aus dem Aphrodite-Heiligtum von Oikus. Zu vergleichen ist ferner die Gruppe Hommel II. Utili suchte Vergleiche unter den attischen Schalen und fand solche, die um 550 v. Chr. datiert werden. Eine attische Herkunft schließt er für dieses Beispiel aus Assos nicht gänzlich aus. Wichtig sind dann aber die Grabkontexte in Assos, die eine durchaus frühere Datierung dieser Gruppe nahelegen: 580–525 v. Chr.

Zur Charakterisierung der Fundgruppe KRS aus Assos läßt sich resümieren, daß einerseits nur wenige Exemplare dieser Gattung in Assos vertreten sind, andererseits ein für die Äolis und die Troas übliches geringes Typenspektrum anzutreffen ist. Mit den KRS der Typen 8.B und 10,1.B–C der neuen Typologie beginnt wohl der Import dieser südionischen Gattung in Assos. Ob die südionischen KRS tatsächlich bereits zu Beginn des letzten Viertels des 7. Jhs. v. Chr. das Keramikangebot in Assos bereicherten, oder die Präsenz erst im ersten Jahrzehnt des 6. Jhs. v. Chr. einsetzte, kann aufgrund der langen Laufzeiten der entsprechenden Typen nicht mit letzter Sicherheit beantwortet werden. Die spätesten Typen lassen kaum einen Spielraum, der weit über die Jahrhundertmitte hinausgeht⁴⁷⁰. Die Gesamtvorlage der Keramik aus den Assos-Gräbern, aus denen letztendlich auch die meisten der vorgestellten KRS stammen, spannen allerdings einen engeren Zeitrahmen, der ca. mit dem letzten Jahrzehnt des 7. und dem ersten Viertel des 6. Jhs. v. Chr. umschrieben sein dürfte – anders allerdings Utili, der eine Datierung bis an das Ende des 6. Jhs. v. Chr. vertritt⁴⁷¹.

⁴⁶⁷ Utili 1999, 291 Abb. 6, 99.

⁴⁶⁸ Utili 1999, 16.

⁴⁶⁹ Utili 1999, 16; 291 Abb. 6, 100–102.106.108–110.

⁴⁷⁰ So vermutet es auch schon Utili 1999, 15.

⁴⁷¹ Utili 1999, 142 ff.

In letzter Zeit hat Dupont auf der Grundlage naturwissenschaftlicher Keramikanalysen festgestellt, daß auch in der Äolis eine vitale Produktionsstätte dieser Gattung existierte⁴⁷². Vor allem die im Hinblick auf ihre Form für Südionien ungewöhnlichen Beispiele (Utili 60⁴⁷³; 96⁴⁷⁴; 99–110⁴⁷⁵) scheinen Kandidaten für diesen noch unlokalisierten Produktionsort zu sein.

⁴⁷² P. Dupont in: Krinzinger 2000 452; (Vgl. auch S. 372 im Kapitel 7.3 'Bisherige Ergebnisse zu den Knickrandschalen und der südionischen Gefäßmalerei').

⁴⁷³ Utili 1999, 289 Abb. 4, 60.

⁴⁷⁴ Utili 1999, 290 Abb. 5, 96.

⁴⁷⁵ Utili 1999, 291 Abb. 6, 99–110.

4 Die Klassifizierung der Knickrandskyphoi und –schalen in Südionien: Eine Typologie

Nachdem im vorhergehenden Kapitel die älteren Klassifizierungsmodelle zur Gattung vorgestellt und diskutiert wurden, wird nun vor allem auf der Grundlage bekannter und unbekannter Beispiele aus den älteren und neuen Grabungen in Milet und dem Heraion von Samos eine Klassifizierung für die südionische Region vorgestellt. Diese ist bereits oben in Tab. 1 (Abb. 8) in ihrem Verhältnis zu den bestehenden Klassifizierungsmodellen aufgezeigt worden. Daher wird im Folgenden auf den erneuten Verweis der Konkordanz der hier vorgestellten Gruppen zu denen anderer Bearbeiter verzichtet. Doch sei noch einmal hervorgehoben, daß die hier entwickelte Neuklassifizierung auch auf einer Auseinandersetzung mit den älteren Klassifizierungsmodellen fußt und die nun darzustellenden Typen und Varianten diese älteren Typologien berücksichtigt, sei es, daß ältere Modelle modifiziert, übernommen oder abgelehnt wurden. Wie stark welche der älteren Klassifizierungen auf die hier entwickelte eingewirkt hat, ergibt sich durch die Übereinstimmungen, die aus der Tab. 1 (Abb. 8) zu entnehmen sind.

4.1 Die geometrischen Knickrandskyphoi in Südionien: Die Vorläufer der archaischen Knickrandschalen

Die Trinkgefäße der Formgruppe KRS sind keine unvermittelt auftretende Erscheinung, die mit dem Beginn der archaischen Epoche einsetzt. Vielmehr ist die Form der in Rede stehenden Gattung Ausdruck einer langen Entwicklungsreihe. Diese wird nun aus der vorhergehenden geometrischen Epoche, zumindest in ihren Grundzügen, darzustellen sein⁴⁷⁶. Dabei sollte von vornherein festgehalten werden, daß die nun zu beschreibende Entwicklung der den KRS vorausgehenden Skyphosform nicht sofort mit dem Auftreten der jüngeren Schalenform aussetzte. Vielmehr wurden für eine gewisse Zeit die ältere und jüngere Form gleichzeitig hergestellt und benutzt. Dies läßt sich teilweise an einzelnen Gefäßen aufzeigen. Solche Übergangsstücke verbanden Formelemente der älteren Tradition mit denen der jüngeren Entwicklung. Gefäße mit altertümlichem Formrepertoire, wie flachem Boden, 'kugeligem' Gefäßkörper und massigen, aufgestellten Henkeln, wiesen zugleich einen abgeknickten, jedoch keinen abgeboenen Rand mehr auf (z. B. **39**; **52** vielleicht auch **45**).

Die Keramik der geometrischen Epoche in Ostgriechenland ist bisher selten Gegenstand ausführlicher wissenschaftlicher Studien gewesen⁴⁷⁷. Auch wenn die beiden Hauptfundorte Südioniens, Samos und

⁴⁷⁶ So bereits Graeve 1973/74, 85 und auch Coldstream 1967, 270.

⁴⁷⁷ Ausnahmen stellen hier etwa die Darstellungen von H. Walter (Samos 5) dar, der auch versucht hat, ostgriechische »Kunstlandschaften« für die geometrische Zeit darzustellen; zur karisch geometrischen Keramik: etwa C. Özgünel, *Karia geometrik seramiği* (1979; Neudruck 2006) zuletzt M. Bulba, *Geometrische Keramik Kariens, Peleus 47* (2010); für die Ostdoris sind vor allem Morricone 1978 (zur Insel Kos), Johansen 1957 (zu Rhodos) zu nennen oder auch die italienischen Publikationen zu den Funden auf Rhodos (CIRh-Bände: etwa Jacobi 1929; 1931; 1932/33); oder zu einzelnen Fundplätzen wie Alt-Smyrna (Bayraklı), Ephesos oder Klazomenai: zuletzt C. Özgünel, *Geometrische Keramik von Alt-Smyrna aus den Akurgal-Grabungen*, in: B. Rückert – F. Kolb (Hrsg.), *Probleme der Keramikchronologie des südlichen und westlichen Kleinasien*

Milet, inzwischen einige Beispiele aus dieser Epoche hervorgebracht haben⁴⁷⁸, hat dies wenig an dem unbefriedigenden Umstand geändert. Die unmittelbare Umgebung – im Süden waren dies die Landschaften Karien und Ostdoris mit den dazugehörigen Inseln Rhodos und Kos –, deren Keramikbild besser zu fassen war, läßt sicherlich einige Parallelen für die südionischen Verhältnisse erwarten. Doch auch hier sind die publizierten Funde nicht so zahlreich, als daß sich die Geschichte der geometrischen Keramik in Karien und der Ostdoris ausführlicher als in ihren Grundzügen nacherzählen ließe. Ein ähnliches Resümee ist für die nördliche Nachbarlandschaft, Nordionien mit der vorgelagerten Insel Chios, zu ziehen⁴⁷⁹. Noch schwieriger sind die Beurteilung der nichtgriechischen Einflüsse und ihr möglicher Anteil an der Keramikentwicklung Südioniens. Die unmittelbaren östlichen Nachbarn dieser Zeit waren die späthethitischen Fürstentümer, vor allem aber die Phryger und später die Lyder, über deren Keramikproduktion bisher ebenfalls nur wenig bekannt geworden ist⁴⁸⁰.

Übergreifende Betrachtungen zur geometrischen Keramik beruhen demnach lediglich auf wenigen Fundorten mit geringem Fundanfall. Als grundlegende Überblicksarbeiten haben nach wie vor nur die Werke von Coldstream⁴⁸¹ und Schweitzer⁴⁸² zu gelten. Beide versuchten eine Darstellung der geometrischen Keramik aller griechischen Landschaften. Ausschließlich die ostgriechischen Regionen

in geometrischer und archaischer Zeit. Internationales Kolloquium, Tübingen 24.03.–26.03.1998 (2003) 69 ff.; M. Kerschner, Stratifizierte Fundkomplexe der geometrischen und subgeometrischen Epoche aus Ephesos, in: ebenda 43 ff.; M. Kerschner, Zum Kult im früheisenzeitlichen Ephesos. Interpretation eines protogeometrischen Fundkomplexes aus dem Artemisheiligtum, in: B. Schmaltz – M. Söldner (Hrsg.), Griechische Keramik im kulturellen Kontext. Akten des Internationalen Vasen-Symposiums in Kiel vom 24.–28.9.2001 (2003) 246 ff.; M. Kerschner, III. Der Keramikbefund im Bereich des Koressos. III.1 Geometrisch und archaische Keramik, in: M. Kerschner – I. Kowalleck – M. Steskal, Archäologische Forschungen zur Siedlungsgeschichte von Ephesos in geometrischer, archaischer und klassischer Zeit. Grabungsbefunde und Keramikfunde aus dem Bereich von Koressos, 9. Ergh. ÖJH (2008), 25 ff.; Y. Ersoy, Klazomenai: 900–500 BC. History and Settlement, in: A. Moustaka – E. Skarlatidou – M. C. Tzannes – Y. Ersoy (Hrsg.), Klazomenai, Teos and Abdera. Metropoleis and Colony. Proceedings of the International Symposium held in the Archaeological Museum of Abdera, 20–21 October 2001 (2004) 43 ff.; A. Aytacılar, The Iron Age at Klazomenai, in: ebenda 17 ff.; zu Milet: z. B. Weickert 1957; Weickert 1959/60; Graeve 1973/74; Graeve 1975; Kleine 1979; Graeve in: CollNeapel, 34 ff.; zuletzt: Kerschner 1999; M. Krumme, Geometrische Keramik aus Milet, in: B. Schmaltz – M. Söldner (Hrsg.) Griechische Keramik im kulturellen Kontext. Akten des Internationalen Vasen-Symposiums in Kiel vom 24.–28.9.2001 (2003) 244 ff.; zu Samos z. B.: Technau 1929; Eilmann 1933; Walter 1957; Walter – Vierneisel 1959, zuletzt Samos 5; auch von den Ionischen Inseln außer Samos und Chios liegen nur wenige Studien vor, Ausnahmen bilden etwa: A. Blanas, Geometrische Keramik aus Minoia auf Amorgos (2006).

⁴⁷⁸ s. etwa Samos 5, V. v. Graeve, Zur milesischen Keramik im 8. und 7. Jh. v. Chr., in: KollFrankfurt 34 ff.; Kerschner 1999; M. Krumme, Geometrische Keramik aus Milet, in: B. Schmaltz – M. Söldner (Hrsg.), Griechische Keramik im kulturellen Kontext. Akten des Internationalen Vasen-Symposiums in Kiel vom 24.–28.9.2001 veranstaltet durch das Archäologische Institut der Christian-Albrecht-Universität zu Kiel (2003) 244 f.

⁴⁷⁹ s. etwa Boardman 1967.

⁴⁸⁰ Zur Lydischen Keramik der geometrischen Epoche vgl. die Publikationen vor allem aus Sardis (J. Spier, Prehistoric and Protohistoric Periods, in: G. M. A. Hanfmann (Hrsg.), Sardis from Prehistoric to Roman Times [1983] 24 Abb. 28; G. M. A. Hanfmann (Hrsg.) Letters from Sardis [1972] 188 f. Abb. 142); zu den Hethitern s. Gordion (G. K. Sams, The Early Phrygian Pottery [1994]) mit Spätgeometrischem und Früharchaischem.

⁴⁸¹ Coldstream 1968.

⁴⁸² Schweitzer 1969, 76 ff.

behandelten dagegen Walter⁴⁸³ und – in recht kurzer Beschreibung – Cook⁴⁸⁴. Sie konzentrierten sich auf die griechischen Siedlungsräume in der Ostägäis.

Das Hauptproblem für die Beurteilung der geometrischen Keramikproduktion Südioniens stellt also die ungenügende Publikationslage und damit die unzureichende Menge von Beispielen mit sicherer Herkunft dar⁴⁸⁵. Natürlich sind einige protogeometrische und auch frühgeometrische Gefäße bekannt geworden, doch waren diese isoliert und ihre Aussage für eine Gesamtcharakterisierung eines Produktionszentrums oder einer Landschaft zu schwach⁴⁸⁶. Naturwissenschaftliche Untersuchungen zur Herkunftsbestimmung an Gefäßen geometrischer Zeitstellung aus dieser Region fehlen, so daß zusätzlich Unsicherheit besteht, welche Keramik aus lokaler Produktion stammt und welche Import darstellt. Die genannten Probleme lassen bisher in der stilistischen Entwicklung ostgriechischer Keramik keine frühgeometrische Stufe erkennen. In den existierenden Klassifizierungsmodellen fiel die frühgeometrische Stilstufe daher schlichtweg aus, und Darstellungen geometrischer Keramikentwicklung in Ostionien setzten erst mit der mittelgeometrischen Stufe ein⁴⁸⁷. Dieser zeitversetzte Beginn des Geometrischen im ostgriechischen Töpferhandwerk stand zudem unter einem starken attischen Einfluß⁴⁸⁸. Einige Forscher verfochten die These, daß dieser Einfluß über die Kykladen nach Ostionien gelangte⁴⁸⁹. Denn die Ähnlichkeit, welche die Keramik dieser Epoche in fast allen griechischen Landschaften auszeichnete, wurde von der Forschung auch mit dem Begriff einer keramischen *koiné* versehen⁴⁹⁰. Dementsprechend fanden sich auf nahezu formgleichen Skyphoi in Attika⁴⁹¹, Korinth⁴⁹², den Kykladen⁴⁹³ und Südionien Parallelen in der Dekoration. Die Werkstätten der außerattischen Zentren wandelten die Vorbilder dann aber spätestens mit der spätgeometrischen Phase ab⁴⁹⁴. Für das wenige bislang aus Ostgriechenland Bekannte gilt noch heute, auch stellvertretend für andere, die Feststellung Cooks »... the Geometric pottery of the Dorian and Ionian settlements has enough common characteristics to be regarded as a loose unity ...«⁴⁹⁵. Dennoch wirkten die attischen Vorbilder in Ionien stärker auf die Keramikprodukte als beispielsweise im

⁴⁸³ Samos 5.

⁴⁸⁴ Zuletzt Cook 1998, 15 ff.

⁴⁸⁵ Beispielsweise stehen die Publikationen zu den frühen Funden in Pitane, Klazomenai, Smyrna, Ephesos, Samos (hier wurde vor über dreißig Jahren eine große Nekropole geometrischer Zeit aufgedeckt, die aber gänzlich unpubliziert blieb) mit der Ausnahme des samischen Heraions noch aus.

⁴⁸⁶ Vgl. den zusammenfassenden Überblick zur Situation bei Coldstream 1968, 262 f.

⁴⁸⁷ Vgl. ebenda 263 ff., der die EG-Phase als degenerierte PG-Phase beschreibt und erst für die mittelgeometrische Phase (MG) eigenständige Produktion unter attischem Einfluß feststellt; Cook 1998, 15.

⁴⁸⁸ Coldstream 1968, 268 ff.; Cook 1998, 15 ff.

⁴⁸⁹ Schweitzer 1969, 102; Cook 1972, 34; Coldstream 1977, 102; doch sind bisher keine eindeutigen Beziehungen zu den Kykladen anhand keramischer Funde in Ostgriechenland bekannt.

⁴⁹⁰ Coldstream 1977, 102 f.

⁴⁹¹ K. Kübler, Die Nekropole des 10. bis 8. Jahrhunderts, *Kerameikos V 1* (1954) Taf. 89. 91 (beide obere Reihen).

⁴⁹² S. Weinberg, *The Geometric and Orientalizing Pottery, Corinth VII 1* (1943) Taf. 12.

⁴⁹³ Délos 15, Taf. 27.

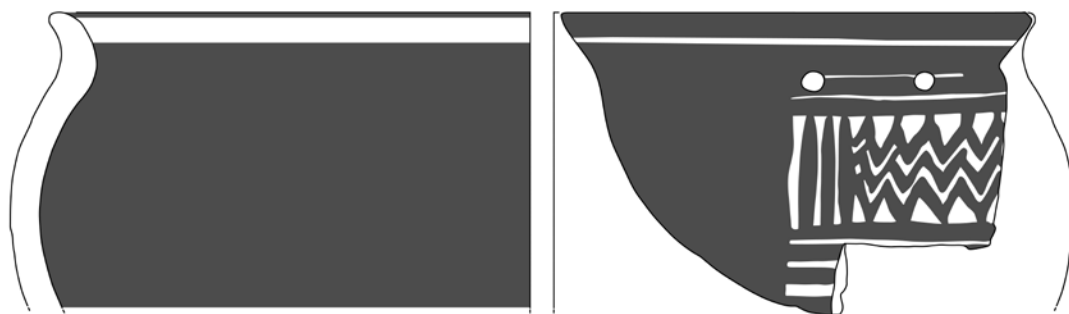
⁴⁹⁴ Coldstream 1968, 263.

⁴⁹⁵ Cook 1972, 33.

südlich benachbarten Rhodos⁴⁹⁶. Denn in der Dodekanes konnte eine stärkere Vermischung von attischen, zyprischen und lokalen Elementen festgestellt werden⁴⁹⁷, wobei sich natürlich die Frage aufdrängt, ob nicht die viel geringere Materialbasis Südioniens die Eigentümlichkeiten lokaler und anderer Einflüsse auf die geometrischen Gefäße bisher verdeckt hielt. Für Kos jedenfalls, wo zufällig eine bedeutende Anzahl an geometrischen Gräbern aufgedeckt wurden⁴⁹⁸, konnten auch Einflüsse aus Zypern festgestellt werden, die zur Herausbildung eigenständiger Typen führte. Doch, wie bereits festgestellt, waren erst mit dem Ende der MG-Phase eigenständige regionale Entwicklungen für Ostgriechenland nachzuweisen⁴⁹⁹.

4.1.1 Die südionischen mittel-, spät- und subgeometrischen Knickrandskyphoi

Die frühesten Vertreter, die als unmittelbare Vorläufer der archaischen KRS zu gelten haben, waren die KRStk der mittelgeometrischen Stilstufe⁵⁰⁰. Walter publizierte bereits in den 1960er Jahren zwei mittelgeometrische Skyphoi aus Samos (3–4)⁵⁰¹, deren attisierende Tendenzen bereits von Schweitzer beschrieben wurden⁵⁰². Letzterer hielt einen direkten attischen Einfluß oder eine Vermittlung des Attischen über die Kykladen vor der Mitte des 8. Jhs. v. Chr. für möglich⁵⁰³. Auch Coldstream erkannte in den samischen KRStk attische Vorbilder wieder und meinte Nachahmungen in Südionien seit der MG-Phase verfolgen zu können⁵⁰⁴.



⁴⁹⁶ Coldstream 1968, 270. 272; Schweitzer 1969, 101; Graeve in: CollNeapel 36; attische Vergleichsstücke z. B. Kübler a. O. Taf. 89. 91 (beide obere Reihen).

⁴⁹⁷ Coldstream 1968, 269 stellt für die Dodekanes einen Kompositstil aus attischen und zyprischen Elementen fest und für Ionien einen rein attischen Einfluß.

⁴⁹⁸ Z. B. Coldstream 1968, 268 ff.; Morricone 1978, 9 ff.; Cook 1998, 16 f.

⁴⁹⁹ Coldstream 1968, 273; Cook 1998, 17.

⁵⁰⁰ Coldstream 1968, 270. 272; Schweitzer 1969, 101; Graeve in: CollNeapel, 36.

⁵⁰¹ Samos 5, Taf. 17, 100. 101.

⁵⁰² Schweitzer 1969, 82 f. bes. aber 121 ff.

⁵⁰³ Tatsächlich finden sich diese frühen KRStk identisch in Form und Dekor etwa auf Delos, vgl. Délos 15, Taf. 27, 28.

⁵⁰⁴ Coldstream 1968, 270. 290. Er stellt im Kunstraum der Dodekanes einen Kompositstil aus attischen und zyprischen Elementen fest und für Ionien einen rein attischen Einfluß. Auch Cook 1972, 15 verweist für die Dodekanes auf eine starke eigene Tradition, die sich aus dem Protogeometrischen herleiten läßt, und ebenfalls auf einen starken attischen Einfluß in Ionien.



Abb. 9: Attisierender Skyphos mit 'Flicklöchern' der Variante 1,2.A, Milet (Inv.-Nr. KA 22.a.1)

In Milet selbst ist eine der frühesten vermutlichen Nachahmungen attischer Skyphoi während der älteren Grabungen am Athena-Tempel gefunden worden (**Abb. 9**). Während Wickert einen attischen Import annahm und ihn stilistisch für einen frühgeometrischen Skyphos hielt⁵⁰⁵, erkannte Coldstream in ihm eine Imitation eines attischen Vorbildes der Stufe MG I⁵⁰⁶. Dieser vermutlich attisierende KRSk hat zu den stilistisch ältesten der hier beschriebenen Skyphoi aus Milet zu zählen. Von Skyphoi wie diesem scheint sich eine kleine lokale Serie abzuleiten, die Variante 1,1.A des Typus 1. Das jedenfalls wird durch die hier erstmals abgebildete Profilzeichnung (**Abb. 9**) des Stücks im Vergleich mit denen der übrigen Beispiele der Variante 1,1.A deutlich (**1–2**). Gleichzeitig ist auch tatsächlicher attischer Import der gleichen Variante in Milet zu vermuten (**26**). Damit haben attische Skyphoi dieser Art offensichtlich bereits früh in der mittelgeometrischen Periode den lokalen Töpfern in Milet als Vorbilder zur Verfügung gestanden. Eine andere attische Skyphosform (**27–28**) hatte aber weiter reichende Folgen für die Entwicklung der südionisch milesischen Trinkgefäße. Im Zusammenhang mit seinen Untersuchungen der Keramik aus dem sog. Südschnitt in Milet hatte v. Graeve die Anbindung einer Reihe milesischer KRS an diese attischen KRSk vorgeschlagen⁵⁰⁷. Diese Entwicklungsreihe ging von attischen und dann attisierenden Skyphoi in Milet mit typischem, stark abgebogenen Rand, flachem Boden und kugeligem Körper aus (Variante 1.2.A/B). Diese im Erscheinungsbild dunkel gehaltenen Skyphoi mit einem Dekorationsfenster oder Schulterfries auf der Schulter standen den späteren KRS bereits auffällig nahe. Im Folgenden wird versucht, die These einer durchgehenden Entwicklungsreihe vom attischen/attisierenden Skyphos zur archaischen KRS anhand von Beispielen zu verifizieren und zu differenzieren. Zudem wird postuliert, daß sich die Gattung der KRS zusätzlich aus einer zweiten Quelle herleiten läßt, die weiter unten im Zusammenhang mit dem bisher wenig beachteten Typus 2 besprochen wird.

⁵⁰⁵ Weikert 1957, 122 Taf. 37a.

⁵⁰⁶ Coldstream 1968, 270. 272.

⁵⁰⁷ Graeve 1974/75, 85; so auch schon Coldstream 1967, 270.

4.1.1.1 Der Typus 1

Der Typus 1 faßt Skyphoi mit ausgebogenem Rand zusammen, deren Form auf die attischen Skyphoi der Art **Abb. 9** zurückgehen. Die südionische Serie dieser Formgruppe ist laut Coldstream bereits in der SiMG-Stilphase vorhanden⁵⁰⁸. Die Form variiert nur in engen Grenzen, welche die 'Formgesetze' der geometrischen Skyphoi den Gefäßen aufzwingen. Diesen Unterschieden in der Formgebung wird mit einer Untergliederung in vier Varianten ihrer Randgestaltung in der nachstehenden Klassifizierung Rechnung getragen (Typus 1,1–4). Daneben sind aber vor allem die Dekore in dieser Zeit entscheidend für die Klassifizierung und stilistische Einordnung der Gefäße. Eine Einteilung erfolgt hier mit einer alphabetischen Reihung kleiner Buchstaben (a–c).

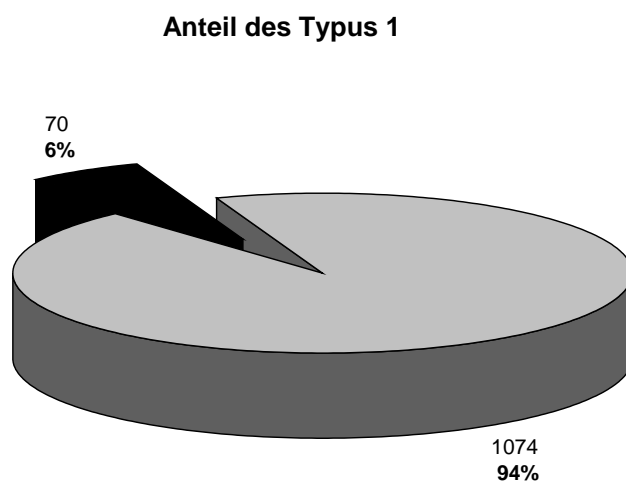


Abb. 10: Kalabaktepe-Süd, Anteil des Typus 1 an der Gesamtmenge der stratifizierten KRSk und KRS

Überraschend hoch ist der Anteil des Typus 1 unter den Funden der Gattung aus den neuen Grabungen am Südhang des Kalabaktes in Milet (Abb. 10). Die festgestellten 6 % lassen vordergründig auf eine geometrische Phase für die Siedlung schließen, die es aber hier nicht gibt.

4.1.1.1.1 Die mittel und spätgeometrischen Knickrandskyphoi der Variante 1,1

Drei Beispiele der Variante 1,1 sind in den Katalog aufgenommen (**1–2; 26**). Charakteristisch für ihre Formgestaltung, die leider keines der Exemplare vollständig wiedergibt, ist ein oben stark gerundeter

⁵⁰⁸ Coldstream 1967, 29 führte vor allem die samischen Beispiele an, da zum Zeitpunkt seiner Publikation bereits eine größere Anzahl spätgeometrischer Skyphoi aus dem Hera-Heiligtum bekannt gemacht worden war. Doch sind die von ihm benannten Beispiele (wie Technau 1929, 13 Abb. 4) unter Umständen jünger als er angenommen hatte, denn die Profile zeigen bereits die Übergangsform zur spät-/subgeometrischen KRS des Typus 3 (beispielsweise lassen sie sich mit den Stücken **51–53**) vergleichen. Folgt man den Ausführungen Coldstreams (1968, 290), zeigt sich auch schnell, daß er andere Schalen mit den gleichen Charakteristika in der Randgestaltung (ebenda mit Anm. 11) auch für LG hält.

Rand. Der Rand selbst kann unterschiedlich ausgeformt sein. Das anschaulichste Beispiel stellt sicher das Fragment **26** dar, das sich eng mit dem wohl ältesten vollständigen Beispiel der Variante 1,1.A **Abb. 9** verbinden läßt. Bei diesem ist die Randgestalt sehr ausgewogen. Das kugelige Gefäß mit seinem weit nach innen einziehenden Becken bringt in einer harmonischen Gegenbewegung den Rand hervor, indem er nach außen umbiegt und in eine abgerundete Lippe mündet. Dabei ist besonders die gleichbleibende Wandstärke von Becken und Rand für die Variante 1,1 charakteristisch. Die gleichen Eigenheiten gelten auch für die beiden anderen Beispiele der Variante. Das Becken des Skyphos **2** biegt auch bei diesem Beispiel, hier allerdings weniger harmonisch, in einem kurzen Schwung in den Rand mit abgerundeter Lippe bei gleichbleibender Wandstärke um. Das dritte Beispiel (**1**) variiert die beschriebenen Merkmale dahingehend, daß nach einem weniger starken Umbiegen des Randes dieser nicht wie bei den Beispielen **2** und **26** bis zur Lippe hin fortwährend ausschwingt, sondern in gerader Linie nach oben verläuft.

Während die Skyphosränder **1–2** in den neuen Grabungen der 'Südstadt' am Südhang des Kalabaktepe in gestörter Schicht bzw. als Streufund angetroffen wurden, stammt der Skyphos **26** aus den älteren Grabungen am Athena-Heiligtum.

Ob der Unterschied in Dekor und Qualität mit den verschiedenen Fundorten zu begründen ist, kann aufgrund der wenigen bisher bekannten Beispiele dieser Variante nicht beantwortet, doch darf vorläufig festgehalten werden, daß die Stücke **1–2** vom Kalabaktepe ähnlich dekoriert sind: Beidseitig schwarz gefirnißt mit je einem Lippenband auf der Innen- und Außenseite des Randes. Diese Eigenheit eines äußeren Lippenbandes findet sich auch später noch unter den Skyphoi der anderen Varianten wieder. Das Fabrikat der Kalabaktepe-Skyphoi ist wenig anspruchsvoll: der Firnis stumpf und matt und der Scherben nicht annähernd so hart gebrannt wie der des Gefäßes **26**. Aufgrund der bisherigen Kenntnisse zur Siedlungs- und Kultaktivität im Bereich des Kalabaktepe und speziell des Siedlungsbereichs am Südhang, können diese frühen Beispiele bisher mit keiner bekannten Siedlungsaktivität in diesem Bereich verbunden werden. Denn nach herkömmlicher Datierung ist der Gefäßtypus wesentlich älter als die ersten Siedlungsspuren am Südhang⁵⁰⁹. Daher lassen sich über die festgestellten Unterschiede innerhalb der Variante vorläufig keine weiteren Erkenntnisse aus ihrer Fundsituation heraus gewinnen. Sicherer sind da die Aussagen zum Skyphos **26** vom Athena-Tempel. Dieser konnte zwar auch nicht direkt mit dem Heiligtum in Verbindung gebracht werden, dennoch ist es naheliegend, daß wir es hier mit Heiligtumsgeschirr zu tun haben. Die Kultradition reicht an diesem Fundort bis weit in die Bronzezeit zurück⁵¹⁰. Das Gefäß selbst ist äußerst qualitativ, und sowohl der Brand des Scherben als auch der feste bräunliche Firnis und die ausgewogene töpferische Qualität des Gefäßes (vgl. oben die Beschreibung zur Randgestaltung) legen hierüber Zeugnis ab.

⁵⁰⁹ Vgl. S. 139 das Kapitel 5.1.2.2 'Die Vorsiedlungsphase 0'.

⁵¹⁰ Vgl. die Vorberichte B. Niemeier – W.-D. Niemeier, AA 1997, 189 ff. (zum Projekt und zur älteren Grabungsgeschichte der Prähistorie); vgl. nun: Der Neue Pauly 8 (2000) 176 s. v. Miletos (v. Graeve).

Zuletzt sei noch auf die Dekoration eingegangen. **26** weist die Variante b, einen von Bändern gerahmten Schulterfries, auf. Diese Variante ist entsprechend der vermuteten Herkunft des Gefäßes attisch⁵¹¹. Unter diesen ist die Variante mit einem Fenster, wie es das Fragment **Abb. 9** aufweist, sicher älter als der Schulterfries von **26**. Dagegen sind die beiden Kalabaktepe-Skyphoi **1–2** der Dekorvariante a vollständig schwarz gefirnißt. Auffallend sind hier die schon erwähnten tongrundig belassenen Lippenbänder innen und außen. Unter den bekannten Fundplätzen in der Ostägäis finden sich die engsten Parallelen zu diesem Dekor auf der ostdorischen Insel Kos. Vorläufig läßt sich die Parallele zum beschriebenen Dekor vor allem unter den Tassen auf Kos aufzeigen⁵¹². Doch fanden sich auf der Insel auch vereinzelt vergleichbare, wenn auch etwas zu spät datierte Skyphoi⁵¹³. Zuletzt wurde noch ein vermutlich attischer Skyphos aus Naxos, der als MG I klassifiziert wurde publiziert und der sowohl von der Form als auch im Dekor den beiden milesischen KRsk stark ähnelt⁵¹⁴.

Weder eine regionale noch eine lokale Eigenart scheinen die vertikalen Strichreihen im ausgesparten Lippenband der Innenseite darzustellen, denn auch außerhalb dieser Region kommt dies nicht selten vor⁵¹⁵. Im Verlaufe der weiteren Beschreibung der geometrischen und subgeometrischen Skyphoi aus Südionien begegnet dies häufiger.

Die Variante 1,1 wurde keiner archäometrischen Untersuchung zur Herkunftsbestimmung zugeführt. Sie schließt sich stilistisch eng an die nächste Variante an, so daß die dort erzielten Ergebnisse sich auf diese Variante übertragen lassen.

4.1.1.1.2 Die mittel- und spätgeometrischen Knickrandskyphoi der Variante 1,2

Mit der Variante 1,2 ist eine Skyphosform bezeichnet, die sich vor allem aufgrund ihrer Randgestaltung definieren und von der oben besprochenen Variante absetzen läßt. Im Gegensatz zur ersten Variante läßt sich für die Variante 1,2 eine Vielzahl auch vollständiger Skyphoi wie **3** und **4** anführen. Bezeichnend sind die spitz zulaufenden Ränder. Ähnlich der Variante 1,1 verläuft das Beckenprofil dieser Skyphoi in einem weiten Schwung und zieht oben weit nach innen ein, besonders bei den Stücken **3–6**, **8–9**, **11–12**. Auch hier biegt der Rand in einem Gegenschwung nach außen, endet dann aber im Gegensatz zur Variante 1,1 in einer spitzen Lippe. Dieses Charakteristikum des

⁵¹¹ Vgl. aber die lokale Adaption des Dekors in **Abb. 8**; sowie die attischen Stücke aus dem Kerameikos in Athen K. Kübler, Die Nekropole des 10. bis 8. Jahrhunderts, Kerameikos 5 I² (1974) Taf. 89 ff.

⁵¹² Vgl. die Tassen und den Dekor auf Kos (Morricone 1978, 126 ff. Abb. 190–204; 148 Abb. 250–252; 163 Abb. 286–289; 170 Abb. 304; 183 Abb. 339–340; 184 Abb. 342. 345; 190 Abb. 364; 203 Abb. 396; 220 Abb. 436–439; 238 Abb. 496; 254 f. Abb. 525–533; 309 Abb. 662; 316 Abb. 679; 338 Abb. 730–731) mit denen in Milet (Kleine 1979, Taf. 35).

⁵¹³ So z. B. der Skyphos Inv.-Nr. 901 aus dem Grab I, südlich des Kirchleins S. Pantaleo (Morricone 1978, 354 ff. Abb. 777); zur stilistischen Zuordnung und Datierung des Grabes in das vorletzte Jahrzehnt des 8. Jhs. v. Chr. (ebenda 50).

⁵¹⁴ A. Blanas, Geometrische Keramik aus Minoa auf Amorgos (2006) 263 Kat.-Nr. 155 datiert den attischen (?) KRsk auf Amorgos zwischen 875 und 825 v. Chr.

⁵¹⁵ Z. B. das Lippenband auf verschiedenen offenen argivischen Gefäßen der Stilstufe LG II (Coldstream 1968, Taf. 30. c. e; 31, d. g); auf korinthischen Skyphoi der Stilstufe EG (ebenda Taf. 16, c) und MG II (ebenda Taf. 17, h. j); auf attischen Skyphoi der Stilstufe MG I (ebenda Taf. 3, b. e. j–k).

spitz zulaufenden Randes ist das konstituierende Merkmal der Variante 1,2. Die Variante zeichnet zudem eine Variation in der Gestaltung des Gefäßbeckens aus. Neben der älteren, die Variante 1,1 bezeichnenden tiefen und kugeligen Beckenform 1,2.A kommt auch die wohl jüngere, flachere Form 1,2.B vor. Der KRsk **404** zeigt exemplarisch die tiefere Formvariante 1,2.A vollständig und hat auch als einziges Beispiel den Fuß erhalten. Dieser ist als eingezogene, leicht konkave Standplatte gebildet, wie es für die meisten Skyphoi des Typus 1 anzunehmen ist.

Mit den Beispielen **3** und **4** können nun erstmals vollständige Gefäße des Typus 1 aus Südionien beschrieben werden, an denen sich die Gesamtform der Skyphoi für die Stufe SiMG exemplarisch belegen läßt⁵¹⁶. Die beiden vollständigen Skyphoi aus Samos vertreten einen 'gestauchten', sich oben stark verengenden, also recht geschlossenen Gefäßtypus. Beide haben einen flachen Fuß und ruhen entweder auf einer Standplatte, die außen 'überkragt' (**3**), oder auf einem angedeuteten Standing (**4**). Der Gefäßkörper ist rundlich und schwingt in der beschriebenen Gegenbewegung des charakteristischen Randes aus. Die beiden massigen Horizontalhenkel stehen steil nach oben an. Die größeren Fragmente **11–12** aus Milet lassen sich diesen Beispielen anschließen. Skyphoi der hier beschriebenen Form, speziell das Beispiel **404**, hatte Coldstream früh in die spätgeometrische Stilphase eingeordnet⁵¹⁷. Die Zunahme an publizierten Funden seit seiner grundlegenden Arbeit erlauben nun aber stilistisch ältere Skyphoi dieses Typus wie **1** und **2** als mittelgeometrisch zu klassifizieren. Die Gefäßform veränderte sich im Laufe der Entwicklung zu weniger 'gestrafften', weiter geöffneten Formen. Das Becken der spät- und subgeometrischen Stücke **15** und **18** verdeutlicht diese Tendenz zum Ende ihrer Produktionszeit. Bestätigt wird dies von dem vollständig schwarz dekorierten kleinen KRsk **Abb. 11**⁵¹⁸, der darüber hinaus auf beiden Seiten mit einem tongrundigen Lippenband versehen ist. Seine Form und seine frühe Fundsituation in der 'Südstadt' am Kalabaktepe-Süd weisen auf einen sehr späten Vertreter der Variante 1,2.B hin. Sollte das Fragment nicht zufällig bereits in der Zeit vor der Ansiedlung hierher gelangt sein, müßte die früheste Siedlungsaktivität an diesem Ort mit diesem Skyphos zu verbinden sein und würde eine Datierung nicht vor 670 v. Chr. gewährleisten. Damit wird der KRsk **Abb. 11** wohl zur spätesten Entwicklungsstufe der Variante 1,2.B bereits in der subgeometrischen Phase der archaischen Zeit gehören, nämlich SiA Ia.

⁵¹⁶ Coldstream 1968, 20 Taf. 3, b.

⁵¹⁷ Coldstream 1968, 290 Taf. 64, a.

⁵¹⁸ K 92.174.3 aus Q 91.08 stammt aller Voraussicht nach aus der Auffüllungsschicht zur Siedlungsphase 2 und ist damit wenigstens der älteren Siedlungsphase 1 (670–640 v. Chr.) zuzuordnen. Leider läßt sich der Befund nicht eindeutig von einer Aufschüttungsschicht zur Phase 4 trennen, womit die Fundlage auch an das Ende der Siedlungsphase 3 datiert werden könnte. Der Skyphos K 92.174.2 (**Abb. 11**) ist aber sicher älter als die Siedlungsphase 3 und wäre in diesem Fall aus einem älteren Zusammenhang verlagert; s. S 157 ff. im Kapitel 5.1.2.3.3.3 'Die Knickrandskyphoi und -schalen aus der Aufschüttung zur Phase 2'.



Abb. 11: KRsk der Variante 1,2.B, Milet Kalabaktepe-Süd (K 92.174.3); aus Q 91.08 vermutlich zur Siedlungsphase 1 gehörend » Zerstörungsschutt des Gebäudes Phase 1?«

Die Dekoration der Variante 1,2 ähnelt dem bekannten Dekorationsschema b der Variante 1,1 und ist vielfach unter den Funden aus Milet zu belegen. Auch hier sind die Skyphoi beidseitig dunkel gefirnißt, wobei der Rand streifenverziert und zwischen den Henkeln auf der Schulter ein Fries ausgespart ist, unter dem sich mitunter ein Sockelfries mit horizontalen Bändern befindet. In den Schulterfries sind unterschiedliche Motive eingeschrieben. Innen ist stets ein tongrundiges Lippenband ausgespart, in dem erneut vertikale Strichgruppen eingefügt sein können. Mitunter ist die Innenseite des Beckens durch tongrundige Streifen im oberen Bereich aufgeheilt (**4**; **17**), und die beiden vollständigen Gefäße (**3–4**) weisen zudem in der Mitte des Beckens einen ausgesparten Kreis auf. Besonders der Dekor des KRsk **5** geht auf attische Skyphosdekore der Stilphase MG II zurück⁵¹⁹. Bereits Coldstream hatte allgemein den direkten attischen Einfluß auf den südionischen MG-Dekorationsstil beschrieben, der in Südionien unmittelbarer gewirkt hätte als etwa auf Rhodos⁵²⁰. Einen Skyphos aus Milet⁵²¹, der ebenfalls die Dekorvariante b aufweist, klassifizierte Coldstream mit Hinweis auf attische Parallelen als SiMG⁵²². Der Skyphos **14** bildet insofern eine Sonderform der Dekorationsvariante b, indem er keine eigene horizontal angelegte Randdekoration aufweist, sondern die vertikale Strichreihe von der Schulter bis zum dunklen Lippenband hinaufreicht. Die Ausdehnung des Schulterfrieses auf nahezu den gesamten Vasenkörper ist auch von einigen attischen Gefäßen bekannt, beispielsweise vom LG IIa-Kantharos **817** aus dem Kerameikos⁵²³. Dagegen scheinen die Dekore der Skyphoi **6–13** eher der korinthisch mittelgeometrischen Stilphase II in Coldstreams Klassifizierung zu folgen⁵²⁴. Unter diesen sind dann die Friese mit Gruppen von gewellten Strichen (**7–8**) am ehesten mit solchen von EPC-Gefäßen zu vergleichen⁵²⁵. Auch diese standen unter attischem

⁵¹⁹ Coldstream 1968, Taf. 4, c; 5, e.

⁵²⁰ Coldstream 1968, 271 f.

⁵²¹ Weickert 1959/60, Taf. 58, 2.

⁵²² Coldstream 1968, 270.

⁵²³ Coldstream 1968, Taf. 15, c; ähnlich auch ein Kantharos aus dem samischen Heraion, Eilmann 1933, Beil. 30, 3.

⁵²⁴ Coldstream 1968, 96 ff. Taf. 17, j; 18, d–e. g.

⁵²⁵ Coldstream 1968, Taf. 20, g–h; 21, b. g.

Einfluß, doch erkannte Coldstream diesen eine eigenständige Spielart zu⁵²⁶. Trifft allerdings der Vergleich der Dekore der KRsk 7 und 8 mit solchen aus der EPC-Stilphase, dann wären sie nicht SiG II, sondern spät in SiG III einzuordnen. Damit zeigen die südionischen Skyphoi enge Verbindungen zu den mittelgeometrischen Stilen im Mutterland. Eine dritte Dekorationsvariante läßt sich unter den Beispielen des Typus 1,2 feststellen: Dekorvariante c. Die Skyphoi 15–18 zeigen exemplarisch jeweils die typische Metopeneinteilung im Schulterfeld, die durch eine unterschiedliche Anzahl von vertikalen Strichen gebildet wird, zwischen die verschiedene Motive wie horizontale Striche (*Leitermotiv*), Andreaskreuz oder schraffierte Hakenmäander eingeschrieben sind. Stilistisch sind die Dekore der Variante c mit ihren spät und subgeometrischen Mustern im Schulterfries jünger, als die zuvor besprochenen a–b. Die hier als c beschriebene Dekorvariante wurde bereits von Coldstream als typisch für spät- und subgeometrische Dekore in Südionien erkannt und findet sich vor allem auf Skyphoi und Schalen wieder⁵²⁷. Sie sind vor allem von milesischen (15–17) und samischen Skyphoi (404)⁵²⁸ her bekannt. Allerdings scheint 18 eher einem von Coldstream als LG Ia klassifizierten Skyphos von der Athener Agora zu gleichen und ist vielleicht sogar tatsächlich ein attischer Import⁵²⁹. Unter den Dekoren der Variante c fällt erstmals eine Besonderheit, eine regionale Eigenheit auf: das *Leitermuster*⁵³⁰, so genannt nach den wie Sprossen einer Leiter in das Metopenfeld gesetzten horizontalen Linien. Diese Eigenheit ist sowohl unter den samischen, als auch milesischen Skyphoi zu beobachten⁵³¹. Ein Vergleich mit den angrenzenden Regionen zeigt, daß dieses Dekorationsmuster dort nicht zu finden ist⁵³². Lediglich in Karien kommen vereinzelt Beispiele vor⁵³³.

⁵²⁶ Coldstream 1968, 96; 100.

⁵²⁷ »It remains to consider the simple metope patterns that are more at home on Samos than on any other East Greek centre ...« Coldstream 1968, 292 f.; Walter 1957, 40 f. und in Samos 5, 57 f. hält die Metopengliederung auch mit einfachen Füllornamenten für »... geläufigen Zierschatz samischer Skyphoi ...«; dagegen ist für Graeve 1973/74, 86 die Metopendekoration »... kein landschaftlich gebundenes Stilphänomen ...«; dennoch ist es in Südionien in einer Vielfalt und Häufigkeit vertreten, wie es für keine andere Landschaft der Ägäis gilt; allein für den Skyphos und die Schalen vgl. z. B. für Samos: Eilmann 1933, Abb. 8a–c; 9a–c Beil. 20, 5. 8–11; 211, 2. 4. 11; Technau 1929, Beil. 5, 2–11; Walter 1957, Beil. 53, 1.2; Kopcke 1968, Beil. 93,1; Samos 5, Taf. 38, 210.212; 39, 214. 216–219; für Milet: Hommel 1959/60, Taf. 57, 1–2; Graeve 1973/74, Taf. 20, 29. 30; Graeve 1975, Taf. 9, 43; 12, 65. 68; und hier Kat. 15–17. 21.

⁵²⁸ Weiteres auch auf den Übergangsgefäßen von KRsk des Typus 1.A zu den Schalen des Typus 3.A (Eilmann 1933, Beil. 20–21, 1–11. 17–18; Samos 5, Taf. 38, 211–212; 39, 216–219).

⁵²⁹ Coldstream 1968, Taf. 9, a.

⁵³⁰ Bereits von Coldstream benanntes und Milet zugeschriebenes Muster: Coldstream 1968, 296. N. Kunisch (Ornamente Geometrischer Vasen [1998] 11 Abb. 4, a) hat in seiner verdienstvollen Zusammenstellung für diese Muster unter der Gruppe »sich kreuzende Parallelstriche« die etwas umständliche Beschreibung »senkrechte und waagerechte Parallelstriche, in Gruppen, Horizontalfeld« gewählt.

⁵³¹ Zu den publizierten Beispielen aus Milet vgl. C. Weickert, in: M. Wegner (Hrsg.), Bericht über den VI. Internationalen Kongreß für Archäologie, Berlin 21.–26. August 1939 (1940) Taf. 25, 5 (dieselbe Scherbe wohl doppelt abgebildet); Hommel 1959/60, Taf. 57, 2; Graeve 1973/74, Taf. 22, 39; Graeve 1975, Taf. 12, 65; V. v. Graeve in: CollNeapel, Taf. 12 Fig. 2.2.3.

⁵³² Vielleicht noch auf der Insel Kos (Morricone 1978, 371 Abb. 809; 417 Abb. 911, 19).

⁵³³ Sinuri: P. Devambez- É. Haspels, Le Sanctuaire de Sinuri près de Mylasa II (1959), Taf. 22, 11; Iasos: D. Levi, ASAtene 39–40, 1961/62, 537 Abb. 50, b (2. Reihe 8). Diese beiden Beispiele erscheinen bezogen auf die milesischen Stücke in leicht abgewandelter Form, so wie das Muster auf dem samischen Gefäß gestaltet ist.

Für einen dieser Fundorte, Iasos, ist allerdings ein »deutlich ionisches Gepräge«⁵³⁴ festgestellt worden, was die Keramik aus Iasos zumindest von der orientalisierenden Phase an deutlich widerspiegelt⁵³⁵. Ein spätgeometrischer Skyphos⁵³⁶ und eine etwa gleichzeitige Schale⁵³⁷ zeigen beispielsweise deutlich ihre südionischen Wurzeln⁵³⁸. Auf den Kykladen, in Nordionien und in der Dodekanes ist dieses Motiv dagegen nicht zu finden⁵³⁹. Es kann daher mit einiger Zuversicht als südionisch und in der Ausformung der milesischen Stücke vielleicht sogar als lokale Eigenheit bezeichnet werden⁵⁴⁰. Die lokalen Eigenheiten des *Leitermusters* machen sich darin bemerkbar, daß unter den samischen Stücken die horizontalen Linien, die in das Feld gesetzt sind, nie an die Grenzen des Feldes stoßen (**404**). Dagegen lassen die milesischen Gefäßmaler die Horizontallinien immer an die vertikalen Striche anlaufen oder diese sogar leicht darüber hinweg gehen (**15; 57**).

Daß als Vorlage für die lokale südionische Produktion der Variante 1,2.A attische Importe Pate gestanden haben, beweist etwa das Randfragment **27** der Variante 1,2.A. Dieses ist aufgrund der naturwissenschaftlichen Herkunftsbestimmung als attischer Import bestätigt worden und ist attisch MG/SG zu klassifizieren. Sein Dekor läßt sich zudem mit den beiden südionisch/milesischen Skyphoi **1–2** vom Kalabaktepe der Variante 1,1.A eng verbinden. Ebenfalls attisch ist nach Auskunft der naturwissenschaftlichen Untersuchung zur Herkunftsbestimmung der KRSk **28**, möglicherweise auch der Skyphos **8**⁵⁴¹. Auch er vertritt die Variante 1,2.A, und die stilistisch engsten Vorbilder finden sich unter den attischen Skyphoi der Stilphase MG I⁵⁴². Darüber hinaus ist im Hofboden der Siedlungsphase 3 in der 'Südstadt' am Kalabaktepe ein Import eines mittelgeometrischen Skyphos (**25**)⁵⁴³ aus Euböa aufgefunden worden. Er ist wohl als MG I zu klassifizieren, läßt sich allerdings nicht so eindeutig in die milesische Typologie einfügen. Vieles erweist ihn als Typus 1 und der

⁵³⁴ N. Ehrhardt, *Milet und seine Kolonien* (1988) 26.

⁵³⁵ Levi, *ASAtene*, 1969–70, Abb. 58, a–b; E. La Rocca in: *Iasos*, 36 Abb. 4–12; Kerschner 1995, 60 f.

⁵³⁶ Levi 1969/70, Abb. 12c1.

⁵³⁷ Levi 1969, Abb. 13a8.

⁵³⁸ Vgl. Walter 1957, Beil. 53, 3; Walter 1959, Beil. 15, 1; Eilmann 1933, Beil. 21, 11; Kopcke 1968, Abb. 3 Taf. 93, 1.

⁵³⁹ Lediglich auf Kos fand sich die für Milet typische Variante des Leitermuster auf einem Skyphos, der eine für die Dodekanes häufig belegte Form aufweist, s. Morricone 1978, Abb. 809 (vermutlich eine lokale Nachahmung).

⁵⁴⁰ Den milesischen Lokalstil der geometrischen Zeit herauszuarbeiten, ist bisher noch ein wissenschaftliches Desiderat. So urteilen bisher übereinstimmend Cook (1972, 35) »For Miletus the special characteristics of the local geometric cannot be deducted from finds so far published« und Coldstream (1977, 261) »the LG pottery from Miletus is too fragmentary to allow a clear view of the local style«.

⁵⁴¹ Das Ergebnis im Bochumer Labor von Yalçın ist nicht eindeutig! Vgl. S. 395 mit Anm. 1251 im Kapitel 7.4.2 'Die Proben'.

⁵⁴² Vgl. Coldstream 1968, 18 ff. bes. 20 Taf. 3, b. e.

⁵⁴³ Vgl. S. Verdan – A. Kenzelmann Pfyffer – C. Léderrey, *Céramique géométrique d'Érétrie*, *Eretria* 20 (2008), 118 Kat.-Nr. 12 Taf. 6, 12; 100, 12; die Form des Skyphos ist dem eines Skyphos aus Eretria sehr eng verwandt, s. Ders., *Le sanctuaire d'Apollon Daphnéphoros à l'époque géométrique*, *Eretria* 22, 2013, 11 Kat.-Nr. 97 Taf. 69, 97, allerdings wird er von Verdan als möglicherweise attisch eingeschätzt. Die Klassifizierung ist aber auch in Eretria Mittelgeometrisch I (gefunden in einem geometrischen Kontext, dem Graben 174, der Mittelgeometrisch I sein könnte); ebenfalls sind stilistisch als MG I/II klassifizierte Skyphoi aus Naxos zu vgl. N. Kourou, *Ανασκαφές Νάξου. Το νότιο νεκροταφείο της Νάξου κατά τη γεωμετρική περίοδο. Έρευνες των ετών 1931 – 1939* (1999) 17 f. Kat.-Nr. 34. 38.

Variante 1,2.A eng verwandt, weshalb er auch hier besprochen wird. Zugleich steht er auch dem Typus 2, Variante 2,3.A nahe. Ein Flickloch zeigt an, daß der Import von einigem Wert für die Nutzer in Milet gewesen war. Der euböische Import belegt daher eine weitere Region, die Einfluß auf die Entwicklung der lokalen Skyphoi in Milet ausgeübt haben könnte. Die naturwissenschaftliche Herkunftsanalyse hat zudem erweisen können, daß der KRsk **16** der Herkunftsgruppe D sicher in Milet selbst hergestellt wurde.

Die verschiedenen mittelgeometrischen Skyphoi lassen im Fundbild von Milet keine lokalen Konzentrationen feststellen. Die Beispiele stammen aus allen Bereichen, in denen geometrische Keramik angetroffen wurde: in der 'Südstadt' sowohl im Bereich der Siedlung am Südhang des Kalabaktepe (**7**; **10**; **13**), als auch auf dessen Ostterrasse im Bereich des Artemis-Heiligtums (**9**), und im sog. Südschnitt (**5**) ebenso wie im Stadtzentrum beim Athena-Heiligtum (**6**; **8**; **11–12**).

4.1.1.1.3 Die spät- und subgeometrischen Knickrandskyphoi der Variante 1,3

Die dritte Variante des Typus 1, Variante 1.3, unterscheidet sich in ihrer Gestalt stärker von den beiden zuvor besprochenen. Die Form dieser Skyphoi ist hier mit drei Beispielen (**19–21**) exemplarisch belegt. Es sind niedrige und vor allem kleine Gefäße, die durch ihr eher weit geöffnetes Skyphosbecken bereits ihre Zugehörigkeit zur späten Entwicklung innerhalb der Gruppe offenbaren. Bezeichnend für diese Spielart der KRsk des Typus 1 ist der kurze, stark nach außen geführte Rand. Ähnlich der Variante 1.2 läuft der Rand zur Lippe hin zusammen, ist jedoch stets leicht gerundet.

Was sich in der Formgebung bereits ankündigt, wird durch den Dekor letztendlich bestätigt: Die hier angeführten Stücke besitzen spät- und subgeometrische Dekore der Varianten b und c. Ein Element der Dekorvariante c auf Skyphos **21** ist ein mit der Kammbürste schnell erzeugtes Muster, vermutlich eine Punktraute, das in die kanonischen Metopenfelder des Schulterfrieses eingeschrieben wurde. Die Kammbürstentechnik ist typisch für subgeometrische Dekore⁵⁴⁴. Die Metopenfelder der Dekorvariante c können auch mit einfachen Andreaskreuzen gefüllt sein. Zwei verschiedene Möglichkeiten werden durch den Skyphos **404**, in dessen Schulterfries Felder mit Andreaskreuzen und Schmetterlingsmotiven nebeneinander gestellt sind, und die Fragmente **16–17**, deren Felder ebenfalls Andreaskreuze aufweisen, vertreten⁵⁴⁵, die allesamt der Formvariante 1,2 angehören.

⁵⁴⁴ So bereits Kerschner 1997b, 26. Zur Kammbürstentechnik vgl. J. Boardman, *The Multiple Brush*, *Antiquity* 34, 1960, 85 ff. J. N. Coldstream (1968, 180) stellte für Attika und die Kykladen fest, daß dort seit der spätgeometrischen Zeit Ornamente mit Kammbürstentechnik die schraffierten Mäandermotive verdrängen und daß die Metopenverzierung in Südionien typisch für Trinkgefäße wie Skyphoi, Schalen und Kantharoi sei. Die vermutlich lokale milesische Amphora (Graeve [1975] 41 Taf. 3, 1; 4a) verdeutlicht neben den nun bekannt gemachten Skyphoi anschaulich, daß diese Art der Metopenverzierung mit der Kammbürstentechnik in Milet gebräuchlich war.

⁵⁴⁵ Zu **6** s. Samos 5, Taf 82, 447; zu **7** Eilmann (1933) Beil. 20, 8; 21, 6; und der Schulterfries **12**; s. nun auch M. Kerschner, *Stratifizierte Fundkomplexe der geometrischen und subgeometrischen Epoche aus Ephesos*, in: B. Rückert – F. Kolb (Hrsg.), *Probleme der Keramikchronologie des südlichen und westlichen Kleinasien* in

Skyphoi der Variante 1,3 wurden nicht naturwissenschaftlich auf ihre Herkunft untersucht. Die Variante 1,3 scheint dennoch vor allem in Milet beheimatet gewesen zu sein, denn außerhalb von Milet fanden sich bisher keine überzeugenden Vergleiche.

4.1.1.1.4 Die mittel- und subgeometrischen Knickrandskyphoi der Variante 1,4

Sehr altertümlich ist die Form der Variante 1,4 (**22–24**). Innerhalb der Gruppe 1 scheinen sie am ehesten mit den frühen Vertretern der Varianten 1,1 und 1,2 in Verbindung zu stehen, was bereits durch die ähnliche Größe und in der gestauchten sowie runden Gestalt des Beckens zum Ausdruck kommt. Ihr zu erschließendes Becken ist dann ebenfalls zeitlich früh zu werten, und damit sind alle drei bisher bekannten Beispiele der Variante als 1,4.A zu klassifizieren. Auch die Beispiele dieser Variante ziehen sich am Übergang vom Becken zum Rand stark ein wie die Beispiele der Varianten 1,1 und 1,2. Der Rand biegt wie bei diesen Varianten in einer Gegenbewegung nach außen um. Allerdings ist der hohe Rand der Variante 1,4 beinahe schon einem Fragezeichen ähnlich. Einzigartig unter den KRSSk ist jedoch die Lippe dieser Variante, die fast zu einem eigenständigen Teilstück mutiert, einem Krater nicht unähnlich. Dabei scheint es aber keine festgelegte Ausformung der Lippe zu geben. Die Lippe kann ausgestellt sein wie bei **23–24**, dabei aber verdickt und gerundet (**23**) oder abgekantet und eng auslaufend (**24**). Während die Lippe bei **22** außen unterschritten ist, ist sie bei **24** innen abgekantet. Ob es sich tatsächlich um Skyphoi handelt oder vielleicht doch eine Kantharosgruppe oder Krateriskoi angetroffen wurden, läßt sich nicht mit letzter Sicherheit bestimmen, da bisher weder ein Fragment mit Henkel noch mit Fuß bekannt ist. Doch läßt vorläufig die Nähe zu den anderen Varianten des Typus 1 der KRSSk die hier vorgenommene Zuordnung als die wahrscheinlichste erscheinen. Es ist auffällig, daß alle Beispiele dieser Variante aus den Grabungen am Athena-Heiligtum im Stadtzentrum stammen.

Als Dekorschema findet sich gemäß der bereits aus ihrer Gestalt geschlossenen chronologisch frühen Einordnung die Variante b mit mittelgeometrischen (SiMG) Dekoren in den Schulterfenstern der Skyphoi **22–23**. Diese schließen sich den oben unter den KRSSk der Variante 1,2 besprochenen Dekoren an (s. **9–13**). Der Skyphos **24** der Variante 1,4.A weist dagegen den gleichen Dekor wie das spätgeometrische Gefäß **18** der Variante 1,2.B auf.

Für die Beispiele der Variante 1,4.A liegen bisher keine naturwissenschaftlichen Untersuchungen der Tonpaste vor. Dennoch ist vorläufig von ihrer Zugehörigkeit innerhalb der milesischen Skyphosentwicklung des Typus 1 auszugehen.

4.1.1.2 Der Typus 2

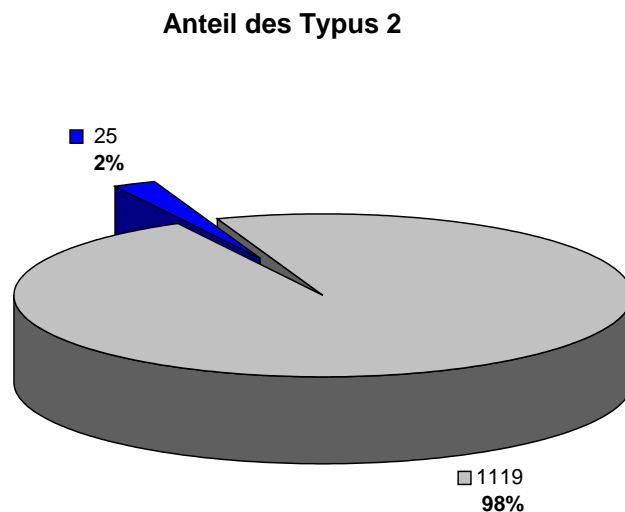


Abb. 12: Kalabaktepe-Süd, Anteil des Typus 2 an der Gesamtmenge der stratifizierten KRSk und KRS

Mit knapp 2 % unter den im Wohn- und Handwerksviertel gefundenen KRSk und KRS nimmt der Typus 2 einen bescheidenen Anteil innerhalb der Gattung ein (Abb. 12). Wie oben bereits erwähnt, handelt es sich hier um einen zweiten, eigenständigen Typus der geometrischen KRSk, deren Entwicklung zu den südionischen KRS in archaischer Zeit überleitet. Der Typus 2 kann wiederum in mehrere Varianten (2,1–4.A–B) unterteilt werden. Gemeinsam ist allen der zurückgesetzte Rand, der einen ausgeprägten Übergang von der Schulter zum Rand in Form eines 'Absatzes' ausbildet. Dieses Charakteristikum unterscheidet auch die einzelnen Formvarianten. Die Ränder sind mehr (Varianten 2,1–2) oder weniger (Varianten 2,4) stark nach innen versetzt und zeigen im Profil häufig ein 'flammenartiges' Aussehen. Außerhalb Milets sind neben einigen wenigen Stücken im samischen Hera-Heiligtum, z. B. **38** und **40**, keine weiteren Vergleiche zu finden. Daher ist von einer Produktion dieses Formtypus in Milet und einer nur geringen Verbreitung des Typus durch Exporte auszugehen. Dies bestätigt auch die archäometrische Untersuchung zur Herkunftsermittlung, da eines der stilistisch frühesten Beispiele des Typus 2, der Skyphos **32** aus der Siedlung am Kalabaktepe-Süd, der zweifellos milesischen Herkunftsgruppe D (Mommsen) angehört⁵⁴⁶. Alle darüber hinaus naturwissenschaftlich auf ihre Herkunft untersuchten Skyphoi des Typus 2 stammen ebenfalls aus sicher in Milet zu verortenden chemischen Herkunftsgruppen. So gehört **31**, Variante 2,1.B, den Werkstätten der chemischen Herkunftsgruppe a (Mommsen) und **34**, Variante 2,2.B, den Werkstätten der

⁵⁴⁶ Vgl. S. 396 ff. im Kapitel 7.4.3.3.1.2 'Typus 2'. Dagegen hatte die Untersuchung des gleichen Gefäßes im Bochumer Labor (Yalçın) kein eindeutiges Ergebnis erbracht, sondern eher einen Import nahegelegt (s. Abb. 122 Tab. 32).

Herkunftsgruppe A (Mommsen) an, den sog. Kalabaktepe-Werkstätten. Wie für das stilistisch älteste Stück **32** erbrachte die naturwissenschaftliche Untersuchung auch für **408** die milesische Herkunftsgruppe D (Mommsen). Der KRSk **408** vertritt die Variante 2,4.A und hat zudem einen qualitätvollen Dekor. Damit konnte bisher für alle Beispiele und beinahe alle Varianten des Typus 2 ausschließlich eine milesische Herkunft erwiesen werden. Ob es sich um eine Neuschöpfung oder eine Übernahme anderer Vorbilder durch die milesischen Werkstätten handelt, ist aber bislang nicht sicher zu entscheiden⁵⁴⁷.

Die Dekore der Skyphoi, die den bereits unter dem Typus 1 besprochenen gleichen, setzen die frühesten Beispiele in die spätgeometrische Zeit.

4.1.1.2.1 Die spät- und subgeometrische Variante 2,1

Die wohl ausgeprägteste Ausformung des Typus 2 zeigt sich an den Beispielen der Variante 2,1.A–B. Die größeren Fragmente **30** und **31** und auch der auf Samos gefundene Skyphos **405** lassen auf ein steil ansteigendes, 'trichterförmiges' Becken schließen. Ein solches Profil läßt sich unter den bekannten Trinkgefäßen in Ostgriechenland am ehesten mit rhodischen Funden vergleichen. Die rhodischen sog. Vroulia-Schalen späterer Zeit zeigen ein nahezu identisches Charakteristikum in ihrer Beckenform. Der Rand der Gefäße ist am oberen Beckenabschluß weit nach innen zurückgenommen. So entsteht hier am Übergang von Schulter und Rand der für die Variante 2,1 charakteristische Absatz. Auch dieses Merkmal findet sich an den späteren rhodischen Vroulia-Schalen wieder. Der relativ hohe Rand ist weit nach außen ausgebogen und konkav. Er sitzt wie ein 'Haken' auf dem Becken auf und läuft in einem weiten Schwung aus einer breiten Basis nach oben spitz zur Lippe aus. Lediglich vom Skyphos **30** kann angenommen werden, daß er einen anderen Gefäßkörper aufwies. Dieser scheint in der Art der Varianten 1.A 'kugelig' gestaltet gewesen zu sein. Doch läßt die Fragmentgröße keine sichere Aussage zu. Vollständige Gefäße der Variante fehlen bislang.

Die Dekoration der drei Beispiele der Variante 2,1 ist insgesamt aufwendiger gestaltet als bei den Varianten der übrigen geometrischen und subgeometrischen KRSk der Typen 1–3. Häufig wird die Grenze vom einfachen Dekor zur Vasenmalerei bereits erreicht. Besonders ist auf die Bemalung des Skyphos **405** zu verweisen, auch wenn sie nur fragmentarisch erhalten ist. Unterhalb des Schulterfeldes, von zwei auffällig breiten Streifen getrennt, ist nur noch der Rest eines Bandes mit abwechselnd hängenden und stehenden, gegitterten Dreiecken zu erkennen. Seitlich, vermutlich gegen die Henkelzonen, wird das Schulterfeld von einer Gruppe vertikaler Striche gerahmt, die sich bis auf den Rand fortsetzen. So ergibt sich auch auf dem Rand, direkt über dem Schulterbildfeld ein weiteres

⁵⁴⁷ Die Ähnlichkeit, die sich mit einigen »Pendent Semi-Circle Skyphoi« (R. Kearsley, *The Pendent Semi-Circle Skyphos*, *Bulletin Supp.* 44 [1989]) ergibt und die aufgrund ihrer im Vergleich zu den milesischen Produkten älteren Produktionsreihe als Kandidat in Frage kämen, scheint aber nicht ausschlaggebend gewesen zu sein. Erstens haben sich in Milet bisher keine »Pendent Semi-Circle Skyphoi« gefunden, die den Töpfern als Vorlage hätten dienen können, und zweitens zeigen die milesischen Beispiele des Typus 2 keine Ähnlichkeit im Dekor mit der typologisch eng gefaßten euböischen Gattung der »Pendent Semi-Circle Skyphoi«.

gerahmtes, breites Feld, in das ein einfacher flächenfüllender Zinnenmäander eingefügt ist. Das Hauptfeld auf der Schulter besteht aus wenigstens fünf, wenn nicht mehr Metopenfeldern, die durch je zwei Vertikallinien voneinander getrennt sind. In den Metopenfeldern finden sich die typischen Darstellungen, die auch von nordionischen Vogelkotylen und -kannen bekannt sind: gegitterte und gerahmte Rauten und Mäanderbäume, Rautenketten sowie einfache Vogeldarstellungen. Sie sind nach den Untersuchungen zum *Bird-kotyle workshop* durch Coldstream spätgeometrisch (LG) und galten zunächst als rhodisch⁵⁴⁸. Kerschner und Mommsen konnten allerdings in ihren archäometrischen Forschungen nachweisen, daß die Mutterwerkstatt der Standard-Typen der Vogelkotylen und -schalen (Bird-kotylai and -bowles) in der nordionischen Region lag, ohne bisher dieses Zentrum exakt verorten zu können⁵⁴⁹. Zudem hat Kerschner eine neue Typologie der spätgeometrischen Vogelkotylen und ihrer Verwandten erstellt⁵⁵⁰. Neben der an nordionisch spätgeometrische Dekore angeglichene Bemalung von **405**⁵⁵¹ sind weiterhin südionisch spät- und subgeometrische Dekore auf den KRsk der Variante 2,1 anzutreffen. Wie etwa der bereits bekannte Metopendekor der Stufe SiG III im Schulterfries des KRsk **30**, der bereits oben als Dekorvariante b beschrieben wurde. Neu sind hier allerdings die Ornamente, die wie aufgereiht am unteren Ende des Randes aufgemalt sind und an Astragale erinnern. Der Dekor von **31** ist lediglich in Grundzügen erhalten, zeigt aber wieder die bereits bekannte Gliederung mit einem Hauptbildfeld auf der Schulter. Das Feld selbst und seine darin befindlichen Darstellungen sind verloren.

Während die Skyphoi **30–31** aus den Siedlungsgrabungen am Kalabaktepe in Milet stammen und daher frühestens aus dem früharchaischen Kontexten stammen können – wenn es sich nicht um ältere sporadisch hier verlorene Gefäße handelt –, ist **405** im samischen Heraion aufgedeckt worden. Der Skyphos ist trotz seines Dekors vermutlich eher kein Import aus Nordionien, sondern aufgrund seiner in dieser frühen Zeit bisher nur für Milet nachgewiesenen Form⁵⁵² eher ein südionischer Skyphos mit Adaptionen nordionischen Dekors.

⁵⁴⁸ Coldstream 1968, 277 ff. bes. 278; so auch noch Cook 1998, 18 f. Vergleiche finden sich z. B. in Samos (Samos 5, Taf. 42, 240–243, 245–250); aber auch in Milet (Graeve 1973/74, Taf. 23, 47–58). Vgl auch den Krater aus Myrina, C. Dugas, BCH 36, 1912, Taf. 9, 10.

⁵⁴⁹ M. Kerschner u. a., *Archaeometry* 35, 1993, 197 ff.; M. Kerschner in: Akurgal u. a. 2002, 72 ff. bes. 76; S. 138 f. bes. 139 und vgl. S. 141 die Tab. Aufgrund kombinierter naturwissenschaftlicher und ausschließender archäologischer Kriterien wird dieses Zentrum der chemischen Herkunftsgruppe E, in der die Standardtypen der Vogelkotylen und -schalen produziert wurden, im nordionischen Teos vermutet.

⁵⁵⁰ Kerschner 1995, 8 ff.

⁵⁵¹ Neben Coldstream wurde der Skyphos bereits von Walter besprochen, der ihn als spätgeometrisch klassifizierte, vgl. Samos 5, 39 f. 103 Kat.-Nr. 210 Taf. 38, 210, zudem gehört er seiner Fundgruppe XIX an, die Walter vor 660 v. Chr. datiert, s. ebenda 87, womit er durchaus auch subgeometrischer in der Stilphase SiA I gehören kann.

⁵⁵² Wie oben bereits erwähnt, ist **32** in der milesischen Herkunftsgruppe a (Mommsen) verortet. Auch die älteren Untersuchungen von Yalçın deuteten auf eine lokale milesische Herkunft hin.

4.1.1.2.2 *Die spät- und subgeometrischen Variante 2,2*

Die Variante 2,2.A–B ähnelt der gerade besprochenen Variante 2,1. Die überwiegende Anzahl der Stücke (**33–37**; **406**) zeichnet wiederum ein steil ansteigendes, 'trichterförmiges' Becken aus, das hier als 2,2.B bezeichnet ist. Lediglich der KRsk **32** hat ein gerundetes tiefes Becken, das ihn als 2,2.A charakterisieren läßt. Das besondere Merkmal der Variante ist der Rand, der zunächst wiederum im Profil 'flammenartig' erscheint und auch hier deutlich nach innen versetzt ist. Dadurch entsteht erneut eine auffällige 'Stufe' am Übergang vom Becken zum Rand. Im Unterschied zur ersten Variante allerdings ist der Rand hier nicht gebogen, sondern strebt gerade nach oben.

Typisch sind die Dekore der Skyphoi **32–37** aus Milet. Sie gehören überwiegend der Variante **b** an (**33–36**). Nahezu identisch sind die vielen horizontalen Bänder auf dem hohen Rand. Zudem sind auf den Fragmenten teilweise noch vertikale Strichreihen erhalten, die zu einem Schulterfries gehören könnten. Auf einigen Beispielen wie etwa **34** und **36**, vielleicht auch auf **33**, sind noch die Reste zu erkennen, die auf ein Schulterbildfeld mit Strichsockel schließen lassen. Soweit diese mehr erahnen lassen, wie etwa das Schulterbildfeld auf dem KRsk **34**, ist in dem Bildfeld erneut eine kurze, vertikale Strichreihe eingefügt. Ob darüber hinaus noch andere Motive verwendet wurden, läßt sich aus den vorhandenen Resten nicht mehr erschließen. Anders dagegen der Skyphos **32**, der bereits in seiner Formgebung etwas von den übrigen abweicht. Er hat einen dunkleren Rand mit nur zwei dünnen ausgesparten Bändern. Das Becken ist dunkel gehalten, lediglich ein umlaufender Fries auf der Schulter ist ausgespart. Der Schulterfries weist kein eingeschobenes Schulterbildfeld auf, wird aber unten durch drei helle Bänder gerahmt. Im Fries sind erneut kurze vertikale Strichreihen eingeschrieben, die in regelmäßigen Abständen Metopenfelder aussparen, in die Andreaskreuze eingebettet sind. Dieser Fries erinnert entfernt an den Schulterfries des samischen Skyphos **404** des Typus 1,2.A, wo allerdings teilweise zwischen Andreaskreuz und Schmetterlingsmotiv nicht eindeutig zu unterscheiden ist. **32** scheint dagegen eindeutig Andreaskreuze aufzuweisen. Von anderer Art ist die Dekoration des Skyphos **406**, der im extraurbanen Aphrodite-Heiligtum von Oikus bei Milet gefunden wurde. In seinem von Henkel zu Henkel reichenden Schulterfries befand sich ein großes Zickzackband, in das hängende und stehende Dreiecke eingefügt sind. Zudem ist der Rand mit einem umlaufenden Metopenfries geschmückt, in dem alternierend Blüten(rosetten) und Gittermuster zu finden sind. Die Gittermuster erinnern auch an ein Motiv, in dem eine Raute und ein Kreuz ineinandergesetzt sind. Vermutlich ist dies ein südionisch/milesischer spätgeometrischer Dekor, der bereits den Übergang zu archaischen Dekoren anzeigt, was durch die Blüten deutlich wird, die ähnlich, aber stilisierter unter den Füllornamenten der südionisch/milesischen Vasenmalerei der Stufe SiA I wiederzufinden sind. Damit weist das Blütenornament, das sicher schon ein orientalisierendes Ornament darstellt, sowie der durchlaufende Schulterfries bereits auf einen subgeometrischen Dekor.

Die recht einheitlich gestalteten Skyphoi **33–37** der Variante 2,2.B stammen alle aus dem Wohn- und Handwerksviertel am Südhang des Kalabaktepe, ebenso der stilistisch wohl früheste Skyphos **32**. Lediglich der besonders fein geschmückte Skyphos **406** derselben Variante 2,2.B gehörte zum Heiligtumsinventar des milesischen Aphrodite-Heiligtums von Oikus.

Alle Beispiele der Variante 2,2 wurden wohl in Milet gefertigt. Denn im Bonner Labor (Mommsen) konnten **32** und **34** als Mitglieder der chemischen Herkunftsgruppen D und A festgestellt werden. Der Dekor mit dem typischen Schulterfries spätgeometrischer Zeit war bisher untypisch unter den Skyphosdekoren Südioniens, vor allem mit seiner dunklen Gesamterscheinung. Nun ist dieser Dekor als milesische Variante gesichert. Auch die übrigen Beispiele der Variante mit ihren sehr ähnlichen Randdekoren sind wohl milesisch, wie die Untersuchungen an drei Skyphosfragmenten **33**; **36** und **37** im Bochumer Labor (Yalçın) nahelegen: Milesisches Feld/Hauptgruppe A.

4.1.1.2.3 Die spät und subgeometrische Variante 2,3

Der dritten Variante des Typus 2 gehören die Gefäße **38–41** und **407** an. Hier sind die Ränder im Unterschied zu den vorherigen Varianten kurz und gedrunken. Doch sind auch sie im Querschnitt wieder 'flammenartig' gestaltet. Die charakteristische 'Stufe' ist bei dieser Variante ebenfalls zu beobachten, aber die kurzen Ränder sind nur leicht nach innen versetzt. Der Gefäßkörper dieser Skyphosvariante ist selten 'trichterförmig' – lediglich **40** zeigt diese Tendenz deutlich –, sondern meistens tief und bauchig (**38–39**; **41**), was sich besonders bei dem vollständigen Gefäß **407** aus Samos zeigt. Zwei der hier abgebildeten Gefäße (**38**; **407**) sind vollständig erhalten und stammen aus dem Hera-Heiligtum auf Samos. Beide Skyphoi haben einen tiefen Gefäßkörper und die typisch massigen, aufwärtsgestellten Henkel geometrischer Zeit. Während der Skyphos **38**⁵⁵³ auf einer sog. Standplatte aufsteht, kann der schwach ausgebildete Fuß von **407** bereits als flacher Standring bezeichnet werden.

Unter den vorgefundenen Dekorvarianten ist die Variante a durch den Skyphos **38**⁵⁵⁴ vertreten, der bis auf das ausgesparte Lippenband innen vollständig schwarz gefirnißt ist. Daneben sind spät- und subgeometrische Metopenfriese auf den Gefäßschultern anzutreffen, die hier als Variante c bezeichnet werden (**39–40**; **407**). Die vertikalen Strichgruppen sind mit der Kammbürste erzeugt worden (**39–40**).

⁵⁵³ Ein ähnlicher, aber vor allem in der Randgestaltung leicht abweichender Skyphos wurde in Eretria in einem geometrischen Zusammenhang (Graben 197) gefunden und wird dort als möglicherweise attisch sowie als MG II bzw. früh im SG klassifiziert, S. Verdan, Le sanctuaire d'Apollon Daphnéphoros à l'époque géométrique, Eretria 22, 2013, 9 Kat.-Nr. 43 Taf. 62, 43; ausführlich zur Klassifizierung des Skyphos und Datierung seines Fundzusammenhanges (Graben 197) vgl. auch A. Kenzelmann-Pfyffer, Céramique géométrique issue de fosses du sanctuaire d'Apollon à Érétrie, in: A. Mazarakis Ainián (Hrsg.), Oropos and Euboea in the early iron age. Actes of an international round table, University of Thessaly, June 18-20, 2004 (2007) 242. 244. 247 Abb. 3, 1.

⁵⁵⁴ Vgl. die Anmerkung zuvor, der Dekor wird in Eretria als Mittelgeometrisch II bzw. früh im Spätgeometrischen eingeordnet. Noch früher wird ein Skyphos mit monochromen Dekor, der allerdings einen Standring aufweist, in Naxos klassifiziert, als MG I/II, s. N. Kourou, Ανασκαφές Νάξου. Το νότιο νεκροταφείο της Νάξου κατά τη γεωμετρική περίοδο. Έρευνες των ετών 1931 – 1939 (1999) 17 Kat.-Nr. 33.

Das Beispiel **407** aus dem Hera-Heiligtum auf Samos hebt sich durch seinen Dekor von den übrigen der Variante 2,2 ab. Es vertritt die ornamentale und figürliche Gefäßmalerei der spät- und subgeometrischen südionischen Stilstufe. Das breite Bildfeld auf der Schulter ist in Metopen gegliedert, die von jeweils drei vertikalen Trennlinien erzeugt werden. Die Aufteilung und Füllung der Metopen ähnelt denen der nordionischen sog. Vogelskyphoi⁵⁵⁵. Doch anders als bei diesen sind die flankierenden Rauten nicht gegittert, sondern konturiert und punktgefüllt. Auch der Vogel gleicht nicht dem der nordionischen Vogelkotylen. Besonders die ungewöhnliche Swastika verschafft endgültige Sicherheit, daß es sich hier um einen anderen Werkstattkreis handeln muß⁵⁵⁶. Vermutlich wird man nicht fehl gehen, hierin eine südionische, vielleicht samische Umgestaltung des erfolgreichen nordionischen Dekorsystems zu erkennen⁵⁵⁷. Erstmals findet sich auf dem Rand von **407** die Wellenlinie, die an dieser Stelle für einige Varianten des Skyphostypus 3 und Schalentypus 5 so bezeichnend wird.

Für die Variante 2,3 fehlen naturwissenschaftliche Provenienzuntersuchungen. Ihre Zugehörigkeit zum Typus 2 und ihre Dekore legen dennoch lokale bzw. südionische Produktion nahe.

4.1.1.2.4 Die spät und subgeometrische Variante 2,4

Eine andere Form der Randgestaltung zeigt die Variante 2,4 (**42–48; 408**). Die Ränder sind nicht mehr so ausgeprägt 'flammenartig' gestaltet, und auch die 'Stufe' am Übergang vom Skyphosbecken zum Rand ist, wie bereits bei Variante 2,3, weniger profiliert. Der Rand kann kürzer oder länger sein, ist aber auf jeden Fall höher als bei der zuvor beschriebenen Variante und in jedem Fall stärker abgewinkelt. Dies ist ein Zeichen dafür, daß das Ende der geometrischen Stilstufe bei den meisten schon erreicht wurde. Zwei nahezu vollständige Exemplare dieser Variante (**44; 408**) geben einen Eindruck des Skyphostypus. **44** besitzt einen tiefen, aber wenig bauchigen Gefäßkörper und einen deutlich zurückversetzten niedrigen Rand. Dieser ist nach außen kräftig umgebogen. Dagegen ist **408** eher flach, wenn auch bauchig und der Rand ist schmal und hoch. Beide stehen auf einer Standplatte. **408** vom Kalabaktepe-Süd endet in einem einfachen flachen Boden, während der Skyphos aus dem 'Südschnitt' eine verstärkte Bodenplatte besitzt. Die KRStk der übrigen Fragmente der Variante werden ähnlich zu rekonstruieren sein.

Wieder ist unter den Beispielen dieser Variante die vollständig gefirnißte Dekorvariante a vertreten (**42–43**), wobei **43** erneut beidseitig ausgesparte Lippenbänder aufweist. Darüber hinaus sind die spät- und subgeometrischen Dekore der Variante c (**44–47**) und d (**48**) vertreten. Die Variante zeichnet sich erneut durch Metopendekore auf der Schulter der Skyphoi aus. Zu diesen ist auch der Skyphos **408** zu zählen, obgleich er hier der milesischen Gefäßmalerei zugeordnet wird. Sein Dekor findet eine

⁵⁵⁵ Vgl. Schweitzer 1969, 112 Abb. 77-78;

⁵⁵⁶ N. Kunisch (Ornamente Griechischer Vasen [1998] 79 f. Abb. 32, g) hat diese Form der Swastika als ostgriechische spätgeometrische Variante beschrieben.

⁵⁵⁷ Hier sind die Ergebnisse von M. Kerschner abzuwarten. Die Vermutung zur samischen Herkunft wird seiner freundlichen Auskunft verdankt.

Parallele auf Samos⁵⁵⁸. Lediglich die Ebenen der Friesabfolge sind vertauscht: hier ein Wellenband aus Punkten auf dem Rand, dort in der Schulterzone; hier der Metopenfries auf der Schulter, dort auf dem Rand. Dann folgen in beiden Fällen Linien und eine dunkel gefirnißte Fußzone. Damit ist in Südionien ein nahezu identisches Dekorschema auf zwei unterschiedlichen Skyphosvarianten nachzuweisen, sowohl auf Samos, als auch in Milet. Der Skyphos in Milet hat eine etwas reichere Verzierung mit zusätzlichen ostgriechischen Swastika in den Metopenfeldern⁵⁵⁹.

Die Beispiele der Variante 2,4 wurden in allen Bereichen der Stadt Milet, außer im Aphrodite-Heiligtum von Oikus gefunden. **42–43** und **45–46** stammen aus den Grabungen am Athena-Heiligtum, **44** aus dem sog. Südschnitt und **47–48** sowie **408** aus dem Wohn- und Handwerksviertel am Kalabaktepe-Süd.

Der Skyphos **408** wurde im Bonner Labor als Mitglied der naturwissenschaftlichen Herkunftsgruppe D (Mommsen) bestimmt. Damit ist eine lokale, milesische Herstellung der Variante und des Dekors gesichert. Das Ergebnis zu **408** wird auch im Bochumer Labor (Yalçın) bestätigt, wo zudem **48** in die gleiche lokale naturwissenschaftliche Gruppe gehört⁵⁶⁰.

Ob **45** tatsächlich zur südionisch/milesischen Gruppe dieses Typus zählt, ist unsicher. Denn der charakteristische Dekor mit den konzentrischen Kreisen in den Metopenfeldern ist von späteren KRS von den Ionischen Inseln her wohl bekannt, besonders auf der Insel Thasos sind solche in Töpferöfen gefunden worden⁵⁶¹.

4.1.1.2.5 Die archaischen ostdorischen Variante des Typus 2: ein Exkurs

Die beiden im Aphrodite-Heiligtum von Oikus bei Milet gefundenen Randfragmente **49–50** weisen sehr ähnliche Formcharakteristika wie die für den Typus 2 beschriebenen auf. Jedoch vertreten sie spätere Beispiele der ostdorischen Variante der KRS (OdA I)⁵⁶². Dies wird bereits dadurch zur Gewißheit, daß die gebogenen geometrischen Formen durch die archaischen kantigen abgelöst sind. Zudem sind die Gefäße nun dünnwandig, und der Dekor zeigt aufgesetzte rote Streifen, wie sie vor der Stufe OiA I nicht bekannt sind. Inwieweit die ostdorische Entwicklung mit den südionisch/milesischen Skyphoi des Typus 2 aus spätgeometrisch/früharchaischer Zeit zusammenhängt, kann zur Zeit nicht beantwortet werden.

⁵⁵⁸ Furtwängler 1980, 201 Abb. 12, I/12.

⁵⁵⁹ Zu den Swastiken s. Kunisch a. O.

⁵⁶⁰ Vgl. S. 396 ff. im Kapitel 7.4.3.3.1.2 'Typus 2'.

⁵⁶¹ Vgl. unten zum Typus 4, S. 340 f. mit Anm. 841.

⁵⁶² s. zuletzt zu den ostdorischen KRS, zu denen auch die Gattung der sog. Vroulia-Schalen gehört, Schlotzhauer 2012, 59 f. 160 ff. Kat.-Nr. Nau 134; darüber hinaus Cook in: Cook – Dupont 1998, 114 f. und besonders Kinch 1914, 24 ff.

4.1.1.3 Der Typus 3

Die Bedeutung des Typus 3 unter den Funden im Handwerks- und Wohngebiet am Kalabaktepe-Süd entspricht mit 6 % (Abb. 13) in etwa dem des Typus 1. Damit ist Typus 3 wesentlich häufiger vertreten, als die nachweislich ebenfalls überwiegend in Milet produzierten KRSk des Typus 2.

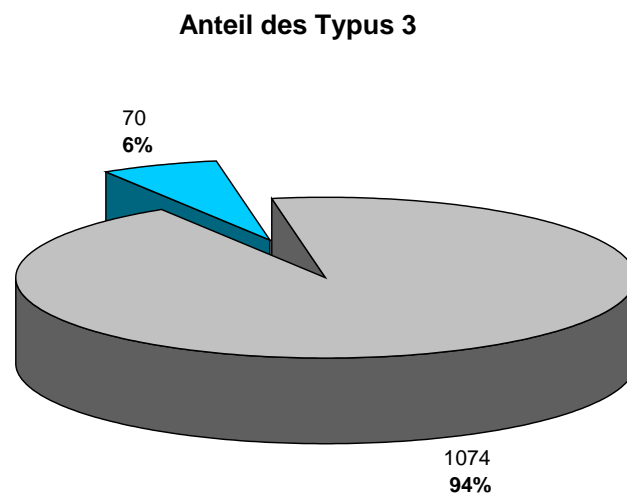


Abb. 13: Kalabaktepe-Süd, Anteil des Typus 3 an der Gesamtmenge der stratifizierten KRSk und KRS

Mit dem Typus 3 ist in Vielem bereits die archaische Stilstufe SiA I erreicht. Dies läßt sich stilistisch etwa daran aufzeigen, daß die hier in Rede stehenden Trinkgefäße den Übergang von der Skyphos- zur Schalenform vollzogen haben, doch fehlen bisher Fundkontexte, die diesen Übergang auch unabhängig von stilistischen Überlegungen datieren. Die Dekore sind zunächst weiterhin geometrisch geprägt, wenn sie auch in überwiegender Anzahl subgeometrisch sind. Die Trennung zwischen spät- und subgeometrischen Ornamenten und Dekoren ist allerdings in der Forschung teils noch umstritten⁵⁶³.

Die Beispiele des Typus 3 wurden in vielen Bereichen des antiken Stadtareals wie am Athena-Tempel, im sog. Südschnitt, am Kalabaktepe-Süd und auch im extraurbanen Aphrodite-Heiligtum bei Milet gefunden. Darüber hinaus stammen auch etliche aus dem Hera-Heiligtum auf der nahegelegenen Insel Samos.

Lediglich in Milet gefundene Beispiele des Typus 3 sind im Bochumer Labor (Yalçın) bisher auf ihre Herkunft hin untersucht worden. Kontrolluntersuchungen im Bonner Labor bei Mommsen konnten nicht realisiert werden. Die Bochumer Ergebnisse zu den je drei KRS **62**, **66** und **412** der Variante

⁵⁶³ Hier fehlt noch die Untersuchung auf einer breiten Materialbasis, wie sie in Milet nun zur Verfügung steht.

3,2.B und **70–72** der Variante 3,3.B lassen eine lokale Herstellung in Milet erwarten. Damit kann von einer lokalen Produktion in Milet ausgegangen werden, ohne daß weitere Produktionszentren wie Samos und vielleicht Ephesos auszuschließen sind. Aus beiden Fundorten fehlen bislang naturwissenschaftliche Untersuchungen zur Herkunftsbestimmung an Beispielen dieses Typus.

Vorweg seien aber einige Übergangsstücke erwähnt, die sich nicht widerspruchlos in das Konzept einfügen lassen und zwischen den zuvor besprochenen Typen und dem hier zu besprechenden Typus 3 stehen. Es handelt sich ausnahmslos um vollständige Gefäße, und alle stammen interessanterweise aus dem Hera-Heiligtum auf Samos. In jedem Fall stehen sie alle am Übergang von der spätgeometrischen zur früharchaischen Epoche.

Der Skyphos **51** aus dem Hera-Heiligtum auf Samos ist schon seit längerem bekannt und bereits publiziert⁵⁶⁴. Er steht von den hier zu besprechenden Skyphoi vor allem aufgrund seines breit gelagerten, tiefen, geschlossenen, auf einer konkaven Standplatte aufruhenden Beckens der geometrischen Stufe am nächsten. Eine Besonderheit weist allerdings bereits über die geometrischen Formgesetze hinaus: Der Rand biegt nicht, sondern knickt nach Art der chronologisch jüngeren Schalengruppen um. Mit den hohen abgeknickten Rändern der frühen KRS-Typen 4–8 ist der kurze gedrungene Rand des Skyphos **51** allerdings nicht zu verbinden. Die Proportionen des Randes erinnern vielmehr an die spät- und subgeometrischen Skyphoi der Varianten 2,3–4. Damit stehen die meisten Elemente des Gefäßes **51** noch in direkter geometrischer Tradition.

Zwei weitere Beispiele aus Samos (**52–53**) haben dagegen bereits in einigen wesentlichen Punkten den Schritt zur Schalenform vollzogen. Sie stehen nicht mehr auf einer Standfläche oder -platte auf, sondern werden von einem deutlich ausgeprägten Standring getragen, der sich als eigenständiger Gefäßteil darstellt. Auch die Henkel haben an Masse verloren und sind weniger steil aufwärts, sondern waagerechter ausgerichtet. Unverkennbar gehört aber der dickwandige, gestauchte und breit gelagerte Gefäßkörper der älteren Skyphosform an. Auch die Ränder knicken nicht so klar um, wie bei **51**, sondern biegen weiterhin als geometrisches Erbe nach außen um. Mit den samischen Skyphoi/Schalen **52** und **53**, die zu den wenigen vollständig erhaltenen Gefäßen dieser Zeit zählen, sei die Warnung verbunden, daß einige der späteren Randfragmente durchaus auf dieser Schwelle zur Schalenform stehen könnten⁵⁶⁵. In diesen Zusammenhang ist wohl auch das samische Übergangsstück **61** zu setzen⁵⁶⁶, das noch eine Standplatte aufweist, aber in allen übrigen Elementen die neue Schalenform erreicht hat.

Bereits die Verbindung altertümlicher Skyphoi- und jüngerer Schalenelemente verwies die genannten Gefäße aus Samos an den Übergang von der geometrischen zur archaischen Stilstufe. Diese

⁵⁶⁴ Walter 1957, Beil. 53, 3.

⁵⁶⁵ Weitere Beispiele für solche Übergangsstücke sind: Kopcke 1968, 254 Kat.-Nr. 8 Abb. 3 Taf. 93, 1, sie bilden gute Vergleiche zu den Typen 1,2.B (z. B. **11**; **17**), aber auch 1/3.A (**51–53**) und auch zu 3,2.B (z. B. **61**).

⁵⁶⁶ Das Gefäß **61** hat einen weiteren vollständigen Vergleich in Samos, Samos 5, Taf. 40, 226.

Einschätzung wird angesichts ihrer Dekore zur Gewißheit. Während der Skyphos **51** im Schulterbildfeld noch die spätgeometrische Winkelreihe eingeschrieben hat, teilen schnell mit der Kammbürste erzeugte, stereotype Strichgruppen die subgeometrische Metopenverzierung auf den Schulterfeldern von **52–53**. In die Metopenfelder sind ebenfalls mit der Kammbürste Ornamente wie übereinander gelagerte Zickzack-Bänder oder Rautenkettens aufgemalt worden.

Andere Eigenschaften stellen zudem eine Verbindung der spät und besonders der subgeometrischen Varianten mit dem stilistisch weiterentwickelten archaischen Typus 5, besonders mit den frühen Varianten 5,1-2.Bea, her. Man vergleiche nur eine im samischen Heraion aufgedeckte KRS der Variante 3,2.Bca⁵⁶⁷ mit den KRS der Varianten 5,1-2.Bea, so fällt der fließende Übergang anhand des festen Fabrikats, des metallisch schwarzen Firnis und des gleichgestalteten Randdekors auf der Außenseite auf. Eine zeitliche Überschneidung der Produktionszeit ist damit ebenso anzunehmen, wie auch die Produktion in denselben Werkstätten.

4.1.1.3.1 Die spät- (?) und subgeometrischen Knickrandschalen (und –skyphoi) der Variante 3,1

Die Variante 3,1 (**54–59; 409**) vollzieht teilweise bereits den Wechsel vom KRSSk zur KRS. Die auf Samos gefundene Schale **54** veranschaulicht etwa die Gesamtgestalt einer Schale des Typus 3,1.B exemplarisch. Allerdings hat der Gefäßkörper der Schale **54** noch das Erbe der trichterförmigen Gefäßbecken des Typus 2.B erhalten. Auf einem vollständig ausgebildeten und ausgestellten Standring, der am Ansatz stark eingezogen ist, steht der weiterhin breit gelagerte Schalenkörper auf. Dieser erinnert an einige der stilistisch älteren KRSSk. Die Henkel dagegen sind schon feiner und offenbaren die Tendenz zur nun typisch waagerechten Ausrichtung. Kennzeichnend für die Variante 3,1 ist aber vor allem der Rand. Dieser ist hoch, läuft oben spitz aus und knickt deutlich nach außen um. Im Profil erkennt man noch eine Verbindung zu den 'flammenartig' gebildeten Rändern des Typus 2. Die übrigen Beispiele der Variante 3,1 sind nur in Fragmenten erhalten. Die meisten von diesen lassen aber erkennen, daß ihre Becken nicht mehr trichterförmig gebildet waren. **409**, eine aus Samos stammende orientalisierende KRS, hat diese 'flammenförmige' Tendenz bereits nicht mehr. Sie steht daher auch dem Typus 5 – Variante 5,2.B – bereits sehr nahe. Damit zeigt sich erneut, wie schwierig Gefäße der Übergangszeiten einzuordnen sind.

Unter den Dekoren finden sich die spät- bzw. eher subgeometrischen Dekorvarianten c und d. Vor allem die mit der Kammbürste erzeugten Dekore auf den Schalen **54, 56** sowie **59** sind subgeometrisch⁵⁶⁸. Daneben gibt das Randfragment **409** aus Samos⁵⁶⁹, bei all seinen Schwierigkeiten der Zuordnung, einen ersten Hinweis zur Stellung der Formgruppe im Verhältnis zur Stilstufe SiA Ia der Vasenmalerei. Es handelt sich um einen orientalisierenden Dekor, auf dem erstmals die für die

⁵⁶⁷ Eilmann 1933, 64 Abb. 10.

⁵⁶⁸ So bereits Coldstream 1968, 293 Taf. 64, c.

⁵⁶⁹ Bereits von H. Walter publiziert in Samos 5, Taf. 111, 572.

südionische Vasenmalerei typische Grundierung mit hellem, gelblichem Überzug aufgetragen ist. Der Schulterfries – ein Horizontalfeld mit paarweise eingeschriebenen Doppelhaken und eingestreuten Rauten⁵⁷⁰ – orientiert sich an spätgeometrischen Ornamentbändern. Gleichwohl ist er als subgeometrische Strömung innerhalb der Stilphase SiA Ia zu klassifizieren.

4.1.1.3.2 Die spät- (?) und subgeometrischen Knickrandschalen (und – skyphoi?) der Variante 3,2

Wieder ist es die Randgestaltung (**60–67; 410–412**), an der sich die Eigenheiten einer Variante festmachen lassen, zumal vollständige Gefäße der Variante 3,2 bisher so gut wie fehlen. **61** mit seiner altertümlichen, konkaven Standplatte ist sicher nicht als stellvertretendes Beispiel der Variante zu betrachten, obgleich der Skyphos vollständig ist. Denn wie oben geschildert, hat der Skyphos **61** bereits als Übergangstück zu gelten. Mit hoher Wahrscheinlichkeit ist aber auch für Variante 3,2 eine Schalenform anzunehmen, wie sie für die Variante 3,1 bezeugt ist – wobei die Fragmente sowohl tiefe, kugelige Gefäßkörper (3,2.A), als auch überwiegend breiter gelagerte, recht geschlossene Becken (3,2.B) anzuzeigen scheinen. Die Standplatte von **61** entspricht aber sicher nur mehr der Fußform einiger spätgeometrischer Beispiele des Typus 3. Die abgeknickten Ränder der Variante 3,2 sind im Vergleich zur vorgenannten Variante lang, gestreckt und schmal. Besonders die feinen, mit Bemalung verzierten Gefäßchen **410–411** der Variante haben außerordentlich schmale, lange, spitze Ränder.

Die überwiegend subgeometrischen Dekore der Varianten b–d lassen sich für die Variante 3,2 ermitteln: Metopenfelder mit eingesetzten Ornamenten gliedern überwiegend Schulterfelder der Variante c (**60; 62–64; 411**), während sich seltener ein durchgehendes Ornamentband von Henkel zu Henkel auf der Schulter ausdehnt (Variante d), wie es auf **65** anzutreffen ist. Erneut ist ein vermehrter Gebrauch der Kammbürste an den Ornamenten festzumachen (**60–64; 411**). Unter den bemalten Beispielen ist wiederum der für die archaisch ostgriechische Gefäßmalerei übliche helle Überzug festzustellen – so besonders auf **412**, auf dessen Rand auch schon das für den Tierfriesstil Milets und anderer Kunstzentren dieser Zeit charakteristische offene Flechtband aufgemalt ist.

Für die drei beprobten KRS **62, 66** und **412** konnte die naturwissenschaftliche Analyse ihre milesische Produktion wahrscheinlich machen⁵⁷¹.

4.1.1.3.3 Die spät- (?) und subgeometrischen Knickrandschalen (und –skyphoi ?) der Variante 3,3

Tiefe, aber wenig gewölbte Gefäßkörper weist die letzte Variante 3,3.B des Typus 3 auf. Dies läßt sich einigermaßen verlässlich aus den ausgerichteten Profilen der Randfragmente **68–72** und das der milesischen Gefäßmalerei zugeordnete Beispiel **413** erschließen. Denn auch für diese Variante fehlen vollständig erhaltene Gefäße. Dementsprechend sind erneut die Ränder im Vergleich zu den übrigen

⁵⁷⁰ Kunisch a. O. 22 f. Abb. 10, d.

⁵⁷¹ Vgl. S. 456 f. 475.

Varianten ausschlaggebend. Sie sind leicht abgeknickt und steiler als die übrigen Varianten und im Vergleich etwas höher als jene. Zudem ist wieder eine, wenn auch eher angedeutete 'Stufe' am Übergang vom Becken zum leicht zurückversetzten Rand, ähnlich dem Typus 2, für die Variante 3,3 kennzeichnend.

Die sicher subgeometrischen Dekore der Varianten c–d auf den KRS der Variante 3,3 bewegen sich eng im Rahmen des bereits von den anderen Varianten Bekannten. Erneut ist ein Beispiel (413) mit milesischer Malerei der Stilstufe MileA Ia, der frühen Tierfriesstilstufe dekoriert. Wieder ist der typische helle Überzug ostgriechischer Gefäßmalerei der archaischen Zeit anzutreffen. Auf dem Rand hat sich der Rest eines umlaufenden geschlossenen Flechtbandes bewahrt, wie es nicht nur für die frühe Phase des Tierfriesstils zu beobachten ist. Die sicher zugehörige figürliche oder ornamentale Darstellung auf der Schulter, vermutlich in ein Bildfeld oder in eine Metopengliederung eingefügt, ist nicht erhalten geblieben.

Neben der Variante 3,2 hat die naturwissenschaftliche Beprobung von 70–72 im Bochumer Labor (Yalçın) eine Verortung zumindest eines Teils der Produktion der Variante 3,3 in Milet wahrscheinlich gemacht⁵⁷².

4.2 Die archaischen Knickrandschalen: Die einfachen dekorierten Serien

Während der archaischen Epoche hat Südionien eine spezifische Grundform der Schale hervorgebracht, die wie keine andere Schalengrundform in dieser ostgriechischen Region zu Hause ist. Es ist die konsequente Weiterentwicklung der Typen aus der geometrischen Zeit, die sich bereits bei der spät- (?) und subgeometrischen Gruppe 3 zeigt. Diese Schalengattung wurde bisweilen 'Ionische Kylix' oder ähnlich, zuletzt aber überwiegend als 'Ionische Schale' bezeichnet. Aufgrund der restriktiven Einschränkung, die dieser inzwischen verfestigte Begriff der Gattung aufzwingt, wurde hier ein neuer Begriff in Anwendung gebracht und in ein System eingebettet, das Schalen der gleichen Grundform aber unterschiedlicher Provenienz gliedert und ihre Unter- und Nebengruppen weiterhin unter einem Begriff zusammenfaßt⁵⁷³. Die Charakteristika der KRS wurden bereits oben zusammengestellt.

4.2.1 Die Schalen der Stufe SiA I

Hier sei eigens noch einmal auf die Stellung der im vorherigen Kapitel besprochenen KRS des Typus 3 im Wandel von der geometrischen zur früharchaischen Zeit verwiesen. Die noch nicht in allen Bereichen abgesicherte Trennung zwischen den Stilstufen SiG III und der subgeometrischen Strömung innerhalb der Stufe SiA I erlaubt häufiger keine klare Zuordnung. Doch zeigt sich bereits in der Formgebung, daß sich Gefäße des Typus 3 teilweise noch zwischen der Skyphos- und Schalenform

⁵⁷² s. Anm. zuvor.

⁵⁷³ Vgl. U. Schlotzhauer, AA 1999, 21 Anm. 71; ders. in: Krinzinger 2000, 412 f.

bewegen. Im Folgenden sind aber die KRS der Typen 4–8 vorzustellen, die Entwicklungen der archaischen Frühstufe SiA I sind und als Hauptvertreter südionischer Trinkgefäße das Bild milesischer Haushalte und Heiligtümer prägten. Ihre Ausbreitung über Südionien hinweg ist noch relativ schwach, wengleich sich erstmals Beispiele aus Südionien, wie die Typen 5 und 8, in Kontexten der Levante, Ägyptens, Unteritaliens und am Schwarzen Meer finden lassen⁵⁷⁴. Inwieweit sie ausschließliche milesische Entwicklungen oder allgemeine südionische Formtypen darstellen, ist nach augenblicklichem Forschungsstand nicht zweifelsfrei zu bestimmen.

4.2.1.1 Der Typus 4 und seine Varianten

Ebenfalls mit 6 % unter den Funden der Gattung ist der Typus 4 in der Siedlung am Südhang des Kalabaktepe vertreten (Abb. 14). Die Zusammenstellung der Beispiele **73–86** erlaubt erstmals die Bezeichnung KRS durchgehend für den Typus anzuwenden, wie sie eingangs definiert wurde. Es kann nun auch bei Fragmenten vorausgesetzt werden, daß ein Standfuß den Schalenkörper vom Boden abhob, wie er sich in drei Fällen der Varianten 4,2.B und 4,3.B auch erhalten hat (**76–78**). Dabei handelt es sich um relativ flache und enge, konische Füße. Die Henkel stehen sich waagrecht in Höhe der Schulter auf beiden Seiten gegenüber. Der hohe Rand ist abgeknickt und steht steil auf dem

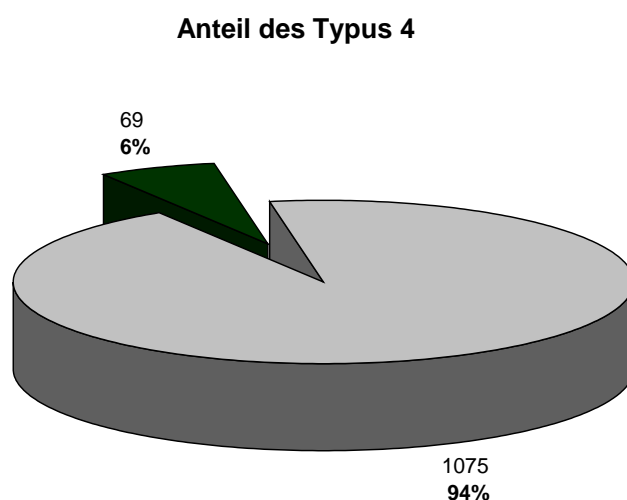


Abb. 14: Kalabaktepe-Süd, Anteil des Typus 4 an der Gesamtmenge der stratifizierten KRSk und KRS Gefäßkörper auf. Seine Form und Stellung auf dem Gefäßkörper lassen den Typus nochmals in drei Varianten unterscheiden. Ihre Variationsbreite hält sich im Vergleich zu den vorbezeichneten

⁵⁷⁴ s. zum Typus 5 347 ff; Typus 6 363 ff. und Typus 8 379 ff.; auffällig ist, daß Typus 8 am Schwarzen Meer bislang nicht nachgewiesen wurde.

geometrischen KRSk und subgeometrischen KRSk/KRS in engen Grenzen. Die Unterteilung macht sich an charakteristischen Stellen, wie dem Übergang von Rand und Schulter bemerkbar. Hier finden sich auch wieder tradierte Elemente, wie die 'Stufe' bei den zurückgesetzten Rändern der Typen 2 und 3, die hier in ihrer schwachen Ausformung besser als 'Schulterrille' bezeichnet sei: Variante 4,3.B. Dieses tradierte Formmerkmal kann durchaus als Indiz für eine einheitliche lineare Entwicklung betrachtet werden, die sich an den drei zeitlich versetzten, aber phasenweise auch synchron produzierten drei Typen der KRSk- und KRS-Gattung aufzeigen läßt. Die Form weist darüber hinaus in Vielem auch Übereinstimmungen mit den Typen 5, 6 und 7 auf. Angesichts ihrer größtenteils synchronen Fertigungszeit, was noch zu zeigen sein wird, ist dies auch wenig verwunderlich. So haben wir es hier mit einem Typus zu tun, der sich im Wesentlichen dem Formkanon des 7. Jhs. v. Chr. und hier insbesondere den Anfängen der zweiten Hälfte zugehörig erweist. Die Schalen **73–75** der Variante 4,1.B dürften sich in ihrer Gesamtdarstellung nicht wesentlich von den Varianten 4,2 und 4,3 unterscheiden, wie sie in den besser erhaltenen Beispielen **77** und **78** betrachtet werden können. Die Ränder der Variante 4,1.B allerdings scheinen noch unsicher und vielfältiger in der Einzelgestaltung auszufallen, als sei der Töpfer noch auf der Suche nach der endgültigen Formgebung (**73–75**). Einheitlich sind dann die Ränder der Schalen **76–77** der Variante 4,2.B, ebenso wie die der bereits beschriebenen Variante 4,3, die aber im Unterschied zu den anderen eine 'Schulterrille' aufweisen (**78–86**).

Entschiedener noch als in der leicht variierenden Schalenform definiert sich die Zusammengehörigkeit zum Typus 4 in seinem gleichförmigen Dekor. Er stellt ein einfaches subgeometrisches Muster dar, das vermutlich nicht weit über Milet hinaus wirkte. Jedenfalls sind Funde dieses Dekors aus anderen Fundorten bisher selten gemeldet worden. Die Bemalung der Schulterzone mit vertikalen Strichreihen oder Bündeln von vertikalen Strichgruppen ist keine archaische Neuerung. Die Verzierung der Schulterzone mit vertikalen Strichen konnte an den milesischen, aber auch den samischen Beispielen bereits von der spätgeometrischen Phase an beobachtet werden. Besonders auffällig ist, daß die vertikalen Linien die horizontalen Reifen häufig intentional überschneiden oder bereits vor den horizontalen Bändern unrhythmisch auslaufen. Lediglich bei der Variante 4,3 gibt es einige wenige Beispiele – wie vielleicht **78**, sicher aber **80** –, wo horizontale und vertikale Linien miteinander abschließen. Eine Sondergruppe innerhalb des Dekors weisen die Schalen der Variante 4,1 und 4,2 auf. Hier wird ein großes helles Feld auf dem Gefäßkörper ausgespart, wie es am besten **77** veranschaulicht. Insgesamt fällt auf, daß im Vergleich zu den dunkler gehaltenen geometrischen und frühen subgeometrischen Skyphoi und Schalen der früharchaische Typus 4 heller dekoriert ist. Gemeinsam mit den geometrischen und früharchaischen Gruppen ist aber auch bei diesem Typus der Rand mit Bändern verziert. Allerdings weist Typus 4 die Besonderheit auf, daß die Gefäßränder fast ausnahmslos nur ein zentrales, breites Firnisband besitzen. Erst die dunklen Schalen der Typen 6 und 8 sowie der Großteil der Schalen der Typen 10 und 11 haben dann keine vergleichbare Reifenverzierung mehr auf den Rändern.

Für zwei Beispiele des Typus 4 – eines der Variante 4,1.B (74) und eines der Variante 4,3.B (78) – konnte durch naturwissenschaftlichen Analysen milesische Provenienz nachgewiesen werden. Dabei hat das Bochumer Labor (Yalçın) sie einer einheitlichen Gruppe zugewiesen, während im Bonner Labor (Mommsen) die milesische Herkunftsgruppe D (Mommsen) und die vermutlich ebenfalls milesische Untergruppe DD-1 unterschieden wurden⁵⁷⁵.

4.2.1.2 Der Typus 5 und seine Varianten

Neben das bisher statistisch festgestellte, nahezu gleichmäßige Vorkommen der Typen 1, 3 und 4 unter allen aufgenommenen signifikanten Randfragmenten von KRS aus dem Grabungsbereich in der Südstadt von Milet, am sog. Kalabaktepe-Süd, tritt nun noch der Typus 5, der ebenfalls 6 % an der Gesamtmenge ausmacht (Abb. 15). Er scheint eine lange Laufzeit gehabt zu haben, denn der Typus zeigt während seiner Entwicklung eine große Variationsbreite auf. Von den groben großen Schalen wie 87 der Variante 5,1.B, die noch Verbindungen zu den Schalen der Variante 3,1.B und zu den frühen Beispielen des Typus 4

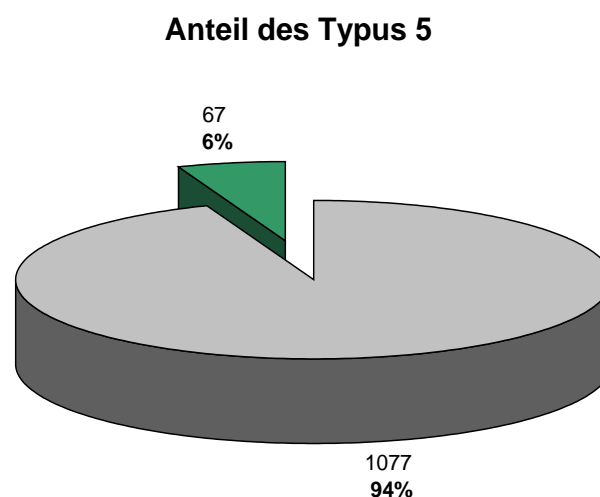


Abb. 15: Kalabaktepe-Süd, Anteil des Typus 5 an der Gesamtmenge der stratifizierten KRSk und KRS

aufweisen, führt sein Entwicklungsweg bis zu den feinen und fragilen Schalen der Variante 5,4.B (114–116). Vier Varianten lassen sich unterscheiden: die dickwandigen, großen Schalen mit konkavem Rand (Variante 5,1.B), die weniger dickwandigen, tiefen Schalen mit geradem Rand (Variante 5,2.B) sowie die mit kürzerem Rand (Variante 5,3.B) und die feinen, dünnwandigen, weniger tiefen Schalen mit geradem, dünnen Rand (Variante 5,4.C). Während die Variante 5,1.B

⁵⁷⁵ Vgl. hierzu S. 399 f. im Archäometrischen Exkurs das Kapitel 7.4.3.3.2.2 'Typus 4'.

sicher die älteste darstellt, dürften die Varianten 5,2.B und 5,3.B eine etwa gleiche Entwicklungszeit haben. Darüber hinaus verkörpern die Schalen der Variante 5,4.C sicher die Nachzügler im Entwicklungsgang des Typus 5.

Die Gefäßform der Variante 5,1.B ist besonders durch ihren konkav geformten, hohen Rand gekennzeichnet (**87–95**). Im Zuge der Entwicklung kann die Gefäßwand dünner sowie das Fabrikat fester und feiner werden. Der Dekor ist auf nahezu allen Schalen des Typus verbindlich. Die KRS **87** hat den Dekor beispielhaft erhalten. Innen ist sie bis auf ein schmales Lippenband am oberen Rand vollständig schwarz gefirnißt. Ebenso ist die Außenseite vom Fuß bis zum Rand schwarz gefirnißt, mit Ausnahme eines schmalen ausgesparten Henkelbandes. Die Außenseite des Randes ist dagegen hell belassen und mit mehr oder weniger feinen umlaufenden schwarzen Bändern verziert. Die einzige Variante, die sich in diesem Dekorationsschema findet, ist das Vorhandensein – im Folgenden mit **α** beschrieben – oder das Fehlen einer Wellenlinie oben auf der Außenseite des Randes. Die Wellenlinie ist ein Relikt der spät- und subgeometrischen Dekore. Sie ist dann unter den Randdekoren der Variante 5,4.C nicht mehr nachzuweisen.

Die Ränder der Variante 5,2.B (**96–100**) sind im Gegensatz zu denen der vorher beschriebenen Variante gerade und in der Regel nur wenig nach außen abgewinkelt. Sie laufen zur Lippe hin spitz zu. Wieder findet sich neben dem einfachen Dekor auf den Schalen der Variante 5,2.B die Dekorationsvariante **α** mit Wellenlinie. Ebenfalls mit den gleichen Dekorvarianten tritt die Variante 5,3.B (**101–113**) auf, aber hier sind die Ränder kürzer und schließen oben oft gerundet ab.

Die späteste Stufe des Typus 5 ist dann mit der Variante 5,4.C beschriftet. Im Aufbau von Form und Dekor gleicht sie den älteren Varianten. Technisch ändert sich hingegen Einiges. Denn nun wird die Gefäßwand dünner und feiner. Zudem zeichnet sich die Dekoration dieser Variante durch sorgsamere Ausführung aus. Dieser Wandel in der Qualität des Scherbens macht sich bereits bei der KRS **105** der Variante 5,3.B bemerkbar. Vermutlich ist sie auch chronologisch nicht weit von der letzten Variante abzurücken.

Auffallend ist die Nähe des Typus 5, besonders in seinen späten Varianten 5,3.B und 5,4.B, zu den frühen Varianten 9,1.B-C. Manche Stücke lassen sich kaum voneinander scheidet. Lediglich die feinen Linien auf der Außenseite des Randes bezeugen noch ihre Zugehörigkeit zum Typus 5. Hier zeigt sich an einem Beispiel erneut eine durchgehende Entwicklungslinie, an dann letztendlich doch wieder mit der Zeit deutlich zu trennenden Typen des 7. und 6. Jhs. v. Chr. Lediglich in der zeitlich begrenzten Phase, in der die beiden Typen parallel verlaufen, ist die Gefäßform kaum zu unterscheiden und die Dekoration ebenfalls eng verwandt.

Eine bessere stilistische Einordnung des Typus und seiner Variante lassen die bemalten Beispiele zu. Die beiden auf Samos gefundenen KRS **409** und **415** sowie das am Kalabaktepe-Süd aufgedeckte Fragment **416** der Formvarianten 5,1–2.B besitzen orientalisierende Dekore. Der subgeometrische Dekor der Stilphase SiA Ia von **409** war bereits im Zusammenhang mit dem Typus 3 besprochen

worden, denn das Fragment steht zwischen beiden Typen und ist innerhalb des Typus 5 der Variante 5,2.B am nächsten. Dagegen hat **415** eine Reihe von geometrischen Vogeldarstellungen in einem Metopen- oder breiten Bildfeld eingeschrieben. Im seitlichen Bildfeld links von den Vogeldarstellungen zeigt sich aber bereits ein dreifach ineinandergeschachteltes, hängendes Dreieck, wie es dann in gegitterter Ausführung im Tierfriesstil der Stufe SiA I als prägendes Motiv zu finden sein wird. Auch der umlaufende Mäander auf dem Rand deutet trotz der subgeometrischen Tendenzen bereits auf die Zugehörigkeit der Schale der Variante 5,1.B in die früheste archaische Phase der Stilstufe SiA Ia. Die KRS **416** der gleichen Variante 5,1.B gehört ebenfalls der Stilphase SiA Ia an. Es ist allerdings zu wenig erhalten, um eine klare Vorstellung vom Dekor zu gewinnen. Sicher ist aber, daß auch diese Schale noch über eine Metopengliederung im Schulterfeld verfügte. Nicht nur aufgrund ihres Fundplatzes auf Samos sind die beiden orientalisierenden KRS **409** und **415** vermutlich in einer samischen Töpferei hergestellt worden. Denn auch die archäometrischen Untersuchungen zur Herkunftsanalyse unterstützen nach augenblicklichem Stand diese Vermutung.

Die südionischen KRS des Typus 5 stammen sowohl aus dem Hera-Heiligtum auf Samos, als auch aus allen Bereichen des antiken Milet, in denen bisher archaische Schichten angetroffen wurden. Ferner wurde der Typus nicht selten im Heiligtum der Aphrodite von Oikus bei Milet nachgewiesen. Darüber hinaus setzt ein erster nennenswerter Export bereits mit den frühesten Varianten dieses Typus ein. Unter den Funden im nahen und zu Milet gehörenden Assesos, in der südöstlichen Meeresbucht gelegen, fehlt der Typus interessanterweise vollständig, obgleich Beispiele der subgeometrischen KRS des Typus 3 bereits vertreten sind⁵⁷⁶. Andererseits ist der Typus in der Levante, z. B. in Al Mina, in Tarsos, Ashkelon und auch in Ägypten, Unteritalien⁵⁷⁷ und vereinzelt im Schwarzmeerraum anzutreffen⁵⁷⁸.

Der Typus 5 ist intensiv naturwissenschaftlich auf seine Herkunft untersucht worden. Allein aus Milet wurden im Bochumer Labor (Yağlin) acht Untersuchungen an den fünf Schalen **90**, **93**, **99**, **104–105** durchgeführt. Von diesen wurden zwei (**104–105**) auch im Bonner Labor (Mommsen) analysiert, wo zudem zwei zuvor noch nicht untersuchte Schalen aus Milet (**97**; **103**) die Probenserie des Typus 5 in Milet auf insgesamt sieben Beispiele erhöhten. Die Ergebnisse sind bislang nicht eindeutig, fügen sich aber dennoch in ein bereits angedeutetes Bild von Untersuchungen an Schalen des Typus 5 aus anderen Fundplätzen ein. Eine in Ephesos geborgene KRS der Variante 5,1.B gehört der samischen Herkunftsgruppe J (Mommsen) an. Ein anderes, bei Taganrog an der Donnmündung – dem vermutlich nordöstlichsten ionischen Emporion – gefundenes Fragment des Typus 5 ist der noch nicht

⁵⁷⁶ G. Kalaitzoglou, der die Fundkeramik aus dem Athena-Heiligtum in Assesos bearbeitet, verdanke ich diese Information; s. jetzt auch die Endpublikation: Kalaitzoglou 2008, 67–92 Taf. 5–19. Allerdings ist der Grabungsausschnitt in Assesos extrem begrenzt. Er hat wohl kaum eine statistisch verlässliche Aussagekraft bezüglich der in Assesos tatsächlich vorhandenen KRS-Typen.

⁵⁷⁷ G. Vallet – F. Villard, *La céramique archaïque. Mégara Hyblaea* 2 (1964) 88 Taf. 75, 4 (5,2.Bγ); 75, 5 (5,1.B) und hier S. 347 ff.

⁵⁷⁸ Vgl. hier S. 353 ff.

lokalisierten chemischen Herkunftsgruppe Ulo4 (Mommsen) anzuschließen. Auch die milesischen Funde dieser Schalenklasse lassen sich aufgrund der Untersuchungen von Mommsen der samischen Herkunftsgruppe J (**97** der Variante 5,2.Beα und **105** der Variante 5,3.Beα) sowie der unlokalisierten Herkunftsgruppe Ulo4 (**104** der Variante 5,3.Beα) zuordnen. Lediglich **103**, ebenfalls ein Beispiel der Variante 5,3.Beα, bleibt ein sog. chemischer Single. Damit haben die neueren und verlässlichsten Untersuchungen im Bonner Labor (Mommsen), die zugleich auch die größte Datenbank für Abgleiche aufweisen kann, bisher keinen Nachweis für eine milesische Produktion des Typus 5 erbracht. Besonders die Korrektur zu der im Bochumer Labor (Yaçlın) als milesisch erwiesenen Schale **105** durch die Untersuchungen von Mommsen ist bedenklich. Möglicherweise konnte das Bochumer Labor bisher die samischen und milesischen Produkte nicht hinreichend voneinander trennen. Allerdings hatte auch Yaçlın schon Hinweise auf nicht-milesische Produktion einzelner Beispiele des KRS-Typus 5, so etwa bei **99**. Dennoch ist weiterhin nicht ganz auszuschließen, daß auch in Milet eine Produktion dieses Typus bestand. Auch kann sich natürlich die unlokalisierte naturwissenschaftliche Herkunftsgruppe Ulo4 durchaus als milesisch erweisen. Doch sind die ebenfalls darin enthaltenen feinen KRS des Typus 8 immer schon für samisch erachtet worden. Dennoch muß nach bisherigem Stand der Forschung am ehesten davon ausgegangen werden, daß der Typus 5 vor allem eine samische Produktion darstellt. Obgleich die Untersuchungen Duponts ergeben hatten, daß neben Samos auch Milet den Typus 5 (er bezeichnet ihn noch als Villard – Vallet A2) hergestellt hätte⁵⁷⁹. Erst eine kürzlich untersuchte KRS der Variante 5,1.B aus Milet, die nicht mehr hier aufgenommen werden konnte, hat einen sicheren Nachweis für Milet erbracht⁵⁸⁰.

4.2.1.3 Der Typus 6 und seine Varianten

Erneut ist unter den KRS aus den neuen Grabungen am Kalabaktepe-Süd ein Typus mit 6 % vertreten: der Typus 6 (Abb. 16). Damit ist der Typus 6 (**117–134**; **Abb. 17**) in etwa genauso häufig unter den Funden des aufgedeckten archaischen Siedlungsareals angetroffen worden wie Typus 1 und die Typen 3–5. Formtypologisch ist der Typus 6 in sechs Varianten zu scheiden und vermutlich gehört auch **417** hierher, aber die Schale weist durchaus Besonderheiten auf. Die KRS **119** aus Samos und die drei vollständigen Beispiele **132–133** aus dem Heiligtum der Aphrodite von Oikus bei Milet sowie **Abb. 17** aus einer Straßensondage im Antikengelände zeigen exemplarisch das Erscheinungsbild der hier zusammengefaßten Fragmente des KRS-Typus 6. Auch **123** vom Kalabaktepe-Süd in Milet erlaubt einen Eindruck der Schale, doch wies diese Schale offensichtlich eine für den Typus eher ungewöhnliche Fußform auf, die eigentlich nur vom Typus 8 her bekannt ist (vgl. Abb. 5).

⁵⁷⁹ P. Dupont – V. Lungu, Les ateliers primordiaux de coupes ioniennes à la lumière des trouvailles de la Mer Noire, in: A. Hermay – G. R. Tsetskhladze (Hrsg.), From the pillars of Hercules to the footsteps of the Argonauts. Colloquia Antiqua 4 (2012), 262; aber auch ein reger Austausch hat zwischen den beiden Zentren in Südionien stattgefunden, so daß: »les analyses ont révélé la présence de coupes B1 Fikellura milésiennes à l'Héraion de Samos et des coupes A2 d'origine samienne à Milet« (ebenda 263 Anm. 21).

⁵⁸⁰ Mile 355 = K 92.37.6 gehört der Variante 5,1.B an und der milesischen Herkunftsgruppe A 'Kalabaktepe-Werkstätten' (Mommsen). Vgl. Zur Herkunftsgruppe Mommsen S. 434.

Bezeichnend ist allerdings eine Vielfalt unter den wenigen ganz erhaltenen Füßen des Typus 6. Als allgemeine Tendenz der Zeitstellung sind aber dennoch gewisse Formmerkmale festzustellen. Die Standringe und Füße haben gemessen an späteren Standringen insgesamt einen geringeren Durchmesser und ziehen sich am Übergang zum Schalenbecken stark ein. Im Profil sind die Füße 'echinus-' (119) oder 'trichterförmig', wie vermutlich im Fall von 123. Dagegen vertritt die Fußform der Schalen 133 und Abb. 17 einen Typus, wie er auch bei den Typen 4 und 5 anzutreffen war, und der vermutlich auch der gebräuchliche unter den Gefäßen des Typus 6 war. Dagegen ist der Fuß der KRS 132 als exzeptionell zu bezeichnen. Er ähnelt am ehesten einem Scheibenfuß, wie ihn vor allem die nordionischen Kalottenskyphoi bzw. -schalen aufwiesen, deren Hauptvertreter in der Zeit des Typus 6 der sog. Vogelskyphos bzw. die sog. Vogelschale darstellten⁵⁸¹. Auf die unterschiedlichen Fußvarianten, die im Rahmen der beschriebenen zeitbedingten Tendenz gleichwohl eine gewisse Ähnlichkeit aufweisen, folgt ein tiefes, gerundetes, teils'trichterförmiges' (118; 122; 126; 132–133; Abb. 17) Schalenbecken. Die Horizontalhenkel

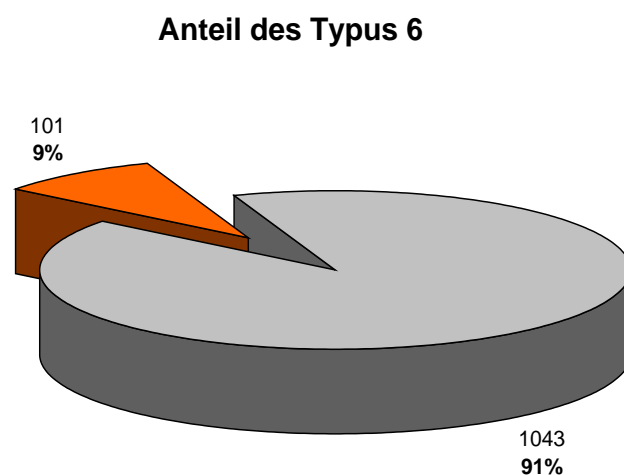


Abb. 16: Kalabaktepe-Süd, Anteil des Typus 6 an der Gesamtmenge der stratifizierten KRSk und KRS

zeigen ebenso wie die der Typen 4 und 5 eine Tendenz zur waagerechten Ausrichtung, sind im Vergleich zu denen der geometrischen Skyphoi feingliedriger, und ihre Henkelansätze sind enger zusammengedrückt. Einheitlich ist auch ihr Dekor gestaltet und entspricht dem des Typus 8, mit dem der Typus 6 auch ansonsten eng verbunden ist. Die Schalen des Typus 6 sind beidseitig schwarz bemalt und haben meist ein schmales, teilweise auch ein breiteres (126–128) Henkelband ausgespart.

⁵⁸¹ Vgl. etwa den Fuß der Vogelschale in Kopenhagen der 2. Hälfte d. 7. Jhs. v. Chr. bei Cook in: Cook – Dupont 1998, 27 Abb. 6.1 oben.

Lediglich die Sondervariante 6,6 hat weitere schmale tongrundige Bänder unter und über dem obligatorischen Henkelband auf der Außenseite. Innen kann ein schmales Lippenband ausgespart sein – das bleibt aber, wie bei den KRS im Allgemeinen, eine eher seltene Ausnahme. Einige Beispiele der Varianten 6,2, 6,4 und 6,5 haben rote und weiße Bandgruppen als zusätzliche Verzierung aufgetragen. Zusammen mit dem Typus 8 der KRS kommen diese zusätzlich aufgetragenen Bänder hier erstmals bei der Gattung vor.

Erneut sind es die Randformen, anhand derer sich die Varianten scheiden lassen. Variante 6,1.B ist typologisch an den Beginn des Typus 6 zu setzen, was sich allein schon an dem harten Scherben und dem technisch unausgereiften matten, aber pastös aufgetragenen Firnis zu erkennen gibt. Im Katalog sind als Beispiele der Variante die beiden Schalen **117–118** aufgeführt. Sie zeigen steile hohe Ränder, die uneinheitlich ausformuliert sind, wenngleich sie

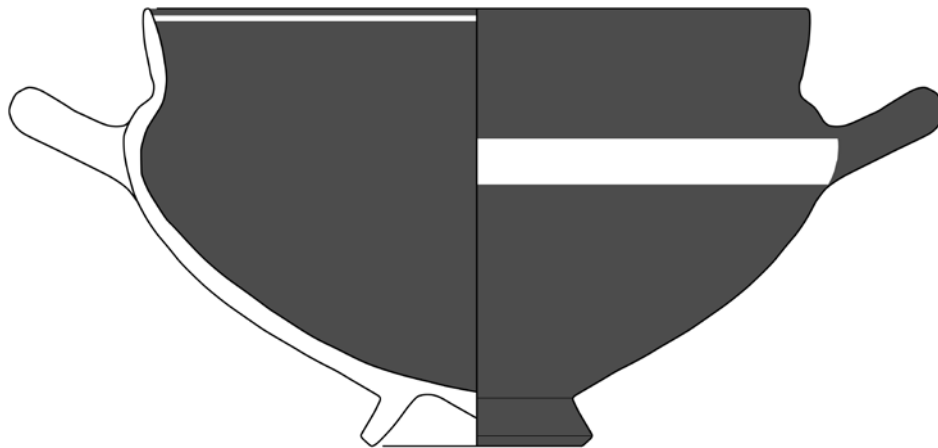


Abb. 17: Vollständig rekonstruiertes Beispiel der Variante 6,2.B, Milet (Inv.-Nr. CA 09.206.10)

stets an der Lippe spitz zusammenlaufen. Auch die Ränder der Variante 6,2.B (**119–122**; **Abb. 17**) laufen spitz zu, sind aber im Vergleich einheitlicher gebildet. Sie sind zudem geschwollen, kürzer und stärker nach außen abgewinkelt. Vermutlich ist der Variante 6,2 auch die im Tierfriesstil der Phase SiA Ia bemalte Schale **417** anzugliedern. Allerdings ist sie etwas kleiner und auf der Innenseite ist der Rand am Übergang zum Becken ungewöhnlich stark überhängend. Akzeptiert man jedoch das

Schalenfragment **417** als zugehörig, dann ergibt sich von Seiten der südionisch/milesischen Gefäßmalerei ein weiterer Anhaltspunkt für eine Datierung der Variante 6,2.B in die Zeit der Stilphase SiA Ia. Die Ränder der Variante 6,3 (**123–129**) unterscheiden sich von der vorgenannten Variante darin, daß sie nicht geschwollen und insgesamt dünner sind. Wie aber schon die Ränder der Variante 6,2 sind auch die Ränder der Variante 6,3 spitz zulaufend, relativ kurz und deutlich nach außen abgeknickt. Die Variante 6,4 (**130–131**) hingegen ist generell dünnwandiger, und dementsprechend sind auch ihre spitz zulaufenden, deutlich abgewickelten Ränder dünnwandig. Dazu sind sie konkav geformt, wie die Ränder der Varianten 5,1 und 8,1. Mit diesen scheint die Variante auch zeitlich eng verbunden werden zu können. Die Variante 6,5 (**132–133**) schließlich ist in Vielem der vorgenannten Variante 6,4 gleichzusetzen, aber hier sind die Ränder gerade, also nicht konkav geformt. Zudem sind sie auf der Innenseite flach und außen leicht geschwollen. Die Schale **134** steht hier stellvertretend für die Sondergruppe, die hier als Variante 6,6.c bezeichnet ist und bereits eng mit den attischen Bandschalen in Verbindung zu stehen scheint und deren Ausläufer vielleicht bis in das zweite Viertel des 6. Jhs. v. Chr. hinabreichen. Ein weiteres Beispiel in Milet vom Aphrodite-Heiligtum auf dem Zeytintepe führt die Sonderform von **134** dann weiter in das 6. Jh. v. Chr. hinein fort: die KRS **614**. Sie ist in ihrer Form bereits den attischen Bandschalen angeglichen, aber ihr Tierfries im Henkelband weist sie als Produkt der milesischen Fikellurastil-Maler der Stilstufe MileA II aus⁵⁸². Diese Variante ist damit bisher lediglich im sog. Südschnitt und mit Malerei im Heiligtum der Aphrodite von Oikus vor den Toren Milets belegt. Außerhalb Milets scheint sich ansonsten nur eine Verbindung zur Gruppe 'Hommel II' aus den Grabungen in Melie nahe dem Panionion an der Mykale anführen zu lassen⁵⁸³.

Die Verbreitung des Typus 6 beschränkt sich vorläufig vor allem auf Südionien und die südlich angrenzenden Regionen, unter anderem Rhodos und Kos. Vereinzelt ist der Typus auch auf Sizilien⁵⁸⁴, Tarsus, Ashkelon, Tel Kabri, Tarsos (Taucheira) und Kyrene (vgl. hier S. 363 ff.). Hier müssen aber weitere Untersuchungen abgewartet werden, ob es sich dort nicht vielleicht um lokale Varianten handelt. Für die nördlichen Regionen konnte der Typus lediglich in Ephesos nachgewiesen werden⁵⁸⁵.

Die Herstellung des Typus 6 der KRS in Südionien ist schon aufgrund der geographischen Verteilung der bekannten Exemplare sehr wahrscheinlich. Auch zeigen die Funde in Milet gegenüber anderen Fundorten die größte Variationsbreite des Typus an. Zudem konnte eines der typologisch frühesten Beispiele, die KRS **117**, archäometrisch im Bonner Labor als Mitglied der sicher milesischen Herkunftsgruppe D (MommSEN) erwiesen werden.

⁵⁸² Eine Schale im Metropolitan Museum mit einem ungewöhnlichen, vielleicht nicht originalen Fuß, wird bereits seit längerem als attisch oder ostgriechisch angesprochen. Sie steht **614** auch mit den Henkelblüten nahe, s. CVA New York, Metr. Mus. (2) S. 11 III H Taf. 20, 32. Zudem scheint auch eine Schale in Mannheim mit **134** und **614** verwandt, s. CVA Mannheim (1) S. 23 Taf. 9, 4.

⁵⁸³ Vgl. Panionion 149 ff.; vgl. jetzt auch den Aufsatz zu den sog. Panionionschalen von T. G. Schattner, Panionionschalen, in: R. Biering – V. Brinkmann – U. Schlotzhauer – B. F. Weber (Hrsg.), Maiandros. Festschrift für Volkmar von Graeve (2006), 221 ff.

⁵⁸⁴ Vallet – Villard 1964, 88 Taf. 74, 1-3; 75, 1-2 (eines mit weißen Bändern am Rand).

⁵⁸⁵ Zu Ephesos s. hier 363 f.

4.2.1.4 Der Typus 7 und seine Varianten

Forschungsgeschichtlich sind die KRS des Typus 7 (135–149) bisher nicht eigens behandelt worden, was auch die entsprechende Zeile in der Tab. 1 (Abb. 8) zu den bestehenden Typologien der südionischen KRS veranschaulicht, denen sie nicht zugeordnet sind. Der Grund ist in ihrer offensichtlich begrenzten Verbreitung zu suchen. Bislang sind keine Beispiele aus Fundorten außerhalb Südioniens bekannt geworden. Darüber hinaus findet der Typus 7 seinen Platz in der Entwicklungsreihe der milesischen KRS-Gattung, und da sein Anteil unter den erfaßten KRS am Kalabaktepe-Süd mit 4 % (Abb. 18) einen durchschnittlichen Wert unter den

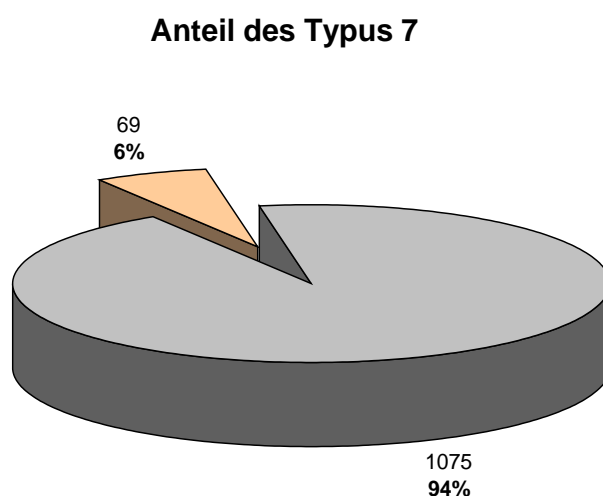


Abb. 18: Kalabaktepe-Süd, Anteil des Typus 7 an der Gesamtmenge der stratifizierten KRSk und KRS

frühen Typen erreicht, ist er wohl als vollgültiger Baustein in der Entwicklungsreihe der Gattung zu betrachten. Auffällig ist, daß der Typus 7 auch auf der nahegelegenen Insel Samos fast vollständig fehlt⁵⁸⁶. Vielleicht kann dies als Hinweis darauf verstanden werden, daß der Typus seltener in Heiligtümer gelangte oder sogar eine eigene milesische Erscheinung anzeigt⁵⁸⁷.

Der hier vorzustellende Typus 7 tradiert wie bereits Typus 4 subgeometrische bzw. früharchaische Elemente. Zugleich vollzieht sich – im Sinne eines Entwicklungsstranges wohl nicht zu Unrecht – in seinen Varianten die Wendung zur entwickelten archaischen KRS-Form. Der Dekor steht ebenfalls in

⁵⁸⁶ s. aber Technau 1929, Beil. 11, 6.

⁵⁸⁷ Hier sei auch auf den spezifischen Dekor der Heiligtumskeramik (z. B. U. Kron in: H. A. G. Brijder [Hrsg.], *Ancient Greek and Related Pottery. Symposium Amsterdam 1984*, Allard Pierson Series 5 [1984] 292 ff. bes. 296 mit Anm. 22.; dies. in: R. Hägg – u. a. [Hrsg.], *Early Greek Cult Practice. Symposium Athen 1986*, *ActaAth* 38 [1988] 144 ff. bes. 145), aus dem Hera-Heiligtum verwiesen.; s. auch Schlotzhauer 2012, 56 ff. 155 ff. Kat.-Nr. 125–129.

der Tradition subgeometrischer Schalen der Typen 3 und 4. Damit bleibt zur Zeit der vorherrschenden dunklen Gefäßkörper früharchaischer Schalentypen wie 5, 6 und 8 auch ein aufgehellter Dekor bestehen, der quasi eine Brücke zu den hellen Schalendekoren des 6. Jhs. v. Chr. schlägt. Es hat sich kein vollständiges Beispiel dieses Typus erhalten, daher kann vorläufig keine Aussage zur Gesamt- und auch nicht zur Fußform gemacht werden.

Bezeichnenderweise ist es weniger der Dekor als die Form, die trotz der Unterschiede im Einzelnen den Zusammenhalt der Gruppe herausstellt. Es lassen sich fünf Varianten vor allem aufgrund ihrer unterschiedlichen Randausbildungen scheidet. Die Variante 7,1.B (**135–136**) zeichnet eine recht altertümliche Gestalt aus. Sie steht sicher noch mit älteren Formen des Typus 3, etwa Variante 3,2 in Verbindung. Der Rand von **135** ist nur leicht abgeknickt und die Henkel haben noch die massige Formulierung der geometrischen Vorläufer, obwohl sie zugleich bereits die fortschrittliche waagerechte Ausrichtung aufweisen. **136** dagegen hat dünnere Henkel und wirkt auch insgesamt in der Formgestaltung des Randes und des Beckens sowie des Randknickes weiter fortgeschritten. Die Fragmente **137–138** belegen die Variante 7,2. Ihre hohen und schmalen abgewinkelten Ränder laufen spitz aus. Ebenfalls lang, allerdings an einer Seite abgeflacht, auf der anderen leicht verdickt, sind die Ränder der Variante 7,3 (**139–144**). Wie die Ränder der zuvor besprochenen Variante 7,2 laufen auch hier die Ränder spitz aus. Kürzer und beidseitig geschwollen, jedoch ebenfalls spitz auslaufend sind die Ränder der Variante 7,4 (**145–147**). Dagegen sind die ebenfalls kurzen, geschwollenen Ränder der Variante 7,5 oben abgerundet und weisen am Knick außen eine Rille auf. Diese letzte Variante hat wiederum durchaus Parallelen zum Typus 11, besonders zur Variante 11,4. Doch läßt sich der Dekor nicht mit dem Typus 11 verbinden.

Der Dekor weist eine vergleichsweise große Variationsbreite auf. Dies liegt vermutlich auch an der zur Form bereits erläuterten Übergangstendenz des Typus 7, die sich stärker noch im Dekor widerspiegelt. So wie sich die Gefäßform und ihre Randvariationen an subgeometrischen, früharchaischen bis hin zu hocharchaischen Typen anbinden läßt, finden sich auch beim Dekorschema einerseits die retardierenden Tendenzen der Reifendekoration auf den Rändern, wie sie bei den spät- und subgeometrischen (Typen 3 und 4) sowie früharchaischen Schalen (Typus 5) anzutreffen sind. Andererseits lassen sich fortschrittliche Tendenzen feststellen, wie die tongrundig belassenen oder vollständig gefirnißten Ränder, die dann in der Zeit der Typen 10 und 11 verbreitet sind. Mit ihrem teils achtlos aufgetragenen breiten Reifen auf der Randaußenseite und den horizontal gliedernden Reifen auf dem Gefäßkörper lassen sich die Schalen (**135–140; 142–143; 145**) eng an die Vertreter des subgeometrischen Typus 4 anschließen. Häufig unterscheidet sie nur das Fehlen der für den Typus 4 bezeichnenden vertikalen Strichreihen auf der Schulter und die größere Anzahl der Reifen auf dem Rand. Auch die Wellenbänder auf den Schultern der Schalen **141** und **149** sind noch Einzelelemente der subgeometrischen Tradition, die auch noch auf den Rändern der Typen 5 und 8 nachklingen. Andererseits sind die Gefäßbecken innen nur selten mit Bändern dekoriert, wie es bei Typus 3 üblich war, dagegen sind sie überwiegend vollständig gefirnißt, wie bei den Typen 4, 5 und 6. Die

eingehende Analyse zeigt in der beschriebenen Abgrenzung und Nähe zu den anderen Typen der KRS ihre Stellung zwischen den Form- und Dekorschemata früher Typen sowie neue Lösungen, die sich bei einzelnen Beispielen dann auch schon mal deutlicher zeigen. Gerade dies macht den Charakter des Typus 7 aus. Stärker als die Schalen anderer Typen stehen sie zwischen verschiedenen Strömungen und weisen wohl auch deshalb ein verhältnismäßig vielfältiges Gesamtbild auf.

Bei den naturwissenschaftlichen Untersuchungen zur Herkunftsbestimmung wurde lediglich das Beispiel **149** der Variante 7,5.B berücksichtigt. Diese Untersuchung wurde im Bochumer Labor (Yalçın) vorgenommen und bestätigte für die Schale eine milesische Produktion. Dies ist natürlich kein für den gesamten Typus belastbares Ergebnis für einen lokalen Ursprung⁵⁸⁸.

4.2.1.5 Der Typus 8 und seine Varianten

Der Typus 8 (150–170. 418–422) fällt durch mehrere Eigentümlichkeiten stärker als alle anderen Gruppen ins Auge. Daher verwundert es auch kaum, daß er bisher in allen Klassifizierungssystemen

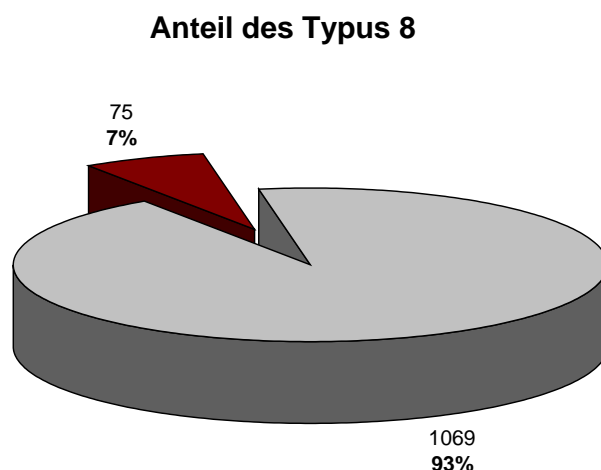


Abb. 19: Kalabaktepe-Süd, Anteil des Typus 8 an der Gesamtmenge der stratifizierten KRSk und KRS einen eigenen und fest umrissenen Typus bildete (vgl. Tab. 1 in Abb. 8). Mit 7 % ist er ein relativ häufig vorkommender Typus unter den KRSk und KRS im Areal am Kalabaktepe-Süd (Abb. 19).

Die Form der Schale ist eng mit denen der Typen 5 und 6 verbunden. Doch ist der Typus 8 im Gegensatz zu allen anderen auffallend klein dimensioniert⁵⁸⁹. Sein Mündungsdurchmesser liegt stets

⁵⁸⁸ Vgl. hierzu S. 403 im Archäometrischen Exkurs das Kapitel 7.4.3.3.3 Typus 7.

⁵⁸⁹ Was aber nicht heißt, daß die Verspieltheit südionischer Töpfer nicht bisweilen auch Beispiele hervorgebracht hat, die die Dimension großer Kratere erreichten und dennoch die Eigenheiten des Typus 8 beibehielten (z. B.

zwischen 10 und 14 cm, wobei die meisten Schalen zwischen 10 und 12 cm schwanken, und die mit Tierfriesstil bemalten zwischen 13 und 14 cm. Zudem zeichnet die Gefäße eine 'eierschalendünne' Wandstärke von weniger als 0,2 cm aus⁵⁹⁰. Ihre dünnen Stabhenkel sind dem filigranen Gefäß angepaßt. Bei diesem Typus sind die im Verhältnis zum Gefäß feinen Henkel mit engem Abstand der beiden Henkelansätze erstmals vorgebildet, wie sie dann bei den KRS des 6. Jhs. v. Chr. durchgehend anzutreffen sind. Es werden zwei Varianten des Typus unterschieden: 8,1.B und 8,2.B. Erstere weist eine konkave Randgestaltung auf (**150–159; 421**), genauso wie sie bei den Varianten 5,1.B und 6,4.B zu beobachten war. Die engen Verbindungen zu den Typen 5 und 6 gehen über die besondere Randgestalt der Varianten 5,1, 6,4 und 8,1 hinaus und sind entweder in der gleichen Zeitstellung oder einer Tradierung begründet⁵⁹¹. Die zweite Variante, 8,2.B, hat dagegen einen geraden, lang und spitz zulaufenden Rand (**160–170; 418–420; 422**). Die Gesamtform ist im Katalog durch die beinahe vollständigen Beispiele **155** aus dem Heiligtum der Aphrodite von Oikus bei Milet und **160** aus dem Hera-Heiligtum auf Samos belegt. Charakteristisch für die Gruppe ist neben dem bisher Gesagten, daß die Schalen einen konischen Fuß aufweisen, wie er auch in Abb. 5 dargestellt ist.

Der Dekor der einfachen Serie ist ebenfalls einheitlich. Die beidseitig vollständig gefirnißten Schalen besitzen das typische tongrundige Lippenband auf der Innenseite des Randes sowie ein ausgespartes dünnes Henkelband außen. Zusätzlich können rot-weiß-rote Bänder⁵⁹² Ränder und Schalenkörper schmücken⁵⁹³. Diese elaborierte Variante des Gefäßschmuckes (**152–158; 166–170**) wird hier als Variante 8.ay bezeichnet. Zu diesen zählt aber auch das Randfragment **159**, das statt der besagten Kombination eine Gruppe aus nur roten Bändern innen und außen aufweist.

Dieser feine KRS-Typus ist aus vielen Heiligtümern und Grabkontexten im gesamten Mittelmeerraum bekannt. Dagegen fehlt er an den Küsten des Schwarzen Meeres vollständig. Dies verwundet insofern, als die Ionier im Schwarzmeergebiet sehr präsent waren. In Milet sind jetzt aber auch unzählige dieser Schalen im Siedlungsareal der milesischen Südstadt am Kalabaktepe angetroffen worden. Ihre Zeitstellung in der zweiten Hälfte des 7. Jhs. v. Chr. und auch ihre südionische Herkunft werden bereits durch die mit Tierfriesstil der Stufe SiA/MileA I geschmückten Beispiele (**418–422**) deutlich. Das stilistisch älteste Beispiel der Phase SiA/MileA Ia ist **418** der Formvariante 8,2.B. Es könnte noch

Tocra 1, 71 Kat.-Nr. 864; 54 Abb. 27, 864; Samos 4, Beil. 14, 539 Taf. 70, 539; R. B. Halbertsma, *Recent Acquisitions*; III. *The Classical World*, OudhMeded 70, 1990, 223 Kat.-Nr. III.a.5 233 Taf. 3 Abb. 1).

⁵⁹⁰ Bestimmte Stellen des Gefäßkörpers, wie etwa das Becken in Nähe des Fußes, kann auch schon mal etwas dicker sein.

⁵⁹¹ Vgl. hierzu die Ergebnisse der Untersuchungen zur Variante 5,1, (S. 341 ff.), Variante 6,4 (S. 356 ff.) und Variante 8,1 (S. 368 ff.) im Kapitel 6.5 'Datierung der Knickrandskyphoi und -schalen der früharchaischen Stufe SiA I'.

⁵⁹² Die mit Deckweiß und Deckrot gebildeten Bänder bestehen stets aus einem breiten weißen Band, auf das dann ein dünneres rotes aufgesetzt wurde.

⁵⁹³ Das einzige dem Verf. bekannte Beispiel, wo auch der Fuß rot-weiß-rote Bänder aufweist, stammt aus Al Mina, s. J.-P. Descœudres, 'Euboens in Australia. Some Observations on the Imitations of Corinthian Kotylai Made in Eretria and Found in Al Mina', in: Ders. u. a., *Ausgrabungen und Forschungen, Eretria* 6 (1978) 10 Abb. 2, 30.

dem zweiten Viertel des 7. Jhs. v. Chr. angehören. Dagegen ist das einzige bemalte Beispiel der Variante 8,1.B bereits der recht späten Stilphase SiA/MileA Ic zuzurechnen, womit es etwa in den Zeitraum von 630 bis 610 v. Chr. datiert werden kann. Hier zeigt sich bereits eine recht lange Laufzeit des Typus 8. Diese Produktionsdauer könnte durchaus noch über die Jahrhundertwende bis in das frühe 6. Jh. v. Chr. angedauert haben, wie **422** nahezu legen scheint, deren Dekor bereits auf die späte Stilphase SiA/MileA Id, vielleicht sogar schon auf MileA Ila, hindeutet.

Die naturwissenschaftlichen Untersuchungen von Dupont haben bereits nahegelegt, daß Samos als Produktionsort der KRS des Typus 8 zu berücksichtigen ist⁵⁹⁴. Vermutlich muß auch Milet als Produktionsort angenommen werden, haben doch sechs in Bochum (Yalçın) analysierte Fragmente des Typus 8 (**150; 153; 160**)⁵⁹⁵ die gleiche chemische Zusammensetzung. Diese hält Yalçın für milesisch. Allerdings sind **150** und **153** im Bonner Labor (Mommsen) erneut naturwissenschaftlich untersucht worden. Nach diesen Ergebnissen ist ihre Herkunft nicht eindeutig zu klären. Zusammen mit den beiden zuvor genannten KRS gehört **162** in die bislang nicht lokalisierte Gruppe Ulo4, in der weitere KRS des Typus 5 erneut die oben bereits aufgezeigte Nähe zum Typus 8 attestieren. Da der Typus 5 insgesamt aber bisher vor allem auf eine samische Produktion positiv untersucht wurde, ist die milesische Herkunft des Typus 8 bisher nicht zweifelsfrei zu erweisen. Zunächst sollte daher der Typus 8 als südionisch, und nicht sicher (nur) milesisch betrachtet werden.

4.2.2 Die Knickrandschalen der Stufen SiA II

Mit den folgenden KRS-Typen ist eine neue Stilstufe innerhalb des südionischen Kunstkreises erreicht. Denn nun werden die KRS vor allem des 6. Jhs. v. Chr. vorgestellt. Daß dies keine willkürliche Grenze ist und die Jahrhundertwende zudem nicht wörtlich genommen werden darf, wird sich in den weiteren Ausführungen zur Chronologie der KRS in den folgenden Kapiteln noch zeigen. Denn teilweise beginnen die Typen, die das 6. Jh. v. Chr. bestimmen, bereits zum Ende des 7. Jhs. v. Chr. (Typus 10 und 11) und teilweise erst nach der Jahrhundertwende (Typus 9).

4.2.2.1 Der Typus 9 und seine Varianten

Mit nur 4 % sind die KRS des Typus 9 im Siedlungs- und Handwerksviertel am Kalabaktepe-Süd relativ schwach vertreten (Abb. 20). Denn im Heiligtum der Aphrodite von Oikus auf dem nahegelegenen Zeytintepe sind ihre Funde überaus zahlreich und vertreten dort den häufigsten Typus der KRS. Eine mögliche Erklärung dafür ist, daß der Typus 9 vor allem für das Heiligtum hergestellt wurde.

⁵⁹⁴ Dupont 1983, 40. Vgl. auch hier S. 377. 378 ff.

⁵⁹⁵ Zudem die nicht im Katalog aufgeführten Fragmente K 91.49.38, K 92.143.17 + 18 und S 63.68.8; s. auch S. 403 f.

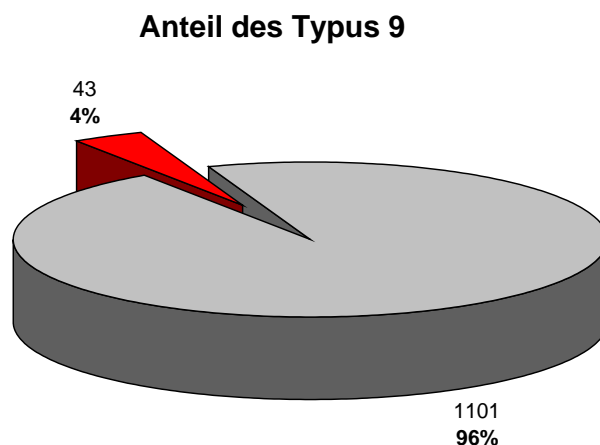


Abb. 20: Kalabaktepe-Süd, Anteil des Typus 9 an der Gesamtmenge der stratifizierten KRSk und KRS

Einen besonderen Zusammenhalt verleiht den KRS des Typus 9 bereits ihr Fabrikat. Stets ist ihre Tonzusammensetzung von einer feinen Ausschleimung und im Vergleich mit den meisten anderen Typen durch eine besondere Homogenität gekennzeichnet. Im Bruch erweist sich die Tonmasse als sehr dichte Einheit, was in Kombination mit einem meist festen Brand zu einem harten Scherben führt. So ist dann auch die Oberfläche der Gefäße stets mit großer Sorgfalt geglättet und teils poliert. Im Gegensatz zu den rauen Oberflächen der Gefäße des 8. und frühen 7. Jhs. v. Chr. sowie der weniger sorgsam Waren der späteren Zeit weisen die Beispiele dieser Gruppe selten bis nie Drehrillen oder größeren Unebenheiten auf, wie sie durch gröbere Beischlagstoffe, wie Quarze oder feine Kiesel, während des Glättungsvorganges verursacht werden. Gleiches gilt für den Überzug. Stets findet sich auch hier ein fester und dichter schwarzer Firnis, der je nach Brand schon mal bräunlich sein kann, besonders aber dort, wo feine Linien bevorzugt innen am Rand mit wenig Schlicker erzeugt wurden.

Der Typus 9 setzt sich aus breit gelagerten, weit geöffneten Schalenbecken mit meist hohen feinen Rändern zusammen. Diese Schalen haben keinen Standring, sondern stehen stets auf einem konischen Fuß (171–172; 174–175; 177; 179; 186) oder einem Fuß mit hohem Stiel, wie er lediglich bei 197 und 216 (in Ansätzen) sowie bei den ionischen Kleinmeisterschalen 596 und 601 erhalten geblieben ist, auf⁵⁹⁶. Ist dies nicht der Fall, haben wir es mit einer Sondererscheinung zu tun, wie im Fall der kleinen KRS 214. Die Ansätze der dünnen Stabhenkel sind nun stets eng zusammengerrückt, so daß sich in der Aufsicht eine langgezogene U-Form ergibt. Dies war bereits bei den KRS des Typus 8 im 7. Jh.

⁵⁹⁶ Zu den konischen Füßen vgl. auch die vollständigen Stücke, CVA München (6) Taf. 293, 2–4, und zu den Füßen mit hohem Stiel, ebd. Taf. 293, 5–7. In Milet sind zwar zahlreiche Füße mit hohem Stiel erhalten geblieben, aber sie ließen sich nicht mehr mit ihren Schalen verbinden.

v. Chr. vorgebildet worden. Einige Sonderfälle unter der Menge von KRS des Typus 9 stellen die Beispiele dar, die mit Randdurchmessern von 24–26 cm übergroß (**208–209**) oder mit 14–ca. 11 cm miniaturistisch (**210–214**) dimensioniert sind. Besonders klein ist die Miniatur-KRS **215**, die einen Randdurchmesser von nur 6,4 cm aufweist.

Es werden aufgrund verschiedener Attribute vier Varianten unterschieden: 9,1–4. Das Becken der Gefäße variiert von den tiefen Schalenbecken der Variante 9.B (etwa **171–174**) über die flachen von 9.C (etwa **175–204**; **423**; **425**) bis hin zu den sehr flachen von 9.D (etwa **205–206**; **214**). Die bekanntesten sind wohl die Varianten 9,3–4.C–D. Es handelt sich um eine exquisite Formgruppe, der auch die sog. ionischen Kleinmeisterschalen zuzurechnen sind. Mit diesen sind Stücke angetroffen, die sicher zu den erlesensten töpferischen Erzeugnissen gehören, die ostionische Werkstätten je hervorgebracht haben, zugleich aber von attischen KRS technisch wie äußerlich kaum mehr zu unterscheiden sind. Die quantitativ stärkste Variante, nicht nur in milesischen Heiligtümern, wird aber durch die Variante 9,2.C vertreten⁵⁹⁷. Dagegen wurde von der Variante 9,1.C teilweise angenommen, daß sie die attische Schalenform der Klasse Athen 1104 darstellen würde⁵⁹⁸.

Bei der Variante 9,1 (**171–186**; **423–425**) stehen sowohl tiefere (Variante 9,1.B), als auch flachere (Variante 9,1.C) breit gelagerte Schalenbecken auf niedrigem oder höherem konischen Fuß auf. Die Henkel sind teilweise noch flach aufgewinkelt, meistens aber nahezu waagrecht an der breitesten Stelle des Schalenbeckens angebracht. Bezeichnend und daher auch an Fragmenten zu erkennen ist der dünne, relativ kurze, deutlich abgewinkelte hohe Rand, der spitz ausläuft. Die KRS **185** fällt hierbei aus dem Rahmen, da ihr Rand bereits sehr fein, dünn und besonders hoch ist. Auch die Dekoration weicht entscheidend von der Regel ab.

Die Variante 9,2 unterscheidet sich von den zuvor genannten Beispielen vor allem aufgrund der auffälligen knappen 'Stufe' unter dem Rand. Dieses mit einem Werkzeug, vermutlich einem Hölzchen, erzeugte Kennzeichen ist auch schon bei älteren Typen der KRS aufgetreten. Es läßt den Rand leicht nach innen versetzt erscheinen. Merkmale dieser Art könnten in ihrer unterschiedlichen Ausformulierung Markenzeichen eines Individuums oder einer Werkstatt sein⁵⁹⁹.

⁵⁹⁷ Vgl. Boldrini 1994; E. Pierro, *Ceramica 'ionica' non figurata e coppe attiche a figure nere* (1984). Die Variante war auch die in Großgriechenland am häufigsten nachgeahmte Formvariante F. Villard in: M. Bats – G. Bertucchi – G. Conges – H. Treziny (Hrsg.), *Marseille grecque et la Gaul. Actes du Colloques et V^e Congrès archéologique de Gaule méridionale, Marseille 18–23 novembre 1990* (1992), 166.

⁵⁹⁸ Th. Van Compernelle in: M. Bats – G. Bertucchi – G. Conges – H. Treziny (Hrsg.), *Marseille grecque et la Gaul. Actes du Colloques et V^e Congrès archéologique de Gaule méridionale, Marseille 18–23 novembre 1990* (1992), 162 vgl. auch die 163 Abb. 1, 6.

⁵⁹⁹ Eine systematische Aufnahme dieser Eigenheiten ist bisher nicht verfolgt worden. Es lassen sich aber unterschiedliche 'Merkmale' bei der Erzeugung dieser 'Stufen' ausmachen. Beispielsweise sind die von **188** mit denen von **191**, **193** und **195** zu vergleichen. Dagegen haben die Beispiele **189** und **190** eine fast gleich ausformulierte 'Stufe' an gleicher Stelle. Kombiniert ist dies mit jeweils ähnlichem Dekorsystem, was den Rückschluß auf eine Töpferhand durchaus wahrscheinlich macht. Geht man zusätzlich davon aus, daß der Töpfer diese Merkmale mit einer gewissen Routine erzeugte, lassen sich unter Umständen tatsächlich Produkte eines Töpfers zusammenstellen und gegen andere abgrenzen.

Als dritte Variante sind die Beispiele **195–202, 426** zusammengestellt, die gleichfalls das Merkmal der Variante 9,2, die 'Stufe' unter dem Rand, aufweisen. Allerdings ist diese nun bei Variante 9,3 weniger ausgeprägt, der Rand ist höher geworden. Insgesamt ist diese Variante technisch ausgereifter und die Formgebung präziser. Scharfkantige Grate außen und innen prägen den Übergang zwischen Rand und Schalenbecken. Beide bilden nun mehr eine Einheit, als dies noch bei der Variante zuvor zu beobachten war. Die Variante 9,3 hat in den wenigen überprüfbaren Fällen einen Fuß mit Standplatte und hohem Stiel (**197; 596; 600**). Dies galt sicher für den überwiegenden Teil der nur durch Fragmente vertretenen Beispiele der Variante 9,3. Alle diese Merkmale finden sich gleichzeitig bei der attischen schwarz gefirnißten KRS wieder, die im Katalog durch das naturwissenschaftlich geprüfte Beispiel **616** der gleichen Variante 9,3 vertreten sind.

Noch weiter wird diese Entwicklung sicher nur von wenigen Töpfern getrieben, die die Variante 9,4 herstellten. Besonders auf der Außenseite ist die ehemalige 'Stufe' kaum mehr wahrnehmbar (**203–205**) und weicht bei **206** dann einem äußeren Knick. Auf der Innenseite dagegen wird die Ausbuchtung am Übergang von Rand und Schalenbecken ausgeprägter. Die Einheit von Rand und Becken wird trotz Zäsur am Übergang besonders in der Außenansicht immer deutlicher. Mitunter wird der Rand durch eigenwillige Gestaltungen ausgezeichnet, wie die Verdickung des Randabschlusses bei **204**, das leichte Ausbiegen des Randes von **206** oder sein schmales Auslaufen bei der Miniatur **213**. Diese individuellen Eigenschaften und auch die Miniatur sind unter den floral und figürlich dekorierten ionischen Kleinmeisterschalen (**601–605**), die die Formvarianten 9,4.C–D vertreten, anzutreffen. Die Dekore zeigen einerseits ihre südionische Herkunft an, andererseits bieten sie eine Hilfe bei der chronologischen Einordnung. Die Verbindung zum Attischen wird besonders durch die KRS **615** derselben Variante 9,4 unterstrichen. Äußerlich und ihrem Fikelluramalstil zufolge ist sie als südionische Kleinmeisterschale zu klassifizieren, doch hat die naturwissenschaftliche Untersuchung ihren Ton als attisch bestimmt. Aufgrund dieser (an anderer Stelle vertieften) Argumente ist die Schale **615** tatsächlich als athenisches Produkt zu werten, das nach Milet importiert wurde⁶⁰⁰.

Gemeinsam ist beinahe allen Beispielen das Dekorationsschema der Außenseite: Die Unterseite des Schalenbeckens und der Schalenfuß sind mit schwarzem, mattglänzendem Firnis oder Glanzton bedeckt. Bisweilen ist an der Unterseite des Schalenbeckens ein ausgesparter Streifen tongrundig belassen (**181–182**). Dieser Streifen scheint bei den Schalen der Varianten 9,3 und 9,4 (**196–206**) und den ihnen anzuschließenden ionischen Kleinmeistern (**594–606**) nie zu fehlen. Über der dunklen Bodenzone folgt stets ein verschieden breiter tongrundiger Henkelstreifen. Ein Firnisband trennt diese ausgesparte Zone von der ebenfalls tongrundigen, hellen Randzone. Dabei fällt auf, daß dieses trennende Firnisband bei den Varianten 9,1–2 in der Regel breiter ist als unter den wohl späteren Beispielen der Variante 9,3–4, wo er mitunter auf einen feinen Streifen reduziert wurde. Der Rand ist außen stets tongrundig und wird oben immer von der gefirnißten Lippe begrenzt. An dieser Aussage

⁶⁰⁰ s. S. 390 und bes. 463 f..

ändert generell auch der 'seitenverkehrt' dekorierte Rand der Sonderform **185** nichts. Die Dekoration der Innenseite wartet im Gegensatz zur Außenseite mit einer großen Variationsbreite auf. Sie scheint aber dabei keinen Regeln zu folgen, wie dies verschiedene Bearbeiter festzustellen glaubten⁶⁰¹. Während die Variante 9,1.B mit dem tieferen Becken auf der Innenseite bis auf das obligatorische tongrundige Lippenband oben am Rand mit der Dekorvariante g einheitlich schwarz gefirnißt ist (**171–174**), weisen die Becken der flacheren Variante 9,1.C überwiegend konzentrische Bänder der Dekorvariante h–i auf (**180–186**). Dabei bezeichnet die Dekorvariante h wenige breite Firniszonen und tongrundige Bänder. Die Dekorvariante i wird hingegen von feinen konzentrischen Kreisen, vorzugsweise in einem Kreis am Schalenboden, gebildet. Auch für die Formvariante 9,2 kann scheinbar seltener die Dekorvariante g (**190?–191?**)⁶⁰², häufiger jedoch die Dekorvariante h–i (**187–189; 192**) festgestellt werden. Einige Beispiele der Variante 9,2.C und dann vor allem der Formvariante 9,3.C bringen die neue Dekorvariante j (**193–196; 198–201**) mit ihren feinen konzentrischen Linien auf der Innenseite des Randes hervor. Diese sind meist von breiteren Firnisbändern oben und unten eingefäßt. Daneben findet die schlichte Dekorvariante g weiterhin auch unter den Schalen der Formvariante 9,3.C (**197**) Verwendung. Auch **202** der Variante 9,3.C und **203–206** der feinen Formvariante 9,4.C könnten mit der schlichten Dekorvariante g geschmückt gewesen sein. Doch lassen die Fragmente nicht mehr den gesamten Dekor der Innenseite rekonstruieren, wodurch die Dekormöglichkeit j mit einem Innenrund konzentrischer Kreise nicht ausgeschlossen werden kann. Verschiedene Spielarten dieser Innendekorationen i und j stellen dann die Beispiele **214–218** dar.

Die KRS der Formvariante 9,1.C, 9,2.C und 9,3 sind auch von den milesischen Vasenmalern herangezogen worden (**423–427**). Dabei sind die stilistisch frühesten der Formvariante 9,1.C mit den Bilinguen der Phase MileA Ila (**423–424**) zu verbinden. Darüber hinaus sind ebenfalls Beispiele der Formvariante 9,1.C (**425**), 9,2.C (**426**) und 9,3 (**427**) mit dem entwickelten Fikellurastil (MileA II) bemalt worden. Einerseits deuten diese Verbindungen zum späten Tierfriesstil (MileA Id) und frühen Fikellurastil (MileA Ila) auf eine Entstehung nicht später als 590 v. Chr. hin, andererseits wird besonders mit den Bilinguen und dem Fikellurastil eine milesische Produktion von Seiten der Vasenmalerei auf den Gefäßen nahegelegt. Auf die Verbindung zu den attischen Kleinmeisterschalen (**594–608**) ist bereits hingewiesen worden. Diese Verbindung konnte Kunze in seinem grundlegenden Aufsatz im Jahr 1934 bereits aufzeigen, als er eine Reihe von Kleinmeisterschalen als nicht attisch, sondern samisch erkannte⁶⁰³. Damit ist besonders für die Formvarianten 9,3/4.C–D eine Datierung in das zweite Drittel des 6. Jhs. v. Chr. bezeugt. Doch erst mit dem Neufund der KRS **600** in Milet ist nun auch die in Milet so beliebte ornamentale Fikellurastil-Dekoration der Stufe MileA II auf der

⁶⁰¹ Hier sei beispielsweise an J. Hayes erinnert, vgl. S. 34 f.

⁶⁰² Aufgrund dessen, daß es sich um Fragmente handelt, ist nicht sicher zu entscheiden, ob nicht doch noch an anderen Stellen des Beckens innen konzentrische Kreise der Dekorvariante h-i angebracht waren.

⁶⁰³ Kunze 1934.

Innenseite einer miniaturistischen Kleinmeisterschale des Typus 9 (Variante 9,3.C) belegt. Sie verbindet die Klasse der Kleinmeisterschalen mit dem auf heller Grundierung aufgetragenen Netzmuster und dem so typischen Spiralwirbel im mittleren Schalenrund der späten Stilphase MileA II. Damit konnte die Verbindung zwischen der figürlichen Gefäßmalerei der ionischen Kleinmeisterschalen und der ornamentalen Vasenmalerei der Stufe MileA II über das gleiche Trägergefäß hergestellt werden. Allgemein gibt die relative Entwicklung der Gefäßmalerei somit eine Entwicklung von den tieferen Schalenbecken, die mit dem Buchstaben C in der Klassifizierung bezeichnet sind (z. B. **423**) und bereits mit den Bilinguen um 590/580 v. Chr. beginnen, zu den flacheren Schalenbecken D (**600–604**), die frühestens im zweiten Drittel oder kurz vor der Mitte des 6. Jhs. v. Chr. aufkommen, wieder. Damit dürften die als noch früher geltenden tieferen Schalenbecken, die mit B gekennzeichnet sind (9,1.B) und von denen bisher noch kein mit südionischer Gefäßmalerei dekoriertes Beispiel bekannt geworden ist, eher noch älter sein, spätestens aber auch gleichzeitig mit der flacheren Variante 9,1.C.

Für die archäometrischen Untersuchungen zur Herkunftsbestimmung der KRS des Typus 9 im Bochumer Labor (Yalçın) wurden Beispiele für die drei Varianten 9,1.C bis 9,3.C–D herangezogen (**184; 188; 197; 216–217**)⁶⁰⁴. Alle sieben Proben haben hier eine milesische Herkunft erwiesen⁶⁰⁵. Im Bonner Labor (Mommsen) sind insgesamt elf KRS, die hier im weitesten Sinne dem Typus 9 zugerechnet werden können, untersucht worden. Sie stammen nicht alle aus Milet selbst, wie etwa **620** aus der Kunstsammlung in Bochum, und auch die Ergebnisse waren wesentlich differenzierter. So stellte sich etwa die Bochumer KRS mit figürlichem Dekor in den Henkelzonen als das Produkt einer Werkstatt in Katana, Sizilien, heraus, die den südionischen KRS-Typus 9,1.C sehr getreu nachahmte. Die Schalen **615** und **616** der Varianten 9,3.C und 9,4.D hingegen wurden in Athen gefertigt, was besonders für die Schale **615** mit einer im Fikellurastil gezeichneten Figur überraschte. Die zwei sicher lakonischen (**619** und **Appendix XII**) und eine vermutlich lakonische Schale (**Appendix VI**) desselben Typus 9 können in diesem Zusammenhang vernachlässigt werden. Aber **181, 188, 200** und **216** der einfach verzierten Serie des Typus 9 wurden der bislang nicht lokalisierten Herkunftsgruppe UI70 zugewiesen. Diese unlokalisierte Gruppe unterteilt sich in drei Untergruppen. Der Untergruppe UI70-1 sind die Schalen **181** und **216** zuzuordnen. **188** gehört der Untergruppe UI70-2 und **200** UI70-3 an. Einen Hinweis darauf, daß UI70 tatsächlich südionisch ist, scheinen die KRS **104** des Typus 5,3.B sowie Kopfkantaroi der südionischen Kleinmeisterklasse zu liefern, die ebenfalls in der Untergruppe UI70-1 zu finden sind⁶⁰⁶. Wo genau in Südionien die Herkunftsgruppe UI70 verortet werden kann, ist zum jetzigen Zeitpunkt nicht sicher zu entscheiden. Vermutlich in Milet war dagegen die Werkstätte

⁶⁰⁴ Neben den im Katalog und auf den Tafeln abgebildeten Beispielen sind dies K 92.159.3 der Variante 9,1.C/g und S 63.17.1 der Variante 9,2.D/h–i.

⁶⁰⁵ Vgl. hierzu im Archäometrischen Exkurs S. 461 f.

⁶⁰⁶ Zu den Kopfkantaroi der Kleinmeisterklasse I.B1–7 vgl. U. Schlotzhauer, Ostgriechische koroplastisch gestaltete Gesichts- und Kopfgefäße aus milesischen Werkstätten, in: R. Biering – V. Brinkmann – U. Schlotzhauer – B. F. Weber (Hrsg.), *Maiandros. Festschrift für Volkmar von Graeve* (2006) 229 ff.

der chemischen Herkunftsgruppe DD beheimatet, die sich wiederum in Untergruppen aufschlüsselt. Die Bilingue **423** mit Tierfries- und Fikellurastil-Dekoration ist Mitglied der Herkunftsgruppe DD-2. Für die Bilinguen kann allerdings von einer milesischen Herstellung ausgegangen werden, da bisher alle naturwissenschaftlich untersuchten klassischen Fikellurastil-Erzeugnisse einen milesischen Nachweis erbracht haben⁶⁰⁷. In beiden Laboren – Bochum und Bonn – wurden die KRS **188**, **216** und **423** untersucht. Die unterschiedlichen Ergebnisse der Labore müssen aber nicht im Widerspruch zueinander stehen. Yalçın hält alle drei für milesisch. Die von Mommsen unterschiedlichen Herkunftsgruppen zugeordneten KRS können jedoch durchaus auch milesisch sein und verschiedene Werkstätten innerhalb der Stadt oder variierende Rezepturen derselben Werkstatt anzeigen.

4.2.2.2 Der Typus 10 und seine Varianten

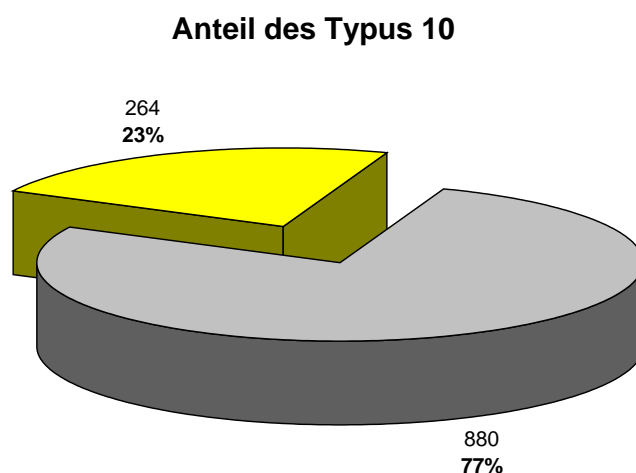


Abb. 21: Kalabaktepe-Süd, Anteil des Typus 10 an der Gesamtmenge der stratifizierten KRSk und KRS

Den mit Abstand größten Anteil (23 %) unter den KRS (**219–329**; **428–493**) im Handwerks- und Siedlungsquartier der milesischen 'Südstadt' stellt der Typus 10 mit fast einem Viertel aller KRS dar (Abb. 21). Dabei handelt es sich um einfache, verhältnismäßig kleine Schalen mit kurzem abgewinkelten Rand. Das Schalenbecken ist in der Regel weit geöffnet, auch wenn die frühen Varianten zunächst noch mit recht tiefem Schalenbecken geformt wurden, die als B (**222–252**) in die Typologie Eingang fanden. Die meisten Schalen haben aber bereits das recht flache, als C klassifizierte Becken (**253–302**; **312–324**), und nur wenige Beispiele sind extrem flach und wurden unter D (**303-311**; **325**; **328-329**; **444-446**; **457-478**) zusammengefaßt. Abgesehen von einzelnen Sonderformen (**220**; **245**) besitzen die Schalen des Typus 10 einen knappen Standring (etwa **228**

⁶⁰⁷ Vgl. hier S. 380 ff. und 418 ff.

gerundet; **231** ausgestellt, **247**; **252** profiliert, **249–251**; **253** außen abgekantet, usw.). Eine Typologie der Standringe wurde hier nicht angestrebt⁶⁰⁸. Im Folgenden werden zwölf Varianten des Typus 10 in Milet vor allem aufgrund ihrer unterschiedlichen Randgestaltung bestimmt.

Die Variante 10,1.C (**219–221**) hat ein flacheres Becken als die nachfolgenden Varianten, dennoch gehört sie zu den frühesten Varianten des Typus. Ein weiteres Charakteristikum ist ihre dünne Gefäßwand, und auch ihr Dekor entspricht nicht dem charakteristischen Dekor des Typus 10 im 6. Jh. v. Chr. Desgleichen bilden die sie klassifizierenden Ränder, die stark abgeknickt, relativ hoch und leicht konkav sind, im gewissen Sinne eine Ausnahme unter den Varianten des Typus 10. Ein vollständiges Beispiel dieser Gruppe hat sich in Milet nicht erhalten, wodurch über den Fuß keine Aussage getroffen werden kann. Der Dekor $\alpha\gamma$ der Variante 10,1 und auch die Dünnwandigkeit stimmt mit den Merkmalen des Typus 8 überein: beidseitig vollständig gefirnißt, nur ein schmales tongrundiges Henkelband ist ausgespart. Allen Beispielen wurden zusätzliche weiß-rot-weiße, weiße oder rote Streifen aufgesetzt, die wie bei den anderen Dekorvarianten mit γ bezeichnet sind. Daher wird die Variante noch in das 7. oder an den Beginn des 6. Jhs. v. Chr. gehören.

Vermutlich gleichzeitig mit Variante 10,1.C ist die Variante 10,2.B (**222–239**), mit der die Reihe von Varianten mit tiefem Becken beginnt, für das in der Klassifizierung der Buchstabe B steht. Die für die Variante maßgeblichen Ränder sind kurz, scharf abgeknickt, schmal und laufen spitz aus. Die Gefäßfüße können unterschiedlich gebildet sein. In der Regel verfügen die KRS dieser Variante über einen mehr oder weniger ausgestellten, breiten Standring (**228**; **231**; **237**; **430**). Vereinzelt, vielleicht nur als Sonderfall, hat **223** einen konzentrischen Fuß, wie er von den älteren Typen 4–6 und von den etwa zeitgleichen Varianten 9,1–2 bekannt ist. Die Variante 10,2 weist sowohl eine Wandstärke, als auch einen aufgehellten Dekor auf der Außenseite auf, die für den Typus 10 bezeichnend sind. Mit der zuvor besprochenen Variante 10,1 sind viele Beispiele der Variante 10,2 aufgrund der aufgesetzten roten und/oder weißen Streifen verbunden. Die überwiegende Anzahl der KRS dieser Formvariante ist mit der polychromen Variante $\kappa\gamma$ oder mit den Varianten κ oder μ dekoriert. Letztere sind einfache Dekore ohne aufgesetzte rote und/oder weiße Bänder. Für κ ist bezeichnend, daß die Innseite der Schale vollständig dunkel gefirnißt ist und außen der Rand bis auf die Schulter sowie die Fußzone dunkel bemalt ist. Die Dekorvariante μ weist innen breite Firnisbänder und außen eine dunkle Zone vom Rand bis auf die Schulter auf.

Die Varianten 10,3.B (**240–246**) und 10,4.B (**247–252**) gehören ebenfalls zu den Beispielen des Typus 10 mit tiefem Becken und entsprechen in Vielem der zuvor beschriebenen Variante 10,2.B.

⁶⁰⁸ Wenngleich sich dies grundsätzlich sicher lohnen würde. Ein solcher Versuch, sollte aber alle Standringe, auch anderer Gefäßformen einbeziehen. Für eine Klassifizierung nur der Standringe von KRS liegen nicht genügend sicher diesem Schalentypus zuweisbare Beispiele vor. Viele der erhaltenen Standringe, die häufig noch Reste des Gefäßbeckens erhalten haben, können ebenso von Kalottenschalen, kleinen Schüsselchen oder Phialen stammen. Für die Standringe, an denen sich kaum oder kein Becken mehr erhalten hat, sind die Möglichkeiten ungleich größer. Denn auch Teller, Schüsseln, Tassen, Kantharoi, aber auch kleine Olpen, Amphoriskoi und ähnliches haben häufig völlig gleich geformte Standringe.

Nun sind allerdings die maßgeblichen Ränder zum Einen bei der Variante 10,3 breiter und geschwollener – wie überhaupt die Wandstärke bei ihnen zugenommen hat –, zum Anderen stehen bei der Variante 10,4 die Ränder steiler auf. Auch hier sind verschiedene Formen des breiten Standrings für beide Varianten belegt, und nur in einem Fall der Variante 10,3 findet sich noch einmal ein vermutlich konzentrischer Fuß (**245**). Mit den Varianten 10,3 und 10,4 tritt neben die schon von der Variante 10,2 her bekannten Dekorvarianten k, $k\gamma$ und m nun noch n, $n\gamma$ und l hinzu. Die Variante l bezeichnet einen Dekor, bei dem die Schale auf der Innenseite dunkel gefirnißt ist und außen Streifenverzierung aufweist. Dagegen zeichnet sich die Dekorvariante n durch eine beidseitige Streifenverzierung aus, wobei der Rand außen hell gestaltet ist.

Flacher sind die Schalenbecken der folgenden Varianten 10,5.C bis 10,10.C gebildet. Dabei sind die Ränder der Variante 10,5.C (**253–261**) ganz charakteristisch knapp gehalten. Sie sind abgeknickt, stehen dennoch recht steil an und sind extrem kurz. Auch die Ränder der Variante 10,6.C (**262–265**) knicken ab und sind kurz, gleichzeitig aber geschwollen. Eine knappe 'Stufe' unterhalb des Randes findet sich auf der Außenseite der Variante 10,7.C (**266–272**). Diese charakteristische Zutat des Töpfers unterhalb des Randes fand sich bereits bei den archaischen KRS seit den Varianten 4,3 und 7,5 bis hin zu 9,2–4. Wieder länger, dünner und scharf abgeknickt stellen sich die Ränder der Variante 9,8.C dar (**273–281**). Die Variante 9,9.C (**282–289**) hingegen hat wieder sehr kurze, dickere und stark abgeknickte Ränder, die auf der Innenseite abgeflacht sind. Von diesen unterscheiden sich die Ränder der Variante 10,10.C (**290–302**), die weniger stark abknicken, und deren kurze Ränder geschwollen sind. Alle Varianten weisen die schon bekannten Dekorvarianten l bis n auf, und gelegentlich finden sich auch noch rote Bänder auf den Varianten 10,5–7, die den Zusatz γ bei k, m und n nach sich ziehen. Ab der Variante 10,8 bis 10,10 bleiben die roten Bänder dann endgültig aus, auch verschwindet die Dekorvariante m vollständig, und k sowie l herrschen nun vor.

Feiner gebaut und auch insgesamt kleiner sind die KRS der Varianten 10,11–13. Ihre Schalenkörper sind durchschnittlich flacher als die vorhergenannten Varianten, und nicht wenige unter ihnen haben ein flaches Schalenbecken, das mit D bezeichnet ist (**306–311; 325**). Die Variante 10,11.C–D hat sehr knappe Schalenränder, die teils sehr scharf abgewinkelt sind und spitz auslaufen. **311** stellt zudem eine miniaturistische Form dar. Ihre Standringe sind recht knapp und unten abgerundet (**309–311**). Aufrechter stehen die Ränder der etwas gröberen, aber auch recht kleinen Variante 10,12.C (**312–315**) an. Die Variante 10,13.C–D (**316–325**) dagegen hat sehr kurze, extrem scharf abknickende, spitze Ränder. Sie sind erneut mit allen für den Typus 10 bereits bekannten Dekorvarianten außer a geschmückt. Rote Bänder kommen einzig auf den besonders feinen KRS der Variante 10,11 vor. Die konzentrischen Kreise von **309** und **311** erinnern an die von Typus 9 in der Dekorvariante i.

Der Typus 10 ist ebenfalls vielfach von den Vasenmalern in Südionien, in Milet besonders für die Fikellurastil-Malerei herangezogen worden. Stilistisch geben die im Katalog aufgeführten, sicher dem Typus 10 zugehörigen Beispiele (**428–493**) sowie die diesem vermutlich zuzurechnenden Fragmente (**521–526; 528–539; 546–548; 555–565; 569; 573; 582**) einen Rahmen vom späten Tierfriesstil der

Phasen SiA/MileA Ic/d des späten 7./frühen 6. Jhs. v. Chr. über alle bekannten Dekorvarianten und figürlichen Phasen des milesischen Fikellurastils (MileA II) bis zu dessen Ende. Auch hinsichtlich der Formvarianten zeigt sich nicht nur eine klare relative Abfolge, indem die Varianten 10,1–4 die frühesten darstellen, die das letzte Viertel des 7. sowie das erste Viertel des 6. Jhs. v. Chr. abdecken. Die Varianten 10,10–13 hingegen sind die spätesten und datieren in die zweite Hälfte des 6. Jhs. v. Chr. Besonders die sicher der späten Tierfriesstilphase MileA Ic–d angehörenden bemalten KRS des Typus 10 (**430–437**) bestätigen, daß die Varianten 10,2–4.B die frühesten Formvarianten darstellen. Auch für die Variante 10,1.C bestätigen drei bemalte Beispiele der Übergangsphase vom Tierfries- zum Fikellurastil, sog. Bilinguen (**438–440**), eine frühe Datierung etwa 590/580 v. Chr., wie an anderer Stelle bereits dargelegt wurde⁶⁰⁹. Damit könnte die Formvariante 10,1, die stilistisch sicher die älteste darstellt, ebenfalls bereits im letzten Viertel des 7. Jhs. v. Chr. existiert haben und war Anfang des 6. Jhs. v. Chr. noch in Gebrauch. Ein weiteres Beispiel der Variante 10,3.B (**441**) weist gleichfalls die Vermischung der Stilstufen der Bilinguen auf, womit es ebenso wie die KRS **442–443**, die die Variante 10,4.B vertreten, der frühen Phase des Fikellurastils MileA IIa angehört. Die Variante 10,3.B hat zudem in den KRS **449** und **450** zwei Beispiele, die bereits mit dem fortgeschrittenen Fikellurastil MileA IIb bemalt sind, womit von Seiten der Gefäßmalerei angezeigt ist, daß die Formvariante 10,3.B eine längere Laufzeit hatte. Spätere Varianten wie 10,10.C (**448**; **451–452**), 10,11.C–D (**444–446**; **457–463**; **472–473**) und 10,13.C–D (**454–456**; **475–478**) kommen nur mit Fikellurastil-Malerei vor, von denen einige Beispiele bereits spät einzustufen und daher sicher in die zweite Hälfte des 6. Jhs. v. Chr. zu datieren sind. Damit bestätigt sich von Seiten der relativen Abfolge der Gefäßmalerei für die Formvarianten des Typus 10 die bekannte, allgemein angenommene Entwicklungstendenz von tieferen, stärker geschlossenen zu offenen, flacheren Schalenbecken. Tatsächlich sind die tieferen Becken B, die vor allem bei den Varianten 10,2–4 angetroffen werden, die frühesten, danach folgen die flacheren Becken C der Varianten 10,1 und 10,5–10 und als letzte Entwicklungsstufe die KRS der Varianten 10,11–13 mit sehr flachem Becken, die als D klassifiziert wurden. Diese Entwicklung war ähnlich schon bei Typus 9 zu beobachten.

Sechzehn KRS des Typus 10, von denen 13 der einfach dekorierten Serie angehören (**220**; **226**; **229**; **233**; **236**⁶¹⁰; **238**; **246**; **255**; **272**; **303**)⁶¹¹ und drei mit südionisch/milesischer Gefäßmalerei geschmückt sind (**428**; **450**; **556**), wurden im Bochumer Labor (Yalçın) chemisch analysiert, um ihre Herkunft bestimmen zu können. In diese Probenserie haben die Varianten 10,1–5 und 10,7 sowie 10,11 Eingang gefunden. Die überwiegende Anzahl der KRS hat nach Aussage von Yalçın eine lokale Zusammensetzung der Tonpaste. Lediglich **220** der Variante 10,1 und **303** der Variante 10,11 seien nicht eindeutig milesisch. Dabei konnte die naturwissenschaftliche Untersuchung für **220** nicht

⁶⁰⁹ Schlotzhauer 2007.

⁶¹⁰ Von KRS 236 wurden zwei Proben genommen und separat untersucht (Proben-Nr. TR-3K/224 und TR-3K/266)

⁶¹¹ Nicht im Katalog sind folgende drei Proben aufgenommen worden: TR-3K/223 (= S 63.91.2); TR-3K/229 (=K 92.40.51); TR-3K/227 (=K 92.40.47).

zweifelsfrei belegen, ob die KRS aus milesischer oder attischer Tonpaste hergestellt wurde, und **303** ist ein chemischer Single bzw. bildet mit **32** ein chemisches Paar. Das heißt für die beiden Ausnahmen, daß sie vorläufig nicht zu lokalisieren sind. Dagegen seien die beiden mit Malerei versehenen KRS **450** der Variante 10,3.B und die nicht exakter zu klassifizierende KRS **556** trotz ihrer nicht eindeutigen Clusterbewertung wohl milesischer Herkunft⁶¹². Für die beiden KRS **255** der Variante 10,5.C und **428** der Variante 10,2.B hat auch die Analyse im Bonner Labor (Mommsen) eine wahrscheinliche (Herkunftsgruppe DD) und eine sichere (Herkunftsgruppe D) milesische Herkunft ermittelt. Darüber hinaus wurden im Bonner Labor (Mommsen) sechs weitere KRS des Typus 10 analysiert (**247**; **262**; **435**; **439–440**; **465**). Von den insgesamt acht im Bonner Labor untersuchten Beispielen sind fünf (**247**; **435**; **428**; **439–440**) sicher milesisch (Herkunftsgruppen D und ihre Variation DK). Interessanterweise sind vier der fünf Beispiele mit milesischem Fikellurastil (MileA II) bemalt. Dagegen sind drei Beispiele (**255**; **262**; **465**) nur wahrscheinlich milesisch. Hinsichtlich der Formvarianten konnten die archäometrischen Untersuchungen durch Mommsen lediglich die zuvor nicht in die naturwissenschaftlichen Untersuchungen einbezogene Variante 10,6.C ergänzen. Dennoch erbrachte diese Probeserie nun den sicheren Nachweis der Variante 10,1 (**439–440**) für die milesische Herkunftsgruppe D. In der anderen Untersuchungsserie war diese Variante ohne eindeutiges Ergebnis geblieben. Damit sind zumindest die Varianten 10,1–4 sicher und 10,5–6 sowie 10,11 wahrscheinlich in Milet erzeugt worden⁶¹³.

4.2.2.3 Der Typus 11 und seine Varianten

Nach dem Typus 10 stellt der Typus 11 mit 21 % aller stratifizierten KRS die zweitgrößte Gruppe im Wohn- und Handwerksquartier am Südhang des Kalabaktepe im Süden Milets dar (Abb. 22). In seiner äußeren Gestalt ist Typus 11 dem Typus 10 sehr nah. Somit konnte eine zweite Großgruppe von KRS der Stufe SiA/MileA II bestimmt werden, welche zur Annahme eines zu mehr Einheitlichkeit neigenden Bildes in der Keramikproduktion der Zeitstufe A II, also vor allem im 6. Jh. v. Chr., Anlaß gibt. Im Gegensatz zum Typus 10 sind die Beispiele des Typus 11 massiger und durchweg mit einem tiefen Becken ausgezeichnet, das lediglich die Klassifizierungen B und nur in Ausnahmen C aufweist (**330–367**). In der Regel ist der Typus 11 auch größer und hat einen höheren Rand. In manchen Beispielen verschwimmen mitunter die Grenzen zwischen den Typen 10 und 11. Fünf Varianten können innerhalb des Typus 11 geschieden werden.

⁶¹² Vgl. hier die S. 418 ff.

⁶¹³ Die Untersuchungen von Dupont haben auch samische Herkunft dieses Typus erbracht, s. P. Dupont – V. Lungu, *Les ateliers primordiaux de coupes ioniennes à la lumière des trouvailles de la Mer Noire*, in: A. Hermary – G. R. Tsetschladze (Hrsg.), *From the pillars of Hercules to the footsteps of the Argonauts. Colloquia Antiqua 4* (2012), 262; in Milet erzeugte Schalen des Typus 10 mit Fikellurastil-Bemalung der Stufe MileA II sind nach Duponts Untersuchungen auch ins Heraion nach Samos gelangt, vgl. ebenda 263 Anm. 21.

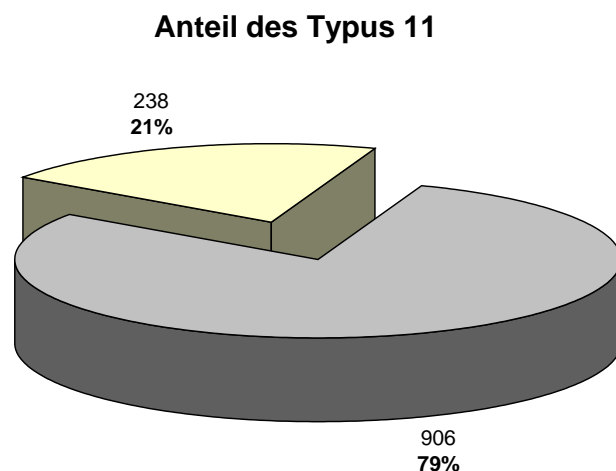


Abb. 22: Kalabaktepe-Süd, Anteil des Typus 11 an der Gesamtmenge der stratifizierten KRSSk und KRSS

Die Variante 11,1.B (**330–334**) beschreibt eine sehr massige KRS, die an die Formen der Typen 6 und 7 anschließt. Die Ränder der Variante sind in keinen all zu engen Grenzen gestaltet. Sie sind leicht abgewinkelt, von mittlerer Länge und leicht geschwollen. Mitunter kommen Grate am Übergang von Rand und Becken (**330; 332**) oder Unterschneidungen des Randes vor (**331; 333**). Das Becken ist tief und nur im Fall von **330** wohl etwas flacher, weswegen es als 10,1.C klassifiziert ist. Vollständige Exemplare sind bislang nicht nachgewiesen, weswegen über die weitere Schalenform und den Schalenfuß in diesem Fall keine konkretere Beschreibung erfolgen kann. Es findet sich die von Typus 10 bereits bekannte typische Streifenverzierung mit jeweils dunklem äußeren Rand. Zwei Exemplare (**277–278**) verfügen als einzige Beispiele über ein Wellenbanddekor auf der Schalenschulter⁶¹⁴. Das Muster ist noch von den älteren Typen 3, 5 und 7 her bekannt, wo es als Dekorvariante α bezeichnet ist. Eine besonders nahe Verwandtschaft besteht zu Dekorvarianten des Typus 7 (**141; 149**). Ansonsten herrscht die helle Dekorvariante m mit Banddekorationen innen wie

⁶¹⁴ Entgegen älteren Meinungen halte ich die Wellenbänder für kein besonderes typologisches Kriterium. Es wird wohl so sein, daß sich die Dekoration mit der Variante Wellenband statt einfachem Band für einen bestimmten Zeitraum einer gesteigerten Beliebtheit erfreut hat, doch findet sich aufgrund der Einfachheit der Darstellung kein Anhaltspunkt, eine typologische Entwicklung an diesen festzumachen. Daher seien sie wie ein einfacher Firnisbanddekor behandelt, auch wenn mit der beschriebenen Möglichkeit einer zeitlichen Bestimmung als modische Erscheinung. – Zur sog. Wellenbandkeramik s. Hanfmann (1956, 176 ff.); er folgt der Forschungsmeinung, die den Ursprung der wellenbanddekorierten Gefäße in Ostgriechenland annimmt, verweist aber gleichzeitig auf lokale Imitationen in der Levante und im Schwarzmeergebiet sowie ihre Verbreitung im Westen bis nach Spanien; Ploug 1973, 23 ff. verweist ebenfalls auf ostionischen Ursprung; s. auch für Samos: Technau 1929, Beil. 23,5.6; Eilmann 1933, Beil. 80 c. e–f; Walter 1959, 12 ff.; Kopcke 1968, 266 ff. Abb. 46 f; Taf. 17. 103.1–2; zu Tocra: Tocra 1, Taf 29,587; zu Chios: Boardman 1967, Abb. 88,508; zu Histria: Histria 2, Taf. 30–33. 55–57; zu Tell Sukas: Ploug 1973, Taf. 4; zu Tarsos: Tarsus 3, Abb. 105–107.

außen vor. Lediglich **331** ist innen bis auf den obligatorischen hellen Lippenstreifen dunkel bemalt: Dekorvariante l.

Die Variante 11,2.B ist lediglich mit zwei Beispielen im Katalog vertreten (**335–336**). Bezeichnend sind ihre Ränder, die sich deutlich von denen der vorgenannten Variante als auch von denen der folgenden Varianten abheben. Sie sind leicht abgewinkelt, relativ schmal und recht lang. Charakteristisch ist aber ihre konkave Gestalt. Auch diese Variante besaß ein tiefes Becken, doch wie schon bei der Variante zuvor ist kein vollständiges Gefäß überliefert. Die Dekorvarianten k und m sind durch die beiden Beispiele belegt.

Dagegen ist der Rand von Variante 11,3.B (**337–339**) bereits weitestgehend der Form der quantitativ bedeutendsten Formvariante 11,4.B angeglichen. Die Ränder sind deutlich abgeknickt, schmal und laufen spitz aus. Im Vergleich zur nachfolgenden Variante sind die Ränder aber länger. Die Gesamtform wird in etwa der durch Ganzgefäße belegten Variante 10,4.B entsprochen haben. Alle Beispiele der Variante zeigen den einheitlichen Dekor k, der ebenfalls die Varianten 11,4–5 bestimmt. Die KRS sind innen dunkel gestaltet, lediglich das tongrundige Lippenband ist ausgespart, und außen weisen sie eine breite Farbzone auf, die den gesamten Rand bis auf die Schulter bedeckt.

Das charakteristische Erscheinungsbild des Typus 11 wird dann aber von der Variante 11,4.B vertreten (**340–358**). Die beiden vollständigen KRS **344** und **345** belegen die Gesamtform. Ein deutlich abgeknickter leicht geschwollener mittelhoher Rand, der oben eher gerundet als spitz ausläuft, sitzt auf einem tiefen Schalenbecken auf. Zum Teil lassen sich wieder Grate und Rillen unterhalb des Randes feststellen, die der Töpfer mit einem Werkzeug modelliert hat. Ein relativ enger, leicht ausgestellter und unten abgekanteter Standring ist für die beiden erhaltenen Beispiele belegt. Die Stabhenkel sind horizontal und waagrecht angebracht. Ihre Ansätze liegen eng beieinander. Bis auf die beiden Ausnahmen mit der Dekorvariante n (**340. 347**) herrscht die Dekorvariante k vor, die gelegentlich durch rote Bänder aufgewertet wird: Dekorvariante ky (**341–342**).

Die letzte Variante 11,5 (**359–367**) unterscheidet sich nur geringfügig von der vorherigen. Die ebenfalls mittelhohen Ränder sind etwas massiger und stehen steiler aufrecht. Auch die Dekorvarianten sind bei ihnen zahlreicher. Es finden sich erst unter ihnen auch die Varianten m und l neben den gleichwohl bei den anderen vorhandenen k und n.

Von den sechs im Bochumer Labor (Yalçın) untersuchten KRS des Typus 11 ist nur **362** in den Katalog aufgenommen worden⁶¹⁵. Die KRS **362** gehört der Variante 11,5.B an und ist ein chemischer Single. Yalçın konnte für sie keine Herkunftsangabe machen. Auch K 92.40.49 der Variante 11,2.B ist ein chemischer Single und bleibt damit unlokalisiert. Dagegen sind die drei der Formvariante 11,4.B

⁶¹⁵ Darüber hinaus sind TR-3K/230 (=S 63.14.5); TR-3K/231 (=S 63.91.5); TR-3K/232 (=S 63.97.5); TR-3K/233 (=K 90.225.3); TR-3K/236 (=K 92.40.49) naturwissenschaftlich im Bochumer Labor untersucht worden.

und Dekorvarianten k, l und n angehörenden KRS in Milet produziert worden⁶¹⁶, ebenso wie ein Beispiel der Variante 11,5.B mit der Dekorvariante ky mit roten Bändern⁶¹⁷. Im Bonner Labor (Mommsen) wurden lediglich zwei Beispiele, dafür aber die beiden einzigen vollständigen KRS des Typus (**344**; **345**) der Variante 11,4.B analysiert. Leider hat die naturwissenschaftliche Untersuchung der Tonpaste von **344** kein Ergebnis geliefert, die Schale ist vorläufig als Single zu betrachten. Dagegen gehört die KRS **345** der sicher milesischen Herkunftsgruppe A an und wurde mithin in den sog. Kalabaktepe-Werkstätten gefertigt. Nach dieser Analyse dürften die meisten, wenn nicht alle KRS des Typus 11 in Milet selbst hergestellt worden sein.

4.2.2.4 Der Typus 12 und seine Varianten

Der Typus 12 stellt mit einem Anteil von knapp 1 % (Abb. 23) unter den KRS der Grabungen am Kalabaktepe eine sehr kleine Gruppe dar. Soweit bekannt, sind Schalen dieses Typus bislang kaum in der Literatur in Erscheinung getreten. Lediglich aus dem Heraion von Samos sind einige nahezu formgleiche KRS anzuführen⁶¹⁸. Die als Typus 'Furtwängler I' bezeichneten KRS sind oben bereits besprochen worden⁶¹⁹. Im Unterschied zu den milesischen Schalen des Typus 12 sind die samischen kleiner und stets unverziert. Aufgrund der Größe der milesischen Beispiele könnten sie auch als 'schüsselartige KRS' bezeichnet werden, denn ihre Dimensionen erinnern eher an Schüsseln. Doch die Gesamtform leitet sich sicher von den KRS her. Die Horizontalhenkel und der abgesetzte Rand belegen dies. Kennzeichnend für den Typus 12 sind seine hohen, steil aufgestellten Ränder. Erneut hat sich kein einziges vollständiges Gefäß erhalten. Damit kann die Gesamtform für keines der Varianten beschrieben werden. Der Typus 12 (**369–384**) wird hier in drei Varianten geschieden.

Der Rand der Variante 12,1.B (**369–373**) ist konvex und setzt sich vom Schalenbecken durch einen leichten Knick ab. An der Stelle, an der die Wölbung des Schalenbeckens auf den ebenso gewölbten Rand trifft, wirkt die Schale wie 'zusammengeschnürt'. Der einzige erhaltene Horizontalhenkel dieser Variante heftet weit oben an der Schalenschulter an und greift sogar teilweise darüber hinaus auf den hohen Rand über (**369**). Die Dekoration nimmt darauf Rücksicht, indem sie die tongrundige Henkelzone ebenfalls oben an die Schulter und bis auf den Rand versetzt. Die Dekoration ist die von den Typen 10 und 11 her bekannte Verzierung mit Bändern der Dekorvarianten m und n.

Die KRS der Variante 12,2.B (**374–382**) sind ganz so gestaltet wie die vorher beschriebene Variante. Allerdings weisen sie eine 'Stufe' an der Außenseite der Schale auf. Der Rand ist an dieser Stelle nach innen versetzt und läßt am Übergang zum Schalenbecken die markante Stufe entstehen. Neben den bei der vorherigen Variante festgestellten Dekoren tritt hier zusätzlich die Variante l (**375**) hinzu.

⁶¹⁶ TR-3K/230 (=S 63.14.5); TR-3K/231 (=S 63.91.5); TR-3K/232 (=S 63.97.5).

⁶¹⁷ TR-3K/233 (=K 90.225.3).

⁶¹⁸ Samos 3, 84 Abb. 13, 1.

⁶¹⁹ vgl. S. 54 f. im Kapitel 3.1.6 'Die Klassifizierungsmodelle von Furtwängler'.

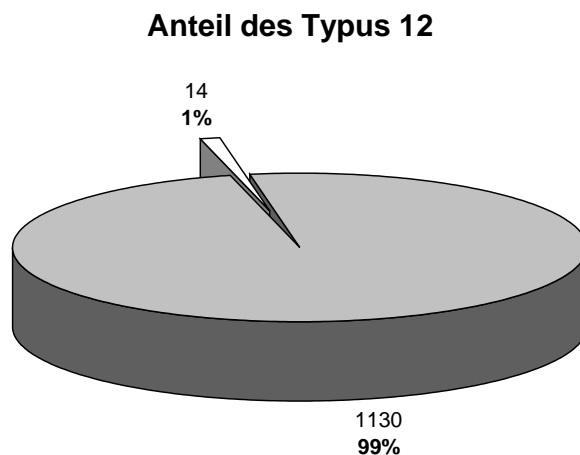


Abb. 23: Kalabaktepe-Süd, Anteil des Typus 12 an der Gesamtmenge der stratifizierten KRSk und KRS

Die letzte Variante 12,3.B (383–384) unterscheidet sich deutlicher von den vorhergehenden. Vor allem ist der Rand nun kürzer und geschwollener. Doch wie bei den beiden anderen Varianten stehen Rand und Schalenbecken in ähnlicher Form zueinander und bilden auch bei diesen Beispielen die eigenwillige, für den Typus charakteristische Zusammenziehung zwischen Rand und Schalenkörper. Die in den Katalog aufgenommenen KRS der Variante 12,3 sind mit der Variante m dekoriert.

Lediglich ein Beispiel der Formvariante 12,2.B ist archäometrisch untersucht worden. Die KRS 401 stellt allerdings eine Ausnahme dar. Denn es handelt sich um ein Beispiel der in Milet selten vorkommenden Schalen der sog. Grauen Ware (s. u.). Die naturwissenschaftliche Untersuchung im Bochumer Labor (Yalçın) bestätigt für dieses Beispiel eine lokale Herstellung.

4.2.2.5 Der Typus 13 und seine Varianten

Der Typus 13 (385–395) ist äußerst selten in den Grabungen in der Südstadt am Kalabaktepe angetroffen worden – seine neun hier gefundenen Beispiele machen weniger als 1 % der KRS im Grabungsbereich Kalabaktepe-Süd aus (Abb. 24). Funktional handelt es sich bei diesen Gefäßen ebenso wenig um eine Schale wie bei dem zuvor besprochenen Typus 12. Denn als Trinkgefäß sind diese Gefäße bereits viel zu groß. Da in dieser Arbeit aber eine Formtypologie erarbeitet wird und keine Untersuchung zur Funktion der Gefäßformen angestrebt ist, sind sie hier aufgrund ihrer Form als KRS des Typus 13 zusammengefaßt. Sie könnten auch als kraterartige KRS bezeichnet werden, um auf die vermutete eigentliche Funktion hinzuweisen. Die Gefäße des Typus 13 lassen sich in drei Varianten unterteilen. Gleich ist allen, neben dem tiefen Becken, ein hoher, leicht abgewinkelter Rand.

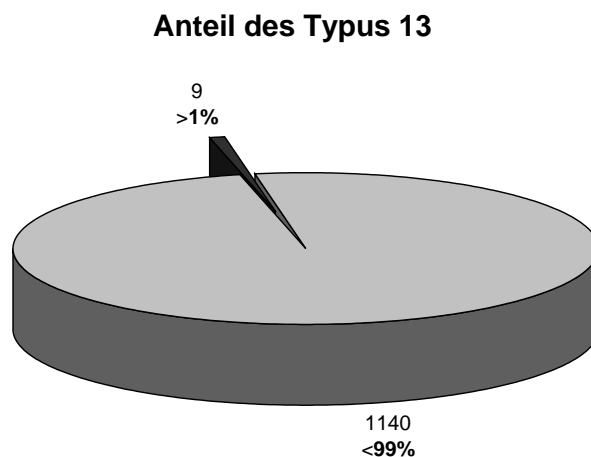


Abb. 24: Kalabaktepe-Süd, Anteil des Typus 13 an der Gesamtmenge der stratifizierten KRSk und KRS

Der Rand der Variante 13,3 mit seinen verdickten Enden erinnert dann tatsächlich an den eines Kraters. Wiederum fehlen vollständig erhaltene Beispiele, die eine Auskunft über die Gesamtform und die Gestalt des Fußes sowie der Henkel erlauben würden. In Assos ist ein Beispiel bekannt geworden, dem allerdings ebenfalls der Fuß sowie der Großteil des Randes fehlen, und das deswegen nur mit Vorbehalt dem Typus 13 in Milet angeschlossen werden kann⁶²⁰. Einzig an dieser Schale haben sich Henkel erhalten, die allerdings im Rahmen der KRS recht ungewöhnlich wirken. Es handelt sich um hohe Horizontalhenkel, die stark angewinkelt sind. sie erinnern entfernt an horizontale Schulterhenkel von Hydrien. Das Beispiel aus Assos stammt aus einem datierten Grabkontext, der einen Rahmen von 600 bis 580 v. Chr. für die Deponierung des Gefäßes aufspannt. Dies könnte einen Hinweis auch für die milesischen KRS des Typus 13 liefern, denn auch die bemalten Beispiele lassen sich in das späte 7. und die erste Hälfte des 6. Jhs. v. Chr. datieren.

Die Ränder der Variante 13,1.B (385–390) sind mittelhoch und stehen recht steil auf dem Becken auf. Die vollständig erhaltenen Ränder sind mehr oder weniger stark geschwollen. Der Henkelansatz von 388 läßt allerdings auf waagrecht ausgerichtete Horizontalhenkel bei dieser in Milet gefundenen Variante schließen. Wieder sind es vor allem Dekore, die Bänder sowohl auf der Innen- als auch auf der Außenseite zeigen. Die Banddekoration auf den meisten Rändern (385–386; 388) sowie die Wellenbandekore auf 386–389 lehnen sich an die subgeometrischen Dekore des Typus 3 an. In diesen Zusammenhang ist auch der Dekor der kraterartigen KRS 385 zu setzen, die einen Metopenfries auf der Schulter besitzt, in den mit der Kammbürste Punktrauten eingefügt sind. Lediglich 387 und 390

⁶²⁰ Utili 1999, 15; 290 Abb. 5, 95.

mit ihren dunkel bemalten Rändern und der Reihe von Punktrossetten im Henkelfeld auf der Schale **390** scheinen etwas jünger zu sein. Dies gibt einen Rahmen vom letzten Drittel des 7. bis Anfang des 6. Jhs. v. Chr. für diese Variante vor.

Die kraterartigen KRS der Variante 13,2.B (**391–393**) hingegen haben einen hohen, länglichen Rand, der oben abgerundet ist. Der Übergang vom Gefäßbecken zum Rand ist geschwungen, nicht geknickt. Eine Vorstellung dieser Variante der kraterartigen KRS läßt sich am ehesten am Beispiel **391** gewinnen. Wie die Gefäße von **392–393** dekoriert waren, läßt sich nicht mehr beantworten. Die beiden Ränder deuten lediglich an, daß sie einfacher dekoriert waren als **391**. Vermutlich waren auch sie mit breiten Firniß- und Wellenbändern dekoriert. Ihre Ränder sind jedenfalls beidseitig gefirnißt (**392**) bzw. innen gefirnißt und außen tongrundig belassen mit einem Firnisband an der Lippe (**393**). Die Maske auf der Schulter der kraterartigen KRS **391** sowie das Wellenband auf ihrem Rand außen ermöglichen eine Datierung des Gefäßes in den Zeitraum vom Ende des 7. bis Anfang des 6. Jhs. v. Chr.

Für die letzte Variante 13,3.B (**394–395**) stehen nur zwei Randfragmente zur Verfügung, die mehr Fragen als Antworten hinsichtlich der Gesamtform dieser Variante aufwerfen. Die Ränder biegen wie die der Variante 13,2 um und knicken nicht um, wie die der Variante 13,1. Auch sie sind hoch und gerade, allerdings haben sie eine Verdickung am oberen Ende. Hinweise auf ihre chronologische Stellung liefern erneut die Dekore der beiden Beispiele. Die Flechtbänder bzw. Flechtbandmuster auf **395** gehören bereits der Stufe MileA II, dem Fikellurastil, an. Auch die Dekore der Bilinguen-Schalen **423** und **394** weisen das gleiche Flechtband auf dem Rand auf. Ebenfalls mit dieser Stilstufe sind die unverbundenen Reihen von Füllornamenten in ausgesparten hellen Bändern zu verbinden (vgl. die KRS der Stufe MileA II **453**; **457**). Damit wird die Variante 13,3 vermutlich in das zweite Viertel des 6. Jhs. v. Chr. zu datieren sein.

4.2.2.6 Typen und Varianten der Knickrandschalen der sog. Grauen Ware

Die Anzahl von nur vier KRS der 'Grauen Ware' unter den stratifizierten Funden in der Handwerks- und Wohnsiedlung am Kalabaktepe-Süd deutet bereits an, daß die KRS keinen bedeutenden Anteil unter den keramischen Erzeugnissen der sog. Grauen Ware einnehmen. Der sog. Grauen Ware⁶²¹ ist unter den keramischen Produkten archaischer Zeit in Kleinasien bisher keine allzu große Aufmerksamkeit gewidmet worden⁶²². Zurecht verwies J. Gebauer auf diesen Umstand: »In

⁶²¹ W. Lamb, JHS 52, 1932, 1 verwendete erstmals den Begriff »grey ware«, der unter anderem von J. Boehlau – K. Schefold (Hrsg.), Die Kleinfunde. Larisa am Hermos 3 (1942) 99; W. Voigtländer in: KollFrankfurt, 48 und J. Gebauer in: Ü. Serdaroglu – R. Stupperich (Hrsg.), Ausgrabungen in Assos 1991, Asia Minor Studien 10 (1993) 73 ff. übernommen wurde. Daneben existiert für dieselbe Keramikgattung auch der Begriff 'Bucchero', der unter anderem von Technau 1929, 26; F. Villard, La céramique grecque de Marseille (1960) 51 ff.; Cook 1972, 247; P. Alexandrescu (Histria 4, 30 f.) und H. P. Isler (Samos 4, 99. 164) verwendet wurde.

⁶²² Für den kleinasiatischen Raum und die vorgelagerten Inseln sind zur 'Grauen Ware' immer noch Lamb a. O. 1 ff. und dies., BSA 32, 1931/32, 51 ff. (Lesbos) und Boehlau – Schefold a. O. 99 ff. (Larissa am Hermos)

Grabungspublikationen wird die graue Ware oft nur am Rande behandelt und in geringerem Maße mit Abbildungen bedacht. So kann eine Erfassung der Verbreitung dieser Keramik und ihrer Formen sowie die Einteilung in Gruppen allein aus der Literatur nur zu sehr unvollständigen Ergebnissen kommen⁶²³. Funde aus dem südfranzösischen Marseille schied F. Villard in »ionischen« und »aiolischen Bucchero«⁶²⁴.

Anteil der KRS der »Grauen Ware«

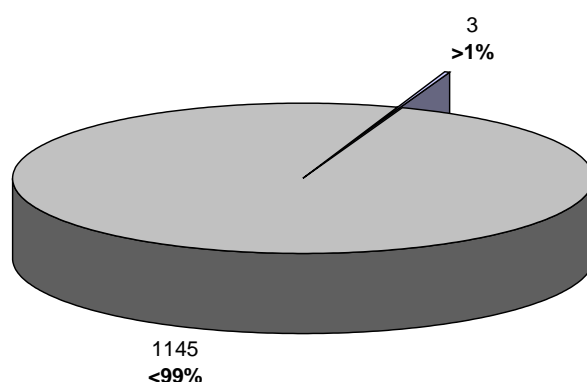


Abb.25: Kalabaktepe-Süd, Anteil der KRS der sog. Grauen Ware an der Gesamtmenge der stratifizierten KRSk und KRS

Auch E. Walter-Karydi schreibt Gefäße der sog. Grauen Ware, die auf Ägina gefunden wurden, ionischer Provenienz zu⁶²⁵. Die meisten bekannten Funde der sog. Grauen Ware sind aus dem NW-kleinasiatischen Raum bekannt geworden⁶²⁶. Sie bilden eine geschlossene Gruppe⁶²⁷, die als

grundlegend. Wichtig sind zudem die Beispiele aus den Schichten von Troja VIII: C. W. Blegen (Hrsg.), *Troy IV 1* (1958) 251 ff., die aus der Zeit vor 700 bis ins 6. Jh. v. Chr. datieren (ebenda 249 ff.). In neuerer Zeit hat J. Gebauer in: Ü. Serdaroglu – R. Stupperich (Hrsg.), *Ausgrabungen in Assos 1990, Asia Minor Studien 5* (1992) 65 ff. und ein Jahr später ders. in: Ü. Serdaroglu – R. Stupperich (Hrsg.), *Ausgrabungen in Assos 1991, Asia Minor Studien 10* (1993) 73 ff. die Funde aus Assos zum Anlaß genommen, den Forschungsstand kurz darzulegen. Zudem kann die sog. Graue Ware zumindest bis in den Hellenismus und eventuell bis in die römische Kaiserzeit weiterverfolgt werden, s. hierzu z. B.: ebenda 74 f. und für das 5. und 4. Jh. v. Chr.: Boehlau – Schefold a. O. 99. Zuletzt hat D. Hertel eine ältere Studie aus dem Jahr 1963 zur 'Grauen Ware' in der Aiolis herausgegeben: N. Bayne, *The Grey Wares of North-West Anatolia. In the Middle and Late Bronze Age and the Early Iron Age and their Relation to the Early Greek Settlements, Asia Minor Studien 37* (2000) bes. 157 ff. und das Nachwort von D. Hertel zur frühen Eisenzeit 308 ff.

⁶²³ J. Gebauer in: Ü. Serdaroglu – R. Stupperich (Hrsg.), *Ausgrabungen in Assos 1990, Asia Minor Studien 5* (1992) 66.

⁶²⁴ Villard a. O. 51 f.

⁶²⁵ E. Walter-Karydi in: H. Walter (Hrsg.), *Ägina II 1* (1982) 18.

⁶²⁶ Vgl. hierzu die leider unvollständige Liste bei Gebauer a. O. 88 ff.

'Aiolischer Bucchero' bezeichnet wird. Dem sog. Ionischen Bucchero wurde dagegen bisher keine eingehende Untersuchung gewidmet⁶²⁸. Eine geschlossene Entwicklungsreihe und ein großes Formenspektrum der sog. Grauen Ware im aiolischen Raum deuten eine bodenständige Produktion an⁶²⁹. Für den südionischen Raum sind Nachrichten zu Gefäßen der sog. Grauen Ware spärlich⁶³⁰. Dennoch muß aus dem bisher Bekannten auf ein geringes Formenspektrum geschlossen werden, was als Argument für eine nicht heimische Produktion herangezogen werden kann⁶³¹. In Milet finden sich vor allem Teller der 'Grauen Ware' – andere Gefäßformen haben kaum Bedeutung⁶³². Diese Feststellung zu den Funden aus Milet trifft wohl auch auf Samos zu⁶³³.

Neu treten nun KRS⁶³⁴ zu den wenigen bereits bekannten Formen der sog. Bucchero-Gefäße in Südionien hinzu. Sie können ihrer Form nach den milesischen KRS zugeordnet werden. Der kurze Rand (396–400) verbindet sie eng mit den KRS der Typen 10 und 11, zu denen wohl auch die Beckenfragmente 402–403 gezählt werden dürfen. Dabei sind verschiedene Varianten vertreten: 396 ist Variante 11,3.B, und die KRS 397–398 gehören der Variante 11,4.B⁶³⁵ an; unter den KRS des Typus 10 finden sich die Varianten 10,3.B (399) und 10,8–9.C (400). Einzig die KRS 401 gehört der Variante 12,2 des Typus 12 an. Das polychrom bemalte Stück aus der samischen Nekropole ist dem Typus 9,1.C zuzuordnen⁶³⁶. Die Gefäßwände der Schalen dieser Gruppe sind dick, und die Größe des Mündungsdurchmessers differiert. Eine aufwendige Dekoration konnte nun auch in Milet an der KRS 403 aus dem Aphrodite-Heiligtum nachgewiesen werden. Der rot aufgesetzte Blüten-Knospenfries

⁶²⁷ Samos 4, 99.

⁶²⁸ Ebenda; Samos VI 1, 18 f.

⁶²⁹ Gebauer a. O. 66 Anm. 8 stellt fest, daß kein Töpferofen der 'Grauen Ware' im ostgriechischen Raum bekannt ist, und geht aufgrund der großen Verbreitung trotz geringer Qualität von vielen Produktionsstätten aus. Zum Formenspektrum vgl. vor allem Lamb a. O. 3 und Boehlau – Schefold a. O. 100 ff. sowie Gebauer a. O. 68 ff.; ders. in: Ü. Serdaroglu – R. Stupperich (Hrsg.), Ausgrabungen in Assos 1991, *Asia Minor Studien* 10 (1993) 76 ff.

⁶³⁰ Vgl. auch die wiederum nicht vollständige Liste bei J. Gebauer in: Ü. Serdaroglu – R. Stupperich (Hrsg.), Ausgrabungen in Assos 1990, *Asia Minor Studien* 10 (1992) 90 f.

⁶³¹ W. Voigtländer in: KollFrankfurt, 48 stellt einzig aufgrund des Fehlens von »goldfarbenen Partikeln« fest: »... deshalb sind sie aus der Produktion der milesischen Werkstätten auszuschließen.«

⁶³² Voigtländer a. O. 48: »Unter der grauen Ware überwiegen Teller in der Form ...«; von den neuen Funden vom Kalabaktepe und Zeytintepe wird dieser Eindruck bestätigt; die Teller werden von E. Forbeck (Bochum) vorgelegt werden.

⁶³³ Zu Samos s. Boehlau 1898, 119 ff. Taf. 9, 1-8 zeigt drei Teller bzw. Tellerfragmente, eine Schale, zwei Kannen, ein Alabastron, eine Flasche; Technau 1929, 26 Abb. 20,2 berichtet, daß 'Bucchero' sehr selten sei und bildet einen Teller ab, den er Becher nennt; Kopcke 1968, 280 f. Taf. 109,4 zeigt drei Tellerfragmente (fälschlich als Schalen oder nur Fuß bezeichnet), ein Alabastron, ein Fragment eines geschlossenen Gefäßes, ein Fragment (?); Samos 4, 99. 164: hier finden sich neben 16 Tellern, bzw. Tellerfragmenten, ein Schüsselfragment, ein Amphorenhenkel (?), ein Fragment eines geschlossenen Gefäßes und ein Fragment eines Fußalabastrons; Samos 3, 122 (II/9-10). 149(W2/33): drei Teller.

⁶³⁴ Bisher ist, soweit ich sehe, nur eine KRS bekannt gemacht worden, und auch diese stammt aus Südionien. Es ist die heute in Kassel aufbewahrte KRS aus dem von Boehlau ausgegrabenen Grab 45, s. W. Löwe in: P. Gercke – W. Löwe (Red.), Samos – Die Kasseler Grabung 1894 in der Nekropole der archaischen Stadt von Johannes Boehlau und Edward Habich (1996) 68.

⁶³⁵ Eine von den Ausgräbern Hayes und Boardman lokal klassifizierte KRS der Variante 11,4.C scheint der sog. Grauen-Warengruppe anzugehören und könnte damit auch ein Import aus Milet darstellen, vgl. Tocra 2, 71 Abb. 29, 2313 Taf. 36, 2313.

⁶³⁶ Löwe a. O.

gehört dem Fikellurastil der Stilstufe SiA II an⁶³⁷. Die Oberflächen der Schalen sind entweder geglättet (**397–398; 401**) oder besitzen einen 'speckigen' schwarzen Firnisüberzug (**396; 399–400; 402–403**).

Die hier heimischen Formen und Varianten der KRS der sog. Grauen Ware in Milet legen nahe, daß sie in lokalen oder nahegelegenen Töpferzentren Südioniens mit importierter Bucchero-Technik gefertigt wurden. Eine willkommene Bestätigung erbrachten die naturwissenschaftlichen Untersuchungen zur Herkunftsbestimmung. Denn die drei KRS der sog. Grauen Ware **396–397** und **401**, die im Bochumer Labor (Yalçın) untersucht wurden, weisen eine milesische Tonzusammensetzung auf. Auch die Untersuchungen im Bonner Labor (Mommsen) haben für erstere beiden (**396–397**) eine milesische Provenienz erbracht, wobei hier differenzierter zwei Werkstätten oder Rezepturen erwiesen werden konnten: **396** ist in den sog. Kalabaktepe-Werkstätten der Herkunftsgruppe A (Mommsen) und **397** in den Werkstätten der ebenfalls milesischen Herkunftsgruppe D (Mommsen) erzeugt worden.

⁶³⁷ Für die KRS aus Samos kann die Bemalung nicht mehr rekonstruiert werden, da sich nur noch Spuren der roten Malfarbe erhalten haben. Die Graue Ware aus Aiolien und auch Funde aus Samos, die vielleicht importiert sind, können polychrom bemalt gewesen sein (s. Boehlau 1898, Taf. 9, 1-8 und Samos VI 1, Taf. 36, 277) sowie eine Buckel- und Ritzverzierung aufweisen (s. Boehlau – Schefold a. O. Taf. 45-47; Lamb a. O. Abb. 1-4).

5 Überblick und Aussagen über die Gattung im Kontext der Siedlungsphasen am Kalabaktepe-Süd

Nach den 1985 begonnenen Voruntersuchungen an verschiedenen Stellen des Kalabaktepe unter der Leitung von V. v. Graeve entschloß man sich 1989 in einem von der DFG finanzierten Fünfjahresprogramm, am Südhang des Hügels den Schwerpunkt einer Ausgrabung anzusiedeln⁶³⁸. Von Anfang an war es eines der Hauptziele, eine neue Basis für die Chronologie der archaischen ostgriechischen Keramik zu schaffen. Die Stratigraphie der Grabungen am Kalabaktepe-Süd von 1989 bis 1993 wurde von R. Senff ausgewertet⁶³⁹. Sie bildet die Grundlage für die Untersuchungen zur Abfolge der vergesellschafteten Funde. Weiterhin sind für das hier zu Grunde liegende milesische Chronologiegerüst die Erweiterung der Grabung am Südhang 1995 zu betrachten, sowie die Grabung des gleichen Jahres auf dem Ostplateau desselben Hügels durch M. Kerschner einzubeziehen⁶⁴⁰.

Die Stadt Milet hatte unbestritten ihre Blütezeit im 7. und 6. Jh. v. Chr., während der sie sich über eine Fläche ausdehnte, die sie nach ihrer Zerstörung 494 v. Chr. nie wieder erreichen sollte. Der Untergang der Stadt Milet während des 'Ionischen Aufstandes' gegen die Perser markierte gleichzeitig das Ende der sog. archaischen Epoche⁶⁴¹. Sie wird mit einer an mehreren Stellen der Stadt aufgedeckten Brandschicht in Verbindung gebracht⁶⁴², die eine der wenigen absolutchronologischen Fixpunkte für die frühe griechische Geschichte überhaupt darstellt⁶⁴³. Auch am Südhang des Kalabaktepe wurde

⁶³⁸ Vorberichte zu den Voruntersuchungen: Graeve 1986; Graeve 1987; Graeve 1988; zu den Grabungen des Fünfjahresprogrammes der DFG: ders. – R. Senff in: Graeve 1990, 39 ff.; ders. – R. Senff in: Graeve 1991, 127 ff.; ders. in: Graeve 1992, 100 ff.; ders. in: Graeve 1995, 208 ff.; ders. in: Krinzing 2000, 29 ff.

⁶³⁹ Vorläufig s. R. Senff in: Krinzing 2000, 29 ff.; ders. in: Cobet u. a. 2007, 319 ff. Ausführlich wurden die Ergebnisse zur Stratigraphie am Südhang des Kalabaktepe und in anderen Grabungsbereichen in Milet von R. Senff, Milet. Die archaische Stadt. Die Ausgrabungen in den Wohngebieten und den städtischen Heiligtümern 1899-2001. Baugeschichte und Stratigraphie (unpublizierte Habilitationsschrift, Ruhr-Universität Bochum, 2002) vorgestellt.

⁶⁴⁰ M. Kerschner in: Graeve 1999, 7 ff.

⁶⁴¹ Vgl. H. Bengtson, Griechische Geschichte, HAW III 4⁵ (1977) 155 ff. bes. 159; J. Cobet, AA 1997, 254 f.

⁶⁴² Vgl. etwa R. Senff, Die Ergebnisse der neuen Grabungen im archaischen Milet – Stratigraphie und Chronologie, in: Cobet u. a. 2007, 320; Graeve 1997/98, 82 f. Schon die alte Grabung war auf diese offensichtliche Zerstörungsschicht gestoßen A. v. Gerkan, Milet I 8, 72; Weickert 1957, 114.132; Kleiner 1959/60, 93; Graeve 1973/74, 85; Kleine 1979, 127; vgl. auch für das Gebiet um den Stadionhügel und Athena-Heiligtum B. – W.-D. Niemeier, AA 1997; 208 (Stadionhügel); dies., AA 1999, 393 (Athena-Heiligtum) – Zuletzt aber konnten die Untersuchungen in Milet erweisen, dass viele der vermeintlichen spätarchaischen Brandschichten zu anderen Ereignissen gehörten und die nach der persischen Eroberung in Trümmern liegende Stadt 'aufgeräumt' wurde, indem die Trümmer auf dem Kalabaktepe aufgeschüttet wurden: vgl. Graeve 1997/98, 76; V. v. Graeve, Milet, in: W. Radt (Hrsg.), Stadtgrabungen und Stadtforschungen im westlichen Kleinasien. Geplant und Erreichtes, Byzas 3 (2006) 244 ff.

⁶⁴³ Zu den chronologischen Anhaltspunkten vgl. z. B. Coldstream 1968, 302 ff.; Cook 1969. Grundlegend in diesem Zusammenhang ist auch die korinthische Vasenchronologie, die von H. Payne, *Necrocorinthia* (1931) 1 ff. auf der Grundlage der wenigen historischen Fixpunkte und korinthischer Fundkeramik, die mit diesen verbunden werden konnte, aufgestellt wurde. Zuletzt hat D. A. Amyx, *Corinthian Vase-Painting of the Archaic Period II* (1988) 397 ff. die von verschiedenen Forschern vorgeschlagenen Korrekturen zum Payne'schen System diskutiert und eine leichte Verschiebung der Daten für die TR- bis MC-Stilphasen vorgeschlagen. In letzter Zeit sind noch archäologische Fundplätze in Israel hinzugetreten, die vor allem für die ostgriechische Keramik einen absoluten Fixpunkt versprechen. Diese sind in ihrer möglichen Tragweite von J. Waldbaum und J. Magness (s. Waldbaum-Magness 1997) mit einigen Beispielen vorgestellt worden. In die Diskussion um die Chronologie von Francis und Vickers soll hier nicht eingestiegen werden, vgl. zur Problematik die

diese Zerstörung angetroffen und markiert das Ende der Siedlungsphase 6. Über die topographische Situation der archaischen Stadt ist lange Zeit spekuliert worden, sie konnte aber in den letzten Jahren anhand der Untersuchungen zu den archaischen Stadtmauern verifiziert werden⁶⁴⁴. Die geophysikalischen Prospektionen und gezielte archäologische Grabungen konnten den Nachweis erbringen, daß eine die gesamte Stadt einschließende archaische Landmauer die schon zu Beginn des 20. Jahrhunderts bekannten Stadtmauerreste am Kalabaktepe einschloß⁶⁴⁵. Daher kann die Ausdehnung der Stadt anhand ihrer archaischen Stadtmauer im Großen und Ganzen heute recht exakt rekonstruiert werden⁶⁴⁶. In Folge dieser neuen Erkenntnisse kann nunmehr sicher davon ausgegangen werden, daß das Wohn- und Handwerksviertel am Südhang des Kalabaktepe ein integraler Bestandteil der Stadt Milet war und nicht die Sonderrolle einer »exopolis« einnahm, wie dies beispielsweise Lang postuliert hatte⁶⁴⁷. Somit haben auch die Funde und Befunde am Kalabaktepe-Süd als repräsentativ für die archaische Stadt zu gelten.

Die gezielten Grabungen zur archaischen Siedlung an der Südseite, aber auch auf dem sog. Ostplateau sowie auf dem Gipfel des charakteristischen kleinen Tafelberges bieten nun eine neue Grundlage für eine chronologische Untersuchung der dort gefundenen Keramik. Die neueren Grabungen wurden 1985 an einer Stelle wieder aufgenommen, wo bereits zu Beginn des 20. Jahrhunderts ein archaischer Siedlungsbereich mit einer ansehnlichen Fortifikation angeschnitten worden war⁶⁴⁸. Ein ungewöhnliches Zusammentreffen günstiger Bedingungen bildete eine hervorragende Voraussetzung für die archäologische Untersuchung in diesem ehemaligen Wohn- und Handwerksviertel des archaischen Milet. Erstens war der Siedlungsraum ausschließlich im Zeitraum vom Ende der sog. geometrischen Epoche bis an das Ende der archaischen Zeit erschlossen gewesen und in der Folge

ausführliche Diskussion der Argumente von F. D. Francis und M. Vickers durch R. M. Cook (Cook 1989); vgl. zur Frage der archaischen Chronologie auch Schlotzhauer 2012, 25 ff. mit weiterführender Literatur (bes. Traxler).

⁶⁴⁴ Die Forschungen bis 1997 sind übersichtlich und hinsichtlich der historischen Aussagen von J. Cobet (AA 1997, 249 ff.) ins Bild gesetzt. Zur These A. v. Gerkan, der die frühe und damit auch die archaische Stadt an einer gänzlich anderen Stelle vermutete, s. Graeve 1997/98, 74 f. Darüber hinaus vgl. die ausführliche Untersuchung von F. Lang, *Archaische Siedlungen in Griechenland. Struktur und Entwicklung* (1996) 198 ff., die sich aufgrund des bis 1995 bekannten Forschungsstandes für die Annahme entschied, es hätte bis zum klassischen Stadtmauerbau keinen geschlossenen Mauerring um die gesamte milesische Peninsula gegeben (ebenda 45. 214). Weiterhin stellt sie in ihrer Untersuchung heraus, daß die Mauern eine reine Schutzfunktion hatten und keinerlei politische oder organisatorische Funktion ausübten, wie es ihr antike Autoren (z. B. Aristoteles) oder moderne Forscher unterstellen (ebenda 42 ff. bes. auch 45). Zum alten Streit der Lokalisierung des archaischen Milets s. jetzt auch DNP 15/1 (2001) 424 f. s. v. Milet (v. Graeve).

⁶⁴⁵ Vorläufige Berichte zusammenfassend Graeve 1997/98, 80 ff. und H. Stümpel u. a. in: Graeve 1999, 94 ff. sowie I. Blum in: Graeve 1999, 57 ff.

⁶⁴⁶ So geschehen in den beiden Karten zu Milet: DNP 8 (2000) 171 f. s. v. Miletos (Starke) und 177 f. s. v. Miletos (v. Graeve).

⁶⁴⁷ Lang a. O.

⁶⁴⁸ Zu den Grabungen am Südhang des Kalabaktepe vgl. A. v. Gerkan, *Kalabaktepe, Athenatempel und Umgebung, Milet I 8* (1925) 7 ff.; und die wiederentdeckten Tagebücher 1906–1909, die unter anderem die Aufzeichnungen zu den Grabungen am Kalabaktepe enthalten (in Kopie im Miletarchiv Bochum vorhanden).

nicht langfristig wiederbesiedelt worden⁶⁴⁹. Zweitens gab es hier im Gegensatz zu tiefer gelegenen Teilen der Stadt kein Grundwasserproblem und keine Schwemmschichten, welche die antiken Straten unter meterdickem Alluvium verschüttet hätten. Drittens verhinderte die Lage am Fuße des Hügels eine intensive landwirtschaftliche Nutzung mit ihren bekannten zerstörerischen Auswirkungen durch den Einsatz von tiefpflügenden landwirtschaftlichen Geräten. Und viertens wurden die archaischen Schichten am Südhang unmittelbar unterhalb der Ackerkrume angetroffen, während an anderen Stellen des Hügels, wie dem Gipfel- oder Ostplateau, die archaischen Siedlungsschichten unter einer teils meterdicken Aufschüttung von Siedlungsmaterial nach der Zerstörung durch die Perser ruhten.

Wertet man die bekannte Keramik aus Milet im Hinblick auf ihre Fundorte innerhalb des Stadtgebiets aus, so zählt der südöstlichste Bereich, dessen äußerste von den Stadtmauern umfaßte Ausbuchtung in archaischer Zeit der Kalabaktepe war, sicher nicht zu den topographischen Punkten, die die frühesten keramischen Funde hervorbrachten⁶⁵⁰. Ein Blick auf die Topographie Milets lehrt, daß sich die Entwicklung der Siedlung aus ihrem Zentrum heraus vollzog, wo auch das städtische Hauptheiligtum der Athena lag⁶⁵¹. Hier sowie westlich des Buleuterions und beim Heron III wurden die ältesten bisher angetroffenen Schichten freigelegt, die bis in die zweite Hälfte des 4. Jts. v. Chr. zurückreichen⁶⁵². Besonders die Kontinuität der Siedlung, des Kultes und der keramischen Funde sind an diesem zentralen Bereich der Stadt bezeugt. Daher ist es auch nicht verwunderlich, daß sich für die geometrischen KRsk an dieser Stelle die dichteste Entwicklungsreihe und das breiteste Formenspektrum nachweisen lassen. Auch der sog. Südschnitt liegt näher zum Stadtkern hin⁶⁵³. Hier

⁶⁴⁹ Einige Hinweise ergaben, daß hier vielleicht kurz nach der Zerstörung eine temporäre Wiederbesiedlung existierte, die wir als Phase 7 bezeichnen. Allerdings konnten hierfür nur bauliche Maßnahmen festgestellt werden und Importkeramik des fortgeschrittenen 5. Jhs. v. Chr., welche die Annahme stützt. Schichten, deren Funde dieser kurzfristigen 'Wiederbesiedlung' zuzuordnen wären, konnten nicht sichergestellt werden. Eine längere und organisierte Wiederbesiedlung hat es aber in unmittelbarer räumlicher Nähe gegeben, nämlich auf dem Ostplateau des gleichen Hügels (vgl. M. Kerschner in: Graeve 1995, 216 ff.; Graeve 1997/98, 76).

⁶⁵⁰ Eine Karte zu den archaischen Fund- und Grabungsplätzen bietet W. Müller-Wiener in: KollFrankfurt, 97 Abb. 24. Zur Orientierung bieten sich weiterhin die aktuellsten topographischen Karten zu Milet und Umgebung an, in: DNP 8 (2000) 171 f.; 177 f. s. v. Miletos (v. Graeve) ; A. Herda, Apollon Delphinios das Prythaneion und die Agora von Milet, AA 2005, 279 Abb. 29; B. Weber in: Cobet u. a. 327 ff.; V. v. Graeve, Milet, in: W. Radt (Hrsg.), Stadtgrabungen und Stadtforschungen im westlichen Kleinasien. Geplantes und Erreichtes, Byzas 3 (2006) 257 Abb. 8; 258 ff.. – Die Siedlungsgeschichte am Kalabaktepe zuletzt dargestellt von Graeve 1997/98, 75 ff.; R. Senff in: Krinzinger 2000, 29 ff.; R. Senff in: Cobet u. a. 2007, 319 ff.; V. v. Graeve, Milet, in: W. Radt (Hrsg.), Stadtgrabungen und Stadtforschungen im westlichen Kleinasien. Geplantes und Erreichtes, Byzas 3 (2006) 243 ff.

⁶⁵¹ So bereits die vorsichtige Einschätzung von R. Senff in: Krinzinger 2000, 33; anders Lang a. O.

⁶⁵² Vgl. die Vorberichte B. Niemeier – W.-D. Niemeier, AA 1997, 189 ff. (zum Projekt und zur älteren Grabungsgeschichte der Prähistorie); vgl. nun auch: DNP 8 (2000) 176 s. v. Miletos (v. Graeve) und besonders W.-D. Niemeier in: Cobet u. a. 2007, 4 ff.

⁶⁵³ Zur Lage des Südschnitts vgl. die wenigen Strukturen nördlich der hellenistischen Stadtmauer und südlich der Rundkirche (Nr. 27.) im topographischen Stadtplan in: DNP 8 (2000) 177 f. s. v. Miletos (v. Graeve) und die mit Nr. 2. markierte Stelle der Fund- und Grabungsgebiete im Plan, ebenda 171 f.

reichen Siedlungshinweise bis in mykenische Zeit, sowie Bauten und Keramik bis in die geometrische Periode zurück⁶⁵⁴.

Die Grabungen in der 'Südstadt', also am Südhang des Kalabaktepe, haben bisher als früheste Siedlungsreste Pfostenlöcher und Installationen wie Gruben, Herdstellen und festgestampfte Böden erbracht. Dieser Benutzungshorizont wird als Phase 0 bezeichnet und ist nach bisherigen Erkenntnissen ohne bedeutende Architektur geblieben. Mit diesen Befunden läßt sich vor allem spät- und subgeometrische Keramik verbinden, die bis ins 7. Jh. v. Chr. datiert (s. u.)⁶⁵⁵. Doch wurden auf diesem im wesentlichen unbebauten Benutzungshorizont auch ältere Funde angetroffen, die möglicherweise vom nahegelegenen Artemis-Heiligtum auf der Ostterrasse herrühren oder möglicherweise von hier lagernden oder vorbeigehenden Personen verloren wurden. Auf diesen Horizont folgen die ersten Hausgrundrisse mit Steinfundamenten der früharchaischen Siedlungsphase 1⁶⁵⁶.

Trotz dieser frühen Straten am Südhang des Kalabaktepe läßt sich bisher noch nicht sagen, wie weit die Siedlungs-, Handwerks- oder Kultaktivitäten des Stadtquartiers zurückreichen. Für den Artemis-Kithone-Kult auf dem direkt benachbarten Ostplateau beispielsweise kann durchaus eine recht frühe Gründung in geometrischer Zeit vertreten werden. Eine genaue Datierung wird aber erst durch entsprechende Grabungen möglich sein⁶⁵⁷. Auf dem Gipfelplateau stieß man bei Grabungen im Jahr 1988 unter meterdicken spätarchaischen bis nachpersischen Schuttschichten, die hier planvoll aufgefüllt worden waren, auf spätgeometrische bis archaische Keramik und einen wohl archaischen Töpferofen *in situ*⁶⁵⁸. Der Töpferofen konnte bisher weder sicher datiert noch mit anderen Anlagen in diesem Bereich in Zusammenhang gebracht werden. Auch die siedlungsgeschichtliche und zeitliche Beziehung zum Wohn- und Handwerksviertel am Südhang ist noch ungeklärt. Weder die mittel- bis spätgeometrischen Skyphoi (**1–2. 7. 9. 13**) noch die spät- oder subgeometrischen Skyphoi wie **16** und **17**, oder **32**⁶⁵⁹, der sicher in einer milesischen Werkstatt hergestellt wurde⁶⁶⁰, lassen weitere Rückschlüsse auf frühere Zusammenhänge zu. Vereinzelt fanden sich am Südhang des Kalabaktepe

⁶⁵⁴ Graeve 1973/74, 66 ff. (zu den spärlichen und ohne Siedlungszusammenhang geborgenen spätmykenischen Scherben aus dem Südschnitt, bes. 68 f.); ders. 1975, 35 ff.; Kleine 1979, 109 ff. (zu der mykenischen Bebauung in diesem Stadtgebiet, ebenda 111 ff. u. 136).

⁶⁵⁵ R. Senff in: Graeve 1995, 208 f.

⁶⁵⁶ R. Senff in: Krinzinger 2000, 33 ff.

⁶⁵⁷ »Da die Sondage Q 95.5 aus Zeitmangel nicht bis zum gewachsenen Boden gegraben werden konnte, ist die früheste Nutzung der Stelle unbekannt.« (M. Kerschner in: Graeve 1999, 33 Anm. 146).

⁶⁵⁸ V. v. Graeve – I. Blum – R. Biering in: Graeve 1990, 39 ff. »Tief unten in dem Quadranten wurde ein Töpferofen *in situ* aufgedeckt. [...] Bis in die Abdeckschicht des Ofens hinein und selbst noch um diesen herum waren die Befunde uneinheitlich, indem sie sowohl Scherben des 6. Jhs. v. Chr. als auch solche vom Ende des 8. oder aus dem frühen 7. Jh. v. Chr. enthielten. Unter dem Ofen kam wieder Keramik des 7. Jhs. v. Chr. heraus. Doch erlaubte es die Enge des Raumes nicht, hier zu einer genaueren stratigraphischen Klärung zu kommen oder den gewachsenen Boden zu erreichen«.

⁶⁵⁹ Bereits publiziert von M. Heinz in: Graeve 1990, 57 Kat.-Nr. 12 Taf. 12, 12).

⁶⁶⁰ s. S. 395 ff.

zudem recht frühe Importe, darunter **25** aus einer euböischen Werkstatt⁶⁶¹ und **27** und **28** aus attischen Produktionsstätten⁶⁶². Diese gehen ebenfalls bis in die mittlere und frühe spätgeometrische Zeit zurück. **28** findet sogar die besten Vergleich in MG I. Demnach muß der Zusammenhang mittel- und spätgeometrischer Funde vom Kalabaktepe mit Aktivitäten an diesem Ort noch zurückgestellt bleiben. Denn Architektur oder ungestörte Schichten mittel- oder spätgeometrischer Zeitstellung wurden noch an keiner Stelle angetroffen, auch wenn die Anzahl der keramischen Funde hier eine Aktivität für diese Epoche bereits nahelegt. Vorläufig ist am ehesten mit einem Heiligtumsbetrieb auf dem Ostplateau zu rechnen, der in die mittel- und spätgeometrische Epoche zurückreichen könnte.

Erweitert man das Blickfeld über die Grenzen der Stadtmauer hinaus, liegen in unmittelbarer Nachbarschaft zum Kalabaktepe weitere Fundorte archaischer und früherer Keramik. In östlicher Richtung, jenseits des Değirmentepe mit mykenischen Nekropolen⁶⁶³, erhob sich in der Antike das extramurale Aphrodite-Heiligtum von Oikus auf einem ins Meer vorspringenden Hügel, dem heutigen Zeyintepe⁶⁶⁴. Hier konnten in den Grabungen von 1990 bis 1994 reiche Funde archaischer Keramik geborgen werden⁶⁶⁵. In bescheidenerem Maße wurden auch subgeometrische und vielleicht spätgeometrische Scherben unter den Funden lokalisiert, die hier in Zusammenhang mit dem Kult zu bringen sind. Korinthische Importe der protokorinthischen Stilstufe lassen die Kultaktivitäten an diesem Ort zumindest bis in die Zeit des späten 8. bzw. beginnenden 7. Jhs. v. Chr. zurückdatieren⁶⁶⁶. Die intensiven Grabungstätigkeiten im Aphrodite-Heiligtum erbrachten keine differenzierte Datierungsgrundlage. Etliche tiefgreifende Veränderungen in archaischer Zeit⁶⁶⁷ sowie die systematische Zerstörung im Zusammenhang mit der persischen Eroberung und Zerstörung Milets im Jahre 494 v. Chr. haben diesem Grabungsareal die Grundlage für eine erhoffte Stratigraphie geraubt.

Demnach fußen die objektiven Kriterien zur keramischen Entwicklung vor allem auf der relativchronologischen Phasenabfolge am Südhang des Kalabaktepe. Sie stellt die zentrale Einheit dar,

⁶⁶¹ s. S. 396.

⁶⁶² s. S. 396.

⁶⁶³ Zu den mykenischen Gräbern: Sie wurden in der Grabungskampagne 1907 (A. Frickenhaus, Grabungstagebuch 1907 [in Kopie im Miletarchiv Bochum vorhanden]; Ergänzungstagebuch 1907, die mykenischen Gräber (Pläne) [einsehbar im DAI-Archiv Berlin]) aufgedeckt und sind bis heute nur unzureichend vorgestellt: Hinweise bereits bei T. Wiegand, Sechster vorläufiger Bericht über die von den Königlichen Museen in Milet und Didyma unternommenen Ausgrabungen (1908) 9; Publikation zu einzelnen Funden: W.-D. Heilmeyer u. a., Antikenmuseum Berlin. Die ausgestellten Werke (1988) 24 f. (Inventare); ders. – u. a., Milet. Eine antike Metropole (1999) 20 f. (3 Funde, Teilplan, Foto Değirmentepe); U. Kästner, Handzettel der Ausstellung »100 Jahre Grabungen in Milet« (Teilplan, 1 Fund, 1 Grabkammer). Die Funde befinden sich im Pergamonmuseum, Berlin und werden von W.-D. Niemeier (Ankündigung in: B. und W.-D. Niemeier, AA 1997, 190 f. und W.-D. Niemeier in: S. Gitin – A. Mazar – E. Stern [Hrsg.], *Mediterranean Peoples in Transition* [1998] 36 f. u. Anm. 29) demnächst im Zusammenhang mit der mykenischen Siedlung in Milet publiziert. Zur Lage der Gräber vgl. die Karte in: DNP 8 (2000) 171 f. s. v. Milet (v. Graeve).

⁶⁶⁴ Vgl. zuletzt mit Hinweisen auf frühere Vorberichte: R. Senff – u. a., AA 1997, 114 ff.; Graeve 1997/98, 83 ff.; zur Lage vgl. wieder die Karte: DNP a. O.

⁶⁶⁵ Hier wurde im Jahr 2001 die Grabung wieder aufgenommen und dauert noch an.

⁶⁶⁶ Die protokorinthischen Importe an diesem Ort reichen wenigstens bis 700/690 v. Chr. zurück (Auskunft W. Neef, Amsterdam, zuletzt aktualisiert 2012).

⁶⁶⁷ Umbauten und Terrassierungen haben immer wieder zu tiefgreifenden Umschichtungen und Planierungen im gesamten ergrabenen Gebiet geführt, vgl. beispielsweise R. Senff in: Graeve 1997, 118.

auf der die relative Chronologie mit dem historisch gesicherten Endpunkt 494 v. Chr. als *terminus ante quem* in Milet beruht. Anhand der durchgeführten Schichtgrabung im beschriebenen Grabungsareal konnte eine Stratigraphie erstellt werden, in die die Funde eingebunden sind. R. Senff hat die 3.064 Befunde der fünf Grabungskampagnen von 1989 bis 1993 in die durch die architektonischen Bauzusammenhänge gegebenen Abfolgen eingearbeitet. Die Bauzusammenhänge lassen insgesamt sieben Phasen der beinahe 200jährigen Siedlungsgeschichte dieses Stadtviertels rekonstruieren⁶⁶⁸. Diese bieten nun die Basis für die Untersuchung der relativen Abfolge der vergesellschafteten Funde.

Im Folgenden werden die Methoden der Auswertung sowie die Ergebnisse der Untersuchung der 2.401 signifikanten Randfragmente aus diesen Grabungen, welche der Gattung der KRS und ihren Vorläufern, den KRSk, zuzurechnen sind, vorgestellt. Es wurden also nur Funde aus den Grabungen der Jahre 1989 bis 1993 aufgenommen. Zudem zeigt eine genauere Analyse des Jahrganges 1989, welche weiterreichenden Möglichkeiten sich anhand der chronologischen Auswertung ergeben. Abschließend werden die Ergebnisse für die Typen und Varianten der KRSk und KRS aus den empirischen Untersuchungen dargestellt.

5.1 Die Untersuchungen von 1989 bis 1993

5.1.1 Der Südhang des Kalabaktepe

Es konnten die acht Phasen 0 bis 7 aufgrund baulicher Aktivitäten am Südhang des Kalabaktepe differenziert werden⁶⁶⁹. Sechs von ihnen lassen sich grundsätzlich als reine archaische Siedlungsphasen ansprechen (Phase 1 bis 6). Die Phase 0 umfaßt, wie oben bereits erwähnt, ältere Laufhorizonte vor der ersten Benutzungsphase und eine erste Benutzungsphase mit temporären Maßnahmen, wie Pfostenlöcher und feste Böden. Die Lebensdauer der hier festgestellten archaischen Siedlung (Nutzungsphase 0 und Siedlungsphasen 1 bis 6) umfaßt das fortgeschrittene 7. Jh. v. Chr. bis zum Fixpunkt 494 v. Chr., der Eroberung Milets durch die Perser (vgl. Abb. 1). Eine temporäre Wiederbesiedlung (Phase 7) konnte baulich nachgewiesen, aber keiner ungestörten Schicht und

⁶⁶⁸ Zu den Baubefunden und der auf ihnen begründeten Stratigraphie s. R. Senff, Milet. Die archaische Stadt. Die Ausgrabungen in den Wohngebieten und den städtischen Heiligtümern 1899-2001. Baugeschichte und Stratigraphie (unpublizierte Habilitationsschrift, Ruhr-Universität Bochum, 2002). Vorläufig vgl. V. v. Graeve in: W. Müller-Wiener, *IstMitt* 36, 1986, 37 ff.; ders. in: W. Müller Wiener, *IstMitt* 37, 1987, 6 ff.; ders. in: W. Müller-Wiener, *IstMitt* 38, 1988, 253 ff.; ders. – R. Senff in: Graeve 1990, 39 ff.; R. Senff. in: Graeve 1991, 127 ff. ; ders. in: Graeve 1992, 100 ff.; ders. in: Graeve 1995, 208 ff.; ders. in: Krinzinger 2000, 29 ff. Zur Forschungsgeschichte vgl. auch Graeve 1997/98, 73 ff.

⁶⁶⁹ Der hier gegebene knappe Überblick zur Grundlage der Stratigraphie und Topographie ist teils schon von R. Senff in den erwähnten Vorberichten dargelegt worden. Abweichungen zu dem dort Berichteten beruhen auf mündlichen Mitteilungen R. Senffs (Bochum/Athen) und der Benutzung seiner abgeschlossenen stratigraphischen Auswertung, die in Word-Tabellen vorliegen und in Kürze im Internet zugänglich gemacht werden sollen. Die Ergebnisse zur Topographie und Stratigraphie sind auch in R. Senff, Milet. Die archaische Stadt. Die Ausgrabungen in den Wohngebieten und den städtischen Heiligtümern 1899-2001. Baugeschichte und Stratigraphie (unpublizierte Habilitationsschrift, Ruhr-Universität Bochum, 2002) im Miletarchiv in Bochum einzusehen.

entsprechenden Befunden zugeordnet werden⁶⁷⁰. Dagegen spiegeln sowohl kleinere, als auch größere Veränderungen in den Befunden zeitgeschichtliche Abläufe wieder. Zu den größeren und bedeutenden gehören sicher die Errichtung einer massiven Lehmziegelstadtmauer auf einem Sockel mit äußerer Gneisplattenschale und Steinverfüllung und die Aufgabe des Töpferhandwerkes im Grabungsareal spätestens mit dem Umbau zur Siedlungsphase 5⁶⁷¹. Im Folgenden werden die Siedlungsphasen kurz charakterisiert und ihre Datierungen erläutert. Auf Grundlage dieser Kontexte wird der Versuch unternommen, eine Entwicklungsgeschichte der südionischen KRsk und KRS darzustellen. Sowohl

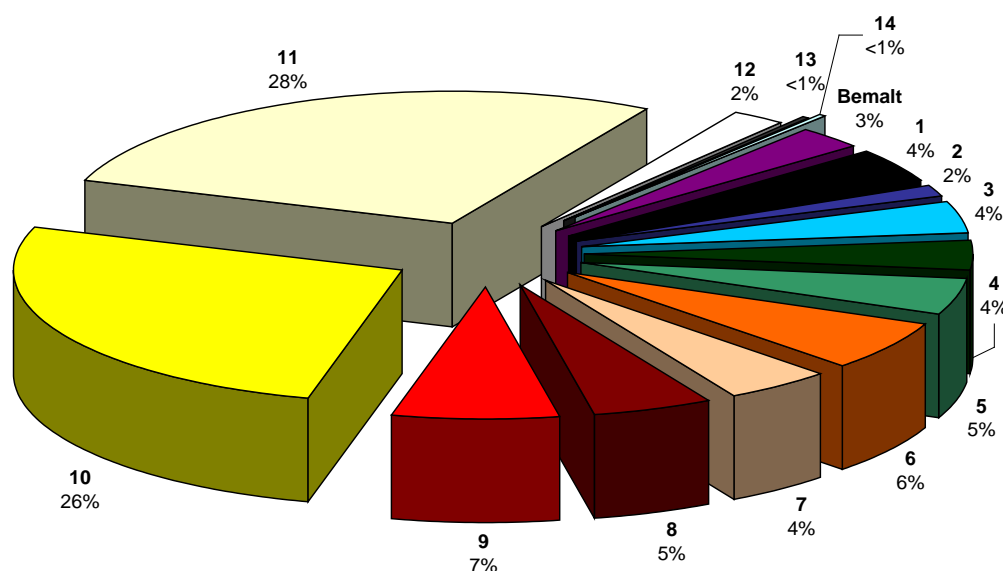


Abb. 26: Kalabaktepe-Süd, Verteilung aller KRsk und KRS vom Kalabaktepe-Süd zwischen 1989 bis 1993

als Einzelfund als auch in ihrem Kontext werden die KRS in ihrem Zusammenhang und nach Möglichkeit in ihrem 'historischen' Rahmen behandelt. 2.401 signifikante und nach den hier aufgestellten Typen und Varianten klassifizierte Randfragmente aus den fünf Grabungskampagnen (1989 – 1993) konnten im stratigraphischen Zusammenhang bestimmt werden. Sie verteilen sich nach den Hauptgruppen wie im dargestellten Diagramm ersichtlich (Abb. 26). Augenfällig ist der große Anteil der Typen 10 und 11 mit insgesamt 54 % der Gesamtanzahl der untersuchten KRS, was im späteren Zusammenhang mit der Interpretation der Produktionsentwicklung noch zu betrachten sein wird. Dagegen sind die Anteile der zeitlich frühen Typen 1 bis 8 mit Ausnahme des Typus 2 relativ

⁶⁷⁰ R. Senff in: Krinzinger 2000, 33.

⁶⁷¹ Zu den Töpferöfen am Kalabaktepe-Süd vgl. vorläufig Graeve 1990, 40 f. Abb. 1; M. Seifert – M. Krumme in: Graeve 1991, 134 ff.; R. Senff – u. a. in: Graeve 1997, 210 ff. Zu Keramikschlacken, keramischen Fehlbränden und Töpferöfen in Milet vgl. auch: M. Seifert – Ü. Yalçın in: Arkeometri Sonuçları Toplantısı 10 (1995); Senff in: Graeve 1995. Senff hatte 2007 noch geschrieben, daß die Töpferöfen Anfang des 6. Jhs. v. Chr. am Kalabaktepe-Süd aufgegeben wurden. Nach Abschluß der Grabungsauswertung wurde jedoch ersichtlich, daß zumindest der Große Ofen in Q 92.2 bis an das Ende der Siedlungsphase 4 Verwendung fand.

gleich. Sie schwanken zwischen 4 % und 5 %. Lediglich der Typus 6 mit 6 % ist geringfügig zahlreicher, dagegen der Typus 2 mit 2 % bedeutend geringer vertreten. Schlüsselartig großformatige KRS mit abgesetzten Rändern, die als Typus 12 zusammengefaßt sind, erreichen ebenfalls 2 % und damit den gleichen Anteil wie Typus 2. Statistisch kaum ins Gewicht fallen der Typus 13 (kraterartige Schalen) und die verschiedenen Formtypen der Warengruppe 'Graue Ware', die beide unter 1 % liegen.

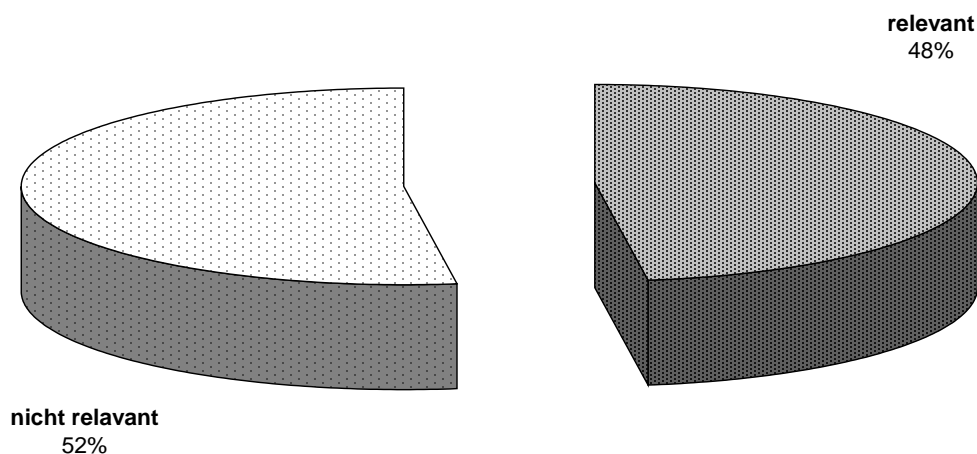


Abb. 27: Kalabaktepe-Süd, Anteil der KRSk und KRS aus gestörten und intakten Schichten

Nicht aufgeschlüsselt ist die Gruppe der bemalten KRS der Stilphasen SiA I und II, in die als einzige Kategorie dieser Statistik neben Randfragmenten auch Wand- und Bodenscherben aufgenommen wurden. In diesem Fall ist einerseits davon auszugehen, daß die bemalten Schalenfragmente vor allem der in Milet entwickelten Schalengattung der KRS angehören, und andererseits steht bei diesen weniger die Gesamtform als die Entwicklung der milesischen Gefäßmalerei selbst im Vordergrund. Daher ist ihr Anteil von 3 % an der Gesamtmenge der archaischen KRS sowie ihrer sub- und geometrischen Vorläufer gesondert zu betrachten.

Von der Gesamtmenge der erfaßten 2.401 signifikanten Randfragmente, die in den Jahren 1989 bis 1993 ergraben und hier nun klassifiziert sowie statistisch ausgewertet werden, befanden sich 1.144 (48 %) in sicheren Schichten der sieben festgestellten Phasen (Abb. 27). Mit anderen Worten: weniger als die Hälfte der statistisch aufgenommenen KRSk und KRS aus den Grabungsjahren 1989 bis 1993 waren in stratigraphisch verwertbaren Fundkontexten angetroffen worden. Dieser Anteil aus der Gesamtmenge stellt die Untersuchungsgröße dar, die für die statistische Auswertung zur Entwicklungsabfolge der Gattung herangezogen wurde. Die Verteilung dieser 1.144 sicher in Siedlungshorizonte eingebundenen spät- und subgeometrischen KRSk und archaischen KRS hat sich in ihren statistischen Größen im Vergleich zur Gesamtmenge der Gattung geringfügig verschoben, wie der Vergleich der Diagramme in Abb. 26 und Abb. 28 schnell deutlich macht. Auch unter den in

ungestörte Phasenkontexte eingebundenen KRSSk und KRS dominieren die Typen 10 und 11. Ihr Anteil liegt nun allerdings nur noch bei 44 %, während sie innerhalb der nichtstratifizierten Gesamtmenge der Gattung aus den Jahren 1989 bis 1993 immerhin 54 % ausmachten. Die Typen 1 bis 8 dagegen bleiben in ihren Verhältnissen zueinander in etwa konstant, auch wenn sich ihr Anteil an

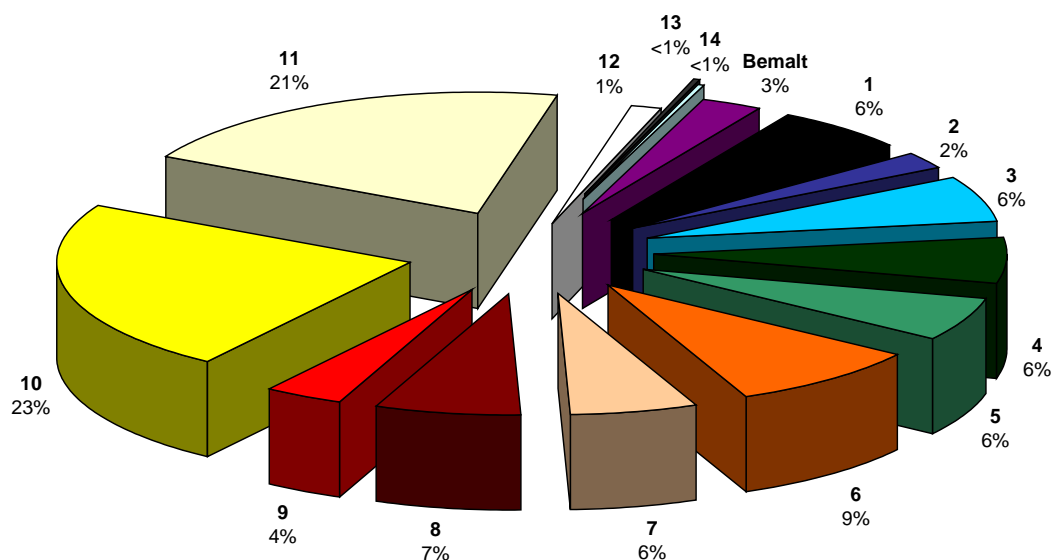


Abb. 28: Kalabaktepe-Süd, Verteilung der KRSSk und KRS aus intakten Schichten

der Gesamtmenge leicht erhöht hat. Sie weisen nun jeweils zwischen 6 % und 7 % auf, von denen erneut, wie schon bei der nichtstratifizierten Gesamtmenge, lediglich der Typus 6 mit 9 % einen geringfügig stärkeren und der Typus 2 mit 2 % einen wesentlich geringeren Anteil aufweist. Interessant ist die deutliche Verschiebung bei den Typen 8 und 9. Gehörte in der Gesamtmenge der Typus 8 mit 5 % noch zu den durchschnittlichen Fundmengen der kleinen Gruppen (Abb. 26), nimmt sein Anteil unter den stratigraphisch relevanten KRS in seiner Bedeutung zu und erreicht nunmehr 7 % (Abb. 28), was ihn nun über die übrigen kleineren Gruppen stellt. Dagegen sinkt die Bedeutung des Typus 9 unter den sicher Wohnphasen zuweisbaren KRS gegenüber der Gesamtmenge, die auch unstratifizierte KRS enthält, von 7 % (Abb. 26) auf 4 % (Abb. 28) ab. Dies ist insofern von Bedeutung, als daß Typus 9 und besonders den Varianten 9,2 bis 9,4 eine besondere Stellung innerhalb der Gattung eingeräumt werden muß. Sie finden sich als elaborierte und technisch ausgereifte Gefäße innerhalb ihrer Gattung offenkundig seltener in Wohngebieten, als in Heiligtümern und Gräbern. Ihre Stellung ist auch daran zu ermesen, daß die Grundformen der Varianten 9,3 und 9,4 den kunsthistorisch bedeutenden 'Ionischen Kleinmeisterschalen' zugrunde liegen. Demnach ist zu folgern, daß der Typus 9, der vermehrt in Schuttschichten des Kalabaktepe anzutreffen ist, teilweise von anderer Stelle an diese gelangt sein könnte. Denkbar wäre beispielsweise, daß sie vom Gipfel

heruntergerutscht oder bei der Aufschüttung des Hügels von anderen Bereichen der Stadt hierher gelangten⁶⁷². Unter den Typen der milesischen KRSk und KRS hat neben dem Typus 9 auch der Typus 2 im Verhältnis zu den übrigen Typen 1 und 3–8 an Bedeutung verloren. Während diese insgesamt auf durchschnittlich 6–7 % ihren Anteil steigerten, behielt Typus 2 seinen Anteil von 2 % bei. Die statistisch fast bedeutungslosen Typen 12 bis 14 sind mit ihren zu Wohnphasen zugeordneten Beispielen noch weiter abgesunken. Konstant dagegen blieb mit 3 % die Gruppe der mit milesischer Gefäßmalerei verzierten Stücke. Trotz der geringen Verschiebungen bleibt das Grundverhältnis der Typen zueinander, wie gezeigt werden konnte, in etwa gleich. Interessanterweise kann also festgehalten werden, daß sich das Verteilungsmuster der einzelnen Gruppen nahezu identisch zeigt, egal ob die Statistik die KRS und ihre Vorläufer aus den sieben Siedlungsphasen der ungestörten Schichten des Wohn- und Handwerksviertels erfaßt oder diejenigen, die auch aus den Schuttschichten und gestörten Befunden an diesem Ort stammen. Immerhin stammen mehr als die Hälfte der Fragmente (52 %) aus Schuttschichten und gestörten Befunden (Abb. 27).

Damit können die Aussagen, die zu der Gattung aus den sicheren Siedlungshorizonten getroffen werden, auch einigermaßen verlässlich in ihren Tendenzen auf die ohne sicheren stratigraphischen Zusammenhang geborgenen Gefäße derselben Gattung am selben Ort angewendet werden. Inwieweit sich dieser Analogieschluß auch auf die übrige Fundkeramik und vielleicht auch auf andere Siedlungsbereiche der Stadt anwenden läßt, kann in unserem Zusammenhang nicht beantwortet werden, wäre aber sicher ein vielversprechendes Untersuchungsvorhaben.

Insgesamt stellt das Ergebnis eine Bestätigung der Annahme dar, daß die Keramik der Siedlung im Wesentlichen am Ort verblieb. Das bedeutet z. B., daß hier keine größeren Mengen archaischer Keramik aus anderen Siedlungsbereichen am Fuße des Südhanges aufgeschüttet wurden. Auch haben die späteren Eingriffe, die von der Ausraubung der teils metertief verschütteten Steinmauersockel herrühren und für die Störungen zahlreicher Schichten verantwortlich zu machen sind, keine Veränderung des Keramikbildes am Ort herbeigeführt. Daher ist die angeführte Argumentation zum Typus 9 nochmals zu überdenken (vgl. Kapitel 4.2.2.1 'Der Typus 9 und seine Varianten').

5.1.2 Die Gesamtübersicht der Siedlungsschichten und der stratifizierten Knickrandskyphoi und -schalen vom Südhang des Kalabaktepe

Die einzelnen Siedlungsphasen, ihre Datierung und die vergesellschafteten KRSk und KRS stehen im Mittelpunkt dieses Kapitels. Anhand der Funde aus dem Grabungsjahrgang 1989 und ergänzt durch stratifizierte Beispiele aus dem Katalog wird ein Querschnitt zum Bild der Keramikgattung in den einzelnen Siedlungsphasen gegeben. Gleichzeitig soll der Versuch unternommen werden, eine Charakterisierung der KRSk und KRS im Hinblick auf das Klassifizierungsmodell zur archaischen

⁶⁷² Zur Aufschüttung am Kalabaktepe von Siedlungsschutt aus dem gesamten Stadtgebiet nach der Zerstörung von 494 v. Chr. im Sinne einer modernen »Schutthalde« vgl. Graeve 1997/98, 75 f.

Keramik aus Milet zu gewinnen. Wie setzen sich die Typen der KRS oder ihrer Vorläufer, der KRSt, in den Stufen MileA I und II zusammen? Welche Formen und welche Dekore lassen sich für die einzelnen Siedlungsphasen feststellen, und was sind die Charakteristika der einzelnen Stilstufen? Lassen sich diese gegebenenfalls noch ausdifferenzieren und in weitere Phasen – MileA Ia–d und solche für die Stufe MileA II – untergliedern, wie dies zumindest für die bemalte milesische Keramik bereits gilt? Ziel der Untersuchung ist also ein charakteristisches Abbild der in Rede stehenden Gattung in Bezug auf ihren Gebrauchs- und Feinkeramikanteil innerhalb der einzelnen Siedlungs- und Stilphasen. Damit soll die spezifisch milesische Entwicklung der Gattung über den gesamten archaischen Zeitraum ins Bild gesetzt werden.

5.1.2.1 Überblick über die Siedlungsphasen und ihre Aussagen

Die Geschichte des Ortes hat für die beschriebene Auswertung so manche Schwierigkeit bereitgestellt, die zuvor noch einer Erläuterung bedarf. Betrachtet man unvoreingenommen die Abb. 29, in der die Anzahl der angetroffenen geschlossenen Befunde jeder Siedlungsphase wiedergegeben ist, scheint sich für Phase 1 eine besonders ausgedehnte Siedlung zu erschließen. Diese Interpretation ist jedoch irreführend, wie weitere Fund- und Befundauswertungen noch bestätigen werden und die Auswertung der Grabung durch R. Senff bereits ergeben hat. Die auf den ersten Blick ungewöhnlich erscheinende

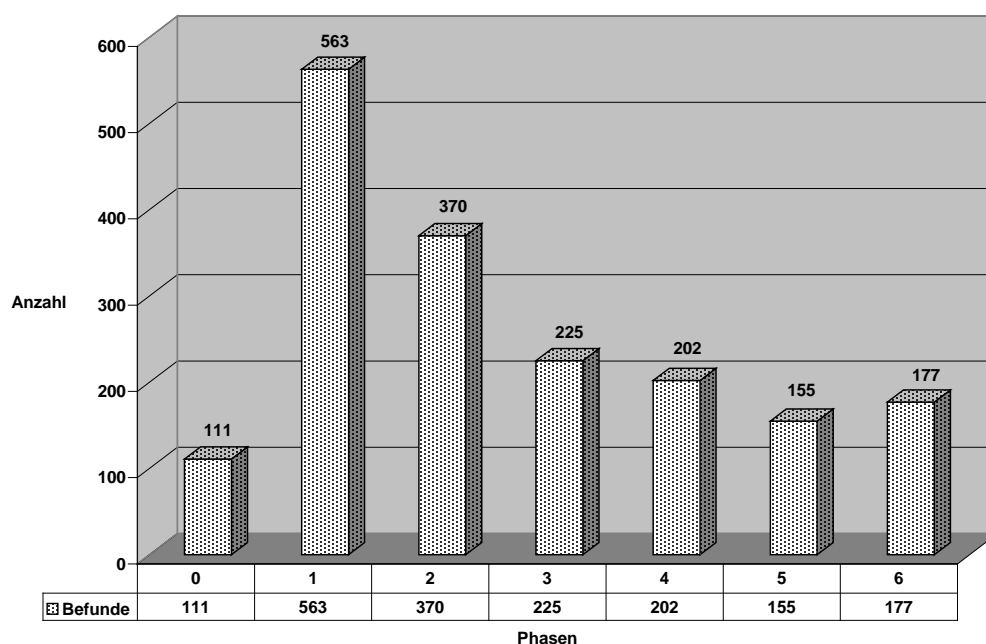


Abb. 29: Kalabaktepe-Süd, Verhältnis der ungestörten Befunde zu den Siedlungsphasen

Verteilung der geschlossenen Befunde auf die sieben Siedlungsphasen hat eine einfache Erklärung: Sie sind das Ergebnis nacharchaischer, aber noch antiker Steinausraubungen.

Wie die antiken 'Steinräuber' vorgegangen sind, konnte Senff anhand der Grabungsergebnisse rekonstruieren⁶⁷³. Es waren große trichterförmige Löcher ausgeschachtet worden, die sich in den Profilen und den Beschreibungen der Grabungsflächen belegen lassen. Die Vorgehensweise der nacharchaischen Steinräuber spiegelt sich auch in der statistischen Auswertung der Befunde wider, wodurch sich die Abb. 29 folgendermaßen 'lesen' läßt: Die untersten Schichten der frühen Siedlung – Phase 0 ohne nennenswerte Bebauung und daher mit niedriger Befundanzahl kann als solche noch nicht angesprochen werden – sind am wenigsten, vielleicht gar nicht, von den trichterförmigen Gräben gestört. Daher haben sich hier die meisten intakten Befunde erhalten. Bereits stärker von den Schächten der Steinräuber betroffen sind die Befunde der Siedlungsphase 2. In etwa das gleiche Zerstörungsausmaß durch die nachträglichen Eingriffe läßt sich für die Phasen 3 und 4 festhalten, deren Anzahl ungestörter Befunde etwa der von Phase 2 entspricht. In stärkerem Maße sind die letzten beiden Phasen 5 und 6 betroffen – da die trichterförmigen Steinraubschächte oben am breitesten waren, mußten sie die größte Zerstörung hinnehmen.

Phase	0	1	2	3	4	5	6
Verteilungsdichte	10 %	23,4 %	40,3 %	100,5 %	88,1 %	133,6 %	74 %

Abb. 30: Tab. 2. Verteilungsdichte der Randfragmente aller Typen in Bezug auf die Befundanzahl der Siedlungsphasen

Daß diese Beobachtungen richtig sind, erweist eine zusätzliche Auswertung, die bereits zu den ersten Interpretationen der einzelnen Siedlungsphasen führt. In der vorstehenden Tab. 2 ist die Menge der Gattung ins Verhältnis zur Anzahl der ungestörten Befunde der gleichen Phase gestellt (im Folgenden 'Verteilungsdichte' genannt). Sie gibt einen ersten Hinweis auf die Aussagekraft der einzelnen Phasen anhand der Funddichte der behandelten Gattung unabhängig von dem erläuterten Ungleichgewicht der jeweiligen Befundanzahl, die durch den nacharchaischen Eingriff die Gefahr einer verfälschenden Aussage in sich birgt. In der Siedlungsphase 0 ergibt sich für alle KRSk und KRS eine Verteilungsdichte von 10 %, und dies trotz der relativ wenigen ungestörten Befunde. Damit fand sich statistisch nur in jedem zehnten ungestörten Befund ein Randfragment, ein größeres Fragment oder ein vollständiges Gefäß der Gattung. In der folgenden Phase 1 liegt der Anteil bei 23,4 %, und in Phase 2 verdoppelt sich der Anteil nahezu auf 40,3 %. In Siedlungsphase 3 erreicht die Verteilungsdichte ca. 1 Stück je geschlossenem Befund. Auf diesen Wert pendelt sich die Verteilungsdichte in den folgenden Phasen 4–6 in etwa ein, auch wenn die Phasen 4 und 6 etwas schwächere Verteilungsdichten aufweisen, und Phase 5 eine etwas stärkere. Ist diese Tabelle dahingehend zu interpretieren, daß mit zunehmenden Siedlungsphasen eine zunehmende Beimengung von Funden aus den vorhergehenden

⁶⁷³ Die folgenden Ausführungen zur Grabungsinterpretation sind die Ergebnisse der Auswertungen von R. Senff (Bochum/Athen). Die statistische Falsifizierung stammt vom Verfasser.

Phasen festzustellen ist? Und wichtiger noch, ist dadurch eine stetige Zunahme der Siedlungsaktivität angezeigt?

Eigentlich spricht vieles für diese Annahme. Denn die Phase 6 weist die geringste Verteilungsdichte auf, was wohl darauf zurückzuführen ist, daß Teile des Siedlungsareals in Phase 6 nicht mehr für den Hausbau genutzt wurden⁶⁷⁴. Die Siedlungsphase 6 zeigt auch in der Auswertung von Senff im Hinblick auf die Architektur eine reduzierte Siedlungstätigkeit auf gleichbleibender Grabungsfläche. Dies könnte eine unabhängige Bestätigung der Keramikauswertung in Tab. 2 sein. Geht nämlich die Besiedlungsdichte in Phase 6 nachweislich zurück, so sinkt auch die Verteilungsdichte der Keramikfunde in Bezug auf die Befundmenge dieser Phase. Sicher ist also, daß die Zahlen für eine stetige Zunahme der Keramikdichte von der Vorsiedlungsphase 0 bis zur fünften Phase des Siedlungsareals sprechen. Denn werden die angegebenen Prozenze in absolute Zahlen umgewandelt, lassen sich die niedrigsten Gesamtzahlen in den Siedlungsphasen 1 und 6 mit 132 bzw. 131 Stücken, die höchsten in Phase 3 und 5 mit 226 bzw. 207 Stücken feststellen. Die Phasen 2 und 4 liegen mit 149 und 178 Randfragmenten der Gattung zwischen den fundstärkeren und fundärmeren Phasen. Mit nur 11 Stücken fällt dagegen die Vorsiedlungsphase 0 gegenüber den anderen Phasen extrem ab. Das Keramikbild bestätigt, daß die Phase 0 gegenüber den späteren Phasen anders zu bewerten ist.

Im Großen und Ganzen bestätigen auch die bloßen Fundzahlen innerhalb der Phasen die Aussagen, die der Vergleich der Verteilungsdichte angezeigt hat. Doch offenbart sich im Einzelnen der Vorteil der ersten Auswertungsmethode. Ausgehend von den reinen Fundmengen in den einzelnen Phasen, wäre beispielsweise im Vergleich der Phase 1 mit Phase 6 der irrtümliche Schluß möglich, daß hier die gleiche Funddichte bestünde. Allerdings stammen die 132 Randfragmente der Phase 1 aus immerhin 563 Befunden, während die 131 Stücke der Phase 6 auf nur 177 Befunde zurückzuführen sind. Hier korrigiert die Auswertung der Verteilungsdichte die Interpretation. Es zeigt sich nämlich, daß Phase 1 mit einem Randfragment in jedem vierten Befund eine wesentlich geringere Funddichte aufweist als Phase 6 mit einer Verteilungsdichte von 74 %. Zwei Erklärungen wurden bereits für die Zunahme der Verteilungsdichte angeboten. Zum einen mag der Zuwachs der Keramikmenge in aus früheren Siedlungshorizonten in spätere Aufschüttungen gelangte Stücke begründet sein. Dies könnte in den ersten beiden Schichten eine gewisse Zunahme erklären, dürfte aber in den Phasen 3–6 das Pendel nicht erneut so weit ausschlagen lassen. Eine weitere Erklärung bietet die Annahme, daß sich aus den veränderten Verteilungsdichten Rückschlüsse auf die Siedlungsdichte und damit eine intensivere oder abnehmende Besiedlung des Stadtquartiers ziehen lassen. Für diese Vermutung liefern die Werte der Phasen 1–3 eine scheinbar überzeugende Grundlage. Denn das Handwerksviertel wies in diesen Phasen noch drei große Töpferöfen auf, und die Bebauung nahm in diesen Phasen sowohl hinsichtlich der Häuser als auch der Räume sukzessive zu. Doch ist auch diese Interpretation mit Schwierigkeiten behaftet. Beispielsweise läßt sich die enorme Zunahme der Verteilungsdichte von Siedlungsphase 2

⁶⁷⁴ Freundliche Auskunft von R. Senff.

zur Siedlungsphase 3 nicht ohne weiteres erklären. In Phase 3 waren die Töpferöfen noch immer in Benutzung, und auch die Bebauung hat sich gegenüber der Phase 2 nicht soweit vergrößert, daß damit die Zunahme allein erklärt werden könnte. Hier scheint sich ein dritter, und vielleicht der wichtigste Faktor bemerkbar zu machen – nämlich eine sprunghafte Zunahme der Keramikproduktion und -nutzung in Phase 3. An dieser Stelle soll noch nicht weiter darauf eingegangen werden, doch wird sich im Verlauf der Auswertungen erweisen, daß die hier getroffene Vermutung richtig ist⁶⁷⁵.

Ungeklärt bleibt in diesem Zusammenhang allerdings die geringe Scherbendichte von KRS-Rändern bzw. ganzen Gefäßen in den Phasen 1–3, obgleich hier noch intensiv Töpferei betrieben wurde. Soll daraus geschlossen werden, daß die Töpferbetriebe ihr Scherbenbruchmaterial, das nicht unbedeutend gewesen sein dürfte, fein säuberlich an andere Stellen verbrachten, die bei den Grabungen nicht angetroffen wurden? Vielleicht aber ist der Untersuchungsgegenstand selbst der Grund dafür, daß sich die Bruchscherben in der Statistik nicht wiederfinden: Möglicherweise waren die Töpfer an diesem Ort auf andere Gefäße spezialisiert. Im Hinblick auf die Zeitstellung einer derartigen Spezialisierung wäre dies allerdings bemerkenswert. Daß diese Annahme jedoch nicht ausgeschlossen werden kann, zeigen die Vogelschalen, deren Standardisierung Ausdruck solcher Spezialisierungen sind⁶⁷⁶.

Aus dem Bisherigen können also vorläufig folgende Schlussfolgerungen gezogen werden: Die geringe Verteilungsdichte und Gesamtzahl von Funden in der Phase 0 liegt vor allem darin begründet, daß diese Phase noch keine vollgültige Siedlungsphase war, wie sie die folgenden Phasen darstellen. Da auch die Anzahl ihrer Befunde im Vergleich zu denen der nachfolgenden Phasen extrem niedrig ist, scheint die Aussage durch zwei Auswertungsmethoden bestätigt. Letztere ist in diesem Fall zulässig, da die beiden tiefsten Schichten – die Phase 0 mehr noch als die Phase 1 – kaum von den Auswirkungen der nacharchaischen Steinausraubungen betroffen waren.

Mit Phase 1 beginnt abrupt eine Zunahme der Keramikkonzentration am Ort. Aufgrund der Auswertung ist der sprunghafte Anstieg in Phase 3 am ehesten auf eine gestiegene Keramikproduktion und damit auf einen gesteigerten Keramikbedarf zurückzuführen. Daß die Keramikdichte in den einzelnen Phasen auch Aussagen zur Siedlungsdichte und -nutzung zuläßt bzw. umgekehrt die Siedlungsdichte sich auf die Keramikdichte der Phasen auswirkt, hat das Beispiel der letzten Siedlungsphase 6 anschaulich gemacht. Der Rückgang der Verteilungsdichte der Keramik konnte mit den Untersuchungen zur Urbanistik am Ort in Einklang gebracht werden, die eine reduzierte Bautätigkeit für diese Phase konstatiert.

Damit zeigt sich, daß die Keramikverteilung auf die historischen Ereignisse am Ort oder im Alltagsleben der Bewohner reagiert. Bis zu einem gewissen Maße lassen sich diese anhand

⁶⁷⁵ Vgl. unten S. 196 im Kapitel 5.1.2.5.4 'Zusammenfassung Phase 3'.

⁶⁷⁶ Vgl. Kerschner in: Akurgal u. a. 2002, 66 ff. bes. 70 f., wo er die Kalottenschalen des Typus Vogelschale aus dem Herstellungszentrum B (vermutlich Teos) auch »Standartfabrikat« nennt und desweiteren eine »Massenproduktion dieser standardisierten Gefäßgattung [...] in der zweiten Hälfte des 7. Jahrhunderts ...« feststellt.

kombinierter Auswertungen der Grabungsergebnisse, wie oben gezeigt, fassen und deuten. Im Folgenden werden diese Ergebnisse innerhalb der einzelnen Phasen genauer betrachtet und jeweils geprüft, ob sich weitergehende Differenzierungen anstellen lassen.

5.1.2.2 Die Vorsiedlungsphase 0

Über Phase 0 können einigermaßen verlässliche Aussagen getroffen werden, da die Ausgrabungen an den meisten Stellen den gewachsenen Boden erreichten. Aufgrund der in diesem Kontext sichergestellten jüngsten Funde – spät- und subgeometrische Keramik – läßt sich das Ende von Phase 0 zeitlich relativ genau eingrenzen.

5.1.2.2.1 Die Datierung der Phase 0

Die spät- und subgeometrischen Keramikfunde der Vorsiedlungsphase 0 gleichen in ihrem Erscheinungsbild denen, die sich auch an verschiedenen anderen Stellen des Stadtgebiets fanden. Hier sind vor allem die Funde im Stadtzentrum, am Athena-Tempel und im sog. Südschnitt⁶⁷⁷ sowie auf der Ostterrasse des Kalabaktepe⁶⁷⁸ zu erwähnen. Die Funde der Phase 0 am Kalabaktepe-Süd werden im Anschluß näher erläutert.

Über die chronologische Einordnung der subgeometrischen Keramik in Milet unterrichten die Befunde im sog. Südschnitt einigermaßen verlässlich. Das dort angetroffene spät- und subgeometrische Keramikbild entspricht den Funden am Kalabaktepe-Süd, so auch die KRSk und KRS. Zur relativchronologischen Einordnung der beiden Keramikstufen geben zwei Schichten, die v. Graeve im Südschnitt isolieren konnte, Auskunft⁶⁷⁹. Sie sind zeitlich zwischen zwei historischen Ereignissen eingebettet, die sich archäologisch in Brand- und Zerstörungsschichten niederschlugen. Die Keramik aus den älteren Befunden unter und in einer spätgeometrischen Zerstörungsschicht hebt sich in ihrem Charakter von der Keramik ab, die zwischen der älteren und in der als »subgeometrisch«⁶⁸⁰ bezeichneten archaischen Zerstörungsschicht befand⁶⁸¹. Die archäologischen Befunde der Zerstörungshorizonte können mit keinem der überlieferten historischen Ereignisse sicher in Verbindung gebracht werden. Obwohl etwa zeitgleich auch in nördlich benachbarten griechischen Städten an der kleinasiatischen Westküste vergleichbare Zerstörungsschichten aufgedeckt wurden, sind ihre Ursachen nicht eindeutig definierbar. Sie könnten auf ein großes Erdbeben zurückgehen, möglicherweise aber auch auf einen überlieferten Einfall der Kimmerier, in dessen Verlauf die Städte

⁶⁷⁷ Athena-Tempel: Weickert 1957, 114. 132; A. Mallwitz in: Weickert 1959/60, 83 f.; Graeve 1973/74, 84 f.; Graeve 1975, 40 f.; V. v. Graeve in: CollNeapel 34 ff.; Kleine 1979, 137.

⁶⁷⁸ Kerschner 1999, 11 ff. und 15 ff.; Schlotzhauer 1999 b.

⁶⁷⁹ Graeve 1973/74, 84 f.; Graeve 1975, 40 f.; V. v. Graeve in: CollNeapel 34 ff.

⁶⁸⁰ In dieser Arbeit wird 'subgeometrisch' lediglich als Keramikstil innerhalb der archaischen (mithin nachgeometrischen) Phase verstanden. 'Subgeometrisch' ist keine eigene Zeitstufe, das verbietet bereits die Bedeutung des Begriffs! So jetzt auch S. Käufler, Die archaischen Kannen von Milet (Diss. Ruhr-Universität Bochum 2004), <<http://www-brs.ub.ruhr-uni-bochum.de/netathtml/HSS/Diss/KaeuflerSteffen/diss.pdf>> (20.07.2006) 14. Anders sieht dies etwa Walter (Samos 5, 47).

⁶⁸¹ Zur Charakterisierung s. Graeve 1973/74, 85; Graeve 1975, 41; V. v. Graeve in: CollNeapel 35 ff.

an der kleinasiatischen Westküste niedergebrannt wurden⁶⁸². Weder für die Theorie einer Erdbebenzerstörung noch für die eher sagenhaften Kimmerier, die bisher kaum überzeugend durch archäologische Funde zu belegen sind, gibt es sichere Anhaltspunkte. Somit bleibt für die absolute zeitliche Bestimmung nur die relativ vage keramische Datierung. Nach herkömmlicher Keramikchronologie könnte das ältere Ereignis um die Wende vom 8. zum 7. Jh. v. Chr. stattgefunden haben. Die jüngere Zerstörungsschicht läßt sich anhand spätprotokorinthischer Importstücke um die Mitte des 7. Jhs. v. Chr. datieren. In diesen zeitlichen Rahmen sind auch die Funde der Vorsiedlungsphase 0 zu setzen.

5.1.2.2 Die Rückschlüsse für das Gebiet am Kalabaktepe-Süd in der Phase 0

In den übrigen Stadtgebieten, in denen spät- und subgeometrische Keramik gefunden wurde, lassen sich die beiden Stufen nicht wie im sog. Südschnitt stratigraphisch scheiden. Hier sind sie stets in Aufschüttungen mit teils noch älterer Keramik vermischt⁶⁸³. Daher scheint es naheliegend, in der subgeometrischen Brand- und Zerstörungsschicht nur ein lokales und nicht wie für die ältere Zerstörungsschicht ein die ganze Stadt betreffendes historisches Ereignis anzunehmen.

Für das zentrale Stadtgebiet ist die Kontinuität der Siedlung vom 4. Jt. v. Chr. über die Antike bis ins Mittelalter und darüber hinaus gesichert. Demgegenüber ist die Siedlungsgeschichte am Kalabaktepe nur von kurzer Dauer. In unserem Zusammenhang interessieren die Bedingungen, die das Grabungsgebiet während der Zeit der frühesten dort angetroffenen Keramikfunde aufwies. Im Gegensatz zum nahen Değirmentepe, wo die bereits erwähnten mykenischen Gräber zur nahen bronzezeitlichen Siedlung gehörten, wurde am Kalabaktepe bislang noch kein Fund der Bronzezeit *in situ* nachgewiesen. Aus den Grabungen auf dem Ostplateau des Kalabaktepe sind späte mittel- oder frühe spätgeometrische Skyphoscherben die typologisch älteste Keramik am Ort⁶⁸⁴. Weitere geometrische Keramik aus der ältesten bisher aufgedeckten Auffüllungsschicht des 8. bis in das zweite Viertel des 7. Jhs. v. Chr. weisen alle Stilstufen und -phasen, und auch einen subgeometrischen Stil auf. Allerdings konnten bislang keine architektonischen Befunde oder Böden festgestellt werden, die mit dieser frühen Keramik in Verbindung zu bringen wären. Auch können, der Interpretation des Ausgräbers M. Kerschner zufolge, die Funde vor dem 6. Jh. v. Chr. nicht sicher mit der Kultstätte der

⁶⁸² Graeve 1974/75, 84 f.; V. v. Graeve in: CollNeapel 35 führt an diesen Stellen aus, welcher historische Synchronismus für die Zerstörungen in Milet und in anderen Städten im nördlichen Kleinasien verantwortlich zu machen ist; J. Cobet, AA 1999, 255 f. Vor einiger Zeit ist eine weitere Brand- und Zerstörungsschicht, die vor die Mitte des 7. Jhs. v. Chr. datiert, bei den Ausgrabungen in Ephesos unter der späteren Tetragnon-Agora aufgedeckt worden, die vermutlich mit der bis in das 8. Jh. v. Chr. zurückgehenden Siedlung Smyrna in Verbindung zu bringen ist: P. Scherrer in: Krinzinger 2000, 45.

⁶⁸³ Athena-Tempel: Weickert 1957, 114. 132; A. Mallwitz in: Weickert 1959/60, 83 f.; sog. Südschnitt: Graeve 1973/74, 84 f.; Graeve 1975, 40 f.; V. v. Graeve in: CollNeapel 34 ff.; Kleine 1979, 137; Ostplateau des Kalabaktepe: Kerschner 1999, 11 ff. und 15 ff.

⁶⁸⁴ Kerschner 1999, 15.

Artemis Kithone verbunden werden⁶⁸⁵. Erst in der Spätarchaik ist dieser Zusammenhang sichergestellt.

Die Keramik aus den Grabungen am Südhang des Kalabaktepe ist im Wesentlichen identisch mit der von der Ostterrasse des gleichen Hügels, wenn auch in der Quantität nicht vergleichbar. Auch hier fanden sich vereinzelt späte mittelgeometrische und frühe spätgeometrische Gefäßfragmente. Sind es dort KRSSk, die als früheste Gefäßform gesichert sind, so sind diese (1–2 und 4–5) auch am Südhang wieder unter den frühesten Beispielen der Fundkeramik zu finden. Dies sichert die enge Beziehung der beiden nah beieinander liegenden Grabungsorte in Bezug auf die früheste Keramik.

Auch in den Südhang-Grabungen am Kalabaktepe ist die früheste Keramik ohne architektonischen Zusammenhang geblieben, da für die Phase 0 bislang keine Bebauung festgestellt werden konnte. Lediglich Pfostenlöcher, Gruben und ein Herd waren direkt in den gewachsenen Boden 'eingetieft' bzw. lagen auf ihm auf⁶⁸⁶. Ihrem Charakter nach handelt es sich bei ihnen um temporäre Installationen, die die zeitliche Spannweite der hier gefundenen Keramik kaum zu erklären vermögen. Die Deutung dieser ersten Aktivitäten am Ort wird Senff im Zusammenhang seiner Untersuchungen ausführlicher beantworten. Festzuhalten bleibt dennoch bereits, daß anders als auf dem Ostplateau, wo sich die Keramik in Auffüllschichten befand, sie hier auf dem natürlich gewachsenen Boden auflag. Somit ist sie definitiv die älteste am Südhang, und eine frühere Schicht an dieser Stelle läßt sich ausschließen.

An anderen Stellen der Stadt wurde entsprechend frühe Keramik auch im architektonischen Zusammenhang gesichert. Im sog. Südschnitt an der hellenistischen Stadtmauer sind dies Ovalbauten mit Steinsockeln⁶⁸⁷. Spätgeometrische und früharchaische Keramik ist darüber hinaus mit Rechteckbauten in Verbindung zu bringen, die auf die Ovalbauten folgten. Die Rechteckbauten vertreten einen Bautyp, der am Kalabaktepe in der ersten Siedlungsphase (Phase 1) angetroffen wurde⁶⁸⁸. Daher schloß Senff, der die milesischen Urbanistik bearbeitet: »Hinweise auf eine apsidale Bauweise, wie sie bei den ältesten geometrischen Bauten im sog. Südschnitt an der hellenistischen Stadtmauer anzutreffen war, haben sich bisher nicht gefunden. Vielleicht spricht dies dafür, daß die Häuser hier etwas jünger sind und sich die Besiedlung vom Stadtzentrum langsam nach Süden ausgedehnt hat.«⁶⁸⁹ Nach alledem, was heute über die Topographie zum geometrischen und früharchaischen Milet bekannt ist, kann eine städtische Besiedlung des Kalabaktepe vor der früharchaischen Zeit ausgeschlossen werden.

⁶⁸⁵ Kerschner 1999, 50.

⁶⁸⁶ R. Senff in: Graeve 1995, 208 f.

⁶⁸⁷ Graeve 1973/74, 78 ff.; Kleine 1979, 135 f.

⁶⁸⁸ R. Senff in: Graeve 1995, 210; ausführlicher und zusammenfassend zur Bebauung der 'Südstadt' s. R. Senff in: Krinzinger 2000, 33 ff.

⁶⁸⁹ R. Senff in: Krinzinger 2000, 33.

Damit ist die Phase 0 am Kalabaktepe-Süd nicht als Siedlungsphase anzusprechen. Die Pfostenlöcher, der Herd und die Gruben dieser Phase zeigen zwar Aktivitäten für dieses Gebiet an, allerdings noch keine fest siedelnde Struktur, die städtisch genannt werden könnte. Auch wurde kein vollständiges oder vollständig restaurierbares Gefäß dieser Stilstufe am Südhang des Kalabaktepe angetroffen, was für die archaischen Keramikfunde ansonsten durchaus üblich ist. Sie machen eher den Eindruck 'verschleppter' Funde. Ihre Anzahl wiederum ist so groß, daß sie aus der unmittelbaren Nähe stammen müssen. Ausgangspunkt der Funde war daher wohl die bereits für diese Zeit zu vermutende Kultstätte auf der Ostterrasse. Die jüngsten KRS der Phase 0 gehören dem Typus 5 an und sind somit bereits früharchaisch. Mit ihnen kann das Ende der Phase 0 vorläufig in das zweite Viertel des 7. Jhs. v. Chr. datiert werden. Weitere Untersuchungen an den übrigen Gefäßformen aus diesem Zusammenhang haben dieses Ergebnis noch zu bestätigen. Die Schlußfolgerungen aus dem Gesagten für die Keramik der Phase 0 am Südhang des Kalabaktepe sind nach den vorläufigen Ergebnissen folgende:

Angesichts nur vereinzelter Funde von mittel- und spätgeometrischen Skyphoi an diesem Ort muß angenommen werden, daß sie aus der nahen mittel- und spätgeometrischen Siedlung Milet hierher 'verschleppt' wurden. Damit wäre eine intensive Siedlungsaktivität in diesem Bereich für diese frühe Zeit zu negieren. Doch befand sich die Gegend bereits seit mykenischer Zeit im Aktionsraum der Bewohner, die seit der Frühzeit am Athena-Hafen siedelten, wie die mykenischen Gräber am nahen Değirmentepe beweisen⁶⁹⁰. Einzig die Grabungen auf der Ostterrasse lassen vermuten, daß nahe dem Südhang des Kalabaktepe Kultaktivitäten spätestens seit spätgeometrischer Zeit bestanden haben. Hier konnte zwar bisher keine Architektur dieser Zeit entdeckt werden, doch wird die Menge des hier angetroffenen spät- und subgeometrischen Keramikschutts kaum von weither herangebracht worden sein, wie dies für den Perserschutt in späterer Zeit nachgewiesen ist⁶⁹¹. Die Mehrheit der geometrischen Skyphoi setzt dann tatsächlich erst mit solchen ein, die einen spät- oder subgeometrischen Dekor (**16–17. 21**) aufweisen (s. S. 150 ff. und S. 247 f.). Darüber hinaus sind lediglich die importierten attischen mittelgeometrischen Skyphoi **27** und **28** im Kontext der Siedlungsphase 1 nachgewiesen. In beiden Fällen stammen sie aber aus Planierungs- bzw. Aufschüttungsschichten. Das Fragment **28** fand sich in der Aufschüttung zur Siedlungsphase 2, und es ist am wahrscheinlichsten, daß es bei dieser Umbaumaßnahme aus einem früheren Gehhorizont der Phase 0 hierher gelangte, welche für die Aufschüttung ausgehoben worden war. Die übrigen Beispiele stammen aus Schuttschichten oder sind Streufunde und lassen daher keine Aussage mehr über ihren ursprünglichen Kontext zu.

Die Keramik der Vorsiedlungsphase 0 ist somit als eine Assemblage zu betrachten, die in ihrer Gesamtheit ohne Kontext von Siedlung oder Kult steht. Die frühesten Vertreter sind mit hoher

⁶⁹⁰ Zu den mykenischen Gräbern s. o. Anm. 663. – Ob vereinzelt noch frühere, prähistorische Funde auf der Ostterrasse desselben Hügels vielleicht noch ältere Siedlungsaktivitäten bezeugen, kann nicht ausgeschlossen werden. s. Kerschner 1999, 33; zu solchen aus Milet insgesamt z. B. H. Parzinger, *IstMitt* 39, 1989, 415 ff.

⁶⁹¹ Graeve 1997/98, 76 f.

Wahrscheinlichkeit hierher 'verschleppte' Gegenstände. Dagegen könnte die häufiger anzutreffende spät- und subgeometrische Keramik von einem Ort in der Nähe stammen, etwa dem Kithone-Heiligtum, über dessen Aussehen und Funktion in dieser Zeit aber vorläufig nur spekuliert werden kann.

5.1.2.2.3 Das Bild der Knickrandskyphoi und –schalen aus der Phase 0

In den Grabungsflächen von 1989 ist die Phase 0 selten erreicht worden. In jenem Jahr konnten einzelne Ausgrabungsbereiche noch nicht bis auf den gewachsenen Boden hinabgebracht werden. Jedenfalls sind weder KRsk noch KRS aus diesem Grabungsjahr in einem der wenigen Befunde der Phase 0 verzeichnet. Zur Phase 0 ist aber des weiteren die Aufschüttung zur Phase 1 zu zählen. Die Aufschüttung ist die erste Maßnahme zur Phase 1 und wird daher baulich der Phase 1 zugeordnet. Doch kann das verwendete Material, welches sich in dieser Aufschüttung befindet, nur solches sein, das bereits in der vorausgehenden Phase 0 zusammengetragen und in der Regel vor dem Beginn der Phase 1 zu Bruch gegangen ist. Die Aufschüttungsschicht kann für die darin befindliche Fundkeramik daher nur als *terminus ante quem* gewertet werden.

In der Aufschüttung zur Phase 1 fand sich im Grabungsjahr 1989 nur ein sicher zu klassifizierendes Fragment dieser Gattung. Somit konnte die hier verfolgte Absicht, ein direktes Bild der Phase 0 durch Gefäße der hier behandelten Gattung des Grabungsjahrganges 1989 zu vermitteln, nicht im gewünschten Maße durchgeführt werden.

Die vorgestellte Interpretation der Phase 0 als 'Phase ohne Siedlungsaktivität' erklärt bereits, warum in den Katalog weder ein Stück aufgenommen wurde, welches direkt aus dieser Phase stammt, noch eines, das – aus dieser Phase stammend – in die Aufschüttung der folgenden Phase gelangt war. Die statistische Aufnahme kann letztlich ohnehin lediglich auf eine absolute Menge von elf Randfragmenten der Gattung aus geometrischer und früharchaischer Zeit verweisen. Die extrem geringe Funddichte der Phase 0 machte sich bereits in der Verteilungsdichte von nur 10 % bemerkbar (Tab. 2). Aus diesem und den oben aufgeführten Gründen war die Phase 0 als Siedlungsphase negiert worden. Somit läßt sich nur ein unvollständiges Keramikbild der untersuchten Gattung für diese Phase aufzeigen, das zudem mehrheitlich erst durch Verweise auf besser erhaltene und dokumentierte Beispiele eine Kontur gewinnt. Gleichwohl ist anzunehmen, daß stilistisch in diese Zeit gehörende Stücke, die am Südhang des Kalabaktepe in späteren Aufschüttungen gefunden wurden, ursprünglich tatsächlich während der Phase 0 an diesem Ort lagen. Dies ist deshalb zu vermuten, weil der Vergleich der KRsk und KRS aus ungestörten Schichten dieses Ortes mit denen, die die Gesamtmenge der Gattung desselben Ortes darstellen, das gleiche Verteilungsmuster aufweist (s. o.). Daraus wurde geschlossen, daß nach der Aufgabe des Siedlungsplatzes keine nachträgliche Veränderung in den Schichten der Phase 0 vorgenommen wurde, die das Keramikbild gegenüber dem ursprünglichen verfälscht hätte. Es sind wohl weder größere Massen an Schutt abtransportiert oder natürlich erodiert und wohl auch kein Keramikabfall aus anderen Bereichen hierher verbracht worden. Somit spiegeln

die in späteren Aufschüttungen gefundenen Beispiele verlässlich das Bild der Gattung vor der ersten Siedlungsphase am Südhang des Kalabaktepe wieder. Aus der unten noch vorzustellenden statistischen Verteilung der klassifizierten Fundstücke wird deutlich, welche KRS-Typen bereits während der Vorsiedlungsphase 0 präsent waren.

Erwartungsgemäß war der Typus 1 während der Phase 0 bereits vertreten. Die Skyphoi dieses Typus sind hinsichtlich ihres Dekors als auch ihrer Form rein geometrisch. Interessant ist, daß sich aus den späteren Aufschüttungen bereits mittelgeometrische KRSSk für diesen Ort belegen lassen⁶⁹²: die Beispiele **1–2** vertreten die Variante 1,1.A. Zudem sind mit dem mittelgeometrischen euböischen Skyphos **25** sowie den attischen Skyphoi **27–28** Importe hierher gelangt. Darüber hinaus bereichern die spätgeometrischen Varianten des gleichen Typus das Bild der Phase 0, deren Beispiele ebenfalls aus späteren Auffüllungen und Schuttschichten stammen. Es sind dies die Fragmente **10, 13, 16–17** der Variante 1,2.A-B mit den Dekorvarianten b und c. Die geometrischen Beispiele konnten aber lediglich aufgrund ihrer allgemein akzeptierten Zeitstellung der frühesten Phase 0 zugeordnet werden – nicht ein Beispiel fand sich tatsächlich auf dem gewachsenen Boden. Ob bereits subgeometrische Varianten des Typus 1 der Phase 0 zum Bild der Gattung gehört haben, läßt sich daher nicht mehr bestimmen.

Der Typus 2 ist wohl in einem Fall – während der Grabungen im Jahr 1993 – tatsächlich auf dem natürlich gewachsenen Boden angetroffen worden. Das Randfragment **34** der Variante 2,2.B ist vielleicht der älteste Anzeiger, der direkt auf die temporäre Nutzung der Phase 0 bezogen werden darf. Es ist somit der einzige statistisch erfaßte Fund des Typus 2 für die Phase 0. Es gibt weitere starke Argumente, die die Existenz dieses Typus bereits in der Phase 0 am Südhang des Hügels wahrscheinlich machen. Denn – wie bereits mehrfach betont – die Phase 0 war noch keine Siedlungsschicht, weswegen sich hier auch keine bedeutende Kulturschicht mit entsprechender Keramik ansammeln konnte. Die Funde dieser Phase lagen offenbar vor allem direkt auf dem Boden, wie im Fall des KRSSk **34**. Daher konnten die Funde aus diesem Zusammenhang besonders leicht durch spätere bauliche Maßnahmen, für die zunächst die Schräglage des zu bebauenden Terrains ausgeglichen werden mußte, in zeitlich spätere Zusammenhänge geraten. Angesichts dessen, daß nur die unbedeutende Gesamtmenge von 12 Randfragmenten der KRSSk und KRS überhaupt für die Phase 0 festgestellt wurde und der Typus 2 überdies zu den kleinsten Gruppen unter den KRS und ihren Vorläufern zählt, darf ihre schwache Präsenz für die Phase 0 im Untersuchungsbereich nicht überbewertet werden⁶⁹³. Gleich dem Typus 1 wurden auch Beispiele des Typus 2, obgleich sie stilistisch sicher bedeutend älter sind, in späteren Aufschüttungen und Schuttschichten angetroffen. Sie stehen zwar nicht den frühesten Varianten des Typus 1 zur Seite, aber für die spätgeometrischen Varianten 1,2.B lassen sich aus den hiesigen Grabungen Parallelen unter den Funden des Typus 2

⁶⁹² Daß sie von weither hierher 'verschleppt' worden sind, scheint jedenfalls unwahrscheinlich.

⁶⁹³ Zumal der Typus 2 auf der nahegelegenen Osterrasse durchaus vorhanden ist, s. Schlotzhauer in: Kerschner 1999, 22 mit Abb. 11, 37–38.

finden. Damit sind beispielsweise Gefäße wie der Skyphos **30** der Variante 2,1.B bereits für die Phase 0 vorauszusetzen, auch wenn der KRSk **30** erst in der Aufschüttung für Phase 3 angetroffen wurde. Ferner reicht das große Fragment **50** der Variante 2,4.B aus einem Fundzusammenhang der Siedlungsphase 2 stilistisch weit über die Zeitstellung seines Fundkontextes zurück. Auch das stilistisch älteste Beispiel des Typus 2, der in Milet gefertigte spätgeometrische KRSk **32**, der wohl einem Zerstörungskontext der Siedlungsphase 1 zugerechnet werden darf, ist sicher älter als seine Fundlage. Daher dürften wohl auch diese Beispiele das Bild der Gattung in der Vorsiedlungsphase 0 bereichert haben. Inwieweit die subgeometrischen KRSk des Typus 2 (**31. 33. 35–37. 39. 41. 47–48**), die ebenfalls in stratigraphisch späteren Schichten oder in Schuttschichten am Südhang aufgedeckt worden sind, schon für die Phase 0 bezeichnend waren, läßt sich vorläufig nicht entscheiden. Einzig die stilistische Verbindung zu den Typen 3 und 4, die anhand weniger Funde für die Phase 0 gesichert sind, nährt diese Vermutung. Wie die Ergebnisse zur ersten Siedlungsphase (Phase 1) noch zeigen werden, machen hier subgeometrische Gefäße noch einen bedeutenden Anteil an der Gesamtmenge der KRS und ihrer Vorläufer aus. Somit lassen sich vorläufig nur die spätgeometrischen Varianten des Typus 2 mit großer Gewißheit für die Phase 0 glaubhaft machen. Interessant ist zudem – wenn die Schlüsse zu den KRSk **32** und **34** richtig sind –, daß mit ihnen zwei Produkte der milesischen Werkstätten A und D bereits vor den Töpferöfen der Phasen 1–4 am Südhang des Kalabaktepe nachzuweisen sind.

Drei Beispiele des Typus 3 fanden sich ebenfalls in Befundlagen der Phase 0. Sie sind allesamt schlecht erhalten, weswegen sie in den Katalog nicht aufgenommen wurden. Stilistisch sind sie jünger als die frühen Beispiele der Typen 1 und 2. Weitere subgeometrische KRS des Typus 3 (**55–56. 65–66. 71–72**), wie sie aus jüngeren stratigraphischen Schichten und Schuttschichten am Südhang bekannt sind, könnten demnach teilweise schon zum Gesamtbild der Phase 0 gehört haben.

Als auf der Schwelle vom Geometrischen zum Archaischen stehend, wird der Typus 4 charakterisiert. Die Schalenform weist das Gefäß bereits als archaisch aus, womit ihr Dekor als subgeometrisch zu bewerten ist. Zwei Beispiele des Typus hat die statistische Aufnahme der Gattung für die Phase 0 erfaßt. Ein Beispiel ist erneut aufgrund seiner schlechten Erhaltung keiner Variante zugeordnet und nicht in den Katalog mit aufgenommen worden. Dagegen stammt die KRS **81** aus dem Fundamentgraben einer Mauer der Siedlungsphase 1. Damit ist ein *terminus ad* bzw. *ante quem* für den Typus 4 und seine Variante 4,3 gegeben. Dies läßt zwar keine weitreichenden Schlüsse über ihren Anteil innerhalb der Phase zu, sichert aber die Existenz des Typus und der Variante 4,3.B bereits für die Vorsiedlungsphase 0 bzw. kurz vor Beginn der ersten Siedlungsphase (Phase 1).

Damit kann aus den hier vorgestellten Ergebnissen geschlossen werden, daß das Vorhandensein eines Typus den Nachweis für diesen für die Vorsiedlungsphase bezeugt. Andererseits darf aber aus dem Fehlen eines Typus nicht sicher auf die Nichtexistenz des Typus vor der Siedlungsphase 1 geschlossen werden, da die statistische Breite hierfür nicht ausreichend ist.

5.1.2.2.4 *Die Verteilung der Knickrandskyphoi und –schalen in Phase 0*

Ein Verteilungsschema gibt die Anteile der klassifizierten Typen für die Phase 0 auf der Grundlage von nur neun statistisch aufgenommenen Randfragmenten der Gattung wieder. Sie lassen, wie bereits mehrfach betont, aufgrund der geringen Gesamtzahl keine weitreichenden Schlüsse zu. Dennoch scheint die Abb. 31 eine Tendenz widerzuspiegeln, die sich nach den bisherigen Ausführungen durchaus erwarten ließ. Den größten Anteil stellt der Typus 1, gefolgt vom Typus 3. Den geringsten

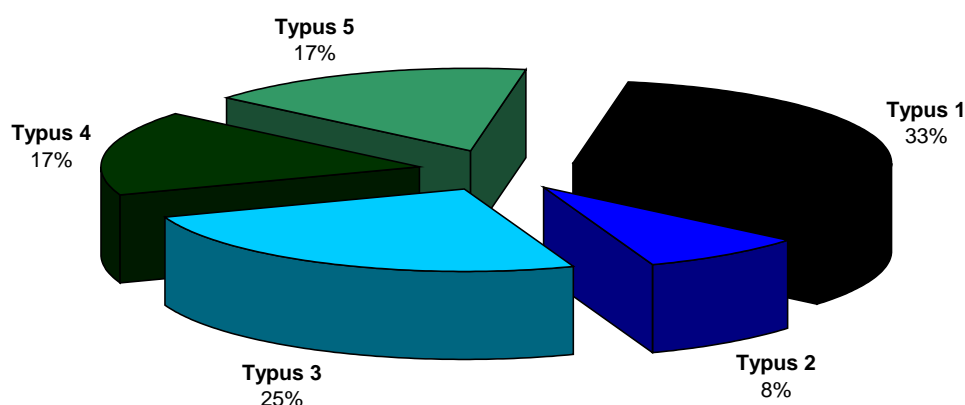


Abb. 31: Kalabaktepe-Süd, Verteilung der KRSk und KRS in der Vorsiedlungsphase 0

Anteile halten die Typen 4 sowie 5 mit jeweils 17 % und Typus 2 mit 8 %. Doch ist diese Verteilung aufgrund der geringen statistischen Basis nicht unbedingt repräsentativ, denn der Typus 1 ist lediglich mit vier Beispielen, der Typus 3 mit drei, Typus 4 und 5 mit zwei und Typus 2 lediglich mit einem Stücken in die Statistik eingegangen. Damit zeigt sich, daß ein nicht dauerhaft besiedeltes kleines Gebiet für eine solche Untersuchung kaum geeignet ist. Gleichwohl ist die Feststellung des Vorhandenseins der angeführten Typen enorm wichtig, sichern sie doch bereits die Existenz vor allem der Typen 4 und 5 vor der ersten Bauphase im Wohnviertel am Kalabaktepe-Süd, teils durch mehr als nur durch ein Beispiel.

5.1.2.2.5 *Vergleich mit der Ostterrasse des Kalabaktepe*

Daß diese Interpretation zur Vorsiedlungsphase 0 richtig ist, wird durch einen Vergleich mit der Ostterrasse ersichtlich. Die klare Trennung zwischen der spät- und subgeometrischen Auffüllung und einer frühorientalisierenden Schicht, die mit der baulichen Maßnahme an diesem Ort genau zusammenfällt, läßt sich für den Südhang nicht feststellen. Auch wenn für den Südhang, anders als für die Ostterrasse, vorläufig nur eine Gattung befragt werden kann, so ist die Schlußfolgerung bereits als

gesichert anzusehen. Denn das Vorhandensein allein der archaischen Schalen am Südhang vor den ersten Baumaßnahmen verbürgt die spätere Zeitstellung der hiesigen Maßnahme gegenüber derjenigen auf der Ostterrasse. Die früharchaische Stilstufe ist mit mindestens zwei Typen (Typus 4 und 5) der Gattung bereits erreicht, bevor am Südhang die erste bauliche Maßnahme für das Handwerksviertel der Siedlungsphase 1 begonnen wurde. Für die Siedlungsgeschichte des Kalabaktepe folgt daraus, daß die Terrassierungsmaßnahme, die Kerschner am Ostplateau feststellte, eindeutig älter ist als alle Bauaktivitäten, die sich am Südhang nachweisen ließen. Gleichwohl umfassen die Funde insgesamt den gleichen Zeitraum, wenn auch die frühen Funde am Südhang äußerst spärlich und nicht mit der Menge auf der Ostterrasse zu vergleichen sind. Auf dem nahen Ostplateau fanden sich in der Aufschüttung ebenfalls Fragmente des Typus 1⁶⁹⁴, des Typus 2⁶⁹⁵ sowie des Typus 3⁶⁹⁶. Ein Fragment, das in der vorhergehenden Publikation noch nicht sicher dem Typus 4 zugeordnet worden war, ist inzwischen gesichert⁶⁹⁷.

5.1.2.2.6 Zusammenfassung Phase 0

Die Vorsiedlungsphase 0 im Grabungsareal wurde als stratigraphischer Horizont charakterisiert, der vor allem Zufallsfunde barg. Daß der ältere Typus 1 den größten Anteil gegenüber den weiteren festgestellten Typen und auch mittel- sowie spätgeometrische Beispiele aufweist, ist ein Indiz für den längeren Zeitraum, in dem sich Beispiele dieser Form hier ansammeln konnten. Der Typus 2 stellt die kleinste Gruppe aus der Phase 0. Doch läßt sich aufgrund der genannten statistischen Unzulänglichkeit für diese Phase keine fundierte Aussage treffen. Unter Berücksichtigung der Untersuchung zu den Typen (vgl. S. 131 Abb. 26; S. 248 f.) wird jedoch klar, daß der geringe Anteil von Typus 2 nicht ganz zufällig ist. Die Typen 4 und 5 scheinen erst kurz vor dem Beginn der Phase 1 ihren Anfang zu nehmen.

Auch die zeitliche Stellung im Verhältnis zu einem zweiten Untersuchungsgebiet am Kalabaktepe konnte bestimmt werden. Die Funde auf dem sog. Ostplateau gehen ebensoweit zurück wie die am Südhang. Doch liegt die früheste bauliche Maßnahme auf der Ostterrasse bereits am Übergang vom Spätgeometrischen zum Frühorientalisierenden, am Südhang erst im Früharchaischen.

Zudem lassen sich bereits direkt oder indirekt für die Vorsiedlungsphase 0 sowohl Produkte der beiden im Bonner Labor (Mommsen) naturwissenschaftlich nachgewiesenen milesischen Keramikwerkstätten A (sog. Kalabaktepe-Werkstätten) (34) und D (16), als auch Importe aus euböischen (25) und attischen (26–29) Werkstätten nachweisen.

⁶⁹⁴ Schlotzhauer in: Kerschner 1999, 21 ff. Abb. 11. 33–35.

⁶⁹⁵ Schlotzhauer in: Kerschner 1999, Abb. 11, 36–39.

⁶⁹⁶ Schlotzhauer in: Kerschner 1999, Abb. 11, 40.41.

⁶⁹⁷ Schlotzhauer in: Kerschner 1999, Abb. 11, 42. Vgl. auch die Definition zum Typus 4 im Kapitel 4.2.1.1 'Der Typus 4 und seine Varianten', in der für diesen Typus die Dekoration mit nur einem Band auf dem hohen Rand als verbindlich festgelegt ist.

5.1.2.3 Die Siedlungsphase 1⁶⁹⁸

Eine einschneidende Veränderung der Verhältnisse im besprochenen Grabungsareal vollzog sich durch die baulichen Maßnahmen, die den Beginn der Siedlungsphase 1 markieren. Mit ihr wurde das zuvor ungenutzte Gelände erschlossen, das – abgesehen von den temporären Installationen wie Pfostenlöchern, Gruben und Herd – zuvor keine Nutzungsaktivitäten aufwies. Erst mit der Siedlungsphase 1 werden erste Gebäude aus Stampflehmwänden auf Steinsockeln errichtet⁶⁹⁹. Zeitgleich hält Handwerk Einzug in das 'Neubaugebiet'. Nicht weniger als drei große Töpferöfen konnten hier während der Grabungen 1989 bis 1995 aufgedeckt werden⁷⁰⁰. Bis an das Ende der Siedlungsphase 4 blieb dies für das Leben in diesem Areal bestimmend. Doch auch für die Interpretation der keramischen Funde am Ort hat diese Entwicklung weitreichende Folgen, denn die Keramikproduktion im Bereich des Grabungsareals könnte Auswirkungen auf die Verteilungsdichte und die Interpretation der Keramikstatistik zur untersuchten Gattung haben.

5.1.2.3.1 *Datierung der Phase 1*

Die relative Chronologie stellt sich anschaulich dar. Die Phase 1 beschreibt die jüngste Siedlungsphase, die auf die Vorsiedlungsphase 0 direkt folgt⁷⁰¹. Hinsichtlich einer absoluten Datierung der Phase 1 bieten sich allerdings wenige Anhaltspunkte. Weder der Siedlungsausbau an der Südseite des Kalabaktepe, noch der Bau der massiven Stadtmauer zu Beginn der Phase 2 lassen sich mit historischen Ereignissen und absoluten Daten verbinden. Importierte Keramik, deren Abfolge besser als die heimischen Gattungen ausgearbeitet ist, ist hier als Indikator hilfreich. Eine detaillierte Untersuchung zur Chronologie am Kalabaktepe-Süd wird von Senff, dem Bearbeiter der Stratigraphie, vorgelegt werden. Doch läßt sich an dieser Stelle schon sagen, daß man die obere Grenze mit dem Ende der Phase 0 beginnen läßt. Für die Phase 0 konnte neben den subgeometrischen Stücken auch schon früharchaische Keramik festgestellt werden. Wie bereits oben ausgeführt, ist die Errichtung des Wohn- und Handwerksviertels am Südhang etwas später zu datieren als die Auffüllung der spät- und subgeometrischen Schicht im Heiligtum auf dem Ostplateau. Das Ende der südionisch spätgeometrischen Stilphase ist nach konventioneller Keramikchronologie um 680–670 v. Chr. zu datieren, der Beginn der früharchaischen setzt etwa gleichzeitig ein.

Das Ende der Phase 1 um 640 v. Chr. wird im folgenden Kapitel erörtert. Doch unterstützt ein Befund in der Aufschüttung zur Stadtmauer dieses Datum: Hier fand sich ein vollständig erhaltener

⁶⁹⁸ Dies ist die erste Bau- bzw. Siedlungsphase am Kalabaktepe-Süd.

⁶⁹⁹ Zuletzt ausführlich R. Senff in: Krinzing 2000, 33 ff.

⁷⁰⁰ Zu den Töpferöfen vgl.: Graeve 1990, 40 f. Abb. 1; M. Seifert – M. Krumme in: Graeve 1991, 134 ff.; R. Senff – u. a. in: Graeve 1997, 210 ff. Zu Keramikschlacken, keramischen Fehlbränden und Töpferöfen in Milet vgl. auch: M. Seifert – Ü. Yalçın in: *Arkeometri Sonuçları Toplantısı* 10 (1995); Akurgal – Kerschner – Mommsen – Niemeier 2002, 59ff.; 113 f.; 175 ff.. Zuletzt auch R. Senff in: Cobet u. a. 2007, 323 f.

⁷⁰¹ Das läßt jedenfalls den Vergleich der Fundkeramik vermuten, da sich dieselben Typen, teils sogar dieselben Varianten in beiden Phasen fanden.

protokorinthischer Aryballos, der intakt geborgen wurde und wohl unmittelbar vor der Deponierung noch in Gebrauch gewesen sein dürfte.

5.1.2.3.2 Die Rückschlüsse für das Gebiet am Kalabaktepe-Süd in der Phase 1

Der Umbruch von der Vorsiedlungsphase 0 zur Siedlungsphase 1 stellt das Untersuchungsgebiet innerhalb kürzester Zeit in den völlig veränderten Rahmen einer Wohn- und Handwerkssiedlung. Die neuen Bedingungen bleiben für die Auswertung der Keramik nicht ohne Folge. In entsprechender Form gilt es von nun an, die Faktoren menschlicher Lebenswelt wie Wohnen und Arbeiten mit zu berücksichtigen. Wie wirken sich regelmäßiges Speisen und Trinken am Ort oder die Produktion und Lagerung von Keramik und der Umgang mit der Bruchware auf die Untersuchung aus?

Es wurde bereits festgestellt, daß sich die 'Verteilungsdichte' der Keramik von der Phase 0 zur Phase 1 abrupt veränderte. Dies läßt sich zweifellos damit erklären, daß die 'gemessene' Keramikkonzentration in den ungestörten Schichten dieser Phasen auf die einsetzende Veränderung durch den Menschen, nämlich die neu entstandene Siedlung, reagiert hat. Die 'Verteilungsdichte' steigt um deutlich mehr als das Doppelte von 10 % auf 23,4 % an (Tab. 2). Die Phase 1 bietet zudem weitere relativchronologische Anhaltspunkte. Im Verlauf der Phase 1 wurden verschiedene Um- und Anbauten durchgeführt – in der Regel kleinere lokale Umgestaltungen, die auf die Bedürfnisse der hier lebenden Menschen ausgerichtet waren. Dazu zählen Erweiterungen von Räumen, Hausanbauten, neue Böden und weiteres mehr. Im Einzelnen wird dies von Senff erläutert werden. Wichtig für den hier zu behandelnden Zusammenhang sind die vorgefundenen Schichten und Befunde, die sich mit der Neuanlage eines Bodens oder einer Baugrube für eine nachträglich zugefügte Mauer in Verbindungen bringen lassen. Sie bieten eine Grundlage für eine feinere chronologische Untersuchung der Gattung innerhalb der Phase 1 und lassen die klassifizierten Funde nach der von Senff erarbeiteten Einteilung und Abfolge den Unterphasen 1a bis c zuordnen.

5.1.2.3.3 Das Bild der Knickrandskyphoi und –schalen aus der Phase 1

Die Hoffnung, die mit der weiteren Unterteilung der Phase 1 verknüpft worden war und die eine feinere Untergliederung zu den einzelnen Gruppen der Gattung versprach, hat sich nicht in vollem Umfang erfüllt. Nur wenige im Katalog aufgeführte Fragmente (21. 35. 128. 499) der untersuchten Gattung standen mit den Befunden der Unterphasen 1a–c in Zusammenhang. Des weiteren werden Funde aus dem Jahrgang 1989 für ein Gesamtbild der Gattung in Phase 1 sowie eine statistische Auswertung zur Verteilung der Typen in der Siedlungsphase herangezogen.

Die chronologisch früheste Schicht, die baulich dieser Phase zuzuordnen ist, stellt der Boden der Phase 1 dar. Da im Boden, der das Keramikbild zum Beginn einer Phase konserviert, immer bereits ältere Funde eingelagert sind, kann die enthaltene Keramik bereits aus der Phase 0 stammen. Im Anschluss werden die Keramikfunde aus der auf den Boden folgenden Benutzungsphase 1 betrachtet, also der Schicht, die zwischen dem Boden und der Aufschüttung zur nächsten Phase liegt. In dieser

sollten sich Beispiele befinden, die ausnahmslos der Nutzungsphase angehörten. Schließlich wird das Fundmaterial der Gattung aus der Aufschüttungsschicht zur Phase 2 untersucht, die in der Abfolge der in den baulichen Maßnahmen befindlichen Fundstücke die chronologisch letzte der Phase 1 darstellt.

5.1.2.3.3.1 Die Knickrandskyphoi und –schalen aus dem Boden der Phase 1

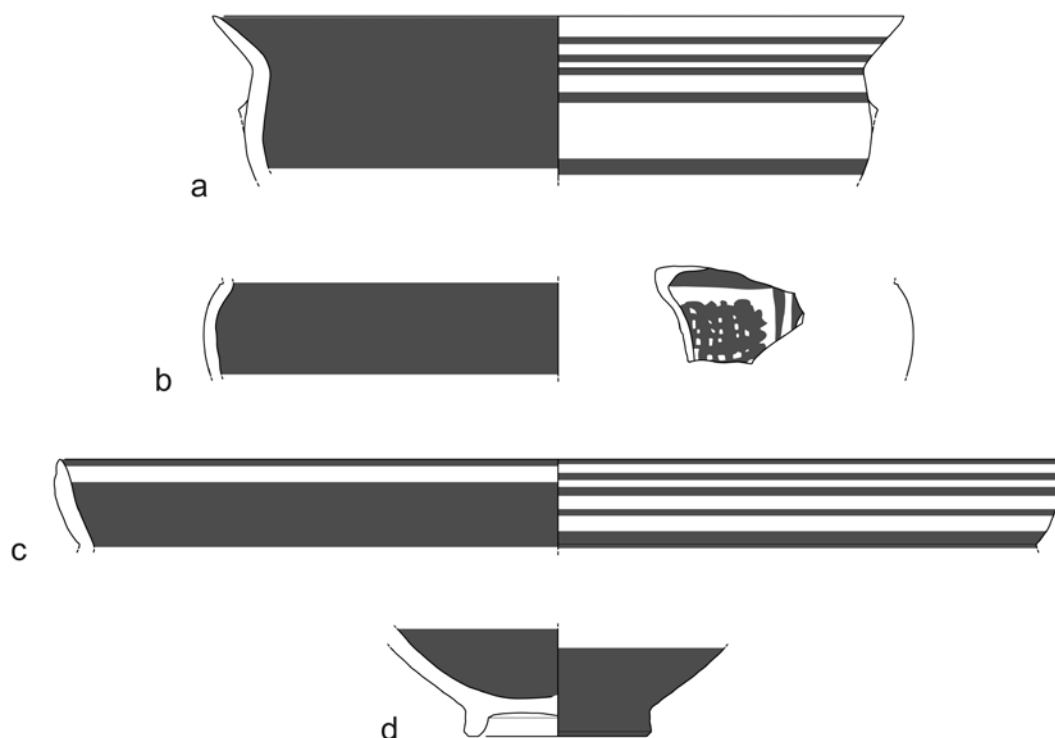


Abb. 32: Kalabaktepe-Süd, aus der Auffüllung für die Siedlungsphase 1 und ihrem Boden.
a) K 89.530.11 (= Kat.-Nr. 137); b) K 89.530.12; c) K 89.530.13; d) K 89.530.19

Im Jahr 1989 sind während der Grabungen am Kalabaktepe-Süd dreizehn signifikante Scherben⁷⁰² aus dem Boden der Phase 1 geborgen worden, die im Folgenden vorgestellt und besprochen werden. Sie werden ergänzt durch Beispiele aus späteren Grabungsjahrgängen, die im Katalog und im Tafelband aufgeführt sind. Die Fundlagen im Boden und teilweise auch in der Aufschüttung, die nicht immer vom Bodenhorizont getrennt werden konnte, haben zum Großteil Fragmente versiegelt, die bereits aus der Zeit vor der ersten Siedlungsphase (Phase 1) stammen. Doch können die Befunde auch in den Boden eingetretene oder aufliegende Scherben beinhalten. Damit bezeichnet die Fundlage einen *terminus ad quem* und *terminus ante quem* für die nun anzuführenden Beispiele. Im Einzelnen wird versucht, ihre jeweilige chronologische Stellung näher zu bestimmen.

Das typologisch älteste Fragment stellt eine Wandscherbe des Typus 2 dar (**Abb. 32,b**). Eine genauere Klassifizierung der Form ist nicht möglich, da der Rand bis auf seinen charakteristisch 'getreppten' Ansatz an der Schulter nicht erhalten ist. 'Stufen' am Übergang von der Schulter zum Rand kommen

⁷⁰² In diesem Kapitel, in dem ein Bild der Gattung in den Phasen dargestellt werden soll, wird der Begriff signifikant weiter gefaßt als im sonstigen Zusammenhang dieser Arbeit. Gemeint sind alle aussagefähigen Merkmale, die die Form oder den Dekor betreffen. D. h. hier sind auch Wandfragmente aufgenommen, wenn sie das Bild der in der Phase vorkommenden Schalen erweitern. Darüber hinaus sind auch Füße hier abgebildet, die ja nicht eindeutig der Form der KRS zugeordnet werden können. Ihnen müßte eine eigene typologische und chronologische Studie gewidmet werden.

auch – allerdings weniger ausgeprägt – bei der Variante 3,3 vor, und bei den späteren Typen 9 oder 10, die aber in Phase 1 noch nicht zu erwarten sind und auch keinen subgeometrischen Dekor mehr aufweisen. Aufgenommen und abgebildet ist das Wandfragment **Abb. 32,b**, da es das Metopensystem für die Phase 1 und den Typus 2 belegt. In die einzige erhaltene Metope ist eine gegitterte Raute als Motiv eingeschrieben. Einzelmotive in Metopen sind unter den KRSk der Typen 1–3 nicht unüblich (**16–17. 21. 30. 36. 39. 52–56. 62. 67. 71–72. 404–408. 411. 495. 498. 500**). Die Art der Raute hingegen ist selten unter den südionischen subgeometrischen Dekorschemata. Erstmals konnte dieses Motiv im Hinblick auf seine Zeitstellung in einem stratigraphischen Zusammenhang angetroffen werden.

Ebenfalls in dieser Fundlage fand sich der Typus 4. Zunächst sei auf ein Fragment der Variante 4,1 oder 4,2 (**Abb. 34,b**) verwiesen. Es ist den Fragmenten **66** und **67** des Typus 3,2 im Formaufbau nicht unähnlich, doch ist der Dekor von **Abb. 34,b** eindeutig ein Indiz für die Klassifizierung als Typus 4. Denn nur dieser Typus weist regelmäßig ein oder meistens zwei Bänder auf dem Rand auf, die besonders zum Beginn der Serie noch keine kanonische Anlage aufweisen. Das Fragment stammt aus einem Boden der Siedlungsphase 1 in Q 89.12, der eine ältere Bodengrube abdeckt. Somit ist es auch möglich, daß dieses Fragment aus dem hier nachgewiesenen älteren Nutzungszusammenhang stammt. Wie oben dargestellt, ist bereits das Beispiel **81** der Variante 4,3.B im Fundamentgraben einer Mauer in Q 90.15 für die Vorsiedlungsphase 0 erwiesen worden. Eine weitere Bestätigung des hier rekonstruierten Entwicklungsstandes für die Variante 4,3.B ist mit der fast vollständigen KRS **78**, die im Jahr 1990 im Bodenhorizont der gleichen Phase 1 gefunden wurde, gegeben. **78** fand sich in einem Haus im Grabungsabschnitt Q 90.12. Aufgrund seiner Vollständigkeit lag die KRS **78** vermutlich sogar eher auf dem Boden und ist somit zum Hausinventar zu zählen. Außerdem wäre sie demnach an das Ende der Phase 1, also zur Zerstörungszeit des Hauses, zu rechnen. Als technisch gereiftes Beispiel gehört KRS **78** innerhalb der Entwicklungsreihe des Typus ohnehin nicht an ihren Anfang.

Stilistisch haben die KRS des Typus 5 endgültig die archaische Stufe erreicht. Zwei Randfragmente dieses Typus fanden sich in der Auffüllung zur Phase 1 oder in ihrem Boden. Eines der Stücke stammte aus den Grabungen 1989 und ist in **Abb. 32,c** abgebildet. Es vertritt die Variante 5,1.B mit konvex geformtem Rand, die hier aus formtypologischen Gründen als früheste Variante identifiziert wurde. Eine ähnliche Rille an der Außenseite unter der Lippe weist auch ein Vergleichsstück aus dem Südschnitt (**96**) auf. Möglicherweise ist dies die Eigenheit eines Töpfers, der zum Abschluß des Töpfervorganges noch diese Rille einzieht. Das zweite Fragment (**Abb. 34,c**) aus Q 89.07 vertritt ebenfalls die Variante 5,1.B, wie sie vollständiger durch das samische Beispiel **87** und solche aus dem sog. Südschnitt (**92–93**) vertreten werden. Leider ist der obere Bereich des Randes bei **Abb. 34,c** nicht ganz erhalten geblieben, wodurch unklar bleibt, ob es sich um die Dekorationsvariante α , mit Wellenlinie im oberen Bereich (**87–89**), oder um die ausschließlich mit Bändern verzierte Variante (**90–95**) gehandelt hat. Dieser Befund macht nun auch die früheste bislang bekannte Gefäßmalerei auf einer Schale der gleichen Grundform (**415**) für den hier nachgewiesenen Zeitansatz wahrscheinlich.

Die dort vorgefundene subgeometrische Dekoration auf einer KRS der Variante 5,1.B hat in einem breiten Mittelfeld des Schulterfrieses eine Reihe geometrisierender Vögel eingeschrieben. Damit ist der Typus 5 ebenfalls schon vor der Phase 1 in Gebrauch gewesen.

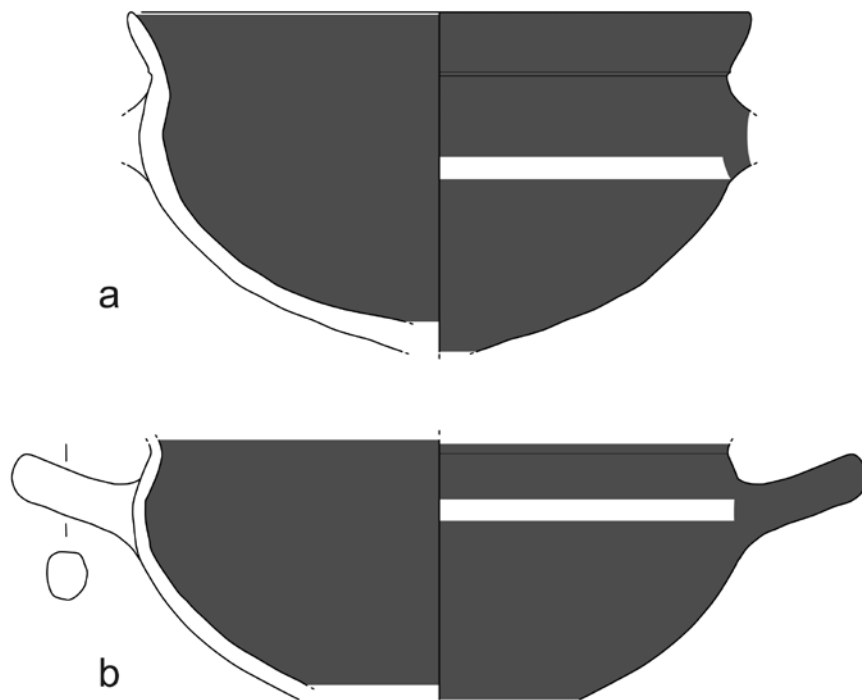


Abb. 33: Kalabaktepe-Süd, aus dem Boden der Siedlungsphase 1. K 89.530.14 (= Kat.-Nr. 123); K 89.530.15 (= Kat.-Nr. 124)

Ferner wurden im Boden der Phase 1 die beiden sehr ähnlichen Beispiele **Abb. 33,a–b** (= **123–124**) des Typus 6 aufgedeckt, die vielleicht sogar einem Produktionsgang entstammen. Daß es sich nicht um ein und dasselbe Gefäß handelt, beweisen die verschiedenen Wandungsstärken und die sich in unterschiedlichen Höhen befindenden Henkelbänder. Vor allem aber die Größe der beiden Fragmente, die ein Zusammensetzen nicht erlauben, zeigt, daß es sich um zwei, wenn auch nahezu identische Gefäße der Variante 6,3.B handelt. Aufgrund der Fundlage im Boden der Siedlungsphase 1 ist somit auch für den Typus 6 eine Existenz vor bzw. spätestens mit dem Beginn der Siedlungsphase 1 bezeugt. Zugleich zeigt sich, wie wenig verdrückt oder fragmentiert und in welcher Größe Gefäßfragmente in einer massiven Bodenschicht enthalten bleiben können. Die KRS **Abb. 33,a–b** (= **123–124**) sind vorerst die frühesten stratifizierten Beispiele der Variante 6,3.B. Es darf daher angenommen werden, daß das Erscheinungsbild des Typus 6 zu Beginn seiner Entwicklungsreihe durch ein tiefes und kugeliges Schalenbecken, einen gerundeten, etwas 'wulstigen' Rand und vor allem einen – indirekt zu erschließenden – hohen Fuß mit enger Einschnürung am Übergang zum Schalenbecken gekennzeichnet war.

Erstmals in der hier verfolgten stratigraphisch eingebundenen Abfolge läßt sich der Typus 7 (**Abb. 29,a** [= **137**]) nachweisen. Auch für diesen gilt die Fundlage im Boden der Phase 1 nun als *terminus ad* und *ante quem* bezüglich seiner Produktion und des Beginns seiner Entwicklung. Das

Beispiel zählt zur Variante 7.2.B und erinnert mit seinem langgezogenen, spitzen Rand stark an die subgeometrischen KRS des Typus 4, die ebenfalls bereits für die Phase 0 belegt sind.

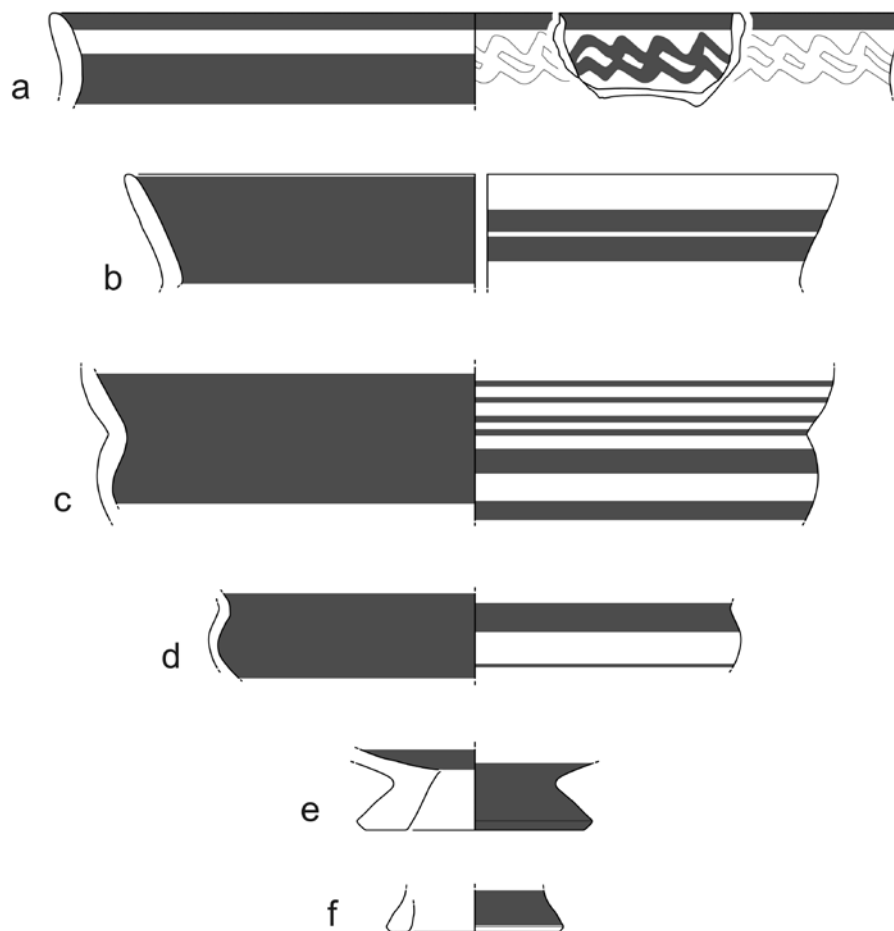


Abb. 34: Kalabaktepe-Süd, aus dem Boden der Siedlungsphase 1.
 a) K 89.463.1; b) K 89.484.10; c) K 89.278.2; d) K 89.474.36; e) K 89.457.12;
 f) K 89.474.10

Schwierig zu bestimmen ist das Fragment **Abb. 33,a** mit abgebogenem, leicht wulstigem und abgerundetem Rand. Da sich der Übergang zum Gefäßkörper nicht erhalten hat, muß offen bleiben, ob der Rand wie beim Typus 1 zur Gefäßschulter umgebogen oder doch eher wie beim Typus 13, Variante 13,2, stärker umgeknickt war. Die subgeometrische Dekoration mit einer doppelten Wellenlinie setzt den KRSk oder die KRS jedenfalls bereits in das 7. Jh. v. Chr.

Zuletzt sei noch auf die Schalenfüße eingegangen. Trotz des erhaltenen Ansatzes des Schalenbeckens ist die Gesamtform von **Abb. 31,d** unsicher. Sie könnte ebenso zu einem KRSk wie zu einer KRS oder einem Kalottenskyphos gehören. Dennoch wird er hier als möglicher Kandidat für eine Fußform der KRS angeführt. Bezeichnend für den relativ schmalen und außen abgekanteten Standing ist sein enger Durchmesser. Die steil nach oben strebenden Wände lassen auf ein tiefes Schalenbecken schließen, was sich mit den für die Phasen 0 und 1 festgestellten KRSk und KRS gut verträgt. Drei weitere Gefäßfüße **Abb. 34,e-f** und **78** aus derselben Phase geben einen Hinweis auf das mögliche Aussehen der KRS-Füße dieser Zeitstellung. Lediglich der Fuß der fast vollständig erhaltenen Schale **78** läßt

sich sicher mit einem Typus (Typus 4) verbinden. Es ist ein niedriger konischer Fuß, der sich zum Schalenbecken hin verjüngt. Außen ist er gerundet, auf der Innenseite knickt er scharfkantig zur Standfläche um. Die Fußfragmente **Abb. 34,e-f** ähneln dem Fuß der KRS **78**. Auch sie besitzen eine konische Form, und auch sie charakterisiert ein enger Radius. Doch sind sie im Gegensatz zu **78** auf der Außenseite zur Standfläche hin deutlich abgekanntet.

5.1.2.3.3.2 Die Knickrandskyphoi und –schalen aus dem Zusammenhang der Unterphase 1c

Jünger als der soeben besprochene erste angelegte Boden der Phase 1 ist in Folge mehrer Umbauten (1a–1c) die Unterphase 1c. Sie wurde angelegt, nachdem bereits längere Zeit auf dem Bodenniveau der Phase 1 gesiedelt worden war; die Maßnahme erfolgte aus unbekanntem Gründen. Offensichtlich waren Um- oder Anbauten notwendig geworden⁷⁰³. Die in diesem Zusammenhang angetroffene Keramik ist also relativchronologisch später in ihre Fundlage geraten, als die im Boden der Phase 1. In Bezug auf die Benutzungsphase 1 gehört sie sicher in dieselbe, aber sie setzt sich entschieden gegen den Anfang der Phase 1 ab. Für die Unterphase 1c scheint damit eine Einordnung in die zweite Hälfte, vielleicht in das letzte Drittel der Phase 1 wahrscheinlich. In 'absoluten Zahlen' läßt sich dies ungefähr mit dem Zeitraum 650–640 v. Chr. beziffern. Dabei ist jedoch zu bedenken, daß es sich um den Schutt der Phase 1c handelt, in den die Fragmente eher zum Ende hineingeraten sein werden. Es konnten vier Beispiele der Gattung mit der Phase 1c in Zusammenhang gebracht werden, die alle nicht dem Grabungsjahr 1989 angehören.

Von diesen stammt der kleine KRSk **21** der Variante 1,3.B und der Dekorvariante c aus dem 'reinen' Schutt der Unterphase 1c. Allerdings läßt sich nicht mehr feststellen, ob das Fragment aus der Nutzungszeit der Unterphase stammt oder bereits aus einem früheren Zusammenhang in das Baumaterial für die Phase 1 gelangte. In jedem Fall stellt **21** ein stilistisch fortgeschrittenes Beispiel mit subgeometrischem Dekor dar. Daher könnte der Kontext durchaus das Fortbestehen des Typus in der Früharchaik (bis gegen 650/640 v. Chr.) belegen.

Die gleiche Vorsicht hinsichtlich des Fundzusammenhangs gilt für den Skyphos **35** der Variante 2,2.B. Er ist dem Beispiel **34** sehr ähnlich, das im Zusammenhang mit den temporären Installationen der Phase 0 steht und oben bereits besprochen wurde. Damit ist dieselbe Variante in einem ca. 30 Jahre älteren Kontext angetroffen worden. Vermutlich handelt es sich in diesem Fall um ein umgelagertes Fragment aus einem älteren Zusammenhang.

Darüber hinaus befand sich das Wandfragment **499** ebenfalls in einem 'reinen' Schuttbefund der Unterphase 1c. Es wurde 1992 gefunden und ist Teil einer der frühesten bekannten Tierfriesstil-Schalen der Stilstufe SiA I und gehört in dessen Phase b⁷⁰⁴. Zudem stammt das Fragment entweder

⁷⁰³ Die Bedeutung der Phase 1c wird von R. Senff (Bochum/Athen) vorgestellt werden.

⁷⁰⁴ Zur Klassifizierung und bes. zur Stilphase SiA Ib s. jetzt auch Kerschner – Schlotzhauer 2005, 17 ff.; Kerschner – Schlotzhauer 2007, 303 ff.

von einem KRsk des Typus 2 oder 3. Der schraffierte Mäander ist kombiniert mit einem Schlaufenband, einer Zone mit Schachbrettmuster sowie einem Quadratfeld und ist stilistisch in die Nähe der Kanne aus der Villa Giulia⁷⁰⁵ sowie eines Kannenhalses⁷⁰⁶ und eines Kraters⁷⁰⁷, beide aus Samos, zu setzen. Abgesehen von der Bedeutung des Fragments, das die Schale als Träger hochrangiger Bemalung dieser Stilstufe belegt, ist auch ihre frühe Fundlage hervorzuheben. Die Stufe SiA Ib entspricht in etwa dem MWG I im Klassifizierungssystem R. M. Cooks, der für diese Stilstufe 640 v. Chr. als obersten Zeitansatz vorgeschlagen hatte⁷⁰⁸. Doch fehlten ihm sichere Fundkontexte, die seinen zeitlichen Ansatz hätten stützen können. Bereits 1999 hat S. Käufler, von stilistischen Überlegungen ausgehend, einen früheren Zeitansatz postuliert, nachdem er unter den vielen Funden dieser Stilstufe in Milet solche erkannte, die stilistisch den frühesten bis dahin bekannten vorangingen⁷⁰⁹. Das Schalenfragment **499** sichert nun mit seiner Fundlage im Boden der Umbauphase 1c am Kalabaktepe den von Käufler stilistisch begründeten Datierungsvorschlag durch stratigraphische Beobachtungen. Was läßt sich darüber hinaus mit dem Fund verbinden? Erstmals ist im vorliegenden Zusammenhang ein Beispiel der Gattung mit fein dekorierte Gefäßmalerei im Siedlungszusammenhang am Kalabaktepe nachgewiesen. Ein Funktionszusammenhang läßt die Fundlage des Fragments allerdings nicht mehr erschließen. Während der Phase 1 wurde am Ort bereits Töpferhandwerk betrieben. Daher muß es offen bleiben, ob die bemalte Schale zum Bild des Haushaltsinventars in der 'Südstadt' zu zählen hat oder ein Abfallprodukt der Produktion darstellt.

Das letzte Beispiel stammt dagegen aus einem nicht 'reinen' Zusammenhang. Der Schutt der Unterphase 1c konnte hier nicht eindeutig von der Aufschüttung des Lehmfundaments der Stadtmauer, die den Beginn der Phase 2 beschreibt, getrennt werden. Daher könnte die KR **128** des Typus 6, Variante 6,3.B, durchaus auch aus einem älteren Zusammenhang umgelagert worden sein. Doch handelt es sich um eines der stilistisch jüngsten Beispiele der Gattung und darüber hinaus bereits um die einzige Schale aus dem Schutt der Unterphase 1c.

5.1.2.3.3 Die Knickrandskyphoi und –schalen aus der Aufschüttung zur Phase 2

Die erste bauliche Maßnahme der Phase 2 läßt sich archäologisch mit einer mächtigen Aufschüttung und Einebnung des Geländes fassen. Hinzu tritt eine einschneidende Veränderung in der Siedlungsstruktur der 'Südstadt': die massive Baumaßnahme der Stadtmauer. Die Baugrube der Stadtmauer, wie auch die Aufschüttungen für eine Terrassierung des Geländes hinter dieser, bedeuten für die darin enthaltene Keramik, daß sie noch zur Siedlungsphase 1 oder früher zu zählen ist. Diese Interpretation geht von der Überlegung aus, daß der Inhalt in die Aufschüttungen und Aushebungen gelangte, bevor die Gebäude der Phase 2 errichtet wurden. Denn erst mit den fertigen Gebäuden

⁷⁰⁵ E. Walter-Karydi, Zur archaischen Keramik Ostioniens, in: KollFrankfurt, Taf. 4

⁷⁰⁶ Samos 5, Taf. 108 f., 563.

⁷⁰⁷ Samos 5, Taf. 99, 520.

⁷⁰⁸ Zuletzt Cook 1998, 36 ff.

⁷⁰⁹ S. Käufler, Funde aus Milet 2. Die Frühstufe des Middle Wild Goat I-Stils, AA 1999, 203 ff. bes. 210 f.

beginnt die Siedlungsphase 2. Falls die Bewohner und Töpfer zeitgleich zu den Arbeiten an der Stadtmauer, dem damit verbundenen Teilabriß ihrer Häuser und dem Neubau der umorientierten Wohn- und Arbeitsgebäude weiterhin hier arbeiteten und vielleicht in temporär errichteten Unterkünften wohnten, könnten die Aufschüttungsschichten auch einen *terminus ad quem* bieten. Der Verfasser geht hiervon aber nicht aus und behandelt die Aufschüttung als *terminus ante quem*. Natürlich haben gerade bei so tiefgreifenden Veränderungen und der Errichtung so massiver

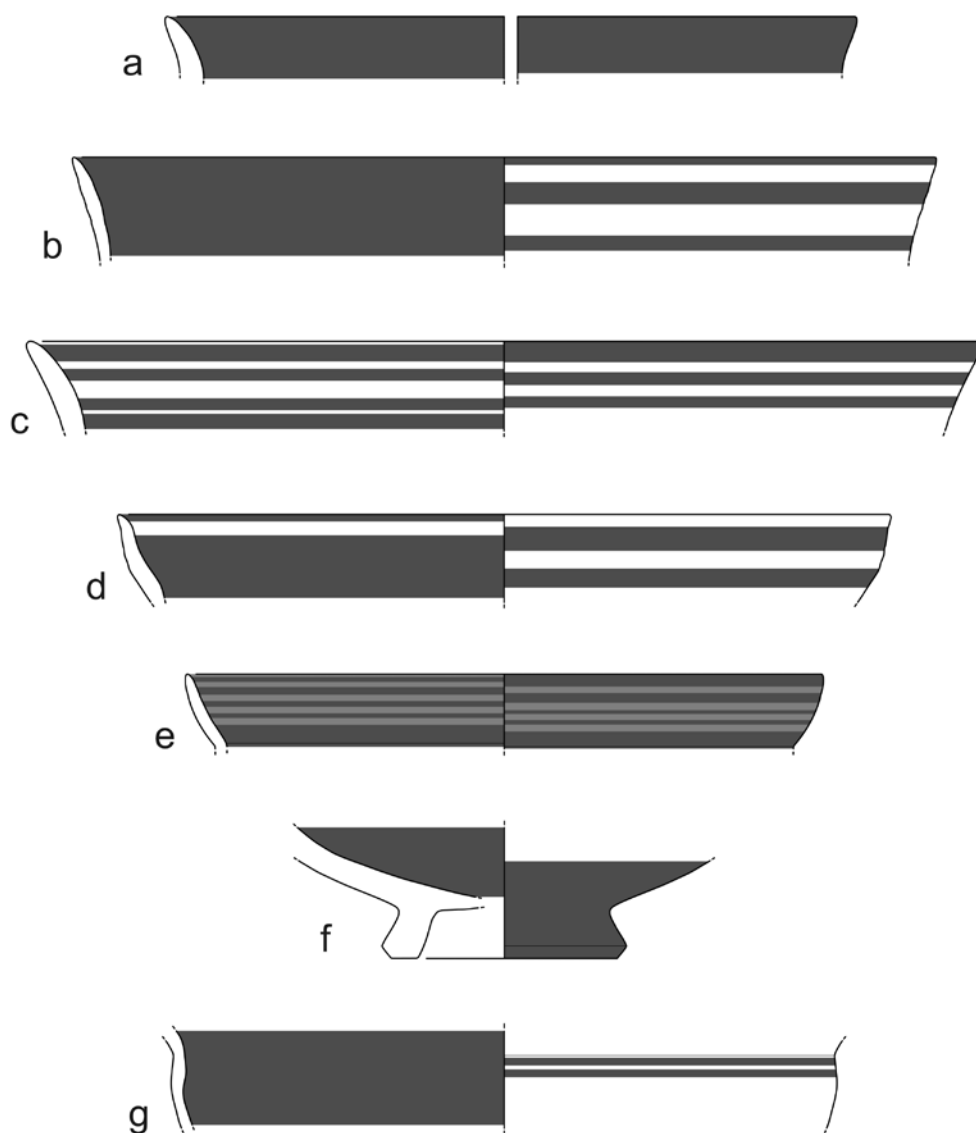


Abb. 35: Kalabaktepe-Süd, aus der Aufschüttung zur Siedlungsphase 2, mit älterem Material vermengt.
 a) K 89.268.9; b) K 89.429.11; c) K 89.150.9; d) K 89.268.8; e) K 89.281.10
 (= Kat.-Nr. 159); f) K 89.275.3; g) K 89.561.2

Bauwerke wie einer 6 m dicken Stadtmauer größere Erdbewegungen stattgefunden. Sicher gelangte auch Material aus tieferen Schichten in diese Auffüllungen, wodurch mit enthaltener älterer Keramik zu rechnen ist. Diese dürfte aber nicht zahlreich sein. Diese Überlegung fußt aus der Tatsache, daß der Ort erst mit der zu Ende gehenden Phase 1 für eine Besiedlung erschlossen worden war. Zudem haben

die bisherigen Untersuchungen gezeigt, daß die Phase 0 direkt auf dem gewachsenen Boden wenig Keramikfunde hinterlassen hatte.

Das früheste Beispiel der Gattung aus der Auffüllungsschicht ist der importierte attisch mittelgeometrische KRSk **28** aus der Grabung von 1990. Die ursprüngliche Zugehörigkeit des attischen Fragments **28** zur Phase 0 ist oben bereits dargelegt worden. Vermutlich gehört auch **Abb. 35,a** dem Typus 1 an, sicher aber der Siedlungsphase 1.

Auch sicher älter als ihre Fundlage sind die beiden während der Grabungen 1992 gefundenen KRSk **33** und **35** des Typus 2. Sie gehören wie die bereits oben in früheren Zusammenhängen angetroffenen Beispiele dieses Typus ebenfalls der Variante 2,2.B und der spätgeometrischen Dekorvariante b an.

Der Typus 3 ist mit dem Randfragment **412** aus dem Schutt der Phase 1 hier anzuführen. Stilistisch läßt sich sein Dekor mit offenem Flechtband als SiA Ia klassifizieren. Auch dieses Fragment ist möglicherweise schon älter als die Phase 1.

Das Randfragment **Abb. 35,b** ist vermutlich dem Typus 4 anzuschließen. Allerdings läßt sich dies nicht mehr sicher bestimmen, auch wenn die wenigen Bänder auf dem Rand eine solche Klassifizierung nahelegen. Dagegen wird wohl **Abb. 35,d** der Variante 4,3.B angehören, wobei aufgrund der Fragmentgröße letzte Zweifel nicht ausgeräumt werden können. Mit dem Fragment **86** aus Q 91.08 der Grabung 1992 ist aber die Variante 4,3.B mit einem allerdings ausgesprochen hochgezogenen, dünnwandigen Rand in der Aufschüttung der Stadtmauer, die den Beginn der Phase 2 markiert, gesichert. Damit entstammt sie einem Kontext, der einen *terminus ante quem* für die Variante bestimmt und nach herkömmlicher chronologischer Konvention wohl vor 640 v. Chr. liegt.

Das Randfragment **Abb. 35,c** ist ebenfalls nicht sicher als KRSk oder KRS zu rekonstruieren. Möglicherweise handelt es sich auch um den Rand einer Tasse.

Die Fragmente **Abb. 35,g** und **Abb. 36,a (= 140)** vertreten wohl beide den Typus 7. Während die KRS **Abb. 36,a (= 140)** die Variante 7,3.B mit der Dekorvariante f darstellt, wird das Fragment **Abb. 35,g** wohl **146** geglichen haben und ist damit der Variante 7,4.B anzuschließen. Eine weitere KRS der Variante 7,3.B (**143**), die sich 1990 in Q 90.01 in einer Grube im natürlichen Lehm Boden fand, ist spätestens der Phase 1 zuzuordnen, da sie unter der Mauer K 90.611 verlief und unter dem Boden der Phase 2 angetroffen wurde. Das Becken dieser Schale ist flacher als das der meisten anderen der Variante.

Entgegen den bisher besprochenen Typen fanden sich die folgenden KRS des Typus 8 überraschend bereits in diesem frühen Kontext. Die bestehenden Chronologien für den Typus ließen ihn erst gegen 630 v. Chr. erwarten. Ein Fragment (**162**) der Variante 8,2.B mit einfachem monochromen Dekor der Variante a fand sich in einer verfüllten Erdgrube unter dem Boden der Phase 2 und stammt demnach

spätestens aus der Zerstörungsschicht der Phase 1. In den archäometrischen Untersuchungen gehört er ebenso wie die übrigen Beispiele des gleichen Typus zur Herkunftsgruppe Ulo 4 (Mommsen). Für

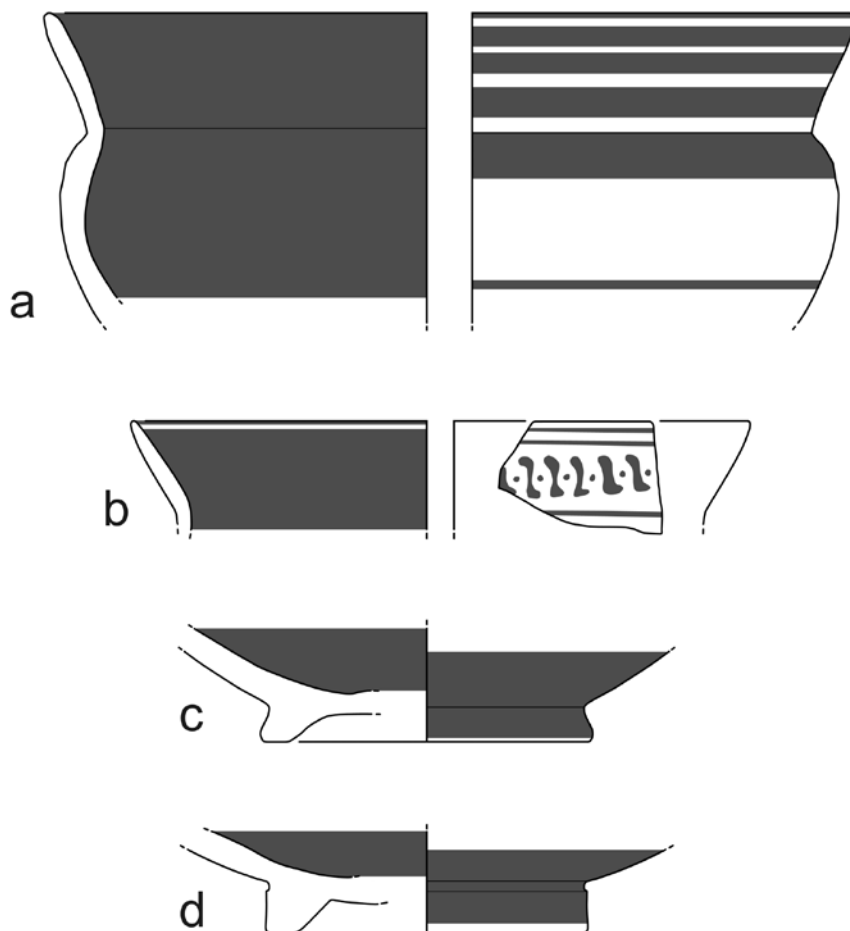


Abb. 36: Kalabaktepe-Süd, aus der Aufschüttung zur Siedlungsphase 2, mit älterem Material vermengt.
 a) K 89.261.13+275.5 (= Kat.-Nr. 140); b) K 89.261.3 (= Kat.-Nr. 419); c) K 89.273.3;
 d) K 89.273.4

diese ist die Herkunft noch nicht sicher erschlossen, es könnte sich ebensogut um ein lokales Produkt, als auch um einen Import etwa aus Samos handeln. Ebenfalls in der Anschüttung zur Phase 2 fand sich das Fragment der KRS **152**, das allerdings der Variante 8,1.B angehört und der Dekorvariante $\alpha\gamma$ mit weißen und darauf aufgesetztem roten Streifen. Das Randfragment **Abb. 35,e** (= **159**) gehört ebenfalls noch der Variante 8,1.B an. Typologisch stellen **152** und **Abb. 35,e** (= **159**) die ältere Form dar. Das Randfragment **Abb. 36,b** (= **419**) ist dagegen typologisch wieder der Variante 8,2.B anzuschließen und vertritt wohl noch die Stufe MileA Ia. Problematisch für die Bestimmung ist, daß das offene Schlaufenband auf dem Rand eine längere Laufzeit aufweist und auch auf typologisch jüngeren Stücken noch vorkommen kann. Aber auch die Fundlage in der Aufschüttung zur Siedlungsphase 2 bezeugt die KRS **Abb. 36,b** (= **419**) und die Stilphase MileA Ia nun spätestens für die Phase 1. Eine weitergehende Diskussion erfolgt weiter unten zum Boden der Siedlungsphase 2, da der Befund K 89.261 in Q 89.07 auch noch diesen umfaßte.

Auch hier fanden sich wieder einige Schalenfüße (**Abb. 35,f** und **Abb. 36,c–d**). Sie vertreten typologisch die schon in den übrigen Kontexten der Phase 1 angetroffenen Formen. Ihre konische Gestalt und ihr geringer Durchmesser sowie das steil ansteigende Schalenbecken sind für sie unverändert charakteristisch. Die kantigen Formen der Füße scheinen allerdings an diesen Beispielen ausgeprägter als bei den bisher erörterten Beispielen.

5.1.2.3.3.4 Die Verteilung der Knickrandskyphoi und –schalen in Phase 1 insgesamt

In der abschließenden Statistik sind aus den Grabungsjahren zwischen 1988 und 1995 insgesamt 132 Fragmente oder Gefäße der Gattung aus den Fundzusammenhängen der Siedlungsphase 1 berücksichtigt worden. Ihre statistische Verteilung (Abb. 37) ergänzt die chronologische Auswertung und veranschaulicht das rekonstruierte Bild der Gattung während der ersten Siedlungsphase am Kalabaktepe-Süd. Zunächst fällt das gestiegene Typenspektrum gegenüber der Verteilung in Phase 0 auf. Das Spektrum steigert sich von vier in Phase 0 auf nunmehr acht Typen in Phase 1. Dies kann bereits als Kennzeichen für die Siedlungsphase 1 festgehalten werden.

Die Verteilung der Typen in Abb. 37 zeigt weiterhin: Obgleich in der vorausgegangenen Diskussion zu den Funden in Phase 1 gegenüber der Phase 0 immer neue, wohl jüngere Typen der Gattung festgestellt werden konnten, spiegelt die Statistik überraschenderweise ein insgesamt geometrisch geprägtes Bild der hier besprochenen Gattung für die Phase 1. Dies scheint für den früharchaischen Zeitraum der Phase 1 überraschend, der zwischen ca. 670 und 640 v. Chr. datiert werden muß. Allein 49 % der Gattung werden von den rein geometrischen KRSk der Typen 1 und 2 sowie den subgeometrischen Schalen des Typus 3 bestimmt. Zudem sind die beiden am stärksten vertretenen Typen innerhalb der Phase 1 die KRSk der Typen 1 mit 20 % und 3 mit 23 % der Gesamtmenge. Zusammen mit den KRS des Typus 4, die einen subgeometrischen Dekor aufweisen, weist der überwiegende Anteil von 66 % der Gattung somit ein geometrisches bzw. subgeometrisches Gepräge auf. Es liegt also die Vermutung nahe, daß subgeometrische Nachzügler der Typen 1 bis 3 während der Siedlungsphase 1 in Milet noch produziert und genutzt wurden. Dies scheint angesichts einer Zeitstellung von ca. 670 bis 640 v. Chr. zunächst nicht sehr überzeugend. Und tatsächlich legen einzelne Beispiele wie die mittelgeometrischen Stücke aus Euböa (**25**) oder aus Attika (**28**) den einzig möglichen Schluß nahe, daß sie aus älteren Kontexten in den Hofboden der Phase 3 bzw. in die Aufschüttung zur Phase 2 gelangten. Dennoch ist der Typus 1 mit 20 % überdurchschnittlich häufig unter den Funden der Phase 1 vertreten. Ähnliches gilt für die Typen 2 und 3. Der überwiegende Teil dieser geometrisch geformten und dekorierten Gefäße muß daher während der Siedlungsphase 1 noch in Benutzung gewesen sein. Dies scheint dadurch gesichert, daß vor der Siedlungsphase 1 hier noch keine kontinuierliche Siedlung existierte. Daher ist zumindest für den Beginn der Siedlungsphase 1 eine spätgeometrische, eher aber eine subgeometrische Entwicklungsstufe vorherrschend.

Gleichzeitig verraten nicht nur Fragmente bemalter KRS mit südionischem Dekor der Stilphasen SiA Ia–b bereits die früharchaische Stufe. Auch ein Drittel der Gattung in der Siedlungsphase 1

besitzen rein archaische Formen und Verzierungen. Deshalb wird der damit einhergehende Paradigmenwechsel in der Gestaltung von geometrischen Formen zu archaischen, der bereits, wie einige Funde zeigen, in der Phase 0 begann, während der Phase 1 fortgedauert haben. Damit zeigt sich, daß ein solcher Prozeß nicht schlagartig, sondern eher schleichend vonstatten ging. Welcher Zeitraum hierfür angenommen werden muß, konnte durch die vorliegende Arbeit nicht sicher festgelegt werden. Doch scheint dieser Prozeß mindestens eine Generation, vielleicht sogar noch etwas länger gedauert zu haben.

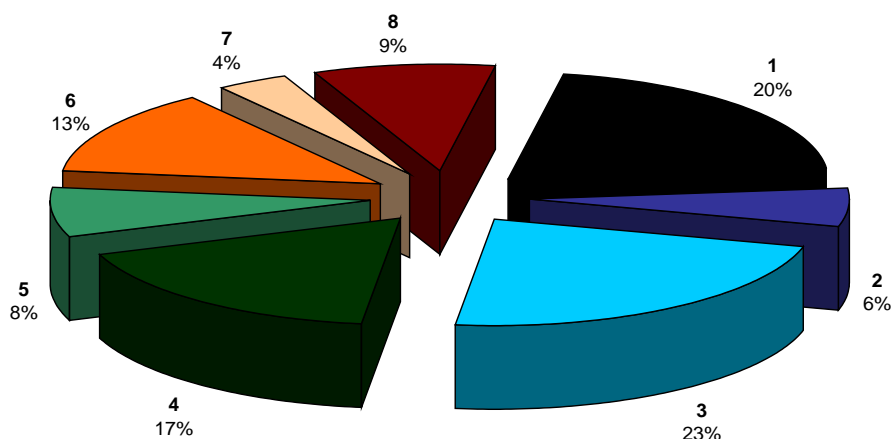


Abb. 37: Kalabaktepe-Süd, Verteilung der KRSk und KRS in der Siedlungsphase 1

Aufgrund der Verteilung zwischen den geometrischen und archaischen Formen in Phase 1 muß einerseits von einer längeren Überlappung der Typenproduktion und -nutzung ausgegangen werden, andererseits aber auch davon, daß der Wechsel wohl frühestens im letzten Drittel der Phase 1 vollzogen wurde. Vereinzelt ist mit dem Überdauern von älteren Typen bis in die folgende Phase 2 zu rechnen. Das legt bereits die retardierende Tendenz des Typus 4 nahe.

5.1.2.3.4 Zusammenfassung Phase 1

Mit dem Beginn der planvollen Siedlung am Südhang stieg erwartungsgemäß nicht nur die Anzahl der Funde, sondern auch das Typenspektrum sprunghaft an. Ein erstes Ergebnis bietet bereits die spezifische Zusammensetzung der Typenverteilung. Doch erst nach weiteren Untersuchungen an anderen Stellen der Stadt – sei es in anderen Wohn- oder Handwerkerbereichen, sei es im Heiligtum – kann daraus ein Nutzen gezogen werden. Denn erst dann wird sich herausstellen, inwieweit die Verteilung für das hier vorgefundene Stadtviertel bestimmend ist, oder in welchem Maße sich das Spektrum der Gattung an anderer Stelle abweichend verhält. Die Zugehörigkeit der 1990 geborgenen und fast vollständig rekonstruierbaren KRS 78 des Typus 4 zum Fundzusammenhang im Boden der

Phase 1 bestätigt erneut, daß er zu Beginn und bereits vor der Phase 1 zum milesischen Keramikbild zählte. Im Zusammenhang mit der Phase 0 wurde bereits durch die Fundlage der KRS **81** festgestellt, daß die Produktion und Entwicklung des Typus 4 und auch der Variante 4,3.B vor der Phase 1 einsetzte. Damit konnte zwar keinesfalls die Abfolge der frühesten Entwicklungsstufen des Typus geklärt werden, doch gewinnt hiermit allgemein das Keramikbild der Vorsiedlungsphase 0 und der Siedlungsphase 1 deutlicher an Kontur.

Im Vergleich des Gesamtbildes der KRSk und KRS der Phasen 0 und 1 scheint sich eine Trennung zwischen den Typen 1–5 auf der einen Seite und den Typen 6–8 auf der anderen Seite mit dem Wechsel anzudeuten. Allerdings gilt es hier zu beachten, daß die Phase 0 keine Siedlungsphase darstellte. Mithin sind in dieser Vorsiedlungsphase vermutlich nicht alle Typen in dem Maße vertreten, wie sie es in einer Siedlung der Zeit gewesen wären. Trotz dieser Einschränkung kann festgehalten werden, daß die Typen 6–8 spätestens in Phase 1 produziert und genutzt wurden. Anhand des Verteilungsschemas (Abb. 37) und in Kombination mit den Untersuchungen der Typen im Bezug auf ihre stratigraphische Einbindung (vgl. S. 247 ff.) ergeben sich weitere Differenzierungsmöglichkeiten. So scheint der Typus 7 erstmals zum Ende der Siedlungsphase 1 verifizierbar.

Überraschend ist der Nachweis des frühen Auftretens des Typus 8 in Fundzusammenhängen der Phase 1. Ihre formtypologische Ähnlichkeit mit Beispielen der Typen 5 und 6 konnten dies bereits vermuten lassen, doch wurden sie bislang stets in das letzte Drittel des 7. Jhs. v. Chr. datiert⁷¹⁰. Daher war der Typus nicht vor der Siedlungsphase 2 zu erwarten gewesen.

Mit dem Schalenfragment **499** aus dem Boden der Umbauphase 1c läßt sich erstmals die darauf befindliche Gefäßmalerei der Stilphase SiA Ib in einen frühen stratigraphischen Zusammenhang bringen. Seine Fundlage bestätigt die bereits anhand einiger Neufunde in Milet erkannte und aufgrund stilistischer Erwägungen vorgeschlagene frühere Datierung der Stilstufe. Zur Funktion im Nutzungszusammenhang der Siedlung und zum Charakter des Geschirrinventars mit fein dekoriertes südionischer Gefäßmalerei konnten das Stück und seine Fundlage keine neuen Erkenntnisse liefern.

5.1.2.4 Die Siedlungsphase 2

Die einschneidendste Maßnahme in der Siedlungsentwicklung am Südhang des Kalabaktepe vor der Zerstörung von 494 v. Chr. stellten sicherlich der Bau der Stadtmauer und die daraus resultierenden Veränderungen für die Siedlung dar. Sie sind oben im Zusammenhang mit der Aufschüttungsschicht für die Siedlungsphase 2 bereits angesprochen worden. Die Datierung dieser Baumaßnahme kann insbesondere aufgrund vergesellschafteter korinthischer Importkeramik näher bestimmt werden.

⁷¹⁰ s. S. 103 ff. im Kapitel 4.2.1.5 'Der Typus 8 und seine Varianten'.

5.1.2.4.1 *Datierung der Phase 2*

Der Stadtmauerbau zu Beginn der Siedlungsphase 2 stellt neben ihrer plötzlichen Aufgabe am Ende der Phase 6⁷¹¹ – gleichzusetzen vermutlich mit dem Persereinfall 494 v. Chr. – die größte Zäsur in der kurzen Siedlungsgeschichte der 'Südstadt' dar. Es gilt als *communis opinio*, daß der Bau einer Stadtmauer vor allem durch seine Schutzfunktion und seinen repräsentativen Charakter begründet ist.⁷¹² Was zuletzt stark in Zweifel gezogen wurde⁷¹³. Daher wurde lange Zeit versucht, die Ursache und damit auch den Zeitpunkt für diese kommunale Anstrengung⁷¹⁴ in einem die Stadt Milet bedrohenden historischen Ereignis zu finden. Doch werden Ursache und Zeitpunkt inzwischen zunehmend in der inneren Entwicklung gesucht. Die intensive Auseinandersetzung des Historikers J. Cobet mit der Ereignisgeschichte Milets, brachte ihn, indem er die schriftlichen Überlieferungen und archäologischen Quellen zusammentrug und auswertete, zu der Erkenntnis, daß mehrere Anlässe äußerer und innerer Bedrohungen Gründe für den Stadtmauerbau lieferten⁷¹⁵. Sicher ist nur, daß um 600 v. Chr. bereits eine Stadtmauer existiert haben muß. Demnach sah sich Milet über einen langen Zeitraum stets äußeren Bedrohungen gegenüber – seien es die sog. Kimmerier, die Lyder oder benachbarte *poleis* wie Samos und andere. Entscheidend für das gewaltige Bauunternehmen war aber vielmehr, daß zunächst eine entsprechend innere Struktur der Polisgemeinschaft geformt und auch die finanziellen Möglichkeiten für eine solche Anstrengung geschaffen worden waren⁷¹⁶. Doch schweigen die historischen Schriftquellen weitgehend darüber und lassen nur indirekt einen Zeitraum benennen, zu dem die finanzielle und administrative Möglichkeit frühestens gegeben war. Damit bleibt also festzuhalten, daß ein absolutchronologisches Datum für den Stadtmauerbau vorläufig nicht zu gewinnen ist. Daher urteilt auch der Historiker Cobet auf der Grundlage archäologischer Befunde, die die Errichtung der Stadtmauer für das dritte Viertel des 7. Jhs. v. Chr. nahelegen⁷¹⁷.

Einen engeren chronologischen Rahmen für die Errichtung der Stadtmauer scheint die mitgeführte Importkeramik liefern zu können. In der Auffüllungsschicht, die im Zuge des Stadtmauerbaus angelegt

⁷¹¹ s. zur sog. Zerstörung durch die Perser am Kalabaktepe vorläufig Senff 2007, 322.

⁷¹² s. zur Diskussion siehe F. Lang, *Archaische Siedlungen in Griechenland. Struktur und Entwicklung* (1996), speziell s. 42 ff. bes. 46 zur archaischen Stadtmauer von Milet; s. auch J. Cobet, AA 1997, 249 ff., der sowohl in der Ereignisgeschichte Milets nach einem festzulegenden Zeitpunkt für den archaischen Bau einer Fortifikation sucht (255 ff.), als auch die archäologischen Fakten der alten (274 ff.) und der neuen Grabungen von 1985 bis 1995 (279 ff.) zusammenfaßt. Zur Begründung der Funktion von Stadtmauern als reine Schutzmaßnahmen vgl. F. Lang, *Archaische Siedlungen in Griechenland. Struktur und Entwicklung* (1996), 42 ff. bes. 46.

⁷¹³ s. etwa R. Frederiksen, *Greek City Walls of the Archaic Period, 900 - 480 BC* (2011) 118 ff.

⁷¹⁴ Der Stadtmauerbau als kollektive Aufgabe der Bürger wird etwa durch einen Beschluß in Kolophon unterstrichen, vgl. J. Cobet, AA 1997, 252 mit Anm. 33.

⁷¹⁵ J. Cobet, AA 1997, 255 ff. bes. 263 u. 279 (Fazit).

⁷¹⁶ Vgl. J. Cobet, AA 1997, 46 ff. bes. 48.

⁷¹⁷ I. Blum, *Die Stadtmauern von Alt-Milet*, AA 1997, 53 ff. bes. 53 hält für die Errichtung der archaischen Landmauern das letzte Viertel des 7. Jhs. v. Chr. für den spätesten Zeitraum.

wurde, fand sich ein spätprotokorinthisches Gefäß⁷¹⁸. Da das Gefäß vollständig erhalten war, kann eine Verlagerung aus einem früheren Zusammenhang ausgeschlossen werden. In einem solchen Fall wäre es wie unzählige andere Beispiele am Ort bereits außer Gebrauch gewesen und im Zuge der planierenden Baumaßnahmen zerschlagen worden. Nur in wenigen glücklichen Deponierungssituationen haben sich vollständige Gefäße am Kalabaktepe-Süd erhalten. Doch anders verhält es sich bei einer Aufschüttung, wie im vorliegenden Fall, und Importgefäße sind in der Frühzeit der Siedlung zudem äußerst selten. Möglicherweise wurde es deshalb eher intentionell in die Auffüllung gelegt. Damit wäre die Stadtmauer zum Ende der protokorinthischen vielleicht noch vor der Zeit des korinthischen Übergangstils errichtet worden, d. h. nach konventioneller Datierung der korinthischen Keramik um 650/640 v. Chr.⁷¹⁹.

Die weiteren relativchronologischen Anhaltspunkte finden sich in der Abfolge, welche die Siedlungsaktivitäten mit den in ihnen vergesellschafteten Funde bieten. In diesem Zusammenhang ist zunächst der Boden der Phase 2 mit den Fundstücken zu nennen, die während seiner Errichtung in ihn gelangten. Damit bietet der Boden einen *terminus ante* und *ad quem* für die in ihm befindlichen Funde. Darauf folgt chronologisch der Nutzungshorizont, dessen Funde sich damit relativ gesehen in einer jüngeren Fundlage gegenüber dem Boden und der Phase 1 befinden. Innerhalb der Benutzungsphase 2 konnte noch eine Unterphase 2a festgestellt werden. Die Funde dieser Unterphase umfassen einen kürzeren und innerhalb der Benutzungsphase 2 einen späten Zeitraum. Die Auffüllungsschicht für die Siedlungsphase 3 markiert die jüngste Fundlage der Siedlungsphase 2.

Auch das Ende der Phase 2 kann über die korinthische Importkeramik, die sich in Phase 2 und in der Aufschüttung zur Siedlungsphase 3 nachweisen ließ, datiert werden (s. S. 180). Mit dem dort ermittelten Zeitpunkt um 620/610 v. Chr. für das Ende der Phase 2 und den Beginn der Phase 3 ist ein Zeitraum von ca. 30 Jahren zwischen 640 bis 610 v. Chr. für die Siedlungsphase 2 fassbar, der sich vor allem auf die konventionelle korinthische Keramikchronologie stützt⁷²⁰. Mit diesen etwa 30 Jahren ließ sich somit für die Siedlungsphase 2 das gleiche Zeitfenster feststellen, wie es auch für das Generationenschema der relativen Bauabfolgen angenommen wurde. Dennoch bleibt es ein Schema, und die relativen, wie die absoluten Daten sind lediglich Annäherungen an die Realität.

⁷¹⁸ Die korinthische Keramik wird von C.W. Neef (Amsterdam) bearbeitet und publiziert. Die Informationen zur Fundlage und damit zur Bedeutung der Zeitstellung im Kontext der Stadtmauererrichtung wird R. Senff (Bochum/Athen) verdankt, s. vorläufig auch Senff 2007, 323.

⁷¹⁹ Zur konventionellen und zu alternativen Datierungen der korinthischen Keramikstile s. auch Schotzhauer 2012, 29 ff. mit Anm. 49 und 57. Senff 2007, 323 datiert die Errichtung der Stadtmauer aufgrund der von Neef datierten korinthischen Keramik aus der Anschüttung für die Stadtmauer in das dritte Viertel des 7. Jhs. v. Chr. Zugleich scheint ihm diese Datierung eine plausible Erklärung zu liefern, den Stadtmauerbau im Kontext des Beginns der von Herodot überlieferten Angriffe der Lyder gegen Milet zu verstehen.

⁷²⁰ s. vorherige Anm.

5.1.2.4.2 Die Rückschlüsse für das Gebiet am Kalabaktepe-Süd in der Phase 2

Zuletzt sei noch auf einen bestimmenden Faktor, der die Siedlungsphase 2 von der Phase 1 unterscheidet, eingegangen. Wie in Tab. 2 gezeigt, sind die Anteile der ungestörten Befunde dieser Phase aufgrund der nacharchaischen Steinausraubungen wesentlich geringer als die der Phase 1. Dennoch konnte mit Hilfe der 'Verteilungsdichte' der Keramik geklärt werden, daß die Gesamtanzahl der in ungestörten Schichten befindlichen KRSk und KRS in Phase 2 größer ist – nämlich 149 gegenüber 132. Demnach ist trotz der nacharchaischen Störungen für die Vergleichbarkeit der Phasen kein Nachteil entstanden.

5.1.2.4.3 Das Bild der Knickrandskyphoi und -schalen aus der Phase 2

Auch hier werden wieder die Resultate der Grabungskampagne 1989 ins Bild gesetzt und diskutiert. Eine Ergänzung des KRS der Siedlungsphase 2 bieten erneut die im Katalog aufgenommenen Stücke der Jahre 1990 – 1995. Im Anschluß werden die gewonnenen Ergebnisse mit der statistischen Auswertung zusammen betrachtet.

5.1.2.4.3.1 Die Knickrandskyphoi und -schalen aus der Stadtmauer zu Beginn der Phase 2

In einer besonderen Fundlage wurde das Wandfragment **506** entdeckt. Es fand sich in einem Lehmziegel verarbeitet, mit dem die Innenschale der Stadtmauer aufgemauert war. Somit wurde die KRS spätestens während der Errichtung der Stadtmauer, die gleichzeitig den Beginn der Siedlungsphase 2 markiert, zerschlagen oder geriet bereits als Fragment in das Baumaterial. Dies bedeutet, daß die im Tierfriesstil bemalte Schale schon vor der Phase 2 produziert und höchstens bis zum Beginn der Phase 2 in Benutzung gewesen ist. Aufgrund der kleinen Ausschnitte, die das kleine Fragment auf die Tierfriese erlaubt, ist eine allzu eng gefaßte Klassifizierung nicht möglich. Die Elemente – wie die Rosette mit Innenkreisen und das Schlaufenband – finden sich auf Beispielen der Stilphase SiA Ib⁷²¹, aber auch auf solchen, die als SiA Ic⁷²² zu bewerten sind. Die am Friesrand angeheftete Halbrossette taucht – noch selten – in SiA Ib auf⁷²³, aber bereits regelmäßig ganz früh in SiA Ic⁷²⁴. Das Fragment **506** ist aufgrund seiner Fundlage in der Initialzeit der Siedlungsphase 2 am Kalabaktepe-Süd spätestens 640 v. Chr. zu datieren. Damit ist am ehesten die Stilphase SiA Ib getroffen, die bislang zwischen ca. 650 und 630 v. Chr. fixiert wird. Sollte es sich allerdings bereits um die Frühphase von SiA Ic handeln, wären die Stilphasen entsprechend früher zu datieren. Dazu bedarf es allerdings weiterer und vor allem eindeutiger Beispiele in eindeutigen Fundkontexten.

⁷²¹ Vgl. etwa Kerschner – Schlotzhauer 2005, 19 ff. Abb. 11–16. Das beste Beispiel für die Dekoration, bis auf die Halbrossette, bietet eine fragmentierte Oinochoe aus Milet der Stilphase SiA Ib, vgl. Kerschner – Schlotzhauer 2005, 17 Nr. 25 (= S. Käufler, Die Frühstufe des Middle Wild Goat I-Stils, AA 1999, 204 ff. Abb. 1–6).

⁷²² Vgl. etwa Kerschner – Schlotzhauer 2005, 27 ff. Abb. 19–21. 23. 26.

⁷²³ Vgl. etwa Kerschner – Schlotzhauer 2005, 18 Nr. 28. (= Samos 5, Taf. 106, 559). Nr. 34 (A. Villing, Zwei archaische Schüsselformen in Milet, AA 1999, 196 Abb. 11); 19 f. Abb. 12–13.

⁷²⁴ Vgl. etwa die Lévy-Kanne in Paris, z. B. Samos 5, Taf. 116–117, 592, die sehr früh in SiA Ib einzuordnen ist.

5.1.2.4.3.2 Die Knickrandskyphoi und –schalen aus dem Boden der Phase 2

Für die Beispiele aus dem Boden der Siedlungsphase 2 gelten in noch höherem Maße die Bedingungen, wie sie für den Boden der vorangegangenen Phase festgestellt wurden. Erneut werden vor allem Fragmente inkorporiert sein, die einer früheren Phase entstammen. Die KRS 91 des Typus 5,1 mit groben Proportion, wie sie bereits in den Phasen zuvor angetroffen wurden, stammt aus dem Boden der Siedlungsphase 2. Seine Fundlage beschreibt sicher einen *terminus ante quem* für das Stück.

Erneut gilt es, das bereits oben zur Aufschüttung für Phase 2 erwähnte aussagekräftige Randfragment des Typus 8 der Variante 8,2 zu besprechen. Der Dekor der KRS 419 (= Abb. 36,b) vertritt überraschend die frühe Stilphase SiA/MileA Ia. Das ist für den Typus 8 sehr früh und wird nicht direkt von seiner Fundlage bestätigt. Allerdings umfaßt der Befund K 89.261 in Q 89.07 nicht nur den Boden der Phase 2, sondern hatte auch noch Teile der Auffüllung für den Boden enthalten. Damit kann das Fragment durchaus eher der Siedlungsphase 1 zugerechnet werden, was auch besser in Einklang mit der Stilphase steht.

5.1.2.4.3.3 Die Knickrandskyphoi und –schalen aus dem Boden und dem Benutzungshorizont der Phase 2

Die Bodenschicht und der darüber liegende Benutzungshorizont ließen sich nicht immer trennen. Die hier vorzustellenden KRSk und KRS stammen aus solchen Zusammenhängen. Im relativchronologischen Gerüst am Kalabaktepe-Süd ist ihre Fundlage zwischen Beginn bis unmittelbar vor Ende der Siedlungsphase 2 anzusetzen.

Unter den hier entdeckten Funden befinden sich noch immer Fragmente vom Typus 1, wie der Skyphosrand Abb. 38,a, der sich eng dem mittelgeometrischen Stück 2 anschließen läßt.



Abb. 38: Kalabaktepe-Süd, aus dem Boden und der Nutzungszeit der Siedlungsphase 2 (b könnte auch der Phase 3 angehören) K 89.109.5; K 89.424.1

In einer Fundlage der Siedlungsphase 2 wurde vielleicht auch der KRSk 408, ein Beispiel des Typus 2, Variante 2,4, gefunden. Dieser in Milet hergestellte Skyphos ist aber stilistisch sicher älter als die ohnehin unsichere Zuordnung seines Befundes K 91.516 zur Siedlungsphase 1 oder 2. Möglicherweise aber konnte der Befund nicht von einer späteren Störung getrennt werden. Daher darf er in diesem Zusammenhang wohl vernachlässigt werden. Ebenfalls aus einem unsicheren Kontext stammt der

KRSk **64**. Er vertritt die Variante 3,2 und kommt aus einem Befund, der als »Einfüllung zwischen Außenmauer und Innenwand« eines Töpferofens beschrieben wird. Doch auch dieser Befund konnte nicht sicher von einem Befund getrennt werden, der bis in die Siedlungsschicht 4 zurückreicht. Am ehesten gehört der Skyphos **64** mit der Dekorvariante c, der auf der Schulter noch den für den Typus charakteristischen Metopenfriesdekor mit eingeschriebenen Motiven aufweist, der Phase 1 bis 2 an und ist in diesem Zusammenhang zu diskutieren. Doch läßt sich auch hier eine 'Verschleppung' in einen späteren Fundzusammenhang nicht ausschließen. Ebenfalls nicht sicher in die Siedlungsphase 2 ist das Randfragment **Abb. 38,b** zu setzen. Denn die Befundnummer K 89.424 wurde doppelt vergeben. Daher ist auch eine Fundlage in der Siedlungsphase 3 nicht ausgeschlossen. Auch seine Klassifizierung ist schwierig, denn die Randgestaltung und der Dekor haben Parallelen sowohl unter dem Typus 5, etwa **99–100** der Variante 5,2, als auch unter dem Typus 3,1, **53–54** und **57**. Für den Typus 5 wäre der Nutzungshorizont der Siedlungsphase 2 sicher wahrscheinlicher, als für den Typus 3,1. Sollte das Fragment doch dem Typus 3,1 angehören, wäre es wohl als 'verschlepptes' Fragment zu betrachten. Die Siedlungsphase 3 ist allerdings für beide Typen bereits sehr spät.

Das Randfragment **70** des Typus 3,3 wurde aus dem Boden oder der Nutzungszeit der Phase 2 geborgen. Damit ist dieser KRSk im gegebenen Kontext der Nutzungsphase der Siedlungsphase 2 zu betrachten.

Im Befund K 91.185 in Q 90.15 ist sowohl die Schicht der Siedlungsphase 1, als auch die der Phase 2 enthalten. Daher ist die Zuschreibung der darin enthaltenen Funde an eine der beiden Phasen nicht eindeutig. Spätestens aber der Phase 2 gehört somit die KRS **166** vom Typus 8,2 mit der Dekorvariante ay an. Selbstverständlich kann das Schalenfragment auch bereits der Siedlungsphase 1 angehört haben, zumal – wie bereits weiter oben dargestellt – die Variante 8,2 in Fundsituationen der Phase 1 belegt ist.

Bedeutend ist das erstmalige Auftreten des Typus 11 im Zusammenhang mit Befunden des Bodens der Phase 2. Besonders aussagekräftig ist in diesem Zusammenhang, daß der Typus gleich dreimal im Zusammenhang der Phase 2 vorkam. Dabei sind **344** und **359** aus sicheren Kontexten, wogegen der Befund K 89.481.3, zu dem **351** gehört, nachträglich gestört worden ist. Es ist allerdings sehr wahrscheinlich, daß **351** innerhalb des gemischten Befundes nicht von der Störung der Phase 7 herrührt, sondern gleichsam mit den sehr ähnlichen Stücken **344** und **359** aus dem Bereich der Phase 2 stammt. Alle drei KRS des Typus 11,4 und 11,5 (**359**) haben die gleiche Dekorvariante k. Wie kann nun das Auftreten der drei Stücke bewertet werden? Während **351** und **359** Fragmente darstellen, handelt es sich bei **344** um eine fast vollständige KRS. Sie wird somit wohl kaum in den Boden eingetreten und auch nicht als ganzes Gefäß in die Verfüllung geraten sein. Vielmehr wurde KRS nach Aussage von R. Senff direkt auf dem Boden angetroffen, weshalb er sie noch zu diesem zählte. Für die chronologische Aussage zur Keramik allerdings ist dies ein wichtiger Hinweis. Das auf dem Boden liegende zerscherbte, vollständige Gefäß kann eigentlich nur zum Zeitpunkt der Aufgabe der Phase 2, also unmittelbar vor der Auffüllung und Planierung für die Phase 3 in seine Fundsituation gelangt sein.

Während der Nutzungszeit des Bodens der Phase 2 hätte man das zerstörte Gefäß sicher entfernt. Auch die beiden anderen Beispiele, von denen lediglich je ein Randfragment in den Boden der Phase 2 geraten oder auf ihr liegend angetroffen wurde, weisen frühestens auf die Nutzung während Phase 2 hin. Damit ist der Typus 11 mit seinen Varianten 11,4 und 11,5 relativchronologisch spätestens am Ende der Siedlungsphase 2 bereits vorhanden. Auch wenn sich hieraus noch nicht ergibt, wie lange vor der Aufgabe der Phase 2 der Typus bereits in Gebrauch war.

5.1.2.4.3.4 Die Knickrandskyphoi und –schalen aus der Aufschüttung zur Phase 3

Die Aufschüttung zur Bauphase 3 bezeichnet wieder eine Neugestaltung des Siedlungsbereichs. Der exakte Grund für diese Neugestaltung ist uns nicht bekannt. Hinweise auf Zerstörung aufgrund von Feuer oder kriegerischer Auseinandersetzungen gibt es hier ebensowenig, wie in allen anderen Bauphasen bis Phase 6. Jedoch wird aus den ausgeführten Maßnahmen für die Siedlungsphase 3 klar, daß die Bewohner versuchten, hinter der Stadtmauer in Form von Terrassierungen neuen Raum für



Abb. 39: Kalabaktepe-Süd, aus der Aufschüttung zur Siedlungsphase 3, mit älterem Material vermengt
K 89.527.3; K 89.280.26; K 89.467.2; K 89.219.10; K 89.527.4

ihre Häuser zu schaffen. Dies mag nicht der Primärgrund für den Umbau gewesen sein, aber es scheint den Bewohnern gleichwohl ein Anliegen gewesen zu sein. Diese Maßnahmen erforderten größere

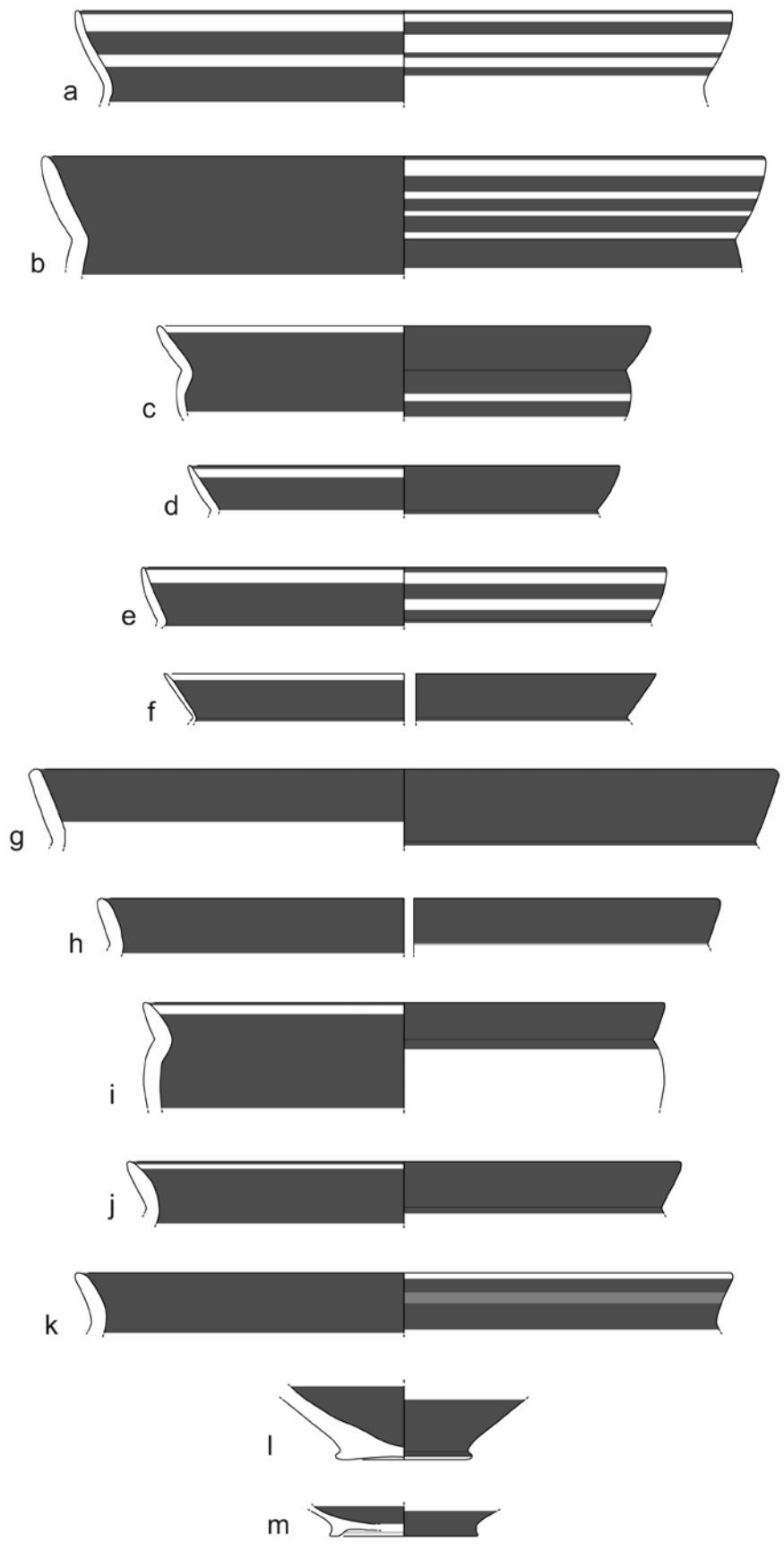
Aufschüttungen. In diese gelangte erneut viel Material sowohl aus der Zeit der Baumaßnahme, als auch vor allem wieder ältere Keramik aus früheren Zusammenhängen.

Tatsächlich finden sich unter den Funden der Phase 2 folgerichtig wieder stilistisch frühe KRSSk des Typus 1. Zu diesen wird wohl das Wandfragment **13** eines spätgeometrischen KRSSk zählen. Allerdings fehlen die signifikanten Merkmale und daher kann es sich bei dem Fragment ebenso gut um einen KRSSk vom Typus 3 oder eine KRS vom Typus 4 handeln. Sicher ein spät- oder subgeometrischer KRSSk des Typus 1,2.A der Dekorvariante c stellt das Beispiel **16** dar. Diese in den Befunden der Siedlungsphase 2 geborgenen KRSSk sind in jedem Fall zu früh für den Fundzusammenhang und wohl durch Baumaßnahmen hierher geraten.



Abb. 40: Samos, Hera-Heiligtum, DAI Neg.-Nr. a) HW-37-07 und b) ATH Samos 5308

Die bemalten spät- oder subgeometrischen KRSSk des Typus 2 werden durch die Fragmente **30** der Variante 2,1 mit Dekorvariante b und **Abb. 39,c** der Variante 2,2 vertreten. **Abb. 39,c** ähnelt stark dem KRSSk **32**, besonders in seiner Dekorationsvariante c mit dem spät- bis subgeometrischen Metopenfries auf der Schulter, dessen Felder mit Andreaskreuzen gefüllt sind. Ebenfalls Metopenfelder mit Andreaskreuz weist der Skyphos **30** auf, der einerseits zur Formvariante 2,1 mit extrem weit eingezogenem und gebogenem Rand, andererseits zu den reich subgeometrisch dekorierten KRSSk gehört. Ob die Skyphoi noch während der Phase 2 in Benutzung waren oder schon aus älteren Zusammenhängen umgelagert sind, läßt sich hier nicht entscheiden. Zwei Beispiele der Variante 2,4 (**47–48**) mit den Dekoren c und d befanden sich ebenfalls spätestens in der Aufschüttung für die Phase 3. Da der Befund nicht sauber vom Boden der Phase 2 getrennt werden konnte, mag der KRSSk **48** aus einem älteren Kontext stammen. Er vertritt bereits die fortgeschrittene Form des Typus und besitzt einen subgeometrischen Dekor mit Wellenband auf dem Rand und einer breiten tongrundigen Beckenzone oder einem vollständig tongrundigen Becken. Die Untersuchungen von Yalçın belegen **48** zudem als lokales milesisches Produkt.



vorherige Seite

Abb. 41: Kalabaktepe-Süd, aus der Aufschüttung zur Siedlungsphase 3, mit älterem Material vermischt
 a) K 89.280.21; b) K 89.280.19; c) K 89.280.20; d) K 89.280.22 (= Kat.-Nr. 165);
 e) K 89.159.7; f) K 89.247.6 (= Kat.-Nr. 164); g) K 89.159.6; h) K 89.453.24; i) K 89.453.23 (= Kat.-Nr. 344); j) K 89.453.25; k) K 89.247.13; l) K 89.247.4; m) K 89.247.5

Besonders aussagekräftig ist die KRS **62** des Typus 3,2.B. KRSk und KRS mit diesem und ähnlichem Dekor sind besonders aus dem Hera-Heiligtum der nahegelegenen Insel Samos bekannt geworden (**51–54. 59; Abb. 40a–b**). Sie gelten auch als samische Produkte⁷²⁵. Die naturwissenschaftlichen Herkunftsuntersuchungen von Yalçın lassen für **62** allerdings eine lokale milesische Produktion vermuten. Damit ist nicht klar, wo weitere ähnliche subgeometrische KRS, wie etwa **67** und **72** des Typus 3,2 sowie 3,3, produziert wurden, jedoch stellt die Fundlage der KRS **62** im Boden der Phase 2 oder spätestens in der Aufschüttung zu Phase 3 einen *terminus ante quem* dar.

Der Typus 4 ist in der Aufschüttung zweifach belegt. Die Fragmente der KRS **76** haben noch die Rand-, Henkel- und Fußgestalt der Variante 4,2.B erhalten. Das Schalenfragment **82** vertritt dagegen bereits die Variante 4,3.B. Der enge, recht massive, 'echinusförmige' Fuß von **76** zeigt frühe Merkmale, aber er ist wesentlich flacher als der bereits für Phase 1 festgestellte Fuß der KRS **78**. Auch fehlt ihm dessen kantiger Zuschnitt, er ist in seinen Übergängen stärker gerundet. Ob dies dahingehend gewertet werden darf, daß die KRS **76** und damit die Variante 4,2 trotz ihrer jüngeren Fundlage eine etwas ältere Variante vertritt oder ob beide Phänomene zeitgleich vorkommen, läßt sich hier noch nicht entscheiden. Jedenfalls ist die Variante 4,3, die durch die KRS **82** in dieser späten Phase der Siedlungsphase 2 angetroffen wurde, bereits in der Siedlungsphase 1 durch die KRS **78** belegt gewesen.

Mehrfach ist dagegen der Typus 5 in der Aufschüttungsschicht vertreten. Sowohl die Variante 5,2 (**98; Abb. 39,d**), als auch die Variante 5,3 (**102**), sowie die beiden für diesen Typus belegten Dekorvarianten e (**Abb. 39,d**) und ea (**98; 102**) sind dabei in demselben Kontext anzutreffen. Darüber hinaus müssen hier auch die beiden KRS **Abb. 41,b** und **Abb. 41,e** angeführt werden. Besonders **Abb. 41,e** verkörpert bereits die Variante 5,4, die kleiner und dünnwandig ist. Damit wird in Siedlungsphase 2 beinahe die gesamte 'Bandbreite' der Dekor- und Formmöglichkeiten des Typus 5 aufgespannt. Vom stark gekrümmten konkaven Rand **91** der Variante 5,1 über den kürzeren, verdickten und oben gerundeten Rand der KRS **102** der Variante 5,3, die sowohl die Dekorvariante e ohne und ea mit Wellenlinie vertreten, bis hin zum hohen, spitz endenden Rand mit verlaufenden breiten Linien (**98; Abb. 39,d**) und der Variante 5,4 (**Abb. 41,e**) reichen hier die Beispiele.

Stilistisch scheint das Fragment **117** der Variante 6,1.B ein sehr frühes Beispiel des Typus 6 darzustellen. Daher ist es vermutlich aus tieferen Schichten in diese Aufschüttung zur Siedlungsphase 3 geraten. Jedenfalls sind die weiter entwickelten KRS der Variante 6,3 bereits

⁷²⁵ Vgl. Samos 5, 39–40 Taf. 40, 222–226.

mehrfach im Zusammenhang mit Phase 1 aufgetreten. Das Fragment **Abb. 41,c** dagegen belegt erstmals die Variante 6,5 und könnte am ehesten noch der Siedlungsphase 2 – zumindest der Frühzeit – angehören, da zwei vollständige Exemplare der Variante (**132–133**), die aus einem geschlossenen Kontext aus dem Aphrodite-Heiligtum auf dem Zeytintepe stammen, vor 630 v. Chr. zu datieren sind⁷²⁶. Möglicherweise ist die KRS **Abb. 41,c** daher ebenfalls bereits aus der Phase 1 in diese spätere Aufschüttung hineingeraten.

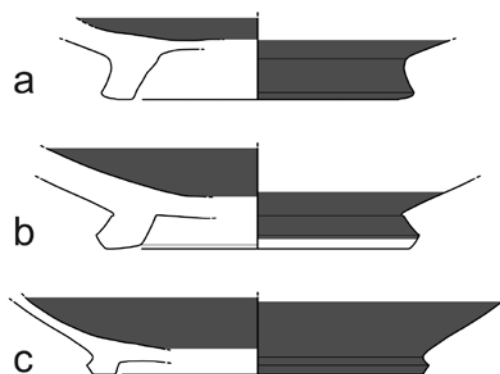


Abb. 42: Kalabaktepe-Süd, aus der Aufschüttung zur Siedlungsphase 3, mit älterem Material vermengt
K 89.453.20; K 89.453.22; K 89.453.21

Ein Beispiel des Typus 7 (**137**) wurde bereits im Boden der Phase 1 oder früher gefunden. Mit der KRS **Abb. 41,a** aus den Grabungen 1989 läßt sich ein weiteres Beispiel der Variante 7,3 im Zusammenhang mit der Aufschüttung für Phase 3 anführen.

Die Aufschüttung enthielt ebenfalls mehrere Fragmente des Typus 8. Mit **157** ist einerseits die Variante 8,1 mit konkavem Rand und der Dekorvariante ay mit weiß-rot-weißen Bändern belegt, andererseits vertritt die KRS **Abb. 41,f** (= **164**) die Variante 8,2 mit schlichtem Dekor. Ferner ist mit **Abb. 41,d** (= **165**) ein weiteres Beispiel der Variante 8,2 in diesem Fundzusammenhang enthalten.

Bereits aus dem Boden und Benutzungshorizont der Siedlungsphase 2 waren drei Beispiele des Typus 11 angetroffen worden und belegten damit die Varianten 11,4 und 11,5 sowie die Dekorvariante k für die Phase 2. In der Diskussion (s. o.) wurde das erstmalige Auftreten des Typus 11 aufgrund seiner Fundlagen gegen das Ende der Siedlungsphase 2 festgelegt. In der Auffüllung zur Siedlungsphase 3 konnten dann weitere Beispiele des Typus 11 nachgewiesen werden (**Abb. 41,h–j**). Alle gehören erneut der Dekorvariante k an. Zudem vertreten sie die schon für die Nutzungszeit der

⁷²⁶ Zum Bothros s. vorläufig V. v. Graeve, Das Aphrodite-Heiligtum von Milet und seine Weihgaben, in: I. Gerlach – D. Raue (Hrsg.) Sanktuar und Ritual. Heilige Plätze im archäologischen Befund, Menschen – Kulturen – Traditionen. Studien aus den Forschungscustern des Deutschen Archäologischen Instituts 10 (2013) 7 f.; das Datum der jüngsten Funde im Bothros, ist durch eine dichte Reihe hunderter korinthischer Importkeramik aller Stufen vom Frühprotokorinthischen bis zur letzten Phase des Spätprotokorinthischen gegeben. Das Fehlen jeglicher frühkorinthischer Keramik im Bothros, die doch ansonsten im gesamten Heiligtum in vielen Deponierungen und Schuttschichten angetroffen wurde, macht die Datierung um 630 v. Chr. als *terminus ante quem* für die Funde im Bothros äußerst verlässlich. Selbst wenn die absoluten Zahlen der korinthischen Chronologie in Zukunft in irgendeine Richtung geändert werden sollten, bleibt der Verschlusszeitpunkt zum Ende des Protokorinthischen bestehen.

Phase 2 belegte Variante 11,4, wobei **Abb. 41,j** auch die Variante 11,3 vertreten könnte. Ebenfalls aufgrund der geringen Fragmentgröße nicht sicher zu klassifizieren ist **Abb. 41,k**. Möglicherweise ist auch dieses Randfragment ein Beispiel der Variante 11,3. Die KRS würde damit allerdings erstmals für diesen Typus die Dekorvariante *ky* bezeugen.

Mit dem Randfragment der KRS **Abb. 41,g** ist erstmals der Typus 13 in seiner Variante 13,2 mit der Dekorationsvariante *m* angetroffen. Unter den Funden des Jahres 1989 ist dies die bislang früheste Fundsituation.

Eine Klassifizierung der KRS **Abb. 39,a** ist schwierig, da sich nicht genügend signifikante Merkmale erhalten haben. Sie ist dennoch hier mit aufgenommen worden, da sie stratigraphisch eingebunden ist. Die Größe des Randedurchmessers der KRS spricht nicht gegen eine Klassifizierung als Typus 3 oder 7, was für das Fragment am wahrscheinlichsten erscheint.

Im Befund K 93.165, der sowohl den Boden, als auch die Aufschüttung für Phase 3 umfaßt, befand sich die bemalte Wandscherbe der KRS **502** der Stilphasen SiA Ia-c⁷²⁷. Das enge Flechtband und die Metopeneinteilung über dem breiten Firnisband machen eine Zuordnung zur frühesten Phase der Stilstufe unwahrscheinlich. Die Fundlage läßt lediglich die Aussage zu, daß die KRS vor 610 v. Chr. zu datieren ist. Bereits im Boden der Umbauphase 1c, also in einer durch die stratigraphische Abfolge festgelegte, vorausgehende Fundlage, war ein Vertreter der Stilphase SiA Ib angetroffen worden.

Das Randfragment **Abb. 39,b** gehört ebenfalls zu den mit Gefäßmalerei versehenen Beispielen. Schon seine Form mit dem tiefen, leicht kugeligen Gefäßkörper läßt auf einen frühen Typus schließen. Der KRsk ist am ehesten mit **64** vergleichbar und vertritt damit die Variante 3,2.B. Sein Dekor gehört ebenfalls in diesen Bereich, auch wenn er etwas reicher gestaltet ist, als die Beispiele im Katalog. Die lose Reihe von schräg gestellten Strichen auf dem Rand und vermutlich ein Winkelband auf der Schulter erinnern an weitere Beispiele aus Samos⁷²⁸. Damit handelt es sich vermutlich um einen subgeometrischen Dekor.

Zuletzt seien noch Schalenfüße aus der Aufschüttung zur Phase 3 besprochen. In den wenigsten Fällen läßt sich sicher entscheiden, ob sie tatsächlich zu KRsk oder KRS gehörten, da nicht ausreichend vom Gefäßaufbau erhalten ist. Denn unter anderem die Füße und Standringe kleiner Schüsseln, Kalottenschalen und Teller sind denen der KRsk und KRS gleich. Als potentielle Schalenfüße können **Abb. 41,m** und **Abb. 42,a–c** und als potentieller Fuß eines KRsk **Abb. 41,l** gelten. Sicher zu einem KRsk gehört **Abb. 41,l** und dürfte sich durch die Deponierung aus einer älteren Schicht während der Anlage des Bodens erklären lassen. Die abgesetzte Standplatte mit leicht konkaver Standfläche hat

⁷²⁷ Etwa die Lévy-Kanne (Samos 5, Taf. 116, 592), die den Beginn der Stilphase SiA Ic markiert, weist das enge Schlaufenband auf. Aber auch schon frühere Stücke sind bekannt (Samos 5, Taf. 106, 559; 105, 556).

⁷²⁸ Samos 5, Taf. 39, 214–219; 40, 221 usw. oder auch an Kannen mit runder Mündung vgl. Samos 5, Taf. 53, 306.

steil aufgerichtete Ansätze der Gefäßwand erhalten⁷²⁹. Diese lassen einen tiefen Gefäßkörper rekonstruieren. Das alles weist auf einen frühen Skyphos hin, der vielleicht noch in der ersten, aber nicht mehr in der zweiten Hälfte des 7. Jhs. v. Chr. zu erwarten ist. Unter den weiteren Füßen in der gleichen Aufschüttung sind dann zwei Richtungen vertreten. Zum einen der 'echinusförmige' Schalenfuß der KRS 76 des Typus 4,2, der allerdings auch schon als vermutlich älter als seine Fundlage bestimmt wurde (s. o.). Für den Typus 6,5 sind beispielsweise zwei vollständige Gefäße mit unterschiedlichen Füßen belegt (132–133). Auch sie besitzen einen engen Fuß bzw. Standring. Ihr Fundkontext in einem vor 630 v. Chr. verschlossenen Bothros im Aphrodite-Heiligtum macht noch einmal deutlich, wie die Formgestalt vor und vielleicht noch zu Beginn der Phase 2 war⁷³⁰. Dagegen vertreten die übrigen Füße eine andere Richtung, nämlich ausgestellte Standringe die chronologisch enger mit der Siedlungsphase 2 bzw. ihrer Spätphase zu verbinden sind. Der höhere und engere Standring **Abb. 42,a** stammt aus derselben Aufschüttung wie die drei breiteren Standringe **Abb. 39,e** und **Abb. 42,b–c**, die zudem alle außen einen abgekanteten Übergang zur Standfläche aufweisen. Dies mag schon ein chronologischer Hinweis sein, der vor allem durch die flache und noch breitere Gestaltung der Standringe **Abb. 41,m** und **Abb. 42,c** ergänzt wird. Auch die Standringe **Abb. 34,e**, **Abb. 35,f** und **Abb. 36,c–d** wiesen schon kantige Formen und Abkantungen auf, dennoch war für die in der Siedlungsphase 1 gefundenen Standringe die Tendenz zu weiteren und flacheren Standringen noch nicht zu erkennen. Dies ist eine Neuerung in der Aufschüttung zur Phase 3. Eine feinere Differenzierung läßt sich bislang nicht nachzeichnen. Daher kann auch noch nicht entschieden werden, ob einige der unterschiedlichen Formen und Tendenzen gleichzeitig existierten.

5.1.2.4.3.5 Die Verteilung der Knickrandskyphoi- und –schalentypen in der Phase 2 insgesamt

149 klassifizierte KRSk und KRS aus den ungestörten Schichten der Siedlungsphase 2 sind in der Statistik erfaßt. In **Abb. 43** wird die Verteilung der einzelnen Typen innerhalb der Phase veranschaulicht. Es fällt im Vergleich mit der Verteilung in Phase 1 (**Abb. 37**) auf, daß die Gruppen sich in dieser Phase einerseits recht gleichmäßig verteilen und andererseits drei neue KRS-Typen hinzutreten, womit die Gattung nunmehr auf 11 Typen verteilt ist.

Abgesehen von Typus 13 mit 1 % und Typus 7 mit 4 % lassen sich drei ungefähr gleich große 'Blöcke' erkennen. Es sind dies die frühen Typen 1–3, die 6–8 % erreichen. Eine weitere Einheit bilden die Typen 5, 6, 10 und 11 mit 10 bzw. 11 %. Von diesen heben sich die Typen 8 mit 14 % und 4 mit 17 % deutlich ab. Insgesamt ergibt sich auf diese Art ein recht ausgeglichenes und vielfältiges Typenspektrum im Verteilungsmuster der Siedlungsphase 2. Das stark geometrisch geprägte Bild der Phasen 0 und 1 ist eindeutig abgelöst worden. Gehörten zu den rein geometrischen Typen 1 und 2 in Phase 1 noch 49 %, sind es nun in Phase 2 nur noch 14 %. Dagegen vertreten die Typen 4–13 Formen

⁷²⁹ Nicht ganz ausgeschlossen werden kann allerdings auch eine Tasse als Gefäßform.

⁷³⁰ Vgl. o. Anm. 726.

der KRS, die eindeutig archaisch und nicht mehr geometrisch oder subgeometrisch geprägt sind. Diese archaischen Schalenformen machen somit 79 % aus. Aus dieser Gruppe fällt lediglich der Typus 4 heraus, der noch einen subgeometrischen Dekor besitzt. Allerdings ist Typus 4 mit 17 % der stärkste Einzelvertreter der Gattung während der Phase 2. Schon in Phase 1 zeigten die dort ebenfalls erreichten 17 %, die aber in der Vorphase nur die drittstärkste Gruppe darstellte, daß der Typus 4 hier eine bedeutende Rolle spielte. Man wird wohl nicht fehl in der Annahme gehen, daß der Typus 4 im Verlauf der Phase 1 und während einer längeren Periode in Phase 2 seine Hauptproduktions- und Nutzungszeit hatte.

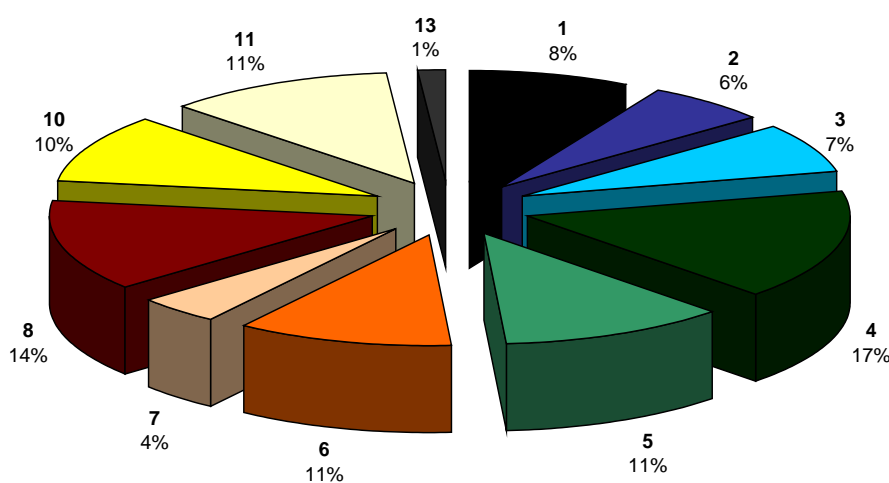


Abb. 43: Kalabaktepe-Süd, Verteilung der KRSk und KRS in der Siedlungsphase 2

Wie ist das Diagramm (Abb. 43) noch zu interpretieren? Wie bereits in der obenstehenden Diskussion zu den Funden des Jahres 1989 und den Katalogbeispielen festgestellt, sind durch die Bautätigkeiten im Zusammenhang mit der Erweiterung für die Siedlungsphase 3 einige ältere Gefäße aus tieferen Schichten mit in die statistische Auswertung gelangt. Dies läßt den hohen Anteil von 21 % der Typen 1–3 erklären. Andererseits scheint die Produktion der etwa gleichzeitigen Typen 4–8 (abgesehen vielleicht von Typus 7) zu Beginn der Phase 2 ihren bisherigen Höhepunkt erreicht zu haben. Ob dieser sich über die Phase 2 hinaus ausdehnt, wird der Vergleich mit der Auswertung von Phase 3 erweisen. Während der Phase 2 treten mit den Typen 11 und 12 zwei Typen neu hinzu, die gleich mit 10 bzw. 11 % eine bedeutende Produktion anzeigen. Interessant wäre festzustellen, zu welchem Zeitpunkt ihre Produktion innerhalb der Siedlungsphase 2 einsetzt. Vermutlich kommen sie erst spät oder gegen Ende der Phase auf, da unter den Stücken von 1989 und denen im Katalog keines aus dem Boden oder Benutzungshorizont der Phase 2 stammte. Ohnehin war unter diesen nur Typus 11 angetroffen worden. Obwohl die Typen 10 und 11 vermutlich erst gegen Ende der Phase 2

aufkamen, scheinen sie sich schnell einen bedeutenden Anteil innerhalb der Gattung verschafft zu haben. Wie sich im Verlauf der folgenden Phasen zeigen wird, nehmen sie in der Produktion der archaischen KRS Milets eine dominierende Stellung bis an das Ende der archaischen Epoche ein.

5.1.2.4.4 *Zusammenhang Phase 2*

In Phase 2 am Kalabaktepe vollzieht das Typenspektrum der Gattung den Wandel zur archaischen Schalenform. Die lange tradierten Formen und Dekore aus geometrischer Zeit treten nun endgültig hinter die archaischen zurück. Das noch immer bedeutende Vorkommen geometrischer und subgeometrischer Gefäße in den Fundlagen der Phase 2 läßt sich vor allem durch die Baumaßnahmen der Phase 2 erklären. Die veränderte Siedlungsstruktur, die neu errichtete Stadtmauer und die mit den Bauvorhaben verbundenen Erdarbeiten haben insbesondere in die Aufschüttungen ältere Funde verlagert.

Mit den neuen Formgruppen, Typus 10 und Typus 11, wird vermutlich zum Ende der Phase 2 die Produktpalette der milesischen Töpfer bereichert. Sie werden schnell einen bedeutenden Platz unter den Typen der Gattung einnehmen. Der ebenfalls erstmals nachweisbare Typus 13 tritt statistisch allerdings kaum in Erscheinung.

Die KRS mit tradierenden Tendenzen (Typus 4) und die gleichzeitigen Typen mit früharchaischen Formen und Dekoren (Typen 5–8) erreichen zu Beginn der Phase 2 ihren Höhepunkt – zusammen erreichen sie ca. 57 % der Gesamtmenge. Doch auch unter diesen (Typen 5–8) ist mit 40 % der Gesamtmenge der größere Anteil nicht mehr unter geometrischem Einfluß, wie es noch in Phase 1 der Fall gewesen war.

Eine weitere Zäsur zeichnet sich mit dem Neuen ab, das sich zum Ende der Phase 2 erstmals mit den Typen 10 und 11 ankündigt. Gedrungene und einfache Formen mit schlichten und helleren Dekoren beherrschen die Folgezeit. Zum Ende der Siedlungsphase 2 deutet sich zudem ein Wandel vom bisherigen reichen Typenspektrum zu einer an Variationen ärmeren Formenwelt innerhalb der Gattung an. Es wird interessant sein, inwieweit sich der hier beobachtete Wandel auch bei den anderen Gattungen der Siedlungskeramik beobachten läßt, oder ob hier lediglich eine spezifische Entwicklung der milesischen KRS konstatiert werden kann. Dies gilt sowohl für die Entwicklung zu Beginn der Phase 2, in welcher die Schalengattung aus dem Schatten ihrer geometrischen Vorläufer tritt, als auch zum Ende der Phase 2, wo mehrere quantitativ gleichwertige früharchaische Typen von zwei neuen, in Form und Dekor ähnlichen Typen zurückgedrängt werden.

Mehrere Fragmente mit Gefäßmalerei der südionischen Frühstufe SiA I konnten innerhalb der Phase 2 mit ihren Fundlagen besprochen werden. Der Kontext eines Wandfragments der Stilphasen SiA Ib-c (**506**) stammt wohl schon aus Phase 1, spätestens aber aus der Initialzeit der Phase 2. Das bedeutet, daß SiA Ib sicher spätestens mit der Phase 1 zu verbinden ist, vielleicht aber auch schon SiA Ic. Dagegen vertritt die KRS **419** (**Abb. 36,b**) bereits die Stilphase SiA/MileA Ia. Der Befund, aus der das

Randfragment des Typus 8,2 stammt, umfaßt sowohl die Aufschüttung zu Phase 2, als auch deren Boden. Die Stilphase SiA Ia wird aber vermutlich nicht bis an das Ende der Siedlungsphase 1 und sicher nicht darüber hinaus reichen. Damit ist die KRS 419 sicher zur Siedlungsphase 1 zu rechnen, doch gibt der Formtypus 8,2 wiederum eine Begrenzung vor, da er kaum weit vor die Mitte des 7. Jhs. v. Chr. zurückreicht. Damit wird die KRS 419 der Stilphase SiA/MileA Ia am ehesten während der Mitte der Siedlungsphase 1 und kurz danach benutzt worden sein. Darüber hinaus wurden erst wieder in der Aufschüttung zur Phase 3 bemalte KRS nachgewiesen – so etwa die bemalte Wandscherbe der KRS 502 der Stilphasen SiA Ia–c. Ihre Fundlage läßt alle drei möglichen Stilphasen zu. Sollte das Fragment den Stilphasen SiA Ia–b angehört haben, handelt es sich sicher um ein verschlepptes Fragment aus älteren Schichten. Sollte es tatsächlich die Stilphase SiA Ic vertreten, wäre es wahrscheinlich der Siedlungsphase 2 zugehörig. Bei dem Fragment eines bemalten spät- oder subgeometrischen KRSk der Variante 2,2 mit der Dekorationsvariante c (Abb. 39,c) handelt es sich vermutlich erneut ein umdeponiertes Fragment in der Aufschüttung zur Siedlungsphase 3. Der Typus 2 und sein spät- bis subgeometrischer Metopenfries sind für die Phase 2 nicht mehr zu erwarten. Das gleiche gilt für das Randfragment der KRS der Variante 3,2.B (Abb. 39,b) aus derselben Aufschüttung. Auch dieses Fragment muß aus einem älteren Kontext umgelagert worden sein. Die gesicherte chronologische Einordnung der hier vorgestellten KRS mit Gefäßmalerei auf der Grundlage stratigraphischer Beobachtungen bietet nur für einige Stilphasen neue Anhaltspunkte. Bislang konnten nur stilistische Erwägungen für ihre Datierung herangezogen werden. So lassen einige Neufunde aus Milet, wie Käufler zeigte⁷³¹, aufgrund stilistischer Beobachtungen frühere und längere Datierungen für die Stilphase SiA Ia erwarten. Mit der KRS 419 (Abb. 36,b) ist die Stilphase SiA/MileA Ia wohl bis 650/640 v. Chr. nach unten zu verlängern. Dazu paßt die Fundlage der KRS 506 der Stilphasen SiA Ib–c. Durch sie ist erwiesen, daß SiA Ib bereits mit dem Ende der Siedlungsphase 1 zu verbinden und d. h. vor 640 v. Chr. zu datieren ist.

Mit dem bisher rekonstruierten Bild zur Gattung läßt sich noch nicht viel zum Gebrauch von KRS mit südionischer Gefäßmalerei in der Siedlung aussagen. Ihre Fundlagen scheinen aber nahezu legen, daß sie tatsächlich aus dem Haushalt der Bewohner stammen und nicht Scherbenbruch aus der Produktion der hier ansässigen Töpferei vertreten. Doch zeigt sich auch im Keramikbild der Phase 2, daß der Anteil der mit lokaler Gefäßmalerei verzierten KRS stets unter 3 % bleibt.

5.1.2.5 Die Siedlungsphase 3

Nach ihrer Errichtung setzten fortan die Stadtmauer einerseits und der zum Hügel hin ansteigende Hang andererseits Umgestaltungen des Wohn- und Handwerksviertels räumliche Grenzen. Durch Terrassierungen und Stützmauern am Hang wurden – wie bereits im Zusammenhang mit der Aufschüttung zur Siedlungsphase 3 erwähnt – neue Flächen zur Bebauung geschaffen. Entsprechend

⁷³¹ Käufler, Die Frühstufe des Middle Wild Goat I-Stils, AA 1999, 204 ff. Abb. 1–6.

enthielt bereits die Auffüllungsschicht zur Phase 3 einen hohen Anteil umgelagerter Keramik aus älteren Kontexten. Von der Umgestaltung unberührt blieb die Keramikproduktion. Die Töpferei ist auch in der Siedlungsphase 3 ein wesentlicher Faktor im Leben der Bewohner der 'Südstadt'.

5.1.2.5.1 *Datierung der Phase 3*

In der relativchronologischen Abfolge vertritt die Schicht der Siedlungsphase 3 gegenüber den bisher besprochenen Phasen einen jüngeren Zeitraum. Der Boden sowie die Schicht des Benutzungshorizontes auf dem Boden zählen mit den in ihnen befindlichen Funden zur Siedlungsphase 3. Die Aufschüttung zur Siedlungsphase 4 wird architektonisch bereits als Baumaßnahme der Phase 4 beurteilt. Im Hinblick auf eine statistische Auswertung der in ihr befindlichen Funde ist die Aufschüttung aber noch als Teil der Siedlungsphase 3 zu bewerten. In ihr befindet sich ausschließlich Material, das vor der Benutzungszeit der auf ihr errichteten Gebäude und des Bodens der Phase 4 herrührt. Das in der Aufschüttung enthaltene Fundmaterial datiert mit seinem jüngsten Stück als *terminus post quem* den Beginn der Phase 4 und die Anlage ihres Bodens.

Absolutchronologische Anhaltspunkte existieren für die Siedlungsphase 3 nicht, weshalb erneut die Importkeramik als Datierungshilfe herangezogen wird. Für den Beginn der Siedlungsphase 3 konnten mehr als dreißig korinthische Importstücke in verschiedenen Befunden der Siedlungsphase 2 und der Aufschüttung zur Phase 3 Hinweise liefern⁷³². Das Spektrum der korinthischen Importe ist chronologisch sehr eng, und die jüngsten Stücke datieren die Aufschüttung zur Neugestaltung und damit das Ende der Phase 2 und den Beginn der Phase 3 an das Ende der TR- und den Beginn der EC-Stilstufe. Nach der konventionellen korinthischen Keramikchronologie bedeutet dies den Zeitraum von ca. 630 bis 610 v. Chr.⁷³³ Einen weiteren, wenn auch recht schematischen Anhaltspunkt bietet die Einteilung der Phasen in regelmäßige Generationsschritte. Protokorinthische Keramik, insbesondere ein protokorinthischer Aryballos in der Aufschüttung für die Stadtmauer, ließ den Beginn der Phase 2 um 640 v. Chr. fixieren. Damit fällt der Generationsschritt von ca. 30 Jahren mit dem ermittelten Endzeitpunkt der korinthischen Importkeramik zusammen. Demnach wird die Siedlungsphase 3 um 610 v. Chr. begonnen haben. Der Rechnung des Generationsschemas folgend, wäre für Phase 3 entsprechend der 30 Jahre währende Zeitraum von 610 bis 580 v. Chr. anzunehmen. Importkeramik zur Bestimmung des Endes der Phase 3 fehlt leider gänzlich.

⁷³² Die Bestimmung der Keramik hat C. W. Neeft (Amsterdam), die Resultate bezüglich ihrer Fundlage R. Senff (Bochum/Athen) besorgt. Beiden ist für die Vorabverwendung der Informationen zu danken.

⁷³³ Zur Diskussion der Chronologie der korinthischen Stilstufen s. zuletzt Schlotzhauer 2012, 25 ff. bes. Anm. 49. Da die frühkorinthischen Gefäße bereits nach Milet importiert und zuvor benutzt worden sind, ist von einem Datum um ca. 610 v. Chr. für die Aufschüttung und den Beginn der Phase 3 auszugehen.

5.1.2.5.2 Die Rückschlüsse für das Gebiet am Kalabaktepe-Süd während der Siedlungsphase 3

Trotz des festgestellten Rückgangs ungestörter Befunde in der Siedlungsphase 3 (Abb. 28) konnte anhand der 'Verteilungsdichte' (Tab. 2 in Abb. 30) ermittelt werden, daß der Anteil der KRS mit der Phase 3 abrupt zunimmt. Eine mögliche Erklärung bietet die vermutete Steigerung der Keramikproduktion. Unwahrscheinlich ist, daß eine Zunahme von Bruchmaterial aus der lokalen Keramikproduktion für die sprunghafte Zunahme verantwortlich ist. Denn in der Siedlungsphase 5, in der die Töpferöfen am Ort bereits aufgegeben waren, steigt die 'Verteilungsdichte' sogar auf den höchsten Wert. Der plötzliche Anstieg im milesischen Haushalt der Südstadt kann daher vorläufig nur registriert, nicht allerdings erklärt werden. Möglicherweise ist ein allgemein gesteigerter Keramikbedarf im Haushalt der Bewohner für die verzeichnete Zunahme an KRS verantwortlich. Es bleibt abzuwarten, wie sich die Keramikfunde insgesamt und insbesondere die Küchenwaren im Vergleich der Siedlungsphasen 2 und 3 verhalten. Auch die bauliche Situation ist eingehend zu prüfen, sowie die Frage, ob sich die Kücheninstallationen veränderten oder vielleicht die gesamte Wohnstruktur.

5.1.2.5.3 Das Bild der Knickrandskyphoi und -schalen aus der Phase 3

Einen ersten Klärungsansatz für die Zunahme der KRS liefert möglicherweise das nun nachzuzeichnende Bild der Gattung in der Phase 3. Im Folgenden werden wieder die KRS und ihre Vorläufer aus den ungestörten Befunden des Grabungsjahrganges 1989 zusammen mit denen anderer Jahre aus dem Katalog diskutiert. Die Darstellung teilt sich dabei in die feiner gegliederte relativchronologische Abfolge des Bodens der Phase 3, des darauf folgenden Benutzungshorizonts und letztlich der Auffüllung zur Siedlungsphase 4.

Das stilistisch früheste Beispiel ist das Randfragment **56** des Typus 3,2. Doch beinhaltet der Befund K 89.272 aus Q 89.08 sowohl den Boden der Siedlungsphase 2, als auch den Boden der Siedlungsphase 3. Damit ist die Fundlage des KRsk oder der KRS **56** vermutlich eher im Boden der Phase 2 zu suchen. Selbst wenn das Fragment aus dem Bereich des Bodens der Phase 3 stammen sollte, wäre es sicher aus einem älteren Zusammenhang in diese umgelagert. Es kann daher in diesem Zusammenhang vernachlässigt werden.

5.1.2.5.3.1 Die Knickrandskyphoi und -schalen aus der Auffüllung zur Phase 3 und deren Boden

Für einige Befunde konnte keine Trennung zwischen der Auffüllung zum Boden und dem Boden der Siedlungsphase 3 realisiert werden. Folglich befindet sich in diesen Befunden sowohl älteres, gegen Ende der Phase 2 in einer Auffüllungs- und Planierungsschicht deponiertes Material, als auch jüngere, allerdings nur kurze Zeit später eingelagerte Funde aus dem Boden der Siedlungsphase 3. Jedoch sollte davon ausgegangen werden, daß in der Auffüllungsschicht zur Siedlungsphase 3 auch umgelagerte Beispiele aus älteren Schichten in nicht geringem Umfang enthalten sind. Auffallend ist

allerdings, daß für die untersuchte Schallengattung kein Skyphos und keine KRSt und KRS der frühen Typen 1–4 angetroffen wurden. Daher werden die nachfolgend besprochenen KRS vor allem die Siedlungsschicht 2 vertreten.

Die KRS des Typus 5 waren in der Siedlungsphase 2 sicher noch produziert und benutzt worden. Daher war von ihrer Präsenz in diesem Kontext auszugehen. Die beiden Beispiele könnten dennoch verschieden alt sein. Denn stilistisch gehört das Randfragment **90** der Variante 5,1 zu den ältesten Vertretern des Typus und könnte bereits aus Phase 1 stammen. Dagegen gibt sich der gerade, aber noch hohe Rand von **100** als Variante 5,2 zu erkennen, die erst während der Siedlungsphase 2 gefertigt und verwendet worden sein wird.

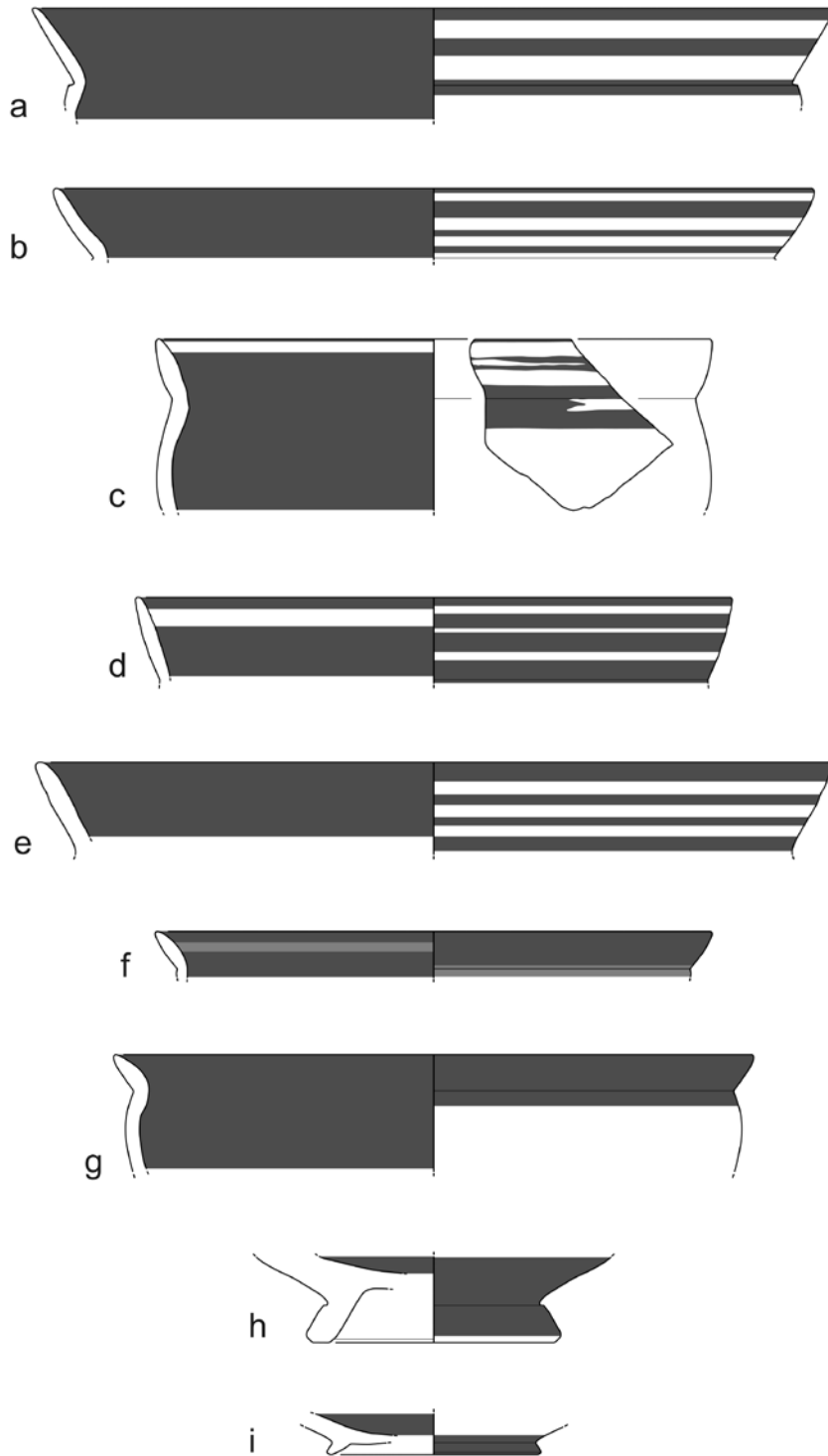
Ebenso wurde der Typus 6, dessen Hauptproduktionszeit ebenfalls für die Phasen 1 und 2 anzunehmen ist, im Kontext der Auffüllung für Phase 3 und in deren Boden angetroffen. Die KRS **122** stellt dabei die Variante 6,2 mit dem elaborierten Dekor $\alpha\gamma$, beidseitig mit feinen roten Streifen und Bändern, dar.

Zudem enthielt der Boden der Phase 3 oder die Auffüllung unter ihm ein Beispiel des erstmals gegen Ende der Phase 2 festgestellten Typus 11. Und wie bereits für **359** kann die Variante 11,5.B mit dem Randfragment **364** erneut am Ende der Siedlungsphase 2, bzw. am unmittelbaren Beginn der Phase 3 nachgewiesen werden. Darüber hinaus weist auch **364** die Dekorvariante k auf. Damit haben alle bisherigen KRS des Typus 11 den gleichen Dekor, der damit als ältester des Typus 11 zu gelten hat.

5.1.2.5.3.2 Die Knickrandskyphoi und -schalen aus dem Boden der Phase 3

Dagegen ist das Randfragment der KRS **Abb. 44,a** im Hofestrich von Q 89.03 geborgen worden. Es vertritt den Typus 4, Variante 4,3.B mit leichter Stufung am Übergang von Schulter und Rand. Der Typus 4 hatte seine stärkste Präsenz in der vorhergehenden Siedlungsphase 2, wo er mit 17 % den höchsten Anteil aller Typen aufwies. Zudem war er bereits in Phase 1 nachzuweisen, und auch die Variante 4,3 wurde bereits in der Aufschüttung zur Phase 3 belegt. Damit ist das im Hofboden eingelagerte Fragment **Abb. 44,a** sehr wahrscheinlich der Phase 2 zuzurechnen.

Aus der gleichen Fundsituation stammt das Fragment **Abb. 44,b**, eine KRS der Variante 5,3. Auch der Typus 5 war in der Vorphase mit einem hohen Anteil vertreten und konnte in verschiedenen Fundsituationen seit der Phase 0 verfolgt werden. Die leicht konkave Form des Randes ist seit den frühesten Varianten belegt, aber der verhältnismäßig niedrige Rand scheint schon eine entwickelte Stufe anzuzeigen. Die KRS **Abb. 44,e** stammt ebenfalls aus einem Hofboden der Phase 3, aus dem Befund Q 89.05. Das Randfragment gehört am ehesten zu einer KRS, die als Variante 5,3 oder 7,3 zu klassifizieren ist. Ebenfalls zum Typus 5 ist das große KRS-Fragment **99** zu zählen, das die Variante 5,2 vertritt. Damit waren im Boden der Siedlungsphase 3 nicht weniger als drei Beispiele des Typus 5 enthalten. Aufgrund ihrer Fundlage sind sie direkt zu Beginn der Anlage des Bodens eingelagert worden und damit noch in die Phase 2, spätestens an dessen Ende, zu datieren.



vorherige Seite

Abb. 44: Kalabaktepe-Süd, aus dem Boden und dem Benutzungshorizont der Siedlungsphase 3.
 a) K 89.167.20; b) K 89.167.21; c) K 89.419.10 (= Kat.-Nr. 145); d) K 89.419.9;
 e) K 89.139.7; f) K 89.133.1; g) K 89.237.1 (= Kat.-Nr. 367); h) K 89.419.8;
 i) K 89.145.3

Ferner fand sich im Hofestrich der Siedlungsphase 3 in Q 89.05 ein kleines Fragment einer KRS des Typus 11 (**Abb. 44,f**). Es kann als Variante 11,5 bestimmt werden, und der Dekor ist wahrscheinlich erneut die Variante *ky*, also mit roten Bändern. Mit **392** ist zum zweiten Mal nach der Auffüllung zur Phase 3 (**Abb. 41,g**) ein Beispiel des Typus 13, diesmal der Variante 13,2 angetroffen worden. Sein Dekor läßt sich lediglich zwischen den Varianten *k–m* einschränken. Aufgrund seiner Fundlage im Boden der Siedlungsphase 3 ist er stratigraphisch verankert. Falls das Fragment der 'kraterartigen' KRS nicht in den Boden eingetreten wurde, ist es wohl spätestens mit dem Ende der Phase 2 zu verbinden. Die 'kraterartige' KRS mit einem Mündungsdurchmesser von 38 cm ist lediglich der Form nach als KRS zu klassifizieren. Ihre Funktion wird ohne Zweifel die eines Mischgefäßes für ein Symposium gewesen sein. Der Rand ist undekoriert und gänzlich mit schwarzem Firnis überzogen. Das Gefäß hingegen wird sicher eine Bemalung getragen haben⁷³⁴.

5.1.2.5.3 Die Knickrandskyphoi und –schalen aus dem Boden der Phase 3

Der Befund K 89.419 in Q 89.04 beinhaltet einen Gehhorizont und darauf aufliegendes Material. Nicht ganz sicher ist das darin enthaltene Randfragment **Abb. 44,d** zu klassifizieren. Vermutlich handelt es sich um eine KRS des Typus 5, etwa wie **98**, die die Variante 5,2 vertritt. Doch ist nicht auszuschließen, daß **Abb. 44,d** dem Typus 7 zuzuweisen ist, wie etwa **137** der Variante 7,2 oder **142** der Variante 7,3. In demselben Befund fanden sich das Fragment **Abb. 44,c** (= **145**) einer KRS des Typus 7,4.B und der Standring **Abb. 44,h**. Ob der Standring zu einem der beiden ebenfalls hier nachgewiesenen KRS-Fragmente (**Abb. 44,c–d**) gehört, läßt sich nicht bestimmen. Er vertritt jedenfalls noch den engen, relativ hohen Standring mit abgekanteter Außenseite. Zudem weist er als oberen Abschluß eine kräftige Einziehung auf.

Der Typus 7, Variante 7,4 ist durch das Randfragment **145** im Benutzungshorizont vertreten. Er fand sich auf dem Gehhorizont in Q 89.04. Die Form der Schale erinnert bereits an solche, die auch von den frühen, seit dem Ende der Phase 2 aufkommenden Varianten des Typus 11 vertreten werden. Daher könnte **145** tatsächlich das Ende der Phase 2 oder den Beginn der Phase 3 vertreten.

Sicherlich zu einer KRS des Typus 10 gehört der flache und feine ausgestellte Standring **Abb. 44,i**. Er stammt aus dem Befund K 89.145, der als Hofboden mit aufliegendem Material charakterisiert ist.

⁷³⁴ Vielleicht ähnlich den schwarzgrundigen Krateren mit weißer Bemalung, vgl. Graeve 1973/74, Taf. 27, 90-92; von solchen Gefäßen haben die Bearbeiter der milesischen Kratere K. Ketterer und N. Panteleon inzwischen mehrere teils vollständige bes. aus den neuen Grabungen zusammensetzen können.

Das Fragment **Abb. 44,g** (= 367) der Variante 11,5 mit der Dekorvariante k fand sich in Q 89.07 – einer Zerstörungssituation der Benutzungszeit der Phase 3. Wieder ist also der Typus 11 in einer seiner frühen Fundlagen mit der Dekorvariante k zu verbinden.

5.1.2.5.3.4 Die Knickrandskyphoi und –schalen aus dem Boden der Phase 3 und die Aufschüttung zur Phase 4

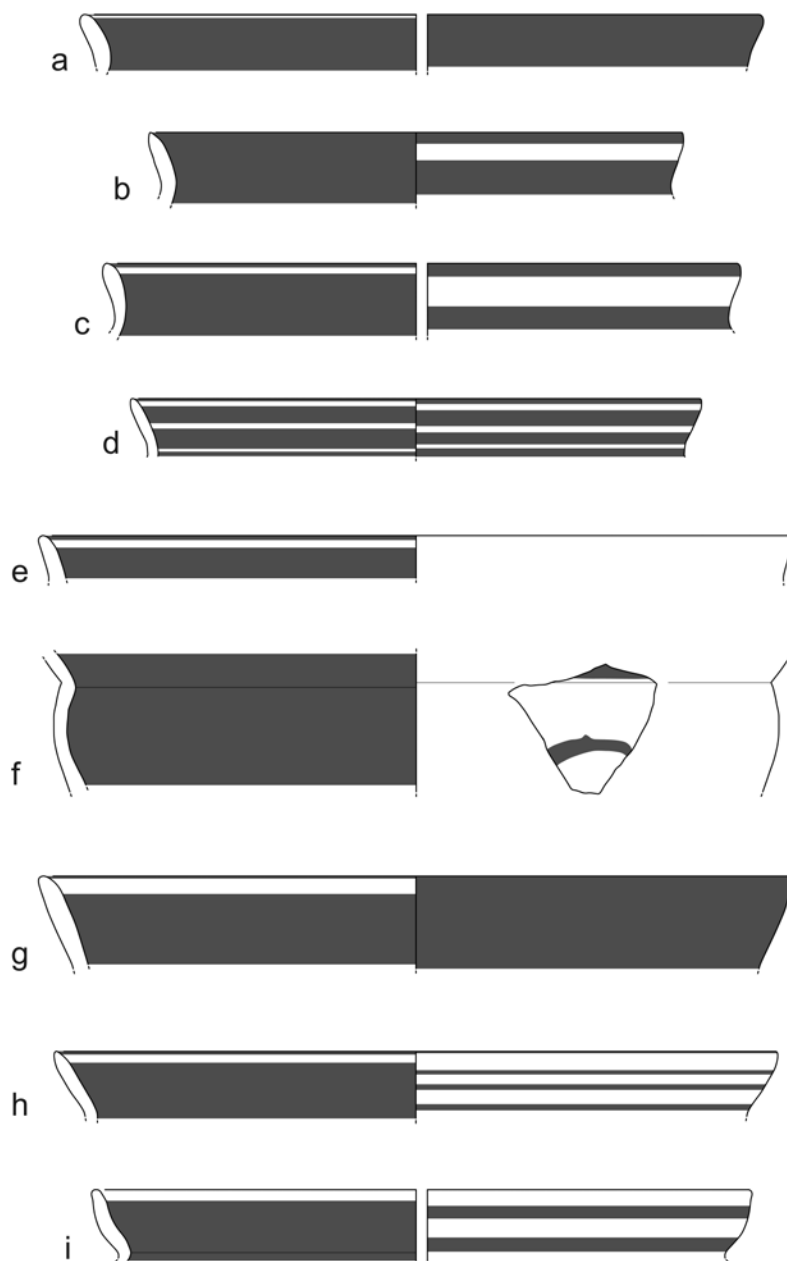


Abb. 45: Kalabaktepe-Süd, aus dem Boden der Siedlungsphase 3 und der Aufschüttung zur Siedlungsphase 4.

a) K 89.288.27; b) K 89.288.19; c) K 89.288.25; d) K 89.288.28; e) K 89.288.23;
f) K 89.288.20; g) K 89.288.29; h) K 89.288.24; i) K 89.288.26

Der Boden der Siedlungsphase 3 und die Aufschüttung zur Siedlungsphase 4 bargen neben Material, das in Phase 3 benutzt wurde, umgelagerte Funde aus tieferen und damit früheren Zusammenhängen. In beiden Fällen handelt es sich um Stücke, die noch vor der Phase 4 in Gebrauch waren. Ihre

Fundlage ist durch die Versiegelung des Bodens der Phase 4 gesichert und bietet somit einen *terminus ante quem* für die Funde.

Auch in die Aufschüttung zur Siedlungsphase 4 gelangten wieder einige ältere Beispiele, deren Fundlage nur durch Umlagerung zu erklären ist. Zu diesen sind sicher die drei Randscherben **Abb. 45,a–c** zu zählen. Sie vertreten den Typus 1 und spiegeln in ihrer Fundsituation im Boden und Benutzungshorizont der Siedlungsphase 3 in keiner Weise mehr die Produktion der Gattung zu dieser Zeit wider. Zum Typus 1 könnte auch das recht kleine und daher wenig signifikante Randfragment **Abb. 45,e** gehören.

Sehr ungewöhnlich ist der Dekor des KRS-Fragments **Abb. 45,d**, dessen Form auf Typus 3 oder 7 schließen läßt. Lediglich im letzteren Fall könnte es aus der Zeit seiner Deponierung stammen.

Aus dem Befund K 89.288 stammen zwei Randfragmente von KRS des Typus 5. Dabei ist **Abb. 45,i** als Variante 5,1 und **Abb. 45,h** als Variante 5,3 zu klassifizieren.

Auch **Abb. 45,g** vertritt den Typus 6. Allerdings hat sich nicht mehr als der recht hohe Rand erhalten, daher kann über das Verhältnis des Randes zum Gefäßkörper und damit zur Variante keine eindeutige Aussage mehr getroffen werden. Zum Boden der Siedlungsphase 3 oder zur Aufschüttung für Phase 4 ist das Fragment **131** zu zählen. Es fand sich in der »Schutteinfüllung hinter der Stadtmauer«, die Senff der Phase 3 zuschreibt. Die KRS **131** der Variante 6,4 ist aber vermutlich eher aus einer der früheren Phasen in diesen Fundzusammenhang gelangt, da sich vergleichbare Beispiele bereits in Kontexten vor 630 v. Chr. fanden⁷³⁵. Ferner ist mit **Abb. 46,a** (= **273**) eine fast vollständige kleine KRS des Typus 10 im Boden der Phase 3 oder in der Auffüllung für Phase 4 dokumentiert. Sie gehört der Variante 10,8 an, lediglich der Fuß fehlt. Da **Abb. 46,a** (= **273**) allerdings aus dem Befund K 89.288 stammt, ist eher davon auszugehen, daß die darin befindlichen Funde vor allem der Aufschüttung für Siedlungsphase 4 angehören. Denn allein sieben größere und kleine Fragmente von KRS des Typus 10 waren in diesem Befund enthalten (**Abb. 46**). Dabei vertreten die hier gesammelten Beispiele des Typus 10 die Varianten 10,2.B (**Abb. 46,c**), Variante 10,7.C (**Abb. 46,b**), Variante 10,6.C (**Abb. 46,e**) und Variante 10,4.B (**Abb. 46,d**).

Vermutlich gehört die KRS **Abb. 46,f** der Variante 10,2 mit sehr hohem Rand an. Allerdings ist der Rand bei dem Beispiel nicht vollständig erhalten geblieben. Vermutlich ist auch der Standring **Abb. 46,g** dem Typus 10 zuzuweisen und durch einen noch recht engen Durchmesser charakterisiert. Wieder ist es vor allem die Dekorvariante k, die bei fast allen Beispielen des Typus 10 anzutreffen ist (**Abb. 46,a,c–f**). Lediglich die KRS **Abb. 46,b** zeigt erstmals einen anderen Dekor – eine Sonderform der Variante m, die ansonsten lediglich durch die KRS **322** des Typus 10,13.C vertreten ist. Interessant könnte auch das besondere Merkmal bei der Bemalung der dunklen Fußzone sein, die sich an den beiden KRS **Abb. 46,a–b** feststellen läßt.

⁷³⁵ s. etwa **123–124. 128. 130. 132–133.**

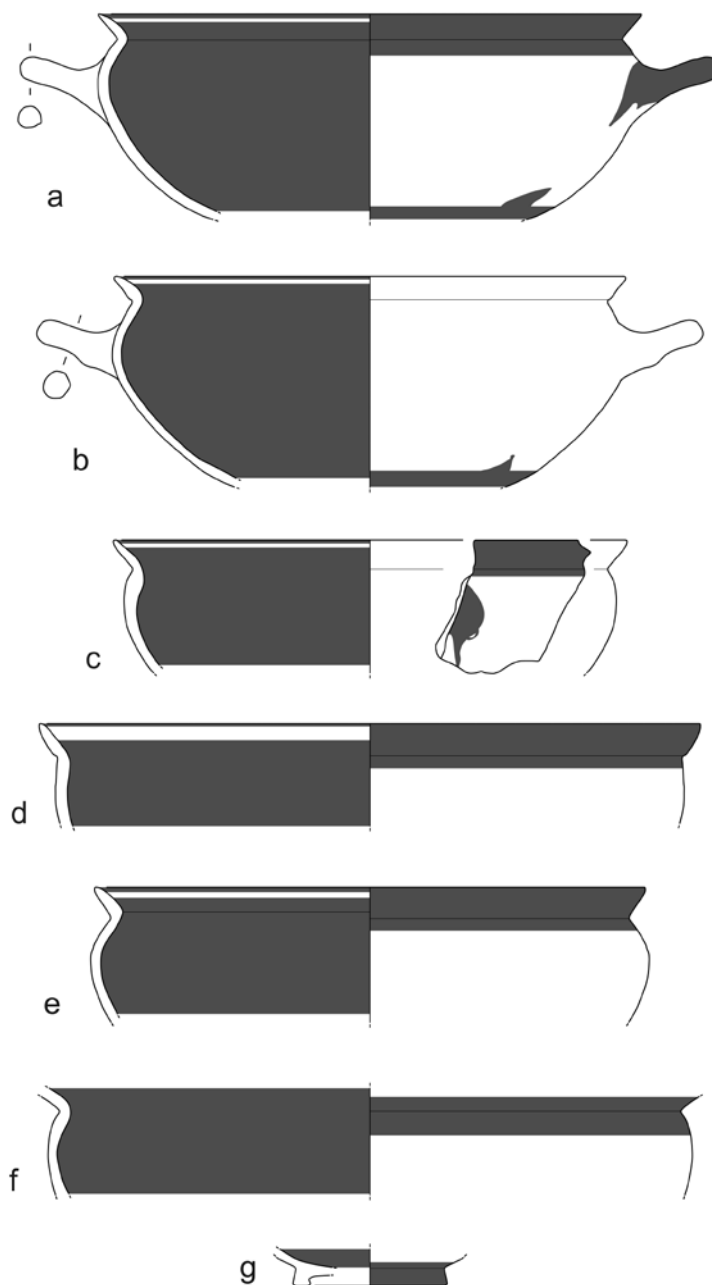
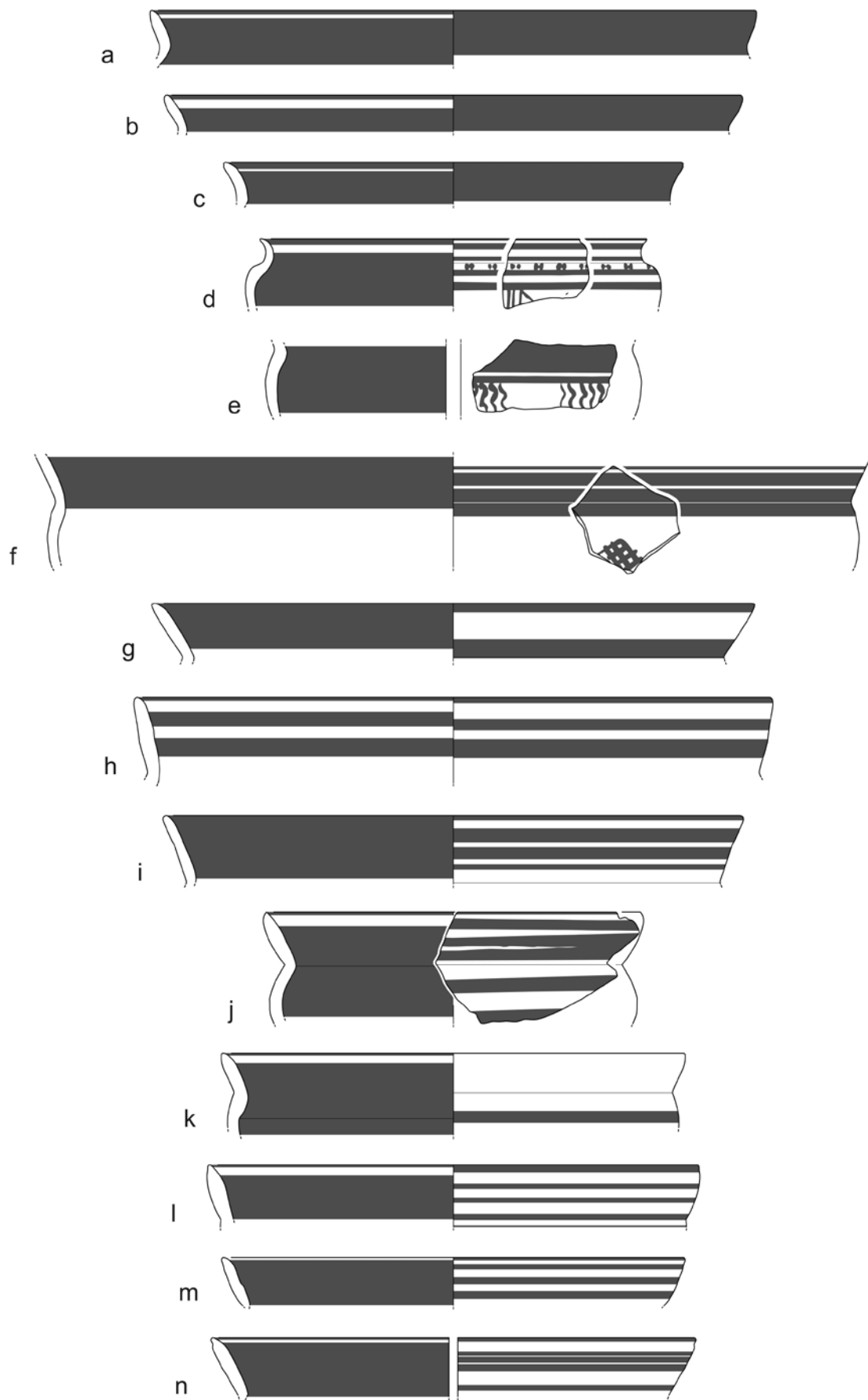


Abb. 46: Kalabaktepe-Süd, aus dem Boden der Phase 3 und der Auffüllung zur Siedlungsphase 4.
 a) K 89.288.1 (= Kat.-Nr. 273); b) K 89.288.36; c) K 89.288.21; d) K 89.288.22;
 e) K 89.279.2; f) K 89.279.1; g) K 89.288.30

Hier wurde der Pinsel noch nach oben ausgezogen, so daß eine Art 'Signatur' in Form eines Dreiecks entstand. Möglicherweise ist hierin die Eigenheit eines Töpfers oder einer Werkstatt zu erkennen.

5.1.2.5.3.5 Die Knickrandskyphoi und –schalen aus der Aufschüttung zur Phase 4

Die Aufschüttung zur Siedlungsphase 4 birgt erneut Funde, die vor der Phase 4 in Gebrauch gewesen sind. Allerdings ist auch hier erneut viel Material aus älteren Schichten zu erwarten. Daher gilt lediglich für viele der in dieser Fundlage festgestellten KRS und ihrer Vorgänger, daß sie vor der Anlage der Aufschüttung produziert und benutzt wurden.



vorherige Seite

- Abb. 47: Kalabaktepe-Süd, aus der Auffüllung zur Siedlungsphase 4 mit Boden der Phase 4.
 a) K 89.510.30; b) K 89.510.21; e) K 89.510.18 (= Kat.-Nr. 10); j) K 89.510.26;
 l) K 89.510.27.
 Kalabaktepe-Süd, aus der Auffüllung zur Siedlungsphase 4 evtl. mit Boden der Phase 2/3.
 c) K 89.514.46; d) K 89.514.36 (= Kat.-Nr. 30); f) K 89.514.35; g) K 89.514.42;
 h) K 89.514.48; i) K 89.514.47.
 Kalabaktepe-Süd, aus der Auffüllung zur Siedlungsphase 4, mit älterem Material vermengt.
 k) K 89.128.4; m) K 89.119.3; n) K 89.119.2

Unter den in der Aufschüttung angetroffenen Funden gehören die KRsk des Typus 1 zweifellos zu den aus älteren Kontexten umgelagerten Stücken. Zwar wurden die KRsk **Abb. 47.a–b** im Befund K 89.510 geborgen, der sowohl Teile der Aufschüttung zu Phase 4 enthält, als auch Teile des Bodens der Phase 4. Aber da der Typus 1,1.A zu den frühesten Funden am Kalabaktepe-Süd überhaupt gehört, ist davon auszugehen, daß die Fragmente aus der Aufschüttung stammen. Vermutlich vertritt auch der KRsk **Abb. 47.c** den Typus 1. Eine genaue Bestimmung ist aufgrund des fehlenden Übergangs zur Schulter nicht möglich. Er stammt aus dem Befund K 89.514, der neben der Aufschüttung zur Phase 4 auch Teile der Böden von Siedlungsphase 2 und 3 enthält. Ebenfalls als Typus 1, vermutlich der Variante 1,2.A oder B, ist das Wandfragment **Abb. 47.e (= 10)** zu klassifizieren. Der Dekor auf der Schulter ist am ehesten mit mittelgeometrischen Dekoren in Korinth zu vergleichen⁷³⁶. Damit dürfte auch der KRsk **Abb. 47.e (= 10)**, der wiederum aus dem Befund K 89.510 stammt, aus den ältesten Bereichen am Südhang in die Aufschüttung zur Phase 4 geraten sein.

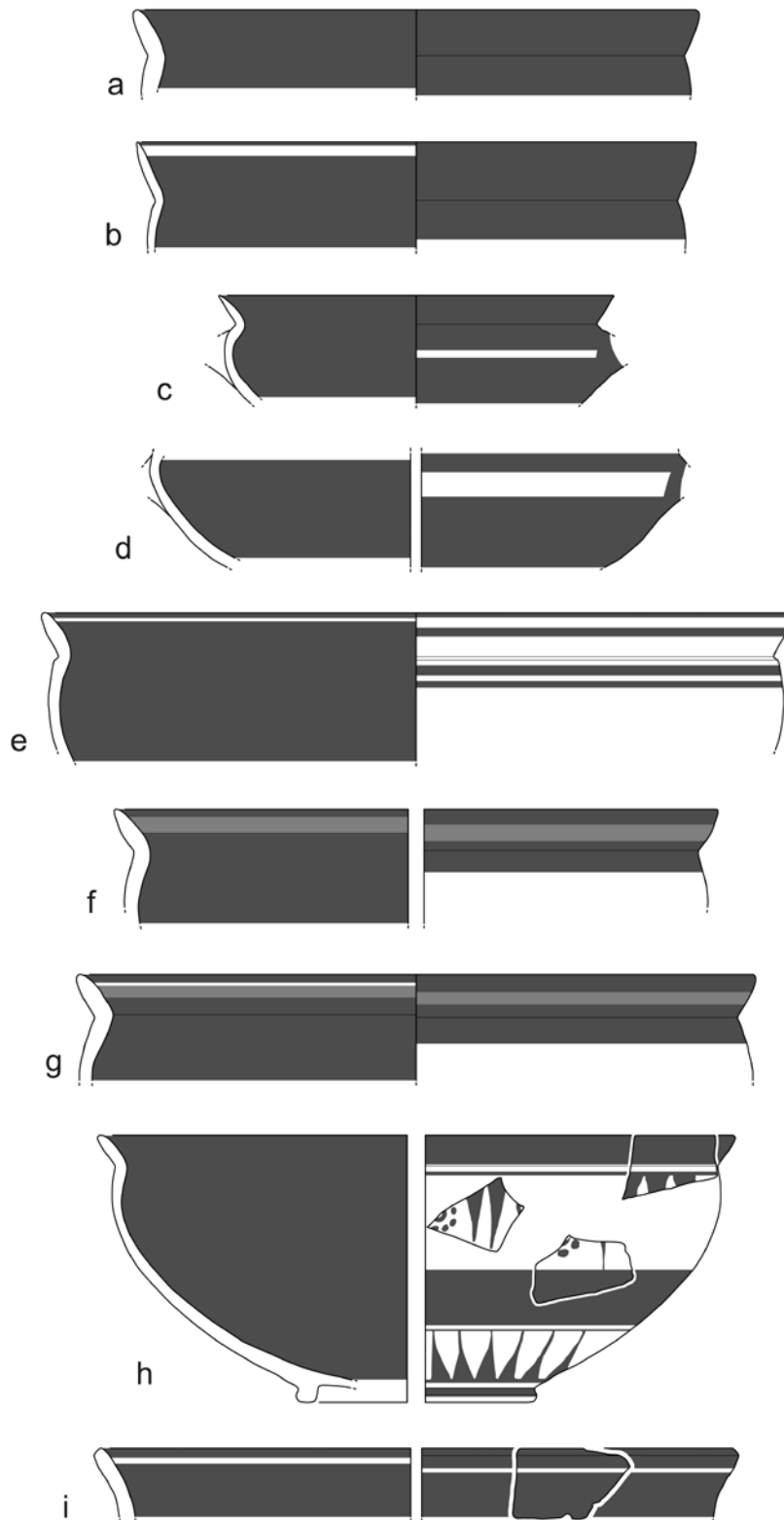
Ein fein bemalter KRsk der Variante 2,1.B (**Abb. 47.d = 30**), der in seinem Dekor vielleicht bereits Astragal-Darstellungen aufweist und in den Schulterbildfeldern mit Metopen mit Kreuzen verziert ist, stammt entweder aus den Böden der Siedlungsphasen 2 und 3 oder der Aufschüttung zur Phase 4. In jedem Fall ist der spätgeometrische Skyphos wesentlich älter als seine Fundlage und daher zweifellos mindestens einmal umgelagert worden. Aus einer »dicken Schicht unter dem Schotterbett«, die Senff als Auffüllung für Phase 4 interpretiert, stammt der KRsk **39** der Variante 2,3.B mit der Dekorvariante c. Der Dekor von **39** ist mit der Kammbürste erzeugt und weist daher bereits auf eine subgeometrische Bemalung hin. Auch dieser Skyphos ist wiederum älter als sein Fundkontext.

Hervorzuheben ist die gegitterte Raute auf der Schulter der sehr großen subgeometrischen KRsk **Abb. 47.f** des Typus 3. Die Form ohne Umrandung ist unter den ostgriechischen Motiven ähnlicher Art eher ungewöhnlich. In der Regel sind die gegitterten Rauten und Dreiecke

umrandet, besitzen also einen festen Rahmen⁷³⁷. Dagegen finden sich 'offene Gitterrauten' unter der besser bekannten Denkmälergruppe geometrischer korinthischer Keramik häufiger⁷³⁸. Doch ist diese Art der einfach dekorierten korinthischen Keramik im ostägäischen Raum nicht häufig anzutreffen.

⁷³⁶ s. S. 285 mit Anm. 810.

⁷³⁷ Vgl. etwa Boardman 1998, 74–75 Abb. 134–138; 76 Abb. 141–143; 77 Abb. 145.



⁷³⁸ Auch auf euböischen Skyphoi, die als LG II bezeichnet werden, vielleicht aber bereits subgeometrisch sind, ist dies Motiv beheimatet (Boardman 1998, 57 Abb.78. 80–81). In Al Mina ist das Motiv ebenfalls anzutreffen (Robertson 1940, 3 Abb. 1,p; 5 Abb. 2,r; 7 Abb. 3,k).

vorherige Seite

Abb. 48 Kalabaktepe-Süd, aus der Auffüllung zur Siedlungsphase 4 evtl. mit Boden der Phase 2/3.
 a) K 89.514.45; b) K 89.514.44; c) K 89.260.14; e) K 89.514.43 (= Kat.-Nr. 148).
 Kalabaktepe-Süd, aus der Auffüllung zur Siedlungsphase 4 mit Boden der Phase 4.
 d) K 89.510.33; f) K 89.510.29 (= Kat.-Nr. 342); g) K 89.510.70 (= Kat.-Nr. 341);
 h) K 89.506.23+510.19 (= Kat.-Nr. 437); i) K 89.510.28

Selten, aber nicht unbekannt, sind ungerahmte Rauten und Dreiecke auch auf nordionischen Vogelkannen und -schalen anzutreffen⁷³⁹. Außerdem findet sich unter karischem und kykladischem Gefäßschmuck häufiger die ungerahmte 'offene Gitterraute'⁷⁴⁰. Demnach muß noch offen bleiben, ob die in Milet selten nachgewiesenen Gefäße mit diesem Schmuck tatsächlich von milesischen Pinseln geschmückt wurden, oder ob hier ein Importstück der gleichen Formgattung vorliegt. Während die Variante des Typus 3 bei dem Fragment **Abb. 47,f** nicht eindeutig bestimmt werden konnte, sind die Randfragmente der KRS **Abb.47,g–i** eindeutiger den Varianten 3,2 und 3,3 zuzuordnen. Alle drei stammen aus dem Befund K 89.514. Damit gehören sie entweder der Auffüllung zur Phase 4 oder den Böden der Phase 2 oder 3 an. Wahrscheinlich wäre die Fundlage des Bodens der Siedlungsphase 2 oder eine Umlagerung aus einer älteren Schicht in die Auffüllung zur Phase 4. Ein weiteres Fragment einer KRS des Typus 3 stellt **71** dar. Er vertritt die Variante 3,3 und die Dekorvariante c. Der Befund K 90.222, in der die KRS **71** gefunden wurde, besteht aus Schutt der Phase 3 oder dem Boden der Phase 4. Die Zeitstellung des Gefäßes **71** scheint auf eine Umlagerung aus älteren Kontexten schließen zu lassen, was in der Deponierung von Schutt eine plausible Erklärung fände.

Etwas ungewöhnlich sind die KRS **Abb. 47,j** und **Abb. 47,l**. Sie vertreten am ehesten den Typus 5 und dort die Variante 5,3. Sicher der Variante 5,2 ist das Randfragment **Abb. 47,n** zuzuordnen, und die KRS **Abb. 47,m** der Variante 5,3. Vier Beispiele des Typus 5, vermutlich aus der Auffüllung zur Phase 4, deuten am ehesten auf eine Umlagerung aus älteren Schichten hin. Der Typus 5 gehörte allerdings bis zur Phase 2 noch zu den häufig produzierten KRS. Ob es sich allerdings um Importe aus Samos oder lokale Produkte handelt, muß vorläufig unbeantwortet bleiben. Denn die naturwissenschaftlichen Untersuchungen zur Herkunftsbestimmung haben bislang vor allem Samos als Produktionszentrum nachweisen können. Ein Produktionsnachweis für Milet steht noch aus.

Eine 1992 aufgedeckte KRS der Variante 6,2.B stammt ebenfalls aus der Auffüllung für die Phase 4 oder aus dem Schutt dieser Phase. In beiden Fällen muß die KRS **121** aufgrund von Baumaßnahmen aus älteren Bereichen hierher gelangt sein. Das gleiche gilt wohl auch für die KRS der Variante 6,4 (**Abb. 48,b**), die zum Befund K 89.514 zählt. Der Befund umfaßt sowohl die Böden der Phasen 2 und 3, als auch die Auffüllung für die Phase 4.

⁷³⁹ Vgl. die Vogelkanne Boardman 1998, 75 Abb. 139; zur Landschaftsbestimmung der Vogelschalen und -kannen s. jetzt M. Kerschner in: Akurgal u. a. 2002, 63 ff. bes. 66 ff..

⁷⁴⁰ Vgl. zum Kykladischen: beispielsweise Boardman 1998, 127 Abb. 246; zum Karischen: beispielsweise A. Akarca, Belleten 35, 1971, Taf. 21, 15; 30, 47; 35.

Eine ebenfalls im Befund K 89.514 aufgedeckte KRS der Variante 7,5.B stammt gleichfalls aus der Auffüllung für die Phase 4 oder aus den Böden der Phase 2 oder 3. Sollte die KRS **Abb. 48,e** (= **148**) nicht aus den Böden der Phase 2 oder 3 stammen, ist sie sicher in die Auffüllung für Phase 4 aus einem älteren Kontext umgelagert worden.

Auch ein Beispiel (**151**) des Typus 8, Variante 8,1 ist im Schutt der Phase 3, der als Auffüllung für die Siedlungsphase 4 benutzt wurde, nachzuweisen. Stilistisch vertritt **151** eher einen frühen Vertreter des Typus 8. Seine Fundlage überschneidet sich vermutlich noch mit dem Ende seiner Produktion und Nutzung. Auch **Abb. 48,c**, ein Randfragment mit Henkelansatz der Variante 8,2 ist spätestens aus der Auffüllung zur Phase 4 geborgen worden. Allerdings beinhaltet sein Befund K 89.514 auch die Böden der Phasen 2 und 3.

Besondere Beachtung verdient das Beckenfragment der KRS **Abb. 48,d**. Hier ist erstmals der Typus 9, vermutlich in der Variante 9,1.B–C nachgewiesen. Er konnte im Befund K 89.510 sichergestellt werden, der die Auffüllung und den Boden der Siedlungsphase 4 beschreibt.

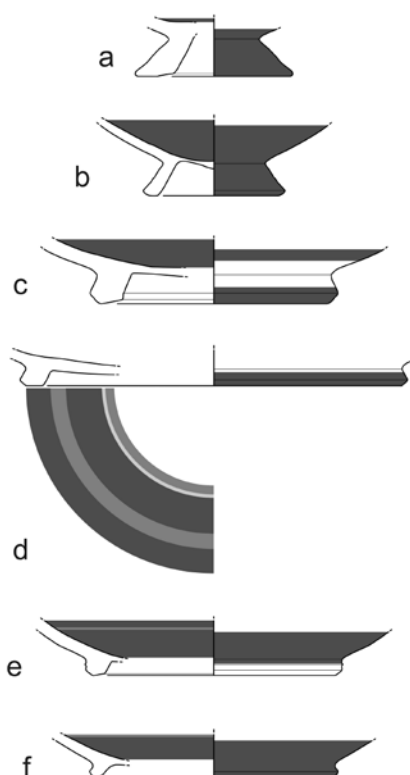


Abb. 49 Kalabaktepe-Süd, aus der Auffüllung zur Siedlungsphase 4 evtl. mit Boden der Phase 2/3.
 a) K 89.514.29; c) K 89.514.41.
 Kalabaktepe-Süd, aus der Auffüllung zur Siedlungsphase 4 mit Boden der Phase 4.
 b) K 89.510.34; d) K 89.510.36; e) K 89.510.37; f) K 89.510.35

Die Schale **Abb. 47,k** ist mit der seltenen Dekorvariante l geschmückt. Die Form der KRS vertritt den Typus 10 der milesischen KRS. Die Beispiele der Variante 10,4 kommen der Form der Schale **Abb. 47,k** am nächsten. Zudem sind die Dekorvariante l und die mit ihr verwandte Variante n unter den Beispielen dieser Formvariante nicht ungewöhnlich. Am ehesten gleicht die hier besprochene

Schale der KRS **250**. Ein weiteres Beispiel der Variante 10,4.B ist **Abb. 48,h (= 437)**. Seine Fundlage ist die Auffüllung für Siedlungsphase 4 oder bereits der Boden der Phase 4. Sie ist mit Gefäßmalerei der Stilphase SiA/MileA Id geschmückt.

Drei Beispiele des Typus 11 (**Abb. 48,a-f-g**) vertreten die Variante 11,5. Während **Abb. 48,a** aus dem Befund K 89.514 stammt, der durch Auffüllung zur Phase 4 und Böden der Phasen 2 oder 3 charakterisiert ist, entstammen die beiden KRS **Abb. 48,f-g (= 341-342)** der Variante 11,4.B sicher frühestens der Auffüllung oder dem Boden der Phase 4.

Nicht sicher zu bestimmen ist das Randfragment **Abb. 48,i**, das eventuell von einer großen KRS des Typus 12 oder 13 herrührt.

Abschließend seien einige Füße besprochen, die vielleicht zu KRS gehören und im Zusammenhang mit der Siedlungsphase 3 angetroffen wurden. Die engen konische Standfüße **Abb. 49,a-b** gehören noch den älteren Entwicklungen an. Sie lagen beide vermutlich in der Auffüllung zu Phase 4, wobei der Fuß **Abb. 49,a** sogar in den im Befund K 89.514 ebenfalls enthaltenen Böden der früheren Siedlungsphasen 2 und 3 deponiert gewesen sein könnte, was sich mit ihrer Entwicklungsstufe besser vertragen würde. Die Form der abgekanteten Standringe **Abb. 49,c-e** sind schon aus der Phase 2 bekannt (vgl. **Abb. 39,a-c**). Die jüngste Entwicklung zeigt möglicherweise der sehr breite Standring **Abb. 49,c** an, der zudem in der Standringfläche mit Malschlicker und aufgesetzten roten Bändern geschmückt ist. Daß aber auch der engere Standring, wie er durch **Abb. 49,d-f** in Phase 4 angetroffen wurde, noch die Zeit vertritt, zeigt die fast vollständig rekonstruierbare KRS **Abb. 48,h (= 437)** mit Bemalung der Stilstufe SiA/MileA Id. Auch ihr Standring ist leicht abgekantet, wenn auch nicht nach außen hin, wie die Beispiele **Abb. 49,c-f**.

5.1.2.5.3.6 Die Verteilung der Knickrandskyphoi- und -schalentypen in Phase 3 insgesamt

Bereits in der Siedlungsphase 2 deuteten sich zwei Tendenzen an, die in Phase 3 weiter verfolgt werden konnten. Zum einen war dies der Rückgang der geometrischen Typen im Gesamterscheinungsbild der Keramikgattung KRS und ihrer Vorgänger. Dieser Wechsel zum archaischen Schalenbild muß bereits in der ersten Hälfte der Siedlungsphase 2 stattgefunden haben. Zum anderen konnten zwei neue, bedeutende Schalentypen unter den KRS festgestellt werden. Bereits in der Diskussion der einzelnen Fundsituationen innerhalb der Siedlungsphase 3 anhand des Grabungsjahrganges 1989 und der anderen Jahrgänge aus dem Katalog konnte beobachtet werden, daß die Bedeutung der Typen 10 und 11 zunehmen. Auch in der statistischen Aufschlüsselung der Typen in der Siedlungsphase 3 (**Abb. 50**) findet sich die Beobachtung bestätigt.

Die 226 signifikanten Randfragmente der Siedlungsphase 3, die in das Diagramm (**Abb. 50**) eingegangen sind, werden nun bereits etwa zu gleichen Teilen von den Typen 10 und 11 beherrscht. Zusammen machen sie mit 47 % fast die Hälfte aller KRS der Phase 2 aus. Neu, wenn auch in bescheidener Anzahl, tritt erstmals der Typus 9 in Erscheinung. Auch der bereits in der Vorphase

nachgewiesene Typus 13 ist wieder vertreten. Er weist weiterhin mit nur 1 % eine bescheidene Produktion auf. Zusammen machen die in der Vorphase 2 und nun in der Siedlungsphase 3 neu aufgetretenen Typen 9, 10, 11 und 13 ganze 49 % der Gesamtmenge der Gattung in der Siedlungsphase 3 aus.

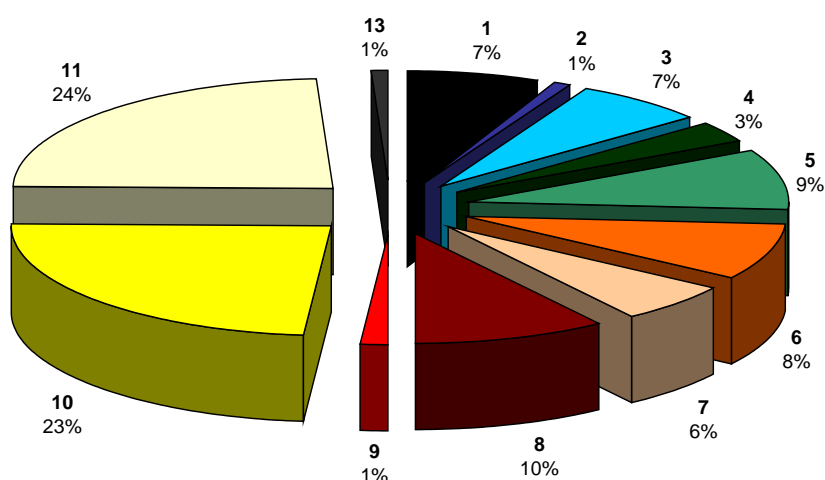


Abb. 50: Kalabaktepe-Süd, Verteilung der KRSk und KRS in der Siedlungsphase 3

Dagegen nimmt die Bedeutung der Gruppen, für welche erstmals die stärkste Produktion in der vorhergehenden Siedlungsphase 2 festgestellt werden konnte, stark ab. Dies waren die KRS der Typen 5–8. Ihr gemeinsamer Anteil an der Gesamtmenge der klassifizierten KRS und ihrer Vorläufer beträgt in der Siedlungsphase 3 dennoch immerhin 33 %, also ein Drittel der Gesamtmenge. Die einzigen Ausnahmen sind der Typus 3, der im Vergleich zur Vorphase seinen Anteil halten kann, und Typus 7, dessen Anteil von 4 auf 6 % steigt.

Marginal ist nunmehr der Anteil der spät- und subgeometrischen Typen 1–4. Zusammengenommen sinkt ihr Anteil auf 18 %. Die relativ große Anzahl an KRS der Typen 1 und 3 mit immerhin jeweils 7 % kann lediglich durch Umlagerungen aus früheren Siedlungsphasen, durch Umbaumaßnahmen oder Aufschüttung für die Phase 4 erklärt werden. Eine Produktion und Nutzung dieser frühen Typen ist für die Siedlungsphase 3 auszuschließen.

5.1.2.5.4 Zusammenfassung Phase 3

Auffallend ist das Fehlen geometrischer Beispiele im Boden und Benutzungshorizont der Siedlungsphase 3, die für die vorhergehende Siedlungsphase 2 noch festzustellen waren. Erst in den Aufschüttungen zur Phase 4 sind dann die stilistisch und chronologisch frühen Typen wieder anzutreffen. Damit bestätigt sich die Vermutung, die aus der Gesamtstatistik erschlossen wurde: Die

geometrischen Typen der KRSk sind in Phase 3 nicht mehr in Gebrauch. Damit kann umgekehrt der Schluß gezogen werden, daß die dennoch relativ starke Präsenz geometrischer Typen von zusammen immerhin 18 % (Typen 1–4) das Ergebnis von Umlagerungen aus tiefer gelegenen Schichten ist. Tatsächlich sind sie vor allem in den beschriebenen Planierungen und Aufschüttungen für die Siedlungsphase 4 deponiert. Im Zuge dieser Maßnahmen ist vermutlich aus den nun aufgegebenen Bereichen vor der Stadtmauer oder aus anderen nahen Arealen Auffüllungsmaterial gewonnen worden.

Zudem findet sich in der Aufschüttung zur Siedlungsphase 4 ein großer Anteil und ein Querschnitt von Gefäßen der Siedlungsphase 3, so vor allem viele Beispiele der Typen 10 und 11, die hier durch die Planierung der Phase 3 am Ort verblieben sein müssen. Planierung und Aufschüttung ließen sich während der Grabungen an manchen Stellen nicht trennen. Erst jetzt in der Auswertung des Fundmaterials lassen sich die beiden Bereiche wieder scheiden. Signifikant für die Aufschüttung ist das geometrische Material der Siedlungsphasen 1 und 2, während in der Planierungsschicht der Siedlungsphase 3 vor allem früharchaische und archaische Formen und Dekore zutage treten.

Insgesamt ist in dieser Siedlungsphase nicht nur die bislang größte Anhäufung von Randfragmenten der Gattung innerhalb einer Phase anzutreffen, sondern auch die bislang größte Vielfalt. Doch anders als die ausgeglichene Verteilung, die so bezeichnend für die Siedlungsphase 2 war, treten nun die zwei neuen Schalentypen 10 und 11 mit ihren großen Anteilen in den Vordergrund. Ebenfalls neu, aber mit einer verschwindend geringen Menge tritt der Typus 9 neu hinzu. Der Anteil von 1 % an der Gesamtmenge kann wohl dahingehend gedeutet werden, daß die Entwicklung des Typus vielleicht erst zur Mitte oder zum Ende der Siedlungsphase 3 einsetzt. Überhaupt scheint das keramische Bild der Phase 3 durch einen Wandel geprägt zu sein. Der relativ hohe Anteil der früharchaischen Typen 5–8 muß im Hinblick auf deren starke Präsenz in der vorherigen Siedlungsphase 2 entsprechend als weitergeführte Produktion und Nutzung zu Beginn interpretiert werden. Erst im Verlaufe der Siedlungsphase 3 scheinen diese Typen dann von den neuen Typen 10, 11 und in geringem Maße durch den Typus 9 abgelöst worden zu sein.

Mit der Siedlungsphase 3 könnte sich erstmals die neue Stilstufe MileA II, der sog. Fikellurastil, in der südionischen Gefäßmalerei ankündigen. Die Wandfragmente der sog. Bilinguen-Schale **542** lagen im Befund K 90.725. Dieser umfaßte sowohl die Auffüllung, als auch den Boden der Siedlungsphase 4. Sollten die Fragmente in der Auffüllung gelegen haben, wären sie bereits zu Phase 3 zu zählen. Allerdings scheint der Befund nachträglich von Maßnahmen der Phasen 6 und 7 gestört worden zu sein. Das läßt diesen wichtigen Hinweis unsicher erscheinen. Darüber hinaus sind noch zwei KRS des Typus 10,7 (**Abb. 48,h = 437**) und ein Wandfragment (**505**) in einer ähnlichen Fundlage wie die Fragmente der KRS **542** angetroffen worden. Beide KRS wurden in Befunden geborgen, die die Auffüllung für Phase 4 und deren Boden enthalten. **Abb. 48,h (= 437)** gehört der Spätphase des Tierfriesstils SiA/MileA Id an und **505** sogar noch den Stilphasen SiA Ib–c. Letztere ist damit sicher

umgelagert worden und wird der Auffüllung zuzurechnen sein. Dagegen ist die KRS **Abb. 48,h** (= **437**) der Stilphase SiA/MileA Id wohl tatsächlich ein Produkt der Phase 3.

5.1.2.6 Die Siedlungsphase 4

Der in Siedlungsphase 3 festgestellte Wandel im Töpferhandwerk mit einer Zunahme und Spezialisierung der Produktion spiegelt sich weder in der Siedlungs- noch der Gewerbestruktur im Grabungsbereich am Kalabaktepe-Süd wieder. Die Hinweise scheinen darauf hinzudeuten, daß nun größere, gut organisierte Töpfereien entstanden. Möglicherweise erhielten im Rahmen der beschriebenen Veränderung die kleinen familiären Betriebe, wie sie hier am Südhang des Kalabaktepe sicher bestanden, Konkurrenz durch große, vielleicht ausgelagerte Töpfereibetriebe. Doch noch blieben die Töpferöfen am Südhang in der Siedlungsphase 4 weiter in Betrieb.

5.1.2.6.1 Datierung der Phase 4

Auch für die Siedlungsphase 4 existieren weder für den Beginn noch für das Ende datierende Anhaltspunkte. Zudem fehlt auch die Importkeramik, die eine genauere Datierung zuließe. Ferner gibt es keine Hinweise, die mit überlieferten historischen Ereignissen synchronisiert werden könnten. Methodisch bleibt daher lediglich die Option, den schematischen Generationenschritt von 30 Jahren für die Phase 4 anzuwenden. Die Zeiträume zwischen dem Stadtmauerbau, der aufgrund der korinthischen Importkeramik in der Aufschüttung um 640 v. Chr. fixiert werden konnte, sowie dem Ende der Phase 2 um 610 v. Chr., das ebenfalls mit Hilfe der korinthischen Importkeramik datiert wurde, scheinen die Generationsspanne grundsätzlich zu bestätigen. Im Wissen um die Ungenauigkeit der so erzielten 'absoluten' Datierung gewinnen wir innerhalb des bestehenden Systems folgenden Zeitrahmen für die Siedlungsphase 4: Beginn ca. 580 v. Chr. und Ende ca. 550 v. Chr.

Für die relative Abfolge liegen in der Siedlungsphase wieder feinere Abfolgen vor. Die Phase 4 nimmt – wie die Phasen zuvor – erneut mit einem Boden ihren Anfang, der sicher wieder vor allem Funde aus der vorherigen Phase birgt. Andererseits datieren die jüngsten Beispiele in der Auffüllung für Phase 4 und in deren Boden an den Beginn der Phase 4. Für die im Boden befindliche Keramik stellt umgekehrt aber in der relativen Abfolge der Boden der Phase 4 einen *terminus ad* und *ante quem* dar. Auf diese folgen die Funde des Benutzungshorizontes, der wiederum eine weitere relativchronologische Einheit in einer Umbauphase – Unterphase 4a – besitzt. Zuletzt wird die Aufschüttung zur Phase 5 betrachtet. In dieser sind neben Beispielen älterer Typen aus tieferen Zusammenhängen auch solche aus dem Planierungsschutt der Benutzungszeit der Phase 4 selbst zu erwarten.

5.1.2.6.2 Die Rückschlüsse für das Gebiet am Kalabaktepe-Süd in der Phase 4

Der Rückgang in der Verteilungsdichte von knapp über 1,0 auf ca. 0,8 KRS pro Befund ist kein dramatischer Rückgang, sondern kann im Hinblick auf die gesamte Entwicklung der sieben Phasen am Kalabaktepe-Süd als 'normale' Schwankung gewertet werden. Die verhältnismäßig geringen

Schwankungen der Siedlungsphasen 3–5 wurden sogar dahingehend interpretiert, daß während dieser drei Phasen am ehesten eine konstante Verteilungsdichte festzustellen ist, in denen in etwa einheitliche Siedlungsbedingungen herrschten.

5.1.2.6.3 *Das Bild der Gattung während der Phase 4*

Mit der Siedlungsphase 4 am Kalabaktepe-Süd ist inzwischen die fortgeschrittene erste Hälfte des 6. Jhs. v. Chr. erreicht. Im Folgenden werden erneut anhand der dokumentierten Beispiele des Jahrgangs 1989 und der im Katalog aufgeführten Beispiele die Entwicklungsstufen der KRS in der Siedlungsphase 4 diskutiert. Darüber hinaus sind Aussagen zum Stand der Gefäßmalerei und – im Zusammenhang mit der Gesamtstatistik der Siedlungsphase – ein Typenspektrum für die Haushalte der milesischen 'Südstadt' zu erwarten.

5.1.2.6.3.1 Die Knickrandskyphoi- und –schalen aus dem Boden der Phase 4

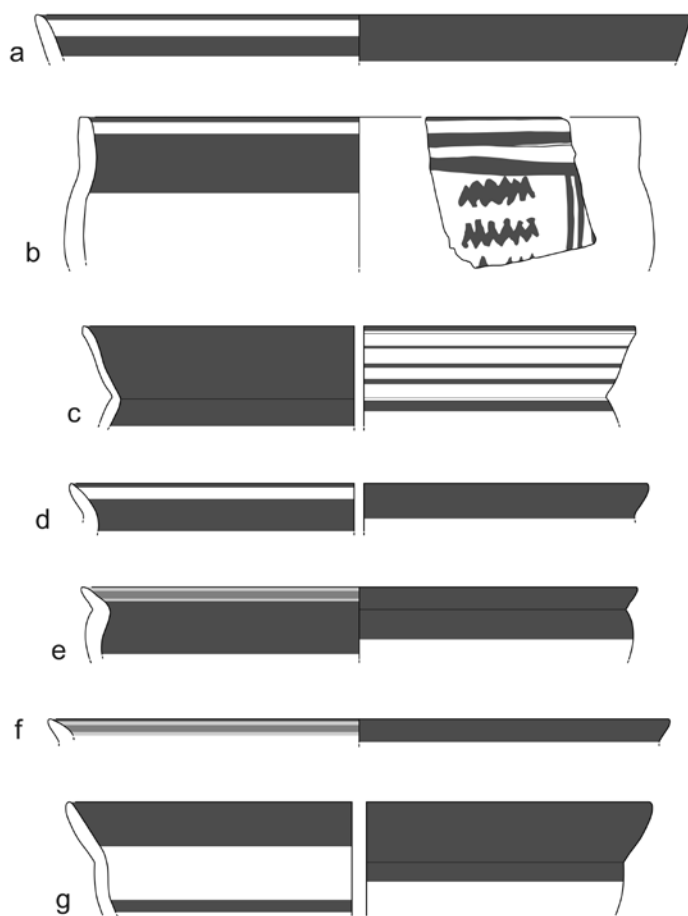


Abb. 51: Kalabaktepe-Süd, aus dem Boden der Siedlungsphase 4.
 a) K 89.114.10; b) K 89.114.1; c) K 89.114.6; d) K 89.114.9; e) K 89.114.7;
 f) K 89.114.11; g) K 89.114.8 (= Kat.-Nr. 336)

Im Boden der Siedlungsphase 4 fanden sich im Befund K 89.114 verschiedene Typen von KRSk und KRS (Abb. 51). Nicht eindeutig zu bestimmen ist etwa das Randfragment **Abb. 51,a**. Dagegen ähnelt

der Skyphos oder die Schale **Abb. 51,b** stark dem Beispiel **68** und vertritt daher sicher auch den Typus 3, Variante 3,3. In den Boden kann er quasi nur aus einem tieferen, älteren Bereich gelangt sein.

Die KRS **Abb.51,c** ist als Typus 5 zu klassifizieren. Die Schale mit ihrem ungewöhnlich hohen und dünnen Rand läßt sich allerdings keiner Variante eindeutig zuzuordnen. Am ehesten gehört sie der Variante 5,2 an.

Der Typus 10 ist mit unterschiedlichen Beispielen im Befund K 89.114, dem Boden der Phase 4, vertreten (**Abb. 51,d–e**). Die kleine KRS **Abb. 51,e** ist der Variante 10,3.B mit tiefem Becken anzuschließen und weist die seltene Dekorvariante *ky* mit roten Bändern innen auf. Dagegen vertritt das Randfragment **Abb. 51,d** die Variante 10,9 und die schon seit den vorherigen Fundsituationen immer wieder angetroffene Dekorvariante *k*. Vermutlich ist auch **Abb. 51,f** dem Typus 10 anzuschließen, allerdings hat sich nicht genug vom Rand für eine exakte Bestimmung erhalten. Jedoch erinnert der kurze, kräftige und stark umgebogene Rand an **246** der Variante 10,3 oder **255** der Variante 10,5.

Im Boden der Siedlungsphase 4 wurde **Abb. 51,g** (= **336**) geborgen. Damit ist ein Fragment der Variante 11,2 mit der Dekorvariante *m* erstmals stratigraphisch erfaßt worden. Aus ihrer Fundlage läßt sich schließen, daß die Variante bereits während der Phase 3, spätestens aber zu Beginn der Phase 4 gefertigt wurde.

Trotz nachgewiesener spätarchaischer Eingriffe wurde in Befund K 89.216 während der Grabung ein ungestörter Teil des Bodens der Siedlungsphase 4 isoliert. Die KRS **Abb. 52** (= **365**) wird am ehesten diesem Kontext angehört haben. Denn der Typus 11, Variante 11,5, mit der Dekorvariante *k* ist die bislang mit Abstand häufigste in den direkt vorangehenden Fundlagen festgestellte Variante. Die KRS **Abb. 52** (= **365**) muß diesen unmittelbar angeschlossen werden. Ohnehin sind die bereits oben diskutierten KRS **Abb. 48,f–g** (= **341–342**) der Variante 11,4 mit der Dekorvariante *ky* entweder, wie oben besprochen, im Kontext der Auffüllung zur Phase 4 oder aber doch im hiesigen Kontext des Bodens der Phase 4 zu betrachten. In einer ähnlichen Fundlage – der Auffüllung für Phase 4 oder deren Boden, aus dem Befund K 92.871 in Q 91.03 – ist eine weitere KRS (**397**) der Variante 11,4 aufgedeckt worden. Sie ist zudem durch naturwissenschaftliche Untersuchungen zur Herkunftsbestimmung zweifelsfrei als lokales Produkt erwiesen. Sie gehört der in Milet beheimateten chemischen Herkunftsgruppe D (Mommsen) an. Noch wichtiger allerdings ist, daß mit **397** erstmals ein Beispiel für die kleine Gruppe der KRS stratigraphisch verortet ist, die der Gruppe der 'Grauen Ware' angehört.

Ebenfalls im Boden der Phase 4 – und damit vermutlich der Phase 3 zugehörig – fand sich ein großes Fragment der 'schüsselartigen' KRS **387** des Typus 13. Es ist der Variante 13,1 und der Dekorvariante *la* mit Wellenband auf der Schulter anzugliedern.



Abb. 52: Kalabaktepe-Süd, aus dem Boden der Siedlungsphase 4 (eventuell spätarchaische Störung): K 89.216.1 (= Kat.-Nr. 365)

Zudem ist das bereits im Zusammenhang mit der Auffüllung zur Phase 4 besprochene Wandfragment **505** mit Gefäßmalerei der Stilphasen SiA/MileA Ib–c an dieser Stelle nochmals anzuführen. Aufgrund der frühen Einordnung in die Entwicklung der südionisch milesischen Gefäßmalerei wird das Fragment wohl aus einem älteren Kontext in die Aufschüttung gelangt sein. Doch ist nicht auszuschließen, daß **505** im Boden der Phase 4 aufgedeckt wurde.

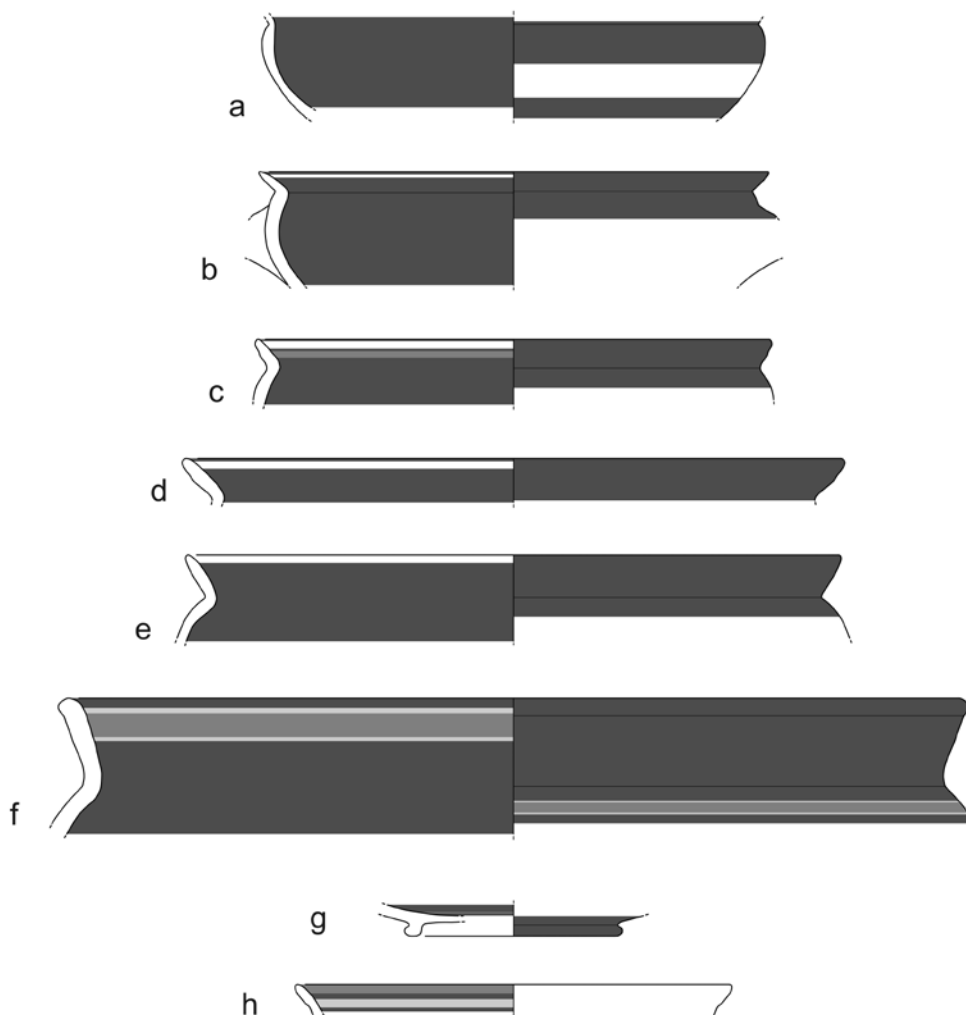


Abb. 53: Kalabaktepe-Süd, aus der Nutzungszeit der Siedlungsphase 4.
 a) K 89.118.4; b) K 89.276.10; c) K 89.276.18; d) K 89.276.11; e) K 89.276.13
 (= Kat.-Nr. 355); f) K 89.276.19; g) K 89.276.14+279.3; h) K 89.276.12

5.1.2.6.3.2 Die Knickrandskyphoi- und –schalen aus dem Benutzungshorizont der Phase 4

Unter den Randfragmenten, die sicher der Benutzungsphase 4 zugeschrieben werden können, dominieren vor allem die Typen 10 und 11 (**Abb. 53,b-e**). Desweiteren wurde der Typus 13, eine 'kraterartige' KRS (**Abb. 53,f**), in dieser Fundlage fixiert. Nicht eindeutig ist die Klassifizierung von **Abb. 53,a**. Vermutlich stammt das Beckenfragment von einer KRS der Variante 9,1, doch ist auch der Typus 10 mit den Varianten 10,1–2 nicht auszuschließen.

Ferner können vier KRS des Typus 11, die sich alle als Variante 11,4 mit der Dekorvariante k bestimmen lassen, für die Benutzungszeit der Siedlungsphase 4 angeführt werden. Sie stammen zwar durchweg aus Befunden, die teilweise durch spätere antike oder nachantike Eingriffe gestört sind, weshalb sie auch in diesen Kontexten weiter unten abgebildet sind, doch ist der Hauptteil ihrer Funde der Nutzungszeit der Phase 4 zuzurechnen. Die sechs KRS des Typus 11, die in diesem Zusammenhang stehen, sind sich typologisch und im Dekor so ähnlich, daß ihre Zugehörigkeit zur Nutzungszeit der Phase 4 durchaus angenommen werden darf. Neben den KRS **Abb. 53,d-e** (= 355) der Variante 11,4, die sicher dem Nutzungshorizont angehören, sind auch die KRS der gleichen Variante aus leicht gestörten Befunden anzuführen (**Abb. 70,d,f; 343, 350, 352–353**).

Der Standring **Abb. 53,g** stammt möglicherweise von einer recht kleinen KRS, wenn nicht gar von einem anderen offenen Gefäß. Die abgerundete Außenseite ist neu unter den Standringen. Der Rand **Abb. 53,h** stellt vermutlich keine KRS dar, eher gehört er wohl zu einer Tasse.

5.1.2.6.3.2.1 Die Knickrandskyphoi- und –schalen aus dem Benutzungshorizont der Unterphase 4a

Innerhalb der Benutzungszeit der Phase 4 konnte eine Unterphase 4a festgestellt werden. Die Funde der Unterphase 4a stammen aus einem isolierten Befund, der einen kürzeren Zeitabschnitt innerhalb der Phase 4 beschreibt. Doch war diese Unterphase von den umliegenden Schichten selten sauber zu trennen. So beinhalten die Befunde in **Abb. 54** auch Teile der Auffüllung für die Phase 4.

Vermutlich ist die riesige KRS **Abb. 55,a** das älteste Beispiel der Gattung in der Unterphase. Gebogene Ränder, wie der von **Abb. 55,a** ist erst bei der frühesten Variante von Typus 5, der Variante 5,1 bekannt. Doch auch der Dekor erinnert nicht an den des Typus 5. Ein T-Muster und ein nicht mehr vollständig erhaltenes Balkenmuster waren vermutlich alternierend auf dem Rand angebracht. Möglicherweise lief auf der Schulter ein Wellenband um, oder der Malrest gehörte zu einer Gesichtsmaske⁷⁴¹. Sehr ungewöhnlich ist vor allem, daß die Schale tongrundig gehalten ist und keine Engobe aufweist.

⁷⁴¹ So ähnlich wie auf der großen 'kraterartigen' Schale **391**.

Daneben könnte die KRS **Abb. 54,a** vielleicht noch die Variante 3,2 vertreten. Wahrscheinlicher ist jedoch, daß das Randfragment als Variante 7,4 zu klassifizieren ist, was sich besser mit der Fundlage vereinen läßt.



Abb. 54: Kalabaktepe-Süd, aus der Aufschüttung zur Siedlungsphase 4 und der Unterphase 4a.
a) K 89.141.7; b) K 89.132.2; c) K 89.132.3; d) K 89.141.8; e) K 89.132.4; f) K 89.132.5

Die KRS-Ränder **Abb. 54b–e** sind der Variante 11,4 anzuschließen, während **Abb. 54,f** die Variante 11,5 darstellt. Unter diesen fällt besonders der Rand **Abb. 54,e** auf, der an die Sonderform der vollständig erhaltenen KRS 345 erinnert. Die Dekore der Beispiele lassen sich lediglich, da nicht genügend erhalten ist, als k oder m bestimmen.

Die übrigen KRS, die in der Unterphase 4a angetroffen wurden und in Abb. 55 abgebildet sind, können als Typus 10 bestimmt werden. Dabei ist eine genauere Zuordnung des Beckenfragments **Abb. 55,b** nicht mehr möglich. Vielleicht handelt es sich um die Variante 10,1–2. Sicher der Variante 10,2 zuzuweisen sind das Randfragment **Abb. 55,e** und wohl auch **Abb. 55,d**. Die kleine Schale **Abb. 55,c** dagegen zählt zur Variante 10,6⁷⁴². Hier fallen besonders die Dekore von **Abb. 55,b** und **Abb. 55,c** auf. Ersteres hat mehr Ähnlichkeit mit den Dekoren des Typus 9, als mit allen anderen Typen der KRS, und letzteres vertritt die Dekorvariante my mit roten Bändern.

⁷⁴² Vgl. etwa 265.

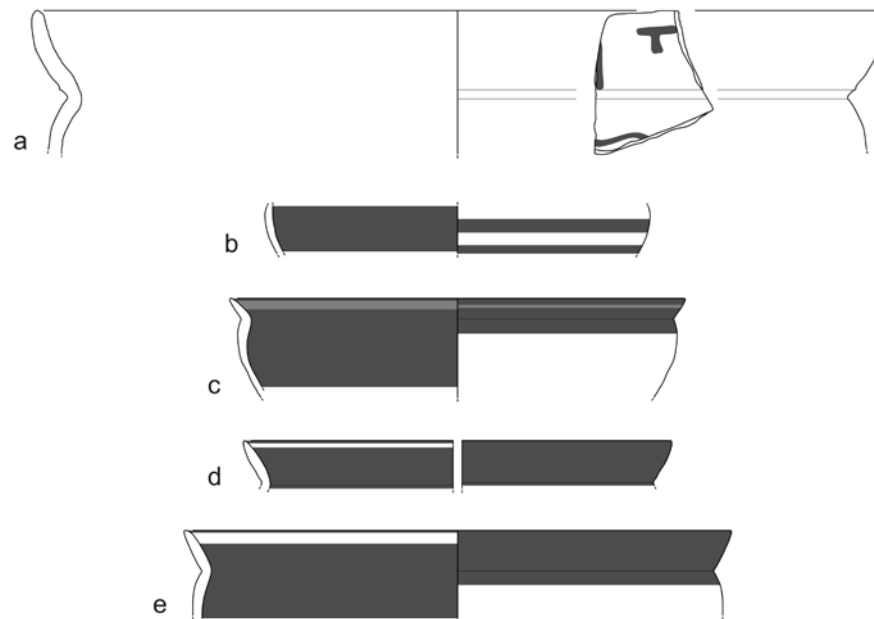


Abb. 55: Kalabaktepe-Süd, aus der Unterphase 4a innerhalb der Siedlungsphase 4.
a) K 89.284.12; b) K 89.284.13; c) K 89.284.16; d) K 89.284.14; e) K 89.284.15

5.1.2.6.3.3 Die Knickrandskyphoi- und -schalen aus der Aufschüttung zur Phase 5

Ungewöhnlich ist das in der Aufschüttung gefundene Randfragment **Abb. 56,e**, das mit seinem steil anstehenden und hohen, schmalen Rand den KRSk oder KRS des Typus 3 an die Seite zu stellen ist. Jedoch hat es keinen geometrischen oder subgeometrischen Dekor wie jene. Schwarz gefirnißt und mit roten Bändern innen und außen geschmückt, gibt es sich in der stilistischen Entwicklung bereits als durch und durch archaisch zu erkennen. In der Formgebung sehr eng verwandt ist der KRSk oder die KRS **413** der Variante 3,3. Auch **413** trägt bereits eine früharchaische Dekoration der Stilphase SiA Ia. Vermutlich ist das Randfragment **Abb. 56,e** zeitlich nicht weit von diesem entfernt. Daher stellt die Fundlage in der Auffüllung zur Siedlungsphase 5 sicher eine spätere Deponierung aus einem früheren Zusammenhang dar.

Auch ein Beispiel des Typus 5 fand sich in der Aufschüttung zur Phase 5. Die Produktionszeit dieses Typus dürfte zum Ende der Phase 4 bereits abgelaufen sein. Das aus einem früheren Kontext umgelagerte Randfragment **Abb. 57,a** ist als Variante 5,4 zu klassifizieren.

Die Bestimmung des Typus 7 ist stets schwierig, wenn nicht genügend Information zum Becken und seinem Dekor oder zum Fabrikat des Gefäßes bekannt sind. Das Fabrikat von **Abb. 57,b** stellt das Randfragment aber bereits in den Kontext des Typus. Daher ist die KRS **Abb. 57,b** wohl als Variante 7,3 anzusprechen.

Aus einem älteren Kontext stammt das hierher wohl umgelagerte Randfragment **418** einer KRS des Typus 8. Sowohl die Variante 8,2 als auch die Bemalung der Stilphase SiA/MileA Ia (bzw. subgeometrisch) sind eindeutige Indikatoren einer Fertigung um die Mitte des 7. Jhs. v. Chr.

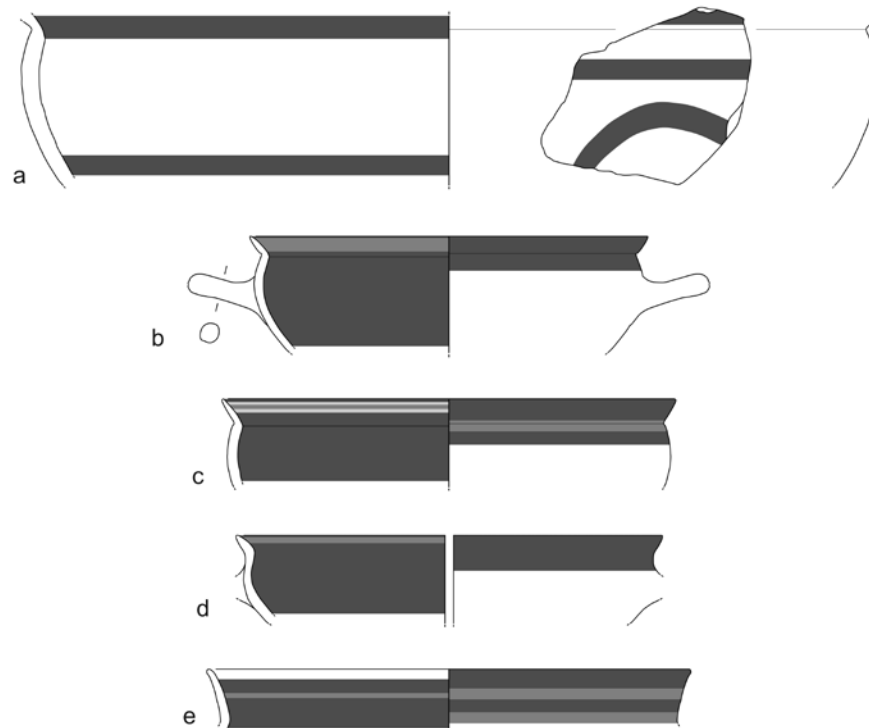


Abb. 56: Kalabaktepe-Süd, aus der Aufschüttung zur Siedlungsphase 5.
a) K 89.248.17; b) K 89.179.4; c) K 89.248.18; d) K 89.248.19; e) K 89.555.6.

Weiterhin wurden vor allem die Typen 10 und 11 in der Aufschüttung zur Phase 5 angetroffen. Die drei Beispiele in Abb. 56 sind alle – wie schon **Abb. 56,e** des Typus 3 aus der gleichen Fundlage – mit roten, teils sogar weiß-rot-weißen Schmuckbändern auf dem schwarzen Firnis verziert. **Abb. 56,b** ist als Variante 10,7, **Abb. 56,c** als Variante 10,2 und **Abb. 56,d** schließlich als Variante 10,11 zu bestimmen. Alle drei vertreten aber die schon hinlänglich bekannte Dekorvariante *ky*. Das Spektrum der Varianten des Typus 10 läßt sich durch drei weitere KRS erweitern, die zwischen 1990 und 1992 aufgedeckt wurden. Die KRS **233** vertritt dabei die Variante 10,2 und **256** die Variante 10,5, während **458** erneut – wie schon **Abb. 56,d** – die Variante 10,11 darstellt. Alle drei Schalen befanden sich in Fundlagen, die zur Auffüllung für Phase 5 gerechnet werden. Gerade die feinen Schalen mit signifikanter Randgestaltung, wie sie **Abb. 56,d** und **458** zeigen, wird für die milesische Gefäßmalerei der Stilstufe MileA II, den sog. Fikellurastil, herangezogen⁷⁴³. **458** ist auch mit einem Fikellurastil-Dekor bemalt. Dieser wurde bisher vor allem in die zweite Hälfte des 6. Jhs. v. Chr. datiert. Die hier angetroffene Fundlage belegt sowohl die Form der KRS als auch den Dekor bereits für die erste Hälfte des 6. Jhs. v. Chr.

Der Typus 11 wird in der Aufschüttung zur Phase 5 durch die Variante 11,2.B angeführt, der die KRS **Abb. 57,c** (= **335**) zuzuordnen ist. Deren Fundkomplex K 89.200 umfaßt vor allem Funde der Auffüllung für Phase 5, konnte jedoch an einer Stelle nicht sauber von einer späteren Schuttauuffüllung getrennt werden. Auch **335** vertritt die bekannte Dekorvariante *k*.

⁷⁴³ Für die Randgestaltung von **Abb. 56,d** vgl. die Fikellura-Schälchen z. B. **444**, **457**, **459–463**, **465**, **470–472**.



Abb. 57: Kalabaktepe-Süd, aus der Aufschüttung zur Siedlungsphase 5 (oder gestört).
a) K 89.200.8; b) K 89.200.7; c) K 89.200.9 (= Kat.-Nr. 335)

In dem großen Fragment **Abb. 56,a**, dessen Rand allerdings bis auf die Ansätze völlig fehlt, wird ein Beispiel für die 'schüsselartigen' KRS des Typus 12 vertreten sein. Seine fragmentarische Erhaltung läßt eine genauere Klassifizierung zu einer der Varianten des Typus nicht zu. Es handelt sich um ein weit geöffnetes großes Schalenbecken, das hell dekoriert ist. Innen und außen finden sich wenige schmale Firnisbänder. Auf der Schulter ist die Schale mit einem Wellenband geschmückt. Vorläufig ist es das erste stratigraphisch verortete Beispiel dieses Typus, womit zumindest ein *terminus ante quem* für seine Fertigung und Nutzung gegeben ist.

5.1.2.6.3.4 Die Verteilung der Typen in Phase 4 insgesamt

Nach Diskussion einzelner Funde in den relativchronologisch aufeinanderfolgenden Fundlagen der Siedlungsphase 2 folgt nun wieder der Blick auf das allgemeine Typenspektrum, das sich mit der Phase 4 verbinden läßt. 179 Randfragmente sind in die statistische Auswertung eingegangen. Zunächst ist es wohl nicht verwunderlich, daß erstmals mit dieser Siedlungsphase alle in Milet bekannten Typen von KRS im Diagramm der Abb. 58 vertreten sind. Besonders durch die Aufschüttungen und andere Baumaßnahmen sind stets aus frühen Deponierungen ältere Fragmente in die jüngeren Kontexte gelangt. Dabei wurde nachweislich so manches Stück mehrfach bewegt – belegt durch die Tatsache, daß Fragmente aus verschiedenen Fundsituationen sich wiederholt zu einem Gefäß zusammensetzen ließen. Darüber hinaus fällt vor allem ins Auge, daß die beiden Typen 10 und 11 inzwischen über zwei Drittel aller in der Phase 4 gefundenen Randfragmente (69 %) ausmachen. Damit hat sich die Tendenz, die seit dem Ende der Phase 2 eingesetzt hatte, deutlich fortgesetzt. Auch der dritte und letzte neue Typus 9, der mit der Vorphase 3 erstmals nachgewiesen werden konnte, hat nun mit 6 % eine deutliche Steigerung in seiner Wertigkeit gegenüber den übrigen Typen erhalten. Dies muß um so höher gewertet werden, weil der Typus 9 kaum von den Umlagerungen aus älteren Phasen betroffen war, was bei anderen Typen zu hundert Prozent der Fall gewesen sein muß (etwa bei den Typen 1–5). Erstmals ist auch der Typus 12 vertreten, doch kann es bei seiner insgesamt geringen Anzahl unter den Funden am Kalabaktepe-Süd durchaus ein Zufall sein, daß er nicht in einem früheren Kontext

angetroffen wurde. Zusammen erreichen die neuen Typen 9–12 einen Anteil von 79 % und machen demnach mehr als drei Viertel der Gesamtmenge der KRS in Siedlungsphase 4 aus. Dies bedeutet einen Zuwachs von 31 % im Vergleich zur Siedlungsphase 3.

Erwartungsgemäß sind die Anteile der geometrischen und subgeometrischen Typen auf 1 bis 3 % zurückgegangen. Zusammen macht die Gruppe dieser frühen Typen nur noch 6 %, gemeinsam mit den subgeometrischen KRS des Typus 4 gerade noch 7 % aus. Ähnlich verhält es sich mit den bereits vor oder während der Siedlungsphase 1 produzierten und genutzten KRS der Typen 5–7. Auch sie sind mit Werten zwischen 2 und 4 % inzwischen extrem selten geworden. Es kann mit Fug und Recht behauptet werden, daß alle diese Typen (1–7) in Siedlungsphase 4 weder weiterhin produziert, noch weiterhin benutzt wurden. Erstaunlich ist der hohe Anteil des Typus 8, der mit immerhin 7 % immer noch größer ist als der Anteil des neuen Typus 9. Der Typus 8 verzeichnet zur vorhergehenden Phase 3 allerdings einen Rückgang um 3 %. Zudem wird er sicher während der Phase 4 nicht mehr produziert. Seine relativ hohe Präsenz muß durch Umlagerungen in Folge von Aufschüttungen und Umbaumaßnahmen erklärt werden. Es wurde bereits mehrfach festgestellt, daß ein Anteil von 6–7 %, teilweise auch 8 %, charakteristische Größen für die einzelnen Typen der KRS und ihrer Vorgänger darstellen, die in der Phase zuvor noch relativ stark produziert und dann aufgegeben

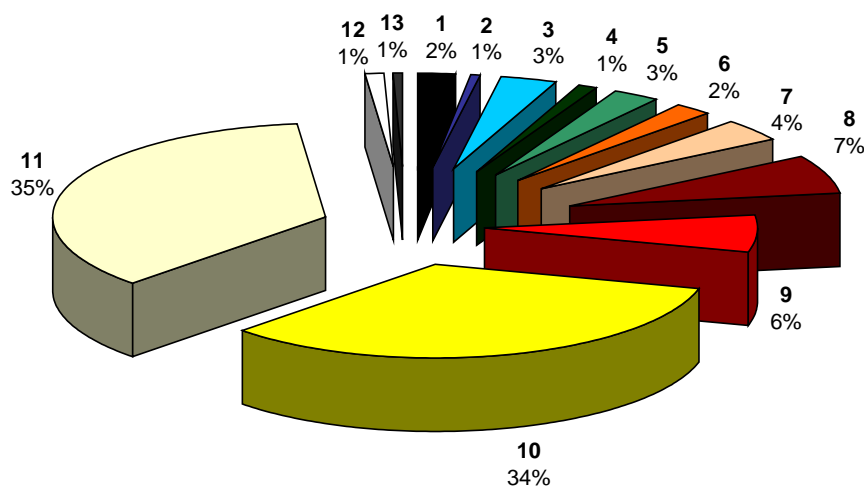


Abb. 58: Kalabaktepe-Süd, Verteilung der KRSk und KRS in der Siedlungsphase 4

wurden. Damit zeigt sich, daß Prozentzahlen, die für eine Siedlungsphase festgestellt werden, erst im Vergleich mit den vorhergehenden, manchmal auch erst mit denen der nachfolgenden Phase, in ihrer Bedeutung richtig erfaßt werden können. Die 6 % des Typus 9 und die 7 % des Typus 8 in der Siedlungsphase 4 haben trotz ihrer relativen Gleichwertigkeit ihres Anteils an der Gesamtmenge eine

völlig konträre Bedeutung. Die 6 % des Typus 9 stehen für den Beginn der Produktion eines Typus mit geringerem Gesamtumfang, während die 7 % des Typus 8 lediglich die umgelagerten Mengen einer bereits zum Zeitpunkt der Siedlungsphase 4 aufgegebenen Produktion beschreiben.

5.1.2.6.4 Zusammenfassung Phase 4

Das Gesamtbild der Gattung KRS wird nun spätestens mit der Siedlungsphase 4 von einem recht einheitlichen Form- und Dekorschema dominiert. Die Typenvielfalt der vorhergehenden Siedlungsphasen ist vollständig verschwunden. Zwei Grundformen, die Typen 10 und 11, beherrschen die Produktpalette der KRS nunmehr fast ausschließlich. Sie teilen sich nahezu gleichwertig einen Anteil von 69 %. Dies wiegt um so schwerer, als daß ältere, nicht mehr genutzte und umgelagerte KRSk und KRS gut 23 % an den in Phase 4 angetroffenen Beispielen der Gattung halten. Auf der anderen Seite konnte aber auch gezeigt werden, inwieweit verschiedene Varianten der beiden Typen 10 und 11 charakteristisch für den hier behandelten Zeitraum sind. Für den Typus 9, deren Anteil sich mit der Siedlungsphase 4 erstmals namhaft verbindet, konnte vor allem der Typus 9,1 unter den hier diskutierten Stücken angetroffen werden.

Bereits zum Ende der Siedlungsphase 3 war mit **437** ein Beispiel der letzten Tierfriesstil-Phase SiA/MileA Id angetroffen worden. Die KRS **542** lieferte auch einen ersten Hinweis auf die neue Stilstufe MileA Ila. **542** gehört zur Gruppe der sog. Bilinguen, die auf demselben Gefäß Elemente der späten Tierfriesstil-Phase MileA Id und der neuen Stilstufe, des Fikellurastils, vereinen. Damit ist angedeutet, daß sich der Übergang zumindest für kurze Zeit überlappte. Allerdings war der Befund von **542** nachträglich gestört. Doch für eine frühe Datierung des Beginns der Stilstufe MileA II lassen sich nun auch die Funde aus den verschiedenen Fundsituationen der Siedlungsphase 4 anführen. In der Auffüllung zur Phase 5 lagen zwei Fragmente von KRS der Variante 10,11 (**Abb. 56,d** und **458**), die beide als Grundform für die feinen Fikellurastil-Schälchen herangezogen werden. **458** war dann auch bereits mit einem Fikellurastil-Dekor der Stilstufe MileA II geschmückt.

Erstmals konnte bereits in der Auffüllung für Phase 4 oder deren Boden mit der KRS **397** ein Beispiel der sog. Grauen Ware in die stratigraphische Abfolge eingehängt werden. Er ist als Variante 11,4 zu klassifizieren, und die archäometrische Untersuchung hat ihn als lokales Produkt der chemischen Herkunftsgruppe D (Mommsen) erwiesen.

5.1.2.7 Die Siedlungsphase 5

Auch für die Siedlungsphase 5 lassen sich ähnliche Baumaßnahmen feststellen wie in den vorangegangenen. Gebäude wurden einplaniert und alte Sockelmauern – teilweise zum wiederholten Male – aufgestockt, um das höhere Niveau der neuen Siedlungsphase zu erreichen. Zudem wurde mit der Neuanlage neuer Wohnraum geschaffen: Für zwei Bereiche ließ sich im Grabungsausschnitt eine Ausdehnung der Siedlung feststellen. Zum einen wurde ein ehemaliger Weg, der zuvor als Sackgasse im östlichen Grabungsareal bei Q 91.09 auf den Hang zulief, nun als Wohnfläche überbaut, zum

anderen wurde im westlichen Grabungsabschnitt oberhalb des ehemaligen Töpferofens neuer Wohnraum geschaffen. Die Aufgabe der Töpferöfen am Südhang des Kalabaktepe dürfte aber die bedeutendste Veränderung im Wohn- und Handwerksviertel am Kalabaktepe-Süd darstellen. Von nun an ist endgültig mit keiner Ausschußware und Keramikbruch aufgrund der Keramikproduktion am Ort mehr zu rechnen.

Die nachträglichen Steinausraubungen haben weite Teile der Siedlung an mehreren Stellen dieser Phase gestört oder gar zerstört. Damit stützen sich die Aussagen zur Keramik nicht auf die Gesamtfläche des ergrabenen Gebietes, sondern müssen teilweise von den erhaltenen Flächen auf die gesamte Phase 5 zurückgeschlossen werden.

5.1.2.7.1 *Datierung der Phase 5*

Unverändert ist auch für die Siedlungsphase 5 kein absoluter Datierungsanhalt gegeben. Allerdings kann sich anhand der nun wieder vertretenen Importkeramik die absolute Datierung auf die konventionelle Keramikchronologie stützen. In den Fundlagen von Phase 5 ist vor allem attische Importkeramik zu verzeichnen. Zudem ist aufgrund der inneren Logik in der Abfolge der Siedlungsgeschichte am Kalabaktepe-Süd eine zeitliche Fixierung der Siedlungsphase 5 in der zweiten Hälfte des 6. Jhs. v. Chr. gesichert. Denn die folgende und letzte archaische Phase 6 endet mit der historisch überlieferten Zerstörung durch die Perser im Jahr 494 v. Chr. Diese Phase wird vermutlich nicht die für jede Phase angenommene Durchschnittszeit von 30 Jahren gedauert haben. Denn nichts deutet auf eine längere Nutzungszeit hin. Eher ist von einer kürzeren Zeitspanne auszugehen, da die intakte Siedlung ein gewaltsames und abruptes Ende fand. Nach dem hier angewendeten Schema, das für jede Siedlungsphase eine geschätzte Dauer von ca. 30 Jahren einrechnet, ist vom chronologischen Fixpunkt 494 v. Chr. zurückgehend, sowie von den durch die korinthische Keramik datierten Phasen 2 und 3 vorwärts gerechnet, auf einen Zeitrahmen von 550 bis 520 v. Chr. für die Siedlungsphase 5 zu schließen.

Die relative Chronologie zeigt erneut Parallelen zu den vorhergehenden Phasen. Wieder ist ein Boden die erste und konstituierende Maßnahme der Siedlungsphase. Chronologisch folgt der Benutzungshorizont, auf den die Auffüllung zur nächsten Siedlungsphase 6 folgt. Darüber hinaus konnten zwei Unterphasen zum Benutzungshorizont festgestellt werden. Dies sind die Unterphasen 5a und 5b, die zeitlich aufeinander folgende Umbauten darstellen. Die in ihnen enthaltenen Funde können somit in relativ kurzer Abfolge der Fundlagen innerhalb der Nutzungsphase 5 verfolgt werden. Die Umbauten betreffen allerdings nur bestimmte Bereiche und sicher nicht alle Häuser sowie Hofbereiche.

5.1.2.7.2 *Die Rückschlüsse für das Gebiet am Kalabak-Süd in der Phase 5*

Die festgestellte 'Verteilungsdichte' (Tab. 2) lag für die Siedlungsphase 5 höher als in allen anderen Phasen. Mit 133 % liegt sie sogar entschieden höher als in der Phase 3, in der sie immerhin erstmals

auf knapp über 100 % angestiegen war. Damit scheint für die Phase 5 eine besonders starke Nutzung der KRS in den Haushalten der 'Südstadt' postuliert werden zu können. Woran aber kann dies festgemacht und wie begründet werden? Aus den Informationen zur Gesamtsituation im Untersuchungsgebiet könnte die Aufgabe des Töpferhandwerks eine Begründung für die Veränderung bieten. Denn das Areal hat sich nun zu einem Wohngebiet gewandelt. Sicher wird auch weiterhin hier Handwerk betrieben worden sein, das aber nicht in dem Maße Platz beansprucht haben wird und negativ auf die Wohnbedingungen gewirkt haben muß. Jedenfalls fanden sich Spuren von Schnitzhandwerk.

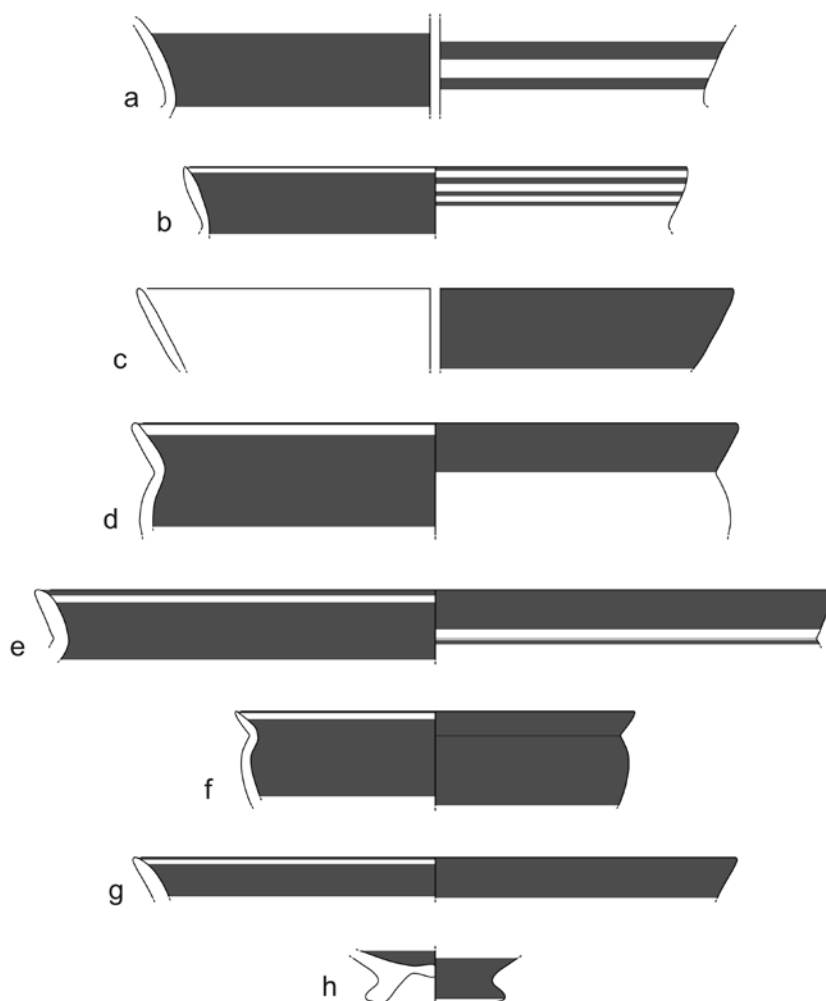


Abb. 59: Kalabaktepe-Süd, aus dem Hofboden der Siedlungsphase 5.
 a) K 89.116.9; b) K 89.116.7; c) K 89.116.10; d) K 89.116.12; e) K 89.116.11;
 f) K 89.116.8; g) K 89.116.16; h) K 89.116.17

Eine andere mögliche Erklärung fällt jedenfalls aus, die sich aufgrund eines veränderten Bebauungsverhaltens in der 'Südstadt' ergibt. Für die Siedlungsphase 5 ließ sich keine so mächtige Aufschüttungs- und Planierungsschicht fixieren, wie sie die vorherigen Phasen aufwiesen. Erstmals wurden die Sockelmauern der Phase 5 für die Phase 6 wiederverwendet, indem auf ihnen Steinwände statt wie bisher Lehmwände aufgemauert wurden. Der Boden der Phase 6 wurde demnach ohne eine sehr hohe Aufschüttung über den Boden der Phase 5 gegründet.

5.1.2.7.3 *Das Bild der Knickrandskyphoi und –schalen aus der Siedlungsphase 5*

Für die Siedlungsphase 4 konnte ein Bild der Gattung nachgezeichnet werden, in dem die beiden Typen 10 und 11 zu gleichen Teilen und fast ausnahmslos vorherrschten. Zudem ließ sich der Typus 9 erstmals in einem bedeutenden Umfang feststellen.

5.1.2.7.3.1 **Die Knickrandskyphoi- und –schalentypen aus dem Boden der Phase 5**

Für das Grabungsjahr 1989 kann nur der Befund K 89.116 in Q 89.03 für eine reine Bodenschicht angeführt werden (Abb. 55). Es handelt sich um einen Hofboden.

Zu den älteren Funden aus K 89.116 zählen **Abb. 59,a–c**. Sie werden aus älteren Kontexten stammen und sind zu einem späteren Zeitpunkt im Boden deponiert worden. Das Randfragment **Abb. 59,a** ist in seinem oberen Bereich nicht vollständig erhalten. Vermutlich handelt es sich jedoch um die Variante 3,3.B, wie **70**, oder die Variante 4,3.B, wie **85**. Aufgrund dessen, daß die Innenseite nicht vollständig gefirnißt ist, sondern breite Firnisbänder aufweist, wird es sich eher um Typus 3 handeln. Die KRS **Abb. 59,b** ist Typus 7, Variante 7,4, anzuschließen. Dagegen ist der sehr hohe und dünne Rand **Abb. 59,c** nicht eindeutig einer KRS zu zuweisen. Sollte er doch von einer KRS herrühren, gehört er vermutlich zu einer 'schüsselartigen' KRS des Typus 12, Variante 12,2.

Die Randfragmente **Abb. 59,d–e** sind wieder Beispiele für den Typus 11, der in der vorhergehenden Phase einen herausragenden Anteil vertrat. Sie werden durch das Fragment **339** aus demselben Befund ergänzt. **339** und **Abb. 59,d** sind Beispiele für die Variante 11,3 und die Dekorvariante k. **Abb. 59,e** vertritt hingegen die Variante 11,1, die sich durch ihre Größe und Wanddicke sowie ihre markante Randgestaltung auszeichnet. Zudem hat diese Variante im Gegensatz zu den übrigen Varianten ein breiteres Dekorationsspektrum. In dieses fügt sich die KRS **Abb. 59,e** mit dem eher ungewöhnlichen ausgesparten, tongrundigen Band unten auf der Außenseite des Randes zwanglos ein.

Im Hofboden fand sich zudem das Fragment der KRS **Abb. 59,f** der Variante 10,2.B. Ungewöhnlich ist bei ihr das Fehlen eines Henkelbandes auf der Außenseite⁷⁴⁴. Vollständig gefirnißte oder weit hinunter gefirnißte KRS finden sich ausschließlich unter den Beispielen der Varianten 10,1 und 10,2, aber immer ist die Henkelzone tongrundig ausgespart. Lediglich bei der KRS **224** der Variante 10,2 wurde auch auf die Angabe einer Henkelzone verzichtet.

Aufgrund seiner Fundlage wurde der Rand **Abb. 59,g** hier mit aufgenommen. Allerdings ist seine Zugehörigkeit zu einer KRS nicht gesichert. Möglicherweise handelt es sich um ein weiteres Beispiel für den Typus 11. Doch könnte er auch zu einer großen Tasse gehören.

⁷⁴⁴ Ein ebensolcher Dekor zeigt sich später auf der KRS **Abb. 67,c**, die auch die Variante 10,2.B darstellt und in der Auffüllung zur Phase 6 entdeckt wurde.

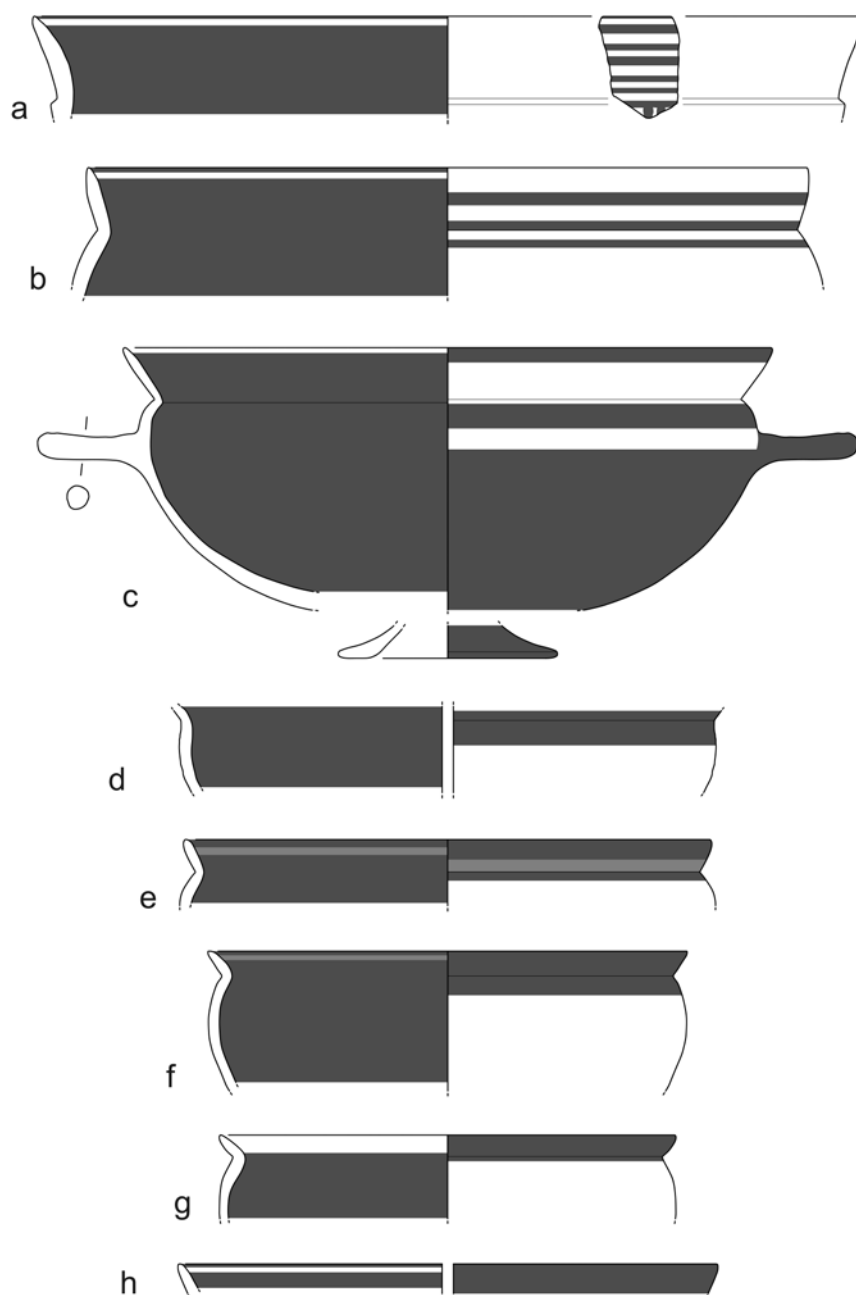


Abb. 60: Kalabaktepe-Süd, aus dem Fußboden der Siedlungsphase 5 (und möglicherweise auch Siedlungsphase 6).

a) K 89.265.14; b) K 89.265.15 (= Kat.-Nr. 146); c) K 89.265.23+211.1 (= Kat.-Nr. 174); d) K 89.265.9; e) K 89.265.13; f) K 89.265.10; g) K 89.265.12; h) K 89.265.11

Der letzte Fund, der für die Gattung in Anspruch genommen werden kann, ist der kleine Fuß **Abb. 59,h**. Sollte der konische Fuß mit abgekanteter Standfläche tatsächlich unter einer Schale angebracht gewesen sein, handelt es sich wiederum um ein umgelagertes älteres Stück aus einem früheren Kontext. Die engen, mittelhohen Füße sind besonders für das 7. Jh. v. Chr. typisch.

Insgesamt sind vermutlich nur Beispiele aus wesentlich älteren Zusammenhängen oder spätestens aus der vorangegangenen Phase 4 in den Hofboden eingegangen.

5.1.2.7.3.2 Die Knickrandskyphoi- und –schalentypen aus dem Boden der Phase 5 (möglicherweise auch Phase 6)

Während der Grabungen im Jahr 1989 wurde zu dem oben besprochenen Hofboden mit dem Befund K 89.265 ein weiterer Boden der Siedlungsphase 5 in Q 89.01 angetroffen. Allerdings ist im selben Befund zum Teil auch der Boden der Phase 6 enthalten gewesen. Daher sei der Befund K 89.265 hier getrennt von dem Hofboden in Q 89.03 besprochen.

Der älteste Fund der Gattung stellt zweifelsfrei der KRSk **Abb. 60,a** dar, der als Typus 2, Variante 2,2.B zu klassifizieren ist. Spätestens mit der Siedlungsphase 2 enden die Produktion und gegebenenfalls der Import des Typus 2 in Milet. Daher ist das Fragment **Abb. 60,a** in jedem Fall aus älteren Schichten umgelagert worden und gelangte so in den Boden der Phase 5 oder 6.

Im Boden wurde zudem das Randfragment **Abb. 60,b** (= 146) der Variante 7,4 angetroffen. Auch der Typus 7 wird spätestens mit der Phase 4 nicht mehr in milesischen Töpferöfen hergestellt. Daher gilt auch für ihn – unabhängig von einer möglichen Zugehörigkeit zum Boden der Phase 5 oder 6 –, daß er wesentlich älter ist als seine Fundlage.

Darüber hinaus fanden sich im Boden einige Beispiele der neuen Typen des 6. Jhs. v. Chr. Dazu gehört vor allem **Abb. 60,c** (= 174), eine KRS des Typus 9, Variante 9,1.B. Da das Gefäß recht vollständig geblieben ist, könnte es noch kurz vor seiner Deponierung benutzt worden sein. Jedenfalls ist eine sekundäre Deponierung oder eine noch häufigere Umlagerung aufgrund der Vollständigkeit des Gefäßes auszuschließen. Da aber der allgemeine Vergleich etwa mit den attischen Komastenschalen zeigt⁷⁴⁵, daß die milesische KRS spätestens in das zweite Viertel des 6. Jhs. v. Chr. datiert, kann die Schale **Abb. 60,c** (= 174) nur aus dem Zusammenhang der Phase 4 und damit nur in den Boden der Phase 5 und nicht der viel zu späten Phase 6 geraten sein.

Eine ähnliche Situation sollte für die Fragmente der KRS des Typus 10 (**Abb. 60,d–g**) gelten, die sich mit mehr Beispielen ebenfalls in diesem Befund fanden und alle die Dekorvariante k aufweisen. Lediglich **Abb. 60,e–f** sind zusätzlich mit roten Bändern geschmückt, durch die sie als Dekorvariante ky klassifiziert werden. **Abb. 60,g** hat ein ungewöhnlich breites tongrundiges Band, das nahezu den gesamten Rand innen bedeckt. Abgesehen von der einheitlichen Dekorgestaltung gehören die Beispiele aber verschiedenen Formvarianten an. **Abb. 60,d** gehört der Variante 10,6.C, **Abb. 60,e** der Variante 10,5.B–C, **Abb. 60,f** der Variante 10,2.B und **Abb. 60,g** der Variante 10,4.B an. Damit sollte auch für diese Stücke und ihre Variante gelten, daß sie bereits vor der Anlage des Bodens der Phase 5 produziert und benutzt wurden. Das Randfragment **Abb. 60,h** stammt nicht sicher von einer KRS. Sollte sie doch zu diesen gehören, wird sie am ehesten den Typus 10 vertreten.

⁷⁴⁵ s. z. B. Brijder 1983, 96, Abb. 24 (Datierung S. 99 f.); selbstverständlich wird hier kein direkter Vergleich mit den attischen Schalen des Malers von Athen 533 angestrebt, dennoch ist ein gemeinsamer zeitbedingter Trend in beiden Schalenformen zu verfolgen, auch wenn der attische Vergleich wesentlich größer sind.

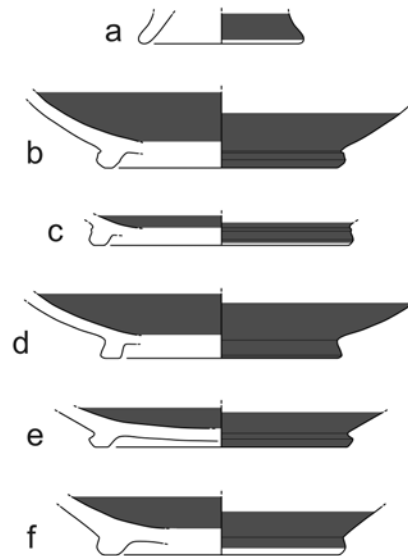


Abb. 61: Kalabaktepe-Süd, aus dem Fußboden der Siedlungsphase 5 (und möglicherweise auch Siedlungsphase 6).
 a) K 89.265.16; b) K 89.265.17; c) K 89.265.19; d) K 89.265.20; e) K 89.265.18;
 f) K 89.265.21

Sechs mögliche Schalenböden wurden zudem in der genannten Fundlage aufgedeckt. Bis auf den hohen Fuß **Abb. 61,a**, der wohl die besten Parallelen im 7. Jh. v. Chr. findet, könnten die übrigen Standringe einen kleinen Querschnitt der ersten Hälfte des 6. Jhs. v. Chr. bieten. Jedenfalls dürften sie alle vor der Anlage des Bodens der Phase 5 in Benutzung gewesen sein. Dabei stellen besonders die beiden abgewinkelten Standringe **Abb. 61,b–c** mit ihren Profilierungen auf der Außenseite Neuerungen dar. **Abb. 61,d** mit einfachem kantigen und **Abb. 61,e–f** mit außen abgekantetem Standring sind bereits aus früheren Phasen bekannt.

5.1.2.7.3.3 Die Knickrandskyphoi- und –schalentypen aus dem Benutzungshorizont der Phase 5

Der Befund K 89.195 wird folgendermaßen beschrieben: »Schutt im Inneren des Hauses über der vorletzten Bauphase«⁷⁴⁶. Senff ordnet diesen Schutt einem Haus der Phase 5 zu. Es ist hiermit noch nicht die Aufschüttung zu Phase 6 gemeint, sondern eine von dieser getrennte Schicht. Daher sollte das Material der Nutzungszeit des Hauses entsprechen. Allerdings ist der Zeitpunkt an das Ende der Phase 5 zu legen, denn es handelt sich um den Zerstörungsschutt des Hauses vor der Neuerrichtung eines Gebäudes der Phase 6.

Vier Randfragmente der Typen 10 und 11 wurden somit am Ende der Phase 5 hier deponiert und belegen einen Ausschnitt des Trinkgeschirrs im zweiten Viertel des 6. Jhs. v. Chr. Einzig die KRS **Abb. 62,b** ist als Typus 10 der Variante 10,2.B zu klassifizieren. Den Typus 11 vertreten die KRS **Abb. 62,a** mit der Variante 11,4.B (Sonderform) und die KRS **Abb. 62,c** (= 346) sowie

⁷⁴⁶ Mitteilung R. Senff (Bochum/Athen).

Abb. 62,d mit der Variante 11,4. Alle Beispiele zeigen erneut die Dekorvariante k, die sich bereits seit der Phase 2 nachweisen läßt.



Abb. 62: Kalabaktepe-Süd, aus der Nutzungszeit der Siedlungsphase 5.
a) K 89.195.8; b) K 89.195.7; c) K 89.195.5 (= Kat.-Nr. 346); d) K 89.195.6

Zudem sind drei weitere KRS hier anzuführen, deren Zugehörigkeit zur Phase 5 sichergestellt ist, deren Zuordnung zur Nutzungsphase 5 allerdings nur angenommen werden kann. Gleichwohl passen sie gut in das gezeigte Bild der Nutzungsphase. Dabei sind die Randfragmente **226** und **232** als KRS der Variante 10,2.B und der Dekorvariante ky zu klassifizieren. **232** gelangte während der Phase 5 in die Auffüllung des Stadtmauergrabens in Q 91.01. Allerdings ist die Auffüllung auch mit Funden des 7. Jhs. v. Chr. durchmischt. **226** stammt aus dem »Schutt der Phase 5« in Q 89.09. Daneben ist das sehr interessante Fragment **398** einer KRS der 'Grauen Ware' hier anzuführen. Auch sie kommt der Sonderform der Variante 11,4.B am nächsten, wie es durch **345** und **Abb. 62,a** aus der Nutzungszeit der Phase 5 vertreten wird. **398** wird von Senff, dem Bearbeiter der Stratigraphie, ebenfalls der Phase 5 zugeordnet, allerdings beschreibt er den Befund K 92.326 als »Steinausraubung in der Phase 5«.

5.1.2.7.3.3.1 Die Knickrandskyphoi- und -schalen aus dem Benutzungshorizont der Unterphasen 5a und 5b

Der erste lokal begrenzte Umbau innerhalb der Benutzungphase 5 wird hier mit 5a bezeichnet und stellt relativchronologisch eine Schicht dar, die eine geraume Zeit nach der Anlage der Phase 5 errichtet worden war. Zu einem späteren Zeitpunkt innerhalb derselben Siedlungsphase 5 wurde eine zweite, mit 5b bezeichnete Umbaumaßnahme vorgenommen. Entgegen der klar erkennbaren Baumaßnahmen sind die hier als Befunde bezeichneten Grabungseinheiten nicht so exakt gewesen.

Die Befunde K 89.212 und K 89.213 haben sowohl die Umbauphase 5a, als auch 5b erfaßt. Entsprechend sind in **Abb. 63,a–e** Fragmente von KRS beider Phasen abgebildet.

Das Randfragment **Abb. 63,a** gehört zu einer KRS des Typus 9. Es ist zwar mit seinen wenigen und recht breiten Bändern auf dem Rand etwas ungewöhnlich, aber dennoch klar als Variante 9,1.C zu klassifizieren. Ähnliche Dekorelemente mit breiten Firnisbändern, allerdings im Schalenbecken, zeigen auch andere Beispiele der Variante 9,1, wie **181–186**.

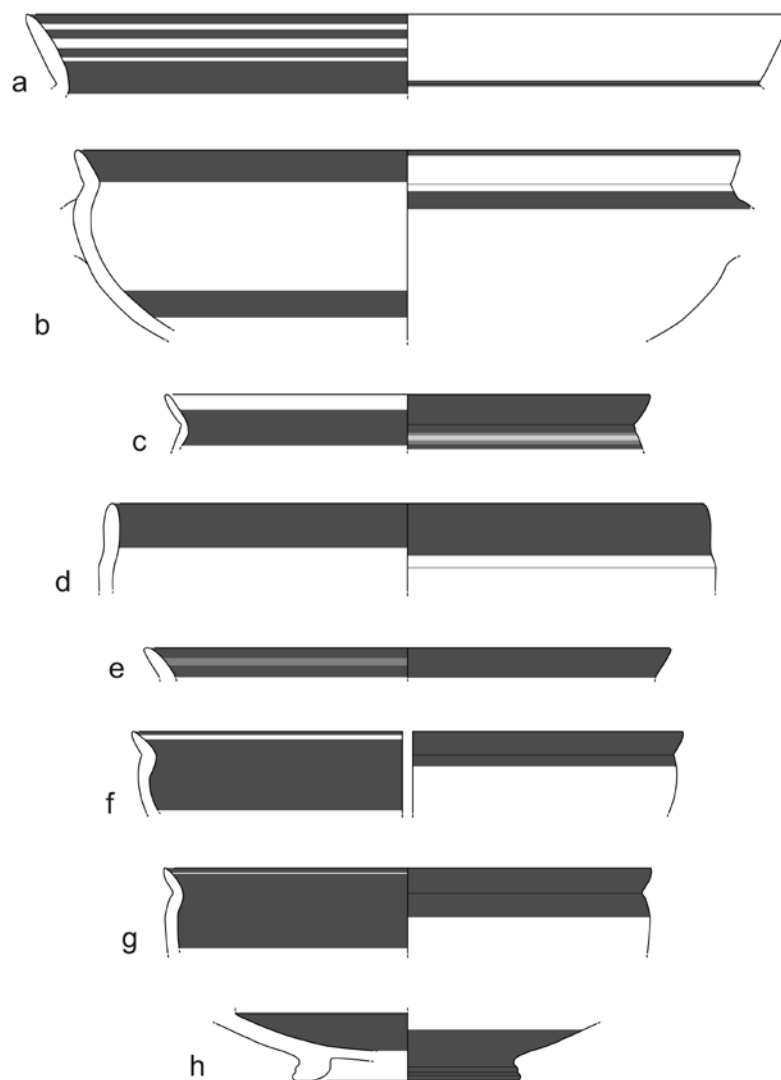


Abb. 63: Kalabaktepe-Süd, aus der Aufschüttung für die Umbauphase 5a und deren Boden, sowie aus der Aufschüttung für Umbauphase 5b.

a) K 89.212.9; b) K 89.212.8; c) K 89.212.10; d) K 89.212.5; e) K 89.213.1.

Kalabaktepe-Süd, aus und von dem Fußboden der Umbauphase 5b.

f) K 89.208.3; g) K 89.208.2; h) K 89.208.4

Die KRS **Abb. 63,b** ist der im Katalog aufgeführten KRS **257** der Variante 10,5.C mit der Dekorvariante n so ähnlich, daß sie gleichsam als 'Zwillingschalen' beschrieben werden können. Nicht nur der Dekor, sondern auch die Wandstärken und die Proportionen stimmen nahezu überein. Während das große Fragment **Abb. 63,b** 1989 in der Siedlung am Kalabaktepe-Süd aufgedeckt wurde, ist die Schale **257** im Jahre 2005 in Oikos in einer »Deponierung in der Terrassierungsaufschüttung

über einem ehemaligen Kalksteinbruch (Ensemble 6)«, die allgemein in das dritte Viertel des 6. Jhs. v. Chr. datiert wird, vollständig erhalten angetroffen worden. Die Datierung des Fundkomplexes im milesischen Heiligtum der Aphrodite von Oikuswurde, überein. Das Randfragment **Abb. 63,e** ist zu klein für eine eindeutige Bestimmung, dennoch stellt es wohl die Variante 10,4 dar. Schwierig ist auch die Bestimmung des Randfragmentes **Abb. 63,c**, das vermutlich der Variante 10,1 oder 10,2 zugeordnet werden kann. Dazu paßt auch die Dekorvariante ay oder ky mit rot-weiß-roten Streifen auf der Schulter. Allerdings war von der Variante 10,1 angenommen worden, daß sie wenigstens 50 Jahre älter als die hier beschriebene Fundlage sei.

Doch ist es durchaus möglich, daß auch einige ältere Fragmente in die Umbauphasen 5a und 5b gelangt sein können. Diese wird mit dem Skyphos **Abb. 63,d**, der wohl als Variante 3,3.B zu klassifizieren ist, im selben Zusammenhang belegt. Möglicherweise sind der Skyphos und die KRS **Abb. 63,c** in der ebenfalls mit den Befunden erfaßten Auffüllungsschicht aus älteren Bereichen hierher verlagert worden.

Dagegen sind die drei Fragmente **Abb. 63,f–h** aus dem Boden der Umbauphase 5b und auf dem Boden gefunden worden. Sie dürften damit tatsächlich während einer begrenzten Zeit innerhalb der Phase 5 benutzt worden sein. Die beiden KRS haben kurze, aufstrebende Ränder, die sie als Variante 10,8 erweisen. Auch sie sind noch immer mit der Variante k dekoriert.

Möglicherweise gehört der Standring **Abb. 63,h** zu einem der beiden im selben Befund K 89.208 angetroffenen Randfragmente **Abb. 63,f–g**. Wie schon möglicherweise im Boden der Siedlungsphase 5 (**Abb. 61,c**), zeigt sich erneut die neue Standringform mit Profilierung an der Außenseite. Sie könnte damit tatsächlich eine Neuerung kurz vor der Mitte des 6. Jhs. v. Chr. anzeigen.

5.1.2.7.3.4 Die Knickrandskyphoi- und –schalentypen aus dem Aufschüttung zur Phase 6

In der Auffüllung zur Siedlungsphase 6 wurden sehr viele KRS aus dem Grabungsjahr 1989 und einige aus späteren Grabungsjahren angetroffen. Dies scheint von einer besonders mächtigen Deponierung von Funden aus der Siedlungsphase 5 und bei tiefgreifenden Maßnahmen auch von älteren Funden zu zeugen. Aus den nun zu besprechenden Schalen läßt sich das Bild der Siedlungsphase 5 gut erhellen.

Die drei ersten hier aufzuführenden KRS waren allerdings zweifellos nicht mehr während der Siedlungsphase 5 in Benutzung. **Abb. 64,a** und **Abb. 64,c** sind Randfragmente von KRS der Variante 5,3 und **Abb. 64,b** der Variante 6,4. Sie können nur aufgrund von Umlagerungen in die Auffüllung zu Phase 6 gelangt sein. Auch die sehr große KRS oder der KRSk **66** der Variante 3,2 und das Randfragment **Abb. 67,a**, ebenfalls vom Typus 3, fanden sich im Kontext der Auffüllung zu Phase 6. Gleiches gilt für das Randfragment **Abb. 66,c**, das vermutlich ebenfalls der Variante 3,2 zugeschrieben werden kann. Somit sind die Stücke wesentlich älter als ihre Fundlage. Letzteres kann

gut mit dem sehr ähnlichen Stück **Abb. 56,e** aus der Auffüllung zur Phase 5 verglichen werden, das genauso beidseitig schwarz gefirnißt, zusätzlich jedoch mit roten Bändern verziert ist.

Der Typus 9 in der Variante 9,1 ist durch zwei Fragmente in der Auffüllung vertreten. Dabei ist besonders **Abb. 64,c** etwas ungewöhnlich. Das tiefe Schalenbecken ist den Beispielen der Variante 9,1.B in Milet zu zuordnen, wohingegen **Abb. 64,d** das flachere Becken der Variante 9,1.C vertritt.

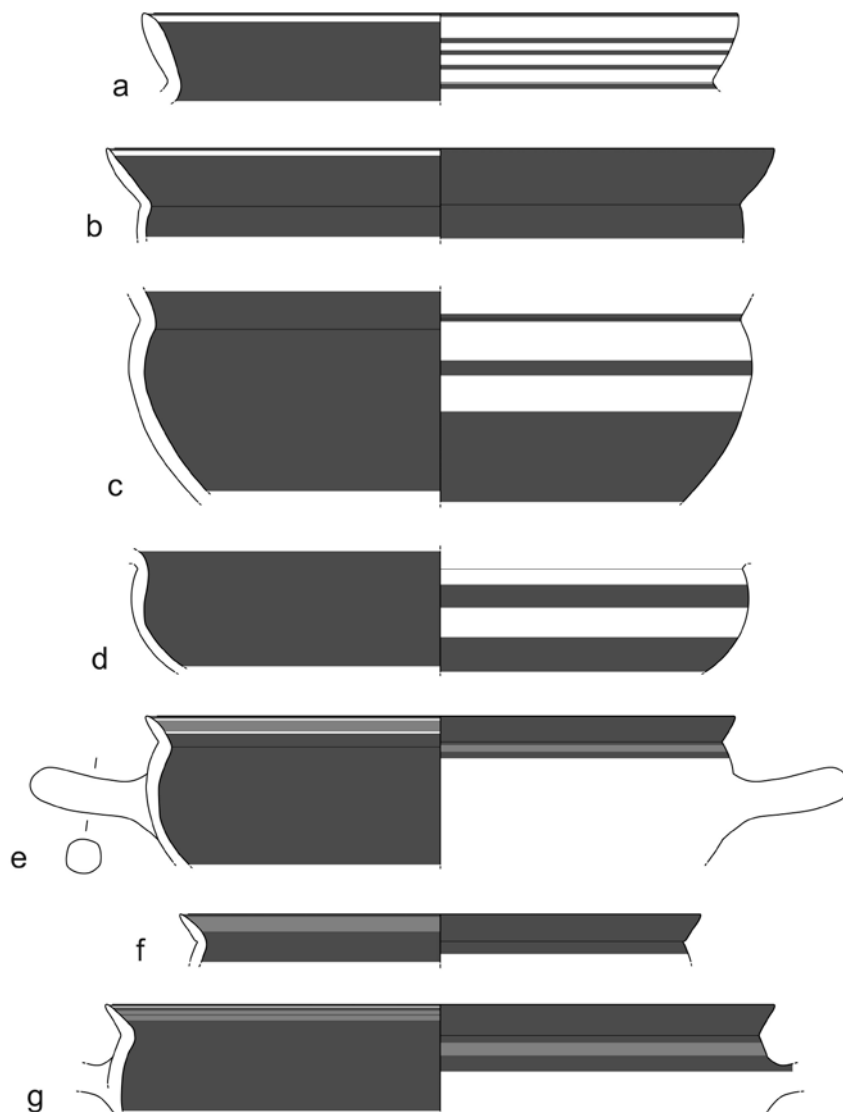
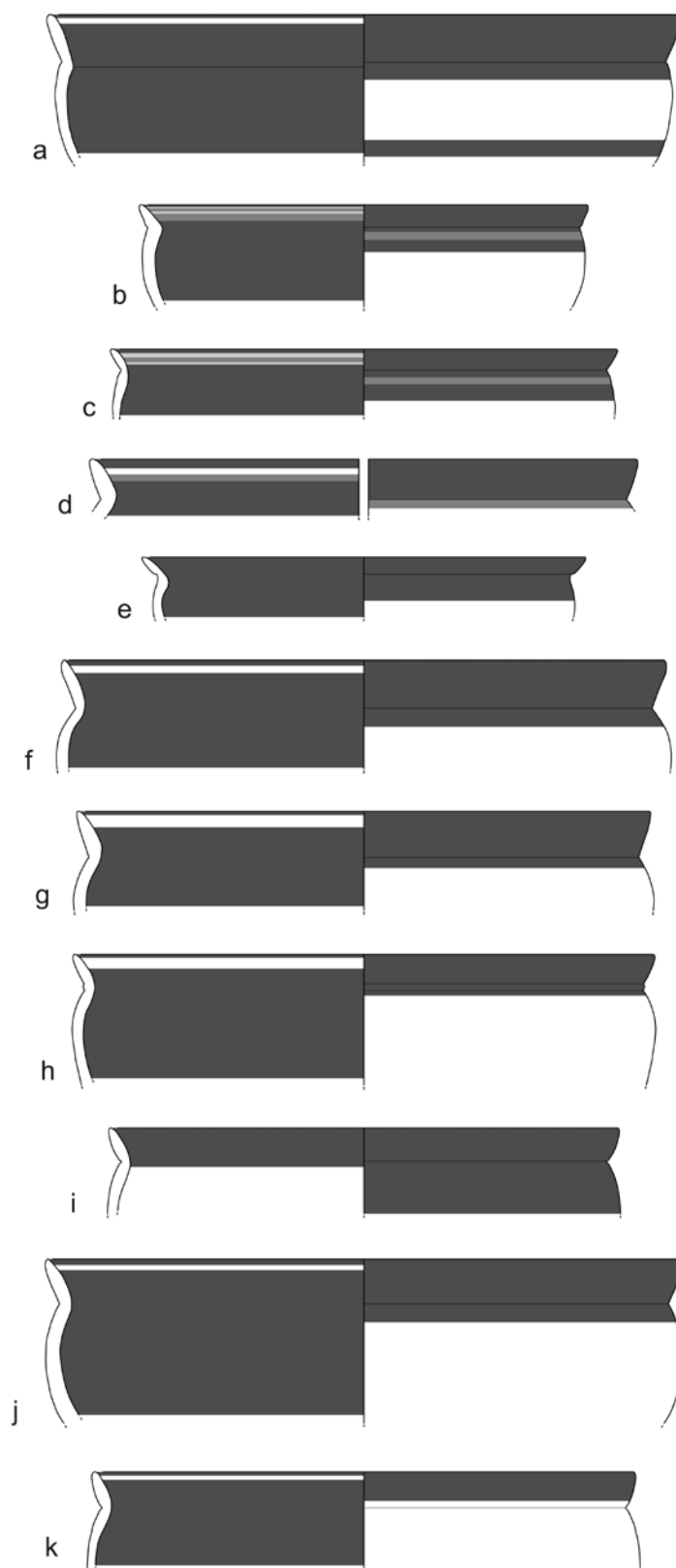


Abb. 64: Kalabaktepe-Süd, aus der Auffüllung zur Siedlungsphase 6, mit Älterem vermischt.
 a) K 89.506.36; b) K 89.506.51; c) K 89.506.54; d) K 89.223.7; e) K 89.506.42;
 f) K 89.155.16; g) K 89.155.15.

Die überwiegende Mehrheit der in der Auffüllung zur Siedlungsphase 6 aufgedeckten Randfragmente von KRS ist dem Typus 11, weitere sind dem Typus 10 anzugliedern. Letzterer Formtypus ist dann auch mit einigen Fragmenten vertreten, die mit spätem Tierfriesstil der Phase SiA Id oder/und dem sog. Fikellurastil der Stufe MileA II bemalt sind.



vorherige Seite

Abb. 65-1: Kalabaktepe-Süd, aus der Auffüllung zur Siedlungsphase 6, mit Älterem vermischt.
 a) K 89.506.43 (= Kat.-Nr. 352); b) K 89.506.49; c) K 89.506.50; d) K 89.506.53;
 e) K 89.506.47; f) K 89.506.40; g) K 89.506.45; h) K 89.155.14; i) K 89.155.11;
 j) K 89.506.38 (= Kat.-Nr. 350); k) K 89.506.39

Für den Typus 10 lassen sich folgende Varianten in der Auffüllung finden: 10,2.B (**Abb. 64,f-g, Abb. 65-1,b, Abb.67,c, 230**); 10,3.B (**Abb. 65-2,o**); 10,4.B (**Abb. 64,e**); 10,5.B (**Abb. 65-1,c, e**); 10,11.D (**307**); 10,13.C (**Abb. 66,d = 454**). Hierbei überrascht der hohe Anteil der KRS mit tiefem Becken, die als B klassifiziert sind. Daneben sind dann aber, wie in der zweiten Hälfte d. 6. Jhs. v. Chr. zu erwarten, auch die flachen Becken C und D zu finden.

Letztere wurden dann auch mit Fikellurastil-Malerei versehen (**Abb. 66,d = 454**). Darüber hinaus ist die Bemalung der einfacheren Schalen von der Dekorvariante k dominiert, sowohl von der einfachen Variante k (**Abb. 65-1,e Abb. 65-2,o**), als auch von der elaborierten Variante ky mit roten und teils weiß-rot-weißen Bändern (**Abb. 64,e-g, Abb. 65-1,b-c, 230**). Lediglich die flache KRS **307** ist mit der Variante n γ mit roten Bändern geschmückt. Die KRS **Abb. 67,c** hat erneut einen eher ungewöhnlichen Dekor, der auf der KRS **Abb. 59,f** aus dem Boden der Phase 5 schon einmal angetroffen wurde, und bei dem offensichtlich das typische ausgesparte Henkelfeld fehlt. Wie weit die gefirnißte Fläche auf der Außenseite der Schale hinabreichte, und ob die Schale komplett schwarz gefirnißt war, läßt sich nicht mehr feststellen.

Die große Anzahl der KRS vom Typus 11 ist in folgende Varianten zu scheiden: 11,4.B (**Abb. 65-1,a = 352, Abb. 65-1,f-k, Abb. 65-2,l,n,p,r, Abb. 66,a-b, 346, 348**) und 11,5.B (**Abb. 65-1,d, Abb. 65-2,m**). Auch beim Typus 11, sind die Verhältnisse bei den Dekorvarianten ganz ähnlich wie bei Typus 10. Es herrscht die Variante k vor (**Abb. 65-1,a = 352, Abb. 65-1,f-k, Abb. 65-2,n,p,r, Abb. 66,a-b 346, 348**), seltener ist die Variante ky mit roten Bändern (**Abb. 65-1,d**). Neu sind allerdings die Dekorvarianten n (**Abb. 65-2,l**), m (**Abb. 65-1,i**) und l (**Abb. 65-2,m**). Sehr ähnlich sind sich die Fragmente **Abb. 65-2,r** und **Abb. 66,b**, die vermutlich nach dem Vorbild der vollständigen KRS **344** zu rekonstruieren sind.

Die Randfragmente **Abb. 67,f** vermutlich der Variante 13,2 und **394** der Variante 13,3.B sind ebenfalls in der Auffüllung zur Phase 6 vertreten. Weder der einfache Dekor von **Abb. 63,f** noch die Bemalung in südionischem Stil auf dem Rand von **394** läßt sich eindeutig einer Stilphase zuordnen.

Die bemalten KRS in der Aufschüttung (**Abb. 66,d = 454, Abb. 66,e-f, 349; 394**) zeigen ebenso wie die oben besprochenen Beispiele der Typen 3, 5 und 6 an, daß ältere Beispiele durchaus in die Aufschüttung zur Siedlungsphase 6 geraten sein können. Daher sind nicht alle KRS der Typen 10 und 11 auch automatisch in der Phase 5 produziert und/oder benutzt worden. Der Siedlungsphase 5 sind vermutlich die Varianten 10, 11 und 13 zugehörig, die auch mit spätem Fikellurastil der Stilstufe MileA II bemalt wurden.

Für die kleinen Wandfragmente **Abb. 66,e-f** läßt sich die Formvariante nicht mehr bestimmen, teilweise auch nicht die Stilstufe und -phase. Das gleiche gilt für das schwarzgefirnißte Randfragment **394** einer kraterartigen KRS, die in einem tongrundigen Streifen auf der

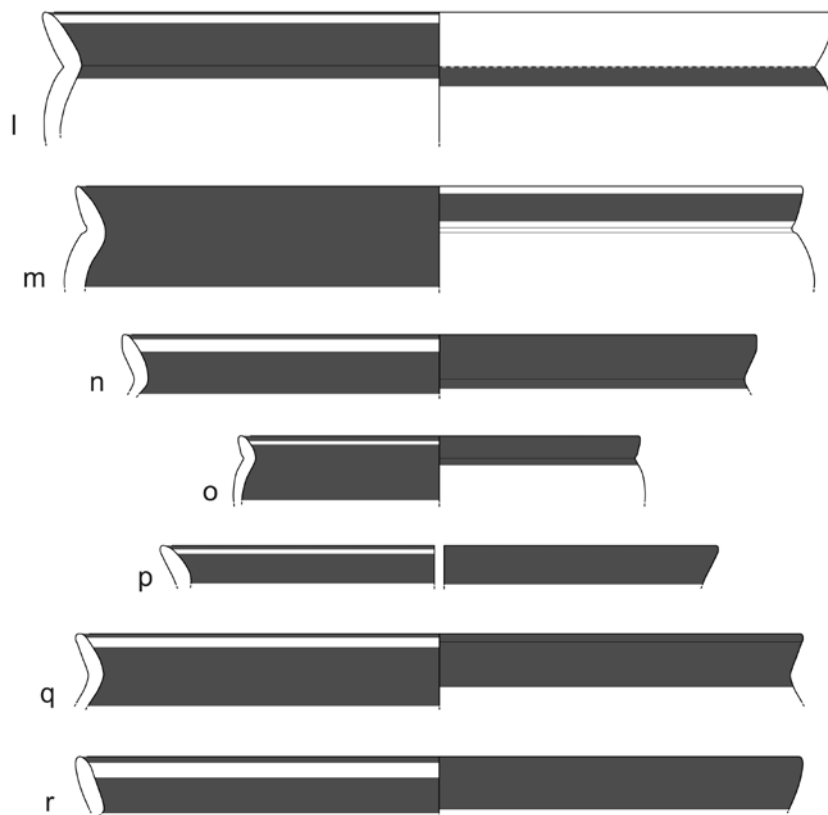
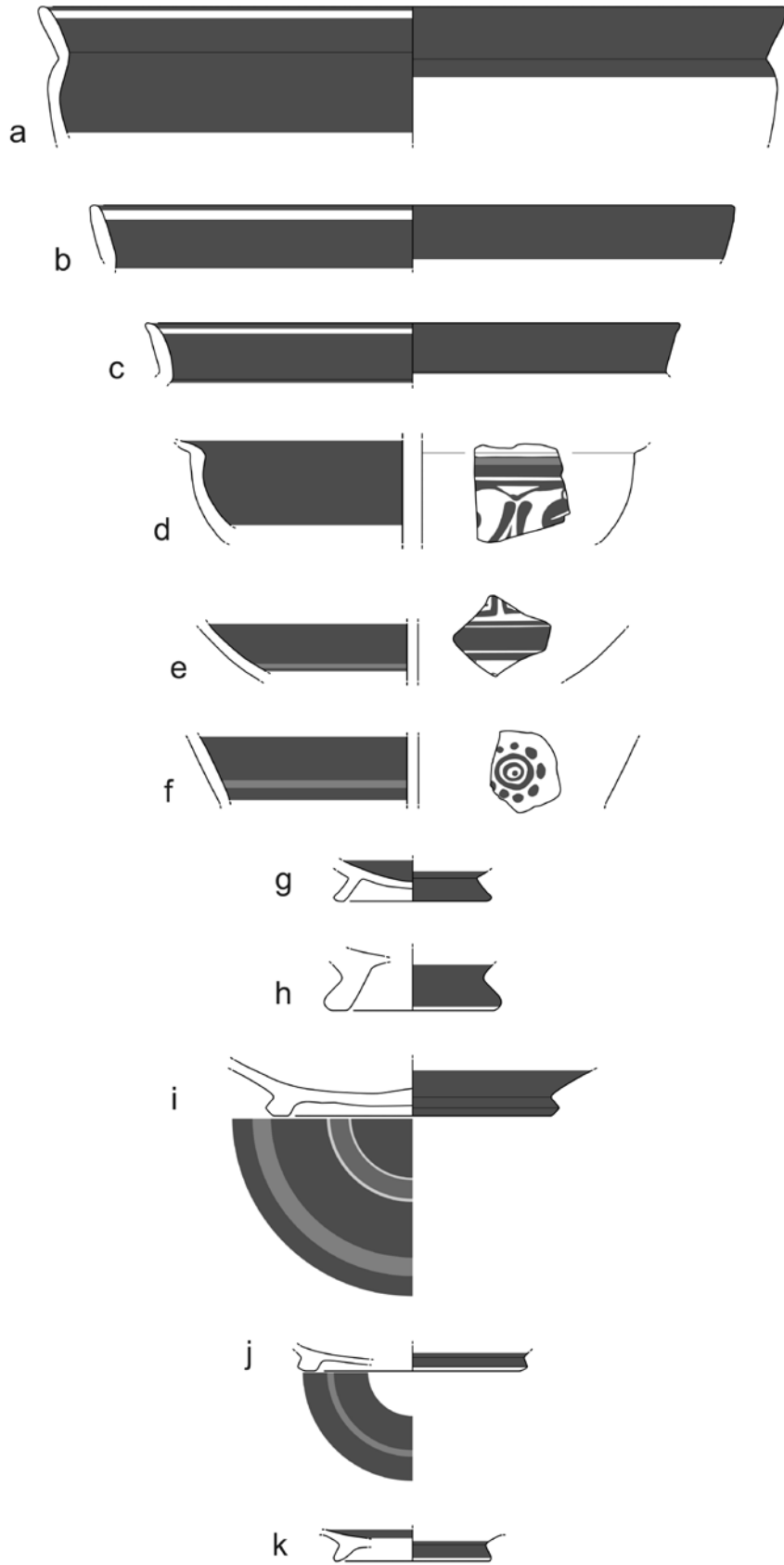


Abb. 65-2: Kalabaktepe-Süd, aus der Auffüllung zur Siedlungsphase 6, mit Älterem vermischt.
l) K 89.506.37; m) K 89.506.52; n) K 89.155.10; o) K 89.506.48; p) K 89.223.6;
q) K 89.506.44; r) K 89.155.13

Innenseite ein Flechtband zeigt, das für die Stilstufe SiA I und MileA II belegt ist⁷⁴⁷. Auch für den knappen Ausschnitt eines Plattenmäanders auf **Abb. 66,e** fällt die Einordnung in die Stilentwicklung der milesischen Malerei schwer. Über dem breiten schwarzen Firnisgürtel hat sich der Rest eines Plattenmäanderfrieses erhalten, wie er in Milet des öfteren für die Stufen SiA Id und den Übergang zu MileA IIa nachgewiesen werden kann⁷⁴⁸. Das kleine Fragment **Abb. 66,f** ist mit einer Punktrossette geschmückt, wie sie ebenfalls etwa in der Phase des Übergangs der beiden großen Stilstufen in Südionien typisch ist und daher sowohl auf Dekoren

⁷⁴⁷ Etwa am Fragment des Schalenfragments **516** der Stilphasen MileA Ic/d oder an der Außenseite des Randes der Bilinguen-KRS **423**, oder doppelstöckig in der Mitte des Gürtelbandes der Bilinguen-KRS **440** der Stilphase MileA IIa, oder and der Schale **572** mit fortgeschrittenem Fikellurastil MileA II. Vgl. auch die Lévy-Kanne in Paris, die als frühes Beispiel der Stilphase SiA Ic gilt (s. Kerschner – Schlotzhauer 2005, 25 Nr. 37 = Samos 5, Taf. 116–117, 592) oder den noch früheren Teller aus Milet der Stilphase SiA Ib (Kerschner – Schlotzhauer 2005, 18 Nr. 33; 23 Abb. 18). Besonders lehrreich ist hier der Deckel aus Milet Kerschner – Schlotzhauer 2005, 31 Abb. 29 der Stilphase SiA Ic, bei der gleich zwei Flechtbänder aufgemalt wurden, die bereits ein breites Spektrum an Flechtbändern für diese frühe Zeit verkörpern.

⁷⁴⁸ SiA Id-MileA IIa **528–535. 543.**



vorherige Seite

Abb. 66: Kalabaktepe-Süd, aus der Auffüllung zur Siedlungsphase 6, mit Älterem vermischt.
 a) K 89.506.41 (= Kat.-Nr. 353); b) K 89.506.46; c) K 89.155.12; d) K 89.506.22
 (= Kat.-Nr. 454); e) K 89.488.11; f) K 89.506.24; g) K 89.506.55; h) K 89.506.56;
 i) K 89.506.57; j) K 89.506.58; k) K 89.506.59

der Stilphasen SiA Id, als auch MileA IIa zu belegen ist⁷⁴⁹. **Abb. 66,d** (= **454**) ist schließlich mit einem verbundenen Blüten-Knospenfries der entwickelten Stilstufe MileA II verziert. Damit ist kein Beispiel der milesischen Gefäßmalerei in der Auffüllung zur Phase 6 enthalten, das eindeutig die Entwicklung des dritten Viertels des 6. Jhs. v. Chr. repräsentiert. **Abb. 66, e–f** sind wohl sicher aus älteren Schichten in die Fundlage geraten.



Abb. 67: Kalabaktepe-Süd, aus der Auffüllung für Siedlungsphase 6, mit Älterem vermischt.
 a) K 89.224.8; b) K 89.224.9; c) K 89.224.10; f) K 89.224.7.
 Kalabaktepe-Süd, aus der Auffüllung im Innenraum der Siedlungsphase 5 oder 6, mit Älterem vermischt.
 d) K 89.229.3; e) K 89.229.2 (= Kat.-Nr. 333).

Zum Abschluß seien einige Füße und Standringe aus der Auffüllung vorgestellt, die nicht unbedingt zu KRS gehören müssen. Sollte der Fuß **Abb. 66,h** zu einer KRS gehören, wird er am ehesten einem frühen Typus, wie den Typen 3–6, angehören. Der mittelhohe Fuß mit engem Durchmesser ist typisch für das 7. Jh. v. Chr. Daher handelt es sich vermutlich um einen verlagerten Fund aus älteren

⁷⁴⁹ Für die Phase SiAI c/d s. etwa **430, 435** und für MileA IIa s. die Bilinguen **423, 438–440** und auch die Schale **441**.

Kontexten. Die Standringe **Abb. 66,i–j** stellen bereits aus vorherigen Phasen bekannte Typen von ausgestellten Standringen mit abgekanteten Außenseiten dar. Die Becken der Gefäße sind auffällig mit roten konzentrischen Kreisen geschmückt. Die sehr häufige polychrome Bemalung ist schon bei den KRS der Typen 10 und 11 in dieser Phase 5 hervorgetreten. Dagegen vertreten die feinen Standringe **Abb. 66,g,k** Formen, die auch bei den Fikellurastil-Schälchen vorkommen⁷⁵⁰.

Drei Randfragmente (**Abb. 67,d–e; 329**) der Gattung aus den Befunden K 89.229 und K 92.2 wurden in einer Auffüllung bzw. in einer Schicht Bauschutt aufgedeckt, die sich nicht sicher der Siedlungsphase 5 oder 6 zuordnen ließ. Daher bieten diese unsicheren Fundlagen für die Variante 10,5 oder 10,13 (**Abb. 67,d**) und die eher seltene Variante 11,1.B (**Abb. 67,e = 333**) sowie den Standring **329** lediglich eine schwache Datierungshilfe.

5.1.2.7.3.5 Die Verteilung der Typen in Phase 5 insgesamt

Die Verteilung der Typen in Phase 5 (**Abb. 68**) stützt sich auf 207 Randfragmente der Gattung KRS. Das Typenspektrum und die statistische Verteilung der Typen haben sich von Phase 4 zu Phase 5 nur geringfügig verändert. Die Situation während der Phasen 4 und 5 kann vielleicht mit gewisser Berechtigung als eine 'Beruhigung' im Typenwandel der Gattung bezeichnet werden. Weiterhin sind die älteren Typen 1–7 mit Anteilen von 1–4 % lediglich aufgrund von Aufschüttungen und Umbaumaßnahmen in die Fundlage der Siedlungsphase 5 geraten. Erwartungsgemäß liegen die Werte dieser seit längerem nicht mehr gefertigten und genutzten Typen sogar geringfügig niedriger, als in der Siedlungsphase zuvor⁷⁵¹. Der deutlichste Rückgang ist beim Typus 8 zu verzeichnen, der gegenüber der Phase 4 von 7 % auf 2 % zurückgeht. Damit ist nun auch der Typus 8 auf einen statistischen Wert geschrumpft, wie er für nicht mehr produzierte und benutzte Fundgruppen im untersuchten Gebiet typisch ist. Das Volumen der umgelagerten Stücke aus älteren Zusammenhängen (Typen 1–8) ist insgesamt auf 15 % gesunken, während sie in Phase 4 noch bei 23 % lagen. Allerdings muß in diesem Zusammenhang bedacht werden, daß es vorläufig unmöglich ist festzustellen, wieviel Prozent der Gefäße der neuen Typen 9–11 aus älteren Schichten stammen. Dennoch ist es nicht gelungen, eindeutig die frühen Varianten von den späteren zu scheiden oder festzulegen, wie lange die Laufzeit der verschiedenen Varianten der genannten Typen beträgt. Daß der Typus 12 in der Statistik der Phase 5 nicht enthalten ist, muß zunächst nicht allzuviel bedeuten. Denn die kleinen Gruppen, wie Typus 12 und 13 sind insgesamt nur zu einem so geringen Anteil vorhanden, daß das Fehlen in einer Phase Zufall sein kann. Im Gegensatz zu den statistisch relevanten Mengen etwa der Typen 10 und 11 in den Fundlagen der Phase 5 sind die Aussagen zu Kleingruppen wie Typus 12 und 13 nur wenig belastbar. Einzig das Vorhandensein in einer Phase kann sicher als *terminus ante quem* für ihre

⁷⁵⁰ Vgl. für **Abb. 66,g** die Schälchen **456, 479** und **481**; für **Abb. 62,k** s. **457, 464–466, 486–489**.

⁷⁵¹ Gegenüber der Phase 4 sinkt der Wert des Typus 3 von 3 % auf 1 %, der Typus 6 verzeichnet einen Rückgang von 2 auf 1 % und Typus 7 von 4 auf 3 %. Lediglich der Typus 5 hat sich um einen Prozentpunkt auf 4 % steigern können. Die übrigen frühen Typen 1, 2 und 4 bleiben unverändert.

Existenz betrachtet werden. Dagegen ist beispielsweise die Feststellung eines sehr zahlreichen Vorkommens tiefer Schalenbecken bei den Typen 10 und 11 in der Auffüllung

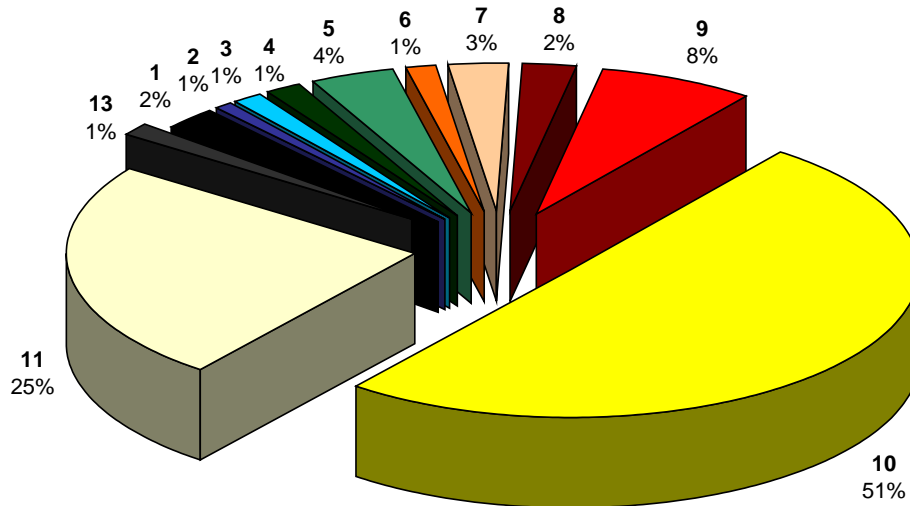


Abb. 68: Kalabaktepe-Süd, Verteilung der KRSk und KRS in der Siedlungsphase 5

zur Phase 6 bereits ein beachtenswerter Umstand. Denn es ist kaum wahrscheinlich, daß alle Beispiele mit tiefen Becken aus älteren Zusammenhängen in den Kontext umgelagert wurden. Das gleiche gilt etwa auch für das häufige Auftreten von farbigen Bändern auf den Schalen im gleichen Fundzusammenhang.

Auch die Siedlungsphase 5 wird, wie bereits die Siedlungsphase 4, von den drei Typen 9, 10 und 11 bestimmt. Sie haben ihren gemeinsamen Anteil nochmals gegenüber der Vorphase steigern können. Zusammen machen sie 84 % der Gesamtmenge der Gattung in der Siedlungsphase 5 aus. Der Anteil von Typus 9 ist zwar von 6 % auf 8 % gestiegen, doch bleibt er damit weiterhin mit Abstand die kleinste der drei Formgruppen.

Bemerkenswert ist eine Verschiebung untereinander bei den Typen 10 und 11 in Siedlungsphase 5. Lag ihr Anteil in Phase 4 noch beinahe gleich auf, ist der Anteil von Typus 10 in der Phase 5 mit 51 % auf über die Hälfte aller klassifizierten Randfragmente dieser Phase angewachsen, was eine Steigerung von 17 % gegenüber der Vorphase bedeutet. Typus 11 kommt noch immer auf ein Viertel (25 %) in Phase 5. Dies bedeutete jedoch in seinem Fall erstmals einen Rückgang um 11 % gegenüber der Siedlungsphase 4. Seitdem die Typen 10 und 11 in Phase 2 festgestellt wurden, kommt es somit erstmals zu einer deutlichen Verschiebung zugunsten einer der beiden Typen, die zuvor nahezu gleich stark vertreten waren.

Im Ganzen kann daraus wohl geschlußfolgert werden, daß während der Siedlungsphase 5 die Typen 9, 10 und 11 weiterhin produziert und genutzt wurden. Sie bilden das Haupttypenspektrum dieser vor allem lokalen Trinkgefäßgattung. Welche ihrer Varianten aber bereits aufgegeben wurden und nur noch als umgelagerte Stücke in die Statistik eingegangen sind, konnte nicht ermittelt werden. Ebenso wenig ist es möglich, belastbare Aussagen für die Typen 12 und 13 durch die Statistik zu gewinnen.

5.1.2.7.4 Zusammenfassung Phase 5

Für die Fundlagen der Siedlungsphase 5 am Kalabaktepe-Süd bleiben die Typen 10 und 11 bestimmend. Allerdings tritt die Bedeutung des Typus 11 deutlich hinter die des Typus 10 zurück. Möglicherweise ist dies bereits ein Zeichen für die Aufgabe des Typus 11 im Verlauf der Phase 5, wohingegen der Typus 10 weiterhin zahlreich produziert und benutzt wurde. Daneben hat die Produktion oder Nutzung des Typus 9 während der Phase 5 an Bedeutung gewonnen. Wieder fanden sich auch ältere Stücke der inzwischen aufgegebenen, nicht mehr produzierten Typen 1–8. Doch sind diese, wie auch die Gesamtstatistik dieser Phase zeigt, unbedeutend und mit Umlagerungen zu erklären. Sie sind erneut durch Auffüllungen und Planierungen in diese späten Fundkontexte geraten.

Lediglich vier KRS des Typus 9 ließen sich aus den Grabungen des Jahres 1989 und aus späteren Jahren unter den im Katalog aufgeführten Beispielen genauer bestimmen. Dies ist zu wenig, um eine exakte Abfolge und stratigraphische Festlegung der Varianten zu verfolgen. Daß die Variante 9,1 bereits im Hofboden der Siedlungsphase 5 deponiert wurde, verwundert angesichts ihres Vorkommens bereits in Phase 4 wenig. Auch die Variante 9,1.B mit tiefem Becken aus der Auffüllung zur Phase 6 spricht daher eher für eine Verschleppung aus älteren, tieferen Schichten. Der Typus 9 scheint überhaupt bisher vor allem mit den Varianten 9,1.B–C vertreten zu sein. Für die Phasen 4 und 5 wären aber auch schon die Varianten 9,2–4 zu erwarten. Vermutlich spielten sie aber im Wohn- und Handwerksviertel sowie in der Produktion der Töpfereien am Südhang des Kalabaktepe keine Rolle. Im nahen Aphrodite-Heiligtum auf dem Zeytintepe dagegen sind alle Varianten des Typus 9 in großer Anzahl vorhanden.

Unter den KRS der Typen 10 und 11, die das Bild der Phase 5 im Grabungsbereich prägen, ist besonders der hohe Anteil von Varianten mit tiefem Becken sowohl im Boden, als auch in der Benutzungsphase – weniger in der Auffüllung zur Phase 6 – überraschend. Gerade sie galten als Indikatoren für eine stilistisch frühe Zeitstellung. Zudem fallen in den Fundlagen der Phase 5 besonders die Variante 10,11.D und Variante 10,13.D auf, die erstmals in der stratigraphischen Abfolge festgestellt werden konnten. Damit ist für sie zumindest ein *terminus ante quem* am Ende der Phase 5 gegeben. Für die übrigen Varianten des Typus 10 können hingegen kaum verlässliche

Angaben aus ihren Fundlagen gewonnen werden. Die Variante 10,2.B konnte ein- bis zweimal⁷⁵² im Hofboden und ein- bis zweimal im Benutzungshorizont der Phase 5 sowie fünfmal in der Auffüllung zur Phase 6 festgemacht werden. Die Variante 10,3.B lag dagegen nur in der Auffüllung zur Phase 6 und Variante 10,6.C nur im Boden der Phase 5 oder 6. Die Variante 10,4,B konnte ebenfalls im Boden der Phase 5 oder 6 und in der Auffüllung zur Phase 6 jeweils einmal sichergestellt werden. Hingegen sind für zwei Beispiele der Variante 10,5.B–C der Boden oder die Auffüllung der Phase 5 oder 6, der Variante 10,5.C die Unterphasen a / b und der Variante 10,5.B die Auffüllung zur Phase 6 dokumentiert. Dagegen scheint für das Fragment der Variante 10,8 mit der Unterphase b der Siedlungsphase 5 ein chronologischer Anhalt gegeben. Jedenfalls ist die Variante 10,8 in ihr erstmals nachgewiesen worden.

Einzig im Hofboden der Siedlungsphase 5 ist die Variante 11,3 vertreten gewesen. In diesem Kontext fand sich ebenfalls ein Beispiel der Variante 11,1. Ein zweites Beispiel der Variante 11,1 wurde zudem in einem Befund entdeckt, der die Auffüllung für Phase 5 oder Phase 6 darstellt. Die Variante 11,4 konnte dreimal im Benutzungshorizont der Phase 5 festgestellt werden, wobei ein Beispiel erstmals die seltene 'Graue Ware' vertritt. Zudem wurden vierzehn Beispiele der Variante 11,4 in der Auffüllung zur Phase 6 aufgedeckt, in der auch die Variante 11,5 zweimal deponiert war.

Die im Zusammenhang mit der Siedlungsphase 5 stratigraphisch dokumentierten KRS mit Bemalung konnten zur Klärung der Entwicklung der südionischen bzw. milesischen Stilstufen und -phasen wenig beitragen. In den Fundlagen wurden entweder Beispiele angetroffen, die sich aufgrund ihrer geringen Fragmentgröße selbst nicht exakt bestimmen ließen oder eindeutig verlagerte Fragmente aus älteren Kontexten darstellten. Einzig das Fikellurastil-Schälchen **Abb. 66,d (= 454)** der entwickelten Stilstufe MileA II in der Auffüllung zur Phase 6 könnte entweder aus der direkt vorhergehenden Phase 4 hierher 'verschleppt' worden sein oder war in Phase 5 noch benutzt worden. Insgesamt war ihre Anzahl aber sehr gering und ihre Fundsituation nie mit dem Benutzungshorizont zu verbinden, so daß sich nicht direkt ableiten läßt, ob die Fikellurastil-Schalen in der Phase 5 zum Inventar der Wohnhäuser in der 'Südstadt' gehörten.

Die möglichen Schalenfüße im Befund sind auch hier wieder entsprechend ihrer Fundlagen dokumentiert, doch konnten sie im Rahmen dieser Untersuchung statistisch nicht ausgewertet werden.

5.1.2.8 Die Siedlungsphase 6

Die Siedlungsphase 6 unterscheidet sich von den vorherigen Phasen in einem wesentlichen Punkt. Hier wurden die Steinsockel der Lehmmauern der Vorphase aufgemauert, so daß die Menschen nun nicht mehr in Lehmhäusern sondern erstmals in Häusern mit Steinwänden wohnten. Diese

⁷⁵² **Abb. 60,f** = Variante 10,2.B war im Boden der Phase 5 oder 6 enthalten, gehört aber wahrscheinlich eher zum Bereich des Bodens der Phase 5.

Neugestaltung scheint mit weiteren Veränderungen einhergegangen zu sein, die der Bearbeiter der R. Senff in anderem Zusammenhang darstellen wird⁷⁵³. Soweit kann aber in diesem Zusammenhang den Ergebnissen bereits vorgegriffen werden, daß sich die Wohnsituation in der 'Südstadt' unter dem Gesichtspunkt der Wohngestaltung veränderte. Ob dies auf allgemeine fortschrittliche Veränderungen zurückgeführt werden kann, oder ob eine neue sozioökonomische Stellung der Bewohner für die Veränderungen verantwortlich zu machen ist, bleibt vorläufig offen. Doch können auch hier möglicherweise die Ergebnisse zur Keramik erste Hinweise geben. Der Wohnraum ist in der Siedlungsphase 6 verringert worden, worauf bereits im Zusammenhang mit der Auswertung zur Verteilungsdichte der Keramik in dieser Phase hingewiesen worden ist⁷⁵⁴.

5.1.2.8.1 *Datierung der Phase 6*

Die letzte archaische Siedlungsphase am Südhang des Kalabaktepe weist nun erstmals einen historischen, absoluten Fixpunkt für ihr Ende auf. Mit der Zerstörung der Stadt Milet nach der persischen Eroberung im Jahre 494 v. Chr. kommt auch die kontinuierliche Besiedlung in der 'Südstadt' zum Erliegen. Das Ende ist hier allerdings nicht wie in anderen Bereichen Milets mit einer auf gewaltsame Zerstörung zurückzuführende Brandschicht gekennzeichnet. Vielmehr haben in diesem Gebiet offensichtlich weder heftige Kampfhandlungen stattgefunden, noch ist das Stadtviertel in 'Schutt und Asche' gelegt worden. Dennoch sind die Bewohner weder in gleicher Intensität, noch dauerhaft in das Viertel zurückgekehrt. Die Bewohner sind sicher teils den kriegerischen Auseinandersetzungen selbst zum Opfer gefallen, sind geflohen⁷⁵⁵ oder sind von den Persern an das Rote Meer deportiert worden⁷⁵⁶. Für die Folgezeit konnte lediglich eine temporäre Wiederbesiedlung auf kleinen Flächen, ähnlich wie auf dem Ostplateau desselben Hügels, nachgewiesen werden. Nach dieser kurzen Phase punktueller Nachbesiedlung wird die 'Südstadt' vollständig aufgegeben. In den späteren teils recht bedeutenden Phasen des politischen und wirtschaftlichen Aufschwungs der Stadt wurde der Kalabaktepe nicht wieder in den Stadtkörper miteinbezogen. Außer der genannten kurzfristigen Nachbesiedlung und unbedeutender späterer Installationen bleibt das ehemals intensiv genutzte Wohn- und Handwerksviertel am Südhang des Kalabaktepe in nacharchaischer Zeit ungenutzt. Damit wird die in den sicheren Schichten der Siedlungsphase 6 angetroffene Keramik spätestens 494 v. Chr. in ihre Fundsituation gelangt sein. Allerdings haben nacharchaische Steinausraubungen große kraterartige Löcher entstehen lassen, die weite Flächen der Phase 6 im Untersuchungsbereich zerstört haben.

⁷⁵³ R. Senff, Milet. Die archaische Stadt. Die Ausgrabungen in den Wohngebieten und den städtischen Heiligtümern 1899-2001. Baugeschichte und Stratigraphie (unpublizierte Habilitationsschrift, Ruhr-Universität Bochum, 2002).

⁷⁵⁴ s. S. 137 f.

⁷⁵⁵ Hdt. 6, 22 berichtet über einige Milesier, die zunächst nach Samos flohen und von dort mit Samiern zusammen nach Unteritalien weiterzogen.

⁷⁵⁶ Hdt. 6, 19–20.

Neben dem *terminus ante quem* im Jahre 494 v. Chr. für die Keramik sind weitere Anhaltspunkte für die Datierung der Keramik gegeben. Die reichlich vergesellschaftete Importkeramik attischer Provenienz läßt auch den Beginn der Siedlungsphase 6 näher bestimmen. Auch die verschiedenen relativchronologischen Schichtenabfolgen weisen attische Importe auf. Dies sind vor allem der Boden der Phase 6, der die Siedlungsphase konstituiert, die Nutzungsphase und schließlich eine Planierungsschicht der Phase 6 bzw. eine Auffüllungsschicht für die Nachbesiedlung, Phase 7. Durch die attische Keramik und den absoluten chronologischen Fixpunkt zum Ende der Siedlungsphase 6 ergibt sich nach der konventionellen Datierung in archaischer Zeit für die Siedlungsphase 6 ein absoluter Zeitansatz von 520 bis 494 v. Chr.

5.1.2.8.2 *Rückschlüsse für das Gebiet am Kalabaktepe-Süd in der Phase 6*

Es wurde bereits mehrfach darauf hingewiesen, daß in Phase 6 die Verteilungsdichte der KRS pro Befund (Tab. 2) gegenüber den drei vorhergehenden Phasen 3–5 bedeutend zurückgegangen ist. Daraus läßt sich für die Phase 6 von einem verringerten Siedlungsdruck auf das Gebiet der Grabungsfläche ausgehen. Ist hierin die einzige Ursache für den Rückgang der Verteilungsdichte zu sehen? M. E. bieten sich vorläufig zwei weitere Erklärungen an, die einzeln oder in Wechselwirkung verantwortlich zu machen sind. Erstens wurde soeben geschildert, wie die letzte Siedlungsphase der 'Südstadt' eine Neuerung im Wohnverhalten mit sich brachte. Nicht wie in den Siedlungsphasen zuvor mit Lehmziegelmauern, sondern erstmals an diesem Ort mit massiven hohen Steinmauern errichteten die Menschen nun ihre Wohnhäuser. Diese Neuerung zog auch andere Veränderungen nach sich, die hier bereits mit der Vermutung einer neuen Sozial- oder Wirtschaftsstellung der Bewohner in Verbindung gebracht wurde. Zweitens war es eventuell auch entscheidend, daß keine größeren Planierungen und Aufschüttungen für eine nachfolgende Phase existieren. Die Auffüllungen hatten stets besonders viel Keramik beinhaltet.

5.1.2.8.3 *Bas Bild der Knickrandschale aus der Phase 6*

Die letzte archaische Siedlungsphase 6 am Südhang des Kalabaktepe bietet die für Milet seltene Gelegenheit einen Blick auf die Gattung der KRS zum Ende der archaischen Epoche zu werfen⁷⁵⁷.

5.1.2.8.3.1 *Die Knickrandschalen aus dem Boden der Phase 6*

Die älteste KRS, die im Boden der Phase 6 gefunden wurde, ist das Wandfragment **416** des Typus 5,1.B. Es vertritt noch die Stilphase SiA Ia der orientalisierenden Stufe. Ohne Zweifel ist das kleine Fragment aus älteren Kontexten hierher 'verschleppt' worden.

Das Randfragment **199** des Typus 9 ist ebenfalls aus dem Boden der Siedlungsphase 6 geborgen worden. Erstmals taucht hier im Zusammenhang mit der Stratigraphie die Variante 9,3.C mit der Dekorvariante j auf. Noch im Zusammenhang mit der Phase 5 war vermutet worden, daß die

⁷⁵⁷ Dies war so in anderen Grabungsbereichen in Milet bisher nicht möglich.

Varianten 9,2–9,4 im Wohnviertel am Kalabaktepe-Süd vollständig fehlten. Baulich gehört der Boden zwar schon zur Phase 6, doch wird die KRS **199** sicher schon früher gefertigt worden sein. Auch sie muß aus älteren Schichten oder zumindest aus der Vorphase 5 in ihre Fundlage geraten sein.

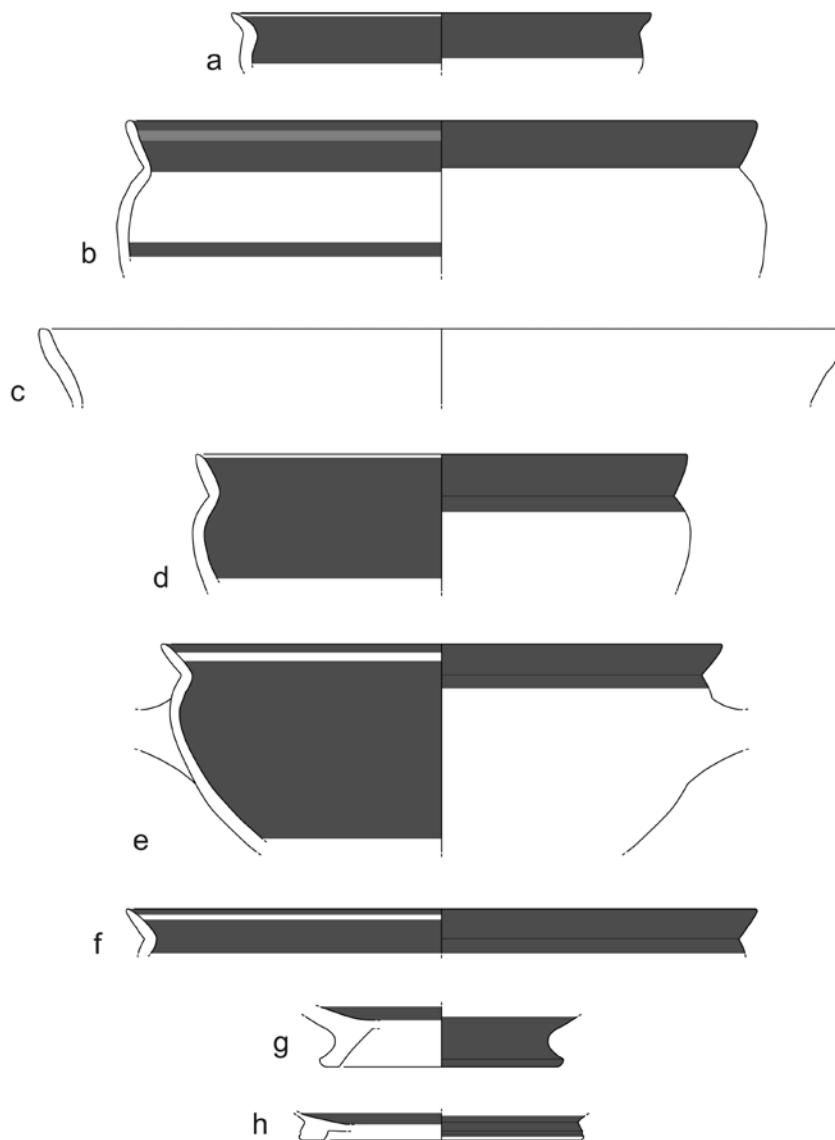


Abb. 69: Kalabaktepe-Süd, aus dem Hofboden der Siedlungsphase 6.
 a) K 89.55.3; b) K 89.55.2; h) K 89.55.4.
 Kalabaktepe-Süd, aus dem Hofniveau der Siedlungsphase 6.
 c) K 89.125.5; d) K 89.87.6; e) K 89.125.6 (= Kat.-Nr. 358); f) K 89.125.12;
 g) K 89.87.7

Hingegen entsprechen die drei Funde aus dem Befund K 89.55 aus Q 89.05 in etwa ihrer Fundlage im Boden der Phase 6. Da ist insbesondere das Schälchen **Abb. 69,a** anzuführen, das als Variante 10,11.C zu bestimmen ist. Diese feinen Schälchen waren bereits in der Phase 5 erstmals angetroffen worden. Dagegen ist **Abb. 69,b** eine KRS der Variante 11,2 und ähnelt insbesondere der KRS **335**. Mit ihr ist nun auch die Dekorvariante *my* mit rot aufgesetztem Band auf der Innenseite des Randes in einem stratigraphischen Zusammenhang belegt.

Zuletzt ist noch auf den Standring **Abb. 69,h** hinzuweisen. Dieser vertritt einen Typ, der schon sich schon in ältere Kontexte eingebunden fand. Es ist ein breiter, sehr flacher Standring, der auf der Außenseite mit einer Rille profiliert ist.

Neben dem oben bereits beschriebenen Wandfragment **416** der Stilphase SiA Ia ist ein weiteres Fragment (**514**) in den Boden der Phase 6 geraten, das um einiges älter ist als seine Fundlage. Der Typus des Wandfragments **514** läßt sich nicht mehr bestimmen. Dagegen ist die Stilphase seiner Dekoration zwischen SiA Ic und SiA Id einzugrenzen. Die Qualität der figürlichen Malerei mit einer nach rechts gerichteten Entenprozession im Schulterbildfeld der Schale ist sehr hoch. Auf der Innenseite hat sich zudem noch der Rest eines farbenprächtigen Blütenknospenkranzes erhalten, der das Schaleninnere schmückte. Die Blüten und Knospen sind mit weißen Konturlinien und roten Flächen und auf den schwarzen Firnis des Beckens aufgetragen. Ähnliches war zuvor lediglich von chiotischen Trinkgefäßen, vor allem Kelchen, bekannt⁷⁵⁸. Weiterhin fanden sich im Boden der Phase 6 große Teile der KRS **456**. Diese reich geschmückte Schale der Variante 10,13.C ist dem Nordtor-Maler zuzuschreiben, da sie sowohl von der Gefäßform als auch im Dekorationsschema der namengebenden Schale K 3938 (**582 re.**) aus dem Heraion in Samos anzuschließen ist. Doch gibt es Hinweise darauf, daß der Nordtor-Maler bereits früher, mindestens um die Mitte des 6. Jhs. v. Chr. seine Gefäße fertigte⁷⁵⁹. Auch ist nur die Hälfte der Schale **456** gefunden worden. Daß der Rest einer so auffälligen Schale unentdeckt blieb, deutet darauf hin, daß der Rest der Schale noch in nicht untersuchten Bereichen, möglicherweise außerhalb der Grabungsgrenzen liegt. Damit scheint es klar, daß auch die Fragmente der KRS **456** bereits umgelagert wurden. Die Fundlage im Boden der Phase 6 bezeichnet somit lediglich einen *terminus ante quem* für **456** und den Nordtor-Maler. Interessant ist allerdings in unserem Zusammenhang auch die Frage nach der Funktion und Verwendung der Schale. Die weiteren Beispiele dieses Malers wie auch die überwiegende Anzahl der bemalten KRS stammen aus Heiligtümern. Angesichts dessen, daß in den vorangegangenen Siedlungsphasen durchgehend Beispiele von KRS für alle Stilphasen südionischer oder milesischer Malerei erwiesen werden konnten, ist die Verwendung derselben im Haushalt der milesischen 'Südstadt' mehr als wahrscheinlich. Darauf deutet auch die zwar seltene wertvolle Importkeramik hin. Somit wird auch die Schale **456** tatsächlich in Gebrauch des Haushaltes in der 'Südstadt' gewesen sein.

5.1.2.8.3.2 Die Knickrandschalen aus dem Benutzungshorizont der Phase 6

Auf dem spätarchaischen Boden der Siedlungsphase 5 oder 6 wurde das Fragment der KRS **187** entdeckt. Mit ihr ist nun auch die Variante 9,2.C in die Stratigraphie am Kalabaktepe-Süd eingebunden. Die KRS weist die Dekorvariante h oder i auf. Dies kann nicht entschieden werden, da sich die Beckenmitte nicht erhalten hat. Hier könnten feine konzentrische Kreise eingeschrieben gewesen sein, die für eine Bestimmung als Variante i – und gegen Variante h – sprächen.

⁷⁵⁸ Vgl. etwa Boardman 1998, 162 Abb. 323 f.

⁷⁵⁹ s. S. 262.

Mit den beiden Befunden K 89.87 und K 89.125 wurde in Q 89.03 und Q 89.04 jeweils das sog. Hofniveau der Phase 6 erreicht. Der Beschreibung der Fundsituation zufolge, handelt es sich um Material, das auf dem Boden auflag und somit zum Benutzungshorizont der Phase zu zählen ist. Die Ränder der KRS **Abb. 69,d–f** sind als Typus 11 zu klassifizieren. Neben **Abb. 69,e** (= **358**), der auch in den Katalog aufgenommen ist, sind auch **Abb. 69,d** und **Abb. 69,f** als Variante 11,4.B zu bestimmen. Angefügt sei noch das Randfragment **360** derselben Variante 11,4.B aus Befund K 89.77 ebenfalls aus dem 'Hofniveau'. Schon in Phase 5 fielen die vielen KRS mit tiefem Becken, der Variante B, auf und führten zu der Vermutung, daß nicht alle diese Stücke aus älteren Kontexten verlagert sein können. Nun finden sich weitere Beispiele sogar in Phase 6 am Ende der archaischen Epoche auf dem Boden der Nutzungsphase. Das Randfragment der großen, gänzlich undekorierten Schale **Abb. 69,c** läßt nur einen Teil des Randes rekonstruieren. Dieser wird wahrscheinlich die Formvariante 12,1 oder 12,2 darstellen und ist ebenfalls im Kontext des 'Hofniveaus' gefunden worden. Zuletzt bleibt noch der vielleicht von einer KRS stammende Fuß **Abb. 69,g** zu erwähnen, der ebenfalls im 'Hofniveau' der Benutzungsphase 6 stammt.

5.1.2.8.3.3 Die Knickrandskyphoi und -schalen aus der Auffüllung zur Phase 7, der temporären nacharchaischen Wiederbesiedlung

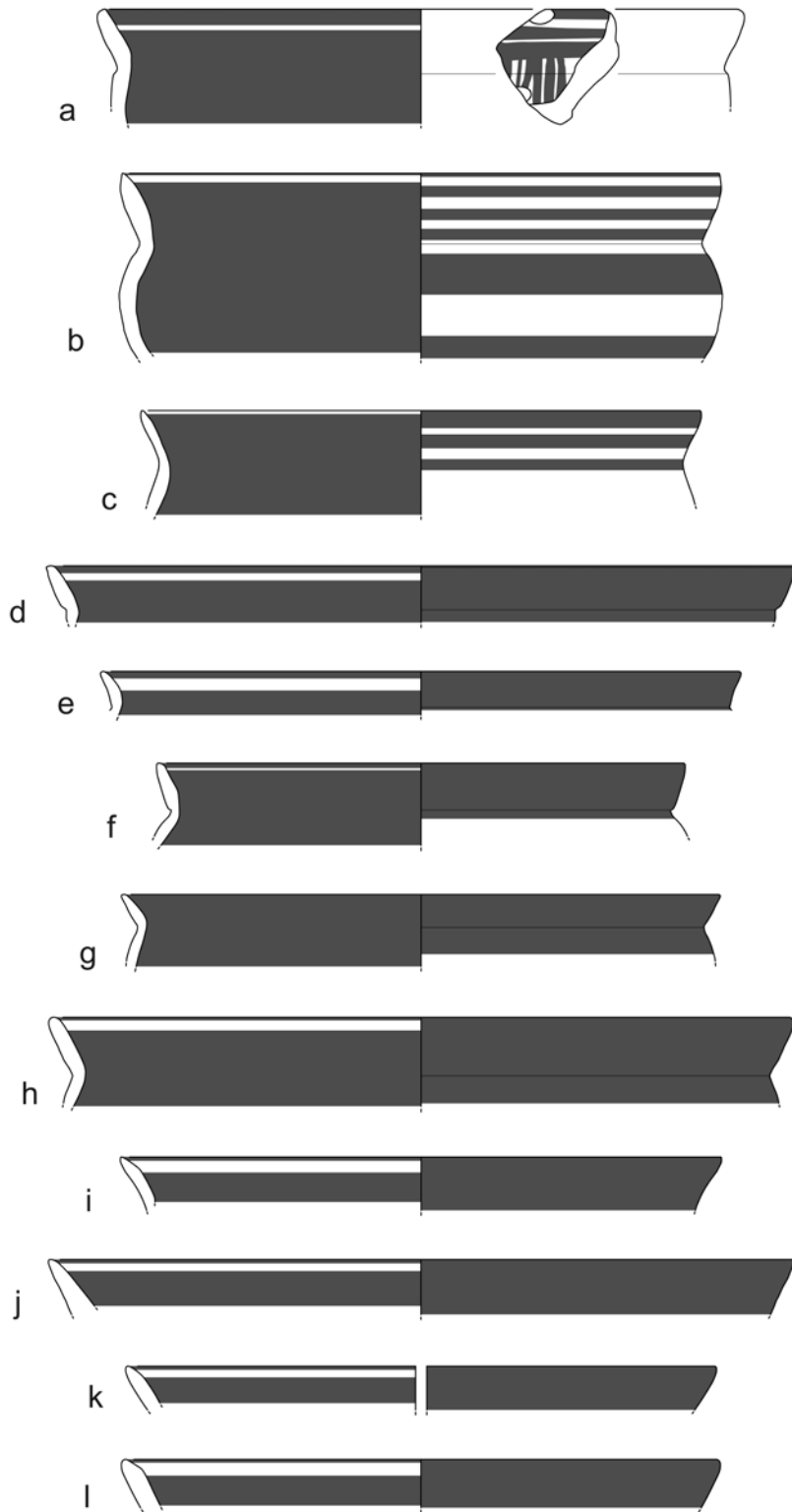
Im Grabungsjahr 1989 wurden nur wenige signifikante Randfragmente der Gattung KRS für die Auffüllung zur Phase 7 angetroffen. Die Fragmente **Abb. 70,i–l** lassen beispielsweise keine eindeutige Klassifizierung zu, dennoch sind sie hier als Beispiele aufgeführt.

Bereits seit langem ist zum Zeitpunkt der Siedlungsphase 6 die Produktion der KRSk vom Typus 2 eingestellt. Dennoch findet sich auch in der Auffüllung nach der Zerstörung der letzten Siedlungsphase 6 – also sicher einer Maßnahme nach 494 v. Chr. – das Randfragment **Abb. 70,a**, das die Variante 2,4 mit spät- oder subgeometrischem Dekor vertritt.

Weiterhin sind sowohl das Fragment **Abb. 70,b** vom Typus 5, Variante 5,3, das Beispiel **127**, Variante 6,3, sowie die Randfragmente **Abb. 70,c** und **147** der Variante 7,3 und 7,4 aus älteren Schichten in diese Fundsituation umgelagert worden. Das gleiche gilt für das Randfragment **156** der Variante 8,1 mit der Dekorvariante α .

Anders hingegen ist die Situation für das Beispiel **217** einzuschätzen. Es handelt sich um ein Randfragment des Typus 9 dessen Variante sich nicht exakt bestimmen läßt. Klar ist jedoch, daß es sich um eine der Varianten 9,2–3.C–D handeln muß. Die Dekorvariante könnte sowohl i als auch j gewesen sein. Die KRS **217** mag in Phase 6 tatsächlich noch in Benutzung gewesen sein, könnte aber auch aus Phase 4 oder 5 hierher verlagert worden sein.

Die Randfragmente **Abb. 70,e,g** sind Beispiele des Typus 10. Im einzelnen handelt es sich bei ihnen um Variante 10,4 (**Abb. 70,e**) und Variante 10,2.B (**Abb. 70,g**). Während sich der Dekor von **Abb. 70,g** als Variante k klassifizieren läßt, muß der von **Abb. 70,e** aufgrund der geringen Größe des Fragments unbestimmt bleiben. Doch sind auch Beispiele der jüngeren Varianten des Typus 10 mit



vorherige Seite

Abb. 70: Kalabaktepe-Süd, aus der Auffüllung zur Siedlungsphase 7, mit Älterem vermischt.
 a) K 89.209.9; b) K 89.210.3; c) K 89.227.4; d) K 89.209.15; e) K 89.209.12; f) K 89.209.11;
 g) K 89.210.8; h) K 89.210.9; i) K 89.209.13; j) K 89.209.10; k) K 89.209.16; l) K 89.210.10

den Randfragmenten **306**, **317** sowie **455** und **460** in der Auffüllung enthalten. Dabei sind die Varianten 10,11.C (**306**, **460**) und 10,13.C (**317**, **455**) jeweils einmal mit der einfachen Dekorationsvariante k und der milesischen Gefäßmalerei der Stilstufe MileA II (Fikellurastil) vertreten.

Auch drei Beispiele für den Typus 11 konnten 1989 in der Auffüllung sichergestellt werden. Die beiden Randfragmente **Abb. 70,d,f** lassen sich einer Sonderform der Variante 11,4 zuordnen, die durch **345** dargestellt wird. **Abb. 70,h** vertritt die Variante 11,3.B. Alle drei KRS waren vermutlich mit der Dekorvariante k versehen, nur der Dekor von **Abb. 70,d** läßt sich aufgrund der Fragmentgröße nicht mehr sicher rekonstruieren. In der besonderen Randgestaltung mit dem unterschrittenen Rand sind sich **Abb. 70,d,f** und **345** so ähnlich, daß die Töpfer – wenn es sich nicht ohnehin nur um einen handelte – möglicherweise in direktem Kontakt zueinander standen. Die naturwissenschaftliche Analyse hat für **345** eine lokale Produktion in den sog. Kalabaktepe-Werkstätten, Herkunftsgruppe A (Mommensen), nachgewiesen. Vermutlich stammen daher auch die beiden anderen Beispiele aus diesen milesischen Werkstätten. Darüber hinaus wurden die Fragmente der vollständigen KRS **345** aus Befund K 92.806 in Q 91.03 in der gleichen Fundlage aufgedeckt wie die Fragmente **Abb. 70,d,f**. Der Befund K 92.806 umfaßt die Schichten des Bodens der Phase 5 bis zur Auffüllung zur nacharchaischen Bebauung, Phase 7. Wo genau nun diese drei KRS und damit die Sonderform der Variante 11,4.B einzuordnen sind, läßt sich nicht mehr genau bestimmen. Die Randfragmente **Abb. 70,d,f** jedenfalls sind in die Auffüllung zur Phase 7 geraten. Darin wird sich aber vermutlich keine vollständige Schale befunden haben, zumal sie sich in diesem Fall über die Zerstörung Milets durch die Perser hinaus als intakte Schale hätte erhalten müssen. Eine vollständige, wenn auch vielleicht schon in Scherben liegende Schale wird wohl auch nicht in die Böden der Phase 5 und Phase 6 eingegangen sein. Viel eher ist zu vermuten, daß die KRS **345** auf dem Boden, im Benutzungshorizont 5, von einer Auffüllung zur Phase 6 abgedeckt, in der Auffüllung zur Phase 6 oder auf dem Boden der Phase 6 von der Perserzerstörung abgedeckt deponiert war. Demnach würde die Schale **345** aus der Benutzungsphase 5 oder 6 stammen und zum Ende der Phase 5 oder 6 vielleicht noch komplett erhalten gewesen sein, bevor sie während ihrer Deponierung am Ende der Phase zerbrach. Die bekannten Töpferöfen am Kalabaktepe-Süd wurden zum Ende der Phase 4 aufgegeben. Sollte damit auch die Produktion der Kalabaktepe-Werkstätten zu Ende gegangen sein, müßte die KRS **345** noch im Verlauf der Phase 4 hergestellt worden sein. Das wäre möglich und würde bedeuten, daß sie erst spät während der Phase 4 produziert, in Phase 5 noch benutzt wurde und spätestens zum Ende der Phase 5 in seine Deponierung gelangte. Eine Datierung der KRS **345** auf Grundlage der Aufgabe der Töpferöfen am Kalabaktepe-Süd muss jedoch unsicher bleiben. Denn noch

ist nicht erwiesen, daß es nicht noch weitere, bislang unentdeckt gebliebene Töpferöfen auch über die Siedlungsphase 4 hinaus in unmittelbarer Nachbarschaft zum Grabungsbereich gegeben hat. Trotzdem kann wohl für die KRS **345** sowie für die Fragmente **Abb. 70,d,f** und für die Variante 11,4 (Sonderform 345) die Phase 5 als *terminus ad quem* und *ante quem* für die Nutzung festgehalten werden. Da die Variante 11,4 mit einem Beispiel (**344**) bereits zum Ende der Phase 2, darüber hinaus aber vielfach in den Phasen 3 und 4 belegt ist, wäre die KRS **345** somit der späteste Nachweis dieses Typus, der demnach bis zumindest in den Anfang von Phase 5 hinein reicht. Er dürfte daher über einen Zeitraum von gut 50 bis 60 Jahren produziert worden sein. Auch der schon mehrfach festgestellte Charakter tiefer Becken der Variante B bei den KRS in den späten Siedlungsphasen hat hiermit zumindest bis in die Phase 5 hinein Bestätigung erfahren.

Große Fragmente der 'schüsselartigen' KRS des Typus 12 sind zudem in der Auffüllung für Phase 7 enthalten gewesen. Die Randfragmente mit Henkel von **369** sind als Variante 12,1 mit Dekorvariante n zu klassifizieren. Das Randfragment **379** dagegen ist ein gänzlich undekoriertes Beispiel der Formvariante 12,2.

Ein einziges Beispiel des Typus 13 konnte in der Zerstörungsschicht von 494 v. Chr. angetroffen werden. Dabei handelt es sich bei dem sehr großen Wandfragment **389** um die Variante 13,1. Die Dekorvariante läßt sich aufgrund des fehlenden Randes nicht sicher bestimmen – es könnte die Variante m α oder n α sein.

In der Auffüllung zur Wiederbesiedlung der Phase 7 fanden sich einige Beispiele der milesischen Gefäßmalerei der Stufe MileA II. Es handelt sich ausnahmslos um Fragmente, die sicher schon aus älteren Kontexten in diese Fundlage geraten sind. Für eine exaktere Datierung bietet die Auffüllung – eine Maßnahme nach der Zerstörung von 494 v. Chr. – keinen Anhaltspunkt. Eines der wohl jüngeren Stücke dürfte das Fragment **576** in der Aufschüttung zur nacharchaischen Wiederbesiedlung Phase 7 sein. Es gehört zu einer Schale, die vermutlich aus dem Umfeld des Gorgoneion-Malers, wenn nicht sogar vom Maler der sog. Heraion-Schale selbst, stammt. Es ist ein Beispiel für die milesische Gefäßmalerei der Stilphase MileA IIb. Wieder findet sich mit diesem ausgesprochen qualitätvollen Schalenfragment ein Beispiel in Schichten der Wohn- und Handwerkssiedlung. Somit haben wir wohl erneut einen Hinweis darauf, daß hochwertige Keramik im örtlichen Haushalt Verwendung fand. Aus dem Umfeld des gleichen Malers gelangte eine sehr ähnliche Schale als Motiv in das Heiligtum der Hera auf Samos⁷⁶⁰. Darüber hinaus kann noch das Wandfragment **587** eines kleinen Fikellurastil-Schälchens aus dem Perserschutt für die Siedlungsphase 6 angeführt werden. Der Randansatz sichert für das Fragment die Bestimmung als KRS, allerdings läßt sich nicht mehr entscheiden, ob es sich um den Typus 9 oder Typus 10 handelt. Die Darstellung einer Prozession von Steinhühnern nach rechts im Schulterbildfeld stammt vermutlich aus dem Umfeld des Altenburg-Malers. Aufgrund der

⁷⁶⁰ Samos VI 1, 22 f. Abb. 27; 36 f. Taf. 40, 335.

wellenlinienartigen Zeichnung im Brustgefieder wird **587** nicht von ihm selbst gefertigt worden sein⁷⁶¹. Der Altenburg-Maler ist allerdings schon von Cook und Schaus in das dritte Viertel des 6. Jhs. v. Chr. datiert worden, was vermutlich ohnehin sehr spät ist. Daher ist auch **587** sicher aus einer älteren Schicht hierher verlagert worden. Zwei weitere ornamental geschmückte Beispiele der milesischen Malerei der Stilstufe MileA II sind das oben bereits erwähnte Randfragment **460** und das Beckenfragment **571**. Darüber hinaus wird wohl auch das Bodenfragment **483** mit Standring zu einer KRS gehört haben. Der reich geschmückte Fuß mit einem Quadrat-Punkt-Band auf der Standfläche des Standringes zeugt von der Qualität des Gefäßes. Es ist fraglich, ob diese Schale tatsächlich für den Gebrauch im Haushalt bestimmt war. Über die Fertigungs- und Nutzungszeit von **483** lassen sich aus ihrer Fundlage in der Auffüllung für die nacharchaische Siedlungsphase 7 leider keine Schlüsse ziehen.

5.1.2.8.3.4 Die Verteilung der Gruppen in Phase 6 insgesamt

Im Wesentlichen bestätigt die statistische Auswertung (Abb. 71), in die 131 Randfragmente von KRS aus der Siedlungsphase 6 eingegangen sind, die bisherige Entwicklung. Weiterhin nehmen die jüngsten Typen 9–11 eine dominierende Stellung im Typenspektrum der Gattung ein. Ihr Anteil beträgt nun allerdings nur noch 65 %, während sie sich doch in den vorhergehenden Phasen von 78 %

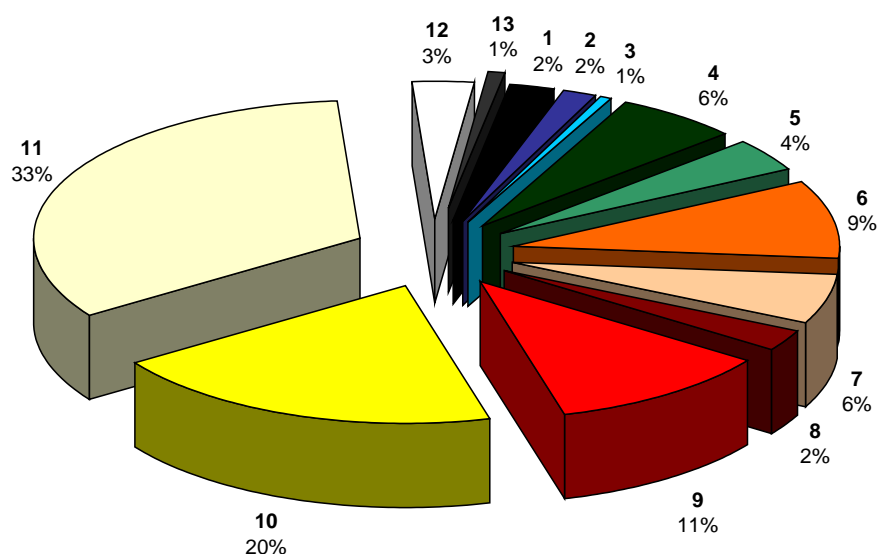


Abb. 71: Kalabaktepe-Süd, Verteilung der KRSk und KRS in der Siedlungsphase 6

in Phase 4 auf 84 % in Phase 5 gesteigert hatten. Damit hat sich ihr Anteil überraschend deutlich gesenkt. Im Gegensatz dazu hat sich der Anteil der schon längst aus der Produktion ausgeschiedenen Typen überraschend wieder gesteigert. Zusammen erreichen die Typen 1–8 nun wieder einen Anteil

⁷⁶¹ Vgl. die Diskussion bei Schlotzhauer 2012, 138 f. Nau 105.

von 33 %. Dies ist mehr als erstaunlich, da die gleichen Typen in den vorhergehenden Siedlungsphasen, in denen das Ende ihrer Produktion und

Nutzung bereits nachgewiesen worden war, bereits auf 24 % (Phase 4) und zuletzt auf 13 % (Phase 5) zurückgegangen waren. Daher muß das Ergebnis nochmals genauer analysiert werden.

Lediglich die frühen Typen 1–3 weisen Anteile auf, die sich angesichts der bisherigen Entwicklung hatten erwarten lassen. Die Typen 1 und 2 können mit jeweils 2 % und der Typus 3 mit 1 % erwartungsgemäß vernachlässigt werden. Die Typen 5 und 8 haben im Vergleich zur Phase 5 konstant niedrige Anteile von 4 % und 2 % und sind somit ebenfalls kaum auffällig.

Bedeutend angestiegen ist hingegen der Anteil der Typen 4, 6 und 7 an der Gesamtmenge der Gattung. Der sprunghafte Anstieg dieser Typen verlangt nach einer Erklärung. Typus 4 hatte in den Siedlungsphasen 4 und 5 gerade einmal einen Anteil von 1 %. Nun, in der letzten archaischen Siedlungsphase 6 steigt sein Anteil auf 6 % an, ohne daß der Anstieg durch eine erneute Produktion zu begründen wäre. Auch für die Typen 6 und 7 ist eine vergleichbare Zunahme festzustellen. Der Typus 6 fiel von Phase 4 zur Phase 5 von 2 % auf unbedeutende 1 % zurück und Typus 7 von 4 % auf 3 %. In Siedlungsphase 6 steigerten sich beide Typen aber auf 9 % (Typus 6) bzw. 6 % (Typus 7). Bei näherer Betrachtung der Zahlen zeigt sich, daß die bereits nicht mehr produzierten Typen der Gattung (Typen 1–8) ihren Anteil konstant halten oder ihren Anteil stark bis weniger stark steigern. Die einzige Erklärung hierfür scheint darin zu liegen, daß durch die bereits vor der Zerstörung durch die Perser einsetzenden Steinausraubungen der Fundamente älterer Gebäude in die dann folgende Auffüllung für die Wiederbesiedlung Phase 7 viel mehr Altmaterial eingelagert wurde als in den Phasen 4 und 5 zuvor. Auch könnte eine solche Erklärung einen Grund dafür liefern, warum ganz bestimmte Typen wie 4, 6 und 7 so auffällig betroffen sind, dagegen die Typen 1–3 gar nicht. Die Ausraubung von Steinsockeln hätte demnach nicht Mauern und Schichten der untersten Phasen gegolten, sondern solchen der Phase 2 und 3, in denen diese drei Typen am stärksten vertreten waren.

Wiederum prägen mit 64 % eindeutig die Typen 9, 10 und 11 die Siedlungsphase 6. Hatte allerdings der Anteil des Typus 10 in der Siedlungsphase 5 noch mehr als die Hälfte (51 %) der Gattung betragen, so geht sein Anteil in der letzten archaischen Siedlungsphase 6 auf 20 % zurück. Demgegenüber wird der Anteil des Typus 11 mit 34 % stärker. Besonders zu beachten ist sicherlich die Verschiebung der Anteile unter den drei maßgeblichen Typen der Phase 6. Typus 9 konnte vom ersten bedeutenden Vorkommen in der Phase 4 mit 6 % über die Phase 5 mit 8 % seinen Anteil auf 11 % steigern. Damit bleibt Typus 9 zwar weiterhin die kleinste der drei am Ende der archaischen Epoche benutzten Gruppen, stellt aber dennoch den einzigen Typus unter den KRS dar, der sich in allen Phasen kontinuierlich steigern konnte. Dies ist vermutlich auf eine stetige Zunahme seiner Produktion zurückzuführen.

Doch darf nicht vergessen werden, daß sich diese Werte im Hinblick auf die absoluten Zahlen wesentlich markanter darstellen. Denn in Phase 5 konnten vom Typus 10 insgesamt 104 Beispiele und

vom Typus 11 immerhin 50 Beispiele klassifiziert werden. In Phase 6 betrug ihre Gesamtmenge gerade einmal 26 Beispiele für den Typus 10 und 44 Beispiele für den Typus 11 – während für den Typus 9 jeweils konstant 15 Beispiele aus den Fundzusammenhängen der beiden Phasen stammen. Dies deutet in der Zusammenschau darauf hin, daß entweder die Produktion bereits zurückging oder daß für die Wiederbesiedlung, die nachweislich nicht mehr die gesamte Grabungsfläche einbezog, eine geringere Aufschüttung notwendig war. Jedenfalls fallen die Werte für die Siedlungsphase 6 in mancherlei Hinsicht auffällig aus dem Rahmen, was ihr einen eigenen Charakter verleiht und in der Gesamtauswertung zu berücksichtigen ist. Diese Sonderstellung der Phase 6 hatte sich auch schon in der 'Verteilungsdichte' (Tab. 2) gezeigt, die hier plötzlich von 133 % in Phase 5 auf 74 % um fast die Hälfte des Wertes abfiel.

5.1.2.8.4 Zusammenfassung Phase 6

Die Siedlungsphase 6 weist gegenüber den beiden vorhergehenden Phasen wieder einen höheren Anteil der älteren Typen auf. Dies ist nach den bisherigen Erfahrungen darauf zurückzuführen, daß in stärkerem Maße Umlagerungen aus tiefer gelegenen Schichten stattfanden, die sich in der Statistik bemerkbar machen. Diese Tatsache wurde vorläufig damit erklärt, daß sowohl für den neuen Bautyp mit hohen Steinmauern in Phase 6, als auch für die temporäre Wiederbesiedlung bereits Steine aus tiefer liegenden Mauersockeln ausgeraubt und für die neu zu errichtenden Gebäude benutzt wurden. Mit diesen Ausraubungsmaßnahmen scheinen nur bestimmte ältere Typen der KRS, die den Mauern der entsprechenden Phase 2 und 3 zugehörten, in die Fundlage der Aufschüttung zur Phase 7 gelangt sein.

Des weiteren zeigte sich, daß die bisher verfolgte Entwicklungstendenz weiterhin anhielt. Denn die Typen 10 und 11 prägen mit zusammen 54 % weiterhin das Bild der Gattung in der letzten archaischen Siedlungsphase. Doch hat eine klare Verschiebung zwischen den beiden Typen stattgefunden. War der Typus 10 und in der Siedlungsphase 5 die mit Abstand bedeutendste Gruppe, so fällt ihr Anteil in Phase 6 auf 20 %. Der Typus 11 hält nun mit 34 % den stärksten Anteil.

Daneben konnte der Typus 9 seinen Anteil wie schon in den vorhergehenden Phasen steigern. Typus 9 ist zwar weiterhin mit 11 % die kleinste Gruppe der in dieser Phase benutzten KRS, doch in absoluten Zahlen ist keine Steigerung des Typus 9 zur vorangehenden Phase 5 festzustellen. Erstmals ließ sich im Boden der Phase 6 die Variante 9,3.Bj feststellen. Ihre Fundlage sichert ihre Produktion vermutlich bereits mindestens für die Phase 5, denn sie stellt einen *terminus ante quem* vielleicht auch einen *terminus ad quem* für seine Nutzung dar. Darüber hinaus konnte die Variante 9,2.Ch-i erstmals für die Nutzungsphase 6 bezeugt werden.

Die Varianten 10,11 und 10,13 konnten nun mehrfach im Boden der Phase 6 sowie in der Auffüllung zu Phase 7 angetroffen werden.

Für die milesische Gefäßmalerei lassen sich aus der letzten archaischen Siedlungsphase keine Überraschungen mehr herleiten. Daß im Boden der Phase 6 das Fragment eines Fikellurastil-Schälchens des Nordtor-Malers Eingang gefunden hat, deutet zumindest auf eine Produktion bereits spätestens in Phase 5 hin. Denn erneut bietet die Fundsituation eher einen *terminus ante quem*, als einen *terminus ad quem* für die Nutzung der KRS 456. Weitere Fragmente mit Malerei der Stilstufe MileA II stammen aus der Auffüllung zur Wiederbesiedlungsphase 7 nach 494 v. Chr. Sie sind aber aus älteren Schichten umgelagert und daher für eine Datierung der Stilstufe MileA II nicht verwertbar.

5.1.2.9 Die kurzfristige Wiederbesiedlungsphase 7 nach 494 v. Chr.

Die frühklassische Wiederbesiedlungsphase 7 wird im Rahmen dieser Arbeit nicht mehr behandelt. Auch ist die Interpretation der Funde während dieser kurzen letzten Nutzung des Wohnareals am Südhang des Kalabaktepe-Süd schwierig. Inwieweit die Produktion von KRS in Milet fortgesetzt wurde, läßt sich mithin aus den Befunden nicht mehr entscheiden.

Doch sei noch kurz hinsichtlich einer möglichen Fortführung des Fikellurastils, der dann konsequenterweise als Stilstufe MileK Ia bezeichnet werden müßte, eingegangen. Alle im Fikellurastil verzierten KRS aus der Phase 7, die Senff als temporäre Wiederbesiedlung erkannte, waren offensichtlich im Verlauf dieser Phase nicht in Benutzung. Denn sie stammen alle aus Schutt- und Ausraubungsbefunden (425, 471, 472, 485, 554, 607). Darüber können einige von diesen Stücken Malern zugewiesen werden, die bereits wesentlich früher arbeiteten, wie am Beispiel von 607 der Gorgoneion-Maler. Auch handelt es sich ausschließlich um Fragmente, die keine Anpassungen hatten und daher vermutlich mehrfach umgelagert worden waren. Lediglich die KRS 442 fand sich recht vollständig in dem Befund K 90.224 in Q 90.03, der von Senff als »Wiederbesiedlungsphase« interpretiert wird. Sie ist mit einfachen Rosetten im Schulterfeld verziert, wie sie beispielsweise für Rosettenschalen der Gattung Kalottenschalen seit dem späten 7. und frühen 6. Jh. v. Chr. üblich waren⁷⁶². Die Gefäßform von 442 ist spätestens seit der Siedlungsphase 4, also ab dem zweiten Viertel des 6. Jhs. v. Chr., belegt. Dies läßt eine Nutzung der KRS 442 in der Wiederbesiedlungsphase 7 eher unwahrscheinlich erscheinen. Vermutlich ist hier ein recht großes Fragment ebenfalls bei den Steinausraubungen, die für die Wiederbesiedlung nachgewiesen sind und der auch manch anderes, meist kleineres Gefäßfragment seine Deponierung in Phase 7 verdankt, aus einem älteren Kontext umgelagert worden. Für 442 käme erneut etwa die Phase 3 oder 4 als ursprünglicher Kontext in Frage. Bereits im Zusammenhang mit den Umlagerungen älterer Typen in die Auffüllung zur Wiederbesiedlungsphase 7 (s. o.) wurde darauf geschlossen, daß die Steinausraubungen wohl besonders den Phasen 2 und 3 gegolten hatten. Damit gäbe es eine

⁷⁶² Vgl. Kerschner in Akurgal u. a. 2002, 71 f. Allerdings haben die Schalen eine lange Laufzeit vom späten 7. Jh. v. Chr. bis zum Ende des 6. Jhs. v. Chr. Allerdings zeigen sich besonders bei den Beispielen aus ihrer 'Blütezeit', das Kerschner ins »frühe und mittlere 6. Jh. v. Chr.« setzt, Ähnlichkeiten bei der Gestaltung der schwarzgefirnigten Innenseite der Schalen: »weiß-rot-weiße Reifenkombinationen« bei den Rosettenschalen vom Typus Kalottenschale, und bei der KRS 442 einfache rote Reifenkombinationen.

Überschneidung mit der Phase 3. Und auch die Ausraubung von Steinfundamenten der Phase 4 ist nicht auszuschließen, läßt sich aber weniger eindeutig als für die früheren Phasen anhand der älteren KRS-Typen nachweisen.

Bislang gibt es – auch über die Gattung der KRS hinaus – keine gesicherten Befunde in Milet, die eine Fortführung des Fikellurastils nach 494 v. Chr. beweisen. Alle bekannten Beispiele aus nacharchaischen Kontexten sind wohl umgelagerte ältere Fragmente.

5.1.3 Zusammenfassung zu den neuen Grabungen

Die vorliegende Untersuchung hatte vor allem die Ermittlung einer relativen Chronologie der stratigraphisch eingebundenen Gattung der KRS aus den Grabungen am Kalabaktepe-Süd in den Jahren 1989 bis 1995 zum Ziel. Darüber hinaus ließen sich Veränderungen während der Nutzungsphasen der Siedlung anhand der statistischen Auswertung der milesischen KRS und ihrer Vorläufer, einer der Leitgattungen milesischer Keramik, aufzeigen. Das als 'Verteilungsdichte' bezeichnete Verhältnis von Keramik- und Befundanzahl reagiert auf Veränderungen in Siedlungsdichte und -struktur, aber auch auf Veränderungen anderer Art, wie beispielsweise eine Umstellung des Gewerbes im Quartier. Die Schwankungen der statistischen Werte im Spiegel der Siedlungsabfolge, die dank der Stratigraphie sicher bestimmt werden können, erlauben im Zusammenspiel mit weiteren Informationen wie Grabungsbeobachtungen, urbanistischen Rekonstruktionen, naturwissenschaftlichen Untersuchungen⁷⁶³ oder literarischen Quellen teilweise detaillierte Rückschlüsse auf die Ereignisgeschichte des Ortes oder veränderte Gewohnheiten ihrer Bewohner. Es ist also bereits anhand der Ergebnisse zu den KRS vorläufig festzuhalten, daß sich die Siedlungsentwicklung stets auch in der 'Verteilungsdichte' und in den statistischen Veränderungen der Fundkeramik wiederfindet.

Im Bezug auf die Stratigraphie kann festgehalten werden, daß jede Siedlungsphase mit einer Neugestaltung am Ort einhergeht. Die Siedlungstätigkeit beginnt mit der Phase 1. Die Verteilungsdichte steigt als Reaktion um mehr als das Doppelte im Vergleich zur Vorphase 0 an, in der lediglich temporäre Installationen und keine reguläre Siedlung durch die Ausgrabungen angetroffen wurden. In der folgenden Phase 2 kam es zu einem großen Einschnitt in der Entwicklungsgeschichte des Ortes. Die große Stadtmauer wurde errichtet, und ein Teil der alten Gebäude von der neuen Struktur überbaut. Damit wurde das gesamte Viertel neu organisiert. Die Keramikdichte pro Befund erhöht sich im Hinblick auf diese Phase wieder um fast das Doppelte. Für den Beginn der Phase 3 läßt sich erneut eine Veränderung am Ort feststellen. Die Siedlung griff, wie die Untersuchungen von R. Senff zeigten, westlich und zur Hangseite weiter aus. Damit wurde neuer

⁷⁶³ Hierzu zählen nicht nur die naturwissenschaftlichen Untersuchungen der hier vorgestellten Gattung, wie sie S. 359 ff. im Kapitel 7 'Zur Herkunftsbestimmung der südionischen Knickrandschalen: Archäometrischer Exkurs' beschrieben sind, sondern auch geologische und geomagnetische Prospektionen des Hügels und der Umgebung, Untersuchung der Knochen- und Muschelfunde sowie der botanischen Funde und manches mehr.

Siedlungsraum geschaffen. Wieder reagiert die 'Verteilungsdichte' mit erheblichem Anstieg. Die darauf folgenden Phasen sind durch Beruhigung in Form von Stagnation gekennzeichnet. Von Phase 3 zu Phase 4 sinkt die 'Verteilungsdichte' um ca. 10 %, während von Phase 4 zu Phase 5 wieder eine Zunahme um etwa 50 % – von ca. 0,9 auf erstmals über 1,3 Fragmente pro Befund – festzustellen ist. Dies ist insofern interessant, als daß mit dem Ende der Phase 4 die Töpferöfen aufgegeben wurden und das vormalige Handwerksviertel nun stärker den Charakter einer Wohnsiedlung annahm. Die kleinste angetroffene Schwankung zwischen den Siedlungsphasen 3 und 4 spiegelt dagegen die Konstanz der Aktivitäten und Siedlungsstruktur – trotz der Neubauten zur Phase 4 – an. Eine Ausweitung der Siedlung ist dabei nur geringfügig festzustellen. Die Bebauungsstruktur blieb in den Phasen 3 und 4 konstant. Die Baumaßnahmen orientierten sich an der vorherigen Bauphase. Der enorme Rückgang der 'Verteilungsdichte' in der Siedlungsphase 6 dagegen zeigt, daß sich diese Phase in besonderer Weise von den vorherigen absetzt. Zum einen wurden in Phase 6 die Häuser erstmals nicht mehr aus Lehmziegeln, sondern als vollständige Steinhäuser errichtet. Aber auch die Katastrophe von 494 v. Chr. und die viel geringeren Aufschüttungen für die nunmehr kleineren Flächen der Wiederbesiedlung weisen deutlich auf den Zusammenhang zwischen 'Verteilungsdichte' und Siedlungsstruktur hin.

Die Aufgabe der Keramiköfen zum Ende der Phase 4 geht mit einer großen Verschiebung in der 'Verteilungsdichte' der Gattung in der Phase 5 einher. Wie läßt sich dies interpretieren? Das Ergebnis scheint erstens zu zeigen, daß die Töpferei am Ort keine größere Auswirkung auf die Keramikpräsenz hatte. Denn nicht in den Phasen, in denen die Töpferöfen in Benutzung sind, zeigt sich eine überdurchschnittliche Präsenz an KRS, sondern in der Siedlungsphase, in der die Produktion von Keramik aufgegeben war. Demnach kann der konstante Anstieg der Keramikpräsenz ('Verteilungsdichte') in den Phasen 1–3 im Bilde der hier untersuchten Gattung nicht durch das naheliegende Argument einer Zunahme der Produktion der Töpferbetriebe am Ort erklärt werden. Allein die Werte der Phasen 4 und 5 sprechen eindeutig gegen eine solche These. Auch bleibt die Anzahl der Keramiköfen gleich, und Umbauten, die technische Verbesserungen oder Kapazitätssteigerung anzeigen könnten, wurden nicht festgestellt. Dies legt eher die Vermutung nahe, daß die Kombination von Töpferei und Wohnsiedlung eine Anhäufung von keramischem Abfall am gleichen Ort eher verhindert und nicht steigert. Vermutlich wurde Ausschuß- und Bruchware gleich wegtransportiert an eine Stelle, die in einiger Entfernung zum Wohngebiet lag und daher durch die Flächengrabung nicht angetroffen wurde. Ist diese Vermutung richtig, sagt dies bereits einiges über die Organisation einer in ein Wohnviertel integrierten, frühen archaischen Töpferei aus. Bis weitere Gattungen am Ort dieses Ergebnis bestätigen, muss es jedoch eine vorläufige These bleiben. Schließlich ist nicht ausgeschlossen, daß in den Töpferöfen am Kalabaktepe-Süd gar keine KRS produziert wurden.

Zweitens konnte festgestellt werden, daß die 'Verteilungsdichte' der KRS offensichtlich auf die Wohndichte eines Ortes reagiert. Denn eines scheint sich doch den vorläufigen Ergebnissen

entnehmen zu lassen: Nicht die Produktion einer Töpferei wirkte sich bestimmend auf die 'Verteilungsdichte' der Keramik aus, sondern die Zunahme oder das Gleichbleiben der Wohnintensität am Ort.

Darüber hinaus ließ die Keramikverteilung in gesicherten Befunden auch übergreifende Aussagen zu stellenweise gestörten Grabungsbereichen zu. Dort, wo spätere Störungen keine vollständige Darstellung zur Siedlungsintensität mehr erlauben, konnten anhand der Fundauswertung Anhaltspunkte zur Wohndichte ermittelt werden. Ein interessantes Nebenergebnis ist auch der gelungene Nachweis einer repräsentativen Verteilung von Fundmaterial an einem Ort, selbst wenn die Schichten zum größten Teil durch spätere Eingriffe gestört worden sind.

In einem nächsten Schritt wurde die Verteilung der Gattung auf die einzelnen festgestellten Schichten hin untersucht. Dabei gab die statistische Auswertung der klassifizierten KRS und ihrer Vorläufer Auskunft über die Bedeutung der einzelnen Typen innerhalb einer Phase. Ferner wurden Beispiele der einzelnen Typen abgebildet und diskutiert. Ziel dieser Darstellung war, die Entwicklung der Gattung und der einzelnen Typen sowie Varianten nachzuzeichnen und eine relative Chronologie der Typen zu gewinnen. Die statistische Auswertung hatte dabei das Typenspektrum als Ganzes im Blick, während die angeführten Beispiele einzelne Phänomene und die Veränderungen innerhalb der Typen und Varianten verdeutlichten. Die eingehende Diskussion der Einzelstücke und der statistischen Ergebnisse ist schließlich auch deshalb wichtig, weil in den einzelnen Phasen stets eine mehr oder minder große Anzahl an älteren, aus früheren, tieferen Schichten stammenden Fragmenten enthalten sind. Bezeichnend für das Gattungsbild, das hier für die einzelnen Siedlungsphasen aufgezeigt werden konnte, sind folgende Ergebnisse:

Für die **Phase 0** konnte aufgrund des nachgewiesenen Charakters der Phase als Horizont ohne Siedlungsaktivität kein spezifisches Bild des Ortes gewonnen werden. Dies ist auch nicht notwendig, da das Fehlen der Bezugsgröße Wohn-, Handwerks- oder Kultstätte einen solchen Versuch von vornherein ausschloß. Die dennoch hier geborgenen Beispiele der Gattung sind dann auch vereinzelte, teils unzusammenhängende Beispiele von mittelgeometrischer bis früharchaischer Zeit. Dennoch ließ sich bereits hier im Abgleich mit anderen Fundstellen Milets ein chronologischer Anhalt für den Typus 5 festmachen, wie auch für die folgende Siedlungstätigkeit am Südhang allgemein. Denn der typologisch jüngste Fundtypus 5 zeigt an, daß die Vorsiedlungsphase 0 sich bis in die früharchaische Zeit erstreckte. Über die Herkunft der hier befindlichen Keramik und damit über ihre ursprüngliche Funktion kann allerdings nur spekuliert werden.

Die **Phase 1** lieferte ein überraschendes Ergebnis (Abb. 37). Die KRSk und KRS aus den Schichten dieser Siedlungsphase weisen überwiegend noch ein *geometrisches* Gepräge auf, obwohl die archaische Epoche bereits erreicht ist. 49 % der signifikanten Fragmente vertreten spät- oder subgeometrische KRSk und KRS. Daneben finden sich vereinzelt auch 'verschleppte' mittel- oder spätgeometrische Stücke, die sicher aus der Vorsiedlungsphase 0 verlagert wurden. Die 'geometrische

Prägung' zeigt sich auch in weiteren Einzelheiten. So ist in Phase 1 der Typus 4 besonders stark vertreten, der eine 'zeitgemäße' archaische Schalenform, aber noch einen subgeometrischen Dekor aufweist. Zählt man diesen Typus zu den spät- und subgeometrischen KRSk und KRS, weist das Typenspektrum der Gattung mit geometrischem Dekor sogar einen Anteil von 66 % auf. Doch sind auch die Typen früharchaischer KRS bereits vertreten und werden spätestens während der zweiten Hälfte der Siedlungsphase 1 häufiger genutzt und damit bereits produziert worden sein. Diese jüngere Gruppe ist durch die Typen 6–8 erstmals nachzuweisen. Die Funde vom Südhang des Kalabaktepe zeigen eindeutig ein zeitliches Nebeneinander und keine stilistisch lineare Typenabfolge – eine Tatsache, die von der archäologischen Lehrmeinung bislang weitestgehend unberücksichtigt blieb⁷⁶⁴. So konnte bereits für die Vorsiedlungsphase 0 der früharchaische Typus 5 festgestellt werden, womit der Wandel und damit das zeitliche Nebeneinander der 'Laufzeiten' der subgeometrischen und früharchaischen Typen mindestens 15, vielleicht sogar 20 Jahre angedauert haben wird. Bezeichnend für die Siedlungsphase 1 ist aber auch, daß die KRS in einem großen Typenspektrum vertreten ist. Vermutlich waren alle acht nachgewiesenen Typen der KRSk und KRS in Phase 1 noch zeitgleich in Benutzung. Die keramischen Funde und allgemeine Überlegungen zur Lebensdauer der Siedlungsphasen lassen für die Datierung der Phase 1 eine obere Grenze etwa um 670 v. Chr. festlegen, während für die untere Grenze mit Hilfe der korinthischen Importkeramik eine Datierung um 640 v. Chr. feststeht.

Mit **Phase 2** verändert sich dieses Bild (Abb. 43). Die kennzeichnende 'geometrische Prägung' der Phase 1 geht im Verlauf der Phase 2 verloren. In der Folge bestimmen die früharchaischen Typen mit nahezu gleichen Anteilen die Produktion der KRS. Doch bereits zum Ende der Phase 2 weisen die zwei neuen Typen 10 und 11 auf das zukünftige Bild der Gattung voraus. Letztmalig kann für eine archaische Phase am Kalabaktepe-Süd ein vielgestaltiges, relativ gleichwertiges Typenspektrum der KRS festgestellt werden. Bereits zum Ende dieser Phase setzt eine Entwicklung ein, in der die beiden neuen hoch- und spätarchaischen Typen die Präsenz der Gattung dominieren. Bereits in dieser Phase erreichen sie einen Anteil von 21 %, was darauf hindeutet, daß sicher nicht alle älteren Typen bis zum Ende der Phase 2 weiter produziert wurden. Demnach kündigt sich in der Phase 2 ein Paradigmenwechsel in der Keramikproduktion an: der Beginn einer spezialisierten Produktion, deren Kennzeichen der Rückgang der früheren Typenvielfalt ist. Der zeitliche Rahmen der Phase 2, in dem dieser Wandel stattfand, konnte mit Hilfe der Importkeramik festgelegt werden. Das Ende der Phase 1 – und somit der Beginn der Phase 2 – lag um 640 v. Chr. Das untere Ende der Phase 2 ist durch zahlreiche korinthische Importgefäße um 610 v. Chr. fixierbar.

Der in Phase 2 begonnene Wandel vollzieht sich in **Phase 3** dann endgültig (Abb. 50). Allerdings gestaltet sich der Prozeß doch schleichender, als die 21 % Präsenz der neuen Typen zum Ende der

⁷⁶⁴ Bisher fehlten Möglichkeiten, das Nebeneinander stilistischer Entwicklungen chronologisch nachzuweisen, weswegen Typologien vor allem von stilistischen Reihen geprägt sind.

Phase 2 erwarten ließen. Wie bereits während der Vorphasen 1 und 2, ist der Wandel von der früharchaischen Typenvielfalt zur hoch- und spätarchaischen Typenvereinheitlichung zunächst noch mit einer parallel verlaufenden Produktions- und Nutzungszeit der entsprechenden Typen verbunden. In der Siedlungsphase 3 nehmen die beiden neuen Typen 10 und 11 bereits 47 % der Gesamtfundmenge der Gattung ein. Doch zeigt der Anteil von 33 % der früharchaischen Typen 5–8 an, daß diese zumindest zu Beginn der Phase 3 noch immer einen spürbaren Anteil ausmachten. Mithin gab es zumindest zu Beginn der Phase 3 noch ein Nebeneinander von Typen und damit eine gewisse Typenvielfalt. Erstmals war in Phase 3 der Typus 13 nachzuweisen. Hinsichtlich der südionischen Gefäßmalerei konnte in der Phase 3 neben der Stilphase SiA Ic-d auch der erste Hinweis auf den Wechsel zur Stilstufe MileA II festgestellt werden. Diese Entwicklung vollzieht sich am Ende des 7. und zu Beginn des 6. Jhs. v. Chr. Das Ende der Phase 2 und der Beginn der Phase 3 konnten aufgrund korinthischer Importkeramik um 610 v. Chr. festgelegt werden. Für die untere Grenze der Phase 3 fehlt sowohl ein bekanntes historisches Ereignis, als auch Importkeramik. Daher werden die Siedlungsphasen von nun an mit Hilfe der hypothetischen Generationsrechnung begrenzt, die auf die Dauer von 30 Jahren festgelegt sind. Die Annahme von 30 Jahren entspricht in etwa der zeitlichen Länge der durch Importkeramik datierten Phase 2. Ferner werden ebenfalls Phasen von ca. 30 Jahren erreicht, wenn der Gesamtzeitraum zwischen den durch die Importkeramik gestützten Phasen 1 und 2 bis zur Perserzerstörung der Siedlungsphase 6, zu der das historische Datum 494 v. Chr. überliefert ist, anhand der festgestellten Anzahl von Bauphasen in gleichlange zeitliche Phasen zerlegt wird. Damit ist von einem Ende der Siedlungsphase 3 um 580 v. Chr. auszugehen.

Phase 4 (Abb. 58) bestätigt die bisher beschriebene Entwicklung. Die produzierten und benutzten KRS dieser Phase gehören mit fast 70 % den beiden Typen 10 und 11 an. Sie beherrschen nun endgültig das Gattungsbild. Der Typus 9 bereichert spätestens in dieser Phase als dritter Typus das einheitliche Typenspektrum des 6. Jhs. v. Chr. Zusammen machen die neuen Typen 76 % aus, mehr als drei Viertel der stratifizierten KRS der Phase 3. Überdies sind erstmals mit der Siedlungsphase 4 der Typus 12 und die 'Graue Ware' nachgewiesen. Für die Siedlungsphase 4 fehlen jegliche externe Datierungshinweise. Mit der oben beschriebenen Konstruktion von Generationslängen ist die Phase 4 im absolutchronologischen System etwa zwischen 580 und 550 v. Chr. einzuordnen.

Nahezu unverändert bleibt das Erscheinungsbild während der **Phase 5** (Abb. 68). Weiterhin sind es die Varianten der Typen 10 und 11 – sowie wesentlich unbedeutender der Typus 9 –, die mit nunmehr 84 % das Gesamtbild der Gattung in der Siedlungsphase 5 prägen. Die einzigen geringen Unterschiede zur vorhergehenden Phase 4 bestehen darin, daß der Anteil des Typus 9 auf 8 % ansteigt und sich der zuvor stets in etwa ausgeglichene Anteil der Typen 10 und 11 zugunsten des Typus 10 verschiebt, der nunmehr 51 % der Gesamtmenge ausmacht. Die statistische Auswertung der Gattung läßt für das 6. Jh. v. Chr. eine 'Erstarrung' und 'Formenarmut' der Gattung konstatieren. Die theoretische Konstruktion der Generationslängen läßt für die Phase 5 den Zeitrahmen von ca. 550 bis 520 v. Chr. festlegen. Diese Datierung findet durch die vielfach angetroffene attische Importkeramik, die bis in

das zweite Viertel des 6. Jhs. v. Chr. zurückreicht, Bestätigung, auch wenn nur wenige Importstücke die Phase 5 direkt stützen können. Das Ende der Phase um 520 v. Chr. findet hier zusätzliche Bestätigung.

Weite Bereiche der letzten Siedlungsphase, **Phase 6**, waren von sekundären, nacharchaischen Störungen gekennzeichnet. Zudem wurde in dieser Phase eine neue Bauweise am Südhang des Kalabaktepe festgestellt. Diese Änderungen hatte sich bereits in markanter Weise auf die 'Verteilungsdichte' der Gattung ausgewirkt. Hierin muß die Ursache für die auffällige Zunahme von Deponierungen älterer, umgelagerter Randfragmenten zu suchen sein. Jedenfalls machten die Typen 1–8, deren Produktion und Nutzung nachweislich in den Phasen zuvor (in denen ihr Anteil insgesamt bereits auf 15 % abgesunken war) bereits aufgegeben war, in Phase 6 wieder 35 % aus (Abb. 71). Eine eingehende Analyse zeigte dann aber, daß insbesondere die Typen 4, 6 und 7 in größerem Umfang umgelagert worden waren. Daraus konnte geschlossen werden, daß in der Siedlungsphase 6 tiefer liegende Mauern aus früheren Siedlungsphasen – und hier besonders aus den Phasen 2 und 3, in denen die Typen 4, 6 und 7 ihre zahlenmäßig sehr intensiv vertreten waren – aufgrund der neuen Bauweise aus Stein statt Lehm ausgeraubt wurden. Wird dieser Umstand berücksichtigt, zeigt der Vergleich zu den letzten Phasen nur eine geringe Änderung des Typenspektrums. Lediglich die Prozentzahlen der drei auch die Siedlungsphase 6 kennzeichnenden Typen 9–11 (nur noch 65 %) wurden durch die massive Einbringung von bereits aufgegebenen älteren Typen zurückgedrängt. Somit kann eine lange 'Laufzeit' vor allem der Typen 10 und 11 festgestellt werden. Für diese Laufzeiten läßt sich allerdings eine Entwicklung innerhalb der Typen feststellen (s. u.). Doch auch diese Tatsache ändert nichts an der Feststellung, daß in der spätarchaischen Phase keine neuen Formgruppen von quantitativer Bedeutung mehr entwickelt wurden. Die milesischen Töpfer produzierten im 6. Jh. v. Chr. lediglich noch drei Haupttypen von KRS, von denen die Typen 10 und 11 einander zudem sehr ähneln. Für diese beiden Typen zeigt die statistische Auswertung nun in Phase 6 eine auffällige Verschiebung an. War in der Phase 5 der Typus 10 mit über 51 % noch der wohl am häufigsten verwendete Typus am Kalabaktepe-Süd, fällt er in Phase 6 auf 20 % und hinter den Anteil von Typus 11 zurück. Vergleicht man zudem die absoluten Zahlen der beiden Typen in den Phasen 5 und 6 (Abb. 81, 82), kann wohl für Typus 10 ein Ende der Produktion im Verlauf der Phase 6 konstatiert werden.

Für die einzelnen Typen der KRS und ihre Varianten sowie die Entwicklung derselben hat die Auswertung anhand der Stratigraphie zu folgenden Ergebnissen geführt: Für den frühesten Vertreter der Gattung, den **Typus 1** und seine Varianten, bot die Grabung am Kalabaktepe-Süd keine Siedlungsschicht, die eine engere chronologische Einordnung ermöglicht hätte und somit auch keine relative Entwicklung verfolgen ließ. Die signifikanten Beispiele mittel- und spätgeometrischer Varianten fanden sich sämtlich in Aufschüttungsschichten späterer Siedlungsphasen. Da die Stücke jedoch irgendwann zu ihren Nutzungszeiten bereits an diesen Ort oder in seine unmittelbare Nähe

gelangt sein müssen, sind die mittel- und spätgeometrischen Beispiele des Typus 1 als ursprüngliche Funde auf dem Laufhorizont des Gebiets, der als Vorphase 0 bezeichnet wird, zu interpretieren. Erst

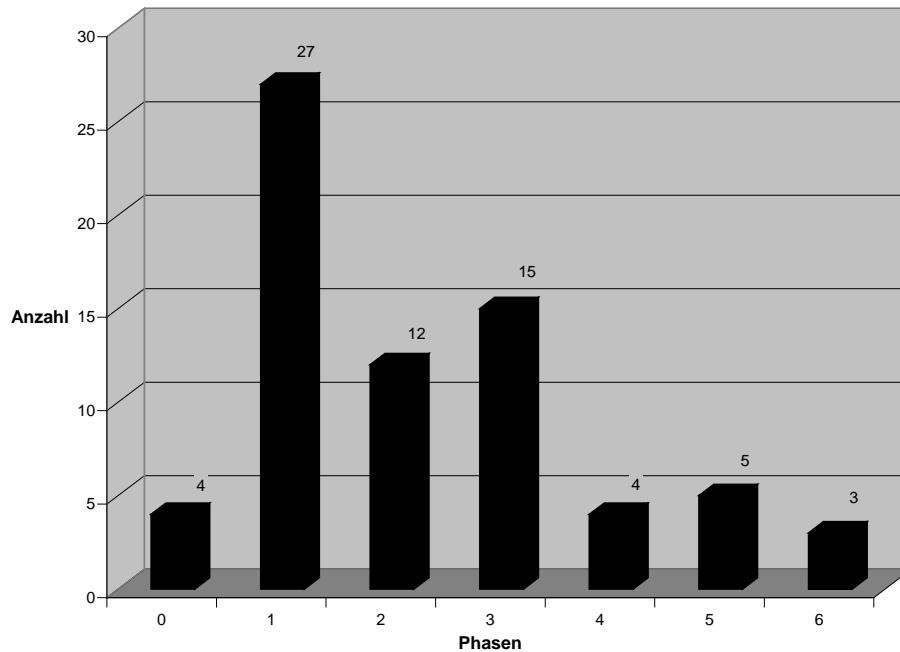


Abb. 72: Kalabaktepe-Süd, Verteilung der KRS des Typus 1 in den Siedlungsphasen

die subgeometrischen Varianten des Typus 1 haben dann der Siedlungsphase 1 angehört, denn hier machten sie nach der statistischen Auswertung mit 20 % zunächst den größten Anteil der Gattung aus. Aus einem solchen Zusammenhang stammt der subgeometrische KRSk **21** der Variante 1,3.Bc, nämlich aus dem Schutt der dritten Umbauphase 1c in der Siedlungsphase 1. Für eine genauere Differenzierung fehlen aber weitere signifikante Scherben in den Fundlagen der Phase 0 und der Siedlungsphase 1. Damit ist ihre Chronologie lediglich in anderen datierten Kontexten und anhand ihrer stilistischen Entwicklung zu gewinnen. Allerdings ist die große Anzahl von Vertretern des Typus 1 in den Siedlungsphasen 1–3 signifikant, sowohl in absoluten Zahlen (Abb. 72), als auch in den Prozentwerten ihres Anteils innerhalb der Phasen (Abb. 37, 43, 50). Doch scheint beim Vergleich dieser Werte eines unumstößlich – nämlich, daß der Typus 1 auch in seiner subgeometrischen Form nach Phase 1 nicht mehr benutzt wird. Auch wenn sowohl die absoluten, als auch die anteiligen Werte in den Siedlungsphasen 2 und 3 relativ hoch sind, ist doch die Zäsur, die sich am Übergang von Phase 1 zu Phase 2 erkennen läßt, sehr deutlich. Daß Typus 1 in den Phasen 2 und 3 noch einmal 8 % und 7 % erreicht, scheint an seiner überragenden Stellung in Phase 1 gelegen zu haben, die dazu geführt hat, daß überproportional viele Stücke in die beiden nächsten Phasen umgelagert worden sind. Damit belegen die Fundlagen in der Siedlung am Kalabaktepe-Süd allein schon aufgrund der Menge an Funden die Existenz und auch noch die Nutzung subgeometrischer Varianten des Typus 1, die aber vermutlich schon vor dem Ende der Phase 1 zurückgehen. Eine Nutzung und damit ein Fortleben des Formtypus ist über die Phase 1 hinaus nicht zu erwarten: Der Typus 1 in subgeometrischer Form endet demnach um 650/640 v. Chr.

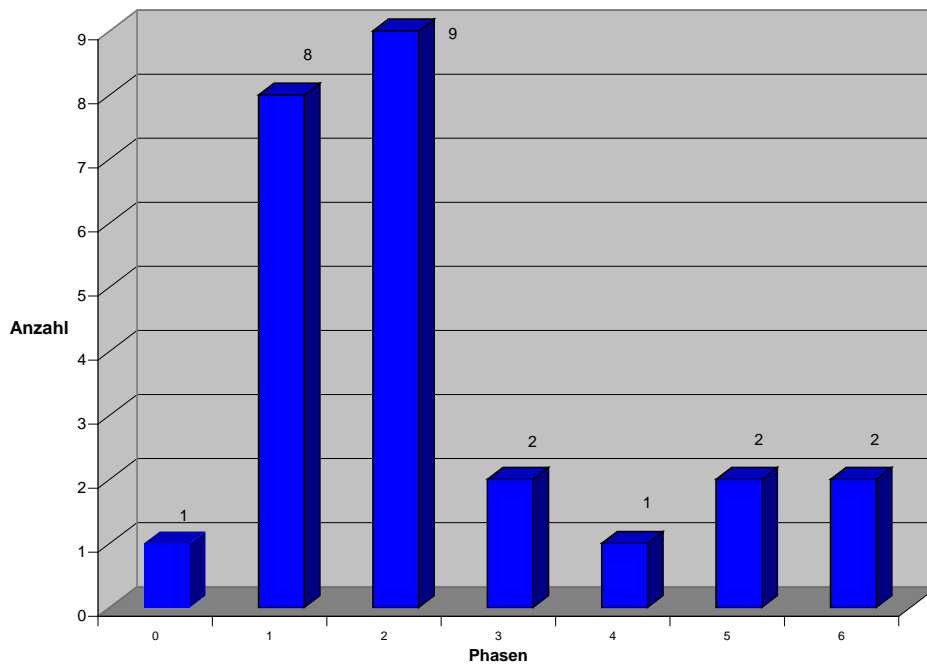


Abb. 73: Kalabaktepe-Süd, Verteilung der KRS des Typus 2 in den Siedlungsphasen

Der **Typus 2** ist im Vergleich zu den übrigen frühen Typen die quantitativ schwächste Gruppe. Auch für ihn gilt, was sich für Typus 1 feststellen ließ. Die frühen Vertreter dieses Typus stammen aus der Zeit vor Anlage der Siedlung am Kalabaktepe-Süd, auch wenn er zufällig in Phase 0 nicht angetroffen wurde. Somit waren die meisten signifikanten Scherben der frühen Varianten wieder vor allem in Auffüllungen zu späteren Siedlungsphasen umgelagert worden. Erst für die Variante 2,4.Bc–d (**47–48**), deren Fundlage möglicherweise der Boden der Phase 2 ist, könnte somit die Siedlungsphase 1 als Nutzungszeit nachweisbar sein. Ob Variante 2,1 (**30**) und Variante 2,2 (**Abb. 39,c**) tatsächlich entsprechend ihrer Fundlagen noch in Phase 2 benutzt wurden, ist äußerst unsicher. Vorläufig sind lediglich diese Hinweise zu gewinnen. Eine empirische Analyse der Varianten des Typus 2 ist aufgrund der zu geringen Materialbasis aus sicheren frühen Fundlagen nicht möglich. Doch ist aus den Auswertungen (**Abb. 37, 43, 50 und 73**) eindeutig ersichtlich, daß der Typus 2 nach der Siedlungsphase 2 nicht mehr benutzt und vermutlich auch nicht mehr produziert wurde: Das Ende der Produktion des Typus 2 wird noch vor das Ende der Siedlungsphase 2

um 630/620 v. Chr. zu datieren sein. Dafür spricht der enorme Rückgang an Funden in Phase 3. Für Variante 2,1 und 2,2 ist eine Laufzeit von spätestens 660 bis 640/630 v. Chr., und für Variante 2,4 von spätestens 650/640 bis 630/620 v. Chr. anzunehmen.

Die statistische Erfassung der Vertreter des **Typus 3** aus stratifizierten Schichten hat den sicheren Nachweis erbracht, daß auch sie bereits vor der ersten Siedlungsaktivität in Phase 1 an die Stelle der späteren Grabungsschnitte gelangt sein müssen. Über das genaue Aussehen der Stücke aus der Vorsiedlungsphase 0 kann aber aus den Gründen, die oben bezüglich der Typen 1 und 2 bereits dargelegt wurden, keine Aussage mehr getroffen werden. Die überwiegend gesicherten und in wenigen Fällen vermuteten Fundkontexte in Phase 2 bieten zumindest für die Varianten 3,2.B (**62**)

und 3,3.Bc–d (70, 72) einen *terminus ante quem*. Vermutlich wurden sie während der Phase 1 benutzt und wohl auch zu dieser Zeit gefertigt. Dazu paßt, daß die KRS 412 der Variante 3,3.B mit Bemalung

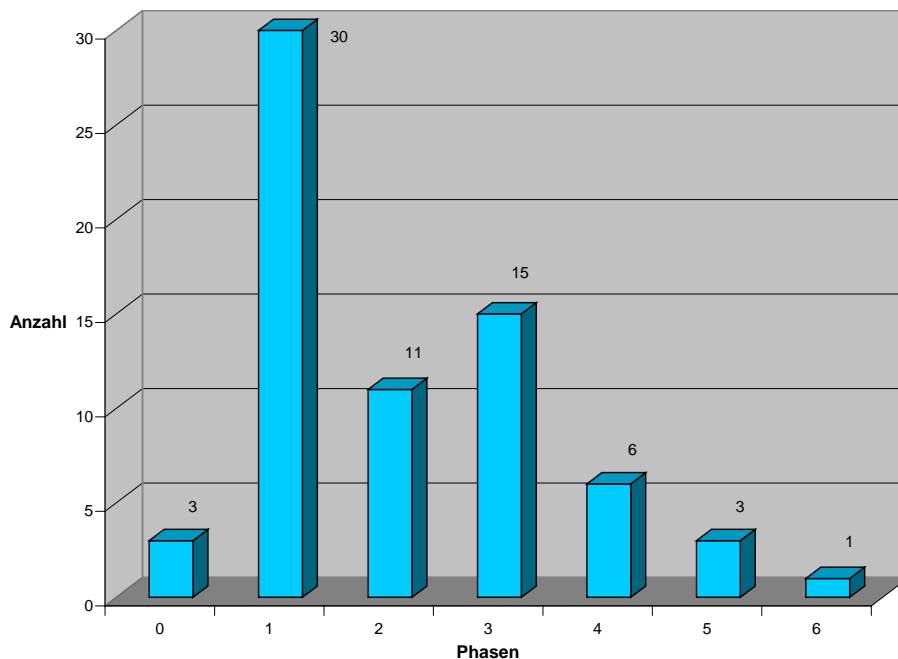


Abb. 74: Kalabaktepe-Süd, Verteilung der KRS des Typus 3 in den Siedlungsphasen

der Stilphase SiA Ia aus dem Schutt der Siedlungsphase 1 stammt. Damit ist SiA Ia, die früheste Phase des südionischen Tierfriesstils, vielleicht schon vor 670 v. Chr. anzusetzen, vermutlich aber nicht früher als ca. 680 v. Chr. Diese Schale dürfte spätestens zu Beginn der Phase 1 hierher gelangt sein. Damit wäre für die Varianten 3,2 und 3,3 eine Nutzung und Fertigung um 670–650 v. Chr. mit den festgestellten Kontexten zu belegen, was nicht heißt, daß Typus 3 und auch die Varianten 3,2 und 3,3 nicht schon früher gefertigt wurden, zumal sich Typus 3 am Kalabaktepe-Süd bereits für Phase 0 und somit vor 670 v. Chr. nachweisen ließ. Ein Vergleich der Abb. 37, 43, 50 und 74 läßt sich ähnlich wie die Auswertung des Typus 1 interpretieren. Wieder ist eine scharfe Zäsur nach Phase 1 festzustellen, die auch bei der relativ hohen Anzahl und dem relativ hohen Anteil von 7 % in den beiden Folgephasen für diese Stücke nur die Interpretation als umgelagerte Stücke aus den Vorphasen 0 und besonders 1 zulassen. Damit ist aus den Fundlagen am Kalabaktepe-Süd auf eine Fertigung des Typus 3 auf jeden Fall vor 680 v. Chr. zu schließen, während die Nutzung und vermutlich auch die Produktion des Typus nicht länger als etwa 650/640 v. Chr. währten.

Ähnliches läßt sich für **Typus 4** feststellen. Auch hier haben die statistischen Analysen des stratifizierten Fundmaterials gezeigt, daß er bereits vor der ersten regulären Siedlungsaktivität in Phase 0 präsent war, womit seine Anfänge noch vor 670 v. Chr. zu datieren sind. Allgemein läßt sich der Typus 4 dann mit jeweils 17 % sowohl in Phase 1, als auch in Phase 2 verfolgen, bis er dann in Phase 3 mit nur noch 3 % vertreten ist, was darauf deutet, daß er nicht mehr genutzt und wohl auch nicht mehr gefertigt wurde (Abb. 37, 43 und 50). Damit erweisen sich die Vertreter des Typus 4 als

früharchaische KRS, die bereits vor 670 v. Chr. wohl aber nicht mehr nach 620/610 v. Chr. gefertigt wurden. Die untere Datierungsgrenze ist in die Nähe vom Ende der Phase 2 zu setzen. Typus 4 ist

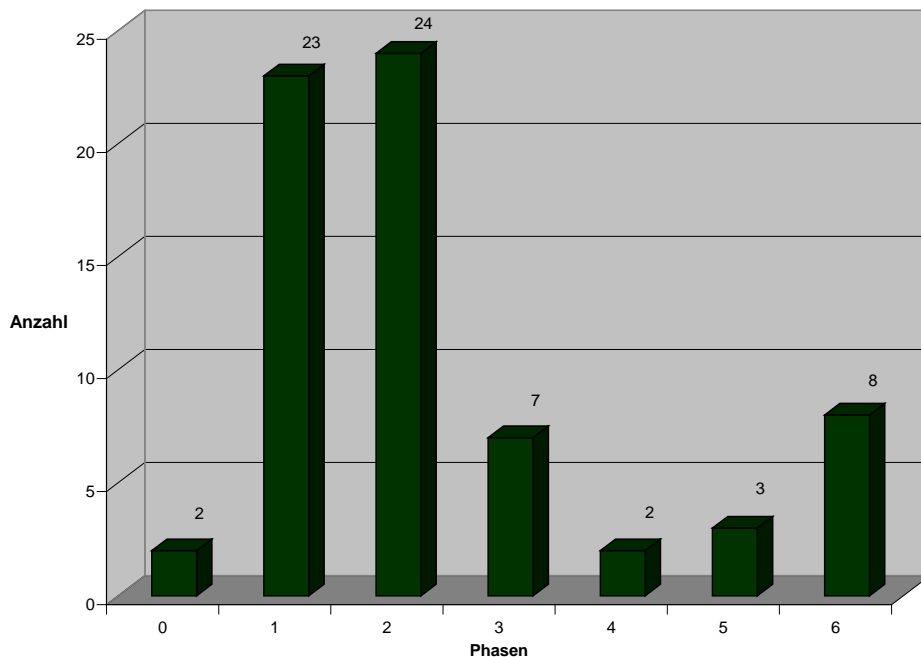


Abb. 75: Kalabaktepe-Süd, Verteilung der KRS des Typus 4 in den Siedlungsphasen

zwar in Phase 2 im Vergleich zur vorhergehenden Phase prozentual nicht eingebrochen und weist sogar mehr Fragmente auf als in dieser, aber der so auffällige Rückgang in Phase 3 spricht deutlich dafür, daß Typus 4 zu Beginn der Phase 3 vermutlich schon nicht mehr existierte und die wenigen Funde in Phase 3, die nur noch 3 % ausmachen, durch Umlagerungen erfolgt sein müssen. Eine differenzierte Klassifizierung des Typus 4 vor der Siedlungsphase 1 am Kalabaktepe-Süd ist aus den bereits mehrfach geschilderten Gründen nicht möglich. Die Fundlagen am Kalabaktepe liefern die ältesten Kontexte für die Variante 4,3.Bd, die bis zum Fundamentgraben einer Mauer der Phase 1 zurückreichen (81) und damit die Entstehung der Variante bereits vor 670 v. Chr. festlegen. Daneben findet sich die Variante 4,3 noch mehrfach in Kontexten der Phase 1 (78, 86, Abb. 35,b) und der Phase 2 (82), woraus ihr Fortdauern zumindest für die Phase 1 gesichert sein dürfte. Die Auffüllung für Phase 3 (82) deutet vielmehr auf eine Umlagerung aus der Nutzungsphase 1 oder 2 hin. Die Variante 4,2.Bd ist am Kalabaktepe-Süd lediglich in der Auffüllung für Phase 3 enthalten gewesen, was abermals entweder auf eine Nutzung in Phase 1 oder 2 verweist. Kürzlich wurde ein Beispiel der Variante 4,2 (77) im nahen Heiligtum der Aphrodite auf dem Zeytintepe in einem vor 630 v. Chr. geschlossenen Bothros entdeckt⁷⁶⁵. Unsicher ist das Beispiel Abb. 34,b hinsichtlich seiner Klassifizierung als Variante 4,1 oder 4,2, nicht aber hinsichtlich seines frühen Fundkontextes im Boden der Phase 1. Dadurch liefert er einen *terminus ad quem* und *terminus ante quem* um 670 v. Chr.

⁷⁶⁵ Vgl oben Anm. 726.

Als weitere Datierungshilfe kann die Malerei auf einigen aufwendig geschmückten KRS des Typus herangezogen werden. Dabei ist Variante 4,1 bisher lediglich mit einem spätgeometrischen Dekor (**73**) belegt, und die Variante 4,3 konnte mit einem frühen Tierfriesstil-Dekor der Stilphase SiA Ia (**414**) angetroffen werden. Bereits diese vagen Hinweise, die die Dekore der beiden Beispiele liefern, vertragen sich aufs Beste mit den stratigraphischen Ergebnissen. Denn Variante 4,1 fand sich wohl nicht im Kontext der Siedlungsschichten am Kalabaktepe-Süd – vermutlich weil die Variante älter als diese ist. Darauf deutet der spätgeometrische Dekor von **73**, einer Schale, die ebenfalls nicht am Kalabaktepe-Süd, sondern im Zentrum der Stadt gefunden wurde. Damit kann folgende Chronologie für den Typus 4 aufgestellt werden: Der Beginn ist spätestens um 690/680 v. Chr., das Ende um 630/620 v. Chr. zu fixieren. Für die Varianten ist folgende Datierung wahrscheinlich: Variante 4,1 läuft von spätestens 690/680 v. Chr. bis vielleicht 670/660 v. Chr., Variante 4,2 von 680/670 v. Chr. bis 630/620 v. Chr. und Variante 4,3 von 680/670 v. Chr. bis 630/620 v. Chr.

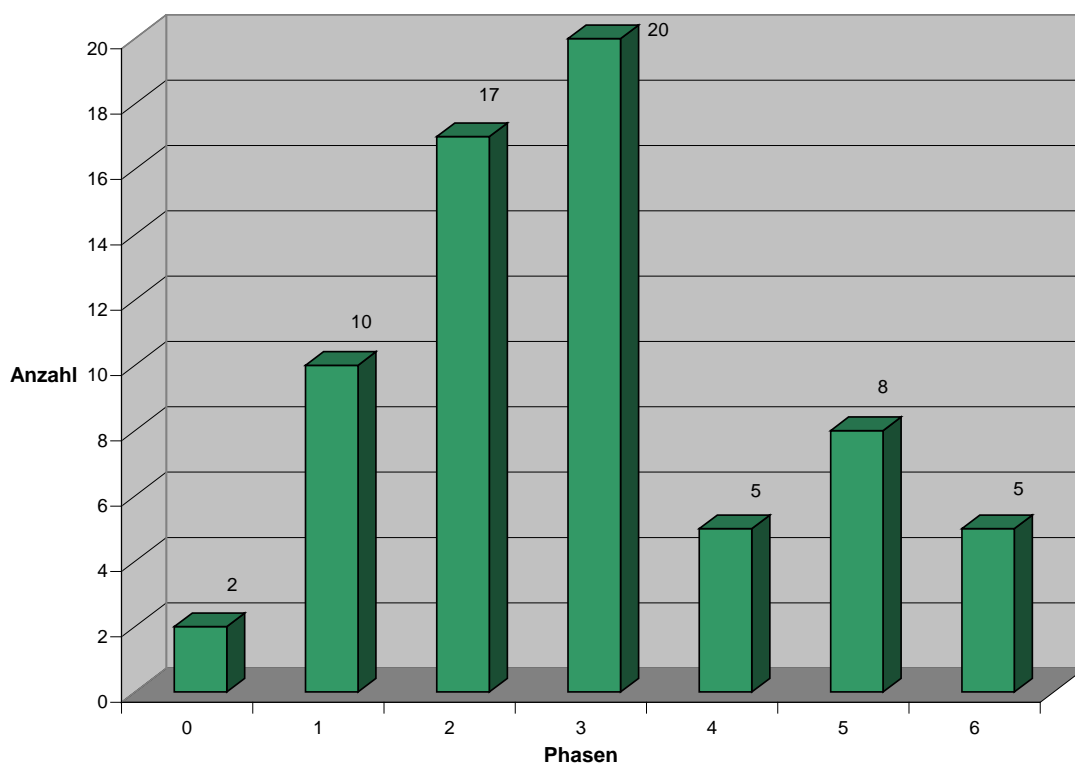


Abb. 76: Kalabaktepe-Süd, Verteilung der KRS des Typus 5 in den Siedlungsphasen

Eine bessere Ausgangssituation stellt die Stratigraphie am Kalabaktepe-Süd für den **Typus 5** zur Verfügung. Wieder ist bereits aufgrund der empirischen Untersuchungen ein Beginn der Produktion und Nutzung des Typus 5 knapp vor der ersten Siedlungsaktivität belegt. Denn zwei Fragmente fanden sich in der Auffüllung zur Phase 1 oder in deren Boden (**Abb. 32,c**, **Abb. 34,c**), womit erneut ein *terminus ad* und *ante quem* für den Typus gegeben ist. Aus diesem darf auf einen Beginn des Typus 5 spätestens kurz vor 670 v. Chr. geschlossen werden. Die statistische Auswertung erbrachte für den Typus 5 in Phase 1 einen Anteil von 8 %, in Phase 2 folgte seine Hauptnutzungszeit mit 11 %, in Phase 3 mit 16 %, in Phase 4 mit 7 %, in Phase 5 mit 11 %, in Phase 6 mit 7 %.

während die 9 % in Phase 3 bereits ein Ende während dieser Phase ankündigen, was durch die bescheidenen 3% – eine Prozentzahl die stets auf umgelagerte Fragmente schließen läßt – in Phase 4 bestätigt wird (Abb. 37, 43, 50 und 76). Daran ändert auch der in Abb. 76 verfolgbare Anstieg der absoluten Zahl in Phase 3 nichts. Denn die deutliche Zäsur, die sich im Vergleich der Prozentzahlen von Abb. 43 zu Abb. 50 am Übergang zur Phase 3 zeigt, macht auch hier klar, daß die Nutzung und wohl auch die Produktion des Typus 5 noch während der Phase 3 zu Ende geht und er in Phase 4 nicht mehr in Gebrauch war. Damit ist von einer Nutzung des Typus 5 am Kalabaktepe-Süd von ca. 680/670 v. Chr. bis ca. 600/590 v. Chr. zu schließen. Im Einzelnen stellt sich die Situation für die Varianten wie folgt dar: Die Variante 5,1.Be läßt sich zweimal kurz vor bzw. zu Beginn der Siedlungsphase 1 (**Abb. 32,c, Abb. 34.c**) nachweisen, dann mit der Dekorvariante e α im Boden der Phase 2 (**91**) und schließlich in der Auffüllung zur Phase 3 oder deren Boden (**90**). Die Variante 5,2.Be α wurde in der Auffüllung zur Phase 3 (**98**) sowie mit der Dekorvariante e in der Auffüllung zur Phase 3 und deren Boden festgestellt (**99, 100, Abb. 39,d, Abb. 41,b**).

Lediglich **102** ist für die Variante 5,3.Be α im Boden der Phase 2 oder der Auffüllung zur Phase 3 belegt, und die Variante 5,4.Be ist nur durch **Abb. 41,e** in der Auffüllung zur Phase 3 vertreten. Zur Siedlungsphase 3 zählen dann noch die Variante 5,1.Be (**Abb. 45,i**) sowie Variante 5,3.Be (**Abb. 45,h**) aus dem Boden der Phase 3 oder der Aufschüttung zur Phase 4. Doch sind die übrigen Beispiele des Typus 5 in der Auffüllung zur Phase 4 – die KRS **Abb. 45,i** und damit die Variante 5,1 – eher verlagerte Stücke. Denn in der Auffüllung sind vor allem die Varianten 5,2 (**Abb. 47,j,l**) und 5,3 (**Abb. 47,m–n**) vertreten. Weitere Anhaltspunkte für die chronologische Einordnung der Varianten des Typus 5 bieten zwei Beispiele mit südionischer Malerei. Eine aus Samos stammende KRS und ein Fragment (**415, 416**) vertreten die Variante 5,1.B und haben subgeometrische Dekore der Stilphase SiA Ia. Damit bestätigen sie eine frühere Datierung der Variante 5,1.B als es die Fundlagen am Kalabaktepe-Süd darstellen könnten. Schließlich liefert der spätestens 630 v. Chr. versiegelte Bothros aus dem Aphrodite-Heiligtum⁷⁶⁶ auf dem nahen Zeytintepe einen *terminus ante quem* für die Variante 5,1.Be (**94**) und die Variante 5,1.Be α (**88**). Damit läßt sich vorläufig für die Varianten des Typus 5 folgende Datierung gewinnen: Variante 5,1 startet spätestens um 680/670 v. Chr. und endet wohl gegen 620/610 v. Chr. Variante 5,2.B läuft von ca. 660/650 v. Chr. bis 610/600 v. Chr., Variante 5,3 von 640/630 v. Chr. bis 600/590 v. Chr. und Variante 5,4 vermutlich von spätestens 620/610 v. Chr. bis 600/590 v. Chr.

Typus 6 ist durch kein Beispiel direkt vor der ersten Siedlungsphase zu belegen, was auch – wie sich weiter unten zeigen wird – für den mit ihm eng verwandten Typus 8 gilt. Allerdings fanden sich zwei Schalen (**Abb. 33,a–b = 123–124**) im oder auf dem Boden der Phase 1. Damit könnte für die beiden Schalen ein *terminus ad quem* für den Beginn der Phase 1 oder für das Ende der Phase 1 gegeben sein. Jedoch ist es auch möglich, daß die Fundlage im Boden ein *terminus ante quem* für den Typus

⁷⁶⁶ Vgl. o. Anm. 726.

darstellt. Auch das Beispiel **417**, eine KRS vom Typus 6 mit einer Bemalung der frühesten Tierfriesstil-Phase SiA Ia (hier vielleicht nicht all zu früh in der Stilphase einzuordnen) bestätigt eine frühe Produktion des Typus um 670/660–650 v. Chr. Statistisch nimmt der Typus 6 in der Phase 1 mit 13 % (Abb. 37) bereits eine bedeutende Rolle

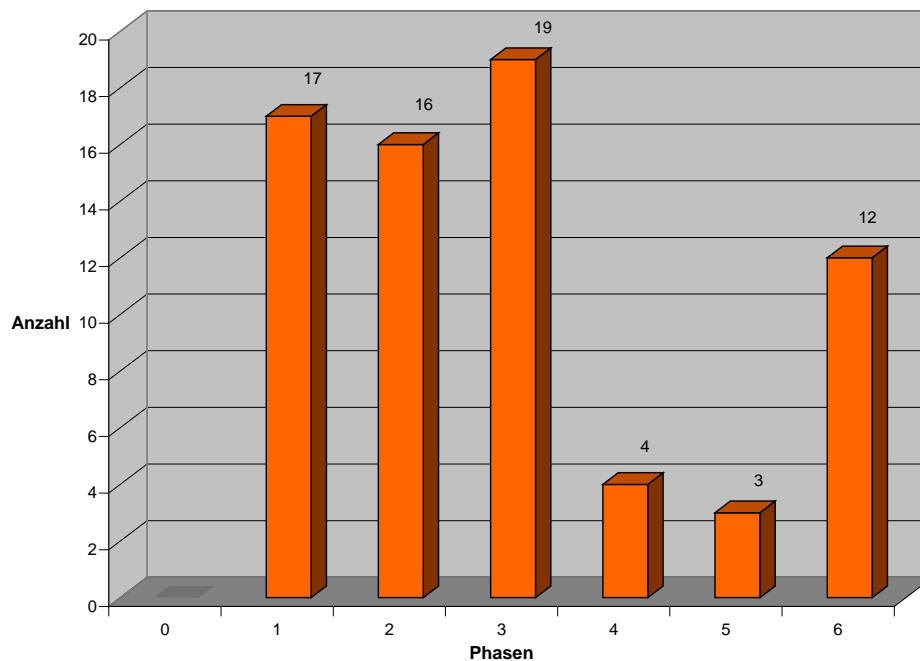


Abb. 77: Kalabaktepe-Süd, Verteilung der KRS des Typus 6 in den Siedlungsphasen.

ein. Dies läßt ebenfalls darauf schließen, daß der Typus 6 zu Beginn der Phase 1 bereits existierte. In Phase 2 hält der Typus mit 11 % (Abb. 43) in etwa seinen Anteil aus der Vorphase aufrecht, bevor sich in Phase 3 mit dem Absinken auf 8 % (Abb. 50) sein Ende ankündigt. In Phase 4 fällt sein Anteil drastisch auf unbedeutende 2 % (Abb. 58), was lediglich auf umgelagerte Stücke aus älteren Fundschichten hindeutet. Damit wird der Typus 6 trotz des Anstiegs der absoluten Zahl in Phase 3 (Abb. 77) bereits zum Ende der Phase 3 nicht mehr genutzt und vermutlich auch nicht mehr produziert worden sein. Daraus läßt sich die Laufzeit des Typus 6 zwischen spätestens 670/660 v. Chr. und 600/590 v. Chr. einordnen. Hinsichtlich seiner Varianten konnten folgende Hinweise gewonnen werden: Für Variante 6,1.Ba (**117**) ist als Fundlage lediglich die Auffüllung zur Phase 3, und damit eine Verlagerung spätestens aus der Nutzungszeit der Phase 2, vielleicht aber auch schon aus Phase 1 dokumentiert. Nicht viel aufschlußreicher sind die beiden Fundlagen der Variante 6,2.Baγ (**122**) in der Auffüllung für Phase 3 und deren Boden sowie die gleiche Variante 6,2.Ba ohne rote Bänder (**121**) in der Auffüllung für Phase 4. Dafür aber verweist die Malerei auf **417** die Variante 6,2.B schon in die Zeit um 660/650 v. Chr. Die frühesten Fundsituationen sind für die Variante 6,3.Ba im oder auf dem Boden der Phase 1 (**Abb. 33,a–b = 123–124**) sowie in der dritten Umbauphase der Siedlungsphase 1 (**128**), also spät in ihrer Nutzungsphase. Die Variante 6,4.Ba fand sich am Kalabaktepe-Süd nur mit einem Beispiel (**131**) in Phase 3, bzw. in einer Schutteinfüllung, deren Material während der Phase 2

oder 1 bereits benutzt worden sein könnte. Bestätigt wurde dies kürzlich mit dem Fund der KRS **130** derselben Variante 6,4.Bay mit roten Bändern im 630 v. Chr. geschlossenen Bothros⁷⁶⁷ im Aphrodite-Heiligtum auf dem nahen Zeytintepe. Die Variante 6,5.Ba wurde in der Auffüllung für Phase 3 aufgedeckt (**Abb. 41,c**). Zwei weitere Beispiele mit roten Bändern der Variante 6,5.Bay waren erneut in der Füllung des 630 v. Chr. versiegelten Bothros im Aphrodite-Heiligtum enthalten (**132–133**). Lediglich für die Variante 6,6.Ca ist kein stratigraphischer Hinweis bekannt geworden. Die Chronologie der Varianten des Typus 6 ist auf Grundlage der gegebenen Hinweise nur unzureichend zu rekonstruieren. Vor 630 v. Chr. waren mit Sicherheit bereits die Varianten 6,2–5.Ba in Benutzung. Für die Variante 6,1.Ba kann eine so frühe Nutzung nur aufgrund ihrer stilistischen Stellung innerhalb des Typus angenommen werden. Damit ergibt sich vorläufig folgendes Bild: Variante 6,1.B läßt sich von spätestens 650/640 bis 620/610 v. Chr. datieren, Variante 6,2.Ba von 660/650 bis 610/600 v. Chr., Variante 6,3 von 670/660 bis 630/620 v. Chr., Variante 6,4 von spätestens 640/630 bis 600/590 v. Chr. und Variante 6,5 von 640/630 bis 600/590 v. Chr. Die Variante 6,6.Ca gehört dann in etwa dem zweiten Viertel oder Drittel des 6. Jhs. v. Chr. an. Aufgrund des zu fordernden Anschlusses von Variante 6,6 an die vorherigen könnten einige Varianten des Typus 6 auch um eine ein oder zwei Jahrzehnte längere Laufzeit aufgewiesen haben, wofür die hohe absolute Zahl der Beispiele des Typus 6 in Phase 3 durchaus einen Rahmen bis ca. 580 v. Chr. zur Verfügung stellt.

Typus 7 stellt eine der quantitativ kleinsten Gruppen unter den KRS dar. Daher sollten die lediglich 4 % in der Siedlungsphase 1 auch nicht darüber hinwegtäuschen, daß der Typus bereits zu Beginn der Phase 1 am Kalabaktepe-Süd benutzt wurde. Auch wenn er in der Statistik zur Vorsiedlungsphase 0 noch nicht vertreten war, ist doch die Deponierung der KRS **Abb. 32,a (= 137)** in der Auffüllung oder dem Boden der Phase 1 ein eindeutiger Nachweis für eine Datierung spätestens mit Beginn der Phase 1 um 670 v. Chr. oder unmittelbar davor. Die Auswertung des Typus 7 ist im Vergleich zu den übrigen Typen schwieriger zu interpretieren. In **Abb. 78** scheint sich der Typus gleichmäßig auf die Siedlungsphasen zu verteilen. Lediglich in Phase 3 schnellte seine Anzahl hoch, um in Phase 4 wieder in etwa auf den Wert von Phase 2 abzusinken. Diese Zäsur am Übergang von Phase 3 zu Phase 4 findet sich auch im Vergleich der statistischen Auswertung der Anteile in den einzelnen Phasen wieder (**Abb. 37, 43, 50 und 78**). Wäre nicht die eindeutige Fundsituation von **Abb. 32,a (= 137)**, hätte die statistische Auswertung auf einen Beginn während der Siedlungsphase 1 oder zu ihrem Ende hin schließen lassen. Doch so ist die Laufzeit des Typus 7 von ca. 680/670 bis etwa 590/580 v. Chr. anzusetzen. Im Einzelnen lassen sich folgende Fundlagen den Varianten des Typus 7 zuordnen. Für Variante 7,1.B fand sich kein aussagekräftiger Kontext im Grabungsgebiet vom Kalabaktepe-Süd. Die Variante 7,2 hingegen konnte bereits in der Auffüllung zur Phase 1 oder deren Boden aufgedeckt werden **Abb. 32,a (= 137)**. Allerdings fehlen weitere Beispiele der Variante aus stratifizierten Befunden. Lediglich die Variante 7,3 ließ sich zweimal in der Auffüllung für Phase 2 (**Abb. 36,a**

⁷⁶⁷ Vgl. Anm. 726.

= **140, 143**) und einmal in der Auffüllung für Phase 3 (**Abb. 41,a**) nachweisen. Damit ist ihre Nutzung zumindest für die Phasen 1 und 2 bestätigt. Ähnliche Hinweise scheinen die beiden Fundsituationen

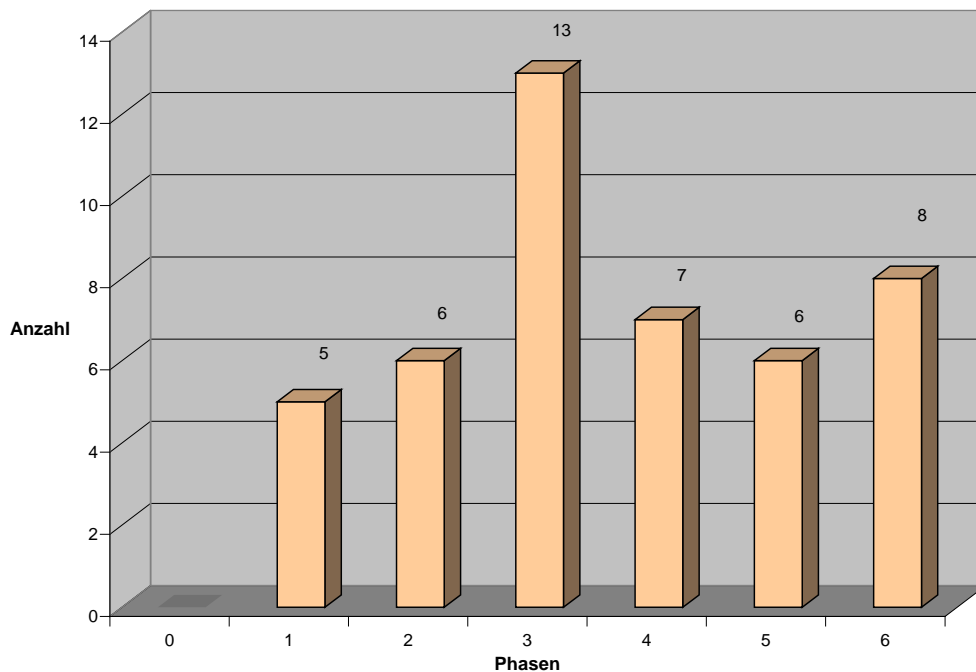


Abb. 78: Kalabaktepe-Süd, Verteilung der KRS des Typus 7 in den Siedlungsphasen

der Variante 7,4 zu geben, denn auch hier fand sich ein Beispiel in der Auffüllung zur Phase 2 (**Abb. 35,g**) und eines in Phase 3 (**145**). Für die Variante 7,5 ist mit **148** in der Auffüllung zur Phase 4 nur ein Hinweis auf deren Nutzungszeit gegeben. Allerdings ist der Befund, in dem sich **148** befunden hatte, nicht rein und enthält auch Schichten des Bodens der Phasen 2 und 3. Beispiele des Typus mit südionischer Gefäßmalerei fehlen dagegen, so daß hierdurch keine weitere Information für eine stilistische Einordnung des Formtypus und seiner Varianten zu gewinnen ist. Aus diesen wenigen Anhaltspunkten läßt sich in etwa folgendes chronologische Gerüst für die Varianten des Typus 7 darstellen: Variante 7,1.B datiert in den Zeitraum von 680/670 bis etwa 650/640 v. Chr., Variante 7,2.B von 680/670 bis etwa 640/630 v. Chr., Variante 7,3.B von spätestens 650/640 bis 620/610 v. Chr., Variante 7,4.B von 650/640 bis etwa 610/600 v. Chr. und Variante 7,5.B von 640/630 bis 590/580 v. Chr.

Aus keiner Fundlage am Kalabaktepe-Süd läßt sich für den **Typus 8** eine Nutzung bereits vor der ersten Siedlungsphase schließen. Die frühesten Beispiele (**152, 162**) bezeugen den Typus für die Nutzungszeit der Phase 1, und im Folgenden läßt sich ein stetiger Anstieg an Funden in die Siedlungsphase 3 beobachten (**Abb. 79**). Die stärkste Nutzung des Typus 8 scheint demnach in Phase 3 bestanden zu haben. Wird hingegen die Entwicklung des Typus nach seinen Anteilen innerhalb der Gattung in den einzelnen Phasen zur Interpretation herangezogen (**Abb. 37, 43 und 50**), ist die oben getroffene Aussage zu relativieren. Denn hier hat der Typus 8 seinen stärksten Anteil nicht

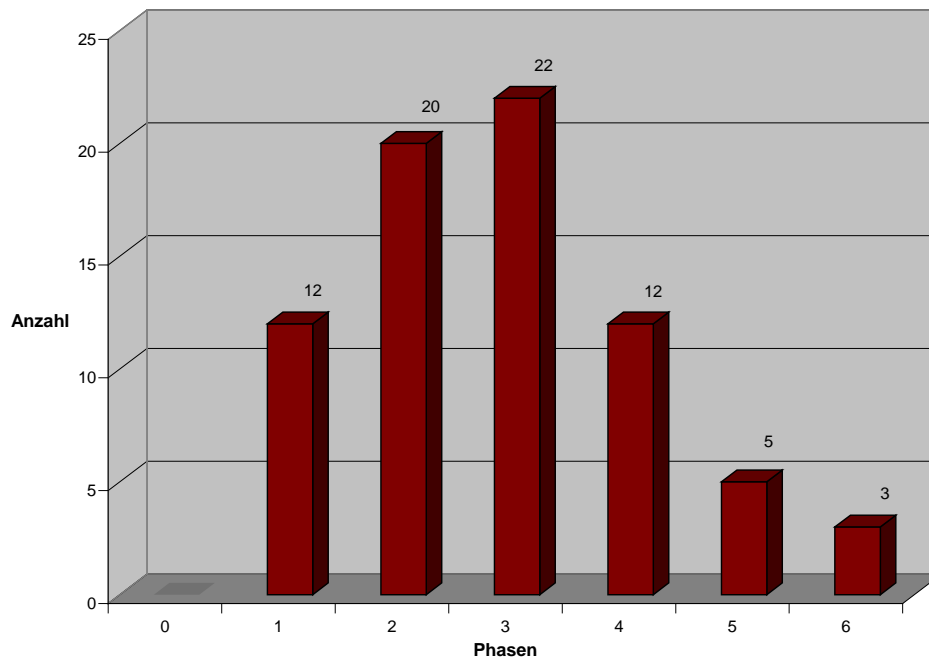


Abb. 79: Kalabaktepe-Süd, Verteilung der KRS des Typus 8 in den Siedlungsphasen

im Verlauf der Phase 3, sondern während Phase 2. Unabhängig davon ist sowohl in Abb. 79, als auch im Vergleich von Abb. 50 und Abb. 58 das Ende des Typus 8 im Verlauf von Phase 4 anzunehmen. Der durch die statistische Analyse auf Grundlage der Stratigraphie am Kalabaktepe-Süd aufgespannte Zeitrahmen wird durch die bemalten Beispiele des Typus 8 in Milet und Samos bestätigt. Die ältesten Exemplare des Typus sind mit Dekoren des frühen Tierfriesstils der Stilphase SiA Ia, bzw. subgeometrischem Dekor geschmückt (418–420). Diese lassen eine Fertigung spätestens um 660/650 v. Chr. annehmen. Eine weitere unabhängige Datierung erfährt der Typus durch die Deponierung teils vollständiger Beispiele des Typus 8 (164–165) und weiterer Fragmente im kürzlich entdeckten, um 630 v. Chr. versiegelten Bothros im Aphrodite-Heiligtum auf dem Zeyintepe⁷⁶⁸. Damit ist der Typus unabhängig von der Stratigraphie am Kalabaktepe bis wenigstens 640/630 v. Chr. zusätzlich gesichert. Die jüngsten Dekore bezeugen bereits die Spätphase des Tierfriesstils SiA Id, wenn nicht gar den Beginn der neuen Stilstufe MileA II, den Beginn des sog. Fikellurastils (422). Daraus kann für die Laufzeit des Typus 8 geschlossen werden, daß er während der Siedlungsphase 1, also vermutlich um 660/650 v. Chr., in den Haushalten am Kalabaktepe-Süd Einzug hielt. Bis ca. 590/580 v. Chr. blieb der Typus 8 am Südhang des Kalabaktepe beliebt. Dies dürfte auch die Produktionszeit der KRS vom Typus 8 beschreiben. Was die Varianten des Typus 8 betrifft, so ließen sich für diese folgende Datierungshilfen finden: Die früheste Fundlage der Variante 8,1.B ist die Auffüllung zur Phase 2 (152, Abb. 35,e = 159), damit stammen ihre Vertreter sicher aus der Nutzungsphase 1. Darüber hinaus fanden sich ein Beispiel in der Auffüllung zur Phase 3 (157) und ein Fragment in der Auffüllung zur Phase 4 (151). Für die Variante 8,1,B kann nur eine bemalte KRS

⁷⁶⁸ Vgl. Anm. 726.

(421) angeführt werden. Diese stammt aus dem Hera-Heiligtum auf Samos und trägt eine Bemalung der Stilphase SiA Ic. Vom Tierfries auf der Schulter ist allerdings nur der Rest eines hängenden Dreiecks erhalten (421), was ebenso wie die Winkelhakenreihe auf dem Rand auch eine alternative Datierung in die Stilphase SiA Id erlauben würde. Mit dem Randfragment (421) ist das Fortbestehen der Variante bis etwa 630–610 v. Chr. oder etwas darüber hinaus gesichert. Auf etwa denselben Zeitraum verteilen sich die KRS der Variante 8,2.B in der Stratigraphie. Die frühesten Fundsituationen haben die Beispiele **162**, **166** und **Abb. 36,b** (= **419**). Sie belegen eine Nutzung der Variante 8,2.B für die Phase 1. Auch in der Auffüllung zur Phase 3 fanden sich zwei Beispiele (**Abb. 41,d,f** = **164–165**). Zwei vollständige Stücke der Variante 8,2.B stammen zudem aus dem um 630 v. Chr. geschlossenen Bothros⁷⁶⁹ im Aphrodite-Heiligtum von Oikus. Den weitesten chronologischen Rahmen erhält die Variante 8,2.B und damit gleichsam der Typus 8 durch die subgeometrischen, im frühen Tierfriesstil bemalten Exemplare (**418**, **Abb. 36,b** = **419**, **420**) bis hin zu solchen, die im späten Tierfriesstil (SiA Id) oder schon frühen Fikellurastil (MileA Ila) dekoriert sind (**422**). Von einem der frühesten Beispiele des Typus 8 der Variante 8,2.B mit subgeometrischer Bemalung (**418**) fand sich lediglich ein Fragment in der späten Fundlage der Auffüllung für Phase 5. Damit handelt es sich zweifellos um ein verlagertes Fragment. Wie häufig **418** verlagert wurde, bevor es in seine gut 100 Jahre spätere endgültige Deponierung in der Auffüllung zur Siedlungsphase 5 geriet, läßt sich nicht mehr rekonstruieren. Doch zeigt dieses Beispiel eindrucksvoll, wie weit Fragmente aus ihren ursprünglichen Zusammenhängen herausgelöst werden können. Desweiteren wurde das Fragment **419** in der Auffüllung für Phase 2 bzw. deren Boden entdeckt. Dieses noch vor den Ende der Phase 1 genutzte Gefäß wurde gegen Ende der Phase 1 deponiert und danach nicht mehr verlagert.

Eine weitere Statistik wurde zu den Beispielen des Typus 8 mit und ohne Dekorvariante γ – also mit und ohne polychromen Bänderdekor – erstellt. In Abb. 79.1 ist die jeweilige Anzahl der KRS des Typus mit roten oder/und weiß-rot-weißen Bändern auf dem schwarzen Firnis ausgewertet. Demnach sind die bisher frühesten Hinweise auf diese Dekorvariante bereits für die Phase 1 – den Zeitraum von 660 v. Chr. bis 640 v. Chr. – gegeben. Lediglich die KRS **122** des eng verwandten Typus 6 lieferte bisher mit der Auffüllung zur Phase 3 einen frühen Nachweis für die Dekorvariante γ , der vor 610 v. Chr. lag. Daneben bestätig der um 630 v. Chr. geschlossene Bothros im Aphrodite-Heiligtum auf dem nahen Zeytintepe⁷⁷⁰ mit weiteren Beispielen des Typus 6 (**130**, **132–133**) und Typus 8 (**168–169**) auch unabhängig von der Stratigraphie des Kalabaktepe die Dekorvariante γ mit roten oder weiß-rot-weißen Bändern für die Zeit spätestens um 640/630 v. Chr. In der Siedlungsphase 2 scheinen rote und weiß-rot-weiße Bänder sich größter Beliebtheit erfreut zu haben. In Phase 3 nimmt ihre Anzahl leicht ab. In Phase 4 ist die Zahl noch immer relativ hoch, doch wird der Typus 8 hier bereits nicht mehr produziert und genutzt worden sein. Er liefert mithin keine Informationen zur Dekorvariante

⁷⁶⁹ Vgl. Anm. 726.

⁷⁷⁰ Vgl. Anm. 726.

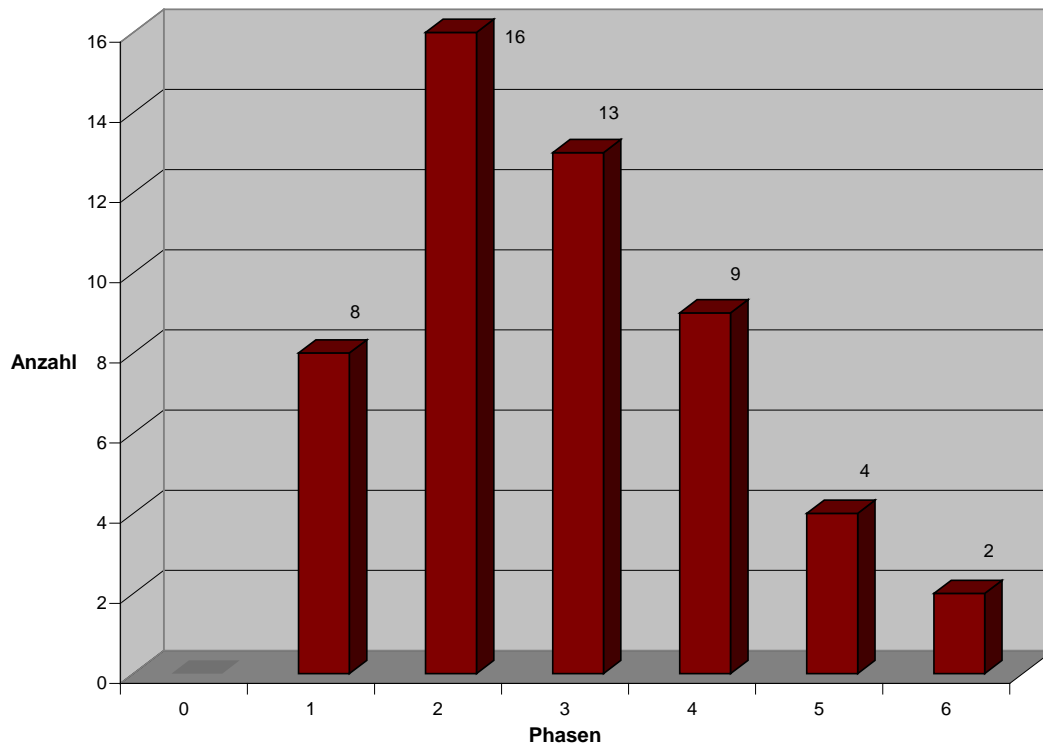


Abb. 79.1: Kalabaktepe-Süd, Verteilung der KRS des Typus 8 mit der Dekorvariante γ mit roten oder weiß-rot-weißen Bändern in den Siedlungsphasen

über die Siedlungsphase 3 hinaus. Denn von Phase 4 an wurden bei den Ausgrabungen ausnahmslos umgelagerte Beispiele aus früheren Zusammenhängen angetroffen. Dies bestätigt wohl auch der Vergleich mit Abb. 79.2. In diesem Diagramm sind die KRS des Typus 8 mit dem einfachen Dekor a in absoluter Anzahl in die Spalten der einzelnen Siedlungsphasen aufgetragen worden. Dieser Vergleich bestätigt, daß die einfache Dekorvariante a gleichzeitig mit der Dekorvariante γ existierte. Die hohen Anzahlen in Phase 1 und 3 lassen die relative niedrige Anzahl in Phase 2 als zufällig erscheinen. Dagegen ist die gleich hohe Anzahl in Phase 4 bereits anders zu beurteilen. Hier hat der Typus 8 auch mit der Dekorvariante a bereits an Bedeutung verloren. Warum allerdings lediglich der Typus 8 als einziger unter den KRS so früh farbige Banddekorationen aufweist, läßt sich nicht zufriedenstellend beantworten. Eine Übernahme durch die gleichzeitigen Typen 4, 5 und besonders 6 wäre zu erwarten gewesen. Die naturwissenschaftliche Untersuchung von Beispielen des Typus 8 – sowohl mit, als auch ohne Dekorvariante γ – hat eine bisher unlokalisierte eigenständige chemische Herkunftsgruppe Ulo4 (Mommssen) ergeben, der sich bislang lediglich ein Beispiel des Typus 5 ohne polychrome Dekorbänder anschließen ließ. Damit kann zur Zeit nicht sicher auf die Eigenart eines möglicherweise anderen Produktionsortes verwiesen werden. Dennoch ist eine spezielle Töpferei bzw. eine spezielle Werkstatt anzunehmen, die die Schalen des Typus 8 herstellte und mit der Dekorvariante γ bemalte. Darauf läßt auch ihre Exportverteilung schließen. Denn kein Beispiel des Typus 8 ist bisher etwa an der West- oder Nordküste des Schwarzen Meeres aufgedeckt worden,

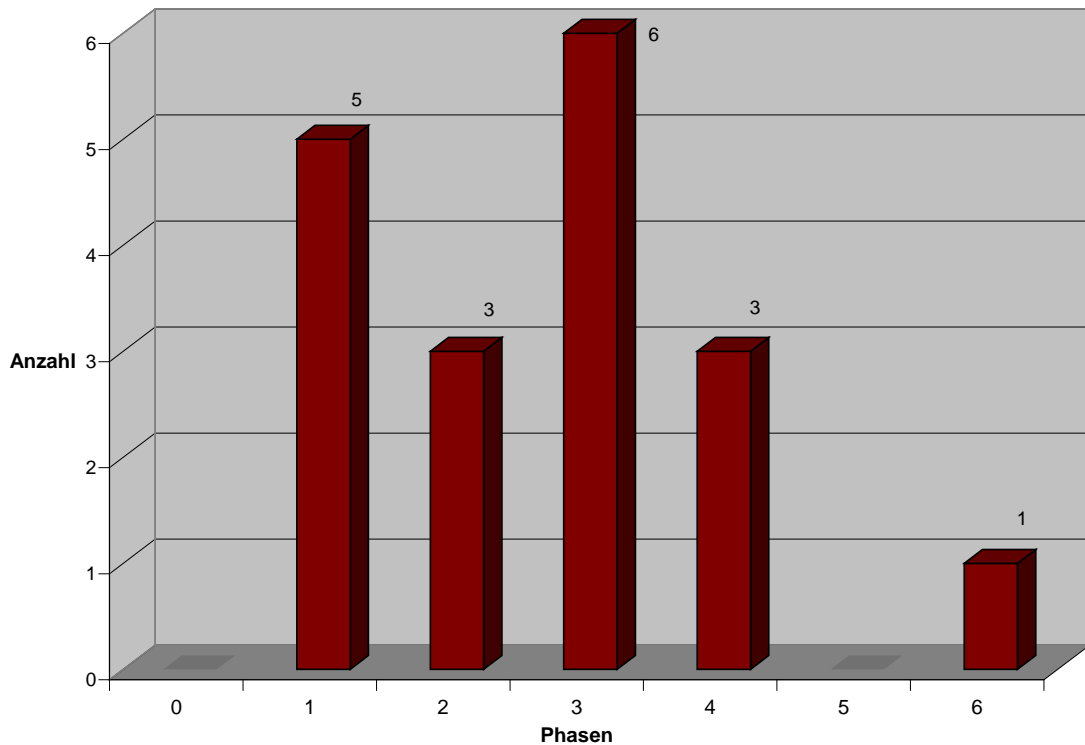


Abb. 79.2: Kalabaktepe-Süd, Verteilung der KRS des Typus 8 mit einfacher Dekorvariante a ohne rote oder weiß-rot-weiße Bänder in den Siedlungsphasen

obgleich der Typus 5 aus den gleichen Werkstätten (Ulo4) bis in die nordöstlichste Fundstelle des Nordpontos, nach Taganrog am Asovschen Meer, gelangte⁷⁷¹. Vermutlich war aber auch diese Werkstätte in Südionien beheimatet gewesen.

Die Varianten des Typus 8 lassen sich vorläufig in folgendes Schema ordnen: Die frühesten Nachweise der Variante 8,1.B stammen – im Gegensatz zur Annahme, daß die konkaven Ränder typologisch älter als die geraden Ränder seien – aus den Auffüllungen zur Phase 2. Auch die bemalten Beispiele bezeugen die Formvariante 8,1 lediglich mit Dekoren der Stilphase SiA Ic. Vielleicht muß daraus geschlossen werden, daß die Variante 8,1.B etwas jünger ist als die Variante 8,2.B. Demnach wäre für Variante 8,1.B vorläufig ein Zeitrahmen von 650/640 bis 610–600 v. Chr. zu schlußfolgern, für Variante 8,2.B von 660/650 bis 590/580 v. Chr. Die Dekorvarianten ay mit und a ohne rote oder weiß-rot-weiße Bänder beginnen vermutlich gleichzeitig.

Typus 9 ist mit nur sehr wenigen Beispielen in die Stratigraphie am Kalabaktepe-Süd eingebunden. Mehr noch als die Typen 10 und 11 zählt er zu den spät entwickelten KRS und ist in seiner Laufzeit wohl ausschließlich auf das 6. Jh. v. Chr. beschränkt. Wesentlich ist zunächst der erstmalige Nachweis des Typus in Siedlungsphase 3 (Abb. 80). Durch die drei Stücke ist ein *terminus ante quem* für Typus 9 gegeben. Phase 3 datiert in den Zeitraum von 610 bis 580 v. Chr. Somit sollten die ältesten Beispiele des Typus 9 vor 580 v. Chr. im Kontext der Siedlung bereits benutzt worden sein. Eine Produktion

⁷⁷¹ Vgl. S. 305 mit Anm. 918 f.

schon zu Beginn der Phase 3 dürfte aber auszuschließen sein. Denn der Nachweis des Typus innerhalb des Typenspektrums der Phase 3 (Abb. 50) ist – auch im Vergleich der absoluten Zahlen zwischen Phase 3 und 4 (Abb. 80) – zu gering. Vor 600/590 v. Chr. wird demnach der Typus 9 nicht aufgekomen sein. Als untere Grenze kann dagegen das Ende der Siedlungstätigkeit am Kalabaktepe-Süd angeführt werden. Die zahlreichen bemalten Exemplare der verschiedenen Varianten des Typus 9 sind frühestens

mit Dekoren der Stilphase MileA IIa versehen, die auch auf der Bilingue **423** bezeugt ist. Diese ist noch überwiegend der letzten Tierfriesstil-Phase MileA Id verpflichtet und somit chronologisch eng an diese zu binden. Nichtsdestoweniger sind die jüngsten Stilelemente

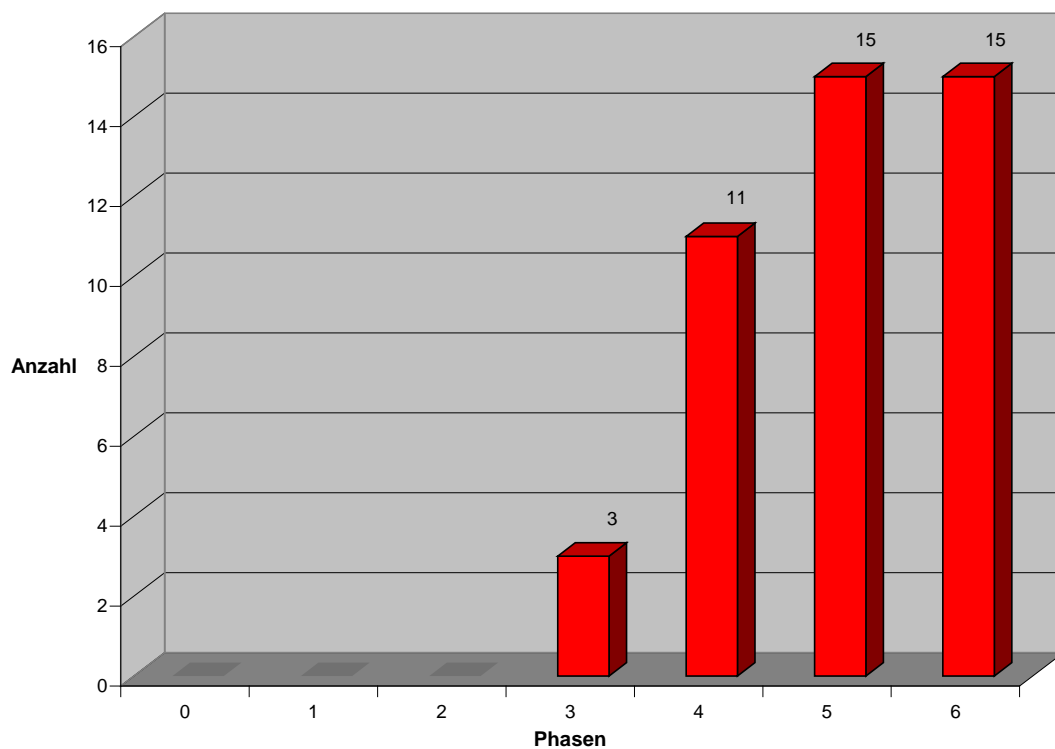


Abb. 80: Kalabaktepe-Süd, Verteilung der KRS des Typus 9 in den Siedlungsphasen

eindeutig bereits als MileA IIa zu bewerten. Die KRS **423** stützt somit den Datierungsansatz spätestens ab 590/580 v. Chr. für den Schalentypus. Nicht nur stilistisch läßt sich mit **423** argumentieren – auch sein Fundkontext legt die frühe Datierung nahe. Allerdings kann dieser Kontext, wie fast alle Befunde im Aphrodite-Heiligtum auf dem Zeyintepe, lediglich durch die Funde selbst, und hier vor allem durch die korinthische Importkeramik, datiert werden. Einige Fragmente der KRS stammen aus den Befunden Z 94.163, Z 94.170 und Z 94.178, die zu einer Gruben- bzw. Bothrosfüllung des 7. bis frühen 6. Jhs. v. Chr. gehören. Zum Zeitpunkt der Verfüllung dieser Grube oder dieses Bothros muß die KRS **423** bereits zerbrochen gewesen sein, da nur Teile von ihr eingelagert wurden. Mit dieser Deponierungsgeschichte ist eine Datierung der KRS **423** nach 590/580 v. Chr. sehr unwahrscheinlich. Hier ist eine exaktere Bestimmung der drei bereits in Siedlungsphase 3 benutzten KRS des Typus 9 sehr aufschlußreich, doch ließen sie sich nicht alle

hinsichtlich ihrer Variante exakt bestimmen. Eines der drei Beispiele (**Abb. 48,d**), das bereits während der Siedlungsphase 3 in Benutzung gewesen sein muß, läßt sich als Variante 9,1.B/C klassifizieren. Es stammt aus der Auffüllung zur Phase 4 oder vielleicht aus deren Boden. Vermutlich sind alle drei Gefäße als Variante 9,1.B/C oder 9,2.B/C zu klassifizieren. Auch die frühe, vor 580/590 v. Chr. zu datierende bemalte KRS **423** vertritt die Variante 9,1.C. Darüber hinaus konnten die Variante 9,1 (**Abb. 49,a**) in Phase 4 und Variante 9,1.B (**Abb. 60,c = 174**) im Boden der Siedlungsphase 5 nachgewiesen werden. **Abb. 60,c (= 174)** hat sich recht vollständig vom Fuß bis zur Mündung erhalten und dürfte daher nicht häufig umgelagert worden sein. Damit gehörte sie sicher schon der Nutzungsphase 4 oder einer früheren Phase an, die einen Zeitansatz spätestens zwischen 580 und 550 v. Chr. vorgibt. Vermutlich zur gleichen Nutzungsphase 4, aber bereits aus dieser in eine spätere Deponierung verschleppt, gehörte das Fragment **Abb. 63,a**. Die Deponierung in der Auffüllung oder im Boden für die erste Umbauphase a in der Siedlungsphase 5 läßt sich nach 550 v. Chr., vielleicht um 540/530 v. Chr., datieren. Noch spätere Fundsituationen fanden sich für weitere Beispiele der Varianten 9,1.B/C. Bei ihnen wird es sich um aus älteren Zusammenhängen verlagerte Beispiele handeln. Zu diesen gehört das in einer nacharchaischen Störung gefundene Fragment **425** der Variante 9,1.C mit einer Bemalung aus dem Umkreis des Altenburg-Malers. Dieser Gefäßmaler wurde bislang nicht vor 550 v. Chr. datiert. Doch muß er nach den in dieser Arbeit angeführten Argumenten wohl früher datiert werden. Damit ist durch **425** die Variante 9,1.C erneut vor 570/560 v. Chr. anzunehmen. Der früheste Nachweis der Variante 9,2.C (**187**) könnte für die Nutzungsphase 5 gelungen sein, mithin zwischen 550 und 520 v. Chr. Allerdings ist die Variante bestimmt älter. Dagegen fand sich **199**, die der Variante 9,3.C angehört, erst im Boden der Phase 6, womit sie um 520 v. Chr. dort eingelagert wurde und mindestens in die Zeit der Phase 5 zwischen 550 und 520 v. Chr. gehört. Weitere Beispiele der Varianten 9,1–3, aber auch der Varianten 9,4.C–D lassen sich aufgrund ihres Dekors einigermaßen sicher im 6. Jh. v. Chr. fixieren. Damit sollte der Beginn der Variante 9,1. □ und vielleicht auch der Variante 9,1.C – um ca. 600/590 v. Chr. vorläufig festgehalten werden. Vermutlich war die Variante 9,1 um 550/540 v. Chr. bereits ausgelaufen. Die Variante 9,2 wird aller Wahrscheinlichkeit nach schon in der ersten Hälfte des 6. Jhs. v. Chr. produziert worden sein, was sich aber nicht durch eine Fundlage in der Stratigraphie am Kalabaktepe belegen läßt, sondern nur durch den Formenvergleich mit attischen Komastenschalen angenommen werden kann⁷⁷². Ebenso ist es schwierig, die Varianten 9,3.C/D zu datieren. Die Variante 9,4 besonders die flache Variante 9,4.D stammt vermutlich erst aus der zweiten Hälfte des 6. Jhs. v. Chr.

Neben dem Typus 9 ist auch der **Typus 10** eine späte Entwicklung der KRS. Allerdings setzt sein Beginn bereits während der Siedlungsphase 2 am Ende des 7. Jhs. v. Chr. ein. Aufgrund seiner geringen Anzahl in Phase 2 (**Abb. 81**) und seines geringen Anteils im Verhältnis zu den anderen

⁷⁷² Brijder 1983, 96, **Abb. 24** (Datierung S. 99 f.)

Typen (Abb. 43) wird die Produktion und Nutzung frühestens um die Mitte oder gegen Ende der Phase 2 eingesetzt haben. Auch in dem bereits mehrfach erwähnten, um 630 v. Chr. geschlossenen

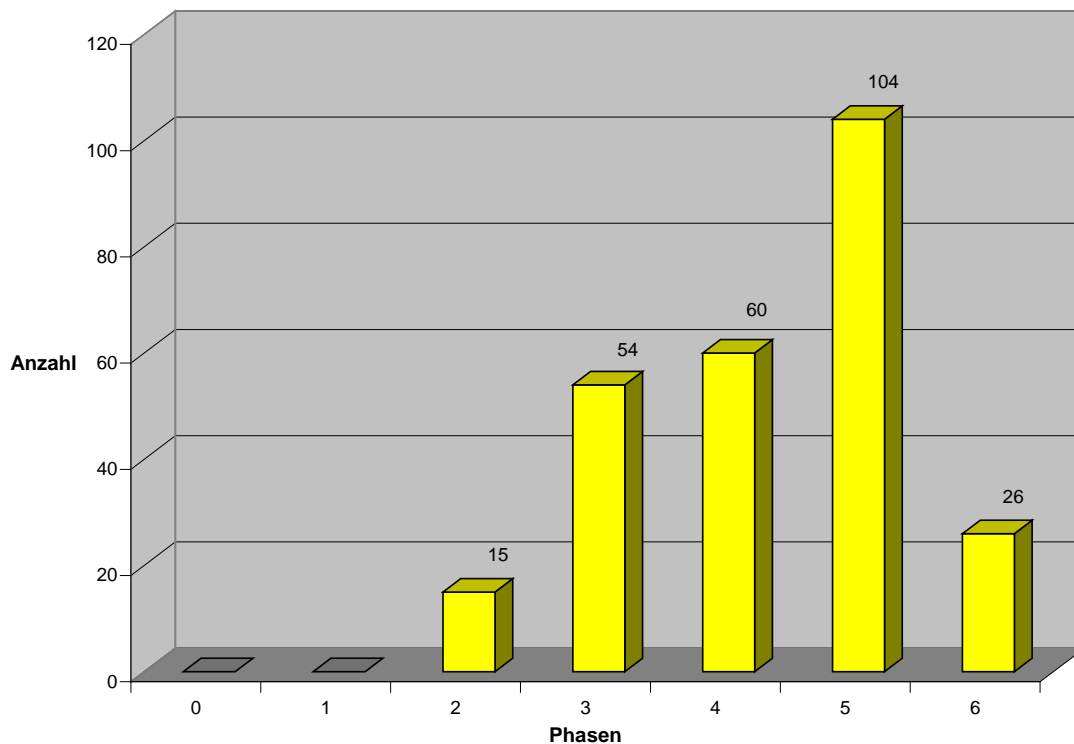


Abb. 81: Kalabaktepe-Süd, Verteilung der KRS des Typus 10 in den Siedlungsphasen

Bothros im Aphrodite-Heiligtum⁷⁷³ auf dem Zeytintepe war noch kein Beispiel des Typus 10 enthalten, obwohl sich der Typus 10 vielfach in anderen Zusammenhängen im Heiligtum nachweisen ließ. Er ist somit sicher erst nach 630 v. Chr. entwickelt worden. Inwieweit die starke Zäsur am Übergang von Phase 5 zur Phase 6 (Abb. 81 und der Vergleich von Abb. 68 und Abb. 71) das Ende seiner Produktion in der letzten archaischen Siedlungsphase am Kalabaktepe oder nur eine geringere Nutzung während dieser Phase anzeigt, läßt sich nicht sicher entscheiden. Sollte die Produktion tatsächlich hier ausgelaufen sein, hätte der Typus 10 in etwa eine Laufzeit von 620/610 bis ca. 520/510 v. Chr. Dieser chronologische Ansatz wird durch die Stilstufen und -phasen bestätigt, in denen milesische Maler die KRS des Typus 10 verzierten. Die ältesten Beispiele (430–434) lassen sich dem späten Tierfriesstil der Phasen SiA Ic–d zuordnen. Aufgrund ihrer Fragmentgröße ist eine nähere Klassifizierung nicht möglich. Vermutlich gehören sie überwiegend, wenn nicht ausschließlich, der spätesten Stilphase SiA Id an, wie auch 435–437. Es läßt sich vorläufig nicht sicher feststellen, ob die Stilphase SiA Ic und der Typus 10 tatsächlich noch für kurze Zeit parallel existierten. Lediglich aufgrund der vermuteten Laufzeiten sowohl des Malstils als auch der Formgruppe Typus 10 ist anzunehmen, daß sie sich knapp überlappten. Für SiA Ic wurde als untere Grenze ca. 610 v. Chr. ermittelt, für den Typus 10 kann der Beginn um 620/610 v. Chr. angenommen werden. Der Typus 10

⁷⁷³ Vgl. Anm. 726.

weist auch nach der letzten Phase des Tierfriesstils (SiA Id) durchgehend – von den Bilinguen (438–440) bis zu den fortgeschrittenen Bemalungen (450–478) – Malerei der Stilstufe MileA II auf, die wohl bis in die zweite Hälfte des 6. Jhs. v. Chr. hinabreicht. Zu den Varianten ließen sich folgende Angaben ermitteln: Es fanden sich nur wenige Beispiele für die Variante 10,1.B–C am Kalabaktepe-Süd in datierungsrelevanten stratigraphischen Befunden. Von den beiden einzigen Exemplaren (Abb. 63,e und 221) ist Abb. 63,e nicht sicher als Variante 10,1 oder 10,2 zu klassifizieren. Zudem waren beide Beispiele der Varianten 10,1.B–C umgelagert in einen Kontext der Umbauphase 5a und in die Auffüllung zur nacharchaischen Wiederbesiedlungsphase 7. Doch machen die drei Bilingenschalen mit Bemalung der milesischen Stilphase MileA IIa deutlich, daß die Variante 10,1,B (438–440) bereits um 590/580 v. Chr. produziert wurde. Für die Variante 10,2.B konnten hingegen etliche Fundsituationen in der Siedlungsabfolge am Kalabaktepe-Süd gesichert werden. Die frühesten (Abb. 46,c,f) sind bereits in Phase 2 oder 3 genutzt worden. Es ist nicht sicher, ob sie dem Boden der Phase 3 oder der Auffüllung zur Phase 4 angehörten. Das Produktionsende der Variante ist dagegen schwer zu bestimmen. Allein sechs der hier abgebildeten Exemplare der Variante 10,2.B gehören verschiedenen Fundkontexten der Siedlungsphase 4 (Abb. 53,b–c, Abb. 55,d–e) oder der Auffüllung zur Phase 5 (233; Abb. 56,e) an; immerhin noch zwei Stücke stammen aus dem Boden der Phase 5 (Abb. 59,f, Abb. 60,f); achtmal wurde die Variante 10,2.B in der Phase 5 (232, Abb. 62,b) und der Auffüllung zur Phase 6 (226, 230, Abb. 64,f–g, Abb. 65-1,b, Abb. 67,c) angetroffen. Ob die Variante 10,2.B in der zweiten Hälfte des 6. Jhs. v. Chr. noch benutzt wurde, oder ob sie durch Umlagerungen in Kontexte der Phase 5 gelangte, ist kaum zu entscheiden. Offenkundig wurde die Variante 10,2 nicht von den Gefäßmalern herangezogen, so daß sich hieraus kein weiterer chronologischer Hinweis gewinnen ließ. Lediglich der Vergleich mit den etwa zur gleichen Zeit einsetzenden Varianten 10,3–4.B, für die mehr Daten vorliegen, läßt eine Begrenzung der Laufzeit bis etwa in die Mitte des 6. Jhs. v. Chr. vermuten. Die Variante 10,3.B wurde zweimal im Boden der Phase 4 (Abb. 51,e–f)⁷⁷⁴ und einmal in der Auffüllung für Phase 6 (Abb. 65-2,o) angetroffen. Während eine Deponierung im Boden der Phase 4 um 580 v. Chr. sehr wohl möglich erscheint, handelt es sich bei dem Beispiel aus der um 520 v. Chr. erfolgten Aufschüttung zur Phase 6 sicher um ein umgelagertes Fragment. Denn sechs Beispiele der Variante 10,3 lassen aufgrund ihrer Bemalung eine Laufzeit vom letzten Viertel des 7. Jhs. v. Chr. bis in das zweite Viertel des 6. Jhs. v. Chr. erschließen. Dabei handelt es sich um die KRS 431 sowie 433–435 der Stilphasen SiA Ic–d und die KRS 449 und 450, die bereits der Stilstufe MileA II angehören. Ein in den alten Grabungen des sog. Südschnitts in Milet erschlossenes Datum für den Fundkontext von 242 scheint den Produktionsbeginn der Variante 10,3.B bereits gegen Ende des 7. Jhs. v. Chr. zusätzlich zu stützen. Eine ähnliche chronologische Sequenz läßt sich für die Variante 10,4.B rekonstruieren. Einige Beispiele dieser Variante stammen aus etwas früheren Fundsituationen als Variante 10,3: aus dem Boden der Phase 3

⁷⁷⁴ Abb. 51,f könnte auch Variante 10,5 darstellen.

oder Auffüllung für Phase 4 (**Abb. 46,d**), aus der Auffüllung für Phase 4 (**Abb. 47,k**), sowie aus der Auffüllung für Phase 4 oder deren Boden (**Abb. 48,h = 437**). Damit ist zumindest für Phase 3 eine Nutzung der Variante 10,4.B nachgewiesen. Zusätzlich lassen sich der Boden der Phase 5 (**Abb. 60,g**) und die Auffüllung für Phase 6 (**Abb. 64,e**) anführen. Doch wird zumindest die letzte Deponierung bereits sekundär erfolgt sein. Die so aufgespannte Laufzeit kann mit sieben dekorierten KRS der Variante 10,4 geprüft werden. Zwei Beispiele der Stilphasen SiA Ic–d (**430, 432**), zwei weitere der Stilphase SiA Id (**436–437 = Abb. 48,h**) sowie drei Exemplare der Stilphase MileA II (**441–443**)⁷⁷⁵ konnten als KRS der Variante 10,4.B bestimmt werden. Dies läßt auf eine Laufzeit von ca. 620/610 v. Chr. bis etwa 570/560 v. Chr. schließen. Die Variante 10,5 wurde von den milesischen Gefäßmalern nicht bemalt, und darüber hinaus fanden sich auch nur wenige Anhaltspunkte in stratigraphischen Kontexten. Die Variante 10,5.B war im Boden der Phase 4 (**Abb. 51,f**)⁷⁷⁶ und zweimal in der Auffüllung zur Phase 6 eingelagert. Die nicht eindeutige Variante 10,5.B–C (**Abb. 60,e**) fand sich im Boden der Phase 5, und Variante 10,5.C ließ sich einmal in der Auffüllung zur Phase 5 (**256**) und einmal in der ersten Umbauphase der Phase 5 (**Abb. 63,b,e**) nachweisen. Daraus kann für die tiefere Variante 10,5.B vermutlich ein Produktionsbeginn am Ende des 7. Jhs. v. Chr. und ein etwas späterer für die flachere Variante 10,5.C abgeleitet werden. Für die Varianten 10,6–9 liegen nur sehr wenige Datierungshinweise vor, und auch Bemalungen in den südionisch-milesischen Stilphasen fehlen unter ihren Exemplaren vollständig. Verhältnismäßig früh sind die beiden Hinweise für die Variante 10,6.B aus der Auffüllung zur Phase 4 (**Abb. 46,e**) und der ersten Umbauphase a in Siedlungsphase 4 (**Abb. 55,d**). Möglicherweise lag **Abb. 46,e** auch im Boden der Phase 3, womit die Variante 10,6.B bis in Phase 2 zurückreichen könnte. Sicher aber ist sie spätestens für Phase 3 und den Beginn der Phase 4 bezeugt. Zudem können für die Variante 10,6.C noch die Fundsituation im Boden der Phase 4 und die recht unsicheren Kontexte vom Zeytintepe herangezogen werden, die einmal auf die erste Hälfte (**264**) und zweimal auf das dritte Viertel des 6. Jhs. v. Chr. (**262–263**) hinweisen. Alles in allem scheint die Laufzeit der Variante 10,6 vor allem die erste Hälfte des 6. Jhs. v. Chr. mit den Siedlungsphasen 3 und 4 umfaßt zu haben, wobei die tiefere Variante B durchaus etwas früher – am Ende des 7. Jhs. v. Chr. – begonnen haben sollte. Die Variante 10,7.C konnte durch die Auswertung der Stratigraphie am Kalabaktepe-Süd lediglich für die Auffüllung zur Phase 4 (**Abb. 46,b**) und die Auffüllung zur Phase 5 (**Abb. 56,b**) nachgewiesen werden. Die vier Beispiele aus dem Heiligtum der Aphrodite von Oikus auf dem Zeytintepe deuten auf die zweite Hälfte des 6. Jhs. v. Chr., was aber nur eine geringe Aussagekraft hat. Ähnlich wie bei Variante 10,6 könnte **Abb. 46,b** bereits im Boden der Phase 3 enthalten gewesen sein. Sicher scheint für die Variante 10,7.C lediglich ihr Nachweis für die erste Hälfte des 6. Jhs. v. Chr., womit sie vermutlich eine ähnliche Laufzeit wie die Variante 10,6.C hatte. Auch die Variante 10,8.C könnte durch ihren frühesten stratigraphischen Hinweis im Boden der Phase 3 oder der Auffüllung für

⁷⁷⁵ **441** könnte auch Variante 11,3.B darstellen.

⁷⁷⁶ **Abb. 51,f** könnte auch die Variante 10,3 beschreiben.

Phase 4 (**Abb. 46,a = 273**) bereits am Ende des 7. Jhs. v. Chr. produziert worden sein. Die weiteren Belege sind für die zweite Umbauphase b in der Siedlungsphase 5 (**Abb. 63,f-h**) gegeben. Darüber hinaus konnte der Typus achtmal im Aphrodite-Heiligtum in vage datierten Kontexten des dritten Viertels des 6. Jhs. v. Chr. beobachtet werden (**275–281**). Insgesamt wird die Variante 10,8.C somit noch über die Mitte des 6. Jhs. v. Chr. hinaus benutzt worden sein. Lediglich der Boden der Siedlungsphase 4 (**Abb. 46,b**) ist für die Variante 10,9.C am Kalabaktepe-Süd bezeugt. Aber erneut fanden sich acht Beispiele der Variante (**282–289**) in den weniger abgesicherten Fundlagen des Aphrodite-Heiligtums auf dem Zeytintepe, die in das dritte Viertel des 6. Jhs. v. Chr. datiert wurden. Für Variante 10,10.C fehlt schließlich jeglicher stratigraphischer Beleg am Kalabaktepe-Süd. Wieder ist es das Heiligtum der Aphrodite von Oikus, das zwei datierte Befunde liefert, in denen Beispiele der Variante 10,10 enthalten waren. Der *in situ* angetroffene Heiligtumsschutt aus der Mitte bis zweiten Hälfte des 6. Jhs. v. Chr., in dem **298** geborgen wurde, scheint dabei wahrscheinlicher als der Befund von **452**, der in das 7. Jh. bis erste Viertel des 6. Jhs. v. Chr. datiert wurde. Letzterer Befund soll aber durch die Baumwurzeln gestört gewesen sein, durch die vielleicht einzelne Fragmente hierher verschoben wurden. Drei Beispiele der Variante weisen einen Dekor der Stilstufe MileA II (Fikellurastil) auf. Der Dekor der tieferen Variante 10,10.B (**448**) ist als Stilphase MileA IIa zu klassifizieren, während zwei Exemplare der flacheren Variante 10,10.C (**451–452**) als weiterentwickelte Dekorvarianten der Stilphase MileA IIb zu bestimmen sind. Damit umfaßt die Laufzeit der Variante vermutlich das zweite und dritte Viertel des 6. Jhs. v. Chr. Die Varianten 10,11–13 dürften die spätesten Varianten innerhalb der Entwicklung des Typus 10 darstellen. Sie weisen erstmals das sehr flache Schalenbecken der Variante D auf. Zudem sind die Varianten 10,11 und 10,13 vielfach für eine Bemalung im milesischen Fikellurastil, also der Stilstufe MileA II herangezogen worden. Nur die kleine Gruppe der Variante 10,12 ist nahezu ohne Datierungsgrundlage. Alle Beispiele (**312–315**) der Variante 10,12.C vom Kalabaktepe-Süd fanden sich im späarchaischen Zerstörungsschutt, der auch ältere Funde enthielt. Für die Variante 10,11 indessen gibt es zahlreiche Hinweise. Ein Beispiel (**307**) wurde aufgrund seines tiefen Beckens noch als Variante 10,11.B klassifiziert und fand sich in dem relativ späten Kontext der Auffüllung zur Phase 6. Diese Fundlage bestätigt eine Nutzung spätestens in Phase 5, doch könnte das Fragment auch aus einer früheren Phase umgelagert worden sein. Die Variante 10,11.C hat die frühesten Fundlagen in der Auffüllung zur Phase 5 (**Abb. 56,d, 458**) sowie im Boden der Phase 6 oder der Auffüllung für Phase 7 (**460**). Damit ist für die Variante 10,11.C zumindest die Phase 4 bereits als Nutzungsphase dokumentiert und eine Datierung spätestens zwischen 580 und 560 v. Chr. anzusetzen. Zudem ist die Stilstufe MileA II, der sog. Fikellurastil, für die Variante 10,11.C mehrfach belegt (**453, 458–460**). Von den bemalten Exemplaren ist die vollständig rekonstruierbare KRS **453** anzuführen, denn zu ihrem Befund, »Füllschutt *in situ*«, im Aphrodite-Heiligtum auf dem Zeytintepe haben die Ausgräber eine Datierung in der ersten Hälfte des 6. Jhs. v. Chr. vorgeschlagen. Diese sehr feine Schale gehört zu einer frühen, wenn auch nicht zur frühesten Phase der Stilstufe MileA II und ist daher durchaus noch vor die Mitte

des 6. Jhs. v. Chr. zu datieren. Für eine Reihe von Fragmenten, die sich nicht sicher der Variante C mit flachem oder der Variante D mit sehr flachem Becken zuweisen ließen, konnten keine stratigraphischen Hinweise gewonnen werden. Doch alle sind im Fikellurastil der Stilstufe MileA II bemalt (**444–446, 461–463**). Lediglich der Ganswürger-Maler, der für drei der Fragmente (**444–446**) ermittelt werden konnte, hat bereits Gefäße im späten Tierfriesstil MileA Id bemalt und sollte daher noch um 580/570 v. Chr. tätig gewesen sein. Die Variante 10,11.D ist im Siedlungsareal am Kalabaktepe-Süd lediglich im Zusammenhang mit nacharchaischen Befunden belegt (**471–472**). Gleichwohl sind diese, wie auch weitere zehn KRS der Variante 10,11.D (**457, 464–470, 473–474**) mit der Spätstufe der milesischen Gefäßmalerei MileA II dekoriert. Damit dürfte die Variante 10,11.D mit dem sehr flachen Becken in die Zeit vom zweiten bis vierten Viertel des 6. Jhs. v. Chr. zu datieren sein. Mit den Fundlagen in der Auffüllung zur Siedlungsphase 6 und in deren Boden (**324, Abb. 66,d = 454, 456**) sowie im Boden der Phase 6 oder der Auffüllung zur Phase 7 (**324, 317**) sind nur sehr späte Kontexte durch die Stratigraphie am Kalabaktepe-Süd vorhanden, die alle die Variante 10,13.C in die zweite Hälfte des 6. Jhs. v. Chr. weisen. Dagegen datieren die Befunde einiger Beispiele aus dem Aphrodite-Heiligtum auf dem Zeytintepe in die erste Hälfte des 6. Jhs. v. Chr. (**318, 323, 325**) und in das dritte Viertel des 6. Jhs. v. Chr. (**319, 321–322**). Auch die Fikellura-Bemalung der Stilstufe MileA II auf drei Beispielen der Variante (**454–456**), zu der mit **456** auch der Nordtor-Maler gehört, legen eine Datierung in das zweite und dritte Viertel des 6. Jhs. v. Chr. nahe. Auch die vier als Variante 10,13.C–D bestimmten KRS (**475–478**) sind mit dem Dekor der Stilstufe MileA II geschmückt, und **477–478** stammen zudem aus einem in die zweite Hälfte des 6. Jhs. v. Chr. datierten Befund im Aphrodite-Heiligtum von Oikus vor den Toren Milets.

Für die Varianten des Typus 10 ließ sich häufig nur eine Annäherung an ihren möglichen Produktionsbeginn erschließen. Die Laufzeiten konnten in den wenigsten Fällen exakt bestimmt werden. Nur wenn eine größere Anzahl an bemalten Stücken genügend Hinweise lieferte, war die Laufzeit besser zu fassen:

Variante 10,1.B vermutlich 620/610 bis etwa 580/570 v. Chr.; Variante 10,1.C vermutlich 610/600 bis 580/570 v. Chr.; Variante 10,2.B von 620/610 bis etwa 550 v. Chr.; Variante 10,3.B von 620/610 bis etwa 550 v. Chr.; Variante 10,4.B von 620/610 bis 570/560 v. Chr.; Variante 10,5.B von 610/600 bis ca. 550 v. Chr.; Variante 10,5.C von 600/590 bis ca. 550 v. Chr.; Variante 10,6.B von ca. 610/600 bis ca. 550 v. Chr.; Variante 10,6.C von ca. 600/590 bis ca. 550 v. Chr.; Variante 10,7.C von 600/590 bis ca. 550 v. Chr.; 10,8.C von 610/600 bis ca. 540/530 v. Chr.; 10,9.C von 580/570 bis ca. 540/530 v. Chr.; Variante 10,10.B von ca. 580/570 bis ca. 530/520 v. Chr.; Variante 10,10.C von ca. 570/560 bis ca. 530/520 v. Chr.; Variante 10,11.B/C von ca. 580/570 bis ca. 530/520 v. Chr.; Variante 10,11.D von ca. 560/550 bis ca. 520/510 v. Chr.; Variante 10,12.C spätestens ca. 570/560 bis ca. 520/510 v. Chr.; Variante 10,13.C von 570/560 bis ca. 530/520 v. Chr.; Variante 10,13.D von ca. 550 bis 520/510 v. Chr.

Die Dekorvarianten des Typus 10 lassen wenig Spielraum für Datierungen. Die häufigste Dekorvariante k schmückt alle Typenvarianten außer Variante 10,1, die lediglich die Dekorvarianten a und ay kennt. Doch auch die Variante 10,2 hat selten die Dekorvariante a, ay. Die Dekorvariante ky ist vor allem bei den früheren Varianten 10,2–5 nachzuweisen, findet sich aber auch noch gelegentlich bei der Variante 10,7 oder 10,11. Damit scheint sich die Variante mit den roten oder weiß-rot-weißen Bändern auf das 7. und die erste Hälfte des 6. Jhs. v. Chr. zu beschränken, vielleicht bis in das dritte Viertel hinein. Die Dekorvariante l ist für die Varianten 10,3–5, 10,7–10 und 10,12–13 nachzuweisen. Dagegen ist die Dekorvariante m besonders bei den Varianten 10,2–7, sowie den Varianten 10,11 und 10,13 belegt. Hervorzuheben ist hierbei das mehrmalige Vorkommen der Dekorvariante my bei Variante 10,6. Letztlich verteilt sich auch die Dekorvariante n auf viele Formvarianten: ny bei den Varianten 10,2–3, 10,6–7 und 10,11; n bei den Varianten 10,4, 10,9 und 10,11–13.

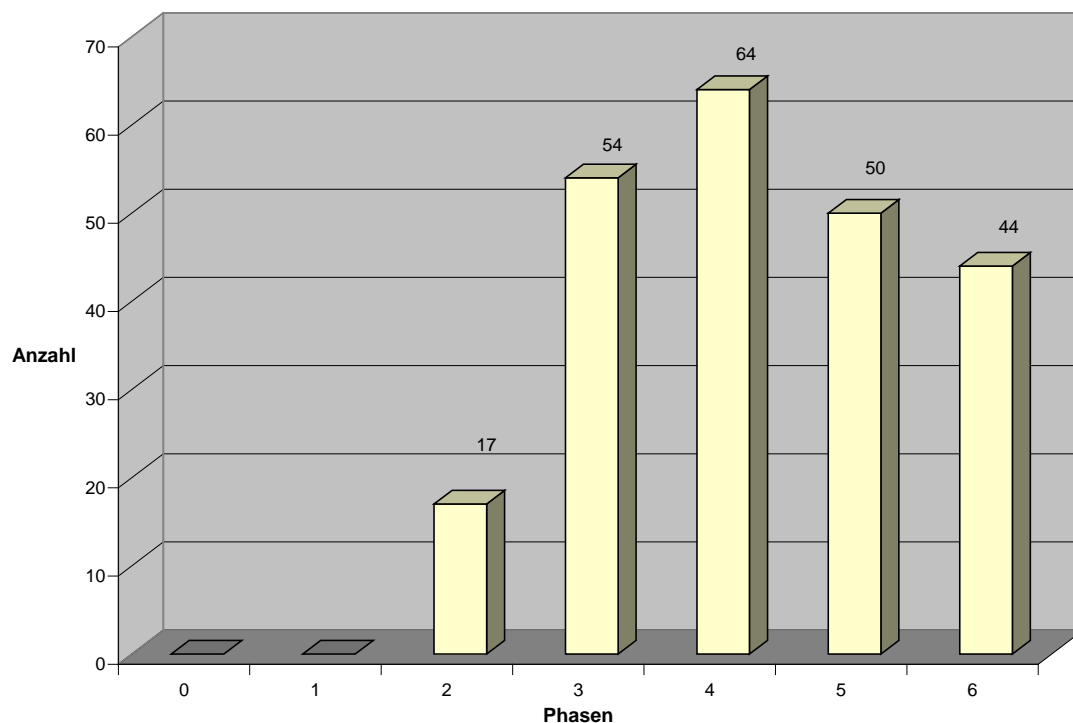


Abb. 82: Kalabaktepe-Süd, Verteilung der KRS des Typus 11 in den Siedlungsphasen

Der **Typus 11** ist ebenfalls eine späte Entwicklung innerhalb der Gattung KRS, die sich in etwa parallel zum Typus 10 vollzieht. Vor allem in den Siedlungsphasen 2–4 (Abb. 43, 50, 58) sind die Anteile innerhalb der Phasen beinahe ausgeglichen zwischen den Typen 10 und 11. Erst in den Phasen 5 (Abb. 68) und 6 (Abb. 71) kommt es zu größeren Verschiebungen. Dabei ist durchaus interessant, daß der Anteil des Typus 11 (25 %) gegenüber dem Typus 10 (51 %) in Phase 5 nur noch halb so groß ist, obwohl Typus 11 in absoluten Zahlen in der Phase 5 nur geringfügig niedriger liegt als in Phase 4 (Abb. 82). In noch geringerem Maße nimmt die absolute Zahl des Typus 11 zur Phase 6 ab, doch das Verhältnis der Anteile von Typus 11 (33 %) und Typus 10 (20 %) in Phase 6 (Abb. 71) dreht sich gleichzeitig nahezu ins Umgekehrte zur vorhergehenden Phase 5. Diese Entwicklung wurde

bereits zuvor diskutiert, und in dem Zusammenhang war auch auf die besonderen Verhältnisse der Siedlungsphase 6 eingegangen worden. Dennoch scheint es in der Summe so zu sein, daß Typus 11 länger produziert und genutzt wurde als Typus 10. Für den Beginn des Typus 11 sind die frühesten stratigraphischen Fundlagen in der Phase 2 heranzuziehen. Die Varianten 11,4.B und 11,5.B lassen sich mit den Beispielen **344**, **351** und **359** spätestens vermutlich mit einer Deponierung am Ende der Phase 2 belegen. Damit dürfte eine ungefähre Laufzeit von 620/610 bis ca. 500/490 v. Chr. für den Typus 11 anzunehmen sein. Bestätigt wird der obere Ansatz offenkundig durch die Tatsache, daß der Typus 11 zwar in vielen Zusammenhängen im Aphrodite-Heiligtum auf dem nahen Zeytintepe angetroffen wurde, nicht aber in dem um 630 v. Chr. versiegelten Bothros⁷⁷⁷, der bereits mehrfach erwähnt wurde. Eine Datierungshilfe durch die Gefäßmalerei ist für den Typus 11 nicht gegeben, da die milesischen Maler diese Formgruppe offenkundig nicht aufwendig dekorierten⁷⁷⁸. Auch läßt sich aufgrund fehlender Hinweise keine Aussage zum Weiterleben des Typus über die archaische Zeit hinaus, bzw. nach der Zerstörung Milets 494 v. Chr. machen. Für die Datierung der einzelnen Varianten des Typus 11 ließen sich folgende Hinweise gewinnen: Die Variante 11,1.B konnte lediglich im Boden der Siedlungsphase 5 (**Abb. 59,e**) und in der Auffüllung zur Phase 6 (**333**) nachgewiesen werden, was auf eine Deponierung um die Mitte des 6. Jhs. bzw. um 520 v. Chr. schließen läßt. Mehr Informationen sind zu den seltenen, großen KRS, die häufig neben Bändern auch noch Wellenbänder aufweisen, nicht zu gewinnen. Stilistisch schlossen sie wohl an die subgeometrischen Beispiel des Typus 3,3 und den Typus 7 an. Daher kann unter Vorbehalt eine Datierung der Variante 11,1 spätestens zwischen 620 und vermutlich 580/570 v. Chr. vorgeschlagen werden. Dies bedeutet, daß die wenigen stratifizierten Beispiele der Variante aus älteren Zusammenhängen umgelagert sind. Für die chronologische Einordnung der Variante 11,2.B gibt es ebenfalls nur wenige Anhaltspunkte. Der Boden der Phase 4 (**Abb. 51,g = 336**) und die Auffüllung für die Phase 5 (**Abb. 57,c = 335**) spannen zunächst einen Rahmen etwa von Phase 3 bis 4, also zwischen 610 und 550 v. Chr., auf. Die Variante 11,3.B ist mit zwei Beispielen in der Aufschüttung zur Siedlungsphase 3 (**Abb. 41,j,k**) vertreten und im Boden der Phase 5 (**Abb. 59,d, 339**). Ob der Boden der Phase 5 noch als *terminus ad quem* für die Laufzeit der Variante zu gelten hat, läßt sich nicht entscheiden. Jedenfalls ist die Variante bereits für die Siedlungsphase 2 belegt. Die Variante 11,4 ist allerdings mit einer großen Anzahl an stratifizierten Exemplaren am Kalabaktepe-Süd belegt. Die frühesten Fundlagen haben die KRS **344** und vermutlich **351**, die wohl beide bereits auf dem Boden der Phase 2 und somit am Ende der Phase 2, vor der Auffüllung zur Phase 3, in ihre Deponierung gerieten. Damit sind zwei KRS für die Nutzung während der Phase 2 bereits angeführt, hinzu treten dann noch drei Beispiele aus der Auffüllung zur Phase 3, die ebenfalls bereits in Phase 2 benutzt wurden (**Abb. 41,i-h**). Weiterhin ließ sich die Variante 11,4.B in der Auffüllung für Phase 4 bzw.

⁷⁷⁷ Vgl. Anm. 726.

⁷⁷⁸ Lediglich **441** könnte die Variante 11,3.B darstellen, doch ist sie wahrscheinlicher als Typus 10, Variante 10,4 zu klassifizieren, wo das Fragment auch besprochen ist. Für den Typus 11 würde es die einzige Ausnahme bedeuten, was seine Bestimmung als Typus 11 sehr unwahrscheinlich macht.

deren Boden (341–342, vielleicht auch 343), in der ersten Umbauphase 4a (Abb. 54,b–e) und für die Nutzungszeit der Phase 4 (Abb. 53,d–e, 355) belegen. Damit sind auch die Siedlungsphasen 3 und 4 für die Variante belegt. Für das Ende der Siedlungsphase 5 stehen dann noch die Beispiele Abb. 62,a, Abb. 62,c (= 346) und Abb. 62,d. Interessant ist in diesem Zusammenhang die oben bereits ausführlich besprochene Sonderform 345, für die eine Deponierung am Ende der Phase 5 ermittelt werden konnte, wo sie vermutlich als intaktes, kurz zuvor noch benutztes Gefäß zerbrach. Diese Sonderform wird auch durch Abb. 62,a – ebenfalls am Ende der Phase 5 deponiert – und Abb. 54,e aus der Auffüllung zur Phase 4 oder der ersten Umbauphase 4a vertreten. Somit scheint Variante 11,4 zumindest bis zum Ende der Phase 4, vermutlich aber auch noch während der Phase 5 produziert worden zu sein. Für eine Nutzung und Produktion in Phase 5 oder früher sprechen zahlreiche weitere Fragmente aus der Auffüllung zur Phase 6 (Abb. 65–1,a = 352, Abb. 65-1,f–k, Abb. 65-2,l,n,p,r, Abb. 66,a–b, 346, 348). Alle diese Beispiele sind aus früheren Zusammenhängen umgelagert worden. Dies gilt wohl auch für die Stücke aus Befunden, die eventuell der Phase 4, eher aber der Auffüllung zur Phase 6 und deren Boden zugeordnet werden müssen (350, 352–353). Zuletzt sei noch ein Beispiel aufgeführt aus dem Boden oder der Nutzungszeit der Phase 6 (Abb. 69,e = 358). Allem Anschein nach sind alle bis zur Phase 5 aufgeführten Exemplare der Variante 10,4.B mit der Dekorvariante k verziert worden, während sich erst unter den umgelagerten Stücken, die in der Auffüllung zur Phase 6 deponiert waren, auch andere Dekorvarianten wie m und n antreffen ließen. Ob diese deswegen als spätere Dekorvarianten zu gelten haben, ist schwierig zu entscheiden. Zumindest sind die Varianten m und n auch bei den späten Varianten des Typus 10 nachweisbar, zugleich aber auch bei solchen Typen, die schon vor der Mitte des 6. Jhs. v. Chr. aufgegeben wurden. Zudem fanden sich am Kalabaktepe-Süd in der Auffüllung zur Phase 4 oder in deren Boden (397) sowie in Phase 5 (398) zwei KRS der Variante 11,4.B, die mit der besonderen Brenntechnik der 'Grauen Ware' hergestellt wurden. 398 vertritt zudem die Sonderform der KRS 345. Wie aber ist die Verteilung der Beispiele der Variante 11,4.B in der Stratigraphie am Kalabaktepe-Süd für die Chronologie der Variante zu beurteilen? Die frühesten Fundlagen sichern die Existenz der Variante 11,4.B spätestens am Ende der Phase 2. Vor 630 v. Chr. wird die Variante allerdings noch nicht produziert worden sein. Das wird auch durch das Fehlen des Typus 11 im Bothros im Heiligtum der Aphrodite von Oikus nahegelegt⁷⁷⁹. Das Ende der Variante 11,4.B läßt sich dagegen kaum genauer festlegen. Eine Nutzung in Phase 5 ist etwa durch die Sonderform 345 naheliegend, aber die vielen Funde nach der Phase 5 sind dahingehend nicht sicher zur beurteilen. Die letzte Variante innerhalb des Typus 11 ist die Variante 11,5. Auch für diese Variante fanden sich viele Anhaltspunkte in der Stratigraphie am Kalabaktepe-Süd. Die früheste Fundlage – vermutlich auf dem Boden der Phase 2 – führt sie erneut an den Beginn des Typus 11 insgesamt zurück, dem Ende der Phase 2 (359). Die frühe Existenz wird durch die Kontexte in der Auffüllung für Phase 3 und deren Boden (364) bzw. im Boden der Phase 3 (Abb. 44,f) gestützt, die

⁷⁷⁹ Vgl. Anm. 726.

ebenfalls auf eine Umlagerung aus der Phase 2 schließen lassen. Für Phase 3 liegen ebenfalls einige Nachweise der Variante 11,5 vor: im Nutzungshorizont der Phase 3 (**Abb. 44,g = 367**) und in der Auffüllung zur Phase 4 oder deren Boden (**Abb. 48,f–g = 341–342**). Für die Phase 4 gibt es nur noch einen möglichen Hinweis – die KRS **Abb. 54,f**, die der Auffüllung für Phase 4 oder der ersten Umbauphase 4a entstammt. Dagegen sind die beiden Fragmente **Abb. 65-1,d** und **Abb. 65-2,m** aus der Auffüllung zur Phase 6 spätestens aus der Phase 5 umgelagert worden. Allerdings fand sich – wie schon bei der Variante 11,4 – ein Beispiel vermutlich im Nutzungszusammenhang der Siedlungsphase 6 (**360**), das allerdings ebenfalls schon aus älteren Phasen umgelagert sein könnte. Auch für diesen Typus gilt, daß die KRS aus den frühen Fundlagen durchgehend die Dekorvariante k oder ky aufweisen und erst in der Auffüllung zur Phase 6 die Dekorvariante l angetroffen wurde. Damit ist für Variante 11,5.B vermutlich die gleiche Laufzeit anzunehmen wie für Variante 11,4.B. Zusammenfassend können folgende Zeitfenster vermutet werden: Variante 11,1.B von ca. 620 bis ca. 580/570 v. Chr.; Variante 11,2.B von ca. 610 bis ca. 550 v. Chr.; Variante 11,3.B von ca. 620/610 bis 560/550 v. Chr.; Varianten 11,4.B und 11,5.B von 620/610 bis ca. 530/520 v. Chr. oder etwas länger. Damit zeigt sich, daß die Annahme einer Laufzeit des Typus 11 bis zum Ende der archaischen Epoche, wie er oben aufgrund der Statistik des Typus in der Stratigraphie des Kalabaktepe-Süd angenommen wurde, durch die Diskussion der Varianten des Typus 11 nicht bestätigt werden konnte. Die Endzeit der Produktion der Varianten und damit des Typus 11 kann nicht genauer bestimmt werden. Die hier angegebenen Daten um 530/520 v. Chr. sind keine sicher erschlossenen Datierungsgrenzen.

Die KRS des **Typus 12** bilden nur eine kleine Gruppe. Entsprechend selten sind Informationen, die sich aus den Ausgrabungen am Südhang des Kalabaktepe in Milet für sie zusammentragen ließen. Die älteste Siedlungsphase, mit der der Typus in Verbindung gebracht werden konnte, ist die Phase 4. Das Fragment **Abb. 56,a** stammt sicher von einer KRS des Typus 12, aber seine Variante ließ sich nicht mehr bestimmen. Aufgrund seiner Deponierung um die Mitte des 6. Jhs. v. Chr. in der Auffüllung für die Siedlungsphase 5 wird seine Nutzungszeit spätestens in der Phase 4 zwischen 580 und 550 v. Chr. gelegen haben. Deponierung um die Mitte des 6. Jhs. v. Chr. in der Auffüllung für die Siedlungsphase 5 wird seine Nutzungszeit spätestens in der Phase 4 zwischen 580 und 550 v. Chr. gelegen haben wird. Einen noch früheren Nachweis könnte **Abb. 48,i** belegen, doch ist das Fragment nicht eindeutig zu klassifizieren. Es könnte auch eine KRS des Typus 13 vertreten. Ebenfalls eine Datierung in die Phase 4 oder den Beginn der Phase 5 könnte **Abb. 59,c** aus dem Boden der Phase 5 belegen. **Abb. 59,c** könnte die Variante 12,2 darstellen. Sicher die Variante 12,2.B vertreten hingegen die Fragmente **379** und **382**, die wohl aus der Siedlungsphase 6 oder früher in die Auffüllung zur nacharchaischen Phase 7 verbracht wurden. Die Variante 12,1.B konnte erst im Perserschutt, also ebenfalls der Auffüllung zur Phase 7 angetroffen werden (**369**). Darüber hinaus sind weitere Beispiele der Variante 12,1 und auch der Variante 12,3 aus der nacharchaischen Wiederbesiedlung, der nacharchaischen Ausraubung und dem Schutt von Steinausraubungen geborgen worden. Lediglich ein Beispiel ist mit der Dekorvariante k (**380**) bemalt worden. Die übrigen sind überwiegend mit den

Varianten m und n dekoriert, lediglich **375** ist mit der Dekorvariante I bemalt und **379** als einzige ganz ohne Dekor geblieben. Sollte der Hinweis, der von den Dekoren der Typen 10 und 11 ausgeht, tatsächlich dahingehend gelesen werden, daß diese Dekore spät sind, ist der Typus 12 vermutlich, wie sein Nachweis in der Stratigraphie bereits nahelegt, ein Produkt des 6. Jhs. v. Chr. Vermutlich kann die Laufzeit des Typus 12 von 580/570 bis 500/490 v. Chr. festgelegt werden. Für die Varianten ist auf der Grundlage der vorgestellten Daten keine feinere Gliederung möglich.

Der **Typus 13** ist in der Siedlung am Kalabaktepe-Süd bereits spätestens für die Phase 2 zu erschließen, denn sowohl in der Auffüllung zur Phase 3 als auch in deren Boden waren Beispiele der Variante 13,2.B (**Abb. 41,g, 392**) eingelagert. Vielleicht stammen diese schon aus dem Beginn der Phase 2 oder aus Phase 1. Denn eine noch frühere Fundsituation hat die Variante 13,1.B im Bothros im Heiligtum der Aphrodite auf dem Zeytintepe, der um 630 v. Chr. verschlossen wurde⁷⁸⁰. Ansonsten wurde die Variante 13,1.B noch im Boden der Phase 4 nachgewiesen, was sie zumindest bis zur Siedlungsphase 3 belegt. Auch die Dekore der Variante 13,1 verweisen spätestens in das dritte Viertel (**385**) oder die zweite Hälfte des 7. Jhs. v. Chr. (**386-389**). Variante 13,2.B ist durch das Fragment **Abb. 67,f** aus der Auffüllung zur Phase 6 vertreten, wohin es vermutlich aus früheren Schichten verlagert wurde. Auch die KRS **391** mit einer Maskendarstellung auf der Schalenschulter vertritt die Stilstufe MileA I und verweist das Gefäß und mit ihr die Variante 13,2.B ins letzte Viertel des 7. Jhs. v. Chr. Die Variante 13,3.B konnte in Phase 4 (**Abb. 53,f**) und auch in der Auffüllung zur Phase 6 (**394**) nachgewiesen werden. Von dem Dekor des in lokalem Malstil verzierten Gefäßes **394** ist nicht genügend für eine konkrete Klassifizierung erhalten. Möglicherweise handelt es sich noch um späten Tierfriesstil der Stufe MileA I, aber auch im nachfolgenden Fikellurastil MileA II sind die gleichen Dekorelemente noch üblich. Dagegen hat die KRS **395** der gleichen Variante 13,3.B eindeutig eine Bemalung der Stilstufe MileA II, die nicht als spät eingestuft werden kann. Die Hinweise aus der Bemalung reichen aus, um eine Produktion nach der ersten Hälfte des 6. Jhs. v. Chr. auszuschließen. Demnach wurde das Fragment **394** spätestens aus einem Nutzungszusammenhang der Siedlungsphase 4 in die Auffüllung zur Phase 6 verlagert. Somit ergibt sich insgesamt für den Typus 13 eine Laufzeit von spätestens 650/640 bis 550/540 v. Chr. Dabei sollte die Variante 13,1.B zwischen 650/640 und 600/590 v. Chr., die Variante 13,2.B zwischen 640/630 und 580/570 v. Chr. sowie Variante 13,3.B zwischen 600/590 und 550/540 v. Chr. eingestuft werden.

Gefäße der '**Grauen Ware**', einer technischen Gruppe, deren Brennprozeß mit einem Reduktionsvorgang abgeschlossen wurde, der zu der markanten grauen bis grauschwarzen Färbung der Tonmasse führte, sind unter den KRS in Milet nur sehr selten vertreten. Erst mit den Grabungen in Milet ist überhaupt eine kleine Gruppe und vor allem eine lokale Fertigung nachgewiesen worden⁷⁸¹. Offensichtlich wurde die Technik nur kurze Zeit von den Töpfern der KRS angewendet, wobei die

⁷⁸⁰ Vgl. Anm. 726.

⁷⁸¹ Vgl. S. 404 ff. im Kapitel 7.4.3.3.4.6 'Grauer Ware'.

Typen 10, 11 und 12 sicher nachzuweisen sind. Sicher wurden auch Exemplare des Typus 9 in 'Grauer Ware' hergestellt⁷⁸². Inwieweit gibt es Hinweise, die das Zeitfenster dieser sicher kurzfristigen Produktion datieren lassen? Zunächst einmal wird die Produktion aufgrund der nachgewiesenen Formtypen kaum vor 600 v. Chr. begonnen haben. Desweiteren bieten die Fundlagen von **397** in der Auffüllung zur Phase 4 bzw. in deren Boden und **398** in der Phase 5 erste stratigraphische Anhaltspunkte. Die Fundlage von **398** wurde vom Bearbeiter allerdings als »Steinausraubung in der Phase 5« beschrieben, was auf einen Zugriff auf Material früherer Schichten verweist und sich daher nicht klarer eingrenzen läßt, als daß **398** bereits aus einer früheren Phase stammte, spätestens aber aus Phase 4. Dagegen gibt die Deponierung des Fragmentes **397** bereits einen *terminus ante quem* für die KRS der 'Grauen Ware' vor 580 v. Chr. Zudem weist der Dekor auf der KRS **403** einen Blüten-Knospen-Fries der Stilstufe MileA II auf, was spätestens um 600/590 v. Chr. möglich erscheint. Damit dürfte die kleine Gruppe von KRS der 'Grauen Ware' zwischen 600/590 v. Chr. und 580/570 v. Chr. von milesischen Töpfern produziert worden sein. Eine längere Tradition dieser wohl aus Aiolien und Nordionien übernommenen Technik scheint sich nicht abzuzeichnen. Warum diese Adaption oder Rezeption ausgerechnet in dieser Zeit erfolgte, ist nicht klar. Vielleicht gibt es einen Zusammenhang mit dem in diese Zeit fallenden Wandel von Stilstufe MileA I zu MileA II zusammen, in der Innovationen gesucht wurden. Vielleicht verraten hier die Untersuchungen zu den in Milet häufiger vorkommenden Tellern in 'Grauer Ware' mehr.

Darüber hinaus konnten die stratifizierten Fundlagen von Schalenfragmenten mit **südionischer Gefäßmalerei** erstmals Hinweise für die bislang vor allem auf stilistischen Beobachtungen beruhende Datierung geben. Allerdings sind es nur vereinzelte Beispiele, die bei weitem nicht ausreichen, um eine statistische Auswertung vorzunehmen, aus der sich die Laufzeiten der Stilstufen und -phasen ableiten ließen. Vielmehr geben die Fundlagen lediglich *termini ante* oder *ad quem* für die Chronologie der milesischen Gefäßmalerei. Weiterhin wurden Anhaltspunkte aus den Fundzusammenhängen des Aphrodite-Heiligtums auf dem Zeytintepe berücksichtigt. Die dort gewonnenen Datierungen sind aber mit Vorsicht zu betrachten, da sie wiederum vor allem auf allgemeinen Beobachtungen zur Bau- und Deponierungsgeschichte beruhen und durch Mitfunde zeitlich eingegrenzt wurden.

Die subgeometrische Gefäßmalerei **SiSubG** ist Teil der Stilstufe SiA I. Sie bezeichnet die in archaischer Zeit weiter existierende geometrische Strömung. Diese setzt sich vielleicht – wie

⁷⁸² Die in einem samischen Grab gefundene, heute in Kassel aufbewahrte KRS der »Grauen Ware« des Typus 9,1.C sichert neben dem nicht sicher zu klassifizierenden Fragmenten **402-403** den Typus für die Warengruppe, vgl. W. Löwe in: P. Gercke – W. Löwe (Red.), Samos - die Kasseler Grabung 1894 in der Nekropole der archaischen Stadt von Johannes Boehlau und Edward Habich (1996) 68 Kat.-Nr. 45,41 mit Abb.

andernorts auch⁷⁸³ – bis zum Ende des 7. Jhs. v. Chr. fort. Daher sind die stratifizierten Stücke der Formvarianten 2,2.B und 3,2.B in der Siedlungsphase 2 nicht überraschend (**Abb. 39,b–c**). Beide fanden sich in der Auffüllung zur Phase 3, womit sie vermutlich aus einer der beiden ersten Siedlungsphasen am Kalabaktepe und nicht aus der Vorsiedlungsphase stammen. Doch die Variante 2,2 und der Typus 3 der KRS werden nicht über 650/640 bzw. 630/620 v. Chr. hinaus produziert worden sein. Damit kann die Verwendung der beiden Exemplare in der Siedlung vermutlich auf den Zeitraum von 670 bis 640 v. Chr. eingegrenzt werden. Desweiteren fanden sich zwei Schalenfragmente mit südionischer Gefäßmalerei der Stilphase **SiA Ia** in der Phase 1 (**412, 419**), zudem ein weiteres, sicher 'verschlepptes' Fragment in Phase 4 (**418**). **412** fand sich im »Schutt der Phase 1«, während **419** entweder in der Auffüllung für Phase 2 oder in deren Boden deponiert war. Beide Fundkontexte lassen die Möglichkeit offen, daß sie entweder aus der ersten Siedlungsphase oder aus der Vorsiedlungsphase mit ihren temporären Installationen stammen. Damit dürfte die früheste Nutzung am Ort nicht vor 680/670 v. Chr. anzusetzen sein. Andererseits verbietet die Klassifizierung des Fragments **419** als Variante 8,2.B eine Datierung vor 660 v. Chr. Das Fragment **418** ist sicher in die Auffüllung zur Phase 5 aus einem Kontext der Phase 1 umgelagert worden, was vielleicht sogar auf eine mehrfache Umlagerung hindeutet. Auch **418** vertritt die Formvariante 8,2.B und bestätigt erneut für seinen subgeometrischen Dekor der Stilphase SiA Ia einen Ansatz um 660/650 v. Chr. Damit verweisen die Fundlagen und Formtypen der KRS die Bemalung des frühesten Tierfriesstils der Phase SiA Ia am Kalabaktepe-Süd in die Zeit von 680/670 bis 660/650 v. Chr. Diese Einschätzung wird auch allgemein durch die frühen Formtypen von KRS bestätigt, die für die Bemalung von den südionischen Malern herangezogen wurden. So fand sich der frühe Tierfriesstil sowohl im Athena-Heiligtum auf KRS der Variante 3,2.B (**411**) und der Variante 3,3.B (**413**), am Kalabaktepe auf KRS der Varianten 2–3.B (**497–498**), sowie im Aphrodite-Heiligtum auf dem Zeytintepe auf einer KRS des Typus 3 oder 5.B (**500**). Die untere Zeitgrenze der Stilphase wird durch das Aufkommen des Schalentypus 8 gesetzt, der mit seinen frühesten Varianten ebenfalls noch von den Gefäßmalern in Südionien im Tierfriesstil der Phase SiA Ia verziert wurde.

Die frühe Datierung der Stilphase SiA Ia wird auch durch die Fundlage des Fragments **499** gestützt, das als **SiA Ib** zu bestimmen ist. Denn auch dieses Fragment, das zu einem KRSk oder einer KRS des Typus 2 oder 3 zu rekonstruieren ist, fand sich bereits in einem Kontext der Phase 1. Sein Befund wird zur dritten Umbauphase 1c bzw. zum Schutt dieser Umbauphase zur Auffüllung für Phase 2 gerechnet. Damit läßt die Fundsituation des Fragments auf die Endphase der Siedlungsphase 1 schließen. Allerdings enthielt der Befund lediglich ein Fragment der Schale. Dies könnte darauf verweisen, daß diese bereits vor der Deponierung zerstört und als einzelnes Fragment eine zweite Umlagerung erfahren hatte. Andererseits scheinen die drei Umbauphasen in Siedlungsphase 1 auf eine rege

⁷⁸³ Etwa die nordionischen Vogelschalen mit ihrem geometrisierenden (subgeometrischen) Dekor der zweiten Hälfte, aber vor allem auch noch die Typen V-VI (Kerschner) im letzten Viertel des 7. Jhs. v. Chr., vgl. Kerschner in: Akurgal u. a. 2002, 69–70.

Bautätigkeit zu deuten, während der Gefäßfragmente durchaus bereits im Verlauf der Phase umgelagert worden sein können. Auch das Fragment **506** bestätigt die Stilphase SiA Ib für die Siedlungsphase 1 (s. die Diskussion unten). Somit ist für die Stilphase SiA Ib auf jeden Fall eine Datierung vor das Ende der Phase 1 gegeben, mithin spätestens 650/640 v. Chr., eher noch 660/650 v. Chr. Demnach ist auch die von Käufler auf stilistischer Basis ermittelte frühere Datierung der Stilstufe MWG I, die Cook um 640 v. Chr. angesetzt hatte, und die der Stilphase SiA Ib entspricht, durch Fundsituationen am Kalabaktepe-Süd bestätigt worden⁷⁸⁴.

Hinweise für die Stilphase **SiA Ic** lassen sich lediglich indirekt aus der Stratigraphie am Kalabaktepe-Süd ableiten. Denn keines der hier gefundenen und zweifelsfrei den Siedlungsphasen zuweisbaren Beispiele konnte als eindeutiges Beispiel der Stilphase klassifiziert werden. Das einzige im Tierfriestil verzierte Fragment, das im Katalog aufgeführt ist und als Stilphase SiA Ic bestimmt werden konnte, stammt aus dem Hera-Heiligtum von Samos. Es handelt sich um ein Beispiel des Formtypus 8,1.B. Damit wurde der Typus 8 in seiner Laufzeit mit den beiden mittleren Stilphasen a und b dekoriert, sowohl die Variante 8,1, als auch die Variante 8,2. Stratigraphisch eingebunden sind lediglich kleinere Fragmente, die nicht näher als SiA Ia–c (**502**) oder SiA Ib/c (**505–506**) bestimmt werden konnten. Der Kontext der Siedlungsphase 1 sichert für das Fragment **506** jedoch eine Zuordnung zur Stilphase SiA Ib, denn SiA Ic kann kaum bereits während der Siedlungsphase 1 begonnen haben. Die Siedlungsphase 2, die für das Fragment der KRS **502** belegt ist, läßt jeglichen Spielraum für die Klassifizierung der Schale als SiA Ia–c offen. Es bestätigt lediglich, daß die Schale auch aufgrund seiner Fundlage auf keinen Fall zur nachfolgenden Stilphase SiA Id zu zählen ist. Sollte **502** bereits als Fragment in den Boden der Phase 2 geraten, also bereits als Fragment umgelagert worden sein, wäre allerdings auch eine Klassifizierung als Stilphase SiA Ic auszuschließen. Vermutlich aber ist das Fragment der Auffüllung zur Siedlungsphase 3 zuzuweisen, womit eben auch die Stilphase SiA Ic möglich wäre. Das als SiA Ib oder Ic bestimmte Fragment **505** fand sich in einem Kontext der Phase 3, womit keine exaktere stilistische Einordnung – wie es bei **506** möglich war – für das Fragment **505** zu erzielen ist. Umgekehrt ist auch für die Stilphase SiA Ic kein weiterer Hinweis gegeben.

Nur ein einziges Beispiel (**Abb. 48,h = 437**) ist als **SiA Id** zu klassifizieren und bestätigt dies aufgrund seiner Fundlage in der Stratigraphie am Kalabaktepe-Süd in Milet. Der Dekor der fast vollständig rekonstruierbaren KRS **437** ist allerdings recht einfach und daher durchaus wohl über längere Zeit in Gebrauch gewesen. Ein schlichter Gürteldekor trennt den Strahlenkranz in der Fußzone von den Metopenfeldern auf der Schulter. In letztere, die von Gruppen hängender Strahlen gegliedert werden, sind einfache Punktrosetten eingeschrieben. Die Mitte der Punktrosetten allerdings bildet ein mit einem Kreis konturierter Punkt. Diese einfachen Rosetten sind bereits während der Stilphasen SiA Ib–c zu beobachten gewesen, bleiben aber auch in der folgenden Stilstufe MileA II populär. Die

⁷⁸⁴ s. oben S. 155 mit Anm. 709.

Kombination von Strahlen als Metopengliederung und konturierten Rosetten läßt allerdings noch auf die Stilstufe SiA I schließen. Tatsächlich fanden sich die Fragmente der KRS **437** in verschiedenen Fundsituationen, wie der Auffüllung zur Phase 6, in die sie 'verschleppt' wurden, aber auch in der Auffüllung zur Phase 4 und deren Boden. Letztere Fundlage sichert für die KRS **437** eine Nutzungszeit spätestens in Phase 3. Zeitgleich mit der Siedlungsphase 3 ist dann auch die letzte Stilphase SiA Id anzunehmen, zumal nach der hier vorliegenden Untersuchung die neue Stilstufe MileA II zum Ende der Siedlungsphase 3 beginnt. Damit ist die KRS **437** vor dem Ende der Siedlungsphase 3, vielleicht schon am Ende der Phase 2 produziert worden und vertritt die Stilphase SiA Id, die ihrerseits durch die KRS für die Phase 3 bestätigt wird.

Lediglich ein Hinweis auf eine frühe stratigraphische Zuordnung des Beginns des sog. Fikellurastils der Stilphase **MileA IIa** konnte anhand der KRS **542** am Kalabaktepe-Süd gewonnen werden. Doch auch dieser ist, wie oben bereits besprochen, nicht über jeden Zweifel erhaben. Die vorhandenen Fragmente der KRS **542** wurden in Befund K 90.725 aufgedeckt. Dieser Befund umfaßt die Auffüllung für die Siedlungsphase 4 und deren Boden. Allerdings wies der Befund eine Störung auf, die Senff der Phase 6 oder der nacharchaischen Phase 7 zuschreibt. Stilistisch ist der Tierfriesstil der Siedlungsphase 3 und beispielsweise der ebenfalls hier aufgedeckten KRS **437** der Stilphase SiA Id an die Seite zu stellen. Auch hier finden sich die konturierte Punktrossette, die drei hängenden Strahlen als Metopengliederung in der Schulterzone und ein breites Gürtelband, das die Schulter- von der Fußzone trennt. Insofern wäre es schon ein großer Zufall, sollten die Fragmente von einer späteren Störung aus jüngeren Schichten in diese Position gebracht worden sein. Ist aber die KRS **542** hier tatsächlich in ihrer ursprünglichen Deponierung in der Auffüllung für Phase 4 oder deren Boden angetroffen worden, wofür vieles spricht, dann ist bereits für die Phase 3 eine sog. Bilingue stratigraphisch bezeugt. Denn in der Fußzone dieser Schale ist bereits der Blüten-Knospen-Fries der neuen Stilstufe MileA II eingeschrieben. Stilistisch jedenfalls ist mit dieser KRS – neben weiteren KRS aus dem Aphrodite-Heiligtum auf dem Zeytintepe (**423**, **438–440**, **541**) – der Übergang vom Tierfriesstil MileA Id zu MileA IIa bezeugt. Dieser Übergang – und das läßt die frühere Fundlage erneut sehr wahrscheinlich erscheinen – schließt sich an die Stilphase SiA/MileA Id an bzw. überlappt sich mit ihr. Da für die Stilphase MileA Id vor allem die Siedlungsphase 3 anzunehmen ist, wäre dieser Übergang am Ende derselben zu verorten.

Für die Stilstufe **MileA II** bzw. dem Fikellurastil sind die Hinweise am Kalabaktepe-Süd noch spärlicher. Nur sehr wenige KRS – und unter diesen überwiegend nur kleine Fragmente – konnten in aussagekräftigen stratigraphischen Kontexten angetroffen werden. Das früheste Beispiel (**458**) – nach der Bilingue **542** – kann mit der Siedlungsphase 4 verbunden werden. Bereits diese Fundlage bezeugt einen recht frühen Kontext für die Stilstufe MileA II nach der bisher geltenden Chronologie von

Cook⁷⁸⁵. Da lediglich Fragmente aufgedeckt wurden, deutet deren Deponierung bereits auf eine Nutzung und Zerstörung vor der Auffüllung zur Phase 5 hin, was in die Zeit zwischen 580 und vor 550 v. Chr. weist. Doch auch stilistisch gehört der Dekor von **458** nicht zu den jüngsten Beispielen. Es handelt sich bereits um eine fortgeschrittene Stilphase, die vorläufig als MileA I**b** von den Bilinguen und ganz frühen Beispielen der Stilstufe abgesetzt wird. Dies ist an dem Flächenmuster des inneren Schalenbeckens und auch an den freien Flächen der Außenseite, in die eine Fikellura-Blüte vom Henkelansatz in das freie Feld hineinragt, zu erkennen. Damit wäre eine überzeugende Abfolge in der Stratigraphie gegeben. Nach dem Beginn der Stilstufe mit den Bilinguen der Stilphase MileA I**a** spätestens am Ende der Phase 3 (**542**) folgt die weiterentwickelte Stufe MileA I**b** bereits in einer Fundlage der Phase 4. Das nächste Fragment einer KRS mit Dekoration der Stilstufe MileA I**b** ließ sich erst wieder in der Siedlungsphase 5 nachweisen (**454**). Auch dieses Fragment wurde in einer Auffüllung entdeckt und ist damit sicher aus einem älteren Zusammenhang verlagert, womit es durchaus um einiges älter sein könnte. Das gleiche gilt für die erste nachgewiesene figürliche Fikellura-Schale der Stilstufe MileA I**b** (**576**). Ihre Fundsituation in der Auffüllung zur nacharchaischen Phase 7 ist sicher für keine Spätdatierung geeignet. Als einziges Fragment wird sie zumindest einmal, wenn nicht mehrfach, aus älteren Schichten umgelagert sein.

Die Untersuchung zu den Typen der KRS im Kontext der Stratigraphie im Wohn- und Handwerksviertel am Kalabaktepe-Süd hat gezeigt, daß die Auswertung der Statistik erst in ihrer Gesamtheit zu sicheren Aussagen führt. Die richtige Deutung der Präsenz eines Typus innerhalb einer Siedlungsphase kann erst im Hinblick auf ihre Präsenz in den vorherigen und späteren Phasen, sowie im Abgleich von Anteil in der Phase und absoluten Zahlen getroffen werden. Beispielsweise sind der Typus 8 mit 7 % und der Typus 9 mit 6 % in der Siedlungsphase 4 nahezu gleichstark repräsentiert. Dennoch sind die Schlußfolgerungen zu beiden Typen konträr. Während der Typus 8 wahrscheinlich nur noch mit einer schwachen Produktion zu Beginn der Phase vertreten ist – wenn nicht sein Anteil sogar vollständig mit Umlagerungen aus früheren Phasen zu erklären ist –, steht Typus 9 gerade am Beginn einer nennenswerten Produktion. Der Vergleich der Entwicklung beider Typen in den vorhergehenden sowie der nachfolgenden Phase zeigt, daß Typus 8 in der Siedlungsphase 1 auftritt. Er ist schon früh in der Phase nachzuweisen und nimmt bereits 9 % der Gesamtmenge der Gattung ein. In Phase 2 folgt der Höhepunkt seiner Präsenz mit 14 %. In Phase 3 hingegen geht sein Anteil dann schon auf 10 % zurück. Wo genau die Umbrüche liegen, läßt sich nicht immer exakt bestimmen, da die Siedlungsschichten nicht parallel mit den Entwicklungen der Keramik verlaufen müssen. Gleichwohl ist nach den Erfahrungen mit den anderen Typen ein deutliches Absinken des Anteils – was mit 7 % in Phase 4 für Typus 8 zutrifft – mit einem Bedeutungsverlust in diesem Zeitraum gleichzusetzen. Für die Siedlungsphasen 5 und 6 kann dann ein Rückgang des Anteils des Typus 8 auf

⁷⁸⁵ Die von R. M. Cook begründete Chronologie läßt den Fikellurastil, der mit der Stilstufe MileA I**b** gleichzusetzen ist, nicht vor 560 v. Chr. beginnen. G. Schaus hat diese Grenze sogar noch weiter nach unten versetzt auf 550 v. Chr. vgl. Schlotzhauer 2007, 268.

konstante 2 % festgestellt werden. Diese 1–2 % bedeuten stets ein 'Rauschen' von umgelagerten älteren Beispielen in nachfolgenden Siedlungsphasen, in denen sie – teils schon lange zurückliegend – nicht mehr produziert und benutzt wurden. Generell ist ein Typus in der ersten Siedlungsphase nach Aufgabe seiner Produktion in den Aufschüttungen und durch Umlagerungen noch verhältnismäßig stark vertreten. Dabei sind erfahrungsgemäß 7–8 % die Regel. Später geht der Anteil auf die besagten ca. 2 % zurück. Die 6 % des Typus 9 in Siedlungsphase 4 allerdings deuten auf etwas anderes. Der Typus konnte in Siedlungsphase 3 mit 1 % erstmals nachgewiesen werden. Er steht hier also am Anfang seiner Entwicklung. Sein Anteil steigt über die Phase 5 mit 8 % bis hin zur Phase 6 mit 11 % stetig an.

Insgesamt zeigen die Ergebnisse, daß sich die Laufzeiten der einzelnen Typen im Schnitt über 3 Phasen ausdehnten. Dies bedeutet eine Laufzeit von etwa 50 bis 60 Jahren, in denen der jeweilige Typus eine innere Entwicklung vollzog. Länger sind die Laufzeiten der Typen 10 und 11, die das gesamte 6. Jh. v. Chr. dominierten. Einerseits sind auch bei ihnen Entwicklungen innerhalb des Typus festzustellen, andererseits jedoch ist ein 'Erstarren', eine Wendung zur standardisierten Form und zum standardisierten Dekor festzustellen. Innerhalb bestimmter Grenzen blieb aber auch Platz für individuelle Gestaltungen⁷⁸⁶.

Unter den Funden in der Siedlung ist der Anteil qualitätvoller Waren bei weitem geringer als unter den Heiligtumsfunden. Eine genaue Aufschlüsselung war aus bereits angeführten Gründen nicht möglich. Dennoch läßt sich im Umkehrschluß feststellen, daß alle Typen und Varianten sowie alle Qualitätsstufen im Haushalt der 'Südstadt' angetroffen wurden. Zu diesen zählen auch die sehr feinen KRS des Typus 8, die qualitätvollen KRS des Typus 9 und bemalte Schalen der Stilstufen SiA I und MileA II. Für alle diese Gruppen gilt, daß sie kein ausschließliches Heiligtumsgeschirr darstellen. Was aber am Kalabaktepe-Süd fehlt, sind figürlich verzierte Ionische Kleinmeisterschalen, Miniaturschalen, mehrstöckige Schalentürme, KRS mit Applikationen, Kelche und Kantharoi. Bei diesen kann wohl bereits zum jetzigen Zeitpunkt einigermaßen verlässlich auf heiligtumsspezifische Keramik geschlossen werden. Alle diese Varianten fanden sich in den Heiligtümern Milets.

Aber auch hier gibt es Ausnahmen. So fanden sich im Wohn- und Handwerksviertel beispielsweise plastisch geformte Gesichtstassen, die hauptsächlich aus den archaischen Heiligtümern in Milet und auf Samos bekannt sind. Dennoch konnte einige auch in der Wohnsiedlung am Südhang des Kalabaktepe geborgen werden⁷⁸⁷. Haben wir es hier mit einzelnen 'Irrläufern' zu tun, oder fanden diese

⁷⁸⁶ Man muß sich stets vor Augen halten, daß es sich um manuell hergestellte Gefäße handelt und nicht aus einer Form reproduzierte oder wie in moderner Zeit mechanisch technisiert gefertigte Produkte. Dennoch zeigt sich deutlich eine Tendenz zur Standardisierung der Keramik und Konzentration der Produktion in größeren Werkstätten mit formeinheitlichen Maßen und großem Produktionsausschuß.

⁷⁸⁷ s. Schlotzhauer 1999a, 236 ff.; s. jetzt auch U. Schlotzhauer, Ostgriechische koroplastisch gestaltete Gesichts- und Kopfgefäße aus milesischen Werkstätten, in: R. Biering – V. Brinkmann – U. Schlotzhauer – B. F. Weber (Hrsg.), *Maiandros. Festschrift für Volkmar von Graeve* (München 2006) 229 ff. bes. 237 f. Die dort getroffene Feststellung, daß die Töpferproduktion am Kalabaktepe-Süd zum Zeitpunkt der Herstellung der

Gefäße auch in der Siedlung Verwendung? Möglicherweise gab es kleine häusliche Kulte, für die auch vereinzelt Kultgeschirr benötigt wurde. Sicher nicht in dem Maße wie in einem überregionalen Heiligtum. Letztlich wurden aber zu viele Beispiele aufgedeckt, als daß es sich um Einzelfälle handeln könnte, die ausnahmsweise als Produktionsrest aus den nachgewiesenen Töpferöfen der Siedlungsphasen 1 bis 4 stammten.

Gesichtstassen bereits aufgegeben war, beruhte noch auf einem vorläufigen, mittlerweile veralteten Forschungsstand. Nach Abschluß der Untersuchungen zur Baugeschichte und Stratigraphie am Kalabaktepe-Süd durch R. Senff (Bochum/Athen) ist nun klar, daß die Töpferöfen noch bis zum Ende der Phase 4 in Betrieb waren.

6 Die Datierung der südionischen Knickrandschalen und ihrer Vorläufer

Im Folgenden ist die abschließende Datierung der einzelnen KRsk- und KRS-Typen, deren Klassifizierung in Kapitel 4 'Die Klassifizierung der Knickrandskyphoi und -schalen in Südionien: Eine Typologie' dargelegt wurde, vorzustellen. Nachdem im vorangegangenen Kapitel die Datierungsgrundlagen aus den stratigraphischen Grabungen am Kalabaktepe-Süd in Milet dargelegt wurden, gilt es nun, die übrigen in Milet und anderen Orten existierenden Hinweise zur Datierung von Typen und Varianten der Gattung einzubeziehen. Die Grundprobleme der absoluten Chronologie sind vielfältig und vom Verfasser bereits im Kontext der Chronologieprobleme zu Naukratis besprochen worden⁷⁸⁸. Im Folgenden wird auf die bestehenden, mir weiterhin gut begründet scheinenden

⁷⁸⁸ s. Schlotzhauer 2012, 25 ff. Die wichtigsten Fakten und Lit. seien hier noch einmal angeführt: Kritische Überlegungen gegenüber der konventionellen Chronologie der geometrischen und damit auch der archaischen Zeit finden sich bei A. Fantalkin, *Low Chronology and Greek Proto-geometric and Geometric Pottery in the Southern Levant*, *Levant* 2001, 117 ff. Eine gute Einführung in die Problematik der Chronologie des 7. und 6. Jhs. v. Chr., insbesondere zur korinthischen Keramikchronologie, bieten etwa D. A. Amyx, *Corinthian Vase-painting of the Archaic Period* (1988) 355 ff.; H. Bowden, *The Chronology of Greek Painted Pottery. Some Observations*, *Hephaistos* 10, 1991, 49 ff.; W. R. Biers, *Art, Artefacts, and Chronology in Classical Archaeology* (1992) 64 f. 82 ff.; P. James, *Naukratis Revisited*, *Hyperboreus: Studia Classica* 9.2, 2003, 240 f.; M. Trachsel, *Untersuchungen zur relativen und absoluten Chronologie der Hallstattzeit* (2004) 188 ff. Zur Francis-Vickers-Chronologie, in der die konventionelle griechische Keramikchronologie um ca. 60 Jahre herabgesenkt wird, s. zuletzt die Bibliographie in E. D. Francis, *Image and Idea in Fifth-Century Greece* (1990) 141 f.; Cook 1989, 164 sowie Sekundärliteratur in Biers a. O. 99 Anm. 7; James a. O. 241 f. Anm. 31 ff.; gegen die niedrige Francis-Vickers-Chronologie argumentierte Cook 1989; dagegen schlug Trachsel a. O. 166 ff. sogar eine Heraufsetzung der allgemein anerkannten absoluten Chronologie vor (s. u.). Dabei wird nicht das von Payne für die konventionelle Chronologie benutzte Modell, sondern ein alternatives Modell zur Chronologie der sizilianischen Kolonisation herangezogen, das auf älteren überlieferten Daten beruht. Diese höhere Chronologie stützt sich etwa auf Eusebius und Diodor, die für Selinunt ältere zeitliche Ansätze als die von Payne (s. u.) favorisierten Thukydides-Daten enthalten. Während die Daten zur Gründung von Syrakus und den davon abgeleiteten Daten der anderen Kolonien bei Eusebius und Thukydides recht zuverlässig übereinstimmen, divergieren die Angaben im Zusammenhang mit den Gründungen von Megara Hyblaia und Selinunt erheblich um ca. 20 Jahre. Trachsel, der eine konsistente ältere Chronologie der griechischen Keramik von der geometrischen bis in die späarchaische Zeit entwarf, erhielt so für den Beginn des Frühkorinthischen einen Zeitpunkt ab 650/640 v. Chr. Dies würde allerdings eine Verschiebung der absoluten Daten der gesamten griechischen Keramikchronologie nach sich ziehen. Interessanterweise ist dies genauso weit reichend, wie es die Ansätze von Vickers und Francis sowie – etwas moderater – der Vorschlag von James in die entgegengesetzte Richtung sind. Für eine höhere Chronologie der griechischen Keramikstile führte Trachsel allerdings auch einen Vergleich mit hallstattzeitlichen Fundkontexten an, die sich ihrerseits auf dendrochronologische Datierungen berufen können. Zusammenfassend Trachsel a. O., 194 f.: Proto-geometrisch ab 1100 v. Chr., damit ca. 90 Jahre früher als nach konventioneller Datierung 1012 v. Chr. (V. R. Desborough, *Proto-geometric Pottery* (1952) 294; N. J. Coldstream, *Some Aegean Reactions on the Chronology Debate in the Southern Levant*, *Tel Aviv* 30, 2003, 253; 254 Tab. 1); Mittel-geometrisch vor 900 v. Chr. statt um 850 v. Chr. (Coldstream 1968, 113; Coldstream a. O. 2003, 254 Tab. 1a; 255); Frühprotokorinthisch 750/740 v. Chr. statt 720 v. Chr. (Coldstream 1968, 327; Amyx a. O., 428); Mittelprotokorinthisch 710 v. Chr. statt 690 v. Chr. (Coldstream 1968, 326 f.; Amyx a. O., 428); Spätprotokorinthisch ab 680/670 v. Chr. statt 650/640 v. Chr. (H. Payne, *Necrocorinthia* (1931) 16; 21 f.; 269 ff.; Amyx a. O., 428); Frühkorinthisch um 640 v. Chr. statt 630/625 v. Chr. (Payne a. O., 99; 281 f.) oder 625 v. Chr. (Amyx a. O., 428); Mittelkorinthisch 610 v. Chr. statt 600/590 v. Chr. (Payne a. O., 57; 303 ff.) oder 595/590 v. Chr. (Amyx a. O., 428); für das 6. Jh. v. Chr. plädierte Trachsel zudem für eine Anhebung der attischen Chronologie um 10–20 Jahre. Gegen eine zu niedrige Chronologie lassen sich die Funde in der Levante etwa in Ashkelon heranziehen, wo eine Zerstörungsschicht mit einer nahöstlichen, also von der griechischen schriftlichen Überlieferung unabhängigen Quelle zusammengebracht werden kann. Sie bezeugt eine kriegerische Zerstörung Ashkelons im Winter 604 v. Chr.; s. hierzu L. E. Stager, *Ashkelon on the Eve of*

Datierungen des Geometrischen nach Coldstream und des Korinthischen nach Payne – von Amyx leicht modifiziert – Bezug genommen⁷⁸⁹. Auf dieser Grundlage datierten auch Cook und Boardman, denen für die ostgriechische Keramik im Wesentlichen gefolgt wird. Darüber hinaus abweichende Datierungen werden in diesem Kapitel vorgestellt und argumentiert.

6.1 *Datierung der Knickrandskyphoi geometrischer Zeit*

Für die geometrischen KRSk fanden sich sowohl in Milet selbst, als auch in anderen Fundplätzen, nur wenige chronologische Anhaltspunkte. Daher sollten die südionischen KRSk weiterhin vorzugsweise aufgrund von stilistischen Vergleichen mit besser datierten Gattungen oder solchen, für die dichte stilistische Reihen vorliegen, datiert werden. Die Siedlung am Kalabaktepe-Süd stellte keine neuen Anhaltspunkte für ihre Datierung bereit, denn die Siedlungstätigkeit setzte hier erst mit der Stufe SiA I, also gegen 670 v. Chr., ein. Nach allgemeiner Übereinstimmung war zu diesem Zeitpunkt die geometrische Phase auch in Ostgriechenland bereits überwunden.

6.2 *Die Periodisierung der geometrischen Epoche in Ostgriechenland*

Die Klassifizierung der geometrischen Epoche durch H. Walter folgt in Teilen einer unkanonischen Terminologie⁷⁹⁰, die in Tab. 3 wiedergegeben ist. Walter brachte mit der Wahl seiner Terminologie indirekt seine Überzeugung zum Ausdruck, daß die Keramik Ostgriechenlands und besonders die des

Destruction in 604 B.C., in: L. E. Stager – D. M. Master – J. D. Schloen (Hrsg.), *Ashkelon 3. The Seven Century B.C.* (2011) 3 ff.; J. C. Waldbaum, *Greek Pottery*, in: ebenda 130 ff. Die wenigen relevanten griechischen Keramikimporte aus Ashkelon und anderen Orten in der Levante, die etwa dem gleichen Zerstörungshorizont angehören, scheinen am ehesten die bestehende konventionelle Keramikchronologie zu bestätigen, die auf der von Payne (s. u.) erarbeiteten korinthischen Sequenz beruht; so auch Waldbaum a. O. 131 mit Anm. 7. Denn die frühkorinthische Keramik befand sich nicht nur in der Zerstörungsschicht von 604 v. Chr., sondern war auch schon in der vorangehenden Bauphase enthalten. Daraus läßt sich schließen, daß die frühkorinthische Stilphase einige Zeit vor 604 v. Chr. begonnen hat. Zur hohen und niedrigen Chronologie in der Levante, von der auch eine hohe oder niedrige Datierung der griechischen Chronologie abhängt (Coldstream a. O. 2003, 254 Tab.1), ist die Diskussion der Befürworter der einen wie der anderen Chronologie noch nicht beendet, vgl. zuletzt etwa A. Fantalkin, *Low Chronology and Greek Protogeometric and Geometric Pottery in the Southern Levant*, *Levant* 33, 2001, 117 ff.; Coldstream a. O. 2003 sowie die Artikel von W. G. Dever, *Visiting the Real Gezer: A Replay to Israel Finkelstein*; *Tel Aviv* 30, 2003, 259 ff. und I. Finkelstein – E. Piasezky, *Wrong and Right; High and Low – 14C Dates from Tel Rehov and Iron Age Chronology*, *Tel Aviv* 30, 2003, 283 ff. oder T. E. Levy – M. Najjar, *Some Thoughts on Khirbet en-Naús, Edom, Biblical History and Anthropology – A Response to Israel Finkelstein*, *Tel Aviv* 33, 2006, 3 ff. sowie A. Fantalkin – I. Finkelstein, *The Sheshonq I Campaign and the 8th-Century-BCE Earthquake – More on the Archaeology and History of the South in the Iron I–IIA*, *Tel Aviv* 33, 2006, 18 ff.

Das letzte Wort in dieser Diskussion ist damit sicher noch nicht geschrieben. Da die Argumente der Kritiker der bestehenden Chronologie nicht restlos überzeugen können, wird in dieser Arbeit die leicht modifizierte Chronologie durch Amyx und andere für die korinthische bemalte Keramik, die von Humfry Payne begründet wurde, beibehalten. Da die Chronologiesysteme der anderen keramischen Stilgruppen vor allem auf der Sequenz der gut ausgearbeiteten korinthischen Keramikchronologie basieren, bleiben auch diese im Wesentlichen unangetastet.

⁷⁸⁹ s. zuletzt C. W. Neef, *Absolute Chronology and Corinthian Pottery*, in: R. A. Panvini – L. Sole (Hrsg.), *La Sicilia in età archaica*, Caltanissetta, 2012.

⁷⁹⁰ Samos 5.

angeblichen Zentrums Samos während der geometrischen Epoche eine eigen- und vollständige Reihe aufzeigte⁷⁹¹. Trotz einiger terminologischer Innovationen und der Teilung der Frühphase des

Terminologie	Datierung
Protogeometrische Gefäße	1000 – 900 v. Chr.
Früh- und strenggeometrische Gefäße	900 – 800 v. Chr.
Reifgeometrische Gefäße	800 – 750 v. Chr.
Spätgeometrische Gefäße	750 – 700 v. Chr.
Vorarchaische Gefäße	700 – 650 v. Chr.

Abb. 83 Tab. 3. Periodisierung der geometrischen ostgriechischen Keramik von H. Walter 1968⁷⁹².

Geometrischen in »Früh- und Strenggeometrisch«, die er im gleichen Zug aber wieder zu einem Zeitraum zusammenfaßte, blieb er bei der allgemein üblichen schematischen Periodisierung in Früh, Mittel und Spät. Ungewöhnlich ist allerdings die von Walter »vorarchaisch« genannte Phase, die er dann auch zur geometrischen Epoche zählte⁷⁹³. Gleichzeitig brachte er mit dem Begriff zum Ausdruck, daß trotz einer geometrischen Grundtendenz bereits archaische Elemente Eingang gefunden hätten, was angesichts der Datierung dieser 'Phase' bis 650 v. Chr. kaum überraschen dürfte. Walter war mit seiner Benennung selbst unzufrieden, wollte aber mit dem Terminus die noch unglücklichere Bezeichnung 'subgeometrisch' ablösen. Hier liegt ein grundsätzlich anderes chronologisches Verständnis vor. Bezeichnet doch der Terminus 'subgeometrisch' eigentlich eine stilistisch ältere Tendenz, die sich parallel zur neuen archaischen Tendenz über einen bestimmten Zeitraum erhielt – also eine geometrisierende Strömung innerhalb der archaischen Epoche. Walter definierte den Begriff 'subgeometrisch' neu und gegen die dem Begriff inhärente Bedeutung, wodurch der Terminus unbrauchbar wird. Doch auch der neue Begriff 'vorarchaisch' ist im gleichen Maße widersprüchlich, bezeichnet er doch eine archaisierende Strömung als letzte Phase der geometrischen Epoche, und ist daher abzulehnen. Denn wie kann etwas archaisch sein, bevor es einen archaischen Stil überhaupt gibt? In dieser Arbeit wird von dem Grundsatz ausgegangen, daß etwas Neues, eine Innovation, bereits eine neue Phase/Epoche begründet, auch wenn die Mehrheit der Elemente noch dem Alten verpflichtet sind. Ebenso ist die Herbdatierung der geometrischen Epoche in Ostgriechenland bis 650 v. Chr. singulär. Bei den Datierungsgrundlagen dieser 'vorarchaischen Phase' handelt es sich um

⁷⁹¹ Samos 5, 47 ff.; Walter 1957; Walter – Vierneisel 1959.

⁷⁹² s. Samos 5, 7 (Inhaltsverzeichnis).

⁷⁹³ Samos 5, 47.

Fundkomplexe im Heraion von Samos, die aber allesamt bis auf den heutigen Tag unpubliziert und damit nicht nachvollziehbar sind⁷⁹⁴.

Terminologie	Datierung
Ostgriechisch Protogeometrisch (oder Subprotogeometrisch)	bis ins 8. Jh. v. Chr.
Ostgriechisch Frühgeometrisch	850–800 v. Chr.
Ostgriechisch Hochgeometrisch (1. Phase rhodischen Stils)	800–750 v. Chr.
Ostgriechisch Spätgeometrisch (2. Phase rhodischen Stils)	750–700 v. Chr.

Abb. 84 Tab. 4. Periodisierung der geometrischen ostgriechischen Keramik von B. Schweitzer 1969.

Anders dagegen postulierte W. Schweitzer erst mit der mittelgeometrischen Phase einen eigenständigen ostgriechischen Stil mit dem Ursprung auf der Insel Rhodos⁷⁹⁵. Seine Periodisierung steht – im Gegensatz zu Walters Klassifizierung – ganz in der deutschsprachigen Wissenschaftstradition. So finden wir bei ihm die in Tab. 4 vorgenommene Einteilung der geometrischen Epoche in Ostgriechenland⁷⁹⁶.

Terminologie	Datierung
East Greek Early Geometric (EG) oder East Greek Subprotogeometric (SubPG)	900–850 v. Chr.
East Greek Middle Geometric (MG I)	850–800 v. Chr.
East Greek Middle Geometric (MG II)	800–745 v. Chr.
East Greek Late Geometric (LG)	745–680 v. Chr.
East Greek Subgeometric (SubG)	ab 680 v. Chr.

⁷⁹⁴ Samos 5, 47. 85 ff.

⁷⁹⁵ Schweitzer 1969, 76.

⁷⁹⁶ Ebenda 77 ff.

Abb. 85 Tab. 5. Periodisierung der geometrischen ostgriechischen Keramik von Coldstream 1968.

Die gängigste Periodisierung zur ostgriechischen Keramik stellt sicher die von N. Coldstream dar (Tab. 5)⁷⁹⁷. Auch bei Coldstream scheint die Tendenz zu bestehen, die subgeometrische Phase als Teil der geometrischen Epoche aufzufassen. Zugleich gibt er durch seine Datierung zu erkennen, daß die 'subgeometrische' Phase in die Datierung der archaischen Epoche hineinreicht. Wie weit sie hineinreicht, ließ er allerdings offen.

R. M. Cook folgte im Wesentlichen der Einteilung Coldstreams, allerdings ließ er seine Klassifizierung der ostgriechischen Keramik mit einer eigenständigen mittelgeometrischen Phase beginnen. Im Gegensatz zu Coldstream gab Cook einen definierten Zeitraum für die subgeometrische Phase an. Seine Einteilung ist in Tab. 7 dargestellt⁷⁹⁸. Da eine eingehende neuere Studie zur geometrischen Epoche Ostgriechenlands weiterhin aussteht, wird im Weiteren der gängigen Periodisierung durch Coldstream und Cook gefolgt. Das in dieser Arbeit verwendete neue Klassifizierungssystem für ostgriechische Keramik nimmt die von den beiden Wissenschaftlern erarbeitete Periodisierung der geometrischen Epoche grundsätzlich als Gliederung auf (Tab. 8)⁷⁹⁹, wobei lediglich eine Periodisierung zur südionischen Landschaft

Terminologie	Datierung
East Greek Middle Geometric (MG)	850–745 v. Chr.
East Greek Late Geometric (LG)	745–680 v. Chr.
East Greek Subgeometric (SubG)	680–625 v. Chr. (lokal teils länger)

Abb. 86 Tab. 6. Periodisierung der geometrischen ostgriechischen Keramik von R. M. Cook 1998.

angestrebt sowie eine längere Tradition des Subgeometrischen (vgl. hierzu unten) vertreten wird. Coldstream beschrieb bereits eine eigene Entwicklung der mittel- und spätgeometrischen Keramik im südionischen Milet und Samos⁸⁰⁰, deren lokale Eigenheiten er nicht gegeneinander abgrenzen konnte,

⁷⁹⁷ Coldstream 1968, 262 ff.; 330, umgesetzt in der vergleichenden Tabelle zu den geometrischen Stilen Griechenlands.

⁷⁹⁸ Cook 1998, 25.

⁷⁹⁹ Kerschner – Schlotzhauer 2005; Kerschner – Schlotzhauer 2007.

⁸⁰⁰ Regionale und lokale Eigenheiten im 'Landschaftsraum' Ostgriechenland werden auch von anderen Bearbeitern der geometrischen Keramik unterschieden, wenn auch von diesen erst von der spätgeometrischen Stilphase an (Schweitzer 1969, 100 ff. [Südionien mit Samos und Milet]; Coldstream 1968, 288 [Samos LG-SubG]; 296 f. [Karien und Südionien LG]; 297 f. [Nordionien und Aiolis MG-LG]); vgl. auch ders., *The Greek Renaissance of the Eighth Century BC*, in: R. Hägg (Hrsg.), *Tradition and Innovation. Symposium 1981* (1983). Für Walter (Samos 5) wie auch E. Walter-Karydi war eine Aufteilung in »Kunstlandschaften« überhaupt ein primäres Anliegen – vgl. hierzu S. 66 mit Anm. 477 und die differenzierte Betrachtung von Kerschner in: Akurgal u. a. 31 f.

Terminologie	Datierung
<i>Ostgriechisch Geometrisch</i>	<i>Ab 900 v. Chr.</i>
Ostgriechisch Frühgeometrisch (OG I) Ostionisch Frühgeometrisch (OiG I) Ostdorisch Frühgeometrisch (OdG I)	900–850 v. Chr.
Ostgriechisch Mittelgeometrisch (OG IIa) Aiolisch Mittelgeometrisch (AiG IIa) Nordionisch Mittelgeometrisch (NiG IIa) Südionisch Mittelgeometrisch (SiG IIa) Ostdorisch Mittelgeometrisch (OdG IIa) Milesisch Mittelgeometrisch (MileG IIa)	850–800 v. Chr.
Ostgriechisch Mittelgeometrisch (OG IIb) Aiolisch Mittelgeometrisch (AiG IIb) Nordionisch Mittelgeometrisch (NiG IIb) Südionisch Mittelgeometrisch (SiG IIb) Ostdorisch Mittelgeometrisch (OdG IIb) Milesisch Mittelgeometrisch (MileG IIb)	800–750 v. Chr.
Ostgriechisch Spätgeometrisch (OG III) Aiolisch Spätgeometrisch (AiG III) Nordionisch Spätgeometrisch (NiG III) Südionisch Spätgeometrisch (SiG III) Ostdorisch Spätgeometrisch (OdG III) Milesisch Spätgeometrisch (MileG III)	750–680/70 v. Chr.
<i>Ostgriechisch Archaisch</i>	<i>Ab 680/70 v. Chr.</i>
Nordionisch Subgeometrisch (NiA I subgeometrisch) Südionisch Subgeometrisch (SiA I subgeometrisch)	680/70– ca. 610/600 v. Chr.

Karisch Subgeometrisch (KaA I subgeometrisch)	
Milesisch Subgeometrisch (MileA I subgeometrisch)	
Samisch Subgeometrisch (SamA I subgeometrisch)	

Abb. 87 Tab. 7. Periodisierung der geometrischen ostgriechischen Keramik (Auswahl einiger teils inhaltlich bisher unbelegter Regionen und Zentren) nach dem neuen Klassifizierungssystem.

doch chronologisch stellte er fest: »... East Greek and Attic MG [...] styles run contemporaneously«⁸⁰¹. Unter seinen angeführten Beispielen lokaler Nachahmung stellte er sogar Beispiele aus Milet vor, die sowohl die Frühphase (MG I), als auch die Spätphase (MG II) seiner mit 100 Jahren sehr langen mittelgeometrischen Stufe vertreten⁸⁰². Daraus kann wohl auch auf zwei den attischen vergleichbare Phasen (MileG IIa und IIb) für die mittelgeometrische Stufe in Milet bzw. in Südionien und vielleicht auch für die übrigen Regionen geschlossen werden.

In Tab. 7 (Abb. 87) findet sich eine schematische Auflistung einiger Groß- und Kleinregionen sowie einzelner Zentren, in der bereits die neue Terminologie verwendet wurde. Selbstverständlich sind bisher nicht alle Zeit- und Stilstufen und -phasen in allen Regionen belegt. Auch ist nicht bekannt, ob die Entwicklungen in allen Regionen tatsächlich parallel verlaufen, so wie es das Schema suggeriert.

6.3 Die mittelgeometrischen Knickrandskyphoi der Stufe SiG II

Aufgrund der spezifischen Fundumstände auf dem westkleinasiatischen Festland und den vorgelagerten Inseln hat sich die ostgriechische Keramik weitgehend nur fragmentarisch erhalten, wodurch sich ihre Gesamtform oft nur schwerlich erschließen läßt. Für die stilistische Formanalyse liefern zudem nicht alle ostgriechischen Landschaften hinreichend Material, um regionale oder lokale Eigenheiten aufspüren zu können. Während aus den sog. führenden Landschaften Ionien und Aiolien kaum und aus der Ostdoris nur wenig vollständige Entwicklungsreihen bekannt geworden sind, ist die Fundsituation etwa in Karien ungleich besser. Daher werden für die Entwicklung der Skyphosform auch stilistische Vergleiche mit diesen und den besser bekannten und besser zu datierenden Reihen attischer Skyphoi angestellt. Die neuen Grabungen am Südhang des Kalabaktepe liefern – wie bereits ausgeführt – keine weiteren Anhaltspunkte für eine Datierung der mittelgeometrischen Skyphoi der Stilstufe SiG II oder MileG II.

6.3.1 Die mittelgeometrischen Knickrandskyphoi(SiG II) des Typus 1

Der einzige Typus der KRsk, der in Milet stilistisch der mittelgeometrischen Stufe zuzurechnen ist, ist der Typus 1 in den Formvarianten 1,1.A, 1,2.A–B und 1,4.A. Die alten und neuen Grabungen in Milet

⁸⁰¹ Coldstream 1968, 273.

⁸⁰² Coldstream 1968, 270 mit Anm. 3; S. 272 unter anderem mit Verweis auf **Abb. 8** und **11** (s. u.).

liefern für die mittelgeometrischen KRSSk des Typus 1 kaum verwertbare Datierungsanhalte⁸⁰³. Lediglich die KRSSk **12** und **24** stammen aus geometrisch-spätgeometrischen Schichten im Athena-Heiligtum. Dagegen sind die Beispiele **6**, **11** und **13** in einer spätgeometrischen Brandschicht festgestellt worden und dürften damit ebenso wie das KRSSk-Fragment **10** aus der Siedlungsphase 4 am Kalabaktepe-Süd in einen späteren Kontext geraten sein. Ganz sicher in einen späteren Kontext wurde der attische Import **28** am Kalabaktepe-Süd 'verschleppt'. Von wo er ursprünglich stammt, läßt sich nicht mehr ermitteln. Auch der mittelgeometrische KRSSk **5** der Variante 1,2.Ab der Stilstufe SiG II, der in der durch von Graeve ergrabenen spätgeometrischen Schicht im sog. Südschnitt von Milet angetroffen wurde, die der Ausgräber vor 700 v. Chr. datieren konnte, läßt aufgrund seiner stilistischen Einordnung vermuten, daß er aus einem früheren Zusammenhang in diesen jüngeren Kontext geriet. Die spätgeometrische Brandschicht bietet lediglich einen *terminus ante quem* für das Gefäß. Damit bleibt für den Typus 1 lediglich die Einstufung nach stilistischen Kriterien für Form und Dekor. Die Datierung von 850 bis 750 v. Chr. erfolgt hier nach der Periodisierung von Coldstream mit der vorgestellten modifizierten Datierung und Terminologie als SiG II (Tab. 8). Coldstream stellte eine starke attisierende Tendenz für Südionien fest, für die er allerdings nur wenige Beispiele, wie etwas den Skyphos **Abb. 8**, anführen kann. Die Dekoration der Variante 1,1.A (**1–2**) stammt stilistisch wohl noch aus der frühgeometrischen Stilstufe. Coldstream führte keine vergleichbaren Skyphoi für Ostgriechenland an. Parallelen für den Dekor liefern aus Attika Tassen der frühgeometrischen Stufe I⁸⁰⁴, dann aber auch spätgeometrische Skyphoi und Tassen⁸⁰⁵. Aber auch argivische Beispiele der frühgeometrischen Stilstufe II haben Ähnlichkeiten⁸⁰⁶. Zudem wäre noch der Vergleich mit kykladischen Skyphoi der Stilstufe Frühgeometrisch anzuführen⁸⁰⁷. Wie aber bereits in Kapitel 4 dargelegt, sind in Ostgriechenland keine Vergleiche vor der mittelgeometrischen Periode angetroffen worden⁸⁰⁸. Damit sind **1–2** auch hier zu den frühesten Beispielen der Stilstufe SiG II zu zählen. Sie vertreten vermutlich die Phase MileG IIa und sind in die zweite Hälfte des 9. Jhs. v. Chr. zu datieren. Der gleichen Grundform gehört der tatsächlich attische Import **26** an. Vergleiche aus dem Kerameikos wies Coldstream der Stilphase MG I zu, womit der Skyphos in die zweite Hälfte des 9. Jhs. v. Chr. zu

⁸⁰³ Lediglich am Athena-Tempel sind in den alten Grabungen durchgehend protogeometrische und geometrische Schichten angetroffen worden, doch sind diese kaum veröffentlicht und schlecht dokumentiert. KRSSk können zur Zeit keinen sicheren mittelgeometrischen Kontexten zugeordnet werden, s. etwa den wohl lokalen mittelgeometrischen KRSSk **11** des Typus 1,2.B der Stilphase MileG IIb. Hommel hatte ihn spätgeometrisch klassifiziert und damit auch die Brandschicht, in der er gefunden wurde, s. Hommel in Weickert, 1959/60, 39. Dagegen stufte Coldstream den KRSSk als MG II (= MileG IIb) ein und damit auch die Brandschicht. Hommel allerdings hatte weitere spätgeometrische Keramik aus der »spätgeometrischen Brandschicht« angeführt. Daher sollte die datierende Schicht, in der das mittelgeometrische Fragment lag weiterhin als spätgeometrisch betrachtet werden. Die neuen Grabungen von W.-D. Niemeier (Athen) sollten mit neuem Material die in weiten Teilen der Stadt Milet angetroffene Brandschicht neu beurteilen. Seine Ergebnisse werden in einer gesonderten Studie vorgelegt werden.

⁸⁰⁴ Coldstream 1968, Taf. 1, n.

⁸⁰⁵ Coldstream 1968, Taf. 15, g. p.

⁸⁰⁶ Coldstream 1968, Taf. 23, c–d.

⁸⁰⁷ Coldstream 1968, Taf. 34, b.

⁸⁰⁸ Vgl. S. 71 f. im Kapitel 4.1.1.1.1 Die mittel und spätgeometrischen Knickrandskyphoi der Variante 1,1.

datieren ist. Eine südionische Nachahmung des attischen Imports **26** – vermutlich sogar ein lokales milesisches Beispiel – stellt für den MG I dann der KRSk **Abb. 8**⁸⁰⁹ der Variante 1,1.A dar.

Kat.-Nr.	Id.-Nr.	Typus	Kontext
5	S 66.181.1	1,2.Ab	Athena-Heiligtum: »spätgeometrischer Zusammenhang« (in Höhe der Fundamentsteine von Haus D; terminus post quem)
6	AT 57.N.59.1	1,2.Ab	Athena-Heiligtum: spätgeometrische Brandschicht (?) (s. a. 11 und 18)
10	K 89.510.18	1,2.A/B	Kalabaktepe-Süd: umfaßt Auffüllung und Boden der Phase 4
11	AT 57.N.59.6	1,2.Bb	Athena-Heiligtum: spätgeometrische Brandschicht (?) (s. a. 6 und 18)
12	AT 57.N.36.5	1,2.Bb	Athena-Heiligtum: geometrisch-spätgeometrisch
13	K 92.51.4	1,2-4.A/Bb	Kalabaktepe-Süd: Schutt der Phase 2 über der Mauer K 92.549 aus Phase 2
24	AT 57.N.43.6	1,4.Ab	Athena-Heiligtum: (spät-)geometrisch, mit N.45 zusammengelegt
28	K 90.424.4	1,2.Ab	Kalabaktepe-Süd: Auffüllung für Hof der Phase 2 und Bauzeit der Hofmauer

Abb. 88 Tab. 8. Ausgewählte Kontexte für die mittelgeometrischen Varianten des Typus 1 in Milet.

Für die Skyphosform 1,2.A–B ist erneut attischer Import in Milet und sogar am Kalabaktepe nachzuweisen (**27–28**). Wieder tragen beide Importe bereits die für Typus 1,1 festgestellten Dekorvarianten a und b, womit sie sich nach Coldstream in die Stilphase MG I eingliedern lassen. Damit sind für die lokale Produktion der Variante 1,2.A–B erneut attische Vorbilder anzunehmen. Dem Beispiel **28** sind dann die beiden lokal produzierten KRSk **3** und **4** aus dem samischen Heraion an die Seite zu stellen. Sie gehören der frühen Phase SiG IIa an und sind damit in die zweite Hälfte des 9. Jhs. v. Chr. zu datieren. Das Fragment des KRSk **5** ist zu klein, um zu entscheiden, ob er ebenfalls die Dekoration der beiden samischen Skyphoi vertritt, oder bereits Dekore des MG II. Er kann daher nicht exakter als in die Phasen SiG IIa–b eingeordnet werden. Dagegen stehen die KRSk **6** bis **13** (Variante 1,2.A–B) und **22–23** (Variante 1,4.A) Beispielen korinthischer Skyphoi der Stilphase MG II nahe, sind daher als Si/MileG Iib zu klassifizieren und in die erste Hälfte des 8. Jhs. v. Chr. zu

⁸⁰⁹ Coldstream 1968, 270 bes. 272; zum Dekor von **Abb. 8** schreibt er: »... looks like an Attic MG I import ...«; der KRSk **Abb. 8** wurde bereits in Weickert 1957, Taf. 37, 1a publiziert.

datieren⁸¹⁰. Unter diesen sind die Dekore der Skyphoi **7** und **8** nicht so eindeutig zu bestimmen. Ihr Dekorfries auf der Schulter findet lediglich entfernt Vergleiche mit EPC-Dekorriesen⁸¹¹, womit eine Datierung zwischen 720 und 690 v. Chr. einherginge. Sollten dieser Vergleich richtig sein, wären **7** und **8** spätgeometrisch. Damit ließen sich die KRSk des Typus 1 in Milet und Südionien nach attischem Beispiel in eine frühe (MileG IIa) und eine späte (MileG IIb) mittelgeometrische Phase scheiden.

6.4 Die spätgeometrischen Knickrandskyphoi der Stufe SiG III

Für die chronologische Einordnung der spätgeometrischen Gefäße aus Milet (Si/MileG III) sind die Grundlagen in Milet etwas besser, als für die zuvor beschriebene mittelgeometrische Periode (Si/MileG II). Am Kalabaktepe-Süd selbst fanden sich für diesen Zeitabschnitt zwar keine Datierungsanhaltspunkte, da die hier aufgedeckte Besiedlung erst in der nachgeometrischen Zeit ihren Anfang nahm, aber in anderen Bereichen der antiken Stadt wie dem sog. Südschnitt⁸¹² aber auch im Athena-Heiligtum⁸¹³ wurde eine spätgeometrische Schicht angetroffen. Auf der Ostterrasse des Kalabaktepe⁸¹⁴ findet sich dann erst eine subgeometrische Schicht, die sich von einer späteren 'orientalisierenden' Schicht scheiden ließ.

6.4.1 Die spätgeometrischen Knickrandskyphoi (SiG III) des Typus 1

Spätgeometrische KRSk des Typus 1 sind im Gegensatz zu den mittelgeometrischen Varianten des gleichen Typus in Südionien verhältnismäßig häufig anzutreffen. So ist der KRSk **404** der Variante 1,2.A mit Beispielen gleichzusetzen, die in der Klassifizierung Coldstreams der spätgeometrischen Stilstufe zugeordnet werden⁸¹⁵. Damit erfährt die hier vorgenommene Klassifizierung verschiedener Varianten des Typus 1 eine Bestätigung für die eigenständige spätgeometrische Stilstufe in Südionien (SiG III). **404** fand sich im samischen Heraion in einer geometrischen Schwemmschicht. Die in dieser enthaltenen Funde bezeichnete Walter als »einheitlich geometrisch«, sie umfasse »in der Hauptmasse das mittlere achte Jahrhundert v. Chr. Der größte Teil der ganz erhaltenen Gefäße gehört sicherlich in die Zeit der Überschwemmung«⁸¹⁶, die Walter ans Ende des 8. Jhs. v. Chr.⁸¹⁷ datierte. Als

⁸¹⁰ Den Skyphos **11** der Variante 1,2.B bestimmte Coldstream 270 mit Anm. 3 bereits als spät in MG; publiziert wurde **11** bereits von P. Hommel in: Weickert 1959/60, 39 Taf. 58, 2.

⁸¹¹ Coldstream 1968, Taf. 20, g–h; 21, b. g.

⁸¹² Graeve 1973/74; 84 f. zur spätgeometrischen »Brandschicht, die sich anlässlich der Zerstörung der Bauten A und B gebildet hat, ist an mehreren Stellen im Stadtgebiet von Milet angeschnitten worden. Am Athenatempel wurde sie 1955 unter einer bis zum Halbrund freigelegten Steinpackung festgestellt, die an die Steinsetzung der Brandschicht in B erinnert«; Kleine 1979, 115 f.; 117 f.; 137.

⁸¹³ Weickert 1957, 114; 132 Taf. 26,2; Weickert 1959/60, 83 f.; zur Brandschicht im Athena-Heiligtum und ihre Verbindung zur Brandschicht im sog. Südschnitt zusammenfassend auch Graeve 1973/74, 85.

⁸¹⁴ Kerschner 1999, 11 ff. bes. 15 ff.

⁸¹⁵ Coldstream 1968, 290 Taf. 64, a. Dagegen zeigt sich hier eine gewisse Unschärfe in der Formbestimmung der zusammengestellten Gruppe spätgeometrischer Skyphoi (ebenda mit Anm. 11). Denn der in diesen Zusammenhang gesetzte Skyphos **407** (ebenda Taf. 64, b) weist ein vollständig andersartiges Profil zum erstgenannten auf. Möglicherweise kannte Coldstream die Beispiele nur von Photos.

⁸¹⁶ Walter 1957, 40.

vollständiges Gefäß wäre demnach auch der KRsk **404** um 700 v. Chr. einzuordnen, doch Walter klassifizierte **404** stilistisch als »echt geometrisch« und nahm eine chronologische Einordnung in das dritte Viertel des 8. Jhs. v. Chr. vor⁸¹⁸.

In der spätgeometrischen Brandschicht im Athena-Heiligtum in Milet konnte der KRsk **18** der Variante 1,2.B mit der Dekorvariante c festgestellt werden. Seine Fundlage sichert als *terminus ad/ante quem* auch seine stilistische Einordnung. Nicht näher bestimmen ließ sich die Fundsituation im geometrischen Haus beim Athena-Heiligtum, wo der KRsk **14** aufgedeckt wurde. Vermutlich wird das Haus oder zumindest die Fundsituation spätgeometrisch sein. Die aus dem Bereich der Siedlung am Kalabaktepe-Süd stammenden Beispiele von KRsk des Typus 1 hingegen fanden sich bis auf eine Ausnahme in späteren Aufschüttungen und Störungen oder stellten Streufunde dar. Von diesen sind die KRsk **16** und **17** der Variante 1,2.A–B in den frühesten Fundkontexten am Kalabaktepe-Süd angetroffenen worden. Doch auch diese Fundkontexte stellen Aufschüttungen bzw. Einfüllschichten da, die auf eine Umlagerung der Fragmente aus einem älteren Kontext schließen lassen. Das Gleiche wird wohl auch für die in archaischen Schichten im Athena-Heiligtum gefundenen Beispiele **15** der Variante 1,2.B und **20** der Variante 1,3.B gelten. Unter den Dekoren herrscht bei den spätgeometrischen KRsk des Typus 1 (**15–18**) die Dekorvariante c vor, auch b ist gelegentlich noch anzutreffen. Der Dekor des KRsk **18** gleicht attischen Beispielen der Stilphase LG Ia, wenn er nicht sogar tatsächlich attischer Import ist, und wäre damit um 760 bis 750 v. Chr. zu datieren⁸¹⁹. Ist er allerdings südionisch, erhebt sich die Frage, ob die Stilstufe SiG III parallel zu der attischen bereits um 760/50 v. Chr. begann – oder setzte die attisierende Nachahmung zeitversetzt in Südionien später ein? Dagegen ist der KRsk **24** der Variante 1,4.A sicher kein Import und dem Dekor von **18** an die Seite zu stellen. Die eigenwillige Dekoration des KRsk **14** ähnelt hingegen am ehesten der eines attischen LG IIa-Kantharos und wäre demnach zwischen ca. 740/30 und 720 v. Chr. zu datieren. Indessen ist das Leitermotiv auf dem KRsk **15** wohl ein genuin südionischer Dekor und hier wohl als milesische Variante gebildet. Vergleiche aus besser datierten Landschaften fehlen für diese Variante der Dekoration. Dennoch gehört dieses Motiv wohl noch in die spätgeometrische Stilstufe, vielleicht in deren zweite Hälfte. Auch die Variante 1,3.B weist spätgeometrische Dekorvarianten auf (**19–20**).

Die milesischen spätgeometrischen Varianten 1,2.A–B, 1,3.B und 1,4.A des Typus 1 und seine Dekorationsvarianten b–c sollten nach der von Coldstream erstellten Periodisierung mit der erneut

⁸¹⁷ Ebenda 35; bes. aber 38 ff. und hier bes. 38 und 42 f. Aus Walters Äußerung auf S. 35 könnte geschlossen werden, daß er die erste Überschwemmungsschicht an den »Beginn des letzten Viertels des achten Jahrhunderts« datiert, an den folgenden hier aufgelisteten Stellen wird jedoch deutlich, daß er sie wohl erst am Ende des 8. Jhs. v. Chr. vermutet.

⁸¹⁸ Ebenda 40 f.

⁸¹⁹ Coldstream 1968, 48. 50 Taf. 9, a, der zudem feststellt, daß die Dekoration mit den beiden ineinander greifenden Mäanderhaken aus der Stilphase MG II übernommen wurde und auf den Kykladen vielfach rezipiert wurde. Auch in Karien wurde der Dekor auf Skyphoi übernommen, die ebenfalls als spätgeometrisch klassifiziert werden (750/30 – 700/680 v. Chr.), s. C. Özgünel, *Karia Geometrik Seramiği* (2006) 52. 98 Kat.-Nr. 31 Taf. 34, b.

modifizierten Benennung SiG III von 750 bis 680/70 v. Chr. datiert werden. Die wenigen im Athena-Heiligtum in Milet festgestellten Kontexte der spätgeometrischen KRSk des Typus 1 scheinen zumindest die relative Chronologie zu bestätigen.

Kat.-Nr.	Id.-Nr.	Typus	Kontext
14	AT 57.O.19.7	1,2.Bb	Athena-Heiligtum: HJ XII/XIII/ im geometrischen Haus (östlich bis zur Tonröhre) 3. Abhub unter UK der obersten inneren Steinlage der S-Mauer. Bis 85 cm unter Oberkante.
15	AT 57.O.187.13	1,2.Bc	Athena-Heiligtum: JK XIII Süd/ archaische Schichten
16	K 92.51.3	1,2.Ac	Kalabaktepe-Süd: Schutt der Phase 2 über der Mauer K 92.549 aus Phase 2
17	K 91.440.14	1,2.Bc	Kalabaktepe-Süd: Einfüllung hinter der Stadtmauer der Phase 2, liegt aber neben der späteren Störung (Phase 4) der Steinausraubung
18	AT 57.N.59.7	1,2.Bc	Athena-Heiligtum: Spätgeometrische Brandschicht (?) (s. a. 6 und 11)
20	AT 57.O.157.6	1,3.Bb	Athena-Heiligtum: Ostfundament IV = HJ XII/ archaische Schichten

Abb. 89 Tab. 9. Ausgewählte Kontexte für die spätgeometrischen Varianten des Typus 1 in Milet.

6.4.2 Die spät- und subgeometrischen Knickrandskyphoi (SiG III) des Typus 2

Anhaltspunkte für eine Datierung dieses Skyphostypus, von dem bislang lediglich einige wenige Exemplare aus dem nahen Hera-Heiligtum auf Samos bekannt geworden sind, haben sich außerhalb von Milet nicht ergeben. Es bleiben daher lediglich die Kontexte, die über die bestehenden hinaus kürzlich in Milet festgestellt worden sind. Der KRSk **407** wurde von Coldstream ebenso wie **405** (s. o.) als südionisch spätgeometrisch klassifiziert. Auch seine Fundlage im samischen Heraion legt eine spätgeometrische Einordnung nahe, da auch er wie **405** in der geometrischen Überschwemmungsschicht gefunden wurde und von Walter ebenfalls als älteres Fundstück aus dem dritten Viertel des 8. Jhs. v. Chr. bestimmt wurde⁸²⁰.

⁸²⁰ Walter 1957, 35; bes. aber 38 ff. und hier bes. 38 und 42 f. Aus Walters Äußerung auf S. 35 könnte geschlossen werden, daß er die erste Überschwemmungsschicht »am Beginn des letzten Viertels des achten Jahrhunderts« datiert, aber an den folgenden hier aufgelisteten Stellen wird doch deutlich, daß er sie wohl erst am Ende des 8. Jhs. v. Chr. vermutet. Zum Gefäß **407** ebenda 40 f.

In Milet erbrachte ein von Kerschner publizierter Fundzusammenhang den ersten wichtigen Hinweis zur Datierung des Typus⁸²¹. Ihm gelang 1995 auf der Ostterrasse des Kalabaktepe die Trennung einer gemischten Aufschüttung mit spät- und subgeometrischen Funden von einer reinen früharchaischen Schicht. In der älteren Aufschüttung fanden sich insgesamt drei Beispiele der hier besprochenen KRSSk des Typus 2⁸²². Diese vertreten die Varianten 2,3.A⁸²³ und 2,2.B⁸²⁴. Letzterer hat einen attisierenden spätgeometrischen Dekor wie ihn auch **6** und **7** vertraten. Von den beiden anderen Fragmenten aus dieser Schicht ist die Dekorvariante nicht klar zu rekonstruieren, sie könnte auch subgeometrisch sein. Kerschner datierte die ältere Aufschüttung in das letzte Viertel des 8. bis zweites Viertel des 7. Jhs. v. Chr.⁸²⁵. Die untere Zeitgrenze wird von der aufliegenden frühorientalisierenden Schicht, deren Entstehung der Ausgräber in das dritte Viertel des 7. Jhs. v. Chr. datierte, vorgegeben⁸²⁶. In seiner Zusammenfassung bezeichnet Kerschner die jüngsten Funde aus der jüngeren Aufschüttung als Funde des zweiten und dritten Viertels des 7. Jhs. v. Chr.⁸²⁷, womit er schlüssig die jüngere Terrassierung in das dritte Viertel des 7. Jhs. v. Chr. datierte. Damit war als bislang einziger chronologischer Anhaltspunkt für den Typus 2 und besonders für die Varianten 2,2.B und 2,3.A ein *terminus ante quem* vor der Mitte des 7. Jhs. v. Chr., vermutlich am ehesten um 660/50 v. Chr. gegeben. In den neuen Grabungen am Kalabaktepe-Süd beginnt die Phase 1 bereits um 670 v. Chr. und auch zuvor in der Vorsiedlungsphase waren erste Aktivitäten festgestellt worden. Tatsächlich könnte der KRSSk **34** der Variante 2,2.B bereits den Siedlungsaktivitäten vor den ersten festen Gebäuden am Südhang des Kalabaktepe angehört haben. Damit wäre für ihn ein *terminus ante quem* von vor 670 v. Chr. gegeben. Für die Variante 2,1.B hält die Stratigraphie erst einen Zusammenhang am Ende der Phase 2 bereit (**30**), der allerdings eine Aufschüttung darstellt, in die auch ältere Fragmente eingelagert waren. Neben dem oben bereits erwähnten Kontext aus der Vorsiedlungsphase 0 (**34**) für die Variante 2,2 fanden sich noch weitere Beispiele in Schichten der 1. Siedlungsphase (**32–33**, **35**). Im Aphrodite-Heiligtum fand sich ein bemalter KRSSk der Variante 2,2.B in einem Kontext der zweiten Hälfte des 7. Jhs. v. Chr., was ausgezeichnet zu seinem subgeometrischen Dekor paßt. Die Variante 2,3 konnte erneut lediglich in einer Auffüllung der Phase 4 festgestellt werden, wohin sie mit Sicherheit aus einem früheren Zusammenhang 'verschleppt' wurde. Lediglich für die Variante 2,4.B konnte am Athena-Heiligtum ein Beispiel in einem geometrischen Kontext (**43**) verortet werden, während drei weitere KRSSk derselben Variante in archaischen Schichten (**44**, **47–48**, **408**) aufgedeckt wurden. Sowohl die Fundsituation in Athena-Heiligtum (**44**) als auch in der Siedlung am Kalabaktepe-Süd lassen wohl keine exaktere Eingrenzung für die Variante zu. Jedenfalls ist die Datierung der Auffüllung für

⁸²¹ Kerschner 1999, 7 ff.

⁸²² Schlotzhauer 1999b 22 Abb. 11, 36–38.

⁸²³ Ebenda Abb. 11, 36.

⁸²⁴ Ebenda Abb. 11, 37–38.

⁸²⁵ Kerschner 1999, 15. 51.

⁸²⁶ Ebenda 28.

⁸²⁷ Ebenda 51.

Phase 3 an das Ende des 7. Jhs. v. Chr. recht spät für den Typus 2 und läßt auch hier eher eine 'Verschleppung' aus früheren Zusammenhängen vermuten.

Die statistische Auswertung am Kalabaktepe-Süd fußt lediglich auf einer geringen Menge, denn der Typus macht schließlich insgesamt nur 2 % unter den ausgewerteten KRSSk und KRS aus. Doch die Tendenz ist deutlich und konnte für den Typus 2 insgesamt eine Laufzeit während der Siedlungsphasen 0 bis 2 aufzeigen. Dabei konnte aus der vertikalen Auswertung (Abb. 73) geschlossen werden, daß die Produktion möglicherweise in der Phase 2 leicht anstieg, während sie mit der Phase 3 bereits vollständig zum Erliegen gekommen war. Die horizontale Auswertung (Abb. 31; 37; 43; 50) bestätigt grundsätzlich die Laufzeit aus der vertikalen Auswertung, relativiert allerdings die Aussage zur Phase 2, denn mit jeweils 6 % in Phase 1 und 2 gibt es relativ gesehen keinen nennenswerten Zuwachs in Phase 2. Doch zeigten die konkreten Fundumstände, die in Tab. 11 aufgeführten sind, daß viele Beispiele bereits in den Phasen 1 und 2 aus Auffüllungs- oder Zerstörungsschichten stammen und daher vermutlich bereits ursprünglich aus älteren Kontexten hervorgegangen sind. Sicher ist, daß der Typus 2 in Phase 3 bereits keine Bedeutung mehr hatte. Ob und wie lange der Typus 2 noch während der Phase 2 benutzt wurde und ob er in dieser Phase überhaupt noch produziert wurde, ist nicht sicher zu beantworten. Doch wird der Typus sicher nicht bis zum Ende der Phase 2 benutzt worden sein. Lediglich für die Variante 2,2 (**34**) ist mit dem Nachweis der ältesten Siedlungsphase am Kalabaktepe-Süd ein Datum vor 670 v. Chr. gegeben, und für die Variante 2,4 (**43**) scheint im Athena-Heiligtum ebenfalls ein vorarchaischer Kontext gesichert.

Die stilistische Einordnung der Dekore hat bisher für einige Beispiele der Varianten 2,1.B, 2,2.B, 2,3.B und 2,4.B des Typus 2 die spätgeometrische Stufe (**30–32, 34, 44, 46–47, 405, 407–408**) nahegelegt⁸²⁸, was die stratigraphische Auswertung bestätigt und konkretisiert. Darüber hinaus ließen sich auch Dekore als subgeometrisch klassifizieren. Der KRSSk **406** der Variante 2,2.B etwa hat einen subgeometrischen Dekor. Auch **36** (Variante 2,2.B) sowie **39** und **40** (Variante 2,3.B) und **48** (Variante 2,4.B) sind bereits mit subgeometrischen Dekoren bemalt. Dies paßt auch insgesamt gut zu den bisher festgestellten Fundkontexten. Da mittelgeometrische Beispiel bisher weder aufgrund von Fundlagen noch stilistisch nachgewiesen werden konnten, ist anzunehmen, daß die Reihe erst im Verlaufe der spätgeometrischen Periode ihren Anfang nahm.

Kat.-Nr.	Id.-Nr.	Typus	Kontext
30	K 89.514.36	2,1.Bb	Kalabaktepe-Süd: Auffüllung für Phase 3, vielleicht noch ein Teil des Bodens von Phase 2+3
32	K 88.180.6	2,2.Ac	Kalabaktepe-Süd: Phase 1; unter Schutt K 88.178 im zerstörten Ofen

⁸²⁸ Schlotzhauer 1999b, 22 Abb. 11, 36.

33	K 92.655.1	2,2.Bb	Kalabaktepe-Süd: Auffüllung für Phase 2? »Unterbau Stadtmauer?«)
34	K 93.552.1	2,2.Bb	Kalabaktepe-Süd: Phase 0/1; »älteste Siedlungsschicht«
35	K 92.30.2	2,2.Bb	Kalabaktepe-Süd: Zerstörungsschutt des Gebäudes der Phase 1
406	Z 94.2.4 + Z 94.233.45	2,2.B	Aphrodite-Heiligtum: Heiligtumsabfall der zweiten Hälfte des 7. Jhs. v. Chr.
39	K 90.607.31	2,3.B	Kalabaktepe-Süd: Auffüllung für Phase 4
408	K 91.516.6	2,4.A	Kalabaktepe-Süd: Phase 1/2 (oder gestört)
43	AT 55.33.2	2,4.Ba	Athena-Heiligtum: kleine geometrische Fundstelle unter Fundament der Westperistase.
44	S 66.215.3	2,4.Bc	Athena-Heiligtum: Schicht des 7.(?) Jhs. v. Chr.
47	K 91.113.16	2,4.Bc	Kalabaktepe-Süd: Auffüllung für Phase 3
48	K 93.165.10	2,4.Bd	Kalabaktepe-Süd: Boden der Phase 2 oder Auffüllung für Phase 3

Abb. 90 Tab. 10. Ausgewählte Kontexte für die spät- und subgeometrischen Varianten des Typus 2 in Milet.

6.4.3 Die spät- und subgeometrischen Knickrandskyphoi und – schalen des Typus 3 (SiG III)

Auch für die spätgeometrischen Varianten (SiG III) des Typus 3 fanden sich nur wenige chronologische Anhaltspunkte. Die frühesten stratigraphischen Hinweise sind den Grabungen im Athena-Heiligtum zu verdanken, wo der KRSk **68** der Variante 3,3.B in einem geometrischen – vermutlich spätgeometrischen – Kontext aufgedeckt wurde. In der Siedlung am Kalabaktepe-Süd existieren Fundkontexte für Beispiele der Varianten 3,2.B (**62, 64**) und 3,3.B (**70, 72**), die spätestens in Phase 2 oder früher benutzt worden sein könnten, doch sind diese Kontexte nicht ungestört. Lediglich **412** bezeugt für die Variante 3,3.B sicher eine Fundsituation der Siedlungsphase 1 oder früher.

Die statistische Auswertung des Typus 3 am Kalabaktepe-Süd hat sowohl in der vertikalen als auch in der horizontalen Auswertung gezeigt, daß der Typus 3 in jedem Fall bereits vor 680 v. Chr. produziert wurde, und legt zudem nahe, daß er nicht länger als bis 650/40 v. Chr. existierte (vgl. S. 235 ff.). Zudem zeigt ein Fundkontext im Athena-Heiligtum, daß Typus 3 bereits in spätgeometrischer Zeit produziert wurde.

Darüber hinaus gewinnt die zeitliche Einordnung durch den stilistischen Vergleich mit besser datierten Beispielen anderer Regionen an Sicherheit. Das Übergangsstück **51** hat noch einen Dekor in spätgeometrischer Tradition. Die gleiche Form – nämlich einen bereits abgeknickten Rand, aber noch eine Standplatte und noch keinen Standing – verbindet das samische Übergangsstück **51** mit einem anderen Übergangsstück aus Samos, dessen Dekor bereits auf die Beispiele **52** und **53** verweist⁸²⁹. Das hier nicht abgebildete Vergleichsstück aus dem samischen Heraion mit der Inv.-Nr. K 3504 stammt aus einem wohl spätgeometrischen Befund, den Kopcke auf die zweite Hälfte des 8. Jhs. v. Chr. eingrenzte⁸³⁰. Daher sind die Gefäße des Übergangs von Typus 1 und 3 spätestens ins Spätgeometrische, und somit in das letzte Viertel des 8. und das erste Jahrzehnt des 7. Jhs. v. Chr. zu datieren. Im Zeitraum zwischen 720–690 v. Chr. werden sich diese Übergangsstücke mit den frühesten KRS des Typus 3 überschneiden. Dagegen weisen die Beispiele **52** und **53** bereits subgeometrische Dekore auf. Spät- bis subgeometrisch sind die Dekore der KRS **54**, **56** sowie **59** der Variante 3,1.B sowie **60–64** und **411** der Variante 3,2.B. Die KRS **409–413** der Varianten 3,1.B bis 3,3.B haben den Schritt zur früharchaischen Gefäßmalerei des Tierfriesstils (SiA Ia) bereits vollzogen.

Viele Fragen zu Al Mina sind umstritten, die Chronologie der Schichtenabfolge im Großen und Ganzen aber nicht⁸³¹. Besonders wichtig in diesem Zusammenhang sind die Schichten 9–7 sowie die Schichten 6–5. Gleichwohl ist eine absolute Datierung für das Ende der Schicht 9–8 nicht ganz sicher, aber gegen 720 v. Chr. anzunehmen, das Ende der Schicht 7 wird in etwa mit dem historischen Ereignis zusammenfallen, das auch zur Zerstörung in Tarsus geführt haben wird (696 v. Chr.). Dann erst scheint wieder für die späte Schicht 4 (nach 520 v. Chr.) aufgrund der attischen Funde eine sichere Bestimmung möglich. Eine KRS vermutlich der Variante 3,2.Bc⁸³² aus den Schichten 9–8 in Al Mina sei hier angeführt. Nach konventioneller Datierung, die Descœudres⁸³³ für die Funde der Schichten 8–9 angibt, sollten sie spätestens 720/710 v. Chr., nach Boardman⁸³⁴ vor 720 v. Chr. datiert werden. Dies wäre die bisher früheste Datierung für den Typus 3. Aufgrund der nicht sicher zu fixierenden absoluten Datierung des Endes der Schicht 8 in Al Mina muß die chronologische Stellung des Typus und der Variante vielleicht nicht ganz so weit nach oben geschoben werden. Es wäre zumal die

⁸²⁹ Kopcke 1968, 254 Kat.-Nr. 8 Abb. 3 Taf. 93, 1.

⁸³⁰ Ebenda 303 f. »Langer Graben«.

⁸³¹ C. L. Woolley, *Excavation in Al Mina, Sueidia*, JHS 58, 1938, 1 ff.; 133 ff.; M. Robertson, JHS 60, 1940, 2 ff.; J. Boardman, JHS 85, 1965, 12 ff.; Colstream 1968, 313 ff.; E. Gjerstad, *Acta Arch* 45, 1974, 107 ff.; Boardman 1980, 38 ff. zu Schicht 8 und 7 sowie deren Datierung (»... Level VIII certainly ends earlier than 709 [...] The transition from Level VIII to Level VII is marked by extensive repairs, which I relate to Assyrian action against rebels in Syria about 720 ...« [ebenda 44]; »... as the pottery evidence in Al Mina suggests that the abandonment of the Level VII houses fell ... in the site's history with the events which led to the destruction of Tarsus in 696« [ebenda 46]; Boardman 1990, 171 ff.

⁸³² Aufgrund einer fehlenden Profilzeichnung kann die Variante nur vom Foto her erschlossen werden.

⁸³³ J.-P. Descœudres, *Euboens in Australia. Some Observations on the Imitations of Corinthian Kotylai Made in Eretria and Found in Al Mina*, in: *Ders. u. a., Ausgrabungen und Forschungen, Eretria 6* (1978) 7 ff. bes. S. 15 zu den Datierungen der Schichten.

⁸³⁴ Boardman 1980, 44.

früheste Datierung, die aufgrund einer anderen KRS aus derselben Schicht noch unwahrscheinlicher scheint (s. u. Typus 5).

Damit sollten die Varianten des Typus 3 folgendermaßen datiert werden:

3,1.B ca. 720/10 – 650/40 v. Chr.

3,2.B ca. 720/10 – 650/40 v. Chr.

3,3.B ca. 690/80 – 650/40 v. Chr.

Kat.-Nr.	Id.-Nr.	Typus	Kontext
56	K 89.272.3	3,1.Bc	Kalabaktepe-Süd: Boden von Phase 2+3
62	K 93.166.2	3,2.Bc	Kalabaktepe-Süd: Boden der Phase 2 oder Auffüllung für Phase 3
64	K 93.507.3	3,2.Bc	Kalabaktepe-Süd: Phase 5 (1/2), Einfüllung zwischen Außenmauer und Innenwand des Ofens
411	AT 57.O.152.14	3,2.B	Athena-Heiligtum: Ostfundament IV = HJ XII/ archaische Schicht
68	AT 57.N.37.1	3,3.Bc-d	Athena-Heiligtum: geometrisch-spätgeometrisch
70	K 92.543.18	3,3.B.c-d	Kalabaktepe-Süd: Boden der Phase 2, Nutzungszeit von Phase 2
71	K 90.222.10	3,3.B.c	Kalabaktepe-Süd: Schutt der Phase 3 oder Boden von Phase 4
72	K 93.110.8	3,3.B	Kalabaktepe-Süd: Phase 2–5, Auffüllung für den Hofboden
412	K 92.126.5	3,3 B	Kalabaktepe-Süd: Schutt von Phase 1

Abb. 91 Tab. 11. Ausgewählte Kontexte für die spät- und subgeometrischen Varianten des Typus 3 in Milet.

6.5 *Datierung der Knickrandskyphoi und –schalen der früharchaischen Stufe SiA I*

Die folgende statistische Auswertung im Kontext der am Kalabaktepe-Süd erarbeiteten Stratigraphie erlaubt durch eine vertikale und horizontale Analyse eine sichere relative Datierung und Ansätze für eine absolute Bestimmung der Nutzungszeit der Typen und Varianten südionischer Knickrandskyphoi und -schalen. Besonders die Auswertungen der frühesten Siedlungsphasen geben bereits für sich genommen einen sicheren Zeitrahmen, denn es kann sich bei ihnen nicht um umgelagertes Material

handeln, da in diesem Bereich keine frühere Besiedlung festgestellt wurde. Die hier im Kontext der Siedlungsphasen 1 und 2 angetroffenen Trinkgefäße müssen von den hier Siedelnden benutzt worden sein!

6.5.1 Die subgeometrischen Knickrandskyphoi des Typus 1

Die Stratigraphie der neuen Grabungen am Südhang des Kalabaktepe hat etwas überraschend den Formtypus 1 auch für die Fundzusammenhänge der Zeitstufe MileA I erwiesen. Damit läßt sich bereits aus stratigraphischen Gründen – noch vor der Anwendung der stilistischen Methode – eine subgeometrische Stilstufe innerhalb der Entwicklung des Typus 1 postulieren. Auffallend ist vor allem die relativ hohe Konzentration der KRSk des Typus 1 in der Siedlungsphase 1 am Kalabaktepe-Süd. Die vertikale Verteilungskurve (Abb. 72) macht bereits deutlich, daß der Typus 1 in seiner subgeometrischen Ausprägung in sicheren Fundzusammenhängen der frühesten Siedlungsphase einen Wert erreicht, der die Nutzung der Trinkgefäßgruppe für diese Phase nahe legt. Zum gleichen Resultat führt auch eine andere Auswertung, in der der Typus 1 in seinem Verhältnis zu den weiteren Typen der KRSk und KRS für jede Siedlungsphase gesetzt wurde. Für die Siedlungsphase 1 erweist die horizontale Auswertungsmethode, daß der Typus 1 neben den subgeometrischen Schalen des Typus 3 den größten Anteil aufweist (vgl. Abb. 37). Doch bereits in Phase 2 (Abb. 43) und erst recht in Phase 3 (Abb. 50) sinkt ihr Anteil unter den aller anderen Typen dieser Trinkgefäßgattung auf 8 % bzw. 7 % ab, um mit der Siedlungsphase 4 (Abb. 58) auf den verschwindend geringen Wert von 2 % abzufallen. Damit ist aus den sicheren Fundzusammenhängen in der Siedlung am Südhang des Kalabaktepe für die subgeometrischen Varianten des Typus 1 zu schließen, daß ihnen unter den Trinkgefäßen der ersten Siedlungsphase noch immer eine bedeutende Rolle zukam. Da sie im Kontext der allerersten Besiedlungsphase dieser Gegend angetroffen wurden, ist ihre Nutzung in dieser Phase ohnehin vorauszusetzen. Mit dem Ende der Siedlungsphase 1 um 640 v. Chr. hatten die Gefäße des Typus 1 ihre dominierende Bedeutung bereits wieder eingebüßt. Vermutlich ist aus dem Ergebnis im untersuchten Siedlungsareal auf ein allgemeines Produktionsende des Formtypus bereits während der Phase 1 zu schließen. Die verhältnismäßig starke Konzentration von Typus 1 in den beiden folgenden Siedlungsphasen läßt sich mit Umlagerungen in Böden und Lehmwänden sowie Planierungsmaßnahmen für die nächsten Siedlungsphasen erklären. Entscheidend ist, daß sowohl im Verhältnis der Typen zueinander (horizontale Analyse) (Abb. 37 und Abb. 43) als auch durch die Darstellung der absoluten Zahlen in der Phasenfolge (vertikale Analyse) (Abb. 72) eine klare Zäsur für den Nachweis des Typus 1 nach der Siedlungsphase 1 aufzuzeigen ist.

Zwar bleibt die Form der KRSk des Typus 1 auch in der subgeometrischen Phase relativ unverändert, die Dekore aber verraten bereits die nachgeometrische Zeitstellung. Die Kammbürstentechnik auf dem KRSk 21 zeigt an, daß die Variante 1,3.B bis in die archaische Phase SiA/MileA I hinein produziert wurde. Möglicherweise wird die subgeometrische Reihe der KRSk des Typus 1 noch durch die

Variante 1,2.B erweitert, wenn die Fundlage von **21** tatsächlich auf eine Nutzung in der 1. Siedlungsphase und nicht auf die Vorsiedlungsphase schließen läßt.

Damit ist erwiesen, daß die spätgeometrischen KRSk des Typus 1 auch ein subgeometrisches Derivat bis in die Früharchaik (MileA Ia) stellten. Weitere Anhaltspunkte außerhalb Milets sind für die subgeometrischen Varianten des Typus 1 nicht gegeben, womit eine Kontrolle der hier demonstrierten Datierung fehlt. Doch stellt die Auswertung damit einen hinreichend abgesicherten Rahmen von ca. 680/70 bis ca. 660/50 v. Chr. dar.

Kat.-Nr.	Id.-Nr.	Typus	Kontext
Abb. 10	K 92.174.3	1,2.B	Kalabaktepe-Süd: Auffüllung für Phase 4?- eher für Phase 2
21	K 92.81.1	1,3.B	Kalabaktepe-Süd: Zerstörungsschutt des Gebäudes Phase 1?

Abb. 92 Tab. 12. Ausgewählte Kontexte für die subgeometrischen Varianten des Typus 1 in Milet.

6.5.2 Die subgeometrischen Knickrandskyphoi des Typus 2

Die subgeometrischen KRSk des Typus 2 wurden bereits oben im Kapitel 6.4.2 behandelt. Für die subgeometrischen Varianten des Typus 2 ist eine Laufzeit von ca. 680/70 bis 640/30 v. Chr. festgestellt worden.

6.5.3 Die subgeometrischen Knickrandskyphoi und –schalen des Typus 3

Die subgeometrischen KRSk und KRS des Typus 3 wurden bereits oben im Kapitel 6.4.3 behandelt. Für die subgeometrischen Varianten des Typus 3 ist eine Laufzeit von ca. 680/70 bis 650/40 v. Chr. festgestellt worden.

6.5.4 Die Knickrandschalen des Typus 4

Zunächst läßt sich für die Chronologie des Typus 4 festhalten, daß KRS dieser Gruppe bereits in der Siedlungsphase 0 am Kalabaktepe-Süd angetroffen wurden (**81**). Damit sind Beispiele des Typus zumindest bereits während der ersten Siedlungsaktivitäten, also zumindest um 670 v. Chr., hier eingelagert worden (Abb. 31; 75). Noch früher ist die Fundsituation der KRS **73**, die im Athena-Heiligtum bereits in einem spätgeometrischen Kontext angetroffen wurde. Dies scheint eigentlich zu früh für den Typus der KRS. Die Frage ist, ob die Trennung des Befundes in den alten Grabungen tatsächlich so eindeutig war, oder ob die Variante 4,1, die in der Siedlungsgrabung am Kalabaktepe-Süd tatsächlich nicht angetroffen wurde, vielleicht schon am Ende der spätgeometrischen Epoche ihren Produktionsbeginn hatte. Für die Variante 4,2.B stellt die Versiegelung eines großen Bothros im

Aphrodite-Heiligtum vor 630 v. Chr. einen sicheren *terminus ante quem*⁸³⁵. Die Schichten, in denen die KRS **78** und **81** sowie vielleicht **86** gefunden wurden, lassen für die Variante 4,3.B ebenfalls bereits eine Datierung vor der Siedlungsphase 1 am Kalabaktepe zu. Für die hier aufgeführten Stücke läßt sich eine enger Datierungsspanne angeben, als für die übrigen: so kann die KRS **81** recht exakt auf 680/70 v. Chr. datiert werden, da sie bereits kurz nach dem vermuteten Produktionsbeginn der Variante 4,3 in einen Fundamentgraben der ersten Siedlungsphase am Kalabaktepe-Süd geriet.

Die Datierungshilfen, die durch die oben genannten und in Tab. 14 zusammengetragenen Fundlagen für den Typus 4 vorgegeben wurden, finden sich durch die statistische Auswertung bestätigt. Die vertikale (Abb. 75) wie auch die horizontale Auswertung (Abb. 31; 37; 43; 50) haben für die Siedlungsgrabung eine Nutzung des Typus 4 vom Beginn der Siedlungsaktivitäten bis spätestens zum Ende der Phase 2 um 630/20 v. Chr. aufgezeigt (vgl. S. 235 ff.).

Stilistisch läßt sich das Fragment **414**, das auf eine KRS-Form der Variante 4,3.B schließen läßt, der Tierfriesmalerei der Stilphase SiA Ia, also der frühesten Phase, zuordnen. Damit ist die aus den alten Grabungen aus Wiegands Zeiten und durch Kriegszerstörung nicht mehr einem Fundzusammenhang oder genauen -ort in Milet zuweisbare KRS in die Zeit zwischen 670 und 650/40 v. Chr. zu datieren. Diese Datierung deckt sich durchaus mit der aus der milesischen Stratigraphie am Kalabaktepe erzielten Chronologie der Variante 4,3.B und des Typus 4 in Milet insgesamt. Überhaupt macht der Vergleich mit den übrigen Typen klar, daß der Typus 4 in seiner Morphologie den Schalenformen des Typus 3 und auch den frühen Varianten des Typus 5 nahe steht. Seine zeitliche Verortung im Zeitraum vom früheren bis in das dritte Viertel des 7. Jhs. v. Chr. ist dadurch ebenfalls abgesichert.

Außerhalb Milets fanden sich kaum Anhaltspunkte zur Datierung des Typus, womit eine Kontrolle der anhand der Stratigraphie am Kalabaktepe-Süd festgestellten Datierung weitestgehend fehlt. Der Typus 4 scheint nicht exportiert worden zu sein, nicht einmal auf der nahen Insel Samos fand sich ein Beispiel als Import oder lokale Fertigung. In Tocra (Taucheira), das für die festgestellte chronologische Stellung des Typus 4 als Fundort bereits zu spät erscheint, sind inselionische KRS gefunden worden, die einen recht ähnlichen Dekor aufweisen⁸³⁶. Klare Unterschiede sind indessen, daß sie konzentrische Kreise – manche sogar zu Rosetten umgeformt – in die Felder zwischen den vertikalen Strichreihen auf dem Gefäßkörper eingeschrieben haben⁸³⁷. Auch haben sie eine dichtere Abfolge mehrerer Bänder auf der Außenseite des Randes, die bereits an den später zu datierenden südionischen Typus 7 erinnert. Doch besonders Kat.-Nr. 2100 (Tocra) zeigt dieselbe Überschneidung der vertikalen Linien mit den horizontalen Bändern im unteren Bereich der ausgesparten tongrundigen Zone. Auch die breiten vertikalen Striche von Kat.-Nr. 920 (Tocra) oder die recht sorglos aufgemalten vertikalen Strichreihen auf Kat.-Nr. 918 (Tocra) erinnern entfernt an den milesischen Typus 4, als

⁸³⁵ Vgl. Anm. 726.

⁸³⁶ Tocra 1, 77 Abb. 38, 918. 920 Taf. 54, 918-920; Tocra 2, Taf. 20, 918 (=Tocra 1, Kat.-Nr. 918). 2099–2100.

⁸³⁷ Tocra 1, Taf. 54, 918-920; Tocra 2, Taf. 20, 918. 2099–2100.

seien jene eine spätere Fortsetzung dieses Typus. Auch die Form der kürzeren und dickeren Rändern sind bereits weiterentwickelt und entsprechen dem Zeitphänomen des letzten Viertels des 7. Jhs. v. Chr. und später⁸³⁸. Allerdings fand sich nur ein Beispiel der von Hayes und Boardman als Parisch erkannten KRS⁸³⁹ in einer aussagekräftigen Fundlage: »Deposit III« (Level 7)⁸⁴⁰, das Keramik bis ca. 530 v. Chr. enthielt. Inzwischen sind Töpferöfen in Phari auf der Insel Thasos entdeckt worden, in denen ebendiese sog. parischen KRS hergestellt wurden⁸⁴¹. Beispiele aus Amorgos werden von Blanas als naxisch oder parisch-thasisch bezeichnet und teilweise tatsächlich auch in die erste Hälfte des 7. Jhs. v. Chr. datiert, allerdings nur aufgrund von Vergleichen⁸⁴². Den Töpferöfen in Phari auf Thasos, in dem die dortigen thasischen KRS produziert wurden, wird von den Ausgräbern zwischen 525-480 v. Chr. datiert⁸⁴³. Parallelen aus Delos können noch angeführt werden, von denen einige (vermutlich lokale) KRS insbesondere **77** der Variante 4,2.B nahe stehen⁸⁴⁴. Sie haben dann auch wieder wenige Firnisbänder (oder nur eines) auf dem ausgesparten Rand außen. Für die Datierung sind ihre Fundsituationen unergiebig⁸⁴⁵. Ein weiteres Beispiel aus Thasos, das dort als thasisch bezeichnet wird, zeigt die vollständige Form, die bei aller Ähnlichkeit besonders mit **78**, wiederum die Unterschiede in ihrer tiefen Form und den kurzen Rändern zu der milesischen Serie deutlich macht⁸⁴⁶. Damit sollten die Varianten der Typus 4 zunächst folgendermaßen datiert werden:

4,1.B ca. 690/80 – 670/60 v. Chr.

4,2.B ca. 680/70 – 630/20 v. Chr.

4,3.B ca. 680/70 – 630/20 v. Chr.

Kat.-Nr.	Id.-Nr.	Typus	Kontext
73	AT 57.N.96.2	4,1.Bd	Athena-Heiligtum: spätgeometrisch
76	K 92.422.6	4,2.Bd	Kalabaktepe-Süd: Auffüllung für Phase 3

⁸³⁸ Tocra 1, 77, Abb. 38, 918. 920.

⁸³⁹ Tocra 2, 36 Kat.-Nr. 2100.

⁸⁴⁰ Zur Stratigraphie und Datierung von Level 7 und Deposit III s. Tocra 1, 8 f. 12.

⁸⁴¹ F. Blondé – J. Y. Perreault – C. Péristéri, Un atelier de potier archaïque à Phari (Thasos), in : F. Blondé - J. Y. Perreault (Hrsg.), Les ateliers de potiers dans le monde Grec aux époques géométrique, archaïque et classique. Actes de la Table Ronde organisée à l'École française d'Athènes (2 et 3 octobre 1987), Suppl. BCH 23 (1992) 11 ff. bes. 24 ff.

⁸⁴² A. Blanas, Geometrische Keramik aus Minoia auf Amorgos (2006) 307–312 Kat. 300–315; 353–355 Abb. 300–315; besonders Kat.-Nr. 302 steht bis auf den Dekor der Variante 4,1.B nahe.

⁸⁴³ Blonde – Perreault – Péristéri a. O. 39.

⁸⁴⁴ Ch. Dugas, Les Vases de L'Héraion, Delos 10 (1928) Taf. 55, 665–667.

⁸⁴⁵ So auch für KRS, die P. Courbin (L'oikos de Naxiens. Delos 33 (Paris 1980) 91 Anm. 3 Taf. 66, 6 = EADelos 17, 51 Kat.-Nr. 20 Taf. 68A) parische Schalen nennt: »Le VII^e s. est d'abord représenté par des fr. subgéométriques, comme celui d'une coupe 'parienne' ornée de cercles concentriques dans une métope ...«.

⁸⁴⁶ B. Holtzmann – O. Picard – Y. Grandjean – D. Knoepfler – J.-J. Maffre, Thasos, BCH, 573 Abb. 64 r.

77	Z 08.472.212+	4,2.Bd	Aphrodite-Heiligtum: vor 630/20 v. Chr., obere Bothrosfüllung
78	K 90.807.1	4,3.Bd	Kalabaktepe-Süd: Boden der Phase 1, vor Beginn der Errichtung der Stadtmauer
81	K 91.147.6	4,3.Bd	Kalabaktepe-Süd: Phase 0, Fundamentgraben der Phase 1
82	K 91.113.17	4,3.Bd	Kalabaktepe-Süd: Auffüllung für Phase 3
86	K 92.85.8	4,3.Bd	Kalabaktepe-Süd: Lehmziegelfundament der Stadtmauer und Auffüllung für Phase 2

Abb. 93 Tab. 13. Ausgewählte Kontexte für die früharchaischen Varianten des Typus 4 in Milet.

6.5.5 Die Knickrandschalen des Typus 5

Die Fundlage einiger Beispiele des Typus 5 in Phase 0 macht einen Produktionsstart vor bzw. spätestens mit dem Beginn der Siedlungsphase 1 am Südhang des Kalabaktepe, also vor oder um 670 v. Chr., wahrscheinlich. Einige KRS der Variante 5,1.B (**88**, **90–91**, **94**) sind in Fundkontexten gefunden worden, die ihre Nutzungs- und vielleicht auch Produktionszeit näher eingrenzen läßt. Die KRS **90** ist spätestens für die Phase 2 am Kalabaktepe-Süd bezeugt, was ihre Nutzung in der Zeit vor ca. 610 v. Chr. bezeugt. Die beiden Schalen **88** und **94** gerieten bereits spätestens 630 v. Chr. in einen Bothros im Aphrodite-Heiligtum⁸⁴⁷, und **91** wurde vermutlich schon vor der Anlage des Bodens der Phase 2 benutzt, also vor ca. 640 v. Chr. Drei Beispiele der Variante 5,2.B (**98–100**) konnten an unterschiedlichen Stellen der Siedlung am Kalabaktepe-Süd in Auffüllungen aus Phase 2 oder in Zerstörungsschichten derselben sichergestellt werden. Damit ist ein *terminus ante quem* für die Variante 5,2 vor 610 v. Chr. gegeben. Ebenfalls drei Beispiele (**102**, **109**, **113**) haben für die Datierung der Variante 5,3.B relevante Fundkontexte. Die fast vollständigen KRS **109** und **113** geben für die Variante 5,3.B einen *terminus ante quem* vor dem Verschluß des Bothros im Aphrodite-Heiligtum, in den sie somit vor 630 v. Chr. geraten sind. Noch früher ist wohl die Schicht zu datieren, in der die KRS **102** gefunden wurde: vor der Siedlungsphase 2, also vor oder um 640 v. Chr. Damit können erneut für einige Einzelstücke sehr eng gefaßte Datierungen gewonnen werden, etwa für die KRS **415** (s. u.) der Variante 5,1.B (690–670 v. Chr.); **91** der Variante 5,1.B (680/70–ca. 640 v. Chr.); **102** der Variante 5,3.B (640/30–620/10 v. Chr.); **109** und **113** der Variante 5,3.B (640/30–630/20 v. Chr.).

Die statistische Auswertung der stratigraphisch erfaßten KRS des Typus 5 wurde in Kapitel 5.1.3 'Zusammenfassung zu den neuen Grabungen' (S. 235 ff.) dahingehend interpretiert, daß der Typus dort sicher bereits um 680/70 v. Chr. nachzuweisen war und vermutlich bis ca. 600/590 v. Chr. benutzt wurde. Für die Varianten wurden folgende Datierungen vorgeschlagen: Variante 5,1 startet spätestens

⁸⁴⁷ Vgl. o. Anm. 726

um 680/70 v. Chr. und endet wohl gegen 620/10 v. Chr. Variante 5,2.B läuft von ca. 660/50 v. Chr. bis 610/00 v. Chr., Variante 5,3 von 640/30 v. Chr. bis 600/590 v. Chr. und Variante 5,4 vermutlich von spätestens 620/10 v. Chr. bis 600/590 v. Chr.

Stilistisch hängen die späten Beispiele des Typus 5 der Varianten 5,3.B und 5,4.B zudem besonders mit den frühen Varianten 9,1.B–C zusammen. Manches Stück unterscheidet sich lediglich durch die fehlenden feinen Linien auf der Außenseite des Randes. Hier kommt es sicher zu einer zeitlichen Überschneidung der beiden Typen, was auch auf diesem Weg die lange Laufzeit des Typus 5 bestätigt.

Tatsächlich erfährt die frühe Datierung des Typus durch die bemalte KRS **415** der Variante 5,1.B aus dem samischen Heraion aufgrund der stilistischen Einordnung der Dekoration eine Bestätigung. Sicher ist es eine südionische Interpretation des Vogelfrieses, dennoch standen wohl argivische LG II-Beispiele⁸⁴⁸ Pate, die Coldstream bis mindestens 690 v. Chr. datiert. Einen sehr ähnlichen Dekor ebenfalls unter den Funden in Samos hat Walter als spätgeometrisch um 750–700 v. Chr. datiert⁸⁴⁹. Vermutlich ist dies alles etwas zu früh für die bereits mit hellem Überzug versehene KRS, der bereits auf die Zeit des südionischen Tierfriesstils hinweist. Doch ist eine stilistische Datierung in die Übergangsphase am Ende der südionisch spätgeometrischen und früharchaischen Phase zwischen 690 und 670 v. Chr. kaum von der Hand zu weisen. Entsprechend wurde der »früheste 'ionische' Schalentypus«⁸⁵⁰ von den Bearbeitern der samischen Fundkeramik als 'spät- oder subgeometrisch'⁸⁵¹ bezeichnet. Walter datierte eine »geometrische« Schwemmschicht durch stilistische Überlegungen zu den in ihr erhaltenen Funden an das Ende des 8. Jhs. v. Chr.⁸⁵². Doch wurden die beiden KRS der Variante 5,1.B mit den Dekorvarianten e⁸⁵³ und ea⁸⁵⁴, die sich in dieser Überschwemmungsschicht fanden, vom Ausgräber sicher zu früh angesetzt. Denn nirgends sonst ist eine so frühe Datierung solcher Schalen zu finden. Wie bereits oben (s. S. 17 ff. im Kapitel 3.1 'Die bestehenden Klassifizierungsmodelle für ostgriechische Knickrandschalen' z. B. Villard – Vallet) dargelegt, sind es eben die KRS des Typus 5, die bereits vollständig die geometrische Formwelt abgestreift haben und rein archaischen Formgesetzen gehorchen. Sie werden demnach die Überschwemmung im samischen Heraion eher in das 7. Jh. v. Chr. herabdatieren. Eine zweite Überschwemmung im Heraion, die Walter feststellen konnte, enthielt erneut Beispiele des Typus 5. Diese zweite Überschwemmung datierte Walter um 670 v. Chr.⁸⁵⁵ In ihr war erneut ein KRS der Variante 5,1.Be⁸⁵⁶. Diese ist nun

⁸⁴⁸ Z. B. Coldstream 1968, Taf. 28, b, e; 29, e; 30, d; 31, e.

⁸⁴⁹ Samos 5, Taf. 38, 209.

⁸⁵⁰ Furtwängler 1980, 163.

⁸⁵¹ Die Bezeichnung wird wohl bereits von Hanfmann (1956, 172) und Gjerstad (1977, 29 Kat.-Nr. 88–89) übernommen sein, die allerdings insgesamt eine zu hohe Chronologie für den Typus 5 verfolgten.

⁸⁵² Walter 1957, 35; bes. aber 38 ff. und hier bes. 38 und 42 f. Aus Walters Äußerung auf S. 35 könnte geschlossen werden, daß er die erste Überschwemmungsschicht an den »Beginn des letzten Viertels des achten Jahrhunderts« datierte, aber an den folgenden hier aufgelisteten Stellen wird doch deutlich, daß er sie wohl erst am Ende des 8. Jhs. v. Chr. vermutete.

⁸⁵³ Walter 1957, Beil. 54, 3.

⁸⁵⁴ Ebenda Beil. 54, 4.

⁸⁵⁵ Ebenda 35. 39; bes. aber 43 ff. und hier bes. 44 und 46.

sicher relativchronologisch jünger als die beiden KRS in der älteren Überschwemmung. Sicher ist wohl auch aufgrund des Keramikbildes in den beiden Schwemmschichten eine Datierung der Funde in die erste Hälfte des 7. Jhs. v. Chr. – die der älteren Schwemmschicht möglicherweise sogar in das erste Drittel des 7. Jhs. v. Chr. Walter und Vierneisel bezeichneten zwei weitere Beispiele der Variante 5,1.B im Heraion mit der Dekorvariante e⁸⁵⁷ und ea⁸⁵⁸ als »spätgeometrisch«⁸⁵⁹, obgleich sie den Brunnen G, indem die beiden vollständigen KRS gefunden wurden, zwischen ca. 710 und 640/30 v. Chr. datierten⁸⁶⁰. Die beiden Bearbeiter bewerteten die zwei KRS ganz im Sinne der Datierung, die Walter 1957 vorgenommen hatte, und zählten sie zu den ältesten des geschlossenen Fundkontextes. Diese rein stilistische Reihung innerhalb der 70–80 Jahre dauernden Nutzungszeit des Brunnens ist sicher falsch. Walter und Vierneisel schilderten jedenfalls nicht die genaue Fundlage innerhalb des Brunnens, die ihre frühe Stellung und eine Datierung an das Ende des 8. Jhs. oder um 700 v. Chr. gerechtfertigt hätte. Somit bleibt der auf der bestehenden Keramikchronologie beruhende *terminus ante quem* für die beiden KRS der Variante 5,1.B um 640/30 v. Chr. Das Datum für den Verschluss des Brunnens G ist aber um ca. 10 Jahre auf 650/40 v. Chr. nach oben zu verschieben. Denn die von Walter benutzte niedrige korinthische Keramikchronologie hat zur Folge, daß er den Beginn der spätprotokorinthischen Stilphase um ca. 10/15 Jahre und ihr Ende um ca. 20 Jahre auf 640/30–630/20 v. Chr. herabsenkte⁸⁶¹. Die Datierung des Verschlusses des Brunnens G machte er zusammen mit Vierneisel aber an der jüngsten Importkeramik fest, die er der frühen spätprotokorinthischen Phase zuordnete. Nach der gängigen Payne'schen bzw. der hier benutzten leicht modifizierten Payne'schen Chronologie sind die frühen spätprotokorinthischen Gefäße im Brunnen um 650/40 v. Chr. zu fixieren. Furtwängler führte dann noch einen Kontext im Südtemenos des samischen Heraions an, der nach der Keramikdatierung um 630/20 v. Chr. geschlossen wurde und damit einen *terminus ante quem* liefert⁸⁶². Für die späteren Varianten sind aus dem samischen Heraion einige weitere Fundkomplexe zu nennen, die ihre späte Datierung, die aus den milesischen Datierungskontexten erschlossen werden konnten, bestätigen. So fand Walter zwei KRS des Typus 5, der Varianten 5,2.B⁸⁶³ und 5,3.B⁸⁶⁴ in einem Befund unter einem 'Kaipflaster', den er in das dritte Viertel des 7. Jhs. v. Chr. datierte⁸⁶⁵. Darüber hinaus stellten Walter und Vierneisel die Variante 5,2.B in einem Bothros fest, den sie in das letzte Viertel des 7. Jhs. v. Chr. setzen⁸⁶⁶, der wegen der niedrigen Walter'schen Chronologie der

⁸⁵⁶ Ebenda 47 Abb. 4.

⁸⁵⁷ Walter – Vierneisel 1959, Beil. 33, 3.

⁸⁵⁸ Ebenda Beil. 33, 4.

⁸⁵⁹ Ebenda 19.

⁸⁶⁰ Ebenda 18 ff.

⁸⁶¹ H. Walter, Korinthische Keramik, AM 74, 1959, 65, der allerdings nicht mit Jahrzehnten operierte, sondern – statt wie hier 630/20 v. Chr. – stets Jahrhundertviertel markierte, also die spätprotokorinthische Phase 625 v. Chr. enden ließ.

⁸⁶² Furtwängler 1980, 163. 165 Tab. Nr. 1; 199 ff. Kat.-Nr. I/11 Abb. 12, I/11.

⁸⁶³ Walter 1957, Beil. 71, 4.

⁸⁶⁴ Ebenda Beil. 72, 2.

⁸⁶⁵ Ebenda 49.

⁸⁶⁶ Walter – Vierneisel 1959, 27 f. Beil. 61, 4.

korinthischen Importkeramik aber wohl zwei Jahrzehnte früher datiert werden müßte. Denn die Datierungen von Walter ab der zweiten Hälfte des 7. Jhs. v. Chr. und jünger sind mit Vorsicht zu benutzen, da er seit 1959 eine niedrigere Ansetzung der frühkorinthischen Stilphase von 600 bis 575 v. Chr. vertrat⁸⁶⁷, was zur Konsequenz hatte, daß sich die Fundkomplexe, die sich auch auf Samos fast ausschließlich erst aufgrund der Fundvergesellschaftung mit korinthischer Importkeramik in ihrem absolutchronologischen Zusammenhang bestimmen lassen, in einem divergierenden Verhältnis zu anderen Grabungsplätzen und zur Bestimmung ebensolcher auf Samos durch andere Ausgräber stehen. Diesem chronologischen Ansatz von Walter sind dann auch Kopcke und Walter-Karydi, die die Keramik des 6. Jahrhunderts aus dem Hera-Heiligtum publizierten, gefolgt. Daher ist wohl auch die bereits mit frühem Tierfriesstil-Dekor (SiA Ia) bemalte KRS 409⁸⁶⁸, die am ehesten als Variante 5,2.B klassifiziert werden sollte, von Kopcke zu spät fixiert worden (»Mitte bis drittes Viertel des 7. Jhs.«), da er seinen Fundkontext »Zwickel«⁸⁶⁹ nach »samischer Chronologie (...) in die Jahre um 640, d. h. ungefähr in die Erbauungszeit der Südhalle«⁸⁷⁰ datierte. Vermutlich ist eine Datierung vor 660/50 v. Chr. nach konventioneller Datierung der korinthischen Chronologie anzunehmen. Beispiele der Variante 5,3.B sind von Furtwängler sowohl im Nordbau in einem Kontext von ca. 590/75 v. Chr. angetroffen worden⁸⁷¹, als auch dieselbe Variante mit Hera-Dipinti (Typus a Furtwängler), die er zwischen 610 und 580 v. Chr. datierte⁸⁷². Beide Datierungen sind sehr spät, stellen aber im Wesentlichen lediglich einen *terminus ante quem* dar, denn Furtwängler konnte nur Deponierungen anführen, die zu den jeweiligen Datierungen geschlossen wurden, durchaus aber auch älteres Material enthalten konnten. Zudem sind die Komplexe lediglich relativchronologisch und durch besser datierte Mitfunde datiert worden, womit sie durchaus Unschärfen aufweisen können. Desgleichen sind die Datierungen von Isler zu bewerten. Auch er hat einige Beispiele des Typus 5 in einem samischen Kontext des frühen 6. Jhs. v. Chr. angetroffen, von denen einige sicher aus der Zeit oder kurz davor stammen, aber andere vermutlich erneut aus älteren Zusammenhängen in die genannten Kontexte

⁸⁶⁷ H. Walter, *Korinthische Keramik*, AM 74, 1959, 61 ff. bes. 64 f.; Samos 5, 63 f.; er bezweifelt in diesem Zusammenhang die Zuverlässigkeit der rhodischen Gräber. Noch in seiner 1957 erschienenen Publikation zur Fundkeramik aus Samos vertrat er die traditionelle Datierung der korinthischen Keramik nach Payne, vgl. Walter 1957, 48 (hier zitierte er Payne und datierte ein frühkorinthisches Salbfläschchen in das vorletzte Jahrzehnt des 7. Jhs. v. Chr.). Doch schon zwei Jahre später begründete er auf der Grundlage von koroplastischen Gefäßen in samischen Kontexten eine Datierung, die wesentlich von der bestehenden nach Payne abwich; s. H. Walter, *Korinthische Keramik*, AM 74, 1959, 65 ff. So ergab sich bei ihm ein Ansatz des Frühkorinthischen um 600 v. Chr. (625 v. Chr. nach Payne) und ein Ende für das Spätprotokorinthische um 625 v. Chr. (640 v. Chr. nach Payne). Dementsprechend wird die Übergangsphase herabdatiert und auf 25 Jahre gestreckt (625–600 v. Chr.), und die nachfolgenden mittel- und spätkorinthischen Phasen werden herabgesenkt. Dieser Datierungsansatz lag von nun an allen seinen Publikationen zugrunde.

⁸⁶⁸ Kopcke 1968, 262 Kat.-Nr. 34 Taf. 99,2 (hier auch ein Foto der inzwischen fehlenden Teile, insbesondere des Randes der KRS, auf dem ein typisches Schlaufenband des frühen Tierfriesstils aufgemalt ist).

⁸⁶⁹ Ebenda 309 ff.

⁸⁷⁰ Ebenda 310.

⁸⁷¹ Samos 3, 110 f. Kat.-Nr. I/1 Abb. 19, 1; zur Datierung s. ebenda 105 mit Tab. S. 108 Abb. 18. hier auch der Hinweis, daß in dieser Phase 1, die Furtwängler zwischen 590 und 575 v. Chr. datiert, weitere Schalen dieses und anderer Typen der KRS enthalten waren. Allerdings dürften einige bereits aus älteren Kontexten umgelagert worden sein.

⁸⁷² Ebenda 81 f. mit Abb. 12, a und S. 103 Abb. 17 (Typus a).

geraten waren⁸⁷³. Zudem stammt die Datierung, die er in seiner Klassifizierung der 'coppe ioniche' seinem mit dem Typus 5 weitgehend übereinstimmenden Typus a zuschrieb, ganz eindeutig von den oben aufgeführten älteren Ausgräbern in Samos und zeigt somit eine Entwicklung vom Spätgeometrischen bis in die erste Hälfte des 6. Jhs. v. Chr. an (vgl. Kapitel 3.1.5 'Das Klassifizierungsmodell von Isler' S. 45 ff.).

Die Variante 5,1.B konnte außerhalb Südioniens beispielsweise in Chios in einem zwischen 690 und 660 v. Chr. datierten Kontext festgestellt werden⁸⁷⁴. Die alten Grabungen in Milet hatten die Variante 5,1.B ebenfalls in Schichten der ersten Hälfte des 7. Jhs. v. Chr. nachgewiesen. Die Variante 5,1.Beα ist in Ephesos in der Opferschicht G ausgegraben worden, die aufgrund der Funde von Kerschner vor 630 v. Chr. datiert wird⁸⁷⁵. Darüber hinaus erbrachten die Schicht B1 und die Aufschüttung A im Artemis-Heiligtum von Ephesos, die vor 600 v. Chr. gesetzt wurden, zwei weitere Beispiele der Variante 5,1.Be⁸⁷⁶. Beide Fundlagen bieten allerdings sicher nur einen *terminus ante quem* für den Variante 5,1.B. Das Gleiche gilt sicher auch für die beiden Beispiele der Variante 5,2.Beα⁸⁷⁷ und zwei KRS der Variante 5,2.Be⁸⁷⁸, die aus zwei verschiedenen Aufschüttungen vor 600 v. Chr. stammen.

In Ashkelon wurde der Typus in seinen Varianten 5,2.B, 5,3.B und 5,4.B–C in Kontexten vor sowie im Jahr 604 v. Chr. nachgewiesen. Waldbaum konnte schlüssig aufzeigen, daß die Keramikimporte in Ashkelon – ähnlich wie in den Nachbarorten – nicht vor dem letzten Viertel des 7. Jhs. v. Chr. einsetzen. Dafür sprechen zwei Fundkomplexe: eine Füllschicht oder Planierungsschicht, die sich unter der Zerstörungsschicht von 604 v. Chr. befand und dieser somit chronologisch vorausging, sowie die Zerstörungsschicht selbst, die aufgrund überlieferter historischer Quellen (babylonische Chronik) sicher in die Wintermonate des Jahres 604 v. Chr. datiert werden kann. Damit lassen sich die griechischen Importe in Ashkelon in den engen Zeitraum von 630/20 bis 604 v. Chr. datieren, wobei der *terminus ante quem* 604 v. Chr. sicher ist, dagegen ein sicherer *terminus post quem* für die Funde nicht gegeben ist. Auffallend ist das Fehlen der Variante 5,1.B in Ashkelon sowie der Dekorationsvariante ea⁸⁷⁹. Die Fundsituationen bestätigen im Großen und Ganzen die auch in Milet

⁸⁷³ Samos 4, 92 ff. die KRS stammen aus derselben Aufschüttung, die Isler seiner Fundgruppe F zuschlug vgl. ebenda 57 f.

⁸⁷⁴ Boardman 1967, 135 Kat.-Nr. 456 nicht abgebildet, nur Beschreibung und Vergleiche angegeben, aus dem die Variante rekonstruiert ist.

⁸⁷⁵ Kerschner 1997b, 113 f. Taf. 2, 10.

⁸⁷⁶ Ebenda 137 f. Taf. 8, 57; S. 165 f. Taf. 15, 113; S. 194 Abb. 40.

⁸⁷⁷ Ebenda 149 f. Taf. 11, 79-80; S. 193 Abb. 39.

⁸⁷⁸ Ebenda 166 Taf. 15, 112. 114; S. 195 Abb. 41.

⁸⁷⁹ Interessanterweise ist allerdings die Dekorationsvariante ea für eine Sonderform des Typus 5,2–3.B in Ashkelon belegt, die Waldbaum allerdings als eigenen »Ashkelon Type 2« von den hier besprochenen unterscheidet, welche sie als »Ashkelon Type 6« bezeichnet. Der »Ashkelon Type 2« ist aber nichts weiter als ein 'umgekehrt' dekoriertes KRS-Typus 5 (Schlotzhauer), bei dem – statt auf die hellen tongrundigen Flächen die Linien und Wellenlinien mit schwarzem Tonschlicker zu malen – die Flächen schwarz bemalt und die Linien und Wellenlinien mit Deckweiß an dieselben Stellen aufgesetzt wurden. Das Dekorationsschema ist mithin dasselbe. In Milet hat sich von der Variante 2 (Waldbaum) lediglich ein Exemplar gefunden, weshalb es nicht extra aufgenommen wurde. Da es auch außerhalb von Milet bisher unbekannt war, eignete es sich nicht als Variante, sondern nur als Einzelstück. Nach dem gehäuften Vorkommen in Ashkelon habe ich

erzielten Ergebnisse zu den Varianten und können sie im Einzelnen nun sogar noch konkretisieren. Variante 5,1.B fand sich nicht mehr in Ashkelon, damit ist sehr wahrscheinlich daß wir hier einen *terminus post quem* für die Variante 5,1.B von 630/20 v. Chr. vorliegen haben, sollte Waldbaum mit ihrer Vermutung Recht behalten, daß die Importe griechischer Keramik um 630/20 v. Chr. einsetzen und nicht später. Einen Hinweis auf die Richtigkeit dieser Annahme könnte die Fundsituation in Kyrene liefern, wo ebenfalls die Variante 5,1 bisher fehlt (s. u.). Daher kann die Laufzeit der Variante 5,1.B nun vermutlich auf den Zeitraum zwischen 680/670 v. Chr. und 640/30 v. Chr. begrenzt werden. Zudem scheint die Dekorationsvariante *ea* ebenfalls nach 630/20 v. Chr. für den Typus 5 nicht mehr zu existieren. Weiterhin bestätigen die Funde in Ashkelon die lange Laufzeit des Typus 5 bis an das Ende des 7. Jhs. v. Chr. und teilweise darüber hinaus, was besonders für die späte Variante 5,4.B–C mit ihren insgesamt kleinen Abmessungen gilt. Denn diese kleinformatige Variante fand sich in Ashkelon relativ häufig. In den gleichen Datierungshorizont möchte man die Funde in Mezad Hashavyahu einordnen. Auch hier fanden sich wieder einige Beispiele des Typus 5, von denen die meisten der Variante 5,3.B zuzuweisen sind⁸⁸⁰. Fantalkin datierte die Benutzungszeit des Ortes aufgrund der historischen Zeugnisse zwischen 620 und 604 v. Chr.⁸⁸¹ Andere Wissenschaftler folgen aber durchaus einem etwas späteren möglichem Datum der Aufgabe dieses Ortes im Jahre 598 v. Chr.⁸⁸². Doch ist ein Beispiel aus den Grabungen in Mezad Hashavyahu nicht eindeutig aus seiner Dokumentation heraus zu beurteilen und könnte als Variante 5,1.B⁸⁸³ klassifiziert werden. Die konvexe Biegung des Randes läßt sich in der kleinformatigen Zeichnung jedoch nicht eindeutig erkennen und ist vom Foto her eher unwahrscheinlich. Somit könnte es sich auch um die Variante 5,3.B handeln, womit sich die anzunehmende Datierung auch besser verträgt. Denn eine andere Lösung, daß etwa Mezad Hashavyahu bereits früher als Ashkelon importierte Keramik erhalten habe oder, daß trotz der großen Anzahl an KRS des Typus 5 in Ashkelon und anderen Orte in der Levante die Variante 5,1.B nicht in diese Fundorte gelangte, ist unwahrscheinlich. Auch die historische Deutung, daß Mezad Hashavyahu im Gegensatz zu den anderen Orten unter ägyptischer Hoheit stand und damit die Handelströme oder die mitgeführten Waren der Söldner sich unterschieden hätte, ist abwegig. Denn aus ganz Ägypten fehlen ebenfalls Funde der Variante 5,1.B, während die späteren Varianten sehr wohl existieren (s. u.). Eine weitere Datierung in den bereits ermittelten Zeithorizont

inzwischen das milesische Exemplar im Bonner Labor bei H. Mommsen auf seine Herkunft untersuchen lassen. Das Ergebnis steht noch aus und wird in Kürze an anderer Stelle publiziert.

⁸⁸⁰ A. Fantalkin, *Mezad Hashavyahu: Ist Material Culture and Historical Background*, Tel Aviv 28, 2001, 77 f. Abb. 28, 12-14 Kat.-Nr. Type IC 5.

⁸⁸¹ ebenda 128 ff. bes. 136.

⁸⁸² R. Wenning in: F.-L. Hossfeld (Hrsg.) *Vom Sinai zum Horeb: Stationen alttestamentlicher Glaubensgeschichte* (1989) 191. zuletzt erneut W.-D. Niemeier, *Archaic Greeks in the Orient. Textual and Archaeological Evidence*, BASOR 322, 2001, 11 ff.; Ders., *Greek Mercenaries at Tel Kabri and other Sites in the Levant*, Tel Aviv 29, 2002, 328 ff.

⁸⁸³ ebenda 78 Kat.-Nr. Type IC6; S. 81 Abb. 29, 1; vgl. auch die bessere Qualität der Zeichnung und besonders das Foto in J. Naveh, *The Excavations at Mezad Hashavyahu. Preliminary Report*, IEJ 12, 1962, 107 Abb. 7, 6 Taf. 12, H.

bietet auch Tel Kabri, wo die Importe zwischen 604 und 590/80 v. Chr. zum Erliegen kommen⁸⁸⁴. Hier fand sich eine KRS der Variante 5,3.B⁸⁸⁵ (ähnlich **104**), die damit ebenfalls die späte Variante des Typus 5 bis in die letzten beiden Jahrzehnte des 7. Jhs. v. Chr. oder sogar noch ins erste Jahrzehnt des 6. Jhs. v. Chr. belegt.

Auch in Naukratis ist der Typus 5 als ältester Typus neben dem Typus 8 vertreten. Wie der Verfasser bereits in anderem Zusammenhang nachgewiesen hat, sind die griechischen Importe wohl nicht vor 620/10 v. Chr. – vermutlich überhaupt erst im letzten Jahrzehnt des 7. Jhs. v. Chr. – nach Naukratis gelangt⁸⁸⁶, womit ein auf Keramikdatierung beruhender *terminus post quem* gegeben ist. Die KRS des Typus 5 umfassen die Varianten 5,3.B und 5,4.B⁸⁸⁷. Damit zeigt sich einerseits ebenso wie in Ashkelon, daß die beiden Varianten noch im letzten Jahrzehnt des 7. Jhs. v. Chr. produziert und exportiert wurden, andererseits haben wir erneut einen Hinweis darauf, daß die Variante 5,1.B und die Dekorvariante *ea* um 620/10 v. Chr. wohl nicht mehr existierten. Aber auch die Variante 5,2.B ist in Naukratis nicht vertreten. Dies könnte darauf hindeuten, daß zwischen 630/20 v. Chr. (Ashkelon) und 620/10 v. Chr. bzw. 610 v. Chr. (Naukratis) die Variante 5,2.B ihr Produktionsende fand. Diese Vermutung könnte die Fundsituation in Kyrene bestätigen. Die Gründung von Kyrene läßt sich auf der Grundlage unabhängiger literarischer Quellen wohl schon um 632/31 v. Chr. ansetzen⁸⁸⁸. Aus Kyrene sind mehrere Beispiele des Typus 5 bekannt geworden, die ebenfalls erst als Variante 5,3.B zu klassifizieren sind⁸⁸⁹. In Tocra (Taucheira) fand sich in einem Kontext, der von den Ausgräbern als Deposit II bezeichnet wird und indem die jüngsten Funde um 565 v. Chr. datiert werden, ein Beispiel der Variante 5,3.B⁸⁹⁰. Ein weiteres Beispiel⁸⁹¹ des Typus – allerdings mit der Dekorvariante *ea*, einem zusätzlichen Wellenband auf dem Rand – wurde nicht abgebildet, fand sich aber bereits in Deposit I (Level 9)⁸⁹². Damit ist die Variante 5,3.B*ea* vor 600/590 v. Chr. datiert. Tocra (Taucheira) soll von Kyrene aus vielleicht gegen Ende des 7. Jhs. v. Chr.⁸⁹³ oder nach den archäologischen Funden auch schon etwas früher gegründet worden sein, denn nach Boardman und Hayes ist anzunehmen, daß »the

⁸⁸⁴ B. Niemeier – W.-D. Niemeier, *Archaic Greek and Etruscan Pottery*, in: A. Kempinski, *Tel Kabri. The 1986–1993 Excavation Seasons*, hrsg. von N. Sheftelowitz – R. Oren (2002) 242.

⁸⁸⁵ Ebenda 226 Abb. 5.92, 9; 228 Abb. 5.98, 6 allerdings weicht die Zeichnung von der Photovorlage ab, denn auf dem Photo sind noch eindeutig die feinen Firnisbänder auf der Außenseite der KRS zu erkennen.

⁸⁸⁶ Schlotzhauer 2012, 32 ff. bes. 35; s. auch 25 ff.

⁸⁸⁷ In Schlotzhauer 2012 noch als 5.C zusammengefaßt.

⁸⁸⁸ Vgl. etwa DNP VI (1999) 654 s. v. Kolonisation (W. Eder); ebenda 1002 f. s. v. Kyrene (W. Huß).

⁸⁸⁹ I. D'Angelo, *Cirene in età arcaica alla luce degli scavi nell'area della Casa del Propileo: produzioni ceramiche locali di coppa ioniche, descrizione delle argille locali e dati preliminare delle indagini*, in: O. Menozzi – M. L. Di Marzio – D. Fossataro (Hrsg.), *Soma 2005. Proceedings of the IX Symposium on Mediterranean Archaeology, Chieti (Italy), 24-26 February 2005* (2008), 514 Taf. 1, b–g.

⁸⁹⁰ Tocra 1, 121 Abb. 55, 1299; S. 124 Kat.-Nr. 1299 Taf. 87, 1299.

⁸⁹¹ Ebenda 124 Kat.-Nr. 1300.

⁸⁹² Zum Level 9 und »Deposit I« s. ebenda 10. 12.

⁸⁹³ Vgl. zur Datierung von Kyrene und Taucheira (Tocra) mit Hinweis auf die schriftlichen Quellen, Tocra 1, 13 und Vgl. etwa die Tab. (rechte Sp.), nach der Taucheira am Ende des 7. Jhs. v. Chr. gegründet wurde DNP VI (1999) 662 s. v. Kolonisation (W. Eder).

earliest mass of pottery found is of the 620's ...«⁸⁹⁴. Erneut scheint die Abwesenheit der Varianten 5,1 und 5,2 in einem Fundplatz, an dem die Variante 5,3 noch nachzuweisen ist, ein Ende der Produktion der beiden ersten Varianten vor 620/10 v. Chr. zu bestätigen. Umgekehrt ist die Variante 5,3 erneut zwischen 620/10 und 600/590 v. Chr. bestätigt.

Sehr irritierend ist das Fehlen des Typus 5 unter den Funden in Assesos. Sollte es nicht daran liegen, was allerdings sehr wahrscheinlich ist, daß in dem von Kalaitzoglou publizierten kleinen Fundkomplex keine für den Ort insgesamt repräsentative Fundauswahl vorliegt, müßte also der vor allem aus Samos und nur selten aus Milet importierte Typus 5 nicht ins nahe Assesos gelangt sein. Denn der Fundkomplex umfaßt ansonsten auch ältere Typen⁸⁹⁵ und sollte somit auch den Typus 5 enthalten, zumal die jüngeren Varianten durchaus auch noch bis zum Ende des 7. Jh. v. Chr. produziert und genutzt wurden. Das Fehlen des Typus 5 in Assesos ist somit kaum schlüssig zu erklären.

Auch in Al Mina ist der Typus 5 belegt⁸⁹⁶. Eine KRS der Variante 5,2.Be α fand sich dabei in den Schichten 8–9⁸⁹⁷. Geht man von den Datierungen von Descœudres⁸⁹⁸ und Boardman⁸⁹⁹ aus, endet die Schicht 8–9 spätestens 720/710 v. Chr., was für den Typus 5 viel zu früh erscheint und mit keiner anderen bisher erzielten Datierung in Einklang gebracht werden kann. Die Laufzeit des Typus 5 würde sich zudem mit einem Beginn vor oder um 720 v. Chr. über einen sehr langen Zeitraum erstrecken. Es könnte sich um einen Fehler bei der Inventarisierung oder eine sonstige Verwechslung handeln, zumal die meisten Beispiele des Typus 5 in Al Mina dann auch erst in den Schichten 6–5 fanden. Daher bleibt hier das einzige früher stratifizierte Stück aus Al Mina für die Datierung des Typus 5 unberücksichtigt. Dagegen bietet die Schicht 6 in Al Mina den bisher unpublizierten KRS des Typus 5 – vermutlich den Varianten 5,1.Be α und 5,2.Be – einen *terminus post quem* von 696 v. Chr. Dies verträgt sich wiederum sehr gut mit den Datierungen, die in Milet und in anderen Fundplätzen ermittelt werden konnten. Läßt man also den einen 'Querschläger' in Al Mina beiseite, bietet der

⁸⁹⁴ Tocra 1, 13.

⁸⁹⁵ Wie etwa Kalaitzoglou 2008, Taf. 19, 1 (Typus 3 Schlotzhauer). Der Fuß einer späten Tierfriesstil- bzw. Fikellursstil-KRS gehört allerdings sicher nicht zu dem mit ihm zusammen geführten Randfragment! Oder siehe die Kannenhälse und Schulterfragmente aus der ersten Hälfte des 7. Jhs. v. Chr., die mit subgeometrischem, frühestem Tierfriesstil der Stilphase MileA Ia dekoriert ist.

⁸⁹⁶ Robertson 1940, 5 Abb. 2m; ein weiteres fast vollständiges Beispiel der Variante 5,2–3.B (ebenda Abb. 7, n) war allerdings unstratifiziert; Boardman 1980, 48 mit Anm. 44 (Gruppe d) erwähnte noch weitere bisher unpublizierte Beispiele des Typus 5 in englischen Sammlungen; aufgrund der Wellenlinie (Dekorvariante α) sollte es sich um Variante 5,1.B oder 5,2.B handeln, was noch wahrscheinlicher wird, da er Beispiele aus Tarsus und Tarsos als Vergleich zitiert, die die Variante 5,1.Be α und 5,2.B darstellen.

⁸⁹⁷ Robertson 1940, 5 Abb. 2m; in diesem Zusammenhang ist die Aussage Boardmans (JHS 85, 1965, 13) zu relativieren, dem im Vergleich der griechischen Importe in Tarsus und Al Mina auffiel: »The only difference might be the presence of East Greek 'Ionian cups' at Tarsus in eight-century levels, while they are virtually unknown so early at Al Mina«; allerdings scheint, wie hier dargelegt, die Datierung der Schichten 8–9 problematisch; zu Al Mina vgl. die Lit. In Anm. 831.

⁸⁹⁸ J.-P. Descœudres, Euboens in Australia. Some Observations on the Imitations of Corinthian Kotylai Made in Eretria and Found in Al Mina, in: Ders. u. a., Ausgrabungen und Forschungen, Eretria 6 (1978) 7 ff. bes. S. 15 zu den Datierungen der Schichten.

⁸⁹⁹ Boardman 1980, 44 und s. o. zu Typus 3.

Fundort eine ausgezeichnete Bestätigung der bislang erzielten Ergebnisse. Auch scheint die hier gegebene obere zeitliche Begrenzung eine realistische Laufzeit für den Typus abzubilden.

Problematisch für die Chronologie des Typus 5 scheint die Stratigraphie in Tarsus. Hanfmann datierte die früheste Variante 5,1.Bea noch ins 9./8. Jh. v. Chr., wobei die entscheidende KRS der Variante 5,1.Bea, Kat.-Nr. 1373 (Hanfmann), »probably the earliest Greek import« darstellen würde⁹⁰⁰. Aber eben dieses Fragment hat einen hellen Überzug, wie ihn auch das vollständige Beispiel **87** aus Samos aufweist – ein deutliches Zeichen für die beginnende archaische Periode und das 7. Jh. v. Chr. Besonders dieser Typus der »Ionian Cups«, den Hanfmann gern noch geometrisch nennt, sei mit mehr als fünfzehn Beispielen »from many stratified locations in the Pre-Assyrian Middle Iron phase (850–700 B.C.)« bekannt geworden und »most of the sherds seem to belong to the years immediately preceding the Assyrian destruction of Tarsus by Sennacherib in 696 B.C.«⁹⁰¹. Stratifiziert ist auch die fast vollständige KRS Kat.-Nr. 1386 (Hanfmann)⁹⁰², ein schönes Beispiel der Variante 5,1.Bea. Auch dieses Beispiel gehört der von den Ausgräbern als »Middle Iron Age« bezeichneten Phase an, womit es in die Zeit von ca. 850 bis 700 v. Chr. zu datieren wäre⁹⁰³. Schon Boardman hatte aufgezeigt, daß die Interpretation von Teilen der Stratigraphie in Tarsus durch die Ausgräber zu korrigieren ist⁹⁰⁴. Ich halte die Einordnung der KRS Kat.-Nr. 1373 (Hanfmann) der Variante 5,1.Bea für zu früh. Auch die übrigen Beispiele können – vorausgesetzt, die Interpretationen der Fundzusammenhänge für die Fragmente der KRS stimmen – frühestens unmittelbar vor 696 v. Chr. hierher gelangt sein. Doch müßte die hier vertretene Chronologie des Typus 5, besonders der Variante 5,1.Bea, aufgrund der Stratigraphie in Tarsus immerhin um mindestens ca. 20 Jahre nach oben korrigiert werden. Das scheint für die geringe Entwicklung des Typus insgesamt zu lang. Mir scheinen die auch nur schwer nachvollziehbaren Interpretationen der Fundsituationen für viele der KRS des Typus 5 wenig überzeugend. Für die späteren Varianten liefert Tarsus dann zwar noch Beispiele, diese wurden aber in keinen für die Feinchronologie der Varianten verwertbaren Datierungszusammenhängen angetroffen: Variante 5,3.B⁹⁰⁵.

⁹⁰⁰ Hanfmann in: Tarsus 3, 280 zu den »Ionian Cups« 1373–1374; s. a. S. 113.

⁹⁰¹ Ebenda 282.

⁹⁰² Ebenda Abb. 95. 145, 1386.

⁹⁰³ Ebenda 287 Kat.-Nr. 1386; zur Chronologie der »Middle Period« ebenda 5 ff. 19 ff. 112 ff.; zur gleichen Phase gehört auch das nicht abgebildete komplementäre Fragment Kat.-Nr. 1386a.

⁹⁰⁴ J. Boardman, JHS 85, 1965, 5 ff. bes. 10 f., der aber nicht die gesamte Stratigraphie und Chronologie von Tarsus anzweifelt (ebenda 12).

⁹⁰⁵ Vgl. etwa Tarsus 3, 288 Kat.-Nr. 1392–1393 Abb. 95. 144; für beide KRS gibt Hanfman »probably seventh century B.C.« an; ebenda 289 Kat.-Nr. 1402 Abb. 96. 144 ist ein vollständiges Stück, das aber ohne Bänder auf dem Rand außen dargestellt ist, obgleich das Foto die feinen Bänder noch erahnen läßt; sollte das Foto täuschen und die Zeichnung den Randdekor korrekt wiedergeben, wäre anzunehmen, daß es sich um den Typus 9,1.B handelt, was aber nach der Form des Randes und der Fußgestaltung sehr unwahrscheinlich erscheint. Eher ist von einem starken Abrieb des Randes auszugehen, durch den die feinen Linien auf der Außenseite des Randes verloren gegangen sind – zur Datierung fügt Hanfmann lediglich an, daß es 6. Jh. v. Chr. sei; ebenda 289 Kat.-Nr. 1405 Abb. 144 ähnelt auch im Fabrikat sehr stark **104**; das Stück in Tarsus ist allerdings unstratifiziert.

Letztlich kann noch die Situation zu Beginn oder kurz vor der griechischen Kolonisation am Schwarzen Meer einen ungefähren *terminus post quem* liefern. Kerschner, der die frühesten keramischen Funde an den westlichen und nördlichen Schwarzmeerküsten untersuchte⁹⁰⁶, hat auch noch einmal die Diskussion zu den überlieferten literarischen Quellen zusammengefaßt, den frühesten keramischen Funden gegenübergestellt und bewertet⁹⁰⁷. Dabei kam er zu dem Ergebnis, daß vor der ersten Hälfte bis Mitte des 7. Jhs. v. Chr. keine griechischen Importe in den westlichen und nördlichen Schwarzmeerraum gelangt seien. Die besser zu datierende ostgriechische Tierfrieskeramik ließ ihn zu dem Schluß gelangen, daß auf Grundlage dieser eingeschränkten Evidenz keine griechische Kolonie am Schwarzen Meer vor 630/20 v. Chr. gegründet wurde, was auch für die ältesten unter ihnen – Berezan, Orgame und Olbia – zuträfe⁹⁰⁸. Eine andere Gattung, nämlich die Vogelkotylen und Vogelschalen aus nordionischen Werkstätten, führten sogar bis in das erste Drittel des 7. Jhs. v. Chr. zurück. Doch fanden sich diese frühen Funde nicht in den späteren griechischen Niederlassungen, sondern hunderte Kilometer weit im Landesinneren, in der ukrainischen Waldsteppe in indigenen Kontexten, was Kerschner zu dem völlig richtigen Schluß eines »präkolonialen« Kontaktes führte⁹⁰⁹. Auch eine KRS der Variante 5,1.Beα⁹¹⁰ stammt aus einem solchen Kontakt, welcher der dauerhaften griechischen Ansiedlung vorausging. Die Vogelkotylen und -schalen geben nun eine mögliche Datierung bis in das erste Drittel des 7. Jhs. v. Chr. vor. Allerdings deutet die feine, dünne Gefäßwand des Gefäßes aus Nemirov bereits auf die etwas spätere Entwicklungsstufe der Variante 5,1.B hin, und auch die griechischen Importstücke in Nemirov datierte Kerschner in den Zeitraum der ersten Hälfte bzw. das zweite Drittel des 7. Jhs. v. Chr.⁹¹¹. Eine Datierung in das zweite Drittel trifft auch gut auf das große KRS-Fragment der Variante 5,1.Beα in Nemirov zu. In Orgame, nahe Istros, wurde eine KRS der Variante 5,1.Ba⁹¹² in einem Grabhügel entdeckt. Sie gehört tatsächlich schon zu den frühen dickwandigen Beispielen und wird wohl noch in das zweite Drittel des 7. Jhs. v. Chr. zu setzen sein (vgl. etwa **87, 92**). Der Grabhügel von Orgame liegt zwar nahe der späteren griechischen Kolonie Istros, aber die KRS des Typus 5 ist sicher früher als alle Funde dort und stammt damit wohl auch noch aus der Zeit vor ihrer Gründung. Auch diese KRS muß daher noch zu den Importen gezählt werden, die vielleicht in die früheste Phase der Kolonisation der Gegend in den Grabhügel geraten war. Die Diskussion um Orgame und den Grabhügel, in dem die KRS der Variante 5,1.Be gefunden

⁹⁰⁶ M. Kerschner, Zum Beginn und zu den Phasen der griechischen Kolonisation am Schwarzen Meer. Die Evidenz der ostgriechischen Keramik, *Eurasia Antiqua* 12, 2006, 227 ff.

⁹⁰⁷ Ebenda 228 ff.

⁹⁰⁸ Ebenda 235.

⁹⁰⁹ Ebenda 237 ff. wovon auch schon einige frühere Forscher wie Boardman ausgingen s. ebenda 239 Anm. 104. Der Begriff ist allerdings problematisch und soll hier nicht weiter verwendet werden (ich danke für die Diskussionen zu Orgame und den historischen Ereignissen A. Dan [Paris]).

⁹¹⁰ Ebenda 236 Abb. 12.

⁹¹¹ Ebenda 239.

⁹¹² Ebenda 236 Abb. 11 – die Schale ist bereits mehrfach abgebildet worden, doch auch hier wurde die Abbildung mit Zeichnung und Farbfotos für eine Klassifizierung erstmals vorgelegt.

wurde, ist kontrovers⁹¹³. Kerschner nahm an, daß Orgame nicht älter ist als Berezan und Olbia und nicht vor 630 v. Chr. gegründet wurde, obgleich er hier schon ältere Tierfrieskeramik anführte, als in den anderen Orten⁹¹⁴. In Orgame, das von Mănuclu-Adamesteanu bereits als griechische Polis betrachtet wird, ist für die archaische Zeit lediglich eine griechische Bevölkerung anzunehmen⁹¹⁵, weswegen auch der früheste Grabhügel mit der KRS einem griechischen Heros gehört haben soll⁹¹⁶. Letztendlich scheint die Keramik in Orgame tatsächlich auf eine allererste Phase der Kolonisation hinzudeuten, in der die Griechen hier dauerhaft zu siedeln beabsichtigten. Möglicherweise scheiterte dieser erste Versuch und ein späterer gelang dann erst in Istros. Jedenfalls scheint Orgame älter als Istros und auch als Berezan und Taganrog zu sein. Für die griechischen Kolonien an den westlichen und nördlichen Küsten des Schwarzen Meeres – besonders den ältesten in Berezan und Istros – konnte Kerschner nachweisen, daß die Vogelschalen die Datierung der bemalten ostgriechischen Keramik bestätigen. An beiden Orten beginnen die Importe nicht vor dem letzten Drittel des 7. Jhs. v. Chr.⁹¹⁷. Die stilistisch ältesten KRS in diesen frühen Kolonien, sind dann erneut die KRS des Typus 5. In Taganrog fanden sich entsprechend die spätere Variante 5,3.Be, die noch bis in das letzte Viertel des 7. Jhs. v. Chr. herabreicht⁹¹⁸, und Variante 5,4.B–C, die vermutlich erst um 620/10 v. Chr. beginnt⁹¹⁹. Ebenso ist auch in Istros die früheste KRS ein Beispiel der Variante 5,3.Be⁹²⁰, das recht exakt den Beispielen **104** und **109** aus Milet entspricht – wobei **109** aus einem Kontext vor 630 v. Chr. stammt und zeigt, daß die Laufzeit der Variante in jedem Fall mindestens den Zeitraum von 640 bis 620/10 v. Chr. abdecken muß. In Berezan fanden sich ebenfalls erst die späten Beispiele der Variante 5,3.Be⁹²¹. Damit zeichnet sich folgendes Bild für den westlichen und nördlichen Schwarzmeerraum

⁹¹³ V. Lungu, Une tombe d'un ἩΡΩΣ et l'organisation de la nécropole d'une cité milésienne du Pont Euxin: le tumulus T-A95 d'Orgame, in: V. Lungu (Hrsg.), *Pratiques funéraires dans l'Europe des 13^e – 4^e s. av. J.-C.* Actes du 3^e Colloque International d'Archéologie Funéraire, organisé à Tulcea, 15–20 septembre 1997, par l'Association d'Études d'Archéologie Funéraire avec le concours de l'Institut de Recherches Eco-Muséologiques de Tulcea. Hommage à Gavrilă Simion (2000) 67 ff.; die Schale ist dort auf S. 82 Abb. 5.7a–b abgebildet; Lungu datierte die KRS dort um 650 v. Chr., und auch die mitgefundenen chiotischen Amphoren sind dort nach Dupont um 650–630 v. Chr. datiert (S. 68 f. mit Anm. 11); der Tumulus wird allerdings als griechische Begräbnisstätte betrachtet, was zu der Vermutung führt, daß Orgame ein präkoloniales Emporion war, das vor der Gründung von Istros zwischen 650 und 630 v. Chr. existierte. Weniger wahrscheinlich ist die ebenfalls in der Literatur vertretende Annahme, Orgame sei von Istros aus gegründet worden, was bedeuten würde, Istros sei älter als Orgame, was die Funde in Istros aber nicht hergeben, vgl. *An Inventory of Archaic and Classical Polis* (2004) s. v. 692. Orgame (A. Avram).

⁹¹⁴ Kerschner a. O. 233 f. 235.

⁹¹⁵ M. Mănuclu-Adamesteanu, Céramique archaïque d'Orgame, in: A. Avram – M. Babeş (Hrsg.), *Civilisation grecque et culture antiques périphériques. Hommage à Petre Alexandrescu á son 70^e anniversaire* (2000) 195 ff.; M. Mănuclu-Adamesteanu, Orgame, in: D. V. Grammenos – E. K. Petropoulos (Hrsg.), *Ancient Greek Colonies in the Black Sea* (2003) 341 ff. – hier stellt sie noch einmal den Hiatus zwischen der indigenen Vorbevölkerung und der griechischen Phase ab 650 v. Chr. heraus (S. 245 f.).

⁹¹⁶ Lungu a. O.

⁹¹⁷ Kerschner a. O. 242.

⁹¹⁸ s. Kap. 7 S. 427 (Taga 64, Taga 185, Taga 209).

⁹¹⁹ s. Kap. 7 S. 429 mit Anm. 1394 (Taga 73).

⁹²⁰ Histria 4, 116 Abb. 31, 769, auch hier von Alexandrescu schon richtig als vermutlich samisch erkannt und in das letzte Viertel des 7. Jhs. v. Chr. datiert.

⁹²¹ R. Posamentir, *The Greeks in Berezan and Naukratis: A Similar Story?* In: Villing – Schlotzhauer 2006, 162 Abb. 7. Ich danke R. Posamentir (Tübingen) dafür, daß er mir die Profilzeichnung der KRS zur Verfügung

ab: Eine recht lange Phase des Kontaktes vor den ersten geglückten dauerhaften Ansiedlungen, die den Zeitraum vom Ende des ersten Drittels des 7. Jhs. v. Chr. bis zu den ersten Koloniegründungen Anfang des letzten Drittels oder Viertels des 7. Jhs. v. Chr. umfaßt, hat bisher zwei Beispiele des Typus 5 bzw. seiner frühesten Variante 5,1.Be und ea erbracht. Sie stammen nach den bisherigen Ergebnissen der naturwissenschaftlichen Herkunftsbestimmung vermutlich aus Samos oder Milet. Überraschend ist weiterhin, daß keine anderen KRS dieser Zeit, etwa die Typen 6 oder 8, in das Schwarzmeergebiet exportiert wurden. Besonders der Typus 8, der im östlichen und westlichen Mittelmeerraum eine starke Verbreitung fand, gelangte mit keinem einzigen nachweisbaren Beispiel hierher. Eine Vermutung ist, daß dies chronologische Gründe hat. Demnach würden die beiden Beispiele des Typus 5 zu den frühen Produkten gehören, die in die Phase vor dem Produktionsbeginn des Typus 8 um 660/50 v. Chr. zu setzen sind. Dies würde sich allerdings nicht mit den Ergebnissen zur griechischen Besiedlung in Orgame nicht vor 650 v. Chr. vereinbaren lassen. Nach diesen ersten Importen in der Phase vor den dauerhaften Ansiedlungen aus der ersten Hälfte des 7. Jhs. v. Chr. beginnen die Importe in der Frühzeit der griechischen Kolonien im westlichen und nördlichen Schwarzmeerraum dann erst wieder im letzten Viertel des 7. Jhs. v. Chr. mit den späten Beispielen der Variante 5,3.Be und der vermutlich gerade in dieser Zeit neu entwickelten Variante 5,4.B-Ce. Eine zusätzliche Erklärung bietet die naturwissenschaftliche Herkunftsbestimmung der Keramik: Für den Typus 5 sind inzwischen mindestens drei Werkstätten nachgewiesen – eine samische, eine milesische und eine, die bisher keinem Produktionsort zugewiesen werden konnte. Die beiden frühen Stücke der Phase vor der dauerhaften Ansiedlung könnten sowohl der samischen Herkunftsgruppe J (Mommsen) als auch der milesischen Herkunftsgruppe A (Mommsen)⁹²² angehören. Die späteren der Variante 5,3.Be aus Taganrog sind im Bonner Labor (Mommsen) untersucht worden und stammen aus der samischen Herkunftsgruppe J (Mommsen); dagegen gehört die spätere Variante 5,4.B aus Taganrog der unlokalisierten Herkunftsgruppe Ulo 4 (Mommsen) an. Interessanterweise sind alle bisher naturwissenschaftlich untersuchten Beispiele des Typus 8 ebenfalls aus der Herkunftsgruppe Ulo 4. Produkte dieser Werkstätten scheinen demnach erst am Ende der Produktionszeit die Variante 5,4.B in den nördlichen Schwarzmeerraum exportiert worden zu sein. Anders läßt sich das Fehlen des ansonsten am stärksten verbreiteten Typus 8 hier nicht erklären. Damit ist aber auch vermutlich ein *terminus post quem* für die spätere Produktion der Variante 5,4.B–Ce nach 610/600 v. Chr. gegeben. Für die frühe Variante 5,1.Be geben die Befunde im nördlichen Schwarzmeergebiet den Zeitraum zwischen 680/70 und 630/20 v. Chr. vor, denn in den griechischen Niederlassungen fand sich die Variante nicht mehr, womit das Ende der Variante 5,1.B um 640/30 v. Chr. eine weitere Bestätigung erfährt. Andererseits müssen die beiden KRS der frühen Variante 5,1.B nun nicht mehr zwingend in die Zeit vor dem Produktionsbeginn des Typus 8 um 660/50 v. Chr. datiert werden, da das Fehlen des

gestellt hat, womit die Klassifizierung des Stückes als Variante 5,3.B abgesichert werden konnte. Die genannte Schale in Berezan entspricht den Stücken **106–108** hier im Katalog.
⁹²² Vgl. zu diesem noch publizierten Ergebnis die Anm. 1274.

Typus 8 auch dadurch erklärt werden kann, daß ihre Werkstätten (Herkunftsgruppe Ulo 4) erst nach dem Ende der Produktion des Typus 8 begonnen haben, auch in den pontischen Raum zu exportieren. Die bisherigen Ergebnisse für Orgame würden sich damit wieder sehr gut vertragen, denn dann ist die KRS der Variante 5,1.B dort durchaus um 650/40 v. Chr. zu datieren. Für die Variante 5,3.Be geben die Kolonien am Schwarzen Meer zudem einen *terminus post quem* im letzten Viertel des 7. Jhs. v. Chr., womit die Produktion und Nutzung der Variante bis in die Zeit nach 630/20 v. Chr. herabreicht. Damit sollten die Varianten der Typus 5 folgendermaßen datiert werden:

5,1.B	680/70 – 640/30 v. Chr.	
5,2.B	ca. 660/50 – 630/20 v. Chr.	Dekorvariante ea ca. 660/50 – 640/30 v. Chr.
5,3.B	640/30 – 600/590 v. Chr.	Dekorvariante ea ca. 640/30 – 630 v. Chr.
5,4.B–C	620/10 – 600/590 v. Chr.	

Kat.-Nr.	Id.-Nr.	Typus	Kontext
88	Z 09.53.83	5,1.Beα	Aphrodite-Heiligtum: vor 630/20 v. Chr., Bothrosfüllung
90	K 92.37.6	5,1.Beα	Kalabaktepe-Süd: Trethorizont der Phase 3 mit Auffüllung darunter
91	K 92.432.3	5,1.Beα	Kalabaktepe-Süd: Boden der Phase 2
94	Z 09.120.49	5,1.Be	Aphrodite-Heiligtum: vor 630/20 v. Chr., Bothrosfüllung
98	K 91.461.1	5,2.Beα	Kalabaktepe-Süd: Auffüllung von Zerstörung von Phase 2
99	K 92.410.2	5,2.Be	Kalabaktepe-Süd: Boden der Phase 3
100	K 91.90.22	5,2.Be	Kalabaktepe-Süd: Auffüllung und Boden der Phase 3
102	K 93.165.11	5,3.Beα	Kalabaktepe-Süd: Boden der Phase 2 oder schon Auffüllung für Phase 3
109	Z 08.425.466	5,3.B	Aphrodite-Heiligtum: vor 630/20 v. Chr., Bothrosfüllung
113	Z 09.89.32 + Z 09.102.48	5,3.B	Aphrodite-Heiligtum: vor 630/20 v. Chr., Bothrosfüllung

vorherige Seite

Abb. 94 Tab. 14. Ausgewählte Kontexte für die früharchaischen Varianten des Typus 5 in Milet.

6.5.6 Die Knickrandschalen des Typus 6

Der Typus 6 war in Phase 0 nicht angetroffen worden. Allerdings ist hierbei zu beachten, daß die Vorsiedlungsphase 0 noch keine Siedlungsphase darstellte und temporäre Installationen nur an wenigen Stellen angetroffen wurden. Daher ist das Nicht-Vorhandensein in Phase 0 noch kein sicheres Ausschlußkriterium für die Zeitstellung des Typus 6. In Phase 1 ist der Typus 6 allerdings sogleich mit einer sehr hohen Konzentration vertreten (Abb. 37). Der Anteil des Typus 6 ist in der vertikalen Analyse, die die Bedeutung der Gruppe im Vergleich zu allen Typen der Gattung widerspiegelt, in der Siedlungsphase 1 bereits höher als etwa der des Typus 5. Da der Typus 5 seinerseits schon vor der ersten Siedlungsphase des Kalabaktepe-Süd genutzt wurde, ist es mehr als wahrscheinlich, daß auch der Typus 6 der KRS schon vor der Phase 1 gefertigt wurde. Weitere relevante Fundlagen in Milet haben für die stilistisch älteste Variante 6,1.B keine frühen Kontexte erbracht. Lediglich **117** zeigt an, daß die Variante bereits in Phase 2 existierte. Allerdings enthält eine Aufschüttungsschicht wie die, in der **117** am Ende der Phase 2 sichergestellt werden konnte, stets einen größeren Anteil älterer Fragmente. Die KRS **117** könnte demnach auch schon aus der ältesten Siedlungsschicht Phase 1 stammen. Ein Fundkontext im Athena-Heiligtum, der vom Ausgräber als »geometrisch bis 7. Jh. v. Chr.« datiert wurde, enthielt die KRS **118** und stellt ein weiteres Beispiel für die Variante 6,1.B dar. Auch für die Variante 6,2.B liefern die Fundzusammenhänge am Kalabaktepe-Süd lediglich *termini ante quos*. Die KRS **122** fand sich in der Auffüllung für Phase 4 und **123** mit roten aufgesetzten Streifen in der Auffüllung zur Phase 3. Damit sind sie sicher bereits für die Phase 2 zu belegen, könnten aber ebenfalls bereits aus früheren Zusammenhängen stammen. Die frühesten Kontexte sind für die Variante 6,3.B am Kalabaktepe-Süd angetroffen worden. Zwei KRS der Variante 6,3.Ba (**123–124**) befanden sich in Aufschüttungen zur bzw. im Boden der Phase 1, womit ein *terminus ante* bzw. *ad quem* gegeben ist. Damit ist der Typus als ganzer und die Variante 6,3.B sicher bereits zu Beginn der Wohnbebauung am Kalabaktepe-Süd existent. **128** bestätigt die frühe chronologische Stellung der Variante 6,3.B, denn sie fand sich in einer Umbauphase der Siedlungsphase 1, die dann zur Auffüllung der Stadtmauer einbezogen wurde, welche wiederum den Beginn der Phase 2 markiert. Damit ist die KRS **128** sicher bereits spätestens in der Phase 1 benutzt worden. Für die Variante 6,4.B bietet eine Schutteinfüllung hinter der Stadtmauer wohl einen *terminus ante quem* für die KRS **131** in der Phase 3, also wohl um 610 v. Chr. Der eingefüllte Schutt kann aber erneut älteres Material enthalten haben. Und tatsächlich fand sich ein weiteres Beispiel der Variante 6,4.B sogar mit der Dekorvariante ay in dem um 630 v. Chr. verschlossenen Bothros im Aphrodite-Heiligtum auf dem Zeyintepe vor den Toren Milets⁹²³. Damit wird die Produktion der Variante 6,4. mindestens bis 640/30 v. Chr. zurückreichen. Dieselbe Fundsituation – im Bothros des Aphrodite-Heiligtums – erbrachte

⁹²³ Vgl. o. Anm. 726.

zwei Beispiele (**132–133**) der Variante 6,5.B, beide erneut mit der Dekorvariante $\alpha\gamma$. Keine Anhaltspunkte sind für die Variante 6,6.C anzuführen. Sie ist aufgrund stilistischer Vergleiche ab spätestens 580 v. Chr. zu erwarten. Damit bieten die Fundkontexte einzelner KRS des Typus 6 eng zu begrenzende Datierungen: Für die Variante 6,3.Ba können die Beispiele **123** und **124** auf 670/60 v. Chr. sowie **128** auf 670/60 – ca. 640 v. Chr. eingeschränkt werden; für die Variante 6,4.By läßt sich **130** in die kurze Phase vor 640/30 – 630/20 v. Chr. setzen; die Variante 6,5.By bietet dann noch zwei Beispiele (**132–133**), die ebenfalls zwischen 640/30 und 630/20 v. Chr. benutzt wurden.

Die statistische Auswertung zum Typus 6 im Kontext der Stratigraphie am Kalabaktepe-Süd (vgl. o. S. 246 ff.) hatte gezeigt, daß sich vorläufig folgendes Bild ergibt: Variante 6,1.B läßt sich spätestens von 650/40 v. Chr. an datieren; Variante 6,2.Ba von 660/50 bis vielleicht 610/600 v. Chr., Variante 6,3 von 670/60 bis 630/20 v. Chr., Variante 6,4 von spätestens 640/30 bis 600/590 v. Chr. und Variante 6,5 von spätestens 640/30 bis 600/590 v. Chr. Die Variante 6,6.Ca gehört dann in etwa dem zweiten Viertel des 6. Jhs. v. Chr. an. Aufgrund des zu fordernden Anschlusses von Variante 6,6 an die vorherigen Varianten könnten einige Varianten des Typus 6 auch eine ein oder zwei Jahrzehnte längere Laufzeit aufgewiesen haben, wofür die hohe absolute Zahl der Beispiele des Typus 6 in Phase 3 durchaus einen Rahmen bis ca. 580 v. Chr. zur Verfügung stellt. Aber auch die Variante 6,6.C könnte bereits ein Jahrzehnt älter sein.

Der stilistische Vergleich erbringt für die Variante 6,2.B ebenfalls ein sehr frühes Datum, denn die KRS **417** ist mit einem frühen Tierfriesstil-Dekor geschmückt, der der Stilphase SiA/MileA Ia angehört und damit wohl in die Jahrzehnte 680/70 bis 660/50 v. Chr. zu datieren ist. Eine geradezu gleiche KRS der Variante 6,2.B ist für ein Fragment in Ephesos⁹²⁴ zu rekonstruieren, das dieselbe Dekoration der Stilphase SiA/MileA Ia aufweist wie **417** und sogar noch ein rotes Band auf der Innenseite des Randes trägt. Die Dekore der einfachen Serie des Typus 6 stellen keine differenzierte Datierungsgrundlage dar. Die Form der Gefäße läßt aber darauf schließen, daß die dickwandigen Varianten 6,1.B bis 6,3.B die älteren darstellen, wobei die wenig kanonische Variante 6,1.B mit den hohen Rändern vermutlich die älteste ist. Die dünnwandigen Varianten, 6,4.B bis 6,5.B, sind eher jünger als die zuvor genannten. Dennoch sollten diese noch in das 7. Jh. v. Chr. gehören, während 6,6.C bereits spätestens in das frühe 6. Jh. v. Chr. gehören wird. Für die Variante 6,6.C kann vielleicht die sicher noch spätere Entwicklung, welche die KRS **614** aufzeigt, angeführt werden. Sie muß in der Tradition des Typus 6 betrachtet werden und führt noch weiter in das 6. Jh. v. Chr. hinab als **134**. Dies wird bereits durch den Tierfries im Henkelfeld aufgezeigt, der in die Stilphase MileA II, der Fikellurastil-Malerei, gehört.

Außerhalb Milets wurde zuletzt eine größere Anzahl des Typus 6 aus Ephesos von Kerschner bekannt gemacht⁹²⁵. Wie schon für den Typus 5 haben verschiedene Fundkomplexe im Artemis-Heiligtum

⁹²⁴ Kerschner 1997b, 166 Taf. 15, 124.

⁹²⁵ Kerschner 1997b.

Datierungsansätze geliefert, die ihrerseits allerdings lediglich relativchronologisch zueinander in Beziehung stehen und absolutchronologisch wiederum auf der bestehenden Keramikchronologie beruhen. Die Variante 6,1.B fehlt bislang auffälligerweise in Ephesos. Dies spricht erneut dafür, daß die stilistisch frühesten Stücke noch nicht exportiert und nachgeahmt wurden. Die Variante 6,2.B hingegen ist mit insgesamt acht KRS in drei verschiedenen Fundkontexten vertreten: in der um 615 v. Chr. geschlossenen 'Opferschicht D'⁹²⁶, sowie 'Aufschüttung A'⁹²⁷ und 'Aufschüttung B'⁹²⁸, die beide um 600 v. Chr. datiert werden. Gleich mehrere KRS⁹²⁹ der Variante 6,3.B können aufgrund ihrer Fundlage in der 'Opferschicht G' vor 630 v. Chr. datiert werden. Weitere Beispiele der Variante 6,3.B⁹³⁰ stammen aus der 'Aufschüttung B', die um 600 v. Chr. datiert und erneut ältere Funde enthalten kann. Für die Variante 6,4.B sind drei KRS⁹³¹ in der um 600 v. Chr. datierten 'Aufschüttung A' festgestellt worden, aber ein Beispiel⁹³² bereits in der um 625/20 v. Chr. angelegten 'Opferschicht F'. Die Variante 6,5.B mit der Dekorvariante *ea* fand sich mit einem Beispiel⁹³³ in der 'Aufschüttung B', die vor 600 v. Chr. errichtet wurde. Eine mit der Dekorvariante *a* versehene KRS⁹³⁴ der Variante 6,5.B war schon in der 'Opferschicht D' enthalten, die einen *terminus ante quem* von 615 v. Chr. liefert. Kerschner erkannte in einem Beispiel des Typus 6 bereits eine lokale Produktion des Typus⁹³⁵. Interessant sind noch die Zusammenstellungen der Varianten in den verschiedenen Fundkomplexen, die in etwa die hier gegebenen Datierungen bestätigen und zeigen, daß wohl die Laufzeiten der folgenden Varianten zeitweise synchron waren: Varianten 6,2.B und 6,4.B in 'Aufschüttung A'; Varianten 6,2.B und 6,3.B sowie 6,5.Be α in 'Aufschüttung B'; Varianten 6,2.B und 6,5.Be in 'Opferschicht D'.

Aus dem nahen Samos können folgende Kontexte im Heraion Datierungshilfen bieten. Zwei vollständige KRS in Samos verkörpern die Variante 6,1.B (Walter 1957, Beil. 67,4)⁹³⁶ und wurden vom Ausgräber Walter in das zweite Viertel des 6. Jhs. v. Chr. gesetzt. Die Aussage bezüglich einer von beiden, der »Zeitpunkt der zweiten Überschwemmung« sei in dieser und zwei weiteren Schalen »angezeigt«⁹³⁷, läßt aber eher vermuten, daß sie nicht aus der datierten Überschwemmungsschicht stammt. Eine Überprüfung dieser Vermutung ist vorläufig nicht möglich. Dagegen stammt die zweite KRS der Variante 6,1.B (Walter 1957, Beil. 69,3)⁹³⁸ offenbar noch aus der zweiten Schwemmschicht,

⁹²⁶ Ebenda 130 Taf. 6, 44.

⁹²⁷ Ebenda 166 Taf. 15, 115–117. 119.

⁹²⁸ Ebenda 150 Taf. 11, 82. 84–85.

⁹²⁹ Ebenda 114 Taf. 2, 11; 3, 12–13.

⁹³⁰ Ebenda 150 Taf. 11, 81. 83; 195 Abb. 43.

⁹³¹ Ebenda 166 Taf. 15, 118.120–121.

⁹³² Ebenda 122 Taf. 4, 23.

⁹³³ Ebenda 150 Taf. 11, 86; 196 Abb. 45.

⁹³⁴ Ebenda 130 Taf. 6, 45.

⁹³⁵ Ebenda 150 Taf. 11, 83; 195 Abb. 43.

⁹³⁶ Walter 1957, 46 Beil. 67, 4.

⁹³⁷ Ebenda 46.

⁹³⁸ Ebenda 46, Beil. 69, 3.

die Walter um 670 v. Chr. datierte⁹³⁹. Damit wäre aus Samos ein *terminus ante quem* für die Variante 6,1.B gewonnen, die allerdings wiederum durch korinthische Importkeramik gewonnen wurde und nur durch ein Stück statistisch abgesichert ist. Die Variante 6,2.B⁹⁴⁰ wurde von Walter in Samos mit »der Errichtung des Kais« in Zusammenhang gebracht⁹⁴¹. Der Ausgräber datierte die Kaipflasterung an das Ende des dritten Viertels des 7. Jhs. v. Chr.⁹⁴². Eine KRS der Variante 6,4.Be⁹⁴³ hielt Walter aus rein stilistischen Gründen für ein Produkt des frühen 6. Jhs. v. Chr., ohne einen Fundkontext für das Stück zu liefern. Im 'Brunnen G' fanden sich gleich drei KRS des Typus 6, die allerdings verschiedene Variante vertreten: Variante 6,1.B⁹⁴⁴ und Variante 6,2.B⁹⁴⁵. Der 'Brunnen G' wurde von den Ausgräbern Walter und Vierneisel zwischen ca. 710 und 640/30 v. Chr. datiert⁹⁴⁶. Ihre Eingrenzung der drei Gefäße in das zweite Drittel des 7. Jhs. v. Chr. beruht erneut auf ihrer stilistischen Einschätzung; von einer stratigraphischen Gliederung der Brunnenfüllung ist jedenfalls nirgends die Rede⁹⁴⁷. Damit bleibt vor allem ein *terminus ante quem* von 640/30 v. Chr. für die Schalen der Varianten 6,1–2.B aus dem 'Brunnen G', der aber um ca. 10 Jahre nach oben verschoben werden muß: 650/40 v. Chr. Denn die von Walter benutzte niedrige korinthische Keramikchronologie hat – wie bereits oben ausgeführt (s. S. 297 mit Anm. 867)– zur Folge, daß er die spätprotokorinthische Stilphase in ihrem Beginn um ca. 10/15 Jahre und in ihrem Ende um 20 Jahre herabsenkte – auf 640/30 – 630/20 v. Chr.⁹⁴⁸. Die Datierung des Verschlusses des 'Brunnen G' machte er zusammen mit Vierneisel aber an der jüngsten Importkeramik fest, die er der frühen spätprotokorinthischen Phase zuordnet. Demnach sind die frühen spätprotokorinthischen Gefäße im Brunnen um 650/40 v. Chr. festzusetzen. In einem Bothros unter der NW-Ecke eines Basis-Fundaments fand sich ein Beispiel der Variante 6,2.B⁹⁴⁹. Die Datierung des Bothros in das letzte Viertel des 7. Jhs. v. Chr. beruht erneut auf der mitgefundenen besser datierbaren korinthischen Importkeramik⁹⁵⁰ – wegen der niedrigen Walter'schen Chronologie der korinthischen Keramik sollte die Schließung des Bothros um zwei Jahrzehnte früher, also um 630/20 v. Chr., datiert werden. Das Alter der 260 Gefäße im Bothros halten die Ausgräber Walter und Vierneisel für nicht weiter divergierend als etwa ein Jahrhundertviertel. Damit ist für die Variante 6,2.B hier eventuell ein Datierungsansatz von spätestens der Mitte des 7. Jhs. bis ca. 630/20 v. Chr. gewonnen. Ebenfalls in die Zeit vor 630/20 v. Chr. führt die 'Aufschüttung F' im Südtemenos, in der Furtwängler drei Beispiele des Typus 6 der Variante 6,3.B⁹⁵¹

⁹³⁹ Ebenda 35. 39; bes. aber 43 ff. und hier bes. 44 und 46.

⁹⁴⁰ Ebenda 49 Beil. 72, 3.

⁹⁴¹ Ebenda.

⁹⁴² Ebenda 49.

⁹⁴³ Ebenda 49 f. Abb. 5.

⁹⁴⁴ Walter – Vierneisel 1959, Beil. 38,2.

⁹⁴⁵ Ebenda, Beil. 38, 1. 3.

⁹⁴⁶ Ebenda 18 ff.

⁹⁴⁷ Ebenda 19.

⁹⁴⁸ Vgl. Anm. 867.

⁹⁴⁹ Ebenda, Beil. 61, h.

⁹⁵⁰ Walter – Vierneisel 1959, 27 f. bes. 28.

⁹⁵¹ Furtwängler 1980, 200 Kat.-Nr. I/18-19 Abb. 13, I/18–19.

und Variante 6,4.B⁹⁵² sicherstellte⁹⁵³. Die Befunde im Heraion von Samos bestätigen im Großen und Ganzen die bisher erzielten Ergebnisse – lediglich für die frühen Varianten 6,1.B und 6,2.B und somit auch für den gesamten Typus 6 ließ sich die Produktions- und Nutzungszeit geringfügig nach oben korrigieren.

Erneut irritiert das Fehlen eines Typus der KRS im nahegelegenen Assesos. Wie schon die Typen 4 und 5 fehlt auch der Typus 6 unter den Funden in Assesos. Es scheint tatsächlich in dem von Kalaitzoglou publizierten kleinen Fundkomplex keine für den Ort insgesamt repräsentative Fundauswahl vorzuliegen. Denn der Fundkomplex enthält ansonsten auch ältere Typen der KRS und Keramik⁹⁵⁴. Daher wäre der sicher in Milet hergestellte Typus 6 auch in Assesos zu erwarten gewesen. Schon allein aus diesem Grund sollten weitreichende Schlußfolgerungen, die sich allein auf die bisher vorgelegten Funde in Assesos stützen, vermieden werden.

Trotz der bereits oben dargestellten Schwierigkeiten der Datierungen in Tarsus (vgl. S. 288 mit Anm. 833 f. und S. 302 mit Anm. 904) seien die dort angetroffenen Beispiele des Typus 6 hier angeführt: KRS der Varianten 6,1.B⁹⁵⁵, 6,2.Bay⁹⁵⁶, 6,3.B⁹⁵⁷ und zwei nicht sicher zu bestimmende Stücke⁹⁵⁸ ohne ausgesparter Henkelzone. Die beiden letzten haben aber auch keine verwertbaren Datierungskontexte⁹⁵⁹. Die Fundsituation der KRS der Variante 6,2.Bay ist nicht eindeutig, denn der Hinweis, daß die Schale in einer »instrusion with 'Early' and 'Middle' material«⁹⁶⁰ gefunden sei, läßt nach der Tarsischen Chronologie auf ein Datum bereits vor 700 v. Chr. schließen, was erneut im Hinblick auf die sonstigen Datierungsansätze aus anderen Fundorten, die stilistische Entwicklung der Form, und auch bezogen auf die Laufzeit des Typus insgesamt zu früh scheint. Zudem sind die Fundumstände recht unklar, da es sich um eine Störung handelt, weshalb sie für die Datierung des Typus hier nicht berücksichtigt wird. Die KRS der Variante 6,1.B dagegen ist in einem Kontext der »early Assyrian period«⁹⁶¹ festgestellt worden. Die Assyrische Periode beschreibt die Zeit nach 696 v. Chr. bis ca. 600 v. Chr.⁹⁶², und darin wird die frühe Phase in die Jahre 685–660 v. Chr.⁹⁶³ gesetzt. Dieser Zeitrahmen bestätigt tatsächlich die frühe Datierung der Variante 6,1.B. Soweit ich sehe, finden sich für diese Phase im 7. Jh. v. Chr. keine Widersprüche zwischen den Befunden bzw. Funden und den Interpretationen der Ausgräber. Die Angaben für die Beispiele der Variante 6,3.B hingegen sind

⁹⁵² Ebenda 202 Kat.-Nr. I/20 Abb. 13, I/20.

⁹⁵³ Ebenda 158. 200 ff. Kat.-Nr. I/18-20 Abb. 13, I/18–20.

⁹⁵⁴ s. o. Anm. 895.

⁹⁵⁵ Tarsus 3, Abb. 95, 1391.

⁹⁵⁶ Ebenda, Abb. 95, 1390.

⁹⁵⁷ Ebenda, Abb. 96, 1397. 1403; 144, 1397. 1403.

⁹⁵⁸ Ebenda, Abb. 96, 1394. 1400

⁹⁵⁹ Ebenda, Kat. 1394 stammt aus einer Störung, in dem Material des späten 7. und 6. Jhs. v. Chr. enthalten war; Kat.-Nr. 1400 war unstratifiziert.

⁹⁶⁰ Ebenda, 287 Kat.-Nr. 1390 Abb. 95, 1390.

⁹⁶¹ Ebenda, 288 Kat.-Nr. 1391 Abb. 95, 1391.

⁹⁶² Ebenda, 8 ff. 20. 130 ff.

⁹⁶³ Ebenda 131 ff.

erneut problematisch. Kat.-Nr. 1397⁹⁶⁴ ist mit einem Fundkontext angegeben, der als »middle period, just before Assyrian Destruction« beschrieben ist. Die »middle period« wird zwischen ca. 850 und ca. 700 v. Chr. datiert, die Zerstörung von Sennacharib mit 696 v. Chr.⁹⁶⁵. Demnach wäre die späteste Datierung von Kat.-Nr. 1397 der Variante 6,3.B um 700 v. Chr. Dies erscheint erneut für die entwickelte Variante des Typus 6 zu früh. Das zweite Beispiel, Kat.-Nr. 1403 der Variante 6,3.B, fand sich in einem gemischten Befund mit weiteren Funden des 7. und 6. Jhs. v. Chr.⁹⁶⁶. Tarsus bietet, wie schon für den Typus 5, auch für den Typus 6 die frühesten Datierungsansätze. Aus den oben bereits geäußerten Gründen scheinen aber nicht alle Befunde von den Ausgräbern hinsichtlich ihrer Zeitstellung richtig interpretiert worden zu sein. Daher werden die Beispiele, die durch einen Fundkontext für den Typus 6 und die Varianten 6,1.B und 6,3.B eine Datierung vor bzw. um 700 v. Chr. bieten, für die hier aufgestellte Chronologie des Typus nicht berücksichtigt. Dennoch scheint eine weitere Fundlage die frühe Datierung der Variante 6,1.B vor 660 v. Chr., die auch aufgrund der Befunde in Milet erzielt werden konnte, zu bestätigen.

In den neuen Ausgrabungen in Ashkelon, wo eine Vielzahl von KRS in der Zerstörungsschicht von 603 v. Chr. und einer der Zerstörung vorausgehenden Schicht ausgegraben werden konnte, ist der Typus 6 mit erstaunlich wenigen Beispielen vertreten. In dem von Waldbaum als »Type 8« bezeichneten Typus kann nur eine KRS⁹⁶⁷ angeführt werden, die sicher als Variante 6,3.B zu klassifizieren ist. Das Fragment dieser Schale stammt aus der Füllschicht, die vor der Zerstörung 604 v. Chr. angelegt worden war. Wie oben bereits aufgezeigt (s. o. S. 299), lassen sich die griechischen Importe in Ashkelon in den engen Zeitraum von 630/20 bis 604 v. Chr. datieren, wobei der *terminus ante quem* 604 v. Chr. sicher, ein *terminus post quem* hingegen für die Funde nicht gegeben ist. Die Tatsache, daß kaum Beispiele des Typus 6 in die kurze Phase griechischer Importtätigkeit nach Ashkelon gelangten und zudem das einzige sicher zu bestimmende Fragment in einer Füllschicht aufgedeckt wurde, läßt sich vermutlich darauf zurückführen, daß verschiedene Varianten des Typus 6 im letzten Viertel des 7. Jhs. v. Chr. bereits nicht mehr produziert wurden. Schon in Ephesos scheint das Fehlen der Variante 6,1.B in Fundkomplexen, die spätestens 630 v. Chr. geschlossen wurden, auf ein Produktionsende vor 630 v. Chr. schließen zu lassen. Die Varianten 6,2.B bis 6,5.B waren in Ephesos jedoch noch reichlich vertreten. Ashkelon bestätigt für die Variante 6,3.B zudem weiterhin eine Nutzung und auch den Export von Gefäßen im letzten Viertel des 7. Jhs. v. Chr. Ebenfalls in der Levante fand sich eine dünnwandige Variante 6,3.B–C (ähnlich **129**) des Typus 6 in Tel Kabri⁹⁶⁸, wo die Importe zwischen 604 und 590/80 v. Chr. zum Erliegen kommen⁹⁶⁹. Unter den zahlreichen Funden

⁹⁶⁴ Ebenda 288 Kat.-Nr. 1397 Abb. 96, 1397; 144, 1397.

⁹⁶⁵ Ebenda 5 ff. 8 ff. 20. 110 ff. 130 ff.

⁹⁶⁶ Ebenda 289 Kat.-Nr. 1403 Abb. 96, 1403; 144, 1403.

⁹⁶⁷ Waldbaum 2011, 222 Kat.-Nr. 242.

⁹⁶⁸ B. Niemeier – W.-D. Niemeier, Archaic Greek and Etruscan Pottery, in: A. Kempinski, Tel Kabri. The 1986–1993 Excavation Seasons, hrsg. von N. Sheftelowitz – R. Oren (2002) 226 Abb. 5.92, 7.

⁹⁶⁹ Ebenda 242.

von KRS in Naukratis fand sich allerdings kein Beispiel des Typus 6⁹⁷⁰. Die griechischen Importe in Naukratis setzen wohl nicht vor 610 v. Chr. ein⁹⁷¹. Vielleicht hat dieses Datum in Naukratis als *terminus post quem* für die Varianten 6,1.B bis 6,5.B zu gelten. Allerdings ist die sicher erst im 6. Jh. v. Chr. produzierte Variante 6,6.C auch nicht in Naukratis zu finden. In Tocra (Taucheira) allerdings konnte die Variante 6,3.B⁹⁷² in einem Beispiel nachgewiesen werden. Sie wird dort wohl zu den ältesten Importen zählen, war allerdings unstratifiziert. Boardman vermutete, daß die Funde in Tocra bereits vor dem überlieferten Gründungsdatum am Ende des 7. Jhs. v. Chr. einsetzen (vgl. o. S. 300 f mit Anm. 893 f.), vermutlich schon um 620 v. Chr.⁹⁷³. Nach Kyrene, das aufgrund unabhängiger literarischer Quellen wohl schon um 632/31 v. Chr. gegründet wurde (vgl. o. S. 300 mit Anm. 888) und somit einen *terminus post quem* liefert, gelangte die Variante 6,4.B⁹⁷⁴. Die hier aufgezeigte Konstellation sollte vielleicht nicht überbewertet werden, dennoch könnte sie dahingehend interpretiert werden, daß tatsächlich um 620 v. Chr. das Ende der Varianten 6,1–2.B sicher erreicht ist, vielleicht auch der Varianten 6,4–5.B, und nach 610 v. Chr. auch das Ende des Exports und möglicherweise der Fertigung der Variante 6,3.B. Dann allerdings ist die Entwicklung zur Variante 6,6.C des 6. Jhs. v. Chr. nur schwer zu erklären.

Außer der durch die oberen Ausführungen bereits beschriebenen Verbreitung des Typus 6 fand er sich an vielen Fundorten bis hin zur iberischen Südküste⁹⁷⁵, wo sich ein Beispiel der Variante 6,5.B fand.

Damit ist der Typus 6 vor 680/70 bis mindestens 580 v. Chr. zu datieren. Die Varianten sind wie folgt zu staffeln:

⁹⁷⁰ Vgl. Schlotzhauer 2012, 45 ff.

⁹⁷¹ Ebenda 34.

⁹⁷² Tocra 1, 121 Abb. 55, 1298.

⁹⁷³ Tocra 1, 13.

⁹⁷⁴ I. D'Angelo, Imported Greek Pottery in Archaic Cyrene: The Excavations in the Casa del Propileo, in: Villing – Schlotzhauer 2006, 186 Abb. 12; s. a. die ungewöhnlichen, vermutlich lokalen Nachahmungen, Ders., Cirene in età arcaica alla luce degli scavi nell'area della Casa del Propileo: produzioni ceramiche locali di coppa ioniche, descrizione delle argille locali e dati preliminare delle indagini, in: O. Menozzi – M. L. Di Marzio – D. Fossataro (Hrsg.), Soma 2005. Proceedings of the IX Symposium on Mediterranean Archaeology, Chieti (Italy), 24–26 February 2005 (2008), 513 Abb. 9; S. 514 Taf. 1 (2. v. u.) (ungewöhnliche Form).

⁹⁷⁵ A. J. Domínguez und C. Sanchez, Greek Pottery from the Iberian Peninsula. Archaic and Classical Periods (2001) 24. 114 Abb. 22, 6 (Cerro Del Villar/Guadalhorce in Andalusien, Provinz Málaga).

6,1.B	vor 680/70 – 640/30 v. Chr.	
6,2.B	ca. 670/60 – 630/20 v. Chr.	Dekorvariante ea vor 620/10 v. Chr.
6,3.B	spätestens 670/60 – 610/00 v. Chr.	
6,4.B	vor 640/30 – 620/10 v. Chr.	Dekorvariante ea vor 640/30 v. Chr.
6,5.B	vor 640/30 – 620/10 v. Chr.	Dekorvariante ea vor 640/30 v. Chr.
6,6.C	spätestens 580 v. Chr.	

Kat.-Nr.	Id.-Nr.	Typus	Kontext
117	K 92.50.1	6,1.Ba	Kalabaktepe-Süd: Auffüllung für Phase 3
118	AT 57.N.77.1	6,1.Ba	Athena-Heiligtum: geometrisch bis 7. Jh. v. Chr.
121	K 92.78.5	6,2.Ba	Kalabaktepe-Süd: Auffüllung für Phase 4
122	K 92.414.1	6,2.Baγ	Kalabaktepe-Süd: Auffüllung und Boden für Phase 3
123	K 89.530.14	6,3.Ba	Kalabaktepe-Süd: Auffüllung für und Fußboden der Phase 1
124	K 89.530.15	6,3.Ba	Kalabaktepe-Süd: Auffüllung für und Fußboden der Phase 1
128	K 92.65.3	6,3.Ba	Kalabaktepe-Süd: Auffüllung für Phase 2; Lehmfundament der Stadtmauer
130	Z 08.467.171	6,4.Baγ	Aphrodite-Heiligtum: vor 630/20 v. Chr., Bothrosfüllung
131	K 92.840.2	6,4.Ba	Kalabaktepe-Süd: Phase 3; Schutteinfüllung hinter der Stadtmauer
132	Z 08.465.31	6,5.Baγ	Aphrodite-Heiligtum: vor 630/20 v. Chr., Bothrosfüllung
133	Z 08.463.207	6,5.Baγ	Aphrodite-Heiligtum: vor 630/20 v. Chr., Bothrosfüllung

Abb. 95 Tab. 15. Ausgewählte Kontexte für die früharchaischen Varianten des Typus 6 in Milet.

6.5.7 Die Knickrandschalen des Typus 7

Für den Typus 7 ist kein Beispiel sicher schon vor der Siedlungsphase 1 angetroffen worden. Die älteste Fundlage konnte für **137** in der Aufschüttung zur Phase 1 oder ihrem Fußboden festgestellt werden und ist entweder ein *terminus ante* oder *ad quem*. Zugleich stellt **137** die stilistisch älteste Variante 7,2.Bf aller stratifizierter KRS des Typus 6 dar. Sicher erst in Phase 1 am Kalabaktepe-Süd läßt sich dann die Variante 7,3.Bf (**143**) stratigraphisch ermitteln. Fragmente einer weiteren KRS (**140**) erhärten den frühen Datierungsansatz der Variante 7,3.Bf, da sie sich sowohl im Befund K 89.275 in der Hofauffüllung für Phase 2, als auch in K 89.261 in einer Auffüllung für Phase 2 oder deren Boden befanden. Damit wird auch **140** bereits während der Siedlungsphase 1 benutzt worden sein, bevor sie zerschlagen in unterschiedliche Planierungsschichten und Auffüllungen geriet. Für die Variante 7,4.Bf konnte lediglich ein Beispiel mit der KRS **145** sicher im oder auf dem Gehhorizont der Phase 3 angetroffen werden, womit sie entweder noch zur Phase 2 zwischen 640–610 v. Chr. zu zählen ist oder erst nach 610 v. Chr. in ihre Fundsituation gelangte. Beide hier gegebenen Interpretationen der Fundlage haben demnach als *terminus ante quem* zu gelten. Die letzte Variante, die im stratigraphischen Kontext angetroffen wurde, ist durch **148** vertreten. Der Befund, in dem sich diese KRS fand, konnte nicht sauber getrennt werden. Er beinhaltete vor allem eine Auffüllung zur Phase 4, enthielt aber wohl noch Teile der Fußböden der Phasen 2 und 3. Damit ist eine Zuordnung spätestens zur Phase 3 sicher, aber durch den Fundkontext wäre auch eine Zuordnung zur Phase 1 bzw. zur Entstehungszeit der Phase 2 möglich. Stilistisch ist letzteres allerdings eher auszuschließen. Damit ergeben sich wieder einmal für einige Beispiele recht enge Grenzen ihrer chronologischen Einordnung: **137** der Variante 6,2.B bis spätestens 680/70 v. Chr.; **143** der Variante 7,3.B bis spätestens 650/40 v. Chr. und für **140** derselben Variante 7,3.B ist das späteste Nutzungsdatum um 640 v. Chr. gegeben; KRS **145** der Variante 7,4.B ist nicht sicher zu verorten, doch vermutlich muß 620/10 v. Chr. als ihr spätestes Verwendungsdatum gelten, während **148** der Variante 7,5.B vermutlich auch noch dem 7. Jh. v. Chr. angehörte. Lediglich für die stilistisch früheste Variante 7,1.Bf fand sich kein Beispiel, das sicher seine frühe Datierung bestätigt. Hier bietet die stilistische Einschätzung den einzigen Hinweis, wonach die Variante nicht später als Variante 7,2–3.B entstanden und benutzt worden sein wird.

Aus der statistischen Auswertung des Typus 7 anhand der Stratigraphie am Kalabaktepe-Süd (vgl. S. 235 ff. im Kapitel 5.1.3 'Zusammenfassung zu den neuen Grabungen') war eine Laufzeit von ca. 680/70 v. Chr. bis zum Beginn des 6. Jhs. v. Chr. zu vermuten, die in etwa folgendes chronologische Gerüst für die Varianten des Typus 7 wahrscheinlich machen: Variante 7,1.B datiert in den Zeitraum von 680/70 bis etwa 650/40 v. Chr., Variante 7,2.B von 680/70 bis etwa 640/30 v. Chr., Variante 7,3.B von spätestens 650/640 bis 620/10 v. Chr., Variante 7,4.B von 650/40 bis etwa 610/600 v. Chr. und Variante 7,5.B von 640/30 bis 590/80 v. Chr.

Da Datierungshinweise für den Typus 7 sowohl in Milet als auch außerhalb von Milet völlig fehlen, lassen sich die hier am Kalabaktepe-Süd in Milet gewonnenen Datierungen nicht wie bei den übrigen

Typen überprüfen oder präzisieren. Auch in dem um 630 v. Chr. verschlossenen Bothros im Aphrodite-Heiligtum⁹⁷⁶ war kein Beispiel gefunden worden.

Damit ist die Laufzeit des Typus 7 von ca. 680/70 bis ca. 590/80 v. Chr. festzulegen. Die Abfolge der Varianten ist noch nicht vollständig klar nachzuvollziehen. Bisher haben für die Varianten folgende Datierungen zu gelten:

7,1.B spätestens 680/70 – 640/30 v. Chr.

7,2.B ca. 680/70 – 640/30 v. Chr.

7,3.B spätestens 650/40 – 620/10 v. Chr.

7,4.B vor 650/40 – 610/00 v. Chr.

7,5.B vor 640/30 – 590/80 v. Chr.

Kat.-Nr.	Id.-Nr.	Typus	Kontext
137	K 89.530.11	7,2.Bf	Kalabaktepe-Süd: Auffüllung und Fußboden der Phase 1
140	K 89.261.13 + K 89.275.5	7,3.Bf	Kalabaktepe-Süd: Boden Phase 2 und Auffüllung für Phase 2 + Hofauffüllung für Phase 2
143	K 90.828.11	7,3.Bf	Kalabaktepe-Süd: Grube im natürlichen Lehm Boden, über die die Mauer K 90.611 der Phasen 1–4 verläuft, und die der Fußboden K 90.649 der Phase 2 abdeckt = Phase 1
145	K 89.419.10	7,4.Bf	Kalabaktepe-Süd: Gehhorizont, zu dem Asche, Amphorenmündung und Pfostenbasis K 89.420 gehören = Phase 3
148	K 89.514.43	7,5.Bf	Kalabaktepe-Süd: Auffüllung für Phase 4, vielleicht noch ein Teil des Bodens von Phase 2+3

Abb. 96 Tab. 16. Ausgewählte Kontexte für die früharchaischen Varianten des Typus 7 in Milet.

6.5.8 Die Knickrandschalen des Typus 8

Der Typus 8 fand sich in mehreren relevanten Fundkontexten am Kalabaktepe-Süd, wodurch sich für einzelne Gefäße – und damit auch für ihre Varianten – mehrere Anhaltspunkte für eine exaktere Chronologie ergaben. Die fünf Beispiele der Variante 8,1.B ließen sich in folgenden Fundsituationen finden: die späteste, die zudem die einfachere Dekorvariante a ohne polychromen Banddekor innen

⁹⁷⁶ Zum Bothros s. Anm. 726.

oder/und außen in diesen Kontext verweist, ist mit der KRS **151** erst im Schutt der Phase 3 gegeben. Dies würde bedeuten, daß das Stück erst am Ende dieser Siedlungsphase um 580 v. Chr. in seine Fundsituation geriet und noch in Phase 3 am Ende des 7. und Anfang des 6. Jhs. v. Chr. benutzt wurde. Allerdings könnte das Fragment auch aus älteren Zusammenhängen hierher 'verschleppt' worden sein. Mithin gewährt die Fundlage lediglich einen *terminus ante quem* für die Variante 8,1.B mit der einfachen Dekorvariante a. Die übrigen Beispiele der Variante 8,1.B tragen allerdings den aufwendigeren Dekorschmuck ay. Die Fundsituation hat **157** am Ende der Phase 2; das Fragment fand sich in einer Auffüllung zur folgenden Phase 3. Doch auch die Phase 2, die durch **157** bezeugt ist, ist für die Variante und den Typus im Ganzen sicher nur ein erneuter *terminus ante quem*. Denn **152** und **159** fanden sich in Kontexten am Ende der Phase 1 und bestätigen damit bereits eine Nutzung der Variante 8,1.Bay irgendwann während der Phase 1, die zwischen 670 und 640 v. Chr. datiert wird. Damit ist für den Typus 8, wie für die Variante 8,1.Bay, ein *terminus ante quem* von spätestens 640 v. Chr. gegeben. Die frühe Datierung der Variante 8,1.Bay wird auch durch ein vollständiges Beispiel aus dem Befund Z 08.475 belegt, das hier – zwischenzeitlich leider nicht auffindbar – weder in Bild noch Zeichnung dokumentiert werden kann. Aber auch für dieses Exemplar ist somit ein *terminus ante quem* von spätestens 630 v. Chr. gegeben. Die zweite Variante, 8,2.B, ist ebenfalls mit sechs Beispielen in relevanten frühen Fundsituationen am Kalabaktepe-Süd und im Aphrodite-Heiligtum angetroffen worden. Von diesen fand sich die KRS **164** mit der einfachen Dekorationsvariante a in einem Befund, der der Phase 2 zugerechnet werden muß. Der Befund K 89.247 ist eine Auffüllung für die Phase 3 und stellt somit einen *terminus ante quem* am Ende der Phase 2, also ca. um 610 v. Chr. dar. Allerdings war in dem Befund auch ein Teil des Bodens der Phase 2 enthalten, womit das Fragment **164** durchaus schon zu Beginn der Phase 2 um 640 v. Chr. in seinen endgültigen Fundkontext geraten sein könnte. Daß dies nicht unwahrscheinlich ist, beweisen weiter KRS der Variante 8,2.Ba und ay: **166** konnte in einer Grube festgestellt werden, die während der Siedlungsphase 1 oder 2 angelegt wurde. **168** und **169** gehören zur Bothrosfüllung, deren Enddatum vor 630 v. Chr. liegt⁹⁷⁷, und **419** sowie **162** sind sogar der Phase 1 am Kalabaktepe-Süd zuzuordnen. Dabei liefert der Fundkontext der KRS **419** der Variante 8,2.B einen *terminus ante quem* am Ende der Phase 1, also vor 640 v. Chr., was zudem in der Bemalung der Schale im Tierfriesstil der frühesten Stilphase SiA/MileA Ia aufs Beste seine Bestätigung findet. Den frühesten Fundzusammenhang liefert aber die während der ersten Siedlungsphase in den natürlichen Lehmboden eingetiefte Grube, in der sich Fragmente der KRS **162** befanden. Die Grube, die zu keinem genauer zu bestimmenden Zeitpunkt während der Phase 1 errichtet wurde, ist vom Boden der Phase 2 versiegelt worden. Spätestens zu diesem Zeitpunkt ist ein Teil der bereits zerschlagenen, also nicht mehr in Benutzung befindlichen KRS **162** in die Grube geraten. Wurde allerdings die Mauer K 90.611, die offensichtlich in den Phasen 1–4 immer wieder aufgebaut und weiterverwendet wurde, tatsächlich schon während Phase 1 errichtet,

⁹⁷⁷ Vgl. Anm. 726.

könnte der Inhalt der Grube auch schon während Phase 1 versiegelt worden sein. Dann wäre die Nutzung der KRS **162** sicher schon früher als 650/40 v. Chr. anzunehmen. Damit ergibt sich für die einzelnen KRS folgende Datierung in engen Grenzen: **162** der Variante 8,2.Ba mit einfacher Dekorvariante ist zwischen 660/50–650/40 v. Chr. zu datieren; **419**, ebenfalls Variante 8,2.B und mit Tierfriesstil der frühesten Stilphase SiA/MileA Ia bemalt, sowie **152** und **159** der Variante 8,1.Ba mit der Dekorvariante $\alpha\gamma$ sind spätestens 650/40 v. Chr. zu fixieren; die beiden KRS **168** und **169** der Variante 8,2.Ba γ wären zeitlich demnach zwischen 660/50–640/30 v. Chr. festzusetzen; **166** der Variante 8,2.Ba γ kann zwischen 660/50 und spätestens 630/20 v. Chr. und **164** mit einfachem Dekor der Variante 8,2.Ba sowie **157** der Variante 8,1.Ba γ sind spätestens 620/10 v. Chr. zu datieren.

Die vertikale und horizontale statistische Auswertung des Typus 8 zur Ermittlung der Laufzeit hatte die überraschende Erkenntnis erbracht, daß die Nutzung des Typus in der Wohn- und Handwerkersiedlung am Kalabaktepe-Süd zu einem wesentlichen früheren Zeitraum nachgewiesen werden konnte, als es bisher in der Literatur für möglich gehalten wurde – nämlich schon um 660/50 v. Chr. Diese Einschätzung ist erneut durch die Darstellung einzelner Fundsituationen der Varianten am Kalabaktepe und im Aphrodite-Heiligtum bestätigt worden. Hierbei hat besonders die Fundsituation des um 630 v. Chr. verschlossenen Bothros im Heiligtum⁹⁷⁸ eine eigenständige, auf der korinthischen Importkeramik beruhende Aussagekraft, die sie im Verhältnis zu dieser besser untersuchten keramischen Gattung als spätestens zur spätprotokorinthischen Keramik parallel zu datierende Keramikgruppe sicherte. Die statistische Auswertung zur Ermittlung der ungefähren Laufzeit des Typus konnte anhand des Typus 8 auch noch einmal getrennt für die mit der Dekorationsvariante α und $\alpha\gamma$ durchgeführt werden. Dabei ergab sich für die Variante 8,1.B vorläufig ein Zeitrahmen von 650/40 bis 610/600 v. Chr., für Variante 8,2.B von 660/50 bis 590/80 v. Chr. Die Dekorvarianten $\alpha\gamma$ mit und ohne α (also rote oder weiß-rot-weiße Bänder) beginnen vermutlich gleichzeitig.

Die stilistischen Untersuchungen zum Typus 8 beruhen zum Einen auf ihren morphologischen Zügen, zum Anderen auf der Dekoration, wobei im Fall der KRS des Typus 8 gleich mehrere Beispiele herangezogen werden können, deren Tierfriesstil-Bemalung der Stufe SiA/MileA I eine relative Entwicklung erkennen läßt und damit Aussagen zur Laufzeit des Typus erlaubt. Der Bau der KRS des Typus 8 ähnelt stark denen der Typen 5 und 6. Besonders mit dem Typus 6 sind engere Verklammerungen über die Form hinweg auch in der durchgehend dunklen Dekoration zu erkennen. Dies gilt nicht nur für die Variante 8,1.B, die ihre engsten Parallelen in der vor 640/30–620/10 v. Chr. datierten Variante 6,4.B (hier sogar teilweise auch ähnliche Fußgestaltungen)⁹⁷⁹ und auch hier sowohl in der Dekorvariante α als auch $\alpha\gamma$ findet. Auch die Herleitung von der frühen, aber anders als 8,1.B dickwandig gestalteten Variante 5,1.B mit ihrer Datierung zwischen 680/70–640/30 v. Chr. ist evident

⁹⁷⁸ Vgl. Anm. zuvor.

⁹⁷⁹ Wobei auch der Typus 8 mitunter einen anderen als den typischen konischen Fuß (Abb. 5) tragen kann, s. Kalaitzoglou 2008 Taf. 11, 34.

und erklärt durchaus ihre angezeigte zeitliche Überlappung von ca. 20 Jahren. Die Variante 8,1.B findet ebenfalls ihre engsten Parallelen unter den Varianten der beiden Typen 5 und 6, wobei die dünnwandige Variante 5,4.B, die zumindest für den Zeitraum 620/10–600/590 v. Chr. wahrscheinlich gemacht werden konnte, und die kleinformatige Variante 5,3.B mit der Laufzeit 640/30–600/590 v. Chr. gut mit der unteren hier vertretenden Datierung des Typus 8,2.B korrespondieren. Doch auch einige Beispiele der Variante 5,2.B, wie etwa **97** und **98**, stehen der Variante 8,2.B nahe, und ihre Datierung von ca. 660/50 bis 630/20 v. Chr. entspricht bereits der oberen Begrenzung der bisher ermittelten Datierung für die Variante 8,2.B. Auch 6,2.B, besonders **122**, und 6,5.B, die beide auch die Dekorvariante a und ay aufweisen, bieten engste Parallelen für die Variante 8,2.B, die durchaus einen engen Austausch der Töpfer und Werkstätten in demselben oder einem benachbarten Produktionszentrum anzuzeigen scheint. In der naturwissenschaftlich erwiesenen Herkunftsgruppe Ulo4 (Mommsen) sind ja die Varianten 5,3–4.B und 8,1–2.B bereits für die Werkstätten desselben, bisher allerdings noch nicht sicher lokalisierten Produktionsortes nachgewiesen worden. Die Parallelen 6,2.B (ca. 670/60–630/20 v. Chr.) und 6,5.B (vor 640/30–620/10 v. Chr.) bestätigen erneut den vorgeschlagenen Datierungsrahmen für die Variante 8,2.B. In jedem Fall sind die hier genannten stilistischen Bezüge der Varianten der Typen 5, 6 und 8 klar – selbst wenn sich ihre Chronologie jemals durch neue Evidenzen verschieben sollte, beträfe dies alle genannten Varianten im gleichen Maße. Zuletzt sind noch die Dekore anzuführen. Aus dem bisher Gesagten konnte die Ähnlichkeit und damit eine enge Verbindung der Dekore der Typen 6 und 8 aufgezeigt werden, womit erneut ein etwa synchrones Zeitphänomen angesprochen ist. Des Weiteren aber führen die im Tierfriesstil bemalten KRS des Typus 8 über einen einfachen Vergleich hinaus. Denn zum einen erlaubt die wesentlich besser datierte Gefäßmalerei Südioniens für einzelne Gefäße und die Varianten des Typus 8 eine eigenständige Datierung und – aufgrund der recht gut abgesicherten relativen Entwicklung der Malerei – auch eine Aussage zur Laufzeit des Typus und seiner Varianten. Die stilistisch älteste Bemalung tragen die KRS **418–420**. Alle drei Beispiele vertreten die Formvariante 8,2.B. Von diesen legt **419** auch durch seine Fundlage in Phase 1 (s. o.) für seine frühe chronologische Stellung Zeugnis ab. **418** zeichnet sich zudem noch durch seine subgeometrische Dekoration aus. Eine Datierung der KRS **418–420** des frühesten Tierfriesstils der Stilphase SiA/MileA Ia in den Zeitraum 670–650 v. Chr. erhärtet den frühen Datierungsansatz der Variante 8,2.B und des Typus 8 insgesamt. Vermutlich läßt sich unter diesen die KRS **419** mit einer Datierung um 660/50 v. Chr. zeitlich am engsten eingrenzen. Die KRS **421** aus Samos ist als Variante 8,1.B zu klassifizieren. Ihr Dekor allerdings ist stilistisch bereits der Stilphase SiA/MileA Ic zuzuordnen, die in der Zeit um 630–610 v. Chr. anzusetzen ist. Chronologisch noch weiter führt die KRS **422** der Variante 8,2.B hinab. Sie ist zwar klein und läßt sich daher nicht mit letzter Sicherheit der Stilphase MileA Id oder schon dem Übergang zur neuen Stilstufe MileA II, dem Fikellurastil, zuweisen. In

jedem Fall aber führt die Stilphase MileA Id bereits in die Zeit ca. 610–590 v. Chr. hinab. Aber auch für die Übergangsstufe, deren Beginn bisher um 590/80 v. Chr. bestimmt wurde⁹⁸⁰, ist durch Gefäße mit ersten Tendenzen der Stilphase MileA Iia – aus Kontexten vor der Zerstörung von 604 v. Chr. in Ashkelon und eventuell auch aus Assesos um 600 v. Chr., die in ihrer Entwicklung noch weiter fortgeschritten sind – eine leichte Anhebung der Chronologie der Stilstufe MileA II, Fikellurastil, und wohl auch MileA Ic–d wahrscheinlich (s. u.). Eine im Hinterland von Karien, an der Grenze zu den antiken Landschaften Lydien und Pisidien bei Uylupınar in der Region des heutigen Burdur gefundene Imitation einer südionischen KRS der Variante 8,2.B⁹⁸¹ trägt einen völlig ungewöhnlichen Dekor⁹⁸². Doch scheint dieser auch bereits über 600 v. Chr. hinaus zu führen, wobei allerdings die Chronologie

⁹⁸⁰ Schlotzhauer 2007, 583 ff. bes. 584.

⁹⁸¹ K. Dörtlük, *TürkAD* 24, 1977, 24 Abb. 32; neuerdings wiederholt publiziert und gut aufgearbeitet etwa von S. Çokay-Kepçe, *The Pottery from Burdur Uylupınar Necropolis*, *Adalya* 12, 2009, 34 f. 49 Kat.-Nr. 18. S. 66 Abb. 16. (ich danke B. Hürmüzlü [Isparta] für den Hinweis auf die Publikation); eine Herleitung der Gefäßform von attischen Vergleichen ist nicht notwendig, aber der Vergleich aus Tocra (Taucheira) überzeugt vollständig (s. ebenda 34 mit Anm. 31–32); zusätzlich fand sich nahezu ein formgleiches zweites Beispiel der Variante 8,2.B (ebenda 66 Abb. 15), das erneut einen völlig ungewöhnlichen Dekor aufweist – es ist nämlich größtenteils tongrundig mit Gruppen von Bändern auf dem Rand, dem Gefäßkörper und in der Bodenzone, der Kegelfuß ist schwarz gefirnißt. Erneut ist aber die Innenseite gänzlich undekoriert! Diese Dekoration ist exzeptionell und wird vermutlich in einer karischen Werkstatt erzeugt worden sein, die sich nicht an die Konventionen südionischer Gefäßmaler hielt.

⁹⁸² Sie ist zwar das Produkt einer karischen Werkstatt, ist aber qualitativ hochstehend und kommt sicher den Produkten aus Zentren wie Milet oder Samos sehr nahe. Einzig ihr Dekor verrät ihre provinzielle Herkunft, womit kein Qualitätsurteil ausgesprochen sein soll. Der Dekor der Uylupınar-Schale eröffnet die Möglichkeit, auf einige Aspekte der karischen Besonderheit in der Interpretation südionischer Tierfriesdekorationen einzugehen. Dargestellt ist das auch aus Samos und Milet bekannte Dekorationsschema von Friesen, die außen über den gesamten Körper einer Schale gelegt sind. Ungewöhnlich in den südionischen Zentren ist aber eine Abfolge von nur Blütenknospenfriesen. In der Fußzone, die den Abschluß der Dekoration am Körper zum Fuß hin bildet, ist ein stehender Blütenknospenfries neben dem Strahlenkranz kanonisch. Ein Mäanderband als Trennmotiv zum Fries auf der Schulter ist ebenfalls üblich. Südionische Künstler kennen auch den hängenden Blütenknospenfries auf der Schulter. Unbekannt ist bisher hingegen ein Blütenknospenkranz auf dem Rand und vor allem die Abfolge von ausschließlich Blütenknospenfriesen. Neben dieser Eigenart des Dekorationsaufbaues ist es aber vor allem die stilistische Ausformung des Blütenknospenfrieses, die in Südionien befremdlich wirkt. Die Knospen werden verspielt als einzelne Strukturen wiedergegeben, die an einen Zapfen oder eine schon im Aufblühen begriffene Blüte erinnern. Letzteres könnte durchaus gemeint sein, betrachtet man die eingerollten Voluten am unteren Ende dieser 'Knospen'. Die Blüten stehen den südionischen Vorbildern wieder näher, sind aber eher als eine Kombination aus zwei Blütentypen zu verstehen. Außen wurden die konturierten Blütenblätter der frühen südionischen Blüten (SiA Ia–b) benutzt, innen die vielen Zungen der Blüten, die einen fortgeschrittenen Entwicklungsstand südionischer Blütentypen anzeigt. Eine solche Kombination ist aus Milet und Samos bisher nicht bekannt. Dies macht eine genaue zeitliche Fixierung der Uylupınar-Schale schwierig. Die Form der Schale ist seit vor der Mitte und durch die gesamte zweite Hälfte des 7. Jhs. v. Chr. bekannt. Einzelelemente des Blütenknospenfrieses zeigen bereit das beginnende 6. Jh. v. Chr. an, was sich aufgrund der Langlebigkeit der Form auch nicht ausschließen läßt und daher auch nicht mit rückständigem Provinzialismus erklärt werden muß. Eigenständigkeit, nicht Unverständnis für die südionischen Vorbilder, die sie imitieren bzw. nachahmen, sind der Wesenszug karischer Tierfriesmalerei. Nicht ein »völliges Unverständnis« der Künstler in Karien, wie Käufler bemerkte (S. Käufler, *Funde aus Milet II: Die Frühstufe der Middle Wild Goat I-Style*, *AA* 1999, 211), führt zu den eigenwilligen Schöpfungen ihrer Bemalung und Kombination von Formen, sondern ein bewußtes Aufnehmen vorhandener Stile und Motive und die Umformung nach ihrem eigenen Verständnis und Geschmack, der geprägt ist von einer ureigenen Tradition, deren dingliche Hinterlassenschaften noch weitestgehend unentdeckt sein mögen.

der karischen Keramik noch nicht etabliert erscheint⁹⁸³. Mit dieser relativen Abfolge von bemalten Beispielen des Typus 8 bestätigt sich der zuvor schon gegebene Datierungszeitraum zwischen ca. 660/50 bis 600/590 v. Chr. und eben auch die relativ lange Laufzeit des Typus von etwa 50–60 Jahren. Vorläufig ist für die Variante 8,2.B eine längere Laufzeit zu ermitteln als für die stilistisch vielleicht ältere Variante 8,1.B, die aber, wie die Bemalung des Beispiels **421** zeigt, sicher bis 630/20 v. Chr. oder etwas länger existiert haben wird. Vermutlich wird auch die Produktion der Variante 8,1.B nicht später eingesetzt haben als die der Variante 8,2.B, doch lassen die wenigen Befunde bisher keine Bestätigung der Vermutung zu.

Die frühesten und wirkungsvollsten Klassifizierungen – und mit diesen auch ihre Datierung – zum Typus 8 stammen aus den griechischen Kolonien Megara Hyblaia und Tocra (Taucheira)⁹⁸⁴. Hier sei besonders noch ein Beispiel der Variante 8,2.Bay⁹⁸⁵ aus Tocra hervorgehoben. Es wurde hier im frühesten Fundkontext, 'Deposit I' (Level 9–10), gefunden, womit für die Variante 8,2.Bay ein wichtiger *terminus post quem* gegeben ist. Denn wie bereits oben angeführt (s. S. 341 mit Anm. 893), wurde Taucheira nach der Gründung von Kyrene 631/30 v. Chr. gegründet. Die Masse der Funde erreichte laut Boardman und Hayes den Ort ab 620 v. Chr.⁹⁸⁶. Der Fundkomplex 'Deposit I' (Level 9–10) enthielt als späteste Importe Beispiele aus dem Jahrzehnt 600–590 v. Chr.⁹⁸⁷. Damit bestätigt sich für die Variante und den Typus die lange Laufzeit bis ans Ende des 7. Jhs. v. Chr. Bereits oben im Kapitel 3 zur Forschungsgeschichte wurden die Grundlagen der Datierung von Villard – Vallet und Boardman – Hayes hinreichend erörtert und sollen hier nicht wiederholt werden (S. 22 f mit Anm. 112 ff. Villard – Vallet Typus A1; S. 28 f. Boardman – Hayes). Die dort gewonnene Datierung des Typus in das letzte Drittel bzw. letzte Viertel des 7. Jhs. v. Chr. kann nun allgemein bestätigt werden, auch wenn damit nicht die gesamte Laufzeit des Typus bezeichnet wurde. Außerhalb Milets lieferte darüber hinaus ein Grab in Pithekoussai⁹⁸⁸ (640/30 v. Chr.) den frühesten Datierungshinweis, dem zwei rhodische Gräber⁹⁸⁹ (640–610 v. Chr.) mit korinthischen Beigaben spät im Spätprotokorinthischen bis früh im Frühkorinthischen an die Seite zu stellen sind. Die Untersuchungen beim Hafentort Emporion an der Südküste der großen nordionischen Insel Chios haben unter der

⁹⁸³ Vgl. etwa U. Schlotzhauer in: M.-C. Lentini, Vasi del Wild Goat Style dalla Sicilia e dai Musei Europei. Catalogo della Mostra Gela, Museo Archeologico Regionale, 27 april – 21 maggio 2006. Bochum, Kunstsammlung der Ruhr-Universität, 30 maggio – 15 luglio 2006 (2008) 123 ff. Kat.-Nr. 54–58.

⁹⁸⁴ Villard – Vallet 1955, Typus A1; Tocra 1, 112. 120 Kat.-Nr. 1192. 1194; S. 121 Abb. 55, 1192. 1194, die sog. rhodischen Typen I und III; zum Typus III dann noch das vollständige Stück in Tocra 2, 56 f. Kat.-Nr. 2207 Abb. 23, 2207.

⁹⁸⁵ Tocra 2, 56 f. Kat.-Nr. 2207 Abb. 23, 2207.

⁹⁸⁶ Tocra 1, 13.

⁹⁸⁷ Ebenda 12.

⁹⁸⁸ Pithekoussai 1, 318 f. Taf. 101, 1. Grab 263 (S. Montano) mit LPC-Aryballos; Im Jahre 1993 veröffentlichten Buchner und Ridgway die umfangreiche Monographie Pithekoussai 1, in der die Grabungen aus dem Jahrzehnt 1952 bis 1961 auf der Nordwestspitze der Insel Ischia vorgelegt wurde. Die dort angetroffene ausgedehnte Nekropole im Tal von 'San Montano' gehörte zu dem *emporion* Pithekoussai. Ob Griechen oder Phönizier diese Handelsstation betrieben, ist umstritten, s. a. Boardman 1980, 165 ff.

⁹⁸⁹ Jacopi 1931, 44 Abb.13. Grab 3 Kamiros (Macri Langoni) und Jacobi 1932/33, 105 Abb. 116 spätes LPC bis frühe EC; Mehrfachbestattung; Datierung 640–610 v. Chr.

Leitung von Boardman einige erwähnenswerte Fundkontexte und Datierungsgrundlagen erbracht. Zum Einen konnte er sechs verschiedene Schichten in der Terrassierung des Hafenheiligtums aufdecken⁹⁹⁰. Allerdings waren die vier ältesten Schichten (»Periods I–IV«) durch massive ältere Fundbeimischungen verunreinigt, so daß sie für die vergesellschafteten Funde nur einen *terminus ante quem* bereitstellen. Einen zweiten relativchronologischen Anhaltspunkt lieferten zwei Perioden, die am Athena-Tempel auf der Akropolis fixiert wurden⁹⁹¹. Es fanden sich in Emporion aber keine absolutchronologischen Anhaltspunkte. Die relative Abfolge an den stratifizierten Grabungsplätzen wurde daher nach der vergesellschafteten Keramik datiert⁹⁹². Für das Hafenheiligtum machte der Ausgräber die Zeit vor 690 v. Chr. für die Periode HS I (Harbour Sanctuary) geltend. Die Perioden HS II (690–660 v. Chr.), HS III (660–630 v. Chr.), HS IV (630–600 v. Chr.), HS V (600–550 v. Chr.) und HS VI (550–500 v. Chr.) ergaben eine lückenlose Abfolge, die im 6. Jh. v. Chr. allerdings Periodenlängen von fünfzig Jahren aufweisen. Noch längere Zeiträume spannen die Perioden der Terrassenaufschüttungen am Athena-Tempel auf. Für die Archaik ergab sich hier eine Datierung der Periode I von ca. 690–550/540 v. Chr., wogegen die Periode II mit einem Datierungszeitraum von 550–325 v. Chr. bis an den Beginn des Hellenismus reicht⁹⁹³. In Chios ist die Variante 8,2.Ba⁹⁹⁴ im Kontext HS IV angetroffen worden, der eine Datierung von spätestens 630–600 v. Chr. erlaubt. In Ephesos haben die oben (vgl. o. S. 309) bereits erläuterten Kontexte, die neben ihrer Logik der relativen Abfolge ebenfalls auf Keramikdatierung beruhen, vier stratifizierte Beispiele des Typus 8 geliefert. In der 'Opferschicht F', in der die Keramik vor 625/20 v. Chr. zu datieren ist, befand sich eine KRS der Variante 8,1.Ba⁹⁹⁵. In der um 615 v. Chr. datierten 'Opferschicht D' konnte die Variante 8,1.Ba⁹⁹⁶ sichergestellt werden, und in der 'Aufschüttung A', die um 600 v. Chr. datiert wurde, waren die Variante 8,1.Ba⁹⁹⁷ und 8,1.Ba⁹⁹⁸ enthalten. Auffällig ist hier in Ephesos lediglich, daß sich die Variante 8,1.B mit den beiden Dekorvarianten a und a_γ fand.

Auch in Samos ist der Typus 8 nicht unbekannt und wurde hier sowohl in der Variante 8,1.B, als auch 8,2.B sowie mit Tierfriesstil verschiedener Stilphasen angetroffen (s. für die beiden Formvarianten und die Gefäßmalerei etwa **420–421**). Dagegen sind die Anhaltspunkte für die Datierung der im Heraion von Samos aufgedeckten KRS des Typus 8 gering. Walter publizierte eine KRS der Variante

⁹⁹⁰ Boardman 1967, 52 ff. und 101.

⁹⁹¹ Ebenda 5 ff. und 101.

⁹⁹² Für den Athena-Tempel vgl. Boardman 1967, 5 f.

⁹⁹³ Für eine geringfügige Verschiebung der Datierung des Endes von Periode I bzw. des Beginns von Periode II am Athena-Heiligtum spricht sich W. Held (AA 1998, 348 ff. bes. 355 ff.) aus. Er versucht, die Baugeschichte ein Jahrhundertviertel vorzulegen, wobei er selbst darauf hinweist, daß einzig die Fundkeramik Aussagen zur Datierung zulassen. Diese besteht jedoch vor allem aus ostgriechischer Keramik, die in ihrer Genauigkeit aber weiterhin problematisch bleibt. Wie auch immer die absolute Datierung der beiden Bauphasen am Athena-Heiligtum 'ausgeht', die relative Abfolge der Befunde bleibt davon ausgenommen.

⁹⁹⁴ Boardman 1967, 134 Abb. 83, 459.

⁹⁹⁵ Ebenda 122 Taf. 4, 24.

⁹⁹⁶ Ebenda 130 Taf. 6, 46.

⁹⁹⁷ Ebenda 166 Taf. 15, 122.

⁹⁹⁸ Ebenda 166 Taf. 15, 123.

8,2.Ba = **160**⁹⁹⁹. Er besprach die Schale im Zusammenhang mit den Funden vor und während der Errichtung des sog. 'Kaipflasters', das er in das dritte Viertel des 7. Jhs. v. Chr. datierte¹⁰⁰⁰ (vgl. o. S. 296 und S. 310). Dann datierte er die fast vollständig erhaltene Schale aber später als das 'Kaipflaster' um die »Jahrhundertwende«¹⁰⁰¹. Damit ist nicht sicher, ob **160** der Variante 8,2.Ba überhaupt mit dem Kontext des 'Kaipflasters' im Zusammenhang steht, oder ob die Datierung ohne Kontext rein stilistisch erfolgte. Wie in dem um 630 v. Chr. versiegelten Bothros¹⁰⁰² im Heiligtum der Aphrodite von Oikus vor den Toren von Milet fanden sich auch im Heiligtum der Hera auf Samos beide Varianten des Typus 8, allerdings mit der einfachen Dekorvariante a gemeinsam in einem Bothros, den Walter und Vierneisel in die kurze Phase von 625–600 v. Chr. datierten¹⁰⁰³, der wegen der niedrigen Walter'schen Chronologie der korinthischen Importkeramik aber wohl zwei Jahrzehnte früher zu datieren ist (vgl. o. Anm. 867). Damit würde dieser Kontext ein Zeitfenster für beide Varianten zwischen 650/40 und 620 v. Chr. bereitstellen.

In Assesos bei Milet wurden drei vollständige KRS der Variante 8,2.B¹⁰⁰⁴ mit den Dekorvarianten a und ay, die dort als »Typus A Variante IIIc1«¹⁰⁰⁵ klassifiziert wurden, in einem Fundkontext aufgedeckt, den Kalaitzoglou als einen 608 v. Chr. geschlossenen Fundkomplex beschreibt¹⁰⁰⁶. Allerdings bleiben viele Fragen hinsichtlich dieser exakten Datierung offen. Vor allem konnte der Autor nicht belegen, daß er sich überhaupt in einem Heiligtum befindet, bzw. wo genau der Athena-Tempel oder das Heiligtum der Athena in Assesos liegt. Und seine ganze Argumentation zur Datierung ist davon abhängig, daß die angebliche Brandzerstörung durch die Lyder – die dem Befund nicht anzusehen ist¹⁰⁰⁷ – hier tatsächlich mit der Zerstörung des Tempels zu verbinden ist. Dennoch sind die jüngsten Funde des publizierten Fundkomplexes in die Zeit zwischen Ende des 7. und Anfang des 6. Jhs. v. Chr. zu datieren. Doch darüber hinaus bringt der Befund in Assesos nicht viel Neues für den Typus oder seine Varianten, denn erstens ist nur eine Variante vertreten, und zweitens sind die publizierten Funde mindestens auf 80 Jahre zu verteilen, denn manches Stück reicht bis in die erste Hälfte des 7. Jhs. v. Chr. zurück¹⁰⁰⁸

In Al Mina sind ebenfalls KRS des Typus 8 aufgedeckt worden¹⁰⁰⁹. Allerdings ist bislang nur ein Fragment des Typus aus dem Nicholson Museum der Universität Sydney veröffentlicht worden, das

⁹⁹⁹ Walter 1957, Taf. 72, 4.

¹⁰⁰⁰ Ebenda 49.

¹⁰⁰¹ Ebenda.

¹⁰⁰² Vgl. Anm. 726.

¹⁰⁰³ Walter – Vierneisel 1959, 27 ff. Beil. 62, 1–2.

¹⁰⁰⁴ Kalaitzoglou 2008, Taf. 11, 31–33.

¹⁰⁰⁵ Ebenda 83 ff. bes. 85 Tab. 4.

¹⁰⁰⁶ Kalaitzoglou 2008, 41 ff. bes. 63.

¹⁰⁰⁷ Wo sind die verbrannten Scherben, die verkohlten Reste dieser Brandzerstörung?

¹⁰⁰⁸ Vgl etwa ebenda Taf. 76. Kalaitzoglou datierte die Kannenhälse in das dritte Viertel des 7. Jhs. v. Chr. (ebenda 159), was sicher zu spät ist.

¹⁰⁰⁹ Davon zeugt allein schon die Auflistung von 'Ionian cups' durch Boardman bei der Aufzählung der wichtigsten ostgriechischen Importe nach Al Mina, s. Boardman 1980, 48 und Fußnote 44 Gruppe (e) »Polychrome striped vases, mainly fine cups panted black with red and white stripes; certainly Rhodian«.

keine Zuordnung zu einer der beiden Varianten mehr zuläßt, allerdings mit der Dekorvariante $\alpha\gamma$ geschmückt ist¹⁰¹⁰. Seine Fundlage sind die Schichten 7–5, die von den Bearbeitern zwar unterschiedlich datiert werden, aber ohnehin bietet die Zusammenfassung der Schichten 7 bis 5 eine zu große Zeitspanne, als daß eine genauere Datierung möglich wäre¹⁰¹¹. Denn mit der Schicht 5 reicht die Datierung wohl bis an das Ende des 6. Jhs. v. Chr. hinab¹⁰¹². Aus Tarsus ist kein Beispiel des Typus 8 bekannt.

Wichtig für die Laufzeit des Typus 8 sind erneut die Funde in der Levante und in Nordafrika. Den wichtigsten und größten Fundkomplex für die Gattung bieten nun die sicheren Fundzusammenhänge vor der Zerstörung Ashkelons im Jahr 604 v. Chr. Wie oben bereits dargelegt (s. o. S. 299), sind die griechischen Importe aus der Zerstörungsschicht und der vorangehenden Schicht auf den engen Zeitraum zwischen 630/20 bis 604 v. Chr. zu beschränken, wobei der *terminus ante quem* 604 v. Chr. sicher ist, der *terminus post quem* für die Funde hingegen auf allgemeinen Annahmen und der bestehenden Keramikdatierung fußt. Waldbaum klassifizierte den Typus 8 als »Ashkelon Type 1« und kann sieben Beispiele aus dem »604 B.C. use or destruction context« anführen, sowie 18 vollständige oder signifikante Randscherben, sowie viele Henkel, Füße und Wandscherben aus dem »pre-604 B.C. quarry fill«¹⁰¹³. Alle signifikanten Randscherben lassen sich nur der Variante 8,1.Bay zuordnen; nicht eine KRS des Typus 8 vertritt die Variante 8,1.B. Bisher stammen alle im Bonner Labor (Mommsen) untersuchten Beispiele – sowohl die Variante 8,1.B, als auch die Variante 8,2.B und solche mit der Dekorvariante α und $\alpha\gamma$ – aus den Werkstätten eines Produktionsortes, nämlich der unlokalisierten Gruppe Ulo 4. Damit kann zunächst ausgeschlossen werden, daß diese auffällige Konzentration auf eine Variante bei der verhältnismäßig hohen Anzahl an Funden Zufall ist, und auch, daß es sich nicht um zwei verschiedene Werkstätten handelte, von der nur eine Werkstatt einen der Typen lieferte. Auch die etwa gleichzeitigen Fundorte Mezad Hashavyahu und Tell Mique-Ekron erbrachten ebenfalls einen *terminus post quem* für den Typus 8. Fantalkin datierte die Benutzungszeit von Mezad Hashavyahu aufgrund der historischen Zeugnisse zwischen 620 und 604 v. Chr.¹⁰¹⁴. Allerdings ist eine etwas spätere Datierung um 598 v. Chr. (s. o. S. 324 mit Anm. 882) nicht auszuschließen. Eine KRS ist hier der Variante 8,2.Bay zuzuweisen¹⁰¹⁵. In Tell Mique-Ekron handelt es sich ebenfalls vermutlich ausschließlich um die Varianten 8,2.Bay¹⁰¹⁶. Die Zerstörung von Tell Mique-Ekron kann zeitlich

¹⁰¹⁰ J.-P. Descœudres, Euboens in Australia. Some Observations on the Imitations of Corinthian Korymbi Made in Eretria and Found in Al Mina, in: Ders. u. a., Ausgrabungen und Forschungen, Eretria 6 (1978) 10 Kat.-Nr. 30; S. 13 Abb. 2, 30.

¹⁰¹¹ Vgl. die Datierungsansätze übersichtlich bei Descœudres a. O. 16 Taf. 2–3.

¹⁰¹² Vgl. auch Descœudres a. O. 15.

¹⁰¹³ Waldbaum 2011, 161 ff.

¹⁰¹⁴ ebenda 128 ff. bes. 136.

¹⁰¹⁵ Naveh 1962, 107 Abb. 7, 12; ein Foto von dem Stück findet sich bei Waldbaum – Magness 1997, 29 Abb. 4; dasselbe Stück wohl auch bei R. Wenning in: F.-L. Hossfeld (Hrsg.), Vom Sinai zum Horeb: Stationen alttestamentlicher Glaubensgeschichte (1989) Abb. 8.

¹⁰¹⁶ Was sich aber aufgrund der Publikationslage und fehlender Profilzeichnung nicht sicher feststellen läßt, vgl. Waldbaum 1994, 61 Abb. 11; Waldbaum – Magness 1997, 28 Abb. 2; S. Gitin in: S. Gitin (Hrsg.), Recent

nicht genauer als zwischen 604 und 595 v. Chr. datiert werden¹⁰¹⁷. Tel Kabri erbrachte kein Beispiel des Typus 8. In Naukratis ist der Typus 8 zwar belegt, aber mit keinem signifikanten Beispiel, das auf die Variante schließen ließe¹⁰¹⁸. Die griechischen Importe nach Naukratis setzen wohl nicht vor 620/10 v. Chr., vermutlich überhaupt erst im letzten Jahrzehnt des 7. Jhs. v. Chr. ein (s. o. S. 300 mit Anm. 886), womit ein noch späterer *terminus post quem* für die wenigen Beispiele des Typus 8 gegeben ist. Das auffällige Fehlen der stilistisch älteren Variante 8,1.B in den Fundorten der Levante und auch in Nordafrika (etwa in Tocra), in denen aber die Variante 8,2.B durchaus häufig angetroffen wurde, legt die Vermutung nahe, daß vielleicht gegen 620/10 v. Chr. diese Variante nicht mehr produziert wurde. Denn auch in Ras El Bassit in Syrien gehören die gefundenen KRS des Typus 8 der Variante 8,2.Bay an¹⁰¹⁹. Dagegen findet sich die Dekorvariante ay auch noch in den spätesten Kontexten in der Region und dürfte somit bis in das späte 7. Jh. v. Chr. und vermutlich auch darüber hinaus noch belegt sein.

Daß der Typus 8 über diesen langen Zeitraum in seinem Erscheinungsbild kaum Veränderungen unterlag, ist auffallend. Ein ähnliches Phänomen ist von den etwa zeitgleichen nordionischen 'Vogelschalen' bekannt, die in Zukunft besser als ostgriechische Kalottenschalen bezeichnet werden sollten.¹⁰²⁰ Typus 8 war wie die Vogelschalen vermutlich ebenfalls ein 'Verkaufsschlager' und fand aufgrund großer Nachfrage in kaum veränderter Form großen Absatz. Dies jedenfalls legt schon die weite geographische Verbreitung des Typus 8 von der Levante (s. o.) über Nordafrika (s. o.) bis nach Sizilien¹⁰²¹, Unteritalien oder Etrurien¹⁰²² und an die französische Mittelmeerküste¹⁰²³, vielleicht auch an die spanischen Südküste¹⁰²⁴, um nur die entlegensten Punkte zu nennen, nahe. Doch ist es auffallend, daß der Typus 8, der zu den erfolgreichsten Exporten der Gattung der KRS im gesamten

Excavations in Israel: A View to the West. Reports on Kabri, Nami, Miquene-Ekron, Dor, and Ashkelon (1995) 65 Abb. 4.5.16–17.

¹⁰¹⁷ Vgl. etwa B. Niemeier – W.-D. Niemeier, Archaic Greek and Etruscan Pottery, in: A. Kempinski, Tel Kabri. The 1986–1993 Excavation Seasons, hrsg. von N. Sheftelowitz – R. Oren (2002) 242.

¹⁰¹⁸ Schlotzhauer 2012, 47. 49 Tab. 2a; S. 95 unter Kat.-Nr. 38, sind die Inv.-Nr. der beiden Fragmente vom Typus 8 aufgelistet.

¹⁰¹⁹ Z. B. P. Courbin, La céramique de la Grèce de l'Est à Ras El Bassit, in: CollNeapel 41 Taf. 15, 3.

¹⁰²⁰ Vgl. etwa M. Kerschner, in: Akurgal – Kerschner – Mommsen – Niemeier 2002, 70; zur Begriffsdefinition ebenda 63.

¹⁰²¹ Vgl. etwa Villard – Vallet 1955; P. Orlandini, Ceramiche della Grecia dell'Est a Gela, in: CollNeapel 97 Taf. 56, 28.

¹⁰²² Für Etrurien zählt beispielsweise M. Martelli Cristofani (in: CollNeapel 195 f. mit Taf. 86, 64) mehrere Fundorte in Etrurien und in Latium auf, in denen teils mehrere KRS des Typus 8 gefunden wurden; s. auch Boldrini 1994, Taf. 4, 240; E. Pierro, Ceramica 'ionica' non figurata e coppe attiche a figure nere (1984) Kat.-Nr. 4–8. In Tab. 8 zeigt die Konkordanz zu den anderen Typologien auf, daß etwa Pierro lediglich die Variante 8,2.B unter ihren bearbeiteten Funde hatte, während Boldrini in Gravisca beide Varianten (8,1.B und 8,2.B) vorgefunden hatte.

¹⁰²³ Vgl. z. B. B. Bouloumié, Saint-Blaise Fouilles H. Rolland. L'habitat protohistorique. Le céramiques grecques (1992) 101 ff. mit Abb. 26.

¹⁰²⁴ A. J. Domínguez und C. Sanchez (Greek Pottery from the Iberian Peninsula. Archaic and Classical Periods [2001]) führt zwar im Wesentlichen keinen Typus A1 nach Villard – Vallet an – und dort, wo sie es doch tun (S. 6 zu den Ionian Cups), führen ihre Verweise zu keinem Fragment, das mit dem Typus 8 verbunden werden könnte –, dennoch sollte es bei einer aus Andalusien (Saint Augustin Area) stammenden KRS, deren Profilzeichnung aber nicht korrekt ausgerichtet erscheint, tatsächlich um eine Variante 8,2.Bay handeln, auch wenn sie von Domínguez und Sanchez nicht klassifiziert wurden (ebenda 28. 117 Abb. 25, 1)

Mittelmeerraum gehörte, weder in der Phase vor der Anlage dauerhafter Siedlungen im letzten Viertel des 7. Jhs. v. Chr., noch in der Phase sporadischen Kontaktes mit den indigenen Völkern in der Zeit davor in die Schwarzmeerregion gelangte (s. o. S. 303 ff.).

Ein ganzes Bündel an Argumenten und parallelen stilistischen sowie kontextuellen Befunden lassen nun die Laufzeit des Typus 8 und seiner Varianten genauer bestimmen. Wie an keinem anderen der bisherigen Typen und Varianten läßt sich so klar und sicher die lange Laufzeit ohne große morphologische Veränderung, sowie die parallele Nutzung und Fertigung der beiden Varianten aufzeigen, wie beim Typus 8. Die einzelnen Fundlagen am Kalabaktepe-Süd und im Aphrodite-Heiligtum bei Milet haben einige *termini ante quos* geliefert. Die statistische Auswertung der stratifizierten Beispiele hat eine erste vorläufige Angabe zu den möglichen Laufzeiten geliefert, und sowohl die stilistischen Vergleiche zur Morphologie der Gefäßform, als auch der Gefäßmalerei auf einigen Exemplaren beider Varianten haben weitere Argumente für die absolute Datierung und die Laufzeit erbracht. Letztendlich konnten dann noch in einigen Importplätzen *termini post quos* gewonnen werden, die besonders die Laufzeiten bestätigen. Denn so frühe Datierungsargumente, wie sie in Milet und vereinzelt – besonders anhand der Gefäßmalerei – in Samos angetroffen werden konnten, sind außerhalb Südioniens nicht zu gewinnen.

Damit ist die Laufzeit des Typus 8 von ca. 660/50 bis ca. 600/590 v. Chr. festzulegen. Bisher haben für die Varianten folgende Datierungen zu gelten:

8,1.B spätestens 650/40 – 620/10 v. Chr. Dekorvariante $\alpha\gamma$ spätestens 650/40 – 620/10 v. Chr.

8,2.B ca. 660/50 – 600/590 v. Chr. Dekorvariante $\alpha\gamma$ ca. 660/50 – 610/00 v. Chr.

Kat.-Nr.	Id.-Nr.	Typus	Kontext
151	K 92.306.2	8,1.Ba	Kalabaktepe-Süd: Schutt der Phase 3
152	K 92.560.11	8,1.Ba γ	Kalabaktepe-Süd: Zerstörungsschutt der Phase 1
157	K 92.422.4	8,1.Ba γ	Kalabaktepe-Süd: Auffüllung für Phase 3
159	K 89.281.10	8,1.Ba γ	Kalabaktepe-Süd: Auffüllung für Hof der Phase 2
-	aus Z 08.475	8,1.Ba γ	Aphrodite-Heiligtum: vor 630/20 v. Chr., Bothrosfüllung
162	K 90.828.10	8,2.Ba	Kalabaktepe-Süd: verfüllte Grube im natürlichen Lehm Boden, über die die Mauer K 90.611 der Phasen 1–4 verläuft, und die der Fußboden K 90.649 der Phase 2 abdeckt

164	K 89.247.6	8,2.Ba	Kalabaktepe-Süd: Schicht im Innern des 'Tuffbaus'; nach der Zerstörung, bzw. Auffüllung für Phase 3; in diesem Befund wird auch schon der Fußboden von Phase 2 enthalten sein
166	K 91.185.5	8,2.Baγ	Kalabaktepe-Süd: Grube am O-Profil = Phase 1 oder 2
168	Z 09.4.111	8,2.Baγ	Aphrodite-Heiligtum: vor 630/20 v. Chr., Bothrosfüllung
169	Z 09.37.63	8,2.Baγ	Aphrodite-Heiligtum: vor 630/20 v. Chr., Bothrosfüllung
419	K 89.261.3	8,2.B/MileA Ia	Kalabaktepe-Süd: Auffüllung für Phase 2 und Fußboden Phase 2

Abb. 97 Tab. 17. Ausgewählte Kontexte für die früharchaischen Varianten des Typus 8 in Milet.

6.6 Datierung der Knickrandschalen der spätarchaischen Stufe SiA II

Nachdem die Serien von KRS der Stufe SiA I behandelt worden sind, sei nun auf die Typen eingegangen, deren Hauptproduktionszeit im 6. Jh. v. Chr. liegt, womit sie die Hauptvertreter der Gattung während der Zeit- und Stilstufe SiA II darstellen.

6.6.1 Die Knickrandschalen des Typus 9

Die Fundsituationen für den Typus 9 sind in Milet schlechter und unsicherer als für die bisher besprochenen Typen. Andererseits helfen hier die vielen Beispiele der KRS des Typus 9 aus Milet mit Gefäßmalerei, die einen ungefähren Datierungsansatz und eine relative Abfolge erleichtern. Im Einzelnen ist in der stratigraphischen Abfolge für die stilistisch älteste Variante 9,1.B mit tieferem Becken nur eine Fundlage am Kalabaktepe-Süd angetroffen worden, die den Boden der Phase 4 oder 5 bezeichnet. Da die Fundsituation nicht eindeutig ist, kann die KRS **174** für eine Datierung vor 580 v. Chr., die durch eine Einlagerung in den Boden der Phase 4 gegeben wäre, nicht mit Sicherheit herangezogen werden. Zwei weitere KRS der Variante 9,1.B (**171-172**) wurden zusammen mit einem Ensemble (Ensemble 6) weiterer KRS des Typus 10, teils ineinander gestapelt (Appendix I-V), in einer Terrassierungsaufschüttung während einer der Umgestaltungen des Aphrodite-Heiligtums auf dem Zeytintepe eingelagert. Diese großflächigen Baumaßnahmen auf dem Hügel für die neue Heiligtumsgestaltung wird aufgrund importierter attischer Keramik in das dritte Viertel des 6. Jhs. v. Chr. datiert¹⁰²⁵. Wie lange die Gefäße bereits in Benutzung und möglicherweise aufbewahrt wurden,

¹⁰²⁵ I. A. Panteleon – R. Senff, Die Graung im Aphroditeheiligtum auf dem Zeytintepe bei Milet in den Jahren 2003-2005, AA 2008, 44 mit Abb. 18, wo fälschlich nur den Quadrant 05.14 angegeben ist, tatsächlich muß Quadrant 05.09 ergänzt werden; zur Datierung der Errichtung der Westterasse und damit der Depnierung von Ensemble 6 s. ebenda S. 41.

bevor sie sorgfältig im dritten Viertel des 6. Jhs. v. Chr. deponiert wurden, ist nicht sicher zu sagen, dürfte aber nicht Jahrzehnte gedauert haben. Vielmehr ist mit einer Nutzung dieser Gefäße zwischen 570 und 530 v. Chr. zu rechnen. In eine überraschend frühe Zeit führt der Fundkontext von **173** im Aphrodite-Heiligtum. Der Ausgräber gab hier an, daß das Gefäß mit anderem Heiligtumsschutt direkt auf der antiken Geländeoberfläche gelegen habe. Die übrigen Funde gehören in die zweite Hälfte des 7. Jhs. v. Chr. Ob sich die Laufzeit des einen oder anderen Fundes in diesem Schutt bis an das Ende des 7. Jhs. v. Chr. oder auch noch bis knapp nach 600 v. Chr. erstreckt, ist wahrscheinlich. Dies würde eine Datierung um 600 v. Chr. möglich erscheinen lassen und wäre die bisher früheste Datierung des Typus 9 insgesamt. Sie beruht allerdings auf einem durch andere Keramik datierten Fundkontext. Dieser wird im Kern richtig datiert sein, aber die Datierungsgrenzen sind sicher etwas dehnbar, daher ist für **173** und die Variante 9,1.B eine obere Grenze von lediglich ca. 600/590 v. Chr. wahrscheinlich. Von der in ihrer Entwicklung gegenüber der soeben besprochenen Variante etwa jüngeren Variante 9,1.C, mit einem flacheren Becken fanden sich gleich vier Beispiele (**177–179. 183**) erneut in der als Ensemble 6 (s. o.) bezeichneten Deponierung im Aphrodite-Heiligtum. Für sie kann daher ebenfalls ein Datierungsrahmen zwischen 570 und 530 v. Chr. gegeben werden. Alle Beispiele der Variante 9,1.B und bis auf **183** (Dekorvariante i) alle der Variante 9,1.C waren mit der Dekorvariante g geschmückt. Womit für die Dekorvariante g in etwa eine Laufzeit von 600/590 bis 550/40 v. Chr. gegeben zu sein scheint. Eine weitere KRS der Variante 9,1.C (**423**) mit Fikellurastil-Dekor hat einen Datierungskontext des späten 7. bis frühen 6. Jhs. v. Chr. Auch diese Datierung beruht auf mitgefundener Importkeramik und ist in ihrer unteren Grenze nur mit einer gewissen Unschärfe auf 590/80 v. Chr. oder etwas später anzugeben. Damit ist vorläufig eine ungefähre obere Grenze für die Variante 9,1.C frühestens 590/80 v. Chr. gegeben. Die Variante 9,2 kann lediglich durch ein Beispiel der Variante 9,2.C (**187**) im spätarchaischen Boden der Phase 5 oder 6 sicher angegeben werden. Diese Fundlage gibt lediglich als früheste Möglichkeit die Mitte oder das zweite Viertel des 6. Jhs. v. Chr. vor (Boden der Phase 5?), sie kann aber auch erst einen *terminus ante quem* um 530/20 v. Chr. (Boden der Phase 6) für die Variante 9,2 darstellen. Stilistisch müßte sie noch im zweiten Viertel des 6. Jhs. v. Chr. entstanden sein. Die chronologische Stellung der Variante 9,3.C ist anhand von zwei Exemplaren aus Milet zu besprechen. Die KRS **196** vom Athena-Heiligtum soll dabei in einem Kontext gefunden worden sein, der von den Ausgräbern ins 7. Jh. v. Chr. datiert wird. Eine solch frühe zeitliche Festsetzung dieser bereits weiterentwickelten Variante des Typus 9 ist durch keine weiteren Anhaltspunkte in Milet oder außerhalb von Milet zu stützen. In diesem Fall ist die Interpretation des Fundkontextes am Athena-Tempel sicher nicht hinreichend abgesichert gewesen. Der Fundkontext von **196** wird daher für das hier gegebene chronologische Gerüst des Typus 9 nicht weiter berücksichtigt. Das zweite Beispiel der Variante 9,3.C (**199**) ist dann im Boden der Phase 6 am Kalabaktepe-Süd aufgedeckt worden. Diese Fundlage bietet für die KRS **199** einen *terminus ante quem* von ca. 520 v. Chr. Für die Variante 9,4 (**602**) stellt erneut lediglich ein Befund im Aphrodite-Heiligtum eine Datierungshilfe in Milet bereit. Auch dieser Befund ist direkt auf der antiken

Geländeoberfläche angetroffen worden und wird anhand der mitgefundenen Keramik vermutlich im zweite Viertel des 6. Jhs. v. Chr. entstanden sein. Darüber hinaus lassen sich dann lediglich noch drei nicht sicher einer Variante zuweisbare Fragmente mit ihren Fundsituationen anführen: **216** der Variante 9,2–3.Ci–j für die erste Hälfte des 6. Jhs. v. Chr.; **592–593** für die zweite Hälfte des 6. Jhs. v. Chr. Diese letzten Datierungsansätze beruhen ebenfalls wieder vor allem auf mitgefundener, besser datierbarer Keramik. Damit ergibt sich für den Typus 9 ein möglicher frühester Ansatz um 600/590 v. Chr. durch die früheste Variante 9,1.B. Die Variante 9,1.C dagegen scheint etwas später um 590/80 v. Chr. ihren frühesten Datierungsansatz zu haben. Schwieriger ist die Datierungssituation zu den späteren Varianten des Typus 9, denn für die Variante 9,2 konnte lediglich ein möglicher *terminus ante quem* um 550 oder 520 v. Chr., für Variante 9,3 sicher erst ein *terminus ante quem* um 520 v. Chr. gewonnen werden. Das miniaturistische Beispiel der Variante 9,4.C könnte schon vor der Mitte des 6. Jhs. v. Chr. in eine Schuttschicht geraten sein.

Der Typus 9 zählt unter den dokumentierten KRS der archaischen Zeit im aufgedeckten Siedlungsbereich am Südhang des Kalabaktepe zu den selteneren Typen. Dies wird daran liegen, daß der relativ qualitätvolle und besonders häufig in Heiligtümern anzutreffende Typus 9 bei den Bewohnern in der Handwerkersiedlung der Südstadt nicht zu den bevorzugten Trinkgefäßen zählte. Insgesamt weist der Typus 9 in den ungestörten Befunden am Kalabaktepe-Süd mit 4 % nach dem Typus 2 aus dem frühen 7. Jh. v. Chr. den zweitgeringsten Wert auf, was durchaus im Kontrast dazu steht, daß dieser Typus in Heiligtümern und in Importorten den KRS-Typus darstellt, der am häufigsten angetroffen wird. Demzufolge ist dem Aussagewert der vorgenommenen statistischen Auswertung weniger Gewicht beizumessen als dem anderer, quantitativ stärkerer Gruppen. Gleichwohl haben die hier und durch weitere Fundkontexte erzielten Tendenzen ebenfalls als repräsentativ zu gelten. Die beschriebene Stellung des Typus 9 wird auch im Vergleich mit den beiden anderen Haupttypen der Gattung des 6. Jhs. v. Chr. deutlich. Die Typen 10 und 11 erreichen nämlich unter allen in die statistische Auswertung einbezogenen Schalenfragmenten einen Anteil von knapp bzw. mehr als 25 %. Im Vergleich dazu beträgt der Anteil des Typus 9 lediglich 4 %. Die horizontale Analyse zum Typus 9 der KRS (Abb. 80) weist erstmals für die Phase 3 wenige Beispiele des Typus nach und läßt für die Folge einen konstanten Wert bis an das Ende der archaischen Siedlungsgeschichte erkennen. Die vertikale Auswertung (Abb. 50) bestätigt mit nur 1 % für die Siedlungsphase 3, daß in dieser Phase noch keine nennenswerte Produktion bestanden haben wird. Doch bereits in Phase 4 (Abb. 58) steigt der Anteil des Typus 9 auf 6 % und auf über 8 % in Phase 5 (Abb. 68) sowie 11 % (Abb. 71) in der letzten archaischen Siedlungsschicht. Die gestiegene Bedeutung des Typus 9 im Verhältnis zu den übrigen zwischen der Phase 5 und Phase 6 ist nicht Ausdruck einer stärkeren Quantität, denn die Anzahl bleibt in beiden Siedlungsphasen gleich hoch (Abb. 80). Aus der statistischen Auswertung (s. S. 235 ff. im Kapitel 5.1.3 'Zusammenfassung zu den neuen Grabungen') war bisher für den Typus 9 und seine Varianten folgende Feststellung getroffen worden: Der Beginn der Variante 9,1.B – und vielleicht auch der Variante 9,1.C – liegt bei ca. 600/590

v. Chr.; vermutlich war die Variante 9,1 um 550/540 v. Chr. bereits aufgegeben worden; die Variante 9,2 wird aller Wahrscheinlichkeit nach schon in der ersten Hälfte des 6. Jhs. v. Chr. produziert worden sein, was sich aber nicht durch eine Fundlage in der Stratigraphie am Kalabaktepe belegen läßt, sondern nur durch den Formenvergleich mit attischen Komastenschalen angenommen werden kann¹⁰²⁶. Ebenso ist es schwierig, die Varianten 9,3.C/D zu datieren. Die Variante 9,4 – besonders die flache Variante 9,4.D – stammt vermutlich erst aus der Zeit kurz vor der Mitte und der zweiten Hälfte des 6. Jhs. v. Chr. Die Fundsituation von **602** läßt jedenfalls einen Produktionsbeginn schon vor der Mitte des 6. Jhs. möglich erscheinen (s. o.).

Stilistisch ist klar, daß der Typus 9 sich aus dem Typus 5 heraus entwickelte. Die spätesten Beispiele des Typus 5, die Varianten 5,3–4, sind morphologisch mit der Variante 9,1 so eng verbunden, daß sie wohl noch eine kurze Zeit parallel verlaufen sein werden. Das Ende der Varianten 5,3–4 wurde mit 600/590 v. Chr. ermittelt, dies sollte auch in etwa den Zeitraum des Übergangs zwischen den beiden Typen bezeichnen. Weiterhin sind einige KRS des Typus 9 mit milesischer Gefäßmalerei dekoriert, was weitere Argumente für ihren Produktionsbeginn und die Entwicklung der Varianten liefert. Das stilistisch früheste Beispiel bietet die Bilingue KRS **423** der frühen Variante 9,1.C mit einer Bemalung der Stilphase MileA IIa. Schon ihre Fundsituation in einer Gruben-/Bothrosfüllung des 7. bis frühen 6. Jhs. v. Chr. gibt einen *terminus ante quem* im frühen 6. Jh. v. Chr. vor, wenn auch der Kontext selbst nur durch die Mitfunde, vorzugsweise Keramik, zeitlich eingeordnet werden kann. Doch wie bereits an anderer Stelle ausgeführt, sind die Bilinguen in die Zeit 590/80 v. Chr. zu datieren. Aufgrund der kürzlich erschienenen Publikation der Funde in Assesos und besonders der in Ashkelon muß der Beginn des Fikellurastils und damit auch der Bilinguen sogar schon in die Zeit zwischen 610 und 600 v. Chr. angehoben werden (vgl. u. zur Gefäßmalerei S. 351 mit Anm. 1099-1100). Ebenfalls in die frühe Phase der Fikellurastil-Malerei der Stilphasen MileA IIa/b gehören die KRS **424–425** der Variante 9,1.C. Nach traditioneller Datierung wäre allerdings **425**, will man der hier getroffenen Einschätzung folgen, daß die Malerei auf der KRS **425** aus dem Umfeld des Altenburg-Malers stammt, mit den Jahrzehnten 560–40 v. Chr. angegeben worden¹⁰²⁷. Eine Datierung, die sich mit dem Träger der Malerei, der KRS der Variante 9,1.C, nur noch in seiner letzten Produktionsphase vertragen hätte. Hier sieht man bereits die dringende Notwendigkeit einer Neuklassifizierung und die Dringlichkeit einer chronologischen Neuordnung für den Fikellurastil, die Malerei der Stilstufe MileA II¹⁰²⁸. Wie dem auch sei, der Altenburg-Maler wurde schon immer als der Pionier des Fikellurastils angesehen¹⁰²⁹. Daher ist wohl eine Hochdatierung des gesamten Stils auf 610/600 v. Chr. und den Beginn seines Werks zumindest in das früheste 6. Jh. v. Chr. vorzunehmen. Entsprechend der fortgeschrittenen Entwicklung der Variante 9,3 ist auch die auf den beiden KRS **426–427** angetroffene

¹⁰²⁶ s. Anm. 1025.

¹⁰²⁷ Vgl. zuletzt Cook 1998, 78 ff.

¹⁰²⁸ Hierzu bereits Schlotzhauer 2007.

¹⁰²⁹ Cook 1998, 78.

Entwicklung des Fikellurastils der Stilstufe MileA II vorangeschritten und hat bereits die Bilinguen-Phase überschritten. Da die Überarbeitung der von Cook entwickelten Abfolge des Fikellurastils noch aussteht, kann zur Zeit nur eine grobe Einschätzung der Abfolge und ihrer Datierung an dieser Stelle erfolgen. Vermutlich legt der Entwicklungsstand der auf den KRS der Variante 9,3 (426–427) angetroffenen Fikellurastil-Malerei, besonders die von 427, eine Datierung in das zweite Viertel des 6. Jhs. v. Chr. nahe. Die KRS 591–593 mit Myrthenkranz und aufgesetzten weißen Punkten auf der Außenseite des Randes lassen nicht mehr erkennen, welcher der Varianten von 9,1–9,3 sie exakt zugeordnet werden müssen, aber eine Datierung anhand attischer und ionischer Vergleiche (s. u. 599) läßt den Zeitraum zwischen 570/60 und 550/40 v. Chr. dringend geboten erscheinen. 594 ist wieder nicht eindeutiger als 9,2–3.C zu klassifizieren. Sie trägt allerdings eine Bemalung des sog. Widder-Malers¹⁰³⁰. Die Vergleiche der Gefäßform und der Malerei führen zu den attischen Siana-Malern¹⁰³¹, die allgemein 575–555 v. Chr. datiert¹⁰³² bzw. mit der Amasis-Zeit um 560 bis 530/20 v. Chr. gleichgesetzt werden¹⁰³³. Eindeutig der Variante 9,3.C gehören die in die Mitte des 6. Jhs. v. Chr. datierten¹⁰³⁴ Zwilling Gefäße 596–597 an, von der das vollständige Exemplar aus einem etruskischen Grab stammt und heute im Louvre in Paris aufbewahrt wird. Eine Schale aus dem samischen Heraion ist die namensgebende Schale des Gorgoneion-Malers. Die Schale vertritt aber noch den Typus 9,2.C. Sie wird ebenfalls in die Mitte des 6. Jhs. v. Chr. datiert und Exekias sowie dem Amasis-Maler zeitlich an die Seite gestellt, wobei deren Gefäße, Technik und Malerei noch völlig in südionischer Tradition stehen¹⁰³⁵. Die Datierung dieser Schale und auch von Bruchstücken aus Milet (607) sind aber sicher schon früher anzusetzen, spätestens im zweiten Viertel des 6. Jhs. v. Chr. Die Untersuchung dieser attisierenden Gruppe südionischer KRS der Varianten 9,1.C–9,4.D wird an anderer Stelle ausführlich behandelt werden und ist auf das Engste mit den südionischen Kopfkantharoi¹⁰³⁶ zu verbinden. Soviel sei aber schon hier gesagt, daß nämlich das Fragment 615 aus dem Aphrodite-Heiligtum bei Milet, das sich in Form und Dekor, auch wenn es miniaturistischer als jene ist, auf das Engste mit den im samischen Heraion gefundenen Bruchstücken 603–605 und weiteren Stücken aus Naukratis¹⁰³⁷ und Gravisca¹⁰³⁸ verbinden läßt, tatsächlich mit attischem Ton erzeugt wurde (s. S. 396 und s. 413 sowie Tab. 33 ff.). Dennoch ist die Heuschrecke-Hund (oder Fuchs)-Szene in milesischer Aussparentechnik

¹⁰³⁰ Kunze 1934, 87 f. mit Anm. 2; S. 108 ff. (Vergleich zu den attischen Siana-Schalen); S. 116 (Gefäßformen); Samos VI 1, 25 f. 30 Walter-Karydi datierte den Widder-Maler und andere ionische Kleinmeister in die Jahrzehnte 550–530/20 v. Chr., gleichwohl erkannte auch sie noch die Abhängigkeit von den attischen Siana-Schalen (S. 22); Shefton 1989, 61 f. Anm. 61 f.

¹⁰³¹ Vgl. Anm. zuvor.

¹⁰³² Vgl. etwa J. Boardman, Schwarzfigurige Vasen aus Athen. Ein Handbuch (1977) 34 ff.

¹⁰³³ Ebenda 60.

¹⁰³⁴ Samos VI 1, 24.

¹⁰³⁵ Samos VI 1, 22.

¹⁰³⁶ Vgl. U. Schlotzhauer, Ostgriechische koroplastisch gestaltete Gesichts- und Kopfgefäße aus milesischen Werkstätten, in: R. Biering – V. Brinkmann – U. Schlotzhauer – B. F. Weber (Hrsg.), Maiandros. Festschrift für Volkmar von Graeve (2006) 223 ff.

¹⁰³⁷ Vgl. z. B. Schlotzhauer 2012 Taf. 15, a–g.

¹⁰³⁸ s. hier Taf. 200, 603; erstmals publiziert von F. B. Visentini in: CollNeapel Taf. 81 (= Boldrini 1994, 117, 226; 251)

angefertigt worden. Es scheint wahrscheinlicher, daß ein milesischer Maler in Athen selbst, vermutlich im Kerameikos, auf attischen Schalen malte, als daß attischer Ton nach Milet gelangte – auch wenn das Gefäß selbst dann wieder nach Milet exportiert wurde. Die ionischen Kleinmeisterschalen und ionischen Kleinmeister-Kopfkantaroi weisen neben wenigen Einzelstücken, die tatsächlich aus attischem Ton bestehen, vor allem eine einheitliche chemische Herkunftsgruppe auf, die bisher unlokalisiert ist. Aber diese unlokalisierte Herkunftsgruppe Ul 70 beinhaltet allein in der alle Kopfkantaroi versammelnden Untergruppe Ul 70–1 weitere KRS z. B. der Typen 5 (**104**) und 9 (**181**, **216**) oder KRS des Typus 9 mit Applikationen wie **611–612**¹⁰³⁹. Die deutlich existierende enge Verbindung zwischen den milesischen und attischen Malern und Töpfern verbietet künftig alle Versuche, Nachzeitigkeiten für das eine oder andere Zentrum anzunehmen. Daher wird hier die chronologische Entwicklung der Formtypen der südionischen KRS der Varianten 9,1 bis 9,4 der besser fundierten und durch die dichte, in sich logisch begründete Entwicklung der attischen Malerei der Abfolge der attischen Komasten-, Siana- und Kleinmeisterschalen angeglichen, wie sie zuletzt von Brijder begründet wurde¹⁰⁴⁰.

Für den Beginn der Produktionsserie des Typus 9 sind außerhalb von Milet auch die Funde in Assesos, Ashkelon und den Fundorten der Levante sowie Naukratis besonders wichtig. Denn sowohl in Ashkelon, als auch in Assesos sind keine KRS des Typus 9 angetroffen worden. Wenn auch das von Kalaitzoglou angegebene historische Datum von 608 v. Chr.¹⁰⁴¹ auf den von ihm vorgelegten Fundkomplex in Assesos nicht unbedingt anzuwenden ist, so ist doch ein Datum am Ende des 7. Jhs. oder um 600 v. Chr. wahrscheinlich (vgl. o. S. 301. 311 und bes. S. 323 und S. 332). Wie bereits oben mehrfach festgestellt fehlen bestimmte Typen der KRS unter den Funden des kleinen Fundkomplexes in Assesos, die in dem Zeitraum, den die übrigen Funde vorgeben, durchaus hätten enthalten sein können. Daher ist aus dem Fehlen des Typus 9 in Assesos zunächst noch nicht sicher auf einen *terminus post quem* für den Beginn der Produktion des Typus 9 zu schließen. Es läßt sich lediglich sagen, daß vermutlich die Produktion und Verbreitung des Typus zu diesem Zeitpunkt noch nicht begonnen hatte. Wenn aber nun weitere Orte, wie Ashkelon, hinzutreten, in deren letzter Siedlungs-, Nutzungs- und Zerstörungsphase wiederum kein Beispiel des Typus 9 eingelagert war, bekommt der Befund in Assesos ein ernstzunehmendes Gewicht für die zeitliche Einordnung des Typus 9. Denn das Fehlen des Typus 9 in Ashkelon ist um so bedeutender, weil während der kurzen Phase griechischer Importe in Ashkelon zwischen 630/20 und 604 v. Chr. die gesamte Typenpalette der zu dieser Zeit gefertigten KRS, mit Ausnahme des auch ansonsten nicht exportierten Typus 7, vertreten war. Sogar über die hier erfaßten Typen und Varianten hinaus war eine von Waldbaum »Ashkelon Type 2«

¹⁰³⁹ Vgl. hier S. 427 f und die Tab. 33 ff. mit Angaben zu weiteren Gefäßen, die außerhalb Milets gefunden wurden, zur KRS des Typus 9 mit Applikation aus Naukratis, die in dieselbe chemische Herkunftsgruppe gehört, s. Schlotzhauer 2012, Taf. 15, h–i.

¹⁰⁴⁰ Brijder 1983; Brijder 1991; Brijder 2000.

¹⁰⁴¹ Kalaitzoglou 2008, 41 ff. bes. 63.

genannte Variante des Typus 9 in beträchtlicher Anzahl dorthin gelangt¹⁰⁴². Das Fehlen des Typus 9 in den Fundkontexten vor 604 v. Chr. wiegt um so schwerer, da dieser in Fundorten der Levante wie Tel Sukas, in Naukratis oder in Tocra (Taucheira) den am häufigsten importierten Typus der KRS darstellte. Möglicherweise ist ein Beispiel des Typus 9, die Variante 9,1.B mit ungewöhnlich tiefem Becken, nach Meza Hashavyahu gelangt, das möglicherweise in etwa gleichzeitig mit der Zerstörung in Ashkelon aufgegeben wurde oder eben erst ca. sechs Jahre später, 598 v. Chr. (s. o. S. 324 mit Anm. 881 f.). Es wäre schon ein ungewöhnlicher Glücksfall, sollte sich hierdurch der Import des Typus 9 in die Zeit zwischen 604 v. Chr. (Zerstörung von Ashkelon) und 598 v. Chr. exakt fixieren lassen, womit auch in etwa ein Datum um 600 v. Chr. für den Produktionsbeginn des Typus 9 angezeigt erschiene. Allerdings deckt sich dieses Datum auch erstaunlich genau mit dem in Milet ermittelten Datum für die Einführung des Typus 9. Trotzdem sollte auf eine KRS allein, die zudem nur in Zeichnung vorliegt, nicht die gesamte Argumentation zum Beginn der Produktion festgelegt werden. Denn in Tel Kabri, wo die griechischen Importe zwischen 604 und 590/80 v. Chr. enden, findet sich noch kein Beispiel des Typus 9. Daher kann man wohl mit guten Gründen einen Exportbeginn und daraus vermutlich auch einen Produktionsbeginn für den Typus 9 vor 604 v. Chr. ausschließen.

In Tel Sukas erbrachte eine Fundsituation vor 553/52 v. Chr. eine nicht sicher als 9.A oder 9.B zu klassifizierende Knickrandschale (**Sukas [1]**) sowie eine der *Variante 9.B* (**Sukas [2]**). Ein Datierungshinweis aus Chios legt für die *Variante 9.B/C* (**Chios [4]**) sowie mehrere Beispiele der *Variante 9.C* eine Zeit vor 550 v. Chr. oder allgemeiner die erste Hälfte des 6. Jhs. v. Chr. nahe.

Damit ist die Laufzeit des Typus 9 von *ca. 600/590 bis mindestens 500/490 v. Chr.* festzulegen. Bisher haben für die Varianten folgende Datierungen zu gelten:

- 9,1.B Ca. 600/590 – 550/40 v. Chr.
 9,1.C ca. 590/80 – vielleicht 550/40 v. Chr.
 9,2 ca. 580/70 – vielleicht 530/20 v. Chr.
 9,3 ca. 570/60 – vielleicht 500/490 v. Chr.
 9,4 ca. 570/60 – vielleicht 520/510 v. Chr.

Kat.-Nr.	Id.-Nr.	Typus	Kontext
173	Z 91.15.22	9,1.Bg	Aphrodite-Heiligtum: Antike Geländeoberfläche mit ältestem Heiligtumsschutt (zweiten Hälfte 7. Jh. v. Chr.)
171	Z 05.131.28	9,1.Bg	Aphrodite-Heiligtum: Deponierung in der

¹⁰⁴² Waldbaum 2011, 167 ff.

			Terrassierungsaufschüttung über einem ehemaligen Kalksteinbruch (Ensemble 6) (drittes Viertel 6. Jh. v. Chr.)
172	Z 05.131.18	9,1.Bg	Aphrodite-Heiligtum: Deponierung s. o. (Ensemble 6)
174	K 89.211.1+	9,1.Bg	Kalabaktepe-Süd: Estrichschicht, Fußboden (K 89.265) (Phase 4 oder 5)
177	Z 05.131.29+	9,1.Cg	Aphrodite-Heiligtum: Deponierung s. o. (Ensemble 6)
178	Z 05.131.2	9,1.Cg	Aphrodite-Heiligtum: Deponierung s. o. (Ensemble 6)
179	Z 05.131.8	9,1.Cg	Aphrodite-Heiligtum: Deponierung s. o. (Ensemble 6)
183	Z 05.131.14	9,1.Ci	Aphrodite-Heiligtum: Deponierung s. o. (Ensemble 6)
423	Z 94.7.186 +	9,1.C/ MileA Ila – Bilingue	Aphrodite-Heiligtum: - Schutt des 6. Jhs. v. Chr. (Z 94.145) (frühes 6. Jh. v. Chr.) - Gruben-/Bothrosfüllung des 7. bis frühen 6. Jhs. v. Chr. (Z 94.163+94.170+94.178) (Anfang 6. Jh. v. Chr.)
187	K 93.540.1	9,2.Ci	Kalabaktepe-Süd: Spätarchaischer Boden (Phase 5 oder 6)
196	S 63.79.9	9,3.Cj	Athena-Heiligtum: südlich und südwestlich von Mauer W/ brauner Sand, teilweise mit Lehm (7. Jh. v. Chr.)
199	K 93.529.1	9,3.Cj	Kalabaktepe-Süd: Boden der Phase 6
216	Z 91.58.2	9,2–3.Ci–j	Aphrodite-Heiligtum: - Archaische Schuttschicht (Z 91.58) (zweite Hälfte 6. Jh. v. Chr.) - Archaischer Heiligtumsabfall (Z 91.59) (erste Hälfte 6. Jh. v. Chr.) - Archaischer Opferabfall, Bothros (Z 91.65+88) (erste Hälfte bis Mitte 6. Jh. v. Chr.) - Heiligtumsabfall im Bothros (Z 91.92) (erste Hälfte 6. Jh. v. Chr.)
592	Z 91.38.139	9,1–3.C	Aphrodite-Heiligtum: Spätarchaische Opferabfallschicht, über älteren sukzessive gewachsenen Schichten; ungestört! (zweite Hälfte 6. Jh. v. Chr.)
593	Z 91.38.140	9,1–3.C	Aphrodite-Heiligtum: Spätarchaische Opferabfallschicht, über älteren sukzessive gewachsenen Schichten; ungestört! (zweite Hälfte 6. Jh. v. Chr.)
602	Z 93.27.47 +	9,4.D/Miniatur	Aphrodite-Heiligtum: Archaische Geländeoberfläche; Datierung nach Keramik (Z 94.215) (zweites Viertel 6. Jh. v. Chr.?)

Abb. 98 Tab. 18. Ausgewählte Kontexte für die früharchaischen Varianten des Typus 9 in Milet.

6.6.2 Die Knickrandschalen des Typus 10

Erneut konnten für einzelne Beispiele des Typus 10 aus ihren Fundlagen heraus engere Datierungsgrenzen festgelegt werden: **Abb 42,c,f**, zwei Beispiele der Variante 10,2.B, die auf jeden Fall vor 590/80 v. Chr. benutzt wurden; sollte die Datierung von **224** im Athena-Heiligtum stimmen, wäre sie auf die Zeit 620/10–600/590 v. Chr. zu begrenzen; auch **242** und **245** der Variante 10,3.B sind nach der Datierung im Südschnitt, bzw. im Aphrodite-Heiligtum in die Jahrzehnte 620/10–600/590 v. Chr. zu setzen; die Variante 10,3.C mit Bemalung der Stilstufe MileA II (**450**) fand sich in einem Kontext der nicht weit in das 6. Jh. v. Chr. hineinführt, also 600/590–590/80 v. Chr.; für **437** der Variante 10,4.B mit Malerei der Phase MileA Id (später Tierfriesstil) läßt sich eine recht exakte Datierung von 620/10–590/80 v. Chr. feststellen; für die ähnliche Dekoration auf **443** derselben Variante gibt der Kontext im Aphrodite-Heiligtum auch spätestens 590/80 v. Chr. vor; für **266** der Variante 10,7.C scheint noch eine Datierung an das Ende des 7. Jhs. v. Chr. möglich, vielleicht auch noch 600/590 v. Chr.; **273** der Variante 10,8.C ist zwischen 610/600 und 590/80 v. Chr. zu datieren; wenn der Kontext von **452**, eine KRS der Variante 10,10.C mit Bemalung der Stilphase MileA II, tatsächlich nicht gestört ist, ist sie um 580/70 v. Chr. zu fixieren; **453** der Variante 10,11.C mit Malerei der Stilphase MileA II läßt sich wohl zwischen 580/70–550 v. Chr. eingrenzen; **325** der Variante 10,13.D, erneut mit Fikellurastil-Malerei, datiert um 550 v. Chr.

Insgesamt 259 Fragmente oder nahezu vollständige Gefäße aus ungestörten Befunden flossen in die statistische Auswertung der Gruppe ein, womit den hier festgestellten Aussagen im Kontext der stratigraphischen Auswertung ein hoher Aussagewert zukommt. Das Diagramm in Abb. 76 schildert die vertikale Verteilung der milesischen Knickrandschalen des Typus 10 in Bezug auf die Siedlungsphasen am Kalabaktepe-Süd. Mit 15 Fragmenten in der Siedlungsphase 2 der milesischen Südstadt ist eine Nutzung dieses Typus bereits am Ende dieser Phase eindeutig nachgewiesen. Die übrige Auswertung wurde in Kapitel 5.1.3 'Zusammenfassung zu den neuen Grabungen' (s. S. 235 ff.) vorgenommen und führte zuzufolgender Gliederung:

Für den Typus insgesamt konnte eine Laufzeit von ca. 620/10 bis ca. 520/10 v. Chr. gewonnen werden; für die Varianten dann:

10,1.B vermutlich 620/10 bis etwa 580/70 v. Chr.; 10,1.C vermutlich 610/600 bis 580/70 v. Chr.; 10,2.B von 620/10 etwa 550 v. Chr.; 10,3.B von 620/10 bis etwa 550 v. Chr.; 10,4.B von 620/610 bis 570/60 v. Chr.; 10,5.B von 610/600 bis ca. 550 v. Chr.; 10,5.C von 600/590 bis ca. 550 v. Chr.; 10,6.B von ca. 610/600 bis ca. 550 v. Chr.; 10,6.C von ca. 600/590 bis ca. 550 v. Chr.; 10,7.C von 600/590 bis ca. 550 v. Chr.; 10,8.C von 610/600 bis ca. 540/30 v. Chr.; 10,9.C von 580/70 bis ca. 540/30 v. Chr.; 10,10.B von ca. 580/70 bis ca. 530/20 v. Chr.; 10,10.C von ca. 570/60 bis ca. 530/20 v. Chr.; 10,11.B/C von ca. 580/70 bis ca. 530/20 v. Chr.; 10,11.D von ca. 560/50 bis ca. 520/10 v. Chr.;

10,12.C von spätestens ca. 570/60 bis ca. 520/10 v. Chr.; 10,13.C von 570/60 bis ca. 530/20 v. Chr.; 10,13.D von ca. 550 bis 520/510 v. Chr.

Stilistisch läßt sich der oben bereits ermittelte Ansatz für die Entstehung des Typus 10 am Ende des 7. Jhs. v. Chr. auf verschiedene Weise stützen. Zunächst ist die zeitliche Stellung der älteste Variante 10,1.B–Ca und ay durch den stilistischen Vergleich mit den späten Varianten der Typen 6 und 8 gegeben. Denn die Variante 10,1.B–C zeigt dieselben durch ihre Zeitstellung vorgegebenen Tendenzen wie jene. Da ist zum Einen die dünne, teils 'eierschalendünne' Gefäßwand. Zum Anderen ist da die Dekorvariante a – ein das gesamte Gefäß überziehender, nur eine schmale Henkelzone und meistens auch ein feines Lippenband auslassender schwarzer Firnis, auf den gern noch feine rote oder auch weiß-rot-weiße Bänder innen wie außen aufgesetzt wurden. Die Verbindung zu den zeitgleichen Varianten der Typen 6 und 8 führt die Variante 10,1.B–C bis an das Ende des 7./ Anfang des 6. Jhs. v. Chr. hinauf. Die weitere Entwicklung des Typus 10 hebt sich dann aber von den übrigen Typen der KRS ab. Sie verfolgt zusammen mit dem parallel produzierten Typus 11 eine eigene Entwicklungslinie unter den KRS. Dabei weist der parallel verlaufende Typus 11 wesentlich weniger Varianten in Form und Dekor auf. Dies zeigt sich dann auch darin, daß nicht ein Beispiel des Typus 11 für die milesische Gefäßmalerei verwendet wurde. Des Weiteren geben die bemalten Beispiele des Formtypus Anhaltspunkte für die relative und absolute Datierung des Typus und der Varianten. Die ältesten Fragmente des Typus sind mit dem Tierfriesstil der Phase MileA Ic–d bemalt (**430–434**) und umfassen die Varianten 10,3.B und 10,4.B. Vermutlich gehören sie der spätesten Phase MileA Id an, wie auch **435–437** ausschließlich der Variante 10,4.B. Des Weiteren ist die Frühphase der Stilstufe MileA IIa unter den Beispielen vertreten (**438–440**), die die früheste Variante 10,1.B vertreten, als auch die fortgeschrittene Stilphase (**450–478**) mit den Varianten von 10,3.C und dann 10,11.C und D sowie 10,13.C/D. Damit bestätigt auch die Gefäßmalerei die allgemeine Tendenz der niedriger und breiter werdenden Schalenbecken, bis hin zum typischen flachen, feinen sog. Fikelluraschälchen.

Für die obere Grenze des Typus 10 hat sich in den letzten Jahren ein weiterer Hinweis in Milet ergeben, nämlich der gegen 630 v. Chr. geschlossene Bothros im Heiligtum der Aphrodite von Oikus vor den Toren von Milet¹⁰⁴³. In diesem fundreichen Keramikkomplex ist kein Beispiel des Typus 10 oder 11 vertreten. Diese Tatsache ist von großer Bedeutung, weil die Typen 10 und 11 – abgesehen von noch älteren Fundkomplexen, als es der Bothros darstellt – ansonsten im Heiligtum omnipräsent sind. Der Bothros selbst ist aufgrund der mitgefundenen korinthischen Keramik sicher vor dem Beginn des Spätkorinthischen versiegelt worden. Dies bedeutet, daß sich aus der Kombination verschiedener Fundkomplexe der Beginn der Produktion des Typus 10 recht genau bestimmen läßt. Denn um 630 v. Chr. ist er in einem seiner Produktionsorte, in Milet, noch nicht nachzuweisen. Dagegen findet sich der Typus in verschiedenen Fundplätzen der Levante und Nordafrikas, die um 630/20 v. Chr. begannen, griechische Keramik zu importieren (Tel Kabri, Ashkelon, Mezad Hashavyahu, usw.) sowie

¹⁰⁴³ Vgl. o. die Anm. 726.

in griechischen Niederlassungen (Naukratis um 610 v. Chr., Kyrene vermutlich 631 v. Chr. oder Tocra [Taucheira] um 630/20 v. Chr.). Ganz wichtig ist in diesem Zusammenhang Ashkelon, denn dieser Ort wird bereits exakt im Jahr 604 v. Chr. zerstört. Der von Waldbaum angenommene und äußerst wahrscheinliche Zeitraum zwischen den ersten regelmäßigen Importen und der Zerstörung spannt einen Zeitrahmen von ca. 620 bis 604 v. Chr. auf. In diese Zeit wird vermutlich der Beginn der Entwicklung des dann so erfolgreichen KRS-Typus 10 gefallen sein. In Ashkelon bietet sich somit ein *terminus post quem* und damit eine willkommene Gelegenheit, die obere Datierung der frühen Varianten zu überprüfen. In Ashkelon ist die Variante 10,1.B nicht vertreten, dafür aber die Varianten 10,2.B¹⁰⁴⁴, 10,3.B¹⁰⁴⁵, 10,4.B¹⁰⁴⁶, 10,5.C¹⁰⁴⁷ und 10,8.C¹⁰⁴⁸. Es fällt auf, daß in Ashkelon tatsächlich vor allem die tiefen Becken der Variante B vorkommen und – nur seltener – auch schon die Variante C. Ebenso sind hier recht einheitliche Dekorsysteme anzutreffen, die ebenfalls mit den in Milet früh festgestellten korrespondieren. Sie beschränken sich auf die Varianten ky und k. Die Variante 10,2.B wurde sowohl in Meza Hashavyahu, als auch in Tel Kabri in Kontexten vor oder um 604 oder 598 v. Chr. aufgedeckt¹⁰⁴⁹. Auch in Assesos, nahe Milet, ist der Typus 10 angetroffen worden. Das von Kalaitzoglou vorgeschlagene Datum für eine Versiegelung des Komplexes mit 608 v. Chr. wurde bereits oben angezweifelt, aber spätestens um 600 v. Chr. scheint eine untere zeitliche Grenze für den Komplex zu bestehen, denn es fehlt hier der Typus 9, der um 600/590 v. Chr. bereits existierte¹⁰⁵⁰. Hier wie in Ashkelon ist der Typus 10 häufig angetroffen worden, was die Ergebnisse in Milet auch dahingehend bestätigen, daß rasch nach der Entwicklung eine sehr starke Produktion des Typus 10 beginnt. In Assesos fanden sich die Varianten 10,1.C¹⁰⁵¹, 10,2B¹⁰⁵², 10,4.B¹⁰⁵³, 10,5.B¹⁰⁵⁴, 10,5.C¹⁰⁵⁵, 10,6.C¹⁰⁵⁶, 10,7.B¹⁰⁵⁷ und 10,8.B–C¹⁰⁵⁸. Hier ist die Produktpalette des Typus reicher als in Ashkelon, was an der Nähe zu den Produktionsorten liegen mag. Aber es ist auch möglich, daß der Fundkomplex in Assesos eben doch etwas länger läuft als in Ashkelon. Tendenziell sind auch hier, wie zu erwarten, vor allem die tiefen Schalenbecken vorherrschend, ebenso wie die schon bekannten frühen Dekorvarianten k und ky. Während die Datierungen der meisten Varianten

¹⁰⁴⁴ Waldbaum 2011, Kat.-Nr. 66–77. 79. 82–85. 104. 110–112. 123–126. 131–132. 136–137. 146. 153.

¹⁰⁴⁵ Waldbaum 2011, Kat.-Nr. 81. 109. 120. 122. 129. 134. 140. 158. 188.

¹⁰⁴⁶ Waldbaum 2011, Kat.-Nr. 106. 135. 141. 143. 147–149. 194.

¹⁰⁴⁷ Waldbaum 2011, Kat.-Nr. 142. 144–145.

¹⁰⁴⁸ Waldbaum 2011, Kat.-Nr. 107–108. 118 (sehr ähnlich **278**). 119. 127–128. 130. 133. 152.

¹⁰⁴⁹ In Meza Hashavyahu: R. Wenning in: F.-L. Hossfeld (Hrsg.) *Vom Sinai zum Horeb: Stationen alttestamentlicher Glaubensgeschichte* (1989) Abb. 7. 11 f.; in Tel Kabri: B. Niemeier – W.-D. Niemeier, *Archaic Greek and Etruscan Pottery*, in: A. Kempinski, *Tel Kabri. The 1986–1993 Excavation Seasons*, hrsg. von N. Sheftelovitz – R. Oren (2002) 230 Abb. 5.94, 1.

¹⁰⁵⁰ Vgl. o. S. 332.

¹⁰⁵¹ Kalaitzoglou 2008, Kat.-Nr. 119–120.

¹⁰⁵² Kalaitzoglou 2008, Kat.-Nr. 26(?). 40. 43–44. 69. 132.

¹⁰⁵³ Kalaitzoglou 2008, Kat.-Nr. 55. 66–68. 70–71.

¹⁰⁵⁴ Kalaitzoglou 2008, Kat.-Nr. 41. 48. 58–62.

¹⁰⁵⁵ Kalaitzoglou 2008, Kat.-Nr. 42. 70.

¹⁰⁵⁶ Kalaitzoglou 2008, Kat.-Nr. 122.

¹⁰⁵⁷ Kalaitzoglou 2008, Kat.-Nr. 39. 45–47. 49.

¹⁰⁵⁸ Kalaitzoglou 2008, Kat.-Nr. 50–54. 65.

durch Assesos sehr wohl bestätigt werden, scheint die Datierung in Assesos entweder noch etwas weiter herabgesenkt werden zu müssen, oder die Datierungen der Varianten 10,5.C und 10,7 müßten um etwa ein Jahrzehnt angehoben werden. Wenn es kein Zufall ist, daß der Typus 9 in Assesos fehlt, wäre die obere Datierungsgrenze für die Variante 10,5.C und 10,7 nun auf 610/600 v. Chr. festzusetzen. Dabei zeigt sich aber, daß in Assesos die tiefe Beckenform für die Variante 10,7 angetroffen wurde, die sich in Milet bisher nicht nachweisen ließ. Und diese ist wohl etwas früher zu datieren als die flachere Variante 10,7.C. Außerdem sind in Assesos eine bemerkenswerte Anzahl vollständiger oder vollständig wiederzugewinnender KRS mit später Tierfriesstil-Bemalung der Stilphase MileA Id und auch bereits solche mit Fikellurastil-Bemalung der Phase MileA Iia aufgedeckt worden. Auch für sie ist eine Datierung zwischen 610-590 v. Chr. realistisch. Wieder ist die Variante 10,7.B¹⁰⁵⁹, aber erstmals auch 10,6.C¹⁰⁶⁰ unter ihnen vertreten, und sie haben exakt denselben Dekor wie die Beispiele der Variante 10,1.C¹⁰⁶¹ und 10,2.B¹⁰⁶². Damit müßte die Variante 10,6.C ebenfalls etwa ein Jahrzehnt früher datiert werden, als es die bisherigen Untersuchungen erwarten ließen. Bereits die neue Stilphase MileA II ist mit einer KRS der Variante 10,3.B erreicht. Für die Form ist eine Datierung vor 600 v. Chr. nicht verwunderlich, aber auch Assesos bietet nun ein sehr frühes Datum für den Fikellurastil, spätestens am Ende des 7. Jhs. v. Chr.

Die beiden Fundorte Ashkelon und Assesos haben nur wenige Veränderungen an den bisher erzielten Datierungen der Varianten bewirkt. Lediglich 10,5.B, neu 10,7.B und 10,6.C waren in Milet nicht oder nicht so früh angetroffen worden.

Die gängigsten Klassifizierungen sahen für die Datierungen des Typus 10 ohnehin einen Produktionsbeginn um 620 v. Chr. vor¹⁰⁶³. Doch wenn etwa von Villard und Vallet aus einem Importzentrum auf Sizilien bereits eine Datierung von 620 v. Chr. angenommen wurde, so verwundert doch, daß in einem der Produktionszentren der Typus erst um 620/10 v. Chr. festgestellt werden kann. Selbst wenn unmittelbar nach dem Entstehen des neuen und recht eigenständigen Typus 10 der Export begann, ist doch vermutlich nicht vor 615/10 v. Chr. mit einem Import in größerem Umfang und auch mit den Nachahmungen zu rechnen. Daher zieht die am Kalabaktepe festgestellte Datierung nicht vor 620/10 v. Chr. bereits eine, wenn auch geringe, Herabdatierung der geläufigen Chronologien zum Typus nach sich. Auf der anderen Seite ist in Milet eine viel stärkere Diversifizierung gegenüber anderen Orten festgestellt worden. Dies hat nun auch Varianten in die Betrachtung eingebracht, die an anderen Orten aus verschiedenen Gründen nicht bekannt geworden sind. So war es möglich, eine ungebrochen starke Produktion und Nutzung des Typus von seinen Anfängen am Ende des 7. Jhs. v. Chr. über ein Jahrhundert bis an das Ende des 6. Jhs. v. Chr. nachzuweisen.

¹⁰⁵⁹ Kalaitzoglou 2008, Kat.-Nr. 121.

¹⁰⁶⁰ Kalaitzoglou 2008, Kat.-Nr. 122.

¹⁰⁶¹ Kalaitzoglou 2008, Kat.-Nr. 119-120

¹⁰⁶² Kalaitzoglou 2008, Kat.-Nr. 124-125.

¹⁰⁶³ Vgl. Villard – Vallet 1955, 7 ff.; Tocra 1, 111 ff.; Tocra 2, 55 f.

Damit ist die Laufzeit des Typus 10 von ca. 620/10 bis mindestens 520/510 v. Chr. festzulegen. Bisher haben für die Varianten folgende Datierungen zu gelten:

10,1.B	vermutlich 620/10 – etwa 580/70 v. Chr.
10,1.C	vermutlich 610/600 – 580/70 v. Chr.
10,2.B	ca. 620/10 – etwa 550 v. Chr.
10,3.B	ca. 620/10 – etwa 550 v. Chr.
10,4.B	ca. 620/610 – 570/60 v. Chr.
10,5.B	ca. 610/600 – ca. 550 v. Chr.
10,5.C	610/600 – ca. 550 v. Chr.
10,6.B	ca. 610/600 – ca. 550 v. Chr.
10,6.C	610/600 – ca. 550 v. Chr.
10,7.B	610/600 – ca. 550 v. Chr.
10,7.C	600/590 – ca. 550 v. Chr.
10,8.C	610/600 – ca. 540/30 v. Chr.
10,9.C	580/70 – ca. 540/30 v. Chr.
10,10.B	ca. 580/70 – ca. 530/20 v. Chr.
10,10.C	ca. 570/60 – ca. 530/20 v. Chr.
10,11.B/C	ca. 580/70 – ca. 530/20 v. Chr.
10,11.D	ca. 560/50 – ca. 520/10 v. Chr.
10,12.C	spätestens ca. 570/60 – ca. 520/10 v. Chr.
10,13.C	570/60 – ca. 530/20 v. Chr.
10,13.D	ca. 550 – 520/510 v. Chr.

Kat.-Nr.	Id.-Nr.	Typus	Kontext
224	Z 91.59.26	10,2.Bk γ ?	Aphrodite-Heiligtum: Archaischer Heiligtumsabfall; fast älteste Schicht <i>in situ</i> (zweite Hälfte 7. Jh. v. Chr.)
226	K 92.18.3	10,2.Bk γ	Kalabaktepe-Süd: Schutt der Phase 5

227	Z 91.13.22	10,2.Bm	Aphrodite-Heiligtum: Schicht mit Opferabfall der ersten Hälfte des 6. Jhs. v. Chr.
230	K 90.216.12	10,2.Bky	Kalabaktepe-Süd: Auffüllung für spätarchaischen Boden
232	K 91.78.2	10,2.Bky	Kalabaktepe-Süd: Schutt von spätarchaischer Auffüllung des Stadtmauergrabens (Phase 5)
233	K 92.14.4	10,2.Bk	Kalabaktepe-Süd: Zerstörungsschutt der Phase 4; vielleicht mit Schutt des abgerissenen Töpferofens in Q 92.1
237	Z 05.131.50	10,2.Bky	Aphrodite-Heiligtum: Deponierung in der Terrassierungsaufschüttung über einem ehemaligen Kalksteinbruch (Ensemble 6) (drittes Viertel 6. Jh. v. Chr.)
239	Z 91.38.163	10,2.Bny	Aphrodite-Heiligtum: Spätarchaische Opferabfallschicht <i>in situ</i> (zweite Hälfte 6. Jh. v. Chr.)
240	Z 91.33.6	10,3.Bm	Aphrodite-Heiligtum: Spätarchaischer Terrassierungsschutt mit älterem, umgelagertem Heiligtumsschutt
242	S 63.91.12	10,3.Bk	Südschnitt: 7. Jh. v. Chr. (?)
244	Z 05.131.44	10.Bk-l	Aphrodite-Heiligtum: Deponierung s. o. (Ensemble 6)
245	Z 91.5.30	10,3.Bky	Aphrodite-Heiligtum: Große spätarchaische Geröllaufschüttung zur Terrassierung des Geländes z. T. mit Heiligtumsabfall des 7. Jhs. v. Chr.
246	Z 91.58.3	10,3.Bny	Aphrodite-Heiligtum: Archaische Schuttschicht (zweite Hälfte 6. Jh. v. Chr.)
449	Z 94.7.92 +	10,3.C/MileA IIa/b	Aphrodite-Heiligtum: Heiligtumsabfall oder Abfallgrube bis Mitte 6. Jh. v. Chr. (Z 94.69)
450	Z 94.64.28 +	10,3.C/MileA IIb	Aphrodite-Heiligtum: Zentrum des Bothros (Z 94.166) (7.– Anfang 6. Jh. v. Chr.)
247	Z 05.131.41	10,4.BI	Aphrodite-Heiligtum: Deponierung s. o. (Ensemble 6)
249	Z 05.131.5	10,4.Bk	Aphrodite-Heiligtum: Deponierung s. o. (Ensemble 6)

250	Z 05.132.7	10,4.BI	Aphrodite-Heiligtum: Deponierung s. o. (Ensemble 6)
251	Z 05.131.17	10,4.Bn	Aphrodite-Heiligtum: Deponierung s. o. (Ensemble 6)
437	K 89.506.23 +	10,4.B/MileA Id	Kalabaktepe-Süd: Auffüllung für und Boden der Phase 4 (K 89.510)
443	Z 94.281.101	10,4.B/MileA IIa	Aphrodite-Heiligtum: Abfallschicht des 7. und frühen 6. Jhs. v. Chr.
253	Z 05.131.37	10,5.CI	Aphrodite-Heiligtum: Deponierung s. o. (Ensemble 6)
256	K 90.569.12	10,5.Ck	Kalabaktepe-Süd: Schutt auf dem Fußboden der Phase 4, Auffüllung für Phase 5
257	Z 05.131.20	10,5.Cn	Aphrodite-Heiligtum: Deponierung s. o. (Ensemble 6)
258	Z 05.132.15	10,5.Ckγ	Aphrodite-Heiligtum: Deponierung s. o. (Ensemble 6)
259	Z 05.131.27	10,5.Cn	Aphrodite-Heiligtum: Deponierung s. o. (Ensemble 6)
260	Z 05.132.10	10,5.Cm	Aphrodite-Heiligtum: Deponierung s. o. (Ensemble 6)
261	Z 05.131.22	10,5.Cn	Aphrodite-Heiligtum: Deponierung s. o. (Ensemble 6)
262	Z 05.131.40	10,6.Cnγ	Aphrodite-Heiligtum: Deponierung s. o. (Ensemble 6)
263	Z 05.131.16	10,6.Cmγ	Aphrodite-Heiligtum: Deponierung s. o. (Ensemble 6)
264	Z 91.66.18	10,6.Cmγ	Aphrodite-Heiligtum: Archaischer Opferabfall im Bothros (erste Hälfte 6. Jh. v. Chr.)
266	Z 91.69.6	10,7.Cnγ	Aphrodite-Heiligtum: Letzte Schicht über dem gewachsenen Felsen; älteste Opferstelle mit Gerät <i>in situ</i> (zweite Hälfte 7. Jh. v. Chr.)
267	Z 05.131.34	10,7.CI	Aphrodite-Heiligtum: Deponierung s. o. (Ensemble 6)
268	Z 05.131.19	10,7.Ck	Aphrodite-Heiligtum: Deponierung s. o. (Ensemble 6)
269	Z 05.131.21	10,7.Ck	Aphrodite-Heiligtum: Deponierung s. o. (Ensemble 6)
273	K 89.288.1	10,8.Ck	Kalabaktepe-Süd: Fußboden und Auffüllung für Phase 4
275	Z 05.131.11 +	10,8.Ck	Aphrodite-Heiligtum: Deponierung s. o. (Ensemble 6)
276	Z 05.131.52	10,8.Ck	Aphrodite-Heiligtum: Deponierung s. o. (Ensemble 6)
277	Z 05.131.3	10,8.CI	Aphrodite-Heiligtum: Deponierung s. o. (Ensemble 6)

278	Z 05.131.51	10,8.Ck	Aphrodite-Heiligtum: Deponierung s. o. (Ensemble 6)
279	Z 05.131.42	10,8.Ck Sonderform	Aphrodite-Heiligtum: Deponierung s. o. (Ensemble 6)
280	Z 05.131.43	10,8.Cl Sonderform	Aphrodite-Heiligtum: Deponierung s. o. (Ensemble 6)
281	Z 05.131.46	10,8.Cl	Aphrodite-Heiligtum: Deponierung s. o. (Ensemble 6)
282	Z 05.131.6	10,9.Cl	Aphrodite-Heiligtum: Deponierung s. o. (Ensemble 6)
283	Z 05.131.26	10,9.Cn	Aphrodite-Heiligtum: Deponierung s. o. (Ensemble 6)
284	Z 05.131.10	10,9.Ck	Aphrodite-Heiligtum: Deponierung s. o. (Ensemble 6)
285	Z 05.131.38	10,9.Cl Sonderform	Aphrodite-Heiligtum: Deponierung s. o. (Ensemble 6)
286	Z 05.131.24	10,9.Cl	Aphrodite-Heiligtum: Deponierung s. o. (Ensemble 6)
287	Z 05.131.39	10,9.Cl	Aphrodite-Heiligtum: Deponierung s. o. (Ensemble 6)
288	Z 05.131.45	10,9.Cl	Aphrodite-Heiligtum: Deponierung s. o. (Ensemble 6)
289	Z 05.131.49	10,9.Ck Sonderform	Aphrodite-Heiligtum: Deponierung s. o. (Ensemble 6)
298	Z 91.12.11	10,10.Ck	Aphrodite-Heiligtum: Heiligtumsschutt <i>in situ</i> (Mitte – zweite Hälfte 6. Jh. v. Chr.)
452	Z 94.147.9	10,10.C/MileA I Ib	Aphrodite-Heiligtum: Schuttschicht, durch Ölbaum gestört? (7. Jh. – erstes Viertel 6. Jh. v. Chr.)
307	K 91.485.18 +	10,11.Dny	Kalabaktepe-Süd: Schutt von Phase 5 als Auffüllung für Phase 6 (K 91.226)
453	Z 91.30.4+9	10,11.C/MileA I Ib	Aphrodite-Heiligtum: Anscheinend späterer Füllschutt <i>in situ</i> , nicht gewachsene Opferschuttschicht (erste Hälfte 6. Jh. v. Chr.)
458	K 91.438.13 +	10,11.C/MileA II	Kalabaktepe-Süd: Einfüllung hinter der Stadtmauer (neben der späteren Störung der Steinausraubung) Auffüllung für Phase 5?
317	K 91.423.13	10,13.Ck	Kalabaktepe-Süd: Schutt der Phase 6

318	Z 91.13.20	10,13.Cn	Aphrodite-Heiligtum: Schicht mit Opferabfall der ersten Hälfte des 6. Jhs v. Chr.
319	Z 05.131.4	10,13.Cn	Aphrodite-Heiligtum: Deponierung s. o. (Ensemble 6)
321	Z 05.131.7	10,13.Cm	Aphrodite-Heiligtum: Deponierung s. o. (Ensemble 6)
322	Z 05.132.9	10,13.Cm Sonderform	Aphrodite-Heiligtum: Deponierung s. o. (Ensemble 6)
323	Z 91.13.21	10,13.Cm	Aphrodite-Heiligtum: Schicht mit Opferabfall der ersten Hälfte des 6. Jhs. v. Chr.
324	K 92.2.22	10,13.Ck	Kalabaktepe-Süd: Bauschutt der Phase 5 oder 6
325	Z 91.26.4	10,13.Dk/l	Aphrodite-Heiligtum: Letzte Schicht über dem gewachsenen Fels (erste Hälfte 6. Jh. v. Chr.)
454	K 89.506.22	10,13.C/MileA I Ib	Kalabaktepe-Süd: Boden und Auffüllung für Phase 6
456	K 92.377.1	10,13.C/MileA I Ib	Kalabaktepe-Süd: Boden der Phase 6

Abb. 99 Tab. 19. Ausgewählte Kontexte für die früharchaischen Varianten des Typus 10 in Milet.

6.6.3 Die Knickrandschalen des Typus 11

Die zweite große Gruppe der Stufe SiA II neben dem Typus 10 wird von den KRS des Typus 11 gestellt. Auch hier sind in Tab. 21 wieder einzelne Fundsituationen zusammengetragen, die eine engere Begrenzung der Laufzeit einzelner KRS des Typus 11 und seiner Varianten erlauben: die KRS **336** der Variante 11,2.Bm wurde entweder schon bei der Anlage der Phase 4 um 580 v. Chr. oder bei einer Erneuerung während der Phase 4 in den Hofboden eingelagert, vermutlich nicht später als 570/60 v. Chr.; für die KRS **341–342** der Variante 11,4.Bk γ konnte eine Laufzeit von 620/10 bis spätestens 590/80 v. Chr. ermittelt werden; **344** der Variante 11,4.Bk (Sonderform) wurde oben bereits mehrfach besprochen¹⁰⁶⁴; sie hat eine sehr kurze Lebensdauer gehabt: zwischen um 620/10 v. Chr. produziert, benutzt und deponiert; die gleiche Datierung gilt sicher auch für die KRS **359** der Variante 11,5.Bk und vielleicht auch für **351** ebenfalls der Variante 11,4.Bk; **355** ist zwischen 620/10 und 560/50 v. Chr. zu datieren; und sollte die Datierung »spätes 7. Jh. v. Chr.« für einen Kontext im milesischen Athena-Heiligtum von den Ausgräbern richtig eingeschätzt worden sein, ist auch **356** der Variante 11,4.Bk in den Zeitraum zwischen 620 und 600 v. Chr. zu setzen; mit hoher Wahrscheinlichkeit gehört auch die KRS **364** der Variante 11,5.Bk, die in die Fußbodenunterfütterung für die Phase 3 geraten

¹⁰⁶⁴ Vgl. o. S. 165 ff. Kapitel 5.1.2.4.3.3 'Die Knickrandskyphoi und -schalen aus dem Boden und dem Benutzungshorizont der Phase 2'.

war, in den engen Zeitraum um 620/10 v. Chr., enge Datierungsgrenzen gibt es auch für weitere KRS der gleichen Variante 11,5.Bk: **365** und **367** gehören in die Zeit 620/10–590/80 v. Chr.

Der Typus 11 ist mit 229 stratifizierten Beispielen in die statistische Auswertung eingegangen, was eine recht verlässliche Aussagekraft für den Typus verspricht. In Kapitel 5 wurde die statistische Auswertung bereits zusammen mit den Aussagen zu einzelnen Stücken, Form- und Dekorvarianten in einzelnen Fundsituationen am Kalabaktepe besprochen und ausgewertet. Dabei ergaben sich vorläufig folgende Laufzeiten für den Typus 11 und seine Varianten: für den Typus 11 insgesamt 620–530/20 v. Chr.; für die Varianten: 11,1.B von ca. 620 bis ca. 580/570 v. Chr.; 11,2.B von ca. 610 bis ca. 550 v. Chr.; 11,3.B von ca. 620/610 bis 560/550 v. Chr.; 11,4.B und 11,5.B von 620/610 bis ca. 530/520 v. Chr. oder etwas länger.

Stilistisch läßt sich lediglich die Nähe zum besser bestimmbareren Typus 10 anführen, zu dem er eine Art größeren, gröberen, einfacheren und variantenärmeren Verwandten darstellt, den die südionischen/milesischen Gefäßmaler in keinem Fall als Träger ihrer Malerei herangezogen haben. Für die untere Grenze des Typus gibt es nur wenige sichere Anhaltspunkte, die sich im Wesentlichen aus den Interpretationen der statistischen Auswertung ergeben. Daher muß sich die Belastbarkeit der hier ermittelten unteren zeitlichen Grenzen in Zukunft noch erweisen. Denn der Typus 11 weist während seiner vermutlich ca. 90-jährigen Laufzeit kaum Anzeichen für eine Entwicklung auf. Alle Varianten sind bereits am Ende des 7. Jhs. v. Chr. parallel zueinander vorhanden. Aller Voraussicht nach läuft lediglich die Variante 11,1.B bereits zum Ende des ersten Viertels des 6. Jhs. v. Chr. aus. Sie ist auch diejenige Variante, die durchaus noch Dekorvarianten trug, die teils als subgeometrisch zu bezeichnen sind (**330–331**). Alle übrigen Varianten, die bis in die Mitte oder an das Ende des 6. Jhs. v. Chr. fortgesetzt zu werden scheinen, zeigen kaum Tendenzen zu flacheren und offeneren Becken, wie es die übrigen KRS während dieses Jahrhunderts zeigten, oder die Tendenz zu kürzeren, knapperen Rändern wie es für den Typus 10 festzustellen war. Dies mag aber auch daran liegen, daß kaum vollständige Beispiel aus dem 6. Jh. v. Chr. existieren, die einen Vergleich der Becken zulassen. Aber auch die Dekorvarianten sind wie die Gefäßform eher konservativ und spiegeln kaum die Entwicklung wieder, die für den Typus 10 festgestellt worden war.

Nur wenige Belege konnten außerhalb von Milet für eine sichere Datierung des Typus 11 angetroffen werden. Für die Variante 11,4.B läßt sich eine KRS in Ephesos mit einer Fundlage vor 550 v. Chr. heranziehen¹⁰⁶⁵. Allerdings handelt es sich um eine vollständig tongrundige Schale ohne jegliche Dekoration¹⁰⁶⁶.

¹⁰⁶⁵ V. Gassner, Das Südtor der Tetragonos-Agora. Keramik und Kleinfunde, *FiO XIII/1/1* (1997) 31 Kat.-Nr. 24 Taf. 1, 24.

¹⁰⁶⁶ Hier ist an die ungefirnißten KRS zu denken, die aus dem samischen Heraion bekannt sind, vgl. z. B. Samos 3, 86. 84 Abb. 13, h. j–m.

Neuerdings tritt der Fundkomplex in Assesos hinzu, in dem eine große Anzahl an Beispielen des Typus 11 angetroffen wurden. Wie bereits oben dargelegt, gibt der Bearbeiter der Fundkeramik für den Fundkomplex aus Assesos das fixe Enddatum 608 v. Chr. an, was mit guten Gründen anzuzweifeln ist¹⁰⁶⁷. Dennoch ist aufgrund der keramischen Evidenz ein Datum um 600 v. Chr. für die jüngsten Stücke mehr als wahrscheinlich. Im Fundkomplex in Assesos fanden sich auch viele Beispiele der Variante 11,1.B¹⁰⁶⁸, für die in Milet selbst kaum Datierungsanhaltspunkte gefunden werden konnten. Einige wenige Exemplare der Variante 11,3.B¹⁰⁶⁹ sind ebenfalls in Assesos aufgefunden worden. Überraschend viele KRS der Variante 11,4 (Sonderform)¹⁰⁷⁰, die der KRS **345** in Milet in Formaufbau und Dekor, vermutlich auch im Fabrikat, sehr nahe stehen, waren zudem im assesischen Komplex enthalten, aber auch das übrige Spektrum der Variante 11,4.B¹⁰⁷¹ läßt sich zahlreich nachweisen. Einige in Assesos gefundene Beispiele der Variante 11,5.B¹⁰⁷² – mit vertiefter Rille am Übergang zum Rand – stehen ebenfalls Fragmenten in Milet nahe (**359–362**). Einen weiteren wichtigen Datierungsansatz liefert die Zerstörungsschicht von 604 v. Chr. in Ashkelon mit den hier vermutlich seit 630/20 v. Chr. regelmäßig eingehenden griechischen Importen¹⁰⁷³. Unter diesen vor 604 v. Chr. zu datierenden Funden befanden sich KRS des Typus 11 in seinen Varianten 11,2.B¹⁰⁷⁴, 11,3.B¹⁰⁷⁵, 11,4.B (Sonderform)¹⁰⁷⁶, 11,4.B¹⁰⁷⁷, 11,5.B¹⁰⁷⁸. Die Beispiele aus Ashkelon und Assesos bestätigen nun auch in mehrfacher Hinsicht die bereits gewonnenen Ergebnisse zum Typus 11. Erstens sind fast alle Varianten – bis auf Variante 11,1.B – bereits vor 604 v. Chr. in Ashkelon belegt, und bis auf Variante 11,2.B alle übrigen Varianten in Assesos. Zweitens ist in beiden Orten – wie in Milet – die Variante 11,4.B mit Abstand am häufigsten vertreten. Darüber hinaus ist in den Kontexten des späten 7. Jhs. v. Chr. – wie schon unter den quantitativ stärker vertretenden Varianten des Typus 10 – auch beim Typus 11 nur die Dekorvariante k, vielleicht auch k_γ, bezeugt.

Die Fundkontexte in Ashkelon und Assesos bezeugen den Typus 11 bereits spätestens für das letzte Jahrzehnt des 6. Jhs. v. Chr., und auch die Fundlagen im Wohn- und Handwerkerviertel am Kalabaktepe-Süd lassen den Typus bereits für die Phase 2 (640–610 v. Chr.) nachweisen. Aufgrund der geringen Anzahl der KRS des Typus 11 in der Phase 2 war darauf geschlossen worden, daß der Typus erst gegen Ende der Phase 2 seinen Anfang nahm. Diese Schlußfolgerung hinsichtlich der

¹⁰⁶⁷ Vgl. o. S. 341 f; 352 f; bes. 366 f; 377.

¹⁰⁶⁸ Kalaitzoglou 2008, Kat.-Nr. 2–3. 5–6.

¹⁰⁶⁹ Kalaitzoglou 2008, Kat.-Nr. 57.

¹⁰⁷⁰ Kalaitzoglou 2008, Kat.-Nr. 4. 10. 12. 14–18. 56. 73.

¹⁰⁷¹ Kalaitzoglou 2008, Kat.-Nr. 11–12. 29–30. 63–64. 74–75; vermutlich auch Kat.-Nr. 20.

¹⁰⁷² Kalaitzoglou 2008, Kat.-Nr. 19; Kat.-Nr. 78 hat bisher keinen Vergleich unter den Beispielen des Typus 11 in Milet, dennoch ist die Randgestaltung im kleineren Maßstab und daher vermutlich leicht abgewandelt unter den Beispielen der Variante 10,7.C (**269–270**) bekannt.

¹⁰⁷³ Vgl. o. S. 299.

¹⁰⁷⁴ Waldbaum 2011, Kat.-Nr. 115. 152.

¹⁰⁷⁵ Waldbaum 2011, Kat.-Nr. 138. 155.

¹⁰⁷⁶ Waldbaum 2011, Kat.-Nr. 150. 191.

¹⁰⁷⁷ Waldbaum 2011, Kat.-Nr. 105. 113–114. 121. 154. 156–157. 159–160. 163. 192–193.

¹⁰⁷⁸ Waldbaum 2011, Kat.-Nr. 161–162. 165. 190.

oberen Datierungsgrenze für den Typus 11 erweist sich nun als richtig. Denn in dem um 630 v. Chr. verschlossenen Bothros¹⁰⁷⁹ im Aphrodite-Heiligtum von Oikus fand sich – wie schon der Typus 10 – auch der Typus 11 mit nicht einem Beispiel, obgleich er ansonsten in großer Anzahl überall im Heiligtum anzutreffen ist. Durch die Kombination der so ermittelten Daten ist der Beginn des Typus 11 um 620 v. Chr. als gesichert anzusehen.

Zusammenfassend haben folgende Zeitfenster für die Varianten des Typus 11 zu gelten:

11,1.B spätestens 620/10 – etwa 580/70 v. Chr.

11,2.B ca. 610/600 – 550/40 v. Chr.

11,3.B ca. 620/10 – etwa 560/50 v. Chr.

11,4.B ca. 620/10 – etwa 530/20 v. Chr.

11,5.B ca. 620/10 – etwa 530/20 v. Chr.

Kat.-Nr.	Id.-Nr.	Typus	Kontext
336	K 89.114.8	11,2.Bm	Kalabaktepe-Süd: Hofboden der Phase 4 mit Tuffit
341	K 89.510.19	11,4.Bkγ	Kalabaktepe-Süd: Auffüllung und Boden der Phase 4
342	K 89.510.29	11,4.Bkγ	Kalabaktepe-Süd: Auffüllung und Boden der Phase 4
343	K 90.725.4	11,4.Bk	Kalabaktepe-Süd: Auffüllung und Boden Phase 4? (eher Phase 6 oder 7)
344	K 90.649.5	11,4.Bk	Kalabaktepe-Süd: Fußboden der Phase 2 nach Einfüllung und Aufgabe der Rundlinge? – deckt die verfüllte Grube K 90.828 aus der Phase 1 ab.
351	K 89.481.3	11,4.Bk	Kalabaktepe-Süd: Bodenschicht der Phase 2, vermischt mit nacharchaischer Schutteinfüllung
355	K 89.276.13	11,4.Bk	Kalabaktepe-Süd: Nutzungszeit Phase 4
356	S 63.87.1	11,4.Bk	Athena-Heiligtum: spätes 7. Jh. v. Chr.
359	K 90.649.6	11,5.Bk	Kalabaktepe-Süd: Fußboden der Phasen 2 nach Einfüllung und Aufgabe der Rundlinge? – deckt die verfüllte Grube K 90.828 aus der Phase 1 ab.

¹⁰⁷⁹ Vgl. o. Anm. 726.

364	K 89.453.23	11,5.Bk	Kalabaktepe-Süd: Fußbodenunterfütterung der Phase 3; Störung durch Brunnen möglich.
365	K 89.216.1	11,5.Bk	Kalabaktepe-Süd: Boden von Phase 4 oder spätarchaischer Schutt?
367	K 89.237.1	11,5.Bk	Kalabaktepe-Süd: Schutt nur im Innern des 'Tuffbaus' der Phase 3; oberste Zerstörungsschicht, setzt sich deutlich gegen den darum herum laufenden festen Hofboden K 89.238 ab.

Abb. 100 Tab. 20. Ausgewählte Kontexte für die früharchaischen Varianten des Typus 11 in Milet.

6.6.4 Die Knickrandschalen des Typus 12

Die festgestellten Datierungsgrundlagen am Kalabaktepe-Süd zum Typus 12 sind wenig ermutigend. Erstmals konnte der Typus 12 in der statistischen Auswertung für die Phase 4 (ca. 580–550 v. Chr.) festgestellt werden (Abb. 58): Für das Fragment **Abb. 56,a** einer KRS des Typus 12, deren Variante sich nicht mehr bestimmen ließ, konnte die Nutzungszeit spätestens in der Phase 4 zwischen 580 und 550 v. Chr. bestimmt werden. Danach findet sich der Typus erst wieder in Phase 6, wohin die Beispiele aber sicher aus älteren Kontexten 'verschleppt' wurden. Insgesamt ist der Befund zum Typus und seine Varianten wenig aussagekräftig, so daß keine verlässlichen Tendenzen auszumachen sind. Unter Einbeziehung aller zu ermittelnden Fundsituationen und der Einschätzung der Dekorvarianten ließ sich in Kapitel 5.1.3 'Zusammenfassung zu den neuen Grabungen'¹⁰⁸⁰ Folgendes abschließend festhalten: »Vermutlich kann die Laufzeit des Typus 12 von 580/70 bis 500/490 v. Chr. festgelegt werden. Für die Varianten ist auf der Grundlage der vorgestellten Daten keine feinere Gliederung möglich«.

In Tel Kabri, wo die griechischen Importe zwischen 604 oder 590/80 v. Chr. enden¹⁰⁸¹, läßt sich ein Randfragment vermutlich als Variante 12,2.B bestimmen¹⁰⁸², auch wenn sein Mündungsdurchmesser von nur 19 cm etwas klein für den Typus ist. Doch könnte dies auch der Schwierigkeit der Messung kleiner Fragmente zuzuschreiben sein, und das Gefäß hatte vielleicht doch ursprünglich einen Mündungsdurchmesser von um die 22 cm. Auch die Dekorvariante k ist unter den milesischen Beispielen bisher selten. Lediglich **380–381** zeigen die gleiche Formgebung, und **381** auch die Dekorvariante k. Daher kann das Randfragment in Tel Kabri wohl als Beispiel des Typus 12 herangezogen werden und korrigiert die obere Grenze der Datierung um mindestens 10 bis 20 Jahre herauf.

¹⁰⁸⁰ Vgl. o. S. 235 f.

¹⁰⁸¹ Vgl. o. S. 299 f. Anm. 884.

¹⁰⁸² B. Niemeier – W.-D. Niemeier, *Archaic Greek and Etruscan Pottery*, in: A. Kempinski, *Tel Kabri. The 1986–1993 Excavation Seasons*, hrsg. von N. Sheftelowitz – R. Oren (2002) 230 Abb. 5.94, 3; 232 Kat.-Nr. 15.

Damit ergibt sich vorläufig folgendes Datierungsschema für den Typus 12 und dessen Laufzeit:

12,1.B ca. 580/70 – etwa 500/490 v. Chr.

12,2.B ca. 600/590 – etwa 500/490 v. Chr.

12,3.B ca. 580/70 – etwa 500/490 v. Chr.

6.6.5 Die Knickrandschalen des Typus 13

Die wenigen 'kraterartigen' KRS des Typus 13 lieferten für folgende Stücke engere Grenzen ihrer Datierung: KRS **386** der Variante 13,1.Bdα ist zwischen spätestens 650/40 und 640/30 v. Chr. zu datieren; **387** kann vermutlich sogar in den Zeitraum 650/40 v. Chr. datiert werden, wenn die Interpretation des Fußbodens der Phase 2 zutrifft; für die Variante 13,2.Bk/m läßt sich **392** in die Zeit 640/30–620/10 v. Chr. datieren.

Die Auswertung der Fundsituationen am Kalabaktepe-Süd sowie die Fundsituation in dem um 630 v. Chr. verschlossenen Bothros¹⁰⁸³ im Heiligtum der Aphrodite von Oikus vor den Toren von Milet ergab für den Typus 13 eine Laufzeit von spätestens 650/40 bis 550/40 v. Chr. Dabei sollte die Variante 13,1.B zwischen 650/40 und 600/590 v. Chr., die Variante 13,2.B zwischen 630/20 und 580/70 v. Chr. sowie Variante 13,3.B zwischen 600/590 und 550/40 v. Chr. eingestuft werden¹⁰⁸⁴.

Die morphologische Ähnlichkeit der Variante 13,1.B mit der Variante 11,1.B, die sich übrigens auch im Dekor widerspiegelt, zeigt eine etwa parallele Entwicklung an und gibt bereits einen ungefähren Datierungshinweis für die Variante 13,1.B für die Zeit von spätestens 620/10 bis etwa 580/70 v. Chr. Zudem trägt **385** einen subgeometrischen Dekor. Weitere Beispiele mit südionischer/milesischer Malerei fanden sich unter den KRS der Varianten 13,1 bis 13,3. Die einfachen Punktrossetten auf der Schulter von **390** werden spät in die Stilstufe SiA I oder bereits früh in SiA/MileA II zu datieren sein, also um 620–590 v. Chr. **391** der Variante 13,2.B ist mit einer Gesichtsmaske geschmückt, die noch in die Stilphase MileA Id gehört und auch etwa in die Zeit 610–590 v. Chr. zu datieren ist. Für die Variante 13,3 lassen sich zwei Randfragmente anführen, von denen das Flechtband auf **394** spät in die Stilstufe MileA I gehört, aber auch bei den Bilinguen der frühen Phase MileA IIa angetroffen wurde (vgl. etwa **423**). **395** ist dann allerdings schon im Fikellurastil bemalt – MileA II. Somit sind auch für die Variante 13,3 zumindest Datierungen im Zeitraum von ca. 620–580/70 v. Chr. aufgrund der Gefäßmalerei auf ihnen anzunehmen.

Nahe Milet, in dem schon mehrfach beschriebenen Fundkontext in Assesos¹⁰⁸⁵, der in etwa dem Spektrum der in Milet belegten Variationen entspricht, fanden sich gleich mehrere KRS des Typus 13

¹⁰⁸³ Vgl. o. Anm. 726.

¹⁰⁸⁴ Vgl. o. S. 235 f. im Kapitel 5.1.3 'Zusammenfassung zu den neuen Grabungen'.

¹⁰⁸⁵ Vgl. o. S. 301; 311 und bes. S. 323 sowie 332.

der Variante 13,1.B¹⁰⁸⁶. Die Funde in Assesos wurden vom Fundbearbeiter Kalaitzoglou von etwa der Mitte des 7. Jhs. v. Chr. bis zu ihrer Deponierung nach einer Zerstörung im Jahre 608 v. Chr. datiert. Oben wurde bereits die Festlegung auf das frühe Datum kritisiert und eine etwas spätere Datierung um 600 v. Chr. für wahrscheinlicher erklärt (vgl. o. S. 301. 311 und bes. S. 323 sowie 332). Unabhängig davon bestätigen sie für die Variante 13,1 einen zeitlichen Ansatz vor 600 v. Chr. Das Fehlen der Varianten 13,2 und 13,3 in Assesos könnte ein Hinweis auf eine spätere Datierung dieser beiden Varianten sein. Doch ist nicht auszuschließen, daß dieser seltene Typus und die noch selteneren Varianten 13,2 und 13,3 durchaus einfach nicht nach Assesos – oder zumindest zufällig nicht in diesen kleinen Fundkomplex – gelangte. Die Gesichtsmaske von **391** der Variante 13,2 läßt jedenfalls an einer so niedrigen Datierungsgrenze zweifeln. Anders ist dagegen die Situation der Variante 13,3. Die Malerei auf diesen Beispielen würde sich mit einer Datierung nach 600 v. Chr. vertragen.

Unter Einbeziehung aller ermittelbarer Fundsituationen und anderer Datierungskriterien kann folgendes relativ verlässliche Schema für die Varianten des Typus 13 geltend gemacht werden:

13,1.B ca. 650/40 – etwa 600/590 v. Chr.

13,2.B ca. 630/20 – etwa 580/70 v. Chr.

13,3.B ca. 600/590 – etwa 550/40 v. Chr.

Kat.-Nr.	Id.-Nr.	Typus	Kontext
386	Z 09.87.26	13,1.Bdα	Aphrodite-Heiligtum: vor 630/20 v. Chr., Bothrosfüllung
387	K 90.572.1	13,1.Blα	Kalabaktepe-Süd: Fußboden Phase 4 oder Fußboden 2 des Raumes in Q 89.1 und 2
392	K 92.381.9	13,2.Bk/m	Kalabaktepe-Süd: Hofboden der Phase 3

Abb. 101 Tab. 21. Ausgewählte Kontexte für die früharchaischen Varianten des Typus 13 in Milet.

6.6.6 Die Knickrandschalen der sog. Grauen Ware

Die außerhalb Südioniens unbekannt Gruppe von KRS der 'Grauen Ware' konnte nur mit einem Fundkontext in der Aufschüttung zur Phase 5 (vor 550 v. Chr.) gesichert werden. Die Grundform des Stückes war die der Gruppe 11,3.A. Die weitere Auswertung der Beispiele in Kapitel 5 konnte zeigen, daß die kleine Gruppe von KRS der 'Grauen Ware' zwischen 600/590 v. Chr. und 580/70 v. Chr. von milesischen Töpfern produziert wurde. Die Produktion umfaßt die Typen 9, 10, 11 und 12, für die sich in dem ermittelten Zeitfenster eine recht gute Überschneidung ergibt, die die Datierung zu stützen vermag.

¹⁰⁸⁶ Kalaitzoglou 2008, Kat.-Nr. 7 (= **385–386**); Kat.-Nr. 8 (= **387–388**); Kat.-Nr. 9 (= **390**).

Außerhalb von Milet sind KRS der 'Grauen Ware' selten angetroffen worden. Aus Samos stammt eine KRS des Typus 9¹⁰⁸⁷ mit einer roten Fikellurastil-Dekoration, wie der von **403**. Sie fand sich außerhalb eines Grabes mit Steinsarkophag, dessen Beigaben das Grab im zweiten Viertel bzw. in der Mitte des 6. Jhs. v. Chr. fixieren¹⁰⁸⁸. Eine von den Ausgräbern in Tocra als lokales Produkt interpretierte KRS der Variante 11,4.C¹⁰⁸⁹ ist vermutlich eher ein Import aus Milet. Die Fundsituation in Tocra im 'Deposit I (Level 9)' gibt eine Datierung vor 600/590 v. Chr. vor¹⁰⁹⁰. Da keine griechischen Importe vor 620 v. Chr. nach Tocra gelangten¹⁰⁹¹ und das Gründungsdatum sogar erst für das Ende des 7. Jhs. v. Chr. überliefert ist¹⁰⁹², kann die KRS der Variante 11,4.C innerhalb recht enger Grenzen datiert werden: 620/10–600/590 v. Chr.

Eine weitere KRS der 'Grauen Ware' – ein vermutlich milesischer Import – fand sich auf der Heuneburg¹⁰⁹³. Die Bearbeiterin der griechischen Importkeramik, E. Böhr, konnte feststellen, daß alle 58 bislang gefundenen griechischen Keramikimporte vornehmlich attischer Provenienz nicht vor 540 v. Chr. hergestellt wurden¹⁰⁹⁴. Lediglich zwei Gefäße stammen nicht aus attischen sondern ostgriechischen Werkstätten. Diese seien allerdings allgemein etwas früher zu datieren als die attischen, wobei immer die lange Laufzeit der KRS-Typen zu bedenken ist. Dennoch scheinen die Importe nicht vor 540 v. Chr. auf der Heuneburg eingetroffen zu sein. Damit ist zumindest ein *terminus ante quem* gegeben. Ein *terminus post quem* läßt sich aus dem Kontext der Heuneburg leider nicht gewinnen. Denn es besteht wohl kein regelmäßiger Import hierher – vielmehr scheint die Gruppe der griechischen Importe innerhalb einer kurzen Phase oder sogar auf einen Schlag in die Heuneburg gelangt zu sein. Die keramische Assemblage könnte dabei auch bereits etwas ältere Einzelstücke enthalten haben, die irgendwo – vielleicht in Südfrankreich oder in Etrurien – zusammengestellt und dann über die Alpen mitgenommen wurden¹⁰⁹⁵.

6.7 Die südionische/milesische Gefäßmalerei

Ein letztes Diagramm (Abb. 107) wurde für die stratifizierte KRS mit südionischer/ milesischer Gefäßmalerei erstellt. Da alle hier verzeichneten Beispiele ausschließlich von KRS stammen, ist die

¹⁰⁸⁷ P. Gercke – W. Löwe (Red.), Samos – Die Kasseler Grabung 1894 in der Nekropole der archaischen Stadt von Johannes Boehlau und Edward Habich (1996) 68 Kat.-Nr. 45,41 mit Abb.

¹⁰⁸⁸ Ebenda 61 ff.

¹⁰⁸⁹ Eine von den Ausgräbern Hayes und Boardman lokal klassifizierte KRS der Variante 11,4.C scheint der 'Grauen Ware' anzugehören und könnte damit auch ein Import aus Milet darstellen, vgl. Tocra 2, 71 Abb. 29, 2313 Taf. 36, 2313.

¹⁰⁹⁰ Tocra 2, 10. 12.

¹⁰⁹¹ Tocra 1, 13.

¹⁰⁹² Vgl. zur Datierung von Kyrene und Tocra (Taucheira) mit Hinweis auf die schriftlichen Quellen, Tocra 1, 13; und vgl. etwa DNP VI (1999) 662 s. v. Kolonisation (W. Eder) die Tab. (rechte Sp.), wonach Taucheira am Ende 7. Jhs. v. Chr. gegründet wurde.

¹⁰⁹³ E. Böhr, Die griechische Keramik der Heuneburg. Kommentierter Katalog, in: W. Kimmig (Hrsg.), Importe und mediterrane Einflüsse auf der Heuneburg, Heuneburgstudien 11 (2000) 18 ff. Kat.-Nr. 14 Taf. 14. 18.

¹⁰⁹⁴ Ebenda 22.

¹⁰⁹⁵ Ebenda mit weiteren Informationen zu Funden auf Samos und in Tarent sowie Datierungsanhalte aus Tarent und Samos; eine weitere Publikation im CVA Kassel 2, S. 18 Abb. 10 Taf. 54, 2.

statistische Breite nicht ausreichend, um endgültige Aussagen zuzulassen. Dennoch läßt sich auch hier wieder – wenn auch mit gebotener Vorsicht – aufzeigen, daß die subgeometrische Tradition bis in die Phase 2 (640–610 v. Chr.) zu verfolgen ist. Die hier nicht näher differenzierte Tierfriesstil-Malerei der Stilstufe SiA I läßt sich schon in der Phase 1 (ca. 670–640 v. Chr.) feststellen. Die Spätstufe SiA II, Fikellurastil, nimmt ihren Anfang bereits in der Phase 3 (610–580 v. Chr.).

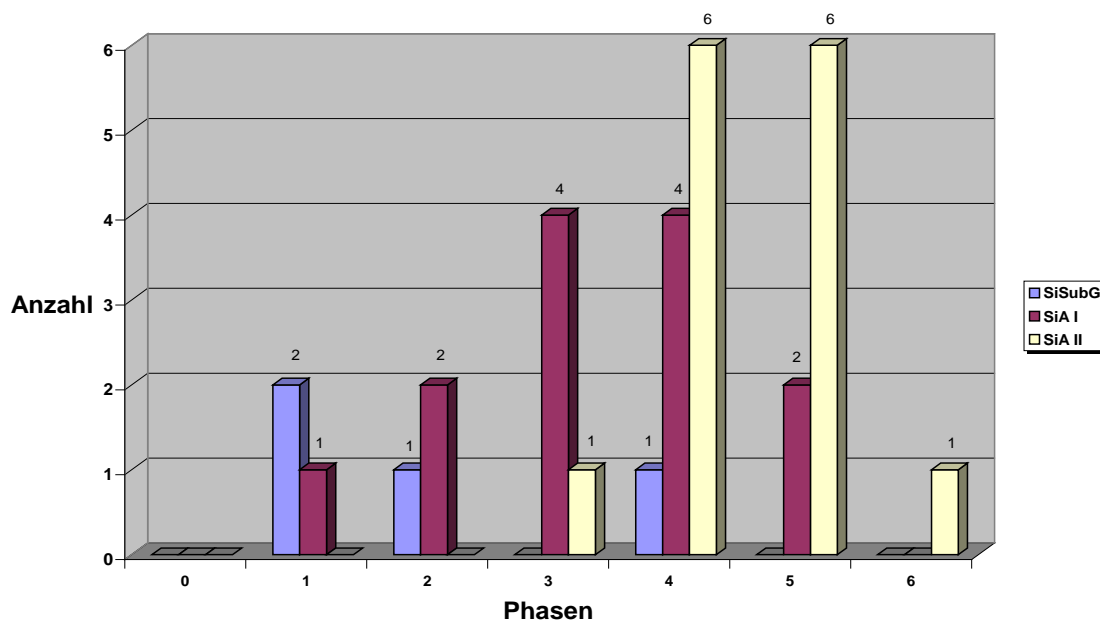


Abb. 102. Kalabaktepe-Süd, Verteilung der bemalten KRS in den Siedlungsphasen.

Die KRS als Einzelgattung reichen nicht aus, um eine vollständige Klassifizierung der südionischen – insbesondere der milesischen – Gefäßmalerei zu begründen. In Kapitel 5 wurden die Datierungshinweise aus Milet besprochen¹⁰⁹⁶. Ein erster Vorschlag für eine Neuordnung und Chronologie des südionischen/ milesischen Tierfriesstils, vor allem seiner Spätphase SiA/MileA Id sowie des Übergangs und der Frühphase des Fikellurastils der Stilphase MileA Iia, ist bereits an anderer Stelle erfolgt¹⁰⁹⁷. Der dort vom Verfasser begründete neue chronologische Ansatz zur Datierung des Beginns des Fikellurastils (MileA II) in die Zeit um 590/80 v. Chr. war¹⁰⁹⁸ – wie die Funde in Assesos¹⁰⁹⁹ und besonders in Ashkelon¹¹⁰⁰ zeigen – vermutlich noch zu kurz gefaßt. Die ersten Tendenzen der neuen Stilstufe lassen sich unter den Funden in der Zerstörungsschicht von 604 v. Chr. in Ashkelon bereits fassen. 610/600 v. Chr. scheint nun ein realistischer Ansatzpunkt für den

¹⁰⁹⁶ Vgl. S. 335 ff. im Kapitel 5.1.3 'Zusammenfassung zu den neuen Grabungen'.

¹⁰⁹⁷ Schlotzhauer 2007.

¹⁰⁹⁸ Schlotzhauer 2007.

¹⁰⁹⁹ Die Stilstufe MileA II (Fikellurastil) haben bereits erreicht Kalaitzoglou 2008, Taf. 18, 127; 60, 344; 61, 347; 64, 353-354.; 70, 361-363; 71, 364; 82, 429; 146, 641; zur Datierung in Assesos vgl. hier die S. 301; 311 und bes. S. 323 sowie 332.

¹¹⁰⁰ Die Stilstufe MileA II (Fikellurastil) haben bereits erreicht Waldbaum 2011, 237 Kat.-Nr. 265; 238, Kat.-Nr. 266; 239, Kat.-Nr. 270; 280 Kat.-Nr. 410; 286 Kat.-Nr. 423; zur Datierung in Ashkelon vgl. S. 299.

Wechsel vom Tierfriesstil der Stufe MileA I zum Fikellurastil der Stufe MileA II zu sein. Dies führt zu einer Heraufdatierung nahezu aller Stilstufen und -phasen in Milet, Südionien und letztendlich auch in den übrigen ostgriechischen Regionen¹¹⁰¹. Dieser Ansatz wurde hier bereits für die vorgenommene Neuordnung der Gefäßmalerei auf KRSk und KRS berücksichtigt, was im Katalog nachvollzogen werden kann. Eine feinere Gliederung der Stilstufe MileA II in mehr als ihre Frühphase MileA IIa ist auf der Grundlage der KRS allein und ihrer bisher publizierten Funde noch nicht möglich. Hierzu bedarf es der Vorlage der vielfältigen und besonders qualitätvollen, vor allem figürlichen Malerei des 6. Jhs. v. Chr., die in den vergangenen fünfzehn Jahren im Aphrodite-Heiligtum von Oikus vor den Toren Milets aufgedeckt worden sind.

6.8 Zusammenfassung zur Datierung

Neben der Abwandlung der die geometrischen Perioden betreffenden Terminologie in die lokalen Varianten stärker unterstreichende Begriffe wurde hier der Datierung Coldstreams und Cooks gefolgt. Für diese Epoche haben sich bisher keine neuen Anhaltspunkte – weder aufgrund stilistischer Überlegungen noch durch Grabungsergebnisse – ergeben.

Erst mit Beginn der Siedlungstätigkeit am Südhang des Kalabaktepe um 670 v. Chr. lassen sich für die Datierung neue Anhaltspunkte gewinnen. Hier ist nun erstmals auf einer breiten statistischen Grundlage nachgewiesen worden, daß sich die subgeometrische 'Strömung' im Keramikbild Milets bis an das Ende der Siedlungsphase 2 um etwa 610 v. Chr. erhält. Damit ist die von Cook, der noch 1998 den Mangel an datierten Kontexten herausstrich, bereits aus seinen Überlegungen zum Phänomen der Vogelschalen und der ostdorisches/ rhodischen Vroulia-Schalen hervorgegangene Vermutung bestätigt worden, daß eine subgeometrische Tradition bis in das letzte Viertel des 7. Jhs. v. Chr. zu verfolgen ist¹¹⁰².

Darüber hinaus konnte für die Typen der KRSk und KRS sowie ihre Varianten eine Chronologie auf einer breiten Befundbasis festgemacht werden. Dabei zeigte sich, daß die neue, vor allem von südionischen Funden ausgehende Klassifizierung und die besonders durch ihre Fundlagen in Milet gewonnene Chronologie der Typen und Varianten tragfähig sind. Denn der Abgleich mit chronologischen Anhaltspunkten an Orten außerhalb Milets, vor allem mit gut datierbaren Fundkontexten in der Levante und Nordafrika, hat die bereits gewonnenen Datierungen bestätigen können. Lediglich in Einzelfällen konnten – allerdings hoch willkommene – Präzisierungen erzielt werden.

6.8.1 Schaubilder zur Chronologie der milesischen KRSk und KRS

Am Ende der Ausführungen zur Chronologie der milesischen KRS und ihrer Vorläufer, der KRSk, sowie der Gefäßmalerei südionischer/milesischer Provenienz anhand der stratigraphischen Phasen der

¹¹⁰¹ Ich werde an anderer Stelle und mit den Evidenzen weiterer Gattungen dazu noch einmal Stellung nehmen.

¹¹⁰² Cook 1998, 25 und 26 ff.

'Südstadtgrabung' am Kalabaktepe-Süd wird das Ergebnis in zwei Grafiken zusammengefaßt. Die Grafiken wurden mit Rücksicht auf die chronologische Einordnung sowie auf die proportionale Verteilung der Typen vorgenommen. So ergab sich eine Visualisierung der jeweiligen Fundmenge im Verhältnis zur Phase: breite Linien zeigen große Quantitäten an, Strichellinien eine besonders geringe Anzahl an Gefäßen.

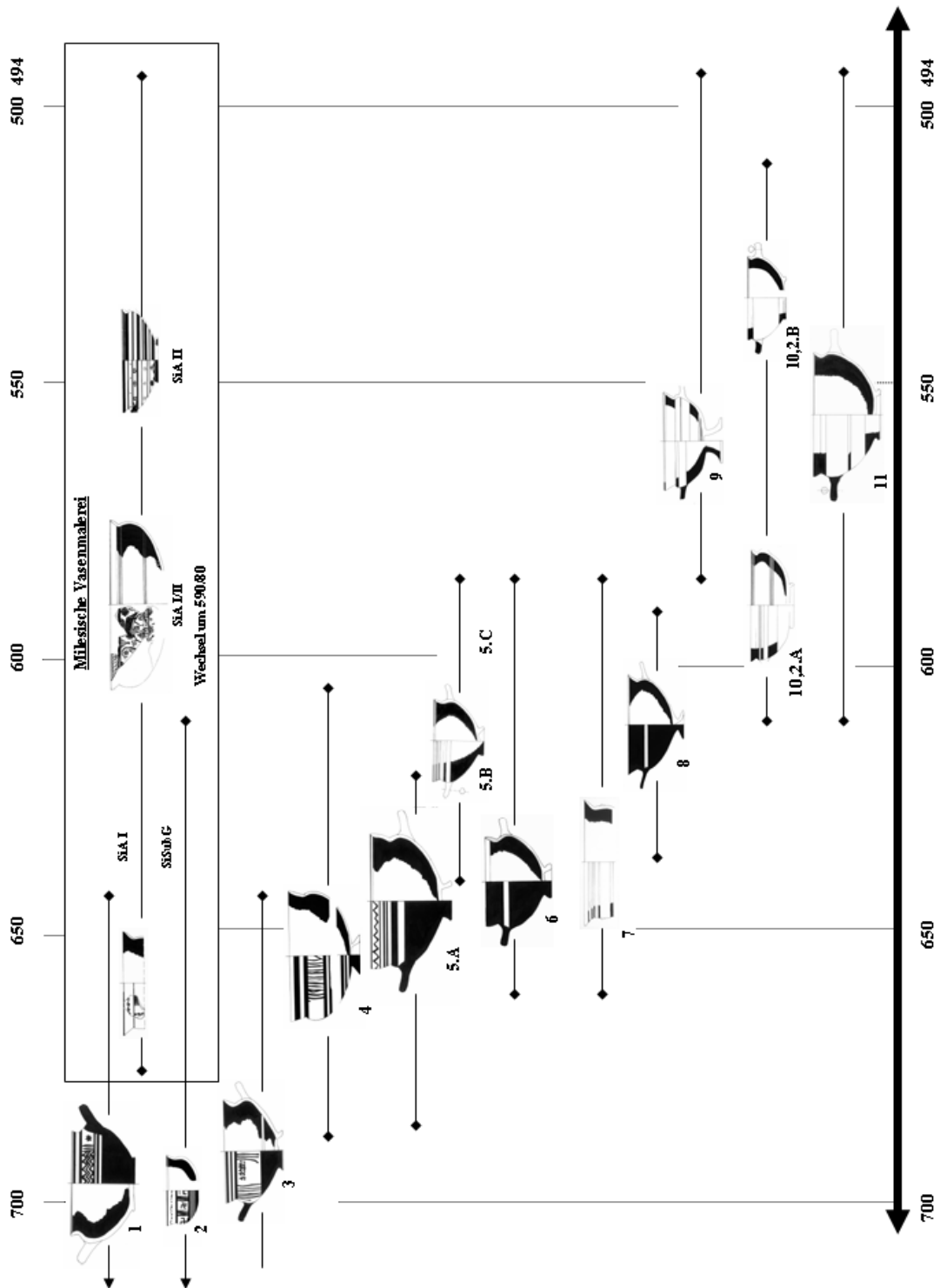


Abb. 103. Diagramm 1 Kalabaktepe-Süd, graphische Umsetzung der stratigraphischen Ergebnisse zu den milesischen KRSk und KRS.

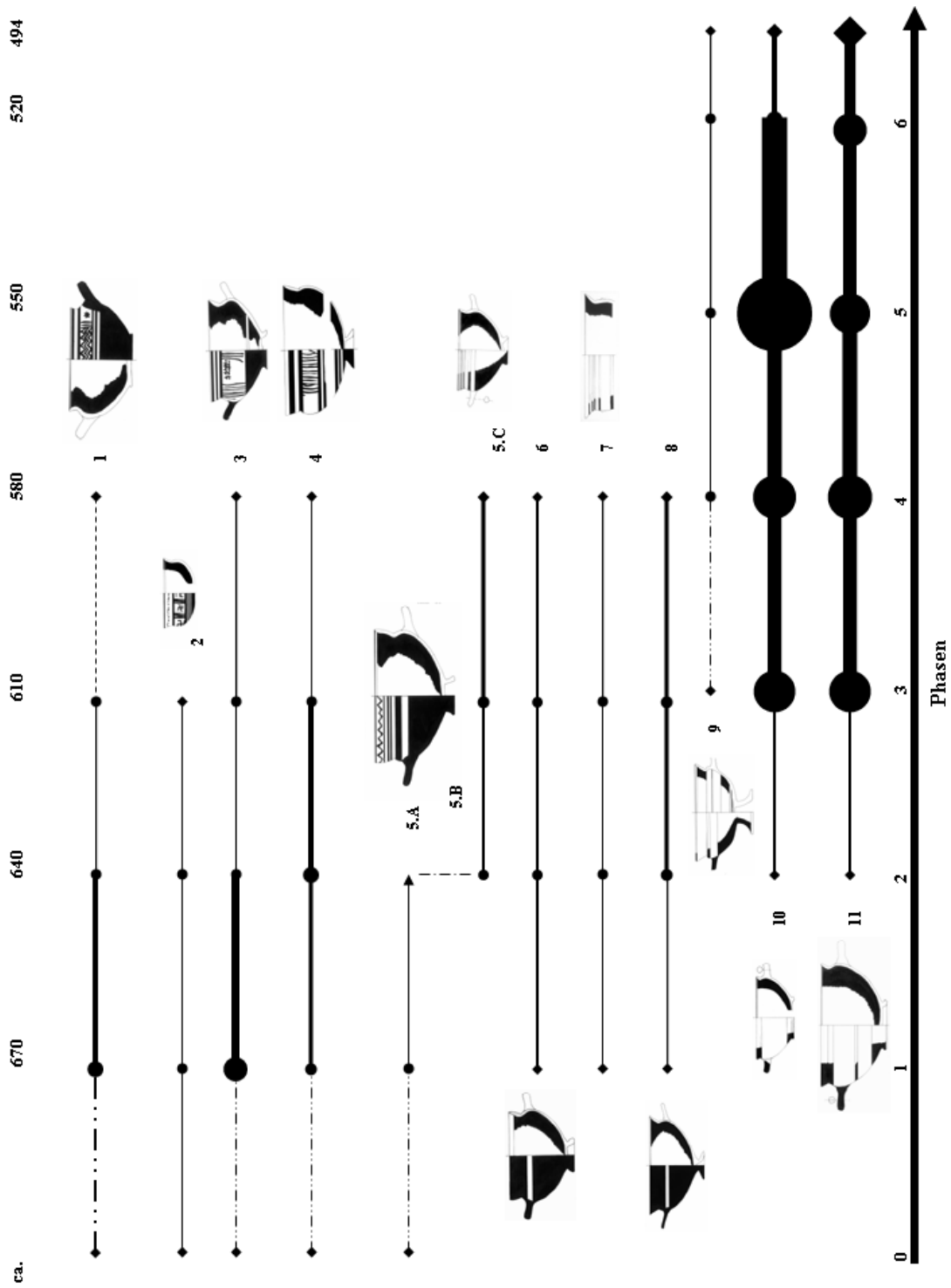


Abb. 104. Diagramm 2 Kalabaktepe-Süd, Zeittafel zu den milesischen KRSk und KRS und zur milesischen Gefäßmalerei.

7 Zur Herkunftsbestimmung der südionischen Knickrandschalen: Archäometrischer Exkurs¹¹⁰³

Wie bereits in der Forschungsgeschichte dargelegt, stellte sich den Bearbeitern ostgriechischer Keramik die Herkunftsfrage stets als ein übergeordnetes Anliegen. Besonders die im Mittelmeer- und Schwarzmeerraum häufig anzutreffende und leicht zu bestimmende Gattung der KRS war mehrfach Gegenstand solcher oder ähnlicher Fragestellungen. Bereits ihr im ausgehenden 19. Jahrhundert eingeführter und bisher gebräuchlichster Name 'Ionische Schale'¹¹⁰⁴ implizierte die Herkunft dieser Gattung in der von Ioniern bewohnten ostägäischen Region. Dies bezeichnet das Gebiet zwischen der Stadt Phokaia im Norden und der milesischen Halbinsel im Süden auf dem kleinasiatischen Festland und den vorgelagerten Inseln zwischen Chios und Samos. Dennoch wurde bis in die jüngste Zeit hinein die inzwischen stark zu differenzierende Gattung gleicher Grundform, aber mit Unterschieden im Zuschnitt des Formaufbaus wie der Dekoration, der dorischen Insel Rhodos zugewiesen. Dieser Widerspruch liegt vor allem in dem allgemein gültigen Phänomen begründet, daß eine einmal für richtig erachtete Feststellung, wie die später als falsch erwiesene rhodische Herkunft, nie rückstandslos aus der wissenschaftlichen Betrachtung verschwindet, auch wenn der Irrtum längst erwiesen worden ist¹¹⁰⁵. Im Kapitel »Forschungsgeschichte« wurden die wissenschaftshistorischen Voraussetzungen der bisherigen Zuweisungen beleuchtet. Sie sollen daher an dieser Stelle nicht wiederholt werden.

Wichtig für den nun zu betrachtenden Zusammenhang ist aber nochmals hervorzuheben, worauf die Zuweisungen zu Herstellungsorten der südionischen Keramikgattungen bisher beruhten. Besonders die Argumentationen mittels historischer Annahmen (Keramik der Mutterstädte sei besonders häufig in Kolonien anzutreffen)¹¹⁰⁶ und der Fundhäufigkeit in Grabungsplätzen (trotz der in der Regel nur wenig repräsentativen Ausschnitte ergrabener Bereiche) sind hervorzuheben¹¹⁰⁷. Vereinzelt war auch auf lange und früh einsetzende Entwicklungsreihen verwiesen worden¹¹⁰⁸.

¹¹⁰³ Der folgende Text basiert vornehmlich auf der ursprünglichen Fassung, die 2001 abgeschlossen worden ist. Sie konnte nur partiell aktualisiert und mit der wichtigsten neuen Literatur ergänzt werden.

¹¹⁰⁴ Zur Genese des Begriffs s. Kapitel »Forschungsgeschichte«.

¹¹⁰⁵ Ein Umstand, der sich noch in so manchen kürzlich erschienenen Publikationen fassen läßt. Hier sei wahllos auf einige verwiesen, die aber nicht allein stehen und vom Verfasser ohne Hintergedanken herangezogen wurden: J. Thimme, *Antike Meisterwerke im Karlsruher Schloß* (1986) 89 ff.; C. A. Picón – D. Z. Schafter in: H. A. Shapiro – C. A. Picón – G. D. Scott III, *Greek Vases in the San Antonio Museum of Art* (1995) 267 Abb. 177 (rhodisch statt südionisch/milesisch). Auch bei Utili 1999, 6 ff. ist festzustellen, daß er die alten Zuweisungen aus der Forschungsgeschichte zu den einzelnen ostgriechischen Keramikgattungen zitiert, bei seiner Auswahl häufig trotz mehrerer Möglichkeiten besonders die rhodische Herkunft einzelner Bearbeiter angibt, ohne sich von diesen teils längst durch neuere Arbeiten und naturwissenschaftlich gestützte Untersuchungen überholten Zuweisungen zu distanzieren (z. B. zu den Vogelschalen ebenda 6; zu »importierten Tellern« ebenda 27).

¹¹⁰⁶ Vor allem bei Lambrino 1938 gut zu verfolgen (vgl. Kapitel »Forschungsgeschichte«).

¹¹⁰⁷ Vgl. die Äußerungen von Furtwängler (für Samos), v. Graeve (für Milet) u. a. im Kapitel »Forschungsgeschichte«.

¹¹⁰⁸ s. vorige Anm. und T. Van Compernelle in: M. Bats – G. Bertucchi – G. Conges – H. Treziny (Hrsg.) *Marseille grecque et la Gaule* (1992) 462.

Doch die Tatsache, daß besonders in der Ostägäis viele wichtige archaische Zentren entweder noch nicht identifiziert wurden oder schlecht publiziert sind, verurteilte jeden Versuch von vornherein zu einem spekulativen Unterfangen, mittels der genannten Argumentationsgrundlagen eine regionale Zuweisung der ostgriechischen Keramik vorzunehmen. Städte wie Teos, Kolophon, Magnesia oder Priene sind im Hinblick auf die Zusammensetzung ihrer archaischen Keramik unbekannt¹¹⁰⁹. Von Erythrai, Pitane, Klazomenai, Phokaia, Smyrna, Ephesos oder Milet – Städte aus denen bisher nur Weniges bekannt gemacht worden war – hob sich lediglich Samos ab, dessen reiche archaische Fundvorkommen auch verhältnismäßig umfassend publiziert wurden¹¹¹⁰. Hier allerdings ist der Hauptfundort der Keramik, ein internationales Heiligtum, nicht geeignet, um mittels der genannten Methoden Zuweisungen zu bestimmten Landschaften oder einzelnen Zentren vorzunehmen. Die Untersuchungen von Walter und Walter-Karydi haben beispielsweise gezeigt, daß die Beurteilungen nach der Kriterienkombination von Fundhäufigkeit und Qualität unter den gegebenen Bedingungen zu einer starken Überbewertung des samischen Anteils und zu manch anderer Fehleinschätzung der kunstlandschaftlichen Zuweisung führten. Ihre Hypothese einer samischen Führungsrolle unter den Keramikzentren der Ostägäis ist inzwischen widerlegt worden¹¹¹¹.

Eine Zäsur in den Untersuchungen zur Herkunftsfrage antiker materieller Hinterlassenschaften bedeutete die Integration naturwissenschaftlicher Methoden zu einem interdisziplinären Forschungsgebiet: der Archäometrie.

7.1 Die Archäometrie als Methode der Herkunftsbestimmung

Ausgehend von frühen Versuchen seit der zweiten Hälfte des 19. Jahrhunderts, die Eigenschaften des Scherben nach Tonqualität, Tonzusammensetzung oder Tonfarben zu Gruppenbildungen heranzuziehen und so Rückschlüsse für die Herkunftsbestimmung zu gewinnen, gehören diese 'makroskopischen' Bestimmungen in modernen Publikationen zum Standard¹¹¹². Die Aussagekraft solcher Bestimmungen, die in der Regel vom Archäologen ohne petrologische oder geologische Vorkenntnisse und meist ohne entsprechende technische Hilfsmittel wie Mikroskope angewendet werden, gilt inzwischen aber als fragwürdig. Bodenlagerung, Brenntemperaturen und Reinigungsmethoden, wie das Entsintern mit Säuren, verändern vor allem die Farberscheinung oder

¹¹⁰⁹ Entweder, weil sie noch nicht entdeckt sind oder weil die Keramik aus identifizierten Orten, an denen schon der Spaten angesetzt wurde, bisher im Wesentlichen unpubliziert geblieben sind.

¹¹¹⁰ Vgl. etwas die Samos-Bände oder Technau 1929; Eilmann 1933; Kunze 1934; Walter 1957; Walter – Vierneisel 1959; Kopcke 1968; Furtwängler 1980.

¹¹¹¹ Vor allem infolge der naturwissenschaftlichen Untersuchungen und neuer Grabungen in Zentren wie Klazomenai, Ephesos und Milet hat sich das von den beiden genannten Forschern entwickelte Bild verändert, vgl. hierzu ausführlich M. Kerschner, in: Akurgal u. a. 2002, 28 ff. 63 ff. und die Ausführungen im Folgenden.

¹¹¹² Vgl. die ausführliche Würdigung der Methoden zur Wareneinteilung einzelner Pioniere wie Petri und Eilmann sowie Technau bei M. Kerschner in: Akurgal u. a. 2002, 33 f. Siehe auch die Bemühungen und Ergebnisse in gleicher Richtung in der jüngeren Vergangenheit etwa in Didyma, Th. Schattner, Die Fundkeramik vom 8. bis zum 4. Jahrhundert v. Chr., Didyma III 4 (2007) 40 ff. 51 ff. (J. Riederer).

beeinflussen das subjektive Qualitätsurteil¹¹¹³. Ganz zu schweigen von den Scherben, die sekundär verbrannt wurden, beispielsweise infolge lokaler Brände (Küche, Hausbrand) oder kriegerischer Auseinandersetzungen.

Die Überbewertung solcher Beobachtungen führte zu Beurteilungen wie der von Voigtländer in Milet, der meinte, anhand der unterschiedlichen Farbwerte der Glimmerzusätze im Ton zwischen milesischer (mit »Goldglimmer«) und nicht milesischer Keramik (mit »silbrigem Glimmer«) unterscheiden zu können¹¹¹⁴. Nachdem er also das *tertium comparationis*¹¹¹⁵ für die einheimischen Tonsorten im besagten Goldglimmer gefunden zu haben glaubte, bemerkte er: »Nachdem milesische Tongefäße durch die **goldfarbenen Zusätze** bestimmt werden können, sind zwei größere Vasengruppen, die bisweilen als milesisch gelten, aus der einheimischen Produktion wieder auszuscheiden. [...] Gleichermaßen muß auch die Menge der ionischen Schalen mit ihren abgesetzten, oft hohen Rändern und den immer scharfkantig profilierten Standringen als *Import* angesehen werden. Vergleicht man diese Gruppe mit einheimischer Keramik, so unterscheiden sich diese ionischen Schalen von allen milesischen Gefäßen durch die **Farbigkeit ihrer Oberflächen**. Auch entsprechen die scharfkantigen Standringe dieser Vasen kaum **milesischem Formempfinden**«¹¹¹⁶.

Bei den »goldfarbenen Zusätzen« handelt es sich um Silikate, die je nach Lichteinfall anders erscheinen können¹¹¹⁷. Zunächst wäre entsprechend zu fragen, inwieweit tatsächlich verschiedene Silikate mit unterschiedlicher Erscheinungsform für die Geologie der Region typisch sind und ob diese nicht auch bei der Weiterverarbeitung durch den Töpfer herausgefiltert oder zugegeben werden konnte. Solange diese Fragen ungeklärt sind, hat das Vorhandensein oder Fehlen dieser »goldfarbenen Zusätze« als Kriterium für eine Herkunftsbestimmung zu entfallen. Auch die Beurteilung der Oberflächenfarbigkeit, die durch Bodenlagerung¹¹¹⁸ unterschiedlich bedingt sein kann, und das

¹¹¹³ So beurteilte Hanfmann 1956, 173 eine Gruppe von KRS als lokal: »Finally, ›Ionian‹ cups were imitated at Tarsus in native techniques. [...] It was made in ›native‹ (but not Tarsian?) clay with brown slip and burnish.«

¹¹¹⁴ W. Voigtländer in: KollFrankfurt 46 ff., bes. 50 und 52.

¹¹¹⁵ Ebenda 46.

¹¹¹⁶ Ebenda 50. (Hervorhebungen Verfasser).

¹¹¹⁷ Vergleiche hierzu die naturwissenschaftliche Erklärung bei J. Riederer, Archäologie und Chemie (1987) 186 »Die Glimmer Muscovit, Biotit und Chlorit, die in Keramik häufig sind, [...]. Unterscheiden lassen sie sich durch ihre Färbung bzw. das Merkmal des Pleochroismus, d. h. von der optischen Orientierung abhängigen Farbtones.«

¹¹¹⁸ Schon im Stadtgebiet Milets sind zu verschiedenen Zeiten und an verschiedenen Stellen unterschiedliche Bedingungen zu erwarten gewesen und heute noch vorzufinden. Gegen die vom hohen Grundwasserspiegel geprägten sehr feuchten Gebiete um den Athena-Tempel, dem Bouleuterion und der sog. Südmauer setzen sich die höher gelegenen Gebiete des Osthangs des Theaterhügels, der Kalabaktepe und der Zeytintepe, auf dem das Aphrodite-Heiligtum in weiten Teilen aufgedeckt wurde, ab. Doch auch an den geschützten, trockeneren Bereichen herrschten und herrschen unterschiedliche Bedingungen für die hier eingelagerten Fundmaterialien. Besonders kalkreiche Orte wie der Zeytintepe bildeten im Zusammenspiel mit dem Fließwasser, das infolge starker Regengüsse Kalk herauswusch, eine sog. Sinterschicht um die Objekte. Hier konnte es also zu verschieden intensiven Einlagerungen bodenbedingter Elemente im Tonscherben kommen. Darüber hinaus verändert sich die Oberflächenbeschaffenheit der Keramik infolge der angewandten Methode der Entsinterung mit Säure oder mechanischem Abheben. Schon am Kalabaktepe wurde sowohl Keramik mit unterschiedlichem Versinterungsgrad vorgefunden, wie auch solche ganz ohne, was von ihrer zufälligen, mehr oder minder günstigen Bodenlagerung in unmittelbarer räumlicher Nähe abhing.

»milesische Formempfinden«, das der Verfasser dieser Arbeit im Einklang mit vielen Kollegen nicht im gleichen Maße empfindet wie Voigtländer oder Walter, der ähnlich argumentierte, können dementsprechend nicht als objektivierbare Beurteilungskriterien angesehen werden.

Eine neue Ebene zur Beurteilung der Tonzusammensetzung wurde aber aus diesen Anfängen, die ein zunehmend naturwissenschaftliches Interesse der Archäologen an dem Werkstoff ihres wissenschaftlich befragten Objektes anzeigen, durch die intensive Zusammenarbeit mit Wissenschaftlern naturwissenschaftlicher Gebiete in den späten 1960er und frühen 1970er Jahren erreicht¹¹¹⁹. Die Kombination von geologischen Daten eines Fundortes oder in Frage stehenden Produktionsortes mit den chemisch und petrographisch untersuchten Tonlagerstätten sowie den Rohtonen, Fehlbränden und vor Ort gefundenen Keramik führte unabhängig von rein archäologischen Kriterien zu chemischen Gruppenbildungen auf der Grundlage des Werkstoffes, der Tonpaste¹¹²⁰. Nicht nur Herkunftsbestimmungen sind Gegenstand dieser Untersuchungen¹¹²¹, sondern dieser noch recht junge Wissenschaftszweig thematisiert darüber hinaus Fragen der Herstellungstechniken¹¹²² oder der Datierungsmöglichkeiten¹¹²³, um nur einiges zu nennen. Seit den 1960er Jahren bilden also die stets verfeinerten Analysemethoden zur Bestimmung der chemischen Elementmuster für die Klassifizierung und Herkunftsbestimmung eine unabhängige Methode neben der hergebrachten archäologischen¹¹²⁴. Vieles ist bereits zu diesem noch verhältnismäßig jungen Wissenschaftszweig geschrieben worden. Seine Ziele, Aufgaben, Methoden und Grenzen sind in verschiedenen Handbüchern zusammengetragen und müssen hier nicht wiederholt werden¹¹²⁵.

Es ist vor allem das Verdienst von Dupont, diese Methode seit 1976 für die Keramik der ostgriechischen Städte der Ostägäis und ihrer Kolonien in der Schwarzmeerregion fruchtbar gemacht zu haben¹¹²⁶.

¹¹¹⁹ Die Zusammenarbeit von Archäologie auf der einen und Naturwissenschaften auf der anderen Seite hat mit der Gründung des 'Chemischen Laboratoriums der Königlichen Museen zu Berlin' (heute nach Friedrich Rathgen, seinem ersten Direktor, Rathgen-Forschungslabor genannt) inzwischen eine über 100-jährige institutionalisierte Tradition (J. Riederer, *Archäologie und Chemie* [1987] 13 f.). Chemische Analysen von Keramik haben sich seit den späten 1960er Jahren entwickelt (ebenda 187 ff.).

¹¹²⁰ Mommsen definiert den Begriff »Tonpaste« folgendermaßen: »Keramik wird ja aus einem durch den Töpfer wohl homogenisierten Tonball, der Masse, erzeugt. Nach einem ihm gewohnten Rezept säubert er den Rohton, schlammte grobe, nichtplastische Anteile aus, mischte verschiedene Tone oder setzt bei fetten Tönen auch Magerungsanteile zu. [...] Die Summe dieser Aufarbeitungsschritte bestimmt die Elementzusammensetzung der Masse (engl. paste, Tonpaste), aus der dann die Gefäße geformt und gebrannt werden«, Mommsen in: Akurgal u. a. 2002, 12.

¹¹²¹ Noch immer maßgeblich die Abhandlungen von Mommsen 1986, 127 ff.; ders. in: Akurgal u. a. 2002, 11 ff.

¹¹²² Mommsen 1986, 65 ff. bes. 80 ff.

¹¹²³ Ebenda 194 ff.

¹¹²⁴ Mommsen in: Akurgal u. a. 2002, 11 ff.; vgl. auch Riederer a. O. 193.

¹¹²⁵ Vgl. etwa Z. Goffer, *Archaeological Chemistry* (1980); Jones 1986; H. Mommsen, *Archäometrie* (1986); J. Riederer, *Archäologie und Chemie* (1987).

¹¹²⁶ P. Dupont, *RArcheom* 1, 1977, 105 ff.; ders. in: *CollNeapel* 290 ff.; ders. in: M. Coja – P. Dupont, *Histria* 5 (1979) 64 ff.; Dupont 1983; ders. in: *KollFrankfurt* 57 ff.; ders. in: Krinzing 2000, 445 ff.; vgl. auch die Würdigung von M. Kerschner in: Akurgal u. a. 2002, 33.

7.2 Die Fragestellung der aktuellen Untersuchung

Unter den keramischen Gattungen der archaischen Epoche standen, wie anderswo so auch in Milet, bisher vorwiegend die Transportamphoren im Mittelpunkt des Interesses¹¹²⁷. Neben Vorratsamphoren eignen sie sich ihrer Bestimmung zufolge besonders, um Fragen des Handels zu beleuchten, da sie als reine Beförderungscontainer vermutlich als 'Einwegware' im modernen Sinne Verwendung fanden. Wie sonst wären die ungeheuren Mengen an Amphorenresten in den Ausgrabungsorten zu verstehen. Hier setzt nun der offensichtliche Nutzen der archäometrischen Untersuchungen im Hinblick auf die Herkunftsfrage ein¹¹²⁸. Mit sogenanntem Referenzmaterial, also bereits als lokal bestimmten Keramikgattungen, Tonlagerstätten oder gar mit Fehlbränden, läßt sich quasi ein chemischer 'fingerprint'¹¹²⁹ ermitteln, der der Keramik eines Produktionsbereiches eigen ist¹¹³⁰. Vergleicht man nun diesen chemischen 'fingerprint' eines Fundortes mit denen der vorgefundenen Amphoren, so lassen sich schnell die Importe von den lokalen Produkten scheiden. Je mehr lokale 'fingerprints' vor allem von vermuteten Herstellungsorten der Amphoren bekannt sind, um so sicherer können dann die einzelnen Amphorentypen ihren Produktionsorten zugewiesen werden. Die Fragestellung und die vorgefundenen Prämissen zu den Amphoren können aber nicht vorbehaltlos auf die KRS des gleichen Betrachtungszeitraumes übertragen werden.

Denn zunächst ist auch bei den südionischen KRS und der Gefäßmalerei südionischer Provenienz die Herkunftsfrage ein Thema, das die Forschung nachhaltig beschäftigt und als noch nicht gelöst gilt¹¹³¹. Dies bezieht sich nicht nur auf die vermutete Heimat dieser Gattungen, sondern im gleichen Maße auch auf die Kolonien und Handelsposten (*emporía*), in denen dieser Schalentypus eine der häufigsten registrierten und diskutierten Keramikgattungen darstellt. Im Rahmen der Diskussionen hinsichtlich der Beziehungen von Kolonien und Mutterstätten beispielsweise wird den Keramikgruppen, von denen man glaubt, ihre Herkunft bestimmen zu können, eine besondere Rolle zuerkannt. Die südionischen KRS und die südionische Gefäßmalerei des 7. und 6. Jhs. v. Chr. gehören zu den

¹¹²⁷ M. Seifert, Herkunftsbestimmung archaischer Keramik am Beispiel von Amphoren aus Milet, BAR International Series 1233 (2004); M. Seifert – Ü. Yalçın in: Arkeometri Sonuçları Toplantısı 10 (1995)15 ff.; dies. in: Arkeometri Sonuçları Toplantısı 11 (1996) 117 ff. Weitere Aufsätze der Autorin zum Thema wiederholen die eben genannten Darstellungen (M. Seifert, Hephaisstos 14, 1996, 29 ff.; dies. in: R. Rolle – K. Schmidt [Hrsg.], Archäologische Studien in Kontaktzonen der antiken Welt. Festschrift H.-G. Niemeyer [1998] 131 ff.; dies., MünstBeitr 19, 2000, 1 ff.); C. A. de Domingo – A. W. Johnston in: A. Sinclair – u. a. (Hrsg.) Archaeological Science 1995 (1997) 62 ff.; P. Dupont in: Sesto Congresso Internazionale di Egittologia, Torino 1 (1992) 153 ff.; ders. in: R. M. Cook – P. Dupont, East Greek Pottery (1998), 142 ff. (mit weiterführender Literatur); ders. in: J. Cobet u. a. 2007, 621 ff.

¹¹²⁸ Ein anschauliches Beispiel für den Beginn und den Erfolg der chemisch-analytischen Herkunftsbestimmung von griechischen Amphoren wird von Riederer a. O. 189 ff. aufgezeigt.

¹¹²⁹ Der Begriff in diesem Zusammenhang schon bei P. Dupont in: M. Coja – P. Dupont, Histria 5 (1979) 68; zuletzt H. Mommsen in: Akurgal u. a. 2002, 11.

¹¹³⁰ Zu den vorläufigen Ergebnissen über die lokalen Amphoren von Milet und solchen, die als importiert gelten vgl. M. Seifert, Herkunftsbestimmung archaischer Keramik am Beispiel von Amphoren aus Milet, BAR International Series 1233 (2004); weitere Literatur s. o. Anm. 1127.

¹¹³¹ So auch M. Seifert, Hephaisstos 14, 1996, 33 Anm. 9; M. Kerschner in: Akurgal u. a. 2002, 38 f. 51.

Gattungen, die in diesem Zusammenhang häufig befragt wurden¹¹³². Auch sie – ähnlich wie die Amphoren – sind darüber hinaus für Fragen des Handels und der Handelsrouten interessant¹¹³³. Obwohl die Entdeckungen in Schiffswracks klar machen, daß solche Gefäße auch vermarktet wurden¹¹³⁴, sind doch Zweifel angebracht, daß sich die archaischen KRS in nahezu jedem Fundort des Mittelmeer- und Schwarzmeergebietes nur durch Import aus ostionischen Produktionsorten erklären läßt. Diese Vermutung wird zunehmend zur Gewißheit, da die Funde von Keramikbrennöfen oder deutlichen Fehlbränden von KRS¹¹³⁵ in unteritalischen Städten und erste naturwissenschaftliche Analysen aus diesen Orten bekannt gemacht wurden¹¹³⁶. Eine sizilische Produktion von KRS südionischen Typs mit einer Bemalung, die an Fikellurastil erinnert, auch wenn hier die Ritztechnik angewendet wurde, konnte in Katane (Catania) nachgewiesen werden (vgl. hier **620**)¹¹³⁷. Somit ist also auch mit lokalen Nachahmungen der keramischen 'Exportschlager' zu rechnen, was bereits seit längerem vermutet wurde¹¹³⁸. Hier ist nicht der Ort, um den Fragen des Handels und der

¹¹³² Z. B. hinsichtlich der Fragen zur Beziehung zwischen Kolonie und Mutterstadt: so etwa unter den Funden der literarisch überlieferten Gründung Naukratis, an der mehrere Städte Ostgriechenlands beteiligt waren vgl. Boardman 1981, 138 ff.; bei Fragen der Handelsbeziehungen der spanischen Orte z. B. P. Cabrera Bonet in: J. F. Jurado (Hrsg.), *Huelva Arqueologica* 10/11,3, 1988/89, 43 ff. um nur Einiges zu nennen.

¹¹³³ Eine Zusammenstellung der bekanntesten Schiffswracks archaischer Zeit findet sich bei L. Long – J. Miro – G. Volpe, *Les épaves archaïques de la pointe Lequin*, in: M. Bats – G. Bertucchi – G. Conges – H. Treziny (Hrsg.) *Marseille grecque et la Gaule* (1992) 228 ff. Auch hier fällt auf, daß besonders Amphoren und Trinkschalen als Massenware verhandelt wurden.

¹¹³⁴ Besonders vor der französischen Küste und der Westküste Italiens sind Schiffswracks des 6. Jhs. v. Chr. entdeckt worden, die in erheblichem Umfang KRS des besprochenen Typs mit sich führten. Vorläufig ist auf die Vorberichte zu verweisen: s. Anm. zuvor.

¹¹³⁵ Vgl. etwa D. Adamesteanu in: *CollNeapel* Taf. 146, 13.

¹¹³⁶ Vgl. z. B. Long – Miro – Volpe a. O. 204 mit Anm. 5; zur Frage der Imitation von Keramik in Produktionsorten Großgriechenlands wie Sybaris, Tarent, Metapont, Kaulonia: T. Van Compernelle, ebenda 462 und 466. Die publizierten Wortmeldungen Van Compernelles beziehen sich auf eine kontroverse Diskussion nach den Vorträgen von F. Villard (ebenda 164 ff. bes. 166) und Long – Miro – Volpe (ebenda 200 ff. bes. 203 f.), in denen die Herkunftsfragen gerade der KRS ('Tonische Schalen') eine wesentliche Rolle spielten. Es sei nur als ein Beispiel für viele Kongresse herangezogen, in denen diese Frage so oder ähnlich behandelt wurde. Die Aporie, in die man geraten war, ist den Wortmeldungen noch zu entnehmen, wenn etwa Villard nach der selbst gestellten Frage der ursprünglichen Herkunft der Schalen am Ende des 6. Jhs. v. Chr. aus dem Schiffswrack *Pointe Lequin* 1A feststellt: »Le problème reste ouvert« (ebenda 465) oder Van Compernelle dann bereits »d'analyses chimiques« (ebenda 466) ins Treffen führt. Im Osten konnte Dupont (1983, 36) für Histria bereits eine Werkstätte naturwissenschaftlich nachweisen, die südionische Gefäßmalerei der Stufe SiA II auf verschiedenen keramischen Formen nachahmte. Besonders hinsichtlich der milesischen Gefäßmalerei liegen inzwischen einige neue Ergebnisse vor, die Milet als Hauptproduzent des sog. MWG II-Stils oder des Fikellurastils erwiesen habe, s. zuletzt zum MWG II style (SiA Ic–d/MileA Ic–d) Schlotzhauer 2012, 43, 119 f.

¹¹³⁷ Zuvor schon Schlotzhauer in Lentini 2008, 73 ff. (hier noch fälschlich Gela als Produktionsort genannt); vgl. aber auch Th. van Compernelle, *Coppe di tipo ionico*, in: E. Lippolis (Hrsg.), *I Greci in Occidente. Arte e artigianato in Magna Grecia. Taranto, ex Convento di San Domenico, 29 giugno 1996* (Neapel 1996) 299 ff., der hier verschiedene mögliche Produktionsorte lokaler Nachahmungen südionischer Knickrandschalen auflistet und kurz beschreibt. Eine mögliche Produktion in Sibari scheint auch naturwissenschaftlich an der Universität Saarbrücken untersucht worden zu sein.

¹¹³⁸ Zur vermuteten Nachahmungen bereits F. Villard, *MEFRA* 63, 1951, 17 Anm. 2 Taf. 5, 13; Vallet – Villard 1955, 17 Anm. 3; vgl. weiter P. G. Guzzo in: *CollNeapel* 123; Boldrini 1994, 137 mit Anm. 3. Weitere Vermutungen zu Nachahmungen von südionischen KRS für Nordafrika J. Hayes in *Tocra* 1, 143 (mit einer kurzen Diskussion zum Problem allgemein ebenda 111); für den Osten: Hanfmann 1956, 173. Im Ansatz wurde für die archaischen Amphoren das Problem der Imitation nicht lokaler Formen in Milet von M. Seifert – Ü. Yalçın (in: *Arkeometri Sonuçları Toplantısı* 11 [1996] 120 ff.) behandelt.

Nachahmungen sowie der außerionischen Produktionen von KRS nachzugehen. Die Forschungen zu diesem Thema haben eine geographische Dimension erreicht, die von Einzelnen und in kurzer Zeit nicht zu lösen sein wird. Zudem zeigt sich immer deutlicher, daß die Untersuchungen an einem Ort vielschichtiger und teilweise schwieriger zu interpretieren sind, als es ursprünglich zu vermuten war. Ein Überblick über die archäometrischen Untersuchungen zur Fragestellung der Herkunft der KRS aus den wichtigsten Orten ihrer Präsenz wird daher noch auf sich warten lassen.

Milet ist aber sicher einer der Orte, von denen aus die Entwicklung dieser Schalengattung ihren Ursprung und ihre Verbreitung nahm, was zuvor hinreichend mit Argumenten belegt worden ist. Überdies hat nach der schriftlichen Überlieferung Milet von allen archaischen Städten die größte Anzahl an Kolonien gegründet. Daher scheint es lohnend, die vielseitige Produktionspalette der KRS aus Milet selbst zu untersuchen. Mit den Ergebnissen zum milesischen Material wäre dann ein wichtiges Zentrum als potentieller Exporteur bekannt gemacht.

7.3 Bisherige Ergebnisse zu den Knickrandschalen und zur südionischen Gefäßmalerei

An erster Stelle sind die Arbeiten von Dupont zu nennen, die nicht nur den ersten Versuch einer naturwissenschaftlichen Untersuchung zur ostionischen Keramik darstellen, sondern vor allem regional am weitesten gefächert sind und auf der größten Materialmenge beruhen. Seit 1976 führt er im Laboratoire de Céramologie in Lyon Herkunftsuntersuchungen zur ostgriechischen Keramik mit der Methode der Röntgenfluoreszenzanalyse durch¹¹³⁹. Besonders die Ergebnisse zu Rhodos und Samos legten eine für die Zeit der Bekanntmachung erstaunliche Revision der Forschungsmeinung nahe. So bedeuteten Duponts Ergebnisse, die er mit den deutlichen Worten »la fin du mythe Rhodien«¹¹⁴⁰ beschrieb, das Ende der in der frühen Forschungsgeschichte begründeten angeblichen Vorherrschaft rhodischer Werkstätten unter den ostgriechischen Produktionsorten¹¹⁴¹. Als ebenso weitreichend sind seine Aussagen zur bemalten Keramik der Stufe SiA Ic–d (MWG II style) und SiA II (Fikellurastil) zu werten. Gingen die Bearbeiter zuvor von den Produktionsstätten Rhodos und Samos (Cook, Eilmann, Hohmann-Wedeking, Schiering) oder von einem 'führenden' Zentrum Samos und geringeren Produktionsorten in der Peripherie wie Milet, Ephesos, Rhodos usw. aus (Walter, Walter-Karydi), zeigten die Untersuchungsergebnisse Duponts, daß es wahrscheinlich nur ein Herstellungszentrum der bemalten Keramik der Stufe SiA Ic–d und SiA II gab, nämlich Milet¹¹⁴². Trotz der teils eindeutigen Analyseergebnisse fanden seine Resultate lange Zeit kaum Widerhall in der

¹¹³⁹ P. Dupont in: M. Coja – P. Dupont, *Histria* 5 (1979) 92 ff.; zur Methode s. auch J. Riederer, *Archäologie und Chemie* (1986) 44, 193 f.; H. Mommsen, *Archäometrie* (1986) 99 ff.; Jones 1986, 17.

¹¹⁴⁰ Dupont 1983, 37.

¹¹⁴¹ Ders. in: *KollFrankfurt* 62.

¹¹⁴² Dupont 1983, 34; ders. in: *KollFrankfurt* 61 ff.

Forschung zur ostgriechischen Keramik¹¹⁴³. Erst spät haben sie eine breitere Würdigung und Akzeptanz erhalten. Zunächst übernahm Schaus in seinem Artikel von 1986 die archäometrische Zuweisung Duponts der gesamten Produktion der Fikellurastil-Keramik der Stufe SiA II an Milet¹¹⁴⁴. Cook stimmte 1987 den Ergebnissen von Dupont zur Stufe SiA I zögerlich und zur Stufe SiA II überzeugt zu. In die Handbücher fanden seine Ergebnisse dann Ende der 1990er Jahre Eingang¹¹⁴⁵. Auch die KRS mit einfachem Dekor können infolge der Analyseergebnisse Duponts nun sicher mit Milet und Samos in Verbindung gebracht werden¹¹⁴⁶. Nur eine kleine Serie von KRS eigenen Gepräges spricht nach heutigem Stand für eine lange Zeit überschätzte rhodische Produktion¹¹⁴⁷. Deutlich hat Kerschner die Untersuchungen Duponts in seinen Arbeiten gewürdigt und gemeinsam mit Mommsen weiter vorangetrieben. Die endgültigen Ergebnisse der letztgenannten Forscher stehen aber noch aus¹¹⁴⁸.

Dagegen nahm die ostgriechisch archaische Keramik in den Arbeiten von Jones nur einen Teil seiner umfangreichen Analysen zur griechischen und zyprischen Keramik von prähistorischer bis in byzantinische Zeit ein¹¹⁴⁹. Die ostgriechische Keramik wurde in Oxford (Research Laboratory for Archaeology) und in Athen (Fitch Laboratory at the British School) mit der Methode der optischen Emissionsspektroskopie untersucht¹¹⁵⁰.

Jones und Boardman konnten allerdings kaum auf Proben aus den ostgriechischen Zentren zurückgreifen. Ausgangspunkt bildeten für sie vor allem die Funde in britischen Museen aus Al Mina, Naukratis und Tocra. Als Referenzmaterialien für die vermuteten Keramikzentren der Ostägäis blieben ihnen lediglich Keramik späterer Epochen, Rohtone und Keramik aus heutiger Produktion. Auf solche Referenzen mußten sie im Wesentlichen für die Orte an der westkleinasiatischen Küste verzichten¹¹⁵¹.

¹¹⁴³ Noch 1998 zitiert E. Walter-Karydi (in: V. Karageorghis – N. C. Stampolidis (Hrsg.), *Eastern Mediterranean: Cyprus – Dodecanese – Crete 16th-6th cent. B. C.* Symposium Rethymnon 1997 (1998) 295) die Ergebnisse von Dupont und setzt sich gleichwohl über diese hinweg, indem sie weiterhin den größten Teil der Tierfriesstil- (SiA I) und Fikellurastil-Keramik (SiA II) südionischen Charakters für rhodische Nachahmungen beschreibt.

¹¹⁴⁴ Schaus 1986, 283.

¹¹⁴⁵ Cook 1997, 112 (SiA I); 127 (SiA II); ders. 1998, 36; 43 f. (SiA I); 77 (SiA II); Boardman 1998, 142 f. 147 f.

¹¹⁴⁶ Cook 1998, 129.

¹¹⁴⁷ Cook 1997, 137; Cook 1998, 114 f.; Boardman 1998.

¹¹⁴⁸ Kerschner 1997a, 22; Kerschner 1997b, 208 beruft sich bereits auf die naturwissenschaftlichen Ergebnisse bezüglich SiA I-Keramik. Zu den nordionischen Vogelschalen konnten Kerschner – u. a., *Archaeometry* 35 (1993) 197 ff. und dies. in: G. Schulze – K. Slusallek (Hrsg.), *Archäometrie und Denkmalpflege. Tagung Wien 1997* (1997) 138 ff. bereits die Ergebnisse Duponts stützen und mit einer breiteren und verfeinerten Studie zur Gattung Werkstattgruppen bilden sowie ein differenziertes Bild von Haupt- und Nebenproduktionen an unterschiedlichen Orten nachweisen.

¹¹⁴⁹ Jones 1986.

¹¹⁵⁰ Jones 1986, 2 ff. (zu Methode und Orten); 659 ff. (zu den Tonproben ostgriechisch geometrischer und archaischer Keramik); zur Methode der optischen Emissionsspektroskopie ebenda 17 und 883 ff. (Appendix A); Mommsen 1986, 98 f.; J. Riederer, *Archäologie und Chemie* (1986) 40.

¹¹⁵¹ Zu den wenigen Tonproben, über die sie direkt aus Orten an der westkleinasiatischen Küste verfügten, zählten sechs archaische Fragmente von Tierfriesstil-Keramik aus Bayraklı (Jones 1986, 307 und 366 Anm. 103) sowie drei Vogelschalen, fünf Fragmente von Tierfriesstil-Keramik, ein 'monkey'-Gefäß und ein 'Red Ware'-Fragment aus den alten Grabungen in Ephesos, heute im B.M. London (ebenda 308 und 366 Anm. 104). Diese einerseits sicher aus den beiden genannten Orten stammenden Vasen können auf der

Dementsprechend waren ihre Zuweisungen komplizierter als die Duponts. Es verwundert daher kaum, daß Boardman die nach Südionien weisenden Gruppen Ionian A und B aus archäologischer Sicht als »uninformative« (Ionian B) oder »inhomogen« (Ionian A) bezeichnet¹¹⁵². Im Wesentlichen befand dann auch Jones: »it is easier to make negative, rather than positive, statements about this group«¹¹⁵³. Doch konnten die Analysen auch Bestätigungen einiger Ergebnisse Duponts liefern. Beispielsweise stellte sich auch nach ihren Analysen Rhodos nicht als Heimat der sog. südionischen Tierfriesstil-Keramik (EWG – MWG/SiA I) und der sog. Fikellurastil-Keramik (SiA II) dar. Dies geht implizit daraus hervor, daß die beprobten Beispiele dieser Gattungen aus Al Mina, Naukratis und Tocra nie mit den rhodischen Referenzgruppen zusammengingen. Somit bleiben auch bei ihnen ähnlich wie bei Dupont einzig die sog. Vroulia-Schalen und formähnliche KRS sowie die schwarzfigurigen Situlen weithin rhodische Produkte¹¹⁵⁴.

Weitere mit gezielten Fragestellungen und an geringeren Materialmengen orientierte naturwissenschaftliche Herkunftsbestimmungen sind an den Funden aus der Nordnekropole von Knossos auf Kreta von Liddy und Coldstream durchgeführt worden¹¹⁵⁵. Die Proben wurden ebenfalls im Fitch Laboratory der British School at Athens unter der Aufsicht von Jones analysiert. Doch entgegen den älteren Untersuchungen bediente man sich hier der Atomabsorptionsspektalanalyse (AAS)¹¹⁵⁶. Coldstream bestimmte 10 Gefäße aus den Gräbern als ostgriechische Importstücke, die als Gruppe K in die Keramikprobenserie aufgenommen wurden¹¹⁵⁷. Es handelt sich um eine heterogene Gruppe, wie bereits Coldstream in seinem Kommentar feststellte, die chronologisch von protogeometrischen Stücken bis zu solchen der archaischen Stufe SiA Ic hinab reichen. Geographisch verteilen sich die wenigen Stücke von einer vermutlich nordionischen Vogelschale über eine chiotische Phiale bis zu südionisch/milesischen Gefäßen mit Bemalung der Stufe SiA I und einem Beispiel, das seine engsten Parallelen auf der ostdorischen Insel Kos findet. Unter den Proben sind in diesem Zusammenhang besonders die Proben K 99 und K 104 interessant. Es handelt sich zum einen um eine Kalottenschale aus Kreta und den großen Volutenkrater ebenfalls aus Kreta¹¹⁵⁸. Stilistisch sind sie aufgrund ihres Dekors als Stufe SiA Ic und Id zu klassifizieren und damit als südionische Erzeugnisse. Doch die naturwissenschaftlichen Ergebnisse von Liddy lassen keine klaren Zuweisungen zu. Der Kessel wird daher als »unassigned« deklariert und die Schale unter Vorbehalt

anderen Seite aber nicht eindeutig als typisch für den Ort beurteilt werden. Denn über die Quantität dieser Gattungen an den beiden Orten liegen keine Erkenntnisse vor. Genauso möglich erscheint es, daß die Tierfriesstil-Gefäße aus Bayraklı importiert worden sind, genauso wie die Vogelschalen in Ephesos.

¹¹⁵² Jones 1986, 667.

¹¹⁵³ Ebenda.

¹¹⁵⁴ Ebenda 670.

¹¹⁵⁵ D. J. Liddy in: Knossos 2, 465 ff.; J. N. Coldstream in: ebenda 471 ff.

¹¹⁵⁶ Zur Methode Mommsen 1986, 96; Riederer 1986, 42; Jones 1986, 17 ff.; Liddy a. O. 466 ff.

¹¹⁵⁷ Coldstream a. O. 472; vgl. auch die Tab. ebenda 467.

¹¹⁵⁸ Knossos 4, Taf. 103, 18; 112, 21 und Knossos 3, Abb. 81. 82.

als lokal (d. h. in Knossos hergestellt!) beurteilt¹¹⁵⁹. Liddy weist auf die Vorläufigkeit der Ergebnisse hin, womit die Untersuchungen auf dem bisher publizierten Stand wohl kaum zu verwerthen sind¹¹⁶⁰.

Zusammenfassend haben die Ergebnisse von Jones und Boardman sowie Liddy als vorläufig zu gelten. Dagegen fußen die von Dupont und Mommsen bereits auf belastbaren Ergebnissen. Die Richtung ist im Großen und Ganzen mit diesen Ergebnissen vorgegeben. Allerdings ist, wie Kerschner richtig feststellt, die Anzahl an Elementen, mit denen Dupont seine früheren Probenreihen durchführte, zu gering, so daß »der chemische 'Fingerabdruck' dementsprechend unscharf ist«¹¹⁶¹. Ein weiterer Nachteil gegenüber den neueren Untersuchungen durch Yalçın und den Verfasser sowie Mommsen und Kerschner liegt in der Tatsache begründet, daß Dupont noch keine Fehlbrände aus Milet selbst zur Verfügung standen, die als die sicherste Referenzgruppe zu gelten haben. Von Fehlbränden ist sicher anzunehmen, daß sie am Ort ihrer fehlerhaften Fertigung verblieben und nicht exportiert wurden. Demnach ist mit verbesserten Methoden und neuen Informationen, wie Fehlbränden, in nächster Zukunft ein differenzierteres Bild zur ostgriechischen Keramikproduktion zu erwarten.

Inzwischen liegen etwa zur ostgriechischen Gefäßmalerei Einzelstudien aus den Laboren in Lyon (Dupont) und Bonn (Mommsen) vor. Diese zeigen nun ein wesentlich verfeinertes Bild zu den verschiedenen Produktionsorten der Tierfriestil-Keramik (EWG-MWG/SiA I)¹¹⁶², Fikellurastil-Keramik (SiA II bzw. MileA II)¹¹⁶³ sowie zu den südionischen KRS¹¹⁶⁴, als es noch bis zum Ende des 20. Jahrhunderts galt. So läßt sich nun auch eine koloniale Produktion des Tierfriesstils und Fikellurastils etwa am Hellespont¹¹⁶⁵ oder auch in Naukratis in Ägypten¹¹⁶⁶ vermuten. Hinsichtlich

¹¹⁵⁹ Liddy a. O. 474 ff. 481; 487 f.

¹¹⁶⁰ Liddy a. O. 487 f. Eine Vogelschale des Standardfabrikats ist nach Liddys Untersuchungen euböisch, ebenda 492 (K 102). Kerschner und Mommsen (M. Kerschner – u. a., *Archaeometry* 35 (1993) 197 ff.; dies. in: G. Schulze – K. Slusallek (Hrsg.), *Archäometrie und Denkmalpflege*. Wien 1997 (1997) 138 ff.; M. Kerschner in: Akurgal u. a. 2002, 63 ff. bes. 66), aber auch Dupont (Dupont 1983, 40 f.) lokalisieren die Hauptwerkstatt der Vogelschalen des Standardtyps in Nordionien. Varianten des Typus lassen sich für weitere nordionische und südionische Zentren nachweisen. Imitationen des Typus sind ansonsten bisher nicht nachgewiesen worden.

¹¹⁶¹ M. Kerschner in: Akurgal u. a. 2002, 35 nimmt hier eine äußerst ausgewogene Analyse der bisher publizierten Untersuchungen Duponts und Jones vor. In letzter Zeit hat Dupont seine Methode verbessert und stützt seine chemischen Analysen nun auf eine größere Anzahl von Elementen, vgl. z. B. P. Dupont – A. Thomas, *Naukratis: Les importations Grecques Orientales archaïques. Classification et détermination d'origine en laboratoire*, in: Villing – Schlotzhauer 2006b, 77 »Les premières séries de mesures n'ont porté que sur les huit éléments chimiques majeurs (CaO, Fe₂O₃, TiO₂, K₂O, SiO₂, Al₂O₃, MgO, MnO), les dernières sur 13 éléments supplémentaires«.

¹¹⁶² Zuletzt zum MWG II style (SiA Ic–d/MileA Ic–d) s. Schlotzhauer 2012, 43, 119 f.

¹¹⁶³ Vgl. Schlotzhauer 2012, 44. 56 (samischer Fikellura-Stil); 61. 124 (mögliche Nachahmung im karischen Iasos – chemische Gruppe EMEE [Mommsen]).

¹¹⁶⁴ s. zuletzt Schlotzhauer 2012, 94 f.

¹¹⁶⁵ R. Posamentir – S. Solovyov, *Zur Herkunftsbestimmung archaisch-ostgriechischer Keramik: die Funde aus Berezan in der Eremitage von St. Petersburg*, *IstMitt* 56, 2006, 114 ff.; H. Mommsen – M. Kerschner – R. Posamentir, *Provenance Determination of 111 Pottery Samples from Berezan by Neutron Activation Analysis*, *IstMitt* 56, 2006, 165 ff.; M. Kerschner, *Zur Herkunftsbestimmung archaischer ostgriechischer Keramik: die Funde aus Berezan im Akademischen Kunstmuseum der Universität Bonn und im Robertinum der Universität Halle-Wittenberg*, *IstMitt* 56, 2006, 148 ff.; s. jetzt auch Schlotzhauer 2012, 61 und bes. 124. 153.

¹¹⁶⁶ Schlotzhauer 2012, 63 ff. 177 f.

rhodischer Produktion können nun auch die Ergebnisse zu den sog. ostgriechischen Situlen durch Weber und die archäometrischen Untersuchungen von Mommsen, Schwedt, Weber und Cowell¹¹⁶⁷ herangezogen werden. Wenig Neues haben die archäometrischen Untersuchungen bisher zu den rhodischen KRS, den sog. Vroulia-Schalen, erbracht¹¹⁶⁸. Dagegen konnte aber eine weitere Produktion in der Ostdoris nachgewiesen werden, etwa auf der Knidos-Halbinsel¹¹⁶⁹. Daß auch in Unteritalien KRS von höchster Qualität getöpft wurden, zeigt der archäometrische Herkunftsnachweis zur KRS 620 in diesem Katalog aus dem sizilischen Produktionsort Katane.

7.3.1 Südionische Knickrandschalen

Naturwissenschaftliche Analysen zu KRS aus Milet selbst, aber auch aus anderen Fundorten sind bisher lediglich von Dupont vorgestellt worden. Unter den 150 von ihm gesammelten Ton- und Keramikproben aus Milet und Umgebung befand sich auch eine nicht näher bezifferte Anzahl von KRS. So wie der Umfang der Menge an KRS unklar ist, so steht es auch um die tatsächlichen Typen der beprobten Schalen. Dupont gibt hierzu weder eine Abbildung noch eine genauere Beschreibung. Seinen Ausführungen ist lediglich zu entnehmen, daß sich »verschiedene Typen ionischer Schalen, besonders Nachahmungen von samischen Beispielen in den Formen Villard – Vallet A2 und B1« unter den Proben befanden. Zudem haben feine Schalen der Form Villard – Vallet B1 mit Fikellurastil-Bemalung der Stufe SiA II in die Probenserie Aufnahme gefunden¹¹⁷⁰.

Warum Dupont die KRS Villard – Vallet A2 und B1 aus Milet zunächst samische Nachahmungen nennt, ist allerdings nicht nachzuvollziehen. Denn von den beiden Tongruppen, die er für Samos feststellen konnte, vermochte er die eine nicht sicher mit der Insel in Zusammenhang zu bringen. In eben diese Gruppe aber gehören die KRS, die angeblich aus Samos stammen sollen¹¹⁷¹. Auch werden die feineren meist mit Bemalung der Stufe SiA II dekorierten KRS des Typus Villard – Vallet B1 aus Samos aufgrund der chemischen Analysen stets als milesische Produkte gewertet¹¹⁷². Warum also sollte Samos den Markt mit KRS des Typus Villard – Vallet B1 (hier: Typus 10) beherrschen, wenn die bemalten Beispiele dieser Serie in Milet hergestellt wurden?

Weitere KRS vom Typus Villard – Vallet A2 und B1 aus der milesischen Tochterstadt Histria konnten, nachdem Dupont zumindest teilweise die milesische Tonzusammensetzung bekannt war,

¹¹⁶⁷ S. Weber, East Greek 'Situle' from Egypt. With an Appendix by H. Mommsen, A. Schwedt, S. Weber and M. R. Cowell, in: Villing – Schlotzhauer 2006, 145 ff.; S. Weber, Untersuchungen zur archaischen griechischen Keramik aus anderen ägyptischen Fundorten, in: U. Schlotzhauer – S. Weber – H. Mommsen, Griechische Keramik des 7. und 6. Jhs. v. Chr. aus Naukratis und anderen Orten in Ägypten. Archäologische Studien zu Naukratis 3 (2012) 236 ff. bes. 240 sowie H. Mommsen mit U. Schlotzhauer, S. Weber, A. Villing, Herkunftsbestimmung von archaischen Scherben aus Naukratis und Tell Defenneh in Ägypten durch Neutronenaktivierungsanalyse, in: ebenda, 441 f. mit Abb. 12.

¹¹⁶⁸ Vgl. Schlotzhauer 2012, 59, 164 f.

¹¹⁶⁹ Vgl. Schlotzhauer 2012, 59, 160 ff. bes. 161.

¹¹⁷⁰ Dupont 1983, 26 f.; ders. in: KollFrankfurt 60 f. unter den 150 Proben waren 120 Keramikproben.

¹¹⁷¹ Jones 1986, 289 kritisiert hier bereits die zu weit reichenden Schlußfolgerungen Duponts.

¹¹⁷² Dupont 1983, 40; ders. in: KollFrankfurt 61.

Milet zugewiesen werden. Die Schalen mit Bemalung der Stufe SiA II und der Grundform des Typus 10 (Villard – Vallet B1) aus Histria sind laut Dupont in ihrer chemischen Zusammensetzung ebenfalls milesisch¹¹⁷³.

Neben einer samischen und milesischen schloß sich eine weitere Gruppe chemisch zusammen, die Dupont vorläufig mit keinem Ort in Zusammenhang zu bringen vermochte: Südionien 3¹¹⁷⁴. Sicher scheint nur, daß sie aufgrund der Ähnlichkeit zur milesischen und samischen Tonzusammensetzung ebenfalls in Südionien anzusiedeln sei. Unter den Beispielen dieser Gruppe befanden sich wiederum KRS vom Typus Villard – Vallet B1.

Den Ergebnissen Duponts zufolge wäre die Insel Samos der Hauptlieferant der KRS für den weitverzweigten Handel dieser Gattung von den Schwarzmeerregionen über die Levante bis in das nördliche Afrika. Einen geringeren Anteil und für die Entwicklung der Gattung eine untergeordnete Rolle nahmen demnach die Produktionsstätte Milet und der nicht sicher zu lokalisierende Produktionsort 'Südionien 3' ein¹¹⁷⁵. In einer späteren Stellungnahme hat Dupont allerdings die Schwäche der Argumente zur Herkunftsbestimmung der KRS in Samos selbst erkannt¹¹⁷⁶. Dupont fehlt für Samos überzeugendes Referenzmaterial aus archaischer Zeit¹¹⁷⁷. Im gleichen Zusammenhang postuliert er nun eine starke nordionische oder aiolische Produktion, der er viele der bisher Samos und Milet zugesprochenen Typen der Gattung zuweist¹¹⁷⁸.

Die Proben, die Jones und Boardman für ihre Untersuchung auswählten, umfaßten auch KRS aus Tocra in Nordafrika¹¹⁷⁹. Die fünf beprobten KRS gehören allesamt dem Typus Hayes IX an. Von diesen liegt keine in Bild oder Umzeichnung vor. Die Gruppe Hayes IX faßt aber Beispiele zusammen, die im Formaufbau den Varianten des hiesigen Typus 5,3–4.B und des Typus 9,1.B–C bis 9,2.C sowie den Dekoren e und g entspricht. Von diesen nahm Hayes an, daß die qualitätvollen Beispiele vermutlich rhodischer Provenienz seien, schloß weitere weniger qualitätvolle kykladische oder sonstige ostgriechische Serien aber nicht aus¹¹⁸⁰. Die KRS gehörten der von Jones und Boardman erstellten chemischen Herkunftsgruppe 'Ionian B' an. Archäologisch ist die Gruppe, wie bereits erwähnt, nicht informativ. Auch chemisch konnte eine Lokalisierung nur nach dem Ausschlußverfahren erfolgen: weder samisch noch rhodisch. Der ionische Ursprung gilt als

¹¹⁷³ Dupont 1983, 34. Von diesen liegen zumindest zwei KRS der Typen 10,2.B/ky und 10,3.B/k in Zeichnung vor (Histria 4, 115 Abb. 30, 750.752).

¹¹⁷⁴ Dupont 1983, 35 f.

¹¹⁷⁵ Dupont 1983, 40.

¹¹⁷⁶ P. Dupont in: SympWien, 452.

¹¹⁷⁷ Vgl. die Kritik von M. Kerschner in: Akurgal u. a. 2002, 34 f.

¹¹⁷⁸ Ebenda 252.

¹¹⁷⁹ Jones 1986, 668 Tab. 8.8 (die Nummern 26–30).

¹¹⁸⁰ Tocra 1, 113 f.

wahrscheinlich, aber es steht zu vermuten, daß in dieser Gruppe mehrere Zentren oder Werkstätten zusammengefaßt sind¹¹⁸¹.

Kerschner und Mommsen haben in ihren im Jahre 1992 aufgenommenen Untersuchungen unter anderem eine KRS der Gruppe 5,1.Be analysiert¹¹⁸². Ihr Fundort ist Ephesos, doch ihre Tonzusammensetzung weist sie der chemischen Herkunftsgruppe J (Mommsen) zu. Die Herkunftsgruppe J konnte zunächst nicht sicher lokalisiert werden, ist inzwischen aber als samisch bestätigt worden¹¹⁸³.

Seither ist eine weitere kleine Anzahl an KRS aus Tell Kabri¹¹⁸⁴ und aus Naukratis¹¹⁸⁵ im Bonner Labor bei Mommsen chemisch untersucht worden. Dabei ergab sich für die beiden KRS des Typus 10,1.Bny aus Naukratis und Tell Kabri die recht sicher in Milet anzusiedelnde Herkunftsgruppe DD (Mommsen). Zu den neuesten Untersuchungen der KRS im Bonner Labor (Mommsen) s. unten¹¹⁸⁶.

Im Jahre 2012 widmet Dupont zusammen mit Lungu einen weiteren Aufsatz ausschließlich den KRS, in dem er seine älteren Ergebnisse zusammenfaßt und teilweise revidiert¹¹⁸⁷. Hier wird erstmals eine größere Übersicht zur Gattung geboten, die auf der respektablen Anzahl von 190 Proben basiert. Die Autoren besprechen die verschiedenen Produktionszentren der weiterhin als »coupes ioniennes« bezeichneten KRS. Auch die sog. Vroulia-Schalen und andere für rhodisch gehaltene KRS finden kurze Erwähnung, ohne daß näher auf sie eingegangen wird. Dupont und Lungu konzentrieren sich in dem Aufsatz vor allem auf die »séries 'canoniques' des coupes ioniennes de grande diffusion«, die allgemein und auch in Duponts früheren Aufsätzen mit den südionischen Zentren in Zusammenhang gebracht wurden. Die Vielfalt dieser 'kanonischen' Schalengruppen und -typen verteilen sich nun auf acht chemische Gruppen, die er von A–H bezeichnet. Die Hauptgruppen allerdings sind weiterhin auf

¹¹⁸¹ Jones 1986, 667.

¹¹⁸² M. Kerschner in: Akurgal u. a. 2002, 51; 108 f. Kat.-Nr. 68 Taf. 5, 68.

¹¹⁸³ U. Schlotzhauer, Griechen in der Fremde: Wer weihte in die Filialheiligtümer der Samier und Milesier in Naukratis?, in: A. Naso (Hrsg.), Stranieri e non cittadini nei santuari del Mediterraneo antico, Convegno Udine, 20.–22. novembre 2003, Studi Udinesi sul Mondo Antico 2 (Grassina-Florenz 2006) 311 ff.; H. Mommsen, Neutron Activation Analysis of Pottery from Naukratis and other Related Vessels, in: Villing – Schlotzhauer 2006, 70; Schlotzhauer – Villing in: Villing – Schlotzhauer 2006, 59; M. Kerschner – H. Mommsen, Neue archäologische und archäometrische Forschungen zu den Töpferzentren der Ostägäis, in: P. Dupont – V. Lungu (Hrsg.), Les productions céramiques du Pont-Euxin à l'époque grecque. Actes du colloque international Bucarest, 18.–23. septembre 2004, Il Mar Nero 6 (2009) 84 f.; Schlotzhauer 2012, 56 f.; 155; 158.

¹¹⁸⁴ Abgebildet in B. Niemeier – W.-D. Niemeier, Archaic Greek and Etruscan Pottery, in: A. Kempinski (Hrsg.), Tel Kabri. The 1986-1993 Excavation Seasons, hrsg. von N. Sheftelowitz – R. Oren (2002) 230 Kat.-Nr. 14 Abb. 5.94, 2.

¹¹⁸⁵ Vgl. Schlotzhauer 2012, 101 f. Kat.-Nr. 52 Taf. 11, g-h; s. a. Schlotzhauer – Villing, 2006, 60 Abb. 23.

¹¹⁸⁶ s. hier S. 421 ff.

¹¹⁸⁷ P. Dupont – V. Lungu, Les ateliers primordiaux de coupes ioniennes à la lumière des trouvailles de la Mer Noire, in: A. Hermay – G. R. Tsetschladze (Hrsg.), From the Pillars of Hercules to the Footsteps of the Argonauts. Colloquia Antiqua 4 (2012), 257 ff.; Damit muß nicht weiter auf die älteren Vorarbeiten, wie etwa P. Dupont – A. Thomas in: Villing – Schlotzhauer 2006, 77 ff., eingegangen werden. Auch wenn diese Ergebnisse zu den Funden aus Naukratis hier nicht wiederholt werden, sind die Ergebnisse im Wesentlichen dieselben bzw. weiterentwickelt.

Samos (chemische Gruppen A, D und F)¹¹⁸⁸ und Milet (chemische Gruppen G und H sowie eventuell C)¹¹⁸⁹ zu verorten sowie der nordionisch aiolischen Gruppe B¹¹⁹⁰. Diese würde in etwa dem Typenspektrum der samischen Subgruppe A entsprechen¹¹⁹¹. Dabei läßt Dupont entgegen seinen früheren Ergebnissen nun die Frage offen, ob die Mehrzahl der kanonischen KRS (»couples ioniennes 'canoniques'«) aus Samos oder Milet stammen¹¹⁹². Weitreichend ist auch die Interpretation einer anderen chemischen Gruppe, die Dupont zunächst als 'Südionien 3' (»Ionie du Sud 3«) bezeichnete und ebenfalls in Südionien angesiedelt hatte. Für diese Gruppe konnte Dupont vor allem eine massive Variante der KRS des Typus B1 der Klassifikation von Villard – Vallet feststellen¹¹⁹³. Später allerdings vermutet er diese Gruppe eher in der Aiolis¹¹⁹⁴. In letzter Zeit hatten dann aber Posamentir und Kerschner mit guten Gründen die von Dupont festgestellte Gruppe 'Südionien 3' mit den von ihnen als Hellespont-Werkstätten bezeichneten chemischen Gruppen TroD und TroB (Mommsen) in Verbindung gesetzt¹¹⁹⁵. Posamentir hat zudem vier von Dupont beprobte Fragmente aus Histria, die der chemischen Gruppe 'Südionien 3' angehören, erneut einer Untersuchung, diesmal im Bonner Labor bei Mommsen, zugeführt und konnte damit die These zumindest teilweise positiv überprüfen¹¹⁹⁶. Posamentir brachte die Herkunftsgruppe TroD/'Südionien 3' bereits versuchsweise mit der milesischen Kolonie Abydos am Hellespont in Verbindung¹¹⁹⁷ – eine These, die auch Kerschner für

¹¹⁸⁸ Dupont – Lungu a. O. 259 (Gruppe A), 260 (Gruppen D und F); so schon Dupont 1983, 40; s. auch die Bewertung von M. Kerschner in: Akurgal u. a. 2002, 39.

¹¹⁸⁹ Dupont – Lungu a. O. 260 (Gruppe C), 261 (Gruppen G und H); so schon Dupont 1983, 40; s. auch die Bewertung von M. Kerschner in: Akurgal u. a. 2002, 39.

¹¹⁹⁰ Dupont – Lungu a. O. 259, die nicht aus der Gruppe 'Südionien 3' hervorgegangen ist, sondern eine neue Gruppe bezeichnet, die Dupont erst später feststellte und einen Teil der bisher für samisch gehaltenen Typen umfaßt. Es ist allerdings wenig hilfreich, wenn nicht verwirrend, daß diese Gruppe in anderen Publikationen eine andere Bezeichnung erhält: vermutlich ist die hier 2012 von Dupont – Lungu als »groupe B« bezeichnete chemische aiolische Herkunftsgruppe mit der chemischen 'Samos 2'-Herkunftsgruppe aus der Aiolis in der Publikation von 2010 gleichzusetzen, s. P. Dupont, The Contribution of Archeometric Results to our Understanding of Archaic East-Greek Trade, in: S. Solovyov (Hrsg.), Archaic Greek Culture: History, Archaeology, Art and Museology. Proceedings of the International Round-Table Conference, June 2005, St-Petersburg, Russia. BAR International Series 2061 (2010) 39.

¹¹⁹¹ Dupont – Lungu a. O. 259 f.

¹¹⁹² Dupont – Lungu a. O. 261; relativierend bereits P. Dupont in: Villing – Schlotzhauer 2006, 81; P. Dupont in: SympWien, 452.; vgl. auch die Bewertung von M. Kerschner in: Akurgal u. a. 2002, 39.

¹¹⁹³ Dupont 1983, 40.

¹¹⁹⁴ P. Dupont in: SympWien, 452; P. Dupont in: Villing – Schlotzhauer 2006, 80 f. bes. 81.

¹¹⁹⁵ R. Posamentir – S. Solovyov, Zur Herkunftsbestimmung archaisch-ostgriechischer Keramik: die Funde aus Berezan in der Eremitage von St. Petersburg, *IstMitt* 56, 2006, 114 ff.; H. Mommsen – M. Kerschner – R. Posamentir, Provenance Determination of 111 Pottery Samples from Berezan by Neutron Activation Analysis, *IstMitt* 56, 2006, 165 ff.; M. Kerschner, Zur Herkunftsbestimmung archaischer ostgriechischer Keramik: die Funde aus Berezan im Akademischen Kunstmuseum der Universität Bonn und im Robertinum der Universität Halle-Wittenberg, *IstMitt* 56, 2006, 148 ff.; R. Posamentir – S. Solovyov, Zur Herkunftsbestimmung archaisch-ionischer Keramik: die Funde aus Berezan in der Eremitage von St. Petersburg II, *IstMitt* 57, 2007, 195 ff.; R. Posamentir – N. Arslan – I. Bîrzescu – Ş. Karagöz – H. Mommsen, Zur Herkunftsbestimmung archaisch-ionischer Keramik III: Funde aus den Hellespont-Städten, Histria und Olbia, *IstMitt* 59, 2009, 35 ff.; jetzt auch P. Dupont, »Ionie du Sud 3« un centre producteur des confins de la Grèce de l'Est et du Pont-Euxin?, *Ancient Civilization from Skythis to Sibiria* 14, 2008, 1 ff. und s. vorherige Anm.

¹¹⁹⁶ Posamentir – Arslan – Bîrzescu – Karagöz – Mommsen a. O. 45 ff.

¹¹⁹⁷ Posamentir – Solovyov 2006 a. O. 115; Posamentir – Solovyov 2007 a. O. 182; bes. ausführlich Posamentir – Arslan – Bîrzescu – Karagöz – Mommsen a. O. 40 f. mit Anm. 32, in der Posamentir auf die 2008 nun auch von

wahrscheinlich hält¹¹⁹⁸. Inzwischen verortet auch Dupont seine ehemalige Herkunftsgruppe 'Südionien 3' in der Region der Troas oder in den milesischen Kolonien Histria und Berezan, jedenfalls sucht er das Herstellungszentrum in der Propontis bzw. dem Pontus innerhalb einer »zone d'influence de Milet«¹¹⁹⁹. Dennoch bleiben die Veröffentlichungen von Dupont weiterhin schwierig nachzuvollziehen. Er gibt zwar Typen vor allem nach der Klassifikation von Villard – Vallet an, die er bestimmten chemischen Gruppen zuordnet, auch bildet er Dendrogramme ab¹²⁰⁰, aber die dazugehörigen Stücke, die er als Liste mitliefert¹²⁰¹ lassen sich nicht auf das Dendrogramm oder die chemischen Gruppen und in den meisten Fällen auch nicht auf die abgebildeten Beispiele¹²⁰² beziehen. Nur selten werden den Abbildungen Herkunftsbezeichnungen beigegeben¹²⁰³ oder die Abbildungen im Text in den Kontext einer Herkunftszuweisung gesetzt¹²⁰⁴. Gern hätte man etwa gewußt, welcher chemischen Gruppe etwa die in Histria am Schwarzen Meer gefundene und unter Abb. 10¹²⁰⁵ zu findende KRS des Typus 9,1.C (Villard – Vallet B2) angehörte. Denn dieser Typus ist nach Dupont in den chemischen Gruppen A, B, C, E und G anzutreffen und könnte demnach samisch, nordionisch oder milesisch sein oder aus Hellespont/Troas stammen.

In letzter Zeit konnten die Untersuchungen von Posamentir, Solovyov und Mommsen für drei KRS des Typus 9,1.B aus Berezan nachweisen, daß alle drei – zusammen mit zwei Lydia (ein dekoriertes und ein undekoriertes) – einer unlokalisierten chemischen Kleingruppe angehören¹²⁰⁶.

7.3.2 Bemalte Gefäße der Stilstufe SiA I und SiA II

»Besonders wichtig ist der auf Samos und Rhodos begegnende Befund. Für Samos sind fast alle unsere Tierfriesstil- und Fikellurastil-Proben milesischer Herkunft«¹²⁰⁷ stellte Dupont 1980 auf der Grundlage seiner umfangreichen Analysen fest und veränderte damit sowohl die Ansicht zur ostgriechischen Gefäßmalerei wie auch zur Stellung der vermuteten Keramikzentren in Südionien grundlegend. Ist tatsächlich mit nur einem starken Keramikzentrum in Südionien für das ausgehende 7. und das 6. Jh. v. Chr. zu rechnen?

Die bisherigen Analysen legen diesen Gedanken nahe. Daß dieses Zentrum entgegen den bisher geltenden Lehrmeinungen nicht Samos, sondern Milet heißt, scheint ebenso unstrittig. Die Beweislast ist drückend. Zunächst sind die Ergebnisse Duponts zu nennen. Er publizierte eine Reihe bemalter

Dupont in Abydos lokalisierten Hellespont-Werkstätten verweist (mit zurecht geübter Kritik daran, daß Dupont die bereits ausgesprochene Zuweisung durch Posamentir u. a. nicht erwähnt); Dupont a. O. 1. 14.

¹¹⁹⁸ Kerschner a. O. 149.

¹¹⁹⁹ Dupont – Lungu a. O. 262; jetzt auch Dupont 2010 a. O. 39 f. bes. 40.

¹²⁰⁰ Z. B. Dupont – Lungu a. O. 257.

¹²⁰¹ Z. B. Dupont – Lungu a. O. 264 ff.

¹²⁰² Z. B. Dupont – Lungu a. O. 272 ff.

¹²⁰³ So etwa Dupont – Lungu a. O. 275 Abb. 7 (milesisch); 8 ('Ionie du Sud 3').

¹²⁰⁴ So etwa Dupont – Lungu a. O. 258 (Abb. 9 als samisch); 260 (Abb. 8 als 'Ionie du Sud 3'); 261 (Abb. 7 und 12 als milesisch); 262 (Abb. 11 als 'Ionie du Sud 3').

¹²⁰⁵ Dupont – Lungu a. O. 276 Abb. 10.

¹²⁰⁶ Posamentir – Solovyov 2007 a. O. 202 ff. Abb. 9.

¹²⁰⁷ P. Dupont in: KollFrankfurt 62.

Gefäße mit Tierfries- und Fikellurastil der Stufen SiA I und SiA II aus Naukratis, Rhodos, Samos, Milet und Histria¹²⁰⁸, deren chemische Tonzusammensetzungen nach Milet weisen. Unter den publizierten Beispielen sind allerdings nur solche, die entweder aus Histria oder aus Rhodos stammen. Demnach konnte bisher nur ein Teil der vermuteten südionischen Gefäße überprüft und ihr Malstil näher analysiert werden. Es sind vor allem Beispiele der Phasen SiA Ic–d sowie der Stufe SiA II und solche, die aus dem Produktionszentrum für den Export vorgesehen waren. Aufgrund der Analysen aus Histria konnten auch Fragmente von KRS mit der Bemalung der Stufe SiA II als milesische Produkte nachgewiesen werden¹²⁰⁹.

Die Untersuchungen Duponts zeigten darüber hinaus eine zweite, kleinere, chemisch homogene Gruppe. Diese Gruppe 'Südionisch 3'¹²¹⁰ umfaßt eine geringe Zahl an bemalten südionischen Gefäßen¹²¹¹. Sie schließen sich stilistisch und zeitlich eng zusammen und vertreten die späte Tierfriesstil-Phase SiA Id und die Frühphase des Fikellurastils SiA IIa. Hier läßt sich eine koloniale Werkstatt fassen, die Nachahmungen milesischer Gefäßmalerei produzierte¹²¹². Die Töpferproduktion der Insel Samos hat nach den Ergebnissen Duponts bezüglich der Entwicklung und Herstellung der bemalten Keramik der Phasen SiA Ic und SiA Id sowie der Stufe SiA II keine größere Rolle gespielt, und Rhodos schließlich hatte keinen Anteil an ihrer Produktion, wie es die kunstlandschaftliche Situation ohnehin vermuten ließ¹²¹³.

Jones und Boardman verzeichneten acht Proben des sog. MWG II style (SiA Ic–d) aus Al Mina und vier Proben von sog. Fikellurastil-Keramik aus Rhodos und Naukratis. Vier Beispiele des sog. MWG II style (SiA Ic–d) aus Al Mina bildeten sie ab¹²¹⁴. Hier ergibt sich bereits eine Unschärfe. Denn nur zwei der vier sind tatsächlich stilistisch als südionisch zu klassifizieren¹²¹⁵. Die beiden anderen

¹²⁰⁸ Eine Liste von publizierten Beispielen für Histria: Dupont 1983, 34., P. Dupont in: KollFrankfurt 70 f.; für Rhodos: ebenda, 68 ff.; s. zuletzt P. Dupont, The Contribution of Archeometric Results to our Understanding of Archaic East-Greek Trade, in: S. Solovyov (Hrsg.), Archaic Greek Culture: History, Archaeology, Art and Museology. Proceedings of the International Round-Table Conference June 2005, St. Petersburg, Russia. BAR International Series 2061 (2010) 37.

¹²⁰⁹ s. jetzt etwas Dupont – Lungu a. O. 277 Abb. 12.

¹²¹⁰ Zur chemischen Gruppe 'Südionisch 3' ('Ionie du Sud 3') und ihre zumindest teilweise Übereinstimmung mit den Hellespont-Werkstätten (Mommsen) vgl. H. Mommsen – M. Kerschner – R. Posamentir, Provenance Determination of 111 Pottery Samples from Berezan by Neutron Activation Analysis, *IstMitt* 56, 2006, 165 ff. (B-Troy=TroB und D-Troy=TroD); R. Posamentir – N. Arslan – I. Bîrzescu –Ş. Karagöz – H. Mommsen, Zur Herkunftsbestimmung archaisch-ionischer Keramik III: Funde aus den Hellespontstädten, Histria und Olbia, *IstMitt* 59, 2009, 35 ff.; inzwischen auch P. Dupont, 'Ionie du Sud 3' un centre producteur des confins de la Grèce de l'Est et du Pont-Euxin?, *Ancient Civilization from Skythis to Sibiria* 14, 2008, 1 ff.; zuletzt Dupont 2010 a. O. 39 f.

¹²¹¹ Eine Liste von publizierten Beispielen für Histria: Dupont 1983, 36.

¹²¹² s. nun auch Schlotzhauer 2013, 152 f. Kat.-Nr. 122.

¹²¹³ Dupont 1983, 37 f.; P. Dupont in: KollFrankfurt 62. An diesem Eindruck haben auch neuere Untersuchungen keine wesentliche Korrektur vornehmen können, vgl. Schlotzhauer 2012, 56. 158 f. Kat.-Nr. 131.

¹²¹⁴ Jones 1986, 697 Taf. 8.20.

¹²¹⁵ Jones 1986, 697 Taf. 8.20, b und d (=1954.280; 1954.290).

sind am ehesten ein ostdorisches und ein karisches Produkt¹²¹⁶. Die Beispiele verteilen sich auf die chemischen Herkunftsgruppen Ionien A und B, die von Boardman bereits als inhomogen und archäologisch uninformativ gewertet wurden¹²¹⁷.

Beprobt wurden auch zwei Gefäße mit Bemalung der Frühphase der Tierfriesstil-Stufe SiA Ic aus Knossos auf Kreta¹²¹⁸. Doch wurde oben bereits dargelegt, daß die Auswertungen durch Liddy und Coldstream aufgrund der unklaren Fragestellung kein verwertbares Ergebnis erbracht haben und daher hier nicht mit einbezogen werden können.

Zuletzt sind die neueren, 1992 begonnen Untersuchungen von Kerschner und Mommsen zu betrachten. Drei Fragmente von Kannen mit Fikellurastil der Stufe SiA II, die in Ephesos gefunden wurden, gehören bei ihnen den milesischen Herkunftsgruppen A und D (Mommsen) an¹²¹⁹. Auch ihre Untersuchungen stützen die Aussagen Duponts zur Herkunft der bemalten Fikellurastil-Keramik der Klasse SiA II¹²²⁰. Weit über die Ergebnisse von Dupont aber gehen dann die weiteren Ergebnisse von Kerschner und Mommsen hinaus: orientalisierende Kotylen, die der subgeometrischen Strömung innerhalb der Stufe SiA I¹²²¹ angehören, eine Kotyle mit Tierfriesstil-Bemalung der Stufe SiA Ia oder b¹²²² sowie Fragmente mit Bemalung der Phasen SiA Ic–d¹²²³ aus Ephesos und Bayraklı ordneten sich nach ihren Analysen ebenfalls den Herkunftsgruppen A und D zu. Hiermit fand sich einerseits eine weitere Bestätigung für die Zuordnung der späteren Phasen der südionischen Gefäßmalerei an Milet, andererseits aber ließen sich erstmals auch Beispiele für die früheren Phasen der südionischen Malerei nachweisen, die vor die bisher für den Produktionsort Milet wahrscheinlich gemachte Stilphase MWG II (=MileA Ic–d) zurückreichen. Eine besondere Überraschung stellte aber ein Deckelfragment aus Bayraklı da¹²²⁴. Einerseits konnte mit dem Analyseergebnis ein milesisches Importstück für Bayraklı belegt werden. Andererseits weist das Fragment aus Bayraklı eine Bemalung der Phase MileA Ic auf, die eine außergewöhnliche szenische Darstellung für den Tierfriesstil der Stufe SiA I belegt. Es handelt sich um die erste Menschendarstellung, wahrscheinlich sogar die erste Sagedarstellung, für die Frühstufe der archaisch südionischen Gefäßmalerei in Form eines fragmentarisch erhaltenen Reiters¹²²⁵.

¹²¹⁶ Jones 1986, 697 Taf. 8.20, a und c (=1954.281; 1954.279). Die Dinos-Scherbe (ebenda Taf. 8.20,a) mit dem Pantherkopf hält M. Kerschner (Wien) aufgrund von Vergleichen auf Kos für koisch, wie er mir dankenswerterweise mitteilte.

¹²¹⁷ Jones 1986, 667.

¹²¹⁸ J. N. Coldstream in: Knossos 2, 471 ff.

¹²¹⁹ M. Kerschner in: Akurgal u. a. 2002, 41 f. 107 f. Kat.-Nr. 63–65; S. 167 Abb. 33–35.

¹²²⁰ Dupont 1983, 34; P. Dupont in: KollFrankfurt, 62; vgl. auch M. Kerschner in: Akurgal u. a. 2002, 42 f.

¹²²¹ Ebenda 102 Kat.-Nr. 39. 41.

¹²²² Ebenda 102 Kat.-Nr. 40.

¹²²³ M. Akurgal in: Akurgal u. a. 2002, 111 Kat.-Nr. 78. 81.

¹²²⁴ Ebenda 111 f. Kat.-Nr. 82; S. 172 Abb. 52 Taf. 8, 82.

¹²²⁵ Daß Pferdedarstellungen und besonders Reiterdarstellungen in Südionien offensichtlich eine ungebrochene Tradition hatten, wird mit diesem Fragment nun deutlich. Es schlägt eine Brücke zwischen der von v. Graeve, Eine Sagedarstellung der frühen milesischen Vasenmalerei, IstMitt 21, 1971, 109 ff. publizierten

Inzwischen konnten weitere südionischen Tierfries- und Fikellurastil-Gefäße der Stufen MileA I–II im Bonner Labor von Mommsen nachgewiesen werden¹²²⁶.

7.3.3 Zusammenfassung

Die bisherigen naturwissenschaftlichen Untersuchungen zu den südionischen KRS und der ostgriechischen Gefäßmalerei archaischer Zeit heben den milesischen Anteil an der Entwicklung und Verbreitung dieser Gattungen hervor. Im besonderen Maße gilt dies für die Gefäßmalerei der Spätphase des Tierfriesstils innerhalb der Stufe SiA Ic–d und für die gesamte Palette der Spätstufe SiA II (Fikellurastil). Gleichwohl scheinen die Ergebnisse zu den KRS den Töpfereien auf der Insel Samos ein größeres Gewicht gegenüber denen Milets zuzusprechen. Doch sind die Interpretationen der zugrundeliegenden Analysen, besonders der von Dupont, nicht völlig widerspruchlos.

Es fällt sowohl bei den Untersuchungen zu den KRS als auch zur südionischen Gefäßmalerei auf, daß die frühen Typen im Wesentlichen nicht untersucht wurden. Dies liegt vor allem darin begründet, daß die Gruppen aus dem 8. Jh. bis in das 2. Drittel des 7. Jhs. v. Chr. offensichtlich selten über die Grenzen Südioniens hinaus exportiert wurden. Die bisherigen archäologischen und archäometrischen Forschungen konnten aber selten auf Untersuchungsmaterial aus Südionien, insbesondere aus Milet selbst, zugreifen. Nun ist es eine Aufgabe der neuen Untersuchungen in Milet, diesen Mißstand zu beheben.

7.4 Die neuen Untersuchungen in Milet

80 Keramikproben von 76 südionischen KRS¹²²⁷ aus den Grabungen in Milet – vor allem mit einfachem Dekor, aber auch solche mit lokalen Bemalungen im Tierfries- und Fikellurastil (SiA/MileA I und II) – wurden im DBM¹²²⁸ Bochum unter Leitung von Ü. Yaşın analysiert¹²²⁹. In der

Sagendarstellung mit Pferden und den Reiterdarstellungen beispielsweise auf den südionischen Kleinmeisterschalen **601** und **602** sowie dem samischen Fragment des Widder-Malers auf Taf. 199 (bei **605**).

¹²²⁶ R. Attula, in: D. Berges, Knidos. Beiträge zur Geschichte der archaischen Stadt (2006) 120 Kat.-Nr. 223 Taf. 64, 7; S. 140 Kat.-Nr. 281. 284 Taf. 74, 1.6; S. 142 f. Kat.-Nr. 291 Abb. 31, 291 Taf. IV,2; S. 76, 1-5; H. Mommsen – A. Schwedt – R. Attula, in: ebenda 202 Tab. 1 f.; R. Posamentir – S. Solovyov, Zur Herkunftsbestimmung archaisch-ostgriechischer Keramik: die Funde aus Berezan in der Eremitage von St. Petersburg, *IstMitt* 56, 2006, 110 ff. Abb. 8–10; M. Kerschner, Zur Herkunftsbestimmung archaischer ostgriechischer Keramik: die Funde aus Berezan im Akademischen Kunstmuseum der Universität Bonn und im Robertinum der Universität Halle-Wittenberg, *IstMitt* 56, 2006, 133 ff. Abb. 2-4.; R. Posamentir – S. Solovyov, Zur Herkunftsbestimmung archaisch-ionischer Keramik: die Funde aus Berezan in der Eremitage von St. Petersburg II, *IstMitt* 57, 2007, 200 Abb. 6, 1-3. 5-8; Lentini 2008, Kat.-Nr. 2 (M. C. Lentini); Kat.-Nr. 4 (C. Ingoglia), Kat.-Nr. 8 (G. Monterosso); Kat.-Nr. 9 (M. C. Lentini), Kat.-Nr. 16B (U. Schlotzhauer); R. Posamentir – N. Arslan – I. Bîrzescu –Ş. Karagöz – H. Mommsen, Zur Herkunftsbestimmung archaisch-ionischer Keramik III: Funde aus den Hellespont-Städten, Histria und Olbia, *IstMitt* 59, 2009, 44 Abb. 3, 1-3; Schlotzhauer 2012, 119 ff. Kat.-Nr. Nau 84-85; 145 f. Kat.-Nr. 112; 147 f. Kat.-Nr. 115; 150 f. Kat.-Nr. 120; S. Weber, Untersuchungen zur archaischen griechischen Keramik aus anderen ägyptischen Fundorten, in: U. Schlotzhauer – S. Weber – H. Mommsen, Griechische Keramik des 7. und 6. Jhs. v. Chr. aus Naukratis und anderen Orten in Ägypten. Archäologische Studien zu Naukratis 3 (2012) 349 Kat.-Nr. TD 191.

¹²²⁷ Zwei KRS (**99** und **236**) wurden jeweils zwei Tonproben und einer weiteren KRS wurden drei Tonproben zu Kontrollzwecken entnommen.

¹²²⁸ Deutsches Bergbau-Museum.

vorzustellenden Auswertung finden sich auch die unter den gleichen Bedingungen analysierten Referenzmaterialien (Fehlbrände, Ofenwandung von Töpferöfen am Kalabaktepe in Milet, etc.) und eine Auswahl attischer Schalen des 6. Jhs. v. Chr., über die Kunisch und Yalçın in anderem Zusammenhang berichten werden.

Unter Verwendung der Optischen Emissionsspektalanalyse (ICP/OES) wurden 36 chemische Elemente in die naturwissenschaftliche Auswertung einbezogen¹²³⁰. Das naturwissenschaftliche Analyseverfahren und die Methodik wird Yalçın an anderer Stelle ausführlich darstellen¹²³¹.

7.4.1 Die Voraussetzungen für einen lokalen Nachweis

Langjährige geologische und petrologische Voruntersuchungen in und um Milet gingen den naturwissenschaftlichen Analysen von archäologischen Objekten voraus¹²³². Darüber hinaus verschaffen günstige Umstände naturwissenschaftlichen Untersuchungen von keramischen Erzeugnissen in Milet eine besonders gute Voraussetzung. Das Auffinden von Töpferöfen aus der hier behandelten Epoche am Kalabaktepe und in ihnen oder in ihrer Nähe befindliche Keramikschlacke und Fehlbrände erbrachten sichere Referenzgruppen für die örtliche Tonzusammensetzung der Keramik¹²³³. Die Analysen

¹²²⁹ Für die finanzielle Unterstützung ist der DFG zu danken; die Ausfuhr der Proben genehmigte S. A. Tulay, der Museumsdirektor von Milet.

¹²³⁰ Zur Methode der optischen Emissionsspektroskopie, wie sie in der DBM verwendet wird, sind nähere Angaben von Ü. Yalçın (Bochum) zu erwarten; allgemein zur Methode: Jones 1986, 17 und 883 ff. (Appendix A); Mommsen 1986, 98 f.; J. Riederer, *Archäologie und Chemie* (1986) 40.

¹²³¹ Geplant ist ein Band der MilForsch, in dem die naturwissenschaftlichen Begleitprogramme der neueren Miletgrabung zusammengefaßt werden.

¹²³² Vgl. beispielsweise zur Geologie: B. Schröder in: Graeve 1990, 62 ff.; B. Schröder – Ü. Yalçın in: Graeve 1991, 149 ff.; dies. in: Graeve 1992, 109 ff.; B. Schröder – Ü. Yalçın – H. Brückner – H. Stümpel in: Graeve 1995, 238 ff.; B. Bay in: Graeve 1999, 77 ff. bes. wichtig in diesem Zusammenhang: B. Bay, *Geologische Kartierung des Umfelds von Milet/ SW-Anatolien* (Dipl.-Kartierung, Bochum 1994); ders., *Sedimentpetrographie der neogenen Ablagerungen im Umfeld von Milet (SW-Anatolien)*, (Dipl.-Arbeit, Bochum 1994); ders., *Geoarchäologie, anthropogene Bodenerosion und Deltavorbau im Büyük Menderes-Delta (SW-Türkei)* (Diss. Ruhr-Universität Bochum 1999); zur Geophysik: H. Stümpel – u. a. in: Graeve 1995, 245 ff.; H. Stümpel – u. a. in: Graeve 1997, 124 ff.; H. Stümpel – u. a. in: Graeve 1999, 89 ff.; B. Bay – B. Schröder – Ü. Yalçın, *Geowissenschaftliche Aspekte zur Landschaftsnutzung und -degradation der milesischen Halbinsel*, in: R. Biering – V. Brinkmann – U. Schlotzhauer – B. F. Weber (Hrsg.), *Maiandros. Festschrift für Volkmar von Graeve* (2006) 275 ff.

¹²³³ Keramikschlacken und Fehlbrände aus den Töpferöfen vom Kalabaktepe in Milet: s. M. Kerschner – H. Mommsen – T. Beier – D. Heimermann – A. Hein., *Neutronen Activation Analysis of Bird Bowls and Related Archaic Ceramics from Miletos*, *Archaeometry* 35, 1993, 199 f. 206. 208; die Abbildungen zu den hier besprochenen Fehlbränden finden sich bei M. Kerschner in: *Akurgal u. a. 2002*, 113 f.; 175 Abb. 59–64. Töpferöfen: Graeve 1990, 40 f. Abb. 1; M. Seifert – M. Krumme in: Graeve 1991, 134 ff.; R. Senff – u. a. in: Graeve 1997, 210 ff. Zu Keramikschlacken, keramischen Fehlbränden und Töpferöfen in Milet vgl. auch: M. Seifert – Ü. Yalçın in: *Arkeometri Sonuçları Toplantısı* 10 (1995); s. auch noch zu den Töpferöfen R. Senff, *Die Ergebnisse der neuen Grabungen im archaischen Milet – Stratigraphie und Chronologie*, in: *Cobet u. a. 2007*, 323 f.

Zudem hat die Ausweitung und Einbeziehung einer Vielzahl weiterer Tonproben in die Untersuchung von Kerschner und Mommsen inzwischen eine zweite Keramikschlacke der chemischen Herkunftsgruppe A (= Kalabaktepe-Werkstätten) bewirkt, womit der 'fingerprint' der Herkunftsgruppe A als milesisch – auch durch die Töpferöfen am Kalabaktepe – weitere Absicherung erfahren hat; vgl. Mommsen in: *Akurgal u. a. 2002*, 16 f. (Mile4 = M. Kerschner – H. Mommsen – T. Beier – D. Heimermann – A. Hein a. O. 200 »Mi4«); die

Cr/Ni-Verteilung in archaischen Fehlbränden aus Milet

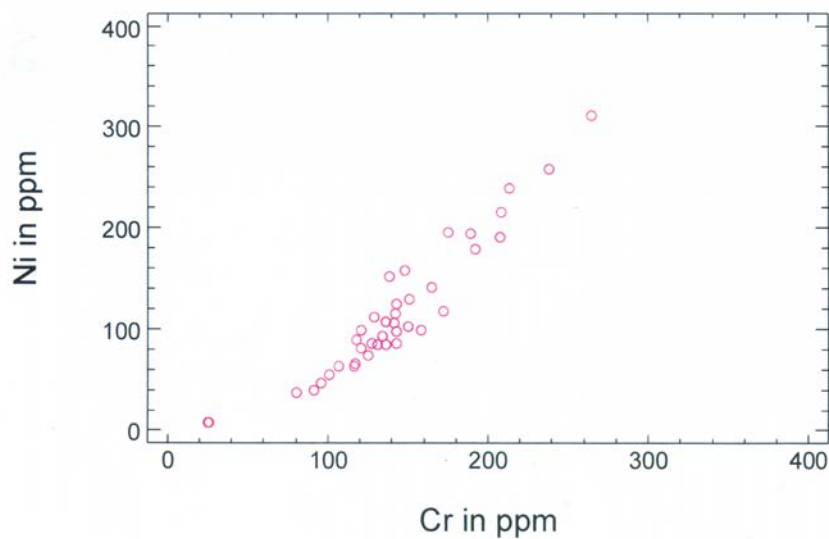


Abb. 105 Diagramm 3. Cr-/Ni-Verteilung in archaischen Fehlbränden aus Milet.

der Fehlbrände sowie der Wandung der Öfen selbst ergaben einen 'fingerprint' der Tonzusammensetzung lokaler keramischer Produkte (Diagramm 3, Abb. 105). Dies ergibt bereits die erste sichere Grundlage für das zu erwartende 'milesische Feld'¹²³⁴. Hinzu kommen noch Sedimentproben aus den neogenen Schichten der unmittelbaren Umgebung Milets. Denn das Wissen um das Vorkommen seltener, wie auch häufiger Elemente im Umfeld der Töpfereien Milets ist unerlässlich für die Beurteilung der analysierten Probandaten. Auf dieser Grundlage hat Yalçın die für diese Region und den Untersuchungsgegenstand besonders günstig erscheinenden chemischen Elemente Ni und Cr zur Erstellung verständlicher Diagramme verwendet¹²³⁵. Zudem ist in den Dendrogrammen die Summe aller gemessenen Elemente enthalten, die ein Korrektiv zu den Zweielement-Auswertungen darstellt. Die naturwissenschaftliche Methode wird von Yalçın gesondert dargelegt. Die Ergebnisse werden aber bereits hier vorgestellt und unter archäologischen Gesichtspunkten besprochen¹²³⁶.

Weitere Sicherheit für den Nachweis lokaler Keramik an einem Produktionsort geben seit jeher auch archäologische Argumente. Keramikgattungen, zumal wenn sie in ungestörten Siedlungshorizonten überdurchschnittlich häufig angetroffen werden, können mit einiger Berechtigung als lokale Produkte

Verortung der Herkunftsgruppe A am Kalabaktepe hat Kerschner bereits ausführlich begründet, s. M. Kerschner in: Akurgal u. a. 2002, 37.

¹²³⁴ Die Proben werden in Diagrammen als Felder dargestellt, die von den beiden besonders geeigneten chemischen Komponenten Ni und Cr aufgespannt werden. Darüber hinaus werden Dendrogramme vorgestellt, in denen die Summe aller 36 ausgewerteten chemischen Elemente enthalten ist. Dendrogramme sind zugegebenermaßen schwierig zu lesen und zu interpretieren. Die naturwissenschaftlichen Erläuterungen werden von Ü. Yalçın an anderer Stelle besprochen, s. o.

¹²³⁵ Neben dieser Auswertung wurden die Ergebnisse auch mit anderen Elementkombinationen gegengeprüft (mündl. Mitteilung Yalçın).

¹²³⁶ Für die Bereitstellung seiner Ergebnisse und der Graphiken sowie der Bereitschaft zur Diskussion ist Ü. Yalçın (DBM – Bochum) sehr zu danken.

angesehen werden. Wenngleich immer auch die Möglichkeit besteht, daß es sich im Einzelfall um einen beliebten Import handeln kann¹²³⁷. In Fall der Grabungen am Kalabaktepe handelt es sich zudem nicht nur um ein Wohnviertel, sondern über einen längeren Zeitraum auch um ein Töpferviertel. Denn drei in diesem Viertel aufgedeckte Töpferöfen aus dem 7. und frühen 6. Jh. v. Chr. zeigen an, daß in diesem Quartier eine lokale Keramikproduktion vorhanden war. Daß die quantitativ bedeutendsten und gleichzeitig qualitativ wenig herausragenden Gattungen, zu denen die KRS zweifelsohne in ihrer Mehrzahl gehören, importiert sein sollten, erscheint angesichts der gegebenen Umstände höchst unwahrscheinlich. Damit wäre neben den Funden von Fehlbränden, die als fehlerhafte Töpfererzeugnisse ebenfalls für einen Verbleib am Fertigungsort und gegen einen Import sprechen, ein weiteres archäologisches Argument gefunden, das die Masse der KRS als eine Referenzgruppe für Milet wahrscheinlich macht. Dennoch ist auch unter den KRS vereinzelter Import anzunehmen.

7.4.2 Die Proben

Die wichtigsten Typen wurden sowohl nach chronologischen Aspekten als auch nach ihrer jeweiligen Bedeutung innerhalb der Gattung ausgewählt (vgl. die Aufstellungen in den Tab. 28-36 [Abb. 118-126] am Ende dieses Kapitels). Das wesentliche Typenspektrum der Gattung, das sich in Milet nachweisen läßt, wurde somit erfaßt. In der Untersuchungsreihe im Bochumer Labor (Yalçın) ist lediglich der Typus 6 gar nicht und die Typen 7, 12 und 13 sind lediglich mit einer Probe vertreten. Im Bonner Labor (Mommsen) fehlen die Typen 3, 7 und 12 bis 13, dagegen ist hier der Typus 6 einmal vertreten. Dreizehn der hier vorgestellten KRS mit südionischer Bemalung der Stufen SiA I und SiA II (**403; 412; 417; 423; 428; 450; 510; 519; 542; 556; 567; 600; 609**) sind in die Bochumer Untersuchung (Yalçın) eingegangen, acht (**423; 428; 435; 439; 440; 465; 615; 620**) wurden im Bonner Labor (Mommsen) untersucht. Doppelbeprobungen in beiden Laboren (Bochum und Bonn) fanden an 18 Stücken statt (**16; 28; 31; 32; 74; 78; 104; 105; 150; 153; 188; 216; 255; 396; 397; 408; 423; 428**). Von den bemalten Stücken ist eine KRS der Sondergruppe der 'Grauen Ware' (**403**) mit aufgesetzter roter Farbe bemalt¹²³⁸. Des Weiteren wurden zwei KRSK (**406; 408**) in die Untersuchungen aufgenommen, die spät in der Stufe SiG zu klassifizieren sind. Von diesen weist **406** orientalisierende Tendenzen auf. Über die Frage nach dem oder den lokalen Bemalungsstil/en in Milet hinaus interessieren auch weitere chemische Gruppen oder Auffälligkeiten, die Hinweise auf Werkstätten oder Importe zulassen.

Neben diesen fünfzehn bemalten Keramikproben galt das Hauptinteresse den einfach dekorierten, größtenteils als 'Gebrauchsware' bezeichneten KRS aus Milet. Die Probenserie erstreckte sich auf

¹²³⁷ s. beispielsweise M. Kerschner in: Akurgal u. a. 2002, 69 ff, der aufzeigt, wie mit Argumenten von Verteilungsmustern die starke Präsenz von Vogelschalen als Begründung für ihre lokale Erzeugung an verschiedenen Fundplätzen benutzt wurde, obgleich sie – wie inzwischen erwiesen werden konnte – vor allem aus nordionischen Produktionszentren importiert waren.

¹²³⁸ Vgl. die Publikation eines weiteren Deckels der 'Grauen Ware' vom Kalabaktepe, der ebenfalls mit roter Farbe im Fikellurastil der Stufe MileA II bemalt ist: R. Posamentir, Funde aus Milet 12: Beobachtungen zu archaischen Deckeln: Tierfries und 'Graue Ware', AA 2002, 19 f. Abb. 5. 29; 26 Kat. 29 (mit Foto).

nahezu alle wichtigen Typen der KRSSk und KRS und über den gesamten Untersuchungszeitraum (8. bis frühes 5. Jh. v. Chr.). So sind vier KRSSk des Typus 1 (**8; 16; 28; TR-3K/239**) beprobt worden, die bis in die mittelgeometrische Zeit zurückreichen (**8; 28**). Unter diesen waren zwei frühe KRSSk auch deshalb ausgewählt worden, weil sie aufgrund ihres Fabrikats und ihrer stilistischen Eigenheiten für attisierend oder für attischen Import gehalten wurden (**8; 28**). Für den Typus 2 mit seinem charakteristischen Randprofil – die zweite Formgruppe der geometrischen KRSSk, die zur Entstehung der archaischen KRS beitrug – sind sieben Proben untersucht worden (**31–33; 36–37; 48; 408**). Vermittelnd zwischen den beiden KRSSk-Typen geometrischer Zeit und den archaischen KRS traten die spät- und subgeometrischen KRSSk und KRS vom Typus 3, von denen ebenfalls fünf Proben in die Untersuchung miteinbezogen wurden (**62; 66; 70–72**). Die subgeometrischen Schalen des Typus 4 stellen zwei weitere Proben (**74; 78**). Mit den KRS vom Typus 5 sind dann alle Ausformulierungen der archaischen Stufe erreicht worden. Sie gelten seit jeher als der Prototyp der Frühstufe archaischer KRS in Südionien. Von den fünf untersuchten Beispielen (**90; 93; 99; 104–105**) wurden in diesem Fall acht Proben genommen. Denn dem Gefäß **93** wurden an verschiedenen Stellen drei Proben (TR-3K/212–214) und der Schale **99** zwei Proben (TR-3K/215, TR-3K/253) entnommen, so daß hier auch Aussagen zur Homogenität der Tonzusammensetzung innerhalb eines Gefäßes zu erwarten sind. Gleichermaßen kann diese 'Mehrfachbeprobung' zur Reflektion der Methode von Probenentnahmen allgemein genutzt werden. Des Weiteren befindet sich eine KRS vom Typus 7 (**149**) unter den Proben und sechs weitere vom Typus 8 (**150; 153; 166; TR-3K/217–219**), die auch in technischer Hinsicht mit ihren 'eierschalendünnen' Wänden interessant sind. Für das 6. Jh. v. Chr. ist der Typus 9 kennzeichnend, der hier mit sieben Beispielen (**184; 188; 197; 216–217; TR-3K/220; TR-3K/222**) in die archäometrischen Untersuchungen einbezogen wurde.

Quantitativ die stärksten Gruppen unter den stratifizierten KRS vom Kalabaktepe-Süd sind mit 23 % bzw. 21 % die Typen 10 und 11. Ihr Anteil auch am gesamten keramischen Befund in Milet, wie auch auf Samos, ließ bisher eine südionische Produktion des Großteils dieser Gattung sehr wahrscheinlich erscheinen¹²³⁹. In die Untersuchungen sind der Typus 10 (**224; 226; 229; 233; 236; 238; 246; 255; 272; 303; TR-3K/223; TR-3K/227; TR-3K/229**) mit dreizehn und der Typus 11 (**362; TR-3K/230–233; TR-3K/236**) mit sechs Proben eingegangen¹²⁴⁰. Je eine Probe von Schalen des Typus 12 (**401**)¹²⁴¹ und Typus 13 (TR-3K/235) ergänzen das Spektrum der vermuteten lokalen Schalenproduktion. Es war auch beabsichtigt, anhand dieser Menge die Streuung der Elementzusammensetzungen, die innerhalb dieser Gruppe der KRS aus Milet auftreten kann, nach Möglichkeit auszuloten.

Bereits optisch und technisch sticht eine Gruppe, die auch statistisch nur eine unbedeutende Rolle spielt, aus der Masse der milesischen KRS heraus: die KRS der 'Grauen Ware'. Neben der bereits oben

¹²³⁹ Allein von den bestimmbar 2.401 Randfragmenten der Grabungen 1989 bis 1993 am Südhang des Kalabaktepe sind 54 % (= 1.306 Randfragmente oder ganze Schalen) den Typen 10 und 11 zuzurechnen.

¹²⁴⁰ Zugerechnet werden können noch die zwei KRS vom Typus 11 der 'Grauen Ware' (**396–397** s. u.).

¹²⁴¹ Allerdings gehört auch diese KRS der 'Grauen Ware' an (s. u.).

unter den bemalten Beispielen aufgeführten Schale (403) sind drei weitere Beispiele, die formtypologisch den Typen 11 und 12 zugeordnet werden können, in die Untersuchung eingebunden worden (396–397; 401). 'Graue Ware' wird für gewöhnlich als aiolischer oder nordionischer Import bezeichnet¹²⁴². Doch ist im Formenrepertoire der 'Grauen Ware' die Form der KRS bislang so gut wie unbekannt gewesen¹²⁴³. Somit ist eine Klärung der Herkunft dieser Gruppe von weitreichender Bedeutung hinsichtlich der lokalen Nutzung dieser augenscheinlich in Südionien nicht beheimateten Technik. Mit ihrem Herkunftsergebnis wäre somit ein Hinweis entweder auf einen Formen- oder einen Techniktransfer zu erwarten.

7.4.3 Die Ergebnisse der Untersuchung

7.4.3.1 Das 'chemische Feld' Milet

Bereits oben wurden die Grundlagen für den Nachweis der lokal gefertigten Keramik Milets erläutert. Anhand eines weiteren Diagramms (Diagramm 4, Abb. 106), das eine Zweielementauswertung darstellt, wird die Verteilung der chemisch analysierten Proben beschrieben. Die Grafik weist für jedes beprobte Gefäß einen Punkt auf. Die Punkte, d. h. die Keramikanalysen, verteilen sich derart auf dem Diagrammfeld, daß sich so manche Konzentration von Punkten ergibt. Die Anhäufungen wiederum stehen teils in deutlichen, teils in diffusen Beziehungen zueinander. Daneben gibt es aber auch Proben, die im aufgespannten Feld vereinzelt liegen. Einige, bevorzugt solche mit roten Punkten, bezeichnete Proben liegen auf dem rosa gehaltenen Feld der Referenzanalysen (im Diagramm als Fehlbrände bezeichnet). Sie entsprechen somit bereits dem 'fingerprint' der Fehlbrandfunde und können daher als Beispiele einer lokalen Fertigung betrachtet werden. Das Gleiche gilt auch für die in der unmittelbaren Umgebung des Referenzfeldes liegenden Proben. Yalçın hält weitere Proben für lokal. Im Rahmen eines festgelegten Toleranzbereiches seien die Proben, die ein ähnliches Verteilungsmuster der Elemente (in diesem Beispiel Ni/Cr) aufweisen, ebenfalls voraussichtlich lokal. Sie liegen auf einer ansteigenden Exponentiallinie, die in der Verlängerung des Referenzfeldes zu denken ist. Daraus ergibt sich das graphisch gelb unterlegte Feld, das im Folgenden als 'chemisches Miletfeld' bezeichnet wird. Die Gründe für die Bestimmung als lokal sind demnach dreifach: 1.) die Verbindung mit der Referenzgruppe der Fehlbrände, 2.) die archäologische Begründung zur lokalen Herkunft der schlichten keramischen Typen mit den höchsten Fundfrequenzen eines Fundortes, die sich im besagten chemischen Feld ebenfalls konzentrieren, und 3.) die bereits bekannten Ergebnisse früherer

¹²⁴² Seltener wird die ostgriechische (oder ostägäische) Produktion weiter unterschieden: neben dem aiolischen wird mitunter auch ein ionischer Bucchero angeführt, s. etwa E. Walter-Karydi in: H. Walter (Hrsg.), *Ägina II 1* (1982) 18; *Samos VI 1*, 18 f.; *Samos 4*, 99. Vgl. jetzt auch die Diskussion bei Schlotzhauer 2012, 159 Kat.-Nr. Nau 132.

¹²⁴³ Einzig eine polychrom bemalte KRS aus den alten Grabungen von Boehlau und Habich in den samischen Nekropolen hat eine fragmentierte KRS des Typus 9 mit dieser Brenntechnik bekannt gemacht, s. etwa W. Löwe in: P. Gercke – W. Löwe (Red.), *Samos – Die Kasseler Grabung 1894 in der Nekropole der archaischen Stadt von Johannes Boehlau und Edward Habich* (1996) 68 Kat.-Nr. 45,41 mit Abb.

Untersuchungen, beispielsweise zur bemalten Keramik der Stufe SiA II (Fikellurastil). Dies alles läßt das chemisch bestimmte 'Miletfeld' bereits als abgesichert gelten.

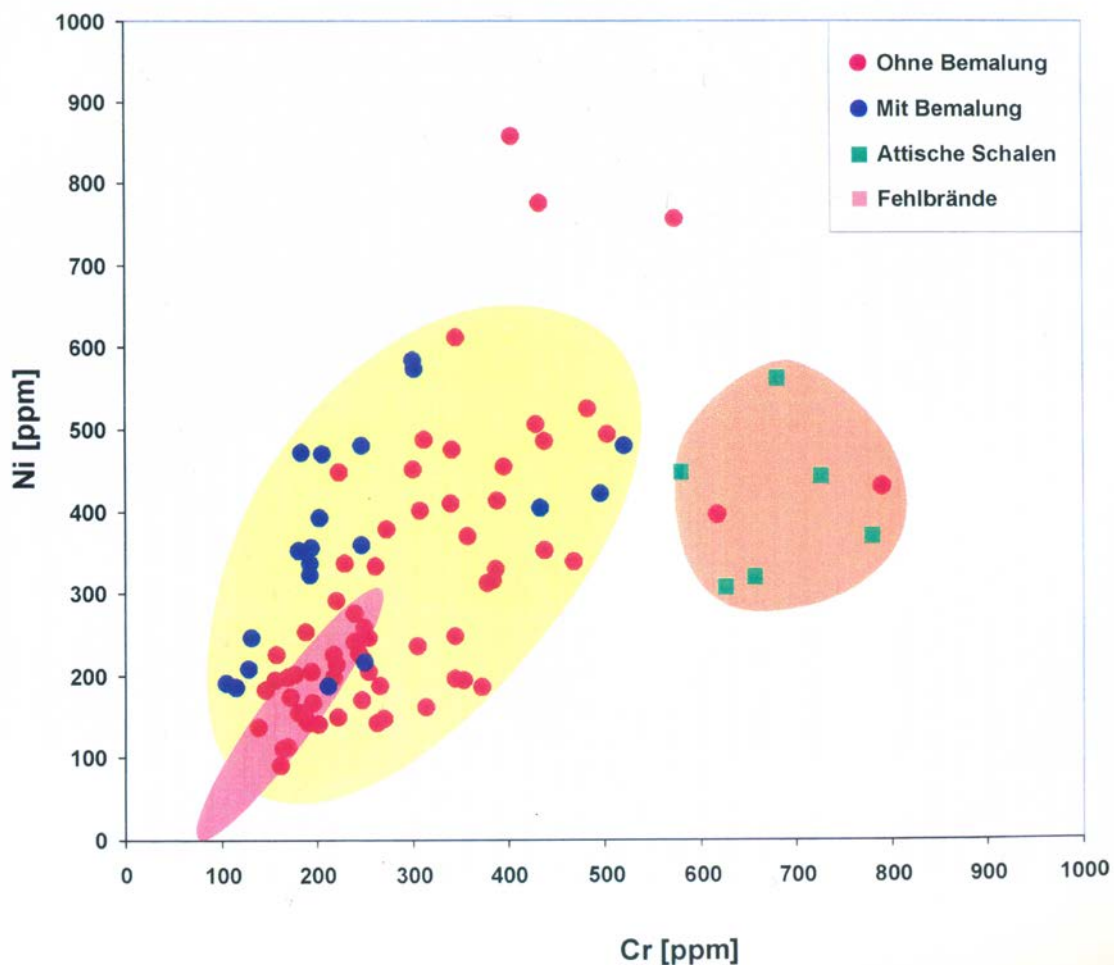


Abb. 106 Diagramm 4. Cr-/Ni-Auswertung der milesischen Proben mit milesischem Referenzfeld (rosa hinterlegt), 'chemischem Miletfeld' (gelb) und 'attischem' Feld (orange).

Hinzu tritt die Tatsache, daß sich ein weiteres, kleineres Feld neben dem milesischen gebildet hat, das sich archäologisch ebenso deutlich vom 'milesischen Feld' abhebt, wie es die chemische Analyse auf dem Diagramm ins Bild setzt. Denn in diesem kleineren abgesonderten Feld, hier orange dargestellt, fanden sich ausnahmslos attische Schalen, die mit grünen Vierecken bezeichnet sind. Daher ist dieses Feld zunächst als attisches oder attisierendes anzusehen. Die mit grünen Vierecken gekennzeichneten Keramikproben sind in einem weiter begrenzten Bereich lockerer gestreut als im Miletfeld. Dies ist vermutlich auf die geringe Anzahl der Proben zurückzuführen. Zwischen den grünen Vierecken der attischen Schalen befinden sich auch zwei rote Punkte in dem orangen attischen/attisierenden Feld, die zwei KRSk (8; 28) bezeichnen. Hierbei handelt es sich um Gefäße, die auch archäologisch schon als attisch oder attisierend angesprochen wurden. Das attische/attisierende Feld wird unten noch genauer zu betrachten sein. Die deutliche Trennung der beiden unterschiedlichen Provenienzen aber, die sich in der Zweielementauswertung zeigt, kann als weitere Bestätigung der Untersuchung angesehen werden.

Zuletzt sind noch einige KRSSk und KRS zu nennen, deren Ni-/Cr-Werte außerhalb beider ermittelter Felder liegen¹²⁴⁴. Sie werden weiter unten eingehender diskutiert.

7.4.3.2 Die Gattung der südionischen Knickrandschalen innerhalb des 'chemischen Miletfeldes'

Innerhalb des 'chemischen Miletfeldes' liegen die meisten der schlicht dekorierten KRSSk und KRS sowie alle mit südionischer Gefäßmalerei dekorierten Gefäße. Sie sind in den Diagrammen (Diagramme 3-4, Abb. 105-106) mit roten Punkten für die schlicht dekorierten und mit blauen Punkten für die bemalten Gefäße kenntlich gemacht. Die Auswertung anhand der beiden Elemente Ni und Cr¹²⁴⁵ ergaben nun genauso interessante Ergebnisse, wie eine Clusteranalyse, die in einem Dendrogramm (Diagramm 5, Abb. 107) dargestellt ist. Die Clusteranalyse bezieht im Gegensatz zur Zweielementauswertung alle sechsunddreißig ausgewerteten chemischen Elemente mit ein. Die Abstände, die die Summen aller Werte der gemessenen Proben zueinander ergeben, verhelfen zu Aussagen über die Zusammengehörigkeit oder fehlende Zugehörigkeit zu chemischen Gruppen. Diese Gruppen wurden von einem Computerprogramm, das speziell für die Keramikanalyse entwickelt wurde, auf der eben beschriebenen Grundlage gebildet¹²⁴⁶.

Zunächst ist die Zweielementauswertung zu betrachten (Diagramm 4, Abb. 106). Hier liegen nun tatsächlich Beispiele aller beprobten und für Milet bezeugten Typen auch im 'chemischen Miletfeld'¹²⁴⁷. Zu einem anderen Ergebnis kommt demgegenüber die Clusterauswertung. Bei ihr zeigt sich eine klare Trennung der im Zweielementdiagramm als eine milesische Gruppe zusammengefaßten Proben in zwei chemisch zu trennende Gruppen, die als blaues und grünes Feld dargestellt sind. Das Dendrogramm (Diagramm 5, Abb. 107) veranschaulicht diese Trennung nur ungenau, weshalb hier eine etwas ausführlichere Diskussion notwendig ist.

Von dem umfangreichen blauen Feld des Dendrogrammes (Diagramm 5, Abb. 107) scheiden an beiden Enden einige KRSSk und KRS aus der Hauptgruppe, Cluster 2, aus. Mit dem roten Feld links im Diagramm verklammert sich eine der mit blau bezeichneten Keramikanalysen, die KRS 224. Sie gehört dem Cluster 1 (Abb. 117, Tab. 22 Nr. 16) an, das sich ausschließlich aus attischen Schalen zusammensetzt (Abb. 117, Tab. 22 Nr. 1-6). In der Zweielementauswertung gruppierte sich die KRS 224 dem milesischen Feld zu, also ebenso wie sie archäologisch zu klassifizieren wäre. Ihre Nähe zur Gruppe der attischen Schalen läßt sich vorläufig nicht sinnvoll erklären.

¹²⁴⁴ s. auch das Diagramm 4, Abb. 106, in dem fünf analysierte Keramikproben außerhalb der definierten Felder liegen.

¹²⁴⁵ Es wurden auch andere Elemente mit der Zweielementauswertung überprüft, beispielsweise Zr und TiO₂. Hier konnte das vorgestellte Ergebnis bestätigt werden.

¹²⁴⁶ Näheres hierzu wird Yalçın in seinem methodischen Kapitel darlegen, das in einem anderen Zusammenhang für eine Publikation geplant ist.

¹²⁴⁷ Die Diagrammform läßt die Unterteilung der archäologischen Typen nicht zu. Doch sind alle archäologischen Typen der Gattung in repräsentativer Anzahl im 'chemischen Miletfeld' enthalten, was in der Einzeldiskussion der Typen weiter unten gezeigt wird.

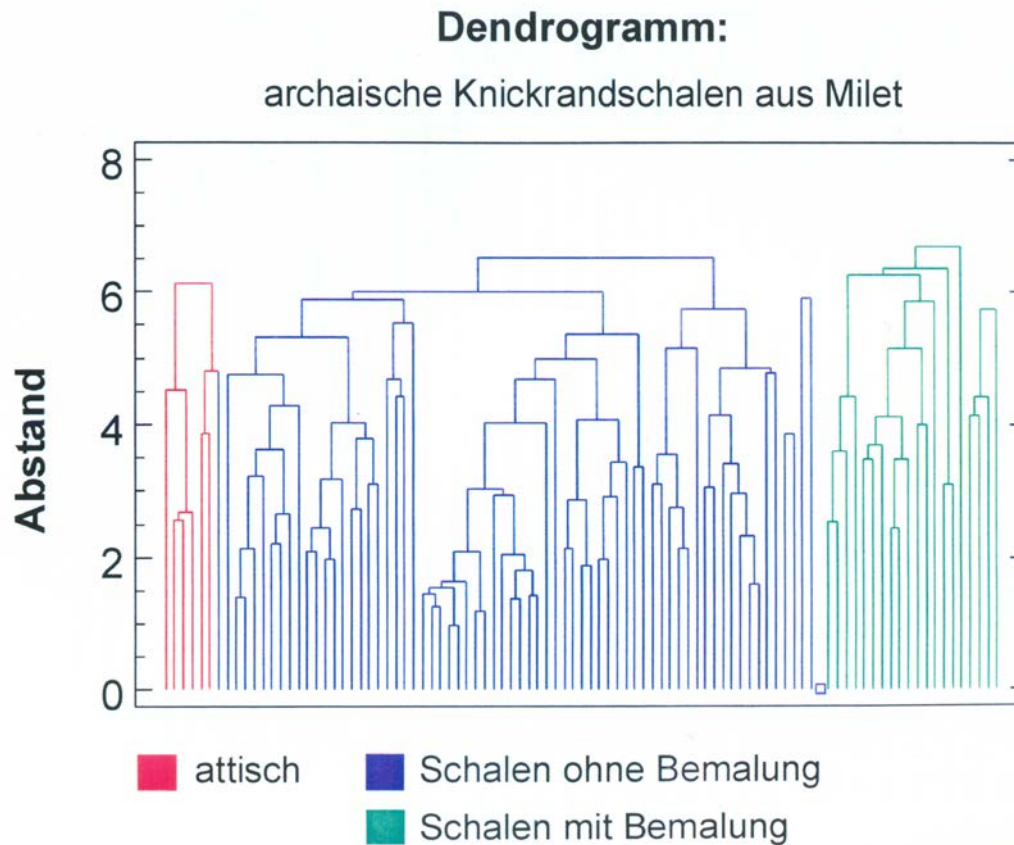


Abb. 107 Diagramm 5. Dendrogramm nach Clusterauswertung der milesischen Proben.

Am anderen Ende befinden sich fünf Proben, die sich nicht mit der Hauptgruppe 2 der im Dendrogramm (Diagramm 5, Abb. 107) blau gehaltenen Proben verbinden, aber auch nicht mit den grün wiedergegebenen Proben rechts von ihnen. Es handelt sich um die Cluster 3 (Abb. 117, Tab. 22 Nr. 9. 10), Cluster 4 (Abb. 117, Tab. 22 Nr. 28. 58) sowie Cluster 5 (Abb. 117, Tab. 22 Nr. 36). Cluster 3 besteht aus zwei von drei Keramikproben sog. tiefer Skyphoi (TR-3K/208–210)¹²⁴⁸. Sie lagen in der Zweielementauswertung im 'chemischen Miletfeld'. Ob sich hier möglicherweise zwei Werkstätten trennen, die diese tiefen Skyphoi herstellten, müssen weitere Untersuchungen erweisen. Die drei Beispiele dieser Gattung können vorläufig nicht mehr als Hinweise geben. Cluster 4 bestätigt aber exakt die Ergebnisse, die sich schon für den KRSk 32 sowie die KRS 303 aus der Zweielementauswertung ergaben. Ihr Abstand von der blau bezeichneten Hauptgruppe bestimmt sie nach der Clusterauswertung ebenso als 'Single' wie ihre abweichenden Ni-/Cr-Werte in der Zweielementauswertung. Ein weiterer Cluster (Cluster 5) besteht aus nur einer KRS vom Typus 11, Variante 11,1.Bk, von der die Keramikprobe TR-3K/236 entnommen wurde (Abb. 117, Tab. 22 Nr.

¹²⁴⁸ Die »tiefen Skyphoi« werden hier nicht weiter besprochen und abgebildet, da sie entgegen der ursprünglichen Vermutung doch keine Verbindung zur Entwicklung der KRS aufweisen. Es handelt sich bei den sog. tiefen Skyphoi um Gefäße, wie sie in der kurzen Besprechungen von tiefen Skyphoi aus Milet bei Graeve 1975, 41 definiert werden; zudem sei verwiesen auf V. v. Graeve in: CollNeapel 35 f. Taf. 12, 1-2; s. bes. auch zum Fortbestehen in archaischer Zeit Graeve 1975, 49 f. Kat.-Nr. 40 Abb. 15; 51 Kat.-Nr. 45 Abb. 19 Taf. 9, 40. 42; 10, 45-46; M. Kerschner in: Graeve 1999, 19 f.

36). Im Dendrogramm ist sie als kleines Viereck direkt vor dem grünen Feld wiedergegeben. Daß ihr Abstandswert sie von allen übrigen Gefäßen isoliert, findet weder in der Zweielementauswertung eine Bestätigung, noch eine archäologische Erklärung.

So bleiben dreiundsechzig Keramikproben des Clusters 2, die im Diagramm als blaue Gruppe mit der obersten Klammer zusammengefaßt sind. Auch hier weichen einige von den Ergebnissen der Ni-/Cr-Auswertung ab. Dazu gehören die beiden als attisch oder attisierend bezeichneten KRsk **8** und **28**, die sich hier dem Cluster 2 zuordnen (Abb. 117, Tab. 22 Nr. 7. 41). Damit zeigt sich, daß die Clusterauswertung zur Bestimmung einer attischen Gruppe ein etwas anderes Ergebnis als die Zweielementauswertung erbracht hat. Obwohl alle attischen Schalenproben auch bei dieser Auswertungsmethode ausnahmslos derselben chemischen Gruppe angehören – dem Cluster 1 – blieb eine Bestätigung der vermuteten attischen Herkunft der beiden KRsk **8** und **28** aus sowie die Zuordnung der KRsk **224** zum Cluster 1 unklar.

Die Mehrzahl der Keramikproben des Clusters 2 aber bestätigt das 'chemische Miletfeld' der Zweielementauswertung, in der sie mit roten Punkten im gelben Feld dargestellt sind (Diagramm 4, Abb. 106). Vorläufig sei somit die Hauptgruppe der blau angeführten Beispiele des Dendrogramms als Gruppe A und die grün markierten Beispiele als Gruppe B bezeichnet, wenn auch letztere nochmals in zwei Untergruppen (Cluster 6 = B1 und Cluster 7 = B2) zerfällt. Die Untergruppen lassen sich wiederum an den Verklammerungen im oberen Bereich der Darstellung (Diagramm 5, Abb. 107) ausmachen, da die äußeren grün gezeichneten vier analysierten Gefäße (B2) keine verbindende Klammer zur größeren grün dargestellten Gruppe B1 aufweisen. Cluster 7 beinhaltet nun interessanterweise nur Ionische Kleinmeisterschalen (**600**; **609**; **617–618**), mithin eine Schalengruppe, die sich auch archäologisch eng zusammenfassen läßt. Ihre besonders feine Tonaufbereitung, die sie schon optisch in ihrer Qualität von den übrigen bemalten Gefäßen unterscheidet, mag ausschlaggebend für ihre chemische Sonderstellung sein. Diese chemische Sonderstellung muß aber noch durch weitere Proben auch anderer Gattungen, z. B. die eng verwandten Gesichtstassen und -kantharoi sowie Kopfkantharoi, erwiesen werden¹²⁴⁹. Daß sich damit mehr als nur ein Hinweis bezüglich einer Unterteilung nach Werkstätten oder Produktionseinheiten unter den bemalten milesischen Gefäßen ergeben hat, scheint damit bereits durch die vorliegenden Untersuchungen erwiesen zu sein. Die Ionischen Kleinmeisterschalen stellen eine in sich homogene Gruppe dar, was auf eine kurze Werkstatttradition schließen läßt, die versuchte, den attischen Vorbildern nahe zu kommen. Die Auswertung des Dendrogramms (Diagramm 5, Abb. 107) wirft auf der anderen Seite jedoch die Frage auf, warum die Ionischen Kleinmeisterschalen sich nicht auch in der

¹²⁴⁹ Die eng mit den milesischen Kleinmeisterschalen zusammenhängenden, vor allem in Milet gefundenen und hergestellten Gesichts- und Kopftassen sowie -kantharoi wurden inzwischen in einer ausführlicheren Studie vorgestellt, s. U. Schlotzhauer, Ostgriechische koroplastisch gestaltete Gesichts- und Kopfgefäße aus milesischen Werkstätten, in: R. Biering – V. Brinkmann – U. Schlotzhauer – B. Weber (Hrsg.), *Maiandros, Festschrift für Volkmar von Graeve* (2006) 229 ff. (bereits mit Informationen zu naturwissenschaftlichen Herkunftsbestimmungen einiger der Kopfkantharoi der Kleinmeisterklasse).

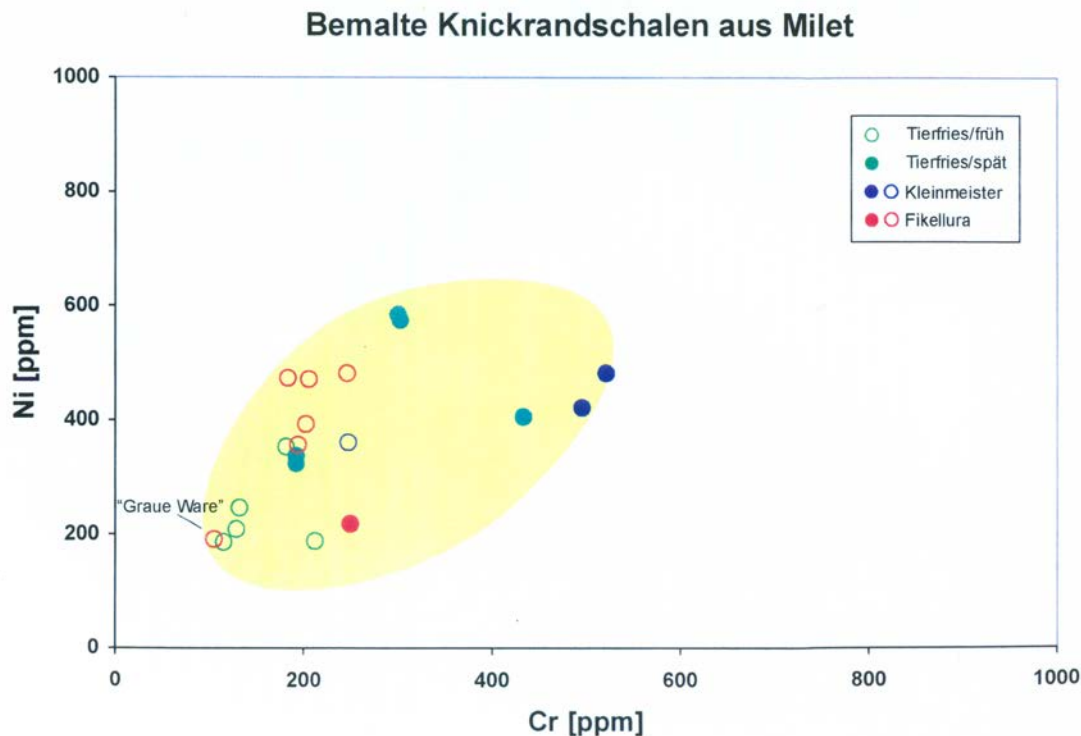


Abb. 108 Diagramm 6. Cr-/Ni-Auswertung bemalter milesischer Keramik.

Zweielementauswertung von den übrigen bemalten Gefäßen trennen lassen. Hier entsprechen sie nämlich durchaus dem 'chemischen Miletfeld' (Diagramm 6, Abb. 108), auch wenn sich zwei von ihnen (**617–618**) – im Diagramm als ausgefüllte blaue Punkte dargestellt – an der äußeren rechten Peripherie des gelben Feldes befinden. Die beiden anderen chemisch auf ihre Herkunft untersuchten Kleinmeisterschalen sind in der Zweielementauswertung (Diagramm 6, Abb. 108) ebenfalls als blauer Kreis (**609**) bezeichnet, zum anderen aber als ausgefüllter roter Punkt (**600**). Letztere Schale ist in rot dargestellt, weil sie im Becken eine gewöhnliche Fikellurastil-Bemalung der Stufe MileA II auf dem typischen dichten, hellen Überzug trägt. Diese beiden Beispiele sind aber wieder zentral im 'chemischen Miletfeld' positioniert, schließen sich also in der Ni-/Cr-Auswertung nicht eng mit den beiden anderen Kleinmeisterschalen zusammen.

Demnach ist vorläufig eine Trennung der Gefäße mit Fikellurastil-Malerei der Stufe MileA II in zwei Gruppen festzustellen. Sechs Beispiele (**403; 450; 556; 567; TR-3K/277; TR-3K/289**) orientieren sich zum Einen in einer aufsteigenden Linie am linken Rand des aufgespannten 'chemischen Miletfeldes' der Zweielementauswertung, zum Anderen gehören sie alle dem Cluster 6 (= B1) an. Die übrigen bemalten Beispiele der Stufe MileA II, die archäologisch als homogene Gruppe bekannten Ionischen Kleinmeisterschalen gleicher Zeitstufe, stehen teils weit außerhalb der eben bezeichneten Linie in der Ni-/Cr-Auswertung und bilden zugleich Cluster 7 (= B2). Die KRS (**600**) aus letzterer Gruppe vermittelt zwischen dieser Sondergruppe der Ionischen Kleinmeister und der als Fikellurastil (MileA II) bezeichneten Gefäßmalerei der gleichen Stilstufe. Sie weist nämlich beide Eigenschaften

auf, die entweder ausschließlich für die bemalte Keramik der milesischen Stilstufe SiA II oder die attisierenden Ionischen Kleinmeister charakteristisch sind.

Während also in der Clusteranalyse alle dekorierten Beispiele mit Gefäßmalerei der Stilstufen MileG III bis MileA II in der Hauptgruppe B zusammengefaßt sind, beinhaltet die Hauptgruppe A ausschließlich einfach dekorierte KRSSk und KRS. Wie sich diese Trennung interpretieren läßt, muß vorläufig offen bleiben. Archäologisch jedenfalls zeichnet sich zunächst keine Erklärung ab. Weder eine chronologische noch eine technische Begründung ist anhand dieser Gruppenbildung ersichtlich. Will man nicht annehmen, daß in Milet über 200 Jahre eine klare Trennung zweier Werkstätten existiert habe, von der die eine nur einfach dekorierte Trinkgefäße, die andere nur die mit Malerei erzeugte, muß nach anderen Gründen gesucht werden. Ob eine Erklärung in einem bestimmten Zusatzstoff im Zusammenhang mit der Fertigung von fein dekorierte Ware zu suchen ist, muß weiteren Untersuchungen vorbehalten bleiben. Zum jetzigen Zeitpunkt läßt sich die mathematische Auswertung (Clusteranalyse) der chemischen Untersuchungen nicht weitergehend interpretieren. Weitere Untersuchungen müssen das bisherige Bild ergänzen oder korrigieren.

7.4.3.3 Die Serie der einfach dekorierten Knickrandschalen aus Milet

In den Ausführungen zu den südionischen KRSSk und KRS in den vorangegangenen Kapiteln sind die Herkunftsfragen zu den entsprechenden Typen bereits formuliert worden. Während nach bisher gängiger Meinung mittelgeometrische Skyphoi attischer Herkunft den Anstoß zur Entwicklung südionischer KRSSk (Typus 1) gegeben haben sollen und für eine zweite geometrische Form (Typus 2) der Ursprung noch völlig unklar ist, wird für die übrigen Typen, mit Ausnahme der 'Grauen Ware', südionische Herkunft vorausgesetzt. Doch hatten bereits vorangegangene Untersuchungen von Dupont für bestimmte Typen samische, milesische und einige unbekannte Provenienzen unterschieden. Auch die Untersuchungen von Kerschner, Posamentir und Mommsen haben samische, milesische, ephesische und eine unlokalierte Produktion nachgewiesen. Dies läßt sich bisher aus den hier vorgestellten Untersuchungen nicht ohne Weiteres klären, da hier keine Keramikproben aus Samos oder anderen möglichen Import- oder Produktionsorten einbezogen sind und eindeutig samische KRS – sofern solche archäologisch überhaupt zu unterscheiden sind – unter den Funden in Milet nicht zu erkennen sind.

7.4.3.3.1 Die geometrischen Knickrandskyphoi

7.4.3.3.1.1 Typus 1

Die chemischen Untersuchungen im Bochumer Labor (Yalçın) haben vorläufig ergeben, daß tatsächlich zwei der frühesten geometrischen KRsk (**8**; **28**) nicht dem 'chemischen Miletfeld' angehören¹²⁵⁰. Sie fanden sich im 'attischen Feld' wieder und werden weiter unten besprochen¹²⁵¹.

Neben diesen importierten Beispielen ließen sich lokale Produkte des gleichen Typus nachweisen (**16**; TR-3K/239). Der Boden und Henkel des Gefäßes TR-3K/239 kann mit hoher Wahrscheinlichkeit dem Typus 1 zugerechnet werden, auch wenn letztendlich der signifikante Rand fehlt.

Mit den hier vorgestellten chemischen Untersuchungen gelang nun erstmals der naturwissenschaftliche Nachweis für die Einfuhr von attischen Gefäßen dieses Typus nach Milet und der lokalen Nach- und Weiterentwicklung dieser Trinkgefäßgattung geometrischer Zeit in Milet.

Bei den Nachuntersuchungen im Bonner Labor (Mommsen) konnten sogar insgesamt 5 KRsk des Typus 1 einbezogen werden. Von diesen hat zunächst einmal die Doppelbeprobung von **28** den attischen Nachweis im Bochumer Labor (Yalçın) eindeutig bestätigt und die Zugehörigkeit zur wohl bekannten chemischen Herkunftsgruppe KroQ (Mommsen), die der mykenischen Herkunftsgruppe KroP und der archaisch/klassischen Herkunftsgruppe KrPP ähnelt (s. u.)¹²⁵². Darüber hinaus haben die Untersuchungen von Mommsen an zusätzlichen Stücken in Milet (**27**, **29**), die entweder einen attischen oder attisierenden Eindruck machten, ebenfalls die attische Herkunftsgruppe KroQ (Mommsen) nachweisen können. Überraschend allerdings war dann das Ergebnis von **25**, einem weiteren Beispiel der KRsk vom Typus 1. Er stellte sich als euböisch heraus: Herkunftsgruppe EuA (Mommsen)¹²⁵³. Was die lokale Produktion des KRsk Typus 1 betrifft, so haben die Nachuntersuchungen im Bonner Labor (Mommsen) anhand der Doppelbeprobung von **16** das Ergebnis von Yalçın bestätigen können und dahingehend konkretisiert, daß der milesische Skyphos der Herkunftsgruppe D (Mommsen)¹²⁵⁴, einer von mehreren inzwischen bekannten milesischen Herkunftsgruppen, angehört. Allerdings könnte das Ergebnis eine Hinweis darauf sein, daß die Werkstätten der Herkunftsgruppe D (Mommsen) älter

¹²⁵⁰ Obgleich die Clusterauswertung hier ein unklares Bild hinterläßt, denn im Gegensatz zur Zweielementauswertung hat sie die beiden Stücke dem Cluster 2, Hauptgruppe A zugeordnet, womit sie nach dieser Methode Mitglieder der milesischen Hauptgruppe sind.

¹²⁵¹ Tatsächlich ist es so, daß die Skyphoi **8** und **28** zwar in der Zweielementauswertung im chemischen 'Attikafeld' platziert sind, aber ihre Zuweisung im Zuge der von Yalçın im Bochumer Labor durchgeführten Analysen nicht eindeutig ist. Denn die Clusteranalyse wies sie ja der Hauptgruppe A, dem Cluster 2, zu, das als milesisches Cluster zu werten ist. Daher ist die Behauptung, bereits mit diesen naturwissenschaftlichen Analysen sicher attische 'Auslöser' für die milesische Produktion des Typus 1 nachgewiesen zu haben, zu relativieren. Erst mit den neueren Untersuchungen im Bonner Labor bei Mommsen (s. u.) kann jetzt tatsächlich von attischen Importen ausgegangen werden, welche die Entwicklung in Milet angestoßen oder zumindest beeinflußt haben mag.

¹²⁵² Vgl. die Hinweise von Mommsen S. 425.

¹²⁵³ Vgl. die Hinweise von Mommsen S. 425 f.

¹²⁵⁴ Zur Herkunftsgruppe D die Hinweise von Mommsen S. 423 und ausführlicher hier auf S. 405 mit Anm. 1311.

ist als die Werkstätten der Herkunftsgruppe A (Mommsen), denn den 'Kalabaktepe Werkstätten' konnten bisher noch keine so frühen Beispiele zugeordnet werden (s. u. Typus 2).

7.4.3.3.1.2 Typus 2

Ein weiterer Typus der geometrischen Epoche war mit sieben Beispielen in die Probenserie im Bochumer Labor (Yalçın) eingegangen. Der Typus 2 hat bisher keine ähnlich frühen Beispiele hervorgebracht, wie sie für den Typus 1 nachgewiesen sind. Im entsprechenden Kapitel¹²⁵⁵ zum Typus 2 ist darauf verwiesen worden, daß der Formtypus außerhalb Milets nur mit wenigen Beispielen im Hera-Heiligtum der benachbarten Insel Samos vertreten ist. Ob die Entstehung der Form als Erfindung in Südionien bzw. Milet selbst zu betrachten ist, oder ob ihre Existenz ähnlich dem Typus 1 auf einen Anstoß außerhalb der südionischen Region zurückzuführen ist, läßt sich archäologisch vorläufig nicht klären. Mögliche Kandidaten in anderen Fundorten sind bisher nicht bekannt geworden. Das wohl typologisch älteste Beispiel des Typus 2 stellt der Skyphos **32** dar. Er ist in mancher Hinsicht auch der ungewöhnlichste Vertreter seiner Gruppe. Sein Dekoraufbau hebt ihn bereits aufgrund einer ungewöhnlich dunklen Gestaltung von den übrigen Beispielen des Typus ab. Einen vergleichbar dunkel gefirnißten Rand sucht man vergeblich, nicht nur innerhalb des Typus 2.

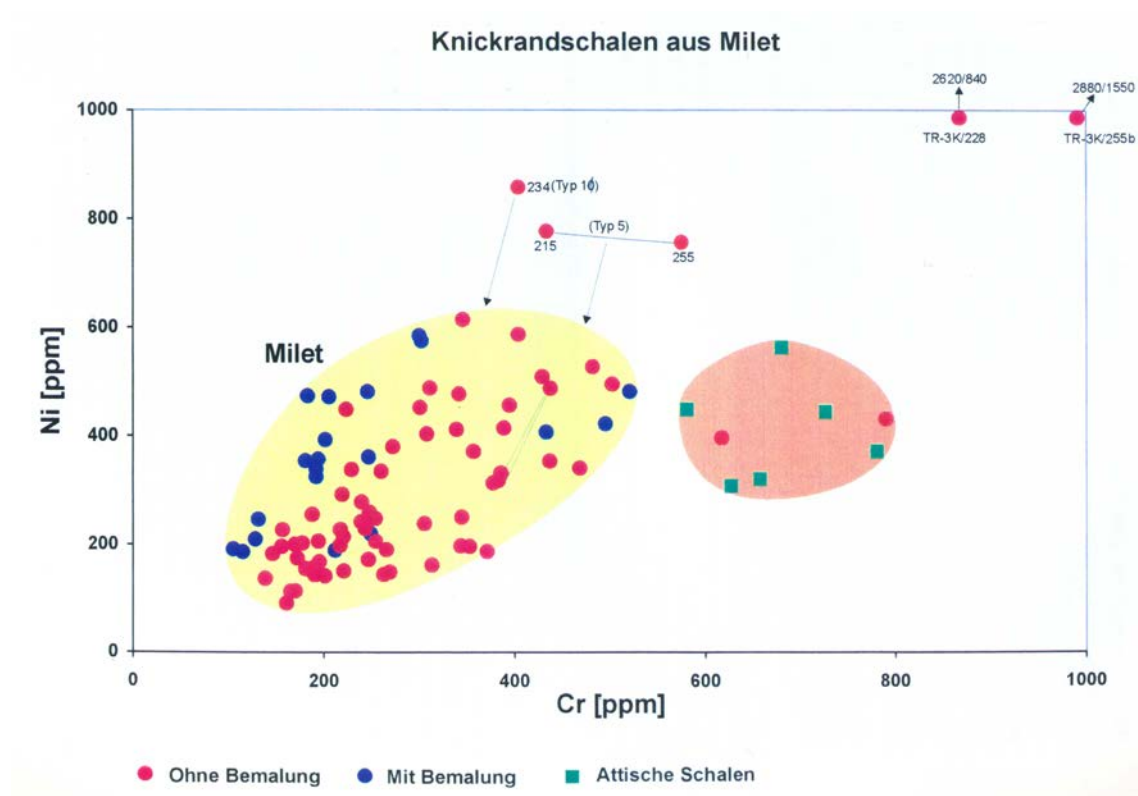


Abb. 109 Diagramm 7. Cr-/Ni-Auswertung der milesischen Proben.

Zudem ist die Beschaffenheit seines Scherbens, der gröber gemagert, härter gebrannt und dunkler in der Erscheinung ist, unter den übrigen südionischen Gefäßen ungewöhnlich. So ist es wenig

¹²⁵⁵ vgl. S. 89 ff. Kapitel 4.1.1.2 'Der Typus 2'.

verwunderlich, daß sich der KRSk **32** chemisch als 'Single' erwies. Er fand sich bei der Zweielementauswertung (Diagramm 7, Abb. 109 o. r.) ebenso weit entfernt von den übrigen Gruppen, wie bei der Clusterauswertung¹²⁵⁶. Dort war er eines von zwei Beispielen des Clusters 4 mit einem großen Abstand zu den übrigen Gruppen, besonders der Hauptgruppe A. Die übrigen Beispiele des Typus 2 (**31**; **33**; **36–37**; **48**; **408**) sind wieder in der milesischen Hauptgruppe A der Clusterauswertung bzw. dem 'chemischen Miletfeld' eingebunden.

Demnach kann für den Typus 2, dessen Hauptfundort Milet darstellt und dessen schwache Verbreitung lediglich bis Samos spürbar ist, festgehalten werden, daß bis auf ein Beispiel alle Proben dieser Gruppe milesisch sind¹²⁵⁷. Die Sicherheit dieser Aussage stützt sich vor allem auf die in den Zweielementanalysen erkannte direkte Deckung mit der Referenzgruppe der Fehlbrandfunde (Diagramm 2 3-4, Abb. 104-105).

Die Nachuntersuchungen im Bonner Labor (Mommsen) konnten nun die Ergebnisse der Bochumer Untersuchungen (Yalçın) korrigieren. Der im Bochumer Labor als chemischer 'Single' ausgewiesene Skyphos **32** konnte mit einer zweiten Probenahme nun der Herkunftsgruppe D (Mommsen) zugeordnet werden. Möglicherweise war die erste Probe zu irgendeinem Zeitpunkt kontaminiert worden. Dies zeigt, daß man sich vor 'Überinterpretation' eines chemischen 'Singles' hüten muß. Dagegen sind **31** und **408** im Bonner Labor (Mommsen) als milesische Erzeugnisse bestätigt worden. Darüber hinaus konnten die Untersuchungen von Mommsen die Bochumer Ergebnisse dahingehend konkretisieren, daß die vier untersuchten Beispiele des Typus den beiden chemischen milesischen Hauptgruppen A, den Kalabaktepe-Werkstätten, (**34**) und D (Mommsen) (**32**, **408**) sowie einer vermutlichen Variante von A (Mommsen), nämlich a (Mila) (Mommsen) (**31**) zuzuordnen sind. Dagegen ließen sich die 5 im Bochumer Labor (Yalçın) als milesisch erwiesenen Stücke des Typus 2, trotz größerer Variantendiversität in der Probenauswahl, chemisch nicht differenzieren, obgleich die Herkunftsvielfalt schon an den doppelt beprobten Stücken in Bonn (Mommsen) nachzuweisen waren. Demnach haben verschiedene milesische Werkstätten an der Produktion des Typus 2 teilgehabt, vermutlich anders als beim Typus 1. Mit dem Typus 2 fängt möglicherweise die Produktion von KRSk und KRS in den 'Kalabaktepe Werkstätten' (Herkunftsgruppe A, Mommsen) an.

¹²⁵⁶ Der KRSk **32** war im Bochumer Labor (Yalçın) sowohl in der Zweielementdarstellung, als auch im Clusterverfahren als 'Single' ausgewertet worden. Die naturwissenschaftlichen Untersuchungen im Bonner Labor (Mommsen) konnten allerdings eine Herstellung in Milet in der Herkunftsgruppe D erweisen (s. u.). Damit sind alle anderweitigen Spekulationen, beispielsweise eines Importes, nun unbegründet.

¹²⁵⁷ Mit den Nachuntersuchungen von Mommsen sind nun alle bisher untersuchten Beispiele des Typus 2 als milesisch erwiesen, s. Anm. zuvor.

7.4.3.3.2 *Die spät- und subgeometrischen Knickrandskyphoi und -schalen*

7.4.3.3.2.1 **Typus 3**

Mit dem Typus 3 vollzog sich der Übergang von der Skyphos- zur Schalenform, was sich bisweilen auch an einzelnen Gefäßen beobachten ließ, die zwischen der einen und anderen Form stehen. Die Formen wie die Dekore sind sowohl auf Samos als auch in Milet außerordentlich ähnlich. So sind die wechselnden Ansichten der Keramikbearbeiter zum Produktionsort des Typus 3 auch stets Ausdruck der zufällig intensiveren Grabungen in den entsprechenden Schichten am einen oder anderen Ort sowie deren Publikationslage. Eine naturwissenschaftliche Herkunftsuntersuchung zu den Schalen des Typus 3 ist bisher ebensowenig versucht worden, wie zu den zuvor besprochenen Typen 1 und 2.

Somit gilt den sechs im Bochumer Labor (Yalçın) chemisch analysierten Gefäßen (62; 66; 70–72. 412) des Typus 3 eine erstmalige naturwissenschaftliche Untersuchung zur Herkunftsbestimmung. Es fanden Beispiele aus zwei der drei Untergruppen in die Keramikprobenserie Eingang. Das Ergebnis zu diesem Typus fiel eindeutig aus. Alle Proben wurden der für Milet in Anspruch genommenen Hauptgruppe zugewiesen. In der Zweielementauswertung liegen die Proben alle im zentralen Bereich des 'chemischen Miletfeldes' und darüber hinaus decken sie sich wie die meisten Keramikproben des Typus 1 und Typus 2 mit einem Teil der Referenzgruppe der Fehlbrandfunde (Diagramme 3-4, Abb. 105-106). Dieses Ergebnis fand durch die Clusterauswertung Bestätigung, denn alle sechs Proben gehören hier der Hauptgruppe A an.

Damit kann zumindest die Aussage getroffen werden, daß die KRSk und KRS des Typus 3 ebenfalls in Milet hergestellt wurden. Eine Produktion für Samos auszuschließen, scheint allerdings verfrüht, auch wenn bisher nicht eine Herkunftsanalyse der in Milet gefundenen Beispiele dieses Typus einen Import wahrscheinlich macht. Proben aus Samos selbst fehlen allerdings noch¹²⁵⁸.

In der Untersuchungsserie, die zur Nachuntersuchungen ins Bonner Labor (Mommsen) geschickt wurden, waren keine Beispiele des Typus 3 enthalten.

7.4.3.3.2.2 **Typus 4**

Die subgeometrischen KRS vom Typus 4 (74; 78) haben den Wechsel zur Schalenform endgültig vollzogen. Ihr einheitlicher Dekor mit den Reihen von vertikalen Strichen auf der Schulterzone steht hingegen weiterhin ganz in der Tradition geometrischer Vorbilder. In die Probenreihe sind sie mit nur zwei Beispielen einbezogen worden, denn ihre lokale Produktion steht nicht in Zweifel. In Milet stellt sich dieser Typus als umfangreicher, variantenreicher und in seiner qualitativen Stufung reichere Gattung dar, als im Hera-Heiligtum auf Samos, wo der zweite aber offensichtlich weniger bedeutende Fundort des Typus 4 liegt. Die wenigen Proben lassen auch für den Typus 4 keine Zweideutigkeiten

¹²⁵⁸ Der Typus 3 wurde nicht erneut in die naturwissenschaftliche Untersuchung im Bonner Labor (Mommsen) aufgenommen – vor allem, weil noch immer keine Beispiele aus Samos für die Analysen bereitgestellt werden konnten. Daher hat zumindest die Vermutung einer vor allem milesischen Produktion weiterhin Gültigkeit.

aufkommen. Beide sind infolge der Clusteranalyse, als auch aufgrund ihrer Ni-/Cr-Werte der milesischen Gruppe zuzurechnen. Besonders die qualitätvolle KRS **78** kann als repräsentativ für den Typus betrachtet werden. Mit ihrem Nachweis als milesisches Erzeugnis ist eine bedeutende Produktion dieser Schalen­gruppe in Milet anzunehmen¹²⁵⁹.

Nachuntersuchungen in Bonn (Mommsen) an den beiden KRS **74** und **78** des Typus 4 haben die Ergebnisse in Bochum (Yalçın) im großen und ganzen bestätigt. Allerdings konnten zwei Herkunftsgruppen, D (Mommsen) und DD (Mommsen) – bzw. die Subgruppe DD-1 –, angetroffen werden. Wieder zeigt sich, daß das Bonner Labor (Mommsen) einen differenzierten Einblick in die Produktion eines Herkunftsortes erlaubt.

7.4.3.3.3 *Die einfach dekorierten Knickrandschalen der Stufe SiA I*

7.4.3.3.3.1 **Typus 5**

Der Typus 5 wird seit jeher als Beginn der Entwicklung der südionischen KRS in archaischer Zeit betrachtet¹²⁶⁰. Sein charakteristisches Erscheinungsbild läßt den Typus 5 leicht erkennen und zuordnen. Die auf historisch-archäologischen Argumenten beruhenden Vermutungen zur Herkunft dieses Typus wechselten verschiedentlich im Bild der eingangs dargelegten Forschungsgeschichte. Man hielt sie zunächst für rhodisch oder milesisch, dann für samisch. Bisher wurde erst ein Vertreter dieses Typus – eine in Ephesos gefundene KRS – im Bonner Labor (Mommsen) naturwissenschaftlich beprobt¹²⁶¹. Dieses Beispiel konnte von Kerschner und Mommsen zunächst nicht sicher als samisches Produkt nachgewiesen werden¹²⁶². Inzwischen ist Samos als Produktionsort der chemischen Herkunftsgruppe J (Mommsen) gesichert¹²⁶³ und damit auch die KRS des Typus 5 aus Ephesos. Dies scheint sich zunächst gut mit den Ergebnissen Duponts zum Typus 5 (Villard – Vallet Typus A2) zu decken, der eine vor allem in Samos beheimatete Produktion vertritt (s. u.).

¹²⁵⁹ Die erneute naturwissenschaftliche Überprüfung der beiden KRS **74** und **78** im Bonner Labor (Mommsen) hat die milesische Herkunft bestätigt. Die KRS **74** gehört der sicher milesischen Herkunftsgruppe D und **78** der vermutlich Milet zuzuordnenden Herkunftsgruppe DD an.

¹²⁶⁰ So schon Furtwängler 1980, 164, als er im Zusammenhang mit seinem Typ I/11 (ebenda 201 Abb. 12, I/11) feststellte: »... – und dies ist schon richtig gesehen worden – beginnt mit diesem Typ das eigentliche Kapitel der 'ionischen' Schale«, auch wenn er den Typus noch viel zu früh datierte und daher als spätgeometrische Schale klassifizierte. Auch die in ihrer Wirkung bedeutendste Klassifizierung der KRS, die von Villard – Vallet 1955, beginnt parallel zu dem Typus A1 mit dem Typus A2, der in etwa dem Typus 5 entspricht.

¹²⁶¹ M. Kerschner in: Akurgal u. a. 2002, 51 f. 108 f. Kat.-Nr. 68 Taf. 5, 68.

¹²⁶² Ebenda, 52.

¹²⁶³ Mommsen u. a., Neutron Activation Analysis of Pottery from Naukratis and other Related Vessels, in: Villing – Schlotzhauer 2006, 70; Schlotzhauer – Villing 2006, 59; M. Kerschner – H. Mommsen, Neue archäologische und archäometrische Forschungen zu den Töpferzentren der Ostägäis, in: P. Dupont – V. Lungu (Hrsg.), Les productions céramiques du Pont-Euxin à l'époque grecque. Actes du colloque international Bucarest, 18–23 septembre 2004, Il Mar Nero 6 (2009) 84 f.; vgl. Schlotzhauer 2012, 57. 155 Kat.-Nr. Nau 125 (mit älterer Lit.); H. Mommsen u. a., in: U. Schlotzhauer – S. Weber – H. Mommsen, Griechische Keramik des 7. und 6. Jhs. v. Chr. aus Naukratis und anderen Orten in Ägypten. Archäologische Studien zu Naukratis 3 (2012) 439.

Die Ergebnisse der naturwissenschaftlichen Analysen der fünf KRS des Typus 5 aus Milet (**90**; **93**; **99**; **104–105**) im Bochumer Labor (Yalçın), die drei der vier verschiedenen Varianten des Typus 5 repräsentieren, sind nicht so eindeutig wie bei den vorangegangenen Typen 3 und 4. Während sich die Beispiele **93** und **104–105** im 'Miletfeld' der Zweielementauswertung befinden, liegen die Proben **90** und **99** abseits der Miletgruppe. Ihre Ni-Werte sind bereits um Einiges höher als die der Hauptgruppe. Doch hat eine doppelte Probenahme des Gefäßes **99** ergeben, daß nur die Analyse einer Probe an einer bestimmten Stelle der Schale den erhöhten Ni-Wert aufwies, während die Probe an einer anderen Stelle der Schale sich in das 'chemische Miletfeld' einfügte. Die Analysewerte der KRS **90** liegen dicht bei denen der KRS **99** und ebenfalls in der Ni-/Cr-Auswertung außerhalb des 'Miletfeldes'. Aufgrund dieses Befundes wäre also ein anderer Herstellungsort mit ähnlichen geologischen Bedingungen, beispielsweise Samos, nicht auszuschließen. Auch könnten sich das samische und milesische Feld überlappen, wodurch sich wiederum die doppelte Probenanalyse der KRS **99** in Einklang bringen ließ. Die Auswertung der Clusteranalysen hingegen zeigt keine Differenzen unter den Proben des Typus 5. Alle ordnen sich der Hauptgruppe A der einfach verzierten KRS unter. Somit ist nach wie vor auch eine milesische Produktion der beiden in Frage stehenden Gefäße **90** und **99** möglich. Sicher in Milet gefertigt sind aber nach den Auswertungen von Yalçın die drei anderen Beispiele des Typus 5, die KRS **93** und **104–105**, was durch beide Auswertungsmethoden bestätigt wird.

Mit der Nachuntersuchung im Bonner Labor (Mommsen) hat sich eine Neubewertung der untersuchten Beispiele des Typus 5 ergeben. Nicht nur für die beiden KRS der Variante 5.3.B/e (**104–105**) ist nun keine milesische Herkunft mehr gesichert, sondern auch die beiden neu untersuchten Gefäße (**97**; **101**) des Typus sind der samischen Herkunftsgruppe J anzuschließen, bzw. ein 'chemischer Single'. Der bedeutendste Unterschied allerdings zeigt sich in der Bewertung der KRS **105**. Im Bochumer Labor (Yalçın) wurde sie eindeutig als Produkt aus Milet erwiesen, während sie im Bonner Labor (Mommsen) der inzwischen gut definierten chemischen Herkunftsgruppe J angehört und damit samisch ist. Lediglich die Schale **104** ist einer bisher nicht lokalisierten naturwissenschaftlichen Herkunftsgruppe zugewiesen worden. Im Bonner Labor ist noch eine weitere KRS des Typus 5 untersucht worden. Sie wurde in Taganrog, einem vermutlich sehr frühen Emporion oder einer Ansiedlung¹²⁶⁴ an der Nordküste des Asowschen Meeres gefunden. Es stellte sich heraus, daß auch diese Schale einer kleinen chemischen Gruppe zugeordnet werden muß, die noch nicht zu

¹²⁶⁴ Vgl. zu den Funden und zur Grabungen bei Taganrog etwa O. Dally – P. A. Larenok, Taganrog. Eine frühgriechische Siedlung an den Gestaden des Asowschen Meeres, in: J. Fornasier – B. Böttger (Hrsg.), Das Bosporanische Reich : der Nordosten des Schwarzen Meeres in der Antike. Zaberns Bildbänder zur Archäologie (2002) 86 ff.; O. Dally, Die Griechen am Don: Vorbericht über die erste Kampagne der deutsch-russischen Ausgrabungen in Taganrog, in: S. Conrad (Hrsg.), Pontos Euxeinus. Beiträge zur Archäologie und Geschichte des antiken Schwarzmeer- und Balkanraumes (2006) 275 ff.

lokalisieren ist¹²⁶⁵. In dieser Herkunftsgruppe Ulo4 befinden sich auch alle ebenfalls von Mommsen in Bonn untersuchten KRS des Typus 8 aus Milet (s. u.).

Damit hat sich das Gesamtbild für den Typus 5 verändert und entscheidend geschärft. Zur Zeit weisen die meisten naturwissenschaftlich untersuchten Beispiele auf eine Herkunft aus Samos. Nur drei der chemisch analysierten KRS dieses Typus können nicht sicher als samische Produkte erwiesen werden. Eine KRS ist ein 'chemischer Single', und die anderen gehören unlokalisierten Gruppen an. Erst kürzlich konnte ein sicherer naturwissenschaftlicher Nachweis des Typus 5 für Milet im Bonner Labor (Mommsen) erbracht werden¹²⁶⁶.

Dies deckt sich nun in etwa mit den Untersuchungsergebnissen von Dupont im Lyoner Labor. In seinen letzten Publikationen zu den KRS hat er ebenso wie wir eine starke samische Produktion des Typus 5 (Villard – Vallet Typus A2) sowie eine schwächere milesische Produktion nachweisen können¹²⁶⁷. Darüber hinaus sind sowohl im Labor in Lyon (Dupont)¹²⁶⁸, als auch im Labor in Bonn (Mommsen) und im Bochumer Labor (Yalçın) Importe des Typus 5 von Samos nach Milet festgestellt worden (s. o.). Eine weitere Produktion des Typus 5 hat Dupont ansonsten noch in einer nichtlokalisierten Werkstatt angetroffen, in der »still unattributed East Greek groups, well attested on the Black Sea settlements«¹²⁶⁹ enthalten sind. Auch im Bonner Labor hat Mommsen neben einigen 'Singles' den Typus 5 aus einem Fundort im Nordpontos in der unlokalisierten Gruppe Ulo4 isolieren können (s. o.).

7.4.3.3.2 Typus 6

Während in die erste Untersuchung im Bochumer Labor (Yalçın) kein Beispiel des Typus 6 Eingang gefunden hatte, wurde in die neue Untersuchung im Bonner Labor (Mommsen) die KRS 117 der Variante 6,1.Ba aufgenommen. Ihre chemische Herkunftsgruppe D (Mommsen) ist bereits seit längerem als milesisch nachgewiesen. Damit ist die vermutete Produktion in Milet zwar nicht

¹²⁶⁵ Ich danke O. Dally, R. Attula und S. Huy (alle Berlin) für die Diskussion zu den Funden aus Taganrog. Die archäometrischen Ergebnisse und damit auch die entsprechende KRS des Typus 5 sollen bald in der Abschlußpublikation des Taganrog-Projektes vorgestellt werden.

¹²⁶⁶ Eine von zwei weiteren hier noch nicht aufgenommenen Analysen von KRS des Typus 5 (Pro.-Nr. Mile 350 und Mile 355) erweitern inzwischen das Ergebnis. Mile 355 = K 92.37.6 gehört der Variante 5,1.B an und der milesischen Herkunftsgruppe A 'Kalabaktepe-Werkstätten' (Mommsen). Damit ist inzwischen auch eine milesische Variante des Typus 5 gesichert! Die genauere Beschreibung des stumpfen Fabrikats folgt an anderer Stelle zusammen mit der ungewöhnlicheren Variante Mile 350, die wiederum nicht in Milet gefertigt wurde.

¹²⁶⁷ Dupont 2010 a. O. 39; P. Dupont – V. Lungu, Les ateliers primordiaux de coupes ioniennes à la lumière des trouvailles de la Mer Noire, in: A. Hermay – G. R. Tsetschladze (Hrsg.), From the Pillars of Hercules to the Footsteps of the Argonauts. Colloquia Antiqua 4 (2012), 256 und 257 Abb. 1 (hier erkennt man, daß der Typus Villard – Vallet A2 = Typus 5 im Dendrogramm [das Symbol 'ungefülltes Sternchen'] nur in den chemischen Gruppen D [sehr stark vertreten], F [1x] und H [2x] vorkommt; die drei chemischen Gruppen sind dann im Text in Samos [D und F] sowie Milet [H] lokalisiert); vgl. auch ebenda 285. 260 f. (»group D«; »group F«); 259. 261 (»group H«) und nochmals ebenda 261, wo der Typus Villard – Vallet A2 = Typus 5 im Kontext des Exports diskutiert wird und den milesischen Werkstätten sowie der Insel Samos »le rôle de 'leader'« zuerkannt wird.

¹²⁶⁸ Dupont – Lungu 2012 a. O. 263 mit Anm. 21.

¹²⁶⁹ Dupont 2010 a. O. 39.

lückenlos aufgezeigt, konnte aber immerhin teilweise und mit einem der stilistisch ältesten Stücke bezeugt werden.

7.4.3.3.3 Typus 7

Nur eine KRS (149) des Typus 7 wurde bei den Probenahmen im Bochumer Labor (Yalçın) berücksichtigt. Der Typus 7 kann als Bindeglied zwischen den Typen 3 und 11 betrachtet werden, weswegen die für diese Typen erzielten Ergebnisse auch Rückschlüsse für jenen Typus zulassen. Die Auswertungen haben sowohl nach der Zweielementauswertung als auch nach der Clusteranalyse gezeigt, daß die KRS 149 milesischer Produktion entstammt. Hiermit ist die Vermutung naheliegend, daß auch die übrigen in Milet gefundenen Schalen dieses Typus in Milet selbst gefertigt wurden.

Zum Typus 7 der südionischen KRS gibt es keine neuen Erkenntnisse. In der Untersuchungsreihe der neuen Analysen durch Mommsen im Bonner Labor war kein Beispiel dieses Typus berücksichtigt worden. Auch Dupont und andere haben diesen Typus in ihren Untersuchungen nicht berücksichtigt, was sicherlich auch daran liegt, daß er selten exportiert wurde.

7.4.3.3.4 Typus 8

Die Untersuchungen im Bochumer Labor (Yalçın) verorten die Herstellung der sechs untersuchten KRS (**150; 153; 166; TR-3K/217–219**) des Typus 8 ebenfalls in Milet. Wiederum fallen alle Analysen dieser Proben ins 'chemische Miletfeld' der Ni-/Cr-Auswertung. Dieses Ergebnis wird durch die Clusteranalyse der sechs Proben ausnahmslos bestätigt: Sie gehören durchweg zur Hauptgruppe A. Das Ergebnis ist insofern etwas überraschend, als angenommen worden war, daß sämtliche Schalen dieses Typus auf samische Produktion zurückgingen.

Vor den ersten archäometrischen Untersuchungen zur Herkunftsbestimmung hatte sich Hayes im Einklang mit der überwiegenden Mehrheit seiner Fachkollegen noch für eine rhodische Provenienz ausgesprochen¹²⁷⁰. Aber die verstärkten Bemühungen der 1960er und 1970er Jahre, die archaische Fundkeramik des samischen Heraion zu bergen und zu publizieren, ließ das Pendel in der Diskussion um die Herkunftsfrage nach Samos ausschlagen. Darüber hinaus machten die weithin beachteten naturwissenschaftlichen Untersuchungen von Dupont in den 1970er und 1980er Jahren ihre samische Herkunft wahrscheinlich¹²⁷¹.

Daß aber nun anhand von sechs Analysen von KRS des Typus 8 auch ein starker Zweig der Produktion für Milet geltend gemacht werden kann, verändert auch in diesem Fall das Bild, das man sich bisher von der südionischen Vasenproduktion gemacht hat. Denn berücksichtigt man die von Dupont erzielten Ergebnisse, muß davon ausgegangen werden, daß die beiden großen südionischen Zentren den gleichen Schalentypus produzierten.

¹²⁷⁰ Tocra I, 111-112; 120 (Rhodian Type I and III); 121 Abb. 55, 1192. 1194.

¹²⁷¹ Dupont 1983, 40.

Die beiden KRS des Typus 8 mit den Varianten 8,1.B/aγ (**153**) und 8,1.B/a (**150**) sind im Verlaufe der Nachuntersuchungen im Bonner Labor (Mommsen) erneut analysiert worden. Hierbei konnte die im Bochumer Labor (Yalçın) festgestellte milesische Herkunft für beide KRS nicht bestätigt werden. Zusammen mit einer dritten, nicht in der älteren Bochumer Probenserie berücksichtigten KRS des Typus 8 (**162**), bilden sie die unlocalisierte Herkunftsgruppe Ulo4. In dieser befand sich auch eine KRS des Typus 5 aus Taganrog am Don (s. o.).

In seinen jüngsten Äußerungen zur Herkunftszuweisung des Typus 8 (= Villard – Vallet Typus A1) hält Dupont Samos weiterhin für ein Produktionszentrum – ein weiteres, starkes lokalisiert er in Südionien, vielleicht in Milet¹²⁷². Die samische Produktion weist insgesamt drei chemische Gruppen auf. Das starke, nicht sicher zu verortende Zentrum »groupe C« (Dupont) hätte neben Typus 8 auch Teile des Typus 10 hergestellt. Damit könnte die von Mommsen im Bonner Labor ermittelte chemische Gruppe Ulo4 (Mommsen) mit der von Dupont identisch sein, auch wenn sich in Ulo4 bisher kein Beispiel des Typus 10 fand, wohl aber ein Beispiel des Typus 5. Dupont hält seine »groupe C« am wahrscheinlichsten für milesisch, da sich in ihr auch »vases du style 'Middle Wild Goat II' et du style de Fikellura, d'origine milésienne«¹²⁷³ fanden. Auch die Bochumer Laborergebnisse weisen für den Typus 8 durchaus nach Milet als ein starkes Zentrum. Zur Zeit muß die Frage also noch offen bleiben. Vermutlich aber waren Samos und Milet oder ein noch nicht identifiziertes Zentrum in Südionien für die Produktion von Typus 8 verantwortlich.

7.4.3.3.4 Die einfach dekorierten Knickrandschalen der Stufe SiA II

7.4.3.3.4.1 Typus 9

Auch für die variantenreiche Gruppe von KRS des Typus 9 war die Ausgangslage ähnlich. Vergleichbar dem Typus 8 wurde ihre Produktion zunächst auf der Grundlage historischer bzw. archäologischer Gesichtspunkte auf der Insel Rhodos, später auf Samos vermutet. Die naturwissenschaftlichen Untersuchungen durch Dupont gaben Anlaß, die samische Produktion als ausschließliche anzunehmen¹²⁷⁴.

Die chemische Tonanalyse von sieben KRS des Typus 9 (**184; 188; 197; 216–217; TR-3K/220; TR-3K/222**) aus Milet erwies sie ohne Ausnahme als milesische Produkte. Die Zugehörigkeit zeigt sowohl die Clusterauswertung, in denen sie dem Cluster 2 zugehören, als auch die Zweielementauswertung, in der sie alle dem 'chemischen Miletfeld' zugeordnet sind. Demnach läßt sich für den Typus 9 ein ähnliches Fazit ziehen, wie es oben für den Typus 8 dargestellt wurde. Neben der besonders durch

¹²⁷² Dupont – Lungu 2012 a. O. 257 Abb. 1 (das Dendrogramm zeigt die untersuchten Beispiel des Typus Villard – Vallet A1 = Typus 5 als gefüllte Sterne in den chemischen Gruppen A [Samos, 2x], C [Südionien oder Milet?, 6x], D [Samos, 1x], F [Samos, 1x]; vgl. auch ebenda 258. 259 (»groupe A«, Samos); 258. 260 (»groupe C«, 6 Beispiele auch aus Importzentren wie Al Mina oder Ägina, Milet?); 258. 260 (»groupe D et F«, Samos, Hauptgruppen).

¹²⁷³ Dupont – Lungu 2012 a. O. 260.

¹²⁷⁴ Dupont 1983, 33 f. 40.

Duponts naturwissenschaftliche Untersuchungen erwiesenen samischen Produktion sind auch in Milet KRS vom Typus 9 hergestellt worden.

Im Bonner Labor (Mommsen) wurden die bereits im Bochumer Labor (Yalçın) analysierten KRS der Varianten 9,2.Ci (**188**) und 9,2–3.Ci–j (**216**) einer wiederholten Herkunftsanalyse unterzogen. Dabei stellten sich die Ergebnisse von Mommsen als differenzierter heraus, als die von Yalçın im Bochumer Labor erzielten. Galten die beiden Schalen nach den Untersuchungen von Yalçın noch eindeutig als milesisch, so erwiesen sie sich im Bonner Labor als zu zwei chemischen Untergruppen der unlokalisierten Herkunftsgruppe U170 gehörig. Eine milesische Produktion ist damit ebenso wenig auszuschließen, wie eine nicht-milesische. In allen drei Untergruppen von U170 fanden sich verschiedene Varianten von KRS des Typus 9 aus Milet wieder. Darüber hinaus gehören zur Untergruppe U170-1 neben den in Milet gefundenen KRS des Typus 9,1.Ci (**181**), 9,2–3.Ci–j (**216**) auch noch eine KRS des Typus 9 mit Applikation aus Naukratis¹²⁷⁵, drei KRS vom Typus 9,1.Bg aus Berezan¹²⁷⁶, ein Beispiel des Typus 5, Variante 5,3.Be (**104**) aus Milet sowie drei Beispiele von Kopfkantaroï der Kleinmeisterklasse¹²⁷⁷ aus Etrurien. Damit ist zumindest für die Untergruppe U170-1 einerseits eine starke Spezialisierung auf im Fabrikat sehr ähnliche, den attischen Kleinmeisterschalen nahestehende Knickrandschalen des Typus 9, auch solche mit plastischem Schmuck¹²⁷⁸, sowie andererseits eine stark auf Export ausgerichtete Tendenz aufgezeigt. Dazu ist der Untergruppe U170-1 noch ein im Fabrikat der Gruppe sehr nahe stehendes Lydion aus Berezan anzufügen¹²⁷⁹. An einer südionischen Herstellung dieser chemischen Gruppe ist kaum zu zweifeln, aber welchem Zentrum sie zuzuschlagen sind, läßt sich bisher nicht zweifelsfrei entscheiden. Daß lediglich für Milet eine starke Tradition für eine Produktion von plastischen Gesichts- und Kopfgefäßen belegt ist, läßt eher nach Milet schauen. Möglicherweise gibt es hier tatsächlich neue Werkstätten, erschlossene Tonlager und Rezepturen im 6. Jh. v. Chr., die bisher chemisch noch nicht

¹²⁷⁵ Schlotzhauer 2012, 112 f. Kat.-Nr. 71 Taf. 15, h–i; H. Mommsen, Herkunftsbestimmung von archaischen Scherben aus Naukratis und Tell Defenneh in Ägypten durch Neutronenaktivierungsanalyse in: U. Schlotzhauer – S. Weber – H. Mommsen, Griechische Keramik des 7. und 6. Jhs. v. Chr. aus Naukratis und anderen Orten in Ägypten. Archäologische Studien zu Naukratis 3 (2012) 443 mit Anm. 50.

¹²⁷⁶ R. Posamentir – S. Solovyov, Zur Herkunftsbestimmung archaisch-ostgriechischer Keramik: Die Funde aus Berezan in der Eremitage in St. Petersburg II, *IstMitt* 57, 2007, 205 Abb. 9, 1–3 (Bere 270 und 257 sind U170-2; Bere 272 ist U170-3).

¹²⁷⁷ s. U. Schlotzhauer, Ostgriechische koroplastisch gestaltete Gesichts- und Kopfgefäße aus milesischen Werkstätten, in: R. Biering – V. Brinkmann – U. Schlotzhauer – B. Weber (Hrsg.), *Maiandros*, Festschrift für Volker von Graeve (2006) 232 I.B1, I.B3-4 Abb. 17. 20.

¹²⁷⁸ Die Gruppe ist wiederum eng mit den ihnen ohnehin verwandten Kopfkantaroï der Kleinmeisterklasse verbunden.

¹²⁷⁹ Posamentir – Solovyov 2007 a. O. 205 Abb. 9, 4 (Bere 145 ist inzwischen U170-1); auch ein undekoriertes Lydion gehört noch der Gruppe an, vgl. ebenda Abb. 9, 5.

zugeordnet sind¹²⁸⁰. Die alte Zuweisung von Gattungen wie den Kopfkantaroi der Kleinmeisterklasse aus der U170-Herkunftsgruppe nach Samos ist damit allerdings noch nicht endgültig widerlegt¹²⁸¹.

Lediglich eine mit Tierfriesstil und Fikellurastil bemalte KRS, eine sog. Bilingue der Stilphase MileA IIa, zeigt auch die Grundform des Typus 9,1.C auf. Ihre naturwissenschaftliche Herkunftsgruppe DD (Mommsen), Untergruppe DD-2, wird wohl milesisch sein, auch wenn die Herkunftsgruppe DD (Mommsen) noch nicht durch einen Fehlbrand oder Ähnliches für Milet abgesichert ist. Aber allein die Tatsache, daß in den vier Untergruppen der Herkunftsgruppe DD stets Fikellurastil-Keramik der Stufe MileA II enthalten ist, verweist sie nach Milet. Zusätzlich vertritt die berühmte Heraion-Schale die Grundform der KRS des Typus 9,1.B–C¹²⁸². Auch sie ist mit einem aufwendigen Fikellurastil-Dekor geschmückt, der sicher aus milesischen Werkstätten stammt.

Auch großgriechische Produktion des Typus 9,1 der KRS **620** in Katane auf Sizilien ist inzwischen im Bonner Labor von Mommsen festgestellt worden¹²⁸³. Für die KRS der Varianten 9,4.D und 9,3.D (**615-616**) lassen die Ergebnisse der naturwissenschaftlichen Analysen im Bonner Labor keine Zweifel mehr aufkommen, daß nicht nur eine äußere Ähnlichkeit zu den attischen Sianaschalen bestehen, sondern daß einige tatsächlich aus der attischen naturwissenschaftlichen Herkunftsgruppe KrPP stammen. Dies ist um so erstaunlicher, als **615** zudem in südionischer Aussparotechnik und nicht in attischer Ritztechnik dekoriert ist.

Zusammenfassend ist festzuhalten, daß die Herkunft der KRS des Typus 9 sich inzwischen nicht mehr als so eindeutig darstellt, wie zunächst nach der Probenserie im Bochumer Labor (Yalçın) anzunehmen war. Die Bonner Laborergebnisse (Mommsen) zeigen im Gegenteil ein wesentlich differenzierteres Bild. Viele der untersuchten Schalen lassen sich bisher nicht eindeutig lokalisieren. Einige weisen eindeutig nach Südionien, und Manches spricht bei ihnen auch für eine milesische Herkunft. Besonders die Bilingue **423** des Formtypus 9,1.C, die der chemischen Herkunftsgruppe DD (Mommsen) angehört, ist sehr wahrscheinlich milesisch¹²⁸⁴. Darüber hinaus konnte für Samos bislang weder im Bochumer Labor (Yalçın) noch im Bonner Labor (Mommsen) ein sicherer Hinweis

¹²⁸⁰ Denn die Töpferöfen im untersuchten Areal am Südhang des Kalabaktepe werden in der ersten Hälfte des 6. Jh. v. Chr. aufgegeben. Das Töpferviertel hier scheint durch ein anderes Gewerbe ersetzt worden zu sein.

¹²⁸¹ Für Samos hatten sich z. B. E. Walter-Karydi ausgesprochen s. Samos VI 1, 30; eine attische Provenienz wurde der Gruppe zunächst von J. D. Beazley, Charinos, JHS 49, 1929, 39–41 nahegelegt; vgl. auch Schlotzhauer a. O. 229–230 mit 242 Fußnote 4–8.

¹²⁸² Samos VI 1, 22 f. Abb. 27 Taf. 40, 335; Cook 1933/34, 46 Group X. »Heraion Cup« und Cook 1998, 78 mit Anm. 11 (zur Form: »a cup of Little Master shape«) hat ihr eine eigene Gruppe zuerkannt, was sich aber nicht mehr aufrecht erhalten läßt. Die neuen Funde in Milet zeigen, daß die vor mehr als 80 Jahren von Cook aufgestellten Gruppen anhand vor allem exportierter Fikellurastil-Gefäße dem inzwischen vielgestaltigen Bestand (besonders in Milet) nicht mehr gerecht werden kann.

¹²⁸³ Zunächst war die Herstellung der Herkunftsgruppe in Naxos auf Sizilien vermutet worden, inzwischen konnte dies aber anhand von Fehlbränden, die den 'fingerprint' für die chemische Herkunftsgruppe KatA erbrachten, auf Katane korrigiert werden, vgl. Mommsen, hier auf S. 426; noch fälschlich als NaxA beschrieben in Mommsen u. a. in: Lentini 2008, 26 f.; Schlotzhauer in Lentini 2008, 73 ff.; M. Kerschner – H. Mommsen, in: A. Pautasso, La ceramica Greco-Orientale. Stipe votiva del santuario di Demeter a Catania 2 (2009) 143 auch hier noch die Herkunftsgruppe NaxA mit Verweis auf die Bochumer Knickrandschale **620**.

¹²⁸⁴ Vgl. auch hier die Einschätzung Mommsens, S. 423 f.

gefunden werden¹²⁸⁵. Von den qualitativsten in Milet gefundenen Schalen sind allerdings einige sogar aus Athen importiert (**615–616**) und zeigen originär milesische Malereitechnik bei gleichzeitiger Nachahmung attischer Kleinmeisterdekoration.

Die neuesten Ergebnisse im Labor in Lyon (Dupont) lassen erkennen, daß in fast allen von Dupont festgestellten chemischen Gruppen, nämlich A und F (Samos), B (Aiolis/Nordionien), C (Südionien/Milet?), E (Ionie du Sud 3'/Hellespont/Troas?) und G (Milet), KRS des Typus 9,1–3.B–D hergestellt oder nachgeahmt wurden¹²⁸⁶. In wieweit sich die chemischen Gruppen in Lyon (Dupont) und in Bonn (Mommsen) vergleichen lassen, wird bisher nicht eindeutig klar. Jedoch ist im Bonner Labor (Mommsen) bisher keine nordionisch-aiolische Produktion von KRS des Typus 9 ermittelt worden.

7.4.3.3.4.2 Typus 10

Ein Viertel der im Siedlungsareal des Kalabaktepe in Milet angetroffenen Gesamtmenge an südionischen KRS ist dem Typus 10 zuzurechnen. 14 Tonproben von 13 Schalen dieses Typus wurden daher für die naturwissenschaftliche Analyse im Bochumer Labor (Yalçın) berücksichtigt¹²⁸⁷. Eine Vorannahme aufgrund ihrer Fundmenge war, daß ein größerer Teil lokal hergestellt wurde. Auch von möglichen samischen Importen wurde ausgegangen, da bereits die naturwissenschaftlichen Untersuchungen von Dupont neben Milet den größeren Anteil der Produktion dieses Typus dem Töpferzentrum Samos zuerkannte. Dupont konnte allerdings die chemische Hauptgruppe der vermeintlichen samischen KRS nicht sicher mit der Insel verbinden. Dies wurde oben bereits dargelegt¹²⁸⁸. Auch die Tatsache, daß Duponts Untersuchungen die Beispiele dieses Typus mit Fikellurastil-Bemalung der Stilstufe MileA II nicht als samisch sondern als milesisch erwiesen, macht seine Zuweisung wenig überzeugend. Demnach bleibt festzuhalten, daß die bisherigen naturwissenschaftlichen Ergebnisse für Milet bereits eine Produktion des Typus 10 bestätigen, wobei Dupont Milet nur die Rolle einer nachahmenden Produktionsstätte zugestand.

Die Tonproben von 15 KRS (**224; 226; 229; 233; 238; 246; 255; 272; 236; 303; 450; 456** TR-3K/223; TR-3K/227; TR-3K/229) haben eine variantenreiche Palette für Milet als Produktionsort erwiesen. Sie konnten auf der Grundlage beider angewandter Auswertungsmethoden eindeutig bestimmt werden.

Die naturwissenschaftliche Tonanalyse ergab aber auch zwei schwierige Herkunftszuweisungen innerhalb der Gruppe des Typus 10. Die KRS **224**, ein Vertreter der Variante 10,1.Bay, befand sich

¹²⁸⁵ Das ist um so interessanter, als doch in Milet für den Typus 5 Importe aus Samos nachgewiesen werden konnten, und zwar in allen drei Laboren.

¹²⁸⁶ P. Dupont – V. Lungu, Les ateliers primordiaux de coupes ioniennes à la lumière des trouvailles de la Mer Noire, in: A. Hermay – G. R. Tsetschladze (Hrsg.), From the Pillars of Hercules to the Footsteps of the Argonauts. Colloquia Antiqua 4 (2012), 258 ff.

¹²⁸⁷ Der KRS **236** wurden an zwei verschiedenen Stellen Proben entnommen.

¹²⁸⁸ Vgl. hier S. 366 f. mit Anm. 1172. 1176 f. und bes. S. 368 ff.

nach der Zweielementauswertung ihrer Tonpaste erwartungsgemäß mit der Masse der Gesamtgruppe im 'chemischen Milefeld'. Die Clusterauswertung erbrachte hier aber eine Abweichung und ordnete die Schale **224** dem Cluster 1 zu. In diesem Cluster sind allerdings nur die spätarchaischen attischen Schalen enthalten. Noch schwieriger scheint es, eine Erklärung für die chemische Zusammensetzung der Tonpaste von KRS **303** der Variante 10,9.C–Dm zu finden. Sie stellt sich als eindeutiger 'Ausreißer' dar. Auch wiederholte Messungen der Tonpaste von **303** ergaben stets die gleichen abweichenden Werte. Im Diagramm 7 (Abb. 109) ist die Probe in dem linken der beiden einzelnen roten Punkte am oberen rechten Rand der Darstellung zu erkennen. Im Fall der KRS **303** findet sich eine Bestätigung dieses Ergebnisses auch anhand der Clusteranalyse. Hier bildet sie zusammen mit dem KRsk **32**, der sich bei der Ni-/Cr-Auswertung ähnlich verhielt, den Cluster 4. Die beiden Fälle lassen sich archäologisch nicht erklären. Das Gefäß **224** zeigt keine Abweichungen in Form und Erscheinungsbild von den übrigen Vertretern der Variante 10,1.B, denen milesische Produktion bescheinigt werden konnte. Möglicherweise ist in der Clusterauswertung ein Fehler aufgetreten. Schwieriger ist es im Fall der KRS **303**. Sie scheint chemisch weit entfernt von den milesischen Produkten. Eine nicht milesische Entstehung, wie sie etwa Duponts Untersuchungen für den Typus auf Samos nahelegen, läßt sich demnach nicht ausschließen.

In die Nachuntersuchungen im Bonner Labor (Mommsen) sind insgesamt acht KRS des Typus 10 (**247, 255, 262, 428, 435, 439, 440, 465**) eingegangen. Von diesen waren die KRS **255** und **428** bereits von Yalçın im Bochumer Labor untersucht worden. Auch hier sind Ergebnisse des Bonner Labors (Mommsen) differenzierter als die aus dem Bochumer Labor, wenn auch beide eine milesische Herkunft für beide KRS attestieren. Laut den Untersuchungen im Bonner Labor (Mommsen) gehören beide KRS den chemischen Herkunftsgruppen D (**428**) und DD bzw. der Untergruppe DD-2 (**255**) an. Überhaupt verteilen sich die acht Proben vor allem auf die Herkunftsgruppe D (Mommsen) und seine Varianten und Untergruppen. Nicht eine Probe erwies sich als Mitglied der zweiten bekannten milesischen Herkunftsgruppe A (Mommsen), die sog. Kalabaktepe-Werkstätten. Dies gilt sowohl für die mit einfachen Bändern und Flächen dekorierten KRS des Typus 10 (**247, 255, 262**), als auch für die mit aufwendiger Bemalung der Stilstufen MileA I und II (Tierfries- und Fikellurastil) (**428, 435, 439, 440, 465**). Allerdings zeigt sich, daß die beiden Bilinguen-Schalen (**439, 440**) zusammen mit der Tierfriesstil-Schale **435** und der einfach dekorierten KRS **247** der Variante DK der Herkunftsgruppe D (Mommsen) angehören. Damit erweisen sich diese vier KRS innerhalb der milesischen Produktion als sehr eng zusammengehörig. Die KRS **428** mit einfachem Zinnenmäander auf der Innenseite des Randes und einem Wellenband auf der Schulter außen ist ein weiteres Beispiel der Herkunftsgruppe D (Mommsen). Für die Herkunftsgruppe DD (Mommsen), die sehr wahrscheinlich milesisch ist, konnten drei weitere Beispiele unter den Proben ausgemacht werden. Dabei gehört jede der drei KRS vom Typus 10 einer anderen Untergruppe der Herkunftsgruppe DD (Mommsen) an. Die KRS **262** vertritt die Variante 10,6.Cny, also mit aufgesetzten roten Bändern, und ist Mitglied der Subgruppe DD-1. Dagegen ist die KRS **255** als Variante 10,5.Ck zu klassifizieren und erwies sich bei der Untersuchung

als Angehörige der Subgruppe DD-2. Mit der KRS **465** ist der sehr entwickelte und flache Typus 10,11.D angetroffen, der typisch für die Fikellurastil-Schalen der entwickelten Stilstufe MileA II ist. Diese konnte als ein Beispiel der Subgruppe DD-3 nachgewiesen werden. Insgesamt belegt somit auch die naturwissenschaftliche Untersuchung im Bonner Labor eine variantenreiche Palette der KRS des Typus 10 mit seinem relativ langen Produktionsverlauf vom späten 7. Jh. bis zum 6. Jh. v. Chr. Allein die wenigen untersuchten Beispiele des Typus verteilen sich also auf verschiedene Varianten und Subgruppen unterschiedlicher Herkunftsgruppen. Obgleich die Analysen im Labor in Lyon (Dupont) so gedeutet werden, daß die Hauptproduzenten des Typus 10 (= Villard – Vallet B1) in Samos und in der möglicherweise kolonialen Umgebung am Hellespont/Troas ('Ionie du Sud 3') sowie in Milet liegen¹²⁸⁹, konnten unsere Untersuchungen dies bislang nicht bestätigen. Bisher sind weder bei den Untersuchungen im Bochumer Labor (Yalçın) noch im Bonner Labor (Mommsen) unter den Beispielen aus Milet Importe aus Samos angetroffen worden. Die Unterscheidungen bei Dupont, der den Grundtypus Villard – Vallet B1 in die Varianten »Labrino«, »massive« und »milèsienne (style de Fikellura)« unterscheidet, scheint sich aber nur im letzten Fall für eine engere Eingrenzung der Provenienzbestimmung zu eignen. Denn die Beispiele mit Fikellurastil-Bemalung erweisen sich stets als milesisch und in einem Fall als koloniale Nachahmung, vermutlich in einer milesischen Kolonie gefertigt. Das paßt zumindest mit der milesischen Provenienz der Fikellurastil-Schalen mit unseren Untersuchungen überein. Dagegen findet sich die Variante »Lambrino« sowohl unter den Mitgliedern der beiden samischen Herkunftsgruppen A und D, in der nicht sicher zu lokalisierenden Herkunftsgruppe C, in der aiolisch/nordionischen Herkunftsgruppe B sowie in der vermutlich kolonialen Herkunftsgruppe E ('Ionie du Sud 3'). Auch in Milet findet sich die Variante »type 'Lambrino' d'Alexandrescu«¹²⁹⁰ (222, 224, 228–232, 237–238, 245, 258, 263–265), die hier allerdings nicht auf ihre Herkunft untersucht wurde, aber ihr Fabrikat stimmt in den meisten Fällen mit den übrigen milesischen KRS des Typus 10 überein. Die Variante »massive« wird nur mit einem Foto belegt¹²⁹¹, doch wenn man von diesem ausgehend eine Beurteilung versucht, scheint es sich erneut von der Form und auch dem Fabrikat um eine Variante zu handeln, die ebenfalls in Milet massenhaft belegt ist.

¹²⁸⁹ Dupont – Lungu a. O. 257 Abb. 1 (das Dendrogramm zeigt die untersuchten Beispiele des Typus Villard – Vallet B1 = Typus 10 als gefüllte und offene Kreise sowie offenes Dreieck in den chemischen Gruppen A [Samos, 10x], B [Aiolis/Nordionien, 1x], C [Südionien oder Milet?, 4x], D [Samos, 2x], E ['Ionie du Sud 3', 8x], G [Milet, 2x], H [Milet, 4x]; vgl. auch ebenda 258. 259. 262 (»groupe A«, Samos; »groupe B«, Aiolis); 258. 260 (»groupe C«, Südionien/Milet?); 258. 260 (»groupe D«, Samos); 258. 260. 262 (»groupe E«, 'Ionie du Sud 3', Hellespont/Troas); 259, 261 (»groupe G et H«, Milet).

¹²⁹⁰ Eine Bezeichnung, die der ehemalige Grabungsleiter von Histria, P. Alexandrescu einer Variante der »Coupes Ionie« gab, und die sich auf die ehemalige Bearbeiterin der Fundkeramik in Histria M. F. Lambrino (Lambrino 1938), die auch eine Klassifikation zu den KRS erstellt hatte, bezog. Es handelt sich um die Schalen Kat.-Nr. 741-746 aus seiner Schalengruppen-Klassifikation »a«, s. Histria 4, 114 f. Kat.-Nr. 741-746 Abb. 30, 744-746.

¹²⁹¹ Dupont – Lungu a. O. 260; 275 Abb. 8.

Die wenigen darüber hinaus bekannt gemachten Untersuchungen zu KRS des Typus 10 vor allem von Mommsen in Zusammenarbeit mit Kerschner, Niemeier und dem Verfasser, die überwiegend Funden aus Importzentren galten, bestätigen und erweitern das bisher gewonnene Bild zum Typus 10. Tatsächlich war auch die milesische Herkunftsgruppe A (Mommsen), die sog. Kalabaktepe-Werkstätten, an der Produktion des Typus 10 beteiligt, auch wenn dieser Nachweis in der hier vorgestellten Probenserie nicht gelungen ist. Mommsen und Kerschner konnten schon vor längerer Zeit unter den Fehlbränden vom Kalabaktepe, der mit weiteren Fehlbränden auch den chemischen 'fingerprint' für die Herkunftsgruppe A (Mommsen) lieferte, eine völlig verschmolzene KRS des Typus 10 ausmachen¹²⁹². Die Variante war nicht mehr zu bestimmen. Ein Export der Herkunftsgruppe DD (Mommsen) erreichte das griechische Emporion Naukratis in Ägypten¹²⁹³. Es handelte sich um eine KRS des Typus 10,4.Bky. Vermutlich über dieselbe Handelsroute gelangte eine fast identische KRS derselben Variante 10,4.Bk, allerdings ohne rote Schmuckbänder, nach Tel Kabri in die Levante¹²⁹⁴. Auch sie erwies sich im Bonner Labor als der chemischen Herkunftsgruppe DD (Mommsen) zugehörig.

7.4.3.3.4.3 Typus 11

Die zweite Großgruppe unter den am Kalabaktepe-Süd in Milet angetroffenen Typen von KRS mit ebenfalls rund einem Viertel der Gesamtmenge stellt der Typus 11 dar. In die Untersuchungen im Bochumer Labor (Yalçın) sind sechs KRS (**362**; TR-3K/230–233; TR-3K/235) dieses Typus aufgenommen worden. Für sie gilt das Gleiche, was für den Typus 10 angeführt wurde. Die Forschung geht davon aus, dass die Hauptproduktion dieses KRS-Typus auf Samos stattfand. Auch in diesem Fall gesteht Dupont Milet eine unbedeutende und nachahmende Produktion des von Villard – Vallet als A2 klassifizierten Typus zu. Insgesamt aber ist die Vergleichbarkeit des Typus 11 mit anderen Klassifikationen nicht ganz einfach. Denn die Form steht in jedem Fall noch dem Typus 5 (Villard – Vallet A2) sehr nahe, wohingegen der Dekor allgemein nicht von dem des Typus 10 (Villard – Vallet B1) zu unterscheiden ist.

Die meisten, nämlich vier der sechs beprobten Gefäße vom Typus 11, ließen sich im Bochumer Labor (Yalçın) eindeutig als milesisch nachweisen: TR-3K/230–233. Eine Produktion ähnlich wie für den vorangegangenen Typus 10 ist folglich auch für Typus 11 anzunehmen. Doch geradezu parallel zu den Ergebnissen beim Typus 10 finden sich unter den Vertretern des Typus 11 zwei problematische Fälle. Die Probe TR-3K/236 stellte sich in der Zweielementauswertung als milesisch heraus. Ihre Analysewerte lagen im 'chemischen Miletfeld'. Die Clusterauswertung hingegen bestätigte dies nicht. Die Probe bildet hier allein den Cluster 5 und ist somit als 'Single' zu betrachten. Umgekehrt verhielt sich die KRS **362**, die dem milesischen Cluster 2 angehört, aber in der Ni-/Cr-Auswertung außerhalb

¹²⁹² M. Kerschner in: Akurgal u. a. 2002, 114 Kat.-Nr. 97, 175 Abb. 63.

¹²⁹³ Schlotzhauer 2012, 101 f. Kat.-Nr. Nau 52.

¹²⁹⁴ B. Niemeier – W.-D. Niemeier, Archaic Greek and Etruscan Pottery, in: A. Kempinski, Tel Kabri. The 1986–1993 Excavation Seasons, hrsg. von N. Sheftelowitz – R. Oren (2002) 230 ff. Kat.-Nr. 14 Abb. 5.94, 2.

des 'chemischen Miletfeldes' steht (**Diagramm 32**, Prob.-Nr. 234). Auch für diese beiden 'Ausreißer' lassen sich bisher keine Erklärungen finden. Doch kann aufgrund des Wissens um eine samische Produktion eine solche für die beiden Gefäße zumindest in Betracht gezogen werden. Die chemische Verwandtschaft der KRS **362** zum 'milesischen Feld' und der mit nichts zu verbindende Cluster 5 sprechen jedenfalls nicht gegen diese Vermutung. Dennoch ist hier äußerste Vorsicht angebracht, bis weitere Untersuchungen ein deutlicheres Bild zeichnen lassen.

In den Nachuntersuchungen im Bonner Labor (Mommsen) konnten vier Exemplare des Typus 11 analysiert werden (**344–345**, **396–397**). Von diesen gehören zwei Beispiele der 'Grauen Ware' (**396–397**) an, die als Doppelbeprobung auch schon in die ältere Untersuchung des Bochumer Labors (Yalçın) Eingang gefunden hatten. Die beiden KRS der 'Grauen Ware' vertreten die Variante 11,3.B, während die 'normalen' Beispiele der Variante 11,4.B/k (**344**) und 11,4.B (Sonderform)/k (**345**) angehören. Im Bonner Labor (Mommsen) blieb eine KRS **344** ein chemischer 'Single' und verschloß sich somit einer weiteren Beurteilung. Dagegen gehören die drei anderen KRS den beiden wohl bekannten milesischen Herkunftsgruppen D (Mommsen) (**397**) und A, Kalabaktepe-Werkstätten, (Mommsen) (**345**, **396**) an. Interessant an diesem Ergebnis ist in jedem Fall, daß die Technik zur Herstellung der 'Grauen Ware' in beiden milesischen Herkunftsgruppen angewendet wurde.

Damit konnten die naturwissenschaftlichen Herkunftsuntersuchungen der in Milet gefundenen Beispiele des Typus 11 vor allem eine milesische Produktion erweisen. Eine positiver Nachweis eines samischen Importes bleibt bisher aus¹²⁹⁵. Einige wenige chemische 'Singles' lassen aber durchaus Spielraum für Spekulationen zu weiteren Produktionsstandorten des Typus. In Milet selbst sind zumindest die beiden bekanntesten Herkunftsgruppen A und D (Mommsen) an der Produktion beteiligt. Außerhalb von Milet ist der Typus selten anzutreffen, er scheint keine große Rolle im Export gespielt zu haben. Dennoch fanden einige wenige Beispiele auch ihren Weg nach Naukratis in Ägypten¹²⁹⁶. Von diesen konnte auch eines im Bonner Labor von Mommsen archäometrisch untersucht werden¹²⁹⁷. Auch dieser Import erwies sich als ein milesischer Export und stammt ebenfalls aus der milesischen chemischen Herkunftsgruppe D (Mommsen).

7.4.3.3.4.4 Typus 12

Der sehr seltene Typus 12¹²⁹⁸ wurde in diesem Zusammenhang nur einmal archäometrisch untersucht. Die KRS **401**, die zudem der 'Grauen Ware' angehört, stellte sich im Bochumer Labor (Yalçın) ebenfalls als milesisch heraus. Sowohl in der Zweielementauswertung befand sich die Probe im

¹²⁹⁵ Obgleich die auf Samos gefundenen kultischen KRS mit Hera-Dipinto, die am ehesten mit dem Typus 11 zusammengehen, sicher samische Produkte sind (zur Kultkeramik mit Hera-Dipinto und ihrer Herkunft vgl. zuletzt Schlotzhauer 2012, 155 Kat.-Nr. 155) und vermutlich deshalb auch nur eine lokale Verbreitung fanden (mit Ausnahme des Filialheiligtums in Naukratis, s. ebenda 56 f.); zu den Gefäßen s. z. B. Furtwängler 1980, 82 Abb. 12, c. e; 84 Abb. 13, i–k.

¹²⁹⁶ Vgl. Schlotzhauer 2012, 46 ff. mit Abb. 2, a. 3; 102 ff. Kat.-Nr. Nau 54 ff.

¹²⁹⁷ Ebenda 103 f. Kat.-Nr. 56 Taf. 12, f–g (Prob.-Nr. Nauk 4).

¹²⁹⁸ Vgl. S. 113 f. und Abb. 23 im Kapitel 4.2.2.4 'Der Typus 12 und seine Varianten'.

'chemischen Miletfeld', als auch in der Clusteranalyse wurde die KRS dem milesischen Cluster 2 zugeordnet.

7.4.3.3.4.5 Typus 13

Eine kleine Gruppe unter den KRS in Milet gehört dem Typus 13 an¹²⁹⁹. Dieser Typus ist bisher von anderen Bearbeitern nicht definiert worden und dementsprechend auch noch nicht Gegenstand archäometrischer Untersuchungen gewesen. Da vergleichbare KRS außerhalb von Milet bisher kaum bzw. gar nicht bekannt geworden sind, ist eine milesische Produktion sehr wahrscheinlich.

Der Typus 13 ist lediglich mit einer Tonprobe in die naturwissenschaftlichen Herkunftsanalysen im Bochumer Labor (Yalçın) eingegangen. Es handelt sich um die KRS TR-3K/235, welche die Variante 13,2.Bn vertritt. Im Ergebnis ist auch dieses Beispiel sowohl in der Zweielementauswertung ('chemisches Miletfeld') als auch in der Clusteranalyse (Cluster 2) eindeutig milesisch.

7.4.3.3.4.6 Graue Ware¹³⁰⁰

Schließlich wurden in die Untersuchungen noch KRS der 'Grauen Ware' des Typus 11 (396–397), Typus 12 (401) und ein nicht ganz klares Beispiel des Typus 9 oder 10 mit Malerei der Stufen SiA II (403) einbezogen, die hier aber vor allem aufgrund ihrer Tonware zusammengefaßt sind. Ihre vermeintlich milesische Herkunft aufgrund historisch-archäologischer Kriterien wurde bereits im entsprechenden Kapitel vertreten¹³⁰¹. Im Keramikbild Milets wie überhaupt in Südionien war die Gattung der 'Grauen Ware' nahezu unbekannt. Es finden sich gelegentlich Teller und seltener Kannen, Kratere und vereinzelt seltene Gefäßformen wie Alabastra, die in dieser Technik gefertigt wurden¹³⁰².

¹²⁹⁹ Vgl. S. 119 ff. und Abb. 24 im Kapitel 4.2.2.5 'Der Typus 13 und seine Varianten'.

¹³⁰⁰ Utili 1999, 70 diskutierte nochmals die verschiedenen Termini, die im Zusammenhang mit der sog. Bucchero- und Grauen-Ware in Gebrauch sind. Auch erläuterte er die Bucchero-Technik nochmals als Herstellungsprozeß, wobei er auf eine unpublizierte naturwissenschaftliche Untersuchung verwies, die den Nachweis erbrachte, daß die besondere glänzende und seifige Oberfläche nicht auf einen Überzug und/oder Politur zurückgeht, sondern auf den Eisengehalt im Ton und den Brennvorgang, vgl. Utili 1999, 71 ff. bes. 73.

¹³⁰¹ Vgl. S. 121 ff. und Abb. 25 im Kapitel 4.2.2.6 'Typen und Varianten der Knickrandschalen der sog. Grauen Ware'.

¹³⁰² So z. B. eine Auswahl dieser Formen im 24. Katalog der Staatlichen Museen Kassel zu den Samosfunden: P. Gercke – W. Löwe (Hrsg.), Samos – Die Kassler Grabung 1894 in der Nekropole der archaischen Stadt von Johannes Boehlau und Edward Habich (1996) 66 Kat.-Nr. 45, 31; S. 67 Kat.-Nr. 45, 37 (beides Alabastra); S. 68 ff. Kat.-Nr. 45, 41 (KRS), Kat.-Nr. 42-45 (Kannen), Kat.-Nr. 45, 46-50 (Teller); S. 88 Kat.-Nr. 2-3 (Teller); Samos VI 1, 124 f. Kat.-Nr. 268-273 (Alabastra); S. 225 Kat.-Nr. 276 (Kesseluntersatz), Kat.-Nr. 277-278 (Kannen) Taf. 35, 268-269, 271.275 (Alabastra), 276 (Kesseluntersatz); 36, 277 (Kanne); Samos IV, 99 (Ionischer Bucchero) Kat.-Nr. 165-167 Beil. 4, 165-167 (Teller); Isler beklagt zu Recht die schlechte Forschungslage zum sog. Ionischen Bucchero (Samos 3, 99), womit die 'Graue Ware' nord- und südionischer Provenienz angesprochen sein dürfte, und führt vor allem Teller verschiedener Ausprägung an (Samos 3, 99 Kat.-Nr. 165-167; 164-165 Kat.-Nr. 646-657), aber auch eine Schüssel (Samos 3, 165 Kat.-Nr. 658), Amphora? (Samos 3, 165 Kat.-Nr. 659), ein Fußballabastron (Samos 3, 165 Kat.-Nr. 661) und ein Fragment eines geschlossenen Gefäßes (Samos 3, 165 Kat.-Nr. 660). Isler weist auf die unterschiedlichen Tonzusammensetzungen sowie Formgebungen hin und vermutet verschiedene Produktionen. Nur Weniges hält er für lokal. Auch Walter-Karydi beschreibt Alabastra der Grauen Ware aus Samos (Walter-Karydi nennt sie >Bucchero<-Alabastra), die sie teils für rhodisch hält, aber die qualitätvollen seien samisch (ein stets wiederkehrendes Prinzip in der Vorgehensweise Walter-Karydis: Provenienzbestimmung mittels Qualitätsbeurteilung!), vgl. Samos VI 1, 18 f. Zudem bespricht und bildet auch sie die bereits von Boehlau

Hier kann mit gleichem Recht sowohl Import als auch Imitation durch milesische Töpfer angenommen werden. Dupont führt auf seiner Liste verschiedene Gattungen auf, auch sog. gewöhnliche Grau- und Bandware¹³⁰³, deren Produktion er aufgrund naturwissenschaftlicher Herkunftsanalysen für Milet nachweisen konnte. Um welche Gefäßformen der 'Grauen Ware' es sich tatsächlich handelt, wurde von ihm aber nicht konkretisiert.

Schwierig ist es, Parallelen für KRS in der Technik der 'Grauen Ware' zu finden. Lediglich eine Schale ist bei den alten Grabungen von Böhlau in der Nekropole der archaischen Stadt Samos gefunden worden¹³⁰⁴. Sie ist dem Typus 9,2.C anzuschließen und weist auch den entsprechenden Firnisdekor auf. Allerdings ist die Schale aus Samos mit Deckrot geschmückt, vermutlich im Spätstil SiA II. Dagegen fehlt diese Gefäßform bisher vollständig in den traditionellen Verbreitungsgebieten der 'Grauen Ware'. Damit gehören die in Milet ans Tageslicht getretenen KRS der 'Grauen Ware' zu einer sehr selten vorkommenden Gruppe. Es erhebt sich nun die Frage, ob sie an Orten hergestellt wurden, die traditionell in dieser Technik arbeiteten und die Form für den Export nach Milet adaptierten, oder ob südionische Töpfer eine ihnen geläufige Gefäßform mit einer importierten Technologie fertigten.

Zwei 'Graue Ware'-Schalen (**396–397**) des Formtypus 11 und eine des Typus 12, Variante 12,2.B (**401**), sind im Bochumer Labor (Yalçın) beprobt worden. Hinzu tritt ein Beispiel dieser 'Graue Ware'-Gruppe (**403**), das mit einer Bemalung der Stufe SiA II verziert ist und entweder als Typus 9.C oder 10.C zu klassifizieren ist. Alle Beispiele sind im 'chemischen Miletfeld' der Zweielementauswertung vertreten. In diesem befinden sie sich darüber hinaus im unteren Bereich mit niedriger Ni-/Cr-Konzentration, wo sie sich mit dem Feld der Referenzgruppe überschneiden. Im Diagramm 6 (Abb. 108) der bemalten KRS ist die Position der dekorierten 'Graue Ware'-Schale zu erkennen. Auch hier erfährt die Aussage der ersten Auswertungsmethode eine Bestätigung durch die Clusteranalyse. Alle Beispiele sind dem Cluster 2 beigeordnet.

Im Bonner Labor (Mommsen) sind darüber hinaus die beiden bereits in Bochum analysierten KRS der 'Grauen Ware' des Formtypus 11,3.B und 11,4.B erneut untersucht worden. Wie bereits oben aufgezeigt konnten sie von Mommsen als Vertreter der lokalen chemischen Herkunftsgruppe A, Kalabaktepe-Werkstätten, (Mommsen) (**396**) und D (Mommsen) (**397**) erwiesen werden.

Insgesamt bestätigen also vier Vertreter der für die 'Graue Ware' ungewöhnlichen Form der KRS in Milet, daß offensichtlich ein Technologietransfer stattgefunden hat. Südionische, wohl milesische, Töpfer fertigten mit einer übernommenen Technologie Gefäßformen, die ihrem Arbeitsalltag entsprachen. Auch die Vasenmaler schmückten die Gefäße mit der 'neuen' oder zumindest für sie ungewöhnlichen Technik mit dem bewährten Malstil Milets, dem Fikellurastil der Stilstufe MileA II,

und Habich gemachten Funde und einige wenige neue aus Samos ab, s. Samos VI 1, 18 f. Abb. 22-23 Taf. 35 und 36, 277. 287.

¹³⁰³ Dupont in: KollFrankfurt 60.

¹³⁰⁴ W. Löwe, in: P. Gercke – W. Löwe (Hrsg.), Samos – Die Kassler Grabung 1894 in der Nekropole der archaischen Stadt von Johannes Boehlau und Edward Habich (1996) 68 Kat.-Nr. 45, 41.

wenn sie dazu auch zu dem ungewöhnlichen, aber bei dem dunklen Untergrund notwendigen Farbwechsel gezwungen waren: Sie malten mit Deckrot, statt mit dem Malschlicker¹³⁰⁵.

Neuerdings hat Dupont zur 'Grauen Ware' mit dem Schwerpunkt der Produktion und Nachahmung im West- und Nordpontus einige neue Ideen veröffentlicht¹³⁰⁶. Unter den dort von ihm festgestellten lokalen Tongruppen (»Olbia A«, »Olbia B«, »Olbia C«, »Olbia D«, Dnestr A«, »Dnestr B«, »verschiedene Istros-Gruppen« und »eine nicht sichere Istros-Gruppe?«) befindet sich innerhalb einer vermutlich in Olbia anzusiedelnden Tongruppe, »Olbia B«, eine KRS südionischen Typus der 'Grauen Ware'¹³⁰⁷. Die »olbische« KRS aus Berezan kann allein von der Abbildung her nur ungenau klassifiziert werden. Dupont identifiziert sie als Typus Villard – Vallet A2/B2, was in etwa dem milesischen Typus 9.1–2,C entsprechen dürfte¹³⁰⁸.

7.4.3.4 Die Serie der bemalten Knickrandschalen aus Milet

7.4.3.4.1 Die bemalten Gefäße mit Dekor der Stufe MileG und MileA

Die meisten der naturwissenschaftlich auf ihre Herkunft untersuchten und im Folgenden vorzustellenden Gefäße sind bereits in den entsprechenden Kapiteln der verschiedenen Stilstufen besprochen worden. Sie werden deshalb in diesem Kapitel nicht erneut ausführlich dargestellt. Statt dessen wird ihre Auswahl begründet und die Ergebnisse der naturwissenschaftlichen Untersuchung diskutiert.

7.4.3.4.1.1 Bemalte Gefäße der Stilstufe MileG

Ein Desiderat stellt vor allem die Erforschung der frühen griechischen Keramik der geometrischen wie der früharchaischen Epoche in der Ostägäis dar. Dieser Mißstand überträgt sich entsprechend auf die

¹³⁰⁵ Dies erinnert an die Vorgehensweise bei der in Etrurien gefundenen sog. Isis-Schale aus dem sog. Polledrara Grab (s. etwa die alte Umzeichnung in H. B. Walters, *Catalogue of the Greek and Etruscan Vases in the British Museum I 2* (1912) Taf. 21), bei der eine einfach dekorierte KRS des Typus 9.1.B dunkel übermalt wurde und auf diesem neun, dunklen Untergrund wurde dann mit Deckweiß gemalt. Hierzu bereitet der Verfasser nach einer eingehenden Studie und der zeichnerischen Aufnahme des Stücks zur Zeit einen Aufsatz vor.

¹³⁰⁶ P. Dupont – V. Lungu, *Plats milésiens à couverture noire de mer Noire*, *Anatolia Antiqua* 16, 2008, 77 ff. = P. Dupont – V. Lungu, *Plats milésiens à couverture noire de mer Noire*, in: P. Dupont – V. Lungu (Hrsg.), *Synergia pontica and aegeo-anatolica* (2010) 137 ff. (zu milesischen Tellern mit aufgebogenem Rand [in der Terminologie der Verfasser »plats à vasque en calotte«] aus dem West- und Nordpontus, die der Gruppe der 'Grauen Ware' angehören); P. Dupont – V. Lungu, *Note sur un lébès gris hellénistique d'Istros*, in: ebenda 149 ff. (zur nordionischen und aiolischen Produktion von sog. Grauer Ware); P. Dupont, *Characterization of the Bug and Dnepr Limans Workshops. Preliminary Lab Results and Comparative Studies*, in: ebenda 159 ff.; V. Lungu, in: ebenda 166 f. (sehr allgemein zur Voraussetzung von komparativen Untersuchungen 'Grauer Ware' in Milet und Lesbos sowie im Schwarzmeergebiet); 170 f. (zu seltenen milesischen Tellern der 'Grauen Ware' im Nord- und Westpontus und dem Fehlen von Imitationen dieser Teller).

¹³⁰⁷ P. Dupont, *Characterization of the Bug and Dnepr Limans Workshops. Preliminary Lab Results and Comparative Studies*, in: P. Dupont – V. Lungu (Hrsg.), *Synergia pontica and aegeo-anatolica* (2010) 160 f. 175 Abb. 11 (eine lokale KRS vom südionischen Typus 9? in 'Grauer Ware' [Villard – Vallet A2/B2]).

¹³⁰⁸ Damit wäre sie vielleicht der bekannten 'Graue-Ware'-KRS in Kassel aus der archaischen Nekropole in Samos an die Seite zu setzen, die allerdings einen polychromen Dekor aufweist W. Löwe, in: P. Gercke – W. Löwe (Hrsg.), *Samos – Die Kassler Grabung 1894 in der Nekropole der archaischen Stadt von Johannes Boehlau und Edward Habich* (1996) 68 Kat.-Nr. 45, 41.

archäometrischen Untersuchungen. Fehlende Aufarbeitung der Funde bedingt fehlende Informationen zum Material, weswegen entsprechende Fragestellungen, die naturwissenschaftlichen Untersuchungen voranzugehen haben, bis heute nicht aufgeworfen wurden¹³⁰⁹.

Die neuen Grabungen in Milet haben zumindest für die spätgeometrische und früharchaische Zeit einen nicht unbedeutenden Materialzuwachs erbracht. Ein spätgeometrisches Gefäß der Stufe SiG III ist in diese archäometrische Untersuchungsreihe im Bochumer Labor (Yalçın) aufgenommen worden. Der KRsk **406** des Typus 2 weist einen spätgeometrischen frühorientalisierenden Dekor auf. Der 'flammenartige' Rand trägt einen Metopenfries. In die Metopen sind feldfüllende Einzelornamente gesetzt, die später auch als Füllornamente in den Tierfriesen der Malereistufen SiA Ic–d wiederkehren: Rosette und gekreuzte Raute. Unter der markanten 'Treppung', die sich durch den zurückgesetzten Rand ergibt, befindet sich auf der Schulter ein Zickzackfries mit eingesetzten Dreiecken. Dieser Skyphos aus dem Aphrodite-Heiligtum bei Milet ist bereits aufgrund seiner Grundform als ein milesisches Produkt zu vermuten, was oben bereits zu den KRsk vom Typus 2 aufgezeigt wurde.

Nach den Auswertungen der naturwissenschaftlichen Untersuchungen konnte der Skyphos **406** im 'chemischen Miletfeld' lokalisiert werden. Darüber hinaus faßt ihn auch die Clusterauswertung im Cluster 6 mit den bemalten Gefäßen der Stufe MileA II zusammen. Die bisher erfolgten Untersuchungen zu Gefäßen mit Gefäßmalerei der Stilstufe SiA II haben unabhängig voneinander – neben einem vermutlich kleineren, nicht genauer lokalisierten Ort in der Region Südionien – vor allem Milet als Produktionsstätte ausgemacht. Darüber hinaus bestätigen auch die unten aufgezeigten Ergebnisse diese Untersuchung. Daher ist wohl **406** von allen bisherigen naturwissenschaftlich auf ihre Herkunft untersuchten Keramikgefäßen als vorläufig ältestes Zeugnis der milesischen orientalisierenden Gefäßmalerei anzusehen.

In die Nachuntersuchung im Bonner Labor (Mommsen) ist der auch im Bochumer Labor (Yalçın) untersuchte KRsk **408** eingegangen. Er wurde hier als lokales spätgeometrisches Beispiel beschrieben. Vielleicht ist er stilistisch etwas zu früh datiert worden, in jedem Fall aber gehört er der bekannten milesischen Herkunftsgruppe D (Mommsen) an und ist hier zur Zeit ihr frühestes Beispiel unter den Funden in Milet. Auch das Bochumer Labor (Yalçın) erwies den Skyphos für milesisch.

7.4.3.4.1.2 Bemalte Gefäße der Stilstufe MileA I

Dem Cluster 6 des Bochumer Labors (Yalçın) gehört auch die subgeometrische Schale **412** mit orientalisierendem Dekor an. Auch die Ni-/Cr-Werte der Tonanalyse weisen sie ins 'chemische Miletfeld'. **412** weist bereits den typischen hellen Überzug der bemalten Gefäße der archaischen Stilstufen SiA I/II auf. Der Form nach ist er ein Vertreter der subgeometrischen KRS vom Typus 3.B. Der dünne hochgezogene Rand verbindet ihn mit der Untergruppe 3,2.B. Für die archäometrischen

¹³⁰⁹ Dies hat sich inzwischen – im Vergleich zum Zeitpunkt der ursprünglichen Abfassung des Manuskripts – geändert: vgl. Kerschner in: Akurgal u. a. 2002.

Untersuchungen ist die die Schale **412** mit ihrer Bemalung wie die zuvor besprochene wiederum in Hinsicht auf ihre frühe Entstehung besonders wichtig. Ähnlich frühe Gefäße mit südionischer Gefäßmalerei waren bisher kaum in die Untersuchungen mit einbezogen worden¹³¹⁰. Lediglich drei Kotylen aus Milet haben Kerschner und Mommsen untersucht. Bei diesen handelt es sich um Randpfalzkytlen, die am Kalabaktepe in Milet gefunden wurden. Die naturwissenschaftliche Herkunftsuntersuchung erwies sie der inzwischen als milesisch erkannten chemischen Herkunftsgruppe D (Mommsen) zugehörig¹³¹¹. Sie werden von Kerschner zwischen 750 und 640 v. Chr. datiert. Ihr Fundplatz in der Siedlung in der Südstadt läßt vermuten, daß die drei zur Spätphase des Zeitraums 670–640 v. Chr. gehören.

Für die erste Phase der Frühstufe milesisch archaischer Gefäßmalerei (MileA Ia) ist stellvertretend die KRS **417** für die chemische Tonanalyse herangezogen worden. Das offene Schlaufenband mit eingesetzten Punkten findet sich in der Phase SiA Ia sowohl auf den subgeometrischen – wie etwa auf dem eben betrachteten Beispiel **412** – als auch auf den entwickelten früharchaischen Gefäßen¹³¹². In der Phase SiA Ib läßt es sich nicht mehr nachweisen. Die Zuordnung der beiden Gefäße innerhalb dieses Zeitrahmens zur früharchaischen Phase erfolgte aufgrund ihrer Formen, die die Merkmale der geometrischen Stufe überschritten haben. Die Form der Schale **417** hat ihre engsten Parallelen unter den KRS des Typus 6. Die Schale kann als Variante 6,2.B (Sonderform) klassifiziert werden. Die Ergebnisse der Zweielementauswertung stützen die von der Forschung vorgebrachte Vermutung, daß die bereits nachgewiesene milesische Tonzusammensetzung der meisten untersuchten Gefäße mit Gefäßmalerei der späteren Phasen SiA Ic–d zu Recht den Rückschluß auf die vorhergehenden Entwicklungsphasen zuläßt. Beide Proben finden sich in der Ni-/Cr-Auswertung im 'chemischen Miletfeld' wieder. Auch die Clusteranalyse führt das Gefäß **417** auf der Liste der Hauptgruppe B. Neben einem Beispiel einer Vogelschale mit subgeometrischem Dekor, die von Kerschner und Mommsen untersucht wurde¹³¹³, haben die beiden Gefäße aus Milet als die ersten Nachweise für die tatsächliche milesische Herkunft dieser Frühphase der Stilstufe MileA I zu gelten. Kerschner datiert die Vogelschale in den Zeitraum 670–640 v. Chr.

Die Phasen SiA Ic–d, im Cook'schen Klassifizierungssystem unter MWG II zusammengefaßt, wurden bereits in verschiedenen naturwissenschaftlichen Herkunftsuntersuchungen erforscht. Dies ist oben bereits dargelegt worden. Bisher wurde stets ein südionischer, zuletzt vor allem ein milesischer Ursprung festgestellt. Doch gliedert sich das untersuchte Material teilweise in zwei Gruppen, die

¹³¹⁰ Daher werden stets nur indirekte Schlußfolgerungen gezogen, in denen vom chemischen Nachweis der Gefäßmalerei der Stufe SiA Ic und d, deren milesische Herkunft bereits wahrscheinlich gemacht wurde, auf die vorherigen Entwicklungsstufen zurückgeschlossen wird, vgl. Cook 1998, 36.

¹³¹¹ M. Kerschner in: Akurgal u. a. 2002, 44 ff.; S. 103 Kat.-Nr. 45-47; S. 167 Abb. 30 Taf. 2, 45-46.

¹³¹² Für die Stufe SiA Ia vgl. die Bochumer Kanne (Cook 1998, 35 Abb. 8.3), zur Stilstufe allgemein s. Kerschner – Schlotzhauer 2005, 9 ff. mit Abb. 1–2 (Bochumer Kanne).

¹³¹³ Die Vogelschale mit subgeometrischem Dekor und typischem Überzug der Stufe SiA I ist in den sog. Kalabaktepe-Werkstätten produziert worden, die durch die chemische Herkunftsgruppe A (Mommsen) erwiesen sind, s. M. Kerschner in: Akurgal u. a. 2002, 41; 102 Kat.-Nr. 41; S. 166 Abb. 26.

möglicherweise zwei Zentren oder auch zwei unterschiedliche Werkstätten meinen. Kerschner und Mommsen trennen die chemischen Herkunftsgruppen A und D (Mommsen), die beide nach Milet weisen. Hier vereinigen sich in der Herkunftsgruppe A die kanonischen Beispiele für den Tierfriesstil der Stilphasen MileA Ic–d. In der chemischen Herkunftsgruppe D fand sich eine Kalottenschale aus Milet wieder. Auf ihr befindet sich eine ungewöhnliche Gans-Darstellung, die Kerschner zu Recht mit der Lévykanne in Zusammenhang gebracht hat und die damit an den Beginn der Phase MileA Ic zu setzen ist¹³¹⁴. Darüber hinaus konnten die beiden Wissenschaftler Tierfriesstil-Keramik der Phase SiA Ib einer weiteren, wahrscheinlich nicht milesischen Gruppe zuweisen. Auch die Untersuchungen Duponts ergaben, daß die Beispiele des sog. MWG II-style zwei chemischen Gruppen zuzuordnen seien. Die größere Gruppe konnte mit Milet verbunden werden, die zweite, die chemische Gruppe 'Südionien 3', hat noch keine sichere Lokalisierung erfahren und wird in letzter Zeit im Hellespont oder in der Troas verortet (zum Problem s. o.). In der milesischen Gruppe finden sich Beispiele sowohl der Stilphase MileA Ic, als auch MileA Id. Für die chemische Gruppe 'Südionien 3' konnten bisher nur solche der Phase SiA Id geltend gemacht werden. Die Untersuchungen von Jones und Boardman müssen vorläufig 'außen vor' stehen, da sie auf dem bisherigen Stand ihrer Untersuchungen als unbrauchbar angesehen werden müssen (s. o.).

Zwei milesische KRS (**510; 519**) vertreten vermutlich die Spätphase MileA Ic–d der lokalen Gefäßmalerei. Die Ergebnisse ihrer Untersuchung im Bochumer Labor (Yalçın) bestätigten eine milesische Tonzusammensetzung. Auch sie gehören beide der Hauptgruppe B der Clusteruntersuchung (Cluster 6) an.

Die Nachuntersuchungen im Bonner Labor (Mommsen) haben für die Frühstufe SiA I folgenden Ergebnisse erbracht: Die KRS **435** des Typus 10,4.B mit Bemalung der Stilphase MileA Id gehört der chemischen Gruppe Dk (Mommsen) an, die eine Variation der sicher milesischen chemischen Gruppe D (Mommsen) darstellt. Nicht so eindeutig bestimmen ließ sich die Dekoration der KRS **428** vom Typus 10,2.B. Vermutlich gehört sie noch der älteren Stilstufe MileA I an, doch lassen die einfachen Dekorelemente wie der Zinnenmäander auf der Innenseite des Randes und die Wellenlinie auf der Schulter keine feinere Klassifizierung zu. Das Fabrikat mit einem harten Scherben und sandiger, grober Tonzusammensetzung legt allerdings eine frühe Entstehung noch im späten 7. Jh. v. Chr. nahe. Gesichert ist nun allerdings durch die Herkunftsanalyse im Bonner Labor (Mommsen) ihre milesische Provenienz in der chemischen Herkunftsgruppe D (Mommsen). Auch wenn es in der vorliegenden Studie nicht gelang, konnte doch neben der hier nachgewiesenen Herkunftsgruppe D (Mommsen)¹³¹⁵ und ihrer Variante Dk in weiteren Untersuchungen von Tierfriesstil-Gefäßen der

¹³¹⁴ M. Kerschner in: ebenda 46; 102 Kat.-Nr. 40; 166 Abb. 25 hält an der Zugehörigkeit der Beispiele um die Lévykanne zur Phase SiA Ib fest.

¹³¹⁵ Zu den hier für die Herkunftsgruppe D (Mommsen) nachgewiesenen Beispielen vgl. auch M. Kerschner in: Akurgal u. a. 2002, 102 Kat.-Nr. 40 (MileA Ib); 103 Kat.-Nr. 43 (MileA Ia–b). Kat.-Nr. 44 (MileSubG/MileA Ia–b) alle Herkunftsgruppe D (Mommsen); M. C. Lentini in: Lentini 2008, 35 f. Kat.-Nr. 2

Stilstufe MileA I auch die zweite milesische Herkunftsgruppe A (Mommsen), die sog Kalabaktepe-Werkstätten, erwiesen werden¹³¹⁶.

Nach dem Gesagten läßt sich bisher nur ein vorläufiges Fazit ziehen: Bisher können zumindest zwei Werkstätten in Milet nachgewiesen werden, in denen Gefäße der Frühstufe MileA I der milesischen Gefäßmalerei erzeugt wurden.

7.4.3.4.1.3 Bemalte Gefäße der Stilstufe MileA IIa

Zwei bereits ausführlich besprochene 'Bilinguen', die den Übergang von der Frühstufe der südionischen Malerei (SiA I) zur Spätstufe (SiA II) vollziehen, sind ebenfalls in die Probenserie aufgenommen worden, um festzustellen, ob dieser wichtige Übergang auch tatsächlich in Milet stattfand. Die neue Stufe SiA II, die sich in der Gefäßmalerei Südioniens auf allen Gefäßgattungen vollzieht, kündigt sich zunächst in den untergeordneten ornamentalen Friesen an. Während die Tierfrieze auf den Schalen **423** und **542** noch die letzte Phase der Frühstufe MileA Id aufweisen, ist der Blüten-Knospenfries bereits von einem neuen Geist belebt. Hier ist die Konturierung, das Hauptmerkmal der zergliedernden und additiven Darstellungsweise der Stilstufe MileA I, aufgegeben. Die neue Darstellungsweise ist kompakt und ähnlich der schwarzfigurigen Malerei anderer Landschaften flächenfüllend. Sie bleibt aber als einzige Kunstlandschaft im Wesentlichen von der Ritztechnik der schwarzfigurigen Gefäßmalerei unberührt und hält an der lokalen Ausspartechnik auch nach dem Wechsel der Darstellungsweise fest.

Die Schale **423** verdeutlicht die Übergangsphase am eindringlichsten. Auf der Außenseite sind die Tiere mit den ausgesparten Köpfen und selbst der Blüten-Knospenfries der Bodenzone mit Konturierung der Knospen und Blüten dargestellt, wie sie in den Phasen MileA Ic und d vertreten

(MileA Ia–b; Herkunftsgruppe D, Mommsen); C. Ingoglia in: Lentini 2008, 38 Kat.-Nr. 4 (MileA Ib; Herkunftsgruppe D, Mommsen); M. C. Lentini in: Lentini 2008, 43 Kat.-Nr. 9 (MileA Id; Herkunftsgruppe D, Mommsen); R. Posamentir – N. Arslan – I. Bîrzescu –Ş. Karagöz – H. Mommsen, Zur Herkunftsbestimmung archaisch-ionischer Keramik III: Funde aus den Hellespont-Städten, Histria und Olbia, *IstMitt* 59, 2009, 44 Abb. 3, 2-3 (MileA Id; Herkunftsgruppe D, Mommsen).

¹³¹⁶ M. Kerschner in: Akurgal u. a. 2002, 102 Kat.-Nr. 39 (MileA Ib/c). 41 (MileSubG/MileA Ib/c); S. 111 Kat.-Nr. 78 (MileA Ic/d), 81 (MileA Ic/d); S. 111 f. Kat.-Nr. 82 (MileA Ic); S. 113 Kat.-Nr. 92 (MileA Ic/d) alle Herkunftsgruppe A (Mommsen); R. Posamentir – S. Solovyov, Zur Herkunftsbestimmung archaisch-ostgriechischer Keramik: Die Funde aus Berezan in der Eremitage von St. Petersburg, *IstMitt* 56, 2006, 111 f. Abb. 9–10 (MileA Id; Herkunftsgruppe A, Mommsen); M. Kerschner, Zur Herkunftsbestimmung archaischer ostgriechischer Keramik: Die Funde aus Berezan im Akademischen Kunstmuseum der Universität Bonn und im Robertinum der Universität Halle-Wittenberg, *IstMitt* 56, 2006, 133 f. Abb. 2 (MileA Ic/d; Herkunftsgruppe A, Mommsen); R. Attula in: J. Berges, Knidos. Beiträge zur Geschichte der archaischen Stadt (2006) 136. 140 ff. Kat.-Nr. 284. 291 (MileA Ic–d; Herkunftsgruppe A, Mommsen); R. Posamentir – S. Solovyov, Zur Herkunftsbestimmung archaisch-ionischer Keramik: Die Funde aus Berezan in der Eremitage von St. Petersburg II, *IstMitt* 57, 2007, 200 f. Abb. 6, 3.5-7 (MileA Id/IIa; Herkunftsgruppe A, Mommsen); Abb. 6, 8 (MileA Id; Herkunftsgruppe A, Mommsen); G. Monterosso in: Lentini 2008, 42 Kat.-Nr. 8 (MileA Id; Herkunftsgruppe A, Mommsen); U. Schlotzhauer in: Lentini 2008, 59 ff. Kat.-Nr. 16B (MileA Id/MileA IIa; Herkunftsgruppe A, Mommsen); R. Posamentir – N. Arslan – I. Bîrzescu –Ş. Karagöz – H. Mommsen, Zur Herkunftsbestimmung archaisch-ionischer Keramik III: Funde aus den Hellespont-Städten, Histria und Olbia, *IstMitt* 59, 2009, 44 Abb. 3, 1 (MileA Id; Herkunftsgruppe A, Mommsen); 46 f. Abb. 6 (MileA Id; Herkunftsgruppe A, Mommsen); Schlotzhauer 2012, 119 ff. Kat.-Nr. NAU 84 (MileA Id; Herkunftsgruppe A, Mommsen); S. 121 ff. Kat.-Nr. NAU 85 (MileA Id; Herkunftsgruppe A, Mommsen).

sind. Die großen Füllornamente, besonders die stehenden und hängenden Dreiecke, die langgezogenen Halbrosetten in ihrer vereinfachten Ausformung als 'tramlines' sowie die Trennbänder in Form des Kreuz-Punktbandes zeigen die Spätphase MileA Id. Auf die Innenseite des Schalenrandes hat der Maler aber bereits die kompakte, flächenfüllende und daher auf jede Konturierung verzichtende Form des Blüten-Knospenfrieses gesetzt. Außer auf dieser Schale ist dieser Blüten-Knospenfries niemals mit Friesen der Stufe MileA I, sondern ausschließlich mit solchen der Spätstufe MileA II verbunden. Sie kann daher mit Recht als das bisher überzeugendste Beispiel der Übergangsphase betrachtet werden. Ein Nachweis ihrer Herkunft macht es sehr wahrscheinlich, zugleich auch den Ort dieses Paradigmenwechsels in der südionischen Gefäßmalerei bestimmt zu haben. Für die Schale **542** gilt das Gesagte im gleichen Maße. Einzig die Variante des Blüten-Knospenfrieses ist eine andere. Die Darstellungsweise vertritt aber wieder die Stufe MileA II, während die Gans-Darstellung des Metopenfrieses der Stufe MileA I zugehörig ist. Da die Lokalisierung der Gefäßmalerei der Phasen SiA Id und SiA Iia bereits für Milet erfolgt ist, sind hiermit die ersten Hinweise darauf gegeben, daß Milet auch als das Kunstzentrum anzusehen ist, indem sich der Wandel der Stilstufen in Südionien vollzog.

Die chemischen Analysen im Bochumer Labor (Yalçın) der beiden Schalen **423** und **542** konnten die milesische Herkunft also bestätigen. Die Tonzusammensetzung führt sie im Cluster 6 zusammen und entspricht auch dem 'chemischen Miletfeld' der Zweielementauswertung. Mit diesem Ergebnis ist der bedeutende Beitrag Milets bei der Entwicklung zur neuen Stilstufe MileA II als erwiesen anzusehen.

Auch die Nachuntersuchungen im Bonner Labor (Mommsen) haben Beispiele der Bilinguen und damit den Übergang zwischen den beiden großen Stilstufen mit großer Wahrscheinlichkeit in Milet nachgewiesen. In diesem Zusammenhang konnten zwei Tonzusammensetzungen ermittelt werden. Zwei Beispiele (**439–440**) sind der Herkunftsgruppe Dk (Mommsen) zugehörig, einer Variante der sicher milesischen chemischen Herkunftsgruppe D (Mommsen). Dieser Variante der Herkunftsgruppe D (Mommsen) gehören bisher ausschließlich KRS vom Typus 10,1.B und 10,3B–C an sowie Beispiele der Spätphase der Stilstufe MileA Id – und nun Bilinguen der Stilphase MileA Iia. Damit sind hier Stücke vereinigt, die stilistisch und chronologisch sehr eng zusammengehören. Dazu ist das oben bereits besprochene Beispiel **423** im Bonner Labor (Mommsen) erneut analysiert worden. Diese Bilingue stellt eine andere Grundform der KRS dar, nämlich den Typus 9,1.C. Sie gehört der Herkunftsgruppe DD (Mommsen), bzw. seiner Subgruppe DD-2 an. Für die Herkunftsgruppe DD existiert noch kein eindeutiger Nachweis für Milet. Aber die Mitglieder der chemischen Gruppe DD zeigen eindeutig einen südionischen Charakter und lassen sich vorläufig am schlüssigsten anderen sicher in Milet erzeugten Produkten, wie den Gesichtstassen oder Kopfgefäßen anschließen. Aber bis zum eindeutigen Nachweis kann die Umgebung von Milet oder auch Samos nicht restlos ausgeschlossen werden.

7.4.3.4.1.4 Bemalte Gefäße der Stilstufe MileA II

Nach dem Vorausgegangenen ist auch für die weitere Entwicklung und die vielfältige Produktion von Gefäßen mit Gefäßmalerei der Stilstufe SiA II davon auszugehen, daß Milet auch hier eine bedeutende Position einnahm. Nicht allein der Nachweis von Gefäßformen mit Bemalung der Stufe SiA II in Milet, welche bisher unbekannt waren¹³¹⁷, machen dies wahrscheinlich. Auch alle bisher durchgeführten naturwissenschaftlichen Tonanalysen haben, wie oben dargestellt, Milet als bisher einzige Produktionsstätte in der Ostägäis erwiesen¹³¹⁸.

Für die erste Phase der neuen Stilstufe MileA Iia, zu denen auch die zuvor besprochenen 'Bilinguen' gehören, wurde die Schale **556** mit hängendem Blüten-Knospenfries auf der Schulterzone ausgewählt¹³¹⁹.

Die weitere Entwicklung innerhalb der Stilstufe vertreten die KRS **450** und **567**¹³²⁰. Hinzu tritt noch die KRS der 'Grauen Ware' (**403**), die bereits oben unter den nichtdekorierten Beispielen dieser Gattung besprochen wurde. Die 'Graue Ware'-Schale **403** entbehrt des typischen hellen, teils cremig weißen bis gelblichen Überzuges, der für die überwiegende Zahl an Gefäßen mit Bemalung der Stilstufen SiA I–II charakteristisch ist. Der Erhaltungszustand erschwert die vollständige Rekonstruktion der Bemalung der KRS **403**. Sicher ist, daß der Blüten-Knospenfries im Becken der Schale der Stilstufe MileA II zugerechnet werden muß. Der 'speckige' schwarze Firnis auf der Schale könnte dazu beigetragen haben, daß weitere Bemalungsspuren, beispielsweise von weißer Farbe, vollständig verloren gegangen sind. Bisher sind vergleichbare Stücke, der sog. schwarz bunten Keramik nur von Samos her bekannt¹³²¹. Denn mit Rot und Weiß bemalte Gefäßinnenseiten sind nicht nur unter den chiotischen Kelchen oder den vermutlich rhodischen Vroulia-Schalen zu finden, wie nicht zuletzt das Beispiel **514** lehrt¹³²².

Alle beprobten Gefäße mit Malerei der Stufe SiA II erwiesen sich im Bochumer Labor (Yalçın) aufgrund der chemischen Zusammensetzung ihres Tones als milesisch, womit die Annahme der bisherigen Forschungen auf diesem Gebiet ihre Bestätigung erfährt. Das Diagramm (Diagramm 7, Abb. 109) der Zweielementauswertung zeigt unsere Beispiele mit roten Kreisen dicht beieinander im 'chemischen Miletfeld' an. Daneben sind sie mit den zuvor besprochenen Beispielen der geometrischen

¹³¹⁷ Vgl. U. Schlotzhauer, AA 1999, 223 ff.

¹³¹⁸ Vgl. oben S. 370 ff.

¹³¹⁹ Zur Frühphase der Stilstufe MileA Iia vgl. S. 350 im Kapitel 6.7 'Die südionische/milesische Malerei auf Gefäßen'.

¹³²⁰ Vgl. S. 235 f. im Kapitel 5.1.3 'Zusammenfassung zu den neuen Grabungen'.

¹³²¹ Vgl. Samos VI 1, Taf. 36, 277; oder die KRS in Kassel aus den Boehlau-Grabungen 1894: W. Löwe, in: P. Gercke – W. Löwe (Hrsg.), Samos – Die Kassler Grabung 1894 in der Nekropole der archaischen Stadt von Johannes Boehlau und Edward Habich (1996) 68 Kat.-Nr. 45, 41.

Nicht hierher gehört die ungewöhnliche Schale aus dem Polledrara-Grab in Vulci, vgl. Anm. 1305. Hier wurde eine schlicht gefirnißte südionische KRS vom Typus 6,4.B nachträglich mit roter und weißer Farbe bemalt. Die Bemalung spiegelt verschiedene Stile wieder, während auf der Außenseite der Fikellurastil der Stufe MileA II nachgeahmt wird, ähnelt die Innenseite eher aiolischen Beispielen.

¹³²² Weiteres südionisches Beispiel aus Al Mina (C. M. Robertson, JHS 40, 1960, 13 Abb. 6 Taf. 1, m.n).

Stufe (MileG) bis zu den Bilinguen in der Frühphase der Stilstufe MileA IIa im Cluster 6 zusammengefaßt. Wichtig ist in diesem Zusammenhang sicher, daß neben den bisher besser untersuchten Kannen und Amphoren sowie einigen Schalen und Tellern nun auch ein dekoriertes Beispiel der 'Grauen Ware' als milesisches Erzeugnis nachgewiesen werden konnte. Hinzu tritt der Aspekt, daß unterschiedliche Qualitätsstufen, wie sie am deutlichsten zwischen **428** und **450** zum Ausdruck kommen, ihren Platz nebeneinander in Milet finden.

Nachuntersuchungen an KRS mit Fikellurastil-Dekor wurden außer an den schon erwähnten Bilinguen, also der frühesten Phase der Stilstufe MileA II, im Bonner Labor (Mommsen) nur noch an der KRS **465** vorgenommen. Diese recht vollständige Schale mit einem typischen Fikellurastil-Dekor der entwickelten Stilstufe MileA II und der schon von Cook¹³²³ als typische Fikellurastil-Schale angeführten flachen Form, hier als Typus 10,11.D klassifiziert, ist wie bereits die Bilinguen-Schale vom Typus 9,1.C (**423**) ebenfalls ein Beispiel der Herkunftsgruppe DD (Mommsen), bzw. ihrer Subgruppe DD-3. Damit ist die zweite, allerdings noch nicht sicher in Milet verortete, chemische Herkunftsgruppe mit einem Beispiel des entwickelten Fikellurastils der Stilstufe MileA II belegt.

Im Bonner Labor (Mommsen) ist aber neben den hier nachgewiesenen Herkunftsgruppen D¹³²⁴ (Mommsen), bzw. der Variante Dk, und den beiden Subgruppen DD-2 sowie DD-3 der Herkunftsgruppe DD¹³²⁵ (Mommsen) in anderem Zusammenhang für den Fikellurastil (Stilstufe MileA II) auch noch die Herkunftsgruppen A¹³²⁶ (Mommsen), die sog. Kalabaktepe-Werkstätten, bezeugt. Für die Herkunftsgruppe A (Mommsen), die zwar KRS produziert (s. o.), ist somit bislang noch keine KRS mit Fikellurastil-Dekor erwiesen worden.

7.4.3.4.1.5 Eine eigene Werkstatt Ionischer Kleinmeister?

Unter den bemalten südionischen KRS nehmen die Ionischen Kleinmeisterschalen (**609; 617–618**) eine besondere Rolle ein. Sie wurden in der Forschung stets mit ihrem attischen Pendant verglichen. Tatsächlich ist so manche Kleinmeisterschale ionischer Provenienz von den attischen Meisterwerken kaum zu scheiden. Mitunter kommt es dem Betrachter so vor, als hätten die Töpfer und Maler des einen Kunstkreises die des anderen bis hin zur Erscheinungsform des Tones nachzuahmen versucht.

¹³²³ Cook 1933/34, 58 mit Abb. 7. Cooks Beschreibung der Fikelluraschalen, die er mit den bekannten »East Greek cups of similar type« mit »offset rim und ring foot« verglich, traf den Sachverhalt eigentlich schon sehr zutreffend: »The Fikellura cup is shallower and has a flatter curve, and generally is more elegant«.

¹³²⁴ Für die Herkunftsgruppe D sind auch folgende Fikellurastil-Gefäße nachgewiesen: M. Kerschner in: Akurgal u. a. 2002, 108 Kat.-Nr. 65 (MileA II); Schlotzhauer 2012, 145 f. Kat.-Nr. NAU 112 (MileA II); S. Weber in: U. Schlotzhauer – S. Weber – H. Mommsen, Griechische Keramik des 7. und 6. Jhs. v. Chr. aus Naukratis und anderen Orten in Ägypten. Archäologische Studien zu Naukratis 3 (2012) 349 Kat.-Nr. TD 191 (MileA IIa);

¹³²⁵ Eine weitere Fikellurastil-Oinochoe der Gruppe der sog. Vogelkannen gehört der Herkunftsgruppe DD (Mommsen) an, s. M. Kerschner, Zur Herkunftsbestimmung archaischer ostgriechischer Keramik: die Funde aus Berezan im Akademischen Kunstmuseum der Universität Bonn und im Robertinum der Universität Halle-Wittenberg, *IstMitt* 56, 2006, 134 f. Abb. 4 (MileA II).

¹³²⁶ M. Kerschner in: Akurgal u. a. 2002, 107 f. Kat.-Nr. 63-64 (MileA II); S. 114 Kat.-Nr. 98 (MileA II); Kerschner a. O. 2006, 134 f. Abb. 3 (MileA IIa – Bilingue?); Schlotzhauer 2012, 147 f. Kat.-Nr. 115 (MileA IIa); S. 150 f. Kat.-Nr. 120 (MileA Id?/IIa).

Natürlich können auch diese feinen Töpfereiprodukte ihre Herkunft nicht vollständig leugnen, denn ein wenn auch teilweise geringer Anteil des auch für milesische Keramik eigentümlichen Glimmers können auch sie nicht verbergen. Die Übereinstimmungen lassen sich zudem auf der technischen Ebene verfolgen. Südionische Künstler verzichteten auffällig selten auf eine helle Grundierung des Malgrundes. Im Fall der Ionischen Kleinmeisterschalen wurde von dieser Regel tatsächlich häufiger abgewichen. Mit fortschreitender Zeit gewinnt so manche weitere attische Eigenart Einfluß auf die Ionischen Kleinmeister, was sich auch im sparsamen Gebrauch der für Südionien ungebräuchlichen Ritztechnik bemerkbar macht.

Damit nehmen die Ionischen Kleinmeisterschalen archäologisch eine gesonderte Stellung innerhalb der Stilstufe MileA II ein. In den bisherigen archäometrischen Untersuchungen fanden sie kaum Berücksichtigung. Lediglich Dupont äußerte sich zu ihnen und hielt sie für ausschließlich samische Erzeugnisse, wozu ihn aber mehr archäologische Überlegungen als naturwissenschaftliche Fakten verleiteten¹³²⁷. Drei Ionische Kleinmeisterschalen (**609**; **617–618**) und eine mit diesen eng zu verbindende KRS (**600**) erbrachten im Bochumer Labor (Yalçın) ein überraschendes Ergebnis: Alle fanden sich im 'chemischen Miletfeld' der Zweielementauswertung wieder.

In diesem liegen zwei mit blauen Punkten bezeichnete Vertreter (**617–618**) am äußeren Rand des Feldes. Sie sind auch archäologisch am engsten sowohl miteinander, als auch mit den attischen Beispielen verbunden. Ob dies eine Begründung für die relative Nähe zum 'attischen Feld' darstellt? Die figürlich verzierte und stärker als die beiden eben behandelten an südionische Tradition erinnernde KRS **609** jedenfalls ist zentral im 'chemischen Miletfeld' positioniert und als blauer Kreis dargestellt. Sie hat sowohl den erwähnten Überzug 'milesischer', bemalter Keramik als auch 'milesische' Dekorationselemente, die im Attischen so nicht üblich sind. Dennoch findet sich auf ihr Ritztechnik, die sehr wohl attischen Einfluß verrät. Ebenfalls zentral im 'chemischen Miletfeld' liegt die mit einem roten Punkt bezeichnete KRS **600**, die eine Mischform von herkömmlicher Gefäßmalerei der Stilstufe MileA II im Becken und einer Kleinmeisterschale in Form und äußerer Erscheinung darstellt. Konnte die Auswertung der Ni-/Cr-Werte im Bochumer Labor (Yalçın) immerhin bereits die milesische Herkunft der in Milet gefundenen Beispiele Ionischer Kleinmeisterschalen nachweisen, so führt die Clusterauswertung zu einer weiteren Bestätigung. Anders als alle sechzehn bisher besprochenen bemalten Gefäße der geometrischen bis spätarchaischen Zeit fanden sich die drei Kleinmeisterschalen und die mit diesen zu verbindende KRS im Cluster 7. Zwei der beprobten Kleinmeisterschalen (**617–618**) wurden oben bereits versuchsweise in einen Werkstattzusammenhang, der Werkstatt A, gebracht. Die chemische Herkunftsbestimmung ihrer Tonmasse zeigt nun die Richtigkeit dieser These.

In Anbetracht dessen, daß nicht nur Kerschner und Mommsen, sondern auch Dupont zwei sichere chemische Herkunftsgruppen unter der milesischen/südionischen Keramik feststellten, ist das hier

¹³²⁷ Dupont 1983, 37.

erbrachte Ergebnis nicht ohne Parallele. Doch lassen sich bisher keine Zusammenhänge zwischen den chemischen Herkunftsgruppen aller drei Labore finden. In einem so bedeutenden Keramikzentrum wie es Milet in archaischer Zeit zweifelsohne gewesen ist, werden sicher mehrere Werkstätten nebeneinander existiert haben. Eine Werkstatt, die die Ionischen Kleinmeisterschalen produzierte, wird jedoch auch andere Schalen hergestellt haben. Hier sind die Ergebnisse noch zu unscharf, um die entsprechenden chemischen Herkunftsgruppen miteinander in Verbindung zu bringen oder deutlicher voneinander abzuheben.

Die Analysen des Bonner Labors (Mommsen) haben nun einige neue Akzentuierungen in der Fragestellung zur Herkunft der Ionischen Kleinmeisterschalen erbracht. Neben dem sich deutlich als Ionischer Kleinmeister zu erkennen gebenden Beispiel **615** wurde auch eine einfach dekorierte Schale des Kleinmeistertypus (**616**) untersucht. Überraschend gaben sich beide Kleinmeisterschalen als attische Produkte zu erkennen. Sie gehören beide der bekannten attischen Herkunftsgruppe KrPP an¹³²⁸. Dies war nicht zu erwarten gewesen. Denn andere Gefäße der sog. Kleinmeisterklasse, die sich im Scherben und in der Dekoration nicht von den Schalen unterscheiden lassen – nämlich die sog. Kopfkantharoi der Kleinmeisterklasse –, haben eine andere Herkunftsgruppe ergeben¹³²⁹. Diese ist zwar noch unlokalisiert, aber relativ sicher nicht attisch. Damit zeigt sich, daß neben der noch nicht lokalisierten Herkunftsgruppe, der die meisten bisher untersuchten Gefäße der Ionischen Kleinmeisterklasse angehören, auch wenige Stücke in Athen selbst produziert wurden. Wie ist das zu erklären? Ich nehme an, und dies wird an anderer Stelle ausführlicher zu behandeln sein, daß ein milesischer Künstler, der als Fikellurastil-Maler ausgebildet war, nach Athen ging und hier in unmittelbarer Nähe zu den attischen Kleinmeistern, vermutlich im Kerameikos, und vielleicht mit den gleichen Töpfern zusammenarbeitete. Am Erstaunlichsten ist sicherlich die Tatsache, daß zumindest eines seiner Erzeugnisse dann den Weg nach Milet in das Heiligtum der Aphrodite von Oikus fand¹³³⁰.

7.4.3.5 Chronologische Implikationen

Ein weiteres interessantes Ergebnis, das nun zu erörtern ist, war sicher nur aufgrund der umfangreichen Probenahme einer Gattung an einem Ort möglich. Die analytischen Ergebnisse ergaben – allerdings nur für die Analysen im Bochumer Labor (Yalçın) – eine Korrelation von Zeitstellung und Tonzusammensetzung der Gefäße. Diese wichtige Erkenntnis ist meines Wissens erstmals mit den

¹³²⁸ Vgl. etwa den Kommentar Mommsens hier auf S. 425.

¹³²⁹ Vgl. U. Schlotzhauer, Ostgriechische koroplastisch gestaltete Gesichts- und Kopfgefäße aus milesischen Werkstätten, in: R. Biering – V. Brinkmann – U. Schlotzhauer – B. Weber (Hrsg.), *Maiandros*, Festschrift für Volkmar von Graeve (2006) 232 I.B (Liste der bekannten Stücke); bes. auch 241 mit Anm. 131, inzwischen ist ein weiterer Kopfkantharos der Kleinmeisterklasse (I.B1, Louvre, Paris) im Bonner Labor (Mommsen) untersucht worden. Alle drei bisher untersuchten Beispiele (I.B1, I.B3-4) gehören zur Untergruppe Ulo70-1, s. auch Mommsen hier auf S. 426 f. Eine erst kürzlich vorgenommene Untersuchung an einer weiteren Kleinmeister-Schale im Bonner Labor (Mommsen) am sog. Zwilling der berühmten Vinyard-cup im Louvre, die Scherbe **597**, gehört ebenfalls der Herkunftsgruppe Ulo70 an.

¹³³⁰ Auch einer der Kopfkantharoi der Kleinmeisterklasse, der lange ebenfalls als ostionisches Produkt angesehen worden war, ist tatsächlich in Athen produziert worden und wurde von hier nach Naukratis in Ägypten verschifft, s. Schlotzhauer a. O. 240 f. (BM 1886.4-1.1324); Schlotzhauer 2012, 188 f. Kat.-Nr. NAU 166.

Untersuchungen der Keramik aus Milet und den Analysen der DBM Bochum gelungen. Sie könnten in Zukunft Grundlage für Fragestellungen zur Organisation von Keramikwerkstätten, Entwicklung von Technologie, zum Ausbau der Erkundung des Wirtschaftsraumes und der Ausbeutung seiner natürlichen Ressourcen sowie wirtschaftlicher und politischer Kräfteverhältnisse im Regionalbereich bilden. Dies alles steht noch am Beginn und muß vor allem mit den geologischen, petrologischen und mineralogischen Ergebnissen verknüpft werden. Gleichwohl wird hier eine neue Richtung von Fragestellungen angestoßen.

Der Vergleich der Diagramme 4 und 8 (Abb. 106 und 110) veranschaulichen die Ergebnisse der Auswertung bildlich. Diagramm 8 (Abb. 110) zeigt das gelbe 'chemische Miletfeld'¹³³¹ mit allen in ihm befindlichen einfach dekorierten Schalen der Großgruppe A der Clusterauswertung. Das 'chemische Attikafeld' ist orange aufgeführt. Im gelben Feld Milets sind im stärkeren Gelbton die einzelnen Proben von Knickrandschalen der chronologisch späteren Typen 4 bis 12 zu

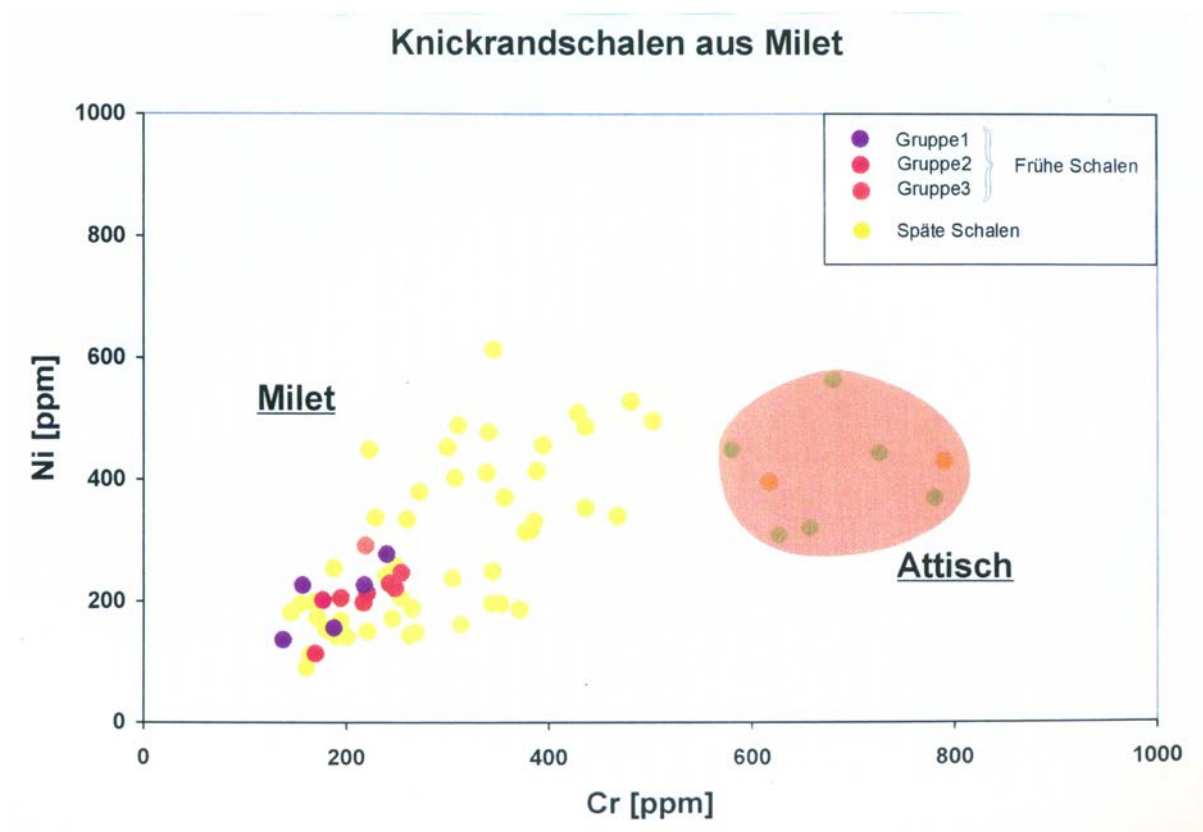


Abb. 110 Diagramm 8. Cr-/Ni-Auswertung der geometrischen und subgeometrischen milesischen Proben.

erkennen. Von diesen wurden optisch mittels einer kräftigeren Farbgebung die geometrischen Typus 1 (violett) und Typus 2 (rot) sowie die subgeometrischen KRS vom Typus 3 (orangerot) abgehoben. Das Resultat ist eindeutig. Die vierzehn Proben der zeitlich frühesten Typen verhalten sich einheitlich und bilden ein enges Feld mit niedrigen Ni-/Cr-Werten. Nicht eine Ausnahme greift weiter aus. Was

¹³³¹ Aus technischen Gründen ist das 'gelbe Feld' um die gelben Punkte in Diagramm 8 (Abb. 110) während des Digitalisierungsvorganges verblaßt und hier nicht mehr gut sichtbar!

bedeutet diese Feststellung? Offensichtlich haben die milesischen Töpfer der Zeit des 8. und der ersten Hälfte des 7. Jhs. v. Chr. nur auf ein sehr begrenztes Repertoire von Roh-tonen und Zuschlagstoffen zurückgegriffen. Der 'fingerprint' dieser vierzehn KRStk und KRS verrät eine relativ einheitliche Keramik-tongewinnung, Tonaufbereitung und Rezeptur. Wo die Roh-tone der Frühzeit gewonnen wurden, läßt ein Vergleich mit dem Feld der Fehlbrände vermuten. Die obere Hälfte dieses zigarrenähnlichen Feldes überschneidet sich mit dem der frühen Gruppen, wie ein Vergleich mit dem Diagramm 4 (Abb. 106) lehrt. Unter den als Fehlbrände bezeichneten Proben befinden sich auch Ofenwandung und neogene Tone, die noch heute in und um Milet und der nahen modernen Ortschaft Akköy anstehen¹³³². Die Vermutung liegt also nahe, daß die Töpfer dieser Zeit ihre Roh-tone vor allem aus dem direkten Umfeld Milets bezogen. Eine solche Rekonstruktion der Verhältnisse für die frühe Zeit scheint insgesamt überzeugend. Denn für die geometrische und früharchaische Zeit ist davon auszugehen, daß die Stadt noch im Vergleich mit der Hoch- und vor allem Spätarchaik in bescheideneren Verhältnissen, was ihre räumliche Ausdehnung und Bevölkerungsstärke angeht, existierte. Jedenfalls sind für diese Epochen die keramischen Funde am Ort bedeutend geringer. Auch von anderen Fundplätzen her deutet heute noch nichts auf einen umfangreichen Keramikexport Milets in dieser Zeit hin. Die Auswertung der bemalten Gefäße aus Milet mit Gefäßmalerei der Stufen MileG bis MileA (403; 406; 408; 412; 417; 423; 428; 450; 510; 519; 542; 556; 567; 600; 609; 617–618) im Diagramm 6 (Abb. 108) bestätigt aufs Beste das bisher Gesagte. Die sechzehn Proben verhalten sich ähnlich den unbemalten KRStk und KRS im gelb hinterlegten 'chemischen Miletfeld'. Unter diesen sind die mit einem grünen Kreis als frühe Gefäße der Stufen MileG III (406; 408)¹³³³, subgeometrische Strömung innerhalb der Phase MileA Ia (412) sowie MileA Ia (417)¹³³⁴ markierten Beispiele dargestellt, die hier etwas vereinfacht »früher Tierfries« benannt wurden. Sie entsprechen zeitlich den einfach dekorierten frühen Typen der KRStk und KRS, die zuvor erläutert wurden. Auch hier ergibt sich wieder das gleiche Bild, denn das Verteilungsspektrum im Diagrammfeld entspricht dem der vierzehn zuvor bezeichneten Beispiele mit gleich niedrigen Ni-/Cr-Verhältnissen.

Eine Interpretation der Diagramme für die Folgezeit kann zunächst nur vorläufig gegeben werden. Hier müssen noch die geologisch-mineralogischen Untersuchungen abgewartet werden. Soweit aber befindet man sich mit Aussagen bereits auf sicherem Boden, daß eine Expansion des 'chemischen Miletfeldes' aufgrund sich deutlich erhöhender Ni-/Cr-Verhältnisse zu verfolgen ist. Wiederum in

¹³³² Eine entsprechende Darlegung des »Fehlbrandfeldes« wird Ü. Yalçın (DBM Bochum) diskutieren. Interessant ist aber, daß sich unter diesen auch Ton aus dem Töpferviertel vom Kalabaktepe befindet, auf dem ein Brennofen direkt aufgestanden hat; hierzu ist auf die Arbeit von R. Senff, Milet. Die archaische Stadt. Die Ausgrabungen in den Wohngebieten und den städtischen Heiligtümern 1899–2001. Baugeschichte und Stratigraphie (unpublizierte Habilitationsschrift, Ruhr-Universität Bochum, 2002) zu verweisen.

¹³³³ 408 ist nicht in die Graphik aufgenommen, dafür aber eine hier nicht besprochene spätgeometrische Tasse oder ein Skyphos, der sich aufgrund seines fragmentarischen Zustandes nicht genauer klassifizieren läßt: Probennummer TR-3K/272 (Inv.-Nr. K 89.281.9).

¹³³⁴ Hier fand auch noch eine in diesem Zusammenhang nicht besprochene Tasse als weiterer grüner Kreis Eingang in die Graphik: Tasse mit Tierfriesstil-Dekor der Stilphase MileA Ia: Probennummer TR-3K/274 (Inv.-Nr. K 91.378.12).

geradezu deckungsgleicher Weise steigt das 'chemische Feld', das in der Zweielementauswertung als gelbes Feld wiedergegeben ist, exponential an, sowohl dasjenige der zeitlich späteren, schlicht dekorierten KRS (Diagramm 8, Abb. 110), als auch jenes der Gefäße mit der späteren Gefäßmalerei der Stufen MileA Id – MileA II (Diagramm 6, Abb. 108), und vergrößern das 'chemische Miletfeld' um ein Vielfaches. Wie läßt sich dies erklären?

Es scheint naheliegend, daß die Töpfer Milets mit neuen Tonzusammensetzungen und wohl auch nach veränderten Technologien – z. B. höheren Brenntemperaturen – gearbeitet haben. Daneben sind aber auch weiterhin Rohtone und Tonzusammensetzungen benutzt worden, die bereits für die frühere Zeit kennzeichnend waren, was durch zeitlich erheblich spätere Beispiele angezeigt wird, deren Ni-/Cr-Verteilung denen der älteren entsprechen. Hierzu sei nur auf Diagramme 4 (Abb. 106) verwiesen. Der mit 'Graue Ware' vermerkte rote Kreis ist die Probe **403**, eine KRS mit einem Blüten-Knospenfries der Stilstufe MileA II, der sicher erst mit dem zweiten Viertel des 6. Jhs. v. Chr. aufkommt. Für diese Schale wurde offensichtlich Ton verwendet, der aus den gleichen Quellen stammte und in etwa so zubereitet wurde, wie der Ton der über hundert Jahre älteren Schalen.

Für den folgenden Gedankengang sei hier bereits im Vorgriff auf einige der geochemischen Ergebnisse verwiesen. So konnten Dünnschliffe von milesischen Amphoren erweisen, daß zu einem bestimmten Zeitpunkt Gneise als Zuschlagstoffe benutzt wurden. Natürliche Vorkommen von Gneisen sind für Milet und seine Umgebung aber nicht gegeben. Die Untersuchungen von Senff lassen das früheste Auftreten von Gneis in Milet bei dem Bau der massiven Stadtmauer vermuten, als für deren Sockelschichten unter dem Lehmaufbau gewaltige Mengen von Gneis verbaut wurden¹³³⁵. Die geologischen Begehungen von Schröder und Yalçın haben zweifelsfrei die Herkunft dieser Stadtmauersteine aus Gneis im nahen Latmosgebirge lokalisiert, von wo aus sie nach Milet verschifft wurden. Nun liegt es nahe, daß die Gneise vor Ort für den Stadtmauersockel erst endgültig zugerichtet wurden. Damit hätte man eine Quelle für die Gneisbeimischungen in den Ton der Amphoren. In Anbetracht der Tatsache, daß diese Beimischung auch bei den späteren Amphoren noch nachzuweisen sind, scheint es sich um eine gelungene technische Verbesserung gehandelt zu haben. Darüber hinaus zeigen die chemischen Analysen der Sedimente und das Wissen um die Geologie der Mäanderlandschaft, daß möglicherweise für die Tonpaste der KRS auch Tone von den Südhängen des Mykalegebirges verwendet worden sind.

Eine Erklärung findet man wohl in der historisch wahrscheinlichen Annahme, daß die Töpfer Milets in der Zeit des 8. und frühen 7. Jhs. v. Chr. vor allem für einen begrenzten lokalen Markt einer vergleichsweise kleinen Siedlung ihre Produkte herstellten. Dazu war es nicht notwendig, auf entfernte Tonlagerstätten auszugreifen. Die lokalen Rohtone reichten offenbar in Quantität und Qualität aus. Dies jedenfalls legen die dargestellten naturwissenschaftlichen Ergebnisse nahe. Folgt man den oben

¹³³⁵ Mündliche Mitteilung R. Senff (Bochum/Athen).

beschriebenen Ausführungen, ist aber für die zweite Hälfte des 7. und das 6. Jh. v. Chr. eine Veränderung der chemischen Toneigenschaften festzustellen. Diese scheint von Seiten der Naturwissenschaften mit der Erschließung neuer Tonlagerstätten und veränderter Technologien erklärt werden zu können, wie dem feineren Ausschlämmen und der Anreicherung der Rohtone zu qualitätvolleren Tonmischungen. Für die zu vermutenden neu erschlossenen Lagerstätten konnten die Geowissenschaftler und Mineralogen sowohl das nordwestliche Latmosgebiet als auch die Südseite des Mykalegebirges namhaft machen¹³³⁶. Diese Ergebnisse können mit den historischen Überlieferungen zu einem stimmigen Bild verbunden werden. Bekanntlich wuchs die Bedeutung der Stadt Milet in der zweiten Hälfte des 7. Jhs. v. Chr. Diese Entwicklung mündete darin, daß Milet zur führenden polis in Ionien aufstieg, weswegen ihr noch später die Bezeichnung *Ioniae caput* zuteil wurde¹³³⁷. Die über neunzig Koloniegründungen, die Plinius nennt bzw. fünfundsiebzig von Seneca bezeugten Kolonien Milets¹³³⁸ sind nicht nur Beleg dieser gestiegenen Bedeutung, sondern sprechen auch für einen erweiterten Handelsmarkt, der sich nun allen Griechen erschloß. Daß sich milesische Keramik dieser Epoche von den Küsten des Schwarzen Meeres bis in das griechische Emporion Naukratis fand und von Tocra in Nordafrika bis in die Gräber Etruriens gelangte, deutet bereits an, daß die Produktion in Milet erheblich gestiegen sein muß. Es wurde bereits oben dargelegt, daß die in diesen Orten gefundenen Gefäße tatsächlich milesische Importe darstellen. Neben der neuen Rolle als bedeutende Exportstätte keramischer Produkte sind die in dieser Arbeit aufgezeigten Ergebnisse anzuführen, die die Entwicklung zu überaus qualitätvollen keramischen Erzeugnissen für das 6. Jh. v. Chr. bezeugen, wie die milesischen Kleinmeisterschalen. Sie sind ebenfalls Ausdruck für die gestiegene Bedeutung des Handels, da die eigenen Produkte in Konkurrenz zu den Entwicklungen anderer Keramikzentren standen. In diesem Bild erscheint nun das Ausgreifen der milesischen Töpfer in die weitere Umgebung Milets verständlich. Einerseits erklärt es die Suche nach neuen und qualitätvollen Rohstoffquellen, andererseits ermöglichte die gewachsene politische und ökonomische Rolle Milets überhaupt erst die territoriale Expansion.

Was dies für die innerstädtische Organisation der keramischen Werkstätten bedeutet, kann bisher nur vermutet werden. Für die drei Töpferöfen des Kalabaktepe endete ihre Nutzung jedenfalls mit dem Ende der vierten Siedlungsphase. Spätestens um die Mitte des 6. Jhs. v. Chr. wurde hier also ein Töpferviertel aufgegeben. Wohin zog nun die Produktion? Einerseits kann angenommen werden, daß sie weiterhin innerhalb der Stadt oder in ihrer unmittelbaren Umgebung blieb. Andererseits ist es aufgrund der oben dargestellten Ausführungen auch denkbar, daß sich eine neue Organisationsform des Töpferhandwerks herausbildete. Vielleicht sind die Töpfer auch in die Chora, die Milesia, gezogen, um dort an verschiedenen günstigen Stellen, an denen ihr Rohstoff anstand, ihrem Handwerk

¹³³⁶ Allerdings sind hier die Untersuchungen noch nicht abgeschlossen, wie mir Ü. Yalçın (Bochum) mündlich mitteilte.

¹³³⁷ Vgl. Der Neue Pauly 8 (2000) 174 ff. s. v. Miletos (Cobet).

¹³³⁸ N. Ehrhardt, Milet und seine Kolonien. Vergleichende Untersuchung der kultischen und politischen Einrichtungen² (1988) 96; 266 Anm. 2.

nachzugehen. Eine solche, zugegebenermaßen hypothetische Rekonstruktion der Verhältnisse legen die naturwissenschaftlichen Untersuchungen zumindest nahe, womit sich auch zwanglos das expandierende 'chemische Miletfeld' der Ni-/Cr-Auswertung erklären ließe.

7.4.3.5.1 Die innere Organisation des Töpferzentrums Milet

Mit dem vorläufigen Abschluß der umfangreichen archäometrischen Untersuchungen zu den archaischen KRSk und KRS aus Milet lassen sich zunächst nur Vermutungen zur inneren Organisation des Töpferzentrums Milets anstellen. Dieser Aspekt wurde zuvor bereits mehrfach thematisiert. So ergab die Clusteranalyse Hinweise auf verschiedene Rezepturen oder mögliche Werkstätten, die teilweise mit archäologischen Gruppen deckungsgleich sind.

Die für die südionischen Kleinmeisterschalen herausgearbeitete mögliche Werkstatt A besteht aus den für die Tonprobenserie aufgenommenen zwei Beispielen **617** und **618**. Diese fallen zusammen mit einer weiteren figürlich bemalten südionischen Kleinmeisterschale (**609**) in das Cluster 7. Die vierte KRS (**600**), die dieses Cluster 7 vervollständigt, steht den beiden qualitätvollen ionischen Kleinmeisterschalen **617–618** nahe, die an attische Kleinmeisterschalen heranreichen. Ferner haben wir in ihr ein Beispiel vor uns, das die typische Kleinmeisterschale der ionischen KRS vom Typus 9 mit der herkömmlichen Bemalung der Stilstufe MileA II im Becken kombiniert. Dies unterscheidet sie von den südionischen Kleinmeisterschalen, besonders auch deshalb, weil südionische Kleinmeister häufig keine helle Grundierung unter die Malfarbe legten¹³³⁹. Die KRS **600** aber verbindet eben dieses Detail mit den übrigen Fikellurastil-Gefäßen mit südionischer Bemalung der Stilstufe MileA II¹³⁴⁰. Jedenfalls ist es einleuchtend, in den in Cluster 7 vereinten feinen Schalen eine besondere Tonzusammensetzung eines Töpfers (Rezeptur) oder einer Werkstatt zu vermuten. Denn ihre Tonpaste bedurfte sicher einer besonders feinen Schlämmung. Andererseits gehören ebenso feine ionische KRS des gleichen Typus 9, wie **216–217** oder TR-3K/220¹³⁴¹, nicht dem gleichen Cluster an, sondern Cluster 2, Hauptgruppe A. Allerdings sind letztere nicht bemalt, sondern es handelt sich um Schwarzfirnis-Schalen. Damit ist also mit gleichem Recht nicht auszuschließen, daß die Töpfer der für Cluster 7 festgestellten, auch archäologisch eng verbundenen Gruppe von Kleinmeisterschalen ein anderes Tonlager benutzten.

Sollte sich der Hinweis auf eine Trennung von Tonpasten unter den zehn beprobten Gefäßen der Stufe SiA II bestätigen, fertigte eine Werkstatt oder ein Töpfer ionische Kleinmeisterschalen (Cluster 7, vier Beispiele). Die Werkstatt oder der Töpfer war aber auch mit der üblichen Technik und mit den gewöhnlichen Dekorationsmustern milesischer Gefäßmalerei der Stufe MileA II vertraut. Die häufiger genutzte Tonpaste, die auf eine andere Werkstätte oder Rezeptur deuten könnte, spiegelt sich

¹³³⁹ Wobei auch hier Ausnahmen existieren wie **597** und ihr Pendant im Louvre in Paris **596**.

¹³⁴⁰ Ausnahmen bleiben vor allem die KRS, die vereinzelt auf diese Grundierung verzichten z. B.: **429; 437; 442; 474; 505; 574; 579**.

¹³⁴¹ Das Beispiel entspricht solchen qualitätvollen Beispielen des Typus 9,2.C/D wie **192**.

vermutlich in Cluster 6 wider. In diesem Cluster sind sechs KRS mit Bemalung der Stilstufe MileA II (403; 423; 450; 542; 556–567) vereinigt und setzen sich ausschließlich aus Beispielen der Typen 9 und 10 zusammen. Diese für Cluster 6 festgestellte Tonpaste ist aber auch schon in Beispielen bemalter spätgeometrischer KRSSk und früharchaischer KRS entdeckt worden.

Zu den hier angestellten Überlegungen treten noch die zuvor angeführten, die in Bezug auf die chronologische Entwicklung größere Veränderungen ablesen ließen. Auch dort konnten erste Rückschlüsse auf die innere Organisation des milesischen Töpferzentrums gezogen werden.

7.5 *Schlußfolgerungen für die milesischen Funde*

Betrachtet man die oben zusammengetragenen Ergebnisse, so lassen sich mehrere Feststellungen treffen:

Erstens ist die große Gruppe der Skyphoi mit der Grundform KRSSk und Schalen mit der Grundform KRS aus Milet größtenteils auch milesischer Herkunft (erst die Nachuntersuchungen im Bonner Labor [Mommsen] hat vor allem für den Typus 5 auch in Milet einen größeren Anteil von Importen aus Samos aufgezeigt). Daneben existieren unter den frühen geometrischen Beispielen des Typus 1, vor allem den die Produktion wohl anstoßenden Stücken, einige Exporte aus Attika (8; 28) (Die Nachuntersuchungen im Bonner Labor [Mommsen] haben diese noch einmal an den Stücken 27–29 verifizieren und auf eine breitere Materialbasis stellen können; zusätzlich hat sich 25 als Import aus Euböa erwiesen). Auch für den Typus 2 schien nach den Ergebnissen im Bochumer Labor (Yalçın) der stilistisch vielleicht früheste Skyphos (32) ein Import zu sein (die Analysen im Bonner Labor [Mommsen] haben hier aber eine der wenigen entschiedenen Korrekturen erbracht: der KRSSk 32 ist ein milesisches Produkt). Damit dürfte der zunächst vermutete Hinweis auf einen externen Anstoß für die Serie der Typus 2 hinfällig geworden sein. Denn zusammen mit der KRS 303 vom Typus 10 lag der KRSSk 32 in der Zweielementauswertung des Bochumer Labors (Yalçın) weit außerhalb des 'chemischen Miletfeldes'. Die Clusteranalyse verband beide allerdings zu einem sog. Pair. Für die spätere Zeit gaben die Analysen im Bochumer Labor (Yalçın) dann kaum weitere Hinweise auf Importe. Dies vertrug sich aufs Beste mit der gestiegenen Bedeutung der Stadt Milet als Herstellungszentrum für Keramik. Sie versorgte nun nicht nur den Binnenmarkt, sondern produzierte mit dem Beginn der milesischen Kolonisation auch für den Export. (Für den Typus 5 allerdings muß dies nun relativiert werden [s. O.]).

Des weiteren konnte mit den Untersuchungen der milesischen KRS gezeigt werden, daß Milet alle bekannten Gruppen der KRS produzierte. Dies steht im Gegensatz zu Duponts Annahme, der Samos die Hauptproduktion der südionischen KRS zusprach und Milet in einer nachahmenden Rolle mit eingeschränktem Typenrepertoire sah.

Auch zu den ionischen Kleinmeisterschalen ließ sich mit Milet erstmals ein Produktionsort direkt nachweisen. (Die Ergebnisse des Bonner Labors [Mommsen] geben hier allerdings Anlaß zur

Vorsicht; nach diesen kann die Gruppe der Ionischen Kleinmeister noch nicht sicher mit einem Südionischen Töpferzentrum verbunden werden; wohl aber konnte mit den Ergebnissen des Bonner Labors [Mommsen] zumindest ein in Milet trainierter Fikellurastil-Maler in Athen aufgespürt werden). Die hervorgehobene Bedeutung Milets für die Entwicklung und Produktion bemalter südionischer Keramik war bereits durch frühere archäometrische Untersuchungen aufgezeigt worden. Die hier vorgenommenen naturwissenschaftlichen Herkunftsbestimmungen bestätigen und ergänzen die bisherigen Ergebnisse. Vor allem der erstmalige naturwissenschaftliche Nachweis der milesischen Herkunft der Bilinguen, die den Übergang der beiden großen Stilstufen SiA I und SiA II in Südionien aufzeigen, erhärtet den Hinweis auf die Entstehung der sog. Fikellurastil-Malerei in Milet.

Mit der Vielzahl der Proben von einem Ort in einem eng begrenzten zeitlichen Raum konnte zudem eine These mit vielleicht weitreichenden Aussagen zur keramischen Produktion, zur Herstellungstechnik, zur politischen Bedeutung und zur Technologie aufgestellt werden. Abhängig vom Zeitfaktor kann von einem Ausgreifen in das Umfeld eines Produktionsortes gesprochen werden. Jedenfalls legen die Untersuchungsergebnisse des Bochumer Labors (Yalçın) den Schluß nahe, daß mit zunehmender Zeit die Tonpasten eine stärkere Vermischung aus mehreren und geographisch weiter auseinander liegenden Tonlagerstätten erfuhren.

7.6 Klassifizierung von südionischen Knickrandschalen und einigen weiteren ostgriechischen Trinkgefäßen aus den Grabungen in Milet durch Neutronenaktivierungsanalyse

H. Mommsen

Helmholtz-Institut für Strahlen- und Kernphysik, Universität Bonn, Nussallee 14 – 16, 53115 Bonn, Germany (mommsen@hiskp.uni-bonn.de)

und U. Schlotzhauer

Deutsches Archäologisches Institut, Eurasien Abteilung, Im Dol 2 – 6, 14195 Berlin, Germany (us@eurasien.dainst.de)

7.6.1 Herkunftsanalysebestimmung von Keramik und die Neutronenaktivierungsanalyse in Bonn

Seit nun mehr als einem halben Jahrhundert ist bekannt, dass eine Messung des Elementgehaltes in Keramik dazu dienen kann, sie zu klassifizieren und ihre Ursprungstöpferei und damit ihren Herstellungsort zu bestimmen.¹³⁴² Diese Klassifizierung nach Element-, Nebenelement- und Spurenelementkonzentrationen kann die archäologische Klassifizierung nach Machart, Gefäßformen und Dekoration bestätigen oder auch erweitern. Dies ist mehrfach beschrieben worden und braucht deshalb hier nur noch kurz zusammengefasst werden.¹³⁴³

Bereits mit Hilfe einer Lupe oder eines petrographischen Mikroskops lassen sich die Minerale der gröberen Anteile der Tonmasse, bzw. der Magerung bestimmen. Die sehr feinen Minerale des Tones selbst sind so nicht zu sehen. Ihr Elementgehalt jedoch ist abhängig von der Geochemie der ausgebeuteten Tonlagerstätte. Wenn man in Keramik die Konzentrationen von möglichst vielen Elementen bis in den Spurenelementgehalt hinein präzise vermisst, erhält man ein Muster, das ähnlich wie ein menschlicher Fingerabdruck als einzig für die Tonmasse gelten kann, die der Töpfer für die Produktion dieser Keramik angesetzt hat. Nur, wenn Tone gebrauchsfertig in einer Lagerstätte anstehen, wird das Elementmuster des Tones gleich demjenigen der Keramik sein. Bei Zusätzen von Magerungsmaterial zum Ton oder auch bei dem Ausschlämmen von groben Bestandteilen oder bei einer Mischung verschiedener Tone wird man unterschiedliche Elementmuster erwarten. Aber alle Produkte, die aus einer gleich aufbereiteten Tonmasse hergestellt sind, die also einer so definierten Produktionsserie entstammen, haben sicherlich eine gleiche Elementzusammensetzung. Nun gilt auch wegen der zahlreichen Merkmale des Elementmusters der Umkehrschluss mit hoher

¹³⁴² E.V. Sayre – R.W. Dodson, Neutron Activation Study of Mediterranean Potsherds, *AJA* 61, 1957, 35-41; I. Perlman – F. Asaro, Pottery Analysis by Neutron Activation, *Archaeometry* 11, 1969, 21-52.

¹³⁴³ H. Mommsen, Tonmasse und Keramik: Herkunftsbestimmung durch Spurenanalyse, in: G.A. Wagner (Hrsg.), *Einführung in die Archäometrie (2007)* 179-192 sowie weiterführende Verweise darin; H. Mommsen, Provenancing of Pottery, in: *Nuclear Techniques for Cultural Heritage Research, IAEA Radiation Technology Series 2 (2011)* 41-70 sowie weiterführende Verweise darin.

Wahrscheinlichkeit, gleiches Muster in verschiedenen Gefäßen bedeutet gleiche Tonmasse und damit gleiche Herkunft. Kennt man nun noch durch Vermessen von Vergleichsmaterial bekannter Herkunft, sog. Referenzmaterial, die geographische Lage der Werkstatt, die diese Tonmasse verwendete, ist die Herkunft eines Keramikgefäßes bestimmt. Falls in einer Werkstatt gleichzeitig oder auch zu verschiedenen Zeitperioden Tonmassen nach unterschiedlichen Rezepturen oder mit veränderten Mischungen verschiedener Tone aufbereitet wurden, wird man verschiedene Elementmuster für diese eine Werkstatt messen. Für jedes dieser verschiedenen Muster ist Referenzmaterial nötig, um die in diesem Fall gleiche Herkunft der Gefäße mit diesen Mustern zu bestimmen. Andererseits versagt die NAA in den Fällen, eine bestimmte Werkstatt zu lokalisieren, bei denen mehrere Werkstätten innerhalb eines mehr oder weniger ausgedehnten Gebietes eine in der Elementzusammensetzung ähnliche Tonmasse verwenden und so nicht unterschieden werden können. Dies kann bei einer geographisch ausgedehnten Tonlagerstätte mit homogener Elementzusammensetzung, die von mehreren Töpfereien ausgebeutet wird, vorkommen, falls sie alle keine oder ähnliche Aufbereitungsrezepte anwenden.

Als Analysemethode zur Bestimmung der Elementkonzentrationen in Keramik wird in Bonn routinemäßig seit vielen Jahren die Neutronenaktivierungsanalyse (NAA) eingesetzt.¹³⁴⁴ Von der zu untersuchenden Keramik wird eine Pulverprobe von etwa 80 mg genommen, was leicht mit Hilfe eines hochreinen Korund-Spitzbohrers geschieht. Die Bohrung kann z. B. am Boden von ganzen Gefäßen erfolgen. Als Ergebnis bleibt eine flache Mulde mit dem Durchmesser des Bohrers zurück, die auf die Analyse hinweist. Alternativ kann eine Keramikprobe auch pulverisiert werden durch Mörsern eines mit einer Zange abgezackten kleinen Bruchstückes. Nach der Bestrahlung eines Satzes von Proben durch Neutronen an einem kleinen Forschungsreaktor haben sich in den Proben radioaktive Isotope gebildet, die durch ihre Emissionen von Gammastrahlung auf die vorhandenen Elementkonzentrationen hinweisen. Die Vorteile der NAA für Keramikanalysen sind u. a.: geringe Probenmenge, zahlreiche Elemente gleichzeitig messbar, hohe Präzision, gute Genauigkeit, hoher Durchsatz, keine Matrixeffekte, automatisierbar. Nachteilig sind die geringer werdende Verfügbarkeit von Forschungsreaktoren, die vermehrt stillgelegt werden, und die notwendigen kernphysikalischen Spezialkenntnisse.

7.6.2 Auswahl der für eine NAA besproben Gefäße

Eine Untersuchung der Elementzusammensetzung war für 42 Keramikschalen, die aus Grabungen in Milet stammen und die deshalb die Bezeichnung Mile und Probennummer tragen, von besonderem

¹³⁴⁴ Wir danken der Bestrahlungsmannschaft des Forschungsreaktors der GKSS in Geesthacht für die kompetente Bestrahlung der Proben.

H. Mommsen – A. Kreuser – E. Lewandowski – J. Weber, Provenancing of Pottery: A Status Report on Neutron Activation Analysis and Classification, in: M. Hughes – M. Cowell – D. Hook (eds.), Neutron Activation and Plasma Emission Spectrometric Analysis in Archaeology, British Museum Occasional Paper 82 (1991) 57-65.

Interesse. Eine weitere Schale stammt aus der Sammlung der Universität Bochum (Boch 6).¹³⁴⁵ Eine Liste dieser Gefäße, meist Knickrandschalen, und ihre Beschreibung ist in den Tabellen 33-36 (S. 453 ff.) gegeben. Kriterien für ihre Auswahl zur Beprobung und zur NAA waren:

- a) eine Absicherung des nur nach archäologischen Kriterien bestimmten Produktionsortes oder eine Bestimmung des noch ganz unbekanntes Ortes;
- b) eine Aufklärung, ob unterschiedliche Gefäßtypen sich als aus unterschiedlichen Produktionsserien, bzw. Werkstätten stammend erweisen oder inwieweit sie aus einer gleichen Tonmasse hergestellt wurden und damit gleichen Ursprung haben;
- c) eine Klärung, ob archäologisch gleiche oder ähnliche Gefäßtypen aus verschiedenen Produktionsserien stammen oder gar unterschiedlichen Ursprung haben;
- d) eine Überprüfung inwieweit Gefäßtypen, die über einen langen Produktionszeitraum hergestellt wurden, veränderte Rezepturen aufweisen oder ob ihr Produktionsort sich änderte.

7.6.3 Ergebnisse der NAA

Die 43 untersuchten Schalen weisen eine Vielzahl von unterschiedlichen Elementmustern¹³⁴⁶ auf und stammen demnach aus zahlreichen unterschiedlichen Produktionsserien. Dies war zu erwarten, da die ausgewählten Trinkschalen sich archäologisch zu vielen verschiedenen Gruppen zuweisen lassen und auch einen Zeitraum von der 2. H. des 8. Jh. v. Chr. bis zur 2. H. des 6. Jh. v. Chr. umspannen. Eine ganze Reihe der gefundenen Elementmuster sind bereits durch vorherige Arbeiten bekannt und einzelnen Werkstätten zugewiesen. Schalen mit diesen bekannten Mustern haben bekannte Herkunft. Andere Elementmuster sind uns zwar bereits bekannt, haben aber wegen fehlendem Referenzmaterial noch unbekannte Produktionsstätten. Neue, ganz unbekannte Muster finden sich hier nur in zwei Stücken (Mile 55 und Mile 70). Beide Keramikgefäße sind chemische Einzelstücke. Sie können in alter Zeit oder modern, z. B. bei der Probennahme oder bei der Probenaufbereitung in unserem Labor verunreinigt worden sein oder sie können von noch uns ganz unbekanntes Werkstätten stammen. Solche Einzelstücke lassen keinerlei archäometrische Aussage zu.

Die gefundenen Muster und das, was über sie bekannt ist, sollen nun in der zeitlichen Folge ihres ersten Auftauchens im Probensatz beschrieben werden. Zahlreiche dieser Muster sind bereits publiziert.¹³⁴⁷

¹³⁴⁵ H. Mommsen – M. Kerschner – M. Lang – C. Weber-Lehmann, On the Export of East Greek Wild Goat Style Pottery to Sicily – Archaeometric Analyses of Pottery found at Syracuse, Naxos, Gela, Selinus, and from the Kunstsammlungen of the Ruhr-University of Bochum, in: M. C. Lentini (Hrsg.), *Vasi del Wild Goat Style dalla Sicilia e dai Musei Europei* (2006) 25–27.

¹³⁴⁶ Die gemessenen Rohdaten der Proben dieses Projektes und ihre experimentellen statistischen Fehler (Zählfehler) stehen im Netz unter <<http://mommsen.hiskp.uni-bonn.de>> (zuletzt aktualisiert am 15.12.2011) zur Verfügung.

¹³⁴⁷ H. Mommsen with M. R. Cowell – P. Fletcher – D. Hook – U. Schlotzhauer – A. Villing – S. Weber – D. Williams, Neutron Activation Analysis of Pottery from Naukratis and other Related Vessels, in: A. Villing –

Musterbezeichnung, Anzahl der Proben (Probenbezeichnung), Zeit des ersten Auftauchens des Musters in dem Probensatz dieses Projektes, archäologische Klassifizierung, Kommentare

- a (Mila) 1 Probe (Mile 48), 1. V. 7. Jh. v. Chr., Typus 2,1.Bb
wahrscheinlich Muster der Gegend von Milet/Didyma, ähnlich dem Muster A der Kalabaktepe-Werkstätten¹³⁴⁸, jedoch um etwa 10% verdünnt, 13 weitere Proben bekannt, darunter 5 Proben von Ziegeln in Didyma und einer Keramikschlacke in Milet.
- A 3 Proben (Mile 49, 71, 73), 1. V. 7. Jh. v. Chr. – 1. Hälfte 6. Jh. v. Chr., Typus 2,2.Bb, 11,4.Bk (Sonderform), 11,3.B/Graue Ware, in gleicher Folge
Kalabaktepe-Werkstätten in Milet¹³⁴⁹, 89 weitere Proben bekannt
- D 7 Proben (Mile 46, 47, 50, 51, 52, 58, 72), Ende 8. Jh. v. Chr. – 1. H. 6. Jh. v. Chr., Typus 1,2.Aa, 2,4.A/Stilstufe SiG spät, 2,2.Ac, 10,1.B/Stilstufe MileA I/II, 4,1.Bd, 6,1.Ba, 11,4.B/Graue Ware, in gleicher Folge
- + späte (?)
- Variation DK 4 Proben (Mile 69, 75, 78, 79), 1. D. 6. Jh. v. Chr., Typus 10,3.B1, 10,3.B/Stilstufe SiA-MileA Id, 10,1.C/ MileA IIa, Bilingue, 10,1.B (Sonderform)/ MileA IIa, Bilingue, »Aphrodite-Schale«, in gleicher Folge
D ist ein milesisches Muster, weitere 82 Proben mit diesem Muster sind bekannt¹³⁵⁰, Muster DK (unpubliziert, 2 weitere Proben bekannt) ist um 10% konzentrierter als Muster D, nach Korrektur von DK mit Faktor 0.90 sind Cs, Rb und K tiefer als in D. Es ist sehr wahrscheinlich ein milesisches Muster
- DD 3 Untergruppen, allerdings, wenn zu einer Gruppe zusammengefasst, mit hohen Varianzen: Cr (16%), Cs (13%), K (15%) und Rb (15%)
unlokalisiert, Gegend von Milet/Didyma wahrscheinlich
- DD-1 2 Proben (Mile 53 und 68), 2. V. 7. Jh. v. Chr. und 1. D. 6. Jh. v. Chr., Typus 4,3.Bd und 10,5.Cny

U. Schlotzhauer (eds.), *Naukratis: Greek Diversity in Egypt. Studies on East Greek Pottery and Exchange in the Eastern Mediterranean*, Research Publication 162 (London 2006) 69-76.

¹³⁴⁸ s. z. B. M. Akurgal – M. Kerschner – H. Mommsen – W.-D. Niemeier, *Töpferzentren der Ostägäis. Archäometrische und archäologische Untersuchungen zur mykenischen, geometrischen und archaischen Keramik aus Fundorten in Westkleinasien* (mit einem Beitrag von S. Ladstätter), 3. Erg. ÖJh (2002).

¹³⁴⁹ zuletzt: H. Mommsen – M. Kerschner – R. Posamentir, *Provenance Determination of 111 Pottery Samples from Berezan by Neutron Activation Analysis*, *IstMitt* 56, 2006, 157-168.

¹³⁵⁰ M. Kerschner mit einem Beitrag von H. Mommsen und A. Schwedt, *Das Keramikbild von Ephesos im 7. und 6. Jh. v. Chr.*, in: J. Cobet – V. v. Graeve – W.-D. Niemeier – K. Zimmermann (Hrsg.), *Frühes Ionien: Eine Bestandsaufnahme*, Symposium Panionion (Güzeldamlı) 26. Sept. - 1. Okt. 1999, *MilFor* 5 (2007) 221-241 Taf. 31-33.

- unverdünnt, aber Werte Cs, Rb und K abgesenkt gegenüber DD-2
- DD-2 2 Proben (Mile 67 und 77), 1. H. 6. Jh. v. Chr. und ca. 580 – 570 v. Chr., Typus 10,4.Ck und 9,1.C/Stilstufe MileA Iia, Bilingue
- 5 weitere Proben: Nauk 6¹³⁵¹, TeKa 3¹³⁵² (beide KRS Typus 10,1.Bny)¹³⁵³, Bere 11 (SiA II, bzw MileA II? südionischer Fikellurasstil; »Louvre Groupe« in Cook's Klassifizierung)¹³⁵⁴ bereits erwähnt in älteren Publikationen¹³⁵⁵, weiterhin nun hinzu Probe Taga 63 (KRS Typus 10,8-9.Dk)¹³⁵⁶ und Perga 86 (frühkaiserzeitliche Schüssel vom Fundort Pergamon, als Einzelstück publiziert)¹³⁵⁷
- DD-3 1 Probe (Mile 82), 2. D. 6. Jh. v. Chr., Typus 10,9.D/ Stilstufe MileA II
- 14 weitere Proben, davon 8 von Didyma incl. 3 Proben der hellbraunen Ware, die als lokal angesehen wird (unpubliziert)¹³⁵⁸, um 15 % gegenüber DD-2 verdünnt, nach Korrektur (Faktor 1.15) Abweichungen von Cr und Hf, die höher sind.
- J 2 Proben (Mile 54, 56), 2. D. 7. Jh. v. Chr., Typus 5,3.B/ea und 5,2.B/ea in gleicher Folge
- Samische Produktion, 54 weitere Proben bekannt, darunter die bekannten Heratassen, Muster J bereits als samisch vermutet¹³⁵⁹; aus Taganrog sind nicht weniger als vier

¹³⁵¹ U. Schlotzhauer – A. Villing, East Greek Pottery from Naukratis: The Current State of Research, in: A. Villing – U. Schlotzhauer (eds.), Naukratis: Greek Diversity in Egypt. Studies on East Greek Pottery and Exchange in the Eastern Mediterranean, Research Publication 162 (London 2006) 60 Abb. 23 (hier noch mit Herkunftstypus DD!); jetzt a. Schlotzhauer 2012, 101 f. Kat.-Nr. Nau 52 Taf. 11, g-h.

¹³⁵² Abg. in B. Niemeier – W.-D. Niemeier, Archaic Greek and Etruscan Pottery, in: A. Kempinski (Hrsg.), Tel Kabri. The 1986-1993 Excavation Seasons, hrsg. von N. Sheftelowitz – R. Oren (2002) 230–222 Kat.-Nr. 14 Abb. 5.94, 2.

¹³⁵³ s. zu beiden auch Schlotzhauer 2012, 101 f. Kat.-Nr. Nau 52.

¹³⁵⁴ M. Kerschner, Zur Herkunftsbestimmung archaisch ostgriechischer Keramik: die Funde aus Berezan im Akademischen Kunstmuseum der Universität Bonn und im Robertinum der Universität Halle-Wittenberg, IstMitt 56, 2006, 134 ff. Abb. 4.

¹³⁵⁵ H. Mommsen with M. R. Cowell – P. Fletcher – D. Hook – U. Schlotzhauer – A. Villing – S. Weber – D. Williams, Neutron Activation Analysis of Pottery from Naukratis and other Related Vessels, in: A. Villing – U. Schlotzhauer (eds.), Naukratis: Greek Diversity in Egypt. Studies on East Greek Pottery and Exchange in the Eastern Mediterranean, Research Publication 162 (London 2006) 69-76.

¹³⁵⁶ Wir danken O. Dally und seiner Mitarbeiterin S. Huy (beide Berlin), daß wir das Fragment vorab mit ihnen diskutieren und studieren durften. Es handelt sich um ein signifikantes Randstück einer kleinen flachen Knickrandschale, das genügend der Gefäßwand erhalten hat, um es klassifizieren zu können: Typus 10. 8-9.Dk (Sonderform) vgl. im Katalog Kat.-Nr. 287-291.

¹³⁵⁷ H. Mommsen – S. Japp, Neutronenaktivierungsanalyse von 161 Keramikproben aus Pergamon und Fundorten der Region, IstMitt 59, 2009, 269-286; bes. 272; 274 Tab. 2; S. Japp, Archäometrisch-archäologische Untersuchungen an Keramik aus Pergamon und Umgebung, IstMitt 59, 2009, 235 Kat.-Nr. 86 Abb. 11, Perga 86 pers. Mitteilung von Frau H. Bumke

¹³⁵⁹ M. Akurgal – M. Kerschner – H. Mommsen – W.-D. Niemeier, Töpferzentren der Ostägäis. Archäometrische und archäologische Untersuchungen zur mykenischen, geometrischen und archaischen Keramik aus Fundorten in Westkleinasien (mit einem Beitrag von S. Ladstätter), 3. Erg. ÖJh (2002); M. Kerschner mit einem Beitrag von H. Mommsen und A. Schwedt, Das Keramikbild von Ephesos im 7. und 6. Jh. v. Chr., in: J. Cobet – V. v. Graeve – W.-D. Niemeier – K. Zimmermann (Hrsg.), Frühes Ionien: Eine Bestandsaufnahme, Symposium Panionion (Güzeldamlı) 26. Sept. - 1. Okt. 1999, MilFor 5 (2007) 221-241 Taf.

Knickrandschalen darunter Taga 10 (KRS Typus 9 oder 10?)¹³⁶⁰, Taga 64 (KRS Typus 5,2-3.Be?)¹³⁶¹, Taga 185 (KRS Typus 5,3.Be?)¹³⁶² und Taga 209 (KRS Typus 5,2-3.Be)¹³⁶³

- KroQ 3 Proben (Mile 42, 44, 45), 2. H. 8. Jh. v. Chr. und 2-mal Ende 8./Anfang 7. Jh. v. Chr. in gleicher Folge, Typus 1,2.Aa/Attisch, 1,2.Bb/Attisch, 1,2.Ab/Attisch in gleicher Folge
- attische Produktion, wahrscheinlich Athen, ähnlich dem Athener Muster KroP¹³⁶⁴ der Mykenischen Zeit, wie Muster KroP um etwa 10% verdünnt gegenüber dem Athener archaischem und klassischem Muster KrPP¹³⁶⁵
- KrPP 3 Proben (Mile 66, 85, 86¹³⁶⁶), 2. D. 6. Jh. v. Chr., 2-mal Typus 9,4.C davon 1-mal mit AtheAII att. Nachahmung Ionischer Kleinmeister der Stilstufe MileA II, 1-mal attischer Skyphos mit Efeu-Dekor, in gleicher Folge
- Attische Produktion (Athen)¹³⁶⁷, s. oben Muster KroQ
- EuA 1 Probe (Mile 43¹³⁶⁸), 2. H. 8. Jh. v. Chr., Typus 1,2.Aa/Euböisch

31-33. H. Mommsen with M. R. Cowell – P. Fletcher – D. Hook – U. Schlotzhauer – A. Villing – S. Weber – D. Williams, Neutron Activation Analysis of Pottery from Naukratis and other Related Vessels, in: A. Villing – U. Schlotzhauer (eds.), Naukratis: Greek Diversity in Egypt. Studies on East Greek Pottery and Exchange in the Eastern Mediterranean, Research Publication 162 (London 2006) 70, 72.

¹³⁶⁰ Wir danken O. Dally und seiner Mitarbeiterin S. Huy (beide Berlin) das Fragment vorab mit ihnen diskutieren und studieren zu dürfen. Es handelt sich um ein weniger signifikantes Wandstück einer Knickrandschale, das zwar noch den Ansatz des Randes und einigermaßen die Dekoration erhalten hat, aber nicht mehr sicher klassifiziert werden kann: Vermutlich eine der Varianten von Typus 5 oder 7 oder 9 oder 10.B.

¹³⁶¹ Wir danken O. Dally und seiner Mitarbeiterin S. Huy (beide Berlin) das Fragment vorab mit ihnen diskutieren und studieren zu dürfen. Es handelt sich um ein signifikantes Randstück einer Knickrandschale, das allerdings nicht die Gefäßwand erhalten hat, um es exakt klassifizieren zu können: vermutlich eines der Varianten des Typus 5,2-3.Be oder 7.

¹³⁶² Wir danken O. Dally und seiner Mitarbeiterin S. Huy (beide Berlin) das Fragment vorab mit ihnen diskutieren und studieren zu dürfen. Es handelt sich um ein signifikantes Randstück, das allerdings nicht mehr die Gefäßwand erhalten hat, um es exakt klassifizieren zu können: Typus 5,3.Be oder 5,3.Ce am Wahrscheinlichsten; vielleicht auch eine Variante des Typus 7.

¹³⁶³ Wir danken O. Dally und seiner Mitarbeiterin S. Huy (beide Berlin) das Fragment vorab mit ihnen diskutieren und studieren zu dürfen. Es handelt sich um ein signifikantes Randstück, das genügend Gefäßwand erhalten hat, um es klassifizieren zu können: Typus 5,2.Be vgl. Kat.-Nr. 100.

¹³⁶⁴ H. Mommsen, Attic Pottery Production, Imports, and Exports during the Mycenaean Period by Neutron Activation Analysis, Mediterranean Archaeology and Archaeometry 3, 2003, 13-30.

¹³⁶⁵ H. Mommsen mit A. Schöne-Denkinger, Neutronenaktivierungsanalyse (NAA) von sieben Krateren der Antikensammlung Berlin, in: CVA Berlin (11) 83-90.

¹³⁶⁶ Der Skyphos wird von N. Kunisch in der Endpublikation zur attischen Keramik aus Milet publiziert.

¹³⁶⁷ H. Mommsen, mit Schöne-Denkinger, A., 2009, Neutronenaktivierungsanalyse (NAA) von sieben Krateren der Antikensammlung Berlin, in Schöne-Denkinger, A., Attisch rotfigurige Mischgefäße, Böotisch rotfigurige Kratere, Corpus Vasorum Antiquorum, Berlin Bd. 11, München, 83 - 90

¹³⁶⁸ Abgebildet hier auf Taf. 4, 25; 100, 25, K 89.139.3 (Mommsen Mile 43).

- Euböische Produktion (Tonlager bei Phylla nördlich von Lefkandi)¹³⁶⁹, 240 weitere Proben, alter Name des schon mehrfach veröffentlichten Musters: B¹³⁷⁰, thec¹³⁷¹, thed¹³⁷²
- ACb2 2 Proben (Mile 84, 87), 2. V. 6. Jh. v. Chr., KRS Typus 9,1.C/Lakonisch, schwarzfigurig und 9.C-D/Lakonisch
- unlokalisiert, Peloponnes wahrscheinlich, jedoch ungewöhnlich geringe Cs, K und Rb Werte, 44 weitere Proben von Achaia (9), Elia (4), Arkadia (7), Messenia (12), Akko (7) und noch einzelne von anderen Fundstätten, keine aus Lakonien. Diese Gruppe ist in Zusammenhang mit Funden in Akko diskutiert.¹³⁷³
- KatA 1 Probe (Boch 6), 1. H. 6. Jh. v. Chr., Typus 9,1.C
- sizilianische Produktion in einer Werkstatt in Catania¹³⁷⁴, 17 weitere Proben (Kata 42 – 45 sind Fehlbrände der archaischen bis hellenistischen Zeitperiode von Catania und begründen diese Zuweisung)
- UI70 3 Untergruppen mit variierenden Th (Varianz 12%) und Cs Werten (Varianz 35%)
- UI70-1 3 Proben [alt Sak3] (Mile 57, 62, 64), 2. D. 7. Jh. v. Chr., 1. V. 6. Jh. v. Chr., und 2. D. 6. Jh. v. Chr. in gleicher Folge, Typus 5,3.B/e, 9,1.C/i, 9,2-3.C/i-j in gleicher Folge
- unlokalisiert, 11 [mit Villing 13] weitere Proben, darunter Probe Didy 24 (KRS, Glanzton Ke 03-480, unpubliziert¹³⁷⁵), Probe Ephe 294 (KRS, Typus 9, unpubliziert¹³⁷⁶), Bere 145 (Lydion), publiziert als Einzelstück¹³⁷⁷, Proben Chiu 1 und

¹³⁶⁹ H. Mommsen, Results of Neutron Activation Analyses of Euboean and Euboean Related Pottery, in: M. Kerschner – I. Lemos (Hrsg.), *Archaeometric Analyses of Euboean and Euboean Related Pottery: New Results and their Interpretations. Proceedings of the Round Table Conference held at the Austrian Archaeological Institute in Athens 15th and 16th April 2011* (Wien, vorauss. 2013).

¹³⁷⁰ H. Mommsen – W. Gauß – S. Hiller – D. Ittameier – J. Maran, Charakterisierung bronzezeitlicher Keramik von Ägina durch Neutronenaktivierungsanalyse, in: E. Pohl – U. Recker – C. Theuner (Hrsg.) *Archäologisches Zellwerk. Beiträge zur Kulturgeschichte in Europa und Asien. Festschrift Helmut Roth*, Internationale Archäologie 16 (2001) 79-96.

¹³⁷¹ H. Mommsen – E. Andrikou – V. Aravantinos – J. Maran, Neutron Activation Analysis Results of Bronze Age Pottery from Boeotia Including Ten Linear B Inscribed Stirrup Jars, in: E. Jerem (Hrsg.), *Archaeometry 98. Proceedings of the 31st Symposium, Budapest 26 April - 3 May 1998 II*, BARIntSer 1043 (2002) 607-612.

¹³⁷² A. Schwedt – V. Aravantinos – A. Harami – V. Kilikoglou – M. Kylafi – H. Mommsen – N. Zacharias, Neutron Activation Analysis of Hellenistic Pottery from Boeotia, Greece, *JASc* 33, 2006, 1065-1074.

¹³⁷³ S. Zuckerman – D. Ben-Shlomo – P. Mountjoy – H. Mommsen, A Provenance Study of Mycenaean Pottery from Northern Israel, *Journal Archaeological Science* 37, 2010, 409-416.

¹³⁷⁴ M. Kerschner – H. Mommsen, Imports of East Greek Pottery to Sicily and Sicilian Productions of East Greek Type. *Archaeometric Analyses of Finds from the Votive Deposit in Katane*, in: A. Pautasso, *La ceramic greco-orientale, Stipe votiva del santuario di Demetra a Catania 2*, Consiglio nazionale delle Ricerche I.B.A.M. (Catania 2009) 125-150.

¹³⁷⁵ Unpubl. Probe von Frau H. Bumke (Halle).

¹³⁷⁶ Unpubl. Probe von M. Kerschner (Wien).

¹³⁷⁷ H. Mommsen – M. Kerschner – R. Posamentir, Provenance Determination of 111 Pottery Samples from Berezan by Neutron Activation Analysis, *IstMitt* 56, 2006, 157-168 bes. 162 »21 Singles«; R. Posamentir – S. Solovyov, Zur Herkunftsbestimmung archaisch-ostgriechischer Keramik: Die Funde aus Berezan in der

- 2, Etru 2: alle 3 Kopfkatharoi¹³⁷⁸, Nauk 36 KRS mit Attasche¹³⁷⁹ [s. hier aus der gleichen Gruppe (582-583)] und Nauk 108 und Nauk 110¹³⁸⁰
- UI70-2 1 Probe (Mile 63), 2. D. 6. Jh. v. Chr., Typus 9,2.Ci
unlokalisiert, 3 weitere Proben: Bere 20 (KRS keine genaue Zuordnung bekannt)¹³⁸¹ und Bere 257 sowie Bere 270 (beides KRS Typus 9,1.Bg)¹³⁸²
- UI70-3 1 Probe (Mile 65), 2. D. 6. Jh. v. Chr., Typus 9,3.Cj
unlokalisiert, 3 weitere Proben, Bere 19 (KRS, Typus 9, als Einzelstück publiziert wie Bere 145, s. UI70-1), Bere 272 (KRS Typus 9,1.B)¹³⁸³ und Samo 6 (Schale 6. Jh. v. Chr., Museum Kassel)¹³⁸⁴
- Ulo4 3 Proben (Mile 59, 60, 61), 3. D. 7. Jh. v. Chr., 2-mal Typus 8,1.Ba und 1-mal 8,1.Bay in dieser Folge
unlokalisiert, 4 weitere Proben: aus Ephesos Ephe 291 (KRS, Typus 8, unpubliziert)¹³⁸⁵, aus Taganrog Taga 73 (KRS, Typus 5,4.B, unpubliziert¹³⁸⁶), Taga

Eremitage in St. Petersburg, *IstMitt* 56, 2006, 126 Abb. 36, b; R. Posamentir – S. Solovyov, Zur Herkunftsbestimmung archaisch-ostgriechischer Keramik: Die Funde aus Berezan in der Eremitage in St. Petersburg II, *IstMitt* 57, 2007, 205 Abb. 9, 4.

¹³⁷⁸ Die Kopfkatharoi sind bereits vielfach publiziert, s. z. B. die Zusammenstellung bei Walter-Karydi in Samos VI 1, Taf. 57, 481-483 und die neue Klassifizierung und Besprechung in U. Schlotzhauer, Ostgriechische koroplastisch gestaltete Gesichts- und Kopfgefäße aus milesischen Werkstätten, in: R. Biering – V. Brinkmann – U. Schlotzhauer – B. Weber (Hrsg.), *Maiandros. Festschrift für Volkmar von Graeve* (2006) 229-253 bes. 232. 240-241.

¹³⁷⁹ U. Schlotzhauer – A. Villing, East Greek Pottery from Naukratis: The Current State of Research, in: A. Villing – U. Schlotzhauer (Hrsg.), *Naukratis: Greek Diversity in Egypt. Studies on East Greek Pottery and Exchange in the Eastern Mediterranean*, Research Publication 162 (London 2006) 56 (hier noch als single aufgeführt!); jetzt auch Schlotzhauer in: Schlotzhauer u. a. 2012, 112-113 Kat.-Nr. Nau 71 Taf. 15 h-i (hier noch mit Herkunftsgruppe kk publiziert!).

¹³⁸⁰ Beide Nau sind Keramik aus Naukratis. Die beiden Proben wurden mit A. Villing vom BM in London zusammen genommen, sind aber noch nicht publiziert.

¹³⁸¹ Das Gefäßfragment ist noch unpubliziert. Bisher wurde lediglich bekannt, dass die Probe, die M. Kerschner genommen hat, zunächst als chemisches Einzelstück zu gelten hatte: H. Mommsen – M. Kerschner – R. Posamentir, Provenance Determination of 111 Pottery Samples from Berezan by Neutron Activation Analysis, *IstMitt* 56, 2006, 157-168 bes. 162 »21 Singles«. Inzwischen kann es UI70 bzw. der Untergruppe UI70-2 zugeordnet werden.

¹³⁸² R. Posamentir – S. Solovyov, Zur Herkunftsbestimmung archaisch-ostgriechischer Keramik: Die Funde aus Berezan in der Eremitage in St. Petersburg II, *IstMitt* 57, 2007, 205 Abb. 9, 1. 3.

¹³⁸³ R. Posamentir – S. Solovyov, Zur Herkunftsbestimmung archaisch-ostgriechischer Keramik: Die Funde aus Berezan in der Eremitage in St. Petersburg II, *IstMitt* 57, 2007, 205 Abb. 9, 2.

¹³⁸⁴ Probe von M. Kerschner (Wien).

¹³⁸⁵ Probe von M. Kerschner (Wien).

¹³⁸⁶ Probe von O. Dally (Berlin). Wir danken O. Dally und seiner Mitarbeiterin S. Huy (Berlin) für die Erlaubnis die Proben aus Taganrog mit ihnen diskutieren zu können und Fotos der Keramik studieren zu dürfen. Taga 73 läßt sich vergleichen mit den milesischen Knickrandschalen des Typus 5,4.B **114-115** aus dem Südschnitt in Milet.

131 (Amphora milesischen Typs)¹³⁸⁷ und aus dem großgriechischen Leontinoi Leon 2 (KRS, Typus 8.1)¹³⁸⁸

UI13

1 Probe (Mile 88), 2. D. 6. Jh. v. Chr., Typus 9.C-D/Lakonisch

unlokalisiert, 2 weitere: Mile 107, 108,¹³⁸⁹ beide vom Hunt-Painter, archäologisch als lakonisch vermutet wie auch Mile 88, unpubliziert

Die aus diesen Ergebnissen folgenden archäologischen Rückschlüsse werden im Einzelnen in dieser Arbeit im Kapitel 7.4 'Die neuen Untersuchungen in Milet' ab S. 373 ff. diskutiert.

¹³⁸⁷ Probe von O. Dally (Berlin) , publiziert in Huy, S., 2008, Handelskontakte in der griechischen Welt, das Fundspektrum der Handelsamphoren in der Kolonie Taganrog, Magisterarbeit FU Berlin, Kat. Nr. 4.

¹³⁸⁸ Kerschner, M., Mommsen, H., Neutron Activation Analyses of Ceramic Vessels from the Sanctuary of Alaimo at Leontinoi (Sicily) (in Vorbereitung).

¹³⁸⁹ Proben von G. Schaus (Toronto).

Gruppen A und D sind Werkstätten in Milet sicher zugewiesen, Gruppen a und DD-sum kommen mit hoher Wahrscheinlichkeit ebenfalls aus der Gegend von Milet.

	A		a		D		DD-sum	
	92 Proben		14 Proben		89 Proben		31 Proben	
	M	$\sigma(\%)$	M	$\sigma(\%)$	M	$\sigma(\%)$	M	$\sigma(\%)$
As	16.9	38.	12.3	41.	20.0	37.	25.4	61.
Ba	562.	12.	541.	8.4	592.	21.	660.	16.
Ca%	4.21	25.	3.21	34.	5.59	26.	7.30	21.
Ce	109.	3.1	96.4	1.6	99.9	3.5	101.	5.6
Co	19.3	8.9	15.0	8.3	24.7	14.	39.3	12.
Cr	140.	16.	113.	11.	205.	17.	352.	17.
Cs	11.7	4.4	10.1	4.4	10.7	11.	8.97	16.
Eu	1.47	2.7	1.34	3.9	1.41	4.7	1.59	5.2
Fe%	4.46	3.7	3.64	4.5	4.75	6.8	5.91	5.3
Ga	25.4	17.	23.6	14.	22.2	19.	19.3	22.
Hf	5.72	11.	6.37	7.1	5.19	17.	4.71	11.
K%	3.55	5.0	3.52	5.4	3.08	9.1	2.26	16.
La	51.5	2.8	45.7	3.0	47.2	4.3	47.3	4.4
Lu	0.54	4.9	0.53	5.9	0.50	4.2	0.51	4.4
Na%	1.13	14.	1.37	12.	1.07	28.	0.87	22.
Nd	42.0	5.7	37.8	4.8	39.0	6.4	40.5	8.9
Ni	170.	28.	115.	23.	279.	19.	541.	22.
Rb	222.	4.8	212.	4.1	189.	9.5	128.	17.
Sb	1.58	8.8	1.40	24.	1.85	25.	2.49	15.
Sc	14.3	3.1	12.2	4.3	15.2	8.4	19.4	4.0
Sm	8.07	6.1	7.38	9.6	7.57	6.3	7.77	9.4
Ta	1.58	4.0	1.45	4.5	1.43	6.5	1.13	7.1
Tb	1.22	5.0	1.13	6.1	1.10	5.2	1.08	6.7
Th	26.5	4.0	23.2	3.2	23.5	7.1	19.9	7.5
U	4.30	8.3	3.65	5.2	3.88	11.	3.57	15.
W	3.91	15.	3.76	32.	3.23	15.	2.24	18.
Yb	4.25	3.8	4.09	7.8	3.80	4.1	3.68	4.3
Zn	85.2	11.	111.	77.	86.4	14.	96.1	9.9
Zr	208.	29.	191.	40.	202.	24.	189.	21.

Abb. 111: Tab. 22: Elementkonzentrationen, gemessen durch NAA: Gegeben sind die Mittelwerte M der Gruppen und ihre Streuungen (Wurzel aus der mittleren quadratischen Abweichung = Varianz) nach Korrektur der Einzelproben auf Verdünnung durch einen besten relativen Anpassungsfaktor. Gruppen A und D sind Werkstätten in Milet sicher zugewiesen, Gruppen a und DD-sum kommen mit hoher Wahrscheinlichkeit ebenfalls aus der Gegend von Milet.

	KroQ		KrPP		EubA		J	
	31 Proben		59 Proben		29 Proben		55 Proben	
	M	σ (%)	M	σ (%)	M	σ (%)	M	σ (%)
As	27.6	30.	44.8	47.	18.7	46.	30.0	42.
Ba	511.	19.	570.	13.	647.	15.	513.	14.
Ca%	6.50	25.	4.61	27.	3.21	31.	5.07	25.
Ce	61.2	3.6	75.5	3.5	79.6	3.1	80.9	3.1
Co	35.9	5.7	37.5	8.4	20.7	8.1	38.3	11.
Cr	568.	8.0	488.	8.6	138.	9.5	361.	8.6
Cs	17.8	12.	13.0	15.	7.59	11.	12.2	14.
Eu	1.18	3.1	1.36	2.8	1.41	4.3	1.47	2.8
Fe%	5.50	4.7	5.91	4.6	4.82	5.3	6.40	5.6
Ga	22.7	25.	23.3	23.	23.1	21.	24.8	22.
Hf	4.43	5.0	4.34	8.4	5.11	7.9	5.61	6.4
K%	2.48	7.3	2.94	6.3	2.83	7.7	2.75	7.6
La	28.4	2.2	34.8	2.7	38.1	3.5	39.2	3.5
Lu	0.46	7.1	0.48	3.5	0.49	3.7	0.55	4.6
Na%	0.65	14.	0.58	14.	1.12	21.	0.64	25.
Nd	26.7	4.6	31.6	5.7	32.2	4.6	33.5	6.8
Ni	435.	9.1	417.	14.	117.	17.	359.	14.
Rb	132.	7.2	159.	8.6	142.	5.3	154.	5.9
Sb	1.16	16.	1.96	21.	2.11	18.	2.89	17.
Sc	23.7	2.2	24.1	4.5	20.0	3.4	24.5	4.2
Sm	5.21	2.6	6.19	5.5	6.20	4.8	6.41	6.3
Ta	0.77	5.5	0.90	6.4	1.01	5.8	1.19	4.3
Tb	0.74	6.9	0.84	6.5	0.90	6.2	0.91	6.4
Th	9.93	2.4	12.4	3.3	13.6	5.3	15.2	4.1
U	2.30	14.	2.44	12.	2.35	9.2	2.93	15.
W	2.21	19.	2.35	18.	3.19	12.	3.66	20.
Yb	2.93	3.2	3.10	3.9	3.32	4.6	3.48	4.3
Zn	123.	8.9	136.	9.8	104.	9.0	126.	9.2
Zr	151.	38.	167.	21.	211.	15.	192.	35.

Abb. 112: Tab. 23: Elementkonzentrationen, gemessen durch NAA: Gegeben sind die Mittelwerte M der Gruppen und ihre Streuungen (Wurzel aus der mittleren quadratischen Abweichung = Varianz) nach Korrektur der Einzelproben auf Verdünnung durch einen besten relativen Anpassungsfaktor. Gruppen KroQ und KrPP sind Werkstätten in Attika, wahrscheinlich in der Gegend von Athen zugewiesen. Die Gruppe EubA ist eine Untergruppe der Gruppe EuA, die verschiedene ähnliche Muster von Produktionsserien zusammenfasst, die alle auf euböischen Ton des Tonlagers von Phylla nördlich von Lefkandi zurückgehen. Gruppe J schließlich zeigt eine Produktion in Samos an.

	ACb2		KatA		Ulo4		UI13	
	46 Proben		18 Proben		7 Proben		4 Proben	
	M	$\sigma(\%)$	M	$\sigma(\%)$	M	$\sigma(\%)$	M	$\sigma(\%)$
As	7.14	55.	9.30	28.	39.3	46.	5.07	30.
Ba	387.	31.	583.	40.	480.	28.	447.	5.4
Ca%	6.41	41.	4.99	50.	4.87	12.	4.18	6.8
Ce	74.2	3.4	92.5	4.2	76.7	3.1	79.5	2.8
Co	31.2	11.	17.3	8.1	22.9	7.4	26.8	3.7
Cr	280.	11.	113.	6.4	204.	6.6	269.	2.0
Cs	1.76	27.	6.57	13.	78.9	14.	5.43	8.2
Eu	1.43	4.6	1.47	4.7	1.21	2.3	1.38	2.3
Fe%	5.92	10.	4.86	4.8	4.86	4.1	5.02	3.3
Ga	19.0	18.	23.6	22.	20.9	7.9	22.0	17.
Hf	4.93	14.	6.12	14.	5.68	3.9	5.96	5.0
K%	1.46	25.	2.29	9.1	2.99	8.6	2.31	3.0
La	36.2	4.9	43.4	3.4	38.3	4.7	38.5	2.5
Lu	0.51	5.6	0.46	4.6	0.44	4.0	0.50	3.1
Na%	0.53	53.	0.85	21.	0.49	19.	0.85	4.4
Nd	32.2	8.6	36.3	4.2	26.7	17.	31.5	3.7
Ni	260.	13.	129.	67.	193.	21.	257.	13.
Rb	50.7	28.	122.	8.5	236.	12.	119.	5.1
Sb	0.65	20.	0.87	39.	6.83	42.	0.89	9.9
Sc	22.7	9.9	17.1	4.8	17.1	3.0	20.8	1.9
Sm	6.06	7.5	6.64	3.5	5.09	14.	5.97	5.5
Ta	1.00	7.5	1.36	9.9	1.67	3.4	1.10	5.7
Tb	0.87	6.9	0.88	5.8	0.82	6.2	0.83	5.7
Th	13.2	5.3	14.0	7.7	22.8	4.8	13.4	1.6
U	2.34	13.	2.72	13.	4.10	4.3	2.67	9.3
W	2.24	18.	2.26	18.	4.26	13.	2.91	6.6
Yb	3.40	3.9	3.15	4.3	3.17	2.9	3.31	3.3
Zn	115.	14.	116.	14.	98.7	5.3	134.	39.
Zr	218.	18.	203.	38.	220.	11.	241.	9.9

Abb. 113: Tab. 24: Elementkonzentrationen, gemessen durch NAA: Gegeben sind die Mittelwerte M der Gruppen und ihre Streuungen (Wurzel aus der mittleren quadratischen Abweichung = Varianz) nach Korrektur der Einzelproben auf Verdünnung durch einen besten relativen Anpassungsfaktor. Die Gruppe ACb2 ist mit hoher Wahrscheinlichkeit in Werkstätten auf dem Peloponnes hergestellt, KatA weist auf Töpfereien in Catania, Sizilien und die beiden Gruppen Ulo4 (Unlokalisiert Nr. 4, hier nur Schalen der Gruppe 8) und UI13 (Unlokalisiert Nr. 13) sind unbekannter Herkunft.

	DD-sum		DDa		DDb		DDc		DDd	
	31 Proben		2 Proben		8 Proben		17 Proben		4 Proben	
	M	$\sigma(\%)$	M	$\sigma(\%)$	M	$\sigma(\%)$	M	$\sigma(\%)$	M	$\sigma(\%)$
As	25.4	61.	41.3	86.	31.9	61.	22.8	59.	16.8	23.
Ba	660.	16.	909.	20.	711.	16.	629.	13.	598.	20.
Ca%	7.30	21.	5.90	4.5	6.97	27.	7.64	17.	7.21	5.8
Ce	101.	5.6	123.	0.7	115.	3.1	93.9	2.3	97.2	0.7
Co	39.3	12.	38.9	2.8	39.3	16.	40.5	7.1	35.0	5.1
Cr	352.	17.	350.	0.9	307.	7.5	384.	8.2	300.	5.7
Cs	8.97	16.	7.27	5.9	10.8	13.	8.18	9.9	9.99	11.
Eu	1.59	5.2	1.88	4.7	1.80	2.7	1.51	3.4	1.45	3.1
Fe%	5.91	5.3	6.60	0.3	6.21	5.3	5.88	4.8	5.31	5.1
Ga	19.3	22.	17.4	9.2	24.9	14.	16.9	21.	21.2	12.
Hf	4.71	11.	5.17	5.0	4.50	12.	4.72	9.1	4.89	5.5
K%	2.26	16.	2.25	5.6	2.63	11.	2.07	19.	2.49	1.8
La	47.3	4.4	55.5	4.1	53.2	1.8	44.6	2.7	45.6	1.6
Lu	0.51	4.4	0.57	4.6	0.55	6.0	0.50	3.7	0.48	3.4
Na%	0.87	22.	0.81	2.1	0.98	25.	0.88	29.	0.83	8.2
Nd	40.5	8.9	51.1	2.5	47.0	6.2	37.8	5.2	35.7	2.6
Ni	541.	22.	593.	7.8	439.	12.	593.	14.	508.	16.
Rb	128.	17.	113.	5.6	150.	8.1	114.	16.	153.	6.8
Sb	2.49	15.	2.35	23.	2.70	15.	2.51	13.	2.10	12.
Sc	19.4	4.0	21.7	0.8	20.9	2.0	19.1	2.6	17.2	5.0
Sm	7.77	9.4	9.77	2.8	9.12	5.3	7.17	6.1	6.88	4.7
Ta	1.13	7.1	1.27	2.7	1.15	3.4	1.09	6.8	1.21	2.7
Tb	1.08	6.7	1.32	4.4	1.22	5.7	1.01	5.1	1.02	5.6
Th	19.9	7.5	23.6	3.8	22.2	7.3	18.4	5.1	20.8	1.7
U	3.57	15.	3.81	11.	4.11	6.8	3.33	20.	3.65	4.1
W	2.24	18.	1.95	6.2	2.41	19.	2.19	18.	2.41	8.5
Yb	3.68	4.3	4.16	1.6	4.04	6.2	3.53	3.2	3.53	4.9
Zn	96.1	9.9	107.	6.8	105.	13.	92.2	9.1	92.5	8.3
Zr	189.	21.	190.	13.	168.	42.	195.	12.	195.	12.

Abb. 114: Tab. 25: Elementkonzentrationen, gemessen durch NAA: Gegeben sind die Mittelwerte M der Gruppen und ihre Streuungen (Wurzel aus der mittleren quadratischen Abweichung = Varianz) nach Korrektur der Einzelproben auf Verdünnung durch einen besten relativen Anpassungsfaktor. Die Gruppe DD-sum, geformt aus den 3 sehr ähnlichen Untergruppen DD-1, DD-2 und DD-3 ist unlokalisiert. Sie hat jedoch eine Zusammensetzung, die ähnlich der milesischen Gruppe D ist, und könnte aus der Gegend Milet stammen.

	UI70-sum		UI70a		UI70b		UI70c	
	22 Proben		14 Proben		4 Proben		4 Proben	
	M	(%)	M	(%)	M	(%)	M	(%)
As	16.6	45.	16.2	53.	15.7	20.	18.9	28.
Ba	547.	27.	505.	18.	710.	38.	555.	27.
Ca%	4.03	36.	4.05	36.	4.86	4.1	3.34	56.
Ce	84.2	4.6	78.5	9.8	93.1	2.0	89.8	2.9
Co	25.8	6.9	24.6	7.4	29.0	0.6	27.5	1.7
Cr	232.	4.9	228.	6.4	243.	2.7	240.	2.6
Cs	71.0	37.	86.1	11.	28.1	24.	57.7	13.
Eu	1.32	9.0	1.37	3.5	1.21	2.0	1.29	11.
Fe%	5.75	3.7	5.71	3.0	5.77	1.9	5.95	4.9
Ga	26.2	15.	25.3	18.	28.5	10.	26.8	8.2
Hf	6.20	3.9	5.98	3.5	6.73	1.1	6.54	3.0
K%	3.37	8.8	3.36	9.3	3.31	4.4	3.45	8.9
La	39.3	3.8	37.8	1.9	44.0	2.9	41.1	2.9
Lu	0.52	4.2	0.51	3.9	0.56	3.7	0.54	6.2
Na%	0.58	35.	0.54	43.	0.71	18.	0.61	9.7
Nd	31.4	6.5	30.4	7.0	34.5	4.8	33.2	4.8
Ni	206.	23.	210.	25.	197.	19.	197.	23.
Rb	246.	11.	248.	12.	234.	3.3	252.	7.6
Sb	2.26	22.	1.93	16.	3.09	15.	2.64	3.9
Sc	22.1	2.4	21.8	2.0	22.5	1.5	22.6	3.5
Sm	5.79	6.5	5.64	6.8	6.23	3.2	6.01	9.1
Ta	1.58	6.5	1.50	3.9	1.79	5.3	1.69	5.0
Tb	0.83	6.5	0.82	6.5	0.87	6.4	0.87	7.4
Th	20.4	12.	18.4	3.4	25.9	4.3	22.3	5.4
U	3.11	16.	2.78	7.4	4.22	4.2	3.51	13.
W	3.99	20.	4.00	20.	3.58	6.1	4.30	22.
Yb	3.49	2.2	3.39	2.1	3.73	1.7	3.67	2.2
Zn	143.	22.	135.	23.	167.	28.	145.	6.1
Zr	188.	38.	188.	33.	187.	59.	188.	41.

Abb. 115: Tab. 26: Elementkonzentrationen, gemessen durch NAA: Gegeben sind die Mittelwerte M der Gruppen und ihre Streuungen (Wurzel aus der mittleren quadratischen Abweichung = Varianz) nach Korrektur der Einzelproben auf Verdünnung durch einen besten relativen Anpassungsfaktor. Die Gruppe UI70 (Unlokalisiert Nr. 70) besteht aus 3 sich ähnelnden Untergruppen unbekanntes Produktionsortes.

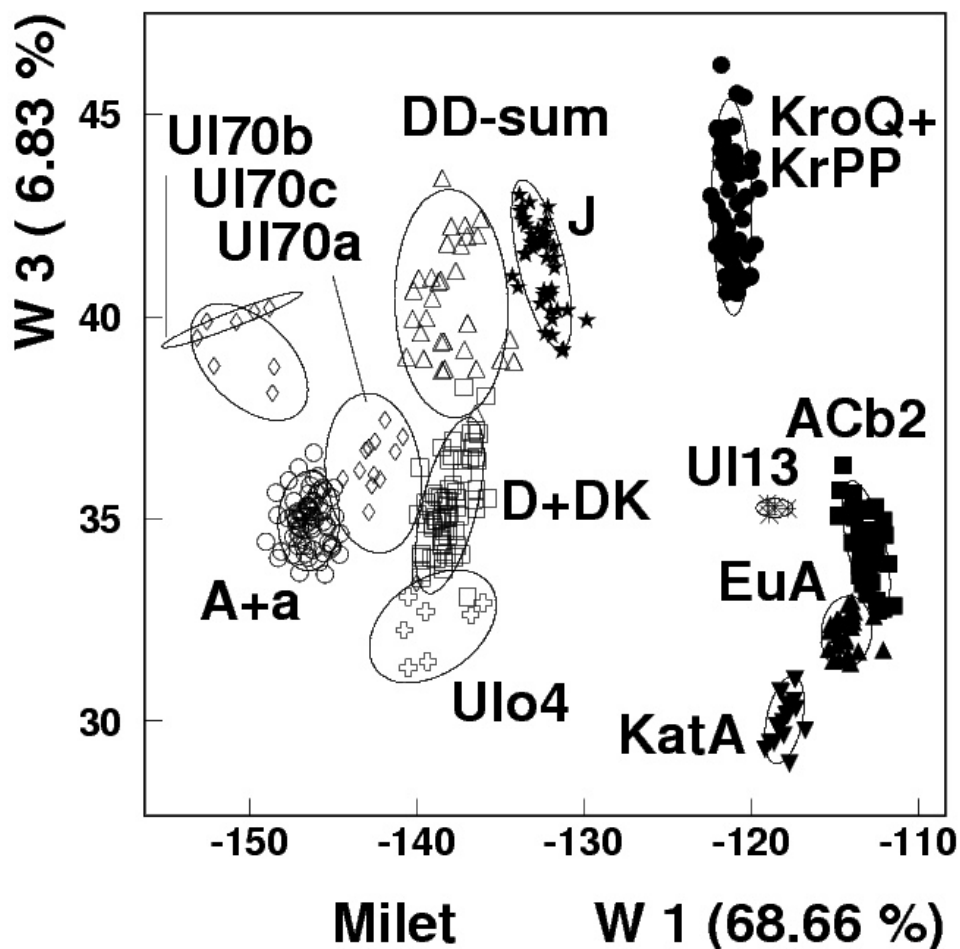


Abb. 116: Statistische Diskriminanzanalyse der Konzentrationsdaten von 43 beprobten KRSk und KRS, die 13 Clustern ergeben.

Ergebnis einer statistischen Diskriminanzanalyse der Konzentrationsdaten von beprobten Scherben, die zu 13 Clustern gehören, die in dieser Arbeit repräsentiert sind. Dies sind **A**: Kalabaktepe Werkstätten in Milet und **a**: ähnliche Gruppe, Rezeptvariation?, wohl auch Milet

D: zweites Milet zugeordnetes Muster und **DK**: ähnliche Gruppe

DD-sum: Aufsummation von 4 ähnlichen Untergruppen DDa, DDb, DDc, DDd (s. Tab. 4)

UI70a, UI70b, UI70c (Unlokalierte Gruppe Nr. 70): mit 3 untereinander ähnlichen Gruppen a, b, c

Ulo4: kleine unlokalierte Gruppe Nr. 4

J: eine Samos zugeordnete Gruppe

KroQ, KrPP: 2 sich ähnelnde Gruppen von Athen oder Attika

ACb2: noch nicht lokalisierte Gruppe wohl von einem Produktionsort des Peloponnes

UI13: kleine unlokalierte Gruppe Nr. 13

EuA: Gruppe aus Tonen des Lagers bei Phylla nahe Lefkandi auf Euböa

KatA: Gruppe einer Werkstatt in der Gegend von Katania, Sizilien

Auf den Achsen sind die erste (W1) und die dritte (W3) Diskriminanzfunktion dargestellt, die Prozentangabe dahinter beschreibt den Anteil der Funktion an der Gesamt-Zwischengruppenvarianz. Jedes Symbol entspricht dem Elementmuster einer Scherbe. Die verschiedenen Gruppen gleicher chemischer Zusammensetzung sind durch Ellipsen gekennzeichnet, die die 95 % Vertrauensgrenze der jeweiligen Gruppe angeben. Die gewählte Projektion zeigt die verschiedenen Gruppen gut voneinander getrennt.

Membership Table					
Row	Label	Cluster			
			65	TR-3K/262	1
			66	TR-3K/263	1
			67	TR-3K/264	1
			68	TR-3K/265	1
			69	TR-3K/266	1
			70	TR-3K/267	1
			71	TR-3K/267 b	1
1	TR-3K/201	1	72	TR-3K/268	1
2	TR-3K/202	1	73	TR-3K/269	1
3	TR-3K/203	1	74	TR-3K/270	1
4	TR-3K/204	1	75	TR-3K/271	1
5	TR-3K/205	1	76	TR-3K/272	1
6	TR-3K/206	1	77	TR-3K/273	1
7	TR-3K/207	1	78	TR-3K/274	1
8	TR-3K/208	1	79	TR-3K/275	1
9	TR-3K/209	1	80	TR-3K/276	1
10	TR-3K/210	1	81	TR-3K/277	1
11	TR-3K/211	1	82	TR-3K/278	1
12	TR-3K/212	1	83	TR-3K/279	1
13	TR-3K/213	1	84	TR-3K/280	1
14	TR-3K/214	1	85	TR-3K/281	1
15	TR-3K/215	1	86	TR-3K/282	1
16	TR-3K/216	1	87	TR-3K/283	1
17	TR-3K/217	1	88	TR-3K/284	1
18	TR-3K/218	1	89	TR-3K/285	1
19	TR-3K/219	1	90	TR-3K/286	1
20	TR-3K/220	1	91	TR-3K/287	1
21	TR-3K/221	1	92	TR-3K/288	1
22	TR-3K/222	1	93	TR-3K/289	1
23	TR-3K/223	1	94	TR-3K/290	1
24	TR-3K/224	1	95	TR-3K/291	1
25	TR-3K/225	1	96		
26	TR-3K/226	1	97	TR-3K/010f	2
27	TR-3K/227	1	98	TR-3K/011f	2
28	TR-3K/228	1	99	TR-3K/032f	2
29	TR-3K/229	1	100	TR-3K/033f	2
30	TR-3K/230	1	101	TR-3K/034f	2
31	TR-3K/231	1	102	TR-3K/042f	2
32	TR-3K/232	1	103	TR-3K/048f	2
33	TR-3K/233	1	104	TR-3K/049f	2
34	TR-3K/234	1	105	TR-3K/057f	2
35	TR-3K/235	1	106	TR-3K/145f	2
36	TR-3K/236	1	107	TR-3K/146af	2
37	TR-3K/237	1	108	TR-3K/146bf	2
38	TR-3K/238	1	109	TR-3K/147f	2
39	TR-3K/239	1	110	TR-3K/148af	2
40	TR-3K/240	1	111	TR-3K/148bf	2
41	TR-3K/240b	1	112	TR-3K/149af	3
42	TR-3K/241	1	113	TR-3K/149bf	2
43	TR-3K/242	1	114	TR-3K/150af	4
44	TR-3K/243	1	115	TR-3K/150bf	5
45	TR-3K/244	1	116	TR-3K/151f	2
46	TR-3K/245	1	117	TR-3K/152af	2
47	TR-3K/246	1	118	TR-3K/152bf	2
48	TR-3K/247	1	119	TR-3K/153af	2
49	TR-3K/248	1	120	TR-3K/153bf	2
50	TR-3K/249	1	121	TR-3K/153cf	2
51	TR-3K/250	1	122	TR-3K/154f	2
52	TR-3K/251	1	123	TR-3K/155af	2
53	TR-3K/251 b	1	124	TR-3K/155bf	2
54	TR-3K/252	1	125	TR-3K/156af	2
55	TR-3K/253	1	126	TR-3K/156bf	2
56	TR-3K/254	1	127	TR-3K/156cf	2
57	TR-3K/255	1	128	TR-3K/157f	2
58	TR-3K/255 b	1	129	TR-3K/158f	2
59	TR-3K/256	1	130	TR-3K/159f	2
60	TR-3K/257	1	131	TR-3K/159*f	2
61	TR-3K/258	1	132	TR-3K/160f	2
62	TR-3K/259	1	133	TR-3K/161af	2
63	TR-3K/260	1	134	TR-3K/161bf	2
64	TR-3K/261	1	135	TR-3K/162af	2
			136	TR-3K/164f	2

The StatAdvisor

This table shows which cluster each observation belongs to. To plot these results, select 2D Scatterplot or 3D Scatterplot from the list of Graphical Options.

Abb. 117 Tab. 22. Clusterauswertung der milesischen Proben.

7.7 Aufschlüsselung nach Probenummern Bochumer Labor (Yalçın)

Prob.-Nr.	Kat.-Nr.	Inv.-Nr.	Herkunftsgruppe (Yalçın)	Zuschreibung	Typus
TR-3K/207	8.	AT 55.17.1	Attisches Feld/Cluster 2, Hauptgruppe A	Athen?/Milet?	1,2.A/B
TR-3K/211	36.	K 91.391.1	Milesisches Feld/Cluster 2, Hauptgruppe A	Milet/Milet	2,2.B
TR-3K/212*	93.*	S 63.79.1	Milesisches Feld/Cluster 2, Hauptgruppe A	Milet/Milet	5,1.B
TR-3K/213*	93.*	S 63.79.2	Milesisches Feld / Cluster 2, Hauptgruppe A	Milet/Milet	5,1.B
TR-3K/214*	93.*	S 63.79.3	Milesisches Feld / Cluster 2, Hauptgruppe A	Milet/Milet	5,1.B
TR-3K/215#	99.#	K 92.410.2#	Außerhalb des Milesischen Feldes / Cluster 2, Hauptgruppe A	Single?/Milet	5,2.B
TR-3K/216	224.	S 63.68.7	Milesisches Feld / Cluster 1	Milet/Athen?	10,1.B/αγ
TR-3K/217	-	S 63.68.8	Milesisches Feld / Cluster 2, Hauptgruppe A	Milet/Milet	8.B/a
TR-3K/218	-	K 91.49.38	Milesisches Feld / Cluster 2, Hauptgruppe A	Milet/Milet	8.B/a
TR-3K/219	-	K 92.143.17 + 18	Milesisches Feld / Cluster 2, Hauptgruppe A	Milet/Milet	8.2,B/αγ
TR-3K/220	-	S 63.17.1	Milesisches Feld / Cluster 2, Hauptgruppe A	Milet/Milet	9,2.D/h-i
TR-3K/221	217.	K 90.64.9	Milesisches Feld / Cluster 2, Hauptgruppe A	Milet/Milet	9,2-3.C-D/i-j
TR-3K/222	-	K 92.159.3	Milesisches Feld / Cluster 2, Hauptgruppe A	Milet/Milet	9,1.C/g
TR-3K/223	-	S 63.91.2	Milesisches Feld / Cluster 2, Hauptgruppe A	Milet/Milet	10,2.B/αγ
TR-3K/224*	236.*	K 91.420.2 + 3 + 10	Milesisches Feld / Cluster 2, Hauptgruppe A	Milet/Milet	10,1.B/k
TR-3K/225	233.	K 92.14.4	Milesisches Feld / Cluster 2, Hauptgruppe A	Milet/Milet	10,1.B/k
TR-3K/226	226.	K 92.18.3	Milesisches Feld / Cluster 2, Hauptgruppe A	Milet/Milet	10,1.B/κγ

TR-3K/227	-	K 92.40.47	Milesisches Feld / Cluster 2, Hauptgruppe A	Milet/Milet	10,6.C/1
TR-3K/228	303.	K 92.40.50	Single / Cluster 4, Pair	Single/Pair (255b; 228)	10,9.C-D/m
TR-3K/229	-	K 92.40.51	Milesisches Feld / Cluster 2, Hauptgruppe A	Milet/Milet	10,3/5.B/k
TR-3K/230	-	S 63.14.5	Milesisches Feld / Cluster 2, Hauptgruppe A	Milet/Milet	11,4.B/1
TR-3K/231	-	S 63.91.5	Milesisches Feld / Cluster 2, Hauptgruppe A	Milet/Milet	11,4.B/k
TR-3K/232	-	S 63.97.5	Milesisches Feld / Cluster 2, Hauptgruppe A	Milet/Milet	11,4.B/n (Sonderform s. 345)
TR-3K/233	-	K 90.225.3	Milesisches Feld / Cluster 2, Hauptgruppe A	Milet/Milet	11,5.B/ky
TR-3K/234	362.	K 92.40.46	Single / Cluster 2, Hauptgruppe A	Single?/Milet?	11,5.B/k
TR-3K/235	-	K 92.40.48	Milesisches Feld / Cluster 2, Hauptgruppe A	Milet/Milet	13,2.B/n
TR-3K/236	-	K 92.40.49	Milesisches Feld / Cluster 5	Milet/Single ?	11,2.B/k
TR-3K/237	428.	K 91.137.16	Milesisches Feld / Cluster 2, Hauptgruppe A	Milet/Milet	10,1.B/MileA I/II
TR-3K/239	-	K 89.109.2	Milesisches Feld / Cluster 2, Hauptgruppe A	Milet/Milet	1,2.A/b(?)
TR-3K/240	16.	K 92.51.3	Milesisches Feld / Cluster 2, Hauptgruppe A	Milet/Milet	1,2.A/c
TR-3K/240b	28.	K 90.424.4	Attisches Feld / Cluster 2, Hauptgruppe A	Athen?/Milet?	1,2.A/b
TR-3K/241	37.	K 92.269.11	Milesisches Feld / Cluster 2, Hauptgruppe A	Milet/Milet	2,2.B/b(?)
TR-3K/242	408.	K 91.516.6	Milesisches Feld / Cluster 2, Hauptgruppe A	Milet/Milet	2,4.A/ SiG spät
TR-3K/243	31.	K 91.211.5	Milesisches Feld / Cluster 2, Hauptgruppe A	Milet/Milet	2,1.B/b
TR-3K/244	33.	K 92.655.1	Milesisches Feld / Cluster 2, Hauptgruppe A	Milet/Milet	2,2.B/b
TR-3K/245	71.	K 90.222.10	Milesisches Feld / Cluster 2, Hauptgruppe A	Milet/Milet	3,3.B/c
TR-3K/246	62.	K 93.166.2	Milesisches Feld / Cluster 2, Hauptgruppe A	Milet/Milet	3,2.B/c

TR-3K/247	66.	K 92.61.4	Milesisches Feld / Cluster 2, Hauptgruppe A	Milet/Milet	3,2.B/c-d
TR-3K/248	48.	K 93.165.10	Milesisches Feld / Cluster 2, Hauptgruppe A	Milet/Milet	2,4.B/d
TR-3K/249	72.	K 93.110.8	Milesisches Feld / Cluster 2, Hauptgruppe A	Milet/Milet	3,3.B/c
TR-3K/250	70.	K 92.543.18	Milesisches Feld / Cluster 2, Hauptgruppe A	Milet/Milet	3,3.B/c-d
TR-3K/251	78.	K 90.807.1	Milesisches Feld / Cluster 2, Hauptgruppe A	Milet/Milet	4,3.B/d
TR-3K/251b	74.	K 92.490.33	Milesisches Feld / Cluster 2, Hauptgruppe A	Milet/Milet	4,1.B/d
TR-3K/252	105.	K 93.109.4	Milesisches Feld / Cluster 2, Hauptgruppe A	Milet/Milet	5,3.B/ea
TR-3K/253#	99.#	K 92.410.2#	Außerhalb des Milesischen Feldes / Cluster 2, Hauptgruppe A	Single?/Milet	5,2.B/e
TR-3K/254	104.	K 89.202.1	Milesisches Feld / Cluster 2, Hauptgruppe A	Milet/Milet	5,3.B/e
TR-3K/255	90.	K 92.37.6	Milesisches Feld / Cluster 2, Hauptgruppe A	Milet/Milet	5,1.B/e
TR-3K/255b	32.	K 88.180.6	Single / Cluster 4, Pair	Single/Pair (255b; 228)	2,2.A/c
TR-3K/256	150.	K 91.49.36	Milesisches Feld / Cluster 2, Hauptgruppe A	Milet/Milet	8,1.B/a
TR-3K/257	153.	K 90.414.10	Milesisches Feld / Cluster 2, Hauptgruppe A	Milet/Milet	8,1.B/ay
TR-3K/258	166.	K 91.185.5	Milesisches Feld / Cluster 2, Hauptgruppe A	Milet/Milet	8,2.B/ay
TR-3K/259	216.	Z 91.58.2 + u.a.	Milesisches Feld / Cluster 2, Hauptgruppe A	Milet/Milet	9,2-3.C/i-j
TR-3K/260	197.	Z 91.33.4	Milesisches Feld / Cluster 2, Hauptgruppe A	Milet/Milet	9,3.C/g
TR-3K/261	188.	Z 92.88.20	Milesisches Feld / Cluster 2, Hauptgruppe A	Milet/Milet	9,2.C/i
TR-3K/262	184.	Z 92.92.45	Milesisches Feld / Cluster 2, Hauptgruppe A	Milet/Milet	9,1.C/h
TR-3K/263	229.	K 91.49.27	Milesisches Feld / Cluster 2, Hauptgruppe A	Milet/Milet	10,1.B/ky

TR-3K/264	246.	Z 91.58.3	Milesisches Feld / Cluster 2, Hauptgruppe A	Milet/Milet	10,2.B/ny
TR-3K/265	238	K 90.646.2	Milesisches Feld / Cluster 2, Hauptgruppe A	Milet/Milet	10,1.B/ky
TR-3K/266*	236*	K 91.420.2 + 3 + 10	Milesisches Feld / Cluster 2, Hauptgruppe A	Milet/Milet	10,1.B/k
TR-3K/267	272.	K 89.36.1	Milesisches Feld / Cluster 2, Hauptgruppe A	Milet/Milet	10,6.C/n
TR-3K/267b	255.	K 92.143.20	Milesisches Feld / Cluster 2, Hauptgruppe A	Milet/Milet	10,4.C/k
TR-3K/268	149.	K 91.137.5	Milesisches Feld / Cluster 2, Hauptgruppe A	Milet/Milet	7,5.B/fa
TR-3K/269	397.	K 92.871.2-4	Milesisches Feld/Cluster 2, Hauptgruppe A	Milet/Milet	11,4.B/ »Gr. Ware«
TR-3K/270	396.	K 92.465.3	Milesisches Feld / Cluster 2, Hauptgruppe A	Milet/Milet	11,3.B/ »Gr. Ware«
TR-3K/271	401.	K 92.430.12	Milesisches Feld / Cluster 2, Hauptgruppe A	Milet/Milet	12,2.B/ »Gr. Ware«
TR-3K/273	412.	K 92.126.5	Milesisches Feld / Cluster 6, Gruppe B1	Milet/Milet?	3,3.B/ SiA Ia/ subgeometrisch
TR-3K/275	510.	K 89.501.12 +91.34.5	Milesisches Feld / Cluster 6, Gruppe B1	Milet/Milet?	5/8/10.B?/SiA Ic-d
TR-3K/276	542.	K 90.725.2	Milesisches Feld / Cluster 6, Gruppe B1	Milet/Milet?	9.C/10.C?/MileA IIa, Bilingue
TR-3K/278	600.	Z 94.45.22+ u.a.	Milesisches Feld / Cluster 7, Gruppe B2	Milet/Milet?	9,3.C Sonderform (Miniatur)/MileA II,
TR-3K/279	618.	Z 94.7.103+ 112	Milesisches Feld / Cluster 7, Gruppe B2	Milet/Milet?	att.? Kleinmeisterschale sf.
TR-3K/280	403.	Z 94.75.55	Milesisches Feld / Cluster 6, Gruppe B1	Milet/Milet?	9-10.C/SiA II/ »Gr. Ware«
TR-3K/281	519.	Z 94.114. 128	Milesisches Feld / Cluster 6, Gruppe B1	Milet/Milet?	5/8/10?/SiA Ic-d
TR-3K/282	609.	Z 94.64.32+ u.a.	Milesisches Feld / Cluster 7, Gruppe B2	Milet/Milet?	9,1-4.D?/Kalottenschale? /MileA II (Sondergruppe Ion. Kleinmeisterschale?)
TR-3K/283	423.	Z 94.7.186+ u.a.	Milesisches Feld / Cluster 6, Gruppe B1	Milet/Milet?	9,1.C/MileA IIa, Bilingue
TR-3K/284	417.	Z 94.53.102 +127.120	Milesisches Feld / Cluster 6, Gruppe B1	Milet/Milet?	6,2.B (Sonderform)/ SiA-MileA Ia

TR-3K/285	556.	Z 94.61.42+ 69.92	Milesisches Feld / Cluster 6, Gruppe B1	Milet/Milet?	10.B?/MileA IIa-b
TR-3K/286	617.	Z 94.7.95+ u.a.	Milesisches Feld / Cluster 7, Gruppe B2	Milet/Milet?	att.? Kleinmeisterschale sf.
TR-3K/287	406.	Z 94.2.4+ 233.45	Milesisches Feld / Cluster 6, Gruppe B1	Milet/Milet?	2,2.B/SiG spät- orientalisierend
TR-3K/288	567.	Z 94.67.10	Milesisches Feld / Cluster 6, Gruppe B1	Milet/Milet?	9./10.C?/MileA II
TR-3K/291	450.	Z 94.64.28 +166.18	Milesisches Feld / Cluster 6, Gruppe B1	Milet/Milet?	10,2.B/MileA IIb

Abb. 118 Tab. 28. Katalog der beprobten Gefäße aus Milet.

Untersuchungen im Bochumer Labor (Yalçın), Aufschlüsselung nach Proben-Nummer.
Mit * und # sind Proben bezeichnet, die mehrfach aus demselben Gefäß entnommen wurden!

7.8 Aufschlüsselung nach Proben aus dem Bochumer Labor (Yalçın) nach Kat.-Nr.

Kat.-Nr.	Prob.-Nr.	Inv.-Nr.	Herkunftsgruppe (Yalçın)	Zuschreibung	Typus
8.	TR-3K/207	AT 55.17.1	Attisches Feld/Cluster 2, Hauptgruppe A	Athen?/Milet?	1,2.A/B
16.	TR-3K/240	K 92.51.3	Milesisches Feld/Cluster 2, Hauptgruppe A	Milet/Milet	1,2.A/c
28.	TR-3K/240b	K 90.424.4	Attisches Feld/Cluster 2, Hauptgruppe A	Athen?/Milet?	1,2.A/b
31.	TR-3K/243	K 91.211.5	Milesisches Feld/Cluster 2, Hauptgruppe A	Milet/Milet	2,1.B/b
32.	TR-3K/255b	K 88.180.6	Single/Cluster 4, Pair	Single/Pair (255b; 228)	2,2.A/c
33.	TR-3K/244	K 92.655.1	Milesisches Feld/Cluster 2, Hauptgruppe A	Milet/Milet	2,2.B/b
36.	TR-3K/211	K 91.391.1	Milesisches Feld/Cluster 2, Hauptgruppe A	Milet/Milet	2,2.B
37.	TR-3K/241	K 92.269.11	Milesisches Feld/Cluster 2, Hauptgruppe A	Milet/Milet	2,2.B/b(?)
48.	TR-3K/248	K 93.165.10	Milesisches Feld/Cluster 2, Hauptgruppe A	Milet/Milet	2,4.B/d
62.	TR-3K/246	K 93.166.2	Milesisches Feld/Cluster 2, Hauptgruppe A	Milet/Milet	3,2.B/c

66.	TR-3K/247	K 92.61.4	Milesisches Feld/Cluster 2, Hauptgruppe A	Milet/Milet	3,2.B/c–d
70.	TR-3K/250	K 92.543.18	Milesisches Feld/Cluster 2, Hauptgruppe A	Milet/Milet	3,3.B/c–d
71.	TR-3K/245	K 90.222.10	Milesisches Feld/Cluster 2, Hauptgruppe A	Milet/Milet	3,3.B/c
72.	TR-3K/249	K 93.110.8	Milesisches Feld/Cluster 2, Hauptgruppe A	Milet/Milet	3,3.B/c
74.	TR-3K/251b	K 92.490.33	Milesisches Feld/Cluster 2, Hauptgruppe A	Milet/Milet	4,1.B/d
78.	TR-3K/251	K 90.807.1	Milesisches Feld/Cluster 2, Hauptgruppe A	Milet/Milet	4,3.B/d
90.	TR-3K/255	K 92.37.6	Milesisches Feld/Cluster 2, Hauptgruppe A	Milet/Milet	5,1.B/e
93.*	TR-3K/212*	S 63.79.1	Milesisches Feld/Cluster 2, Hauptgruppe A	Milet/Milet	5,1.B
93.*	TR-3K/213*	S 63.79.2	Milesisches Feld/Cluster 2, Hauptgruppe A	Milet/Milet	5,1.B
93.*	TR-3K/214*	S 63.79.3	Milesisches Feld/Cluster 2, Hauptgruppe A	Milet/Milet	5,1.B
99.#	TR-3K/215#	K 92.410.2#	Außerhalb Milesisches Feld/ Cluster 2, Hauptgruppe A	Single?/Milet	5,2.B
99.#	TR-3K/253#	K 92.410.2#	Außerhalb Milesisches Feld/Cluster 2, Hauptgruppe A	Single?/Milet	5,2.B/e
104.	TR-3K/254	K 89.202.1	Milesisches Feld/Cluster 2, Hauptgruppe A	Milet/Milet	5,3.B/e
105.	TR-3K/252	K 93.109.4	Milesisches Feld/Cluster 2, Hauptgruppe A	Milet/Milet	5,3.B/εα
149.	TR-3K/268	K 91.137.5	Milesisches Feld/Cluster 2, Hauptgruppe A	Milet/Milet	7,5.B/φα
150.	TR-3K/256	K 91.49.36	Milesisches Feld/Cluster 2, Hauptgruppe A	Milet/Milet	8,1.B/a
153.	TR-3K/257	K 90.414.10	Milesisches Feld/Cluster 2, Hauptgruppe A	Milet/Milet	8,1.B/αγ
166.	TR-3K/258	K 91.185.5	Milesisches Feld/Cluster 2, Hauptgruppe A	Milet/Milet	8,2.B/αγ
184.	TR-3K/262	Z 92.92.45	Milesisches Feld/Cluster 2, Hauptgruppe A	Milet/Milet	9,1.C/h

188.	TR-3K/261	Z 92.88.20	Milesisches Feld/Cluster 2, Hauptgruppe A	Milet/Milet	9,2.C/i
197.	TR-3K/260	Z 91.33.4	Milesisches Feld/Cluster 2, Hauptgruppe A	Milet/Milet	9,3.C/g
216.	TR-3K/259	Z 91.58.2 + u.a.	Milesisches Feld/Cluster 2, Hauptgruppe A	Milet/Milet	9,2-3.C/i-j
217.	TR-3K/221	K 90.64.9	Milesisches Feld/Cluster 2, Hauptgruppe A	Milet/Milet	9,2-3.C-D/i-j
224.	TR-3K/216	S 63.68.7	Milesisches Feld/Cluster 1	Milet/Athen?	10,1.B/ay
226.	TR-3K/226	K 92.18.3	Milesisches Feld/Cluster 2, Hauptgruppe A	Milet/Milet	10,1.B/ky
229.	TR-3K/263	K 91.49.27	Milesisches Feld/Cluster 2, Hauptgruppe A	Milet/Milet	10,1.B/ky
233.	TR-3K/225	K 92.14.4	Milesisches Feld/Cluster 2, Hauptgruppe A	Milet/Milet	10,1.B/k
236.*	TR-3K/224*	K 91.420.2 + 3 + 10	Milesisches Feld/Cluster 2, Hauptgruppe A	Milet/Milet	10,1.B/k
236*	TR-3K/266*	K 91.420.2 + 3 + 10	Milesisches Feld/Cluster 2, Hauptgruppe A	Milet/Milet	10,1.B/k
238	TR-3K/265	K 90.646.2	Milesisches Feld/Cluster 2, Hauptgruppe A	Milet/Milet	10,1.B/ky
246.	TR-3K/264	Z 91.58.3	Milesisches Feld/Cluster 2, Hauptgruppe A	Milet/Milet	10,2.B/ny
255.	TR-3K/267b	K 92.143.20	Milesisches Feld/Cluster 2, Hauptgruppe A	Milet/Milet	10,4.C/k
272.	TR-3K/267	K 89.36.1	Milesisches Feld/Cluster 2, Hauptgruppe A	Milet/Milet	10,6.C/n
303.	TR-3K/228	K 92.40.50	Single/Cluster 4, Pair	Single/Pair (255b; 228)	10,9.C-D/m
362.	TR-3K/234	K 92.40.46	Single/Cluster 2, Hauptgruppe A	Single?/Milet?	11,5.B/k
397.	TR-3K/269	K 92.871.2-4	Milesisches Feld/Cluster 2, Hauptgruppe A	Milet/Milet	11,4.B/ 'Graue Ware'
396.	TR-3K/270	K 92.465.3	Milesisches Feld/Cluster 2, Hauptgruppe A	Milet/Milet	11,3.B/ 'Graue Ware'
401.	TR-3K/271	K 92.430.12	Milesisches Feld/Cluster 2, Hauptgruppe A	Milet/Milet	12,2.B/ 'Graue Ware'
403.	TR-3K/280	Z 94.75.55	Milesisches Feld/Cluster 6, Gruppe B1	Milet/Milet?	9-10.C/SiA II/ 'Graue Ware'

406.	TR-3K/287	Z 94.2.4+ 233.45	Milesisches Feld/Cluster 6, Gruppe B1	Milet/Milet?	2,2.B/SiG spät- orientalisierend
408.	TR-3K/242	K 91.516.6	Milesisches Feld/Cluster 2, Hauptgruppe A	Milet/Milet	2,4.A/ SiG spät
412.	TR-3K/273	K 92.126.5	Milesisches Feld/Cluster 6, Gruppe B1	Milet/Milet?	3,3.B/SiA Ia / subgeometrisch
417.	TR-3K/284	Z 94.53.102 +127.120	Milesisches Feld/Cluster 6, Gruppe B1	Milet/Milet?	6,2.B (Sonderform)/SiA- MileA Ia
423.	TR-3K/283	Z 94.7.186+ u.a.	Milesisches Feld/Cluster 6, Gruppe B1	Milet/Milet?	9,1.C/MileA IIa, Bilingue
428.	TR-3K/237	K 91.137.16	Milesisches Feld/Cluster 2, Hauptgruppe A	Milet/Milet	10,1.B/MileA I/II
450.	TR-3K/291	Z 94.64.28 +166.18	Milesisches Feld/Cluster 6, Gruppe B1	Milet/Milet?	10,2.B/MileA IIb
510.	TR-3K/275	K 89.501.12 +91.34.5	Milesisches Feld/Cluster 6, Gruppe B1	Milet/Milet?	5/8/10.B?/SiA Ic-d
519.	TR-3K/281	Z 94.114. 128	Milesisches Feld/Cluster 6, Gruppe B1	Milet/Milet?	5/8/10?/SiA Ic-d
542.	TR-3K/276	K 90.725.2	Milesisches Feld/Cluster 6, Gruppe B1	Milet/Milet?	9.C/10.C?/MileA IIa, Bilingue
556.	TR-3K/285	Z 94.61.42+ 69.92	Milesisches Feld/Cluster 6, Gruppe B1	Milet/Milet?	10.B?/MileA IIa-b
567.	TR-3K/288	Z 94.67.10	Milesisches Feld/Cluster 6, Gruppe B1	Milet/Milet?	9./10.C?/MileA II
600.	TR-3K/278	Z 94.45.22+ u.a.	Milesisches Feld/Cluster 7, Gruppe B2	Milet/Milet?	9,3.C Sonderform (miniaturistisch) / MileA II, Sondergruppe Ion. Kleinmeisterschale
609.	TR-3K/282	Z 94.64.32+ u.a.	Milesisches Feld/Cluster 7, Gruppe B2	Milet/Milet?	9,1-4.D? / Kalottenschale? / MileA II
617.	TR-3K/286	Z 94.7.95+ u.a.	Milesisches Feld/Cluster 7, Gruppe B2	Milet/Milet?	Attische Kleinmeisterschale(?)/Sf
618.	TR-3K/279	Z 94.7.103+ 112	Milesisches Feld/Cluster 7, Gruppe B2	Milet/Milet?	Attische Kleinmeisterschale(?)/Sf
-	TR-3K/239	K 89.109.2	Milesisches Feld/Cluster 2, Hauptgruppe A	Milet/Milet	1,2.A/b(?)
-	TR-3K/219	K 92.143.17 + 18	Milesisches Feld/Cluster 2, Hauptgruppe A	Milet/Milet	8,2.B/ay
-	TR-3K/217	S 63.68.8	Milesisches Feld/Cluster 2, Hauptgruppe A	Milet/Milet	8.B/a

			Hauptgruppe A		
-	TR-3K/218	K 91.49.38	Milesisches Feld/Cluster 2, Hauptgruppe A	Milet/Milet	8.B/a
-	TR-3K/222	K 92.159.3	Milesisches Feld/Cluster 2, Hauptgruppe A	Milet/Milet	9,1.C/g
-	TR-3K/220	S 63.17.1	Milesisches Feld/Cluster 2, Hauptgruppe A	Milet/Milet	9,2.D/h-i
-	TR-3K/223	S 63.91.2	Milesisches Feld/Cluster 2, Hauptgruppe A	Milet/Milet	10,2.B/ay
-	TR-3K/227	K 92.40.47	Milesisches Feld/Cluster 2, Hauptgruppe A	Milet/Milet	10,6.C/l
-	TR-3K/229	K 92.40.51	Milesisches Feld/Cluster 2, Hauptgruppe A	Milet/Milet	10,3/5.B/k
-	TR-3K/236	K 92.40.49	Milesisches Feld/Cluster 5	Milet/Single ?	11,2.B/k
-	TR-3K/235	K 92.40.48	Milesisches Feld/Cluster 2, Hauptgruppe A	Milet/Milet	13,2.B/n
-	TR-3K/231	S 63.91.5	Milesisches Feld/Cluster 2, Hauptgruppe A	Milet/Milet	11,4.B/k
-	TR-3K/233	K 90.225.3	Milesisches Feld/Cluster 2, Hauptgruppe A	Milet/Milet	11,5.B/ky
-	TR-3K/230	S 63.14.5	Milesisches Feld/Cluster 2, Hauptgruppe A	Milet/Milet	11,4.B/l
-	TR-3K/232	S 63.97.5	Milesisches Feld/Cluster 2, Hauptgruppe A	Milet/Milet	11,4.B/n (Sonderform s. 345)

Abb. 119 Tab. 29. Katalog der beprobten Gefäße aus Milet.

Untersuchungen im Bochumer Labor (Yalçın), Aufschlüsselung nach Kat.-Nr.

Mit * und # sind Proben bezeichnet, die mehrfach aus demselben Gefäß entnommen wurden!

7.9 Aufschlüsselung der Proben aus dem Bochumer Labor (Yalçın) nach Herkunftsgruppen

Herkunftsgruppe (Yalçın)	Zuschreibung	Typus	Kat.-Nr.	Prob.-Nr.	Inv.-Nr.
Attisches Feld / Cluster 2, Hauptgruppe A	Athen?/Milet?	1,2.A/B	8.	TR-3K/207	AT 55.17.1
Attisches Feld / Cluster 2, Hauptgruppe A	Athen?/Milet?	1,2.A/b	28.	TR-3K/240b	K 90.424.4
Milesisches Feld / Cluster 1	Milet/Athen?	10,1.B/ay	224.	TR-3K/216	S 63.68.7

Milesisches Feld / Cluster 2, Hauptgruppe A	Milet/Milet	1,2.A/b(?)	-	TR-3K/239	K 89.109.2
Milesisches Feld / Cluster 2, Hauptgruppe A	Milet/Milet	1,2.A/c	16.	TR-3K/240	K 92.51.3
Milesisches Feld / Cluster 2, Hauptgruppe A	Milet/Milet	2,1.B/b	31.	TR-3K/243	K 91.211.5
Milesisches Feld / Cluster 2, Hauptgruppe A	Milet/Milet	2,2.B/b	33.	TR-3K/244	K 92.655.1
Milesisches Feld / Cluster 2, Hauptgruppe A	Milet/Milet	2,2.B	36.	TR-3K/211	K 91.391.1
Milesisches Feld / Cluster 2, Hauptgruppe A	Milet/Milet	2,2.B/b(?)	37.	TR-3K/241	K 92.269.11
Milesisches Feld / Cluster 2, Hauptgruppe A	Milet/Milet	2,4.A/ SiG spät	408.	TR-3K/242	K 91.516.6
Milesisches Feld / Cluster 2, Hauptgruppe A	Milet/Milet	2,4.B/d	48.	TR-3K/248	K 93.165.10
Milesisches Feld / Cluster 2, Hauptgruppe A	Milet/Milet	3,2.B/c	62.	TR-3K/246	K 93.166.2
Milesisches Feld / Cluster 2, Hauptgruppe A	Milet/Milet	3,2.B/c–d	66.	TR-3K/247	K 92.61.4
Milesisches Feld / Cluster 2, Hauptgruppe A	Milet/Milet	3,3.B/c–d	70.	TR-3K/250	K 92.543.18
Milesisches Feld / Cluster 2, Hauptgruppe A	Milet/Milet	3,3.B/c	71.	TR-3K/245	K 90.222.10
Milesisches Feld / Cluster 2, Hauptgruppe A	Milet/Milet	3,3.B/c	72.	TR-3K/249	K 93.110.8
Milesisches Feld / Cluster 2, Hauptgruppe A	Milet/Milet	4,1.B/d	74.	TR-3K/251b	K 92.490.33
Milesisches Feld / Cluster 2, Hauptgruppe A	Milet/Milet	4,3.B/d	78.	TR-3K/251	K 90.807.1
Milesisches Feld / Cluster 2, Hauptgruppe A	Milet/Milet	5,1.B/e	90.	TR-3K/255	K 92.37.6
Milesisches Feld / Cluster 2, Hauptgruppe A	Milet/Milet	5,1.B	93.*	TR-3K/212*	S 63.79.1
Milesisches Feld / Cluster 2, Hauptgruppe A	Milet/Milet	5,1.B	93.*	TR-3K/213*	S 63.79.2
Milesisches Feld / Cluster 2, Hauptgruppe A	Milet/Milet	5,1.B	93.*	TR-3K/214*	S 63.79.3
Milesisches Feld /	Milet/Milet	5,3.B/e	104.	TR-3K/254	K 89.202.1

Cluster 2, Hauptgruppe A					
Milesisches Feld / Cluster 2, Hauptgruppe A	Milet/Milet	5,3.B/εα	105.	TR-3K/252	K 93.109.4
Milesisches Feld / Cluster 2, Hauptgruppe A	Milet/Milet	7,5.B/φα	149.	TR-3K/268	K 91.137.5
Milesisches Feld / Cluster 2, Hauptgruppe A	Milet/Milet	8,1.B/a	150.	TR-3K/256	K 91.49.36
Milesisches Feld / Cluster 2, Hauptgruppe A	Milet/Milet	8,1.B/aγ	153.	TR-3K/257	K 90.414.10
Milesisches Feld / Cluster 2, Hauptgruppe A	Milet/Milet	8,2.B/aγ	166.	TR-3K/258	K 91.185.5
Milesisches Feld / Cluster 2, Hauptgruppe A	Milet/Milet	8,2.B/aγ	-	TR-3K/219	K 92.143.17 + 18
Milesisches Feld / Cluster 2, Hauptgruppe A	Milet/Milet	8.B/a	-	TR-3K/217	S 63.68.8
Milesisches Feld / Cluster 2, Hauptgruppe A	Milet/Milet	8.B/a	-	TR-3K/218	K 91.49.38
Milesisches Feld / Cluster 2, Hauptgruppe A	Milet/Milet	9,1.C/g	-	TR-3K/222	K 92.159.3
Milesisches Feld / Cluster 2, Hauptgruppe A	Milet/Milet	9,1.C/h	184.	TR-3K/262	Z 92.92.45
Milesisches Feld / Cluster 2, Hauptgruppe A	Milet/Milet	9,2.C/i	188.	TR-3K/261	Z 92.88.20
Milesisches Feld / Cluster 2, Hauptgruppe A	Milet/Milet	9,3.C/g	197.	TR-3K/260	Z 91.33.4
Milesisches Feld / Cluster 2, Hauptgruppe A	Milet/Milet	9,2–3.C/i–j	216.	TR-3K/259	Z 91.58.2 + u.a.
Milesisches Feld / Cluster 2, Hauptgruppe A	Milet/Milet	9,2–3.C–D/i–j	217.	TR-3K/221	K 90.64.9
Milesisches Feld / Cluster 2, Hauptgruppe A	Milet/Milet	9,2.D/h–i	-	TR-3K/220	S 63.17.1
Milesisches Feld / Cluster 2, Hauptgruppe A	Milet/Milet	10,1.B/kγ	226.	TR-3K/226	K 92.18.3
Milesisches Feld / Cluster 2, Hauptgruppe A	Milet/Milet	10,1.B/kγ	229.	TR-3K/263	K 91.49.27
Milesisches Feld / Cluster 2, Hauptgruppe A	Milet/Milet	10,1.B/k	233.	TR-3K/225	K 92.14.4
Milesisches Feld / Cluster 2, Hauptgruppe A	Milet/Milet	10,1.B/k	236.*	TR-3K/224*	K 91.420.2 + 3 + 10

Milesisches Feld / Cluster 2, Hauptgruppe A	Milet/Milet	10,1.B/k	236*	TR-3K/266*	K 91.420.2 + 3 + 10
Milesisches Feld / Cluster 2, Hauptgruppe A	Milet/Milet	10,1.B/ky	238	TR-3K/265	K 90.646.2
Milesisches Feld / Cluster 2, Hauptgruppe A	Milet/Milet	10,2.B/ay	-	TR-3K/223	S 63.91.2
Milesisches Feld / Cluster 2, Hauptgruppe A	Milet/Milet	10,2.B/ny	246.	TR-3K/264	Z 91.58.3
Milesisches Feld / Cluster 2, Hauptgruppe A	Milet/Milet	10,4.C/k	255.	TR-3K/267b	K 92.143.20
Milesisches Feld / Cluster 2, Hauptgruppe A	Milet/Milet	10,3/5.B/k	-	TR-3K/229	K 92.40.51
Milesisches Feld / Cluster 2, Hauptgruppe A	Milet/Milet	10,6.C/1	-	TR-3K/227	K 92.40.47
Milesisches Feld / Cluster 2, Hauptgruppe A	Milet/Milet	10,6.C/n	272.	TR-3K/267	K 89.36.1
Milesisches Feld / Cluster 2, Hauptgruppe A	Milet/Milet	11,4.B / 'Graue Ware'	397.	TR-3K/269	K 92.871.2-4
Milesisches Feld / Cluster 2, Hauptgruppe A	Milet/Milet	11,3.B / 'Graue Ware'	396.	TR-3K/270	K 92.465.3
Milesisches Feld / Cluster 2, Hauptgruppe A	Milet/Milet	11,4.B/k	-	TR-3K/231	S 63.91.5
Milesisches Feld / Cluster 2, Hauptgruppe A	Milet/Milet	11,4.B/1	-	TR-3K/230	S 63.14.5
Milesisches Feld / Cluster 2, Hauptgruppe A	Milet/Milet	11,4.B/n (Sonderform s. 345)	-	TR-3K/232	S 63.97.5
Milesisches Feld / Cluster 2, Hauptgruppe A	Milet/Milet	11,5.B/ky	-	TR-3K/233	K 90.225.3
Milesisches Feld / Cluster 2, Hauptgruppe A	Milet/Milet	12,2.B / 'Graue Ware'	401.	TR-3K/271	K 92.430.12
Milesisches Feld / Cluster 2, Hauptgruppe A	Milet/Milet	10,1.B/MileA I/II	428.	TR-3K/237	K 91.137.16
Milesisches Feld / Cluster 2, Hauptgruppe A	Milet/Milet	13,2.B/n	-	TR-3K/235	K 92.40.48
Milesisches Feld / Cluster 6, Gruppe B1	Milet/Milet?	9–10.C/SiA II/ 'Graue Ware'	403.	TR-3K/280	Z 94.75.55
Milesisches Feld / Cluster 6, Gruppe B1	Milet/Milet?	2,2.B/SiG orientalisierend spät-	406.	TR-3K/287	Z 94.2.4+ 233.45
Milesisches Feld /	Milet/Milet?	3,3.B/ SiA Ia /	412.	TR-3K/273	K 92.126.5

Cluster 6, Gruppe B1		subgeometrisch			
Milesisches Feld / Cluster 6, Gruppe B1	Milet/Milet?	6,2.B (Sonderform) / SiA-MileA Ia	417.	TR-3K/284	Z 94.53.102 +127.120
Milesisches Feld / Cluster 6, Gruppe B1	Milet/Milet?	9,1.C/MileA IIa, Bilingue	423.	TR-3K/283	Z 94.7.186+ u.a.
Milesisches Feld / Cluster 6, Gruppe B1	Milet/Milet?	10,2.B/MileA IIb	450.	TR-3K/291	Z 94.64.28 +166.18
Milesisches Feld / Cluster 6, Gruppe B1	Milet/Milet?	5/8/10.B?/SiA Ic-d	510.	TR-3K/275	K 89.501.12 +91.34.5
Milesisches Feld / Cluster 6, Gruppe B1	Milet/Milet?	5/8/10?/SiA Ic-d	519.	TR-3K/281	Z 94.114. 128
Milesisches Feld / Cluster 6, Gruppe B1	Milet/Milet?	9.C/10.C?/MileA IIa, Bilingue	542.	TR-3K/276	K 90.725.2
Milesisches Feld / Cluster 6, Gruppe B1	Milet/Milet?	10.B?/MileA IIa-b	556.	TR-3K/285	Z 94.61.42+ 69.92
Milesisches Feld / Cluster 6, Gruppe B1	Milet/Milet?	9./10.C?/MileA II	567.	TR-3K/288	Z 94.67.10
Milesisches Feld / Cluster 7, Gruppe B2	Milet/Milet?	9,3.C Sonderform (miniaturistisch) / MileA II, Sondergruppe Ion. Kleinmeisterschale	600.	TR-3K/278	Z 94.45.22+ u.a.
Milesisches Feld / Cluster 7, Gruppe B2	Milet/Milet?	9,1-4.D? / Kalottenschale? / MileA II (Sondergruppe Ion.Kleinmeisterschale?)	609.	TR-3K/282	Z 94.64.32+ u.a.
Milesisches Feld / Cluster 7, Gruppe B2	Milet/Milet?	Attische Kleinmeisterschale(?)/Sf	617.	TR-3K/286	Z 94.7.95+ u.a.
Milesisches Feld / Cluster 7, Gruppe B2	Milet/Milet?	Attische Kleinmeisterschale(?)/Sf	618.	TR-3K/279	Z 94.7.103+ 112
Milesisches Feld / Cluster 5	Milet/Single ?	11,2.B/k	-	TR-3K/236	K 92.40.49
Single / Cluster 2, Hauptgruppe A	Single?/Milet?	11,5.B/k	362.	TR-3K/234	K 92.40.46
Außerhalb des Milesischen Feldes / Cluster 2, Hauptgruppe A	Single?/Milet	5,2.B	99.#	TR-3K/215#	K 92.410.2#
Außerhalb des Milesischen Feldes / Cluster 2, Hauptgruppe A	Single?/Milet	5,2.B/e	99.#	TR-3K/253#	K 92.410.2#
Single / Cluster 4, Pair	Single/Pair (255b; 228)	2,2.A/c	32.	TR-3K/255b	K 88.180.6
Single / Cluster 4, Pair	Single/Pair	10,9.C-D/m	303.	TR-3K/228	K 92.40.50

	(255b; 228)				
--	-------------	--	--	--	--

Abb. 120 Tab. 30. Katalog der im Bochumer Labor (Yalçın) beprobten Gefäße aus Milet.

Untersuchungen im Bochumer Labor (Yalçın), Aufschlüsselung nach Herkunftsgruppe.

Mit * und # sind Proben bezeichnet, die mehrfach aus demselben Gefäß entnommen wurden!

7.10 Aufschlüsselung der Proben aus dem Bochumer Labor (Yalçın) nach Klassifikation

Typus	Kat.-Nr.	Prob.-Nr.	Inv.-Nr.	Herkunftsgruppe (Yalçın)	Zuschreibung
1,2.A/B	8.	TR-3K/207	AT 55.17.1	Attisches Feld/Cluster 2, Hauptgruppe A	Athen?/Milet?
1,2.A/b(?)	-	TR-3K/239	K 89.109.2	Milesisches Feld/Cluster 2, Hauptgruppe A	Milet/Milet
1,2.A/b	28.	TR-3K/240b	K 90.424.4	Attisches Feld/Cluster 2, Hauptgruppe A	Athen?/Milet?
1,2.A/c	16.	TR-3K/240	K 92.51.3	Milesisches Feld/Cluster 2, Hauptgruppe A	Milet/Milet
2,1.B/b	31.	TR-3K/243	K 91.211.5	Milesisches Feld/Cluster 2, Hauptgruppe A	Milet/Milet
2,2.A/c	32.	TR-3K/255b	K 88.180.6	Single/Cluster 4, Pair	Single/Pair (255b; 228)
2,2.B/b	33.	TR-3K/244	K 92.655.1	Milesisches Feld/Cluster 2, Hauptgruppe A	Milet/Milet
2,2.B	36.	TR-3K/211	K 91.391.1	Milesisches Feld/Cluster 2, Hauptgruppe A	Milet/Milet
2,2.B/b(?)	37.	TR-3K/241	K 92.269.11	Milesisches Feld/Cluster 2, Hauptgruppe A	Milet/Milet
2,4.B/d	48.	TR-3K/248	K 93.165.10	Milesisches Feld/Cluster 2, Hauptgruppe A	Milet/Milet
3,2.B/c	62.	TR-3K/246	K 93.166.2	Milesisches Feld/Cluster 2, Hauptgruppe A	Milet/Milet
3,2.B/c–d	66.	TR-3K/247	K 92.61.4	Milesisches Feld/Cluster 2, Hauptgruppe A	Milet/Milet
3,3.B/c	71.	TR-3K/245	K 90.222.10	Milesisches Feld/Cluster 2, Hauptgruppe A	Milet/Milet
3,3.B/c	72.	TR-3K/249	K 93.110.8	Milesisches Feld/Cluster 2, Hauptgruppe A	Milet/Milet
3,3.B/c–d	70.	TR-3K/250	K 92.543.18	Milesisches Feld/Cluster 2,	Milet/Milet

				Hauptgruppe A	
4,1.B/d	74.	TR-3K/251b	K 92.490.33	Milesisches Feld/Cluster 2, Hauptgruppe A	Milet/Milet
4,3.B/d	78.	TR-3K/251	K 90.807.1	Milesisches Feld/Cluster 2, Hauptgruppe A	Milet/Milet
5,1.B/e	90.	TR-3K/255	K 92.37.6	Milesisches Feld/Cluster 2, Hauptgruppe A	Milet/Milet
5,1.B	93.*	TR-3K/212*	S 63.79.1	Milesisches Feld/Cluster 2, Hauptgruppe A	Milet/Milet
5,1.B	93.*	TR-3K/213*	S 63.79.2	Milesisches Feld/Cluster 2, Hauptgruppe A	Milet/Milet
5,1.B	93.*	TR-3K/214*	S 63.79.3	Milesisches Feld/Cluster 2, Hauptgruppe A	Milet/Milet
5,2.B/e	99.#	TR-3K/253#	K 92.410.2#	Außerhalb Milesisches Feld/Cluster 2, Hauptgruppe A	Single?/Milet
5,2.B	99.#	TR-3K/215#	K 92.410.2#	Außerhalb Milesisches Feld/ Cluster 2, Hauptgruppe A	Single?/Milet
5,3.B/e	104.	TR-3K/254	K 89.202.1	Milesisches Feld/Cluster 2, Hauptgruppe A	Milet/Milet
5,3.B/ea	105.	TR-3K/252	K 93.109.4	Milesisches Feld/Cluster 2, Hauptgruppe A	Milet/Milet
7,5.B/fa	149.	TR-3K/268	K 91.137.5	Milesisches Feld/Cluster 2, Hauptgruppe A	Milet/Milet
8,1.B/ay	153.	TR-3K/257	K 90.414.10	Milesisches Feld/Cluster 2, Hauptgruppe A	Milet/Milet
8,2.B/ay	166.	TR-3K/258	K 91.185.5	Milesisches Feld/Cluster 2, Hauptgruppe A	Milet/Milet
8,2,B/ay	-	TR-3K/219	K 92.143.17 + 18	Milesisches Feld/Cluster 2, Hauptgruppe A	Milet/Milet
8,1.B/a	150.	TR-3K/256	K 91.49.36	Milesisches Feld/Cluster 2, Hauptgruppe A	Milet/Milet
8.B/a	-	TR-3K/217	S 63.68.8	Milesisches Feld/Cluster 2, Hauptgruppe A	Milet/Milet
8.B/a	-	TR-3K/218	K 91.49.38	Milesisches Feld/Cluster 2, Hauptgruppe A	Milet/Milet
9,1.C/g	-	TR-3K/222	K 92.159.3	Milesisches Feld/Cluster 2, Hauptgruppe A	Milet/Milet
9,1.C/h	184.	TR-3K/262	Z 92.92.45	Milesisches Feld/Cluster 2,	Milet/Milet

				Hauptgruppe A	
9,2.C/i	188.	TR-3K/261	Z 92.88.20	Milesisches Feld/Cluster 2, Hauptgruppe A	Milet/Milet
9,2.D/h-i	-	TR-3K/220	S 63.17.1	Milesisches Feld/Cluster 2, Hauptgruppe A	Milet/Milet
9,2-3.C/i-j	216.	TR-3K/259	Z 91.58.2 + u.a.	Milesisches Feld/Cluster 2, Hauptgruppe A	Milet/Milet
9,2-3.C-D/i-j	217.	TR-3K/221	K 90.64.9	Milesisches Feld/Cluster 2, Hauptgruppe A	Milet/Milet
9,3.C/g	197.	TR-3K/260	Z 91.33.4	Milesisches Feld/Cluster 2, Hauptgruppe A	Milet/Milet
10,1.B/ay	224.	TR-3K/216	S 63.68.7	Milesisches Feld/Cluster 1	Milet/Athen?
10,1.B/ky	226.	TR-3K/226	K 92.18.3	Milesisches Feld/Cluster 2, Hauptgruppe A	Milet/Milet
10,1.B/ky	229.	TR-3K/263	K 91.49.27	Milesisches Feld/Cluster 2, Hauptgruppe A	Milet/Milet
10,1.B/ky	238.	TR-3K/265	K 90.646.2	Milesisches Feld/Cluster 2, Hauptgruppe A	Milet/Milet
10,1.B/k	233.	TR-3K/225	K 92.14.4	Milesisches Feld/Cluster 2, Hauptgruppe A	Milet/Milet
10,1.B/k	236.*	TR-3K/224*	K 91.420.2 + 3 + 10	Milesisches Feld/Cluster 2, Hauptgruppe A	Milet/Milet
10,1.B/k	236.*	TR-3K/266*	K 91.420.2 + 3 + 10	Milesisches Feld/Cluster 2, Hauptgruppe A	Milet/Milet
10,2.B/ay	-	TR-3K/223	S 63.91.2	Milesisches Feld/Cluster 2, Hauptgruppe A	Milet/Milet
10,2.B/ny	246.	TR-3K/264	Z 91.58.3	Milesisches Feld/Cluster 2, Hauptgruppe A	Milet/Milet
10,3/5.B/k	-	TR-3K/229	K 92.40.51	Milesisches Feld/Cluster 2, Hauptgruppe A	Milet/Milet
10,4.C/k	255.	TR-3K/267b	K 92.143.20	Milesisches Feld/Cluster 2, Hauptgruppe A	Milet/Milet
10,6.C/l	-	TR-3K/227	K 92.40.47	Milesisches Feld/Cluster 2, Hauptgruppe A	Milet/Milet
10,6.C/n	272.	TR-3K/267	K 89.36.1	Milesisches Feld/Cluster 2, Hauptgruppe A	Milet/Milet
10,9.C-D/m	303.	TR-3K/228	K 92.40.50	Single/Cluster 4, Pair	Single/Pair (255b; 228)
11,2.B/k	-	TR-3K/236	K 92.40.49	Milesisches Feld/Cluster 5	Milet/Single ?

11,4.B/k	-	TR-3K/231	S 63.91.5	Milesisches Feld/Cluster 2, Hauptgruppe A	Milet/Milet
11,4.B/l	-	TR-3K/230	S 63.14.5	Milesisches Feld/Cluster 2, Hauptgruppe A	Milet/Milet
11,4.B/n (Sonderform s. 345)	-	TR-3K/232	S 63.97.5	Milesisches Feld/Cluster 2, Hauptgruppe A	Milet/Milet
11,5.B/ky	-	TR-3K/233	K 90.225.3	Milesisches Feld/Cluster 2, Hauptgruppe A	Milet/Milet
11,5.B/k	362.	TR-3K/234	K 92.40.46	Single/Cluster 2, Hauptgruppe A	Single?/Milet?
11,3.B/ 'Graue Ware'	396.	TR-3K/270	K 92.465.3	Milesisches Feld/Cluster 2, Hauptgruppe A	Milet/Milet
11,4.B/ 'Graue Ware'	397.	TR-3K/269	K 92.871.2-4	Milesisches Feld/Cluster 2, Hauptgruppe A	Milet/Milet
12,2.B/ 'Graue Ware'	401.	TR-3K/271	K 92.430.12	Milesisches Feld/Cluster 2, Hauptgruppe A	Milet/Milet
13,2.B/n	-	TR-3K/235	K 92.40.48	Milesisches Feld/Cluster 2, Hauptgruppe A	Milet/Milet
9–10.C/SiA II/ 'Graue Ware'	403.	TR-3K/280	Z 94.75.55	Milesisches Feld/Cluster 6, Gruppe B1	Milet/Milet?
2,2.B/SiG spät- orientalisierend	406.	TR-3K/287	Z 94.2.4+ 233.45	Milesisches Feld/Cluster 6, Gruppe B1	Milet/Milet?
2,4.A/ SiG spät	408.	TR-3K/242	K 91.516.6	Milesisches Feld/Cluster 2, Hauptgruppe A	Milet/Milet
3,3.B/ SiA Ia / subgeometrisch	412.	TR-3K/273	K 92.126.5	Milesisches Feld/Cluster 6, Gruppe B1	Milet/Milet?
5/8/10.B?/SiA Ic–d	510.	TR-3K/275	K 89.501.12 +91.34.5	Milesisches Feld/Cluster 6, Gruppe B1	Milet/Milet?
5/8/10?/SiA Ic–d	519.	TR-3K/281	Z 94.114. 128	Milesisches Feld/Cluster 6, Gruppe B1	Milet/Milet?
6,2.B (Sonderform) / SiA-MileA Ia	417.	TR-3K/284	Z 94.53.102 +127.120	Milesisches Feld/Cluster 6, Gruppe B1	Milet/Milet?
9,1.C/MileA Ila, Bilingue	423.	TR-3K/283	Z 94.7.186+ u.a.	Milesisches Feld/Cluster 6, Gruppe B1	Milet/Milet?
9,3.C Sonderform (miniaturistisch) / MileA II, Sondergruppe Ion. Kleinmeisterschale	600.	TR-3K/278	Z 94.45.22+ u.a.	Milesisches Feld/Cluster 7, Gruppe B2	Milet/Milet?
9,1–4.D? / Kalottenschale? / MileA II (Sondergruppe	609.	TR-3K/282	Z 94.64.32+ u.a.	Milesisches Feld/Cluster 7, Gruppe B2	Milet/Milet?

Ion. Kleinmeisterschale?)					
9.C/10.C?/MileA IIa, Bilingue	542.	TR-3K/276	K 90.725.2	Milesisches Feld/Cluster 6, Gruppe B1	Milet/Milet?
9./10.C?/MileA II	567.	TR-3K/288	Z 94.67.10	Milesisches Feld/Cluster 6, Gruppe B1	Milet/Milet?
10,1.B/MileA I/II	428.	TR-3K/237	K 91.137.16	Milesisches Feld/Cluster 2, Hauptgruppe A	Milet/Milet
10,2.B/MileA IIb	450.	TR-3K/291	Z 94.64.28 +166.18	Milesisches Feld/Cluster 6, Gruppe B1	Milet/Milet?
10.B?/MileA IIa-b	556.	TR-3K/285	Z 94.61.42+ 69.92	Milesisches Feld/Cluster 6, Gruppe B1	Milet/Milet?
Attische Kleinmeisterschale(?)/Sf	617.	TR-3K/286	Z 94.7.95+ u.a.	Milesisches Feld/Cluster 7, Gruppe B2	Milet/Milet?
Attische Kleinmeisterschale(?)/Sf	618.	TR-3K/279	Z 94.7.103+ 112	Milesisches Feld/Cluster 7, Gruppe B2	Milet/Milet?

Abb. 121 Tab. 31. Katalog der im Bochumer Labor (Yalçın) beprobten Gefäße aus Milet.

Untersuchungen im Bochumer Labor (Yalçın), Aufschlüsselung nach Typus.

Mit * und # sind Proben bezeichnet, die mehrfach aus demselben Gefäß entnommen wurden!

7.11 ***Abgleich der parallel untersuchten Proben durch das Bonner Labor (Mommsen) und dem Bochumer Labor (Yalçın)***

Typus	Kat.-Nr.	Inv.-Nr.	Herkunft Mommsen	Herkunftsgr. Mommsen	Herkunft Yalçın	Herkunftsgr. Yalçın
1,2.A/ Attisch a	27	K 93.180.1	Attika	KroQ	–	–
1,2.B/ Attisch b	29	K 90.252.125	Attika	KroQ	–	–
1,2.A/ Attisch b	28	K 90.424.4	Attika	KroQ	Athen?/Milet?	Attisches Feld / Cluster 2, Hauptgruppe A
1,2.A/ Euböisch a	25	K 89.139.3	Euböa	EuA	–	–
1,2.A/c	16	K 92.51.3	Milet	D	Milet/Milet	Milesisches Feld / Cluster 2, Hauptgruppe A
2,1.B/b	31	K 91.211.5	vermutlich Milet	a (Mila)	Milet/Milet	Milesisches Feld / Cluster 2, Hauptgruppe A
2,2.B/b	34	K 93.552.1	Milet Kalabaktepe-Werkstätten	A	–	–

2,2.A/c	32	K 88.180.6	Milet	D	Single/Pair (255b; 228)	Single / Cluster 4, Pair
2,4.A/ SiG spät	408.	K 91.516.6	Milet	D	Milet/Milet	Milesisches Feld / Cluster 2, Hauptgruppe A
4,1.B/d	74.	K 92.490.33	Milet	D	Milet/Milet	Milesisches Feld / Cluster 2, Hauptgruppe A
4,3.B/d	78.	K 90.807.1	vermutlich Milet	DD-1	Milet/Milet	Milesisches Feld / Cluster 2, Hauptgruppe A
5,2.B/ea	97.	K 92.368.18	Samos	J	–	–
5,3.B/ea	101.	K 92.269.10	–	Single	–	–
5,3.B/e	104.	K 89.202.1	unlokalisiert	UI70-1	Milet/Milet	Milesisches Feld / Cluster 2, Hauptgruppe A
5,3.B/ea	105.	K 93.109.4	Samos	J	Milet/Milet	Milesisches Feld / Cluster 2, Hauptgruppe A
6,1.B/a	117.	K 92.50.1	Milet	D	–	–
8,1.B/a	150.	K 91.49.36	unlokalisiert	Ulo4	Milet/Milet	Milesisches Feld / Cluster 2, Hauptgruppe A
8,1.B/ay	153.	K 90.414.10	unlokalisiert	Ulo4	Milet/Milet	Milesisches Feld / Cluster 2, Hauptgruppe A
8,2.B/a	162.	K 90.828.10	unlokalisiert	Ulo4	–	–
9,1.C/ Lakonisch; Art des Naukratis- Malers	619.	Z 02.34.10	unlokalisiert, vermutlich Peloponnes	ACb2	–	–
9.C–D/ Lakonisch	App. XII.	Z 05.91.26	unlokalisiert, vermutlich Peloponnes	ACb2	–	–
9.C–D/ Lakonisch	App. VI.	Z 01.21.4	unlokalisiert	UI13	–	–
9,1.C/ MileA IIa, Bilingue	423.	Z 94.7.186+ u.a.	vermutlich Milet	DD-2	Milet/ Milet?	Milesisches Feld / Cluster 6, Gruppe B1
9,1.C/i	181.	K 89.156.1	unlokalisiert	UI70-1	–	–
9,2.C/i	188.	Z 92.88.20	unlokalisiert	UI70-2	Milet/Milet	Milesisches Feld / Cluster 2, Hauptgruppe A
9,2–3.C/i–j	216.	Z 91.58.2 + u.a.	unlokalisiert	UI70-1	Milet/Milet	Milesisches Feld / Cluster 2, Hauptgruppe A
9,3.C/j	200.	Z 91.10.3	unlokalisiert	UI70-3	–	–
9,4.C/ att.	615.	Z 03.11.14	Athen	KrPP	–	–

Randschale						
9,4.D/ att. Randschale	616.	Z 05.12.18	Athen	KrPP	–	–
10,1.B/ MileA I/II	428.	K 91.137.16	Milet	D	Milet/Milet	Milesisches Feld / Cluster 2, Hauptgruppe A
10,1.B (Sondform) / MileA IIa, Bilingue	440.	Z 01.15.3+ u.a.	Milet	DK Varia. v. D	–	–
10,1.C/ MileA IIa, Bilingue	439.	Z 92.120.3 + u.a.	Milet	DK Varia. v. D	–	–
10,3.B/1	247.	Z 05.131.41	Milet	DK Varia. v. D	–	–
10,3.B/ MileA Id	435.	K 91.280.16	Milet	DK Varia. v. D	–	–
10,4.C/k	255.	K 92.143.20	vermutlich Milet	DD-2	Milet/Milet	Milesisches Feld / Cluster 2, Hauptgruppe A
10,5.C/ny	262.	Z 05.131.40	vermutlich Milet	DD-1	–	–
10,9.D/ MileA II	465.	Z 05.42.13	vermutlich Milet	DD-3	–	–
11,3.B/ 'Graue Ware'	396.	K 92.465.3	Milet Kalabaktepe -Werkstätten	A	Milet/Milet	Milesisches Feld / Cluster 2, Hauptgruppe A
11,4.B/k	344.	K 90.649.5	–	Single	–	–
11,4.B (Sondform) /k	345.	K 92.806.1	Milet Kalabaktepe -Werkstätten	A	–	–
11,4.B/ 'Graue Ware'	397.	K 92.871.2-4	Milet	D	Milet/Milet	Milesisches Feld / Cluster 2, Hauptgruppe A
Schalenskyphos/ att. sf.	s. Kunisch	Z 04.117.47	Athen	KrPP	–	–

Abb. 122 Tab. 32. Abgleich der zweifach beprobten Gefäße im Bonner Labor (Mommsen) und im Bochumer Labor (Yalçın).

7.12 **Aufschlüsselung nach Probennummern Bonner Proben (Mommsen)**

Prob.-	Inv.-Nr.	Herkunfts-	Herkunft	Klassifizierung	Kat.-Nr.
--------	----------	------------	----------	-----------------	----------

Nr.		gruppe			
Mile 42	K 93.180.1	KroQ	Attika	1,2.A/ Attisch a	27
Mile 43	K 89.139.3	EuA	Euböa	1,2.A/ Euböisch a	25
Mile 44	K 90.252.125	KroQ	Attika	1,2.B/ Attisch b	29
Mile 45	K 90.424.4	KroQ	Attika	1,2.A/ Attisch b	28
Mile 46	K 92.51.3	D	Milet	1,2.Ac	16
Mile 47	K 91.516.6	D	Milet	2,4.A/ SiG spät	408
Mile 48	K 91.211.5	a (Mila)	vermutlich Milet	2,1.Bb	31
Mile 49	K 93.552.1	A	Milet Kalabaktepe- Werkstätten	2,2.Bb	34
Mile 50	K 88.180.6	D	Milet	2,2.Ac	32
Mile 51	K 91.137.16	D	Milet	10,2.B/ MileA I/II	428
Mile 52	K 92.490.33	D	Milet	4,1.Bd	74
Mile 53	K 90.807.1	DD-1	vermutlich Milet	4,3.Bd	78
Mile 54	K 93.109.4	J	Samos	5,3.Bea	105
Mile 55	K 92.269.10	Single	–	5,3.Bea	101
Mile 56	K 92.368.18	J	Samos	5,2.Bea	97
Mile 57	K 89.202.1	UI70-1	unlokalisiert	5,3.Be	104
Mile 58	K 92.50.1	D	Milet	6,1.Ba	117
Mile 59	K 91.49.36	Ulo4	unlokalisiert	8,1.Ba	150
Mile 60	K 90.828.10	Ulo4	unlokalisiert	8,2.Ba	162
Mile 61	K 90.414.10	Ulo4	unlokalisiert	8,1.Bay	153
Mile 62	K 89.156.1	UI70-1	unlokalisiert	9,1.Ci	181
Mile 63	Z 92.88.20	UI70-2	unlokalisiert	9,2.Ci	188
Mile 64	Z 91.58.2 + u.a.	UI70-1	unlokalisiert	9,2-3.Ci-j	216
Mile 65	Z 91.10.3	UI70-3	unlokalisiert	9,3.Cj	200
Mile 66	Z 05.12.18	KrPP	Athen	9,4.D (Attische Randschale)	616 (Kunisch Kat.- Nr. 435)
Mile 67	K 92.143.20	DD-2	vermutlich	10,5.Ck	255

			Milet		
Mile 68	Z 05.131.40	DD-1	vermutlich Milet	10,6.Cny	262
Mile 69	Z 05.131.41	DK Variation von D	Milet	10,3.B1	247
Milet 70	K 90.649.5	Single	–	11,4.Bk	344
Mile 71	K 92.806.1	A	Milet Kalabaktepe- Werkstätten	11,4.B (Sonderform)/k	345
Mile 72	K 92.871.3	D	Milet	11,4.B/ 'Graue Ware'	397
Mile 73	K 92.465.3	A	Milet Kalabaktepe- Werkstätten	11,3.B/ 'Graue Ware'	396
Mile 75	K 91.280.16	DK Variation von D	Milet	10,4.B/ SiA-MileA Id	435
Mile 77	Z 94.7.186 +u.a.	DD-2	vermutlich Milet	9,1.C/ MileA IIa, Bilingue	423
Mile 78	Z 92.120.3 + u.a.	DK Variation von D	Milet	10,1.C/ MileA IIa, Bilingue	439
Mile 79	Z 01.15.3 + u.a.	DK Variation von D	Milet	10,1.B (Sonderform)/ MileA IIa, Bilingue, »Aphrodite-Schale«	440
Mile 82	Z 05.42.13	DD-3	vermutlich Milet	10,11.D/ MileA II	465
Mile 84	Z 02.34.10	ACb2	unlokalisiert; vermutlich Peloponnes	9,1.C/ Lakonisch; Art des Naukratis- Malers	619
Mile 85	Z 03.11.14	KrPP	Athen	9,4.C att. Randschale/ AtheA II att. Nachahmung Ionischer Kleinmeister der Stilstufe MileA II	615 (Kunisch Kat.-Nr. 379)
Mile 86	Z 04.117.47	KrPP	Athen	Schalenskyphos, att. schwarzfigurig	(Kunisch Kat.-Nr. 847)
Mile 87	Z 05.91.26	ACb2	unlokalisiert; vermutlich Peloponnes	9.C-D/ Lakonisch	App. XII.
Mile 88	Z 01.21.4	UI13	unlokalisiert	9.C-D/ Lakonisch	App. VI.
Bochum 6	S 1002	KatA	Catania	9,1.C/ großgriechische Nachahmung der Stilstufe MileA II	620

Abb. 123 Tab. 33. Katalog der im Bonner Labor (Mommsen) beprobten Gefäße aus Milet.

Untersuchungen im Bonner Labor (Mommsen), Aufschlüsselung nach Inv.-Nr.

7.13 **Aufschlüsselung der Proben aus dem Bonner Labor (Mommsen) nach Kat.-Nr.**

Kat.-Nr.	Prob.-Nr.	Inv.-Nr.	Herkunftsgru. (Mommsen)	Zuschreibung	Klassifizierung
27	Mile 42	K 93.180.1	KroQ	Attika	1,2.A/ Attisch a
25	Mile 43	K 89.139.3	EuA	Euböa	1,2.A/ Euböisch a
29	Mile 44	K 90.252.125	KroQ	Attika	1,2.B/ Attisch b
28	Mile 45	K 90.424.4	KroQ	Attika	1,2.A/ Attisch b
16	Mile 46	K 92.51.3	D	Milet	1,2.Ac
408	Mile 47	K 91.516.6	D	Milet	2,4.A/ SiG spät
31	Mile 48	K 91.211.5	a (Mila)	vermutlich Milet	2,1.Bb
34	Mile 49	K 93.552.1	A	Milet Kalabaktepe-Werkstätten	2,2.Bb
32	Mile 50	K 88.180.6	D	Milet	2,2.Ac
428	Mile 51	K 91.137.16	D	Milet	10,2.B/ MileA I/II
74	Mile 52	K 92.490.33	D	Milet	4,1.Bd
78	Mile 53	K 90.807.1	DD-1	vermutlich Milet	4,3.Bd
105	Mile 54	K 93.109.4	J	Samos	5,3.Be _a
101	Mile 55	K 92.269.10	Single	–	5,3.Be _a
97	Mile 56	K 92.368.18	J	Samos	5,2.Be _a
104	Mile 57	K 89.202.1	UI70-1	unlokalisiert	5,3.Be
117	Mile 58	K 92.50.1	D	Milet	6,1.Ba
150	Mile 59	K 91.49.36	Ulo4	unlokalisiert	8,1.Ba
162	Mile 60	K 90.828.10	Ulo4	unlokalisiert	8,2.Ba
153	Mile 61	K 90.414.10	Ulo4	unlokalisiert	8,1.Bay
181	Mile 62	K 89.156.1	UI70-1	unlokalisiert	9,1.Ci
188	Mile 63	Z 92.88.20	UI70-2	unlokalisiert	9,2.Ci
216	Mile 64	Z 91.58.2 + u.a.	UI70-1	unlokalisiert	9,2-3.Ci-j

200	Mile 65	Z 91.10.3	UI70-3	unlokalisiert	9,3.Cj
616 (Kunisch Kat.-Nr. 435)	Mile 66	Z 05.12.18	KrPP	Athen	9,4.D (Attische Randschale)
255	Mile 67	K 92.143.20	DD-2	vermutlich Milet	10,5.Ck
262	Mile 68	Z 05.131.40	DD-1	vermutlich Milet	10,6.Cny
247	Mile 69	Z 05.131.41	DK Variation von D	Milet	10,3.B1
344	Milet 70	K 90.649.5	Single	–	11,4.Bk
345	Mile 71	K 92.806.1	A	Milet Kalabaktepe- Werkstätten	11,4.B (Sonderform)/k
397	Mile 72	K 92.871.3	D	Milet	11,4.B/ 'Graue Ware'
396	Mile 73	K 92.465.3	A	Milet Kalabaktepe- Werkstätten	11,3.B/ 'Graue Ware'
435	Mile 75	K 91.280.16	DK Variation von D	Milet	10,4.B/ SiA-MileA Id
423	Mile 77	Z 94.7.186 +u.a	DD-2	vermutlich Milet	9,1.C/ MileA IIa, Bilingue
439	Mile 78	Z 92.120.3 + u.a.	DK Variation von D	Milet	10,1.C/ MileA IIa, Bilingue
440	Mile 79	Z 01.15.3 + u.a.	DK Variation von D	Milet	10,1.B (Sonderform)/ MileA IIa, Bilingue, »Aphrodite-Schale«
465	Mile 82	Z 05.42.13	DD-3	vermutlich Milet	10,11.D/ MileA II
619	Mile 84	Z 02.34.10	ACb2	unlokalisiert; vermutlich Peloponnes	9,1.C/Lakonisch; Art des Naukratis- Malers
615 (Kunisch Kat.-Nr. 379)	Mile 85	Z 03.11.14	KrPP	Athen	9,4.C att. Randschale/ AtheA II att. Nachahmung Ionischer Kleinmeister der Stilstufe MileA II
(Kunisch Kat.-Nr. 847)	Mile 86	Z 04.117.47	KrPP	Athen	Schalenskyphos, att. schwarzfigurig
App. XIII.	Mile 87	Z 05.91.26	ACb2	unlokalisiert; vermutlich Peloponnes	9.C-D/ Lakonisch
App. VII.	Mile 88	Z 01.21.4	UI13	unlokalisiert	9.C-D/ Lakonisch
620	Bochum 6	S 1002	KatA	Catania	9,1.C/ großgriechische Nachahmung

					der Stilstufe MileA II
--	--	--	--	--	------------------------

Abb. 124 Tab. 34. Katalog der im Bonner Labor (Mommsen) beprobten Gefäße aus Milet.

7.14 *Aufschlüsselung der Proben aus dem Bonner Labor (Mommsen) nach Herkunftsgruppen*

Herkunftsgru. (Mommsen)	Zuschreibung	Klassifizierung	Kat.- Nr.	Prob.- Nr.	Inv.-Nr.
KroQ	Attika	1,2.A/ Attisch a	27	Mile 42	K 93.180.1
EuA	Euböa	1,2.A/ Euböisch a	25	Mile 43	K 89.139.3
KroQ	Attika	1,2.B/ Attisch b	29	Mile 44	K 90.252.125
KroQ	Attika	1,2.A/ Attisch b	28	Mile 45	K 90.424.4
D	Milet	1,2.Ac	16	Mile 46	K 92.51.3
D	Milet	2,4.A/ SiG spät	408	Mile 47	K 91.516.6
a (Mila)	vermutlich Milet	2,1.Bb	31	Mile 48	K 91.211.5
A	Milet Kalabaktepe-Werkstätten	2,2.Bb	34	Mile 49	K 93.552.1
D	Milet	2,2.Ac	32	Mile 50	K 88.180.6
D	Milet	10,2.B/ MileA I/II	428	Mile 51	K 91.137.16
D	Milet	4,1.Bd	74	Mile 52	K 92.490.33
DD-1	vermutlich Milet	4,3.Bd	78	Mile 53	K 90.807.1
J	Samos	5,3.Be α	105	Mile 54	K 93.109.4
Single	–	5,3.Be α	101	Mile 55	K 92.269.10
J	Samos	5,2.Be α	97	Mile 56	K 92.368.18
UI70-1	unlokalisiert	5,3.Be	104	Mile 57	K 89.202.1
D	Milet	6,1.Ba	117	Mile 58	K 92.50.1
Ulo4	unlokalisiert	8,1.Ba	150	Mile 59	K 91.49.36
Ulo4	unlokalisiert	8,2.Ba	162	Mile 60	K 90.828.10
Ulo4	unlokalisiert	8,1.Ba γ	153	Mile 61	K 90.414.10
UI70-1	unlokalisiert	9,1.Ci	181	Mile 62	K 89.156.1
UI70-2	unlokalisiert	9,2.Ci	188	Mile 63	Z 92.88.20

UI70-1	unlokalisiert	9,2-3.Ci-j	216	Mile 64	Z 91.58.2 + u.a.
UI70-3	unlokalisiert	9,3.Cj	200	Mile 65	Z 91.10.3
KrPP	Athen	9,4.D (Attische Randschale)	616 (Kunisch Kat.-Nr. 435)	Mile 66	Z 05.12.18
DD-2	vermutlich Milet	10,5.Ck	255	Mile 67	K 92.143.20
DD-1	vermutlich Milet	10,6.Cny	262	Mile 68	Z 05.131.40
DK Variation von D	Milet	10,3.Bl	247	Mile 69	Z 05.131.41
Single	–	11,4.Bk	344	Milet 70	K 90.649.5
A	Milet Kalabaktepe-Werkstätten	11,4.B (Sonderform)/k	345	Mile 71	K 92.806.1
D	Milet	11,4.B/ 'Graue Ware'	397	Mile 72	K 92.871.3
A	Milet Kalabaktepe-Werkstätten	11,3.B/ 'Graue Ware'	396	Mile 73	K 92.465.3
DK Variation von D	Milet	10,4.B/ SiA-MileA Id	435	Mile 75	K 91.280.16
DD-2	vermutlich Milet	9,1.C/ MileA Iia, Bilingue	423	Mile 77	Z 94.7.186 +u.a
DK Variation von D	Milet	10,1.C/ MileA Iia, Bilingue	439	Mile 78	Z 92.120.3 + u.a.
DK Variation von D	Milet	10,1.B (Sonderform)/ MileA Iia, Bilingue, »Aphrodite-Schale«	440	Mile 79	Z 01.15.3 + u.a.
DD-3	vermutlich Milet	10,11.D/ MileA II	465	Mile 82	Z 05.42.13
ACb2	unlokalisiert; vermutlich Peloponnes	9,1.C/Lakonisch; Art des Naukratis-Malers	619	Mile 84	Z 02.34.10
KrPP	Athen	9,4.C att. Randschale/ AtheA II att. Nachahmung Ionischer Kleinmeister der Stilstufe MileA II	615 (Kunisch Kat.-Nr. 379)	Mile 85	Z 03.11.14
KrPP	Athen	Schalenskyphos, att. schwarzfigurig	(Kunisch Kat.-Nr. 847)	Mile 86	Z 04.117.47
ACb2	unlokalisiert; vermutlich Peloponnes	9.C-D/ Lakonisch	App. XIII.	Mile 87	Z 05.91.26
UI13	unlokalisiert	9.C-D/ Lakonisch	App. VII.	Mile 88	Z 01.21.4

KatA	Catania	9,1.C/ großgriechische Nachahmung der Stilstufe MileA II	620	Bochum 6	S 1002
-------------	---------	----------------------------------------------------------	------------	-------------	--------

Abb. 125 Tab. 35. Katalog der im Bonner Labor (Mommsen) beprobten Gefäße aus Milet.

7.15 *Aufschlüsselung der Proben aus dem Bonner Labor (Mommsen) nach Klassifikation*

Klassifizierung	Kat.-Nr.	Prob.-Nr.	Inv.-Nr.	Herkunftsgru. (Mommsen)	Zuschreibung
1,2.A/ Attisch a	27	Mile 42	K 93.180.1	KroQ	Attika
1,2.A/ Euböisch a	25	Mile 43	K 89.139.3	EuA	Euböa
1,2.B/ Attisch b	29	Mile 44	K 90.252.125	KroQ	Attika
1,2.A/ Attisch b	28	Mile 45	K 90.424.4	KroQ	Attika
1,2.Ac	16	Mile 46	K 92.51.3	D	Milet
2,4.A/ SiG spät	408	Mile 47	K 91.516.6	D	Milet
2,1.Bb	31	Mile 48	K 91.211.5	a (Mila)	vermutlich Milet
2,2.Bb	34	Mile 49	K 93.552.1	A	Milet Kalabaktepe- Werkstätten
2,2.Ac	32	Mile 50	K 88.180.6	D	Milet
10,2.B/ MileA I/II	428	Mile 51	K 91.137.16	D	Milet
4,1.Bd	74	Mile 52	K 92.490.33	D	Milet
4,3.Bd	78	Mile 53	K 90.807.1	DD-1	vermutlich Milet
5,3.Bea	105	Mile 54	K 93.109.4	J	Samos
5,3.Bea	101	Mile 55	K 92.269.10	Single	–
5,2.Bea	97	Mile 56	K 92.368.18	J	Samos
5,3.Be	104	Mile 57	K 89.202.1	UI70-1	unlokalisiert
6,1.Ba	117	Mile 58	K 92.50.1	D	Milet
8,1.Ba	150	Mile 59	K 91.49.36	Ulo4	unlokalisiert
8,2.Ba	162	Mile 60	K 90.828.10	Ulo4	unlokalisiert

8,1.Bay	153	Mile 61	K 90.414.10	Ulo4	unlokalisiert
9,1.Ci	181	Mile 62	K 89.156.1	UI70-1	unlokalisiert
9,2.Ci	188	Mile 63	Z 92.88.20	UI70-2	unlokalisiert
9,2-3.Ci-j	216	Mile 64	Z 91.58.2 + u.a.	UI70-1	unlokalisiert
9,3.Cj	200	Mile 65	Z 91.10.3	UI70-3	unlokalisiert
9,4.D (Attische Randschale)	616 (Kunisch Kat.-Nr. 435)	Mile 66	Z 05.12.18	KrPP	Athen
10,5.Ck	255	Mile 67	K 92.143.20	DD-2	vermutlich Milet
10,6.Cny	262	Mile 68	Z 05.131.40	DD-1	vermutlich Milet
10,3.Bl	247	Mile 69	Z 05.131.41	DK Variation von D	Milet
11,4.Bk	344	Milet 70	K 90.649.5	Single	–
11,4.B (Sonderform)/k	345	Mile 71	K 92.806.1	A	Milet Kalabaktepe- Werkstätten
11,4.B/ 'Graue Ware'	397	Mile 72	K 92.871.3	D	Milet
11,3.B/ 'Graue Ware'	396	Mile 73	K 92.465.3	A	Milet Kalabaktepe- Werkstätten
10,4.B/ SiA-MileA Id	435	Mile 75	K 91.280.16	DK Variation von D	Milet
9,1.C/ MileA Ila, Bilingue	423	Mile 77	Z 94.7.186 +u.a	DD-2	vermutlich Milet
10,1.C/ MileA Ila, Bilingue	439	Mile 78	Z 92.120.3 + u.a.	DK Variation von D	Milet
10,1.B (Sonderform)/ MileA Ila, Bilingue, »Aphrodite-Schale«	440	Mile 79	Z 01.15.3 + u.a.	DK Variation von D	Milet
10,11.D/ MileA II	465	Mile 82	Z 05.42.13	DD-3	vermutlich Milet
9,1.C/Lakonisch; Art des Naukratis-Malers	619	Mile 84	Z 02.34.10	ACb2	unlokalisiert; vermutlich Peloponnes
9,4.C att. Randschale/ AtheA II att. Nachahmung Ionischer Kleinmeister der Stilstufe MileA II	615 (Kunisch Kat.-Nr. 379)	Mile 85	Z 03.11.14	KrPP	Athen

Schalenskyphos, att. schwarzfigurig	(Kunisch Kat.-Nr. 847)	Mile 86	Z 04.117.47	KrPP	Athen
9.C-D/ Lakonisch	App. XIII.	Mile 87	Z 05.91.26	ACb2	unlokalisiert; vermutlich Peloponnes
9.C-D/ Lakonisch	App. VII.	Mile 88	Z 01.21.4	UI13	unlokalisiert
9,1.C/ großgriechische Nachahmung der Stilstufe MileA II	620	Bochum 6	S 1002	KatA	Catania

Abb. 126 Tab. 36. Katalog der im Bonner Labor (Mommsen) beprobten Gefäße aus Milet.

8 Schlussbetrachtung

In der vorliegenden Arbeit wurde eine der Leitgattungen archaischer ostgriechischer Keramik, die südionische Knickrandschale (KRS) und ihr Vorläufer, der Knickrandskyphoi (KRSk), untersucht. Neben den Funden aus Milet, welche die Grundlage dieser Untersuchung bilden, sind auch die KRS aus Samos, dem zweiten bisher bekannten archaischen Keramikzentrum Südioniens, behandelt worden¹³⁹⁰. Auf dieser Grundlage ist eine Gattungsmonographie entstanden, die die Entwicklung der KRS von den Vorläufern aus mittelgeometrischer Zeit bis zum Ende der archaischen Epoche darstellt. Im Mittelpunkt der Betrachtung standen die Entwicklung eines neuen Klassifizierungsmodells, die relative und 'absolute' Chronologie der KRS, ein Überblick zur neu klassifizierten südionisch/milesischen Vasenmalerei auf den KRS sowie archäometrische Untersuchungen zur Herkunftsbestimmung der Gefäße.

Die bestehenden Periodisierungsmodelle für KRS (vgl. Kap. 3 *Forschungsgeschichte*) haben sich in den letzten Jahren als nicht mehr ausreichend erwiesen, um die Vielzahl neuer Erkenntnisse widerspruchsfrei einzuordnen. Es bestand daher die Notwendigkeit, die vermehrten Ergebnisse zur naturwissenschaftlichen Provenienzbestimmung der Keramik und neue Grabungsergebnisse in ein neues und 'flexibles' Modell zur Klassifizierung zu integrieren. Auch galt es, den wirkungsmächtigen bestehenden Klassifizierungsmodellen und ihren teils überholten, ja inzwischen teils widerlegten Ergebnissen mit einer neuen Terminologie entgegenzutreten, da bisher verwendete Begriffe wie 'Ionische Schale' nicht nur die überholten Vorstellungen zur Gattung weitertransportieren, sondern auch eine weit verbreitete Schalengattung fälschlicherweise auf die Region 'Ostionien' einschränkt. Zudem wurden die neue Terminologie und Klassifizierung zur Ostgriechischen Keramik, wie sie vom Verfasser und M. Kerschner ausgearbeitet worden sind, konsequent zur Anwendung gebracht¹³⁹¹.

Für die chronologische Analyse der KRS war eine Neuordnung des mit den neuen milesischen Grabungen um ein Vielfaches angewachsenen Materials notwendig geworden. Dabei sind zunächst die älteren Klassifizierungsmodelle zur Gattung hinsichtlich ihrer Stärken und Schwächen beleuchtet und in Beziehung zu dem neu entwickelten Modell gesetzt worden. Es muß dabei herausgestrichen werden, daß das neue Klassifizierungsmodell von den früheren Versuchen maßgeblich profitiert hat und insgesamt auf diesen aufbaut. Es zeigte sich aber auch, daß bisher noch keine Studie zu den südionischen KRS vorgelegt wurde, die das in Milet angetroffene Typenspektrum auch nur annähernd erfaßte. Das nun vorgelegte Klassifizierungsmodell umfaßt 13 Typen und ihre Varianten. Diese sind eingehend in Kap. 4 *Die Klassifizierung der Knickrandskyphoi und -schalen in Südionien: Eine*

¹³⁹⁰ In letzter Zeit ist ein weiterer Fundplatz in dieser Region hinzugekommen – das östlich von Milet liegende Assesos. Doch konnte hier während einer Grabungskampagne erst ein kleiner, wenn sicher auch interessanter, Ausschnitt an archaischer Keramik geborgen werden. Darunter befinden sich auch südionische Knickrandschalen, die einem Teil der für Milet und Samos charakteristischen Typen entsprechen, und auch solche mit südionischer/ milesischer Gefäßmalerei; s. Kalaitzoglou 2008, bes. 67 ff. Taf. 5 ff.

¹³⁹¹ Kerschner – Schlotzhauer 2005; Kerschner – Schlotzhauer 2007.

Typologie erläutert und mit Beispielen in Katalog und Tafelband anschaulich gemacht worden. Dabei wurde bereits auf ihre relativchronologische Reihe und auch auf ihre Bedeutung hinsichtlich ihrer Fundhäufigkeit eingegangen.

Einer der Schwerpunkte der vorliegenden Studie lag auf der relativen und 'absoluten' Datierung der südionischen KRS und ihrer Vorläufer den KRSSk in den Kap. 5 *Überblick und Aussagen über die Gattung im Kontext der Siedlungsphasen am Kalabaktepe-Süd* und Kap. 6 *Die Datierung der südionischen Knickrandschalen und ihrer Vorläufer*. Zunächst wurde eingehend die Grundlage der auf den neuen milesischen Grabungen in Milet erstellten Stratigraphie vorgestellt¹³⁹². Am Kalabaktepe-Süd wurden sechs archaische Siedlungsphasen mit Unterphasen sowie eine temporäre Nutzung des Geländes vor der Errichtung der ersten Häuser – die sog. Vorsiedlungsphase – angetroffen. Die 'Vorsiedlungsphase' stellte lediglich einen *terminus ante quem* für die Funde vor der Siedlungsphase 1 bereit. Die in den verschiedenen Fundlagen der Böden, Siedlungshorizonte und Aufschüttungsschichten angetroffenen KRSSk und KRS – meist Fragmente – wurden mit zahlreichen Beispielen belegt und eingehend diskutiert. So stellt die Stratigraphie am Kalabaktepe-Süd für die Entwicklung und Chronologie der KRS und ihrer Vorläufer ein erstes und wichtiges Kontrollinstrument über die gesamte archaische Epoche hinweg dar. Sie bot der aus älteren Klassifizierungen und stilistischen Überlegungen gewonnenen Ordnung der Gattung ein erstes 'Korsett', in dem die zeitliche Stellung und Abfolge der Typen und Varianten der KRSSk und KRS zueinander in Beziehung gesetzt werden konnte. Die Siedlung am Südhang des Kalabaktepe, für die eine kontinuierliche Besiedlung mit größeren Bau- und kleineren Umbauphasen bis an das Ende der Archaik sowie einer kurzen Wiederbesiedlungsphase kurz nach 494 v. Chr. kennzeichnend ist, bietet allerdings keine Grundlagen für eine Chronologie der geometrischen KRSSk sowie der frühesten KRS. Des Weiteren wurden chronologische Informationen aus den älteren Grabungen in Milet und einzelnen aussagekräftigen Fundlagen im extraurbanen milesischen Heiligtum der Aphrodite von Oikus auf dem nahen Zeytintepe berücksichtigt. Neben der chronologischen Evidenz wurden auch siedlungsgeschichtliche und funktionelle Aspekte beleuchtet. Entscheidend für die Datierung der Typen war die statistische Auswertung der 2101 Randfragmente und der wenigen vollständigen Gefäße der Gattung, die für jede Siedlungsphase vorgenommen wurde. 48 % der untersuchten Randfragmente waren in signifikante Fundlagen der ungestörten Siedlungsphasen eingebunden. Dabei zeigte sich unter anderem, daß das Verhältnis des Typenspektrums der Gesamtmenge, einschließlich der 52 % durch spätere Störungen umgelagerten Randfragmente, zur Menge der *in situ* befindlichen 48 % nahezu identisch ausfiel. Daraus konnte geschlossen werden, daß die am Ort angetroffenen Schuttmengen nur aus der hier befindlichen Siedlung stammten und es sich nicht – wie es für den

¹³⁹² Die Stratigraphie selbst wurde von R. Senff (Athen) erstellt, der diese in einer monographischen Form vorlegte, R. Senff, Milet. Die archaische Stadt. Die Ausgrabungen in den Wohngebieten und den städtischen Heiligtümern 1899–2001. Baugeschichte und Stratigraphie (unpublizierte Habilitationsschrift, Ruhr-Universität Bochum, 2002); die Ergebnisse zu allen Befunden wird aber in Kürze im Internet zur Verfügung gestellt werden.

Gipfel und die Ostterrasse des gleichen Hügels nachgewiesen wurde – um Schuttmengen aus anderen Gebieten der Stadt handelte, die nach der Perserzerstörung hier deponiert wurden.

Als Ergebnis bleibt zudem festzuhalten, daß das als 'Verteilungsdichte' bezeichnete Verhältnis der Fundmenge zum Befund die Lebensgewohnheiten der Bewohner und die Siedlungsdichte widerspiegeln. Dagegen zeigt sich aber überraschenderweise, daß sie keine Reaktion auf das Wirken des in der Wohnsiedlung integrierten Töpferhandwerkes aufzeigte. Daraus konnte die Erkenntnis abgeleitet werden, daß die Töpferwerkstätten ihr anfallendes Bruch- und Abfallmaterial in einem von unserer Grabung nicht berührten Gebiet ablagerten.

Zu den KRS selbst ergaben die empirischen Untersuchungen neben den Laufzeiten der einzelnen Typen auch ein interessantes Gesamtbild zu den Siedlungsphasen der archaischen Zeit. Hierbei sind folgende Feststellungen hervorzuheben: Für die **Vorsiedlungsphase 0** (bis ca. 670 v. Chr.) gilt, daß einerseits die geringe Streuung der Funde und andererseits ihre große zeitliche Differenz von mittelgeometrischer bis früharchaischer Zeit dem Charakter der folgenden Siedlungsphasen konträr gegenüberstehen. Die hier angetroffenen Funde sind deshalb als 'sporadische Funde' bezeichnet worden, die auf einem offenen Gelände in der Nähe einer Siedlung und/ oder eines Heiligtums anfielen. Mit der **Phase 1** (ca. 670–640 v. Chr.) konnte erstmals auf verlässlich breiter statistischer Basis ein für die früharchaische Zeit überraschender Befund angetroffen werden, denn das Gesamtbild der Phase zeigte ein geometrisches Gepräge, in dem 49 % der Formen und 66 % der Dekore einen geometrischen oder subgeometrischen Charakter für die Stufe SiA I aufwiesen. Daß daneben aber bereits ein großer Anteil an früharchaischen Formen und Dekoren sowie Vasenmalerei der Stilstufe SiA Ib festgestellt werden konnte, verdeutlicht das Nebeneinander von älteren und neueren Entwicklungen, die sich für die folgenden Siedlungsphasen während der gesamten archaischen Epoche bestätigte. Diese subgeometrische Strömung ließ sich bis in die **Phase 2** (640–610 v. Chr.) weiterverfolgen. Doch trat sie hier merklich hinter die früharchaischen Typen 4 bis 8 zurück. Ein weiteres Charakteristikum der archaischen Keramik konnte im Gesamtbild der Gattung für die Phasen 1 und 2 festgestellt werden – nämlich eine Typenvielfalt, die in der Phase 2 ihren Höhepunkt hatte. Denn in dieser Phase ist eine Vielzahl von Formgruppen und Dekorvarianten in etwa gleichem Mengenverhältnis zueinander anzutreffen. Mit der **Phase 3** (610–580 v. Chr.) vollzog sich im Bild der KRS – sicher einen grundsätzlicheren Charakter im milesischen Keramikbild widerspiegelnd – ein Paradigmenwechsel, der den Trend zur Vereinheitlichung der Gattung zu wenigen Formgruppen und Dekorationsvarianten einleitete. Gegen Ende der Siedlungsphase 2 und mit Beginn der Phase 3 am Kalabaktepe in Milet begann ein Umbruch, mit dem erstmals in größerem Umfang die Typen 10 und 11, die in der Folgezeit das Bild der Gattung beherrschten, zu verbinden sind. Übrigens fällt – vermutlich nicht zufällig – in diese Phase auch der Wechsel von der frühen Gefäßmalerei, dem sog. südionischen/ milesischen Tierfriesstil, zum Spätstil, dem sog. Fikellurastil. Die früharchaischen Typen traten nun vollständig zurück und werden wohl namentlich vor allem noch zu Beginn der Phase 3 spürbar gewesen sein, bevor sie im Verlaufe der Siedlungsphase 3 gänzlich verschwanden.

Denn ihr Anteil von 33 % in der Phase 3 läßt auf eine noch spürbare Produktion der tradierten Formen schließen – womit natürlich die späten Varianten in ihren späten Entwicklungsstufen gemeint sind –, neben die dann aber im Verlaufe der Siedlungsphase 3 die neuentwickelten Produkte treten. Mit der **Phase 4** (580–550 v. Chr.) nahmen die Typen 10 und 11 dann bereits einen Anteil von 70 % der Gattung ein. Sie verkörperten von nun an das Bild dieser Schallengattung bis an das Ende der archaischen Siedlung in Milet, die mit der Zerstörung der Stadt durch die Perser im Jahre 494 v. Chr. endete. Über die temporäre Nachbesiedlung ließ sich dann aber keine Aussage über die KRS mehr treffen. Sie wurden dort zwar angetroffen, fand sich aber in Schuttschichten und mit vielen älteren Typen vermischt. Daneben ist in der Phase 4 dann auch erstmals der Typus 9 zu fassen gewesen, womit die späteste Entwicklung eines neuen Typus bezeichnet ist, der sich aber eindeutig aus dem älteren Typus 5 heraus entwickelt hatte und für den der zeitliche Übergang dadurch relativ exakt festgelegt werden konnte. In der **Phase 5** (550–520 v. Chr.) steigerte sich der Anteil der spätesten Typen 9, 10 und 11 auf 84 % der Randfragmente dieser Gattung, die auch für die **Phase 6** (520–449 v. Chr.) ähnlich bestimmend bleiben. Interessant ist noch der Aspekt, daß sich in Phase 6 die Häufigkeit des zuvor quantitativ stets öfter auftretenden Typus 10 nun zu Gunsten des Typus 11 verschiebt. Ob sich daraus für das Ende des 6. Jhs. v. Chr. eine Tendenz zur Abkehr der Vorliebe von feineren, kleineren KRS zu größeren, gröberen ableiten läßt, muß aber erst noch durch die Auswertung anderer keramischer Gattungen im gleichen Kontext bestätigt werden, bevor es als allgemeine Tendenz anerkannt werden kann. Aus dem zuvor Gesagten ist für die Gattung – und sicher auch für die übrige Produktion einfach dekorierte Ware – in Milet auf eine 'Erstarrung' der Formenwicklung und eine gewisse 'Formenarmut' im 6. Jh. v. Chr. zu schließen.

Ob dieser Paradigmenwechsel oder klare Bruch in der Produktionsweise der milesischen KRS, die sicher als *pars pro toto* für die milesische Keramikproduktion allgemein angesehen werden kann, durch interne oder externe Veränderungen angestoßen oder ausgelöst wurde, läßt sich nicht eindeutig beantworten. Auffallend ist allerdings, daß die festgestellte Veränderung mit der Ausweitung der milesischen Kolonisationstätigkeit, bzw. Handelstätigkeit in etwa zeitlich korreliert¹³⁹³. Um 620/10 v. Chr. beteiligten sich Milesier in Ägypten am Aufbau des dortigen Emporions Naukratis¹³⁹⁴. Auch in der Levante, namentlich in Ashkelon und anderen Orten, sind milesische Importe zwischen 630/20 und 604 v. Chr. zahlreich. Und eben in diesem Zeitraum, der den verstärkten Export aus Milet exemplarisch belegt und durch die Zerstörung Ashkelons plötzlich unterbrochen wurde, fiel der Umbruch, der sich an den Importen in Ashkelon mit den frühesten Typen 10 und 11 sowie dem frühen Fikellurastil der Stilphase MileA IIa ablesen läßt¹³⁹⁵. Ebenfalls etwa in diesem Zeitrahmen erfolgte der Schritt über den Hellespont hinaus, wo Milet bereits seit der Mitte des 7. Jhs. v. Chr. Tochttersiedlungen betrieb, in das westliche und nördliche Schwarze Meer. Allerdings ist vor

¹³⁹³ Zur zeitlichen Abfolge der milesischen Kolonisation s. etwa Ehrhardt 1988.

¹³⁹⁴ Vgl. hier Schlotzhauer 2012, bes. 25 ff.

¹³⁹⁵ Vgl. hier Kap. 6.

Monokausalität zu warnen. Denn wie in Kap. 7 *Zur Herkunft der südionischen Knickrandschalen: Archäometrischer Exkurs* dargelegt, stellt auch der Zugang zu neuen Rohstoffquellen eine mögliche Ursache für Veränderungen in der Keramikproduktion dar. Dies könnte ein Hinweis auf neue regionalpolitische und -wirtschaftliche Rahmenbedingungen sein. Ebenfalls erwägare gesellschaftspolitische Veränderungen betrifft lassen sich zur Zeit nicht konkreter fassen. Überhaupt ist es nicht einfach, gesellschaftliche Veränderungen auf äußere Veränderungen – oder umgekehrt gesellschaftliche Veränderungen als Grund für äußere Veränderungen – namhaft zu machen. Die Hinweise auf verstärkte Migration, die sich in der intensivierten sog. Kolonisationstätigkeit am Ende des 7. Jhs. v. Chr. spiegelt, und stärkere, regelmäßige Handelsbeziehungen, die sich am gleichen Phänomen durch den Nachweis in die Tochterstädte und andere Emporien exportierter Keramik darstellt, deuten ihrerseits aber auf gesellschaftliche Veränderungen. Die Folgen der Auswanderung und die damit einhergehenden verschiedenartigen Erfahrungen in anderen Hochkulturen (wie etwa in Ägypten) oder auch in weniger entwickelten Gegenden (wie den Nordküsten des Schwarzen Meeres) sowie der anzunehmende soziale und finanzielle Aufstieg spezialisierter Gruppen wie der Händler und Eigner oder Miteigner von Schiffsflotten waren sicher auch gesellschaftlich zu spüren. Andererseits reiht sich die in Milet feststellbare Veränderung ein in einen allgemeinen Umschwung, der Griechenland am Ende des 7. Jhs. v. Chr. erfaßt hatte. Denn auch in der korinthischen Keramik kam es um 630/20 v. Chr. zu einem bedeutenden Wandel, der auch andere Keramikzentren wie Athen gleichzeitig oder nur wenig zeitlich versetzt ergriff. Sicher sind auch für die übrigen ostgriechischen Keramikzentren ähnliche Veränderungen wie in Milet anzunehmen. Dafür kann beispielsweise der Wandel in den nordionischen Keramikzentren angeführt werden, der sich in den auch hier festzustellenden Bilinguen zeigt. Denn die alten traditionellen Tierfriese im nordionischen Malstil der Stufe NiA I wurden mit eben den korinthisierenden schwarzfigurigen Friesen des frühkorinthisierenden Stils kombiniert¹³⁹⁶. Hier ist also mit einer parallelen Entwicklung zu den milesischen Bilinguen und damit für den Übergang von den Stilstufe A I zur Stilstufe A II zu rechnen.

Zusammenfassend kann nach den Untersuchungen zu den südionischen KRS und ihren Vorgängern, den KRSk, demnach Folgendes für die milesische Keramikproduktion formuliert werden: Das Typenspektrum war während der Phase SiA I bei geringerer Produktionsmenge vielfältig und während der Phase SiA II bei vielfach gesteigerter Produktivität vergleichsweise einheitlich. Damit ist erstmals empirisch die Vermutung von Furtwängler¹³⁹⁷ betätigt worden, daß die Werkstätten des 6. Jhs. v. Chr. zur Formvereinheitlichung neigten. Darüber hinaus läßt sich aus der Verringerung des Typenspektrums bei gleichzeitiger, in einer Formvereinheitlichung mündenden Zunahme der Gesamtproduktion die These aufstellen, daß am Anfang mehrere konkurrierende, vielleicht familiär

¹³⁹⁶ Vgl. nur Cook 1998, 51 ff. mit Abb. 8.17. 19–20, der dies im Wesentlichen auch schon erkannt hatte und Abb. 8.17 richtig an das Ende des 7. Jhs. v. Chr. datierte, dann aber die weiteren Beispiele als Entwicklung bis 570/60 v. Chr. dehnte.

¹³⁹⁷ Furtwängler 1980, 164; Samos 3, 81.

geführte Töpfereien standen. Im Zuge der beschriebenen Entwicklung gab es zum Ende der Epoche dann nur noch wenige hoch spezialisierte, 'industriell' arbeitende Töpfereien. Diese Interpretation des Befundes gestattet einen bisher seltenen Einblick in die Organisationsform eines archaischen Töpfereizentrums in Ostgriechenland. Sind die Schlußfolgerungen richtig, zeichnen sich damit schemenhaft wirtschaftsgeschichtliche Prozesse ab, die innerhalb einer so frühen historischen Epoche auf eine Konkurrenzsituation unter den örtlichen Töpferwerkstätten deuten. Am Ende dieses Prozesses, spätestens in der zweiten Hälfte des 6. Jhs. v. Chr., steht dann ein völlig verändertes Bild mit Synergieeffekten durch die Verlagerung und Konzentration der Produktion in wenige, aber hoch spezialisierte und leistungsstarke Töpfereien. Eine indirekte Bestätigung erfährt diese These durch ein bei den neuen Grabungen aufgedecktes Töpferviertel, das seit dem zweiten Viertel des 7. Jhs. v. Chr. nachweislich mit mehreren Öfen unterschiedlich langer Nutzungszeit in der 'Südstadt' am heutigen Kalabaktepe-Süd Keramik produzierte. Dieses Töpferzentrum wurde nachweislich zum Ende des ersten Viertels des 6. Jhs. v. Chr. aufgegeben. Hinzu treten die naturwissenschaftlichen Untersuchungen, die Veränderungen in der Tonzusammensetzung feststellen konnten, womit ein Ausgreifen auf Tonlagerstätten angezeigt ist, die zum Teil weit außerhalb der Stadt lagen. Vielleicht deuten diese Hinweise auch auf eine Verlagerung der Töpferöfen in die Chora von Milet, indem sich die Töpferwerkstätten nach den Rohstoffquellen richteten. Schließlich sei in diesem Zusammenhang nochmals die am Kalabaktepe-Süd vorgefundene Situation erwähnt, daß die Töpferwerkstätten hier in das Wohnquartier integriert waren. Anhand der Keramikinterpretation konnte aufgezeigt werden, daß die Töpfer ihr Bruch- und Abfallmaterial in Bereiche außerhalb des Wohnviertels abtransportierten.

Darüber hinaus ist versucht worden, die südionische und – sofern sie als gesichert galt – die lokale Variante der milesischen Gefäßmalerei darzustellen, soweit es der augenblickliche Forschungsstand zuläßt. Auch diese Darstellung basiert auf den beschriebenen Grundlagen – einerseits der neuen Klassifizierung, andererseits den neu gewonnenen Datierungshilfen durch die Stratigraphie des Kalabaktepe und der außermilesischen Fundkontexte. Hinzu treten stilistische Überlegungen, die erst aufgrund der Funde aus den neuen Grabungen in Milet möglich wurden. Als Ergebnis ist entgegen der vorherrschenden Forschungsmeinung eine gesicherte Kontinuität innerhalb der südionischen/milesischen Vasenmalerei festzustellen. Außerdem konnte der Übergang von der Malerei der Stilstufe SiA I (sog. Tierfriesstil-Keramik) zur SiA/MileA II (sog. Fikellurastil-Keramik) früher als bisher vermutet verifiziert werden, nämlich bereits um 590/580 v. Chr. (mit den Funden in Ashkelon und Assesos jetzt sogar 610/604 v. Chr.). Dieser Übergang konnte neben den Fundzusammenhängen jetzt aber auch anhand mehrerer Bilinguen in Milet aufgezeigt werden, die beide Stilstufen auf einem Gefäß vereinten (423. 438–440)¹³⁹⁸.

In ein letztes Kapitel (Kap. 7 *Zur Herkunftsbestimmung der südionischen Knickrandschalen: Archäometrischer Exkurs*) sind die naturwissenschaftlichen Untersuchungen zu den KRSk und KRS

¹³⁹⁸ Schlotzhauer 2012.

und zur milesischen Vasenmalerei eingegangen. 104 Proben wurden in Milet und eine Schale in der Bochumer Kunstsammlung analysiert. Sie repräsentieren alle Zeitstufen und annähernd alle Typen und Stilstufen der Malerei. Damit haben sie neben den Vogelschalen derzeit als dichtestes Netz naturwissenschaftlicher Analysen in einem Produktionsort und an einer keramischen Gattung zu gelten. Nicht nur, daß die lokale Herkunft der Mehrzahl der KRSt und KRS und damit auch die vielfältige Produktionspalette für Milet gesichert werden konnte, sondern auch für die frühe Zeitstufe der selten untersuchten geometrischen und früharchaischen Zeit konnten Herkunftsbestimmungen vorgenommen werden. Daneben haben die archäometrischen Untersuchungen aber auch neue Fragen aufgeworfen, die politische, ökonomische und ökologische Themen betreffen.

Die Herkunftsfrage der KRS ließ sich nicht so eindeutig klären, wie es in der älteren und jüngeren Forschungsgeschichte den Anschein erweckt hatte. Vor dem vermehrten Einsatz naturwissenschaftlicher Methoden auf Grundlage von Verteilungsmustern und historischen Überlegungen zu den Bedeutungen der Fundstellen waren zunächst besonders Rhodos, Milet und Samos als die Hauptproduktionszentren der KRS angesehen worden. Daher war auch lange der Begriff 'ionisch' vor die verschiedenen Termini, die zur Bezeichnung dieser Gruppe von Schalen mit abgeknicktem, verschieden hohem Rand eingeführt worden waren, gebräuchlich (z. B. 'ionische' Schale, 'ionische' Kylix)¹³⁹⁹. Daneben gab es aber auch immer wieder Tendenzen, eine ionische oder ostgriechische Koinè bei der Herstellung dieser spezifischen Schalengruppe anzunehmen. Freilich sind kleinere Sondergruppen mit verschiedenen Modifikationen in der Formgebung oder Dekorgestaltung – wie die Vroulia-Schalen für Rhodos, Inselionische Schalen für die Kykladen oder sog. Knidische Schalen¹⁴⁰⁰ für die Ostdoris – auch für andere Regionen immer wieder postuliert worden. Diese hoben sich aber soweit von der 'klassischen' Gestalt der in Rede stehenden Gattung ab, daß sie – ebenso wie gelegentlich angezeigte lokale Nachahmungen – klar von jenen getrennt behandelt werden konnten. Mit dem vermehrten Einsatz naturwissenschaftlicher Herkunftsanalysen seit den 1970er/80er Jahren des 20. Jahrhunderts schien sich die Herkunft der Gattung 'ionische Schale' fest auf Südionien eingrenzen zu lassen. Dabei hatte vor allem Dupont Samos als das Hauptzentrum der Gattung und Milet sowie ein noch nicht identifiziertes drittes Zentrum in Südionien als Nebenproduktionsorte der Gattung erkannt. Zugleich schienen die chemischen Untersuchungen den Fikellurastil als samische und den Tierfriesstil der Stufen MWG I und II als milesische Produkte erweisen zu können. Dies führte dazu, daß die mit SiA I (Tierfriesstil) bemalten KRS fortan als milesisch bezeichnet wurden und die mit SiA II (Fikellurastil) dekorierten Schalen als samisch. Die Sonderformen wie die vermutlich rhodischen Vroulia-Schalen wurden im Zuge der naturwissenschaftlichen Untersuchungen endgültig von der Hauptgruppe der Gattung getrennt. Wie sich jedoch mehr und mehr herausstellte, hatten auch die naturwissenschaftlichen Untersuchungen von Jones oder Dupont noch keine hinreichenden Beweise für einige Zuweisungen ihrer chemischen Gruppen. Denn nur in den wenigsten Fällen

¹³⁹⁹ Vgl. hierzu nochmals die Auflistung der verschiedenen gebräuchlichen Termini in Anm. 1.

¹⁴⁰⁰ Vgl. zu dieser Gruppe jetzt Schlotzhauer 2012, 160 ff. Kat.-Nr. Nau 134.

konnten die archäologischen Gattungen und Malereistile in ausreichender Menge untersucht werden, so daß sich später durchaus mehrere chemische Gruppen für eine archäologische Gruppe ergeben¹⁴⁰¹ oder mit Fehlbränden oder Rohtonen sog. chemische fingerprints für einen Ort oder eine Region gesichert werden konnten. Daher verwundert es kaum, daß etwa bei Dupont seit den 1990er Jahren teils grundsätzliche Modifikationen für die Herkunft der südionischen KRS zu beobachten sind. So vermutete er seit 1999 nun eine weitere Hauptproduktion der Gattung in Nordionien/ Aeolis.

Die hier vorgestellten naturwissenschaftlichen Untersuchungen im Bochumer und Bonner Labor konnten ebenfalls noch nicht alle Fragen zu den Produktionsstätten der südionischen KRS sowie der nun ebenfalls schärfer in den Blick genommenen anderen Produktionen derselben Schalenform etwa im Mutterland, auf den ägäischen Inseln, an den westkleinasiatischen Küsten oder in den Koloniegebieten klären. Die an 80 KRSSk und KRS durchgeführte erste Serie der Untersuchungen durch Yalçın im Bochumer Labor hatte noch fast ausnahmslos milesische Herkunft der untersuchten Gattung attestiert. Bereits im Vorfeld angenommene attische oder attisierende Gefäße konnten tatsächlich naturwissenschaftlich als solche erwiesen und von den Hauptgruppen milesischer Skyphoi und Schalen getrennt werden. Der Tierfries- und Fikellurastil sowie die einfach dekorierten Skyphoi und Schalen waren hingegen den milesischen Hauptgruppen A und B sowie einigen Clustern zuzuweisen. Diese waren durch Fehlbrände aus oder nahe von archaischen Töpferöfen in Milet für den Produktionsort abgesichert. Nur wenige Stücke fielen nicht in die als milesisch festgestellten Gruppen und Cluster. Von diesen konnten attische relativ sicher differenziert werden, andere waren zunächst nur als chemische Singles oder Paare zu bezeichnen. Die 18 doppelt beprobten Gefäße im Bochumer (Yalçın) und Bonner Labor (Mommsen) offenbarten eine im Wesentlichen übereinstimmende Tendenz. Doch sind sowohl einige wenige klare Abweichungen und vermutlich falsche Ergebnisse, als auch ein zu homogen gezeichnetes Bild der milesischen Produktion und eine wenig präzise Bestimmung von nicht-milesischen Produktionsorten in den Bochumer Ergebnissen zu verzeichnen.

Wesentlich differenzierter fiel dann die Untersuchung durch Mommsen im Bonner Labor aus. Der Analyse von hier vorgestellten 42 KRSSk und KRS aus Milet konnten weitere Untersuchungen von KRS aus anderen Orten angeschlossen werden, die im gleichen Labor in Bonn in den vergangenen Jahrzehnten untersucht wurden. Insgesamt beruhen die Aussagen des Bonner Labors zur Gattung von spätgeometrischer bis spätarchaischer Zeit auf einer sehr umfangreichen Datenbank zur griechischen Keramik von Südfrankreich und Unteritalien bis in den pontischen Raum. Im Ergebnis ließ sich kein 'Hauptproduktionsort' erweisen, wie dies bisher stets in den Interpretationen älterer naturwissenschaftlicher Untersuchungen zur Herkunftsbestimmung versucht wurde. Es läßt sich daher bisher lediglich Folgendes aussagen: In Milet wurden KRS zweier chemisch differenzierbarer Gruppen gefertigt, deren milesische Provenienz außer Zweifel steht: in den sog. Kalabaktepe-

¹⁴⁰¹ Dies kann unter anderem etwa sowohl auf eine schlechte archäologische Gruppenbildung zurückzuführen sein, oder die Töpfer in einem Produktionsort hatten mehrere Tonlager oder Tonaufbereitungen, sog. Rezepturen, für eine archäologisch homogene Gruppe benutzt.

Werkstätten die chemischen Gruppen A (Mommsen) und a (Mommsen) sowie die chemische Gruppe D (Mommsen). Darüber hinaus wäre auch für die weiterhin festgestellten chemischen Gruppen Dk (Mommsen) und DD-1 bis DD-3 (Mommsen) eine milesische Herkunft denkbar, doch konnte sie bisher nicht zweifelsfrei naturwissenschaftlich für Milet erwiesen werden. Die in diesen chemischen Gruppen enthaltene kanonische Tierfriesstil- und Fikellurastil-Keramik läßt auf milesische Werkstätten schließen. Für die milesische Produktion ist damit teils sicher, teils wahrscheinlich, daß folgende archäologische Typen der KRS hier hergestellt wurden.

Sicher sind folgende Typen:

- 1) *Typus 2* (bes. 2,2.Bb), vermutlich *Typus 10*¹⁴⁰²? (Fehlbrand aus Milet nahe Töpferöfen, sichert die Lokalisierung in den Kalabaktepe-Werkstätten), *Typus 11* (11,3.B; 11,4.Bk [Sonderform]) und Herstellungstechnik 'Graue Ware' der **Herkunftsgruppe a und A**;
- 2) *Typus 1* (1,2.Aa), *Typus 2* (2,4.A), *Typus 3* (2,2.Ac), *Typus 4* (4,1.Bd), *Typus 6* (6,1.Ba), *Typus 11* (11,3.A¹⁴⁰³) der **Herkunftsgruppe D**.

Darüber hinaus als Variation der chemischen Gruppe D sehr wahrscheinlich auch aus Milet stammen folgende KRS der Typen sowie mit Stufen und Phasen der Gefäßmalerei:

- 3) *Typus 10* (10,1.C; 10,2.C und 10,3.B), *Malerei* der Stufen und Phasen MileA Id, MileA Iia (Bilinguen) der **Herkunftsgruppe Dk**.

Nicht sicher milesisch, aber sehr wahrscheinlich südionisch sind folgende KRS der Typen sowie Stufen und Phasen der Malerei:

- 4) *Typus 4* (4,3.B), *Typus 9* (9,1.C), *Typus 9* mit Appliken¹⁴⁰⁴; *Typus 10* (10,1.Bnγ¹⁴⁰⁵; 10,2.D; 10,4.C; 10,5.Cnγ; 10,8–9.Dk¹⁴⁰⁶; 10,9.D), *Malerei* der Phase MileA Iia (Bilinguen) und später in der Stufe MileA II¹⁴⁰⁷ der **Herkunftsgruppe DD-1 – DD-3**.

In Samos wurde neben *Typus 9,1.C*¹⁴⁰⁸ sicher folgender *Typus* von KRS produziert:

¹⁴⁰² Kerschner in: Akurgal u. a. 2002, 107 Kat.-Nr. 63; 175 Abb. 63.

¹⁴⁰³ Schlotzhauer in: Schlotzhauer u. a. 2012, Taf. 103-104 Kat.-Nr. Nau 56 Taf. 12 f–g.

¹⁴⁰⁴ Das Fragment stammt aus Naukratis, vgl. Schlotzhauer in: Schlotzhauer u. a. 2012, Taf. 112–113 Kat.-Nr. Nau 71 Taf. 15 h–i und zur Gruppe allgemein hier 582–583.

¹⁴⁰⁵ Die beiden Stücke wurden in Naukratis und Tel Kabri gefunden, s. Schlotzhauer in: Schlotzhauer u. a. 2012, 101–102 Kat.-Nr. Nau 52 Taf. 11, g–h; B. Niemeier – W.-D. Niemeier, Archaic Greek and Etruscan Pottery, in: A. Kempinski, Tel Kabri. The 1986–1993 Excavation Seasons, hrsg. von N. Sheftelowitz – R. Oren (2002) 230–222 Kat.-Nr. 14 Abb. 5.94, 2.

¹⁴⁰⁶ Die KRS wurde im Nordschwarzmeerraum in Taganrog gefunden; ich danke O. Dally und S. Huy (beide Berlin), daß ich das Fragment vorab mit ihnen diskutieren und studieren durfte.

¹⁴⁰⁷ Neben den hier aus Milet selbst stammenden Beispielen in dieser chemischen Gruppe kann auch noch ein Fragment aus Berezan angefügt werden, das der Cook'schen Fikellurastil-Gruppe 'Louvre Group' zugeordnet wurde, vgl. M. Kerschner, Zur Herkunftsbestimmung archaisch ostgriechischer Keramik: die Funde aus Berezan im Akademischen Kunstmuseum der Universität Bonn und im Robertinum der Universität Halle-Wittenberg, *IstMitt* 56, 2006, 134–136 Abb. 4.

¹⁴⁰⁸ KRS mit Hera-Dipinto aus Naukratis, kann als sicher samisch bezeichnet werden, da die fabrikationsgleichen Tassen mit gleichem Hera-Dipinto mehrfach und ausschließlich für die Herkunftsgruppe J nachgewiesen werden konnten, vgl. Schlotzhauer in: Schlotzhauer u. a. 2012, 154–155 Kat.-Nr. Nau 124 Taf. 27, a–b mit weiterführender Lit. Denn auch die vielen Knickrandschalen mit Hera-Dipinto im samischen Heraion sind ausschließlich Knickrandschalen des *Typus 9,1.B*, wenn auch mit unkanonischem Dekor, der auf die besondere Produktion dieser spezifischen Heiligtumsware zugeführt werden kann, vgl. Samos 4, 96 Kat.-Nr.

- 5) *Typus 5* (5,1.B mit Dekorvariante e¹⁴⁰⁹; 5,2.B und 5,3.B beide mit der Dekorvariante ea¹⁴¹⁰) der **Herkunftsgruppe J**.

Bisher unlokalisiert, aber aufgrund der darin enthaltenen Typen 5 und 9 sicher südionisch (samisch oder milesisch) sind:

- 6) *Typus 5* (5,3.B mit der Dekorvariante e); *Typus 9* (9,1.B¹⁴¹¹; 9,1.C; 9,2.C; 9,2–3.C; 9,3.C) der **Herkunftsgruppe UI70-1–3**.

Bisher unlokalisiert, aber am ehesten südionisch aufgrund des Typus 5 und der typologischen Nähe zu Typus 7¹⁴¹² innerhalb dieser chemischen Gruppe sind:

- 7) *Typus 5* (5,4.B¹⁴¹³); *Typus 8* (8,1.B; 8,2.B mit Dekorvariante a und ay) der **Herkunftsgruppe Ulo4**.

Weiterhin konnten folgende lakonische KRS nachgewiesen werden:

- 8) *Typus 9* (9,1.C = **619**, 9? = **Appendix VI** und **XII**),

sowie folgende attische KRSk und KRS:

- 9) *Typus 1* (1,1.A = **26**, 1,2.A = **27–28**; 1,2.B = **29**); *Typus 9* (9,3.D = **616**; 9,4.D = **615**),

sowie Nachahmungen in den Hellespont-Werkstätten¹⁴¹⁴:

- 10) *Typus 9* (9,1.B–C¹⁴¹⁵),

oder in Katane auf Sizilien:

- 11) *Typus 9* (9,1:C = **620**),

oder im ägyptischen Emporion Naukratis:

- 12) *Typus 10* (10,1.Bk¹⁴¹⁶).

Damit ergibt sich eine sehr überzeugende Übereinstimmung mit den archäologischen Gruppierungen.

Wollte man nun bereits aus den wenigen sicher verorteten Stücken versuchen zu generalisieren, so

142. 144–145; 154–155 Kat.-Nr. 552. 556. 558 Beil. 2, 142; 16, 552. 556; 17, 558 Taf. 49, 144–145; 71, 552. 556. 558 (142. 144–145 wohl Sondergruppe mit Dekor wie **185**).

¹⁴⁰⁹ Kerschner in: Akurgal u. a. 2002, 108–109 Kat.-Nr. 68 Taf. 5, 68.

¹⁴¹⁰ Aber sicher auch mit Dekorvariante e, denn eine Schale aus dem samischen Heraion trägt ein Hera-Dipinto und stammt daher sicher aus der lokalen Heiligtumsproduktion, s. Furtwängler 1980, 214 Kat.-Nr. II/7a 221 Abb. 21, 2.

¹⁴¹¹ Soweit man dies von den Fotos beurteilen kann, handelt es sich am ehesten um die tiefen Schalenbecken der Variante B und die Gestaltungsvariante 1 ohne Rille zwischen Schulter und Randansatz, s. R. Posamentir – S. Solovyov, Zur Herkunftsbestimmung archaisch-ostgriechischer Keramik: Die Funde aus Berezan in der Eremitage in St. Petersburg II, *IstMitt* 57, 2007, 205 Abb. 9, 1–3.

¹⁴¹² Wobei der Typus 7 bisher nicht naturwissenschaftlich untersucht worden ist, so ist hier aber tatsächlich aufgrund seiner Verbreitung vor allem in Milet und Samos, mit seltenen Funden in Ephesos sowie auf den Kykladen und Sizilien, von einer südionischen Produktion auszugehen, bis zum Nachweis des Gegenteils!

¹⁴¹³ Die Knickrandschale wurde im Nordschwarzmeerraum in Taganrog gefunden, ich danke O. Dally und S. Huy (beide Berlin), daß ich das Fragment vorab mit ihnen diskutieren und studieren durfte.

¹⁴¹⁴ Hier wurden dann auch Knickrandschalentypen des ostdorischen Typus (vgl. **49–50**) hergestellt, wie etwa R. Posamentir – N. Arslan – I. Birzescu – Ş. Karagöz – H. Mommsen., Zur Herkunftsbestimmung archaisch-ionischer Keramik III: Funde aus den Hellespontstädten, Histria und Olbia, *IstMitt* 59, 2009, 43 Abb. 2, 17 oder eine noch unveröffentlichte Schale von der Tamanhalbinsel im Nordpontos (Proben-Nr. Gol 43).

¹⁴¹⁵ Posamentir a. o., 42 Abb. 2, 14.

¹⁴¹⁶ Schlotzhauer 2012, 175–176 Kat.-Nr. Nau 146 Taf. 32, c–e.

sind für Milet die Typen 1–4, 6, 9–11 sowie KRS der 'Grauen Ware', Tierfries- und Fikellurastil, auch die sog. Bilinguen, zu beanspruchen. Auf Samos sind sicher vor allem der Typus 5 in verschiedenen Varianten und ebenfalls einige Varianten des Typus 9 hergestellt worden. Auffallend ist, daß die Untersuchungen im Bonner Labor (Mommsen) bisher erst einen Hinweis auf milesische Produktion des Typus 5 erbracht haben¹⁴¹⁷. Dies wirft allerdings ein neues Licht auf die wenigen Stücke der Grundform Typus 5 mit frühem Tierfriesstil¹⁴¹⁸: Könnten sie vielleicht in Samos gefertigt worden sein? In Milet wird sicher ein Großteil der Produktion der Typen 9, 10 und 11 stattgefunden haben, denn neben den reichen und vielgestaltigen Funden in Milet selbst haben auch die naturwissenschaftlichen Analysen im Bonner Labor (Mommsen) eine breite Varianz des Typus für Milet belegen können. Zudem gehören die meisten der sog. Fikellurastil-Schalen zum Typus 10, und sehr hochwertige Tierfriesstil- und Fikellurastil-Bemalung findet sich zudem auf Gefäßen des Typus 9¹⁴¹⁹. Der Typus 8 dagegen konnte bisher nur in der chemischen Herkunftsgruppe Ulo4 (Mommsen) nachgewiesen werden, dies aber mit auffallend vielen Beispielen und in allen Varianten. Sie wurden bis Naukratis, Leontinoi auf Sizilien und Südfrankreich verhandelt, aber im Schwarzmeerraum fehlen sie auffallend. Eine südionische Herkunft der Herkunftsgruppe Ulo4 (Mommsen) ist verlockend, und aufgrund des ebenfalls darin enthaltenen Typus 5,4.B ist vielleicht eher an Samos als an Milet zu denken, da die meisten Beispiele bisher nach Samos weisen. Das wiederum wäre aber interessant für die KRS der Grundform Typus 8, die – wie **418–422** – mit Tierfriesstil bemalt wurden, sich aber vorläufig vom milesischen Tierfriesstil der Stilstufe MileA I nicht unterscheiden lassen.

¹⁴¹⁷ Dieser Nachweis ist erst kürzlich geglückt und daher hier noch nicht abgebildet: Mile 355 = K 92.37.6 gehört der Variante 5,1.B und der milesischen Herkunftsgruppe A 'Kalabaktepe-Werkstätten' (Mommsen) an.

¹⁴¹⁸ Etwa auf **415–416**.

¹⁴¹⁹ Neben der Bilingue **423** der Grundform 9,1.C sei nur an die sog. Heraion-Schale erinnert, Samos VI 1, Taf. 40, die ebenfalls vom Typus 9,2.C–D ist. Auch die sog. ionischen Kleinmeisterschalen gehören der Grundform 9,3.C–D an, vgl. **596–605**.

9 Katalog

Abkürzungen im Katalog

B = Fragmentbreite

L = Fragmentlänge

DmF = Durchmesser Fuß

Pro. = ganzes Profil

DmR = Durchmesser Rand

Rfrgt. = Randfragment

Ffrgt. = Fußfragment

Wfrgt. = Wandfragment

Frgt (e). = Fragment(e)

WSt = Wandungsstärke

H = Gefäßhöhe

Alle Maße sind in cm angegeben. Ganze Gefäße und Profile haben Höhenangaben. Durchmesserbestimmungen sind stets als Annäherungswerte zu verstehen und bei Rand- oder Fußfragmenten wird auf den Zusatz *R* oder *F* verzichtet.

Die Tonbeschreibungen sind nach der Munsell Soil Color Charts (1992) vorgenommen. Der als Malfarbe verwendete feine Tonschlicker wird nach allgemeinem Sprachgebrauch **Firnis** genannt.

Alle Stücke des Fundortes Milet, die im Katalog aufgenommen sind, entstammen den Grabungen in Milet und sind im Grabungsdepot des Museums Balat aufbewahrt.

Die voranstehende, fett geschriebene Zahl bezeichnet die Katalognummer, mit der die Fundstücke im Textteil aufgeführt sind. Die folgende Inventarnummer besteht aus Fundort, Fundjahr und Fundzusammenhang, welcher das Fundstück entnommen ist. Die jeweils letzte Zahl steht für das Fundstück selbst.

Die Knickrandschalen dieses Kataloges sind nach Gruppen geordnet. Erläutert werden die Gruppen im Textteil.

Die milesischen Kontexte, die im Katalog mit Fundortbezeichnung (Q für Quadrant bzw. Grabungsschnitt), Fundjahr und Befundnummer aufgeführt sind, wurden in Stichworten charakterisiert. Die Kontexte der älteren Grabungen (vor 1986) hat E. Forbeck (Bochum) aus den Tagebüchern im Miletarchiv zusammengestellt und dort allgemein zugänglich gemacht. Die Tagebücher sind im Miletarchiv (Ruhr-Universität Bochum) einzusehen. Die Kontexte der Grabungen seit 1986 wurden von R. Senff (Athen), den Bearbeiter der zentralen Stratigraphie, zusammengestellt und sind Teil seiner Habilitationsschrift, die ebenfalls im Miletarchiv vorliegt. Es ist geplant, dass die Stratigraphie zentral im Internet publiziert wird.

Archäometrie: Einige ausgewählte Stücke, die nach Möglichkeit eine representative Auswahl der Gruppen wiedergeben sollen, wurde auf die chemische Zusammensetzung ihre Tonpaste hin untersucht. Diese naturwissenschaftliche Untersuchung zur Herkunftsbestimmung wurde zwei Mal durchgeführt. Der ältere Satz von Tonproben an 76 Knickrandskyphoi und -schalen

aus den 90er Jahren des letzten Jahrhunderts wurde von Ü. Yalcin (Bochum) vorgenommen, der allerdings seine Methode bis heute nicht vorgestellt hat, wodurch die Gruppenbildung und Herkunftszuweisung nicht nachprüfbar ist. Die Ergebnisse einer weiteren Probenserie durch Yalcin aus dem Jahre 2000 liegen mir bis heute nicht vor. 2006 wurde an weniger Stücken eine erneute Probenserie bei H. Mommsen (Bonn) in Auftrag gegeben. Von dieser im Bonner Labor untersuchten Probenserie sind 43 hier im Katalog aufgenommen, 18 von diesen sind mit den bereits von Yalcin beprobten Stücken identisch. Beide Ergebnisse und eine kurze Zuweisung zu chemischen Gruppen, Herstellungsregionen/ -orten (wenn möglich) oder Werkstätten sind im Katalog aufgeführt. Die Untersuchungen selber und ihrer Ergebnisse sind in den entsprechenden Kapiteln beschrieben und diskutiert. Eine Übersicht über die Proben ist separat in einer Liste mit Probennummern, Inv.-Nr. und Kurzcharakterisierung gegeben (s. 436 ff).

Die Vorzeichnungen stammen bis auf die unten aufgelisteten Ausnahmen aus der Hand des Verfassers. An den Umzeichnungen waren neben demselben auch E. Forbeck (Bochum), T. Carl (Bochum), J. Ulrich (Berlin/Kiel) und A. Schwarz (Berlin) beteiligt. Einige hier aufgenommene Stücke sind der Feder A. Hommels (München), Th. Brockmeier (Berlin) und H. Grönwald (Berlin) zu verdanken. Die Digitalisierung aller getuschten Vorzeichnungen im Tafelteil, als auch der Profilzeichnungen der Textabbildungen sind der Kompetenz J. Ulrich (Berlin/Kiel) geschuldet.

Vor allem die Zeichnungen A. Hommels sind wichtige Zeugnisse, zumal einige der so dokumentierten Stücke nicht mehr aufzufinden sind. Die Zeichnungen, die im Milet-Archiv Bochum gelagert waren, stammen noch aus der Zeit, als es in Milet noch kein eigenes Museum gab. Vermutlich sind Mitte der 70er Jahre während der Überführung der Keramik aus den Depots des Deutschen Grabungshauses in Akköy zum Museum in Balat einige Stücke verloren gegangen. Soweit die Stücke im heutigen Museums-Depot wieder angetroffen werden konnten, sind die Zeichnungen überprüft und die Dokumentation durch Angaben zum Ton, Malfarbe, etc. ergänzt worden. Diejenigen Zeichnungen, zu denen die Originalstücke nicht mehr aufgefunden werden konnten, sind im Katalog mit »keine weitere Angaben, da nicht aufzufinden« aufgeführt.

Folgende Vorzeichnungen stammen von A. Hommel (München):

5. 12. 14. 15. 18 – 20. 22 –24. 42 – 45. 57 – 58. 67 – 69. 73. 75. 80. 83. 85. 92. 95 - 96. 110. 116. 118. 134 – 135. 136. 138. 141. 180. 186. 198. (ergänzt Verf.) 208. 224. 225. 234. 242. 254. 308. 330. – 332. 334. 340. 356 – 357. 368. 374. 378. 380. 411. 418. 474. 496.

Folgende Vorzeichnungen stammen von H. Grönwald (Berlin):

438. – 440. 457. 479. 612. 620

Folgende Vorzeichnungen stammen von J. Ulrich (Berlin/Kiel):

77. 97. 101. 109. 113. 130. 132. – 133. 155. 168. – 169. 426. – 427. 441. 444. 446. 465. 613. 615 sowie die **Textabb.**

Folgende Vorzeichnungen stammen von Th. Brockmeier (Berlin):

171. 172. (abgewandelt Verf.) **177. – 179. 183. 237. 244. 247. 249. 250. 253.** (abgewandelt Verf.) **257. 259. – 261. 262.** (abgewandelt Verf.) **267. 269. 275. 277. –282. 284. –289. 319. 321. – 322.**

Typus 1*Variante 1,1, südionisch*

1. Rfrgt. K 93.1.27
 L 3.4; B 2.8; Dm ca. 16; WSt 0.38
 Ton: 7.5 YR 5/4 bis 10 YR 5/4; hart; sandig;
 größere und kleinere Kieseinschlüsse; viel
 feiner Hellglimmer.
 Oberfläche: rauh.
 Überzug: „wash“.
 Malfarbe: außen: dunkelbraun; innen: rötlichbraun,
 dicht, fast lackartig.
 Fundort: Milet, Kalabaktepe
 Kontext: Streufund
 Typus: 1,1.A
 Dekorvariante: a
 Dat.: 2. H. 9. Jh. v. Chr.
 Taf. 1, 1

2. Rfrgt. K 93.556.7
 H 2.0; B 1.6; WSt 0.3–0.45
 Ton: 5 YR 6/6; hart; sandig; mit
 Quarzeinschlüssen; viel feiner Hellglimmer.
 Überzug: 10 YR 8/3 (außen und innen); eher
 „wash“.
 Malfarbe: teils schwarzer, dichter und pastös
 aufgetragener, teils bräunlicher, bröckeliger
 und stumpfer Firnis.
 Fundort: Milet, Kalabaktepe
 Kontext: Q 92.07/ Phase 7–8 (Einfüllung im südl.
 Schacht)
 Typus: 1,1.A
 Dekorvariante: a
 Dat.: 2. H. 9. Jh. v. Chr.
 Tafel 1, 2

Variante 1,2, südionisch

3. Pro. K 6526
 H 8.4–8.9; DmR 14.4; DmF 7.2; WSt 0.45–0.6
 Ton: 7.5 YR 7/4; schiefrig, geschichtet; kleine
 Kalkstein- und Kieseinschlüsse, teilweise aus
 der Oberfläche tretend; mittelfeiner
 Hellglimmer.

Oberfläche: geglättet bzw. poliert, leicht glänzend.
 Malfarbe: schwarzer, metallisch glänzender Firnis;
 teils streifig, teils dicht und deckend.

Fundort: Samos, Hera-Heiligtum
 Aufbewahrungsort: Samos, Depot Deutsches
 Grabungshaus
 Typus: 1,2.A
 Dekorvariante: b/ Stilphase SiG IIa
 Dat.: 2. H. 9. Jh. v. Chr./ attisierend MG I
 Tafel 1, 3; 98, 3
 Publ.: Samos 5, Taf. 17, 101.

4. Pro. K 6527
 H 8.0; DmR 12.0; DmF 6.8; WSt 0.35–0.5
 Ton: 7.5 YR 7/4; viele kleine Quarz-, Kalkstein-
 und Kieseinschlüsse; viel feiner Hellglimmer.
 Oberfläche: extrem geglättet bzw. poliert; eher
 matt, stumpf glänzend.
 Malfarbe: schwarzer, matt glänzender und gut
 deckender Firnis.
 Fundort: Samos, Hera-Heiligtum
 Aufbewahrungsort: Samos, Depot Deutsches
 Grabungshaus
 Typus: 1,2.A
 Dekorvariante: b/ Stilphase SiG IIa
 Dat.: 2. H. 9. Jh. v. Chr./ attisierend MG I
 Tafel 1, 4; 98, 4
 Publ.: Samos 5, Taf. 17, 100.

5. Rfrgt. S 66.181.1
 L 3.06; B 4.32; Dm 14.0; WSt 0.28–0.33
 Ton: 5 YR 7/6; dicht, leicht schiefrig; grosse bis
 sehr grosse Einschlüsse, teilweise aus der
 Oberfläche herausgebrochen; viel heller und
 dunkler Hellglimmer.
 Oberfläche: sandig, leicht rauh.
 Malfarbe: schwarzer, dichter, matter und stumpfer
 Firnis; teils dünn und streifig, dann braun.
 Fundort: Milet, Südschnitt
 Kontext: Q BC 2/ »spätgeometrischer
 Zusammenhang« (in Höhe der
 Fundamentsteine von Haus D; terminus
 post quem)
 Typus: 1,2.A
 Dekorvariante: b/ Stilphase SiG IIa

Dat.: 2. H. 9. Jh. v. Chr./ attisierend MG I
Tafel 2, 5; 98, 5
Publ.: IstMitt 23/24, 1973/74, 85; 92-93 Kat.-Nr.
27 Taf. 20, 27; IstMitt 25, 1975, 41-42
Abb. 6 u.

6. Rfrgt. AT 57.N.59.1
L 4.1; B 5.0; Dm 10.0; WSt 0.27–0.32
Ton: 2.5 YR 6-5/8; hart und schiefrig; sehr fein
gemagert; Poren; keine grösseren Einschlüsse.
Oberfläche: stark geglättet bzw. poliert.
Überzug: „wash“.
Malfarbe: von dunkelbraun bis hellbraun
changierender, dichter, deckender und matter
Firniss; innen: teils rötlichbraun.

Fundort: Milet, Athena-Heiligtum
Kontext: Spätgeometrische Brandschicht (?) (s.
auch **11.** und **18.**)
Typus: 1,2.A
Dekorvariante: b/ Stilphase SiG IIb
Dat.: 1. H. 8. Jh. v. Chr./ korinthisierend MG II
Tafel 2, 6

7. Wfrgt. K 89.493.17
L 3.9; B 4.1; WSt 0.35
Ton: 7.5 YR 8/4; fest; grosse Kalksteineinschlüsse;
viel feiner und mittelfeiner Hellglimmer.
Oberfläche: geglättet.
Überzug: 10 YR 8/3.
Malfarbe: dunkler, matter Firnis; teils dicht und
deckend, teils durchscheinend und streifig;
außen: größtenteils abgeplatzt.

Fundort: Milet, Kalabaktepe
Kontext: Q 89.03/ Phase 1-7 (Stegabbau)
Typus: 1,2.B
Dekorvariante: b/ Stilphase SiG II (oder III)
Dat.: 1. H. 8. Jh. v. Chr./ korinthisierend MG II
(720-690 v. Chr./ korinthisierend EPC)
Tafel 2, 7; 98, 7

8. Rfrgt. AT 55.17.1
L 2.9; B 3.0; Dm 12.0–13.0; WSt 3.5
Ton: 5 YR 7/6; fest; fein gemagert; feiner
Hellglimmer.
Oberfläche: fein; geglättet (Schwamm).

Malfarbe: schwarzer, matt metallisch glänzender
Firniss; wenn streifig, dann rotbraun; enthält
Dunkelglimmer.

Fundort: Milet, Athena-Heiligtum
Kontext: Q E 13/ zweiter, südlicher Erweiterungs-
graben des großen O-W Grabens nach
Westen.

Archäometrie: *Yalcın* Prob.Nr.: TR-3K/207
Attisches Feld/Cluster 2,
Hauptgruppe A = Attisch?/Milet?

Dekorvariante: b/ Stilphase SiG II (oder III)
Dat.: 1. H. 8. Jh. v. Chr./ korinthisierend MG II
(720-690 v. Chr./ korinthisierend EPC)
Tafel 2, 8

9. Rfrgt. K 95.224.5
L 2.6; B 4.3; Dm 14; WSt 0.3–0.4
Ton: 10 YR 7/3; hart; grosse Quarz- und
Kieseinschlüsse; viel feiner Hellglimmer.
Überzug: 7.5 YR 8/2 (dünn).
Malfarbe: außen: rötlichbraun; innen: dunkelbraun,
fest.

Fundort: Milet, Kalabaktepe
Kontext: Q 95.05/ es liegen keine Informationen
vor

Typus: 1,2.A
Dekorvariante: b/ Stilphase SiG IIb
Dat.: 1. H. 8. Jh. v. Chr./ korinthisierend MG II
Tafel 2, 9

10. Wfrgt. K 89.510.18
L 2.45; B 5.0; WSt 0.4
Ton: ca. 2.5 YR 6/8; hart; grob gemagert; sehr viel
feiner bis mittelfeiner Hellglimmer.
Oberfläche: sandig, rauh.
Überzug: 10 YR 8/2 bis 2.5 YR 8/2.
Malfarbe: dunkel rötlichbraun, dicht und deckend;
außen: enthält Dunkelglimmer; innen: teils
streifig durchscheinend, teils pastös;
abblättern.

Fundort: Milet, Kalabaktepe
Kontext: Q 89.18/ Phase 4A(=3)/4B (Umfaßt
Auffüllung und Boden Phase 4)
Typus: 1,2.A/B
Dekorvariante: b/ Stilphase SiG IIb
Dat.: 1. H. 8. Jh. v. Chr. / korinthisierend MG II
Tafel 2, 10

11. Pro. AT 57.N.59.6
L 8.65; B 14.5; Dm 14.0; WSt 0.3–0.37
Ton: 7.5 YR 6/6; hart; Quarz- und sehr grosse Kalksteineinschlüsse; sehr viel dunkler Hellglimmer.
Oberfläche: sandig und rau, dennoch gut geglättet.
Malfarbe: schwarzer, stumpfer und dichter Firmis; teilweise stark abgerieben.
Fundort: Milet, Athena-Heiligtum
Kontext: Spätgeometrische Brandschicht (?); s. auch **6.** und **18.**)
Typus: 1,2.B
Dekorvariante: b/ Stilphase SiG IIB
Dat.: 1. H. 8. Jh. v. Chr. / korinthisierend MG II
Tafel 2, 11
Publ.: Weickert 1959/60, Taf. 58, 2.

12. Rfrgt. AT 57.N.36.5
L 6.26; B 9.75; Dm 24.0; WSt 0.48–0.5
Ton: 7.5 YR 6/4; sehr hart und schiefrig; grössere Kalksteineinschlüsse; viel Dunkelglimmer.
Oberfläche: sandig.
Malfarbe: von rötlichbraun bis schwarz changierender, matter und stumpfer, dichter Firmis.
Fundort: Milet, Athena-Heiligtum
Kontext: Geometrisch-spätgeometrisch
Typus: 1,2.B
Dekorvariante: b/ Stilphase SiG IIB
Dat.: 1. H. 8. Jh. v. Chr. / korinthisierend MG II
Tafel 3, 12

13. Wfrgt. K 92.51.4
L 3.9; B 4.1; WSt 0.5
Ton: 5 YR 6/6 (außen); fest; grosse Kalkstein- sowie grauschwarze Kieseinschlüsse; sehr viel feiner und mittelfeiner Hellglimmer.
Oberfläche: sandig; geglättet.
Überzug: 10 YR 8/2-3 (beige); enthält groben Dunkelglimmer.
Malfarbe: außen: von dunkelbraun bis schwarz changierend, teils deckend, teils dünn und durchscheinend; innen: rötlichbraun streifig, aber deckend, teilweise abgeplatzt; enthält groben Dunkelglimmer.
Fundort: Milet, Kalabaktepe

Kontext: Q 91.08/ Phase 2/3A (Schutt Phase 2 über der Mauer K 92.549 aus Phase 2)
Typus: 1,2-4.A/B
Dekorvariante: b/ Stilphase SiG IIB
Dat.: 1. H. 8. Jh. v. Chr./ korinthisierend MG II
Tafel 3, 13; 99, 13

14. Rfrgt. AT 57.O.19.7
L 4.6; B 5.0; DmR 15.0; WSt 0.4–0.55
Keine weiteren Angaben, da nicht aufzufinden.
Fundort: Milet, Athena-Heiligtum
Kontext: HJ XII/XIII/ Im geometrischen Haus (ö. bis zur Tonröhre) 3. Abhub unter UK der obersten inneren Steinlage der S-Mauer. Bis 85 cm unter Oberkante.
Typus: 1,2.B
Dekorvariante: b (Sonderform)/ Stilphase SiG III
Dat.: 740/30-720 v. Chr./ attisierend LG IIA
Tafel 3, 14

15. Rfrgt. AT 57.O.187.13
L 4.3; B 2.9; DmR ca. 14.0; WSt 0.4–0.6
Ton: 2.5 YR 6/6 (außen), 7.5 YR 6/6 (innen); sehr hart, sandig; in Schichten; schwarze Einschlüsse; feiner bis grober und dunkler Hellglimmer.
Überzug: 10 YR 8/2.
Malfarbe: außen: von hell- bis dunkelrotbraun changierend, dicht bis wässrig; innen: schwarz, stumpf und rau.
Fundort: Milet, Athena-Heiligtum
Kontext: JK XIII Süd/ archaische Schichten.
Typus: 1,2.B
Dekorvariante: c/ SiG III
Dat.: 710/00-680/70 v. Chr.
Tafel 3, 15

16. Rfrgt. K 92.51.3
L 4.0; B 4.5; Dm 18.0; WSt 0.4–0.45
Ton: 5 YR 6/6; grob gemagert; viel mittelfeiner Hellglimmer, auch Dunkelglimmer.
Oberfläche: sandig, leicht rau.
Überzug: 10 YR 8/1-2 bis 2.5 YR 8/2.
Malfarbe: dunkel; außen: von dunkelbraun bis schwarz changierend; innen: teils pastös und

deckend, teils streifig und durchscheinend (dünn), teilweise abgerieben.

Fundort: Milet, Kalabaktepe

Kontext: Q 91.08/ Phase 2/3A (Schutt Phase 2 über der Mauer K 92.549 aus Phase 2)

Archäometrie: *Yalcın* Prob.Nr.: TR-3K/240
Milesisches Feld/Cluster 2,
Hauptgruppe A (Milet)
Mommsen Prob.Nr.: Mile 46
Gruppe D (Milet)

Typus: 1,2.A

Dekorvariante: c/ SiG III

Dat.: 710/00-680/70 v. Chr.

Tafel 3, 16; 99, 16

17. Rfrgt. K 91.440.14

L 4.2; B 3.8; WSt 0.45–0.55

Ton: ca. 5 YR 6/6; sehr viel mittelfeiner bis hin zu grobem Hellglimmer, auch Dunkelglimmer.

Oberfläche: sandig, leicht rauh.

Überzug: 10 YR 8/2 bis 2.5 YR 8/2-3.

Malfarbe: von dunkelbraun bis schwarz changierend; teils deckend, teils dünn und streifig, durchscheinend.

Fundort: Milet, Kalabaktepe

Kontext: Q 91.07/ Phase 4/5A (Einfüllung hinter der Stadtmauer, liegt aber neben der späteren Störung der Steinausraubung)

Typus: 1,2.B

Dekorvariante: c/ SiG III

Dat.: 710/00-680/70 v. Chr.

Tafel 3, 17; 99, 17

18. Rfrgt. AT 57.N.59.7

L 4.4; B 4.9; Dm 18.0; WSt 0.4–0.45

Keine weiteren Angaben, da nicht aufzufinden.

Fundort: Milet, Athena-Heiligtum

Kontext: Spätgeometrische Brandschicht (?); s. auch **6.** und **11.**)

Typus: 1,2.B

Dekorvariante: c/ SiG III (oder attisch)

Dat.: 760-750 v. Chr./ attisierend (attisch?) LG Ia

Tafel 4, 18

Variante 1,3, südionisch

19. Rfrgt. AT 57.O.4.4

L 4.0; B 5.3; Dm 14.0; WSt 0.45–0.5

Keine weiteren Angaben, da nicht aufzufinden.

Fundort: Milet, Athena-Heiligtum

Kontext: Ostfundament III. 1/ Abhub; bis unter das hellenist. Fundament.

Typus: 1,3.B

Dekorvariante: c/ SiG III

Dat.: 710/00-680/70 v. Chr.

Tafel 4, 19

20. Rfrgt. AT 57.O.157.6

L 3.0; B 4.5; Dm 10.0; WSt 0.2–0.3

Keine weiteren Angaben, da nicht aufzufinden.

Fundort: Milet, Athena-Heiligtum

Kontext: Ostfundament IV = HJ XII/ archaische Schichten. Zwischen Westmauer und Tonrohrleitung. Etwa Niveau des archaischen Brunnenrandes. Die Steinschüttung gleich südl. der Zungenmauer reicht im Norden des geometrischen Hauses bis unter UK des geometrischen Hauses (ca. 80 cm unter OK der Zungenmauern). Das gleiche Bild auch noch in der Zungenmauer und östlich bis zum Kanal.

Typus: 1,3.B

Dekorvariante: b (Sonderform)/ SiG III

Dat.: 710/00-680/70 v. Chr.

Tafel 4, 20

21. Rfrgt. K 92.81.1

L 3.4; B 3.2; WSt 0.4

Ton: 7.5 YR 6/6 (aber rötlicher); fest; sehr viel feiner und mittelfeiner Hellglimmer, auch Dunkelglimmer (auch im Bruch).

Überzug: 10 YR 8/4; „wash“.

Malfarbe: dunkel.

Fundort: Milet, Kalabaktepe

Kontext: Q 91.7/ Phase 1c/2 (Zerstörungsschutt des Gebäudes Phase 1)

Typus: 1,3.B

Dekorvariante: c/ SiA I subgeometrisch

Dat.: 680/70-660/50 v. Chr.

Tafel 4, 21; 99, 21

Variante 1,4, südionisch

22. Rfrgt. AT 55-56-7.1
L 3.6; B 3.4; Dm 14.8; WSt 0.2–0.4
Keine weiteren Angaben, da nicht aufzufinden.
Fundort: Milet, Athena-Heiligtum
Kontext: nicht bekannt
Typus: 1,4.A
Dekorvariante: b/ SiG II
Dat.: 750-680/70 v. Chr./ korinthisierend MG II
Tafel 4, 22

23. Rfrgt. AT 57.N.96.1
L 3.4; B 2.45; Dm ca. 20.0; WSt 0.26–0.34
Ton: 5 YR 7-6/6; hart und sandig, schiefrig; Kiesel- und Kalksteineinschlüsse; viel grober Dunkelglimmer.
Überzug: 2.5 Y 8/2.
Malfarbe: rot, glatt, dicht und dick, lackartig;
außen: teilweise in dunkelrotbraun changierend.
Fundort: Milet, Athena-Heiligtum
Kontext: spätgeometrisch
Typus: 1,4.A
Dekorvariante: b/ SiG II
Dat.: 750-680/70 v. Chr./ korinthisierend MG II
Tafel 4, 23

24. Rfrgt. AT 57.N.43.6
L 5.1; B 2.52; Dm 15.0; WSt 0.38–0.45
Ton: sehr grau, da sekundär verbrannt; hart, sandig und schiefrig; Poren; Kalksteineinschlüsse.
Oberfläche: rauh.
Überzug: Reste, jedoch durch sekundären Brand verstellt.
Malfarbe: schwarzer, dichter und stumpfer, matter Firmis.
Fundort: Milet, Athena-Heiligtum
Kontext: (spät-)geometrisch, mit N.45 zusammengelegt
Typus: 1,4.A
Dekorvariante: c/ SiG III
Dat.: 760-750 v. Chr./ attisierend LG Ia

Tafel 4, 24

Variante 1,2, Euböischer Import

25. Rfrgt. K 89.139.3
L 2.56; B 4.91; Dm 13.2; WSt 0.47–0.55
Ton: 7.5 YR 7/5; sehr hart; fein ausgeschlämmt; kleinere weiße Kalkeinschlüsse; gut verdichtet, keine Luftporen; feiner Hell- und Dunkelglimmer.
Oberfläche: gut geglättet.
Überzug: innen: dünner, milchiger »wash«.
Malfarbe: fester, dichter, matter braunschwarzer bis dunkelrötlich-braun Malschlicker.
Kommentar: antikes Reparaturloch oder eines von zwei Löchern zum Aufhängen.
Fundort: Milet, Kalabaktepe
Kontext: Q 89.5/ Phase 3 (Hofboden)
Archäometrie: *Mommsen* Prob.Nr.: Mile 43 Gruppe **EuA** (Euböa)
Typus: 1,2.A Euböisch
Dekorvariante: a
Dat.: 2. H. 9. Jh. v. Chr./ Euböisch MG I
Taf. 4, 25; 100, 25

Variante 1,1-2, Attischer Import

26. Rfrgt. AT 55.KA 27a.4
L 5.0; B 5.8; Dm 22.0; WSt 0.48–0.55
Ton: 5 YR 7-6/6 (außen), 5 YR 6/6 (innen); hart; fein gemagert; keine grösseren Einschlüsse, sehr homogen, kaum Poren; viel heller und dunkler Hellglimmer.
Oberfläche: geglättet bzw. poliert (Schwamm).
Malfarbe: außen: hellbraun, dünn aufgetragen; innen: von rotbraun bis schwarz changierend, glänzend und streifig.
Fundort: Milet, Athena-Heiligtum
Kontext: nicht bekannt
Typus: 1,1.A Attisch
Dekorvariante: b Attisch
Dat.: 2. H. 9. Jh. v. Chr./ attisch MG I
Tafel 5, 26; 100, 26

27. Rfrgt. K 93.180.1
 L 2.73; B 5.25; Dm ca. 15.0; WSt 0.45–0.5
 Ton: 5 YR 7/4; hart; fein gemagert; dichter Scherben mit kleinen Poren; organische Partikel (?); wenig feiner Hellglimmer.
 Überzug: „wash“.
 Malfarbe: schwarzer, dichter, fester und matt glänzender Firnis.
 Fundort: Milet, Kalabaktepe
 Kontext: U 92.04/ Phase 4/5 (Planierungsschicht mit abgearbeitetem Tuffit)
 Archäometrie: *Mommsen* Prob.Nr.: Mile 42 Gruppe **KroQ** (Attisch)
 Typus: 1,2.A Attisch
 Dekorvariante: a Attisch
 Tafel 5, 27; 100, 27

28. Rfrgt. K 90.424.4
 L 4.6; B 6.1; Dm 17.0; WSt 0.45
 Ton: 7.5 YR 6/4 (außen, verbrannt); 5 YR 5/1 (innen und Kern, grau verbrannt); fest; grob gemagert.
 Oberfläche: stark poliert.
 Überzug: 10 YR 6/1-2 (angeschmaucht); enthält feinen Hellglimmer.
 Malfarbe: dunkler, verbrannter und größtenteils abgeplatzter Firnis.
 Fundort: Milet, Kalabaktepe
 Kontext: Q 90.03, Phase 2A (Auffüllung für Hof der Phase 2 und Bauzeit der Hofmauer)
 Archäometrie: *Yalcin* Prob.Nr.: TR-3K/240b Attisches Feld/Cluster 2, Hauptgruppe A (Athen?/Milet?)
Mommsen Prob.Nr.: Mile 45 Gruppe **KroQ** (Attisch)
 Typus: 1,2.A Attisch
 Dekorvariante: b Attisch
 Dat.: 2. H. 9. Jh. v. Chr./ attisch MG I
 Tafel 5, 28; 100, 28

29. Rfrgt. K 90.252.125
 L 3.36; B 3.52; Dm 12.6; WSt 0.44–0.55
 Ton: 7.5 YR 7–8/6; hart; fein ausgeschlämmt; wenige größere weiße Kalksteineinschlüsse sowie feine, weiche rote Einschlüsse (Schamott) und feine schwarze Partikel; gut

verdichtet, aber feine Luftporen; einiger feiner Hellglimmer.
 Oberfläche: fein geglättet, extrem gleichmäßig.
 Malfarbe: außen: fester, teils dichter, teils dünner und durchscheinender schwarzer bis brauner matter Glanzton; innen: streifig, schwarz bis dunkelbraun changierend.
 Fundort: Milet, Kalabaktepe
 Kontext: Q 90.1/ Phase 7 (ausgeraubter Zerstörungsschutt)
 Archäometrie: *Mommsen* Prob.Nr.: Mile 44 Gruppe **KroQ** (Attisch)
 Typus: 1,2.B Attisch
 Dekorvariante: b Attisch
 Dat.: 750-700/690 v. Chr.
 Taf. 5, 29; 101, 29

Typus 2

Variante 2,1, südionisch

30. Rfrgt. K 89.514.36
 L 2.5; B 3.15; Dm 13.5; WSt 0.3–0.5
 Ton: 7.5 YR 8-7/6; fest; fein gemagert; feiner bis mittelfeiner Hellglimmer; grober Dunkelglimmer.
 Überzug: 2.5 Y 8/2.
 Malfarbe: dunkel, streifig; teils dicht, teils durchscheinend.
 Fundort: Milet, Kalabaktepe
 Kontext: Q 89.18/ Phase 3A (Auffüllung für Phase 3, vielleicht noch ein Teil des Bodens von Phase 2+3)
 Typus: 2,1.B
 Dekorvariante: b/ SiG III
 Dat.: 710/00-680/70 v. Chr.
 Tafel 5, 30; 101, 30

31. Rfrgt. K 91.211.5
 L 5.1; B 6.85; Dm 20; WSt 0.45–0.5
 Ton: 5 YR 5/6; hart; feiner bis mittelgrober Hell- und Dunkelglimmer.
 Oberfläche: geglättet.
 Überzug: „wash“ (milchig-beige); grösstenteils abgerieben.
 Malfarbe: von schwarz in rotbraun changierend; dicht bis dünn aufgetragen, teils streifig.

Fundort: Milet, Kalabaktepe
 Kontext: Q 91.06/ Phase 5A (Schutt und Auffüllung für Phase 6)
 Archäometrie: *Yalcın* Prob.Nr.: TR-3K/243
 Milesisches Feld/Cluster 2,
 Hauptgruppe A (Milet)
Mommsen Prob.Nr.: Mile 48
 Gruppe **a (Mila)**
 (wahrscheinlich Milet)
 Typus: 2,1.B
 Dekorvariante: b/ Stilphase SiG III
 Dat.: 710/00-680/70 v. Chr.
 Tafel 5, 31; 101, 31

Variante 2,2, südionisch

32. Rfrgt. K 88.180.6
 L 7.5; B 9.3; Dm 14.0; WSt 0.4–0.5
 Ton: 2.5 YR 5/3; hart; grob gemagert; grössere Kieseinschlüsse, teilweise aus der Oberfläche heraustretend.
 Überzug: 2.5 YR 8/2-3 (hell, weißlich).
 Malfarbe: dunkler, schwarzer und matter Firnis (leicht verbrannt).
 Fundort: Milet, Kalabaktepe
 Kontext: Q 88.09/ Phase 1? (wie K 88.178, aber unter Schutt K 88.178 im zerstörten Ofen)
 Archäometrie: *Yalcın* Prob.Nr.: TR-3K/255b
 Single/Cluster 4, Pair (255b; 228)
 s. **303.**
Mommsen Prob.Nr.: Mile 50
 Gruppe **D** (Milet)
 Typus: 2,2.B
 Dekorvariante: c/ Stilphase SiG III
 Dat.: 710/00-680/70 v. Chr.
 Publ.: IstMitt 40, 1990, 57 Kat.-Nr. 12 Taf. 12, 12.
 Tafel 6, 32; 101, 32

33. Rfrgt. K 92.655.1
 L 5.1; B 5.2; Dm 19.0; WSt 0.3–0.7
 Ton: 7.5 YR 7/6; hart, sandig; kleine Kiesel- und Quarzeinschlüsse; feiner und mittelfeiner Hellglimmer, auch Dunkelglimmer.
 Oberfläche: leicht rau.
 Überzug: 10 YR 8/2 (hellbeige).

Malfarbe: dichter, deckender, dunkelbrauner bis schwarzer und matter Firnis; teils streifig, teils abgeplatzt.

Fundort: Milet, Kalabaktepe
 Kontext: Q 91.07/ Phase 2A? (Auffüllung für Phase 2? »Unterbau Stadtmauer?«)
 Archäometrie: *Yalcın* Prob.Nr.: TR-3K/244
 Milesisches Feld/Cluster 2,
 Hauptgruppe A (Milet)
 Typus: 2,2.B
 Dekorvariante: b/ Stilphase SiG III
 Dat.: 710/00-680/70 v. Chr.
 Tafel 6, 33; 102, 33

34. Rfrgt. K 93.552.1

L 4.31; B 4.18; Dm 15.4; WSt 0.64–0.78
 Ton: 5–7.5 YR 7–6/6; sehr hart; sandig; größere und kleinere Kiesel- und helle Sandquarzeinschlüsse; gut verdichtet, aber in Schichten gelegt; viel größerer Dunkelglimmer.
 Oberfläche: geglättet, aber rau.
 Malfarbe: außen: fest, teils dicht, teils durchscheinend dunkelbraun bis rötlichbraun changierend; innen: dicht, teils streifig, hell bis dunkel rötlichbraun changierend.

Fundort: Milet, Kalabaktepe
 Kontext: Q 92.05/ Phase 1 (?) („Kleinsteinig Schicht mit hellbraunem, sandigen Lehm. Auf dem natürlichen Lehm“ = *älteste Siedlungsschicht*)

Archäometrie: *Mommsen* Prob.Nr.: Mile 49
 Gruppe **A** (Milet)
 Kalabaktepe-Werkstätten
 Typus: 2,2.B
 Dekorvariante: b/ Stilphase SiG III
 Dat.: 710/00-680/70 v. Chr.
 Taf. 6, 34; 102, 34

35. Rfrgt. K 92.30.2

L 3.7; B 3.95; Dm 17.0; WSt 0.45–0.55
 Ton: 7.5 YR 6/6; hart; grob gemagert; grosse Kieseinschlüsse; feiner bis mittelfeiner Hellglimmer; grober Dunkelglimmer.
 Oberfläche: geglättet bzw. poliert; leicht sandig.
 Überzug: 10 YR 8-7/1.
 Malfarbe: außen: schwarz, teilweise abgeplatzt; innen: dunkelbraun-beige.

Fundort: Milet, Kalabaktepe
 Kontext: Q 91.07/ Phase 1c/2A
 (Zerstörungsschutt des Gebäudes der Phase 1)
 Typus: 2,2.B
 Dekorvariante: b/ Stilphase SiG III
 Dat.: 710/00-680/70 v. Chr.
 Tafel 6, 35; 102, 35

36. Rfrgt. K 91.391.1
 L 3.85; B 5.0; WSt 0.55–0.75
 Ton: 7.5 YR 7/4 (außen), 5 YR 7/6 (innen); fest;
 grob gemagert.
 Oberfläche: geglättet.
 Überzug: „wash“, enthält Hellglimmer.
 Malfarbe: von braun bis schwarz changierender,
 streifiger und stumpfer Firnis; teilweise
 abblättern.

Fundort: Milet, Kalabaktepe
 Kontext: Q 91.07/ Phase 4/5 (Auffüllung für
 Phase 5, scheint ein Graben in K 91.410
 zu sein, um die Steine der Mauer K
 91.341 zu versetzen)

Archäometrie: *Yalcın* Prob.Nr.: TR-3K/211
 Milesisches Feld/Cluster 2,
 Hauptgruppe A (Milet)

Typus: 2,2.B
 Dekorvariante: b/ Stilphase SiA I
 subgeometrisch (?)
 Dat.: 680/70-640/30 v. Chr. (?)
 Tafel 6, 36

37. Rfrgt. K 92.269.11
 L 3.3; B 6.4; Dm 20.0; WSt max. 0.9
 Ton: 7.5 YR 6/5; fest; sandig; grob gemagert;
 Kiesel- und Quarzeinschlüsse, teilweise aus
 der Oberfläche heraustretend; feinsten bis
 grober Hellglimmer; grober Dunkelglimmer.
 Malfarbe: rot; außen: abgerieben; innen: in Spuren
 vorhanden.

Fundort: Milet, Kalabaktepe
 Kontext: Q 92.03/ Phase 6–7 ("Wegschüttung":
 Auffüllung für die letzte archaische
 Phase, nach dem N-Profil noch
 nacharchaische Störung)

Archäometrie: *Yalcın* Prob.Nr.: TR-3K/241
 Milesisches Feld/Cluster 2,
 Hauptgruppe A (Milet)

Typus: 2,2.B
 Dekorvariante: b (?)
 Dat.: 710/00-640/30 v. Chr.
 Tafel 7, 37; 102, 37

Variante 2,3, südionisch

38. Pro. K 5614
 H 13.0; DmR ca. 19.8; DmF 9.0; WSt 0.65–0.75

Ton: 5 YR 6/6-8 (außen), 5 YR 7/6 (innen); fest;
 Kalkstein- und Kieseleschlüsse; grosse
 ziegelrote Kiesel.
 Oberfläche: kreidig, abreibbar.
 Malfarbe: dunkel, mit dem Pinsel aufgetragen; teils
 schwarzviolett, teils durchscheinend braun;
 teilweise abgeplatzt.

Fundort: Samos, Hera-Heiligtum
 Aufbewahrungsort: Samos, Depot Deutsches
 Grabungshaus

Typus: 2,3.A
 Dekorvariante: a/ SiG III-SiA I subgeometrisch
 Dat.: 710/00-640/30 v. Chr.
 Tafel 7, 38; 103, 38

39. Rfrgt. K 90.607.31
 L 2.5; B 3.3; Dm 14.0; WSt 0.3
 Ton: 7.5 YR 7-6/6; fest, sandig; Kieseleschlüsse;
 mittelfeiner und feiner Hellglimmer, auch
 Dunkelglimmer.
 Oberfläche: rau.
 Malfarbe: rotbraun changierend; teils dünn, teils
 deckend.

Fundort: Milet, Kalabaktepe
 Kontext: Q 90.01/ Phase 4A (Dicke Schicht unter
 dem Schotterbett = Auffüllung für Phase
 4)

Typus: 2,3.B
 Dekorvariante: c/ Stilphase SiA I subgeometrisch
 Dat.: 680/70-640/30 v. Chr.
 Tafel 7, 39; 103, 39

40. Rfrgt. K 2635
 L: 6.3; B 5.55; Dm ca. 15.0; WSt 0.3–0.55

Ton: 5 YR 7-6/7 (innen); fest; viele, teilweise grosse Einschlüsse; viel Hellglimmer.

Oberfläche: geglättet.

Überzug: 10 YR 8/3.

Malfarbe: rot bis dunkel.

Fundort: Samos, Hera-Heiligtum

Aufbewahrungsort: Samos, Depot Deutsches Grabungshaus

Typus: 2,3.B

Dekorvariante: c/ Stilphase SiA I subgeometrisch

Dat.: 680/70-640/30 v. Chr.

Tafel 7, 40; 103, 40

41. Rfrgt. K 93.252.14

L 3.9; B 4.9; Dm 22; WSt 0.45

Ton: 10 YR 6/2 (außen), 10 YR 6/6 (innen); hart; sandig gemagert; wenig grosse Poren; viel Quarz- und Kieselsteineinschlüsse; viel feiner Hellglimmer.

Malfarbe: schwarzer, dichter Firnis; außen: teilweise abgerieben.

Fundort: Milet, Kalabaktepe

Kontext: Q 92.05/ Phase 4/5 (Zerstörungsschicht des Ofens)

Typus: 2,3.B

Dekorvariante: c-d

Dekorvariante: c/ Stilphase SiA I subgeometrisch (?)

Dat.: 680/70-640/30 v. Chr. (?)

Tafel 7, 41; 103, 41

Variante 2,4, südionisch

42. Rfrgt. AT 55.74.3

L 4.23; B 8.46; Dm 13.0; WSt 0.43–0.5

Ton: 5 YR 4/6 (sekundär verbrannt); hart; Poren; schwarze Partikel; Kalksteineinschlüsse; viel feiner und heller Hellglimmer.

Oberfläche: sandig.

Malfarbe: schwarzer, matt glänzender, dichter und fester Firnis.

Fundort: Milet, Athena-Heiligtum

Kontext: keine Informationen

Typus: 2,4.B

Dekorvariante: a/ SiG III-SiA I subgeometrisch

Dat.: 710/00-640/30 v. Chr.

Tafel 8, 42; 103, 42

43. Rfrgt. AT 55.33.2

L 4.2; B 7.3; Dm 17.2; WSt 0.3–0.4

Keine weiteren Angaben: nicht auffindbar.

Fundort: Milet, Athena-Heiligtum

Kontext: Q F 12/ kleine geometrischen Fundstelle unter Fundament der Westperistase.

Funde: ausschließlich verbrannte Scherben (Herdstelle?).

Typus: 2,4.B

Dekorvariante: a/ SiG III-SiA I subgeometrisch

Dat.: 710/00-640/30 v. Chr.

Tafel 8, 43

44. Rfrgt. S 66.215.3

L 9.6; B 13.0; Dm 14.0; WSt 0.36–0.6

Ton: 10 YR 7/4-6; hart, leicht sandig; Kalksteineinschlüsse; schwarze Partikel; viel feiner und grober, heller und dunkler Hellglimmer.

Oberfläche: gut geglättet, jedoch heraustretende Beschlagstoffe.

Überzug: 2.5 Y 8/2.

Malfarbe: außen: rot bis rotbraun; streifig; innen: dunkel graubraun, dicht, stumpf und rauh.

Fundort: Milet, Südschnitt

Kontext: ab Oberkante der senkrecht stehenden Steine (= Schicht des 7.? Jh. v. Chr.) [Westabschnitt III/ Subgeometrische Brand- und Zerstörungsschicht (IstMitt 25, 1975, Kat.-Nr. 43 mit Verweis auf Kat.-Nr. 10)]

Typus: 2,4.B

Dekorvariante: c/ Stilphase SiG III

Dat.: 710/00-680/70 v. Chr.

Publ.: IstMitt 25, 1975, 41; 50-51 Kat.-Nr. 43 Abb. 17 Taf. 9, 43

Tafel 8, 44; 104, 44

45. Rfrgt. AT 56.KA.9a.2

L 3.0; B 7.8; Dm 17.0; WSt 0.26–0.34

Ton: 5 YR 6/6; hart; sehr fein gemagert; einige grössere Einschlüsse; schwarze Partikel; viel heller und dunkler Hellglimmer.

Oberfläche: geglättet (Schwamm).
Malfarbe: außen: rotbraun, dicht und fest, teils dünn; innen: rotbraun, dicht und fest.

Fundort: Milet, Athena-Heiligtum

Kontext: keine Information

Typus: 2,4.B

Dekorvariante: c

Dat.: 710/00-680/70 v. Chr.

Tafel 8, 45

46. Rfrgt. AT 68.2.1

L 3.75; B 5.25; WSt 0.25–0.45

Ton: 5 YR 6-5/6; hart; sandig aber fein gemagert; einige grössere Einschlüsse wie Kalksplitt und Sandquarze; viel feiner und mittelfeiner Dunkelglimmer.

Oberfläche: außen geglättet; innen rau und sandig.

Überzug: 10 YR 8/3

Malfarbe: dicht und fest, dunkelbraun bis schwarz.

Fundort: Milet, Athena-Heiligtum

Kontext: Schnitt I östlich des Athenertempels; Reinigung in der Nordostecke

Typus: 2,4.B

Dekorvariante: c/ Stilphase SiG III

Dat.: 710/00-680/70 v. Chr.

Tafel 8, 46; 104, 46

47. Rfrgt. K 91.113.16

L 4.5; B 3.1; WSt 0.5

Ton: 5 YR 6/6 (außen), 10 YR 6-5/4 (innen); fest, sandig; grob gemagert; Poren; Quarz- und Kieseinschlüsse; viel feiner und mittelfeiner Hellglimmer, sehr grober Dunkelglimmer.

Malfarbe: außen: rot; innen: dunkelgraubraun, dicht und deckend.

Fundort: Milet, Kalabaktepe

Kontext: Q 90.15/ Phase 3A (Auffüllung für Phase 3)

Typus: 2,4.B

Dekorvariante: c/ Stilphase SiG III

Dat.: 710/00-680/70 v. Chr.

Tafel 8, 47

48. Rfrgt. K 93.165.10

L 5.6; B 7.0; Dm 20.0; WSt 5.0–5.5

Ton: 7.5 YR 6/6; fest; Quarz-, Kiesel- und grosse Kalksteineinschlüsse; viel feiner bis mittelgrober Hell- und Dunkelglimmer.

Oberfläche: geglättet.

Überzug: „wash“; sehr dünn und durchscheinend.

Malfarbe: von hellrot bis dunkelrotbraun changierend, dicht.

Fundort: Milet, Kalabaktepe

Kontext: Q 92.07/ Phase 2B/3A (Boden der Phase 2 oder Auffüllung für 3)

Archäometrie: *Yalcın* Prob.Nr.: TR-3K/248
Milesisches Feld/Cluster 2,
Hauptgruppe A (Milet)

Typus: 2,4.B

Dekorvariante: d/ Stilphase SiA I subgeometrisch

Dat.: 680/70-640/30 v. Chr.

Tafel 8, 48; 104, 48

*Typus 2, Ostdorischer Import oder
Nachahmung 2. H. 7. Jh. v. Chr.*

49. Rfrgt. Z 94.133.12

L 2.2; B 3.6; Dm 12.0; WSt 0.22–0.33

Ton: 5 YR 7-6/6; hart; fein sandig; einige Quarz- und Kalksteineinschlüsse.

Malfarbe: fester, dichter, rotbrauner und leicht „speckiger“ Firnis.

Fundort: Milet, Aphrodite-Heiligtum

Kontext: Q 94.07/ 2. H. 6. Jh. v. Chr. oder später (Bauschicht und Perserzerstörung)

Typus: 2, ostdorisch

Dekorvariante: a/ Stilphase OdA I

Dat.: 660/50-610/00 v. Chr.

Tafel 9, 49

50. Rfrgt. Z 94.127.99 + Z
94.166.4

L 2.7; B 3.75; Dm ca. 12.0; WSt 0.25–0.28

Ton: 10-7.5 YR 7/6; hart; Poren; sehr fein gemagert; mittelfeiner Hell- und Dunkelglimmer.

Überzug: 2.5 Y 8/2.

Malfarbe: stumpfer, teils streifiger, von dunkelbraun bis schwarz changierender Firnis; aufgesetzte Farbe: Deckrot.

Fundort: Milet, Aphrodite-Heiligtum
 Kontext: Q 94.04/ 6. Jh. v. Chr. (Heiligtumsabfall des 6. Jh. v. Chr.) (Z 94.127)
 Q 94.10/ Anfang 6. Jh. v. Chr. (wie Z 94.164, Abdeckung und Zentrum des Bothros) (Z 94.166)

Typus: 2, ostdorisch
 Dekorvariante: aa/ Stilphase OdA I
 Dat.: 660/50-610/00 v. Chr.
 Tafel 9, 50

Übergang Typus 1./3.

51. Pro. K 2368
 H 8.7; DmR ca. 14.0 (sehr verzogen); DmF ca. 6.0; WSt 0.5–0.4
 Ton: 7.5 YR 7-6/6 (außen), 5 YR 6/6 (innen); fest; Kalk- und andere Einschlüsse; feiner und mittelfeiner Hellglimmer, auch Dunkelglimmer.
 Oberfläche: stark geglättet bzw. poliert.
 Überzug: annähernd 7.5 YR 7/4 (aber ein weisslicher, grauer Schleier darüber).
 Malfarbe: streifiger, schwarzer Firnis.
 Fundort: Samos, Hera-Heiligtum
 Aufbewahrungsort: Samos, Depot Deutsches Grabungshaus
 Typus: 1./3.A
 Dekorvariante: b/ Stilphase SiG III
 Dat.: 710/00-680/70 v. Chr.
 Publ.: Walter 1957, Beil. 53, 3.
 Tafel 9, 51; 104, 51

52. Pro. K 5384
 H 6.7–7.0; DmR 12.4; DmF 5.3; WSt 0.5–0.55
 Ton: 5 YR 6/6 (außen); 7.5 YR 6/6 (innen); teilweise sehr weich; Einschlüsse größerer Kalksteine sowie anderer kleiner Steine, teilweise aus der Oberfläche heraustretend; feiner Hellglimmer.
 Malfarbe: rötlich, außen teilweise ins Dunkle changierend; vollständig überzogen, jedoch stark verrieben.
 Fundort: Samos, Hera-Heiligtum
 Aufbewahrungsort: Samos, Depot Deutsches Grabungshaus

Typus: 1./3.A
 Dekorvariante: c/ Stilphase SiA I subgeometrisch
 Dat.: 680/70-650/40 v. Chr.
 Tafel 9, 52

53. Pro. K 5248
 H 9.6; DmR ca. 15.0; DmF 6.3; WSt 0.45–0.25
 Ton: 5 YR 6/8 (außen); 5 YR 6/8 (innen); 2.5 YR 5/8 (Mitte); rauh aber fest; viele Einschlüsse grösserer Partikel, vor allem Kalksteineinschlüsse; feiner Hellglimmer.
 Malfarbe: rötlich, stark verrieben bzw. abgeplatzt; außen: streifig; innen: vollständig überzogen.

Fundort: Samos, Hera-Heiligtum
 Aufbewahrungsort: Samos, Depot Deutsches Grabungshaus
 Typus: 1./3.A
 Dekorvariante: c/ Stilphase SiA I subgeometrisch
 Dat.: 680/70-650/40 v. Chr.
 Publ.: Walter – Vierneisel 1959, Beil. 15, 1.
 Tafel 9, 53; 104, 53

Typus 3

Variante 3,1, südionisch

54. Pro. K 2103
 H 7.9; DmR 13.8; DmF 5.25; WSt 0.4–0.5
 Ton: 7.5 YR 7/4-6 (außen); 7.5 YR 6/4-6 (innen); fest; viel kleiner bis mittelgroßer Hellglimmer.
 Malfarbe: rötlicher Firnis.
 Fundort: Samos, Hera-Heiligtum
 Aufbewahrungsort: Samos, Depot Deutsches Grabungshaus
 Typus: 3,1.B
 Dekorvariante: c/ Stilphase SiA I subgeometrisch
 Dat.: ca. 690/80-650/40 v. Chr.
 Publ.: Walter 1957, Beil. 68, 1.
 Tafel 10, 54; 104, 54

55. Rfrgt. K 90.520.10
 L 3.2; B 3.6; WSt 0.35–0.45
 Ton: 5 YR 6-5/6; kleine Kieseinschlüsse, teilweise aus der Oberfläche heraustretend;

feiner bis mittelfeiner Hellglimmer, auch Dunkelglimmer.
 Oberfläche: leicht rau, obwohl geglättet.
 Überzug: 10 YR 8-7/2; „wash“; dünn und durchscheinend; milchig beige.
 Malfarbe: außen: rot, dicht und deckend; innen: dunkelbraun.
 Fundort: Milet, Kalabaktepe
 Kontext: keine Angaben zu Befund K 90.520.
 Typus: 3,1.B
 Dekorvariante: c/ Stilphase SiA I subgeometrisch
 Dat.: ca. 690/80-650/40 v. Chr.
 Tafel 10, 55

56. Rfrgt. K 89.272.3

L 3.35; B 3.4; WSt 0.35
 Ton: 5 YR 6/6; hart, fest; sehr viel feiner und mittelfeiner Hellglimmer.
 Oberfläche: sandig, leicht rau; geglättet.
 Überzug: 10 YR 8/2, enthält Dunkelglimmer.
 Malfarbe: dunkel, braunrot; außen: dicht und streifig; innen: rötlichbraun; enthält Dunkelglimmer.

Fundort: Milet, Kalabaktepe
 Kontext: Q 89.08/ Phase 2-3 (Boden von Phase 2+3)
 Typus: 3,1.B
 Dekorvariante: c/ Stilphase SiA I subgeometrisch
 Dat.: ca. 690/80-650/40 v. Chr.
 Tafel 10, 56

57. Rfrgt. AT 55.KA.10a.3

L 5.5; B 6.8; Dm ca 18.0; WSt 0.57
 Ton: 5 YR 6/4; sehr hart; fein gemagert; porig; kleinere und grössere Kalksteineinschlüsse; sehr wenig Quarz- und graue Tuffeinschlüsse; feiner und gröberer Hell- und Dunkelglimmer.
 Oberfläche: gut geglättet.
 Malfarbe: von braunlich bis schwarz changierender, matt glänzender und dichter Firnis; außen überwiegend wässrig braun.

Fundort: Milet, Athena-Heiligtum
 Kontext: Quadrant F 13. Reine Schicht unmittelbar südöstlich des mykenischen Turmes, unterhalb einer tonigen Schicht aus brauner Erde
 Typus: 3,1.B

Dekorvariante: c/ Stilphase SiA I subgeometrisch
 Dat.: ca. 690/80-650/40 v. Chr.
 Tafel 10, 57

58. Rfrgt. S 66.129.3

L 8.8; B 4.7; Dm 16.8; WSt 0.35–0.6
 Keine weiteren Angaben, da nicht aufzufinden.
 Fundort: Milet, Südschnitt
 Kontext: Nordabschnitt/ Subgeometrische Brand- und Zerstörungsschicht (IstMitt 25, 1975, Kat.-Nr. 44 mit Verweis auf Kat.-Nr. 5)

Typus: 3,1.B
 Dekorvariante: d/ Stilphase SiA I subgeometrisch
 Dat.: ca. 690/80-650/40 v. Chr.
 Publ.: IstMitt 25, 1975, 51 Kat.-Nr. 44 Abb. 18 Taf. 9, 44
 Tafel 10, 58; 105, 58

59. Rfrgt. K 6750

L: 6.3; B 10.3; Dm ca. 21.0; WSt 0.4–0.65
 Ton: 2.5 YR 6-5/6; hart; Kalkstein- und Quarzeinschlüsse; viel feiner Hellglimmer.
 Malfarbe: stumpfer, schwarzer und streifiger Firnis, matt und dünn aufgetragen, enthält Dunkelglimmer.
 Fundort: Samos, Hera-Heiligtum
 Aufbewahrungsort: Samos, Museum Vath
 Typus: 3,1.B

Dekorvariante: c/ Stilphase SiA I subgeometrisch
 Dat.: ca. 690/80-650/40 v. Chr.
 Tafel 10, 59; 105, 59

Variante 3,2, südionisch

60. Rfrgt. Z 94.114.348

L 3.21; B 3.9; Dm ca. 17; WSt 0.38–0.42
 Ton: 5 YR 7-6/6; fest; viel vulkanisch-glasige Einschlüsse; helle Kalkpartikel und sandige Kiesel; dicht gepackt; viel feiner und grober Hell- und Dunkelglimmer.
 Oberfläche: sandig, leicht rau; geglättet.
 Malfarbe: dichte, feste, deckende rote Malfarbe („lackartig“).

Fundort: Milet, Aphrodite-Heiligtum
 Kontext: Q 94.06/ 6. Jh. v. Chr.
 (Heiligtumsabfall, teilweise schon auf dem Tuff)
 Typus: 3,2.B
 Dekorvariante: c (innen tongrundig und Band oder Bänder)/ Stilphase SiA I subgeometrisch
 Dat.: ca. 690/80-650/40 v. Chr.
 Tafel 11, 60; 105, 60

61. Pro. K 2016
 H 7.3; DmR 13; DmF 5.0; WSt 0.2–0.35
 Ton: 5 YR 6/4-6 (außen), ca. 2.5 YR 5/6 (innen); fest; Kalkstein- und Quarzeinschlüsse; viel feiner und mittelfeiner Hellglimmer, auch grober Dunkelglimmer.
 Malfarbe: außen: streifig aufgetragener, matter Firnis, teils dunkelbraunschwarz, teils bräunlichrot; innen: rotbrauner, dichter und deckender Firnis.
 Fundort: Samos, Hera-Heiligtum
 Aufbewahrungsort: Samos, Depot Deutsches Grabungshaus
 Typus: 3,2.A (Sonderform mit Standboden)
 Dekorvariante: b/ Stilphase SiA I subgeometrisch
 Dat.: ca. 690/80-650/40 v. Chr.
 Publ.: Walter 1957, Beil. 53, 4.
 Tafel 11, 61; 105, 61

62. Rfrgt. K 93.166.2
 L 2.9; B 5.9; Dm 18.0; WSt 0.4
 Ton: grau (verbrannt); hart; kleine Kiesel- und Quarzeinschlüsse; viel feiner und mittelgrober Hellglimmer.
 Überzug: ja (Farbe unkenntlich).
 Malfarbe: vermutlich dunkel (verbrannt).
 Fundort: Milet, Kalabaktepe
 Kontext: Q 92.07/ Phase 2/3A (Boden der Phase 2 oder Auffüllung für 3)
 Archäometrie: *Yalcm* Prob.Nr.: TR-3K/246 Milesisches Feld/Cluster 2, Hauptgruppe A (Milet)
 Typus: 3,2.B
 Dekorvariante: c/ Stilphase SiA I subgeometrisch
 Dat.: ca. 690/80-650/40 v. Chr.

Tafel 11, 62; 105, 62

63. Rfrgt. K 2036
 L: 3.5; B 6.1; Dm 14.0; WSt 0.4
 Ton: 5 YR 7-6/6; fest; viele unterschiedliche Einschlüsse (schlecht geschlämmter Ton); viel feiner Hellglimmer.
 Fundort: Samos, Hera-Heiligtum
 Aufbewahrungsort: Samos, Depot Deutsches Grabungshaus
 Typus: 3,2.B
 Dekorvariante: c/ Stilphase SiA I subgeometrisch
 Dat.: ca. 690/80-650/40 v. Chr.
 Tafel 11, 63; 106, 63

64. Rfrgt. K 93.507.3
 L 2.7; B 2.3; Dm 16.0; WSt 0.32
 Ton: 5 YR 6/6 (außen), 7.5 YR 5/2 (innen); hart; sandig gemagert; mit kleinen Kiesel- und Quarzeinschlüssen; enthält Hellglimmer.
 Oberfläche: poliert.
 Überzug: „wash“, enthält groben (Dunkel-) Hellglimmer.
 Malfarbe: schwarz, fest und matt; enthält groben Dunkelglimmer.
 Fundort: Milet, Kalabaktepe
 Kontext: Q 92.02/ Phase vor 5 (1/2?) (Einfüllung zwischen Außenmauer und Innenwand des Ofens)
 Typus: 3,2.B
 Dekorvariante: c (innen tongrundig und Band oder Bänder)/ Stilphase SiA I subgeometrisch
 Dat.: ca. 690/80-650/40 v. Chr.
 Tafel 11, 64; 106, 64

65. Rfrgt. K 90.407.1
 L 5.7; B 5.0; Dm 20.0; WSt 0.35
 Ton: 7.5 YR 5/6; hart; leicht sandig; Kieseinschlüsse, teilweise aus der Oberfläche herausragend; feiner Hell- und Dunkelglimmer.
 Oberfläche: geglättet.
 Überzug: 10 YR 8/2 – 2.5 Y 8/2.
 Malfarbe: von dunkelbraun bis schwarz changierend, dicht, nur teilweise streifig.
 Fundort: Milet, Kalabaktepe

Kontext: Q 90.07/ Streufund
 Typus: 3,2.B
 Dekorvariante: d/ Stilphase SiA I subgeometrisch
 Dat.: ca. 690/80-650/40 v. Chr.
 Tafel 11, 65

66. Rfrgt. K 92.61.4
 L 4.65; B 6.0; Dm 27,8; WSt 0.5
 Ton: 10 YR 6/4; hart; grosse Kieseinschlüsse,
 teilweise aus der Oberfläche heraustretend;
 viel feiner Hellglimmer; mittelfeiner
 Dunkelglimmer.
 Oberfläche: geglättet.
 Überzug: 2.5 Y 8/2; „wash“, dünn.
 Malfarbe: schwarzer, matter, dichter und
 deckender, matt metallisch glänzender Firnis;
 streifig.

Fundort: Milet, Kalabaktepe
 Kontext: Q 91.09/ Phase 6A (Aufschüttung für
 den Boden der Phase 6)

Archäometrie: *Yalcin* Prob.Nr.: TR-3K/247
 Milesisches Feld/Cluster 2,
 Hauptgruppe A (Milet)

Typus: 3,2.B
 Dekorvariante: c-d/ Stilphase SiA I
 subgeometrisch

Dat.: ca. 690/80-650/40 v. Chr.
 Tafel 11, 66

67. Rfrgt. AT 55.12.3
 L 5.4; B 8.4; Dm ca. 21; WSt 0.39–0.44
 Ton: 2.5 YR 6/4-6; sandig gemagert; leicht porig;
 schieferig; gelbliche bis weisse
 Kalksteineinschlüsse; viel feiner Hell- und
 gröberer Dunkelglimmer.
 Oberfläche: stark geglättet.
 Malfarbe: rötlichbrauner, fester und dichter Firnis.
 Fundort: Milet, Athena-Heiligtum
 Kontext: Q E 13/ aus der Schüttung unter dem
 römischen und hellenistischen Niveau
 der Erweiterung des W-O Grabens nach
 Westen.
 Typus: 3,2.B
 Dekorvariante: c/ Stilphase SiA I subgeometrisch
 Dat.: ca. 690/80-650/40 v. Chr.
 Tafel 12, 67

Variante 3,3, südionisch

68. Rfrgt. AT 57.N.37.1
 L 4.2; B 5.6; Dm 17.0; WSt 0.4–0.53
 Ton: 5 YR 7/6; leicht sandig gemagert;
 Tuffeinschlüsse; Hell- und Dunkelglimmer.
 Oberfläche: geglättet (Schwamm).
 Malfarbe: schwarzer, matter, stumpfer und dichter,
 außen teils dünner und brauner Firnis.

Fundort: Milet, Athena-Heiligtum
 Kontext: Geometrisch-spätgeometrisch
 Typus: 3,3.B

Dekorvariante: c-d/ Stilphase SiA I
 subgeometrisch

Dat.: ca. 690/80-650/40 v. Chr.
 Tafel 12, 68

69. Rfrgt. S 68.26.1
 L 4.9; B 3.8; Dm ca. 18.0; WSt 0.54–0.62
 Ton: 10 YR 6/4; fest, aber brüchig, schieferig;
 sandig gemagert; viel feine Quarzeinschlüsse;
 schwarze Partikel; viel Hell- und
 Dunkelglimmer.
 Oberfläche: gut geglättet.
 Malfarbe: von schwarz bis dunkelbraun und grau
 changierender, fester Firnis; außen teilweise
 abgeplatzt.

Fundort: Milet, Südschnitt
 Kontext: keine Information
 Typus: 3,3.B

Dekorvariante: c/ Stilphase SiA I subgeometrisch
 Dat.: ca. 690/80-650/40 v. Chr.
 Tafel 12, 69

70. Rfrgt. K 92.543.18
 L 4.5; B 4.3; Dm 17.0; WSt 0.4–0.45
 Ton: 10 YR 8-7/4; hart; kleine Quarzeinschlüsse;
 viel feiner bis mittelfeiner Hell- und
 Dunkelglimmer.
 Oberfläche: geglättet.
 Überzug: 2.5 Y 8/2-3; dicht.
 Malfarbe: dunkelbraun bis schwarz; dichter und
 deckender, matter Firnis.
 Fundort: Milet, Kalabaktepe

Kontext: Q 91.03/ Phase 2B (Boden der Phase 2, Nutzungszeit von Phase 2)

Archäometrie: *Yalcm* Prob.Nr.: TR-3K/250
Milesisches Feld/Cluster 2,
Hauptgruppe A (Milet)

Typus: 3,3.B

Dekorvariante: c-d/ Stilphase SiA I
subgeometrisch

Dat.: ca. 690/80-650/40 v. Chr.

Tafel 12, 70

71. Rfrgt. K 90.222.9

L 4.5; B 7.6; DmR 27.0; WSt 0.45–0.7

Keine weiteren Angaben, da nicht aufzufinden.

Fundort: Milet, Kalabaktepe

Kontext: Q 90.03/ Phase 3 oder 4B (Schutt Phase 3 oder Boden Phase 4)

Archäometrie: *Yalcm* Prob.Nr.: TR-3K/245
Milesisches Feld/Cluster 2,
Hauptgruppe A (Milet)

Typus: 3,3.B

Dekorvariante: c/ Stilphase SiA I subgeometrisch

Dat.: ca. 690/80-650/40 v. Chr.

Tafel 12, 71; 106, 71

72. Rfrgt. K 93.110.8

L 5.1; B 9.1; Dm 20.0; WSt 0.4–0.5

Ton: 7.5 YR 6-5/6; fest; kleine Kiesel- und Quarzeinschlüsse; feiner bis mittelfeiner Hellglimmer, auch Dunkelglimmer.

Oberfläche: geglättet (Schwamm).

Überzug: 10 YR 8/2-3; „wash“, milchig.

Malfarbe: dunkelbraun und schwarz; dicht und deckend, jedoch teilweise abgerieben.

Fundort: Milet, Kalabaktepe

Kontext: Q 92.07/ Phase 2–5 (Auffüllung für den Hofboden)

Archäometrie: *Yalcm* Prob.Nr.: TR-3K/249
Milesisches Feld/Cluster 2,
Hauptgruppe A (Milet)

Typus: 3,3.B

Dekorvariante: c/ Stilphase SiA I subgeometrisch

Dat.: ca. 690/80-650/40 v. Chr.

Tafel 13, 72

Typus 4

Variante 2,1, südionisch/milesisch

73. Rfrgt. AT 57.N.96.2

L 8.9; B 10.56; Dm 18.5; WSt 0.34–0.42

Ton: 5 YR 7-6/6; hart; fein gemagert; in Schichten; feine Poren; Kalksteineinschlüsse; Dunkelglimmer.

Überzug: 10 YR 8/2; sehr dünn.

Malfarbe: von rötlichbraun bis dunkelbraun changierender, streifiger, dichter und fester, teilweise sehr wässriger Firnis.

Fundort: Milet, Athena-Heiligtum

Kontext: Spätgeometrisch

Typus: 4,1.B

Dekorvariante: d

Dat.: 690/80-680/70 v. Chr.

Tafel 13, 73; 106, 73

74. Rfrgt. K 92.490.33

L 7.5; B 11.4; Dm 19.0; WSt 0.25–0.45

Ton: 7.5 YR 6/6; fest; grob gemagert mit kleinen Kiesel- und Quarzeinschlüssen; teils sehr grosse Kiesel; feiner bis mittelfeiner Hellglimmer.

Überzug: 10 YR 8/2-3.

Malfarbe: innen: von rötlich bis schwarz changierend; außen: dunkelbraun streifig; dicht und deckend.

Fundort: Milet, Kalabaktepe

Kontext: Q 92.03/ Phase 1–5 (Auffüllung in der Gasse für die vorletzte archaische Siedlungsphase)

Archäometrie: *Yalcm* Prob.Nr.: TR-3K/251b
Milesisches Feld/Cluster 2,
Hauptgruppe A (Milet)
Prob.Nr. *Mommsen*: Mile 52
Gruppe **D** (Milet)

Typus: 4,1.B

Dekorvariante: d

Dat.: 690/80-670/60 v. Chr.

Tafel 13, 74; 106, 74

75. Rfrgt. S 63.33.2

L 3.9; B 5.7; Dm 17.0; WSt 0.48–0.58

Ton: 5 YR 7/4; sandig gemagert; stark porig;
Kalksteineinschlüsse; Hell- und
Dunkelglimmer.

Überzug: „wash“.

Malfarbe: schwarzer, matt glänzender und
grösstenteils abgeriebener Firnis.

Fundort: Milet, Südschnitt

Kontext: auf beiden Langseiten von Mauer D.
Südlicher und nördlicher Teil, bis ca. 30
cm unter deren Oberkante (7./6. Jh. v.
Chr.).

Typus: 4,1.B

Dekorvariante: d

Dat.: 690/80-670/60 v. Chr.

Tafel 13, 75

Variante 4,2, südionisch/milesisch

76. Rfrgt. + F. K 92.422.6

L 6.1; B 10.1; WSt 0.33-0.41 (Rfrgt.)

H 1.2; DmF 3.6 (F.)

Ton: 5 YR 6/6 (außen und innen), 10 YR 5/3
(Bruch); weich; grob gemagert; Kalk- und
Kieseinschlüsse; feiner bis mittelfeiner Hell-
und Dunkelglimmer.

Oberfläche: geglättet.

Malfarbe: rot bis rotbraun changierend, streifig,
fest, lackartig deckend und dicht.

Fundort: Milet, Kalabaktepe

Kontext: Q 91.03/ Phase 2/3A (Auffüllung für
Phase 3)

Typus: 4,2.B

Dekorvariante: d

Dat.: 680/70-630/20 v. Chr.

Tafel 14, 76; 107, 76

77. vollst. Z 08.472.212 (mit
Anpassungen aus Z
08.476+ Z 08.477+ Z
08.478+ Z 08.482+ Z
08.484+ Z 08.485+ Z
09.13+ Z 09.22)

H 11.68; DmR 19.5; WSt 0.31-0.37

Ton: 5-7.5 YR 7/4; klingend hart; leicht sandig,
leicht körnig; größere und kleinere
Kalksteineinschlüsse, beige Einschlüsse; viele
feine Lufteinschlüsse und Poren; viel feiner
Dunkelglimmer.

Oberfläche: außen extrem fein geglättet.

Überzug: ca. 7.5-10 YR 8/3, aber etwas heller und
mehr braun; fest, deckend.

Malfarbe: fester, streifiger, grobenteils abgeplatzter,
graubrauner bis dunkelbraun, teils
schwarzbraun; Reste des abgeplatzten zeigen
matt metallisch glänzenden Firnis.

Fundort: Milet, Aphrodite-Heiligtum

Kontext: Q 08.74/ bis 630/620 v. Chr. (Aus der
oberen Abschlußfüllung des Bothros,
der mit Spätprotokorinthischem
geschlossen wird und viele vollständige
Gefäße aufweist).

Typus: 4,2.B

Dekorvariante: d

Dat.: 680/70-630/20 v. Chr.

Taf. 14, 77; 107, 77

Variante 4,3, südionisch/milesisch

78. Rfrgt. + F. K 90.807.1

L 6.1; B 15; Dm 18.6; WSt 0.3-0.4 (Rfrgt.)

H 3.3; Dm 5.6 (F.)

Ton: 7.5 YR 7/4; fest; kleine Quarzeinschlüsse;
feiner Hell- und Dunkelglimmer.

Oberfläche: stark geglättet.

Überzug: „wash“; dünn und stark verrieben.

Malfarbe: schwarzer, matter und dichter Firnis,
stellenweise starker Abrieb.

Fundort: Milet, Kalabaktepe

Kontext: R 90.04/ Phase 1 (Boden der Phase 1,
vor Beginn der Errichtung der
Stadtmauer)

Archäometrie: *Yalcın* Prob.Nr.: TR-3K/251
Milesisches Feld/Cluster 2,
Hauptgruppe A (Milet)
Mommsen Prob.Nr.: Mile 53
Gruppe **DD-1**
(unlokalisiert, vermutlich Milet)

Typus: 4,3.B

Dekorvariante: d

Dat.: 680/70-650/40 v. Chr.

Tafel 14, 78; 108, 78

79. Rfrgt. K 92.171.3

L 8.1; B 6.5; Dm. 18.0; WSt 0.4-0.45

Ton: 7.5 YR 7-6/4; fest; mittelfeine
 Quarzeinschlüsse; viel feiner Hellglimmer.
 Überzug: 10 YR 8/3; „wash“.
 Malfarbe: dichter, deckender, stumpfer und
 schwarzer Firnis.
 Fundort: Milet, Kalabaktepe
 Kontext: Q 92.02/ Phase 7 (Auffüllung für Phase
 5 und späterem Brunnen mit spät- oder
 nacharchaischer Schuttverfüllung)
 Typus: 4,3.B
 Dekorvariante: d
 Dat.: 680/70-630/20 v. Chr.
 Tafel 15, 79; 108, 79

80. Rfrgt. AT 55.13.4
 L 6.9; B 8.63; Dm 20.0; WSt 0.28–0.33
 Ton: 5 YR 7-6/6; fein gemagert; Quarz- und
 Kalksteineinschlüsse; Poren; feiner Hell- und
 Dunkelglimmer.
 Oberfläche: gut geglättet.
 Malfarbe: außen: schwarz, fest, dicht und matt
 glänzend; innen: rötlichbraun, dicht und fest.
 Fundort: Milet, Athena-Heiligtum
 Kontext: Q E 13/ Erweiterung des W-O Grabens
 nach Westen. AT 55.13a: Höhere, nicht
 reine Schichten; AT 55.13b: Unterhalb
 + 0,95 m. Die Schicht ist in Folge des
 hier durchbrochenen hellenistischen
 Fundaments nicht rein
 Typus: 4,3.B
 Dekorvariante: d
 Dat.: 680/70-630/20 v. Chr.
 Tafel 15, 80

81. Rfrgt. K 91.147.6
 L 4.2; B 8.1; Dm 18.0; WSt 0.3–0.4
 Ton: 7.5 YR 7-6/6; hart; sandig gemagert; viel
 feiner und mittelfeiner Hellglimmer, auch
 gröberer Dunkelglimmer.
 Oberfläche: etwas sandig und rau; geglättet.
 Malfarbe: dicht und schwarzbraun, ins rotbraun
 changierend.
 Fundort: Milet, Kalabaktepe
 Kontext: Q 90.15/ Phase 1 (Fundamentgraben der
 Phase 1)
 Typus: 4,3.B
 Dekorvariante: d

Dat.: 680/70 v. Chr.
 Tafel 15, 81; 108, 81
82. Rfrgt. K 91.113.17
 L 5.7; B 2.8; WSt 0.3–0.35
 Ton: 7.5 YR 7-6/6; hart; mittelgrosse Kiesel- und
 Kalksteineinschlüsse; viel feiner Hellglimmer,
 auch Dunkelglimmer.
 Oberfläche: stark geglättet.
 Überzug: 2.5 Y 8/2; dicht.
 Malfarbe: metallisch schwarz; dicht; teilweise,
 besonders außen, abgerieben.
 Fundort: Milet, Kalabaktepe
 Kontext: Q 90.15/ Phase 2/3A (Auffüllung für
 Phase 3)
 Typus: 4,3.B
 Dekorvariante: d
 Dat.: 680/70-630/20 v. Chr.
 Tafel 15, 82

83. Rfrgt. S 63.114.1
 L 17; B 6.38; Dm 19.0; WSt 0.28–0.32
 Ton: 7.5 YR 6/6; sandig gemagert; schwarze
 Partikel; leicht porig.
 Oberfläche: geglättet (Schwamm).
 Malfarbe: von schwarz bis rotbraun changierender,
 streifiger, dichter, fester und matter Firnis.
 Fundort: Milet, Südschnitt
 Kontext: keine verlässlichen Informationen
 Typus: 4,3.B
 Dekorvariante: d
 Dat.: 680/70-630/20 v. Chr.
 Publ.: IstMitt 23/24, 1973/1974, 93 Kat.-Nr. 31 Taf.
 20, 31
 Tafel 16, 83; 109, 83

84. Rfrgt. K 93.535.11
 L 5.8; B 5.8; Dm 16.0; WSt 0.4
 Ton: 7.5 YR 6/6; hart; etwas sandig gemagert;
 grössere Magerungspartikel (organisch?)
 teilweise herausgebrochen; viel feiner
 Hellglimmer, auch Dunkelglimmer.
 Oberfläche: geglättet.
 Malfarbe: schwarz und matt; dicht bis streifig.

Fundort: Milet, Kalabaktepe
 Kontext: Q 92.07/ Phase 7–8 (Einfüllung im Schacht)
 Typus: 4,3.B
 Dekorvariante: d
 Dat.: 680/70-630/20 v. Chr.
 Tafel 16, 84; 109, 84

85. Rfrgt. S 63.53.1
 L 3.52; B 6.53; Dm 24.2; WSt 0.38–0.44
 Ton: 7.5 YR 6/6; hart; fein gemagert; in Schichten; Poren; schwarze Partikel; wenig kleine Quarzeinschlüsse;
 Oberfläche: stark geglättet.
 Malfarbe: von dunkelbraun bis schwarz changierender, streifiger, matt glänzender und fester Firnis; außen: grösstenteils abgerieben.
 Fundort: Milet, Südschnitt
 Kontext: unter Unterkante der Steinschüttung, ehemals als Mauer J bezeichnet/ gestört.
 Typus: 4,3.B
 Dekorvariante: d
 Dat.: 680/70-630/20 v. Chr.
 Tafel 16, 85

86. Rfrgt. K 92.85.8
 L 5.2; B 5.0; WSt 0.3–0.4
 Ton: ca. 7.5 YR 6-5/6; fein gemagert; feine Quarzeinschlüsse; feiner Hellglimmer.
 Oberfläche: geglättet.
 Überzug: stark verwaschen, aber war wohl ursprünglich vorhanden.
 Malfarbe: schwarzer, matter Firnis, in dunkelbraun changierend, teilweise abgeplatzt.
 Fundort: Milet, Kalabaktepe
 Kontext: Q 91.08/ Phase 1/2A (Lehmziegelfundament der Stadtmauer und Auffüllung für Phase 2)
 Typus: 4,3.B
 Dekorvariante: d
 Dat.: 680/70-650/40 v. Chr.
 Tafel 16, 86

Typus 5

Variante 5,1, südionisch

87. Pro. K 5612
 H 11.1 - 3; DmR 18.4; DmF 5.4; WSt 0.5–0.6
 Ton: 5 YR 6/6; fest; Kalk- und Kieseinschlüsse, grössere drücken sich durch die Oberfläche; feiner Hellglimmer.
 Überzug: 10 YR 8/3.
 Malfarbe: streifiger, dunkler, grösstenteils abgeplatzter Firnis; ins rötliche changierend; weisslicher Überzug an Aussparungen sichtbar.
 Fundort: Samos, Hera-Heiligtum
 Aufbewahrungsort: Samos, Depot Deutsches Grabungshaus
 Typus: 5,1.B
 Dekorvariante: ea
 Dat.: 680/70-640/30 v. Chr.
 Tafel 17, 87; 109, 87

88. Rfrgt. Z 09.53.83
 L;2,48 B 3.89; Dm n. bestimmbar; WSt 0.31-0.37
 Ton: 7.5 YR 7/4; hart; nur leicht gemagert; kleinere Quarz- und helle Kalksteineinschlüsse sowie viele schwarze Partikel; verdichtet, aber leicht körnig; viel feiner Dunkelglimmer.
 Oberfläche: gut geglättet.
 Überzug: 2.5 Y 8/2-3, aber heller; dicht und fest.
 Malfarbe: außen: größten teils abgeplatzter, matter schwarzer Glanzton; innen: fester, dichter, leicht streifiger, matter schwarzer Glanzton.
 Fundort: Milet, Aphrodite-Heiligtum
 Kontext: Q 08.74/ bis 630/620 v. Chr. (Aus der oberen Abschlußfüllung des Bothros, der mit Spätprotokorinthischem geschlossen wird und viele vollständige Gefäße aufweist).
 Typus: 5,1.B
 Dekorvariante: ea
 Dat.: 680/70-640/30 v. Chr.
 Taf. 109, 88

89. Rfrgt. S 63.90.1
 L 4.8; B 14.35; Dm 17; WSt 0.32–0.36
 Ton: 2.5 YR 5/6; fein gemagert; schwarze Partikel; Kalkstein- und Schamotteinschlüsse; wenig Quarzeinschlüsse.
 Oberfläche: geglättet.

Malfarbe: von dunkelbraun bis schwarz changierender, streifiger und matt metallisch glänzender Firnis; teilweise dünner aufgetragen, dann wässrig braun bis rötlichbraun.

Fundort: Milet, Südschnitt

Kontext: zwischen Mauer A1 und U/ 7./6. Jh. v. Chr. (ab deren Oberkante. Westlich von B; braune Erde mit Muscheln und Kieseln).

Typus: 5,1.B

Dekorvariante: ea

Dat.: 680/70-640/30 v. Chr.

Publ.: *IstMitt* 23/24, 1973/1974, 85; 98 Kat.-Nr. 64 Abb. 13 Taf. 24, 64

Tafel 17, 89; 109, 89

90. Rfrgt. K 92.37.6

L 5.5; B 6.4; Dm ca. 20.0; WSt 0.35–0.5

Ton: 7.5 YR 6-5/4-6; feine Quarzeinschlüsse; feiner bis mittelfeiner Hellglimmer, auch Dunkelglimmer.

Überzug: 2.5 Y 8/2-3; dicht.

Malfarbe: von schwarz bis dunkelbraun changierender, matter und dichter Firnis.

Fundort: Milet, Kalabaktepe

Kontext: Q 91.08/ Phase 3A/3B (Trethorizont der Phase 3 mit Auffüllung darunter)

Archäometrie: *Yalcın* Prob.Nr.: TR-3K/255 Milesisches Feld/Cluster 2, Hauptgruppe A (Milet)

Typus: 5,1.B

Dekorvariante: e

Dat.: 680/70-640/30 v. Chr.

Tafel 17, 90; 110, 90

91. Rfrgt. K 92.432.3

L 2.9; B 3.7; WSt 0.45–0.5

Ton: 7.5 YR 6-5/4-6; feine Quarzeinschlüsse; feiner bis mittelfeiner Hellglimmer, auch Dunkelglimmer.

Überzug: 2.5 Y 8/2-3; dicht.

Malfarbe: von schwarz bis dunkelbraun changierender, dichter und matter Firnis.

Fundort: Milet, Kalabaktepe

Kontext: Q 91.04/ Phase 2B (Boden der Phase 2)

Typus: 5,1.B

Dekorvariante: e

Dat.: 680/70- ca. 640 v. Chr.

Tafel 17, 91

92. Rfrgt. S 63.80.1

L 5.4; B 9.4; Dm 18.2; WSt 0.35–0.45

Ton: 5 YR 5/4; hart; grosse Kalkstein- und kleine Kieseleschlüsse; mittelfeiner Hellglimmer.

Oberfläche: geglättet.

Überzug: „wash“.

Malfarbe: schwarzer, dichter und fester, matt glänzender Firnis; außen: Bänder dünn und bräunlich.

Fundort: Milet, Südschnitt

Kontext: westlich und südwestlich von Mauer W/ 7./6. Jh. v. Chr. (ab der Oberkante des Fundaments; aus dem Steg unter B, in Höhe des Fundaments von Westen).

Typus: 5,1.B

Dekorvariante: e

Dat.: 680/70-640/30 v. Chr.

Tafel 17, 92

93. Rfrgt. S 63.79.1–3

L 5.4; B 9.4; Dm 18.0; WSt 0.35–0.45

Ton: 5 YR 5/4; hart; grosse Kalkstein- und kleine Kieseleschlüsse; mittelfeiner Hellglimmer.

Oberfläche: geglättet.

Überzug: „wash“.

Malfarbe: schwarzer, dichter und fester, matt glänzender Firnis; außen: Bänder dünn und bräunlich.

Fundort: Milet, Südschnitt

Kontext: südlich und südwestlich von Mauer W/ 7. Jh. v. Chr. (brauner Sand, teilweise mit Lehm).
[Aus einem Areal westlich von W ohne klare Schichtentrennung/ von spätgeometrischer Zeit bis 3. Viertel 7. Jh. v. Chr. (*stMitt* 23/24, 1973/1974, 98 Kat.-Nr. 65 mit Verweis auf Kat.-Nr. 75)]

Archäometrie: *Yalcın* Prob.Nr.: TR-3K/212-214 Milesisches Feld/Cluster 2, Hauptgruppe A (Milet)

Typus: 5,1.B

Dekorvariante: e

Dat.: 680/70-640/30 v. Chr.
 Publ.: IstMitt 23/24, 1973/1974, 85; 98 Kat.-Nr. 65
 Taf. 24, 65
 Tafel 18, 93

94. Rfrgt. Z 09.120.49
 L 4,62; B 4,87; Dm ca. 19.5; WSt 0.44 – 0.52
 Ton: 5 YR 7/4; sehr hart; fein ausgeschlämmt;
 kleinere Kieselstein- und Quarzeinschlüsse
 sowie feine schwarze Partikel; verdichtet, aber
 kleine Lufteinschlüsse; etwas feiner
 Dunkelglimmer.
 Oberfläche: sehr gut geglättet.
 Malfarbe: fester, dichter, teils streifiger, dann ins
 dunkelbraune changierender, schwarzer matt
 glänzender Firnis.
 Kommentar: Form entspricht vollständig **89.+95**.
 Fundort: Milet, Aphrodite-Heiligtum
 Kontext: Q 08.74/ bis 630/620 v. Chr. (Aus der
 oberen Abschlußfüllung des Bothros,
 der mit Spätprotokorinthischem
 geschlossen wird und viele vollständige
 Gefäße aufweist).
 Typus: 5,1.B
 Dekorvariante: e
 Dat.: 680/70-640/30 v. Chr.
 Taf. 110, 94

95. Rfrgt. S 63.90.2
 L 5.2; B 7.3; Dm 15.5; WSt 0.17–0.2
 Ton: 2.5 YR 6/6; hart; äusserst fein gemagert;
 einige kleine schwarze Partikel; gelbbeige
 Tuff- oder Kalksteineinschlüsse; viel feiner
 Hell- und teilweise grober Dunkelglimmer.
 Oberfläche: stark geglättet (Schwamm).
 Malfarbe: schwarzer, fester, matt metallisch
 glänzender Firnis; teilweise dünn aufgetragen,
 dann bräunlich.
 Fundort: Milet, Südschnitt
 Kontext: zwischen Mauer A1 und U/ 7./6. Jh. v.
 Chr. (ab deren Oberkante; westlich von
 B; braune Erde mit Muscheln und
 Kiesel).
 Typus: 5,1.B
 Dekorvariante: e
 Publ.: IstMitt 23/24, 1973/1974, 85; 100 Kat.-Nr.
 73 Abb. 19 Taf. 25, 73

Dat.: 680/70-640/30 v. Chr.
 Tafel 18, 95

Variante 5,2, südionisch

96. Rfrgt. S 63.86.3
 L 5.55; B 14.35; Dm 18.0; WSt 0.22
 Ton: 5 YR 7/4-6 (außen), 5 YR 6/6 (innen); hart;
 fein gemagert; leicht porig; wenig schwarze
 Partikel; wenig feine Kalksteineinschlüsse.
 Oberfläche: stark geglättet.
 Malfarbe: von dunkelbraun bis schwarz
 changierender, leicht glänzender, teils streifiger
 Firnis.
 Fundort: Milet, Südschnitt
 Kontext: ab der Oberkante von Mauer D1/ 7. Jh.
 v. Chr. (auf der Nord- und Südseite.
 Braune Erde mit Steinschutt).
 [Einzelfund (IstMitt 23/24, 1973/1974,
 98 Kat.-Nr. 63)]
 Typus: 5,2.B
 Dekorvariante: ea
 Publ.: IstMitt 23/24, 1973/1974, 85; 97-98 Kat.-Nr.
 63 Abb. 12 Taf. 24, 63
 Dat.: ca. 660/50-630/20 v. Chr.
 Tafel 18, 96; 110, 96

97. Rfrgt. K 92.368.18
 L 4.48; B 4.69; Dm 16.5; WSt 0.42–5
 Ton: 5 YR 7/4; hart; ausgeschlämmt; einige Kalk-
 und Kieseleinschlüsse und viele dunkle
 Partikel; verdichtet, wenige Luftporen; viel
 feiner Hell- und Dunkelglimmer.
 Oberfläche: gut geglättet.
 Überzug: innen: dünner, milchiger »wash«.
 Malfarbe: dunkelbraun; rötlichbraun, dicht, fast
 lackartig.
 Fundort: Milet, Kalabaktepe
 Kontext: Q 92.03/ Phase 5/6 (Auffüllung für die
 letzte archaische Siedlungsphase)
 Archäometrie: *Mommsen* Prob. Nr.: Mile 56
 Gruppe **J** (Samos)
 Typus: 5,2.B
 Dekorvariante: ea
 Dat.: ca. 660/50-630/20 v. Chr.
 Taf. 18, 97; 110, 97

98. Rfrgt. K 91.461.1
 L 9.6; B 11.0; Dm 17.0; WSt 0.2–0.35
 Ton: 7.5 YR 7-6/4; hart; grosse und kleine Kalksteineinschlüsse; viel feiner Hell- und Dunkelglimmer.
 Oberfläche: geglättet.
 Überzug: „wash“; sehr dünn; stark abgerieben.
 Malfarbe: schwarzer, matter Firnis; dicht, teilweise abgerieben.

Fundort: Milet, Kalabaktepe
 Kontext: Q 89.07/ Phase 3A (Auffüllung von Zerstörung von Phase 2)

Typus: 5,2.B

Dekorvariante: e

Dat.: ca. 660/50-630/20 v. Chr.

Tafel 18, 98; 111, 98

99. Rfrgt. K 92.410.2

L 10.0; B 17.0; Dm 18.0; WSt 0.2–0.4
 Ton: 2.5 YR 6/6 bis 10 YR 6/6; hart; fein gemagert; sehr feiner und wenig Hellglimmer.
 Oberfläche: stark geglättet bzw poliert.
 Malfarbe: schwarzbrauner, matter und dichter Firnis; teilweise dünner und streifig.

Fundort: Milet, Kalabaktepe
 Kontext: Q 91.03/ Phase 3B (Boden der Phase 3)

Archäometrie: *Yalcın* Prob.Nr.: TR-3K/215 u. 253
 Außerhalb Milesisches Feld/Cluster 2, Hauptgruppe A (Single?/Milet?)

Typus: 5,2.B

Dekorvariante: e

Dat.: ca. 660/50-630/20 v. Chr.

Tafel 19, 99; 111, 99

100. Rfrgt. K 91.90.22

L 4.9; B 11.6; Dm 19.0; WSt 0.35–0.4
 Ton: 7.5 YR 6/6; grössere Kalksteineinschlüsse, teilweise aus der Oberfläche heraustretend; viel feiner bis mittelfeiner Hell- und Dunkelglimmer.
 Oberfläche: rauh.
 Überzug: 10 YR 8/3; dicht.

Malfarbe: schwarzer, stumpfer und matter Firnis; innen: sehr dicht; außen: von ockerbraun in schwarz changierend.

Fundort: Milet, Kalabaktepe

Kontext: Q 90.15/ Phase 3A/3B (Auffüllung und Boden der Phase 3)

Typus: 5,2.B

Dekorvariante: e

Dat.: ca. 660/50-630/20 v. Chr.

Tafel 19, 100

Variante 5,3, südionisch/samisch

101. Rfrgt. K 92.269.10

L 5.29; B 5.8; Dm 17.4; WSt 0.310.32
 Ton: 2.5 YR 7-6/6 – 5 YR 7/6; hart; wenig Magerung; kleine beige und rote Einschlüsse sowie schwarze und helle Partikel; gut verdichtet, kaum Luftporen; viel feiner Dunkelglimmer.

Oberfläche: sehr gut geglättet.

Malfarbe: fester, dichter schwarzer, teils streifiger, dann dunkelbrauner, matter bis rötlichbrauner mit schwarzen Flecken und Rändern versehener Glanzton.

Fundort: Milet, Kalabaktepe

Kontext: Q 92.03/ Phase 6/7 (Auffüllung für die letzte archaische Phase, nach dem N-Profil noch nacharchaische Störung)

Archäometrie: *Mommsen* Prob. Nr.: Mile 55
 Gruppe **Single**

Typus: 5,3.B

Dekorvariante: ea

Dat.: ca. 640/30-600/590 v. Chr.

Taf. 19, 101; 111, 101

102. Rfrgt. K 93.165.11

L 2.15; B 2.4; DmR ca. 16.0; WSt 0.35–0.4
 Ton: 10 YR 6/2 (außen), 10 YR 6/4 (innen); wenig Hellglimmer.
 Malfarbe: schwarzer, matt glänzender, stumpfer und dichter Firnis.

Fundort: Milet, Kalabaktepe

Kontext: Q 92.07/ Phase 2(/3A) (Boden der Phase 2 oder schon Auffüllung für Phase 3)

Typus: 5,3.B

Dekorvariante: ea

Dat.: ca. 640/30-620/10 v. Chr.

Tafel 19, 102

103. Pro. K 5221

H 7.7–8.0; DmR 11.3; DmF 4.2; WSt 0.3

Ton: sekundär verbrannt; fest; kleine Kalksteineinschlüsse; viele feiner Hellglimmer.

Malfarbe: streifiger, dunkler Firnis (rot-rot-schwarz).

Fundort: Samos, Hera-Heiligtum

Aufbewahrungsort: Samos, Depot Deutsches Grabungshaus

Typus: 5,3.B

Dekorvariante: e

Dat.: ca. 640/30-600/590 v. Chr.

Tafel 19, 103

104. Rfrgt. K 89.202.1

L 9.0; B 9.3; Dm 15.6; WSt 0.3

Ton: 2.5 YR 6-5/8; hart; fein gemagert; sehr feiner und wenig Hellglimmer.

Oberfläche: geglättet bzw poliert.

Malfarbe: schwarzer, matter und dichter Firnis; vollständig deckend.

Fundort: Milet, Kalabaktepe

Kontext: Q 89.08./ Phase 7–8 (Steinversturz; geht in den Ausraubungsschutt über)

Archäometrie: *Yalcın* Prob.Nr.: TR-3K/254
Milesisches Feld/Cluster 2,
Hauptgruppe A (Milet)
Mommsen Prob.Nr.: Mile 57
Gruppe **UI70-1** (unlokalisiert)

Typus: 5,3.B

Dekorvariante: e

Dat.: ca. 640/30-600/590 v. Chr.

Tafel 20, 104; 111, 104

105. Rfrgt. K 93.109.4

L 2.3; B 4.7; Dm 18.0; WSt 0.55

Ton: 7.5 YR 5/6; fest; mittelgrosse Kiesel- und Kalksteineinschlüsse; viel feiner Hell- und Dunkelglimmer.

Oberfläche: geglättet.

Malfarbe: innen: von schwarz bis violett changierender, matt metallisch glänzender, dichter und deckender Firnis; außen: teils dichter, teils dünner, dann bräunlicher Firnis.

Fundort: Milet, Kalabaktepe

Kontext: Q 92.07/ Phase 3–5 (Auffüllung für den Boden des Innenraumes)

Archäometrie: *Yalcın* Prob.Nr.: TR-3K/252
2x besprobt:
1x Milesisches Feld/Cluster 2,
Hauptgruppe A (Milet);
1x außerhalb Milesisches Feld
(Single)
Mommsen Prob.Nr.: Mile 54
Gruppe **J** (Samos)

Typus: 5,3.B

Dekorvariante: ea

Dat.: ca. 640/30-630 v. Chr.

Tafel 20, 105; 112, 105

106. Pro. K 6615

H 8.6; DmR ca. 14.0; DmF 4.4; WSt 0.35–0.5

Ton: orange-braun; fest; viel feiner Hellglimmer.

Malfarbe: streifiger Firnis; außen: rot, teilweise dunkel; innen: schwarz und deckend.

Fundort: Samos, Hera-Heiligtum

Aufbewahrungsort: Samos, Depot Deutsches Grabungshaus

Typus: 5,3.B

Dekorvariante: e

Dat.: ca. 640/30-600/590 v. Chr.

Tafel 20, 106

107. Rfrgt. Z 91.12.13

L 3.2; B 3.8; Dm 16.0; WSt 0.4–0.5

Ton: 7.5 YR 5/6; fest, fein gemagert.

Malfarbe: dunkler und streifiger Firnis.

Fundort: Milet, Aphrodite-Heiligtum

Kontext: Q 91.30/ Mitte – 2. H. 6. Jh. v. Chr.
(Heiligtumsschutt in situ)

Typus: 5,3.B

Dekorvariante: e

Dat.: ca. 640/30-600/590 v. Chr.

Tafel 20, 107; 112, 107

108. Pro. K 1732

H 10.4; DmR ca. 16.0; DmF 5.3; WSt 0.3–0.65

Ton: 5 YR 6/6; fest; viel feiner Hellglimmer.
Malfarbe: dunkler, streifig aufgetragener Firnis.

Fundort: Samos, Hera-Heiligtum

Aufbewahrungsort: Samos, Depot Deutsches
Grabungshaus

Typus: 5,3.B

Dekorvariante: e

Dat.: ca. 640/30-600/590 v. Chr.

Tafel 20, 108; 112, 108

109. vollst. Z 08.425.466 (mit
Anpassungen aus Z
08.463; Z 08.465 + Z
08.466 + Z 08.472 + Z
08.478 + Z 08.486 + Z
08.572)

H 12; DmR ca. 18.8; DmF 5.8; WSt 2.4-4.6

Ton: 5 YR 6/6; hart; mit wenigen beigen und
schwarzen Einschlüssen, sowie dunklen
Partikeln; verdichtet, einige feine
Lufteneinschlüsse; viel feiner Hellglimmer.

Malfarbe: dunkelbraun bis hellbraun, teils ins
rötlichbraune changierender, streifig
aufgetragener Firnis.

Oberfläche: gut geglättet, aber innen breite, weiche
Drehrillen.

Überzug: milchiger, dünner, fester »wash«.

Fundort: Milet, Aphrodite-Heiligtum

Kontext: Q 08.74/ bis 630/620 v. Chr. (Aus der
oberen Abschlußfüllung des Bothros,
der mit Spätprotokorinthischem
geschlossen wird und viele vollständige
Gefäße aufweist).

Typus: 5,3.B

Dekorvariante: e

Dat.: ca. 640/30-630/620 v. Chr.

Tafel 21, 109; 112, 109

110. Rfrgt. S 63.14.9

L 4.65; B 7.5; Dm ca. 20; WSt 0.32–0.43

Ton: 5 YR 6/6; hart; fein gemagert; leicht porig; in
Schichten; wenig Quarz- und teilweise sehr
grosse Kalksteineinschlüsse; viel Hell- und
Dunkelglimmer.

Oberfläche: geglättet.

Überzug: »wash«; dünn.

Malfarbe: von schwarz bis rötlichbraun
changierender, fester und dichter, matt
glänzender Firnis.

Fundort: Milet, Südschnitt

Kontext: westlich der Porosquadern, ab deren
Oberkante/ Spätgeo. bis hell. (gestörte
Schicht; gleichzusetzen mit Schutt unter
dem Mosaik).

Typus: 5,3.B

Dekorvariante: e

Dat.: ca. 640/30-600/590 v. Chr.

Tafel 21, 110

111. Pro. K 1706

H 7.3; DmR 11.8; DmF 4.2; WSt ca. 0.32

Ton: 5 YR 6/4-6 (Bruch); fest; grosse Kiesel- und
Quarzeinschlüsse, drücken teilweise durch die
Oberfläche; feiner und mittelfeiner
Hellglimmer, auch Dunkelglimmer.

Malfarbe: dunkler, streifiger Firnis, teils rotbraun,
teils matt schwarz.

Fundort: Samos, Hera-Heiligtum

Aufbewahrungsort: Samos, Depot Deutsches
Grabungshaus

Typus: 5,3.B

Dekorvariante: e

Dat.: ca. 640/30-600/590 v. Chr.

Tafel 21, 111; 112, 111

112. Pro. K 1708

H ca. 8.0; DmR ca. 12.0; DmF ca. 4.6; WSt 0.2–0.3

Ton: 10 YR 6/4 (außen); 7.5 YR 6/6 (im Bruch);
fest; teils bis zu 0.35 grosse Kalkstein- und
Quarzeinschlüsse; viel feiner und grösserer
Hellglimmer, auch Dunkelglimmer.

Malfarbe: bräunlicher, dichter und fester Firnis.

Fundort: Samos, Hera-Heiligtum

Aufbewahrungsort: Samos, Depot Deutsches
Grabungshaus

Typus: 5,3.B

Dekorvariante: e

Dat.: ca. 640/30-600/590 v. Chr.

Tafel 21, 112; 112, 112

113. Rfrgt. Z 09.89.32 + Z
09.102.48

L4.75; B 6.7; Dm 10; WSt 0.23-0.26

Ton: 7.5 YR 7/4-6; sehr hart; ausgeschlämmt;
dennoch größere und kleinere
Kalksteineinschlüsse, schwarze fein Partikel;
stark verdichtet, mit einigen Luftporen und
einem großen Lufteinschluß; viel sehr feiner
Dunkelglimmer.

Oberfläche: sehr gut geglättet.

Malfarbe: fester, streifiger, matter bis matt
glänzender, hell- bis dunkelbrauner, teils
schwarzbraun changierender Firnis.

Fundort: Milet, Aphrodite-Heiligtum

Kontext: Q 08.74/ bis 630/620 v. Chr. (Aus der
oberen Abschlußfüllung des Bothros,
der mit Spätprotokorinthischem
geschlossen wird und viele vollständige
Gefäße aufweist).

Typus: 5,3.B

Dekorvariante: e

Dat.: ca. 640/30-630/620 v. Chr.

Taf. 21, 113; 113, 113

Variante 5,4, südionisch

114. Rfrgt. S 63.68.1

L 7.82; B 8.4; DmR 13; WSt 0.17-0.25

Ton: 5 YR 7/6; hart; sehr fein gemagert; feine
Kalksteineinschlüsse; schwarze Partikel; viel
Dunkelglimmer.

Oberfläche: geglättet (Schwamm).

Malfarbe: schwarzer, fester und dichter, matt
glänzender Firnis.

Fundort: Milet, Südschnitt

Kontext: in den Steinen des Rundes V. Funde:
Frgmente von 3 dünnwandigen
ionischen Schalen (s. auch **116.**; **219.**;
220.) und westlich von V, im Bereich
der obersten Steine Frgmente einer
Fikellurakanne oder -amphora.

Typus: 5,4.B

Dekorvariante: e

Publ.: IstMitt 23/24, 1973/1974, 85; 98 Kat.-Nr. 66
Abb. 14 Taf. 25, 66

Dat.: 620/10-600/590 v. Chr.

Tafel 22, 114

115. Rfrgt. S 63.252.1

erH 5; Dm 12.5; WSt 0.15-0.2

Keine weiteren Angaben, da nicht aufzufinden.

Fundort: Milet, Südschnitt

Kontext: keine Informationen

Typus: 5,4.B

Dekorvariante: e

Dat.: 620/10-600/590 v. Chr.

Tafel 22, 115

116. Rfrgt. S 63.68.13

erH 5.5; Dm 15.1; WSt 0.2-0.28

Keine weiteren Angaben, da nicht aufzufinden.

Fundort: Milet, Südschnitt

Kontext: in den Steinen des Rundes V. Funde:
Frgmente von 3 dünnwandigen
ionischen Schalen (s. auch **114.**; **219.**;
220.) und westlich von V, im Bereich
der obersten Steine Frgmente einer
Fikellurakanne oder -amphora.

Typus: 5,4.B

Dekorvariante: e

Dat.: 620/10-600/590 v. Chr.

Tafel 22, 116

Typus 6

Variante 6,1, südionisch/milesisch

117. Rfrgt. K 92.50.1

L 7; B 7.65; Dm ca. 14.0; WSt 0.35-0.5

Ton: 5 YR 7/6; sandig gemagert; in Schichten;
schwarze Partikel; viel grober Dunkelglimmer.

Oberfläche: geglättet, trotzdem unregelmässig.

Überzug: 10 YR 8/3.

Malfarbe: außen: schwarz, dicht, matt und stumpf;
innen: schwarz, metallisch glänzend, dicht und
fest.

Fundort: Milet, Kalabaktepe

Kontext: Q 91.08/ Phase 2/3A (Auffüllung für Phase 3)

Archäometrie: *Mommsen* Prob.Nr.: Mile 58 Gruppe **D** (Milet)

Typus: 6,1.B

Dekorvariante: a

Dat.: 680/70-640/30 v. Chr.

Tafel 22, 117; 113, 117

118. Rfrgt. AT 57.N.77.1

L 6.4; B 12.0; Dm ca. 21.5; WSt 0.37–0.47

Ton: 10 R 6/4-6; sehr hart; locker schichtig; wenig Quarzeinschlüsse; schwarze Partikel; Kalk- sowie Mergel- oder Tuffeinschlüsse.

Oberfläche: geglättet, aber unregelmässig; innen deutliche Drehrillen.

Überzug: 10 YR 8/2-3.

Malfarbe: von schwarz bis dunkelbraun changierender, dichter und fester Firnis.

Fundort: Milet, Athena-Heiligtum

Kontext: Geometrisch bis 7. Jh. v. Chr.

Typus: 6,1.B

Dekorvariante: a

Dat.: 680/70-640/30 v. Chr.

Tafel 22, 118; 113, 118

Variante 6,2, südionisch/milesisch

119. Pro. K 461

H 9.2; DmR 12.3; DmF 4.9; WSt 0.4–0.5

Ton: ins grau changierendes khaki-grau; sehr fest; viele kleinere und grössere Einschlüsse (ein äusserst grosser Kalkeinschluss); sehr schwer; viele feiner Hellglimmer.

Malfarbe: dunkler, matter Firnis.

Fundort: Samos, Hera-Heiligtum

Aufbewahrungsort: Samos, Depot Deutsches Grabungshaus

Typus: 6,2.B

Dekorvariante: a

Dat.: 670/60-630/20 v. Chr.

Tafel 23, 119

120. Rfrgt. K 93.602.2

L 4.35; B 5.7; Dm ca. 13; WSt 0.45–0.5

Ton: 7.5 YR 6/4-6 (außen), 2.5 YR 6/6 (im Bruch); hart; wenig schwarze Partikel und Poren; wenig kleine Kalkstein- und Kieseleschlüsse; wenig feiner Hellglimmer.

Oberfläche: stark geglättet bzw. poliert.

Überzug: ca. 5 YR 7/4.

Malfarbe: schwarzer, schwach glänzender, dichter und fester Firnis.

Fundort: Milet, Kalabaktepe

Kontext: Q 92.07/ Phase 7–8 (Einfüllung im südlichen Schacht)

Typus: 6,2.B

Dekorvariante: a

Dat.: 670/60-630/20 v. Chr.

Tafel 23, 120; 113, 120

121. Rfrgt. K 92.78.5

L 5.5; B 3.2; WSt 0.3–0.4

Ton: ca. 5 YR 5/4 (sek. verbrannt); fein gemagert; sehr feine Kalksteineinschlüsse; feiner und mittelfeiner Hellglimmer.

Oberfläche: geglättet.

Malfarbe: schwarzer, matter und metallisch glänzender Firnis.

Fundort: Milet, Kalabaktepe

Kontext: Q 91.09/ Phase 4A (Auffüllung für Phase 4; in Fläche 23 vielleicht schon Schutt der Phase 4)

Typus: 6,2.B

Dekorvariante: a

Dat.: 670/60-630/20 v. Chr.

Tafel 23, 121; 114, 121

122. Rfrgt. K 92.414.1

L 13.4; B 5.7; Dm 16.0; WSt 0.3–0.4

Ton: ca. 5 YR 7/4; hart; Kieseleschlüsse; feiner und mittelfeiner Hell- und Dunkelglimmer.

Malfarbe: schwarzer, matt metallisch glänzender Firnis; grösstenteils abgeplatzt; aufgesetzte Farbe: Deckrot.

Fundort: Milet, Kalabaktepe

Kontext: Q 91.04/ Phase 3A/B (Auffüllung für und Boden Phase 3)

Typus: 6,2.B

Dekorvariante: ay

Dat.: 670/60-630/20 v. Chr.

Tafel 23, 122; 114, 122

Variante 6,3, südionisch/milesisch

123. Rfrgt. K 89.530.14

L 9.2; B 8.2; Dm ca. 12–13 cm; WSt 0.25–0.6

Ton: fein gemagert; grössere Kalkstein- sowie gelbliche Quarzeinschlüsse, teilweise aus der Oberfläche heraustretend.

Oberfläche: geglättet (Schwamm).

Malfarbe: von rötlich bis dunkelrötlich changierender, dichter, fester und pastös auftragener Firnis; streifig.

Fundort: Milet, Kalabaktepe

Kontext: Q 89.18/ Phase 1A/B (Auffüllung für und Fußboden der Phase 1)

Typus: 6,3.B

Dekorvariante: a

Dat.: um 670/60 v. Chr.

Tafel 23, 123

124. Rfrgt. K 89.530.15

L 6.25; B 8.9; WSt 0.25–0.35

Ton: fein gemagert; grössere Kalkstein- sowie gelbliche Quarzeinschlüsse, teilweise aus der Oberfläche heraustretend.

Oberfläche: geglättet (Schwamm).

Malfarbe: von dunkelrot bis schwarz changierender, dichter, fester und pastös auftragener Firnis; streifig.

Fundort: Milet, Kalabaktepe

Kontext: Q 89.18/ Phase 1A/B (Auffüllung für und Fußboden der Phase 1)

Typus: 6,3.B

Dekorvariante: a

Dat.: um 670/60 v. Chr.

Tafel 23, 124

125. Rfrgt. K 92.788.9

L 4.7; B 7.8; Dm 15.0; WSt 0.4

Ton: 5 YR 4/3; fest; fein gemagert mit dunkleren Einschlüssen (schamottartig); feiner Hellglimmer.

Oberfläche: geglättet.

Malfarbe: dunkler, von braun bis schwarz changierender und streifiger Firnis.

Fundort: Milet, Kalabaktepe

Kontext: Q 92.08/ Phase 6? (Auffüllung und Boden zu Mauer K 92.768)

Typus: 6,3.B

Dekorvariante: a

Dat.: spätestens 670/60-610/00 v. Chr.

Tafel 23, 125; 114, 125

126. Rfrgt. K 92.212.5

L 4.0; B 6.4; Dm 12.0; WSt 0.25–0.35

Ton: 2.5 YR 5-4/8 (ziegelrot); fest; grob gemagert; mittelfeine Kiesel- und Kalksteineinschlüsse; viel feinsten Hellglimmer.

Oberfläche: geglättet.

Malfarbe: von schwarz bis rot changierender, matt glänzender Firnis.

Fundort: Milet, Kalabaktepe

Kontext: Q 92.02/ Phase 7–8 (Unterer Teil der Schutteinfüllung im nacharchaischen Schacht/Brunnen)

Typus: 6,3.B

Dekorvariante: a

Dat.: spätestens 670/60-610/00 v. Chr.

Tafel 23, 126; 114, 126

127. Rfrgt. K 92.99.32

L 4.3; B 4.0; Dm 13.0; WSt 0.45–0.55

Ton: 7.5 YR 7-6/6; weich; mit kleinen, mittelfeinen Quarzeinschlüssen; feiner bis mittelfeiner Hell- und Dunkelglimmer.

Oberfläche: geglättet.

Malfarbe: dunkelrotbrauner, deckender und teils streifiger Firnis.

Fundort: Milet, Kalabaktepe

Kontext: Q 92.02/ Phase 6–7 (Auffüllung für die nacharchaische Wiederbesiedlung)

Typus: 6,3.B

Dekorvariante: a

Dat.: spätestens 670/60-610/00 v. Chr.

Tafel 24, 127; 115, 127

128. Rfrgt. K 92.65.3

L 3.65; B 2.2; WSt 0.3–0.4

Ton: 5 YR 6-7/6; fest; fein gemagert; einige Poren.
Oberfläche: geglättet.
Malfarbe: rot; lackartig; abblättern, aber fest und deckend.

Fundort: Milet, Kalabaktepe

Kontext: Q 91.07/ Phase 1c/2A (Lehmfundament der Stadtmauer)

Typus: 6,3.B

Dekorvariante: a

Dat.: 670/60- ca. 640 v. Chr.

Tafel 24, 128

129. Rfrgt. K 92.585.39

L 4.2; B 8.8; Dm 16.0; WSt 0.4

Ton: 5 YR 6/7; fest; mit kleinen Kiesel- und Quarzeinschlüssen; feiner bis mittelfeiner Hell- und Dunkelglimmer.
Oberfläche: geglättet.
Malfarbe: rotbräunlich; deckend, teilweise abgerieben.

Fundort: Milet, Kalabaktepe

Kontext: Q 92.03/ Phase 7–8 (Nacharchaische [rezente] Störung)

Typus: 6,3.B

Dekorvariante: a

Dat.: spätestens 670/60-610/00 v. Chr

Tafel 24, 129; 115, 129

Variante 6,4, südionisch/milesisch

130. Rfg. Z 08.467.171 + Z 08.473.21

erhH ca. 7; Dm 16; WSt 0.26-0.29

Ton: ca. 7.5 YR 7/4-6; hart; ausgeschlämmt; wenige kleinere Kieseleinschlüsse, mehrere weiche und braune Batzen und sehr viele feine schwarze Partikel; viel sehr feiner und einiger grober Dunkelglimmer.

Oberfläche: sehr gut geglättet, mit wenigen feinen Drehrillen.

Überzug: dünner, weicher, milchiger »wash«.
Malfarbe: fester, streifiger, matt glänzender, hell- bis dunkelbrauner, teils ins Schwarzbraun oder ins Rötlichbraun changierender Firnis.
aufg. Farbe: Deckweiß und –rot.

Fundort: Milet, Aphrodite-Heiligtum

Kontext: Q 08.74/ bis 630/620 v. Chr. (Aus der oberen Abschlußfüllung des Bothros, der mit Spätprotokorinthischem geschlossen wird und viele vollständige Gefäße aufweist).

Typus: 6,4.B

Dekorvariante: ay

Dat.: vor 640/30-630/20 v. Chr.

Tafel 24, 130; 115, 130

131. Rfrgt. K 92.840.2

L 5.1; B 6.95; Dm 14.0; WSt 0.2-0.3

Ton: 5 YR 5/4 (hellbraun); fein gemagert; wenig feiner Hellglimmer, auch Dunkelglimmer.

Oberfläche: geglättet.

Malfarbe: von schwarz in rot changierend; streifig.

Fundort: Milet, Kalabaktepe

Kontext: Q 92.08/ Phase 3 (Schutteinfüllung hinter der Stadtmauer)

Typus: 6,4.B

Dekorvariante: a

Dat.: vor 640/30-620/10 v. Chr

Tafel 24, 131; 115, 131

Variante 6,5, südionisch/milesisch

132. vollst. Z 08.465.31

H 8.9; DmR 14.0-14.6; DmF 4.4; WSt 0.22-0.4

Ton: ca. 5-7.5 YR 7/4-6; fest; ausgeschlämmt, mit wenigen Magerungspartikeln; feinen schwarzen Partikeln und größeren beigen Batzen; verdichtet, wenige feine Lufteinschlüsse; feiner bis mittelfeiner Hell- und Dunkelglimmer.

Oberfläche: gut geglättet, kaum feine Drehrillen.
Malfarbe: fest, rotbräunlich; deckend, teilweise abgerieben, »lackartig«.

aufg. Farbe: Deckweiß und –rot.

Fundort: Milet, Aphrodite-Heiligtum

Kontext: Q 08.74/ bis 630/620 v. Chr. (Aus der oberen Abschlußfüllung des Bothros,

der mit Spätprotokorinthischem geschlossen wird und viele vollständige Gefäße aufweist).

Typus: 6,5.B (Sonderform mit Scheibenfuß)

Dekorvariante: ay

Dat.: vor 640/30-630/20 v. Chr.

Tafel 24, 132; 116, 132

133. vollst. Z 08.463.207+Z
08.466.72

erh.H 7.9; Dm 15.4; WSt 0.23-0.56

Ton: 7.5 YR 7/4-6; fest-hart; fein gemagert; viele feine schwarzer Partikel, wenig kleine weiße Kalksteineinschlüsse; einiger feiner Dunkelglimmer.

Oberfläche: gut geglättet.

Malfarbe: feste, streifige, teils dichte, teils durchscheinende, matt bis mattglänzende, dunkelbraune bis hellbraune Malfarbe.

aufg. Farbe: Deckrot

Fundort: Milet, Aphrodite-Heiligtum

Kontext: Q 08.74/ bis 630/620 v. Chr. (Aus der oberen Abschlußfüllung des Bothros, der mit Spätprotokorinthischem geschlossen wird und viele vollständige Gefäße aufweist).

Typus: 6,5.B

Dekorvariante: ay

Dat.: vor 640/30-630/20 v. Chr.

Taf. 25, 133; 116, 133

Variante 6,6, südionisch

134. Rfrgt. S 66.197.1

H 7.4; Dm 17.0; WSt 0.3-0.5

Ton: 5 YR 6/4; hart; fein gemagert; viel feiner Hellglimmer.

Malfarbe: außen: teils fester, teils streifiger und matter Firnis; innen: fester, matt glänzender Firnis.

Fundort: Milet, Südschnitt

Kontext: Schicht aus grünlich-gelbem Lehm über der spägeomtrischen Brandschicht; noch gestört, vermutlich durch den Graben, der sich an der südwestlichen Grabenwand abzeichnet. Aus dem kleinen ungestörten Areal über dem

Lehm-Rundling (gelbe Lehmschicht mit Brand) sind vorerst nicht genügend Scherben gewonnen. In Analogie zu der 63er Grabung ist die grüne Schicht jedoch die des 7. Jhs.

[Nordabschnitt/ 7.-6. Jh. v. Chr. (aus gestörter Schicht) (IstMitt 25, 1975, 50 Kat.-Nr. 41)]

Typus: 6,6.B

Dekorvariante: a

Dat.: spätestens 580 v. Chr

Publ.: IstMitt 25, 1975, 50 Kat.-Nr. 41 Abb. 16 Taf. 9, 41

Tafel 25, 134; 116, 134

Typus 7

Variante 7,1, südionisch/milesisch

135. Rfrgt. S 63.120.2

L 4.7; B 10.0; Dm 19.0; WSt 0.5

Ton: 7.5 YR 5/6 bis 5 YR 5/6; hart; Schichtung mit teils grosser Klüftung von Poren; grob gemagert; Quarz- und Kalksteineinschlüsse; grössere gelblich-beige Tuff- oder Mergeleinschlüsse; schwarze Partikel.

Malfarbe: von grünlichbraun bis dunkelbraun changierender, fester und matt glänzender Firnis.

Fundort: Milet, Südschnitt

Kontext: keine Informationen

Typus: 7,1.B

Dekorvariante: f

Dat.: spätestens 680/70-640/30 v. Chr.

Tafel 25, 135; 116, 135

136. Rfrgt. S 63.121.1

L 6.13; B 8.1; Dm 18.0; WSt 0.28-0.3

Ton: 5 YR 6/6; fein gemagert; schwarze Partikel; wenig feine Quarzeinschlüsse; viel feiner Hell- und wenig grober Dunkelglimmer.

Oberfläche: gut geglättet.

Malfarbe: von hellbraun bis schwarz changierender, stumpfer Firnis, teils dünn, braun und streifig.

Fundort: Milet, Südschnitt

Kontext: keine Informationen

Typus: 7,1.B

Dekorvariante: f

Dat.: spätestens 680/70-640/30 v. Chr.

Tafel 25, 136; 117, 136

Variante 7,2, südionisch/milesisch

137. Rfrgt. K 89.530.11

L 4.4; B 3.4; Dm 18.0; WSt 0.2–0.5

Ton: leicht sandig; Kalkstein-, Kiesel- und Quarzeinschlüsse; Hell- und Dunkelglimmer.

Oberfläche: leicht rauh.

Überzug: beige-braun.

Malfarbe: schwarzer, fester, deckender und stumpfer Firnis; teilweise dünner und bräunlich; enthält Dunkelglimmer.

Fundort: Milet, Kalabaktepe

Kontext: Q 89.18/ Phase 1A/B (Auffüllung und Fußboden der Phase 1)

Typus: 7,2.B

Dekorvariante: f

Dat.: 680/70 v. Chr.

Tafel 25, 137

138. Rfrgt. S 63.26.1

L 5.65; B 8.85; Dm 20.0; WSt 0.38–0.47

Ton: 5 YR 7-6/4; hart; fein gemagert mit größeren Zuschlägen; Quarzeinschlüsse; schwarze Partikel; viel Dunkelglimmer.

Oberfläche: gut geglättet.

Überzug: 10 YR 8-7/3.

Malfarbe: von schwarz bis streifig braun changierender, matt glänzender Firnis.

Fundort: Milet, Südschnitt

Kontext: 3. Schicht; sandige Erde unter dem Lehm, mit Lehmspuren und stellenweise Brand; 4. Schicht; sandige Erde mit viel Brand, im Westen Brandschicht; 5. Schicht; ab Oberkante der Mauer L. Sandige Erde: Schichten 3-5 wurden zusammengelegt, da Scherben anpaßten (= S 63.25).

Typus: 7,2.B

Dekorvariante: f

Dat.: ca. 680/70-640/30 v. Chr.

Tafel 26, 138; 117, 138

Variante 7,3, südionisch/milesisch

139. Rfrgt. K 92.235.10

L 5.2; B 7.1; Dm 22.0; WSt 0.3–0.35

Ton: 7.5 YR 7-6/4; hart; feine Quarzeinschlüsse; viel feiner Hellglimmer.

Oberfläche: geglättet.

Überzug: 10 YR 7/2; „wash“.

Malfarbe: dunkler, zwischen braun, rötlich und schwarz changierender, dichter Firnis.

Fundort: Milet, Kalabaktepe

Kontext: Q 92.03/ Phase 7–8 (Schutt der Wiederbesiedlung)

Typus: 7,3.B

Dekorvariante: f

Dat.: spätestens 650/40-620/10 v. Chr.

Tafel 26, 139

140. Rfrgt. K 89.261.13 +
K 89.275.5

L 5.4; B 9.65; Dm ca. 21.0; WSt 0.25–0.5

Ton: kleine Poren; kleine schwarze Partikel; Kalkstein- und Kieseinschlüsse; viel feiner Hell- und Dunkelglimmer.

Oberfläche: geglättet, jedoch leicht rauh.

Überzug: 10 YR 8/4.

Malfarbe: schwarzer, dichter und matter Firnis, grösstenteils abgeplatzt; enthält Dunkelglimmer.

Fundort: Milet, Kalabaktepe

Kontext: Q 89.07/ Phase 2A/2B (Fußboden Phase 2 und Auffüllung für Phase 2) (K 89.261)
Q 89.03/ Phase 1/2A (Hofauffüllung) (K 89.275)

Typus: 7,3.B

Dekorvariante: f

Dat.: spätestens 650/40 v. Chr.

Tafel 26, 140

141. Rfrgt. AT 57.O.27.1

L 3.85; B 5.0; Dm 16.0; WSt 0.23–0.25

Ton: 5 YR 7/4 bis 6/6; fein gemagert; schwarze Partikel; gelb-beige Tuff- oder Mergeleinschlüsse; viel feiner Hell- und Dunkelglimmer.

Oberfläche: geglättet (Schwamm).
 Malfarbe: außen: wässrig brauner, teils streifig und
 ausgedünnter Firnis; innen: fest und matt
 glänzend.

Fundort: Milet, Athena-Heiligtum

Kontext: Ostfundament III Süd/ östlicher Teil; 1.
 Abhub unter Unterkante des
 hellenistischen Fundaments.

Typus: 7,3.B

Dekorvariante: f_a

Dat.: spätestens 650/40-620/10 v. Chr.

Tafel 26, 141; 117, 141

142. R- + Wfrgt. K 92.266.7

L 4.3; B 9.6; Dm < 18(?); WSt 0.4–0.5 (Rfrgt.)

L 8.7; B 14.2; WSt 0.4 (Wfrgt.)

Ton: 5 YR 7/6; hart; vereinzelt grössere
 Kieseinschlüsse; mittelfeiner Hell- und
 Dunkelglimmer.

Oberfläche: geglättet.

Malfarbe: dunkler, dichter und metallischer Firnis;
 stark abgerieben.

Fundort: Milet, Kalabaktepe

Kontext: Q 91.03/ Phase 5 (Schutt der Phase 5)

Typus: 7,3.B

Dekorvariante: f

Dat.: spätestens 650/40-620/10 v. Chr.

Tafel 26, 142; 117, 142

143. Rfrgt. K 90.828.11

L 5.7; B 7.65; Dm 19.0; WSt 0.26–0.32

Ton: 5 YR 7-6/4; hart; Quarzeinschlüsse; gelb-
 beige Mergel- oder Tuffeinschlüsse; Hell- und
 Dunkelglimmer.

Überzug: 10 YR 8/2.

Malfarbe: von rötlich bis rötlichbraun
 changierender, fester, stumpfer und streifiger
 Firnis.

Fundort: Milet, Kalabaktepe

Kontext: Q 90.01/ Phase 1 (Grube im natürlichen
 Lehmboden, über die die Mauer K
 90.611 verläuft)

Typus: 7,3.B

Dekorvariante: f

Dat.: spätestens 650/40 v. Chr.

Tafel 27, 143; 117, 143

144. Rfrgt. K 92.365.6

L 7.75; B 9.2; Dm 18.0; WSt 0.3–0.4

Ton: 7.5 YR 7-6/6; fest; feine Quarzeinschlüsse;
 feiner bis mittelgrober Hell- und
 Dunkelglimmer.

Oberfläche: geglättet.

Malfarbe: rot; lackartig; dicht und deckend.

Fundort: Milet, Kalabaktepe

Kontext: Q 91.03/ Phase 7–8 (Nacharchaische
 Störung)

Typus: 7,3.B

Dekorvariante: f

Dat.: spätestens 650/40-620/10 v. Chr.

Tafel 27, 144; 118, 144

Variante 7,4, südionisch/milesisch

145. Rfrgt. K 89.419.10

L 4.3; B 4.3; Dm 14.0; WSt 0.4–0.45

Ton: fest; leicht körnig; schwarze Partikel; feine
 Kalksteineinschlüsse; viel Hell- und
 Dunkelglimmer.

Oberfläche: gut geglättet, jedoch leicht rauh.

Malfarbe: von rot (-braun) bis schwarz
 changierender, rauer und spröder Firnis;
 unterschiedlich dicht und streifig.

Fundort: Milet, Kalabaktepe

Kontext: Q 89.04/ Phase 3 (Gehhorizont; zu dem
 Asche, Amphorenmündung und
 Pfostenbasis K 89.420 gehören)

Typus: 7,4.B

Dekorvariante: f

Dat.: vor 650/40-620/10 v. Chr.

Tafel 27, 145

146. Rfrgt. K 89.265.15

L 3.32; B 6.63; Dm ca. 19.0; WSt 0.3–0.45

Ton: ca. 5 YR 7/6; fest; fein gemagert; kleine
 Poren; schwarze Partikel; Quarzeinschlüsse;
 Hell- und Dunkelglimmer.

Oberfläche: gut geglättet.

Malfarbe: teils roter, fast lackartiger, teils
 rotbrauner, dichter und fester Firnis.

Fundort: Milet, Kalabaktepe

Kontext: Q 89.01/ Phase 5 (6?) (Estrichschicht, Fußboden)

Typus: 7,4.B

Dekorvariante: f

Dat.: vor 650/40-610/00 v. Chr.

Tafel 27, 146

147. Rfrgt. K 92.72.2

L 4.35; B 7.7; Dm 18.0; WSt 0.35–0.4

Ton: 7.5 YR 6/6; fest; fein gemagert; feine Quarzeinschlüsse; feiner bis mittelfeiner Hell- und Dunkelglimmer.

Oberfläche: geglättet.

Malfarbe: schwarz-brauner, leicht metallisch glänzender, dünn aufgetragener Firnis.

Fundort: Milet, Kalabaktepe

Kontext: Q 91.02/ Phase 6–7A (Boden und Schutt der letzten archaischen Siedlungsphase; nacharchaisch)

Typus: 7,4.B

Dekorvariante: f

Dat.: vor 650/40-610/00 v. Chr.

Tafel 27, 147; 118, 147

Variante 7,5, südionisch/milesisch

148. Rfrgt. K 89.514.43

L 3.9; B 3.35; Dm 20.0; WSt 0.25–0.4

Ton: fest; fein gemagert; viel Hellglimmer.

Oberfläche: gut geglättet.

Malfarbe: von schwarz bis braun changierender, streifiger und fester Firnis; stumpf, teilweise jedoch matt glänzend; dicht bis durchscheinend, je nach Dicke des Auftrages; enthält Dunkelglimmer.

Fundort: Milet, Kalabaktepe

Kontext: Q 89.18/ Phase 4A (Auffüllung für Phase 4, vielleicht noch ein Teil des Bodens von Phase 2+3)

Typus: 7,5.B

Dekorvariante: f

Dat.: vor 640/30-610/00 v. Chr.

Tafel 28, 148

149. Rfrgt. K 91.137.5

L 4.9; B 7.5; Dm 20.0; WSt 0.4–0.5

Ton: 2.5 YR 6/8; hart; leicht sandig; grobe Einschlüsse und Poren; feiner bis grober Hell- und Dunkelglimmer.

Oberfläche: innen leicht rau, außen geglättet.

Überzug: 10 YR 8/3-4 bis 2.5 Y 8/2-3.

Malfarbe: teils dünner, dann dunkelbrauner, teils dichter, dann schwarzer und matt glänzender Firnis.

Fundort: Milet, Kalabaktepe

Kontext: Q 91.05/ Phase 7–8 (Schutt der Wiederbesiedlung, noch später durchsucht)

Archäometrie: *Yalcin* Prob.Nr.: TR-3K/268
Milesisches Feld/Cluster 2,
Hauptgruppe A (Milet)

Typus: 7,5.B

Dekorvariante: fa

Dat.: vor 640/30-590/80 v. Chr.

Tafel 28, 149; 118, 149

Typus 8

Variante 8,1, südionisch

150. Rfrgt. K 91.49.36

L 5.6; B 13.0; Dm 13.0; WSt 0.15–0.2

Ton: 7.5 YR 6/4 (dunkelbraun); hart; sehr feiner bis mittelfeiner Hellglimmer, auch Dunkelglimmer.

Oberfläche: geglättet.

Malfarbe: schwarzer, matt glänzender Firnis

Fundort: Milet, Kalabaktepe

Kontext: U 90.02; R 90.06/ Phase 7–8 (Schutt der Steinausraubung)

Archäometrie: *Yalcin* Prob.Nr.: TR-3K/256
Milesisches Feld/Cluster 2,
Hauptgruppe A (Milet)
Mommsen Prob.Nr.: Mile 59
Gruppe **U104** (unlokalisiert)

Typus: 8,1.B

Dekorvariante: a

Dat.: spätestens 650/40-620/10 v. Chr.

Tafel 28, 150; 118, 150

- 151.** Rfrgt. K 92.306.2
 L 1.75; B 3.55; Dm ca. 12; WSt 0.15–0.2
 Ton: 5 YR 6/6; hart; fein gemagert; feinste Kalksteineinschlüsse; sehr feiner Hell- und feiner Dunkelglimmer.
 Oberfläche: geglättet.
 Malfarbe: teilweis schwarzer und dichter, teilweise dünner und bräunlicher, matter Firnis.
 Fundort: Milet, Kalabaktepe
 Kontext: Q 91.03/ Phase 3–4A (Schutt der Phase 3)
 Typus: 8,1.B
 Dekorvariante: a
 Dat.: spätestens 650/40–620/10 v. Chr.
 Tafel 28, 151
- 152.** Rfrgt. K 92.560.11
 L 2.3; B 2.45; Dm ca. 11; WSt 0.2
 Ton: 5 YR 5/3; fein gemagert; sehr feine Quarzeinschlüsse; feiner Hellglimmer.
 Oberfläche: geglättet.
 Malfarbe: schwarzer, dichter und fester, metallisch glänzender Firnis;
 aufgesetzte Farbe: Deckrot und –weiss.
 Fundort: Milet, Kalabaktepe
 Kontext: Q 91.03/ Phase 1–2A (Zerstörungsschutt der Phase 1)
 Typus: 8,1.B
 Dekorvariante: ay
 Dat.: spätestens 650/40 v. Chr.
 Tafel 28, 152; 119, 152
- 153.** Rfrgt. K 90.414.10
 L 3.05; B 4.2; Dm 10.0; WSt 0.15–0.2
 Ton: 5 YR 6/6; hart; sehr feine Kalksteineinschlüsse; viel sehr feiner Hell- und Dunkelglimmer.
 Oberfläche: geglättet.
 Malfarbe: schwarzer, dichter, metallisch und matt glänzender Firnis;
 aufgesetzte Farbe: Deckweiß und -rot.
 Fundort: Milet, Kalabaktepe
 Kontext: Q 90.06/ Phase 7 (Archaische Bodenschichten mit der Entfüllung in der Grube, nicht vom Schutt der Steinausraubung getrennt)

- Archäometrie: *Yalcin* Prob.Nr.: TR-3K/257
 Milesisches Feld/Cluster 2,
 Hauptgruppe A (Milet)
Mommsen Prob.Nr.: Mile 61
 Gruppe **U1o4** (unlokalisiert)
 Typus: 8,1.B
 Dekorvariante: ay
 Dat.: spätestens 650/40–620/10 v. Chr.
 Tafel 28, 153; 119, 153
- 154.** Rfrgt. K 92.472.1
 L 1.35; B 2.65; Dm ca. 10; WSt 0.15
 Ton: 7.5 YR 5/0; hart; sehr fein gemagert; sehr wenig feine Kiesel- und Quarzeinschlüsse; wenig feiner Hellglimmer.
 Oberfläche: geglättet.
 Malfarbe: schwarzer, fester und dichter, metallisch glänzender Firnis;
 aufgesetzte Farbe: Deckrot und –weiss, dicht.
 Fundort: Milet, Kalabaktepe
 Kontext: Q 92.01/ Phase 5B–6A (Fußboden der Phase 5 oder eher schon Auffüllung für Phase 6)
 Typus: 8,1.B
 Dekorvariante: ay
 Dat.: spätestens 650/40–620/10 v. Chr.
 Tafel 28, 154; 119, 154
- 155.** vollst. Z 08.425.467 (mit Anpassungen aus Z 08.467 + Z 08.468 + Z 08.472 + Z 08.478 + Z 09.4; Z 09.23)
 H 6,55; DmR ca. 10.4; DmF 2.8; WSt 0.10–0.18
 Ton: 5 YR 7–6/6; klingend hart; sehr fein gemagert; sehr viele kleine beige Einschlüsse; verdichtet, aber mit einigen Poren; viel feiner und wenig Hellglimmer.
 Oberfläche: sehr gut geglättet.
 Malfarbe: schwarzer, fester und dichter, metallisch glänzender Firnis;
 aufgesetzte Farbe: Deckrot und –weiß dicht.
 Fundort: Milet, Aphrodite-Heiligtum
 Kontext: Q 08.74/ bis 630/620 v. Chr. (Aus der oberen Abschlußfüllung des Bothros, der mit Spätprotokorinthischem geschlossen wird und viele vollständige Gefäße aufweist).

Typus: 8,1.B

Dekorvariante: ay

Dat.: spätestens 650/40-620/10 v. Chr.

Tafel 28, 155; 119, 155

156. Rfrgt. K 92.461.15

L 1.4; B 2.1; Dm 10; WSt 0.15

Ton: 7.5 YR 6/3; hart; feinst gemagert; keine grösseren Einschlüsse; wenig feiner Hell- und etwas gröberer Dunkelglimmer.

Malfarbe: schwarzer, fester und dichter, matter Firnis;
aufgesetzte Farbe: Deckrot und –weiss, dünn und teilweise abgeplatzt.

Fundort: Milet, Kalabaktepe

Kontext: Q 92.03/ Phase 6–7A (Auffüllung für die Wiederbesiedlung)

Typus: 8,1.B

Dekorvariante: ay

Dat.: spätestens 650/40-620/10 v. Chr.

Tafel 29, 156; 120, 156

157. Rfrgt. K 92.422.4

L 2.15; B 2.9; Dm ca. 12; WSt 0.2

Ton: 5 YR 5/3; hart; sehr fein gemagert; wenig feine Kieseinschlüsse; wenig feiner Hellglimmer.

Oberfläche: geglättet.

Malfarbe: schwarzer, dichter und fester Firnis;
aufgesetzte Farbe: Deckrot und –weiss, dicht und fest.

Fundort: Milet, Kalabaktepe

Kontext: Q 91.03/ Phase 2/3A (Auffüllung für Phase 3)

Typus: 8,1.B

Dekorvariante: ay

Dat.: spätestens 650/40-620/10 v. Chr.

Tafel 29, 157; 120, 157

158. Rfrgt. K 92.306.20

L 2.15; B 1.7; Dm ca. 13; WSt 0.3

Ton: 7.5 YR 8/6; fest; fein gemagert; sehr feine Quarzeinschlüsse; wenig feiner Hell- und Dunkelglimmer.

Malfarbe: schwarzer, matter und dichter Firnis;
aufgesetzte Farbe: Deckrot (streifig, teils abgeplatzt) und –weiss (streifig, teils dünn, teils dicht).

Fundort: Milet, Kalabaktepe

Kontext: Q 91.03/ Phase 3/4A (Schutt der Phase 3)

Typus: 8,1.B

Dekorvariante: ay

Dat.: spätestens 650/40-620/10 v. Chr.

Tafel 29, 158; 120 158

159. Rfrgt. K 89.281.10

L 1.8; B 3.5; Dm ca. 14.0; WSt 0.25

Ton: 7.5 YR 8/5-6; hart; fein gemagert; viel feiner Hell- und Dunkelglimmer.

Malfarbe: schwarzer, fester und deckender, matt glänzender Firnis.

Fundort: Milet, Kalabaktepe

Kontext: Q 89.03/ Phase 2A (Auffüllung für Hof der Phase 2)

Typus: 8,1.B

Dekorvariante: ay

Dat.: spätestens 650/40 v. Chr.

Tafel 29, 159

Variante 8,2, südionisch

160. Pro. K 6571

H 8; DmR 14.5; DmF 4.17; WSt 0.2–0.3

Ton: 5 YR 7-8/6; hart; fein gemagert; viel feiner Hell- und Dunkelglimmer.

Malfarbe: schwarzer, fester und deckender, matt glänzender Firnis.

Fundort: Samos, Hera-Heiligtum

Aufbewahrungsort: Samos, Depot Deutsches Grabungshaus

Typus: 8,2.B

Dekorvariante: a

Dat.: ca. 660/50-600/590 v. Chr.

Publ.: Walter 1957, Beil. 72,4

Tafel 29, 160; 120, 160

- 161.** R- + Wfrgt. Z 91.5.28
L 6.1; B 3.4; DmR 14.0; WSt 0.2 (Rfrgt.)
L 5.3; B 5.7; WSt 0.2 (Wfrgt.)
Ton: 7.5 YR 6/6; hart; fein gemagert.
Malfarbe: schwarzer, glänzender Firnis.
Fundort: Milet, Aphrodite-Heiligtum
Kontext: Q 91.30/ 2. H. 6. Jh. v. Chr. (Große spätarchaische Geröllaufschüttung zur Terrassierung des Geländes, z.T. mit Heiligtumsabfall des 7. Jhs.)
Typus: 8,2.B
Dekorvariante: a
Dat.: ca. 660/50-600/590 v. Chr.
Tafel 29, 161
- 162.** Rfrgt. K 90.828.10
L 4.1; B 8.35; Dm 12.4; WSt 0.2
Ton: 5 YR 7-6/6; hart; fein gemagert; feine Quarz- und Kalksteineinschlüsse; sehr feiner Hellglimmer.
Oberfläche: geglättet.
Malfarbe: schwarzer, metallisch glänzender und matter Firnis.
Fundort: Milet, Kalabaktepe
Kontext: Q 90.01/ Phase 1 (verfüllte Grube im natürlichen Lehm Boden, über die die Mauer K 90.611 der Phase 1-4 verläuft und die der Fußboden K 90.649 der Phase 2 abdeckt)
Archäometrie: *Mommsen* Prob.Nr.: Mile 60 Gruppe **Ulo4** (unlokalisiert)
Typus: 8,2.B
Dekorvariante: a
Dat.: ca. 660/50-650/40 v. Chr.
Tafel 29, 162; 121, 162
- 163.** Rfrgt. K 92.314.2
L 1.6 B 2.3; Dm ca. 12; WSt 0.15
Ton: 5 YR 6/6; hart; sehr fein gemagert; feiner Hellglimmer.
Oberfläche: geglättet.
Malfarbe: von schwarz bis braun changierender, fester und dichter, matt glänzender Firnis.
Fundort: Milet, Kalabaktepe
- Kontext: Q 92.03/ Phase 7–8 (Zerstörter Lehmaufbau und Schutt der Wiederbesiedlung)
Typus: 8,2.B
Dekorvariante: a
Dat.: ca. 660/50-600/590 v. Chr.
Tafel 29, 163
- 164.** Rfrgt. K 89.247.6
L 1.75; B 2.45; Dm ca. 15–16; WSt 0.17
Ton: 5 YR 6/7-6; hart; wenige, äusserst feine Kalksteineinschlüsse; feiner Hellglimmer.
Oberfläche: geglättet (feine Drehrillen).
Überzug: vielleicht „wash“.
Malfarbe: schwarzer, dichter und fester, matt metallisch glänzender Firnis; enthält wenig Hellglimmer.
Fundort: Milet, Kalabaktepe
Kontext: Q 89.07/ Phase 2B/3A (Schicht im Innern des "Tuffbaus"; nach der Höhe Zerstörung, bzw. Auffüllung für Phase 3; in diesem Befund wird auch schon Fußboden von Phase 2 enthalten sein)
Typus: 8,2.B
Dekorvariante: a
Dat.: ca. 660/50-620/10 v. Chr.
Tafel 29, 164
- 165.** Rfrgt. K 89.280.22
L 1.7; B 1.8; Dm ca. 13.0; WSt 0.2–0.25
Ton: 5-7.5 YR 6/6-5; fein gemagert; feine schwarze Partikel; viel Hellglimmer.
Oberfläche: geglättet, aber leicht unruhig.
Überzug: „wash“.
Malfarbe: von schwarz bis schwarzbraun changierender, teils dichter, teils durchscheinender und streifiger Firnis; enthält Dunkelglimmer.
Fundort: Milet, Kalabaktepe
Kontext: Q 89.08/ Phase 1–3 (Braune Sandschicht)
Typus: 8,2.B
Dekorvariante: a
Dat.: ca. 660/50-600/590 v. Chr.
Tafel 29, 165

- 166.** Rfrgt. K 91.185.5
 L 2.7; B 5.1; Dm 14.0; WSt 0.15–0.2
 Ton: 5 YR 6/4 bis 5 YR 7-6/6; hart; sehr feine Kalkstein- und Quarzeinschlüsse; viel feiner Hell- und Dunkelglimmer.
 Oberfläche: geglättet.
 Malfarbe: schwarzer, dichter, metallisch glänzender Firnis;
 aufgesetzte Farbe: Deckweiß und -rot.
 Fundort: Milet, Kalabaktepe
 Kontext: Q 90.15/ Phase 1 oder 2 (Grube am O-Profil)
 Archäometrie: *Yalcin* Prob.Nr.: TR-3K/258 Milesisches Feld/Cluster 2, Hauptgruppe A (Milet)
 Typus: 8,2.B
 Dekorvariante: ay
 Dat.: ca. 660/50-630/20 v. Chr.
 Tafel 29, 166; 121, 166
- 167.** Rfrgt. Z 94.269.7
 L 6.6; B 6.3; Dm 10.0; WSt 0.2–0.3
 Ton: 7.5 YR 5/4; hart; fein gemagert, aber sandig; wenig feiner Hellglimmer.
 Oberfläche: geglättet.
 Malfarbe: schwarzer, dichter und fester, matt glänzender Firnis;
 aufgesetzte Farbe: Deckrot und -weiss.
 Fundort: Milet, Aphrodite-Heiligtum
 Kontext: Steufund
 Typus: 8,2.B
 Dekorvariante: ay
 Dat.: ca. 660/50-600/590 v. Chr.
 Tafel 29, 167; 121, 167
- 168.** Rfrgt. Z 09.4.111
 L 3.8; B 6.4; Dm 12; WSt 0.16-0.2
 Ton: 5 YR 7/3-4; klingend hart; fein ausgeschlämmt, dennoch kleine Sandquarze; feine; einiger feiner Dunkelglimmer.
 Oberfläche: extrem gut glättet, dennoch feine, deutliche Drehspuren.
 Malfarbe: sehr fester, matt glänzender schwarzer bis oliveschwarzer Glanzton.
 aufge. Farbe: Deckweiß und -rot
 Fundort: Milet, Aphrodite-Heiligtum
- 169.** Rfrgt. Z 09.37.63
 L 4.38; B 5.32; Dm 10.6; WSt 0.16-0.22
 Ton: 7.5 YR 7/4 bis 7.5 YR 5-4/1; hart; fein ausgeschlämmt; feine schwarze, beige und rötliche (Schamott?) Körner; stark verdichtet, dennoch kleine Lufteinschlüsse; einiger feiner Dunkelglimmer.
 Oberfläche: gut geglättet; dennoch viele feine Drehrillen.
 Malfarbe: fester, dichter, schwarzer bis ins olivebraune changierender matter Glanzton.
 aufg. Farbe: Deckrot und –weiß.
 Fundort: Milet, Aphrodite-Heiligtum
 Kontext: Q 08.74/ bis 630/620 v. Chr. (Aus der oberen Abschlußfüllung des Bothros, der mit Spätprotokorinthischem geschlossen wird und viele vollständige Gefäße aufweist).
 Typus: 8,2.B
 Dekorvariante: ay
 Dat.: ca. 660/50-640/30 v. Chr.
 Taf. 30, 169; 122, 169
- 170.** Rfrgt. S 63.20.1
 L 4.2; B 5.1; Dm 10.0; WSt 1.5–2.0
 Ton: 5 YR 6-5/6, teilweise grau (5 YR 5/1); hart; fein gemagert; viel sehr feiner Hellglimmer.
 Oberfläche: geglättet.
 Malfarbe: schwarzer, metallisch glänzender, dichter und fester Firnis; innen:
 aufgesetzte Farbe: Deckrot und -weiss.
 Fundort: Milet, Südschnitt
 Kontext: 3. Schicht/ Brandschicht mit wenig Keramik; auffallend viele abgeschliffene Scherben. Liegt in der Höhe der Unterkante der Fundamentsteine der Südmauer des Komplexes C. Offenbar einheitlich. Nicht später als 6. Jh. v. Chr.
 Typus: 8,2.B
- Kontext:** Q 08.74/ bis 630/620 v. Chr. (Aus der oberen Abschlußfüllung des Bothros, der mit Spätprotokorinthischem geschlossen wird und viele vollständige Gefäße aufweist).

Dekorvariante: ay

Dat.: ca. 660/50-600/590 v. Chr.

Tafel 30, 170

Typus 9

Variante 9,1, südionisch

171. Pro. ohne F. Z 05.131.28

H 7.0-7.2; DmR 12.2; DmF 5.2; WSt 0.18-0.25

Ton: 5 YR 6/7-4; hart; fein gemagert; mittelfeine Quarzeinschlüsse, feine Partikel; stark verdichtet; feiner Hell- und grober Dunkelglimmer.

Oberfläche: sorgfältig geglättet.

Malfarbe: schwarzer, matt metallisch glänzender Firnis; dicht und fest.

Fundort: Milet, Aphrodite-Heiligtum

Kontext: Q 05.09/ 3. V. 6. Jh. v. Chr. Deponierung in der Terrassierungsaufschüttung über einem ehemaligen Kalksteinbruch (Ensemble 6)

Typus: 9,1.B

Dekorvariante: g

Dat.: ca. 600/590-550/40 v. Chr.

Tafel 30, 171; 122, 171

172. Pro. ohne F. Z 05.131.18

erhH 6.6; DmR 12.2; WSt 0.21-0.5

Ton: 5-7.5 YR 6/6; hart; fein gemagert; verdichtet; kaum sichtbare Magerungspartikel; feiner Hell- und Dunkelglimmer.

Oberfläche: sehr gut geglättet.

Malfarbe: schwarzer, matter, teils streifiger Firnis; teils durchscheinend.

Fundort: Milet, Aphrodite-Heiligtum

Kontext: Q 05.09/ 3. V. 6. Jh. v. Chr. Deponierung in der Terrassierungsaufschüttung über einem ehemaligen Kalksteinbruch (Ensemble 6)

Typus: 9,1.B

Dekorvariante: g

Dat.: ca. 600/590-550/40 v. Chr.

Tafel 30, 172; 122, 172

173. Rfrgt. Z 91.15.22

L 5.2; B 6.3; Dm 14.0; WSt 0.3-0.35

Ton: 7.5 YR 7/6; hart; fein gemagert.

Malfarbe: schwarzbrauner Firnis.

Fundort: Milet, Aphrodite-Heiligtum

Kontext: Q 91.30/ 2. H. 7. Jh. (Antike Geländeoberfläche mit dem ältesten Heiligtumsschutt)

Typus: 9,1.B

Dekorvariante: g

Dat.: ca. 600/590-550/40 v. Chr.

Tafel 30, 173; 122, 173

174. Rfrgt. K 89.211.1 +
K 89.265.23

L 7.1; Dm 17.0; WSt 0.3

Ton: 5 YR 7/6; hart; sehr feine Quarz-, Kiesel- und Kalksteineinschlüsse; feiner Hell- und Dunkelglimmer.

Oberfläche: geglättet.

Malfarbe: rotbrauner, teilweise ins dunkelbraun changierender, dichter und leicht glänzender Firnis.

Fundort: Milet, Kalabaktepe

Kontext: Q 89.01/ Phase 7 (Schutt der Steinausraubung) (K 89.211) Q 89.01/ Phase 5B (oder 6B?) (Estrichschicht, Fußboden) (K 89.265)

Typus: 9,1.B

Dekorvariante: g

Dat.: ca. 600/590-550/40 v. Chr.

Tafel 30, 174; 123, 174

175. Pro. S 63.128.7

H 6.5; DmR ca. 16.0; DmF ca. 5.8; WSt 0.35-0.5

Ton: 5 YR 7/6 bis 5 Y 5/1; hart; fein gemagert; feine Partikel; feiner Hellglimmer.

Malfarbe: schwarzer, fester und matt glänzender Firnis.

Fundort: Milet, Südschnitt

Kontext: [Unter UK von G/ Einzelfund (IstMitt 23/24, 1973/1974, 99 Kat.-Nr. 68)]

Typus: 9,1.C

Dekorvariante: g

Dat.: ca. 590/80-550/40 v. Chr.

Publ.: IstMitt 23/24, 1973/1974, 99 Kat.-Nr. 68 Taf. 25, 68

Tafel 30, 175

176. Rfrgt. K 89.19.13

L 3.2; B 4.0; Dm 16.0; WSt 0.2–0.35

Ton: 2.5 YR 6/6 bis 5 YR 6-7/6, 5 YR 7/4 (außen); hart; fein geschlämmter Ton; stark verdichtet; kaum sichtbare Magerungspartikel; viel Hell- und Dunkelglimmer.

Oberfläche: geglättet (Schwamm).

Überzug: über tongrundigem Bereich eine Art von „wash“.

Malfarbe: schwarzer, fester und dichter, matter Firnis.

Fundort: Milet, Kalabaktepe

Kontext: Q 89.04/ Phase 7 (Schutt der Steinausraubung)

Typus: 9,1.C

Dekorvariante: g

Dat.: ca. 590/80-550/40 v. Chr.

Tafel 31, 176

177. Pro. ohne F. Z 05.131.29+32

H 7.3; DmR 15.4–15.8; DmF 6.2; WSt 0.17–0.32

Ton: 5 YR 6/6-4; hart; fein gemagert; gut verdichtet; wenig feine Partikel; feiner und mittelfeiner Dunkelglimmer.

Oberfläche: sorgfältig geglättet.

Malfarbe: schwarzer, matter, fester Firnis.

Fundort: Milet, Aphrodite-Heiligtum

Kontext: Q 05.09/ 3. V. 6. Jh. v. Chr. Deponierung in der Terrassierungsaufschüttung über einem ehemaligen Kalksteinbruch (Ensemble 6)

Typus: 9,1.C

Dekorvariante: g

Dat.: ca. 590/80-550/40 v. Chr.

Tafel 31, 177; 123, 177

178. Pro. ohne F. Z 05.131.2

erH 5.2; DmR 15.0–15.2; WSt 0.28–0.31

Ton: 5 YR 7-6/6-5; hart; fein gemagert; mittelfeine Quarzeinschlüsse, mittel feiner Hellglimmer.

Oberfläche: sorgfältig geglättet.

Malfarbe: schwarzer, matt metallisch glänzender Firnis; dicht und fest.

Fundort: Milet, Aphrodite-Heiligtum

Kontext: Q 05.09/ 3. V. 6. Jh. v. Chr. Deponierung in der Terrassierungsaufschüttung über einem ehemaligen Kalksteinbruch (Ensemble 6)

Typus: 9,1.C

Dekorvariante: g

Dat.: ca. 590/80-550/40 v. Chr.

Tafel 31, 178; 123, 178

179. Pro. Z 05.131.8

H 6.8–7.1; DmR 14.8; DmF 6.3; WSt 0.27–48

Ton: 5 YR 7-6/4; fest; fein gemagert; sehr viel feiner und grober Hellglimmer, auch Dunkelglimmer.

Oberfläche: gut geglättet.

Malfarbe: schwarzer matt glänzender Firnis; innen: sehr fest und dicht (wenn dünn, dann dunkelbraun).

Fundort: Milet, Aphrodite-Heiligtum

Kontext: Q 05.09/ 3. V. 6. Jh. v. Chr. Deponierung in der Terrassierungsaufschüttung über einem ehemaligen Kalksteinbruch (Ensemble 6)

Typus: 9,1.C

Dekorvariante: g

Dat.: ca. 590/80-550/40 v. Chr.

Tafel 31, 179; 123, 179

180. Rfrgt. S 63.91.7

erH 5; Dm 16.1; WSt 0.3–0.4

Ton: 5 YR 7-5/6; hart; fein gemagert; feine Partikel; verdichtet; feiner Hellglimmer.

Malfarbe: schwarzer, matt glänzender Firnis.

Fundort: Milet, Südschnitt

Kontext: südlich und südwestlich von Mauer W/ 7. Jh. v. Chr. (?) (brauner Sand, teilweise mit Lehm). [NW-Ecke von U/ frühes 7. – mittleres 6. Jh. v. Chr. (Scherben-Schuttschicht) (IstMitt 23/24, 1973/1974, 98 Kat.-Nr. 67 mit Verweis auf Kat.-Nr. 78)]

Typus: 9,1.C

Dekorvariante: i

Dat.: ca. 590/80-550/40 v. Chr.

Publ.: IstMitt 23/24, 1973/1974, 98-99 Kat.-Nr. 67 Abb. 15 Taf. 25, 67

Tafel 31, 180

- 181.** Pro. ohne F. K 89.156.1
L 8.5; Dm 16.0; WSt 0.3–0.4
Ton: 5 YR 6-5/6; hart; wenig feine Quarzeinschlüsse; viel mittelfeiner Dunkelglimmer.
Oberfläche: geglättet.
Malfarbe: rotbrauner und dichter Firnis.
Fundort: Milet, Kalabaktepe
Kontext: Q 89.02/ Phase 7 (Sandeinfüllung nach der Steinausraubung)
Archäometrie: *Mommsen* Prob.Nr.: 62 Gruppe **UI70-1** (unlokalisiert)
Typus: 9,1.C
Dekorvariante: i
Dat.: ca. 590/80-550/40 v. Chr.
Tafel 32, 181; 123, 181
- 182.** Rfrgt. K 89.493.16
L 8.5; Dm 16.0; WSt 0.3–0.4
Ton: 5 YR 6-5/6; hart; wenig feine Quarzeinschlüsse; viel mittelfeiner Dunkelglimmer.
Oberfläche: geglättet.
Malfarbe: rotbrauner, dichter Firnis.
Fundort: Milet, Kalabaktepe
Kontext: Q 89.03/ Phase 1–7 (Steg)
Typus: 9,1.C
Dekorvariante: h-i
Dat.: ca. 590/80-550/40 v. Chr.
Tafel 32, 182
- 183.** Pro. ohne F. Z 05.131.14
erhH 5.7–6; DmR 15.6; WSt 0.28–0.4
Ton: 5 YR 6/6; hart; fein gemagert; mittelfeine Quarzeinschlüsse, feiner und mittelfeiner Hell- und Dunkelglimmer.
Oberfläche: sehr sorgfältig geglättet.
Malfarbe: schwarzer, matt metallisch glänzender Firnis; dicht und fest.
Fundort: Milet, Aphrodite-Heiligtum
Kontext: Q 05.09/ 3. V. 6. Jh. v. Chr. Deponierung in der Terrassierungsaufschüttung über einem ehemaligen Kalksteinbruch (Ensemble 6)

- Typus: 9,1.C
Dekorvariante: i
Dat.: ca. 590/80-550/40 v. Chr.
Tafel 32, 183
- 184.** Pro. ohne F. Z 92.92.45
L 8.6; B 10.0; Dm 16.0; WSt 0.3–0.5
Ton: 5 YR 6/6; hart; fein gemagert; mittelfeine Quarzeinschlüsse, auch Kalkstein- und Kieseinschlüsse; feiner Hell- und grober Dunkelglimmer.
Oberfläche: geglättet.
Malfarbe: schwarzer, matt metallisch glänzender Firnis; dicht und fest.
Fundort: Milet, Aphrodite-Heiligtum
Kontext: Q 92.24/ (2. H. 6. Jh.) wahrscheinlich unten archaische Schichten aber oben hell. gestört (Abfallschicht des 6. Jhs. v. Chr.)
Archäometrie: *Yalcın* Prob.Nr.: TR-3K/262 Milesisches Feld/Cluster 2, Hauptgruppe A (Milet)
Typus: 9,1.C
Dekorvariante: h
Dat.: ca. 590/80-550/40 v. Chr.
Tafel 32, 184; 123, 184
- 185.** Rfrgt. Z 91.38.143
L 2.6; B 4.8; Dm 16.0; D 0.25–0.3
Ton: 5 YR 6/6; hart; fein gemagert; mittelfeine Quarz- und Kieseinschlüsse, feiner bis mittelfeiner Dunkelglimmer.
Oberfläche: geglättet.
Malfarbe: schwarzer, matter Firnis; teils streifig, teils dicht.
Fundort: Milet, Aphrodite-Heiligtum
Kontext: Q 91.31/ 2. H. 6. Jh. v. Chr. (Spätarchaische Opferabfallschicht)
Typus: 9.C (Sonderform)
Dekorvariante: h-i
Dat.: ca. 590/80-550/40 v. Chr.
Tafel 32, 185; 124, 185
- 186.** Pro. AT 57.N.54.12
Erh. H 7.3; Dm 5.6; WSt 0.25–0.5

Ton: 5 YR 7/6; fein gemagert; gelblich-beige Tuff- oder Mergeleinschlüsse; Kalksteineinschlüsse; wenig feiner Dunkelglimmer.

Malfarbe: von rotbraun bis schwarz changierender, stumpfer und matter Firnis, nicht sehr fest, da schlecht gebrannt.

Fundort: Milet, Athena-Heiligtum

Kontext: Spätgeometrisch (?; offenbar gestört)

Typus: 9,1.C

Dekorvariante: i

Dat.: ca. 590/80-550/40 v. Chr.

Tafel 32, 186

Variante 9,2, südionisch

187. Pro. ohne F. K 93.540.1

L 7.1; B 9.6; Dm 16.0; WSt 0.3–0.5

Ton: 5 YR 6-5/6 (teilweise schwarz verbrannt); hart; fein gemagert; mittelfeine Quarz- und Kalksteineinschlüsse; mittelfeiner Dunkelglimmer.

Malfarbe: schwarzer, matt metallisch glänzender Firnis; dicht.

Fundort: Milet, Kalabaktepe

Kontext: Q 92.06/ Phase 5 oder 6 (Spätarchaischer Boden)

Typus: 9,2.C

Dekorvariante: h-i

Dat.: ca. 580/70-530/20 v. Chr.

Tafel 33, 187; 124, 187

188. Pro. Z 92.88.20

L 8.5; DmR 14.2; DmF ca. 6.5; WSt 2.5–5.5

Ton: 5 YR 7-6/6; hart; fein gemagert; feiner Hell- und mittelfeiner Dunkelglimmer.

Oberfläche: geglättet.

Malfarbe: schwarzer, matt metallischer Firnis; dicht.

Fundort: Milet, Aphrodite-Heiligtum

Kontext: Q 92.22/ Ende 6. Jh. v. Chr. (Spätarchaischer Schutt in einer Felsspalte, datiert nach Keramik)

Archäometrie: *Yalcın* Prob.Nr.: TR-3K/261 Milesisches Feld/Cluster 2, Hauptgruppe A (Milet)

Mommsen Prob.Nr.: Mile 63 Gruppe **UI70-2** (unlokalisiert)

Typus: 9,2.C

Dekorvariante: i

Dat.: ca. 580/70-530/20 v. Chr.

Publ.: Schlotzhauer 2008, 167 Abb 3; Schlotzhauer 2001, 123 Taf. 18, 1.

Tafel 33, 188; 124, 188

189. Rfrgt. Z 91.9.10

L 2.9; B 4.9; Dm 16.0; WSt 0.35

Ton: 5 YR 6/6; hart; fein gemagert; sehr wenig mittelfeine Quarzeinschlüsse; feinstes Hellglimmer.

Oberfläche: geglättet.

Malfarbe: bräunlichschwarzer, teils dünn aufgetragener, matter Firnis.

Fundort: Milet, Aphrodite-Heiligtum

Kontext: Q 91.30/ 2. H. 6. Jh. v. Chr. (evtl. später) (Archaischer Heiligtumsabfall)

Typus: 9,2.C

Dekorvariante: h-i

Dat.: ca. 580/70-530/20 v. Chr.

Tafel 33, 189; 125, 189

190. Rfrgt. Z 91.52.7

L 2.3; B 4.5; Dm 14; WSt 0.3

Ton: 5 YR 6/6; hart; fein gemagert; mit wenigen grösseren Kalksteineinschlüssen; feinstes Hellglimmer.

Oberfläche: geglättet.

Malfarbe: schwarzer, dichter und matter Firnis

Fundort: Milet, Aphrodite-Heiligtum

Kontext: R 90.38; U 90.40/ nacharchaisch (archaische Schuttschicht)

Typus: 9,2.C

Dekorvariante: g-i

Dat.: ca. 580/70-530/20 v. Chr.

Tafel 33, 190

191. Wfrgt. Z 91.39.6

L 3.2; B 6.25; WSt 0.35–0.45

Ton: 7.5 YR 6/4; hart; fein gemagert. Malfarbe: rötlichbrauner Firnis.

Fundort: Milet, Aphrodite-Heiligtum
 Kontext: Q 91.31/ nacharchaisch (durchgehende
 Fundamentfläche der hellenist./röm.
 Gebäude)
 Typus: 9,2.C
 Dekorvariante: g-i
 Dat.: ca. 580/70-530/20 v. Chr.
 Tafel 33, 191

192. Wfrgt. Z 91.38.144

L 3.9; B 7.2; WSt 0.35–0.4

Ton: 2.5 YR 6/6; hart; fein gemagert; teilweise
 grössere Kiesel- und Kalksteineinschlüsse;
 feiner Hell- und Dunkelglimmer.
 Oberfläche: geglättet bzw. poliert.
 Malfarbe: schwarzer, ins braun changierender und
 matter Firnis.

Fundort: Milet, Aphrodite-Heiligtum
 Kontext: Q 91.31/ 2. H. 6. Jh. v. Chr.
 (Spätarchaische Opferabfallschicht)
 Typus: 9,2.C
 Dekorvariante: h-i
 Dat.: ca. 580/70-530/20 v. Chr.
 Tafel 33, 192; 125, 192

193. Rfrgt. S 63.114.3

L 2.7; B 2.6; WSt 0.3–0.5

Ton: 2.5 YR 6/6; hart; fein gemagert; feinst
 Kalksteineinschlüsse; feiner Hellglimmer.
 Oberfläche: geglättet.
 Malfarbe: teils schwarzer, fester und deckender
 Glanzton, teils dünner aufgetragen und
 bräunlich.

Fundort: Milet, Südschnitt
 Kontext: keine Informationen
 Typus: 9,2.C
 Dekorvariante: j
 Dat.: ca. 580/70-530/20 v. Chr.
 Tafel 33, 193

194. Rfrgt. K 89.183.27

L 2.8; B 3.5; Dm 17.0; WSt 0.3–0.45

Ton: 5 YR 7/6; hart; fein geschlämmter Ton; stark
 verdichtet; kaum sichtbare Magerungspartikel;
 viel Hell- und Dunkelglimmer.
 Oberfläche: geglättet (Schwamm).
 Überzug: über tongrundigem Bereich eine Art von
 „wash“.
 Malfarbe: schwarzer, matter, fester und dichter
 Firnis; außen: hellbrauner, dünner, stumpfer
 und streifiger Firnis.

Fundort: Milet, Kalabaktepe
 Kontext: Q 89.01/ Phase 7 (Schuttschicht,
 Zerstörung der spätarchaischen
 Gebäude)

Typus: 9,2.C
 Dekorvariante: j
 Dat.: ca. 580/70-530/20 v. Chr.
 Tafel 33, 194

Variante 9,3, südionisch

195. Rfrgt. Z 91.38.141+142

L 3.6; B 4.35; Dm 18.0; WSt 0.35–0.4 (Z
 91.38.141)
 L 4.5; B 3.5; Dm 18.0; WSt 0.35–0.4 (Z 91.38.142)

Ton: 5 YR 6/6, hart; feinst gemagert; feine und sehr
 wenig grössere Kieseleinschlüsse.
 Malfarbe: schwarzer, ins dunkelbraun
 changierender Firnis; streifig.

Fundort: Milet, Aphrodite-Heiligtum
 Kontext: Q 91.31/ 2. H. 6. Jh. v. Chr.
 (Spätarchaische Opferabfallschicht)
 Typus: 9,3.C
 Dekorvariante: j
 Dat.: ca. 570/60- vielleicht 500/490 v. Chr.
 Tafel 33, 195; 125, 195

196. Rfrgt. S 63.79.9

L 3.23; B 4.02; Dm 17.0; WSt 0.29–0.3

Ton: 2.5 YR 6/4-6; hart; sehr fein gemagert; wenig
 Kalksteineinschlüsse; sehr dicht und homogen.
 Oberfläche: gut geglättet.
 Malfarbe: schwarzer, metallisch glänzender, teils
 ausgedünnter, dann bräunlicher Firnis.

Fundort: Milet, Südschnitt
 Kontext: südlich und südwestlich von Mauer W/
 brauner Sand, teilweise mit Lehm (7. Jh.
 v. Chr.).

Typus: 9,3.C
 Dekorvariante: j
 Dat.: ca. 570/60- vielleicht 500/490 v. Chr.
 Tafel 34, 196

197. Pro. ohne F. Z 91.33.4
 L 2.4; B 5.3; Dm 16.0; WSt 0.3 (Rfrgt.)
 L 7.2; B11.0; WSt 0.3–0.5 (Wfrgt.)
 Ton: 5 YR 7-6/6; hart; fein gemagert; sehr wenig
 Quarzeinschlüsse; feinsten bis feiner
 Hellglimmer.
 Oberfläche: geglättet bzw. poliert.
 Malfarbe: schwarzer, matt metallischer Firnis; teils
 dicht, teils dünn.
 Fundort: Milet, Aphrodite-Heiligtum
 Kontext: Q 91.30/ 2. H. 6. Jh. v. Chr.
 (Spätarchaischer Terrassierungsschutt
 mit älterem, umgelagerten
 Heiligtumsschutt)
 Archäometrie: *Yalcın* Prob.Nr.: TR-3K/260
 Milesisches Feld/Cluster 2,
 Hauptgruppe A (Milet)
 Typus: 9,3.C
 Dekorvariante: g
 Dat.: ca. 570/60- vielleicht 500/490 v. Chr.
 Tafel 34, 197; 125, 197

198. Rfrgt. S 63.15.1
 L 3.9; B 7.27; Dm 14.0; WSt 0.3
 Ton: 2.5 YR 6/4-6; hart; sehr fein gemagert;
 gelegentlich grössere gelblich-beige Tuff- oder
 Mergeleinschlüsse, teilweise metallisch-
 grünlich; viel feiner Dunkelglimmer.
 Oberfläche: extrem geglättet.
 Malfarbe: fester, dichter und metallisch glänzender
 Firnis; teilweise dünner, dann bräunlicher und
 stumpfer.
 Fundort: Milet, Südschnitt
 Kontext: östlich von Mauer B/ ab Unterkante der
 römischen Nordmauer; braune Erde mit
 Lehm (6. Jh. v. Chr., offenbar
 ungestört).
 Typus: 9,3.C
 Dekorvariante: j
 Dat.: ca. 570/60- vielleicht 500/490 v. Chr.
 Tafel 34, 198

199. Rfrgt. K 93.529.1
 L 5.3; B 6.6; WSt 0.22–0.4
 Ton: 2.5 YR 6/8; hart; fein gemagert; feine
 Quarzeinschlüsse und kleine weiße
 Kalkeinschlüsse; viele Lufteinschlüsse; feiner
 bis grober Hell- und Dunkelglimmer.
 Oberfläche: geglättet und poliert.
 Malfarbe: schwarzer bis olivgrünlich-brauner, teils
 dichter, teils streifiger und fester Firnis.
 Fundort: Milet, Kalabaktepe
 Kontext: Q 92.06/ Phase 6B (Boden der Phase 6)
 Typus: 9,3.C
 Dekorvariante: j
 Dat.: ca. 570/60- vielleicht 500/490 v. Chr.
 Tafel 34, 199; 126, 199

200. Rfrgt. Z 91.10.3
 L 4.8; B 6.7; Dm 18.0; WSt 0.3–0.4
 Ton: 5 YR 6/6; hart; fein gemagert; feine
 Quarzeinschlüsse; feiner bis mittelfeiner
 Dunkelglimmer.
 Oberfläche: poliert.
 Malfarbe: dichter, schwarzer, matt metallisch
 glänzender Firnis.
 Fundort: Milet, Aphrodite-Heiligtum
 Kontext: Q 91.30/ 6. Jh. v. Chr. (Heiligtumsschutt
 des 6. Jhs. v. Chr. *in situ*)
 Archäometrie: *Mommsen* Prob.Nr.: Mile 65
 Gruppe **UI70-3** (unlokalisiert)
 Typus: 9,3.C
 Dekorvariante: j
 Dat.: ca. 570/60- vielleicht 500/490 v. Chr.
 Tafel 34, 200; 126, 200

201. Rfrgt. K 85.154.1
 L 3.55; B 2.7; Dm 16.0; WSt 0.3–0.4
 Ton: 2.5 YR 6/6, 5 YR 7/4-6 (außen); hart; fein
 gemagert; kleine Kalksteineinschlüsse; feiner
 Hell- und Dunkelglimmer.
 Oberfläche: poliert.
 Malfarbe: schwarzer, dichter und fester Firnis.
 Fundort: Milet, Kalabaktepe
 Kontext: Q 85.16/ nicht ausgewertet
 Typus: 9,3.C
 Dekorvariante: j

Dat.: ca. 570/60- vielleicht 500/490 v. Chr.

Tafel 34, 201; 126, 201

202. Rfrgt. K 89.416.8

L 3.3; B 4.4; Dm 18.0; WSt 0.3–0.5

Ton: 5 YR 5-6/6, 5 YR 6-7/6 (außen); fest bis hart; fein geschlammter Ton; stark verdichtet; kaum sichtbare Magerungspartikel; viel Hell- und Dunkelglimmer.

Oberfläche: gut geglättet (Schwamm).

Überzug: „wash“, darüber leicht milchiger Film.

Malfarbe: olivgrünlicher, matt glänzender Firnis; außen: dünner, teilweise schlecht erhalten.

Fundort: Milet, Kalabaktepe

Kontext: Q 89.12/ Phase 7 (Schutt der Steinausraubung)

Typus: 9,3.C

Dekorvariante: g

Dat.: ca. 570/60- vielleicht 500/490 v. Chr.

Tafel 34, 202

Variante 9,4, südionisch

203. Rfrgt. K 89.436.6

L 4.4; B 3.9; WSt 0.25–0.5

Ton: 5 YR 6/6 bis 2.5 YR 6/6, 5 YR 7/6 (außen); fest bis hart; fein geschlammter Ton; stark verdichtet; kaum sichtbare Magerungspartikel; viel Hell- und Dunkelglimmer.

Oberfläche: gut geglättet (Schwamm).

Überzug: „wash“.

Malfarbe: schwarzer, sehr fester und dichter Firnis von bester Qualität.

Fundort: Milet, Kalabaktepe

Kontext: Q 89.12/ Phase 7 (Schutt der Steinausraubung und Sandeinfüllung)

Typus: 9,4.C

Dekorvariante: g

Dat.: ca. 570/60- vielleicht 520/10 v. Chr.

Tafel 34, 203

204. Rfrgt. S 63.109.1

L 4.6; B 6.1; WSt 0.35–0.5

Ton: 5 YR 6/4; sehr hart; sehr fein gemagert; mittelfeiner Hellglimmer, auch Dunkelglimmer.

Oberfläche: geglättet.

Überzug: „wash“.

Malfarbe: dichter, fester, teils metallisch, teils matt glänzender Firnis.

Fundort: Milet, Südschnitt

Kontext: SZ II/ westlich der Quermauer; Schicht (bis 30 cm) unter dem hellenistischen Fußboden D; lemige Sanderde mit Ziegelfrg. (s. Tagebuch S. 30) (Ha 32)

Typus: 9,4.C

Dekorvariante: g

Dat.: ca. 570/60- vielleicht 520/10 v. Chr.

Tafel 34, 204

205. Wfrgt. K 92.141.2

L 6.0; B 4.9; WSt 0.3–0.4

Ton: ca. 2.5 YR 6/6 – 5 YR 7/6; hart; feinst gemagert; viel feiner Hellglimmer.

Oberfläche: geglättet.

Malfarbe: fester, schwarzer, schwach metallisch glänzender Firnis; streifig.

Fundort: Milet, Kalabaktepe

Kontext: R 92.02/ Phase 7–8 (Schutt im nacharchaischen Schacht)

Typus: 9,4.D

Dekorvariante: g

Dat.: ca. 570/60- vielleicht 520/10 v. Chr.

Tafel 35, 205; 126, 205

206. Rfrgt. K 89.438.7

L 3.15; B 2.6; Dm 18.0; WSt 0.25–0.4

Ton: 5 YR 7/8 bis 7/6; fest bis hart; fein geschlammter Ton; stark verdichtet; kaum sichtbare Magerungspartikel; viel Hell- und Dunkelglimmer.

Oberfläche: gut geglättet (Schwamm).

Überzug: „wash“.

Malfarbe: schwarzer, fester und dichter Firnis von bester Qualität.

Fundort: Milet, Kalabaktepe

Kontext: Q 89.12/ Phase 7 (Schutt der Steinausraubung)

Typus: 9,4.D

Dekorvariante: g

Dat.: ca. 570/60- vielleicht 520/10 v. Chr.

Tafel 35, 206

*Variante 9,1-4 Sonderformen,
Miniaturistisch / Übersteigerung
südionisch*

207. Rfrgt. S 63.148.13

L 4.3; B 6.2; Dm ca 12.0; WSt 0.25

Ton: 5 YR 5/4-6; hart; fein gemagert; feine
Kalksteineinschlüsse; wenig mittelfeiner
Hellglimmer.

Oberfläche: geglättet.

Malfarbe: schwarzer, metallisch glänzender Firmis.

Fundort: Milet, Südschnitt

Kontext: keine Informationen

Typus: 9,1.B Sonderform/ Miniaturistisch

Dekorvariante: h

Dat.: ca. 590/80- vielleicht 550/40 v. Chr.

Tafel 35, 207

208. Rfrgt. S 63.78.9

L 10.6; B 5.6; Dm 23.8; WSt 0.27–0.35

Ton: 5 YR 6/6; sehr fein gemagert; sehr feine,
gelblich-beige Tuff- oder Mergeleinschlüsse;
sehr feine Kalksteineinschlüsse; schwarze
Partikel; viel feiner Hell- und Dunkelglimmer.

Oberfläche: extrem geglättet.

Malfarbe: schwarzer, fester, dichter und matt
metallisch glänzender Firmis; teilweise dünn,
dann wässrig-braun.

Fundort: Milet, Südschnitt

Kontext: westlich und südwestlich von Mauer W/
7./6. Jh. v. Chr. (ab der Oberkante des
Fundaments; aus dem Steg unter B, in
Höhe des Fundaments von Westen).
[Neben W/ 2. H. 7. – Beginn 6. Jh. v.
Chr. (IstMitt 23/24, 1973/1974, 99 Kat.-
Nr. 69 mit Hinweis auf Kat.-Nr. 107)]

Typus: 9,2.B/C Sonderform/ Übersteigert

Dekorvariante: g

Dat.: ca. 580/70- vielleicht 530/20 v. Chr.

Publ.: IstMitt 23/24, 1973/1974, 99 Kat.-Nr. 69
Abb. 15 Taf. 25, 69

Tafel 35, 208

209. R- + Wfrgt. Z 91.86.36

L 4.6; B 5.9; Dm 26.0; WSt 0.4–0.45 (Rfrgt.)
L 7.2; B 6.5; WSt 0.4–0.6 (Wfrgt.)

Ton: 5 YR 6/6; hart; fein gemagert; wenig
mittelfeine Quarzeinschlüsse; feiner Hell- und
Dunkelglimmer.

Oberfläche: poliert.

Malfarbe: fester, schwarzer, matt metallischer und
dichter Firmis.

Fundort: Milet, Aphrodite-Heiligtum

Kontext: Q 91.32/ 1. H.? 6. Jh. v. Chr.
(Spätarchaischer Heiligtumschutt,
außerhalb des Bothros deponiert; Beginn
der Terrassierungsaufschüttung)

Typus: 9,2.C Sonderform/ Übersteigert

Dekorvariante: i

Dat.: ca. 580/70- vielleicht 530/20 v. Chr.

Tafel 35, 209; 127, 209

210. Rfrgt. K 89.433.16

L 4.1; B 4.5; Dm 14.0; WSt 0.3–0.4

Ton: 5 YR 6/6; fein gemagert; stark verdichtet;
wenig Poren; einige wenige feine
Quarzeinschlüsse; Hell- und Dunkelglimmer.

Oberfläche: gut geglättet (Schwamm).

Malfarbe: olivschwarzer, fester, dichter und matt
metallisch glänzender Firmis.

Fundort: Milet, Kalabaktepe

Kontext: Q 89.12/ Phase 7 (Schutt der
Steinausraubung)

Typus: 9,2.C Sonderform/ Miniaturistisch

Dekorvariante: i

Dat.: ca. 580/70- vielleicht 530/20 v. Chr.

Tafel 35, 210

211. Rfrgt. K 89.183.28

L 2.6; B 3.5; Dm 13.0; WSt 0.25–0.35

Ton: 5 YR 7/6; fest bis hart; fein geschlammter
Ton; stark verdichtet; kaum sichtbare
Magerungspartikel; viel Hell- und
Dunkelglimmer.

Oberfläche: gut geglättet (Schwamm).

Malfarbe: schwarzer, fester und dichter, metallisch
glänzender Firmis.

Fundort: Milet, Kalabaktepe

Kontext: Q 89.01/ Phase 7 (Schuttschicht, Zerstörung der spätarchaischen Gebäude)

Typus: 9,3.C Sonderform/ Miniaturistisch

Dekorvariante: i

Dat.: ca. 570/60- vielleicht 500 v. Chr.

Tafel 35, 211

212. Rfrgt. Z 91.5.29

L 3.0; B 2.9; Dm 12.1; WSt 0.25–0.3

Ton: 7.5 YR 6/6; weich; feinst gemagert; feine Kieseinschlüsse; wenig feinsten Hellglimmer.

Oberfläche: geglättete und poliert.

Malfarbe: schwarzer, fester und dichter, metallisch glänzender Firnis.

Fundort: Milet, Aphrodite-Heiligtum

Kontext: Q 91.30/ 2. H. 6. Jh. v. Chr. (Große spätarchaische Geröllaufschüttung zur Terrassierung des Geländes, z.T. mit Heiligtumsabfall des 7. Jhs. v. Chr.)

Typus: 9,3.C Sonderform/ Miniaturistisch

Dekorvariante: i

Dat.: ca. 570/60- vielleicht 500 v. Chr.

Tafel 36, 212

213. Rfrgt. Z 04.77.39 + Z 04.121.27

erh.H 4.23; B 10.53; Dm 11.6; WSt 0.26-0.46

Ton: ca. 2.5-5 YR 7/6; hart; sehr fein ausgeschlämmt; keine Magerungsspuren; verdichtet, aber leicht in Schichten, ohne Luftporen; viel feiner Dunkelglimmer.

Oberfläche: extrem fein geglättet.

Überzug: dünner milchiger »wash«.

Malfarbe: fester, deckender, matt glänzender Firnis, die Bänder und feinen Linien bräunlich durchscheinend.

Fundort: Milet, Zeytintepe

Kontext: Q 04.05/ spätarchaisch, Ende 6. Jh. v. Chr. (Grube mit Heiligtumsabfall) (Z 04.77)
Q 04.08/ archaisch (Heiligtumsabfall von einer Feuerstelle oder Zerstörungsschutt)

Typus: 9,4.C Sonderform/ Miniaturistisch

Dekorvariante: j

Dat.: ca. 570/60- vielleicht 520/10 v. Chr.

Taf. 36, 213; 127, 213

214. Pro. K 6319

H 4.0; DmR 11.2; DmF 4.0; WSt 0.2–0.6

Ton: 5 YR 7/6 bis 6/8; fest; fein gemagert; viel feiner Hellglimmer, auch Dunkelglimmer.

Oberfläche: stark geglättet bzw. poliert.

Überzug: 7.5 YR 8-7/4.

Malfarbe: matt glänzender schwarzer Firnis; teils fester, dichter Auftrag, teils dünn und streifig

Fundort: Samos, Hera-Heiligtum

Aufbewahrungsort: Samos, Museum Vathy

Typus: 9,4.D Sonderform/ Miniaturistisch (und flachem Standing)

Dekorvariante: i

Dat.: ca. 570/60- vielleicht 520/10 v. Chr.

Tafel 36, 214; 127, 214

215. Rfrgt. Z 04.101.13

erhH ; B 3.64; Dm 6,4; WSt 0.2-0.45

Ton: 5 YR 7/4-6; hart; fein ausgeschlämmt; feine schwarze Partikel und wenige weiße Kalksteineinschlüsse; stark verdichtet, dennoch feine Poren; einiger feiner Dunkelglimmer.

Oberfläche: sehr fein geglättet.

Überzug: feiner durchscheinender, milchiger »wash«.

Malfarbe: fester, dichter, matt glänzender, schwarzer bis olivbrauner Firnis.

Fundort: Milet, Aphrodite-Heiligtum

Kontext: Q 04.06/ Antik bis rezent (Bauschutt, noch gestört?)

Typus: 9,1/3.D Sonderform/ Miniatur (und hoher Stilfuß)

Dekorvariante: i

Dat.: ca. 570/60- vielleicht 520/10 v. Chr.

Taf. 36, 215; 127, 215

Unklare Varianten 9, südionisch

216. Wfrgte. Z 91.58.2 + Z 91.59.29 + Z 91.65.15 + Z 91.88.14 + Z 91.92.14

L 6.1; B 9.1; WSt 0.3–0.55 (alle Frgte.)

Ton: 2.5 YR 6/6-5 bis 6/6; hart, fein gemagert mit teilweise größeren Quarzeinschlüsse; wenig feiner Dunkelglimmer.

Malfarbe: schwarzer Firnis.

Fundort: Milet, Aphrodite-Heiligtum

Kontext: Q 91.31/ 2. H. 6. Jh. v. Chr. (Archaische Schuttschicht) (Z 91.58)
Q 91.31/ 1. H. 6. Jh. v. Chr. (Archaischer Heiligtumsabfall) (Z 91.59)
Q 91.31/ 1. H.–Mitte 6. Jh. v. Chr. (Archaischer Opferabfall im Bothros) (Z 91.65)
Q 91.32/ 1. H.–Mitte 6. Jh. v. Chr. (Heiligtumsabfall im Bothros) (Z 91.88)
Q 91.32/ 1. H. 6. Jh. v. Chr. (Heiligtumsabfall im Bothros) (Z 91.92)

Archäometrie: *Yalcın* Prob.Nr.: TR-3K/259
Milesisches Feld/Cluster 2,
Hauptgruppe A (Milet)
Mommsen Prob.Nr.: Mile 64
Gruppe **UI70-1** (unlokalisiert)

Typus: 9,2-3.C

Dekorvariante: i-j

Dat.: ca. 580/70- vielleicht 530/20 v. Chr.

Tafel 36, 216; 128, 216

217. Wfrgt. K 90.64.9

L 6.1; B 3.4; WSt 0.3–0.5

Ton: 5 YR 6/1 (außen), 5 YR 6-7/6 (innen); hart; feinst gemagert; wenig feiner Hellglimmer.

Malfarbe: schwarzer, metallisch glänzender Firnis; fest und dicht; innen: streifig und dünn.

Fundort: Milet, Kalabaktepe

Kontext: Q 90.03/ Phase 6–7 (Auffüllung für die Wiederbesiedlung)

Archäometrie: *Yalcın* Prob.Nr.: TR-3K/221
Milesisches Feld/Cluster 2,
Hauptgruppe A (Milet)

Typus: 9,2-3.C-D

Dekorvariante: i-j

Dat.: ca. 570/60- vielleicht 520/10 v. Chr.

Tafel 36, 217

218. Wfrgt. Z 91.38.153

L 2.4; B 3.6; WSt 0.4

Ton: 5 YR 5/6; hart; fein gemagert; wenig feinsten Dunkelglimmer.

Oberfläche: poliert.

Malfarbe: von schwarz bis bräunlich changierender, dichter und matter Firnis; streifig.

Fundort: Milet, Aphrodite-Heiligtum

Kontext: Q 91.31/ 2. H. 6. Jh. v. Chr. (Spätarchaische Opferabfallschicht)

Typus: 9,2-4.C-D

Dekorvariante: i-j

Dat.: ca. 570/60- vielleicht 520/10 v. Chr.

Tafel 36, 218; 128, 218

Typus 10

Varianten 10,1, südionisch

219. Rfrgt. S 63.68.2

L 6.5; B über halbes Profil; Dm ca. 15.0; WSt 0.15

Ton: 7.5 YR 6/6; sehr fein gemagert; sehr viel feiner Dunkelglimmer.

Oberfläche: geglättet.

Malfarbe: außen: streifiger, dünner und bräunlicher Firnis; innen: schwarzer, matter und fester Firnis; enthält größeren Dunkelglimmer.

Fundort: Milet, Südschnitt

Kontext: in den Steinen des Rundes V. Funde: Fragmente von 3 dünnwandigen ionischen Schalen (s. auch **115.**; **116.**; **220.**) und westlich von V, im Bereich der obersten Steine Fragmente einer Fikellurakanne oder –aphora.

Typus: 10,1.C

Dekorvariante: ay

Dat.: vermutlich 610/00- etwa 580/70 v. Chr.

Publ.: *IstMitt* 23/24, 1973/1974, 99 Kat.-Nr. 70
Abb. 16 Taf. 25, 70

Tafel 37, 219

220. Rfrgt. S 63.68.7

Erh. H 5.2; Dm 15; WSt 0.15–0.2

Keine weiteren Angaben, da nicht aufzufinden.

Fundort: Milet, Südschnitt

Kontext: in den Steinen des Rundes V. Funde: Fragmente von 3 dünnwandigen ionischen Schalen (s. auch **115.**; **116.**; **219.**) und westlich von V, im Bereich der obersten Steine Fragmente einer Fikellurakanne oder –aphora.

Archäometrie: *Yalcin* Prob.Nr.: TR-3K/216
Milesisches Feld/Cluster 1
(Milet/Athen?)

Typus: 10,1.C

Dekorvariante: ay

Dat.: vermutlich 610/00- etwa 580/70 v. Chr.

Tafel 37, 220

221. Rfrgt. K 92.99.23

L 5.7; B 11.0; Dm 15.0; WSt 0.2–0.25

Ton: 7.5 YR 6/4; hart; feine Kalkstein- und Quarzeinschlüsse; viel feiner Hell- und Dunkelglimmer.

Oberfläche: geglättet.

Malfarbe: schwarzer, matt metallisch glänzender Firnis; streifig aufgetragen; aufgesetzte Farbe: Deckweiß und -rot.

Fundort: Milet, Kalabaktepe

Kontext: Q 92.02/ 6–7 (Auffüllung für die nacharchaische Wiederbesiedlung)

Typus: 10,1.C

Dekorvariante: ay

Dat.: vermutlich 610/00- etwa 580/70 v. Chr.

Tafel 37, 221

Varianten 10,2, südionisch

222. Rfrgt. S 63.114.21

L 3.6; B 7.01; Dm 11.0; WSt 0.14–0.19

Ton: 5 YR 5-6/6; sehr fein gemagert; einige Quarzeinschlüsse; viel feiner Dunkelglimmer.

Oberfläche: geglättet (Schwamm).

Malfarbe: schwarzer, metallisch glänzender und fester Firnis (Glanzton); aufgesetzte Farbe: Deckrot.

Fundort: Milet, Südschnitt

Kontext: keine Informationen

Typus: 10,2.B

Dekorvariante: ky

Dat.: ca. 620/10- etwa 550 v. Chr.

Tafel 37, 222; 128, 222

223. Rfrgt. + F. Z 91.9.11

L 2.1; B 3.3; DmR 14.0; WSt 0.25–0.3 (Rfrgt.)

L 2.9; B 2.2; WSt 0.25–0.3 (Wfrgt.)
H 1.7; DmF 6.0 (Ffrgt.)

Ton: 5 YR 6/6; hart; fein gemagert.
Malfarbe: schwarzer Firnis; streifig; aufgesetzte Farbe: Deckrot.

Fundort: Milet, Aphrodite-Heiligtum

Kontext: Q 91.30/ 2. H. 6. Jh. v. Chr. (evtl. später) (Archaischer Heiligtumsabfall mit Terrassierungsschutt)

Typus: 10,2.B

Dekorvariante: ay

Dat.: ca. 620/10- etwa 550 v. Chr.

Tafel 37, 223

224. Rfrgt. Z 91.59.26

L 2.0; B 2.9; Dm 11.0; WSt 0.3

Ton: 7.5 YR 6-5/4; hart; fein gemagert; feine Quarzeinschlüsse; sehr wenig feiner Hellglimmer.

Oberfläche: poliert.

Überzug: „wash“.

Malfarbe: schwarzer, matt metallisch glänzender und dichter Firnis; aufgesetzte Farbe: weiß.

Fundort: Milet, Aphrodite-Heiligtum

Kontext: Q 91.31/ 2. H. 7. Jh. v. Chr. (Archaischer Heiligtumsabfall; fast älteste Schicht *in situ*)

Typus: 10,2.B

Dekorvariante: ky (?)

Dat.: ca. 620/10- etwa 600/590 v. Chr.

Tafel 37, 224; 128, 224

225. Rfrgt. Z 91.12.12

L 1.5; B 1.9; Dm 11.0; WSt 0.2–0.3

Ton: 7.5 YR 5/4; hart; fein gemagert; feiner und wenig Hellglimmer.

Oberfläche: poliert.

Überzug: „wash“.

Malfarbe: schwarzer, matt glänzender und dichter Firnis; aufgesetzte Farbe: Deckrot.

Fundort: Milet, Aphrodite-Heiligtum

Kontext: Q 91.30/ Mitte–2. H. 6. Jh. v. Chr. (Heiligtumsschutt *in situ*)

Typus: 10,2.B

Dekorvariante: ky (?)

Dat.: ca. 620/10- etwa 550 v. Chr.

Tafel 37, 225

226. Rfrgt. K 92.18.3

L 2.9, B 3.9; Dm 16.0; WSt 0.25–0.3

Ton: 7.5 YR 6/6; hart.

Oberfläche: geglättet.

Überzug: „wash“; enthält viel Dunkelglimmer.

Malfarbe: schwarzer, dichter und fester, matt metallisch glänzender Firnis; enthält Dunkelglimmer; aufgesetzte Farbe: Deckrot.

Fundort: Milet, Kalabaktepe

Kontext: Q 91.09/ Phase 5–6 (Schutt der Phase 5)

Archäometrie: *Yalcm* Prob.Nr.: TR-3K/226
Milesisches Feld/Cluster 2,
Hauptgruppe A (Milet)

Typus: 10,2.B

Dekorvariante: ky

Dat.: ca. 620/10- etwa 550 v. Chr.

Tafel 37, 226

227. Rfrgt. Z 91.13.22

L 1.85; B 7.4, Dm 13.0; WSt 0.2–0.25

Ton: 7.5 YR 7/4; fest; feinst gemagert; viel feiner bis mittelfeiner Hell- und Dunkelglimmer.

Malfarbe: schwarzer, matt metallisch glänzender Firnis; wenn dünn, dann dunkelbraun, teilweise ins rotviolette changierend; streifig aufgetragen.

Fundort: Milet, Aphrodite-Heiligtum

Kontext: Q 91.30/ 1. H. 6. Jh. v. Chr. (Schicht mit Opferabfall der 1. H. 6. Jh.)

Typus: 10,2.B

Dekorvariante: m

Dat.: ca. 620/10- etwa 550 v. Chr.

Tafel 37, 227; 1129, 227

228. Pro. K 89.5.48

H 7.9; DmR 15.0; DmF 8.0; WSt 0.3–0.4

Ton: 5 YR 7-6/4; fest; dicht, feine helle und schwarze Einschlüssen; feiner Hell- und Dunkelglimmer.

Oberfläche: stark geglättet.

Malfarbe: schwarzer Firnis;
aufgesetzte Farbe: Deckrot.

Fundort: Milet, Kalabaktepe

Kontext: R 86.09/ Phase 6–7? (Auffüllung für die nacharchaische Wiederbesiedlung?)

Typus: 10,2.B

Dekorvariante: ky

Dat.: ca. 620/10- etwa 550 v. Chr.

Tafel 37, 228

229. Rfrgt. K 91.49.27

L 6.4; B 5.2; Dm 14.0; WSt 0.25–0.35

Ton: 7.5 YR 8-7/5; hart; feinste Schamotteinschlüsse (?); mittelfeiner Dunkelglimmer.

Oberfläche: geglättet bzw. poliert.

Überzug: „wash“.

Malfarbe: schwarzer, dichter, matt metallischer Firnis; teils streifig; aufgesetzte Farbe: Deckrot und -weiß.

Fundort: Milet, Kalabaktepe

Kontext: U 90.02; R 90.06/ Phase 7–8 (Schutt der Steinausraubung)

Archäometrie: *Yalcm* Prob.Nr.: TR-3K/263
Milesisches Feld/Cluster 2,
Hauptgruppe A (Milet)

Typus: 10,2.B

Dekorvariante: ky

Dat.: ca. 620/10- etwa 550 v. Chr.

Tafel 38, 229; 129, 229

230. Rfrgt. K 90.216.12

L 4.1, B 5.2; Dm 18.0; WSt 0.25–0.3

Ton: 7.5 YR 8-7/5; hart; fein gemagert; viel feiner Hell- und Dunkelglimmer.

Oberfläche: poliert.

Überzug: „wash“.

Malfarbe: außen: dunkel, streifig; innen: dichter, deckender und matt metallisch glänzender Firnis; aufgesetzte Farbe: Deckrot.

Fundort: Milet, Kalabaktepe

Kontext: Q 90.07/ Phase 5–6 (Auffüllung für spätarchaischen Boden)

Typus: 10,2.B

Dekorvariante: ky

Dat.: ca. 620/10- etwa 550 v. Chr.

Tafel 38, 230; 129, 230

231. Pro. S 63.106.1

H 5.9; DmR 13.0; DmF ca. 5.8; WSt 0.15–0.25

Ton: 5 YR 6-7/6; hart, sehr fein gemagert; viel feiner Hell- und Dunkelglimmer.

Oberfläche: geglättet.

Malfarbe: von schwarz bis braun changierender, teilweise fester, teilweise streifiger und dünner; aufgesetzte Farbe: Deckrot.

Fundort: Milet, Südschnitt

Kontext: SZ I/ westliche Quermauer F, sandige Erde (Ha 20)
[Einzelfund (IstMitt 23/24, 1973/1974, 100 Kat.-Nr. 71)]

Typus: 10,2.B

Dekorvariante: ky

Publ.: IstMitt 23/24, 1973/1974, 99-100 Kat.-Nr. 71
Abb. 17 Taf. 25, 71

Dat.: ca. 620/10- etwa 550 v. Chr.

Tafel 38, 231; 130, 231

232. Rfrgt. K 91.78.2

L 6.1, B 7.4; Dm 17.0, WSt 0.35

Ton: 5 YR 6/5; hart; fein gemagert; feine und mittelfeine Kieseleinschlüsse; sehr viel feiner Hell- und mittelfeiner Dunkelglimmer.

Oberfläche: geglättet bzw. poliert.

Überzug: „wash“.

Malfarbe: innen: schwarzer, dichter, matt metallischer Firnis; außen: bräunlich, dünn; aufgesetzte Farbe: Deckrot.

Fundort: Milet, Kalabaktepe

Kontext: Q 91.01/ Phase 5 (Schutt von spätarchaischer Auffüllung des Stadtmauergrabens)

Typus: 10,2.B

Dekorvariante: ky

Dat.: ca. 620/10- etwa 550 v. Chr.

Tafel 38, 232; 130, 232

233. Rfrgt. K 92.14.4

L 3.9; B 6.5; Dm 14.0; WSt 0.2–0.3

Ton: 7.5 YR 7/6; hart; fein gemagert.

Malfarbe: dunkel; streifig.

Fundort: Milet, Kalabaktepe

Kontext: Q 91.09/ Phase 4–5A (Zerstörungsschutt der Phase 4; vielleicht mit Schutt des abgerissenen Töpferofens in Q 92.1)

Archäometrie: *Yalcm* Prob.Nr.: TR-3K/225
Milesisches Feld/Cluster 2,
Hauptgruppe A (Milet)

Typus: 10,2.B

Dekorvariante: k

Dat.: ca. 620/10- etwa 550 v. Chr.

Tafel 38, 233

234. Rfrgt. S 63.72.9

Erh H 3.9; Dm 14.2; WSt 0.15–0.25

Keine weiteren Angaben, da nicht aufzufinden.

Fundort: Milet, Südschnitt

Kontext: westlich von Mauer E (G?)/ 6. Jh. (?)
vereinzelt 7. Jh. v. Chr. (nördlich von R/S/ direkt ab deren Oberkante; brauner Sand).

Typus: 10,2.B

Dekorvariante: Sonderform

Dat.: ca. 620/10- etwa 550 v. Chr.

Publ.: IstMitt 23/24, 1973/1974, 100 Kat.-Nr. 72
Abb. 18 Taf. 25, 72

Tafel 38, 234

235. Pro. ohne F. K 91.193.13

L 5.4; B 6.62; Dm 13.0; WSt 0.25–0.3

Ton: 5 YR 6-7/6; sandig gemagert; einige Kalk- sowie gelblich-beige Tuff- oder Mergeleinschlüsse; schwarze Partikel; viel feiner Hell- und Dunkelglimmer.

Oberfläche: geglättet.

Malfarbe: rot, dicht und stumpf.

Fundort: Milet, Kalabaktepe

Kontext: Q 91.04/ Phase 8 (Teil der Sandeinfüllung nach der Steinausraubung)

Typus: 10,2.B

Dekorvariante: k

Dat.: ca. 620/10- etwa 550 v. Chr.

Tafel 39, 235

236. Pro. ohne F. K 91.420.2+3+10

L 4.2; Dm 12.5; WSt 0.3

Ton: 7.5 YR 6/4-5; fest; fein gemagert; feine Quarzeinschlüsse; viel feiner bis mittelfeiner Hell- und Dunkelglimmer.

Malfarbe: hellbrauner bis schwarzer, matt metallisch glänzender und zumeist dichter Firnis.

Fundort: Milet, Kalabaktepe

Kontext: Q 91.10/ Phase 8 (Schutt der Wiederbesiedlung aber noch mit Schutt der späteren Steinausraubung gemischt)

Archäometrie: *Yalcin* Prob.Nr.: TR-3K/224+266 Milesisches Feld/Cluster 2, Hauptgruppe A (Milet)

Typus: 10,2.B

Dekorvariante: k

Dat.: ca. 620/10- etwa 550 v. Chr.

Tafel 39, 236; 130, 236

237. Rfrgt. Z 05.131.50

H 6.8; DmR 15.0; DmF 7.0; WSt 0.2–0.35

Ton: 2.5 YR 7/6; fest; fein gemagert; feine Kiesel- und Quarzeinschlüsse; kleine helle Kalkeinschlüsse; mittelfeiner Dunkelglimmer.

Oberfläche: sorgfältig glättet.

Malfarbe: schwarz bis rötlichbraun changierend, teils dicht, teils dünn und durchscheinend, fest; aufgesetzte Farbe: Deckrot.

Fundort: Milet, Aphrodite-Heiligtum

Kontext: Q 05.09/ 3. V. 6. Jh. v. Chr. Deponierung in der Terrassierungsaufschüttung über einem ehemaligen Kalksteinbruch (Ensemble 6)

Typus: 10,2.B

Dekorvariante: ky

Dat.: ca. 620/10- etwa 550 v. Chr.

Tafel 39, 237; 131, 237

238. Rfrgt. K 90.646.2

L 5.4; B 8.0; Dm 16.0; WSt 0.3–0.35

Ton: 2.5 YR 6-5/7 bis 5 YR 6-5/7; hart; fein gemagert; feine Kiesel und Quarzeinschlüsse; wenig mittelfeiner Hellglimmer.

Oberfläche: poliert.

Überzug: „wash“.

Malfarbe: schwarzer, matt metallisch glänzender und dichter Firnis; aufgesetzte Farbe: Deckrot.

Fundort: Milet, Kalabaktepe

Kontext: Q 90.01/ Phase 7 (Steine zerstörter Mauern im durchsuchten Schutt)

Archäometrie: *Yalcin* Prob.Nr.: TR-3K/265 Milesisches Feld/Cluster 2, Hauptgruppe A (Milet)

Typus: 10,2.B

Dekorvariante: ky

Dat.: ca. 620/10- etwa 550 v. Chr.

Tafel 39, 238; 131, 238

239. Rfrgt. Z 91.38.163

L 3.45; B 6.45; Dm 15.0; WSt 0.2–0.4

Ton: 7.5 YR 7/7; fest; fein gemagert; mittelfeine und gröbere Quarz- und Kieseleinschlüsse; feiner bis mittelfeiner Hell- und Dunkelglimmer.

Oberfläche: geglättet; leicht sandig, rauh.

Malfarbe: außen: rötlichbraun und dünn; innen: teils dünn und dunkelbraun, teils schwarz und matt; aufgesetzte Farbe: Deckrot.

Fundort: Milet, Aphrodite-Heiligtum

Kontext: Q 91.31/ 2. H. 6. Jh. v. Chr. (Spätarchaische Opferabfallschicht *in situ*)

Typus: 10,2.B

Dekorvariante: ny

Dat.: ca. 620/10- etwa 550 v. Chr.

Tafel 39, 239; 131, 239

Varianten 10,3, südionisch

240. Rfrgt. Z 91.33.6

L 3.95; B 5.8; Dm 16.0; WSt 0.35–0.45

Ton: 7.5 YR 7-6/6; hart; teilweise sehr grobe Kiesel- und Kalksteineinschlüsse; grosse Poren; feiner bis mittelfeiner Hell- und Dunkelglimmer.

Oberfläche: geglättet.

Malfarbe: teilweise schwarzer und matter, teilweise dünner und dunkelbrauner Firnis; streifig aufgetragen.

Fundort: Milet, Aphrodite-Heiligtum

Kontext: Q 91.30/ 2. H. 6. Jh. v. Chr.
(Spätarchaischer Terrassierungsschutt
mit älterem, umgelagerten
Heiligtumsschutt)

Typus: 10,3.B

Dekorvariante: m

Dat.: ca. 620/10- etwa 550 v. Chr.

Tafel 39, 240

241. Rfrgt. K 89.430.11

L 5.6; B 3.5; Dm 16.0; WSt 0.4–0.45

Ton: 5 YR 6-7/6; fest; sandig, teils körnig; viele
Poren; schwarze Partikel; Quarz- und
Kieseinschlüsse, kaum sehr grobe
Einschlüsse; viel Hell- und Dunkelglimmer.

Oberfläche: gut geglättet mit deutlichen Drehriellen.

Malfarbe: von schwarz bis hellbraun
changierender, streifiger und stumpfer Firnis.

Fundort: Milet, Kalabaktepe

Kontext: Q 89.11/ Phase 7 (Steinschutt,
ausgeraubter Perserschutt)

Typus: 10,3.B

Dekorvariante: k

Dat.: ca. 620/10- etwa 550 v. Chr.

Tafel 39, 241

242. Rfrgt. S 63.91.12

Erh H 6.0; Dm 15.2; WSt 0.3–0.5

Keine weiteren Angaben, da nicht aufzufinden.

Fundort: Milet, Südschnitt

Kontext: in der südwest-Ecke von Haus U/ 7. Jh.
v. Chr. (?)

Typus: 10,3.B

Dekorvariante: k

Dat.: ca. 620/10- 600/590 v. Chr.

Tafel 40, 242

243. Rfrgt. K 89.27.3

L 3.7; B 3.3; Dm 16.0; WSt 0.5–0.6

Ton: 5 YR 7-6/4; sandig, teils körnig; viele Poren;
schwarze Partikel; Quarz- und
Kieseinschlüsse, kaum sehr grobe
Einschlüsse; viel Hell- und Dunkelglimmer.

Oberfläche: gut geglättet mit deutlichen Drehriellen.

Malfarbe: schwarzer, fester und dichter Firnis.

Fundort: Milet, Kalabaktepe

Kontext: Q 89.02/ Phase 7 (Oberster Abhub
vermischt mit spätarchaischem
Zerstörungsschutt)

Typus: 10,3.B

Dekorvariante: l

Dat.: ca. 620/10- etwa 550 v. Chr.

Tafel 40, 243

244. Pro. ohne R. Z 05.131.44

erhH 4.85; DmF 6.6; WSt 0.26–0.45

Ton: 7.5-5 YR 7-6/6; fest; fein gemagert; sandig;
mittelfeine Quarzeinschlüsse, auch Kalkstein-
und Kieseinschlüsse; feiner Hell- und grober
Dunkelglimmer.

Oberfläche: geglättet.

Malfarbe: rötlich-braun, matt; teils deckend, teils
dünn und durchscheinend.

Fundort: Milet, Aphrodite-Heiligtum

Kontext: Q 05.09/ 3. V. 6. Jh. v. Chr.
Deponierung in der Terrassierungs-
aufschüttung über einem ehemaligen
Kalksteinbruch (Ensemble 6)

Typus: 10.B

Dekorvariante: k-l

Dat.: ca. 620/10- etwa 550 v. Chr.

Tafel 40, 244

245. R- + Wfrgt. Z 91.5.30

L 2.6; B 4.5; DmR 14.0; WSt 0.3–0.4 (Rfrgt.)
L 2.7; B 3.25; WSt 0.4–0.5 (Ffrgt.)

Ton: 10-7.5 YR 7-6/4, fest.

Malfarbe: schwarzer Firnis;
aufgesetzte Farbe: Deckrot.

Fundort: Milet, Aphrodite-Heiligtum

Kontext: Q 91.30/ 2. H. 6. Jh. v. Chr. (Große
spätarchaische Geröllaufschüttung zur
Terrassierung des Geländes z. T. mit
Heiligtumsabfall des 7. Jh. v. Chr.)

Typus: 10,3.B

Dekorvariante: ky

Dat.: ca. 620/10- 600/590 v. Chr.

Tafel 40, 245

246. Rfrgt. Z 91.58.3

L 5.6; B 12.6; Dm 15.0; WSt 0.35

Ton: 10 YR 8/4; weich; fein gemagert; mittelfeine Quarzeinschlüsse; sehr wenig feiner Hellglimmer.

Oberfläche: geglättet bzw. poliert.

Überzug: „wash“.

Malfarbe: schwarzer, matt metallisch glänzender und dichter Firnis;
aufgesetzte Farbe: Deckrot.

Fundort: Milet, Aphrodite-Heiligtum

Kontext: Q 91.31/ 2. H. 6. Jh. v. Chr. (Archaische Schuttschicht)

Archäometrie: *Yalcın* Prob.Nr.: TR-3K/264
Milesisches Feld/Cluster 2,
Hauptgruppe A (Milet)

Typus: 10,3.B

Dekorvariante: ny

Dat.: ca. 620/10- etwa 550 v. Chr.

Tafel 40, 246; 131, 246

Varianten 10,4, südionisch

247. Pro. Z 05.131.41

H 7; DmR 15.6; DmF 6.2; WSt 0.25–0.38

Ton: 7.5-5 YR 7-6/4; fest; feine Quarz- und größerer weiße Kalkeinschlüsse; sehr viel grober Dunkelglimmer.

Oberfläche: geglättet.

Malfarbe: innen dunkelbraun bis hell rotbraun changierend, streifig; außen rötlichbraun, streifig, teils durchscheinend.

Fundort: Milet, Aphrodite-Heiligtum

Kontext: Q 05.09/ 3. V. 6. Jh. v. Chr.
Deponierung in der Terrassierungsaufschüttung über einem ehemaligen Kalksteinbruch (nicht aus Ensemble 6)

Archäometrie: *Mommsen* Prob.Nr.: Mile 69
Gruppe **DK**
(sehr wahrscheinlich Milet)

Typus: 10,4.B

Dekorvariante: 1

Dat.: ca. 620/10- 570/60 v. Chr.

Tafel 40, 247; 132, 247

248. Rfrgt. K 85.1.12

L 7.25; B 12.5; Dm 16.0; WSt 0.4–0.45

Ton: 7.5-5 YR 6/4-5; fest; fein gemagert; feine Quarzeinschlüsse; viel feiner bis mittelfeiner Hell- und Dunkelglimmer.

Malfarbe: rötlichbraun, streifig, stumpf.

Fundort: Milet, Kalabaktepe

Kontext: Q 85.20/ Oberflächenfund

Typus: 10,4.B

Dekorvariante: 1

Dat.: ca. 620/10- 570/60 v. Chr.

Tafel 40, 248; 132, 248

249. Pro. Z 05.131.5

H 6.7–7.1; DmR ca. 15.2; DmF 6.2; WSt 0.29–0.55

Ton: 7.5 YR 7-6/4; fest; feine Quarzeinschlüsse und Kiesel; viel feiner und grober Dunkelglimmer.

Oberfläche: geglättet, mit Riefen.

Malfarbe: dunkelbraun-schwarz bis ins hell rötlichbraun-rot changierend, streifig, aber deckend;

Graffito: außen geritzte, sich teilweise verbindende Linien; am äußeren Beckenboden im Standring ein eingritzter Stundenglasmotiv.

Fundort: Milet, Aphrodite-Heiligtum

Kontext: Q 05.09/ 3. V. 6. Jh. v. Chr.
Deponierung in der Terrassierungsaufschüttung über einem ehemaligen Kalksteinbruch (Ensemble 6)

Typus: 10,4.B

Dekorvariante: k

Dat.: ca. 620/10- 570/60 v. Chr.

Tafel 41, 249; 132, 249

250. Pro. Z 05.132.7

H 6.5–6.6; DmR 15.6; DmF 6.6; WSt 0.3–0.45

Ton: 7.5-5 YR 6/4-6; fest; feine Quarzeinschlüsse und kleine bis große Kalksteinchen; sehr viel feiner und grober Hellglimmer.

Oberfläche: geglättet.

Malfarbe: dicht, rot (»lackartig«).

Fundort: Milet, Aphrodite-Heiligtum

Kontext: Q 05.09/ 3. V. 6. Jh. v. Chr.
Deponierung in der Terrassierungsaufschüttung über einem ehemaligen Kalksteinbruch (Ensemble 6)

Typus: 10,4.B

Dekorvariante: 1

Dat.: ca. 620/10- 570/60 v. Chr.

Tafel 41, 250

- 251.** Pro. ohne F. Z 05.131.17
 H 6.1–6.8; DmR 14.25–15.1; DmF 6.85; WSt 0.3–0.55
 Ton: 7.5-5 YR 7/4-6; fest; gemagert; mittelfeine Quarzeinschlüsse, auch Kalkstein- und Kieseinschlüsse; porig; sehr viel feiner und grober Hell- und Dunkelglimmer.
 Oberfläche: geglättet.
 Malfarbe: schwarz bis hellbraun changierend, streifig, teils durchscheinend, teils deckend; teils stumpf, teils glänzend.
 Fundort: Milet, Aphrodite-Heiligtum
 Kontext: Q 05.09/ 3. V. 6. Jh. v. Chr. Deponierung in der Terrassierungsaufschüttung über einem ehemaligen Kalksteinbruch (Ensemble 6)
 Bemerkung: Bevor die Knickrandschalen Z 05.131.17 und Z 05.131.16 (Kat.-Nr. 263) gestapelt und deponiert wurden, war ein Fragment der Knickrandschale Z 05.131.46 (Kat.-Nr. 281) abgebrochen und in das Becken dieser Knickrandschale gelangt. Hier wurde es mit eingeflossener Erde zwischen den Schalen geborgen.
 Typus: 10,4.B
 Dekorvariante: n
 Dat.: ca. 620/10- 570/60 v. Chr.
 Tafel 41, 251

- 252.** R- + Ffrgt. Z 91.17.9
 L 2.85; B 6.5; DmR 14.0; WSt 0.3–0.4 (Rfrgt.)
 H 1.8; B 9.3; DmF 6.2; D. 0.35–0.4 (Ffrgt.)
 Ton: ca 7.5 YR 7-6/4-5; hart; fein gemagert; relativ viel mittelfeine Quarzeinschlüsse; sehr viel feiner bis mittelfeiner Hell- und Dunkelglimmer.
 Malfarbe: schwarzer und matter Firnis; streifig aufgetragen; wenn dünn, dann dunkelbraun.
 Fundort: Milet, Aphrodite-Heiligtum
 Kontext: Q 91.30/ 2. H. 7. Jh. v. Chr. (Ältester Heiligtumsschutt)
 Typus: 10,4.B
 Dekorvariante: m
 Dat.: ca. 620/10- 570/60 v. Chr.
 Tafel 41, 252; 133, 252

Varianten 10,5, südionisch

- 253.** Pro. Z 05.131.37
 H 6.2–6.4; DmR 15.4; DmF 6.6; WSt 0.27–4.8
 Ton: 10 YR 7-6/4; fest; feine Quarz- und gößere Kalkeinschlüsse; viele Lufteinschlüsse; viel feiner und grober Hellglimmer.
 Oberfläche: geglättet; viele Ausbrüche.
 Malfarbe: dicht und deckend rot (»lackartig«).
 Fundort: Milet, Aphrodite-Heiligtum
 Kontext: Q 05.09/ 3. V. 6. Jh. v. Chr. Deponierung in der Terrassierungsaufschüttung über einem ehemaligen Kalksteinbruch (Ensemble 6)
 Typus: 10,5.C
 Dekorvariante: 1
 Dat.: ca. 610/00- ca. 550 v. Chr.
 Tafel 42, 253; 133, 253

- 254.** Pro. ohne Fuß S 63.85.3
 L 7.95; B 6.8; Dm 14.5; WSt 0.35–0.41
 Ton: 7.5 YR 6/4-6; leicht sandig; beige Tuff- oder Mergeleinschlüsse; viel Dunkelglimmer.
 Oberfläche: leicht rau.
 Malfarbe: von braun bis schwarz changierender, fester und metallisch glänzender Firnis.
 Fundort: Milet, Südschnitt
 Kontext: über und in der Steinschüttung der ehemals als C1 bezeichneten Mauer (7./6. Jh. v. Chr.).
 Typus: 10,5.C
 Dekorvariante: m
 Dat.: ca. 610/00- ca. 550 v. Chr.
 Tafel 42, 254; 133, 254

- 255.** Pro. K 92.143.20
 H 5.5; DmR 12.0; DmF 6.0; WSt 0.3
 Ton: 10 YR 7-6/4; fest; feine Quarzeinschlüsse; sehr viel feiner und grober Hellglimmer, auch Dunkelglimmer.
 Oberfläche: poliert.
 Überzug: „wash“.
 Malfarbe: schwarzer Firnis; innen: sehr fest und dicht (wenn dünn, dann dunkelbraun).
 Fundort: Milet, Kalabaktepe

Kontext: Q 92.05/ Phase 5A (/7) (Schuttschicht, Auffüllung für Phase 5, evtl. noch durch den daneben liegenden Schacht gestört)

Archäometrie: *Yalcın* Prob.Nr.: TR-3K/267b
Milesisches Feld/Cluster 2,
Hauptgruppe A (Milet)
Prob.Nr. *Mommsen*: Mile 67
Gruppe **DD-2**
(unlokalisiert, vermutlich Milet)

Typus: 10,5.C

Dekorvariante: k

Dat.: ca. 610/00- ca. 550 v. Chr.

Tafel 42, 255; 133, 255

256. Pro. ohne F. K 90.569.12

L 6.3; B 11.4; Dm 13.0; WSt 0.35–0.4

Ton: 5 YR 7-6/6 bis 7.5 YR 7-6/6; fest; feine Quarzeinschlüsse; viel feiner und mittelfeiner Hellglimmer; gröberer Dunkelglimmer.

Oberfläche: geglättet.

Malfarbe: dunkelrotbraun in schwarz changierender, matt metallisch glänzender Firnis; dicht, aber streifig.

Fundort: Milet, Kalabaktepe

Kontext: Q 90.01/ Phase 4/5A (Schutt auf dem Fußboden der Phase 4, Auffüllung für Phase 5)

Typus: 10,5.C

Dekorvariante: k

Dat.: ca. 610/00- ca. 550 v. Chr.

Tafel 42, 256; 134, 256

257. Pro. Z 05.131.20

L 6.3–6.4; DmR 14.80; DmF 6.8; WSt 0.25–0.5

Ton: 10-7.5 YR 6/6; fest bis weich; gemagert; mittelfeine Quarzeinschlüsse, auch Kalkstein- und Kieseinschlüsse; viel grober Hellglimmer.

Oberfläche: geglättet.

Malfarbe: dicht und deckend rot (»lackartig«).

Fundort: Milet, Aphrodite-Heiligtum

Kontext: Q 05.09/ 3. V. 6. Jh. v. Chr. Deponierung in der Terrassierungsaufschüttung über einem ehemaligen Kalksteinbruch (Ensemble 6)

Typus: 10,5.C

Dekorvariante: n

Dat.: ca. 610/00- ca. 550 v. Chr.

Tafel 42, 257; 134, 257

258. Rfrgt. Z 05.132.15

erhH 5.2; Dm 15; WSt 0.29-0.44

Ton: ca. 7.5 YR 7/6; fest; fein gemagert; feine schwarze Partikel, kleine weiße Kalksteineinschlüsse; stark verdichtet, dennoch leicht körnig; feine Luftporen; viel feiner und einiger grober Dunkelglimmer.

Oberfläche: gut geglättet, aber teils feine Drehrillen.

Überzug: dünner, milchiger »wash«.

Malfarbe: teils abgeriebener, brüchiger, streifiger, matter, stumpfer, dunkler rotbrauner bis hell rötlicher Malschlicker.

Fundort: Milet, Aphrodite-Heiligtum

Kontext: Q 05.09/ 3. V. 6. Jh. v. Chr. Deponierung in der Terrassierungsaufschüttung über einem ehemaligen Kalksteinbruch (Ensemble 6)

Typus: 10,5.C

Dekorvariante: ky

Dat.: ca. 610/00- ca. 550 v. Chr.

Taf. 42, 258

259. Pro. Z 05.131.27

H 6.3–6.4; DmR 14.4–15.2 (stark verzogen – oval); DmF 7.2; WSt 0.22-0.45

Ton: 5 YR 7/4; fest; feine Quarzeinschlüsse; auch Kalk- und Kieseinschlüsse; sehr viel feiner und grober Hellglimmer.

Oberfläche: geglättet, einige Unebenheiten.

Malfarbe: schwarzer Firnis; innen: sehr fest und dicht (wenn dünn, dann dunkelbraun).

Bemerkung: intentional durchschlagener Boden.

Fundort: Milet, Aphrodite-Heiligtum

Kontext: Q 05.09/ 3. V. 6. Jh. v. Chr. Deponierung in der Terrassierungsaufschüttung über einem ehemaligen Kalksteinbruch (Ensemble 6)

Typus: 10,5.C

Dekorvariante: n

Dat.: ca. 610/00- ca. 550 v. Chr.

Tafel 43, 259; 134, 259

260. Pro. Z 05.132.10

H 6.4; DmR 13.4; DmF 6.2; WSt 0.35–0.55
 Ton: 5 YR 7-6/4; fest; Quarzeinschlüsse; einige Kalk- und Kieseleschlüsse; feiner und grober Hell- und Dunkelglimmer.
 Oberfläche: geglättet.
 Malfarbe: rotbraun, dunkel bis hell changierend, streifig, stumpf, teils deckend, teils durchscheinend.
 Fundort: Milet, Aphrodite-Heiligtum
 Kontext: Q 05.09/ 3. V. 6. Jh. v. Chr. Deponierung in der Terrassierungsaufschüttung über einem ehemaligen Kalksteinbruch (Ensemble 6)
 Typus: 10,5.C
 Dekorvariante: m
 Dat.: ca. 610/00- ca. 550 v. Chr.
 Tafel 43, 260

261. Pro. Z 05.131.22
 H 5.7–5.8; DmR 14.0; DmF 6.0; WSt 0.2–0.8
 Ton: 5 YR 7-6/4-6; fest; feine Quarzeinschlüsse; viele dunkle Partikel und Kiesel; viel grober Dunkelglimmer.
 Oberfläche: geglättet; breite Riefel.
 Malfarbe: dunkelbraun bis hellbraun changierend, streifig, teils deckend, teils durchscheinend.
 Fundort: Milet, Aphrodite-Heiligtum
 Kontext: Q 05.09/ 3. V. 6. Jh. v. Chr. Deponierung in der Terrassierungsaufschüttung über einem ehemaligen Kalksteinbruch (Ensemble 6)
 Typus: 10,5.C
 Dekorvariante: n
 Dat.: ca. 610/00- ca. 550 v. Chr.
 Tafel 43, 261; 134, 261

Varianten 10,6, südionisch

262. Pro. Z 05.131.40
 H 5.6; DmR 14.0; DmF ca. 5.8; WSt 0.2–0.38
 Ton: 7.5 YR 6/6; fest; feine Quarzeinschlüsse; feine dunkle Partikel; Kiesel; verdichtet mit weigen Poren; wenig feiner Hellglimmer.
 Oberfläche: geglättet.
 Malfarbe: rot bis rotbraun, fest und dicht, teils streifig.
 aufgesetzte Farbe: Deckrot.

Fundort: Milet, Aphrodite-Heiligtum
 Kontext: Q 05.09/ 3. V. 6. Jh. v. Chr. Deponierung in der Terrassierungsaufschüttung über einem ehemaligen Kalksteinbruch (Ensemble 6)
 Archäometrie: *Mommsen* Prob.Nr.: Mile 68
 Gruppe **DD-1**
 (unlokalisiert, vermutlich Milet)
 Typus: 10,6.C
 Dekorvariante: ny
 Dat.: ca. 610/00- ca. 550 v. Chr.
 Tafel 43, 262; 135, 262

263. Pro. ohne F. Z 05.131.16

H 6.2; Dm 15.0; DmF 6.38; WSt 0.3–0.5
 Ton: 5 YR 6/6-4; hart; fein gemagert; fein gemagert, auch Kalkstein- und Kieseleschlüsse; sehr viel feiner Hell- und Dunkelglimmer.
 Oberfläche: sehr fein geglättet.
 Malfarbe: rötlichbraun bis tiefschwarz changierend, teils glänzend, fest und deckend, teils streifig.
 aufgesetzte Farbe: Deckrot.
 Fundort: Milet, Aphrodite-Heiligtum
 Kontext: Q 05.09/ 3. V. 6. Jh. v. Chr. Deponierung in der Terrassierungsaufschüttung über einem ehemaligen Kalksteinbruch (Ensemble 6)
 Bemerkung: Als Teil der Deponierung war sie mit der Knickrandschale Z 05.131.17 (Kat.-Nr. 251) als Block geborgen worden. Sie waren ineinander gestapelt. Im so verschlossenen Becken dieser Schale befand sich in der eingeflossenen Erde ein Fragment der Schale Z 05.131.46 (Kat.-Nr. 281), das schon abgebrochen sein mußte, bevor diese beiden Schalen gestapelt und deponiert wurden.

Typus: 10,6.C
 Dekorvariante: my
 Dat.: ca. 610/00- ca. 550 v. Chr.
 Tafel 43, 263; 135, 263

264. Pro. Z 91.66.18
 H 4.9; DmR 12.8; DmF 5.2; WSt 0.25–0.3
 Ton: ca. 7.5 YR 5/3; hart; feine Quarzeinschlüsse; wenig feinsten Hellglimmer.
 Oberfläche: geglättet.

Malfarbe: schwarzer, schwach metallisch glänzender Firnis, zumeist stumpf; aufgesetzte Farbe: Deckrot.
 Fundort: Milet, Aphrodite-Heiligtum
 Kontext: Q 91.31/ 1. H. 6. Jh. v. Chr. (Archaischer Opferabfall im Bothros)
 Typus: 10,6.C
 Dekorvariante: my
 Dat.: ca. 610/00- ca. 550 v. Chr.
 Tafel 44, 264; 135, 264

265. Rfrgt. K 91.255.10
 L 2.9; B 3.6, Dm 11.0; WSt 0.3
 Ton: 10 YR 7/4; fest; fein gemagert; viel feiner Hellglimmer.
 Oberfläche: geglättet bzw. poliert.
 Überzug: „wash“.
 Malfarbe: schwarzer, teils ins bräunliche changierender, matt metallisch glänzender Firnis; aufgesetzte Farbe: Deckrot.
 Fundort: Milet, Kalabaktepe
 Kontext: Q 91.05/ Phase 7–8 (Herabgeflossener Lehmaufbau, Schutt der Wiederbesiedlung in der Gasse)
 Typus: 10,6.C
 Dekorvariante: my
 Dat.: ca. 610/00- ca. 550 v. Chr.
 Tafel 44, 265

Varianten 10,7, südionisch

266. Rfrgt. Z 91.69.6
 L 2.65; B 5.1; Dm 14.0; WSt 0.25–0.4
 Ton: 2.5 Y 7/3 (sekundär verbrannt); fest; fein gemagert; mittelfeiner Hellglimmer; auch Dunkelglimmer.
 Oberfläche: geglättet.
 Malfarbe: schwarzer, dichter und fester Firnis (nur teilweise erhalten); aufgesetzte Farbe: weiß.
 Fundort: Milet, Aphrodite-Heiligtum
 Kontext: Q 91.31/ 2. H. 7. Jh. v. Chr. (Letzte Schicht über dem gewachsenen Felsen; älteste Opferstelle mit Gerät *in situ*)
 Typus: 10,7.C

Dekorvariante: ny
 Dat.: ca. 610/00- 600/590 v. Chr.
 Tafel 44, 266; 135, 266

267. Pro. Z 05.131.34
 H 5.9; DmR 13.6–13.8; DmF 6.1; WSt 0.17–0.38
 Ton: 7.5 YR 6/4; hart; fein gemagert; wenig Kalkstein- und dunkle Einschlüsse; verdichtet, aber feinkörnig; feiner und grober Dunkelglimmer.
 Oberfläche: geglättet.
 Malfarbe: helbraun bis dunkelbraun changierend, stark streifig; außen hellbraun; teils deckend, teils durchscheinend.
 Fundort: Milet, Aphrodite-Heiligtum
 Kontext: Q 05.09/ 3. V. 6. Jh. v. Chr. Deponierung in der Terrassierungsaufschüttung über einem ehemaligen Kalksteinbruch (Ensemble 6)
 Typus: 10,7.C (Sonderform)
 Dekorvariante: l
 Dat.: ca. 610/00- ca. 550 v. Chr.
 Tafel 44, 267; 136, 267

268. Pro. ohne F. Z 05.131.19
 H 5.9; DmR 14.20; DmF ca.6.1; WSt 0.25–0.3
 Ton: 5 YR 7/6-4; fest; fein gemagert; mittelfeine Quarzeinschlüsse, auch Kieseinschlüsse; viel feiner und grober Hell- und Dunkelglimmer.
 Oberfläche: geglättet.
 Malfarbe: schwarz bis hell rötlichbraun, streifig, fest; teils durchscheinend.
 Fundort: Milet, Aphrodite-Heiligtum
 Kontext: Q 05.09/ 3. V. 6. Jh. v. Chr. Deponierung in der Terrassierungsaufschüttung über einem ehemaligen Kalksteinbruch (Ensemble 6)
 Typus: 10,7.C (Sonderform)
 Dekorvariante: k
 Dat.: ca. 610/00- ca. 550 v. Chr.
 Tafel 44, 268; 136, 268

269. Pro. ohne F. Z 05.131.21
 H 6.5; DmR 14.0; DmF 6.2; WSt 0.15–0.45
 Ton: 5 YR 6/6; fest; fein gemagert; mittelfeine Quarzeinschlüsse, Kalkstein- und

Kieseinschlüsse; helle und schwarze Partikel;
feiner Hell- und grober Dunkelglimmer.
Oberfläche: sorgfältig geglättet, aber zwei
Tonbatzen auf der Schulter aufgestzt.
Malfarbe: rotbraun; zwischen hell und dunkel
changierend; streifig; fest.

Fundort: Milet, Aphrodite-Heiligtum

Kontext: Q 05.09/ 3. V. 6. Jh. v. Chr.
Deponierung in der Terrassierung-
aufschüttung über einem ehemaligen
Kalksteinbruch (Ensemble 6)

Typus: 10,7.C

Dekorvariante: k

Dat.: ca. 610/00- ca. 550 v. Chr.

Tafel 44, 269; 136, 269

270. Rfrgt. K 89.491.17

L 2.4; B 4.9; Dm 14.2; WSt 0.2–0.4

Ton: 5 YR 6/6; sandig, teils körnig; viele Poren;
schwarze Partikel; Quarz- und
Kieseinschlüsse, kaum sehr grobe
Einschlüsse; viel Hell- und Dunkelglimmer.
Oberfläche: gut geglättet mit deutlichen Drehriden.
Malfarbe: schwarzer, dichter und fester Firnis.

Fundort: Milet, Kalabaktepe

Kontext: R 89.16/ 7–8 (Stegabbau durch alle
Phasen)

Typus: 10,7.C

Dekorvariante: k

Dat.: ca. 610/00- ca. 550 v. Chr.

Tafel 44, 270

271. Rfrgt. K 89.48.8

L 2.85; B 6.18; Dm 14; WSt 0.25–0.35

Ton: 5 YR 6/6; sandig, teils körnig; viele Poren;
schwarze Partikel; Quarz- und
Kieseinschlüsse, kaum sehr grobe
Einschlüsse; viel Hell- und Dunkelglimmer.
Oberfläche: gut geglättet mit deutlichen Drehriden.
Malfarbe: roter, lackartiger, dichter und stumpfer
Firnis; grösstenteils abgeplatzt.
Graffito: Ein Zeichen in Form eines H mit zwei
seitliche Hasten links in der Mitte des
Schalenbeckens.

Fundort: Milet, Kalabaktepe

Kontext: Q 89.04/ Phase 7 (Schutt der
Steinausraubung)

Typus: 10,7.C

Dekorvariante: 1

Dat.: ca. 610/00- ca. 550 v. Chr.

Tafel 45, 271

272. Pro. K 89.36.1

H 6.2; DmR 15.2; DmF 6.8; WSt 0.3–0.4

Ton: 5 YR 6/6; hart; mit viel feinen Quarz-, Kiesel-
und Kalksteineinschlüssen; viel feiner bis
grober Hell- und Dunkelglimmer.

Oberfläche: geglättet.

Malfarbe: schwarzer bis dunkelbrauner, matter und
streifig aufgetragener Firnis; wenn dünn, dann
braunrot.

Fundort: Milet, Kalabaktepe

Kontext: Q 89.01/ Phase 7 (Archaische
Schuttschicht, Füllung des
nacharchaischen Brunnens)

Archäometrie: *Yalcm* Prob.Nr.: TR-3K/267
Milesisches Feld/Cluster 2,
Hauptgruppe A (Milet)

Typus: 10,7.C

Dekorvariante: n

Dat.: ca. 610/00- ca. 550 v. Chr.

Tafel 45, 272; 137, 272

Varianten 10,8, südionisch

273. Pro. ohne F. K 89.288.1

L 6.4; Dm 14.8; WSt 0.25–0.3

Ton: 5 YR 7-6/6 bis 7.5 YR 7-6/6; dicht und hart;
viel feiner Hell- und Dunkelglimmer.

Oberfläche: geglättet.

Malfarbe: dunkelbrauner bis schwarzer, matt
metallisch glänzender Firnis.

Fundort: Milet, Kalabaktepe

Kontext: Q 89.01/ Phase 3B–4A (Fußboden und
Auffüllung für Phase 4)

Typus: 10,8.C

Dekorvariante: k

Dat.: ca. 610/00- 590/80 v. Chr.

Tafel 45, 273; 137, 273

274. Pro. K 91.568.1

H 6.2; DmR ca. 14; DmF ca. 6.0; WSt 0.2–0.25

Ton: 7.5 YR 6-7/6; fest; Quarzeinschlüsse;
mittelfeiner bis feinsten Hellglimmer, auch
Dunkelglimmer.

Oberfläche: geglättet.

Überzug: „wash“; milchig.

Malfarbe: schwarzer, teilweise dünner und
bräunlicher Firnis; streifig.

Fundort: Milet, Kalabaktepe

Kontext: Q 91.10/ Streufund

Typus: 10,8.C

Dekorvariante: k

Dat.: ca. 610/00- ca. 540/30 v. Chr.

Tafel 45, 274

275. Pro. Z 05.131.11 +
Z 05.132.8

H 6.3–7.1 (stark verzogen); DmR 15.4; DmF 6.4;
WSt 0.18-0.5

Ton: 5 YR 7/4-6; fest; feine Quarz- und
Kieseinschlüsse; dunkle und helle Partikel;
verdichtet, aber Luftsinschlüsse; feiner und
grober Hellglimmer.

Oberfläche: sorgfältig geglättet.

Malfarbe: schwarzer bis rotbraun changierend,
streifig; außen dünn, und hellbraun.

Fundort: Milet, Aphrodite-Heiligtum

Kontext: Q 05.09/ 3. V. 6. Jh. v. Chr.
Deponierung in der Terrassierungs-
aufschüttung über einem ehemaligen
Kalksteinbruch (Ensemble 6)

Typus: 10,8.C

Dekorvariante: k

Dat.: ca. 610/00- ca. 540/30 v. Chr.

Tafel 46, 275; 137, 275

276. Rfrgt. Z 05.131.52

erhH 4.6; Dm 15; WSt 0.24-0.44

Ton: ca. 7.5 YR 7/4; hart; fein ausgeschlämmt;
feine schwarze Partikel; stark verdichtet,
dennoch leicht körnig; einiger Dunkelglimmer.

Oberfläche: gut geglättet, aber teils feine
Drehrillen.

Überzug: dünner, milchiger »wash«.

Malfarbe: größtenteils abgeriebener, brüchiger,
streifiger, matter, stumpfer, dunkelbrauner bis
braunschwarzer Malschlicker.

Bemerkung: Der Henkel ist nicht anpassend aber
sehr wahrscheinlich zugehörig, daher ist er
entsprechend in der Zeichnung abgesetzt.

Fundort: Milet, Aphrodite-Heiligtum

Kontext: Q 05.09/ 3. V. 6. Jh. v. Chr.
Deponierung in der Terrassierungs-
aufschüttung über einem ehemaligen
Kalksteinbruch (Ensemble 6)

Typus: 10,8.C

Dekorvariante: k

Dat.: ca. 610/00- ca. 540/30 v. Chr.

Taf. 46, 276

277. Pro. Z 05.131.3

H 5.4–5.7; DmR ca. 13.8 (leicht verzogen); DmF
5.6; WSt 0.14–42

Ton: 7.5 YR 7-6/6-4; fest; feine Quarz- und
Kalkeinschlüsse; viel feiner und grober Hell-
und Dunkelglimmer.

Oberfläche: sorgfältig geglättet.

Malfarbe: rot, fest, dicht (»lackartig«);

Graffito: außen ist am unteren Becken ein auf dem
Kopf stehender Zweig eingeritzt.

Fundort: Milet, Aphrodite-Heiligtum

Kontext: Q 05.09/ 3. V. 6. Jh. v. Chr.
Deponierung in der Terrassierungs-
aufschüttung über einem ehemaligen
Kalksteinbruch (Ensemble 6)

Typus: 10,8.C

Dekorvariante: l

Dat.: ca. 610/00- ca. 540/30 v. Chr.

Tafel 46, 277; 138, 277

278. Pro. Z 05.131.51

H 6.1; DmR 15.6; DmF 6.8; WSt 0.22–0.38

Ton: 10-7.5 YR 6-4/4; fest; feine helle und dunkle
Einschlüsse; verdichtet; viel feiner und grober
Dunkelglimmer.

Oberfläche: geglättet.

Malfarbe: dunkelbraun bis rötlichbraun
changierend, streifig, fest.

Fundort: Milet, Aphrodite-Heiligtum

Kontext: Q 05.09/ 3. V. 6. Jh. v. Chr.
Deponierung in der Terrassierungs-
aufschüttung über einem ehemaligen
Kalksteinbruch (Ensemble 6)

Typus: 10,8.C

Dekorvariante: k

Dat.: ca. 610/00- ca. 540/30 v. Chr.

Tafel 46, 278; 138, 278

279. Pro. Z 05.131.42

H 5.5–5.7; DmR 13.6; DmF 5.4; WSt 0.2–0.45

Ton: 10-7.5 YR 7/4; fest; feine Quarz- und Kalkeinschlüsse; verdichtet, aber körnig; viel grober Dunkelglimmer.

Oberfläche: geglättet.

Malfarbe: rot, fest, deckend (»lackartig«).

Fundort: Milet, Aphrodite-Heiligtum

Kontext: Q 05.09/ 3. V. 6. Jh. v. Chr.
Deponierung in der Terrassierungsaufschüttung über einem ehemaligen Kalksteinbruch (Ensemble 6)

Typus: 10,8.C

Dekorvariante: k (Sonderform)

Dat.: ca. 610/00- ca. 540/30 v. Chr.

Tafel 46, 279; 138, 279

280. Pro. Z 05.131.43

H 5.6–5.7; DmR 13.6; DmF 6.2; WSt 0.19–0.38

Ton: 5 YR 6/6; fest; feine Quarzeinschlüsse; verdichtet, etwas körnig; grober Hellglimmer.

Oberfläche: geglättet.

Malfarbe: schwarzbraun bis rotbraun changierend, streifig, fest; außen dünn und dunkelbraun.

Fundort: Milet, Aphrodite-Heiligtum

Kontext: Q 05.09/ 3. V. 6. Jh. v. Chr.
Deponierung in der Terrassierungsaufschüttung über einem ehemaligen Kalksteinbruch (Ensemble 6)

Typus: 10,8.C

Dekorvariante: l (Sonderform)

Dat.: ca. 610/00- ca. 540/30 v. Chr.

Tafel 47, 280; 138, 280

281. Pro. Z 05.131.46

erhH 3.6; DmR 14.0; WSt 0.2–0.3

Ton: 5 YR 7-6/6; fest; feine helle und dunkle Einschlüsse; wenige Kalkeinschlüssen; verdichtet, aber Luftfeinschlüsse; viel feiner Hell- und Dunkelglimmer.

Oberfläche: sorgfältig geglättet.

Malfarbe: dunkelbraun bis hellbraun changierend; streifig, teils deckend.

Fundort: Milet, Aphrodite-Heiligtum

Kontext: Q 05.09/ 3. V. 6. Jh. v. Chr.
Deponierung in der Terrassierungsaufschüttung über einem ehemaligen Kalksteinbruch (Ensemble 6)

Typus: 10,8.C

Dekorvariante: l

Dat.: ca. 610/00- ca. 540/30 v. Chr.

Tafel 47, 281

Varianten 10,9, südionisch

282. Pro. Z 05.131.6

H ca. 6.2; DmR 14.6–14.8; DmF 7.3; WSt 0.3–0.4

Ton: 7.5 YR 6/4; fest; fein gemagert; helle und dunkle Partikel; Kalk- und Kieseinschlüsse; feiner und grober Dunkelglimmer.

Oberfläche: sorgfältig geglättet, aber einige Tonbatzen auf der Oberfläche aufgesetzt.

Malfarbe: schwarz bis dunkel rotbraun changierend; streifig, fest, teils deckend, teils durchscheinend.

Fundort: Milet, Aphrodite-Heiligtum

Kontext: Q 05.09/ 3. V. 6. Jh. v. Chr.
Deponierung in der Terrassierungsaufschüttung über einem ehemaligen Kalksteinbruch (Ensemble 6)

Bemerkung: Bevor die Knickrandschalen Z 05.131.17 (Kat.-Nr. 251) und Z 05.131.16 (Kat.-Nr. 263) gestapelt und deponiert wurden, war ein Fragment der Schale abgebrochen und in das Becken der Knickrandschale Z 05.131.17 gelangt. Hier wurde es mit eingeflossener Erde zwischen den Schalen geborgen.

Typus: 10,9.C

Dekorvariante: l

Dat.: ca. 580/70- ca. 540/30 v. Chr.

Tafel 47, 282; 138, 282

283. Pro. ohne F. Z 05.131.26

L 6.7; DmR 14.3; DmF 6.65; WSt 0.38–0.82

Ton: 5 YR 6/6; hart; fein gemagert; mittelfeine Quarzeinschlüsse, wenige Kalkstein- und Kieseinschlüsse; hell und dunkle

Einschlüsse; viel feiner und grober Hell- und Dunkelglimmer.
 Oberfläche: geglättet, aber einige Tonbatzen aufgelegt.
 Überzug: außen ein „wash“ (dünn milchig).
 Malfarbe: schwarz bis dunkelbraun changierend (an wenigen Stellen ins rötliche changierend), streifig, matt metallisch; brüchig.
 Fundort: Milet, Aphrodite-Heiligtum
 Kontext: Q 05.09/ 3. V. 6. Jh. v. Chr.
 Deponierung in der Terrassierungsaufschüttung über einem ehemaligen Kalksteinbruch (Ensemble 6)
 Typus: 10,9.C
 Dekorvariante: n
 Dat.: ca. 580/70- ca. 540/30 v. Chr.
 Tafel 47, 283; 139, 283

284. Pro. Z 05.131.10

H ca. 6.1; DmR 14.0–14.2; DmF 6.4; WSt 0.28–0.5
 Ton: 7.5 YR 7/4-6; fest; gemagert; feine Quarz- und große Kalkeinschlüsse; verdichtet, aber körnig; viel Hell- und Dunkelglimmer.
 Oberfläche: gut geglättet; Ausbrüche auf der Oberfläche.
 Malfarbe: rötlichbraun bis dunkelbraun changierend; streifig, teils kaum deckend.
 Fundort: Milet, Aphrodite-Heiligtum
 Kontext: Q 05.09/ 3. V. 6. Jh. v. Chr.
 Deponierung in der Terrassierungsaufschüttung über einem ehemaligen Kalksteinbruch (Ensemble 6)
 Typus: 10,9.C
 Dekorvariante: k
 Dat.: ca. 580/70- ca. 540/30 v. Chr.
 Tafel 47, 284; 139, 284

285. Pro. Z 05.131.38

H 5.6–5.9 (verzogen); DmR 15.2 (verzogen, leicht oval, an einer Stelle stark eingezogen); DmF 6.9; WSt 0.2–0.45
 Ton: 5 YR 6/6; fest; feine Quarzeinschlüsse; Kalkeinschlüsse und kleine Kiesel; verdichtet, aber körnig; feiner und grober Dunkelglimmer.
 Oberfläche: geglättet; größerer Ausbrüche, leicht rau.
 Malfarbe: dunkelbraun, deckend, pastös bis rötlichbraun, dünn und streifig changierend.
 Fundort: Milet, Aphrodite-Heiligtum

Kontext: Q 05.09/ 3. V. 6. Jh. v. Chr.
 Deponierung in der Terrassierungsaufschüttung über einem ehemaligen Kalksteinbruch (Ensemble 6)

Typus: 10,9.C

Dekorvariante: 1 (Sonderform)

Dat.: ca. 580/70- ca. 540/30 v. Chr.

Tafel 47, 285; 139, 285

286. Pro. Z 05.131.24

H 6.0–6.2; DmR 14.8; DmF 5.4; WSt 0.21–0.48
 Ton: 5 YR 7/6; fest; feine und große Quarz- und Kalkeinschlüsse; viele kleine rötliche und dunkle Partikel; viel feiner und grober Dunkelglimmer.
 Oberfläche: geglättet mit einigen kleineren und größeren Ausbrüchen.
 Malfarbe: außen dunkelbraun bis rötlichbraun changierend, fest und leicht streifig; innen überwiegend rötlichbraun, streifig, teils dünn und schlecht deckend.

Fundort: Milet, Aphrodite-Heiligtum

Kontext: Q 05.09/ 3. V. 6. Jh. v. Chr.
 Deponierung in der Terrassierungsaufschüttung über einem ehemaligen Kalksteinbruch (Ensemble 6)

Typus: 10,9.C

Dekorvariante: 1

Dat.: ca. 580/70- ca. 540/30 v. Chr.

Tafel 48, 286; 140, 286

287. Pro. Z 05.131.39

H 6.5–6.7; DmR 15.0; DmF 6.6; WSt 0.3–0.46
 Ton: 7.5-5 YR 6/6-4; fest; fein gemagert; feine Quarz- und Kalkeinschlüsse; helle und dunkle Partikel; verdichtet, aber leicht körnig; viel feiner Hell- und Dunkelglimmer.
 Oberfläche: gut geglättet.
 Malfarbe: schwarzbraun bis hellbraun changierend, streifig, teils durchscheinend.

Fundort: Milet, Aphrodite-Heiligtum

Kontext: Q 05.09/ 3. V. 6. Jh. v. Chr.
 Deponierung in der Terrassierungsaufschüttung über einem ehemaligen Kalksteinbruch (Ensemble 6)

Typus: 10,9.C

Dekorvariante: 1

Dat.: ca. 580/70- ca. 540/30 v. Chr.

Tafel 48, 287; 140, 287

288. Pro. Z 05.131.45

H 6.1; DmR 15.2; DmF 6.6; WSt 0.28–0.5

Ton: 5 YR 7-6/6-4; fest; feine gemagert; wenige kleine Kalkeinschlüsse; verdichtet, etwas körnig; mittelfeiner Hell- und Dunkelglimmer.
Oberfläche: gut geglättet; einige Tonbatzen auf der Oberfläche aufgelegt, einige größere Ausbrüche.

Malfarbe: dunkel- bis hellbraun changierend, streifig, teils deckend.

Fundort: Milet, Aphrodite-Heiligtum

Kontext: Q 05.09/ 3. V. 6. Jh. v. Chr.
Deponierung in der Terrassierungsaufschüttung über einem ehemaligen Kalksteinbruch (Ensemble 6)

Typus: 10,9.C

Dekorvariante: 1

Dat.: ca. 580/70- ca. 540/30 v. Chr.

Tafel 48, 288; 140, 288

289. Pro. Z 05.131.49

H 5.57; DmR 13.4; DmF 5.8; WSt 0.18–0.3

Ton: 10-7.5 YR 6/4; fest; fein gemagert; kleine Kalkeinschlüsse; leicht sandig, körnig; verdichtet viel feiner und grober Hellglimmer, auch Dunkelglimmer.

Oberfläche: geglättet, kleinere Ausbrüche.

Malfarbe: rot, deckend, fest, teils abgerieben (»lackartig«).

Fundort: Milet, Aphrodite-Heiligtum

Kontext: Q 05.09/ 3. V. 6. Jh. v. Chr.
Deponierung in der Terrassierungsaufschüttung über einem ehemaligen Kalksteinbruch (Ensemble 6)

Typus: 10,9.C

Dekorvariante: k (Sonderform)

Dat.: ca. 580/70- ca. 540/30 v. Chr.

Tafel 48, 289; 140, 289

290. Rfrgt. K 89.447.7

L 2.1; B 4.25; Dm 12.0; WSt 0.25–0.3

Ton: 5 YR 7/6; fest; sandig, teils körnig; viele Poren; schwarze Partikel; Quarz- und Kieseinschlüsse, kaum sehr grobe Einschlüsse; viel Hell- und Dunkelglimmer.

Oberfläche: gut geglättet mit deutlichen Drehrillen.
Malfarbe: von dunkelbraun bis grauschwarz changierender, matter, teilweise abgeriebener Firnis.

Fundort: Milet, Kalabaktepe

Kontext: Q 89.11/ Phase 7 (Steinschutt, ausgeraubter Perserschutt)

Typus: 10,9.C

Dekorvariante: k

Dat.: ca. 580/70- ca. 540/30 v. Chr.

Tafel 48, 290

291. Rfrgt. K 89.66.8

L 2.7; B 4.15; Dm 14; WSt 0.25–0.35

Ton: 5 YR 7/6-8; fest; sandig, teils körnig; viele Poren; schwarze Partikel; Quarz- und Kieseinschlüsse, kaum sehr grobe Einschlüsse; viel Hell- und Dunkelglimmer.
Oberfläche: gut geglättet mit deutlichen Drehrillen.
Malfarbe: roter lackartiger, grösstenteils abgeplatzter Firnis.

Fundort: Milet, Kalabaktepe

Kontext: Q 89.01/ Phase 7 (Schutt der nacharchaischen Wiederbesiedlung)

Typus: 10,9.C

Dekorvariante: 1

Dat.: ca. 580/70- ca. 540/30 v. Chr.

Tafel 48, 291

292. Rfrgt. K 89.26.30

L 3.15; B 2.5; WSt 0.3–0.4

Ton: 5 YR 6/6; sandig, teils körnig; viele Poren; schwarze Partikel; Quarz- und Kieseinschlüsse, kaum sehr grobe Einschlüsse; viel Hell- und Dunkelglimmer.
Oberfläche: gut geglättet mit deutlichen Drehrillen.
Malfarbe: schwarzer, fester und dichter Firnis.

Fundort: Milet, Kalabaktepe

Kontext: Q 89.02/ Phase 7 (Spätarchaischer Zerstörungsschutt)

Typus: 10,9.C

Dekorvariante: 1

Dat.: ca. 580/70- ca. 540/30 v. Chr.

Tafel 48, 292

293. Rfrgt. K 89.52.1
 L 2.45; B 3.0; Dm 12.0; WSt 0.25–0.4
 Ton: 7.5 YR 7/6; fest; körniger, sandiger, aber feiner Ton; wenig Poren; grössere Kalkstein- oder auch gelbe, organische Einschlüsse, die teilweise durch die Oberfläche treten; viel Hell- und Dunkelglimmer.
 Oberfläche: gut geglättet (deutliche Drehrillen).
 Malfarbe: grauschwarzer, matter und streifiger Firmis.
 Fundort: Milet, Kalabaktepe
 Kontext: Q 89.03/ Phase 7 (Schuttschicht der Perserzerstörung)
 Typus: 10,9.C
 Dekorvariante: k
 Dat.: ca. 580/70- ca. 540/30 v. Chr.
 Tafel 49, 293

Varianten 10,10, südionisch

294. Rfrgt. K 89.26.27
 Erh H 1.85; Dm 16.1; WSt 0.3–0.35
 Ton: 5 YR 6/6; sandig, teils körnig; viele Poren; schwarze Partikel; Quarz- und Kieseinschlüsse, kaum sehr grobe Einschlüsse; viel Hell- und Dunkelglimmer.
 Oberfläche: gut geglättet mit deutlichen Drehrillen.
 Malfarbe: schwarzer, fester und dichter Firmis.
 Fundort: Milet, Kalabaktepe
 Kontext: Q 89.02/ Phase 7 (Spätarchaischer Zerstörungsschutt)
 Typus: 10,10.C
 Dekorvariante: k
 Dat.: ca. 570/60- ca. 530/20 v. Chr.
 Tafel 49, 294

295. Rfrgt. K 89.49.4
 L 2.76; B 3.41; Dm 18.0; WSt 0.3–0.4
 Ton: 2.5 YR 6/6-8; fest bis hart; fein geschlämmter Ton; stark verdichtet; kaum sichtbare Magerungspartikel; viel Hell- und Dunkelglimmer.
 Oberfläche: gut geglättet (Schwamm).
 Malfarbe: schwarzer, fester und dichter Firmis.
 Fundort: Milet, Kalabaktepe

Kontext: Q 89.04/ Phase 7 (Schutt der Steinausraubung)
 Typus: 10,10.C
 Dekorvariante: k
 Dat.: ca. 570/60- ca. 530/20 v. Chr.
 Tafel 49, 295

296. Rfrgt. Z 91.32.13
 L 6.1; B 3.6; Dm 16.0; WSt 0.25–0,45
 Ton: 7.5 YR 7/5; fest; fein gemagert; mit viel feinem bis mittelfeinem Hell- und Dunkelglimmer.
 Oberfläche: geglättet.
 Malfarbe: dunkelbrauner bis schwarzer, matter Firmis; teilweise stark abgerieben.

Fundort: Milet, Aphrodite-Heiligtum
 Kontext: Q 91.31/ (archaisch bis) hellenist./römisch (Schutt des hellenist./röm. Gebäudes und darunter kleinsteniger Schutt, der unter den Spolien des jüngeren Baus liegt.)

Typus: 10,10.C
 Dekorvariante: k
 Dat.: ca. 570/60- ca. 530/20 v. Chr.
 Tafel 49, 296

297. R- + Ffrgt. Z 91.31.5
 L 3.1; B 3.0; DmR 13.0; WSt 0.25–0.3 (Rfrgt.)
 H 0.8; B 3.9; DmF 6.4 (Ffrgt.)
 Ton: 7.5 YR 8/6; weich, „kreibig“; fein gemagert; feiner Hellglimmer.
 Oberfläche: geglättet.
 Malfarbe: dunkelrotbraun; streifig.

Fundort: Milet, Aphrodite-Heiligtum
 Kontext: Q 91.31/ rezent (Oberster Abhub)
 Typus: 10,10.C
 Dekorvariante: k
 Dat.: ca. 570/60- ca. 530/20 v. Chr.
 Tafel 49, 297

298. Rfrgt. Z 91.12.11
 L 2.8; B 4.3; Dm 14.0; WSt 0.35–0.45
 Ton: 7.5 YR 8-7/6; hart; fein gemagert; viel feiner und mittelfeiner Dunkelglimmer.
 Oberfläche: geglättet.

Malfarbe: dunkelbrauner Firmis; dicht und streifig;
teilweise abgeplatzt.

Fundort: Milet, Aphrodite-Heiligtum

Kontext: Q 91.30/ Mitte – 2. H. 6. Jh. v. Chr.
(Heiligtumsschutt *in situ*)

Typus: 10,10.C

Dekorvariante: k

Dat.: ca. 570/60- ca. 530/20 v. Chr.

Tafel 49, 298

299. Rfrgt. K 89.19.17

L 3.2; B 1.65; WSt 0.3–0.45

Ton: 5 YR 6/6; sandig, teils körnig; viele Poren;
schwarze Partikel; Quarz- und
Kieseinschlüsse, kaum sehr grobe
Einschlüsse; viel Hell- und Dunkelglimmer.

Oberfläche: gut geglättet mit deutlichen Drehrillen.

Malfarbe: schwarzer, fester und dichter Firmis.

Fundort: Milet, Kalabaktepe

Kontext: Q 89.04/ Phase 7 (Schutt der
Steinausraubung)

Typus: 10,10.C

Dekorvariante: l

Dat.: ca. 570/60- ca. 530/20 v. Chr.

Tafel 49, 299

300. Rfrgt. K 89.407.9

L 4.05; B 5.6; Dm 13.0; WSt 0.2–0.45

Ton: 7.5-5 YR 6/4-6; fest; körniger, sandiger, aber
feiner Ton; wenig Poren; grössere Kalkstein-
oder auch gelbe, organische Einschlüsse, die
teilweise durch die Oberfläche treten; viel
Hell- und Dunkelglimmer.

Oberfläche: gut geglättet (deutliche Drehrillen).

Malfarbe: dunkelbrauner, deckender, grösstenteils
jedoch abgeriebener Firmis.

Fundort: Milet, Kalabaktepe

Kontext: Q 89.11/ Phase 7 (der Befund liegt auf
der Zerstörungs- und
Ausraubungsschicht des 5. Jh. v. Chr.,
deutlich als weniger steinige Schicht
erkennbar)

Typus: 10,10.C

Dekorvariante: k

Dat.: ca. 570/60- ca. 530/20 v. Chr.

Tafel 49, 300

301. Rfrgt. K 89.416.10

L 2.5; B 3.75; Dm 14.0; WSt 0.3–0.35

Ton: 5 YR 6/6; sandig, teils körnig; viele Poren;
schwarze Partikel; Quarz- und
Kieseinschlüsse, kaum sehr grobe

Einschlüsse; viel Hell- und Dunkelglimmer.

Oberfläche: gut geglättet mit deutlichen Drehrillen.

Malfarbe: schwarzer, fester und dichter Firmis.

Fundort: Milet, Kalabaktepe

Kontext: Q 89.12/ Phase 7 (Schutt der
Steinausraubung)

Typus: 10,10.C

Dekorvariante: l

Dat.: ca. 570/60- ca. 530/20 v. Chr.

Tafel 49, 301

302. Rfrgt. K 89.140.5

L 6.1; B 7.1; Dm 17; WSt 0.35–0.45

Ton: 5 YR 6/6, 5 YR 7/6 (unter Firmis), 5 bis 7.5
YR 7/6

Oberfläche: sehr gut geglättet.

Malfarbe: roter, fast lackartiger und streifiger
Firmis.

Fundort: Milet, Kalabaktepe

Kontext: Q 89.02/ Phase 7 (Zerstörungsschicht
der archaischen Besiedlung)

Typus: 10,10.C

Dekorvariante: l

Dat.: ca. 570/60- ca. 530/20 v. Chr.

Tafel 49, 302

Varianten 10,11, südionisch

303. Rfrgt. K 92.40.50

L 2.75; B 3; WSt 0.4–0.45

Ton: 7.5 YR 7/4; fest; mittelfein gemagert;
mittelgrosse Quarzeinschlüsse; grober
Hellglimmer.

Oberfläche: geglättet.

Überzug: „wash“.

Malfarbe: von dunkelbraun bis dunkelbraunrötlich
changierender, dichter und deckender Firmis;
platzt von der Oberfläche ab.

Fundort: Milet, Kalabaktepe

Kontext: Q 92.01/ Phase 7–8 (Schutt der nacharchaischen Steinausraubung)

Archäometrie: *Yalcın* Prob.Nr.: TR-3K/228
Single/Cluster 4, Pair (255b; 228)
s. **32**.

Typus: 10,11.C/D

Dekorvariante: m

Dat.: ca. 580/70- ca. 520/10 v. Chr.

Tafel 50, 303

304. Rfrgt. K 89.111.42

L 3.33; B 2.77; Dm 12-13; WSt 0.35–0.45

Ton: 5 YR 7/6; fest; sandig, teils körnig; viele Poren; schwarze Partikel; Quarz- und Kieseinschlüsse, kaum sehr grobe Einschlüsse; viel Hell- und Dunkelglimmer.

Oberfläche: gut geglättet.

Malfarbe: rötlich-brauner, streifiger und matt glänzender Firnis.

Graffito:]οivθ[

Fundort: Milet, Kalabaktepe

Kontext: Q 89.02/ Phase 7 (Schutt der Steinausraubung)

Typus: 10,11.C/D

Dekorvariante: k

Dat.: ca. 580/70- ca. 520/10 v. Chr.

Tafel 50, 304; 141, 304

305. Rfrgt. K 89.183.29

L 2.4; B 6.0; Dm 13.0; WSt 0.25–0.4

Ton: 5 YR 6-7/6; fest; körniger, sandiger, aber feiner Ton; wenig Poren; grössere Kalkstein- oder auch gelbe, organische Einschlüsse, die teilweise durch die Oberfläche treten; viel Hell- und Dunkelglimmer.

Oberfläche: gut geglättet.

Malfarbe: von rotbraun bis dunkelbraunrot changierender, teilweise schwarzer, wässriger und matter Firnis.

Fundort: Milet, Kalabaktepe

Kontext: Q 89.01/ Phase 7 (Schuttschicht, Zerstörung der spätarchaischen Gebäude)

Typus: 10,11.C/D

Dekorvariante: k

Dat.: ca. 580/70- ca. 520/10 v. Chr.

Tafel 50, 305

306. Rfrgt. K 91.423.14

L 2.6; B 3.1; Dm 12.0; WSt 0.2–0.3

Ton: 7.5 YR 7/6; fest; fein gemagert; mittelfeiner Hell- und Dunkelglimmer.

Oberfläche: geglättet.

Malfarbe: dunkelbraun in schwarz changierend; teils stumpf, teils matt glänzend.

Fundort: Milet, Kalabaktepe

Kontext: Q 91.09/ Phase 6–7A (Schutt der Phase 6)

Typus: 10,11.D

Dekorvariante: k

Dat.: ca. 560/50- ca. 520/10 v. Chr.

Tafel 50, 306; 141, 306

307. Rfrgt. K 91.485.18 + K 91.226.10

L 3.7; B 5.05; Dm 14.0; WSt 0.35

Ton: 7.5 YR 6/6; fest; sehr fein gemagert; viel sehr feiner Hell- und feiner Dunkelglimmer.

Überzug: ca. 2.5 Y 8/3; dicht; enthält feinen und mittelfeinen Hellglimmer.

Malfarbe: braunschwarzer Firnis; teils dicht, teils dünn; aufgesetzte Farbe: Deckrot.

Fundort: Milet, Kalabaktepe

Kontext: Q 91.09/ Phase 6–7A (Zerstörungsschutt der Phase 6) (K 91.485)
Q 91.03/ Phase 5–6A (Schutt von Phase 5 als Auffüllung für Phase 6) (K 91.226)

Typus: 10,11.D

Dekorvariante: ny

Dat.: ca. 560/50- ca. 520/10 v. Chr.

Tafel 50, 307; 141, 307

308. Rfrgt. S 63.78.6

L 3.1; B 8.78; Dm 14; WSt 0.25–0.27

Ton: 2.5 YR 5/6; leicht sandig gemagert; viel Dunkelglimmer.

Oberfläche: leicht rauh.

Malfarbe: von rötlich bis rötlichbraun changierender und stumpfer Firnis.

Fundort: Milet, Südschnitt

Kontext: westlich und südwestlich von Mauer W/ ab der Oberkante des Fundaments; aus dem Steg unter B, in Höhe des 7./6. Jh. v. Chr. Fundaments von Westen.

Typus: 10,11.D

Dekorvariante: n

Dat.: ca. 560/50- ca. 520/10 v. Chr.

Tafel 50, 308

309. Pro. AT 55.4a.1

H 4.2; DmR 13.0; DmF 5.4; WSt 0.19–0.32

Ton: 10 YR 7/4 bis 7.5 YR 7/6; sehr fein gemagert; teilweise größere Einschlüsse, meist herausgebrochen, teilweise erhalten (vorwiegend Kalksteineinschlüsse; viel Dunkelglimmer.

Oberfläche: stark geglättet.

Malfarbe: schwarzer, fester, dichter und matt glänzender Firnis, grösstenteils abgeplatzt.

Fundort: Milet, Athena-Heiligtum

Kontext: Quadrant E 13/ Tiefgrabung für Pumpenloch.

Typus: 10,11.D

Dekorvariante: m (Sonderform)

Dat.: ca. 560/50- ca. 520/10 v. Chr.

Tafel 50, 309; 141, 309

310. Pro. Z 91.10.5

H 5.1; DmR ca. 14; DmF 6.0; WSt 0.2–0.3

Ton: 7.5 YR 7/4; fest; fein gemagert; wenig feine Quarz- und Kalksteineinschlüsse.

Oberfläche: poliert.

Überzug: 10 YR 8/3.

Malfarbe: schwarzer und matter Firnis; wenn dünn orangebraun bis dunkelbraun; streifig aufgetragen.

Fundort: Milet, Aphrodite-Heiligtum

Kontext: Q 91.30/ 6. Jh. v. Chr. (Heiligtumsschutt des 6. Jhs. *in situ*)

Typus: 10,11.D

Dekorvariante: n (Sonderform)

Dat.: ca. 560/50- ca. 520/10 v. Chr.

Tafel 50, 310; 141, 310

311. Pro. Z 91.38.138

H 3.2; DmF 5.0; WSt 0.2–0.25

Ton: ca. 10 YR 8/4; weich; fein gemagert; viel sehr feiner Hellglimmer.

Oberfläche: poliert.

Überzug: heller als 10 YR 8/4; milchig; dünn, dicht und sehr glatt; enthält mittelfeinen Hellglimmer.

Malfarbe: rötlichbrauner, dichter Firnis; grösstenteils abgerieben; aufgesetzte Farbe: Deckrot.

Fundort: Milet, Aphrodite-Heiligtum

Kontext: Q 91.31/ 2. H. 6. Jh. v. Chr. (Spätarchaische Opferabfallschicht)

Typus: 10,11.D

Dekorvariante: ny

Dat.: ca. 560/50- ca. 520/10 v. Chr.

Tafel 50, 311; 142, 311

Varianten 10,12, südionisch

312. Rfrgt. K 89.74.5

Dm ca. 14.0; WSt 0.3–0.35

Ton: 5 YR 7/6; sandig, teils körnig; viele Poren; schwarze Partikel; Quarz- und Kieseinschlüsse, kaum sehr grobe Einschlüsse; viel Hell- und Dunkelglimmer.

Oberfläche: gut geglättet mit deutlichen Drehrillen.

Malfarbe: schwarzer, fester und dichter Firnis.

Fundort: Milet, Kalabaktepe

Kontext: Q 89.02/ Phase 7 (Spätarchaischer Zerstörungsschutt)

Typus: 10,12.C

Dekorvariante: n

Dat.: ca. 570/60- ca. 520/10 v. Chr.

Tafel 50, 312

313. Rfrgt. K 89.89.11

L 2.25; B 3.55; Dm 15.0; WSt 0.3–0.35

Ton: 5 YR 7-6/4; sandig, teils körnig; viele Poren; schwarze Partikel; Quarz- und Kieseinschlüsse, kaum sehr grobe Einschlüsse; viel Hell- und Dunkelglimmer.

Oberfläche: gut geglättet mit deutlichen Drehrillen.

Malfarbe: schwarzer, fester und dichter Firnis.

Fundort: Milet, Kalabaktepe

Kontext: Q 89.04/ Phase 7 (Schutt der Steinausraubung)

Typus: 10,12.C

Dekorvariante: k

Dat.: ca. 570/60- ca. 520/10 v. Chr.

Tafel 51, 313

314. Rfrgt. K 89.26.29

L 2.7; B 2.55; WSt 0.35–0.4

Ton: 5 YR 6/6; sandig, teils körnig; viele Poren; schwarze Partikel; Quarz- und Kieseinschlüsse, kaum sehr grobe

Einschlüsse; viel Hell- und Dunkelglimmer.

Oberfläche: gut geglättet mit deutlichen Drehrillen.

Malfarbe: schwarzer, fester und dichter Firnis.

Fundort: Milet, Kalabaktepe

Kontext: Q 89.02/ Phase 7 (Spätarchaischer Zerstörungsschutt)

Typus: 10,12.C

Dekorvariante: l

Dat.: ca. 570/60- ca. 520/10 v. Chr.

Tafel 51, 314

315. Rfrgt. K 89.137.6

L 3.65; B 4.0; Dm 14.0; WSt 0.3–0.5

Ton: 5 YR 6-7/6; fest; sandig, teils körnig; viele Poren; schwarze Partikel; Quarz- und Kieseinschlüsse, kaum sehr grobe Einschlüsse; viel Hell- und Dunkelglimmer.

Oberfläche: geglättet.

Malfarbe: von rotbraun bis dunkelrotbraun changierender, matt glänzender und stark streifiger Firnis.

Fundort: Milet, Kalabaktepe

Kontext: Q 89.01/ Phase 7 (Zerstörungsschicht der spätarchaischen Gebäude)

Typus: 10,12.C

Dekorvariante: n

Dat.: ca. 570/60- ca. 520/10 v. Chr.

Tafel 51, 315

Varianten 10,13, südionisch

316. Rfrgt. K 89.27.2

Dm 14.0; WSt 0.45–0.6

Ton: 5 YR 6/6; sandig, teils körnig; viele Poren; schwarze Partikel; Quarz- und Kieseinschlüsse, kaum sehr grobe

Einschlüsse; viel Hell- und Dunkelglimmer.

Oberfläche: gut geglättet mit deutlichen Drehrillen.

Malfarbe: schwarzer, fester und dichter Firnis.

Fundort: Milet, Kalabaktepe

Kontext: Q 89.02/ Phase 7 (Oberster Abhub vermischt mit spätarchaischem Zerstörungsschutt)

Typus: 10,13.C

Dekorvariante: m

Dat.: 570/60- ca. 530/20 v. Chr.

Tafel 51, 316

317. Rfrgt. K 91.423.13

L 2.0; B 5.2; Dm 12.0; WSt 0.3–0.45

Ton: ca. 7.5 YR 7-6/5; fest; fein gemagert; feiner und mittelfeiner Hellglimmer.

Oberfläche: geglättet.

Malfarbe: dunkelrotbraun; streifig.

Fundort: Milet, Kalabaktepe

Kontext: Q 91.09/ Phase 6–7A (Schutt der Phase 6)

Typus: 10,13.C

Dekorvariante: k

Dat.: 570/60- ca. 530/20 v. Chr.

Tafel 51, 317

318. Rfrgt. Z 91.13.20

L 4.2; B 9.7; Dm 13.0; WSt 0.4

Ton: 7.5 YR 7-6/6; hart; fein gemagert; viel feiner und mittelfeiner Hell- und Dunkelglimmer.

Oberfläche: poliert.

Überzug: „wash“.

Malfarbe: außen: rötlichbraun; innen: dunkelbraun, streifig.

Fundort: Milet, Aphrodite-Heiligtum

Kontext: Q 91.30/ 1. H. 6. Jh. v. Chr. (Schicht mit Opferabfall der 1. H. 6. Jh.)

Typus: 10,13.C

Dekorvariante: n

Dat.: 570/60- ca. 530/20 v. Chr.

Tafel 51, 318; 142, 318

319. Pro. Z 05.131.4
 H 5.6–6.0 (stark verzogen); DmR 14.2; DmF 6.3; WSt 0.2–0.6
 Ton: 5 YR 7/6-4; fest; Quarz- und Kalkeinschlüsse sowie kleine Kiesel; verdichtet; viel feiner und grober Dunkelglimmer.
 Oberfläche: sorgfältig geglättet, einige kleine und ein großer Ausbruch.
 Malfarbe: schwarzbraun, dicht und pastös bis rötlichbraun, dünn und streifig.
 Fundort: Milet, Aphrodite-Heiligtum
 Kontext: Q 05.09/ 3. V. 6. Jh. v. Chr. Deponierung in der Terrassierungsaufschüttung über einem ehemaligen Kalksteinbruch (Ensemble 6)
 Typus: 10,13.C
 Dekorvariante: n
 Dat.: 570/60- ca. 530/20 v. Chr.
 Tafel 51, 319; 142, 319

320. Rfrgt. Z 91.53.3
 L 3.7; B 4.7; WSt 0.3–0.4
 Ton: ca. 5 YR 7/8 bis 6/6; fest; wenige, aber teilweise grosse Kiesel- und Kalksteineinschlüsse; viel feiner Hell- und Dunkelglimmer.
 Oberfläche: geglättet.
 Malfarbe: dunkelbrauner bis schwarzer und matter Firnis; streifig aufgetragen.
 Fundort: Milet, Aphrodite-Heiligtum
 Kontext: R 90.38; U 90.40/ 6. Jh. v. Chr. (Archaischer Terrassierungsschutt)
 Typus: 10,13.C
 Dekorvariante: l
 Dat.: 570/60- ca. 530/20 v. Chr.
 Tafel 51, 320

321. Pro. Z 05.131.7
 H 6.0; DmR 15.2; DmF 6.6; WSt 0.2–0.5
 Ton: 10 YR 6/4; fest bis spröde; kleinere und größere Magerungspartikel; Kalk- und Quarzeinschlüsse; schiefrig gelagert; sehr viel feiner und grober Dunkelglimmer.
 Oberfläche: geglättet, unruhig und teils in Schichten abgebrochen, einige Ausbrüche.

Malfarbe: rot, deckend, fest, teild abgeplatzt (»lackartig«).
 Fundort: Milet, Aphrodite-Heiligtum
 Kontext: Q 05.09/ 3. V. 6. Jh. v. Chr. Deponierung in der Terrassierungsaufschüttung über einem ehemaligen Kalksteinbruch (Ensemble 6)
 Typus: 10,13.C
 Dekorvariante: m
 Dat.: 570/60- ca. 530/20 v. Chr.
 Tafel 51, 321; 142, 321

322. Pro. Z 05.132.9
 H 5.5–5.6; DmR 14.0; DmF 6.3; WSt 0.31–0.5
 Ton: 5 YR 7/6; fest; feine Quarz- und kleine Kalkeinschlüsse; verdichtet, aber leicht körnig; viel feiner und grober Hellglimmer, auch Dunkelglimmer.
 Oberfläche: geglättet.
 Malfarbe: braun bis hellbraun-rötlichbraun changierend, streifig.
 Fundort: Milet, Aphrodite-Heiligtum
 Kontext: Q 05.09/ 3. V. 6. Jh. v. Chr. Deponierung in der Terrassierungsaufschüttung über einem ehemaligen Kalksteinbruch (Ensemble 6)
 Typus: 10,13.C
 Dekorvariante: m (Sonderform)
 Dat.: 570/60- ca. 530/20 v. Chr.
 Tafel 52, 322

323. Rfrgt. Z 91.13.21
 L 3.0; B 3.5; WSt 0.3–0.35
 Ton: 5 YR 6/6; weich; fein gemagert; feine Quarz- und Kalksteineinschlüsse; viel feiner Hell- und mittelfeiner Dunkelglimmer.
 Oberfläche: geglättet.
 Malfarbe: roter, lackartiger und matter Firnis; dicht, aber weich.
 Fundort: Milet, Aphrodite-Heiligtum
 Kontext: Q 91.30/ 1. H. 6. Jh. v. Chr. (Schicht mit Opferabfall der 1. H. 6. Jh.)
 Typus: 10,13.C
 Dekorvariante: m
 Dat.: 570/60- ca. 530/20 v. Chr.
 Tafel 52, 323

324. Rfrgt. K 92.2.22
 L 3.5; B 4.2; Dm 13.0; WSt 0.4
 Ton: 10 YR 7/6; fest; fein gemagert; viel
 mittelfeiner Hell- und Dunkelglimmer.
 Oberfläche: poliert.
 Überzug: „wash“.
 Malfarbe: dunkelbrauner bis schwarzer, matt
 metallisch glänzender Firnis.
 Fundort: Milet, Kalabaktepe
 Kontext: Q 91.09/ Phase 6 (Bauschutt der Phase 5
 oder 6)
 Typus: 10,13.C
 Dekorvariante: k
 Dat.: 570/60- ca. 530/20 v. Chr.
 Tafel 52, 324

325. Pro. Z 91.26.4
 L 2.6; B 4.4; WSt 0.3–0.35 (Wfrgt.)
 H 2.2; B 6.4; DmF 6.0; WSt 0.4–0.45 (Ffrgt.)
 Ton: 5 YR 6/6; weich; fein gemagert; feine
 Quarzeinschlüsse; viel feiner bis mittelfeiner
 Hell- und Dunkelglimmer.
 Oberfläche: geglättet.
 Malfarbe: rot; dicht, weich und lackartig.
 Fundort: Milet, Aphrodite-Heiligtum
 Kontext: Q 90.40/ 1. H. 6. Jh. v. Chr. (Letzte
 Schicht über dem gewachsenen Fels)
 Typus: 10,13.D
 Dekorvariante: k/l
 Dat.: um 550 v. Chr.
 Tafel 52, 325

Varianten 10, Sonderformen, südionisch

326. Pro. Z 91.16.4
 H 6.15; DmR 15.0; DmF 6.0; WSt 0.3
 Ton: D6-D8; hart; fein gemagert.
 Oberfläche: geglättet.
 Malfarbe: dunkel; streifig.
 Fundort: Milet, Aphrodite-Heiligtum
 Kontext: Q 91.30/ 2. H. 7. Jh. v. Chr. (Antike
 Geländeoberfläche mit dem ältesten
 Heiligtumsschutt)
 Typus: 10.C (Sonderform)

Dekorvariante: l
 Dat.: ca. 610/00- ca. 600/590 v. Chr.
 Tafel 52, 326
327. Rfrgt. K 89.456.11
 L 3.15; B 4.35; Dm 13.0; WSt 0.2–0.35
 Ton: 5 YR 6/4-6; fest; schwarze Partikel; einige
 Poren; feine Kiesel-, Quarzeinschlüsse;
 grössere Kalksteineinschlüsse; viel Hell- und
 grober Dunkelglimmer.
 Oberfläche: geglättet.
 Malfarbe: roter, teils lackartiger und dichter Firnis.
 Fundort: Milet, Kalabaktepe
 Kontext: Q 89.12/ Phase 7 (vielleicht 4)
 (Nacharchaische Sandeinfüllung)
 Typus: 10.C (Sonderform)
 Dekorvariante: k

Dat.: ca. 610/00- ca. 550/40 v. Chr.
 Tafel 52, 327
328. Ffrgt. Z 91.66.18
 H 1.35; B 5.35; L 2.9; DmF 7.2; WSt 0.27
 Keine weiteren Angaben, da nicht aufzufinden.
 Fundort: Milet, Aphrodite-Heiligtum
 Kontext: Q 91.31/ 1. H. 6. Jh. v. Chr.
 (Archaischer Opferabfall im Bothros)
 Typus: 10.C/D
 Dekorvariante: m/ny
 Dat.: ca. 580/70- ca. 520/10 v. Chr.
 Tafel 52, 328

329. Ffrgt. K 92.2.23
 H 1.25; B 4.8; DmF 7.2, WSt 0.3–0.35 (Frg.a)
 H 1.3; B 4.1; DmF 7.2, WSt 0.3–0.35 (Frg.b)
 Ton: 7.5 YR 7-6/6; hart; fein gemagert; feiner bis
 mittelfeiner Hell- und Dunkelglimmer.
 Oberfläche: geglättet.
 Malfarbe: braun-rötlich-schwarzer Firnis; außen:
 streifig; innen: schwarz, matt metallisch und
 dicht;
 aufgesetzte Farbe: Deckrot.
 Fundort: Milet, Kalabaktepe
 Kontext: Q 91.09/ Phase 6 (Bauschutt der Phase 5
 oder 6)
 Typus: 10.C/D

Dekorvariante: k-ny

Dat.: ca. 580/70- ca. 520/10 v. Chr.

Tafel 52, 329; 143, 329

Typus 11

Varianten 11,1, südionisch

330. Rfrgt. S 63.81.41

Erh H 5.9; Dm 21.1; WSt 0.4–0.6

Keine weiteren Angaben, da nicht aufzufinden.

Fundort: Milet, Südschnitt

Kontext: zwischen T, U und E (G), einschließlich der ganzen Westfront von T/ (7./6. Jh. v. Chr).

Typus: 11,1.B

Dekorvariante: m α

Dat.: spätestens 620/10- etwa 580/70 v. Chr.

Tafel 53, 330

331. Rfrgt. WD.3

L 6.0; B 8; Dm 23.0; WSt 0.62–0.84

Ton: 2.5 YR 6/6-8; grob gemagert; sandig; Kalkstein- und Tuffeinschlüsse; viel Hell- und Dunkelglimmer.

Malfarbe: von rötlich bis schwarz changierend, fest und stumpf.

Fundort: Milet, Wiegand-Grabungen

Kontext: unbekannt

Typus: 11,1.B

Dekorvariante: l α

Dat.: spätestens 620/10- etwa 580/70 v. Chr.

Tafel 53, 331; 143, 331

332. Rfrgt. S 63.114.6

L 6.7; B 17.0; Dm 25.7; WSt 0.38–0.47

Ton: 5 YR 6/6; gelbe und weisse Kalksteineinschlüsse; leicht in Schichten; schwarze Partikel.

Oberfläche: geglättet (Schwamm).

Malfarbe: von dunkelbraun bis hellbraun changierender, metallisch glänzender und streifiger Firnis.

Fundort: Milet, Südschnitt

Kontext: keine Informationen

Typus: 11,1.B

Dekorvariante: m

Dat.: spätestens 620/10- etwa 580/70 v. Chr.

Tafel 53, 332

333. Rfrgt. K 89.229.2

L 5.0; B 5.4; Dm 24.0; WSt 0.35–0.6

Ton: 7.5 YR 7/6; fest; körniger, sandiger, aber feiner Ton; wenig Poren; grössere Kalkstein- oder auch gelbe, organische Einschlüsse, die teilweise durch die Oberfläche treten; viel Hell- und Dunkelglimmer.

Oberfläche: gut geglättet (deutliche Drehrillen).
Malfarbe: von schwarz bis braun changierender, matt glänzender und teilweise dünner Firnis.

Fundort: Milet, Kalabaktepe

Kontext: Q 89.04/ Phase 5–6 (Auffüllung im Innenraum, Störung durch späten Brunnen?)

Typus: 11,1.B

Dekorvariante: m

Dat.: spätestens 620/10- etwa 580/70 v. Chr.

Tafel 53, 333

334. Rfrgt. S 63.2.1

L 6.1; B 12.6; Dm ca. 23; WSt 0.35–0.5

Ton: 7.5 YR 7/6; fein gemagert; wenig Zuschläge; Kalkstein- und Quarzeinschlüsse; viel Dunkelglimmer.

Malfarbe: lackartig rot.

Fundort: Milet, Südschnitt

Kontext: Schutt unter dem römischen Mosaik/ archaisch bis 5. Jh. v. Chr.

Typus: 11,1.B

Dekorvariante: m

Dat.: spätestens 620/10- etwa 580/70 v. Chr.

Tafel 53, 334

Varianten 11,2, südionisch

335. Rfrgt. K 89.200.9

L 3.45; B 2.7; Dm 20.2; WSt 0.2–0.35

Ton: 7.5 YR 7/6; hart; leicht lockerer Ton mit Quarzeinschlüssen, teilweise aus der Oberfläche tretend; verschiedenfarbige Partikel, aber ohne grössere Einschlüsse; viel Hell- und Dunkelglimmer; wirkt „speckig“.

Oberfläche: stark geglättet (Schwamm); feine Drehrillen.

Malfarbe: braungrauer, stumpfer und streifiger Firnis.

Fundort: Milet, Kalabaktepe

Kontext: Q 89.07/ Phase 5A? (Befund im Raum und außen. Innen: Auffüllung für Phase 5, außen: vielleicht auch späterer Schutt)

Typus: 11,2.B

Dekorvariante: k

Dat.: ca. 610/00- 550/40 v. Chr.

Tafel 54, 335

336. Rfrgt. K 89.114.8

L 3.7; B 1.5; WSt 0.35–0.45

Ton: 7.5 YR 5/6 (außen und innen), 2.5 YR 5/6 (Bruch); stark gekörnte Magerung; Poren; Quarz- und Kieseinschlüsse; Hell- und Dunkelglimmer.

Oberfläche: geglättet, aber leicht sandig, rauh. Malfarbe: schwarzer, stumpfer und rissiger Firnis.

Fundort: Milet, Kalabaktepe

Kontext: Q 89.05/ Phase 4B (Hofboden mit Tuffit)

Typus: 11,2.B

Dekorvariante: m

Dat.: ca. 610/00- 570/60 v. Chr.

Tafel 54, 336; 143, 336

Varianten 11,3, südionisch

337. Rfrgt. K 92.21.12

L: 3.3; B 4.9; Dm 22.0; WSt 0.35–0.45

Ton: 5 YR 7/7; fest, leicht sandig; viele Zuschläge; wenig Kalksteineinschlüsse; viel Dunkelglimmer.

Oberfläche rauh, aber geglättet.

Malfarbe: dunkelbraun bis schwarz, matt, fest.

Fundort: Milet, Kalabaktepe

Kontext: Q 92.01/ Phase 7–8 (Nacharchaischer Schutt)

Typus: 11,3.B

Dekorvariante: k

Dat.: ca. 620/10- etwa 560/50 v. Chr.

Tafel 54, 337

338. Rfrgt. K 89.21.2

L 3.55; B 5.1; Dm 18.0; WSt 0.3–0.45

Ton: 7.5 YR 7/6; fest bis weich; körniger, sandiger, aber feiner Ton; wenig Poren; grössere Kalkstein- oder auch gelbe, organische Einschlüsse, die teilweise durch die Oberfläche treten; viel Hell- und Dunkelglimmer.

Oberfläche: gut geglättet (deutliche Drehrillen).

Malfarbe: dunkelrotbrauner, stumpfer und matter Firnis; grösstenteils abgeplatzt.

Fundort: Milet, Kalabaktepe

Kontext: Q 89.03/ Phase 7 (Nacharchaische Sandschicht)

Typus: 11,3.B

Dekorvariante: k

Dat.: ca. 620/10- etwa 560/50 v. Chr.

Tafel 54, 338

339. Rfrgt. K 89.116.1

L 3.3; B 4.0; Dm 18.0; WSt 0.3–0.4

Ton: 7.5 YR 6/6; hart; körniger, sandiger, aber feiner Ton; wenig Poren; grössere Kalkstein- oder auch gelbe, organische Einschlüsse, die teilweise durch die Oberfläche treten; viel Hell- und Dunkelglimmer.

Oberfläche: gut geglättet (Schwamm).

Überzug: „wash“.

Malfarbe: außen: schwarzer, matter, grösstenteils abgeriebener Firnis; innen: von rotbraun bis braunschwarz changierender, fester, dichter und matter Firnis.

Fundort: Milet, Kalabaktepe

Kontext: Q 89.03/ Phase 5B (Hofboden)

Typus: 11,3.B

Dekorvariante: k

Dat.: ca. 620/10- etwa 560/50 v. Chr.

Tafel 54, 339

Varianten 11,4, südionisch

340. Rfrgt. S 63.73.4
 L 3.9; B 6.0; Dm 22.0; WSt 0.3–0.5
 Ton: 5 YR 6/6; fest; leicht sandig; viel Zuschläge;
 gelblich-beige Tuff- oder Mergel- sowie
 Kalksteineinschlüsse; viel Dunkelglimmer.
 Oberfläche: geglättet, leicht rauh.
 Malfarbe: roter, lackartiger Firnis.
 Fundort: Milet, Südschnitt
 Kontext: westlich von Mauer E (G), nördlich von
 R/S/ vgl. Befund S 63.72; braune Erde
 (6. Jh.; einiges aus dem 7. Jh. v. Chr.)
 Typus: 11,4.B
 Dekorvariante: n
 Dat.: ca. 620/10- etwa 530/20 v. Chr.
 Tafel 54, 340

341. Rfrgt. K 89.510.19
 L 2.95; B 2.95; Dm 18.0; WSt 0.3–0.5
 Ton: 7.5 YR 7/6; hart; schwarze Partikel; kleine
 Poren; Quarzeinschlüsse; Dunkelglimmer.
 Oberfläche: geglättet, jedoch feine Riefen.
 Malfarbe: von hellbraun über dunkelbraun bis
 schwarz changierender, teils dünner, teils
 dichter und stumpfer Firnis;
 aufgesetzte Farbe: Deckrot und –weiss.
 Fundort: Milet, Kalabaktepe
 Kontext: Q 89.18/ Phase 4A–4B (Auffüllung und
 Boden der Phase 4)
 Typus: 11,4.B
 Dekorvariante: ky
 Dat.: ca. 620/10- 590/80 v. Chr.
 Tafel 55, 341

342. Rfrgt. K 89.510.29
 L 3.2; B 5.4; Dm 22.0; WSt 0.3–0.45
 Ton: 7.5 YR 7/6 bis 5 YR 7/6; hart; grob gemagert;
 feine Poren; leichte Schichtung; Quarz- und
 Kalksteineinschlüsse; feiner Hell- und grober
 Dunkelglimmer.
 Oberfläche: stark geglättet, von groben
 Magerungszusätzen durchbrochen.
 Malfarbe: von dunkelbraun bis schwarz
 changierender, matter, teils streifiger, dann
 wässriger Firnis;
 aufgesetzte Farbe: Deckrot.
 Fundort: Milet, Kalabaktepe

Kontext: Q 89.18/ Phase 4A–4B (Auffüllung und
 Boden der Phase 4)
 Typus: 11,4.B
 Dekorvariante: ky
 Dat.: ca. 620/10- 590/80 v. Chr.
 Tafel 55, 342; 143, 342

343. Rfrgt. K 90.725.4
 L: 8.2; B 10.1; Dm 18.0; WSt 0.4–0.5
 Ton: 7.5 YR 6/6; fest; grob gemagert; mittelfeine
 und grobe Quarz- und Kalksteineinschlüsse;
 mittelfeiner und grober Hell- und
 Dunkelglimmer.
 Oberfläche: geglättet.
 Malfarbe: außen: schwarz, dünn, teilweise
 abgeplatzt; innen: dunkelbraun bis
 schwarzbraun, durchscheinend bis dicht;
 streifig.
 Fundort: Milet, Kalabaktepe
 Kontext: R 89.18/ Phase 4 oder 6–7 (Auffüllung
 und Boden Phase 4? [eher Phase 6 oder
 7])
 Typus: 11,4.B
 Dekorvariante: k
 Dat.: ca. 620/10- etwa 530/20 v. Chr.
 Tafel 55, 343

344. Pro. K 90.649.5
 H 11.7; DmR 17.9; DmF 6.6; WSt 0.4–0.5
 Ton: ca. 5 YR 6/6; hart; fein gemagert, sandig;
 teilweise mit sehr groben, grossen
 Kalksteineinschlüssen; viel feiner und
 mittelfeiner Hell- und Dunkelglimmer.
 Oberfläche: poliert.
 Überzug: „wash“.
 Malfarbe: rotbrauner bis violettschwarzer, matt
 glänzender Firnis.
 Fundort: Milet, Kalabaktepe
 Kontext: Q 90.01/ Phase 2 (Fußboden nach
 Einfüllung und Aufgabe der Rundlinge?
 Deckt die verfüllte Grube K 90.828 aus
 der Phase 1 ab)
 Archäometrie: *Mommsen* Prob.Nr.: Mile 70
 Gruppe **Single**
 Typus: 11,4.B
 Dekorvariante: k
 Dat.: ca. 620/10 v. Chr.

Tafel 55, 344; 144, 344

345. Pro. K 92.806.1

H 9.9; DmR 17.9; DmF 7.4; WSt 0.25–0.45

Ton: ca. 5 YR 6/6; hart; grob gemagert; mit groben Kiesel- und Kalksteineinschlüssen; mit viel feinem und mittelfeinem Hell- und Dunkelglimmer.

Oberfläche: geglättet.

Malfarbe: teilweise dünner brauner, teilweise schwarz deckender und matt glänzender Firnis; streifig aufgetragen.

Fundort: Milet, Kalabaktepe

Kontext: Q 91.03/ Phase 5B–7A (Schutt der Phase 6 mit Boden der Phase 5)

Archäometrie: *Mommsen* Prob.Nr.: Mile 71 Gruppe A (Milet) Kalabaktepe-Werkstätten

Typus: 11,4.B (Sonderform)

Dekorvariante: k

Dat.: ca. 620/10- etwa 530/20 v. Chr.

Tafel 56, 345; 144, 345

346. Rfrgt. K 89.195.5

L 3.0; B 4.85; Dm 20; WSt 0.3–0.5

Ton: 5 YR 6-7/6; sandig, teils körnig; viele Poren; schwarze Partikel; Quarz- und Kieseleinschlüsse, kaum sehr grobe Einschlüsse; viel Hell- und Dunkelglimmer.

Oberfläche: gut geglättet mit deutlichen Drehrillen.

Malfarbe: dunkelrotbrauner, grösstenteils abgeriebener Firnis.

Fundort: Milet, Kalabaktepe

Kontext: Q 89.07/ Phase 5 (Schutt im Innern des Hauses über der vorletzten Bauphase)

Typus: 11,4.B

Dekorvariante: k

Dat.: ca. 620/10- etwa 530/20 v. Chr.

Tafel 56, 346

347. Rfrgt. K 89.19.11

L 3.8; B 5.9; Dm 18; WSt 0.45–0.55

Ton: 7.5 YR 6-7/6; fest; fein gemagert; leicht sandig, körnig; wenige Lufteinschlüsse; viel Dunkelglimmer.

Oberfläche: stark geglättet mit einigen Drehspuren, die sich in der Oberfläche zeigen.

Malfarbe: roter, fester, grösstenteils abgeplatzter lackartiger Firnis.

Fundort: Milet, Kalabaktepe

Kontext: Q 89.04/ Phase 7 (Schutt der Steinausraubung)

Typus: 11,4.B

Dekorvariante: n

Dat.: ca. 620/10- etwa 530/20 v. Chr.

Tafel 56, 347

348. Rfrgt. K 89.155.14

L 4.1; B 4; Dm 18.2; WSt 0.3–0.38

Ton: 7.5 YR 7-6/6; fest bis hart; fein gemagert; körnig; Lufteinschlüsse; wenige kleine Kiesel; viel Hell- und Dunkelglimmer.

Oberfläche: stark geglättet.

Malfarbe: rot-rotbrauner, matter, stumpfer Firnis, teils dicht, teils streifig.

Fundort: Milet, Kalabaktepe

Kontext: Q 89.04/ Phase 5–6 (Auffüllung für den Hofboden)

Typus: 11,4.B

Dekorvariante: k

Dat.: ca. 620/10- etwa 530/20 v. Chr.

Tafel 56, 348

349. Rfrgt. K 89.211.7

L 3.3; B 3.45; Dm 17.0; WSt 0.4–0.5

Ton: 5 YR 6/6; sehr hart; sandig, teils körnig; viele Poren; schwarze Partikel; Quarz- und Kieseleinschlüsse, kaum sehr grobe Einschlüsse; viel Hell- und Dunkelglimmer.

Oberfläche: rauh.

Malfarbe: von rot bis rotbraun changierender, dichter, pastöser und fast lackartiger Firnis.

Fundort: Milet, Kalabaktepe

Kontext: Q 89.01/ Phase 7 (Schutt der Steinausraubung)

Typus: 11,4.B

Dekorvariante: k

Dat.: ca. 620/10- etwa 530/20 v. Chr.

Tafel 56, 349

350. Rfrgt. K 89.506.38
 L 5.15; B 7.0; Dm 20.0; WSt 0.35–0.55
 Ton: 7.5 YR 7/4; fest bis hart; mittelfein gemagert; rote und schwarze Partikel; kleine Kieseinschlüsse; nur feiner Hellglimmer.
 Oberfläche: geglättet; schwache Drehrillen.
 Malfarbe: dunkelbrauner, stumpfer und deckender Firnis.
 Fundort: Milet, Kalabaktepe
 Kontext: Q 89.18/ Phase 4–6A (Boden und Auffüllung für Phase 6)
 Typus: 11,4.B
 Dekorvariante: k
 Dat.: ca. 620/10- etwa 530/20 v. Chr.
 Tafel 56, 350; 144, 350

351. Rfrgt. K 89.481.3
 L 4.6; B 6.6; Dm 20.0; WSt 0.25–0.4
 Ton: 5 YR 5-6/6; hart; fein gemagert; stark verdichtet; einige wenige Poren; wenig Quarzeinschlüsse; Hell- und Dunkelglimmer.
 Oberfläche: sehr stark geglättet (Schwamm).
 Malfarbe: von rotbraun bis dunkelbraun changierender, fester, aber streifiger und matt glänzender Firnis.
 Fundort: Milet, Kalabaktepe
 Kontext: Q 89.12/ Phase 7 (gestört 2B) (Bodenschicht der Phase 2, vermischt mit nacharchaischer Schutteinfüllung)
 Typus: 11,4.B
 Dekorvariante: k
 Dat.: ca. 620/10 v. Chr.
 Tafel 57, 351

352. Rfrgt. K 89.506.43
 L 4.5; B 7.1; Dm 20.0; WSt 0.3–0.45
 Ton: 5 YR 6/8; hart; fein gemagert; rote und schwarze Partikel; einige grössere Magerungspartikel, teilweise die Oberfläche durchbrechend; viel Hell- und Dunkelglimmer.
 Oberfläche: stark geglättet.
 Malfarbe: von hellrot bis blassrot changierender, dichter, teilweise dünner und wässriger Firnis.
 Fundort: Milet, Kalabaktepe
 Kontext: Q 89.18/ Phase 4–6A (Boden und Auffüllung für Phase 6)

Typus: 11,4.B
 Dekorvariante: k
 Dat.: ca. 620/10- etwa 530/20 v. Chr.
 Tafel 57, 352

353. Rfrgt. K 89.506.41
 L 3.69; B 4.9; Dm 20.0; WSt 0.25–0.4
 Ton: 10 YR 7-6/2-3 (sek. verbrannt); hart; feine Quarz- und Kieseinschlüsse; Hell- und Dunkelglimmer.
 Oberfläche: geglättet (nur sehr feine Drehrillen).
 Malfarbe: schwarzer, dichter Firnis.
 Fundort: Milet, Kalabaktepe
 Kontext: Q 89.18/ Phase 4–6A (Boden und Auffüllung für Phase 6)
 Typus: 11,4.B
 Dekorvariante: k
 Dat.: ca. 620/10- etwa 530/20 v. Chr.
 Tafel 57, 353; 144, 353

354. Rfrgt. K 89.501.23
 L 3.5; B 5.75; Dm 18.0; WSt 0.3–0.4
 Ton: 5 YR 7/6; körnig; schwarze Partikel; einige Poren; feine Quarz- und Kieseinschlüsse; viele kleine Kalksteineinschlüsse; viel Hell- und grober Dunkelglimmer.
 Oberfläche: geglättet.
 Malfarbe: von hellbraun bis braun changierender, streifiger und stumpfer Firnis.
 Fundort: Milet, Kalabaktepe
 Kontext: Q 89.18/ Phase 7–8 (Schutt der letzten Bauphase, spätarchaisch oder Nachbesiedlung im 5. Jh. v. Chr.)

Typus: 11,4.B
 Dekorvariante: k
 Dat.: ca. 620/10- etwa 530/20 v. Chr.
 Tafel 57, 354; 145, 354

355. Rfrgt. K 89.276.13
 L 4.9; B 12.0; Dm 18.2; WSt 0.36–0.45
 Ton: 5 YR 7/6; fein gemagert; Kiesestein-, Kalkstein- sowie Tuff- oder Mergeleinschlüsse; viel Dunkelglimmer.
 Oberfläche: geglättet.

Malfarbe: brauner, matt glänzender und fester Firnis.

Fundort: Milet, Kalabaktepe

Kontext: Q 89.01/ Phase 4 (Nutzungszeit Phase 4)

Typus: 11,4.B

Dekorvariante: k

Dat.: ca. 620/10- 560/50 v. Chr.

Tafel 57, 355

356. Rfrgt. S 63.87.1

L 4.9; B 12.0; Dm 17.5; WSt 0.36–0.85

Ton: 5 YR 7/6; fein gemagert; Quarz-, Kalkstein- sowie Tuff- oder Mergeleinschlüsse; viel Dunkelglimmer.

Oberfläche: geglättet.

Malfarbe: brauner, matt glänzender und fester Firnis.

Fundort: Milet, Südschnitt

Kontext: westlich von Mauer B/ Brandschicht unter der Schuttschicht; s. Befund S 63.8 (spätes 7. Jh. v. Chr.)

Typus: 11,4.B

Dekorvariante: k

Dat.: 620-600 v. Chr.

Tafel 57, 356

357. Rfrgt. AT 57.O.52.1

L 4.7; B 7.95; Dm 18.0; WSt 0.3–0.45

Ton: 7.5 YR 7/6 bis 5 YR 7/6; leicht sandig; Quarzeinschlüsse; schwarze Partikel; viel Dunkelglimmer.

Oberfläche: geglättet, aber leicht rauh.

Malfarbe: von braun bis braunschwarz changierender, fester, metallisch glänzender Firnis.

Fundort: Milet, Athena-Heiligtum

Kontext: Südost-Abschnitt/ östlich der Tonrohrleitung (gleiches Niveau)

Typus: 11,4.B

Dekorvariante: k

Dat.: ca. 620/10- etwa 530/20 v. Chr.

Tafel 58, 357; 145, 357

358. Rfrgt. K 89.125.6

L 6.5; B 14.4; Dm 16.0; WSt 0.25–0.4

Ton: ca. 5 YR 6/6; fest bis hart; sandig, teils körnig; viele Poren; schwarze Partikel; Quarz- und Kieseinschlüsse, kaum sehr grobe Einschlüsse; viel Hell- und Dunkelglimmer.

Oberfläche: gut geglättet mit deutlichen Drehrillen.

Malfarbe: von rotbraun bis braun changierender, streifiger und abblätternder Firnis.

Fundort: Milet, Kalabaktepe

Kontext: Q 89.04/ Phase 6 (Hofniveau aus graubrauner harter Erdschicht unter dem Steinschutt K 89.081, innerhalb eines Ascheflecks stand offenbar der trichterförmige Gefäßständer K 89.175 auf dem Befund K 89.125; er steht auf Steinen, die die Feuerunterlage gebildet haben.)

Typus: 11,4.B

Dekorvariante: k

Dat.: ca. 620/10- etwa 530/20 v. Chr.

Tafel 58, 358

Varianten 11,5, südionisch

359. Rfrgt. K 90.649.6

L: 4.5; B 10.2; Dm 18.0; WSt 0.4–0.45

Ton: 7.5 YR 7-6/5; fest; fein gemagert; sandig; teilweise mit sehr groben, grossen Kalksteineinschlüssen; viel feiner und mittelfeiner Hell- und Dunkelglimmer.

Oberfläche: geglättet bzw. poliert.

Überzug: „wash“.

Malfarbe: rotbrauner bis violett-schwarzer, matt glänzender Firnis; teils grossflächig abgeplatzt.

Fundort: Milet, Kalabaktepe

Kontext: Q 90.01/ Phase 2 (Fußboden nach Einfüllung und Aufgabe der Rundlinge? Deckt die verfüllte Grube K 90.828 ab)

Typus: 11,5.B

Dekorvariante: k

Dat.: 620/10 v. Chr.

Tafel 58, 359

360. Rfrgt. K 89.77.8

L 1.95; B 2.38; Dm 18.0; WSt 0.4–0.45

Ton: 5 YR 6/6; hart; sandig, teils körnig; viele Poren; schwarze Partikel; Quarz- und

Kieseleinschlüsse, kaum sehr grobe Einschlüsse; viel Hell- und Dunkelglimmer.
Oberfläche: gut geglättet mit deutlichen Drehrillen.
Malfarbe: dunkler und stumpfer Firnis; grösstenteils abgeplatzt; unbestimmbar durch Abrieb und Verbrennung.

Fundort: Milet, Kalabaktepe

Kontext: Q 89.03/ Phase 6–7 (Nutzungsniveau)

Typus: 11,5.B

Dekorvariante: k

Dat.: ca. 620/10- etwa 530/20 v. Chr.

Tafel 58, 360

361. Rfrgt. K 89.66.7

L 3.75; B 5.05; Dm 18.0; WSt 0.45–0.55

Ton: 7.5 YR 6-7/6; fest bis weich; fest; körniger, sandiger, aber feiner Ton; wenig Poren; Kalkstein- oder auch gelbe, organische Einschlüsse, die teilweise durch die Oberfläche treten; viel Hell- und Dunkelglimmer.

Oberfläche: gut geglättet (deutliche Drehrillen).

Malfarbe: von schwarz bis hellbraun changierender, matter und stumpfer Firnis; außen: hellbraune, fast verblasste Streifen.

Fundort: Milet, Kalabaktepe

Kontext: Q 89.01/ Phase 7 (Schutt der nacharchaischen Wiederbesiedlung)

Typus: 11,5.B

Dekorvariante: n

Dat.: ca. 620/10- etwa 530/20 v. Chr.

Tafel 58, 361

362. Rfrgt. K 92.40.46

L 3.3; B 3.5; WSt 0.5

Ton: 7.5 YR 6/4; hart; grobe Kalksteineinschlüsse; feiner bis grober Dunkelglimmer.

Oberfläche: geglättet.

Überzug: „wash“.

Malfarbe: dunkelrötlich-braun, teilweise abgeplatzt.

Fundort: Milet, Kalabaktepe

Kontext: Q 92.01/ Phase 7–8 (Schutt der nacharchaischen Steinausraubung)

Archäometrie: *Yalcm* Prob.Nr.: TR-3K/234
Single/Cluster 2, Hauptgruppe A
(Single?/Milet?)

Typus: 11,5.B

Dekorvariante: k

Dat.: ca. 620/10- etwa 530/20 v. Chr.

Tafel 58, 362

363. Rfrgt. K 89.19.19

L 3.2; B 6.1; Dm 19.2; WSt 0.4–0.5

Ton: 5 YR 5/6; körniger Ton; schwarze Partikel; einige Poren; feine Quarz- und Kieseleinschlüsse; viele kleine Kalksteineinschlüsse; viel Hell- und grober Dunkelglimmer.

Oberfläche: geglättet.

Malfarbe: roter, lackartiger Firnis; grösstenteils abgeplatzt.

Fundort: Milet, Kalabaktepe

Kontext: Q 89.04/ Phase 7 (Schutt der Steinausraubung)

Typus: 11,5.B

Dekorvariante: m

Dat.: ca. 620/10- etwa 530/20 v. Chr.

Tafel 59, 363

364. Rfrgt. K 89.453.23

L 3.2; B 3.45; Dm 16.0; WSt 0.4–0.55

Ton: 7.5 YR 7/6; fest bis weich; fein gemagert; verdichtet, wenig Poren; viel feiner Hell- und Dunkelglimmer.

Oberfläche: geglättet, jedoch feine Drehrillen.

Überzug: „wash“.

Malfarbe: von rot (lackartig) bis dunkelrotbraun changierender, fester, dichter und streifiger Firnis; enthält Hell- und Dunkelglimmer.

Fundort: Milet, Kalabaktepe

Kontext: Q 89.01/ Phase 3A/B
(Fußbodenunterfütterung der Phase 3;
Störung durch Brunnen möglich)

Typus: 11,5.B

Dekorvariante: k

Dat.: ca. 620/10 v. Chr.

Tafel 59, 364

365. Rfrgt. K 89.216.1

L 4.1; B 5.3; Dm 17.0; WSt 0.35–0.45

Ton: 7.5 Yr 7-6/6; fest; kleinere bis mittelfeine Fehlstellen von herausgefallenen Einschlüssen länglichen Magerungspartikeln; wenig, aber

grössere Kalksteineinschlüsse; viel Hell- und grober Dunkelglimmer.

Oberfläche: geglättet (Schwamm).

Malfarbe: dunkelbrauner, deckender Firnis.

Fundort: Milet, Kalabaktepe

Kontext: Q 89.07/ Phase 3A–4B (Boden von Phase 4 oder spätarchaischer Schutt?)

Typus: 11,5.B

Dekorvariante: k

Dat.: ca. 620/10-590/80 v. Chr.

Tafel 59, 365; 145, 365

366. Rfrgt. K 89.111.65

L 3.8; B 5.9; Dm ca. 20; WSt 0.35–0.65

Ton: 5 YR 5/6; hart; körnig; grob gemagert; viel Quarzeinschlüsse; Hell- und Dunkelglimmer.

Oberfläche: rau und sandig.

Malfarbe: von schwarz (deckend) bis hellbraun (wässrig) changierender, streifiger, stumpfer und matter Firnis.

Fundort: Milet, Kalabaktepe

Kontext: Q 89.02/ Phase 7 (Schutt der Steinausraubung)

Typus: 11,5.B

Dekorvariante: l

Dat.: ca. 620/10- etwa 530/20 v. Chr.

Tafel 59, 366

367. Rfrgt. K 89.237.1

L 3; B 3.3; Dm 16; WSt 0.3–0.45

Ton: 10 YR 7/4; fein gemagert; leicht porig; wenig grössere Magerungspartikel, teilweise herausgebrochen; wenig feiner Hellglimmer.

Oberfläche: stark geglättet.

Überzug: „wash“; enthält sehr feinen Dunkelglimmer.

Malfarbe: von schwarz bis rotbraun changierender, fester und dichter, stumpfer und matter Firnis; grösstenteils abgeplatzt; enthält sehr feinen Dunkelglimmer.

Fundort: Milet, Kalabaktepe

Kontext: Q 89.07/ Phase 3 (Schutt nur im Innern des "Tuffbaus"; oberste Zerstörungsschicht, setzt sich deutlich gegen den darumherumlaufenden festen Hofboden K 89.238 ab.)

Typus: 11,5.B

Dekorvariante: k

Dat.: ca. 620/10-590/80 v. Chr.

Tafel 59, 367

Typus 12

Varianten 12,1, südionisch

368. Rfrgt. S 63.78.15

L 4.65; B 6.49; Dm 29.2; WSt 0.4–0.45

Keine weiteren Angaben, da nicht aufzufinden.

Fundort: Milet, Südschnitt

Kontext: westlich und südwestlich von Mauer W/ ab der Oberkante des Fundaments; aus dem Steg unter B, in Höhe des 7./6. Jh. v. Chr. Fundaments von Westen.

Typus: 12,1.B

Dekorvariante: n

Dat.: ca. 580/70- etwa 500/490 v. Chr.

Tafel 59, 368

369. Rfrgt. K 93.114.1 +
K 93.115.1

L 5.2; B 8.25; Dm ca. 28; WSt 0.5–0.7

Ton: 5 YR 7/6; fest; porig; Quarz- und Kalksteineinschlüsse; viel feiner bis mittelfeiner Hell- und Dunkelglimmer.

Oberfläche: stark geglättet.

Überzug: „wash“.

Malfarbe: roter, lackartiger, dichter und fester Firnis.

Fundort: Milet, Kalabaktepe

Kontext: Q 92.04/ Phase 6–7 (Schicht mit dicken Steinen) (K 93.114)
Q 92.04/ Phase 6–7 (Perserschutt) (K 93.115)

Typus: 12,1.B

Dekorvariante: n

Dat.: ca. 580/70- etwa 500/490 v. Chr.

Tafel 60, 369; 145, 369

370. Rfrgt. K 89.407.8

L 4.9; B 5.5; Dm 26; WSt 0.5–0.65

Ton: 5 YR 7/6; hart; leicht lockerer Ton mit Quarzeinschlüssen, teilweise aus der

Oberfläche tretend; verschiedenfarbige Partikel, aber ohne grössere Einschlüsse; viel Hell- und Dunkelglimmer; wirkt „speckig“.
Malfarbe: dunkelbrauner, stumpfer und streifiger Firnis.

Fundort: Milet, Kalabaktepe

Kontext: Q 89.11/ Phase 7 (Befund liegt auf der Zerstörungs- und Ausraubungsschicht des 5. Jh. v. Chr.; im NP deutlich als weniger steinige Schicht erkennbar)

Typus: 12,1.B

Dekorvariante: m

Dat.: ca. 580/70- etwa 500/490 v. Chr.

Tafel 60, 370

371. Rfrgt. K 89.48.8

L 4.45; B 6.0; Dm 24; WSt 0.4–0.55

Ton: 5 YR 6-7/6; fest bis hart; sandig, teils körnig; viele Poren; schwarze Partikel; Quarz- und Kieseinschlüsse, kaum sehr grobe Einschlüsse; viel Hell- und Dunkelglimmer.

Malfarbe: von rot über rotbraun bis violett changierender, stumpfer und grösstenteils abgeplatzter Firnis.

Fundort: Milet, Kalabaktepe

Kontext: Q 89.04/ Phase 7 (Schutt der Steinausraubung)

Typus: 12,1.B

Dekorvariante: n

Dat.: ca. 580/70- etwa 500/490 v. Chr.

Tafel 60, 371

372. Rfrgt. K 92.59.4

L 4.95; B 6.1; Dm ca. 26; WSt 0.5

Ton: 5 YR 5-6/6-7; fest; grob gemagert; mit Quarz und hellen Einschlüssen; Lufteinschlüsse; feiner und mittelfeiner Hellglimmer.

Oberfläche: geglättet, aber stumpf und leicht rauh.
Malfarbe: dunkelbraun, teils streifig, fest.

Fundort: Milet, Kalabaktepe

Kontext: Q 92.02/ Phase 7–8 (Schutt der nacharchaischen Wiederbesiedlung)

Typus: 12,1.B

Dekorvariante: m

Dat.: ca. 580/70- etwa 500/490 v. Chr.

Tafel 60, 372

373. Rfrgt. K 89.111.63

L 4.35; B 3.9; Dm 26; WSt 0.5–0.6

Ton: 5 YR 6/6; hart; leicht lockerer Ton mit Quarzeinschlüssen, teilweise aus der Oberfläche tretend; verschiedenfarbige Partikel, aber ohne grössere Einschlüsse; viel Hell- und Dunkelglimmer; wirkt „speckig“.

Malfarbe: rötlicher, matter und stumpfer, fester und deckender Firnis.

Fundort: Milet, Kalabaktepe

Kontext: Q 89.02/ Phase 7 (Schutt der Steinausraubung)

Typus: 12,1.B

Dekorvariante: n

Dat.: ca. 580/70- etwa 500/490 v. Chr.

Tafel 60, 373

Varianten 12,2, südionisch

374. Rfrgt. S 63.120.24

L 5.6; B 12.9; Dm 30; WSt 0.4–0.51

Ton: 5 YR 6/4-6; sandig gemagert; viel schwarze Partikel; Kalkstein- sowie Tuff- oder Mergeleinschlüsse.

Oberfläche: gut geglättet, jedoch leicht rauh.

Malfarbe: von hellbraun bis dunkelbraun changierender, streifiger und matt glänzender Firnis.

Fundort: Milet, Südschnitt

Kontext: keine Informationen

Typus: 12,2.B

Dekorvariante: n

Dat.: ca. 600/590- etwa 500/490 v. Chr.

Tafel 61, 374

375. Rfrgt. K 89.26.26 +
K 89.115.31

L 4.2; B 7.85; Dm 22; WSt 0.3–0.5

Ton: 7.5 bis 5 YR 6/6; fest; schwarze Partikel; einige Poren; feine Kiesel-, Quarzeinschlüsse; grössere Kalksteineinschlüsse; viel Hell- und grober Dunkelglimmer.

Malfarbe: roter, lackartiger und dichter Firnis; grösstenteils abgeplatzt.

Fundort: Milet, Kalabaktepe
 Kontext: Q 89.02/ Phase 7 (spätarchaischer Zerstörungsschutt) (K 89.26)
 Q 89.02/ Phase 7
 (Scherbenschuttschicht im spätarchaischen Schutt K 89.112; Fortsetzung der Scherbenschuttschicht K 89.080 in Q 89.1) (K 89.115)
 Typus: 12,2.B
 Dekorvariante: 1
 Dat.: ca. 600/590- etwa 500/490 v. Chr.
 Tafel 61, 375

376. Pro. ohne F. K 89.17.3
 L 13.1; B 11.9; WSt 0.56–0.68
 Ton: 7.5 YR 7/6; fein gemagert; Kalkstein- sowie Tuff- oder Mergeleinschlüsse; viel feiner Dunkelglimmer.
 Oberfläche: geglättet.
 Malfarbe: von rötlichbraun bis dunkelbraun changierend, stumpf; grösstenteils abgerieben.
 Fundort: Milet, Kalabaktepe
 Kontext: R 86.08/ Phase 7–8 (Schutt der nacharchaischen Steinausraubung)
 Typus: 12,2.B
 Dekorvariante: m
 Dat.: ca. 600/590- etwa 500/490 v. Chr.
 Tafel 61, 376; 146, 378

377. Rfrgt. K 91.374.1
 L 9.3; B 12.9; Dm 24; WSt 0.45–0.7
 Ton: 5 YR 7/4; fest bis hart; sehr grob gemagert; große helle Einschlüsse; viel Dunkelglimmer.
 Oberfläche: geglätte, aber rau.
 Malfarbe: dunkelbraun bis schwarz changierend, teils rötlichbraun, unregelmäßig und streifig, fest.
 Fundort: Milet, Kalabaktepe
 Kontext: Q 91.09/ Phase 7 oder rezent (Zerstörung der Wiederbesiedlung, vielleicht noch rezent gestört)
 Typus: 12,2.B
 Dekorvariante: m
 Dat.: ca. 600/590- etwa 500/490 v. Chr.
 Tafel 61, 377; 146, 377

378. Rfrgt. S 63.109.3
 L 6.1; B 10.15; Dm 25.5; WSt 0.4–0.6
 Ton: 5 YR 6/4; grob gemagert; viel Kalksteineinschlüsse; gelblich-beige Tuff- oder Mergeleinschlüsse; viel feiner Dunkelglimmer.
 Malfarbe: von hellbraun bis schwarz changierender, fester, stumpfer und streifiger Firnis.
 Fundort: Milet, Südschnitt
 Kontext: SZ II/ westlich der Quermauer; Schicht (bis 30 cm) unter dem hellenistischen Fußboden D; lemige Sanderde mit Ziegelfrg. (Ha 32)
 Typus: 12,2.B
 Dekorvariante: n
 Dat.: ca. 600/590- etwa 500/490 v. Chr.
 Tafel 62, 378; 146, 378

379. Rfrgt. K 92.357.7
 L 6; B 9.6; Dm ca. 22.2; WSt 0.45–0.65
 Ton: 5 YR 6-7/4-6; grob gemagert; viele Kalksteineinschlüsse; gelblich-beige Tuff- oder Mergeleinschlüsse; viel Dunkelglimmer.
 Oberfläche: rau, stumpf, geglättet, aber mit vielen Drehspuren.
 Malfarbe: unbemalt
 Fundort: Milet, Kalabaktepe
 Kontext: Q 92.03/ Phase 6–7A (Auffüllung für die letzte archaische Siedlungsphase)
 Typus: 12,2.B
 Dekorvariante: ohne
 Dat.: ca. 600/590- etwa 500/490 v. Chr.
 Tafel 62, 379; 146, 379

380. Rfrgt. S 63.78.16
 Erh H 5.4; Dm ca. 26.2; WSt 0.45–0.5
 Keine weiteren Angaben, da nicht aufzufinden.
 Fundort: Milet, Südschnitt
 Kontext: westlich und südwestlich von Mauer W/ ab der Oberkante des Fundaments; aus dem Steg unter B, in Höhe des 7./6. Jh. v. Chr. Fundaments von Westen.
 Typus: 12,2.B
 Dekorvariante: k
 Dat.: ca. 600/590- etwa 500/490 v. Chr.
 Tafel 62, 380

381. Rfrgt. K 91.283.14

L 8.1; B 7.0; WSt 0.7–0.9

Ton: 5 YR 5-6/4; grob gemagert; viele Kalksteineinschlüsse; große helle Einschlüsse; viel Hell- und Dunkelglimmer.

Oberfläche: rauh, geglättet, aber mit Drehspuren.

Überzug: hell, deckend.

Malfarbe: außen rötlich-braun bis hellrot changierend, innen dunkelbraun bis schwarz, deckend, fest.

Fundort: Milet, Kalabaktepe

Kontext: Q 91.05/ Phase 8 (Schutt der Wiederbesiedlung, später durchsucht)

Typus: 12,2.B

Dekorvariante: n

Dat.: ca. 600/590- etwa 500/490 v. Chr.

Tafel 62, 381

382. Rfrgt. K 91.407.1

L ca. 11; B 8.1; Dm ca. 22; WSt 0.4–0.6

Ton: 7.5-5 YR 6/4; sehr grob gemagert; kleine Kieseleinschlüsse.

Oberfläche: stark geglättet.

Malfarbe: rot, fest, deckend.

Fundort: Milet, Kalabaktepe

Kontext: Q 91.09/ Phase 7A–B (Auffüllung und Boden für Phase 7, darauf Abfallschichten)

Typus: 12,2.B

Dekorvariante: m

Dat.: ca. 600/590- etwa 500/490 v. Chr.

Tafel 63, 382; 147, 382

*Varianten 12,3, südionisch***383.** Rfrgt. K 93.170.7

L 4.5; B 4.5; Dm ca. 22; WSt 0.5–0.6

Ton: ca. 5 YR 7/6; weich; feine schwarze Partikel; grosse Quarzeinschlüsse; viel feiner Hell- und Dunkelglimmer.

Malfarbe: roter, lackartiger Firnis, größtenteils abgeplatzt.

Fundort: Milet, Kalabaktepe

Kontext: Q 92.05/ 7–8 (Schutteinfüllung in die tiefe archaische Störung, die sich von Q 92.05 nach Osten erstreckt)

Typus: 12,3.B

Dekorvariante: m

Dat.: ca. 580/70- etwa 500/490 v. Chr.

Tafel 63, 383

384. Rfrgt. K 92.40.85

L 3.15; B 6.5; Dm ca. 34; WSt 0.5–0.8

Ton: ca. 5 YR 7/6; fest; kleine schwarze Partikel; Quarzeinschlüsse; viel feiner bis mittelfeiner Hell- und Dunkelglimmer.

Überzug: „wash“.

Malfarbe: roter, lackartiger, fester, deckender und dichter Firnis.

Fundort: Milet, Kalabaktepe

Kontext: Q 92.01/ Phase 7–8 (Schutt der nacharchaischen Steinausraubung)

Typus: 12,3.B

Dekorvariante: n

Dat.: ca. 580/70- etwa 500/490 v. Chr.

Tafel 63, 384

Typus 13*Varianten 13,1, südionisch***385.** Rfrgt. K 90.848.1

L ca. 12; B ca. 10.5; WSt 0.45–0.55

Ton: 5 YR 6/6; hart; mit viel Magerungspatikeln; Quarz- und Kalkeinschlüsse sowie Kiesel; sehr stark verdichtet; viel Hell- und Dunkelglimmer.

Oberfläche: geglättet, aber große

Magerungspartikel treten heraus, besonders innen.

Malfarbe: außen bräunlich-schwarz, seckend; innen rötlich, stumpf, fest, deckend, teils streifig, fest.

Fundort: Milet, Kalabaktepe

Kontext: Streufund

Typus: 13,1.B

Dekorvariante: c

Dat.: ca. 650/40- etwa 600/590 v. Chr.

Tafel 63, 385; 147, 385

386. Rfrgt. Z 09.87.26
 L 6.68; B 7.38; Dm 19.2; WSt 0.45-0.97
 Ton: 10 R 6/6 – 2.5 YR 6/6; 2.5 YR 6/2-3; sehr
 hart; stärker gemagert, körnig sandig; kleinere
 Kieselquarzeinschlüsse, wenige große weiße
 Kalksteineinschlüsse und viele schwarze
 Partikel; verdichtet mit vielen größeren
 Luftporen; viel feiner Hellglimmer.
 Oberfläche: gut geglättet, aber leicht rau.
 Malfarbe: fest, dicht, matt rot bis dunkelbraun
 changierend.
 Fundort: Milet, Zeytintepe
 Kontext: Q 08.74/ bis 630/620 v. Chr. (Aus der
 oberen Abschlußfüllung des Bothros,
 der mit Spätprotokorinthischem
 geschlossen wird und viele vollständige
 Gefäße aufweist).
 Typus: 13,1.B
 Dekorvariante: α
 Dat.: ca. 650/40- 640/30 v. Chr.
 Tafel 64, 386; 147, 386

387. Rfrgt. K 90.572.1
 L 21.52; B 12.2; Dm 25.2; WSt 0.4–0.45
 Ton: 2.5-5 YR 6/6-8; fest; grobe Magerung mit
 größeren weißen Kalkstücken und kleinen
 Kieseln, gelbe Einschlüsse, viel Hell- und
 Dunkelglimmer.
 Oberfläche: stumpf und rau, aber sorgfältig
 geglättet.
 Überzug: 10 YR-5 Y 8/3.
 Malfarbe: außen dunkelbraun bis schwarz
 changierend, stumpf, teils streifig, innen
 rotbraun.
 Fundort: Milet, Kalabaktepe
 Kontext: R 89.01/ Phase 4B (Fußboden Phase 4)
 Q 90.01/ Phase 4 oder 5 (Fußboden 2
 des Raumes in Q 89.1 und 2)
 Typus: 13,1.B
 Dekorvariante: α
 Dat.: ca. 650/40 v. Chr.
 Tafel 64, 387

388. Rfrgt. SM 97.232.6
 L 16.65; B 23.5; Dm ca. 30; WSt 0.63-0.56
 Ton: 2.5-5 YR 7/4 – 5 YR 7/6; hart;
 ausgeschlammte; mit viel weißen
 Kalksteineinschlüssen und dunklen Partikeln;

verdichtet, aber teils kleinen Luftporen
 und –poren; sehr viel feiner Dunkelglimmer.
 Oberfläche: geglättet, mit wenigen, flachen
 Drehspuren.
 Malfarbe: außen: dunkelbraun bis schwarzbraun
 changierend, fest, matt und stumpf; innen:
 rötlichbraun bis schwarzbraun changierend,
 fest, streifig, teils durchscheinend, matt und
 stumpf.
 Fundort: Milet, Stadtmauer-Schnitt
 Kontext: noch nicht ausgewertet
 Typus: 13,1.B
 Dekorvariante: α
 Dat.: ca. 650/40- etwa 600/590 v. Chr.
 Tafel 64, 388

389. Pro. ohne F. K 95.385.1
 L 17; B 17; Dm über 30; WSt bis zu 0.85
 Ton: 5 YR 7-6/6; grob gemagert; porig;
 Quarzeinschlüsse; viel Hell- und
 Dunkelglimmer.
 Oberfläche: geglättet, jedoch rau und stumpf.
 Malfarbe: von schwarz über braun bis rotbraun
 changierender, streifiger, stumpfer und blasser
 Firnis.
 Fundort: Milet, Kalabaktepe
 Kontext: Q 95.20/ Phase 6–7 (Perserzerstörung)
 Typus: 13,1.B
 Dekorvariante: m/na
 Dat.: ca. 650/40- etwa 600/590 v. Chr.
 Tafel 65, 389

390. Rfrgt. K 86.47.20
 L 10.68; B 13.7; Dm 32.0; WSt 0.55–0.65
 Ton: 5 YR 6/6; fest bis hart; fein gemagert mit
 einigen größeren Zuschlagstoffen; in
 Schichten; Schamott- sowie kleine
 Kalksteineinschlüsse; sehr viel feiner Hell- und
 Dunkelglimmer.
 Malfarbe: lackartig roter Firnis.
 Fundort: Milet, Kalabaktepe
 Kontext: Q 86.10/ Phase 5/6 oder 6/7
 (Spätarchaische Schicht)
 Typus: 13,1.B
 Dekorvariante: m/SiA I/II
 Dat.: ca. 650/40- etwa 600/590 v. Chr.

Tafel 65, 390; 147, 390

Varianten 13,2, südionisch

391. Rfrgte. K 90.662.22 +
K 91.129.2

Erh. H 13.65; B 18; Dm 32; WSt 0.6–0.85

Ton: 5 YR 7-6/8; fest; grob gemagert; grobe
Kalksteineinschlüsse; feiner Hellglimmer.

Überzug: 10 YR 8/2-3; enthält feinen und sehr
groben Hellglimmer.

Malfarbe: aussen: von rötlich über dunkelbraun bis
schwarz changierender, lackartiger Firnis;
innen: roter, lackartiger Firnis; enthält feinen
und sehr groben Hellglimmer.

Fundort: Milet, Kalabaktepe

Kontext: Q 90.15/ Phase 7A (Auffüllung für die
Wiederbesiedlung) (K 90.662)
Q 91.03/ Phase 7–8 (Schutt mit noch
gestörten Schichten unter oberstem
Abhub, darin Boden der Phase 5) (K
91.129)

Typus: 13,2.B

Dekorvariante: m/SiA I

Dat.: ca. 630/20- etwa 580/70 v. Chr.

Tafel 66, 391; 148, 391

392. Rfrgte. K 92.381.9

L 4.7; B 3.5; Dm ca. 40; WSt 0.75

Ton: 10 YR 6/4-6 (außen und innen), 10 YR 7/2
(im Bruch); hart; grob gemagert; grössere und
kleinere Kieseinschlüsse; viel feiner
Hellglimmer.

Malfarbe: schwarzer, matter und dichter Firnis;
ausen grösstenteils abgeplatzt.

Fundort: Milet, Kalabaktepe

Kontext: Q 91.04/ Phase 3B (Hofboden der Phase
3)

Typus: 13,2.B

Dekorvariante: k-m

Dat.: ca. 630/20- 620/10 v. Chr.

Tafel 66, 392

393. Rfrgte. K 89.406.1

L 3.1; B 7; Dm über 30; WSt 0.4–0.6

Ton: 5 YR 6/8; fest; kreidig; schwarze Partikel;
einige Poren; feine Kiesel-, Quarzeinschlüsse;
grössere Kalksteineinschlüsse; viel Hell- und
grober Dunkelglimmer.

Malfarbe: roter, lackartiger und grösstenteils
abgeplatzter Firnis.

Fundort: Milet, Kalabaktepe

Kontext: Q 89.12/ Phase 7 (Nacharchaische
Sandeinfüllung)

Typus: 13,2.B

Dekorvariante: 1-n

Dat.: ca. 630/20- etwa 580/70 v. Chr.

Tafel 66, 393

Varianten 13,3, südionisch

394. Rfrgt. K 91.418.15

L 3.65; B 6.1; Dm ca. 30; WSt 0.52–0.7

Ton: 5 YR 7/4-6; hart; fein gemagert; kaum Quarz-
und Kalksteineinschlüsse; viel Hell- und
Dunkelglimmer.

Oberfläche: stark geglättet.

Überzug: 2.5 Y 8/2.

Malfarbe: schwarzer, stumpfer und matter, aber
grösstenteils abgeplatzter Firnis.

Fundort: Milet, Kalabaktepe

Kontext: Q 91.09/ Phase 5/6A–7 (Schutt von
Phase 5)

Typus: 13,3.B

Dekorvariante: m/SiA I/II

Dat.: ca. 630/20- etwa 580/70 v. Chr.

Tafel 66, 394

395. Rfrgt. K 92.44.1

L 3.6; B 6.2; Dm mind. 30; WSt 0.55–0.65

Ton: 5 YR 7/4; fest; kleine Poren; schwarze
Partikel; Quarzeinschlüsse; mittelfeiner
Hellglimmer.

Überzug: 2.5 Y 8/2; enthält mittelfeinen
Hellglimmer.

Malfarbe: schwarzer, dichter und fester, matter
Firnis.

Fundort: Milet, Kalabaktepe

Kontext: Q 92.02/ Phase 7 (Hausmauer der
nacharchaischen Wiederbesiedlung)

Typus: 13,3.B

Dekorvariante: m/SiA II

Dat.: ca. 630/20- etwa 580/70 v. Chr.

Tafel 67, 395

Graue Ware

Verschiedene Typen und Varianten, milesisch

396. Rfrgt. K 92.465.2+3

L 5.0; B 6.8; Dm ca. 21; WSt 0.5 (K 92.465.2)

L 5.02; B 5.46; WSt 0.45–0.52 (K 92.465.3)

Ton: 10 YR 6/1 (außen), 2.5 YR 5-4/6 (innen);
hart; grob gemagert; teilweise sehr grobe
Quarzeinschlüsse; viel feiner und grober Hell-
und Dunkelglimmer.

Malfarbe: schwarzer Firnis.

Fundort: Milet, Kalabaktepe

Kontext: Q 91.03/ Streufund

Archäometrie: *Yalcin* Prob.Nr.: TR-3K/270
Milesisches Feld/Cluster 2,
Hauptgruppe A (Milet)
Mommsen Prob.Nr.: Mile 73
Gruppe A (Milet)
Kalabaktepe-Werkstätten

Typus: 11,3.B

Dekorvariante: k/m (?)

Dat.: ca. 600/590- etwa 580/70 v. Chr.

Tafel 67, 396; 148, 396

397. Rfrgt. K 92.871.3

L 10.4; B 13.0; Dm 23.0; WSt 0.35–0.65

Ton: 2.5 Y 5-4/2; hart; Kalkstein- und
Quarzeinschlüsse; sehr viel feiner bis
mittelfeiner und grober Hellglimmer; sehr
wenig Dunkelglimmer.

Oberfläche: geglättet.

Fundort: Milet, Kalabaktepe

Kontext: Q 91.03/ Phase 4A–B (Boden oder
Auffüllung für Phase 4)

Archäometrie: *Yalcin* Prob.Nr.: TR-3K/269
Milesisches Feld/Cluster 2,
Hauptgruppe A (Milet)
Mommsen Prob.Nr.: Mile 72
Gruppe D (Milet)

Typus: 11,4.B

Dat.: ca. 600/590- etwa 580/70 v. Chr.

Tafel 67, 397; 148, 397

398. Rfrgt. K 92.326.5

L 2.4; B 3.1; WSt 0.4

Ton: 2.5 Y 6-5/4-3; hart; mit kleinen
Kalksteineinschlüssen; viel feiner bis
mittelfeiner Hell- und Dunkelglimmer.

Oberfläche: geglättet.

Fundort: Milet, Kalabaktepe

Kontext: Q 91.03/ Phase 5 (Steinausraubung in
der Phase 5)

Typus: 11,4.B

Dat.: ca. 600/590- etwa 580/70 v. Chr.

Tafel 67, 398; 149, 398

399. Rfrgt. Z 94.192.10

L 3.63; B 4.1; Dm ca. 13; WSt 0.28

Ton: 2.5 Y 6/2; fest; sandig; Quarzeinschlüsse;
kleine weiße Kalkeinschlüsse; schwarze
Partikel; mittelfeiner Hellglimmer.

Malfarbe: schwarzer, dichter und fester,
„speckiger“ Firnis.

Fundort: Milet, Aphrodite-Heiligtum

Kontext: Q 94.12/ nacharchaisch (Oberster
Abhub)

Typus: 10,3.B

Dekorvariante: a

Dat.: ca. 600/590- etwa 580/70 v. Chr.

Tafel 67, 399; 149, 399

400. Rfrgt. Z 94.53.179

L 7.1; B 6.9; Dm ca. 15; WSt 0.37–0.46

Ton: 10 YR 5/2; fest; fein gemagert; sandig;
schwarze Partikel; Quarzeinschlüsse;
mittelfeiner Hellglimmer.

Malfarbe: schwarzer, dichter und fester,
„speckiger“ Firnis.

Fundort: Milet, Aphrodite-Heiligtum

Kontext: Q 94.05/ 6. Jh. v. Chr. (Abfallschicht
des 6. Jhs. v. Chr.; liegt z.T. über Z
94.75, daher jünger als diese Schicht)

Typus: 10,8-9.C

Dekorvariante: a

Dat.: ca. 600/590- etwa 580/70 v. Chr.

Tafel 68, 400; 149, 400

401. Rfrgt. K 92.430.12

L 6.8; B 5.8; Dm 20.0; WSt 0.4–0.65

Ton: 2.5 Y 6-5/2; hart; Kalksteineinschlüsse; sehr viel feiner und grober Hellglimmer.

Oberfläche: geglättet.

Fundort: Milet, Kalabaktepe

Kontext: Q 92.03/ Phase 7 (tiefe grubenförmige Störung aus der Zeit der Wiederbesiedlung)

Archäometrie: *Yalcin* Prob.Nr.: TR-3K/271
Milesisches Feld/Cluster 2,
Hauptgruppe A (Milet)

Typus: 12,2.B

Dat.: ca. 600/590- etwa 580/70 v. Chr.

Tafel 68, 401; 149, 401

402. Wfrgt. Z 94.99.37

L 5.1; B 5.15; WSt 0.5

Ton: 2.5 Y 5/2; fest; wenig Poren; sandig, mit Kiesel- und Quarzeinschlüssen; viel Hellglimmer.

Malfarbe: schwarzer, dichter und dicker, „speckiger“ Firnis.

Fundort: Milet, Aphrodite-Heiligtum

Kontext: Q 94.06/ 6. Jh. v. Chr. (Heiligtumsabfall mit Ascheflecken)

Typus: 9-10.C

Dekorvariante: a (?)

Dat.: ca. 600/590- etwa 580/70 v. Chr.

Tafel 68, 402

403. Wfrgt. Z 94.75.55

L 5.6; B 5.0; WSt 0.54

Ton: 7.5-5 YR 5/6; fest; Poren; fein gemagert; kleine Quarz- und Kieseleinschlüsse; mittelfeiner Hellglimmer.

Überzug: grauer Belag.

Malfarbe: schwarzer, dichter und dicker, „speckiger“ Firnis; aufgesetzte Farbe: Deckrot.

Fundort: Milet, Aphrodite-Heiligtum

Kontext: Q 94.05/ 6. Jh. v. Chr. (Abfallschicht des 6. Jhs. v. Chr.)

Archäometrie: *Yalcin* Prob.Nr.: TR-3K/280
Milesisches Feld/Cluster 6, Gruppe B1 (Milet/Milet?)

Typus: 9-10.C

Stilphase: SiA IIγ

Dat.: ca. 600/590- etwa 580/70 v. Chr.

Tafel 68, 403; 150, 403

Typus 1.A, südionisch*Stilstufe SiG/MileG spät***404.** Pro. K 1759

H 8.7; DmR 12.6; DmF 6.3; WSt 0.3–0.6

Ton: 5 YR 6/6; Kalkstein- und kleine Kieseleinschlüsse; viel feiner Hellglimmer.

Malfarbe: von dunkelbraun bis schwarz changierender Firnis; teils streifig, teils abgeblättert.

Fundort: Samos, Hera-Heiligtum

Aufbewahrungsort: Samos, Depot Deutsches Grabungshaus

Typus: 1,2.A

Stilphase: SiG III früh

Dat.: 750/40-730/20 v. Chr.

Tafel 69, 404; 150, 404

Publ.: Walter 1957, Beil. 53,1; Coldstream 1968, Taf. 64a.

Typus 2.A/B, südionisch*Stilstufe SiG/MileG spät***405.** Rfrgt. K 2397

L: 4.75; B 10.7; DmR 14.6; WSt 0.45

Ton: 5 YR 6/4-6; hart, sehr fest; unterschiedlich große Einschlüsse, auch Kalksplitter; viel feiner und mittelfeiner Hellglimmer.

Malfarbe: dunkel, bräunlich.

Fundort: Samos, Hera-Heiligtum

Aufbewahrungsort: Samos, Museum Vathy

Typus: 2,1.B

Stilphase: SiG III

Dat.: 750-680/70 v. Chr.

Tafel 69, 405; 150, 405

Publ.: Samos 5, 103 Kat.-Nr. 210 Taf. 38, 210.

406. Rfrgte. Z 94.2.4 +
Z 94.233.45
L 4.65; B 4.05; Dm ca. 15.0; WSt 0.32–0.58
(Z 94.2.4)
L 4.27; B 4.2; Dm ca. 15.0; WSt 0.35–0.57
(Z 94.233.45)
Ton: 7.5 YR 6/6; hart, leicht schiefrig; Kiesel- und
Quarzeinschlüsse; viel mittelfeiner
Hellglimmer.
Oberfläche: sandig, aber nicht rauh; geglättet.
Überzug: „wash“.
Malfarbe: außen: bräunlichschwarzer, dünner und
matter Firnis; innen: streifiger, matter und
schwarzer Firnis.
Fundort: Milet, Aphrodite-Heiligtum
Kontext: Rasterb. 2/ keine Informationen (Z 94.2)
Q 94.12/ 2. H. 7. Jh. v. Chr.
(Heiligtumsabfall der 2. H.7. Jh.) (Z
94.233)
Archäometrie: *Yalcin* Prob.Nr.: TR-3K/287
Milesisches Feld/Cluster 6, Gruppe
B1 (Milet/Milet?)

Typus: 2,2.B
Stilphase: SiA I/orientalisierend
Dat.: 680/70-640/30 v. Chr.
Tafel 69, 406; 150, 406

407. Pro. K 2011
H 7.1; DmR 9.4; DmF ca. 4.6; WSt 0.3–0.35
Ton: kaum grosse Kiesel- oder
Kalksteineinschlüsse; feiner Hellglimmer.
Oberfläche: geglättet (Schwamm); glatte Schicht
teilweise abgeplatzt.
Malfarbe: dunkel; streifig; teils abgeblättert, teils
verwaschen.
Fundort: Samos, Hera-Heiligtum
Aufbewahrungsort: Samos, Depot Deutsches
Grabungshaus
Typus: 2,3.A
Stilphase: SiG III
Dat.: 750-690/80 v. Chr.
Publ.: Walter 1957, Beil. 53, 2; Coldstream 1968,
Taf. 64b.
Tafel 69, 407; 150, 407

408. Pro. K 91.516.6
H 4.5; Dm 10.0; WSt 0.25–0.5
Ton: 5 YR 7-6/6; hart; leicht sandig; fein gemagert;
viel feiner bis mittelfeiner Hellglimmer;
mittelfeiner Dunkelglimmer.
Oberfläche: geglättet und poliert.
Überzug: 10 YR 8/3 (hellbeige).
Malfarbe: außen: bräunlichrötlich, teils dünn, teils
dicht; innen: rotbraun, dicht und deckend.
Fundort: Milet, Kalabaktepe
Kontext: Q 91.08 oder Q 91.03/ Phase 1/2 oder
gestört
Archäometrie: *Yalcin* Prob.Nr.: TR-3K/242
Milesisches Feld/Cluster 2,
Hauptgruppe A (Milet)
Mommsen Prob.Nr.: Mile 47
Gruppe D (Milet)
Typus: 2,4.B
Stilphase: SiG III
Dat.: 750-680/70 v. Chr.
Tafel 69, 408; 151, 408

Typus 3.B, südionisch

Stilphase SiA Ia – Subgeometrische Strömung

409. R- + Wfrgt. K 2733
L: 7.45; B 11.5; DmR ca. 17.0; WSt 0.4–0.5
Ton: 5 YR 6/6; fest; Kalksteineinschlüsse; sehr
viele, feiner Hellglimmer.
Überzug: 2.5 Y 8/3
Malfarbe: innen: streifiger, dunkler Firnis.
Fundort: Samos, Hera-Heiligtum
Aufbewahrungsort: Samos, Museum Vathy
Typus: 3,1/5,2.B
Stilphase: SiA Ia/ subgeometrisch
Dat.: 680/70-660/50 v. Chr.
Publ.: Kopcke 1968, Beil. 99, 2; Samos 5, 124 Kat.-
Nr. 572 Taf. 111, 572.
Tafel 70, 408; 151, 409

410. Wfrgt. Z 94.234.5
L 2.5; B 2.85; Dm ca. 15-16; WSt 0.14–0.2
Ton: hart; fein gemagert; sandig; keine größeren
Zuschläge; viel feiner Hellglimmer.
Oberfläche: gut geglättet und poliert.

Überzug: „wash“.
 Malfarbe: bräunlich, wässriger und streifiger,
 teilweise dichter und metallisch schwarzer
 Firnis.

Fundort: Milet, Aphrodite-Heiligtum

Kontext: Q 94.10/ 6. Jh. v. Chr. (Archaische
 Schuttschicht am Hang)

Typus: 3,2.B

Stilphase: SiA Ia/subgeometrisch

Dat.: 680/70-650/40 v. Chr.

Tafel 70, 410; 151, 410

411. Rfrgt. AT 57.O.152.14

L 2.5; B 4.90; Dm 13; WSt 0.28–0.32

Keine weiteren Angaben, da nicht aufzufinden.

Fundort: Milet, Athena-Heiligtum

Kontext: Ostfundament IV = HJ XII/ archaische
 Schicht; etwa Niveau des archaischen
 Brunnenrandes; zwischen Westmauer
 und Tonrohrleitung; unter und zwischen
 Steinschüttung; die Steine gleich südl.
 der Zungenmauer reichen im Norden
 des geometrischen Hauses bis unter UK
 des geometrischen Hauses (ca. 80 cm
 unter OK der Zungenmauern) Das
 gleiche Bild auch in der Zungenmauer
 und östlich bis zum Kanal.

Typus: 3,2.B

Stilphase: SiA Ia/subgeometrisch

Dat.: 680/70-650/40 v. Chr.

Tafel 70, 411

412. Rfrgt. K 92.126.5

L 3.5; B 2.6; WSt 0.25–0.35

Ton: 10 YR 7/4 (aussen), 5 YR 7/8 (im Bruch);
 hart; sandig gemagert; viel mittelfeiner Hell-
 und Dunkelglimmer.

Oberfläche: rauh.

Überzug: 2.5 Y 8/2.

Malfarbe: schwarzer Firnis.

Fundort: Milet, Kalabaktepe

Kontext: Q 91.08/ Phase 1–2A (Schutt von
 Phase 1)

Archäometrie: *Yalcın* Prob.Nr.: TR-3K/273
 Milesisches Feld/Cluster 6, Gruppe
 B1 (Milet/Milet?)

Typus: 3,2.B

Stilphase: SiA Ia/ subgeometrisch

Dat.: 680/70-650/40 v. Chr.

Tafel 70, 412; 151, 412

Stilphase SiA Ia

413. Rfrgt. AT 57.N.20.4

L 3.5; B 4; Dm 19; WSt 0.25–0.4

Keine weiteren Angaben, da nicht mehr
 aufzufinden.

Fundort: Milet, Athena-Heiligtum

Kontext: 7. Jh. v. Chr.

Typus: 3,3.B

Stilphase: SiA Ia

Dat.: 680/70-650/40 v. Chr.

Tafel 70, 413; 152, 413

Typus 4.B, südionisch

Stilphase SiA/MileA Ia

414. Wfrgt. WD.2

L 3.9; B 5.4; WSt 0.4–0.42

Ton: 5 YR 7-6/6; sehr hart; sandig gemagert;
 schwarze Partikel; Kalksteineinschlüsse; viel
 feiner Hell- und Dunkelglimmer.

Oberfläche: gut geglättet.

Überzug: 5 Y 8/2; dicht und fest.

Malfarbe: aussen: von dunkelbraun bis schwarz
 changierender, matt glänzender Firnis; innen:
 grauschwarzer, matter und stumpfer Firnis.

Fundort: Milet, Wiegand-Depot

Kontext: unbekannt

Typus: 4,3.B

Stilphase: SiA/MileA Ia

Dat.: 680/70-660/50 v. Chr.

Tafel 70, 414; 152, 414

Typus 5.B, südionisch

*Stilphase SiA/MileA Ia – Subgeometrische
 Strömung*

415. Rfrgt. 3095

H 5.2; B 4.7; Dm ca. 15.0; WSt 0.4–0.5
 Ton: 2.5 YR 6/6 (innen); 5 YR 6-5/1 (außen); hart;
 feiner Sand; wenig feiner Hellglimmer.
 Überzug: 2.5 YR 8/2.
 Malfarbe: außen: dichter, schwarzer bis rötlich-
 brauner Firnis; innen: fester, dichter, matt
 metallisch glänzender Firnis.
 Fundort: Samos, Hera-Heiligtum
 Aufbewahrungsort: Samos, Depot Deutsches
 Grabungshaus
 Typus: 5,1.B
 Stilphase: SiA/MileA Ia/subgeometrisch
 Dat.: 690-670 v. Chr.
 Tafel 70, 415; 152, 415

Stilphase SiA/MileA Ia

416. Wfrgt. K 91.84.7
 L 3.6; B 3.2; WSt 0.3
 Ton: 2.5 YR 5/4; hart; wenig feiner und
 mittelfeiner Hellglimmer, auch
 Dunkelglimmer.
 Überzug: 2.5 Y 8/2-3.
 Malfarbe: schwarzer, matter und dichter Firnis;
 dicht und pastös aufgetragen; außen: teilweise
 rotbraun.
 Fundort: Milet, Kalabaktepe
 Kontext: Q 91.02/ Phase 6B (Bodenbelag der
 Phase 6?)
 Typus: 5,1.B
 Stilphase: SiA/MileA Ia
 Dat.: 670/60-650/40 v. Chr.
 Tafel 70, 416; 152, 416

Typus 6.B, südionisch

Stilphase SiA/MileA Ia

417. Rfrgt. Z 94.53.102 +
 Z 94.127.120
 L 2.35; B 5.35; Dm ca. 10–11; WSt 0.25–0.32
 Ton: 5 YR 6/6; hart und dicht; schwarze Partikel;
 grobe Quarzeinschlüsse; feiner Hell- und
 gröberer Dunkelglimmer.
 Überzug: 7.5 Y 7/6; „wash“.
 Malfarbe: rötlichbrauner, dichter und fester Firnis.

Fundort: Milet, Aphrodite-Heiligtum
 Kontext: Q 94.05/ 6. Jh. v. Chr. (Abfallschicht
 des 6. Jhs. v. Chr.) (Z 94.53)
 Q 94.04/ 6. Jh. v. Chr. (Heiligtumsabfall
 des 6. Jhs. v. Chr.) (Z 94.127)
 Archäometrie: *Yalcın* Prob.Nr.: TR-3K/284
 Milesisches Feld/Cluster 6, Gruppe
 B1 (Milet/Milet?)
 Typus: 6,2.B (Sonderform)
 Stilphase: SiA/MileA Ia
 Dat.: 670/60-650 v. Chr.
 Tafel 71, 417; 152, 417

Typus 8.B, südionisch

*Stilphase SiA/MileA Ia – Subgeometrische
 Strömung*

418. Rfrgt. K 90.487.3
 L 3; B 3.3; Dm 14.4; WSt 0.25
 Ton: 7.5 YR 7/6-4; fest; fein gemagert; kleine
 Kieseleinschlüsse; feiner Hellglimmer.
 Oberfläche: geglättet.
 Überzug: 2.5 Y 8/2; elfenbeinfarben.
 Malfarbe: schwarzer und glänzender Firnis; aussen:
 grösstenteils abgeplatzt; Bemalung nur noch im
 »Negativ«.
 Fundort: Milet, Kalabaktepe
 Kontext: Q 90.07/ Phase 5A (Auffüllung für
 Phase 5)
 Typus: 8,2.B
 Stilphase: SiA/MileA Ia/subgeometrisch
 Dat.: 660/50 v. Chr.
 Tafel 71, 418; 153, 418

Stilphase SiA/MileA Ia

419. Rfrgt. K 89.261.3
 L 2.1; B 2.8; WSt 0.3
 Ton: 10 YR 8/5; fest, „seifig“; fein gemagert; viel
 äusserst feiner Hell- und Dunkelglimmer.
 Überzug: 2.5 Y 8/3, cremig gelblich-weiß
 Malfarbe: schwarzer, matt glänzender Firnis; teils
 dünn, dann bräunlich; außen abgeplatzt.
 Fundort: Milet, Kalabaktepe

Kontext: Q 89.07/ Phase 2A–B (Fußboden Phase 2 und Auffüllung für Phase 2)

Typus: 8,2.B

Stilphase: SiA/MileA Ia

Dat.: ca. 650/40 v. Chr.

Tafel 71, 419; 153, 419

420. Rfrgt. K 5110

L 2.25; B 3.1; Dm 14; WSt 0.15–0.25

Ton: 5 YR 6/6; fest; fein gemagert.

Überzug: 2.5 Y 8/3.

Malfarbe: schwarzer, dichter und matt glänzender Firnis.

Fundort: Samos, Hera-Heiligtum

Aufbewahrungsort: Samos, Depot Deutsches Grabungshaus

Typus: 8,2.B

Stilphase: SiA/MileA Ia

Dat.: 650–30 v. Chr.

Tafel 71, 420; 153, 420

Stilphase SiA/MileA Ic

421. Rfrgt. 3186

H 2.5; B 4.2; Dm 14; WSt 0.22–0.25

Ton: 5 YR 7/6; hart; fein gemagert; viel feiner und mittelfeiner Hell- und Dunkelglimmer.

Überzug: 7.5 YR 8/2; „wash“; dünn und milchig.

Malfarbe: schwarzer, dichter, fester und matt metallisch glänzender und deckender Firnis; aufgesetzte Farbe: Deckrot und -weiss.

Fundort: Samos, Hera-Heiligtum

Aufbewahrungsort: Samos, Depot Deutsches Grabungshaus

Typus: 8,1.B

Stilphase: SiA/MileA Ic

Dat.: 630–620/10 v. Chr.

Tafel 71, 421; 153, 421

Stilphase SiA/MileA Id/IIa

422. Rfrgte. Z 91.86.38

L 2.0; B 4.2; Dm ca 13.0; WSt 0.25–0.3

Ton: 7.5 YR 6/6; fest bis hart; fein gemagert; wenig feine schwarze Partikel und kleine Poren; feiner Hellglimmer.

Oberfläche: fein geglättet.

Überzug: beige, dünn.

Malfarbe: schwarzer, mattglänzender Firnis.

Fundort: Milet, Aphrodite-Heiligtum

Kontext: Q 91.32/ 1. H.? 6. Jh. v. Chr. (Spätarchaischer Heiligtumsschutt; außerhalb des Bothros deponiert; Beginn der Terrassierungsaufschüttung)

Typus: 8,2.B

Stilphase: SiA/MileA Id/IIa

Dat.: 610/00 v. Chr.

Tafel 71, 422

Typus 9.C, milesisch

Stilphase MileA IIa

423. Wfrgte. Z 94.7.186 + Z 94.14.85 + Z 94.136.8 + Z 94.145.68 + Z 94.163.15+19 + Z 94.170.33 + Z 94.178.22+48+ Z 94.228.41 + Z 94.248.9

Erh H 7.2; DmR ca. 24.0; WSt 0.35–0.45

Ton: 7.5 YR 7/6; fest bis hart; fein gemagert; dicht gepackt; kleine schwarze Partikel und Poren; wenig sehr kleine Kalksteineinschlüsse; viel feiner Hellglimmer.

Überzug: 2.5 Y 8/2; enthält Dunkelglimmer.

Malfarbe: schwarzer, stumpfer und fester, matt glänzender Firnis; aufgesetzte Farbe: Deckrot, enthält Dunkelglimmer.

Fundort: Milet, Aphrodite-Heiligtum

Kontext: Rasterb. 7/ Streufund (Z 94.7)
 Rasterb. 14/ Streufund (Z 94.14)
 Q 94.06/ 6. Jh. v. Chr. (Heiligtumsabfall, auf dem Tuff) (Z 94.136)
 Q 94.10/ frühes 6. Jh. v. Chr. (Schutt des 6. Jhs. v. Chr.) (Z 94.145)
 Q 94.10/ Anfang 6. Jh. v. Chr. (Gruben-/Bothrosfüllung des 7. bis frühen 6. Jhs. v. Chr.) (Z 94.163)
 Q 94.10/ Anfang 6. Jh. v. Chr. (Gruben-/Bothrosfüllung) (94.170)
 Q 94.10/ Anfang 6. Jh. v. Chr. (Gruben-/Bothrosfüllung) (94.178)
 Q 94.14/ Oberster Abhub (Z 94.228)
 Q 94.10/ 6. Jh. v. Chr. (Schicht des 7. oder 6. Jhs. v. Chr.) (Z 94.248)

Archäometrie: *Yalcin* Prob.Nr.: TR-3K/283
Milesisches Feld/Cluster 6, Gruppe
B1 (Milet/Milet?)
Mommsen Prob.Nr.: Mile 77
Gruppe **DD-2**
(unlokalisiert, vermutlich Milet)

Typus: 9,1.C

Stilphase: MileA IIa, Bilingue

Dat.: um 590 v. Chr.

Publ.: Schlotzhauer 2007, 271-273 Abb. 2 Taf. 37,
2-3; Kerschner – Schlotzhauer 2005, 49
Abb. 48; Schlotzhauer 2001, 120-122
Taf. 16, 1-3.

Tafel 71, 423; 154, 423

Stilphase MileA IIa/b

424. Rfrgt. Z 94.64.26

L 1.5; B 1.55; Dm ca. 20.0; WSt 0.2–0.29

Ton: 7.5 YR 7-6/6; weich bis fest; fein gemagert;
schwarze Partikel; feine Quarzeinschlüsse;
Hellglimmer.

Überzug: 10 YR 8/2; enthält Dunkelglimmer.

Malfarbe: schwarzer, fester, stumpf glänzender
Firmis; wenn dünn aufgetragen, dann matt
braun;
aufgesetzte Farbe: Deckrot; enthält
Dunkelglimmer.

Fundort: Milet, Aphrodite-Heiligtum

Kontext: Q 94.06/ 6. Jh. v. Chr. (Heiligtumsabfall
des 6. Jh. v. Chr. – weiße
Marmorsplitter)

Typus: 9,1.C

Stilphase: MileA IIa/b

Dat.: 590-50 v. Chr.

Tafel 72, 424; 154, 424

425. Rfrgte. K 91.528.14

L 3.1; B 5.8; Dm 24; WSt 0.29–0.33

Ton: 7.5 YR 7-6/6; hart; fein gemagert; in
Schichten; gröbere Einschlüsse teilweise
herausgebrochen; mittelfeiner Hell- und
Dunkelglimmer.

Oberfläche: stark geglättet.

Überzug: 10 YR 8/3.

Malfarbe: rötlichbrauner, streifiger, dichter, aber
nicht sehr fester Firmis; fast vollständig
abgeplatzt.

Fundort: Milet, Kalabaktepe

Kontext: Q 91.11/ Phase 7–8 (Oberster Abhuh
mit Schutt der letzten Bauphase)

Typus: 9,1.C

Stilphase: MileA IIa/b (Umfeld des Altenburg-
Malers)

Dat.: ca. 590-70 v. Chr.

Tafel 72, 425; 154, 425

Stilphase MileA IIb

426. Rfrgt. Z 05.143.13

L 4.34; B 6.21; Dm 22; WSt 0.43-0.47

Ton: 7.5 YR 8-7/4; hart; ausgeschlämmt; viele feine
dunkle Partikel, wenige kleine
Kalkeinschlüsse; verdichtet, aber mit
Luftporen, leicht geschichtet; einiger feiner
Dunkelglimmer.

Oberfläche: extrem gut geglättet.

Überzug: 5 Y 8/3; hell beige.

Malfarbe: teils fester, aber größtenteils abgeplatzt,
deckender, schwarzer, glänzender Firmis, teils
streifiger, dünner dunkel- hellbraun
changierender mattglänzender Firmis.

Graffito: Ein Buchstabe schient sich auf der
Schulter außen erhalten zu haben, vielleicht ein
Δ oder P.

Fundort: Milet, Zeytintepe

Kontext: Q 05.07/ keine Dat. (Schicht
Fortsetzung von Bef. XXX.
Herausnahme der eingefüllten Erde in
dem Spalt über dem gewachsenen Fels,
Richtung S-Profil.)

Typus: 9,2.C

Stilphase: MileA IIb

Dat.: 580/70-550 v. Chr.

Tafel 72, 426; 154, 426

427. Rfrgt. Z 05.1.30

L 2.48; B 3.42; Dm ; WSt 0.26-0.28

Ton: 5 YR 7/6-8; fest; fein ausgeschlämmt; feine
schwarze Kiesel, weißlicher Kalksplitt; stark
verdichtet, dennoch kleine Lufteinschlüsse;
einiger feiner Dunkelglimmer.

Oberfläche: gut geglättet.

Überzug: 10 YR 8/3; dicht, weich.

Malfarbe: fester, dichter, teils abgeplatzter, matter dunkelbrauner bis braunschwarzer Malschlicker.

aufg. Farbe: Deckrot und –weiß.

Fundort: Milet, Aphrodite-Heiligtum

Kontext: Q 05.02 und Q 05.04/ (Abraum von Raubgrabungen)

Typus: 9,3.C

Stilphase: MileA IIb

Dat.: 570-550 v. Chr.

Taf. 72, 427

Typus 10.B, südionisch/milesisch

Stilphase SiA/MileA I/II

428. Rfrgt. K 91.137.16

L 5.0; B 8.2; Dm 18.0; WSt 0.35–0.5

Ton: 7.5 YR 7-6/6 (außen), 2.5 YR ca. 6/7 (innen); hart; grob gemagert; mit grossen und kleinen Kalkstein- und Kieseleschlüssen; viel feiner und mittelfeiner Hellglimmer, auch Dunkelglimmer.

Oberfläche: sandig; trotz Glättung leicht rauh.

Überzug: 10 YR 8/3 (gelblich-milchig).

Malfarbe: außen: schwarz, teils deckend, teils dünn; innen: dunkelviolettrot, streifig.

Fundort: Milet, Kalabaktepe

Kontext: Q 91.05/ Phase 7-8 (Schutt der Wiederbesiedlung, noch später durchsucht)

Archäometrie: *Yalcın* Prob.Nr.: TR-3K/237
Milesisches Feld/Cluster 2,
Hauptgruppe A (Milet)
Mommsen Prob.Nr.: Mile 51
Gruppe **D** (Milet)

Typus: 10,2.B

Stilphase: MileA I/II

Dat.: 620/10-590/80 v. Chr.

Tafel 72, 428; 155, 428

429. Rfrgt. K 91.102.19

L 3.7; B 5.9; Dm 14.0; WSt 0.35

Ton: 5 YR 6/6; fest; fein gemagert; einige mittelgrosse Kalksteineinschlüsse; sehr viel feiner Hell- und Dunkelglimmer.

Malfarbe: roter, dichter und fester, lackartiger Firmis.

Fundort: Milet, Kalabaktepe

Kontext: Q 90.15/ Phase 6 (Grube mit Schutt der Phasen 2-6)

Typus: 10,13.C

Stilphase: MileA I(?)II

Dat.: 570/60-550/40 v. Chr.

Tafel 72, 429; 155, 429

Stilphase SiA/MileA Ic-d

430. Pro. K 90.110.1 + K 91.49.9
+ K 91.283.5

L 3.1; B 6.0; DmR 17.0; WSt 0.4–0.5 (K 90.110.1; Rfrgt.)

L 5.1; B 8.9; WSt 0.35–0.45 (K 91.49.9; Wfrgt.)

H 1.9; L 6.1; B 3.9; DmF 7.4; WSt 0.5 (K 91.283.5; Ffrgt.)

Ton: 7.5 YR 7-6/4; hart; kleine Quarz- und Kieseleschlüsse; viel mittelfeiner Hellglimmer, auch Dunkelglimmer.

Überzug: ca. 10 YR 8/3; dicht.

Malfarbe: roter, dichter und deckender Firmis; aufgesetzte Farbe: Deckweiß.

Fundort: Milet, Kalabaktepe

Kontext: Q 90.03/ Phase 6–7 (Steinausraubung, Auffüllung für die Wiederbesiedlung) (K 90.110.1; Rfrgt.)
U 90.02; R 90.06/ Phase 7–8 (Schutt der Steinausraubung) (K 91.49.9; Wfrgt.)
Q 91.05/ Phase 8 (Schutt der Wiederbesiedlung, später durchsucht) (K 91.283.5; Ffrgt.)

Typus: 10,4.B/11,3.B

Stilphase: SiA/MileA Ic-d

Dat.: 620/10-600/590 v. Chr.

Tafel 73, 430; 155, 430

431. Rfrgt. K 91.54.14

L 2.8; B 4.2, WSt 0.3

Ton: 5 YR 7/8; weich; viel feine Kieseleschlüsse; viel feiner und mittelfeiner Hell- und Dunkelglimmer.

Überzug: 2.5 Y 8/3.

Malfarbe: roter und deckender, lackartiger, weicher Firmis; teilweise abgeplatzt.

Fundort: Milet, Kalabaktepe

Kontext: Q 91.02/ Phase 7–8 (Oberster Abhub)
 Typus: 10,3.B
 Stilphase: SiA/MileA Ic-d
 Dat.: 620/10-600/590 v. Chr.
 Tafel 73, 431; 155, 431

432. Rfrgt. Z 94.150.13

L 2.25; B 3.3; Dm ca. 16; WSt 0.23–0.27
 Ton: 7.5 YR 7-6/6; hart und dicht; einige feine Poren; fein gemagert; feine, aber sehr wenige Quarz- und Kieseinschlüsse; viel feiner Hellglimmer.
 Überzug: 10 YR 8/3; enthält größeren Dunkelglimmer.
 Malfarbe: schwarzer, streifiger und matter Firnis; teils dicht und deckend, teils durchscheinend, dann bräunlich; enthält größeren Dunkelglimmer;
 aufgesetzte Farbe: Deckrot.

Fundort: Milet, Aphrodite-Heiligtum
 Kontext: Q 94.10/ 1. H. 6. Jh. v. Chr. (Schutt des 6. Jhs. v. Chr.)
 Typus: 10,4.B
 Stilphase: SiA/MileA Ic-d
 Dat.: 620/10-600/590 v. Chr.
 Tafel 73, 432; 156, 432

433. Rfrgt. Z 94.145.89

L 1.35; B 3; Dm ca. 16; WSt 0.28–0.3
 Ton: 7.5 YR 7/6; fest; fein, pulverig; mittelfeiner Dunkelglimmer.
 Überzug: leichter „wash“.
 Malfarbe: von rot bis rotbraun changierender, fester und lackartiger Firnis.

Fundort: Milet, Aphrodite-Heiligtum
 Kontext: Q 94.10/ frühes 6. Jh. v. Chr. (Schutt des 6. Jhs. v. Chr.)
 Typus: 10,3.B (Sonderform)
 Stilphase: SiA/MileA Ic-d
 Dat.: 620/10-600/590 v. Chr.
 Tafel 73, 433; 156, 433

434. Rfrgt. K 92.454.4

L 1.45; B 3; Dm ca. 14; WSt 0.3

Ton: fest bis hart; fein gemagert; keine größeren Einschlüsse; feiner Hellglimmer.
 Oberfläche: geglättet.
 Malfarbe: schwarzer, dichter und matter Firnis; aussen teilweise dünner aufgetragen, dann bräunlich;
 aufgesetzte Farbe: Deckrot.

Fundort: Milet, Kalabaktepe
 Kontext: Q 92.06/ Phase 8 (Oberster Abhub)

Typus: 10,3.B
 Stilphase: SiA/MileA Ic-d
 Dat.: 620/10-600/590 v. Chr.
 Tafel 73, 434; 156, 434

435. Rfrgt. K 91.280.16

L 3.5; B 4.5; Dm 14; WSt 0.35–0.5
 Ton: 7.5 YR 7/6; fest; mit kleinen Kalkstein- und Kieseinschlüssen; sehr viel feiner und auch mittelfeiner Hell- und Dunkelglimmer.
 Oberfläche: geglättet.
 Überzug: ca. 2.5 Y 8/3.
 Malfarbe: schwarzer, teilweise ins bräunliche changierender, matt glänzender, teils dichter, teils dünner Firnis;
 aufgesetzte Farbe: Deckrot und -weiß.

Fundort: Milet, Kalabaktepe
 Kontext: Q 90.15/ Phase 7 (Schuttschicht vom Ausraubungsschutt)

Archäometrie: *Mommsen* Prob.Nr.: Mile 75
 Gruppe **DK**
 (sehr wahrscheinlich Milet)

Typus: 10,4.B
 Stilphase: SiA/MileA Ic-d
 Dat.: 620/10-600/590 v. Chr.
 Publ.: Kerschner – Schlotzhauer 2005, 31 Abb. 27;
 Schlotzhauer 2000, 408, 412 Abb. 289
 Farbt. IV, 6.
 Tafel 73, 435; 156, 435

Stilphase SiA/MileA Id

436. Rfrgt. Z 94.246.13

L 2.75; B 3.25; Dm ca. 17; WSt 0.31–0.35
 Ton: 10 YR 7/4-7.5 YR 7/4; hart und dicht; feine Quarzeinschlüsse; kleinste schwarze Partikel;
 feiner bis mittelfeiner Hellglimmer.
 Überzug: 2.5 YR 8/2; enthält Hellglimmer.

Malfarbe: schwarzer, matt glänzender, dichter und deckender Firnis; teilweise dünn aufgetragen, dann bräunlich; enthält Hellglimmer.

Fundort: Milet, Aphrodite-Heiligtum

Kontext: Q 94.13/ 2. H. 6. Jh. v. Chr.
(Spätarchaische Schuttschicht)

Typus: 10,4.B

Stilphase: SiA/MileA Id

Dat.: 610-600/590 v. Chr.

Tafel 73, 436; 157, 436

437. Pro. K 89.506.23 +
K 89.510.19

L 1.85; B 2.5; DmR 17.4; WSt 0.25 (Rfrgt. K 89.506.23)

L 2.2; B 2.5, WSt 0.25 (Wfrgt. K 89.506.23)

L 1.9; B 2.7; WSt 0.3 (Wfrgt. K 89.510.19)

H 3.6; B 11.3; DmF 6.75; WSt 0.35–0.4 (Ffrgt. K 89.506.23)

Ton: 10 YR 8/5; fest; mittelfeine Quarzeinschlüsse; sehr wenig mittelfeiner Hell- und Dunkelglimmer.

Malfarbe: braunschwarzer Firnis; außen: matt metallisch glänzend; innen: dicht.

Fundort: Milet, Kalabaktepe

Kontext: Q 89.18/ Phase 4–6 (Boden und Auffüllung für Phase 6) (K 89.506)
Q 89.18/ Phase 4A–B (Auffüllung und Boden der Phase 4) (K 89.510)

Typus: 10,4.B

Stilphase: SiA/MileA Id

Dat.: 610-600/590 v. Chr.

Publ.: Schlotzhauer 2007, 285 Abb. 5 Taf. 39, 2.

Tafel 73, 437; 157, 437

Stilphase MileA IIA

438. Prof. Z 01.15.2 +
Z 01.60.2

H 6.1; DmR ca. 14; DmF 6,35; WSt 0.28–0.38

Ton: 10 YR 7/4; fest; fein gemagert; dicht gepackt; viel feiner Dunkelglimmer.

Oberfläche: sorgfältig geglättet.

Überzug: 2.5 Y 8/2-3; leicht »milchiger« wash.

Malfarbe: dunkelbraun-schwarzer, dichter und deckender, stumpfer Firnis;
aufgesetzte Farbe: Deckrot.

Fundort: Milet, Aphrodite-Heiligtum

Kontext: Q 01.10/ spätarchisch (Bauschutt und Heiligtumsschutt) (Z 01.15)
Q 01.13/ spätarchisch (Auffüllschicht zur Planierung der Westterrasse) (Z 01.60)

Typus: 10,1.B

Stilphase: MileA IIA, Bilingue

Dat.: 610/00-590 v. Chr.

Publ.: Schlotzhauer 2007, 271–274 Abb. 1 Taf. 37, 1.

Tafel 74, 438; 157, 438

439. Prof. Z 92.120.3 + Z 01.71.
32 + Z 01.74.40 + Z 01.
75.20 + Z 01.80.33

Rek. H 8.0; DmR 15.6; DmF 6.4; WSt 0.25–0.34

Ton: .5 YR 7/4-6; hart; grob gemagert; dicht gepackt; kleine schwarze Partikel; Sandquarz; viel Hell- und grober Dunkelglimmer.

Oberfläche: rau und sandig.

Überzug: 5 Y 8/2 hellbeiger „wash“ (dünn, leicht abreibend).

Malfarbe: stumpf, dunkelbraun bis schwarzer Firnis.

Fundort: Milet, Aphrodite-Heiligtum

Kontext: Q 92.24/ 6. Jh. v. Chr. (Archaischer Heiligtumsschutt) (Z 92.120)
Q 01.14/ spätarchisch (Heiligtumsabfall) (Z 01.71)
Q 01.14/ spätarchisch (Heiligtumsabfall) (Z 01.74)
Q 01.14/ spätarchisch (Heiligtumsabfall) (Z 01.75)
Q 01.14/ spätarchisch (Heiligtumsabfall) (Z 01.80)

Archäometrie: *Mommsen* Prob.Nr.: Mile 78
Gruppe **DK**
(sehr wahrscheinlich Milet)

Typus: 10,1.B

Stilphase: MileA IIA, Bilingue

Dat.: 610/00-590 v. Chr.

Publ.: Schlotzhauer 2007, 275–276 Abb. 3 Taf. 38, 1; Kerschner – Schlotzhauer 2005, 50 Abb. 49.

Tafel 74, 439; 158, 439

440. Wfrgt. Z 01.15.3 + Z 01.70.2 +
Z 02.20.3 + Z 02.56.1

Rek. H 8.8; DmR 18.8; DmF 6.6; WSt 0,26–0,34

Ton: 7.5 YR 7/4–6–2.5 Y 7-6/2; weicher Scherben;
sehr fein gemagert; dicht gepackt; feine
schwarze Partikel; viel feiner Dunkelglimmer.

Oberfläche: gut geglättet.

Überzug: 2.5 Y 8/1–5 Y 7/1.

Malfarbe: rötlich-schwarz changierend (außen),
teils rötlich »lackartig«, teils dunkel rot-
schwarz (innen);
aufgesetzte Farbe: Deckrot

Fundort: Milet, Aphrodite-Heiligtum

Kontext: Q 01.10/ spätarchisch (Bauschutt und
Heiligtumsschutt) (Z 01.15)
Q 01.14/ nacharchisch (Heiligtums- und
Zerstörungsschutt) (Z 01.70)
Q 01.14/ spätarchisch
(Heiligtumsabfall) (Z 02.20)
Q 01.14/ früharchaisch?
(Eingeschwemmte Erosion)
(Z 02.56)

Archäometrie: *Mommsen* Prob.Nr.: Mile 79
Gruppe **DK**
(sehr wahrscheinlich Milet)

Typus: 10,1.B (Sonderform)

Stilphase: MileA IIa, Bilingue, »Aphrodite-
Schale«

Dat.: 610/00-590 v. Chr.

Publ.: Kerschner – Schlotzhauer 2005, 50-51 Abb.
50-51; Schlotzhauer 2006, 136 Abb. 1;
Schlotzhauer 2007, 276-282; 287-289
Abb. 4 Taf. 38, 2; 39, 1; Oakley 2009,
609-610 Abb. 8; Anne Coulié, La
Céramique Grecque aux époques
géométrique et orientalisante (XIe-VIe
siècle av. J.-C.) (2013) 156 Abb. 142.

Tafel 74, 440; 158, 440

441. Rfrgt. Z 94.7.550 + Z 94.53.
420 + Z 94.75.158

L 1.59; B 2.73; Dm 14; WSt 0.35 (Z 94. 7.550)

L 2.91; B 4.19; WSt 0.26-0.29 (Z 94.53.420)

L 1.75; B 4.25; Dm 14; WSt 0.34 (Z 94. 75.158)

Ton: 7.5 YR /; hart; fein ausgeschlämmt; feine
schwarze, beige und helle quarzige Körner;
stark verdichtet, dennoch kleine
Luftinschlüsse; viel feiner und grober
Dunkelglimmer.

Oberfläche: gut geglättet.

Malfarbe: fester, streifiger, teils dichter, teils
durchscheinender, matter hellbraun bis
braunschwarz, teils schwarz changierender
Malschlicker.

aufg. Farbe: Deckweiß.

Fundort: Milet, Aphrodite-Heiligtum

Kontext: Rasterb. 7/ Streufund (Z 94.7)
Q 94.05/ 6. Jh. v. Chr. (Heiligtumsabfall
des 6. Jhs. v. Chr.; liegt z.T. über Z
94.75, daher jünger als diese Schicht) (Z
94.53)
Q 94.05/ 6. Jh. v. Chr. (Heiligtumsabfall
des 6. Jhs. v. Chr.; wie Z 94.53) (Z
94.75)

Typus: 10,4.B/11,3.B

Stilphase: MileA IIa

Dat.: 610/00-590/80 v. Chr.

Taf. 75, 441; 159, 441

442. Pro. K 90.224.10

H 6.7, DmR 15.5; DmF 6.65; WSt 0.3–0.4

Ton: 7.5 YR 8-7/6; hart; fein gemagert; viel feiner
bis mittelfeiner Hellglimmer, gleichviel
Dunkelglimmer.

Oberfläche: geglättet bzw. poliert.

Überzug: „wash“.

Malfarbe: schwarzer, dichter und fester, matt
metallisch glänzender Firnis; außen:
dunkelbraun, teils dünn, streifig;
aufgesetzte Farbe: Deckrot.

Fundort: Milet, Kalabaktepe

Kontext: Q 90.03/ Phase 7 (Wiederbesiedlung)

Typus: 10,4.B

Stilphase: MileA IIa

Dat.: 610/00-590/80 v. Chr.

Tafel 75, 442; 159, 442

443. Rfrgt. Z 94.281.101

L 2.0; B 2.56; DmR ca. 14; WSt 0.26–0.28

Ton: 7.5 YR 7/6; weich; sehr fein gemagert; viel
feiner Dunkelglimmer.

Oberfläche: stark geglättet.

Malfarbe: schwarzer, matter Firnis; grösstenteils
abgeplatzt.

Fundort: Milet, Aphrodite-Heiligtum

Kontext: Q 94.15/ 7. – frühes 6. Jh. v. Chr.
(Abfallschicht des 7. und frühen 6. Jhs.
v. Chr.)

Typus: 10,4.B

Stilphase: MileA IIa

Dat.: 610/00- 590/80 v. Chr.

Tafel 75, 443; 159, 443

444. Rfrgt. Z 05.24.28

L 1.63; B 2.66; Dm ca. 10; WSt 0.25

Ton: 10 YR 8/4; fest bis hart; fein ausgeschlämmt; stark verdichtet, dennoch kleine Lufteinschlüsse; einiger feiner Dunkelglimmer.

Oberfläche: gut geglättet.

Überzug: nicht in Munsell vorhanden 2.5 Y 8/3-4, aber heller und bräunlicher; fest, dicht.

Malfarbe: teils abgeriebener, dichter, dunkler rotbrauner matter Firnis.

Fundort: Milet, Aphrodite-Heiligtum

Kontext: Q 05.01/ Abraum von Schuttschichten des Vorjahres und Abraum der oberen Humusschicht. Graubraune Schutt-/Füllschicht zw. Felsformation (Bef. 38)

Typus: 10,11.C/D

Stilphase: MileA IIA?, derselbe Maler s. auch 445.-447.

Dat.: 580/70 v. Chr.

Tafel 75, 444; 160, 444

445. Wfrgte. Z 94.56.47

L 2.9; B 4.4; WSt 0.32

Ton: 5 YR 7/3-4; hart; wenig kleine Poren; fein gemagert; wenig Einschlüsse; größerer Dunkelglimmer.

Überzug: 2.5 Y 8/2.

Malfarbe: bräunlich-rötlicher, grösstenteils abgeplatzter Firnis.

Fundort: Milet, Aphrodite-Heiligtum

Kontext: Q 94.04/ 6. Jh. v. Chr. (Heiligtumsabfall des 6. Jhs. v. Chr.)

Typus: 10,11.C/D

Stilphase: MileA IIA?, derselbe Maler s. auch 444. + 446.-447.

Dat.: 580/70 v. Chr.

Tafel 75, 445; 160, 445

446. Rfrgt. Z 05.24.27

L 2.8; B 3.67; Dm ; WSt 0.2.2-2.3

Ton: 10 YR 8/4; fest bis hart; fein ausgeschlämmt; stark verdichtet, dennoch kleine Luftporen; viel feiner und einiger Dunkelglimmer (besonders im Überzug).

Oberfläche: extrem geglättet.

Überzug: nicht in Munsell vorhanden 2.5 Y 8/3-4, aber heller und bräunlicher; fest, dicht.

Malfarbe: fester, dichter, grösstenteils abgeplatzter, dunkel rotbrauner, matt glänzender Firnis.

Fundort: Milet, Aphrodite-Heiligtum

Kontext: Q 05.01/ Abraum von Schuttschichten des Vorjahres und Abraum der oberen Humusschicht. Graubraune Schutt-/Füllschicht zw. Felsformation (Bef. 38)

Typus: 10,11.C/D

Stilphase: MileA IIA?, derselbe Maler s. auch 444.-445. + 447.

Dat.: 580/70 v. Chr.

Tafel 75, 446; 160, 446

447. Wfrgt. Z 94.66.15

L 3.9; B 3.9; WSt 0.35-0.42

Ton: 10 YR 8/3; fest bis hart; feinst gemagert; kleinste Quarzeinschlüsse; viel feiner Hellglimmer.

Überzug: nicht in Munsell vorhanden 2.5 Y 8/2, aber heller und bräunlicher; enthält Dunkelglimmer.

Malfarbe: außen: nicht fester, dunkelbrauner Firnis; innen: rötlicher, lackartiger Firnis; enthält Dunkelglimmer.

Fundort: Milet, Aphrodite-Heiligtum

Kontext: Q 94.06/ 6. Jh. v. Chr. (natürliche Erosionsschicht 7./6. Jh. v. Chr.)

Stilphase: MileA IIA?, vermutlich derselbe Maler s. auch 444.-446., (Ganswürger-Maler?)

Dat.: 580/70 v. Chr.

Tafel 75, 447; 161, 447

*Stilphase MileA IIA-b***448.** Rfrgt. Z 94.186.3

L 2.9; B 3.3; Dm 15; WSt 0.25

Ton: 5 YR 7/6; fest; fein gemagert; wenig schwarze Partikel; Quarzeinschlüsse; mittelfeiner Dunkelglimmer.

Oberfläche: sehr stark geglättet (Schwamm).

Überzug: „wash“.

Malfarbe: dichter, deckender, lackartiger und speckiger Firnis; aufgesetzte Farbe: Deckrot.

Fundort: Milet, Aphrodite-Heiligtum

Kontext: Q 94.07/ 6. Jh. v. Chr. (Heiligtumsabfall auf gewachsenem Tuff)

Typus: 10,10.B

Stilphase: MileA IIA-b

Dat.: 580/70-560/50 v. Chr.

Tafel 75, 448; 161, 448

449. R- + Ffrgte. Z 94.7.92 + 203 + Z 94.56.32 + Z 94.69.37 + Z 94.261.16

L 2.07; B 3.62; DmR 15.0; WSt 0.3–0.32 (Rfrgt. Z 94.7.92)

L 1.93; B 3.35; DmR 15.0; WSt 0.3–0.32 (Rfrgt. Z 94.56.32)

Erh H 1.4; L 3.9; B 5.98; DmF 6.8; WSt 0.3–0.35 (Ffrgte. Z 94.69.37 + Z 94.261.16)

keine Angaben (Z 94.7.203)

Ton: 7.5 YR 7/6; fest; fein gemagert; kleine schwarze Partikel; mit Poren; mittelfeiner Dunkelglimmer.

Überzug: 10 YR 8/3.

Malfarbe: schwarzer, dichter, deckender und matter Firnis; teils dünn, dann bräunlich.

Fundort: Milet, Aphrodite-Heiligtum

Kontext: Rasterb. 7/ Streufund (Z 94.7)
Q 94.04/ 6. Jh. v. Chr. (Heiligtumsabfall des 6. Jhs. v. Chr.) (Z 94.56)
Q 94.06/ 1. H. 6. Jh. v. Chr. (Heiligtumsabfall oder Abfallgrube bis Mitte 6. Jh. v. Chr.) (Z 94.69)
Q 94.12/ archaisch (Heiligtumsabfall) (Z 94.261)

Typus: 10,3.B

Stilphase: MileA IIA-b

Dat.: 600/590-560/50 v. Chr.

Tafel 76, 449; 161, 449

Stilphase MileA IIB

450. R- + Wfrgt. Z 94.64.28 + Z 94.166.18

L 3.65; B 4.7; Dm ca. 13.0; WSt 0.42–0.46

Ton: 5 YR 7/6; fest bis kreidig; fein gemagert; kleine Poren; gröbere Einschlüsse sind zumeist herausgebrochen; mittelfeiner Dunkelglimmer.

Überzug: 2.5 Y 8/2-4.

Malfarbe: dunkelbrauner, fester und deckender Firnis.

Fundort: Milet, Aphrodite-Heiligtum

Kontext: Q 94.06/ 6. Jh. v. Chr. (Heiligtumsabfall des 6. Jh. v. Chr. - weiße Marmorsplitter) (Z 94.64)
Q 94.10/ 7. Jh. – Anfang 6. Jh. v. Chr. (Zentrum des Bothros) (Z 94.166)

Archäometrie: *Yalcın* Prob.Nr.: TR-3K/291
Milesisches Feld/Cluster 6, Gruppe B1 (Milet/Milet?)

Typus: 10,3.B

Stilphase: MileA IIB

Dat.: 590/80 v. Chr.

Tafel 76, 450; 161, 450

451. Rfrgt. Z 94.90.21

L 3.0; B 4.1; Dm 14; WSt 0.24–0.28

Ton: 7.5 YR 7/6; weich und kreidig; schwarze Partikel; wenig Schamott- und Quarzeinschlüsse.

Überzug: 2.5 Y 8/2; dicht, aber dünn.

Malfarbe: schwarzer und matter Firnis.

Fundort: Milet, Aphrodite-Heiligtum

Kontext: Q 94.06/ 6. Jh. v. Chr. (Abfallsschicht des 6. Jhs. v. Chr.)

Typus: 10,10.C

Stilphase: MileA IIB

Dat.: 570/60-550 v. Chr.

Tafel 76, 451; 162, 451

452. Rfrgt. Z 94.147.9

L 2.48; B 4.6; Dm ca. 12.0; WSt 0.31–0.36

Ton: 7.5 YR 7/6; fest bis weich; sehr fein gemagert; homogen und dicht; viel feiner Hell- und teilweise grober Dunkelglimmer.

Überzug: 2.5 Y 8/2; dünn, aber dicht.

Malfarbe: schwarzer, dichter und matter Firnis; teilweise abgeplatzt oder dünn aufgetragen, dann braun bis hellbraun.

Fundort: Milet, Aphrodite-Heiligtum

Kontext: Q 94.06/ 7. Jh. – 1. V. 6. Jh. v. Chr. (Schuttschicht, durch Ölbaum gestört?)

Typus: 10,10.C

Stilphase: MileA IIB

Dat.: um 580/70 v. Chr.

Tafel 76, 452; 162, 452

453. Pro. Z 91.30.4+9

H 4.8; DmR 13.8; DmF 6.0; WSt 0.15–0.25

Ton: 7.5 YR 7/4-6; fest; feinst gemagert; feiner Hellglimmer.

Überzug: 2.5 Y 8/3; dicht; enthält feinen bis mittelfeinen Hell- und Dunkelglimmer.

Malfarbe: schwarzer Firnis;
aufgesetzte Farbe: Deckrot.

Fundort: Milet, Aphrodite-Heiligtum

Kontext: Q 91.30/ 1. H. 6. Jh. v. Chr.
(Anscheinend späterer Füllschutt *in situ*,
nicht gewachsene Opferschuttschicht)

Typus: 10,11.C

Stilphase: MileA IIB

Dat.: 580/70- 550 v. Chr.

Tafel 76, 453; 162, 453

454. Wfrgt. K 89.506.22

L 2.8; B 2.6; WSt 0.35

Ton: 10 YR 7-6/4 (sekundär verbrannt); fein gemagert; viel feiner und teilweise mittelfeiner Hellglimmer, etwas Dunkelglimmer.

Überzug: verbrannt.

Malfarbe: dunkel, verbrannt;
aufgesetzte Farbe: Deckrot.

Fundort: Milet, Kalabaktepe

Kontext: Q 89.18/ Phase 4–6A (Boden und
Auffüllung für Phase 6)

Typus: 10,13.C

Stilphase: MileA IIB

Dat.: 570/60-550 v. Chr.

Tafel 76, 454; 162, 454

455. Rfrgt. K 90.39.14

L 2.35; B 2.6; Dm 11.4; WSt 0.2–0.25

Ton: 5 YR 7/6-4; weich – fest; fein gemagert; feien schwarze Partikel, wenig feiner Hellglimmer.

Oberfläche: gegelätet.

Überzug: 2.5 Y 8/1; weißlich, hell beige; weich.

Malfarbe: braunrot, dicht; mit Hellglimmer;
aufgesetzte Farbe: Deckrot.

Fundort: Milet, Kalabaktepe

Kontext: Q 90.03/ Phase 6–7A (Auffüllung für
die Wiederbesiedlung)

Typus: 10,13.C

Stilphase: MileA IIB

Dat.: 570/60-550 v. Chr.

Tafel 76, 455; 163, 455

456. Pro. K 92.377.1

H 4.3; DmR 12.4; DmF 4.8; WSt 0.2–0.3

Ton: 10 YR 6/4; fest; fein gemagert; sehr wenig und sehr feine Quarz- und Kieseinschlüsse;
feiner und mittelfeiner Dunkelglimmer.

Überzug: 2.5 YR 8/3; enthält mittelfeinen
Hellglimmer.

Malfarbe: schwarzer, dichter und matter Firnis;
wenn dünn, dann braun;
aufgesetzte Farbe: Deckrot.

Fundort: Milet, Kalabaktepe

Kontext: Q 92.01/ Phase 6B (Boden der Phase 6)

Typus: 10,13.C

Stilphase: MileA IIB, Nordtor-Maler

Dat.: 570/60-550 v. Chr.

Tafel 76, 456; 163, 456

457. Pro. Z 04.14.64 +
Z 04.21.19

H 3.3; DmR ca.12.8; DmF ca. 6.2; WSt 0.29–0.35

Ton: 7.5 YR 7/6; fest; fein geschlemmt; feiner
Dunkelglimmer.

Überzug: 5-2.5 Y 8/2; dicht; fest.

Malfarbe: dichter, deckender, matt glänzender
schwarzer bis ins rötlich-braun changierender
Firnis;
aufgesetzte Farbe: Deckrot.

Fundort: Milet, Aphrodite-Heiligtum

Kontext: Q 04.03/ Spätarchaisch, Ende 6. Jh. v.
Chr. (Bauschutt und Heiligtumsabfall)
(Z 04.14)

Q 04.03/ Spätarchaisch, Ende 6. Jh. v.
Chr. (Bauschutt, Gebäudeschutt und
Heiligtumsabfall) (Z 04.21)

Typus: 10,11.D

Stilphase: MileA IIB

Dat.: 560/550 v. Chr.

Tafel 77, 457; 163, 457

Stilstufe MileA II

458. Rfrgt. K 91.438.13 +
K 91.440.16

L 2.7; B 3.6; WSt 0.3

Ton: 7.5 YR 7/4; fest; fein gemagert; mittelgrosse Quarzeinschlüsse; feiner und mittelfeiner Hellglimmer.

Überzug: ca. 2.5 YR 8/3; gelblichbeige; enthält mittelfeinen Hellglimmer.

Malfarbe: grauschwarzer, dichter, dumpfer und wässriger Firnis; teilweise abgeplatzt; enthält mittelfeinen Hellglimmer.

Fundort: Milet, Kalabaktepe

Kontext: Q 91.10/ Phase 8 (Schutt der nacharchaischen Steinausraubung) (K 91.438)
Q 91.07/ Phase 4/5A (Einfüllung hinter der Stadtmauer [neben der späteren Störung der Steinausraubung] Auffüllung für die Phase 5?) (K 91.440)

Typus: 10,11.C

Stilstufe: MileA II

Dat.: 580/70- mindestens 530/20 v. Chr.

Tafel 77, 458; 164, 458

459. Rfrgt. Z 94.95.170

L 1.95; B 4.43; Dm ca. 12.0; WSt 0.19–0.21

Ton: 5 YR 7/4-6; fest; sehr fein gemagert; wenig gröbere Quarzeinschlüsse; viel Hell- und einiger Dunkelglimmer.

Überzug: 2.5 Y 8/2.

Malfarbe: rotbrauner und matter, grösstenteils abgeplatzter Firnis.

Fundort: Milet, Aphrodite-Heiligtum

Kontext: Q 94.5/ (2. H.) 6. Jh. v. Chr. (Schutt hauptsächlich des 6. Jh. v. Chr.)

Typus: 10,11.C

Stilstufe: MileA II

Dat.: 580/70- mindestens 530/20 v. Chr.

Tafel 77, 459; 164, 459

460. Rfrgt. K 91.175.3

L 3.75; B 3.5; WSt 0.3–0.45

Ton: 7.5 YR 7/4; weich; fein gemagert; feiner und mittelfeiner Hell- und Dunkelglimmer.

Überzug: ca. 10 YR 8/3; fein; dünn; enthält viel feinen und mittelfeinen Hell- und Dunkelglimmer.

Malfarbe: mattes, wässriges und dumpfes schwarzgrau; grösstenteils dünn aufgetragen, dann braun; aufgesetzte Farbe: Deckrot, teilweise

abgerieben; enthält feinen und mittelfeinen Hell- und Dunkelglimmer.

Fundort: Milet, Kalabaktepe

Kontext: Q 91.04/ Phase 6B–7A (Boden mit Schutt der Phase 6)

Typus: 10,11.C

Stilstufe: MileA II

Dat.: 580/70- mindestens 530/20 v. Chr.

Tafel 77, 460; 164, 460

461. R- + Wfrgt. Z 94.8.83 + Z 94.126.47 + Z 94.180.3

L 4.65; B 3.45; Dm ca. 14; WSt 0.22–0.31

Ton: 5 YR 7/6; fest; sehr fein gemagert; homogen und dicht; feiner Hell- und gröberer Dunkelglimmer.

Überzug: „wash“; dünn.

Malfarbe: rotbrauner, teilweise dünner und durchscheinender, teilweise dichter Firnis.

Fundort: Milet, Aphrodite-Heiligtum

Kontext: Rasterb. 8/ Streufund (Z 94.8)
Q 94.05/ 6. Jh. v. Chr. (Schutt des 6. Jhs. v. Chr.) (Z 94.126)
Q 94.12/ 6. Jh. v. Chr. (Schutt des 6. Jhs. v. Chr.) (Z 94.180)

Typus: 10,11.C/D

Stilstufe: MileA II

Dat.: 580/70- mindestens 530/20 v. Chr.

Tafel 77, 461; 164, 461

462. Rfrgt. Z 94.236.5

L 2.19; B 2.48; Dm 11.6; WSt 0.27–0.3

Ton: 5 YR 7/6; fest; sehr fein gemagert; viel feiner Hellglimmer.

Überzug: 10 YR 8/3.

Malfarbe: schwarzer, dichter und matter Firnis; teilweis edünn, dann rötlichbraun.

Fundort: Milet, Aphrodite-Heiligtum

Kontext: Q 94.12/ archaisch (Abfall des 6. Jh. v. Chr.?)

Typus: 10,11.C/D

Stilstufe: MileA II

Dat.: 580/70- mindestens 530/20 v. Chr.

Tafel 77, 462; 165, 462

- 463.** Rfrgt. Z 94.85.1
 L 2.4; B 2.1; WSt 0.23–0.25
 Ton: 5 YR 7/6; fets, sehr fein gemagert; viel feiner Hellglimmer.
 Überzug: 10 YR 8/2.
 Malfarbe: schwarzer, fester und dichter, matt metallisch glänzender Firnis; teilweise dünn und wässrig, dann bräunlich.
 Fundort: Milet, Aphrodite-Heiligtum
 Kontext: Q 94.04; L 94.05/ 6. Jhs. v. Chr. (Heiligtumsabfall des 6. Jhs. v. Chr.)
 Typus: 10,11.C/D
 Stilstufe: MileA II
 Dat.: 580/70- mindestens 530/20 v. Chr.
 Tafel 77, 463; 165, 463
- 464.** Pro. Z 04.82.39+43
 H 3.1; DmR 12; DmF ca. 5.1; WSt 0.2–0.3
 Ton: 10-7.5 YR 7/4-6; fest; kaum feine Magerung; dicht gepackt; wenig feiner Dunkelglimmer.
 Überzug: 10 YR 8/2-3; dicht; fest; hellbeige.
 Malfarbe: matte, teils durchscheinende braune, teils rötlichbraune Malfarbe.
 Fundort: Milet, Aphrodite-Heiligtum
 Kontext: Q 04.05/ Spätarchaisch; Ende 6. Jh. v. Chr. (Auffüllschicht mit Heiligtumsschutt)
 Typus: 10,11.D
 Stilstufe: MileA II
 Dat.: 560/50- mindestens 530/20 v. Chr.
 Tafel 78, 464; 165, 464
- 465.** Pro. Z 05.42.13
 H 4.43; DmR ca. 15; DmF ca. 5.8; WSt 0.18–0.35
 Ton: 7.5 YR 7/6; fest; fein ausgeschlemmt; kaum Einschlüsse; dicht, aber locker gepack mit wenigen feinen Luftporen; viel feiner Dunkelglimmer.
 Überzug: 7.5 YR 8/4; dicht; fest.
 Malfarbe: schwarzer, dichter fester, matt glänzender bis dünner hellbrauner Firnis; aufgesetzte Farbe: Deckrot.
 Fundort: Milet, Aphrodite-Heiligtum
 Kontext: Q 05.04/ Ende 6. Jh. v. Chr. (Anschüttung)
- Bemerkung: Die Schale wurde eingemessen: Meßpunkt P 1241.
 Archäometrie: *Mommsen* Prob.Nr.: Mile 82 Gruppe **DD-3** (unlokalisiert, vermutlich Milet)
 Typus: 10,11.D
 Stilstufe: MileA II
 Dat.: 560/50- mindestens 530/20 v. Chr.
 Tafel 78, 465; 165, 465
- 466.** Pro. Z 04.23.12
 H 3.35; DmR 12.5; DmF 6.2; WSt 0.2–0.3
 Ton: 7.5 YR 7/4-6; fest; feinst ausgeschlemmt; keine Zuschläge; dicht gepackt; wenig feiner Dunkelglimmer.
 Überzug: 10 YR-2.5 Y 8/2; dicht; efest, deckend, hellbeige.
 Malfarbe: teils fester, matter schwarzer Glanzton; teils dünner und braun wirkend; aufgesetzte Farbe: Deckrot.
 Fundort: Milet, Aphrodite-Heiligtum
 Kontext: Q 04.03/ Spätarchaisch; Ende 6. Jh. v. Chr. (Heiligtumsabfall)
 Typus: 10,11.D
 Stilstufe: MileA II
 Dat.: 560/50- mindestens 530/20 v. Chr.
 Tafel 78, 466; 166, 466
- 467.** Rfrgt. S 68.2.1
 L 3.62; B 3.43
 Keine weiteren Angaben, da nicht aufzufinden.
 Fundort: Milet, Südschnitt
 Kontext: keine Informationen
 Typus: 10,11.D
 Stilstufe: MileA II
 Tafel 166, 467
- 468.** Rfrgt. Z 94.166.19
 L 2.7; B 2.98; Dm ca. 13–14; WSt 0.2–0.23
 Ton: 10 YR 7/4-6; fest bis weich; sehr fein gemagert; homogen und dicht; viel feiner Dunkelglimmer.
 Überzug: 2.5 Y 8/2; dicht, aber dünn.
 Malfarbe: rötlichbrauner und schwacher Firnis.

Fundort: Milet, Aphrodite-Heiligtum
 Kontext: Q 94.10/ 2. V. 6. Jh. v. Chr.? (Zentrum des Bothros)
 Typus: 10,11.D
 Stilstufe: MileA II
 Dat.: 560/50- mindestens 530/20 v. Chr.
 Tafel 78, 468; 166, 468

469. Rfrgt. Z 91.7.5

L 2.35; B 3.7; Dm 13.0; WSt 0.3
 Ton: 7.5-10 YR 7/6-4; jedoch gelblicher (außen);
 fein gemagert; kleine Einschlüsse von Kieseln
 und Kalk; wenig Hellglimmer.
 Malfarbe: dunkler, teils dichter, teils streifiger
 Firmis; größtenteils abgeplatzt.

Fundort: Milet, Aphrodite-Heiligtum
 Kontext: Q 91.30/ 2. H. 6. Jh. v. Chr.
 (Spätarchaischer Heiligtumsabfall der 2.
 H. 6. Jh. v. Chr. auf der Geröllschicht,
 unter den spätantiken Schichten)
 Typus: 10,11.D
 Stilstufe: MileA II
 Dat.: 560/50- mindestens 530/20 v. Chr.
 Tafel 78, 469; 167, 469

470. Rfrgt. Z 91.38.162

L 2.0; B 3.2; WSt 0.2-0.3
 Ton: ca. 7.5 YR 7/6; weich; fein gemagert; sehr
 feine Quarzeinschlüsse.
 Überzug: 2.5 Y 8/4; sehr dünn; enthält mittelfeinen
 Glimmer und Dunkelglimmer.
 Malfarbe: schwarzer, dichter und matter Firmis;
 wenn dünn, dann braun.

Fundort: Milet, Aphrodite-Heiligtum
 Kontext: Q 91.31/ 2 H. 6. Jh. v. Chr.
 (Spätarchaische Opferabfallschicht über
 älteren, sukzessive gewachsenen
 Schichten)
 Typus: 10,11.D
 Stilstufe: MileA II
 Dat.: 560/50- mindestens 530/20 v. Chr.
 Tafel 78, 470; 167, 470

471. Rfrgt. K 93.92.1

L 3,8; .B 5.0; WSt 0.4

Ton: 7.5 YR 6/6; weich; fein gemagert.
 Überzug: 2.5 Y 8/3; enthält viel feinen und
 mittelfeinen Hellglimmer.
 Malfarbe: schwarzer, matt glänzender Firmis; wenn
 dünn, dann braun.

Fundort: Milet, Kalabaktepe
 Kontext: Q 92.04/ Phase 7 (Teil der
 Steinausraubung)

Typus: 10,11.D

Stilstufe: MileA II

Dat.: 560/50- mindestens 530/20 v. Chr.

Tafel 78, 471; 167, 471

472. Rfrgt. K 91.139.11

L 4.8; B 5.3; Dm 15.0; WSt 0.3-0.4

Ton: 10 YR 7/4; fest; fein gemagert; feiner Hell-
 und Dunkelglimmer.
 Überzug: 2.5 Y 8/3; enthält feinen bis mittelfeinen
 Hell- und Dunkelglimmer.
 Malfarbe: schwarzer, matt glänzender Firmis;
 grösstenteils abgerieben.

Fundort: Milet, Kalabaktepe
 Kontext: Q 91.03/ Phase 7-8 (Schutt der Phase 7)
 Typus: 10,11.D (Sonderform)
 Stilstufe: MileA II
 Dat.: 560/50- mindestens 530/20 v. Chr.
 Tafel 78, 472; 167, 472

473. Rfrgte. Z 93.21.83 +
 Z 93.27.89

L 3.0; B 3.42; Dm ca. 12; WSt 0.19-0.27

Ton: 7.5 YR 7/4-6; fest und dicht; sehr fein
 gemagert; kaum Quarzeinschlüsse; viel feiner
 Hellglimmer.
 Oberfläche: gut geglättet.
 Überzug: 10 YR 8/2; dicht und deckend, fest.
 Malfarbe: von rötlichbraun bis schwarz
 changierender, matter Firmis.

Fundort: Milet, Aphrodite-Heiligtum
 Kontext: Q 93.11/ 2. H. 6. Jh. v. Chr. (Hangschutt
 des 6. Jhs. v. Chr.) (Z 93.21)
 Q 93.11/ 6. Jh. v. Chr. (Letzte Schicht
 über dem gewachsenen Tuff) (Z 93.27)

Typus: 10,11.D (Sonderform)

Stilstufe: MileA II

Dat.: 560/50- mindestens 530/20 v. Chr.

Tafel 78, 473; 168, 473

474. Rfrgt. S 63.24.1

L 2.89; B 5.6; Dm 14,8; WSt 0.20–0.258

Keine weiteren Angaben, da nicht aufzufinden.

Fundort: Milet, Südschnitt

Kontext: 6. Jh. v. Chr. (1. Schicht; sandige Erde über dem Lehmestrich; 2. Schicht; gelber Lehm („Estrich“). Beide Schichten sind zusammengelegt, da Scherben angepasst)
[Unreine Schicht unter dem römischen Mosaik (IstMitt 23/24, 1973/1974, 109 Kat.-Nr. 124)].

Typus: 10,11.D

Stilstufe: MileA II

Dat.: 560/50- mindestens 530/20 v. Chr.

Publ.: IstMitt 23/24, 1973/1974, 109 Kat.-Nr. 124
Abb. 24 Taf. 30, 124

Tafel 78, 474; 168, 474

475. Rfrgt. Z 94.63.28

L 1.4; B 3.0; Dm 12.0; WSt 0.34–0.39

Ton: ca. 7.5 YR 7/4; fest; sehr fein gemagert; sehr viel feiner Hellglimmer.

Überzug: 2.5 Y 8/2

Malfarbe: schwarzer und matter Firnis; teilweise abgeplatzt, dünn und bräunlich.

Fundort: Milet, Aphrodite-Heiligtum

Kontext: Q 94.06/ 6. Jh. v. Chr. (Heiligtumsabfall des 6. Jhs. v. Chr.)

Typus: 10,13.C/D

Stilstufe: MileA II

Dat.: 570/60- mindestens 530/20 v. Chr.

Tafel 79, 475; 168, 475

476. Rfrgt. Z 94.75.112

L 1.4; B 2.8; Dm 12.0; WSt 0.28

Ton: 7.5 YR 7/6; fest; sehr fein gemagert; leicht sandig; viel feiner Hellglimmer; einiger gröberer Dunkelglimmer.

Oberfläche: gut geglättet.

Überzug: 5 Y 8/2.

Malfarbe: schwarzer, stumpfer und matter Firnis.

Fundort: Milet, Aphrodite-Heiligtum

Kontext: Q 94.05/ 6. Jh. v. Chr. (Schutt des 6. Jhs. v. Chr.)

Typus: 10,13.C/D

Stilstufe: MileA II

Dat.: 570/60- mindestens 530/20 v. Chr.

Tafel 79, 476; 168, 476

477. Rfrgt. Z 94.95.68

L 2.1; B 2.52; Dm ca 12.0; WSt 0.25–0.27

Ton: 5 YR 7/6; fest; sehr fein gemagert; viel feiner Hellglimmer.

Überzug: 10 YR 8/3, dünn und nur innen.

Malfarbe: schwarzer, matter und dichter Firnis; grösstenteils abgeplatzt, dann bräunlich und wässrig;
aufgesetzte Farbe: Deckrot.

Fundort: Milet, Aphrodite-Heiligtum

Kontext: Q 94.5/ (2. H.) 6. Jh. v. Chr. (Schutt hauptsächlich des 6. Jh. v. Chr.)

Typus: 10,13.C/D

Stilstufe: MileA II

Dat.: 570/60- mindestens 530/20 v. Chr.

Tafel 79, 477; 169, 477

478. Rfrgt. Z 94.95.171

L 1.5; B 3.0; Dm 12.0; WSt 0.22–0.27

Ton: 7.5 YR 7/6; fest; sehr fein; viel feiner Hellglimmer.

Überzug: 10 YR 8/3.

Malfarbe: teilweise braun bis braunroter, wässriger und dünner, teilweise schwarzer, matt metallisch glänzender Firnis;
aufgesetzte Farbe: Deckrot.

Fundort: Milet, Aphrodite-Heiligtum

Kontext: Q 94.5/ (2. H.) 6. Jh. v. Chr. (Schutt hauptsächlich des 6. Jh. v. Chr.)

Typus: 10,13.C/D

Stilstufe: MileA II

Dat.: 570/60- mindestens 530/20 v. Chr.

Tafel 79, 478; 169, 478

Typus 10.C-D, milesisch, Schalenfüße

Stilphase MileA IIa

- 479.** Pro. Z 06.150.155
 erhH 2.1; DmF ca. 6.2; WSt ca. 0.45
 Ton: 7.5 YR 7/4; fest; fein ausgeschlemmt; kaum
 feine Magerungspartikel; feiner Hell- und
 Dunkelglimmer.
 Überzug: 10 YR 8/3; dicht; deckend.
 Malfarbe: matter, fester, schwarzer bis bräunlicher
 Firnis.
 Fundort: Milet, Aphrodite-Heiligtum
 Kontext: Q 06.22/ Reinigung des S-Profil
 Typus: 10.C/D?
 Stilphase: MileA IIa/b
 Dat.: 610/590 v. Chr.
 Tafel 79, 479
- 480.** Rfrgt. Z 05.24.57 + Z 05.72.34
 + Z 05.88.142
 L 3.55; B 5.91; WSt 0.25-0.4 (Z 05.24.57a)
 L 4.75; B 4.63; WSt 0.22-0.42 (Z 05.24.57b)
 L 2.6; B 2.36; WSt 0.24-0.36 (Z 05.72.34)
 L 2.31; B 2.52; WSt 0.24-0.29 (Z 05.88.142)
 Ton: 5 YR 7/6-8; hart; fein gemagert; feine
 schwarze Partikel, weiße Kalkeinschlüsse;
 stark verdichtet; einiger feiner Dunkelglimmer.
 Oberfläche: gut geglättet.
 Überzug: 7.5 YR 7/6-4 fest, dicht.
 Malfarbe: fester, dichter, schwarzer bis
 olivschwarzer Firnis.
 aufg. Farbe: Deckrot
 Fundort: Milet, Aphrodite-Heiligtum
 Kontext: Q 05.01/ Abraum von Schuttschichten
 des Vorjahres und Abraum der oberen
 Humusschicht (Graubraune Schutt-
 /Füllschicht zwischen Felsformation)
 (Bef. 38) (Z 05.24)
 Q 05.02/ oberster Abhub (Z 05.72)
 Q 05.02/ unter oberstem Abhub Z 05.72
 (Z 05.88)
 Typus: 10.C/D?
 Stilphase: MileA IIa/b
 Dat.: 600/590- 560/50 v. Chr.
 Tafel 79, 480; 169, 480

Stilstufe MileA II
- 481.** Ffrgt. Z 94.7.101
 Erh H 0.7; DmF 4.8; WSt 0.21
 Ton: 7.5 YR 7/6; weich; sehr fein gemagert; rote
 Partikel (Ziegelschrot?); feine
 Quarzeinschlüsse; feiner Hellglimmer.
 Überzug: ca. 10 YR 8/2; enthält größeren
 Dunkelglimmer.
 Malfarbe: rötlichbrauner, dichter und teilweise
 abgeplatzer Firnis.
 Fundort: Milet, Aphrodite-Heiligtum
 Kontext: Rasterb. 7/ Streufund
 Typus: 10.C
 Stilstufe: MileA II
 Dat.: 600/590- mindestens 530/20 v. Chr.
 Tafel 79, 481; 169, 481
- 482.** Ffrgt. Z 94.7.187 +
 Z 94.8.20
 H 1.45; DmF ca. 5.85; WSt 0.25–0.3
 Ton: ca. 7.5 YR 7/6; fest; fein gemagert; feine
 Quarzeinschlüsse und feine schwarze
 Magerungspartikel; Hell- und Dunkelglimmer.
 Oberfläche: stark geglättet bzw. poliert.
 Überzug: „wash“.
 Malfarbe: von rötlichbraun bis fast schwarz, aber
 dumpf, teils deckend, teils durchscheinend.
 Fundort: Milet, Aphrodite-Heiligtum
 Kontext: Streufunde (Z 94.7+Z 94.8)
 Typus: 10.C
 Stilstufe: MileA II
 Dat.: 600/590- mindestens 530/20 v. Chr.
 Tafel 79, 482; 170, 482
- 483.** Ffrgt. K 86.62a.4
 L 4; B 2.1; Dm ca. 8.1; WSt 0.2–0.45
 Ton: 10 YR 7-8/4; fest; sehr fein gemagert;
 mittelfeiner Hellglimmer.
 Überzug: beige.
 Malfarbe: rotbrauner, fester und dichter Firnis.
 Fundort: Milet, Kalabaktepe
 Kontext: Q 86.09/ Phase 6–7A (Auffüllung für
 die nacharchaische Wiederbesiedlung)
 Typus: 10.C
 Stilstufe: MileA II
 Publ.: IstMitt 37, 1987, 23 Kat.-Nr. 46; 32 Abb. 4,
 46 Taf. 13,46.

Dat.: 600/590- mindestens 530/20 v. Chr.

Tafel 79, 483; 170, 483

484. Ffrgt. Z 94.66.6

L 3.8; B 4.8; erh H ca. 1.8; DmF 6.0; WSt 0.25–0.4

Ton: 7.5 YR 7/6; fest; sehr fein gemagert; dicht; viel feiner Hellglimmer.

Überzug: 10 YR 8/3, dicht und fest.

Malfarbe: von rötlichbraun bis schwarz und matt glänzend changierender Firnis.

Fundort: Milet, Aphrodite-Heiligtum

Kontext: Q 94.06/ 6. Jh. v. Chr. (natürliche Erosionsschicht 7./6. Jh. v. Chr.)

Typus: 10.C

Stilstufe: MileA II

Dat.: 600/590- mindestens 530/20 v. Chr.

Tafel 79, 484; 170, 484

485. Ffrgt. K 91.195.13

H 0.9; B 2.7; Dm 6.0; WSt 0.25

Ton: 5-7.5 YR 7/6; weich; fein gemagert, viel feiner Hellglimmer.

Überzug: 2.5-5 Y 8/2; gelblichbeige bis graugelb.

Malfarbe: roter Firnis.

Fundort: Milet, Kalabaktepe

Kontext: Q 91.05/ Phase 7–8 (Schutt der Wiederbesiedlung im Innenraum)

Typus: 10.C

Stilstufe: MileA II

Dat.: 600/590- mindestens 530/20 v. Chr.

Tafel 79, 485; 170, 485

486. Ffrgt. Z 94.95.15

Erh. H 1.0; B 3.25; Dm ca. 6.0; WSt 0.16–0.24

Ton: 5 YR 7/6; fest; sehr fein gemagert; sehr homogen und dicht; keine größeren Einschlüsse; feiner Hellglimmer.

Überzug: 10 YR 8/3.

Malfarbe: teils dünn aufgetragener und hellbrauner, teils dichter, fester, schwarzer und matter Firnis; aufgesetzte Farbe: Deckrot; enthält groben Dunkelglimmer.

Fundort: Milet, Aphrodite-Heiligtum

Kontext: Q 94.5/ (2. H.) 6. Jh. v. Chr. (Schutt hauptsächlich des 6. Jh. v. Chr.)

Typus: 10.C

Stilstufe: MileA II

Dat.: 600/590- mindestens 530/20 v. Chr.

Tafel 80, 486; 171, 486

487. Ffrgt. Z 94.98.7

Erh H 1.25; B 4.83; DmF ca. 6; WSt 0.19–0.27

Ton: 5 YR 7/6; sehr fest; fein gemagert; homogen und dicht; feiner Hell- und Dunkelglimmer.

Überzug: 10 YR 8/3.

Malfarbe: von rot über rotgrau bis schwarz changierender Firnis; lackartig.

Fundort: Milet, Aphrodite-Heiligtum

Kontext: Q 94.06/ 6. Jh. v. Chr. (Heiligtumsabfall mit Asche)

Typus: 10.C

Stilstufe: MileA II

Dat.: 600/590- mindestens 530/20 v. Chr.

Tafel 80, 487; 171, 487

488. Ffrgt. Z 91.38.160

H 0.9; B 4.0; Dm 5.0; WSt 0.2–0.25

Ton: 7.5 YR 8-7/6; weich; fein gemagert; feiner Hell- und Dunkelglimmer.

Überzug: 10 YR 8/3; enthält feinen und mittelfeinen Hell- und Dunkelglimmer.

Malfarbe: schwarzer, matter und wässriger Firnis; innen: dünn, braunschwarz; enthält feinen und mittelfeinen Hell- und Dunkelglimmer.

Fundort: Milet, Aphrodite-Heiligtum

Kontext: Q 91.30/ 2. H. 6. Jh. v. Chr. (Spätarchaische Opferabfallschicht über älteren, sukzessive gewachsenen Schichten)

Typus: 10.C

Stilstufe: MileA II

Dat.: 600/590- mindestens 530/20 v. Chr.

Tafel 80, 488; 171, 488

489. F- + Wfrgt. Z 94.144.11 +
Z 94.171.12

Erh H 0.85; B 4.32; DmF 5.6; WSt 0.12–0.25

Ton: 10 YR 7/4; fest; sehr fein gemagert; wenig sehr feine Quarzeinschlüsse; viel Dunkelglimmer.

Überzug: 2.5 Y 8/ca. 4; enthält viel Dunkelglimmer.

Malfarbe: matt braun bis dumpf schwarz ins rötliche changierend; deckend. aufgesetzte Farbe: Deckrot.

Fundort: Milet, Aphrodite-Heiligtum

Kontext: Q 94.10/ 6. Jh. v. Chr. (Bauschutt des 6. Jhs. v. Chr.) (Z 94.144)
Q 94.07/ 2. H. 6. Jh. v. Chr. (Geländeoberfläche mit Abfall des 6. Jhs. v. Chr.) (Z 94.171)

Typus: 10.C

Stilstufe: MileA II

Dat.: 600/590- mindestens 530/20 v. Chr.

Tafel 80, 489; 171, 489

490. Ffrgt. Z 91.32.15

Erh H ca. 1; B 4.15; DmF ca. 6.0; WSt 0.25

Ton: 7.5 YR 8-7/4-5; weich bis fest; fein gemagert; viel feiner Hellglimmer.

Überzug: 10 YR 8/2.

Malfarbe: wo erhalten, schwarzer und matter Firnis; teilweise dünn und bräunlich.

Fundort: Milet, Aphrodite-Heiligtum

Kontext: Q 91.31/(archaisch bis) hellenist./römisch (Schutt des hellenist./röm. Gebäudes und darunter kleinsteniger Schutt, der unter den Spolien des jüngeren Baus liegt)

Typus: 10.C

Stilstufe: MileA II

Dat.: 600/590- mindestens 530/20 v. Chr.

Tafel 80, 490; 172, 490

491. Ffrgt. K 89.24.1

Erh H 1.65; B 3.1; DmF 4.0; WSt 0.3

Ton: 10 YR 8-7/6-4, weich, fein gemagert; viel feiner Hell- und Dunkelglimmer.

Überzug: 10 YR 8/2-3.

Malfarbe: schwarzer, fester Firnis.

Fundort: Milet, Kalabaktepe

Kontext: keine Information

Typus: 10.C

Stilstufe: MileA II

Dat.: 600/590- mindestens 530/20 v. Chr.

Tafel 80, 491

492. R- + Wfrgt. Z 91.10.2 + Z 91.13.15 + Z 91.30.15

L 3.2; B 5.1; erh H ca. 1.85; DmF ca. 6.5; WSt 0.26–0.38

Ton: 10 YR 7/4; weich; fein gemagert; feiner Hellglimmer.

Überzug: 2.5 Y 8/3; enthält feinen bis mittelfeinen Hellglimmer.

Malfarbe: schwarzer, matter und dumpfer, wässriger, dichter Firnis; größtenteils abgeplatzt.

Fundort: Milet, Aphrodite-Heiligtum

Kontext: Q 91.30/ 6. Jh. v. Chr. (Heiligtumsschutt, nicht umgelagert, sondern *in situ*) (Z 91.10)
Q 91.30/ 1. H. 6. Jh. v. Chr. (Schicht mit Opferabfall der 1. H. 6. Jh. v. Chr.) (Z 91.13)
Q 91.30/ 1. H. 6. Jh. v. Chr. (Anscheinend späterer Füllschutt und nicht gewachsene Opferschuttschicht *in situ*) (Z 91.30)

Typus: 10.C

Stilstufe: MileA II

Dat.: 600/590- mindestens 530/20 v. Chr.

Tafel 80, 492; 172, 492

493. Ffrgt. Z 91.38.161

Erh H 1.1; B 2.4 Dm 5.0; WSt 0.2–0.35

Ton: 7.5 YR 7/6; weich; fein gemagert; sehr feiner Hellglimmer.

Überzug: 2.5 Y 8/3; enthält viel feinen Hell- und Dunkelglimmer.

Malfarbe: rot, matt, dicht und lackartig; grösstenteils abgeplatzt; enthält viel feinen Hell- und Dunkelglimmer.

Fundort: Milet, Aphrodite-Heiligtum

Kontext: Q 91.31/ 2. H. 6. Jh. v. Chr. (Spätarchaische Opferabfallschicht über älteren, sukzessive gewachsenen Schichten)

Typus: 10.C

Stilstufe: MileA II

Dat.: 600/590- mindestens 530/20 v. Chr.

Tafel 80, 493; 172, 493

Stilphase SiG spät*Wandfragmente*

494. Wfrgt. WD.4
 L 3.5; B 4.35; WSt 0.39–0.47
 Ton: 5 YR 7/4; sehr hart; sandig gemagert;
 schwarze Partikel; Kalksteineinschlüsse; viel
 Hell- und Dunkelglimmer.
 Überzug: 10 YR 8/3-4; sehr dünn.
 Malfarbe: rötlichbrauner, stumpfer und teils
 deckender Firnis; innen: streifig.
 Fundort: Milet, Wiegand-Depot
 Kontext: unbekannt
 Typus: 2-3.B
 Stilphase: SiG III
 Dat.: 750- 680/70 v. Chr.
 Tafel 81, 494; 172, 494

495. Wfrgt. K 91.393.6
 L 3.5; B 2.72; WSt 0.42–0.55
 Ton: 5-7.5 YR 7/4; fest; grob, sandig gemagert;
 schwarze Partikel; Kalksteineinschlüsse; viel
 Hell- und Dunkelglimmer.
 Überzug: 10 YR 8/2.
 Malfarbe: dicht, fest rötlich, außen rötlichbrauner
 Firnis.
 Fundort: Milet, Kalabaktepe
 Kontext: Q 91.10/ Phase 8 (Nacharchaische
 Schutt- und Sandeinfüllung)
 Typus: 2-4.B
 Stilphase: SiG III
 Dat.: 750- 680/70 v. Chr.
 Tafel 81, 495; 173, 495

496. Rfrgt. S 66.203.8
 Erh H 2.6; WSt 0.2–0.25
 Ton: 10 YR 7-6/2-1; fest bis hart; fein gemagert;
 kleine Kieseleinschlüsse; viel feiner Hell- und
 Dunkelglimmer.
 Überzug: 2.5 Y 8/2; fest, fein.
 Malfarbe: schwarzer, fester, matt glänzender Firnis.
 Fundort: Milet, Südschnitt

Kontext: unter der Oberkante der gelben
 Rundlinge. (Planierungsschicht, die vor
 allem archaische, aber auch
 geometrische Scherben enthält. Offenbar
 ist das Gelände für eine erneute
 Bebauung ausgeglichen worden, wofür
 auch eine schwarzgefirnißte und eine
 hellenistische Scherbe sprechen)
 [Westabschnitt I./ Planierungsschicht,
 gestört (IstMitt 25, 1975, 59 Kat.-Nr. 74
 mit Verweist auf Kat.-Nr.28)].

Typus: 2-3.B

Stilphase: SiG III

Dat.: 750- 680/70 v. Chr.

Publ.: IstMitt 25, 1975, 58-59 Kat.-Nr. 74 Abb. 41

Tafel 81, 496

Stilphase SiG III/SiA Ia*Wandfragmente*

497. Wfrgt. K 91.539.5
 L 3.1; B 2.6; WSt 0.35–0.5
 Ton: 7.5 YR 7/5; fest; fein gemagert; viel feiner
 Hell- und Dunkelglimmer.
 Überzug: 2.5 Y 8/3.
 Malfarbe: schwarzer, matter und dichter Firnis,
 grösstenteils abgeplatzt.
 Fundort: Milet, Kalabaktepe
 Kontext: R 90.12/ 7–8 (oberster Abhub im Steg)
 Typus: 2-3.B
 Stilphase: SiG III/SiA Ia
 Dat.: 690/80-670/60 v. Chr.
 Tafel 81, 497; 173, 497

498. Wfrgt. K 89.240.4
 L 2.5; B 3.1; D 0.3

Ton: 7.5 YR 6/4, fest, fein gemagert; viel Glimmer.
 Oberfläche: geglättet.
 Überzug: 5 Y 8/2, milchig-bräunlich
 Malfarbe: schwarzer, fester Firnis.

Fundort: Milet, Kalabaktepe

Kontext: keine Inforamtionen

Typus: 2-3.B

Stilphase: SiG III/SiA Ia

Dat.: 690/80-670/60 v. Chr.

Tafel 81, 498; 173, 498

Stilphase SiA Ib

Wandfragmente

499. Wfrgt. K 92.148.1

L: 3.0; B 4.8; WSt 0.25–0.35

Ton: 10 YR 8-7/6-4; fest; feinst gemagert; feiner und mittelfeiner Hellglimmer.

Oberfläche: geglättet bzw. poliert.

Überzug: 2.5 Y 8/3 (elfenbeinfarben); dünn.

Malfarbe: bräunlicher Firnis;
aufgesetzte Farbe: Deckrot.

Fundort: Milet, Kalabaktepe

Kontext: Q 91.07/ Phase 1c–2A (Schutt der Phase 1c)

Typus: 2-3.B

Stilphase: SiA Ib

Dat.: 650–630 v. Chr.

Tafel 81, 499; 173, 499

Stilphase SiA Ia

Wandfragmente

500. Wfrgte. Z 94.121.1 + Z 94.125.83 + Z 94.229.7

L 2.48; B 3.33; WSt 0.28–0.36 (Z 94.121.1)

L 2.1; B 1.88; WSt 0.28–0.29 (Z 94.125.83)

L 2.41; B 1.9; WSt 0.3–0.35 (Z 94.229.7)

Ton: 10 YR 7/3; fest bis hart; fein gemagert; sandig; einige grössere Quarzeinschlüsse; viel feiner Hellglimmer.

Oberfläche: stark geglättet.

Überzug: 5 Y 8/2; dicht und fest; enthält groben Hellglimmer.

Malfarbe: außen: von hellbraun bis rötlich changierender Firnis; innen: von bräunlich bis rötlich changierender, streifiger Firnis; enthält groben Hellglimmer.

Fundort: Milet, Aphrodite-Heiligtum

Kontext: Q 94.06/ 6. Jh. v. Chr.? (Abfallschicht) (Z 94.121)

Q 94.05/ 6. Jh. v. Chr. (Schutt des 6. Jhs. v. Chr.) (Z 94.125)

Q 94.10/ 6. Jh. v. Chr. (Opferschutt des 7. und 6. Jhs. v. Chr.) (Z 94.229)

Typus: 3/5.B

Stilphase: SiA Ia

Dat.: 670–650 v. Chr.

Tafel 81, 500; 174, 500

Stilphase SiA Ia-c

Wandfragmente

501. Wfrgt. K 91.593.2

L 2.5; B 2.45; WSt 0.35

Ton: 7.5 YR 7/6; fest; fein gemagert; mittelfeiner Hell- und Dunkelglimmer.

Überzug: 10 YR 8/3-4, sehr dünn.

Malfarbe: schwarzer, matter Firnis; wenn dünn aufgetragen, dann bräunlich, von dunkelrotbraun bis in rötlichviolett changierend.

Fundort: Milet, Kalabaktepe

Kontext: Keine Informationen

Typus: 3/5.B?

Stilphase: SiA Ia-b

Dat.: 670–620 v. Chr.

Tafel 81, 501; 174, 501

502. Wfrgt. K 93.165.14

L 2.85; B 3.08; WSt 0.22–0.31

Ton: 10 YR 8/6; fest bis hart; dicht; feine Poren; in Schichten; fein gemagert; grobe Einschlüsse, teilweis edurch die Oberfläche tretend.

Oberfläche: stark geglättet.

Überzug: 2.5 Y 8/2; dicht und fest.

Malfarbe: schwarzer, fester und dichter, matter Firnis.

Fundort: Milet, Kalabaktepe

Kontext: Q 92.07/ Phase 2B–3A (Boden der Phase 2 oder Auffüllung für Phase 3)

Typus: 3/5.B?

Stilphase: SiA Ia-c

Dat.: 670–620/10 v. Chr.

Tafel 81, 502; 174, 502

503. Wfrgt. Z 94.67.13

L 1.33; B 2.0; WSt 0.19–0.23

Ton: hart; leicht sandig; schiefrig; grössere Poren; feine Quarzeinschlüsse.

Überzug: 10 YR 8/3.
 Malfarbe: dunkelbrauner, streifiger Firmis.
 Fundort: Milet, Aphrodite-Heiligtum
 Kontext: Q 94.06/ 6. Jh. v. Chr. (Schuttschicht 6.
 Jh. v. Chr.)
 Typus: 5/8?
 Stilphase: SiA Ib-c
 Dat.: 660/50-640/30 v. Chr.
 Tafel 81, 503; 174, 503

504. Wfrgt. Z 94.212.7

L 1.9; B 2.5; WSt 0.18–0.2
 Ton: 5 YR 7/6; fest bis hart; dicht und sandig;
 keine grösseren Quarz- oder Kieseinschlüsse;
 größerer Hellglimmer.
 Oberfläche: geglättet.
 Überzug: „wash“.
 Malfarbe: von bräunlich bis schwärzlich
 changierender, stumpfer Firmis.
 Fundort: Milet, Aphrodite-Heiligtum
 Kontext: Q 94.13/ 2. H. 6. Jh. v. Chr. (evtl. zur
 Mauer bzw. Mauerbau gehörig)
 Typus: 5/8?
 Stilphase: SiA Ib-c
 Dat.: 660/50-640/30 v. Chr.
 Tafel 81, 504; 175, 504

505. Wfrgte. K 92.868.1

L 2.45; B 3.6; WSt 0.35
 Ton: ca. 7.5 YR 7/4; hart; feine und mittelfeine
 Kalkstein- und Kieseinschlüsse; feiner
 Hellglimmer.
 Oberfläche: poliert.
 Überzug: ca. 10 YR 8/4; dicht und fest.
 Malfarbe: schwarzbrauner, leicht streifiger, dichter
 und matt glänzender Firmis.
 Fundort: Milet, Kalabaktepe
 Kontext: Q 91.03/ Phase 4A–B (Boden oder
 Auffüllung für Phase 4)
 Typus: 5/6/11?
 Stilphase: SiA Ib-c
 Dat.: 660/50-640/30 v. Chr.
 Tafel 81, 505; 175, 505

506. Wfrgt. K 90.463.2

L 2.1; B 2.6; WSt 0.3
 Ton: 7.5 YR 7/6; hart; fein gemagert; viel
 mittelfeiner Hell- und etwas Dunkelglimmer.
 Oberfläche: poliert.
 Überzug: „wash“; innen: fest und milchig; aussen:
 wenn überhaupt, dann sehr dünn.
 Malfarbe: schwarzer, etwas wässrig wirkender
 Firmis.
 Fundort: Milet, Kalabaktepe
 Kontext: Q 90.11/ Phase 2 (Lehmziegelpackung
 der Stadtmauer)
 Typus: 5/6?
 Stilphase: SiA Ib-c
 Dat.: 660/50-640/30 v. Chr.
 Tafel 81, 506; 175, 506

507. Wfrgt. Z 91.73.24

L 1.35; B 2.45; WSt 0.23–0.33
 Ton: 5 YR 7/6; fest; sehr fein gemagert; wenig
 feine Quarzeinschlüsse; feiner Dunkelglimmer.
 Überzug: 2.5 Y 8/2-4.
 Malfarbe: innen: schwarzer, matter und dichter
 Firmis; außen: teils dichter, matt schwarzer,
 teils abgeriebener, hellbrauner und dünner
 Firmis.
 Fundort: Milet, Aphrodite-Heiligtum
 Kontext: Q 91.32/ hell.–röm.
 (Hellenistisch/römischer Schutt neben
 dem Bothros)

Typus: 5/8?

Stilphase: SiA Ib-c

Dat.: 660/50-640/30 v. Chr.

Tafel 81, 507; 175, 507

508. Wfrgt. Z 94.56.38

L 2.5; B 1.65; WSt 0.38–0.51
 Ton: 7.5 YR 7/6; weich; sehr fein gemagert; wenig
 Hellglimmer.
 Oberfläche: gut geglättet.
 Überzug: 10 YR 8/2; enthält Dunkelglimmer.
 Malfarbe: von dunkelbraun bis schwarz
 changierender, dichter und matter Firmis;
 enthält Dunkelglimmer.
 Fundort: Milet, Aphrodite-Heiligtum
 Kontext: Q 94.04/ 6. Jh. v. Chr. (Heiligtumsabfall
 des 6. Jhs. v. Chr.)
 Typus: 5/8?

Stilphase: SiA Ib-c

Dat.: 660/50-640/30 v. Chr.

Tafel 82, 508; 176, 508

509. Rfrgte. Z 94.7.106 +
Z 94.111.5

L 2.7; B 2.6; WSt 0.32 – 0.52 (Z 94.7.106)

L 2.2; B 2.0; WSt 0.35 – 0.4 (Z 94.111.5)

Ton: 10 YR 7/6; hart; feinst gemagert; feiner Hell- und Goldglimmer.

Überzug: 2.5 Y 8/2.

Malfarbe: teils schwarzer, fester und dichter, teils lockerer und von rötlichbraun bis bräunlich changierender Firnis.

Fundort: Milet, Aphrodite-Heiligtum

Kontext: Q 94.06/ Streufund (Z 94.7)
Q 94.06/ 7. Jh. v. Chr. (Abfallschicht des 7. Jhs. v. Chr.) (Z 94.111)

Typus: 5/8?

Stilphase: SiA Ib-c

Dat.: 660/50-640/30 v. Chr.

Tafel 82, 509; 176, 509

Stilphase SiA Ic-d

Wandfragmente

510. Wfrgte. K 89.501.12

L 1.7; B 3.6; WSt 0.35

L 2.2; B 2.8; WSt 0.3

L 2.2; B 1.9; WSt 0.3

Ton: ca. 7.5 YR 7-6/6; fest; feine Quarzeinschlüsse; wenig mittelfeiner Hell- und Dunkelglimmer.

Oberfläche: geglättet.

Überzug: 10 YR 8/1, dünn.

Malfarbe: braunschwarzer, deckender und streifig aufgetragener Firnis;
aufgesetzte Farbe: Deckrot.

Fundort: Milet, Kalabaktepe

Kontext: Q 89.18/ Phase 7–8 (Schutt der letzten Bauphase, späarchaisch oder Nachbesiedlung im 5. Jh.)

Typus: 5/8/10.B?

Stilphase: SiA Ic-d

Dat.: 640/30-600 v. Chr.

Tafel 82, 510; 176, 510

511. Wfrgt. Z 94.170.33

L 1.9; B 2.6; WSt 0.21–0.24

Ton: 7.5 YR 6/6; fest; fein gemagert; nur sehr wenig und feine Einschlüsse; mittelfeiner Dunkelglimmer.

Überzug: 10 YR 8/3.

Malfarbe: dunkelbrauner, dünner und abblätternder Firnis.

Fundort: Milet, Aphrodite-Heiligtum

Kontext: Q 94.10/ Anfang 6. Jh. v. Chr. (Gruben-/Bothrosfüllung)

Typus: 5/8/10.B?

Stilphase: SiA Ic-d

Dat.: 640/30-600 v. Chr.

Tafel 82, 511; 176, 511

512. Wfrgt. K 85.46.2a

L 2.35; B 2.4; WSt 0.3–0.35

Ton: 5 YR 7/6; fest; fein gemagert; Poren; Quarzeinschlüsse; viel Hellglimmer.

Überzug: 10 YR 8/3.

Malfarbe: schwarzer, dichter und fester, teilweise abgeplatzter Firnis.

Fundort: Milet, Kalabaktepe

Kontext: Q 85.18/ ohne Phasenzuordnung (Steinpackung)

Typus: 5/8/10?

Stilphase: SiA Ic-d

Dat.: 640/30-600 v. Chr.

Tafel 82, 512; 177, 512

513. Wfrgt. Z 94.259.24

L 2.2; B 1.7; WSt 0.33

Ton: 7.5 YR 7/6; fest; fein gemagert; feine Quarzeinschlüsse; feiner Hell- und Dunkelglimmer.

Überzug: 10 YR 8/3; enthält Dunkelglimmer.

Malfarbe: teils schwarzer, dichter und fester, teils dünner und brauner Firnis; enthält Dunkelglimmer.

Fundort: Milet, Aphrodite-Heiligtum

Kontext: Q 94.15/ 7. Jh. v. Chr. (Heiligtumsabfall des 7. Jhs. v. Chr.)

Typus: 5/8/10?

Stilphase: SiA Ic-d

Dat.: 640/30-600 v. Chr.

Tafel 82, 513; 177, 513

514. Wfrgt. K 90.688.1

L 1.4; B 1.5, WSt 0.37

Ton: 7.5 YR 8/5; fest; viel feiner und mittelfeiner Hellglimmer.

Überzug: 10 YR 8/3 bis 2.5 Y 8/3.

Malfarbe: außen: teils schwarzer dichter, teils brauner, dünner Firnis; innen: fester, schwarzer Firnis;

aufgesetzte Farbe: Deckrot und -weiß.

Fundort: Milet, Kalabaktepe

Kontext: Q 90.15/ Phase 6B–A (Boden der Phase 6 mit Schutt der Phase 6)

Typus: 5/8/10?

Stilphase: SiA Ic-d

Dat.: 640/30-600 v. Chr.

Tafel 82, 514; 177, 514

515. Wfrgt. Z 94.263.65

L 2.5; B 3.1; WSt 0.25

Ton: 7.5 YR 7/6; fest; fein gemagert; dicht; wenig Poren; schwarze Partikel; Quarzeinschlüsse; grober Dunkelglimmer.

Oberfläche: geglättet.

Überzug: 10 YR 8/2; dünn; enthält sehr viel Hellglimmer.

Malfarbe: schwarzer, dichter und matter, teilweise abplatzender Firnis; enthält sehr viel Hellglimmer.

Fundort: Milet, Aphrodite-Heiligtum

Kontext: Q 94.13/ 2. H. 6. Jh. (Spätarchische Schuttschicht)

Typus: 5/8/10?

Stilphase: SiA Ic-d

Dat.: 640/30-600 v. Chr.

Tafel 82, 515; 177, 515

516. Wfrgt. K 91.313.1

L 2.1; B 4.15; WSt 0.5

Ton: 7.5 YR 7/6 bis 10 YR 7/4; fest; viel feiner Hell- und grober Dunkelglimmer.

Überzug: 2.5 Y 8/2-3.

Malfarbe: schwarzer Firnis; außen: bräunlicher, teilweise bis in rötlichbraun changierend.

Fundort: Milet, Kalabaktepe

Kontext: Q 91.05/ Phase 1–6 (Intakter Bodenrest? Unter der nacharchaischen Steinausraubung)

Typus: 5/10?

Stilphase: SiA Ic-d

Dat.: 640/30-600 v. Chr.

Tafel 82, 516; 178, 516

517. Wfrgt. Z 94.114.106

L 3.0; B 2.8; WSt 0.4–0.36

Ton: 7.5-10 YR 7/4; fest, aber pulverig, kreidig; fein gemagert; wenig Quarzeinschlüsse; Hell- und Dunkelglimmer.

Oberfläche: geglättet (Schwamm).

Überzug: 2.5 Y 8/2.

Malfarbe: schwarzer, dichter und matter, grösstenteils abgeplatzter Firnis.

Fundort: Milet, Aphrodite-Heiligtum

Kontext: Q 94.06/ 6. Jh. v. Chr. (Heiligtumsabfall, teilweise schon auf dem Tuff)

Typus: 5/10?

Stilphase: SiA Ic

Dat.: 640/30-620 v. Chr.

Tafel 82, 517; 178, 517

518. Wfrgt. Z 94.281.121

L 2.0; B 1.8; WSt 0.28–0.32

Ton: 10 YR 7/4; fest; fein gemagert; fast schon in Schichten zerfallen; viel mittelgrosse Poren; Quarzeinschlüsse; gröberer Hellglimmer.

Überzug: 10 YR 8/2; enthält Dunkelglimmer.

Malfarbe: außen: teils schwarzer, teils dünner aufgebracht bräunlicher Firnis; innen: schwarzer, dichter und fester, teils matt glänzender, teils stumpfer Firnis; enthält Dunkelglimmer; aufgesetzte Farbe: Deckrot.

Fundort: Milet, Aphrodite-Heiligtum

Kontext: Q 94.15/ 7./frühes 6. Jh. v. Chr. (Abfallschicht des 7. und frühen 6. Jhs. v. Chr.)

Typus: 5/10?

Stilphase: SiA Ic-d

Dat.: 640/30-600 v. Chr.

Tafel 83, 518; 178, 518

519. Wfrgt. Z 94.114.128

L 3.5; B 4; WSt 0.25–0.35

Ton: 7.5 YR 7-6/6-4; fest bis hart; fein, sandig gemagert; mit einigen grösseren Zuschlagsstoffen; feinporiger Ton; feiner Hellglimmer.

Oberfläche: gut geglättet.

Überzug: 2.5 Y 8/2 bis 10 YR 8/2; enthält gröberen Dunkelglimmer.

Malfarbe: fester, matter, teils deckender, teils streifige bräunlich-schwarz changierender Firnis;

aufgesetzte Farbe: Deckrot.

Fundort: Milet, Aphrodite-Heiligtum

Kontext: Q 94.06/ 6. Jh. v. Chr.
(Heiligtumsabfall, teilweise schon auf dem Tuff)Archäometrie: *Yalcın* Prob.Nr.: TR-3K/281
Milesisches Feld/Cluster 6, Gruppe B1 (Milet/Milet?)

Typus: 5/8/10?

Stilphase: SiA Ic-d

Dat.: 640/30-600 v. Chr.

Tafel 83, 519; 178, 519

520. Wfrgt. Z 94.14.110 + Z 94.204.70 + Z 94.244.6 + Z 94.248.12 + Z 94.272.37

L 2.0; B 2.0; WSt 0.32 (Z 94.14.110)

L 2.1; B 3.25; WSt 0.33–0.35 (Z 94.204.53)

L 2.8; B 2.35; WSt 0.32–0.35 (Z 94.244.6)

L 2.75; B 4.0; WSt 0.33–0.48 (Z 94.248.12)

L 2.0; B 2.8; WSt 0.32 (Z 94.272.24)

Ton: 7.5 YR 7/6; fest; wenig feiner Sandquarz; wenig feine, schwarze Partikel; sehr viel feiner und mittlerer Dunkelglimmer.

Oberfläche: geglättet.

Überzug: 10 YR 8/4; dünn.

Malfarbe: außen schwarzer, innen brauner, dichter Firnis.

Fundort: Milet, Aphrodite-Heiligtum

Kontext: Rasterb. 14/ Streufund (Z 94.14)
Q 94.10/ 6. Jh. v. Chr.
(Wiedereingefüllte Erde der Raubgrabung) (Z 94.204)
Q 94.12/ 2. H. 7. Jh. v. Chr. (wie Z 94.243 = braune, feste Lehmschicht über dem Tuff mit Heiligtumsabfall 2. H. 7. Jh. v. Chr.) (Z 94.244)
Q 94.10/ 6. Jh. v. Chr. (Schicht des 6.oder 7. Jh. v. Chr.) (Z 94.248)
Q 94.12/ 2. H. 7. Jh. v. Chr.
(Heiligtumsabfall 2. H. 7. Jh.)
(Z 94.272)

Typus: 5/8/10? oder Kalottenschale

Stilphase: SiA Ic

Dat.: 640/30-620/10 v. Chr.

Tafel 179, 520

521. Wfrgt. Z 94.204.71

L 2.7; B 5.05; WSt 0.29–0.32

Ton: 5 YR 7/6-8; weich; fein gemagert; Quarzeinschlüsse; viel grober Dunkelglimmer.

Überzug: 10 YR 8/3; dicht.

Malfarbe: außen: schwarzer, dichter und matter, teilweise abplatzender Firnis; innen: roter, lackartiger und abblätternder Firnis.

Fundort: Milet, Aphrodite-Heiligtum

Kontext: Q 94.10/ 6. Jh. v. Chr.
(Wiedereingefüllte Erde der Raubgrabung)

Typus: 10.B/C? oder Kalottenschale

Stilphase: SiA/MileA Ic-d?/(MileA Ila?)

Dat.: 640/30-600/590 v. Chr.

Tafel 83, 521; 179, 521

Stilphase SiA Id*Wandfragmente***522.** Wfrgt. AT 57.O.III.2,3.1

L 3.28; B 3.44; WSt 0.36–0.45

Ton: 7.5 YR 6/6; hart bis fest; leicht sandige Magerung; wenig Kalksplitter; feine schwarze Partikel; viel Hell- und Dunkelglimmer.

Oberfläche: gut geglättet.

Überzug: 10 YR 8/3.

Malfarbe: dunkelbraun-schwarzer, dichter, matter Firnis, teils streifig; im Firnis große Dunkelglimmerpartikel.

Fundort: Milet, Athena-Heiligtum

Kontext: Ostfundament III. 2. Abhub; bis Unterkante des hellenist. Fundamentes

Typus: 10.B/C? oder Kalottenschale

Stilphase: SiA/MileA Id/(MileA Ila?)

Dat.: 620/10 v. Chr.

Tafel 83, 522; 179, 522

523. Wfrgt. K 91.420.5
 L 3.4; B 3.0; WSt 0.25–0.3
 Ton: 7.5 YR 6-5/4; fest; mit feinen Quarzeinschlüssen; sehr viel feiner und mittelfeiner Hell- und Dunkelglimmer.
 Oberfläche: poliert.
 Überzug: 10 YR 7/4; dünn.
 Malfarbe: brauner, dichter Firnis; aufgesetzte Farbe: weiß.
 Fundort: Milet, Kalabaktepe
 Kontext: Q 91.10/ Phase 8 (Schutt der Wiederbesiedlung aber noch mit Schutt der späteren Steinausraubung gemischt)
 Typus: 10.C?
 Stilphase: SiA Id
 Dat.: 620/10 v. Chr.
 Tafel 83, 523; 179, 523

524. Wfrgt. Z 94.281.147
 L 2.7; B 2.1; WSt 0.3–0.34
 Ton: 10 YR 7/4; hart; fein gemagert; mehrere Poren; grössere Quarzeinschlüsse; gröberer Dunkelglimmer.
 Überzug: 2.5 Y 8/2.
 Malfarbe: fester, deckender, teils glänzender schwarzer Firnis; aufgesetzte Farbe: Deckrot.
 Fundort: Milet, Aphrodite-Heiligtum
 Kontext: Q 94.15/ 7./frühes 6. Jh. v. Chr. (Abfallsschicht des 7. und frühen 6. Jhs. v. Chr.)
 Typus: 10.C?
 Stilphase: SiA Id
 Dat.: 620/10 v. Chr.
 Tafel 83, 524; 180, 524

525. Wfrgte. Z 94.7.188 + Z 94.208.16 + Z 94.263.31 + Z 94.286.58
 L 2.8; B 5.3; WSt 0.3–0.38 (Z 94.7.188)
 L 3.9; B 2.7; WSt 0.24–0.36 (Z 94.208.16)
 L 2.6; B 3.2; WSt 0.28–0.32 (Z 94.263.31)
 L 2.45; B 3.65; WSt 0.3–0.34 (Z 94.286.58)
 Ton: 7.5-10 YR 8-7/6; fest; fein gemagert, aber viele Poren; feine Textur; sehr feine

Quarzeinschlüsse; feiner Hell- und gröberer Dunkelglimmer.
 Überzug: 10 YR 8/3-6; enthält Dunkelglimmer.
 Malfarbe: schwarzer, teils dünner und bräunlicher, stumpfer, dichter und fester Firnis; aufgesetzte Farbe: Deckrot; enthält Dunkelglimmer.
 Fundort: Milet, Aphrodite-Heiligtum
 Kontext: Streufund (Z 94.7) Q 94.12/ 2. H. 7. Jh. v. Chr. (Schuttschicht der 2. H. des 7. Jhs. v. Chr.) (Z 94.208) Q 94.13/ 2. H. 6. Jh. v. Chr. (Spätarchaische Schuttschicht) (Z 94.263) Q 94.15/ 7. Jh. v. Chr. (Heiligtumsabfall des 7. Jhs. v. Chr.) (Z 94.286)
 Typus: 10.C?
 Stilphase: SiA Id
 Dat.: 620/10 v. Chr.
 Tafel 83, 525; 180, 525

526. Wfrgt. Z 94.5.36
 L 1.9; B 3.0; WSt 0.32–0.37
 Ton: 7.5 YR 7/4; fest; fein gemagert; kaum Quarz- oder andere Einschlüsse; feiner Hellglimmer.
 Überzug: 10 YR 8/2; enthält groben Dunkelglimmer.
 Malfarbe: außen: schwarzer, dichter und stumpfer Firnis; innen: schwarzer, dichter und teilweise streifiger Firnis; enthält groben Dunkelglimmer.
 Fundort: Milet, Aphrodite-Heiligtum
 Kontext: Rasterb. 5/ Streufund
 Typus: 10.C?
 Stilphase: SiA Id
 Dat.: 620/10 v. Chr.
 Tafel 83, 526; 180, 526

527. Wfrgt. Z 02.52.3
 L 3.85; B 4.3; WSt 0.21-0.31
 Ton: 5 – 7.5 YR 7/6; fest; fein ausgeschlämmt; feine schwarze Partikel und feiner Kieselquarz; stark verdichtet, dennoch kleine Lufteinschlüsse; einiger feiner Dunkelglimmer.
 Oberfläche: gut geglättet.
 Malfarbe: teils abgeplatzt, brüchiger, dichter, teils streifiger dunkler rotbrauner bis schwarzofter, matter Malschlicker.

Fundort: Milet, Aphrodite-Heiligtum
 Kontext: Q 02.08/ spätarchaisch
 (Heiligtumsschutt)
 Typus: 10.C?
 Stilphase: SiA Id
 Dat.: 620/10 v. Chr.
 Tafel 180, 527

Stilphasen SiA Id/MileA Ila

Wandfragmente

528. Wfrgt. Z 94.164.12
 L 1.76; B 2.75; WSt 0.39–0.44
 Ton: 7.5 YR 7/6; fest; fein gemagert; sehr wenig
 Kalksteineinschlüsse; viel feiner Hellglimmer,
 auf der Oberfläche auch größerer
 Dunkelglimmer.
 Malfarbe: außen: schwarzbrauner, matter und
 dichter Firnis; innen: schwarzer, matter und
 dichter, teilweise rötlichbrauner Firnis;
 aufgesetzte Farbe: Deckrot.
 Fundort: Milet, Aphrodite-Heiligtum
 Kontext: Q 94.10/ 6. Jh. v. Chr.
 (Abdeckungsschicht für Bothros?)
 Typus: 10.C?
 Stilphase: SiA Id/MileA Ila
 Dat.: 620-590 v. Chr.
 Tafel 83, 528; 181, 528

529. Wfrgt. K 89.4.17
 L 1.45; B 2.6; WSt 0.2
 Ton: 7.5-10 YR 8/5-3; weich; fein gemagert.
 Oberfläche: kreidig, seifig.
 Malfarbe: schwarzer Firnis.
 Fundort: Milet, Kalabaktepe
 Kontext: R 86.09/ Phase 6/7(?) (Auffüllung für
 die nacharchaische Wiederbesiedlung?)
 Typus: 10.C?
 Stilphase: SiA Id/MileA Ila
 Dat.: 620-590 v. Chr.
 Tafel 84, 529; 181, 529

530. Wfrgte. Z 94.114.207 +
 Z 94.148.8

L 1.95; B 2.8; WSt 0.31 (Z 94.114.207)
 L 2.5; B 3.5; WSt 0.34 (Z 94.148.8)
 Ton: 7.5 YR 7-6/6; fest bis hart; sehr fein gemagert,
 homogen; kleinere Kalksteineinschlüsse; viel
 feiner Hell- und Dunkelglimmer.
 Überzug: „wash“.
 Malfarbe: dunkelbrauner, streifiger bis dichter
 Firnis; außen: teilweise heller und wässriger.

Fundort: Milet, Aphrodite-Heiligtum
 Kontext: Q 94.06/ 6. Jh. v. Chr.
 (Heiligtumsabfall, teilweise schon auf
 dem Tuff) (Z 94.114.207)
 Q 94.10/ 6. Jh. v. Chr. (Schuttschicht
 des 6. Jhs. v. Chr.) (Z 94.148.8)

Typus: 10.C?
 Stilphase: SiA Id/MileA Ila
 Dat.: 620-590 v. Chr.
 Tafel 84, 530; 181, 530

531. Wfrgte. Z 94.7.443 +
 Z 94.174.7
 L 2.21; B 3.42; WSt 0.38–0.5
 Ton: 7.5 YR 7/4-6; fest bis hart; fein gemagert;
 homogen und dicht; viel feiner Hell- und
 Dunkelglimmer.
 Überzug: 5 Y 8/2-3.
 Malfarbe: schwarzer, dichter und stumpfer Firnis.
 Fundort: Milet, Aphrodite-Heiligtum
 Kontext: Streufund (Z 94.7.443)
 Q 94.12/ 6. Jh. v. Chr. (Schutt des 6. Jhs.
 v. Chr.) (Z 94.174.7)

Typus: 10.C?
 Stilphase: SiA Id/MileA Ila
 Dat.: 620-590 v. Chr.
 Tafel 84, 531

532. Wfrgte. Z 94.7.204+205
 L 2; B 2.55; WSt 0.27–0.29 (Z 94.7.204)
 L 2; B 2.15; WSt 0.28–0.29 (Z 94.7.205)
 Ton: 7.5 YR 7/6; fest; sehr fein gemagert; homogen
 und dicht; viel feiner Hell- und einiger größerer
 Dunkelglimmer.
 Überzug: 2.5 Y 8/2; dicht, aber dünn.
 Malfarbe: außen: von dunkelgraubraun bis
 hellbraun changierender Firnis; innen:
 dunkelrotbrauner, stumpfer und dichter Firnis.

Fundort: Milet, Aphrodite-Heiligtum
 Kontext: Streufund

Typus: 10.C?

Stilphase: SiA Id/MileA Ila

Dat.: 620-590 v. Chr.

Tafel 84, 532; 181, 532

533. Wfrgt. Z 94.163.17

L 2.26; B 2.67; WSt 0.3–0.33

Ton: 7.5 YR 7/6; sehr fest; sehr fein gemagert; viel feiner Dunkelglimmer.

Malfarbe: außen: rötlichbraun, teils wässrig, teils dicht; innen: von braun bis braunrötlich changierend und streifig.

Fundort: Milet, Aphrodite-Heiligtum

Kontext: Q 94.10/ Anfang 6. Jh. v. Chr. (Gruben-/Bothrosfüllung des 7. Jhs. v. Chr., Funde reichen bis Anf. 6. Jh.)

Typus: 10.C?

Stilphase: SiA Id/MileA Ila

Dat.: 620-590 v. Chr.

Tafel 84, 533; 182, 533

534. Wfrgt. Z 94.197.4

L 2.6; B 2.45; WSt 0.35–0.5

Ton: 7.5 YR 8-7/6; fest; sehr fein gemagert und dicht; viel feiner Dunkelglimmer.

Überzug: 2.5 Y 8/2; dicht, fest.

Malfarbe: schwarzer, matt metallischer Firnis; wenn dünn aufgetragen, dann bräunlich.

Fundort: Milet, Aphrodite-Heiligtum

Kontext: Q 94.12/ 1. H. 6. Jh. v. Chr. (Schutt des frühen 6. Jhs. v. Chr.)

Typus: 10.C?

Stilphase: SiA Id/MileA Ila

Dat.: 620-590 v. Chr.

Tafel 84, 534; 182, 534

535. Wfrgt. K 90.497.15

L 2.1; B 2.75; WSt 0.3

Ton: 5 YR 7/8; fest; fein gemagert; mittelfeiner und grober Dunkelglimmer.

Oberfläche: geglättet bzw. poliert.

Überzug: dünner „wash“.

Malfarbe: roter, dichter, weicher und lackartiger Firnis; innen fast vollständig abgeplatzt.

Fundort: Milet, Kalabaktepe

Kontext: Q 90.01/ Phase 7 (Übergang zum Zerstörungsschutt *in situ*)

Typus: 10.C?

Stilphase: SiA Id/MileA Ila

Dat.: 620-590 v. Chr.

Tafel 84, 535; 182, 535

536. Wfrgt. K 89.480.2

L 1.7; B 1.8; WSt 0.25

Ton: 7.5 YR 7-6/6-4, fest, fein gemagert; viel Hell- und Dunkelglimmer.

Überzug: ca. 5 Y 8-7/3-2, gelblich

Malfarbe: fester, schwarzer Firnis; aufgesetzte Farbe: Deckrot

Fundort: Milet, Kalabaktepe

Kontext: Q 89.16/ Phase 5–7 (Auffüllung für Phase 6, vielleicht noch nacharchaisch gestört)

Typus: 10.C?

Stilphase: SiA Id/MileA Ila

Dat.: 620-590 v. Chr.

Tafel 84, 536; 182, 536

537. Wfrgt. K 91.524.2

L 2.45; B 2.0; WSt 0.3

Ton: 7.5 YR 7-6/6; fest; feine, kleine Kieseleinschlüsse; viel feiner Hell- und Dunkelglimmer.

Oberfläche: geglättet.

Überzug: ca. 7.5 YR 8/4.

Malfarbe: rötlichbrauner, dichter und matt metallisch glänzender Firnis; innen: streifig.

Fundort: Milet, Kalabaktepe

Kontext: Q 91.09/ Phase 6–7 (Zerstörungsschicht des Oberbaus des Gebäudes von Phase 6)

Typus: 10.C?

Stilphase: SiA Id/MileA Ila

Dat.: 620-590 v. Chr.

Tafel 84, 537; 182, 537

538. Wfrgt. K 91.34.5

L 2.8; B 4.6; WSt 0.3

Ton: 7.5 YR 7-6/6; fest; viel feiner Hell- und größerer Dunkelglimmer.

Oberfläche: geglättet.
 Überzug: 10 YR 8/4.
 Malfarbe: schwarzbrauner Firnis; außen: teilweise dünn, dann braun; innen: streifig;
 aufgesetzte Farbe: Deckrot.

Fundort: Milet, Kalabaktepe
 Kontext: U 90.02/ Phase 7–8 (Obere Schichten über der Mauer K 91.294)
 Typus: 10.C?
 Stilphase: SiA Id/MileA IIa
 Dat.: 620-590 v. Chr.
 Tafel 84, 538; 183, 538

539. Wfrgt. Z 94.26.8
 L 2.24; B 3.32; WSt 0.29–0.34
 Ton: 7.5 YR 7/6; fest; fein gemagert, leicht sandig; viel Hell- und Dunkelglimmer.
 Oberfläche: unter abgeplatzttem Firnis starke Drehrillen.
 Überzug: 10 YR 8/2.
 Malfarbe: roter, wohl lackartiger, stark abblättrender Firnis.
 Fundort: Milet, Aphrodite-Heiligtum
 Kontext: Rasterb. 26/ Streufund
 Typus: 10.B/C?
 Stilphase: SiA Id/MileA IIa
 Dat.: 620-590 v. Chr.
 Tafel 84, 539; 183, 539

540. Wfrgt. K 89.462.7
 L 3.1; B 2.85; WSt 0.3
 Ton: 10 YR 8/6; fest bis weich; fein gemagert; feiner Hellglimmer.
 Oberfläche: geglättet.
 Überzug: 2.5 Y 8/3; fest und dicht; enthält viel feinen Hellglimmer.
 Malfarbe: schwarzer, matt metallisch glänzender Firnis; enthält viel feinen Hellglimmer.
 Fundort: Milet, Kalabaktepe
 Kontext: Q 89.16/ Phase 6B–7A (Auffüllung für die Wiederbesiedlung mit Boden Phase 6)
 Typus: 9.C?
 Stilphase: SiA Id/MileA IIa
 Dat.: 620-590 v. Chr.
 Tafel 84, 540; 183, 540

Stilphase MileA IIa – Bilinguen

Wandfragmente

541. Wfrgte. Z 94.8.5 + Z 94.263.65 + Z 94.269.8 + Z 94.270.70+73
 L 3.6; B 6.8; WSt (Z 94.263.65)
 L 2.5; B 2.3; WSt (Z 94.270.71)

Ton: 7.5 YR 7/6; fest bis hart; dicht, mit runden Quarzeinschlüssen; mittelfeiner Dunkelglimmer.
 Überzug: ca. 10 YR 8/4; enthält Hellglimmer
 Malfarbe: außen: schwarzer, teils fester und sehr dichter, teils dünn aufgetragener, dann bräunlicher und matt glänzender Firnis; innen: schwarzer, fester, teils streifig aufgetragener und matter Firnis; enthält Hellglimmer; aufgesetzte Farbe: Deckrot.

Fundort: Milet, Aphrodite-Heiligtum
 Kontext: Rasterb. 8/ Streufund (Z 94.8) Q 94.13/ 2. H. 6. Jh. v. Chr. (Spätarchiasche Schuttschicht) (Z 94.263) keine Information (Z 94.269) Q 94.15/ frühes 6. Jh.v. Chr. (Heiligtumsabfall) (Z 94.270)

Typus: 9.C/10.C?
 Stilphase: MileA IIa, Bilingue
 Dat.: 610-590 v. Chr.
 Tafel 85, 541; 183, 541

542. Wfrgte. K 90.725.1+2
 L 2.2; B 2.6; WSt 0.36 (K 90.725.1a)
 L 1.7; B 2.9; WSt 0.36 (K 90.725.1b)
 L 4.3; B 3.2; WSt 0.35 (K 90.725.2)
 Ton: 7.5 YR 6/6; fest; feine Kalksteineinschlüsse; viel mittelfeiner Hell- und Dunkelglimmer.
 Überzug: ca. 2.5 YR 8/3.
 Malfarbe: außen: braunschwarzer Firnis; innen: schwarzer Firnis, streifig; aufgesetzte Farbe: Deckrot.
 Fundort: Milet, Kalabaktepe
 Kontext: R 89.18/ Phase 4A–B [6–7] (Auffüllung und Boden Phase 4? [eher Phase 6 oder 7])
 Archäometrie: *Yalcm* Prob.Nr.: TR-3K/276 Milesisches Feld/Cluster 6, Gruppe B1 (Milet/Milet?)
 Typus: 9.C/10.C?

Stilphase: MileA IIA, Bilingue

Publ.: Schlotzhauer 2001, 122 Taf. 17, 1.3.

Dat.: 600-590 v. Chr.

Tafel 85, 542; 184, 542

543. Wfrgte. Z 94.14.63 + Z 94.52.2
+ Z 94.68.17

L 2.27; B 1.7; WSt 0.33–0.35 (Z 94.14.36)

L 4.5; B 2.7; WSt 0.31–0.35 (Z 94.52.2 u. 68.17)

Ton: 7.5 YR 6/6; fest bis hart; fein gemagert; sehr wenig kleinste schwarze Partikel und Poren; feiner Hellglimmer.

Überzug: 10 YR 8/3; enthält Dunkelglimmer.

Malfarbe: außen: dünner und brauner Firnis; innen: schwarzer, dichter und fester Firnis; aufgesetzte Farbe: Deckrot und -weiss.

Fundort: Milet, Aphrodite-Heiligtum

Kontext: Rasterb. 14/ Streufund (Z 94.14)
Q 94.04/ 6. Jh. v. Chr. (Block der Terrassenmauer) (Z 94.52)
Q 94.04; L 94.05/ 6. Jh. v. Chr. (Schutt nach Bau der Terrassenmauer) (Z 94.68)

Typus: 9.C?

Stilphase: MileA IIA, Bilingue

Dat.: 600-590 v. Chr.

Tafel 86, 543; 184, 543

Stilphase MileA IIA

Wandfragmente

544. Wfrgt. Z 94.221.10

L 2.5; B 2.25; WSt 0.4

Ton: 7.5 YR 7/6 bis 5 YR 7/4; fest; fein gemagert; feine Quarzeinschlüsse; feiner Hellglimmer.

Überzug: ca. 10 YR 8/2.

Malfarbe: schwarzer, dichter und stumpfer Firnis, teilweise abgeplatzt; wenn dünn aufgetragen, dann bräunlich.

Fundort: Milet, Aphrodite-Heiligtum

Kontext: Q 94.13/ 2. H. 6. Jh. v. Chr. (Schuttschicht unmittelbar auf dem gewachsenen Boden)

Typus: 9.C/10.C?

Stilphase: MileA IIA

Dat.: 600-590/80 v. Chr.

Tafel 86, 544; 184, 544

545. Wfrgt. Z 94.202.48

L 3.2; B 2.0; WSt 0.32

Ton: 7.5 YR 7/4-6; fein gemagert.

Überzug: 2.5 Y 8/2.

Malfarbe: schwarzer, dichter und deckender, stumpfer Firnis; wenn dünn aufgetragen, dann bräunlich.

Fundort: Milet, Aphrodite-Heiligtum

Kontext: Q 94.10/ 7. Jh. v. Chr. (Gruben- und Bothrosfüllung, möglicherweise mit Raubgrabung vermischt [nach den SA zu urteilen nicht, jedenfalls einheitlich 7. Jh. v. Chr.]

Typus: 9.C/10.C?

Stilphase: MileA IIA (, Bilingue?)

Dat.: 600-590 v. Chr.

Tafel 86, 545; 184, 545

Stilphase MileA IIA-b

Wandfragmente

546. Wfrgt. Z 94.14.134

L 6.8; B 8.65; WSt 0.29–0.36

Ton: 5 YR 7/4-6; hart; fein gemagert; gröbere Quarzeinschlüsse; viel Hellglimmer, aber auch grober Dunkelglimmer.

Überzug: 10 YR 8/3.

Malfarbe: von braun über rötlichbraun bis schwarz changierender, fester, streifiger und matter Firnis.

Fundort: Milet, Aphrodite-Heiligtum

Kontext: Rasterb. 14/ Streufund

Typus: 10.B?

Stilphase: MileA IIA-b

Dat.: 600-570/60 v. Chr.

Tafel 86, 546; 185, 546

547. Wfrgt. Z 91.86.37

L 2.3; B 4.2; WSt 0.35

Ton: ca. 10 YR 8/5; fest, fein gemagert; mittelfeiner Hellglimmer.

Oberfläche: geglättet bzw. poliert.

Überzug: 10 YR 8/3, fast nur „wash“; sehr dünn;
enthält viel feinen und mittelfeinen Hell- und
Dunkelglimmer.

Malfarbe: schwarzer, matter Firnis; streifig;
besonders außen teilweise stark abgerieben.

Fundort: Milet, Aphrodite-Heiligtum

Kontext: Q 91.32/ 1. H.? 6. Jh. v. Chr.
(Spätarchaischer Heiligtumschutt,
außerhalb des Bothros deponiert,
Beginn der Terrassierungsaufschüttung;
ungestörter Befund)

Typus: 10.B/C?

Stilphase: MileA IIA-b

Dat.: 600-570/60 v. Chr.

Tafel 86, 547; 185, 547

548. Wfrgt. Z 94.227.11

L 1.9; B 3.05; WSt 0.25

Ton: 5 YR 6/6; fest; sehr fein gemagert; viel feiner
Hellglimmer.

Überzug: 7.5 YR 8/4; enthält Dunkelglimmer.

Malfarbe: roter, lackartiger und fester, aber weicher
Firnis; enthält Dunkelglimmer.

Fundort: Milet, Aphrodite-Heiligtum

Kontext: Q 94.10/ 1. H. 6. Jh. v. Chr.
(Opferschutt)

Typus: 10.B/C?

Stilphase: MileA IIA-b

Dat.: 600-570/60 v. Chr.

Tafel 86, 548; 185, 548

549. Wfrgt. Z 94.256.12

L 4.28; B 2.7; WSt 0.36–0.45

Ton: 5 YR 6/6 (außen), 2.5 YR 6/6 (innen); fest bis
hart; fein gemagert, leicht körnig; sandige
Partikel; viel feiner Hellglimmer.

Überzug: 10 YR 8/3; dicht.

Malfarbe: gräulichbrauner, stumpfer und dichter
Firnis.

Fundort: Milet, Aphrodite-Heiligtum

Kontext: Q 94.12/ 7. Jh. v. Chr.?
(Heiligtumsabfall)

Typus: 9./10.B/C?

Stilphase: MileA IIA-b

Dat.: 600-570/60 v. Chr.

Tafel 86, 549; 185, 549

550. Wfrgt. Z 94.72.3

Keine weiteren Angaben, da nicht mehr
aufzufinden.

Fundort: Milet, Aphrodite-Heiligtum

Kontext: Q 94.04; L 94.05/ 6. Jh. v. Chr. (Schutt
des 6. Jh. v. Chr.)

Stilphase: MileA IIA-b

551. Wfrgte. Z 94.102.11 +
Z 94.115.4

L 1.1; B 1.3; WSt 0.27 (Z 94.102.11)

L 1.8; B 2.6; WSt 0.28–0.21 (Z 94.115.4)

Ton: 7.5 YR 7/6; fest; feinst gemagert; feiner
Hellglimmer.

Überzug: 2.5 Y 8/2; enthält Dunkelglimmer.

Malfarbe: schwarzer, teils dichter, teils abgeplatzter
Firnis; enthält Dunkelglimmer.

Fundort: Milet, Aphrodite-Heiligtum

Kontext: Q 94.06/ 6. Jh. v. Chr. (Heiligtumsabfall
des 6. Jhs. v. Chr.) (Z 94.102)

Q 94.06/ 6. Jh. v. Chr. (Heiligtumsabfall
des 6. Jhs. v. Chr.) (Z 94.115)

Typus: 9./10.B/C?

Stilphase: MileA IIA-b

Dat.: 600-570/60 v. Chr.

Tafel 86, 551; 186, 551

552. Wfrgte. Z 94.53.104 +
Z 94.127.84

L 3.5; B 5.65; WSt 0.26–0.31

Ton: 5 YR 7/6; fest; sehr fein gemagert; einige
größere Quarzeinschlüsse; viel feiner
Hellglimmer.

Überzug: 2.5 Y 8/0.

Malfarbe: von rötlichbraun bis schwarz
changierender, dichter Firnis;
aufgesetzte Farbe: Deckrot.

Fundort: Milet, Aphrodite-Heiligtum

Kontext: Q 94.05/ 6. Jh. v. Chr. (Heiligtumsabfall
des 6. Jhs. v. Chr.) (Z 94.53)

Q 94.04/ 6. Jh. v. Chr. (Heiligtumsabfall
des 6. Jhs. v. Chr.) (Z 94.127)

Typus: 9./10.C?

Stilphase: MileA IIA-b

Dat.: 600-570/60 v. Chr.

Tafel 87, 552; 186, 552

553. Wfrgte. Z 93.27.84 +
Z 93.36.9
L 2.2; B 2.75; WSt 0.23–0.25 (Z 93.27.84)
L 1.73; B 1.91; WSt 0.23–0.27 (Z 93.36.9)
Ton: 7.5 YR 7/6; fest; sehr fein gemagert und dicht;
keine größeren Quarzpartikel; viel feiner
Hellglimmer.
Oberfläche: sehr gut geglättet.
Überzug: 10 YR 8/4.
Malfarbe: von bräunlich bis schwarz changierender
Firniss; innen: metallisch glänzend; außen:
dicht und stumpf;
aufgesetzte Farbe: Deckrot.

Fundort: Milet, Aphrodite-Heiligtum
Kontext: Q 93.11/ 6. Jh. v. Chr. (Letzte Schicht
über dem gewachsenen Tuff) (Z 93.27)
Q 93.12/ rezent (Erde aus einer rezenten
Pflanzgrube) (Z 93.36)
Typus: 9./10.C?
Stilphase: MileA IIa-b
Dat.: 600-570/60 v. Chr.
Tafel 87, 553; 186, 553

554. Wfrgt. K 90.577.3
L 3.2; B 2.8; WSt 0.35–0.45
Ton: 10 YR 7-8/4; weich; fein gemagert; wenig
kleine Einschlüsse; Hellglimmer.
Überzug: 10 YR 8/2.
Malfarbe: außen: teils schwarzer, fester und matter,
teils brauner, dünn aufgetragener Firnis; innen:
dunkler, stumpfer, teils abgeriebener Firnis.

Fundort: Milet, Kalabaktepe
Kontext: Q 90.14/ Phase 8 (Oberster Aushub)
Typus: 9.C?
Stilphase: MileA IIa-b
Dat.: 600-570/60 v. Chr.
Tafel 87, 554; 186, 554

555. Wfrgte. Z 94.61.42 +
Z 94.69.92
L 2.62; B 4.7; WSt 0.22–0.26
Ton: 5 YR 6/8; fest bis hart; sehr fein gemagert;
dicht; wenig feine Quarzeinschlüsse; viel
feiner Hellglimmer.
Überzug: 7.5 YR 8/4.

Malfarbe: von dunkelbraun bis bräunlichrot
changierender, teils deckender, teils streifiger
und dünner Firnis.

Fundort: Milet, Aphrodite-Heiligtum
Kontext: Q 94.05/ 1. H. 6. Jh. v. Chr. (Schutt bis
Mitte 6. Jh. v. Chr.) (Z 94.61)
Q 94.05/ 1. H. 6. Jh. v. Chr. (Schutt bis
Mitte 6. Jh. v. Chr.) (Z 94.69)
Typus: 10.B/C?
Stilphase: MileA IIa-b
Dat.: 600-570/60 v. Chr.
Tafel 87, 555; 187, 555

556. Wfrgt. K 89.496.3
L 1.6; B 3.1; WSt 0.3
Ton: ca. 7.5 YR 8-7/6-4 bis 10 YR 8-7/6-4; fest;
fein gemagert; sehr feiner Hellglimmer.
Überzug: 10 YR 8/3; enthält viel feinen
Hellglimmer; dünn milchig.
Malfarbe: schwarzer, dichter und matter Firnis;
teilweise abgerieben; enthält viel feinen
Hellglimmer.

Fundort: Milet, Kalabaktepe
Kontext: Q 89.19/ Phase 7 (Nacharchaische
Sandeinfüllung)
Archäometrie: *Yalcın* Prob.Nr.: TR-3K/285
Milesisches Feld/Cluster 6, Gruppe
B1 (Milet/Milet?)
Stilphase: MileA IIa-b
Dat.: 600-570/60 v. Chr.
Tafel 87, 556; 187, 556

Stilstufe MileA II

Wandfragmente

557. Wfrgt. Z 94.99.62
L 2.46; B 3.05; WSt 0.39–0.42
Ton: 5 YR 7/6; fest bis weich; sehr fein gemagert;
dicht; viel feiner Hell- und Dunkelglimmer.
Überzug: 10 YR 8/3-4; dicht und dick aufgetragen
Malfarbe: rötlichbrauner und stark abgeplatzter
Firniss.
Fundort: Milet, Aphrodite-Heiligtum
Kontext: Q 94.06/ 6. Jh. v. Chr. (Heiligtumsabfall
mit Ascheflecken)
Typus: 9./10.B/C?

Stilstufe: MileA II

Dat.: 600/590- mindestens 530/20 v. Chr.

Tafel 87, 557; 187, 557

558. Wfrgt. Z 94.95.101

L 1.7; B 2.0; WSt 0.27–0.37

Ton: 7.5-5 YR 7/6; fest bis weich; sehr fein gemagert; feine Quarzeinschlüsse; viel mittelfeiner Hell- und Dunkelglimmer.

Überzug: 10 YR 8/2-3.

Malfarbe: von braun bis schwarz changierender, dichter und deckender Firnis; aufgesetzte Farbe: Deckrot.

Fundort: Milet, Aphrodite-Heiligtum

Kontext: Q 94.5/ (2. H.) 6. Jh. v. Chr. (Schutt hauptsächlich des 6. Jh. v. Chr.)

Typus: 9./10.C?

Stilstufe: MileA II

Dat.: 600/590- mindestens 530/20 v. Chr.

Tafel 87, 558; 187, 558

559. Wfrgt. Z 94.202.1

L 3.1; B 5.35; WSt 0.33–0.47

Ton: 5 YR 7/6; fest bis hart; fein gemagert, aber sandig; dicht und kompakt; viel feiner Hell- und auch größerer Dunkelglimmer.

Oberfläche: gut geglättet.

Überzug: 2.5 Y 8/2.

Malfarbe: außen: schwarzer, dichter und fester, teilweise metallisch glänzender, teilweise matter Firnis; innen: entweder abgeplatzt oder aber durch Brand rötlichbrauner, streifiger und stumpfer Firnis, teilweise Reste aller Arten von schwarz glänzendem Firnis; aufgesetzte Farbe: Deckrot.

Fundort: Milet, Aphrodite-Heiligtum

Kontext: Q 94.10/ 7. Jh. v. Chr.? (Gruben-/Bothrosfüllung, möglicherweise mit Raubgrabung vermischt; Datierung nach Keramik)

Typus: 9./10.C?

Stilstufe: MileA II

Dat.: 600/590- mindestens 530/20 v. Chr.

Tafel 87, 559; 188, 559

560. Wfrgt. Z 94.197.29

L 2.6; B 2.45; WSt 0.35–0.5

Ton: 7.5 YR 8-7/6; fest; sehr fein ausgeglimmt, dicht gepackt, viel feiner Dunkelglimmer.

Oberfläche: gut geglättet.

Überzug: 2.5 Y 8/2; dicht und fest.

Malfarbe: schwarzer, teils dünner, dann bräunlicher metallisch glänzender Firnis.

Fundort: Milet, Aphrodite-Heiligtum

Kontext: Q 94.12/ 1. H. 6. Jh. v. Chr. (Schutt des 6. Jhs. v. Chr.)

Stilstufe: MileA II

Dat.: 600/590- mindestens 530/20 v. Chr.

Tafel 87, 560; 188, 560

561. Wfrgt. Z 94.185.50

L 1.6; B 2.4; WSt 0.22–0.25

Ton: 7.5 YR 7/6; fest; sehr fein gemagert; keine größeren Einschlüsse; sehr viel feiner Hell- und Dunkelglimmer.

Oberfläche: stark geglättet.

Überzug: 10 YR 8/3; dicht und fest.

Malfarbe: schwarzer, matter und dichter Firnis.

Fundort: Milet, Aphrodite-Heiligtum

Kontext: Q 94.10/ 6. Jh. v. Chr. (Heiligtumsschutt des 7. und 6. Jh. v. Chr.)

Typus: 9./10.C?

Stilstufe: MileA II

Dat.: 600/590- mindestens 530/20 v. Chr.

Tafel 87, 561; 188, 561

562. Wfrgt. Z 91.95.2

L 3.2; B 3.2; D:0.45–0.5

Ton: 7.5 YR 7/4-6 bis 10 YR 7/4-6; weich; fein gemagert; sehr feiner Hellglimmer.

Überzug: 2.5 Y 8/3; innen fast vollständig verloren; enthält feinen und mittelfeinen Hellglimmer.

Malfarbe: schwarzer, matter und dichter Firnis; aufgesetzte Farbe: Deckrot; enthält feinen und mittelfeinen Hellglimmer.

Fundort: Milet, Aphrodite-Heiligtum

Kontext: Q 91.31/ 2. H. 6. Jh. v. Chr. (Felsverwitterung, wahrscheinlich noch durch hellenist./röm. Steinausraubung gestört)

Typus: 9./10.C?

Stilstufe: MileA II

Dat.: 600/590- mindestens 530/20 v. Chr.

Tafel 87, 562; 188, 562

563. Wfrgt. AT 63.S (5743)

L 2.1; B 3.57

Keine weiteren Angaben, da nicht aufzufinden.

Fundort: Milet, Athena-Heiligtum

Kontext: erhaltene Befundnummer nicht eindeutig!

Stilstufe: MileA II

Dat.: 600/590- mindestens 530/20 v. Chr.

564. Wfrgt. K 90.31.1

L 2.1; B 2.4; WSt 0.2–0.3

Ton: 7.5 YR 7/6; fest; sehr fein gemagert; dicht; viel feiner Hellglimmer.

Überzug: 2.5 Y 8/2-4.

Malfarbe: schwarzer, fester und matt metallisch glänzender Firnis; teilweise abgeplatzt, teils dünn und wässrig aufgetragen, dann bräunlich; aufgesetzte Farbe: Deckrot.

Fundort: Milet, Kalabaktepe

Kontext: Q 90.03/ Phase 7 (Auffüllung für die Wiederbesiedlung)

Typus: 9./10.C?

Stilstufe: MileA II

Dat.: 600/590- mindestens 530/20 v. Chr.

Tafel 87, 564; 189, 564

565. Wfrgt. Z 91.38.159

L 2.5; B 2.8; WSt 0.25–0.3

Ton: 7.5 YR 7/6; weich; fein gemagert; viel mittelfeiner Dunkelglimmer.

Überzug: 2.5 Y 8/2-3; dünn; enthält wenig feinen und mittelfeinen Hellglimmer.

Malfarbe: braunschwarzer Firnis.

Fundort: Milet, Aphrodite-Heiligtum

Kontext: Q 91.31/ 2 H. 6. Jh. v. Chr. (Spätarchaische Opferabfallschicht über älteren, sukzessive gewachsenen Schichten)

Typus: 10.C?

Stilstufe: MileA II

Dat.: 600/590- mindestens 530/20 v. Chr.

Tafel 88, 565; 189, 565

566. Wfrgt. Z 93.21.90 +
Z 93.37.74

L 4.6; B 4.55; WSt 0.31–0.38

Ton: 5 YR 7/6; sehr fest bis hart; fein gemagert; teilweise gröbere Partikel, wie Schamott- und Quarzeinschlüsse; viel feiner Hell- und Dunkelglimmer.

Überzug: 2.5 Y 8/4.

Malfarbe: außen: teilweise schwarzer und dichter, teilweise graubrauner und dünner Firnis; innen: schwarzer, fester und matt glänzender Firnis; aufgesetzte Farbe: Deckrot.

Fundort: Milet, Aphrodite-Heiligtum

Kontext: Q 93.11/ 2. H. 6. Jh. v. Chr. (Hangschutt des 6. Jhs. v. Chr.) (Z 93.21)
Q 93.12/ 6. Jh. v. Chr. (Schutt des 6. Jhs. v. Chr. bis auf den gewachsenen Boden) (Z 93.37)

Typus: 9./10.C?

Stilstufe: MileA II

Dat.: 600/590- mindestens 530/20 v. Chr.

Tafel 88, 566; 189, 566

567. Wfrgt. Z 94.67.10

L 2.0; B 3.15; WSt 0.35

Ton: 7.5 YR 7/6-4; hart; fein gemagert; kaum Magerungspartikel; stark verdichtet; viel Hell- und Dunkelglimmer.

Oberfläche: geglättet, kaum Drehrillen.

Überzug: 2.5 Y 8/2; sehr dicht und fest.

Malfarbe: von dunkelbraun bis rotbraun changierender, teilweise abblätternder Firnis.

Fundort: Milet, Aphrodite-Heiligtum

Kontext: Q 94.06/ 6. Jh. v. Chr. (Schuttschicht des 6. Jh. v. Chr.)

Archäometrie: *Yalcın* Prob.Nr.: TR-3K/288
Milesisches Feld/Cluster 6, Gruppe B1 (Milet/Milet?)

Typus: 9./10.C?

Stilstufe: MileA II

Dat.: 600/590- mindestens 530/20 v. Chr.

Tafel 88, 567; 189, 567

568. Wfrgt. AT 55.54.1

L 2.5; B 3; WSt 0.32

Ton: 5 YR 7/4-6; fest; fein gemagert; viel Hellglimmer.

Überzug: 10 YR 8/3-4.

Malfarbe: von rotbraun bis dunkelbraun changierender Firmis.

Fundort: Milet, Athena-Heiligtum

Kontext: keine Informationen

Typus: 9./10.C?

Stilstufe: MileA II

Dat.: 600/590- mindestens 530/20 v. Chr.

Tafel 88, 568

569. Wfrgt. AT 68.O.I.1

L 2.75; B 3.4; WSt 0.27

Ton: 5 YR 7/4; fest; fein gemagert; feine Quarzeinschlüsse; viel feiner Hellglimmer.

Überzug: 10 YR 8/2; dünn und dicht.

Malfarbe: von schwarz bis dunkelbraun changierender, matter Firmis.

Fundort: Milet, Athena-Heiligtum

Kontext: keine Informationen

Typus: 10.C?

Stilstufe: MileA II

Dat.: 600/590- mindestens 530/20 v. Chr.

Tafel 88, 569; 190, 569

570. Wfrgt. Z 94.7.104

L 1.7; B 3.0; WSt 0.37

Ton: 5 YR 7/6-8; weich bis fest; sehr fein gemagert; Quarzeinschlüsse; feiner Hell- und viel Dunkelglimmer.

Überzug: 2.5 Y 8/2

Malfarbe: von schwarz bis rötlichbräunlich changierender, dichter, teilweise abgeplatzter Firmis.

Fundort: Milet, Aphrodite-Heiligtum

Kontext: Rasterb. 7/ Streufund

Typus: 9./10.C?

Stilstufe: MileA II

Dat.: 600/590- mindestens 530/20 v. Chr.

Tafel 88, 570; 190, 570

571. Wfrgt. K 91.200.2

L 1.75; B 3.9; WSt 0.25–0.3

Ton: 5 YR 7-6/8; weich; fein gemagert; mittelfeine Kalksteineinschlüsse; viel feiner Hell- und Dunkelglimmer.

Überzug: 10 YR 8/3; enthält mittelfeinen Hell- und Dunkelglimmer.

Malfarbe: roter, dichter und lackartiger Firmis.

Fundort: Milet, Kalabaktepe

Kontext: Q 91.04/ Phase 6–7 (Schutt der letzten archaischen Siedlung)

Stilstufe: MileA II

Dat.: 600/590- mindestens 530/20 v. Chr.

Tafel 88, 571; 190, 571

572. Wfrgte. Z 94.51.28 +
Z 94.184.4

L 2.39; B 2.01; WSt 0.24–0.26 (Z 94.51.28)

L 2.85; B 2.93; WSt 0.22–0.27 (Z 94.184.4)

Ton: 7.5 YR 7/6; feinst gemagert; fest; dichte, homogene Masse; viel feiner Hellglimmer.

Überzug: 10 YR 8/2-3; enthält Dunkelglimmer.

Malfarbe: außen: schwarzer, metallisch matter, teilweise stumpfer Firmis; innen: schwarzer, teilweise glänzender Firmis.

Fundort: Milet, Aphrodite-Heiligtum

Kontext: Q 94.06/ 6. Jh. v. Chr. oder nacharchaisch (Störung von Raubgrabung oder Schutt des 6. Jhs. v. Chr.) (Z 94.51)

Q 94.12/ 6. Jh. v. Chr. (Aschengrube? im Schutt des 6. Jh. v. Chr.) (Z 94.184)

Typus: 9./10.B/C?

Stilstufe: MileA II

Dat.: 600/590- mindestens 530/20 v. Chr.

Tafel 88, 572

573. Wfrgt. K 95.14.3

L 4.7; B 6.0; WSt 0.25–0.4

Ton: 7.5 YR 7-6/5; weich; feinst gemagert; feiner bis mittelgrober Hellglimmer.

Überzug: 10 YR 8/2-3.

Malfarbe: teils schwarzer, matt metallisch glänzender und dichter, teils dünner und bräunlicher Firmis.

Fundort: Milet, Kalabaktepe

Kontext: Q 95.02/ Phase 7–8 (Schutt der nacharchaischen Wiederbesiedlung)

Typus: 10.C?

Stilstufe: MileA II

Dat.: 600/590- mindestens 530/20 v. Chr.

Tafel 89, 573; 191, 573

574. Wfrgt. K 89.215.2

L 4.0, B 6.3, WSt 0.3–0.4

Ton: 7.5 YR 6/4; fest; fein gemagert; sehr viel feiner Hellglimmer.

Oberfläche: poliert.

Überzug: ca. 7.5 YR 7/4, wie ein „wash“; lederartige Oberfläche; dünn; enthält mittelfeinen und groben Dunkelglimmer.

Malfarbe: braunroter Firnis; enthält mittelfeinen und groben Dunkelglimmer.

Fundort: Milet, Kalabaktepe

Kontext: R 86.07/ Phase 7–8 (Schutt der nacharchaischen Steinausraubung)

Stilphase: MileA IIa

Dat.: 600–580 v. Chr.

Publ.: IstMitt 40, 1990, 61 Kat.-Nr. 34 Taf. 15, 34; Erwähnung in Cook 1992, 263; 266 Anm. 73.

Tafel 89, 574; 191, 574

575. Wfrgt. Z 94.234.16

H 2.5; B 2.85; WSt 0.14–0.2

Ton: hart; fein gemagert; sandig; keine größeren Zuschläge; viel feiner Hellglimmer.

Oberfläche: gut geglättet und poliert.

Überzug: „wash“.

Malfarbe: bräunlich, wässriger und streifiger, teilweise dichter und metallisch schwarzer Firnis.

Fundort: Milet, Aphrodite-Heiligtum

Kontext: Q 94.10/ 6. Jh. v. Chr. (Archaische Schuttschicht am Hang)

Typus: 9./10.B/C?

Stilstufe: MileA II (Laufender-Satyr-Maler)

Ebenfalls abgebildeter Vgl.: Details vom Stamnos aus Histria MIRS R aus Histria IV Taf.19, 175. Zusammensetzung der Figur vom Stamnos aus Histria und der Schale aus Milet (Rekonstruktion Verf.).

Dat.: 580–550 v. Chr.

Tafel 89, 575; 191, 575

576. Wfrgt. K 92.165.3

L 3.5; B 5.7; WSt 0.5

Ton: 5 YR 6/6; weich; fein gemagert; sehr fein gemagert; keine größeren Einschlüsse; viel grober und feiner Hell- und Dunkelglimmer.

Überzug: ca. 2.5 Y 8/4.

Malfarbe: schwarzer, teils dichter, teils dünner Firnis; aussen: rotbraun.

Fundort: Milet, Kalabaktepe

Kontext: Q 91.9; U 91.09/ Phase 6–7A (Schutt der Phase 6)

Typus: 9.C?

Stilstufe: MileA II (Umfeld des Gorgoneion-Malers)

Ebenfalls abgebildet: eine Umzeichnung (Verf.) einer geflügelten Figur vom Dekor der Heraion-Schale aus Samos und Fotos der samischen Heraion-Schale (Foto DAI Athen) (s. a. 607). vgl.: Kunze 1934, Beil. 10, 3–4; 11; Samos VI 1 Taf. 40, 335

Dat.: 580–550 v. Chr.

Tafel 89, 576; 192, 576

577. Wfrgte. Z 94.126.13 +
Z 94.130.67

L 3.05; B 2.55; WSt 0.3–0.4

Ton: 5 YR 7/6; sehr fest; fein gemagert; leicht sandig; viel grober Dunkelglimmer.

Überzug: 10 YR 8/3; dicht.

Malfarbe: schwarzer, fester und dichter, teilweise matt glänzender Firnis.

Fundort: Milet, Aphrodite-Heiligtum

Kontext: Q 94.05/ 6. Jh. v. Chr. (Schutt des 6. Jhs. v. Chr.) (Z 94.126)

Q 94.05/ 6. Jh. v. Chr. (Schutt des 6. Jh. v. Chr. mit Stücken des 7. Jh. v. Chr.) (Z 94.130)

Typus: 9./10.B?

Stilstufe: MileA II

Dat.: 580–550 v. Chr.

Tafel 89, 577; 193, 577

578. Wfrgt. Z 91.19.9

L 3.8; B 3.3; WSt 0.5

Ton: 5 YR 7/7; fest; fein gemagert; mittelgrosse Kalksteineinschlüsse; feiner Hellglimmer.

Überzug: ca. 2.5 Y 8/4; enthält mittelfeinen Dunkelglimmer.

Malfarbe: von schwarz in rötlich changierender
Firniss; grösstenteils abgerieben.

Fundort: Milet, Aphrodite-Heiligtum

Kontext: Q 91.31/ keine Informationen

Stilstufe: MileA II

Dat.: 580-550 v. Chr.

Tafel 89, 578; 193, 578

579. Wfrgt. K 91.414.16

L 2; B 2.4; WSt 0.25

Ton: 10 YR 7-6/4; fein gemagert, leicht körnig;
Hellglimmer.

Überzug: beige-grünlich; dünn.

Malfarbe: dunkler Firnis.

Fundort: Milet, Kalabaktepe

Kontext: Q 91.08/ Phase 7-8 (Nacharchaische
Steinausraubung)

Stilstufe: MileA II

Dat.: 580-550 v. Chr.

Tafel 89, 579; 193, 579

580. Wfrgt. Z 91.95.3

L 1.6; B 2.1; WSt 0.25

Ton: 7.5 YR 7-6/6; fest; fein gemagert; wenig
feiner Hellglimmer.

Überzug: 10 YR 7/4; dünn; enthält sehr wenig sehr
feinen Hellglimmer.

Malfarbe: schwarzer, dichter und matter Firnis;
aufgesetzte Farbe: Deckrot.

Fundort: Milet, Aphrodite-Heiligtum

Kontext: Q 91.31/ 2. H. 6. Jh. v. Chr.
(Felsverwitterung, wahrscheinlich noch
durch eine hellenist./röm.
Steinausraubung gestört)

Stilstufe: MileA II

Dat.: 560-540 v. Chr.

Tafel 89, 580; 193, 580

581. Wfrgt. Z 93.33.120

L 1.25; B 1.7; WSt 0.3

Ton: 5 YR 7/6; fest; fein gemagert; sehr feiner
Hellglimmer.

Überzug: 2.5 Y 8/3; enthält feinen Dunkelglimmer.

Malfarbe: braunschwarzer, stumpfer, dünner und
matt glänzender Firnis; enthält feinen
Dunkelglimmer.

Fundort: Milet, Aphrodite-Heiligtum

Kontext: Q 93.12/ 5. Jh. v. Chr. (Schutt des 5. Jhs.
v. Chr.)

Stilstufe: MileA II

Dat.: 560-540 v. Chr.

Tafel 90, 581; 194, 581

582. Wfrgt. Z 94.126.15

L 3; B 2.9; WSt 0.25

Ton: ca. 7.5 YR 6/6; hart; feinst gemagert; kleinste
Quarzeinschlüsse; feiner Hell- und viel
Dunkelglimmer in der Oberfläche feinverteilt.

Oberfläche: geglättet und poliert.

Überzug: 10 YR 8/3; sehr fest und dünn.

Malfarbe: außen: rötlichbrauner Firnis; innen:
schwarzer, fester und dichter Firnis.

Fundort: Milet, Aphrodite-Heiligtum

Kontext: Q 94.05/ 6. Jh. v. Chr. (Schutt des 6. Jhs.
v. Chr.)

Typus: 10.C?

Stilstufe: MileA II (Nordtor-Maler)

Dat.: 580-550 v. Chr.

Ebenfalls abgebildet: KRS aus dem Heraion von
Samos K 3938 (Fotos DAI Athen)
vgl.: Samos III, Beil. 1, 131 Taf. 48-49,
131

Tafel 90, 582; 194, 582

583. Wfrgt. Z 04.14.91 +
Z 05.72.33

L 2.61; B 3.46; WSt 0.## (Z 05.72.33)

Ton: 5 YR 8-7/4-6; weich; fein ausgeschlämmt;
stark verdichtet, dennoch kleine Luftporen;
sehr viel feiner und grober Dunkelglimmer.

Oberfläche: fein geglättet.

Überzug: 10 YR – 2.5 Y 8/4, fest, dicht.

Malfarbe: fester, dichter, teils dünner hellbrauner,
teils dicker matter, stumpfer schwarzer
Malschlicker.

Fundort: Milet, Aphrodite-Heiligtum

Kontext: Q 04.3/ Ende 6. Jh. v. Chr, spätarchaisch
(Bauschutt und Heiligtumsabfall) (Z
04.14)
Q 05.2/ Oberster Abhub (Z 05.72)

Typus: 10.C?

Stilstufe: MileA II (Nordtor-Maler)

Dat.: 580-550 v. Chr.

Tafel 195, 583

584. Wfrgt. Z 93.21.65

L 2.75; B ca. 3.0; WSt 0.35–0.37

Ton: 5 YR 7/4-6; feine Kalksteineinschlüsse; viel feiner Hell- und Dunkelglimmer.

Überzug: 5 Y 8/2; Überzug unter dem Malschlicker, enthält Dunkelglimmer.

Malfarbe: dunkelbrauner Malschlicker, enthält Dunkelglimmer.

Fundort: Milet, Aphrodite-Heiligtum

Kontext: Q 93.11/ 2. H. 6. Jh. v. Chr. (Hangschutt des 6. Jhs. v. Chr.)

Typus: 9./10.C? oder Kalottenschale

Stilstufe: MileA II

Dat.: 580/70-550/40 v. Chr.

Tafel 90, 584; 195, 584

585. Wfrgt. Z 94.45.12

L 3.5; B 2.2; WSt 0.4

Ton: 5 YR 7-6/6-8; fest; fein gemagert; schwarze Partikel; kleine Poren; grober Hell- und Dunkelglimmer.

Überzug: 10 YR 8/3; enthält Dunkelglimmer.

Malfarbe: außen: schwarzer, dichter und fester, matt glänzender Firnis; innen: schwarzer, matt glänzender, teils deckender, teils streifiger Firnis; enthält Dunkelglimmer.

Fundort: Milet, Aphrodite-Heiligtum

Kontext: Q 94.05/ nacharchaisch (Oberster Abhub)

Typus: 10.B? oder Kalottenschale/Kelch/Skyphos

Stilstufe: MileA II

Dat.: 580/70-550/40 v. Chr.

Tafel 90, 585; 195, 585

586. Wfrgt. K 91.175.2

L 2.6; B 2.6; WSt 0.35

Ton: 10 YR 8-7/4; weich; fein gemagert; feiner Hellglimmer.

Überzug: 2.5 Y 8/3; enthält feinen und mittelfeinen Hell- und etwas groben Dunkelglimmer.

Malfarbe: schwarzer, dichter und matt metallisch glänzender Firnis; enthält feinen und mittelfeinen Hell- und etwas groben Dunkelglimmer.

Fundort: Milet, Kalabaktepe

Kontext: Q 91.04/ Phase 6B–7A (Boden mit Schutt der Phase 6)

Stilstufe: MileA IIb

Dat.: 580/70-550/40 v. Chr.

Tafel 90, 586; 195, 586

587. Wfrgt. K 89.313.5

L 3.6; B 2.4; WSt 0.25–0.45

Ton: 10 YR 7/6; weich; fein gemagert; etwas feiner Hellglimmer.

Überzug: 10 YR 8/3; dicht; enthält feinen Hell- und groben Dunkelglimmer.

Malfarbe: von braun bis rotbraun changierender, dichter und matt glänzender Firnis; enthält feinen Hell- und groben Dunkelglimmer.

Fundort: Milet, Kalabaktepe

Kontext: Q 89.10/ Phase 6–7 (Schutt der Perserzerstörung, liegt südlich der Felsbank über dem Boden des Innenraums)

Typus: 9./10.C?

Stilstufe: MileA II (Umfeld Altenburg-Maler)

Dat.: ca. 590-70 v. Chr.

Tafel 90, 587; 196, 587

588. Wfrgt. Z 91.38.155

L 2.2; B 2.4; WSt 0.3–0.35

Ton: 7.5 YR 7/6; weich; fein gemagert; sehr viel sehr feiner Hellglimmer.

Überzug: 2.5 Y 8/3; dicht; enthält wenig feinen Hellglimmer.

Malfarbe schwarzer, dichter und matt glänzender Firnis; außen: braunschwarz; enthält wenig feinen Hellglimmer.

Fundort: Milet, Aphrodite-Heiligtum

Kontext: Q 91.31/ 2. H. 6. Jh. v. Chr. (Spätarchaische Opferabfallschicht über älteren, sukzessive gewachsenen Schichten)

Stilstufe: MileA II

Dat.: 580/70-550/40 v. Chr.

Tafel 90, 588; 196, 588

589. Wfrgt. Z 94.98.9
 L 2.3; B 2.7; WSt 0.25–0.3
 Ton: 7.5 YR 7/6; weich; fein gemagert; wenig schwarze Partikel; feine Quarzeinschlüsse; viel feiner Hell- und Dunkelglimmer.
 Überzug: 10 YR 8/2; enthält größeren Hellglimmer.
 Malfarbe: roter, lackartiger, dichter und deckender Firmis.
 Fundort: Milet, Aphrodite-Heiligtum
 Kontext: Q 94.06/ 6. Jh. v. Chr. (Heiligtumsabfall mit Asche des 6. Jhs. v. Chr.)
 Typus: 10.C?
 Stilstufe: MileA II
 Dat.: 580/70-550/40 v. Chr.
 Tafel 90, 589; 196, 589

590. Wfrgt. Z 94.98.10
 L 1.7; B 1.75; WSt 0.25
 Ton: 7.5 YR 7/6; weich; sehr fein gemagert; feinste Quarzeinschlüsse; viel feiner Hellglimmer.
 Überzug: 7.5-10 YR 8/3.
 Malfarbe: roter, lackartiger, dichter und fester Firmis.
 Fundort: Milet, Aphrodite-Heiligtum
 Kontext: Q 94.06/ 6. Jh. v. Chr. (Heiligtumsabfall mit Asche des 6. Jhs. v. Chr.)
 Typus: 10.C?
 Stilstufe: MileA II
 Dat.: 580/70-550/40 v. Chr.
 Tafel 90, 590; 197, 590

Ionische Kleinmeister, milesisch, Stilphase MileA II

Typus 9,1-3.

591. Pro. ohne Nr.
 L 1.85; B 5.7; DmR ca. 14; WSt 0.25–0.3
 Ton: 5 YR 7-6/6; hart; fein ausgeschlemmt, aber feine helle Partikel; wenig mittelfeiner Hell- und Dunkelglimmer.
 Oberfläche: poliert.
 Malfarbe: matt metallisch glänzender, fester, teils sehr dichter schwarzer, teils dünner brauner

Firmis;
 aufgesetzte Farbe: Deckweiß.

Fundort: Milet, entweder Kalabaktepe oder Aphrodite-Heiligtum
 Kontext: unbekannt
 Typus: 9,1-3.C
 Stilstufe: MileA II, Sondergruppe Kleinmeister (?)
 Dat.: 570/60-550/40 v. Chr.
 Tafel 90, 591; 197, 591

592. Pro. Z 91.38.139
 L 2.2; B 4.5; DmR 14.0; WSt 0.25–0.35
 Ton: 5 YR 6-5/6; hart; fein ausgeschlemmt; feine Sandkörnung und –kiesel; feinstes Hellglimmer.
 Oberfläche: poliert.
 Malfarbe: schwarzer, stumpfer, teils abgeriebener (anansehnlicher) Firmis
 aufgesetzte Farbe: Deckweiß.
 Fundort: Milet, Aphrodite-Heiligtum
 Kontext: Q 91.31/ 2. H. 6. Jh. v. Chr. (Spätarchaische Opferabfallschicht, über älteren sukzessive gewachsenen Schichten; ungestört!)
 Typus: 9,1-3.C
 Stilstufe: MileA II, Sondergruppe Kleinmeister (?)
 Dat.: 570/60-550/40 v. Chr.
 Tafel 91, 592

593. Pro. Z 91.38.140
 L 2.2; B 2.8; WSt 0.25–0.30
 Ton: 5 YR 6/6; hart; fein ausgeschlemmt; feine Sandkörnung; feinstes Hell- und Dunkelglimmer.
 Oberfläche: poliert.
 Malfarbe: schwarzer, matter, dichter, innen streifiger, teils dünn und bräunlicher Firmis
 aufgesetzte Farbe: Deckweiß.
 Fundort: Milet, Aphrodite-Heiligtum
 Kontext: Q 91.31/ 2. H. 6. Jh. v. Chr. (Spätarchaische Opferabfallschicht, über älteren sukzessive gewachsenen Schichten; ungestört!)
 Typus: 9,1-3.C
 Stilstufe: MileA II, Sondergruppe Kleinmeister (?)
 Dat.: 570/60-550/40 v. Chr.

Tafel 91, 593

594. Wfrgt. Z 94.125.43

L 2.0; B 2.55; WSt 0.25–0.28

Ton: 5 YR 7/6; hart; feinst gemagert.

Oberfläche: geglättet bzw. poliert.

Malfarbe: schwarzer, dichter und fester Firnis;
aufgesetzte Farbe: Deckrot.

Fundort: Milet, Aphrodite-Heiligtum

Kontext: Q 94.05/ 6. Jh. v. Chr. (Schutt des 6.
Jhs. v. Chr.)

Typus: 9,2-3.C

Stilstufe: MileA II, Sondergruppe Ionische
Kleinmeisterschale

Dat.: 580/70-530/20 v. Chr.

Tafel 91, 594; 197, 594

*Typus 9,3.***595.** R- + Wfrgt. Z 94.14.79 +
Z 94.141.17

L 4.7; B 5.4; Dm ca. 18.0; WSt 0.22–0.28

Ton: 5 YR 7/6; fest; feinst gemagert; viel feiner
Hell- und auch Dunkelglimmer.

Oberfläche: geglättet bzw. poliert.

Malfarbe: schwarzer, fester und dichter Firnis;
aufgesetzte Farbe: Deckrot und –weiss.

Fundort: Milet, Aphrodite-Heiligtum

Kontext: Rasterb. 14/ Streufund (Z 94.14)
Q 94.10/ 6. Jh. v. Chr.? (Bauschutt des
6. Jhs. v. Chr. um Raublöcher herum)
(Z 94.141)

Typus: 9,3.C

Stilstufe: MileA II, Sondergruppe Ionische
Kleinmeisterschale

Dat.: 570/60-530/20 v. Chr.

Tafel 91, 595; 197, 595

596. Pro. F 68

H 15.0; DmR 23.1; DmF 9.9; WSt 0.2–0.65

Ton: 5-7.5 YR 6/6 (Fuss, Unterseite); 5 YR 5/6 –
7.5 YR 6/6 (außen); hart und fest, verdichtet;
feinster Hellglimmer in der Oberfläche
(Dunkelglimmer?!); teilweise Brandflecken ingrünlich-braun changierend; gelbliche Partikel
drücken an die Oberfläche.Oberfläche: extra behandelt, Farbe wirkt
bräunlicher als diejenige der Standunterfläche.Malfarbe: schwarzer, dichter und metallisch
glänzender Firnis, stumpf bräunlich wo dünn;
aufgesetzte Farbe: Deckrot und –weiss (stets
auf den schwarzen Firnis aufgesetzt).Fundort: Italien (Etrurien?), einst Sammlung
Campana

Aufbewahrungsort: Paris, Musee du Louvre

Typus: 9,3.C

Stilstufe: MileA II, Sondergruppe Ionische
Kleinmeisterschale (Maler der
Weinbergschale)Publ.: z. B. Pottiers CVA Paris, Louvre (8) He Taf.
78, 3.5.8; Cook 1933/34, 67; Kunze
1934, 101-104. Beil. 8, 1-2; M. Hirmer –
P.E. Arias, A History of Greek Vase
Painting (1962) Abb. 51; E. Simon, Die
griechischen Vasen (1976) Kat.-Nr. 35
Abb. 35; Samos VI 1 Taf. 46, 419; Cook
in Cook – Dupont 1998, 94 Abb. 11, 2;
Boardman 1998, 164 Abb. 327; Anne
Coulié, La Céramique Grecque aux
époques géométrique et orientalisante
(XIe-VIe siècle av. J.-C.) (2013) 171
Abb. 163.

Dat.: 560-540 v. Chr.

Tafel 91, 596; 198, 596

597. Wfrgt. Z 91.52.8

L 2.5; B 1.65; WSt 0.4–0.43

Ton: 5 YR 6/6; hart; fein ausgeschlemmt;
verdichtet; feinstes Hellglimmer in der
Oberfläche.

Oberfläche: 5 YR 7/6, extrem geglättet.

Malfarbe: innen: dunkelschwarzer, matter, dichter
und fester Firnis; außen: glänzender Firnis.

Fundort: Milet, Aphrodite-Heiligtum

Kontext: R 90.38; U 90.4/ nacharchaisch
(Archaische Schuttschicht)

Typus: 9,3.C (vermutl. Zwilling von 594.)

Stilstufe: MileA II, Sondergruppe Ionische
Kleinmeisterschale (Maler der
Weinbergschale)

Dat.: 560-540 v. Chr.

Tafel 91, 597; 198, 597

598. Rfrgte. Z 94.164.17+18

L 1.5; B 1.7; WSt 0.24–0.32

Ton: 5 YR 7-6/6; hart; sehr fein gemagert; kleine Poren; feinste Quarzeinschlüsse; sehr feiner Dunkelglimmer.

Oberfläche: stark geglättet (Schwamm).

Überzug: „wash“, dünn und milchig.

Malfarbe: schwarzer, dichter und fester, deckender und matt glänzender Firnis; enthält sehr feinen Dunkelglimmer.

Fundort: Milet, Aphrodite-Heiligtum

Kontext: Q 94.10/ 6. Jh. v. Chr. (Abdeckung des Bothros?)

Typus: 9,3.D Sonderform/ Miniaturistisch

Stilstufe: MileA II, Sondergruppe Ionische Kleinmeisterschale (Maler der musizierenden Satyrn)

Dat.: 560-540/30 v. Chr.

Publ.: Schlotzhauer 2001, 123-124 Taf. 18, 2.

Tafel 92, 598; 199, 598

599. Rfrgte. Z 93.33.84 + Z 94.44.56 +
Z 94.95.182 + Z 94.148.16
+ Z 94.209.8

L 2.6; B 6.35; Dm ca. 15; WSt 0.15–0.35 (Z 93.33.84)

L 2.55; B 3.8; Dm ca. 15; WSt 0.15–0.35 (Z 94.44.56)

L 1.75; B 2.0; Dm ca. 15; WSt 0.25–0.3 (Z 94.95.182)

L 1.15; B 2.15; Dm ca. 15; WSt 0.2 (Z 94.148.16)

L 1.75; B 2.0; Dm ca. 15; WSt 0.25–0.3 (Z 94.209.8)

Ton: 5 YR 6/6; fest; sehr fein gemagert; wenig feiner Hell- und Dunkelglimmer.

Oberfläche: poliert.

Malfarbe: von schwarz bis braun changierender, matter Firnis;

aufgesetzte Farbe: Deckrot und –weiss.

Fundort: Milet, Aphrodite-Heiligtum

Kontext: Q 93.12/ 5. Jh. v. Chr. (Schutt des 5. Jhs. v. Chr.) (Z 93.33)

Q 94.03/ 6. Jh. v. Chr. (Schuttschicht des 6. Jhs. v. Chr.) (Z 94.44)

Q 94.5/ (2. H.) 6. Jh. v. Chr. (Schutt hauptsächlich des 6. Jh. v. Chr.) (Z 94.95)

Q 94.10/ 6. Jh. v. Chr. (Schutt des 6. Jhs. v. Chr.) (Z 94.148)

Q 94.11/ Anfang 5. Jh. v. Chr. (Perserschutt) (Z 94.209)

Typus: 9,3.C/D Sonderform/ Miniaturistisch

Stilstufe: MileA II, Sondergruppe Ionische Kleinmeisterschale

Dat.: 570/60-550/40 v. Chr.

Tafel 92, 599; 199, 599

600. Pro. Z 94.5.57 + Z 94.45.22 +
Z 94.93.25 + Z 94.95.168 +
Z 94.129.17 + Z 94.133.16

Rek H 4.85; DmR 12.1; WSt 0.25–0.35

Ton: 5 YR 7-6/6; fest; fein gemagert; feine schwarze Partikel; wenig feiner Dunkelglimmer.

Oberfläche: geglättete und poliert.

Überzug: 5 Y 8/3 (nur innen)

Malfarbe: dichter, matt glänzender, schwarzer Firnis.

Fundort: Milet, Aphrodite-Heiligtum

Kontext: Rasterb. 5/ Streufund (Z 94.5)

Q 94.5/ 6. Jh. v. Chr.? (Oberster Abhub) (Z 94.45)

Q 94.5/ 6. Jh. v. Chr. (Schutt des 6. Jh. v. Chr.) (Z 94.93)

Q 94.5/ (2. H.) 6. Jh. v. Chr. (Schutt hauptsächlich des 6. Jh. v. Chr.) (Z 94.95)

Q 94.5/ 6. Jh. v. Chr. (Schutt des 6. Jh. v. Chr.) (Z 94.129)

Q 94.7/ 2. H. 6. Jh. v. Chr. oder später (Bauschicht und Perserzerstörung)

(Z 94.133)

Archäometrie: *Yalcın* Prob.Nr.: TR-3K/278
Milesisches Feld /Cluster 7, Gruppe B2 (Milet/Milet?)

Typus: 9,3.D Sonderform/ Miniaturistisch

Stilstufe: MileA II, Sondergruppe Ionische Kleinmeisterschale

Dat.: 570-540/30 v. Chr.

Tafel 92, 600; 199, 600

Typus 9,4.

601. Pro. IV 3579

H 8.7; DmF 5.8; DmR 13.0; WSt 0.2

Ton: 5 YR 6/6; fest bis hart; fein ausgeschlämmt; stark verdichtet; sehr feiner Hellglimmer.

Oberfläche: geglättet.

Überzug: leichter „wash“.

Malfarbe: schwarzer, fester und dichter, teils stumpfer und metallisch glänzender Firnis;

teilweise dünn aufgetragen, dann streifig und bräunlich; enthält größeren Hellglimmer.

Fundort: Italien (Etrurien?) einst Sammlung Campana

Aufbewahrungsort: Wien, Kunsthistorisches Museum

Typus: 9,4.D Sonderform/ Miniaturistisch

Stilstufe: MileA II, Sondergruppe Ionische Kleinmeisterschale (Maler der Wiener Hirschjagd-Schale)

Dat.: 570/60-540/30 v. Chr.

Publ.: Kunze 1934, 104-114 Taf. 8, 1; 9 Beil. 9, 1-2; Samos 6,1 Taf. 52, 447; 60, 447.

Tafel 92, 601; 200, 601

602. Rfrgt. Z 93.27.47 + Z 94.8.89
+ Z 94.13.36 + Z
94.215.3

L 2.7; B 2.25; WSt 0.13–0.3 (Z 94.13.36)

Ton: 5 YR 7/6; weich; fein gemagert; wenig Hellglimmer, auch Dunkelglimmer.

Malfarbe: schwarzer, metallisch glänzender Firnis.

Fundort: Milet, Aphrodite-Heiligtum

Kontext: Q 93.11/ 6. Jh. v. Chr. (Letzte Schicht über dem gewachsenen Tuff) (Z 93.27) Rasterb. 8/ Streufund (Z 94.8) Rasterb. 13/ Streufund (Z 94.13) Q 94.11/ 2. V. 6. Jh. v. Chr.? (Archaische Geländeoberfläche; Datierung nach Keramik) (Z 94.215)

Typus: 9,4.D Sonderform/ Miniaturistisch

Stilstufe: MileA II, Sondergruppe Ionische Kleinmeisterschale (Maler der Wiener Hirschjagd-Schale)

Dat.: 570/60-540/30 v. Chr.

Tafel 92, 602; 200, 602

603. Rfrgte. K 60 + K 905

L 7.0; B 5.75; Dm 25; WSt 0.3–0.6

Ton: 2.5 bis 5 YR 6/7; sehr fein gemagert; keine Einschlüsse; viel feiner Hell- und Dunkelglimmer.

Oberfläche: stark geglättet bzw. poliert.

Überzug:

Malfarbe: schwarzer, fester und dichter Firnis; aufgesetzte Farbe: Deckrot, nur noch Reste in den Vertiefungen.

Fundort: Samos, Hera-Heiligtum

Aufbewahrungsort: Samos, Museum Vathy

Typus: 9,4.C/D

Stilstufe: MileA II, Sondergruppe Ionische Kleinmeisterschale, Randschale (Löwen-Maler)

Dat.: 570/60-540/30 v. Chr.

Publ.: Technau 1929, 37 Kat.-Nr. 1 Beil. 19, 1; Kunze 1934, 83 Nr. 1 Taf. 6, 1; Samos 6,1, 24 Taf. 47, 422 (ohne Abb. von K 60); Cook in Cook – Dupont 1998, 93 Abb. 11, 1 (oben).

Ebenfalls abgebildet: KRS aus dem Heraion in Gravisca s. Boldrini 1994, 117 Abb.226

Tafel 93, 603; 200, 603

604. R- + Wfrgte. K 1383 + K 1419 +
K 1956

Erh. H 6.3; Dm 18; WSt 0.2–0.5

Ton: 2.5 bis 5 YR 5/6; fein gemagert; keine Einschlüsse; feiner Hell- und Dunkelglimmer.

Oberfläche: stark geglättet bzw. poliert

Malfarbe: schwarzer, dichter und fester, deckender Firnis.

Fundort: Samos, Hera-Heiligtum

Aufbewahrungsort: Samos, Museum Vathy

Typus: 9,4.D

Stilstufe: MileA II, Sondergruppe Ionische Kleinmeisterschale, Randschale (Widder-Maler)

Dat.: 570/60-540/30 v. Chr.

Publ.: Technau 1929, 37 Beil 19, 1; Samos 6,1 25 Taf. 49, 440 a-b; Boardman 1998, 165 Abb. 329 (Zeichnung des Innenrundes).

Tafel 93, 604; 200, 604

605. Rfrgt. K 908

L 3.6; B 5.7; Dm ca. 22; WSt 0.25–0.55

Ton: 2.5 bis 5 YR 6/6; sehr hart; fein gemagert; keine Einschlüsse; viel feiner Hell- und Dunkelglimmer.

Oberfläche: stark geglättet bzw. poliert.

Malfarbe: schwarzer, sehr fester und deckender Firnis; aufgesetzte Farbe: Deckrot, grösstenteils abgeplatzt.

Fundort: Samos, Hera-Heiligtum

Aufbewahrungsort: Samos, Museum Vathy

Typus: 9,4.D
 Stilstufe: MileA II, Sondergruppe Ionische
 Kleinmeisterschale, Randschale
 (Widder-Maler)
 Dat.: 570/60-540/30 v. Chr.
 Publ.: Technau 1929, 37 Beil 19, 1; Kunze 1934,
 83 Nr. 3 Taf. 6, 3; Samos 6,1, 25 Taf.
 49, 441; Cook in Cook – Dupont 1998,
 93 Abb. 11, 1 (mitte rechts).

Tafel 93, 605; 201, 605

Typus 9,1-4.

606. Wfrgt. Z 94.95.99

L 1.8; B 2.55; WSt 0.2

Ton: 5 YR 7/6; fest; Hell- und Dunkelglimmer.
 Oberfläche: geglättet bzw. poliert.
 Malfarbe: schwarzer und fester Firnis.

Fundort: Milet, Aphrodite-Heiligtum

Kontext: Q 94.5/ (2. H.) 6. Jh. v. Chr. (Schutt
 hauptsächlich des 6. Jh. v. Chr.)

Typus: 9,1-4.C/D?

Stilstufe: MileA II, Sondergruppe Ionische
 Kleinmeisterschale

Dat.: 570/60-540/30 v. Chr.

Tafel 93, 606; 201, 606

607. Wfrgt. K 89.436.3

L 3.3; B 3.1 WSt 0.35

Ton: 5 YR 6-5/6; weich; fein gemagert; viel feiner
 Hellglimmer.

Überzug: 5 Y 8/2; enthält viel mittelfeinen
 Hellglimmer.

Malfarbe: schwarzer, dichter und matter Firnis;
 aufgesetzte Farbe: Deckrot; enthält viel
 mittelfeinen Hellglimmer.

Fundort: Milet, Kalabaktepe

Kontext: Q 89.12/ Phase 7 (Schutt der
 Steinausraubung und Sandeinfüllung)

Typus: 9,1-4.C/D?

Stilstufe: MileA II, Sondergruppe Ionische
 Kleinmeisterschale (Gorgoneion-Maler)

Publ.: IstMitt 40, 1990, 60 Kat.-Nr. 28 Taf. 14, 28.

Ebenfalls abgebildet: eine Umzeichnung des
 Dekors der namengebenden KRS aus

dem Heraion von Samos
 vgl.: Samos VI 1, 32 Abb. 27

Dat.: 570/60-540/30 v. Chr.

Tafel 93, 607; 201, 607

608. Wfrgt. Z 94.7.189

L 2.7; B 2.0; WSt 0.34–0.37

Ton: 10 YR 7/4 bis 7.5 YR 7/6; hart; fein
 ausgeschlemmt; dicht gepackt; kaum feiner
 Hellglimmer.

Überzug: 10 YR 8/3-4.

Malfarbe: schwarzer, dichter und deckender, matt
 glänzender Firnis; außen: teilweise abgeplatzt,
 dann braun.

Fundort: Milet, Aphrodite-Heiligtum

Kontext: Streufund

Typus: 9,1-4.C/D?

Stilstufe: MileA II, Sondergruppe Ionische
 Kleinmeisterschale

Dat.: 570/60-540/30 v. Chr.

Tafel 93, 608; 202, 608

609. Wfrgt. Z 94.64.32 + Z 94.174.3 +
 Z 94.223.3+9 + Z 94.269.4

L 4.45; B 3.3; WSt 0.25–0.3 (Z 94.64.32)

L 2.0; B 1.25; WSt 0.23 (Z 94.174.3)

L 2.1; B 1.35; WSt 0.2 (Z 94.223.9)

L 2.5; B 2.0; WSt 0.21 (Z 94.233.3)

L 1.9; B 0.9; WSt 0.2 (Z 94.269.4)

Ton: 2.5 YR 6/8 bis 5 YR 6/8; weich; feinst
 gemagert; feiner Hellglimmer.

Oberfläche: geglättet bzw. poliert.

Malfarbe: außen: schwarzer und dichter Firnis;
 innen: hellbraunrötlicher und dichter Firnis.

Fundort: Milet, Aphrodite-Heiligtum

Kontext: Q 94.06/ 6. Jh. v. Chr. (Heiligtumsabfall
 des 6. Jh. v. Chr. – weiße
 Marmorsplitter) (Z 94.64)

Q 94.12/ 6. Jh. v. Chr. (Schutt des 6. Jh.
 v. Chr.) (Z 94.174)

Q 94.12/ 1. H. 6. Jh. v. Chr.
 (Heiligtumsabfallschicht des 7. und 6.
 Jh. v. Chr.) (Z 94.223)

keine Information (Z 94.269)

Archäometrie: *Yalcın* Prob.Nr.: TR-3K/282

Milesisches Feld /Cluster 7, Gruppe
 B2 (Milet/Milet?)

Typus: 9,1-4.D?

Stilstufe: MileA II, Sondergruppe Ionische
Kleinmeisterschale

Dat.: 570/60-540/30 v. Chr.

Tafel 94, 609; 202, 609

610. Wfrgt. Z 94.296.1

L 1.7; B 2.57; WSt 0.32–0.33

Ton: 5 YR 7/4; hart bis fest; fein gemagert; einige
Quarzeinschlüsse; viel feiner Hellglimmer.

Überzug: 2.5 Y 8/2, sek. verbrannt.

Malfarbe: durch sek. Brand nicht bestimmbar.

Fundort: Milet, Aphrodite-Heiligtum

Kontext: Q 94.16/ keine Informationen (Aschige
Erdschicht)

Typus: 9,1-4.D?

Stilstufe: MileA II, Sondergruppe Ionische
Kleinmeisterschale

Dat.: 570/60-540/30 v. Chr.

Tafel 94, 610; 202, 610

Variante: Ionische Kleinmeister mit Applikation, milesisch, Stilphase MileA II

Typus 9,2-3.

611. Wfrgt. Z 92.88.14

L 7.6; B 7.8; WSt 0.4–0.48

Ton: 5 YR 6/6; hart und dicht; sehr fein gemagert,
wenig feine helle Kalk einschlüsse und rötliche
Einschlüsse; wenig kleine Poren.

Oberfläche: innen: extrem geglättet; außen:
gehärtet, verschlossen; Schwammgeglättet.

Malfarbe: außen: schwarzer, dichter, matter und
stumpfer Firnis; innen: schwarzer, dichter,
fester und matt glänzender Firnis;
aufgesetzte Farbe: Deckweiss.

Fundort: Milet, Aphrodite-Heiligtum

Kontext: Q 92.22/ Ende 6. Jh. v. Chr.
(Spätarchaischer Schutt in einer
Felsspalte)

Typus: 9,2-3.C

Stilstufe: MileA II, Variante Ionische
Kleinmeisterschale mit Applikation

Dat.: 570/60-540/30 v. Chr.

Tafel 94, 611; 202, 611

612. Wfrgt. Z 01.74.14

L 3.3; B 4.65; WSt 0.36–0.5

Ton: 5 YR 6/6; hart und dicht; sehr fein gemagert,
wenig feine Quarzeinschlüsse; wenig kleine
Poren; viele feiner Dunkelglimmer.

Oberfläche: sorgfältig geglättet; dicht;
Schwammgeglättet.

Malfarbe: schwarzer, dichter, matter und stumpfer
bis dünner dunkelbrauner Firnis;
aufgesetzte Farbe: Deckrot.

Fundort: Milet, Aphrodite-Heiligtum

Kontext: Q 01.14/ spätarchaisch
(Heiligtumsabfall)

Typus: 9,2-3.C

Stilstufe: MileA II, Variante Ionische
Kleinmeisterschale mit Applikation

Dat.: 570/60-540/30 v. Chr.

Tafel 94, 612; 203, 612

613. Wfrgt. Z 05.48.1

L 2.77; B 5.26; WSt 0.32-0.37 (mit Hand 0.89)

Ton: 2.5 YR 7/4-6; hart; fein ausgeschlämmt; feine
schwarze und rote Partikel, sehr wenige feine
weiße Kalksteineinschlüsse; stark verdichtet;
wenig feiner Dunkelglimmer.

Oberfläche: gut geglättet.

Malfarbe: teils abgeriebener, dichter, rot bis
schwarz changierender matter Firnis.

Fundort: Milet, Aphrodite-Heiligtum

Kontext: Q 05.12/ Oberflächenfund

Typus: 9,2-3.C

Stilstufe: MileA II, Variante Ionische
Kleinmeisterschale mit Applikation

Dat.: 570/60-540/30 v. Chr.

Tafel 203, 613

Variante: Ionische Kleinmeister, milesisch, Stilphase MileA II

Typus Ionische Bandschale

614. Rfrgte. Z 05.6.103 (mit Anpassungen aus Z 05.49; Z 05.66)

erhH 7.1; DmR 23; WSt 0.33–0.56

Ton: 7.5 YR 7/6; hart; sehr fein gemagert; kleine Poren; feinste Quarzeinschlüsse; viel Dunkelglimmer.

Oberfläche: stark geglättet (Schwamm).

Malfarbe: matter bis metallisch glänzender, fester, schwarzer Firnis (sehr brüchig).

Fundort: Milet, Aphrodite-Heiligtum

Kontext: Q 05.04/ Anschüttung von Heiligtumsschutt (Z 05.6)
Q 05.01/ Graubraune Verfüllschicht des Profilsteges Q 05.01 zu Q 05.4 (Z 05.49)
Q 05.04/ Anschüttung wie Z 05.42 u. a. (Z 05.66)

Typus: Ionische Bandschale

Stilstufe: MileA II, Variante Ionische Kleinmeisterschale

Dat.: 560/50-540/30 v. Chr.

Tafel 95, 614; 203, 614

Attischer Kleinmeister, attisch, Imitation der milesischen Stilphase MileA II

Typus 9,4 (Randschale)

615. Wfrgt. Z 03.11.14

L 2.55; B 3.7; DmR 20–22; WSt 0.15–4.5

Ton: 5 YR 7/6 (wie attischer, etwas heller und weicher, etwas weniger rötlich); hart; äußerst fein geschlämmt; dicht gepackt; so gut wie kein Glimmer.

Oberfläche: sehr fein Schwammglättung; fest; vielleicht etwas Dunkelglimmer.

Malfarbe: schwarzer, fester Glanzton, teils dünner, dann bräunlich.

Fundort: Milet, Aphrodite-Heiligtum

Kontext: Q 03.01/ spätarchaisch; Ende 6. Jh. v. Chr. (umgelagerter Heiligtumsschutt)

Archäometrie: *Mommsen* Prob.Nr.: Mile 85 Gruppe **KrPP** (Attisch)

Typus: 9,4.D (= Attische Randschale)

Stilstufe: AtheAII (attische Malerei, Nachahmung der Stilstufe MileA II), Ionische Kleinmeisterschale attischer Provenienz

Dat.: 570/60-540/30 v. Chr.

Publ.: N. Kunisch (im Druck) Kat.-Nr. 379.

Tafel 95, 615; 203, 615

Attische Knickrandschalen, attisch

Typus 9,4 (Randschale)

616. Wfrgt. Z 05.12.18

H 8.8; DmR 14.4; DmF 5.9; WSt 0.15–0.3

Ton: 5 YR 7/6 (gleich dem attischen, aber etwas brauner, als jener, der mehr rötlich ist); hart; fein geschlämmt; kaum Magerungspartikel; dicht gepackt; wenig Dunkelglimmer.

Oberfläche: sehr fein Schwammglättung; verdichtet.

Malfarbe: schwarzer, fester Firnis;

Graffito: außen auf den Rand geritzt:

ΕΞ ΑΦΡΟΔΙΤΗΣ.

Fundort: Milet, Aphrodite-Heiligtum

Kontext: Q 05.03/ 6. Jh. v. Chr.? (Heiligtumsschutt)

Archäometrie: *Mommsen* Prob.Nr.: Mile 66 Gruppe **KrPP** (Attisch)

Typus: 9,3.D (= Attische Randschale)

Stilstufe: Attisch Schwarzfirnis

Dat.: 570/60-540/30 v. Chr.

Publ.: N. Kunisch (im Druck) Kat.-Nr. 435.

Tafel 95, 616

Attische Kleinmeisterschale

617. Wfrgte. Z 94.7.95+185 + Z 94.44.20 + Z 94.169.14 + Z 94.276.15

L 2.35; B 1.6; WSt 0.25 – 0.17 (Z 94.7.95)

L 0.95; B 1.45; WSt 0.25 (Z 94.7.185)

L 1.65; B 2.3; WSt 0.25 – 0.28 (Z 94.44.20)

L 1.35; B 1.6; WSt 0.26 – 0.27 (Z 94.169.14)

L 2.2; B 1.2; WSt 0.25 (Z 94.276.15)

Ton: 5 YR 7/8; feinst gemagert.

Oberfläche: geglättet bzw. poliert.

Überzug: erscheint wie gewachst, sehr fest und glatt.

Malfarbe: schwarzer, dichter und fester Firnis; aufgesetzte Farbe: Deckrot.

Fundort: Milet, Aphrodite-Heiligtum

Kontext: Streufund (Z 94.7)
Q 94.03/ 6. Jh. v. Chr. (Schuttschicht des 6. Jhs. v. Chr.) (Z 94.44)

Q 94.12/ nacharchaisch (Oberster
Abhub) (Z 94.169)
Q 94.16/ nacharchaisch (Oberster
Abhub) (Z 94.276)

Archäometrie: *Yalcm* Prob.Nr.: TR-3K/286
Milesisches Feld /Cluster 7, Gruppe
B2 (Milet/Milet?)

Stilphase: Attische Kleinmeisterschale(?)/
Schwarzfigurig

Dat.: 570/60-540/30 v. Chr.

Tafel 96, 617; 204, 617

618. Wfrgt. Z 94.7.103+112

L 3.55; B 3.8; WSt 3.7–4.0

Ton: 5 YR 6/6; hart; feinst gemagert; wenig Hell-
und Dunkelglimmer.

Malfarbe: schwarzer, fester Firnis;
aufgesetzte Farbe: Deckrot.

Fundort: Milet, Aphrodite-Heiligtum

Kontext: Streufunde

Stilphase: Attische Kleinmeisterschale(?)/
Schwarzfigurig

Archäometrie: *Yalcm* Prob.Nr.: TR-3K/279
Milesisches Feld /Cluster 7, Gruppe
B2 (Milet/Milet?)

Dat.: 570/60-540/30 v. Chr.

Tafel 96, 618; 204, 618

Lakonische Knickrandschale, lakonisch

Typus 9 (Randschale)

619. Pro. Z 02.34.10

H 4.15; DmF ca. 7.2 (äußerer Bruch); WSt 0.72 –
0.92

Ton: orange; fest; feiner geschlämmt.

Oberfläche: geglättet.

Überzug: hell cremig

Malfarbe: bräunlich, streifiger, gut deckender,
stumpfer und matt glänzender Firnis.

Fundort: Q 02.02/ archaisch (Heiligtumsschutt
evtl. noch gestört)

Archäometrie: *Mommsen* Prob.Nr.: Mile 84
Gruppe **ACb2**
(unlokalisiert, vermutl. Peloponnes)

Typus: 9,1.C Lakonische Randschale
Stibbe 1972, Formgruppen IV-V

Stilstufe: Art des Naukratis-Malers¹

Tafel 96, 619; 204, 619

Ionischer Kleinmeister, großgriechisch (sizilisch), Stilphase KataA II

Typus 9,1 (Pre-Komastenschale)

620. Pro. S 1002

H 7.5 bis 7.8; DmR ca. 14; DmF 5.3; WSt 0.25

Ton: 5 YR 6/6; fest; grobporig; gröbere
Kalksteineinschlüsse; feiner Hellglimmer.
Oberfläche: geglättet.

Malfarbe: schwarzer, streifiger, nicht gut
deckender, stumpfer und matt glänzender
Firnis; enthält groben Hellglimmer.

Fundort: unbekannt

Aufbewahrungsort: Bochum, Kunstsammlung

Archäometrie: *Mommsen* Prob.Nr.: Bochum 6
Gruppe **KatA** (Catania)

Typus: 9,1.C

Stilstufe: KataA II (großgriechische Malerei,
Nachahmung der Stilstufe MileA II),
Ionische Kleinmeisterschale sizilischer
Provenienz (Katane)

Publ.: Mommsen u.a. in: Lentini 2008, 26-27 (hier
noch fälschlich als in Naxos produziert
aufgeführt!); Schlotzhauer in Lentini
2008, 73-75; N. Kunisch, CVA Bochum
3 (2007) 18 Taf. 9, 3-5.

Tafel 96, 620; 204, 620

Dat.: 570/560-550 v. Chr.

¹ Ich danke G. Schaus (Toronto), der mich dankenswerterweise darauf aufmerksam machte, dass es sich vermutlich nicht um den Kreis des Boreaden-Malerds handelt, wie ich zunächst vermutet hatte. Er teilte mir in einer schriftlichen Mitteilung vom 01.03.2013 mit: »I don't think that Z 02.34.10 is by the Boreads Painter. Instead, I'm inclined to think that it's in the manner of the Naucratis Painter if not by this painter himself. It would be quite a rare example by this painter, but the quality of the work is high.«

Sonderformen der Südionischen Knickrandschalen

Stapelschalen

621. Wfrgt. Z 94.7.96
L 4.85; B 4.0; WSt 0.5–0.6
Ton: 7.5 YR 6/4; fest; fein gemagert; gröbere Kieseinschlüsse; sehr viel feiner Hellglimmer.
Oberfläche: geglättet.
Malfarbe: schwarzer, dichter und abblättrender Firnis.

Fundort: Milet, Aphrodite-Heiligtum
Kontext: Rasterb. 7/ Streufund
Typus: 10.C; Sonderform: Stapelschale
Dat.: 600/590-530/20 v. Chr.
Tafel 96, 621; 205, 621

622. Wfrgt. Z 94.300.10
L 5.1; B 6.3; WSt 0.4–0.7
Ton: 7.5 YR 6-5/4; fest bis hart; sandig; kleinere Kieseinschlüsse; feiner und grober Hellglimmer; grober Dunkelglimmer.
Oberfläche: rauh mit Drehrillen.
Malfarbe: schwarzer, dichter und matter, teilweise abbröckelnder Firnis.
Fundort: Milet, Aphrodite-Heiligtum
Kontext: Q 94.15/ 6. Jh. v. Chr. (Heiligtumsabfall des 6. Jhs. v. Chr.)
Typus: 10.D; Sonderform: Stapelschale
Dekorvariante: m (?)
Dat.: 600/590-530/20 v. Chr.
Tafel 96, 622; 205, 622

Kelche

623. Wfrgt. Z 94.64.40
Erh H 4.7; B 7.4; WSt 0.42–0.52
Ton: 5 YR 7/4; hart; grob gemagert; viel feiner Hell- und Dunkelglimmer.
Oberfläche: geglättet.
Überzug: 10 YR 8/3.

Malfarbe: außen: schwarzer, dichter und matter Firnis; innen: braunroter Firnis; aufgesetzte Farbe: Deckrot.

Fundort: Milet, Aphrodite-Heiligtum
Kontext: Q 94.06/ 6. Jh. v. Chr. (Heiligtumsabfall des 6. Jh. v. Chr. - weiße Marmorsplitter)
Typus: Sonderform: Kelch
Dekorvariante: k/l
Dat.: 610/00-560/50 v. Chr.
Tafel 97, 623; 205, 623

624. R- + Wfrgte. Z 94.63.29+36 + Z 94.64.7+35+38 + Z 94.66.13 + Z 94.74.20

Erh H 6.55; B ca. 5.1; Dm ca. 12.0; WSt 0.18–0.23
Ton: 7.5 YR 7/4-6; fest; fein gemagert; feine Quarzeinschlüsse; viel feiner Hellglimmer.
Überzug: 10 YR 8/3.
Malfarbe: von (dunkel-)rot bis rotbraun changierender, deckender Firnis; enthält groben Dunkelglimmer.

Fundort: Milet, Aphrodite-Heiligtum
Kontext: Q 94.06/ 6. Jh. v. Chr. (Heiligtumsabfall des 6. Jhs. v. Chr.) (Z 94.63)
Q 94.06/ 6. Jh. v. Chr. (Heiligtumsabfall des 6. Jh. v. Chr. - weiße Marmorsplitter) (Z 94.64)
Q 94.06/ 6. Jh. v. Chr. (Natürliche Erosionsschicht 7./6. Jh. v. Chr.) (Z 94.66)
Q 94.06/ 6. Jh. v. Chr. (Heiligtumsabfall) (Z 94.74)

Typus: Sonderform: Kelch
Stilstufe: MileA II
Dat.: 600/590- mindestens 530/20 v. Chr.
Tafel 97, 624; 205, 624

Appendix

Verschiedenes

- I.a-c** Milet, Aphrodite-Heiligtum, Schalendeponierung (links) **251** (Z 05.131.17). **263**; (Z 05.131.16); (mitte) **183** (Z 05.131.14). **178** (Z 05.131.02). **177** (Z 05.131.29+32). **285** (Z 05.131.38); (rechts) **172** (Z 05.131.); **268** (Z 05.131.19)
- II.a-c** Milet, Aphrodite-Heiligtum, Schalendeponierung **183** (Z 05.131.14). **178** (Z 05.131.02). **177** (Z 05.131.29+32). **285** (Z 05.131.38)
- III.a-c** Milet, Aphrodite-Heiligtum, Schalendeponierung **172** (Z 05.131.); **268** (Z 05.131.19)
- IV.a-c** Milet, Aphrodite-Heiligtum, Schalendeponierung **251** (Z 05.131.17). **263**; (Z 05.131.16)
- V.a** Milet, Größenvergleich Schalendeponierung des Typus 10: (vorn) **277** (Z 05.131.3); **251** (Z 05.131.17); (mitte) **249** (Z 05.131.5); **282** (Z 05.131.6); **284** (Z 05.131.10); und aus der Siedlung des Typus 11: (hinten) **344** (K 90.649.5); **345** (K 92.806.1)
- V.b** Milet, Größenvergleich Schalendeponierung mit KRS des Typus 10 und KRS aus der Siedlung des Typus 11: (links) **249** (Z 05.131.5); (mitte) **344** (K 90.649.5); (rechts) **277** (Z 05.131.3)
- V.c** Milet, Größenvergleich Schalendeponierung mit KRS des Typus 10 und KRS aus der Siedlung des Typus 11: (links) **249** (Z 05.131.5); (mitte); **344** (K 90.649.5); (rechts) **277** (Z 05.131.3)
- VI.** Milet, Aphrodite-Heiligtum, KRS mit lakonischem Dekor außen (li.) und milesischem (MileA II) Fikelluradekor innen (re.): (Z 01.21.4); Archäometrie (Mommsen) Prob.-Nr. Mile 88.
- VII.** Milet, Aphrodite-Heiligtum, Boden und Fuß einer Fikelluraschale (MileA II): (Z 02.19.5)
- VIII.** Milet, Aphrodite-Heiligtum, KRS Typus 10.11.D; Fikellurstil (MileA II): (Z 05.6.222)
- IX.** Milet, Aphrodite-Heiligtum, KRS Typus 10.11.D; Fikellurstil (MileA II): (Z 05.6.250)
- X.** Milet, Aphrodite-Heiligtum, KRS Typus 10.11.D; Fikellurstil (MileA II): (Z 05.12.1)
- XI.** Milet, Aphrodite-Heiligtum, KRS Typus 10.11.D; Fikellurstil (MileA II): (Z 05.42.167)
- XII.** Milet, Aphrodite-Heiligtum, lakonische KRS mit lakonischem Dekor: (Z 01.21.4); Archäometrie (Mommsen) Prob.-Nr. Mile 87.
- XIII.** Milet, Stadtmauergrabung, KRS Typus 13,1.B (SM 97.232.609)
- XIV.** Milet, Aphrodite-Heiligtum, KRS Typus 10.11.D; Fikellurstil (MileA II): (Z 05.49.38)
- XV.** Milet, Aphrodite-Heiligtum, KRS Typus 10.11.D; Fikellurstil (MileA II): (Z 05.88.107)
- XVI.** Milet, Aphrodite-Heiligtum, Boden und Fuß einer Fikelluraschale (MileA II): (Z 05.91.28)
- XVII.** Milet, Aphrodite-Heiligtum, WS einer großen Schale (oder eines kleinen Tellers der Stilstufe MileA II (Fikellurstil): Z 91.83.13; Archäometrie (Yalcın) Prob.-Nr. TR-3K/289.
- XVIII.** Milet, Aphrodite-Heiligtum, WS einer Kleinmeisterschale mit Aussparungstechnik (vermutl. Typus 9,4.C-D, obgleich der Außendekor dagegen spricht) mit flächigem Rosettenmuster außen und figürl. Szene im Becken (erhalten hat sich ein Bein mit zwei Schichten von Kleidung und Weinreben sowie Blätter von Weinstöcken) der Stilstufe MileA II, Sondergruppe Ionische Kleinmeisterschale: (Z 93.27.99 + Z 94.17.58)
- XIX.** Milet, Aphrodite-Heiligtum, WS einer Kleinmeisterschale mit Ritzung, ionisch oder attisch?, Typus 9,4.C: (Z 94.5.58)
- XX.** Milet, Aphrodite-Heiligtum, WS einer Kleinmeisterschale mit Ritzung, ionisch oder attisch?: (Z 94.7.93)
- XXI.** Milet, Aphrodite-Heiligtum, WS einer Kleinmeisterschale mit Ritzung, ionisch oder attisch?: (Z 94.34.3)
- XXII.** Milet, Aphrodite-Heiligtum, vermutlich eine KRS mit Maske der Stilphase SiA/MileA Id(/MileA/Ila?), vgl. **521-522**: (Z 94.127.225)

XXIII. Milet, Aphrodite-Heiligtum, WS einer Kleinmeisteschale, ionisch oder attisch?: (Z 94.5.58)

Sammelfotos

1. Milet, Aphrodite-Heiligtum, BS und WS von KRS mit Fikellurteil-Dekor der Stilstufe MileA II mit meist mehrstöckigen Friesen von (teils gegenläufigen) Sichelornamenten innen oder außen oder beidseitig.
2. Milet, Aphrodite-Heiligtum, BS und WS von KRS mit Fikellurteil-Dekor der Stilstufe MileA II mit teils Volutenkettens im Becken (re.) und flächigem ausgefüllten Netzdekor (2. R. a); flächiges Netzdekor auch außen bei (1. R. a-b).
3. Milet, Aphrodite-Heiligtum, WS von KRS mit Dekor der Stilstufe SiA/MileA Id/IIa mit sog. Gürtelband mit einfachem Kreuz-Quadrat-Band außen auf dem Becken.
4. Milet, Aphrodite-Heiligtum, WS von KRS mit Dekor der Stilstufe SiA/MileA Id/IIa mit sog. Gürtelband mit einfachem Hakenmäander-Band außen.
5. Milet, Aphrodite-Heiligtum, WS von KRS mit Tierfriestil-Dekor der Stilstufe SiA/MileA Ic-d mit Gürtelband und einfachem Hakenmäander-Band außen; im Schulterfries Metopengliederung mit Strahlenreihe (li. Frg. steht auf dem Kopf).
6. Milet, Aphrodite-Heiligtum, WS von KRS mit Dekor der Stilstufe SiA/MileA Id/IIa mit verschiedenen einfachen Mäander-Bändern außen.
7. Milet, Aphrodite-Heiligtum, WS von KRS mit Fikellurteil-Dekor der Stilstufe MileA II mit verschiedenen Blüten und Knospen der Stilstufe
8. Milet, Aphrodite-Heiligtum, BS und WS von KRS mit Flechtbändern der Stilstufen SiA/MileA I (sicher bei 1. R. d.; 3. R. b-d) und MileA II (sicher bei 1. R. b-c; 2. R. a-c; 3. R. a. e).
9. Milet, Aphrodite-Heiligtum, RS und WS von KRS mit verschiedenen Rosetten der Stilstufen SiA/MileA I und MileA II.
10. Milet, Aphrodite-Heiligtum, WS von KRS mit verschiedenen Varianten von Strich-Bändern.
11. Milet, Aphrodite-Heiligtum, BS und WS von KRS mit Strahlenreihen von Metopenbildfeldern der Stilstufe SiA/MileA Ic-d; flächiges Winckelmotiv im inneren Standringrund (1. R. a; 3. R. d).
12. Milet, Aphrodite-Heiligtum, RS, BS und WS von KRS mit Fikellurteil-Dekor der Stilstufe MileA II; flächige Rosettendekore innen; »free field«-Dekore außen.
13. Milet, Aphrodite-Heiligtum, RS und eine WS von KRS (Typus 10,11.D) mit Fikellurteil-Dekor der Stilstufe MileA II; »free field«-Dekore außen; innen verschiedene Banddekore: Efeublatt-Bänder (1. R. a-b; 2. R. b-c), Schlaufenband (1. R. c; 2. R. a?); Stabband auf dem Rand innen.
14. Milet, Aphrodite-Heiligtum, RS von KRS (Typus 10,11.D) mit Fikellurteil-Dekor der Stilstufe MileA II: »free field«-Dekore mit Punktrosetten außen; Bänder mit Stabreihen und Zahnschnitt innen, aber auch Punkt-Quadratbänder (2. R. b. f.)
15. Milet, Aphrodite-Heiligtum, RS (Typus 10,11.D) und WS von KRS mit Fikellurteil-Dekor der Stilstufe MileA II: »free field«-Dekor außen mit Punktrosetten und Henkelblüten sowie eine verbundene Blüten-Knospen-Kette (2. R. d); innen verschiedene Dekore: Rosettenflächen; Sichelband (2. R. a); Vogelreigen (1. R. c); figürliches (1. R. a).
- 15A. Milet, Aphrodite-Heiligtum, RS (Typus 10,11.D) und WS von KRS mit Fikellurteil-Dekor der Stilstufe MileA II: »free field«-Dekor außen mit Punktrosetten und Henkelblüten; innen Granatapfel-Ketten mit vereinfachtem Strich über der Frucht; ein Fries mit Granatapfelstäben und vereinfachtem Strich über der Frucht (3. R. a).
- 15B. Milet, Aphrodite-Heiligtum, BS und WS von KRS mit Fikellurteil-Dekor der Stilstufe MileA II: »free field«-Dekor sowie Stabreihen oder Strahlenreihen in der Fußzone außen; innen Granatapfel-Ketten (1. R. a. c-e; 2. R. b. d; 3. R. a. c) mit Fruchtknoten (2. R. a-e; 3. R. b); ein Fries mit Granatapfelstäben und vereinfachtem Strich über der Frucht (1. R. b).
16. Milet, Aphrodite-Heiligtum, KRS (Typus 10,11.D) mit Fikellurteil-Dekor der

- Stilstufe MileA II: »free field«-Dekor mit Punktrosetten und Henkelblüten sowie Stabreihen in der Fußzone außen;; innen Stabreihe auf dem Rand (jeder sechste Stab mit Deckrot aufgehöhht); im Becken eine Granatapfel-Kette mit vereinfachtem Strich über der Frucht; Blüte im Medaillon.
- 17.** Milet, Aphrodite-Heiligtum, RS (Typus 10,11.D) und WS von KRS mit Fikellurteil-Dekor der Stilstufe MileA II: außen »free field«-Dekor; einmal mit Punktrosetten und Henkelblüten (1. R. a); innen Stabreihe auf dem Rand (jeder sechste Stab mit Deckrot aufgehöhht); Zonenedekoration im Becken mit verschiedenen Varianten von Schlaufenbändern.
- 18.** Milet, Aphrodite-Heiligtum, RS (Typus 10,11.D), BS und WS von KRS mit Fikellurteil-Dekor der Stilstufe MileA II: außen »free field«-Dekor; einmal mit Henkelblüten (1. R. b), ansonsten Stabreihen in Fußzone außen; innen einmal Stabreihe auf dem Rand (jeder sechste Stab mit Deckrot aufgehöhht) (1. R. b); Zonenedekoration im Becken mit Vögelreigen (mit roten Aufhöhungen auf dem Körper: Wasservogel (1. R. a); Reiher (2. R. b). Zonen auf dem kopfstehend (1. R. a-b; 2. R. b).
- 19.** Milet, Aphrodite-Heiligtum, RS (Typus 10,11.D) von KRS mit Fikellurteil-Dekor der Stilstufe MileA II: außen »free field«-Dekor mit Punktrosetten zwischen Henkelblüten und Stabreihen in der Fußzone; innen Stabreihen auf dem Rand (jeder sechste Stab mit Deckrot aufgehöhht); Granatapfel-Ketten mit vereinfachtem Strich über der Frucht und einer mit Fruchtknoten (1. R. c); ein Fries mit Granatapfelstäben und vereinfachtem Strich über der Frucht (2. R. a).
- 19.** Milet, Aphrodite-Heiligtum, RS (Typus 10,11.D) und BS von KRS mit Fikellurteil-Dekor der Stilstufe MileA II: außen »free field«-Dekor mit Henkelblüten, einmal mit Punktrosettenfläche (2. R. b), und Stabreihen in der Fußzone; innen Stabreihen auf dem Rand (jeder sechste Stab mit Deckrot aufgehöhht) (1. R. a); Kreuzrosettenfläche (1. R); Punktlinien-Netzdekor mit Füllmotiven (2. R.).
- 20.** Milet, Aphrodite-Heiligtum, WS von KRS mit Dekor der Stilstufe SiA/MileA Id(/MileA IIa): verschiedene Varianten von Plattenmäandern in der ausgesparten Henkelzone; Frag. steht auf dem Kopf (o. 1. R. d).
- 21.** Milet, Aphrodite-Heiligtum, WS einer Schale mit Dekor der Stilstufe SiA/MileA Id(/MileA IIa): Plattenmäandern in der Henkelzone.
- 22.** Milet, Aphrodite-Heiligtum, BS einer Schale mit Dekor der Stilstufe MileA IIa: Blüte im Beckenmedaillon.

10 Abbildungsverzeichnis

Abbildungen

Abb. 1:	Neues Klassifizierungsmodell nach Kerschner – Schlotzhauer 2005 und 2007	4
Abb. 2:	Kantharos, Samos (Hera-Heiligtum K 5742), zweites Viertel d. 7. Jhs. v. Chr.	5
Abb. 3:	Kantharos, Milet (Stadtmauergrabung SM 97.12.147), Perserschutt.	6
Abb. 4:	Tasse, Samos (Hera-Heiligtum IV/5), letztes Drittel des 7. oder erste Hälfte des 6. Jhs. v. Chr.	7
Abb. 5:	Füße von KRS des Typus 8, Milet (Kalabaktepe K 92.414.1; K 89.430.9; K 89.491.12; K 91.224.12), 660/50–600/590 v. Chr.	8
Abb. 6:	Bezeichnungen zum KRsk	9
Abb. 7:	Bezeichnungen zur KRS	10
Abb. 8:	Tab. 1. Konkordanzliste der gebräuchlichsten Typologien und Klassifizierungen zu den ostgriechischen KRS	19
Abb. 9:	Attisierender Skyphos mit 'Flicklöchern' der Variante 1,2.A, Milet (Inv.-Nr. KA 22.a.1)	69
Abb. 10:	Kalabaktepe-Süd, Anteil des Typus 1 an der Gesamtmenge der stratifizierten KRsk und KRS	71
Abb. 11:	KRsk der Variante 1,2.B, Milet Kalabaktepe-Süd (K 92.174.3); aus Q 91.08 vermutlich zur Siedlungsphase 1 gehörend »Zerstörungsschutt des Gebäudes Phase 1?«	75
Abb. 12:	Kalabaktepe-Süd, Anteil des Typus 2 an der Gesamtmenge der stratifizierten KRsk und KRS	80
Abb. 13:	Kalabaktepe-Süd, Anteil des Typus 3 an der Gesamtmenge der stratifizierten KRsk und KRS	87
Abb. 14:	Kalabaktepe-Süd, Anteil des Typus 4 an der Gesamtmenge der stratifizierten KRsk und KRS	92
Abb. 15:	Kalabaktepe-Süd, Anteil des Typus 5 an der Gesamtmenge der stratifizierten KRsk und KRS	94

Abb. 16:	Kalabaktepe-Süd, Anteil des Typus 6 an der Gesamtmenge der stratifizierten KRSk und KRS	98
Abb. 17:	Vollständig rekonstruiertes Beispiel der Variante 6,2.B, Milet (Inv.-Nr. CA 09.206.10)	99
Abb. 18:	Kalabaktepe-Süd, Anteil des Typus 7 an der Gesamtmenge der stratifizierten KRSk und KRS	101
Abb. 19:	Kalabaktepe-Süd, Anteil des Typus 8 an der Gesamtmenge der stratifizierten KRSk und KRS	103
Abb. 20:	Kalabaktepe-Süd, Anteil des Typus 9 an der Gesamtmenge der stratifizierten KRSk und KRS	106
Abb. 21:	Kalabaktepe-Süd, Anteil des Typus 10 an der Gesamtmenge der stratifizierten KRSk und KRS	111
Abb. 22:	Kalabaktepe-Süd, Anteil des Typus 11 an der Gesamtmenge der stratifizierten KRSk und KRS	116
Abb. 23:	Kalabaktepe-Süd, Anteil des Typus 12 an der Gesamtmenge der stratifizierten KRSk und KRS	119
Abb. 24:	Kalabaktepe-Süd, Anteil des Typus 13 an der Gesamtmenge der stratifizierten KRSk und KRS	120
Abb. 25:	Kalabaktepe-Süd, Anteil der KRS der sog. Grauen Ware an der Gesamtmenge der stratifizierten KRSk und KRS	122
Abb. 26:	Kalabaktepe-Süd, Verteilung aller KRSk und KRS vom Kalabaktepe-Süd zwischen 1989 bis 1993	131
Abb. 27:	Kalabaktepe-Süd, Anteil der KRSk und KRS aus gestörten und intakten Schichten	132
Abb. 28:	Kalabaktepe-Süd, Verteilung der KRSk und KRS aus intakten Schichten	133
Abb. 29:	Kalabaktepe-Süd, Verhältnis der ungestörten Befunde zu den Siedlungsphasen	135
Abb. 30:	Tab. 2. Verteilungsdichte der Randfragmente aller Typen in Bezug auf die Befundanzahl der Siedlungsphasen	136
Abb. 31:	Kalabaktepe-Süd, Verteilung der KRSk und KRS in der Vorsiedlungsphase 0	146
Abb. 32:	Kalabaktepe-Süd, aus der Auffüllung für die Siedlungsphase 1 und ihrem Boden. a) K 89.530.11 (= Kat.-Nr. 137); b) K 89.530.12; c) K 89.530.13; d) K 89.530.19	151

Abb. 33: Kalabaktepe-Süd, aus dem Boden der Siedlungsphase 1. K 89.530.14 (= Kat.-Nr. 123); K 89.530.15 (= Kat.-Nr. 124)	153
Abb. 34: Kalabaktepe-Süd, aus dem Boden der Siedlungsphase 1. a) K 89.463.1; b) K 89.484.10; c) K 89.278.2; d) K 89.474.36; e) K 89.457.12; f) K 89.474.10	154
Abb. 35: Kalabaktepe-Süd, aus der Aufschüttung zur Siedlungsphase 2, mit älterem Material vermengt. a) K 89.268.9; b) K 89.429.11; c) K 89.150.9; d) K 89.268.8; e) K 89.281.10 (= Kat.-Nr. 159); f) K 89.275.3; g) K 89.561.2	157
Abb. 36: Kalabaktepe-Süd, aus der Aufschüttung zur Siedlungsphase 2, mit älterem Material vermengt. a) K 89.261.13+275.5 (= Kat.-Nr. 140); b) K 89.261.3 (= Kat.-Nr. 419); c) K 89.273.3; d) K 89.273.4	159
Abb. 37: Kalabaktepe-Süd, Verteilung der KRSk und KRS in der Siedlungsphase 1	161
Abb. 38: Kalabaktepe-Süd, aus dem Boden und der Nutzungszeit der Siedlungsphase 2 (b könnte auch der Phase 3 angehören). K 89.109.5; K 89.424.1	166
Abb. 39: Kalabaktepe-Süd, aus der Aufschüttung zur Siedlungsphase 3, mit älterem Material vermengt. K 89.527.3; K 89.280.26; K 89.467.2; K 89.219.10; K 89.527.4	168
Abb. 40: Samos, Hera-Heiligtum, DAI Neg.-Nr. a) HW-37-07 und b) ATH-Samos-5308	169
Abb. 41: Kalabaktepe-Süd, aus der Aufschüttung zur Siedlungsphase 3, mit älterem Material vermengt. a) K 89.280.21; b) K 89.280.19; c) K 89.280.20; d) K 89.280.22 (= Kat.-Nr. 165); e) K 89.159.7; f) K 89.247.6 (= Kat.-Nr. 164); g) K 89.159.6; H) K 89.453.24; i) K 89.453.23 (= Kat.-Nr. 344); j) K 89.453.25; K 89.247.13; k) K 89.247.4; l) K 89.247.5	170
Abb. 42: Kalabaktepe-Süd, aus der Aufschüttung zur Siedlungsphase 3, mit älterem Material vermengt. K 89.453.20; K 89.453.22; K 89.453.21	172
Abb. 43: Kalabaktepe-Süd, Verteilung der KRSk und KRS in der Siedlungsphase 2	175
Abb. 44: Kalabaktepe-Süd, aus dem Boden und dem Benutzungshorizont der Siedlungsphase 3. a) K 89.167.20; b) K 89.167.21; c) K 89.419.10 (= Kat.-Nr. 145); d) K 89.419.9; e) K 89.139.7; f) K 89.133.1; g) K 89.237.1 (= Kat.-Nr. 367); h) K 89.419.8;	181

	i) K 89.145.3	
Abb. 45:	Kalabaktepe-Süd, aus dem Boden der Siedlungsphase 3 und der Aufschüttung zur Siedlungsphase 4. a) K 89.288.27; b) K 89.288.19; c) K 89.288.25; d) K 89.288.28; e) K 89.288.23; f) K 89.288.20; g) K 89.288.29; h) K 89.288.24; i) K 89.288.26	183
Abb. 46:	Kalabaktepe-Süd, aus dem Boden der Phase 3 und der Auffüllung zur Siedlungsphase 4. a) K 89.288.1 (= Kat.-Nr. 273); b) K 89.288.36; c) K 89.288.21; d) K 89.288.22; e) K 89.279.2; f) K 89.279.1; g) K 89.288.30	185
Abb. 47:	Kalabaktepe-Süd, aus der Auffüllung zur Siedlungsphase 4 mit Boden der Phase 4. a) K 89.510.30; b) K 89.510.21; e) K 89.510.18 (= Kat.-Nr. 10); j) K 89.510.26; l) K 89.510.27. Kalabaktepe-Süd, aus der Auffüllung zur Siedlungsphase 4 evtl. mit Boden der Phase 2/3. c) K 89.514.46; d) K 89.514.36 (= Kat.-Nr. 30); f) K 89.514.35; g) K 89.514.42; h) K 89.514.48; i) K 89.514.47. Kalabaktepe-Süd, aus der Auffüllung zur Siedlungsphase 4, mit älterem Material vermengt. k) K 89.128.4; m) K 89.119.3; n) K 89.119.2	186
Abb. 48	Kalabaktepe-Süd, aus der Auffüllung zur Siedlungsphase 4 evtl. mit Boden der Phase 2/3. a) K 89.514.45; b) K 89.514.44; c) K 89.260.14; e) K 89.514.43 (= Kat.-Nr. 148). Kalabaktepe-Süd, aus der Auffüllung zur Siedlungsphase 4 mit Boden der Phase 4. d) K 89.510.33; f) K 89.510.29 (= Kat.-Nr. 342); g) K 89.510.70 (= Kat.-Nr. 341); h) K 89.506.23+510.19 (= Kat.-Nr. 437); i) K 89.510.28	188
Abb. 49	Kalabaktepe-Süd, aus der Auffüllung zur Siedlungsphase 4 evtl. mit Boden der Phase 2/3. a) K 89.514.29; c) K 89.514.41. Kalabaktepe-Süd, aus der Auffüllung zur Siedlungsphase 4 mit Boden der Phase 4. b) K 89.510.34; d) K 89.510.36; e) K 89.510.37; f) K 89.510.35	190
Abb. 50:	Kalabaktepe-Süd, Verteilung der KRSk und KRS in der Siedlungsphase 3	192
Abb. 51:	Kalabaktepe-Süd, aus dem Boden der Siedlungsphase 4. a) K 89.114.10; b) K 89.114.1; c) K 89.114.6; d) K 89.114.9; e) K 89.114.7; f) K 89.114.11; g) K 89.114.8 (= Kat.-Nr. 336)	195

Abb. 52: Kalabaktepe-Süd, aus dem Boden der Siedlungsphase 4 (eventuell spätarchaische Störung). K 89.216.1 (= Kat.-Nr. 365)	197
Abb. 53: Kalabaktepe-Süd, aus der Nutzungszeit der Siedlungsphase 4. a) K 89.118.4; b) K 89.276.10; c) K 89.276.18; d) K 89.276.11; e) K 89.276.13 (= Kat.-Nr. 355); f) K 89.276.19; g) K 89.276.14+279.3; h) K 89.276.12	197
Abb. 54: Kalabaktepe-Süd, aus der Aufschüttung zur Siedlungsphase 4 und der Unterphase 4a. a) K 89.141.7; b) K 89.132.2; c) K 89.132.3; d) K 89.141.8; e) K 89.132.4; f) K 89.132.5	199
Abb. 55: Kalabaktepe-Süd, aus der Unterphase 4a innerhalb der Siedlungsphase 4. a) K 89.284.12; b) K 89.284.13; c) K 89.284.16; d) K 89.284.14; e) K 89.284.15	200
Abb. 56: Kalabaktepe-Süd, aus der Aufschüttung zur Siedlungsphase 5. a) K 89.248.17; b) K 89.179.4; c) K 89.248.18; d) K 89.248.19; e) K 89.555.6	201
Abb. 57: Kalabaktepe-Süd, aus der Aufschüttung zur Siedlungsphase 5 (oder gestört). a) K 89.200.8; b) K 89.200.7; c) K 89.200.9 (= Kat.-Nr. 335)	202
Abb. 58: Kalabaktepe-Süd, Verteilung der KRSk und KRS in der Siedlungsphase 4	203
Abb. 59: Kalabaktepe-Süd, aus dem Hofboden der Siedlungsphase 5. a) K 89.116.9; b) K 89.116.7; c) K 89.116.10; d) K 89.116.12; e) K 89.116.11; f) K 89.116.8; g) K 89.116.16; h) K 89.116.17	206
Abb. 60: Kalabaktepe-Süd, aus dem Fußboden der Siedlungsphase 5 (und möglicherweise auch Siedlungsphase 6). a) K 89.265.14; b) K 89.265.15 (= Kat.-Nr. 146); c) K 89.265.23+211.1 (= Kat.-Nr. 174); d) K 89.265.9; e) K 89.265.13; f) K 89.265.10; g) K 89.265.12; h) K 89.265.11	208
Abb. 61: Kalabaktepe-Süd, aus dem Fußboden der Siedlungsphase 5 (und möglicherweise auch Siedlungsphase 6). a) K 89.265.16; b) K 89.265.17; c) K 89.265.19; d) K 89.265.20; e) K 89.265.18; f) K 89.265.21	210
Abb. 62: Kalabaktepe-Süd, aus der Nutzungszeit der Siedlungsphase 5. a) K 89.195.8; b) K 89.195.7; c) K 89.195.5 (= Kat.-Nr. 346); d) K 89.195.6	211
Abb. 63: Kalabaktepe-Süd, aus der Aufschüttung für die Umbauphase 5a und deren Boden, sowie aus der Aufschüttung für Umbauphase 5b. a) K 89.212.9; b) K 89.212.8; c) K 89.212.10; d) K 89.212.5; e) K 89.213.1. Kalabaktepe-Süd, aus und von dem Fußboden der Umbauphase 5b. f) K 89.208.3; g) K 89.208.2; h) K 89.208.4	212

Abb. 64: Kalabaktepe-Süd, aus der Auffüllung zur Siedlungsphase 6, mit Älterem vermischt. a) K 89.506.36; b) K 89.506.51; c) K 89.506.54; d) K 89.223.7; e) K 89.506.42; f) K 89.155.16; g) K 89.155.15	214
Abb. 65-1: Kalabaktepe-Süd, aus der Auffüllung zur Siedlungsphase 6, mit Älterem vermischt. a) K 89.506.43 (= Kat.-Nr. 352); b) K 89.506.49; c) K 89.506.50; d) K 89.506.53; e) K 89.506.47; f) K 89.506.40; g) K 89.506.45; h) K 89.155.14; i) K 89.155.11; j) K 89.506.38 (= Kat.-Nr. 350); k) K 89.506.39	215
Abb. 65-2: Kalabaktepe-Süd, aus der Auffüllung zur Siedlungsphase 6, mit Älterem vermischt. l) K 89.506.37; m) K 89.506.52; n) K 89.155.10; o) K 89.506.48; p) K 89.223.6; q) K 89.506.44; r) K 89.155.13	217
Abb. 66: Kalabaktepe-Süd, aus der Auffüllung zur Siedlungsphase 6, mit Älterem vermischt. a) K 89.506.41 (= Kat.-Nr. 353); b) K 89.506.46; c) K 89.155.12; d) K 89.506.22 (= Kat.-Nr. 454); e) K 89.488.11; f) K 89.506.24; g) K 89.506.55; h) K 89.506.56; i) K 89.506.57; j) K 89.506.58; k) K 89.506.59	218
Abb. 67: Kalabaktepe-Süd, aus der Auffüllung für Siedlungsphase 6, mit Älterem vermischt. a) K 89.224.8; b) K 89.224.9; c) K 89.224.10; f) K 89.224.7. Kalabaktepe-Süd, aus der Auffüllung im Innenraum der Siedlungsphase 5 oder 6, mit Älterem vermischt. d) K 89.229.3; e) K 89.229.2 (= Kat.-Nr. 333)	219
Abb. 68: Kalabaktepe-Süd, Verteilung der KRSk und KRS in der Siedlungsphase 5	221
Abb. 69: Kalabaktepe-Süd, aus dem Hofboden der Siedlungsphase 6. a) K 89.55.3; b) K 89.55.2; h) K 89.55.4. Kalabaktepe-Süd, aus dem Hofniveau der Siedlungsphase 6. c) K 89.125.5; d) K 89.87.6; e) K 89.125.6 (= Kat.-Nr. 358); f) K 89.125.12; g) K 89.87.7	226
Abb. 70: Kalabaktepe-Süd, aus der Auffüllung zur Siedlungsphase 7, mit Älterem vermischt. a) K 89.209.9; b) K 89.210.3; c) K 89.227.4; d) K 89.209.15; e) K 89.209.12; f) K 89.209.11; g) K 89.210.8; h) K 89.210.9; i) K 89.209.13; j) K 89.209.10; k) K 89.209.16; l) K 89.210.10	229
Abb. 71: Kalabaktepe-Süd, Verteilung der KRSk und KRS in der Siedlungsphase 6	232
Abb. 72: Kalabaktepe-Süd, Verteilung der KRS des Typus 1 in den Siedlungsphasen	242

Abb. 73: Kalabaktepe-Süd, Verteilung der KRS des Typus 2 in den Siedlungsphasen	243
Abb. 74: Kalabaktepe-Süd, Verteilung der KRS des Typus 3 in den Siedlungsphasen	244
Abb. 75: Kalabaktepe-Süd, Verteilung der KRS des Typus 4 in den Siedlungsphasen	245
Abb. 76: Kalabaktepe-Süd, Verteilung der KRS des Typus 5 in den Siedlungsphasen	246
Abb. 77: Kalabaktepe-Süd, Verteilung der KRS des Typus 6 in den Siedlungsphasen	248
Abb. 78: Kalabaktepe-Süd, Verteilung der KRS des Typus 7 in den Siedlungsphasen	250
Abb. 79: Kalabaktepe-Süd, Verteilung der KRS des Typus 8 in den Siedlungsphasen	251
Abb. 79.1: Kalabaktepe-Süd, Verteilung der KRS des Typus 8 mit der Dekorvariante ay mit roten oder weiß-rot-weißen Bändern in den Siedlungsphasen	253
Abb. 79.2: Kalabaktepe-Süd, Verteilung der KRS des Typus 8 mit einfacher Dekorvariante a ohne rote oder weiß-rot-weiße Bänder in den Siedlungsphasen	254
Abb. 80: Kalabaktepe-Süd, Verteilung der KRS des Typus 9 in den Siedlungsphasen	255
Abb. 81: Kalabaktepe-Süd, Verteilung der KRS des Typus 10 in den Siedlungsphasen	257
Abb. 82: Kalabaktepe-Süd, Verteilung der KRS des Typus 11 in den Siedlungsphasen	262
Abb. 83: Tab. 3: Periodisierung der geometrischen ostgriechischen Keramik von H. Walter 1968	276
Abb. 84: Tab. 4: Periodisierung der geometrischen ostgriechischen Keramik von B. Schweitzer 1969	277
Abb. 85: Tab. 5: Periodisierung der geometrischen ostgriechischen Keramik von Coldstream 1968	277
Abb. 86: Tab. 6: Periodisierung der geometrischen ostgriechischen Keramik von R. M. Cook 1998	278
Abb. 87: Tab. 7: Periodisierung der geometrischen ostgriechischen Keramik (Auswahl einiger teils inhaltlich bisher unbelegter Regionen und Zentren) nach dem neuen Klassifizierungssystem	279
Abb. 88: Tab. 8: Ausgewählte Kontexte für die mittelgeometrischen Varianten des Typus 1 in Milet	282
Abb. 89: Tab. 9: Ausgewählte Kontexte für die spätgeometrischen Varianten des Typus 1 in Milet	285

Abb. 90:	Tab. 10: Ausgewählte Kontexte für die spät- und subgeometrischen Varianten des Typus 2 in Milet	287
Abb. 91:	Tab. 11: Ausgewählte Kontexte für die spät- und subgeometrischen Varianten des Typus 3 in Milet	290
Abb. 92:	Tab. 12: Ausgewählte Kontexte für die subgeometrischen Varianten des Typus 1 in Milet	292
Abb. 93:	Tab. 13: Ausgewählte Kontexte für die früharchaischen Varianten des Typus 4 in Milet	294
Abb. 94:	Tab. 14: Ausgewählte Kontexte für die früharchaischen Varianten des Typus 5 in Milet	307
Abb. 95:	Tab. 15: Ausgewählte Kontexte für die früharchaischen Varianten des Typus 6 in Milet	315
Abb. 96:	Tab. 16: Ausgewählte Kontexte für die früharchaischen Varianten des Typus 7 in Milet	317
Abb. 97:	Tab. 17: Ausgewählte Kontexte für die früharchaischen Varianten des Typus 8 in Milet	327
Abb. 98:	Tab. 18: Ausgewählte Kontexte für die früharchaischen Varianten des Typus 9 in Milet	334
Abb. 99:	Tab. 19: Ausgewählte Kontexte für die früharchaischen Varianten des Typus 10 in Milet	341
Abb. 100:	Tab. 20: Ausgewählte Kontexte für die früharchaischen Varianten des Typus 11 in Milet	348
Abb. 101:	Tab. 21: Ausgewählte Kontexte für die früharchaischen Varianten des Typus 13 in Milet	351
Abb. 102:	Kalabaktepe-Süd, Verteilung der bemalten KRS in den Siedlungsphasen	353
Abb. 103:	Diagramm 1: Kalabaktepe-Süd, graphische Umsetzung der stratigraphischen Ergebnisse zu den milesischen KRSk und KRS	356
Abb. 104:	Diagramm 2: Kalabaktepe-Süd, Zeittafel zu den milesischen KRSk und KRS und zur milesischen Gefäßmalerei	357
Abb. 105:	Diagramm 3: Cr/Ni-Verteilung in archaischen Fehlbränden aus Milet	377
Abb. 106:	Diagramm 4: Cr/Ni-Auswertung der milesischen Proben mit milesischem Referenzfeld (rosa hinterlegt), ‚chemischem Mittelfeld‘ (gelb) und ‚attischem‘	381

Feld (orange).	
Abb. 107: Diagramm 5: Dendrogramm nach Clusterauswertung der milesischen Proben.	383
Abb. 108: Diagramm 6: Cr/Ni-Auswertung bemalter milesischer Keramik	385
Abb. 109: Diagramm 7: Cr/Ni-Auswertung der milesischen Proben	388
Abb. 110: Diagramm 8: Cr/Ni-Auswertung der geometrischen und subgeometrischen milesischen Proben	415
Abb. 111: Tab. 22: Elementkonzentrationen, gemessen durch NAA: Gegeben sind die Mittelwerte M der Gruppen und ihre Streuungen (Wurzel aus der mittleren quadratischen Abweichung = Varianz) nach Korrektur der Einzelproben auf Verdünnung durch einen besten relativen Anpassungsfaktor. Gruppen A und D sind Werkstätten in Milet sicher zugewiesen, Gruppen a und DD-sum kommen mit hoher Wahrscheinlichkeit ebenfalls aus der Gegend von Milet.	431
Abb. 112: Tab. 23: Elementkonzentrationen, gemessen durch NAA: Gegeben sind die Mittelwerte M der Gruppen und ihre Streuungen (Wurzel aus der mittleren quadratischen Abweichung = Varianz) nach Korrektur der Einzelproben auf Verdünnung durch einen besten relativen Anpassungsfaktor. Gruppen KroQ und KrPP sind Werkstätten in Attika, wahrscheinlich in der Gegend von Athen zugewiesen. Die Gruppe EubA ist eine Untergruppe der Gruppe EuA, die verschiedene ähnliche Muster von Produktionsserien zusammenfasst, die alle auf euböischen Ton des Tonlagers von Phylla nördlich von Lefkandi zurückgehen. Gruppe J schließlich zeigt eine Produktion in Samos an.	432
Abb. 113: Tab. 24: Elementkonzentrationen, gemessen durch NAA: Gegeben sind die Mittelwerte M der Gruppen und ihre Streuungen (Wurzel aus der mittleren quadratischen Abweichung = Varianz) nach Korrektur der Einzelproben auf Verdünnung durch einen besten relativen Anpassungsfaktor. Die Gruppe ACb2 ist mit hoher Wahrscheinlichkeit in Werkstätten auf dem Peloponnes hergestellt, KatA weist auf Töpfereien in Catania, Sizilien und die beiden Gruppen Ulo4 (Unlokalisiert Nr. 4, hier nur Schalen der Gruppe 8) und U113 (Unlokalisiert Nr. 13) sind unbekannter Herkunft.	433
Abb. 114: Tab. 25: Elementkonzentrationen, gemessen durch NAA: Gegeben sind die Mittelwerte M der Gruppen und ihre Streuungen (Wurzel aus der mittleren quadratischen Abweichung = Varianz) nach Korrektur der Einzelproben auf Verdünnung durch einen besten relativen Anpassungsfaktor. Die Gruppe DD-sum, geformt aus den 3 sehr ähnlichen Untergruppen DD-1, DD-2 und DD-3 ist unlokalisiert. Sie hat jedoch eine Zusammensetzung, die ähnlich der milesischen Gruppe D ist, und könnte aus der Gegend Milet stammen	434
Abb. 115: Tab. 26: Elementkonzentrationen, gemessen durch NAA: Gegeben sind die Mittelwerte M der Gruppen und ihre Streuungen (Wurzel aus der mittleren quadratischen Abweichung = Varianz) nach Korrektur der Einzelproben auf Verdünnung durch einen besten relativen Anpassungsfaktor. Die Gruppe UI70 (Unlokalisiert Nr. 70) besteht aus 3 sich ähnelnden Untergruppen unbekanntem Produktionsortes.	435
Abb. 116: Statistische Diskriminanzanalyse der Konzentrationsdaten von 43 beprobten	436

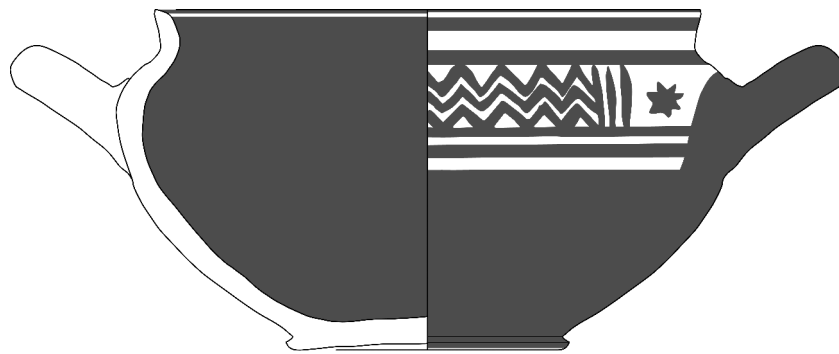
KRSk und KRS, die 13 Clustern ergeben.	
Abb. 117: Tab. 27: Clusterauswertung der milesischen Proben	437
Abb. 118: Tab. 28: Katalog der im Bochumer Labor (Yalçın) beprobten Gefäße aus Milet	438
Abb. 119: Tab. 29: Katalog der im Bochumer Labor (Yalçın) beprobten Gefäße aus Milet	442
Abb. 120: Tab. 30: Katalog der im Bochumer Labor (Yalçın) beprobten Gefäße aus Milet	446
Abb. 121: Tab. 31: Katalog der im Bochumer Labor (Yalçın) beprobten Gefäße aus Milet	451
Abb. 122 Tab. 32 Abgleich der zweifach beprobten Gefäße im Bonner Labor (Mommsen) und im Bochumer Labor (Yalçın)	455
Abb. 123 Tab. 33. Katalog der im Bonner Labor (Mommsen) beprobten Gefäße aus Milet	457
Abb. 124 Tab. 34. Katalog der im Bonner Labor (Mommsen) beprobten Gefäße aus Milet.	460
Abb. 125 Tab. 35. Katalog der im Bonner Labor (Mommsen) beprobten Gefäße aus Milet.	462
Abb. 126 Tab. 36. Katalog der im Bonner Labor (Mommsen) beprobten Gefäße aus Milet.	464



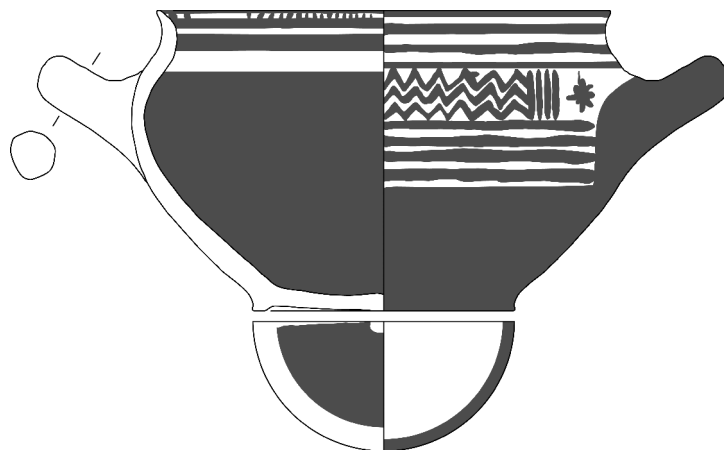
1. Milet, Kalabaktepe K 93.1.27



2. Milet, Kalabaktepe K 93.556.7



3. Samos, Hera-Heiligtum K 6526



4. Samos, Hera-Heiligtum K 6527

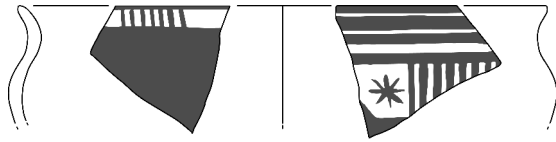
Typus 1
Formvariante
1,1.A
1,2.A

1.-2.
3.-4.

Dekorvariante
a.
b.

1.-2.
3.-4.

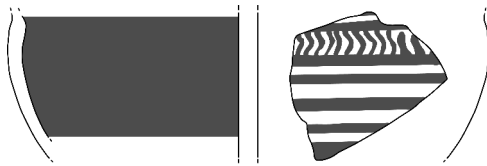
Tafel 2



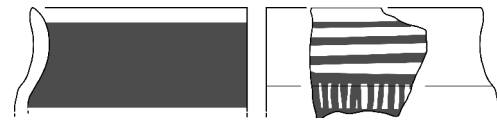
5. Milet, Südschnitt S 66.181.1



6. Milet, Athena-Heiligtum AT 57.N.59.1



7. Milet, Kalabaktepe K 89.493.17



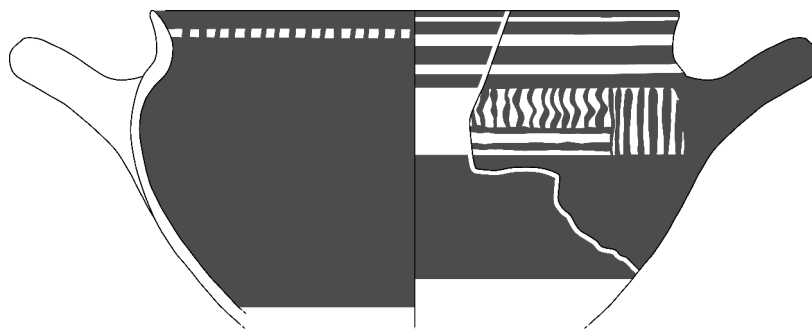
8. Milet, Athena-Heiligtum AT 55.17.1



9. Milet, Kalabaktepe K 95.224.5



10. Milet, Kalabaktepe K 89.510.18



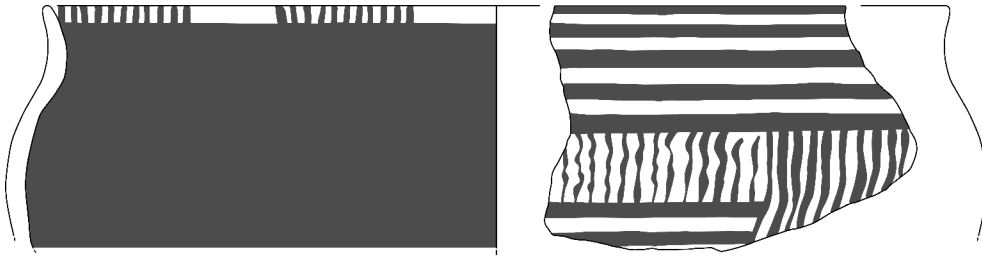
11. Milet, Athena-Heiligtum AT 57.N.59.6

Typus 1
Formvariante
1,2.A
1,2.B
1,2A/B

5.-6.; 9.
7.; 11.
8.; 10.

Dekorvariante
b.

5.-7.; 9.-11.



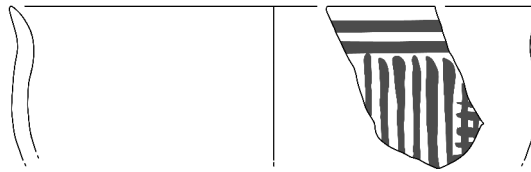
12. Milet, Athena-Heiligtum AT 57.N.36.5



13. Milet, Kalabaktepe K 92.51.4



14. Milet, Athena-Heiligtum AT 57.O.19.7



15. Milet, Athena-Heiligtum AT 57.O.187.13



16. Milet, Kalabaktepe K 92.51.3



17. Milet, Kalabaktepe K 91.440.14

Typus 1
Formvariante
1,2.B
1,2.-4.A/B
1,2A

12.; 14.-15.; 17.
13.
16.

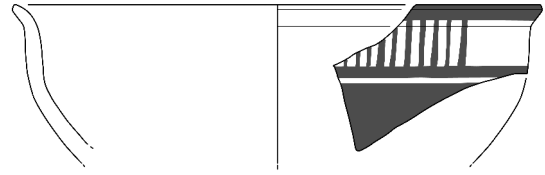
Dekorvariante
b.
b. (Sonderform)
c.

12.-13.
14.
15.-17.

Tafel 4



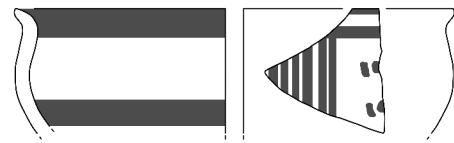
18. Milet, Athena-Heiligtum AT 57.N.59.7



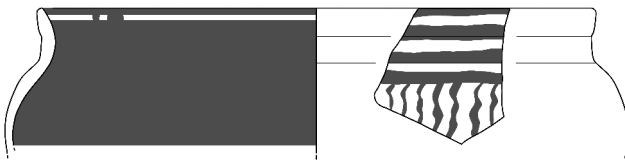
19. Milet, Athena-Heiligtum AT 57.O.4.4



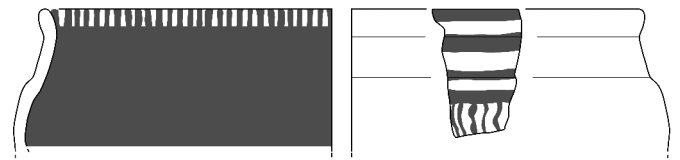
20. Milet, Athena-Heiligtum AT 57.O.157.6



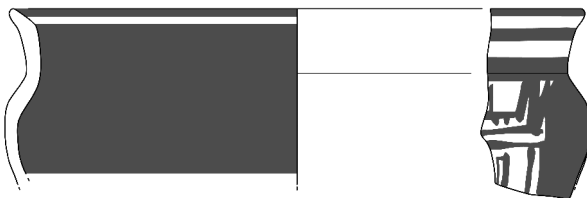
21. Milet, Kalabaktepe K 92.81.1



22. Milet, Athena-Heiligtum AT 55-56-7.1



23. Milet, Athena-Heiligtum AT 57.N.96.1



24. Milet, Athena-Heiligtum AT 57.N.43.6



25. Milet, Kalabaktepe K 89.139.3

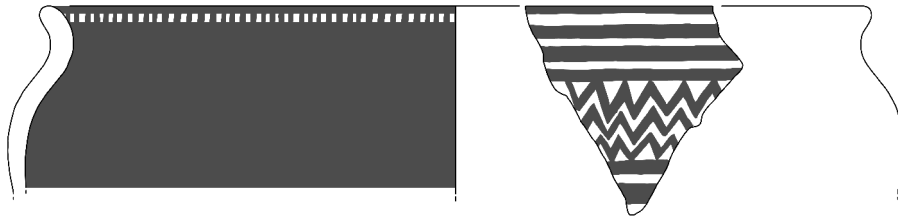
Typus 1

Formvariante

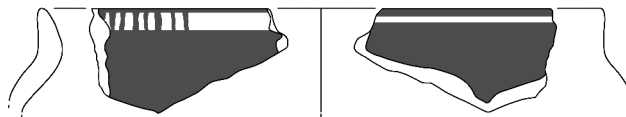
1,2.B	18.
1,3.B	19.–21.
1,4.A	22.–24.
1,2.A (Euböisch)	25.

Dekorvariante

c.	18.–19.; 21.
b. (Sonderform)	20.
b.	22.–24.
a.	25.



26. Milet, Athena-Heiligtum AT 55.KA 27a.4



27. Milet, Kalabaktepe K 93.180.1



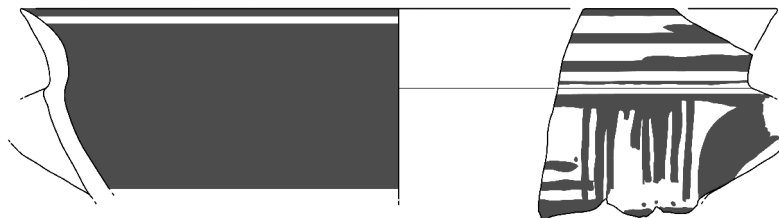
28. Milet, Kalabaktepe K 90.424.4



29. Milet, Kalabaktepe K 90.252.125



30. Milet, Kalabaktepe K 89.514.36



31. Milet, Kalabaktepe K 91.211.5

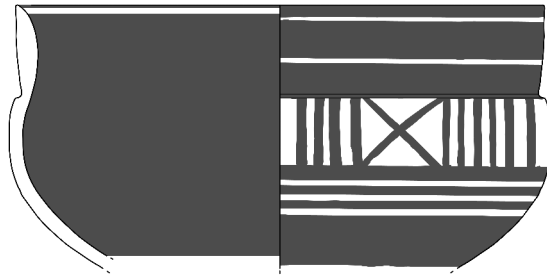
Typus 1

Formvariante
 1,1.A (Attisch)
 1,2.A (Attisch)
 1,2.B (Attisch)
 2,1.B

26.
 27.–28.
 29.
 30.–31.

Dekorvariante

b. 26.; 28.–31.
 a. 27.



32. Milet, Kalabaktepe K 88.180.6



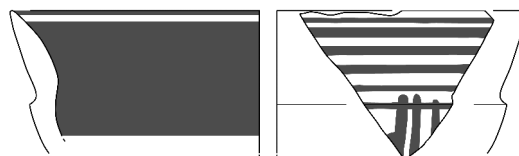
33. Milet, Kalabaktepe K 92.655.1



34. Milet, Kalabaktepe K 93.552.1



35. Milet, Kalabaktepe K 92.30.2



36. Milet, Kalabaktepe K 91.391.1

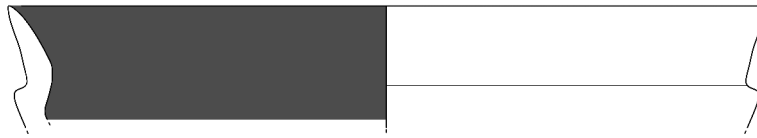
Typus 1
Formvariante
2,2.B

32.–36.

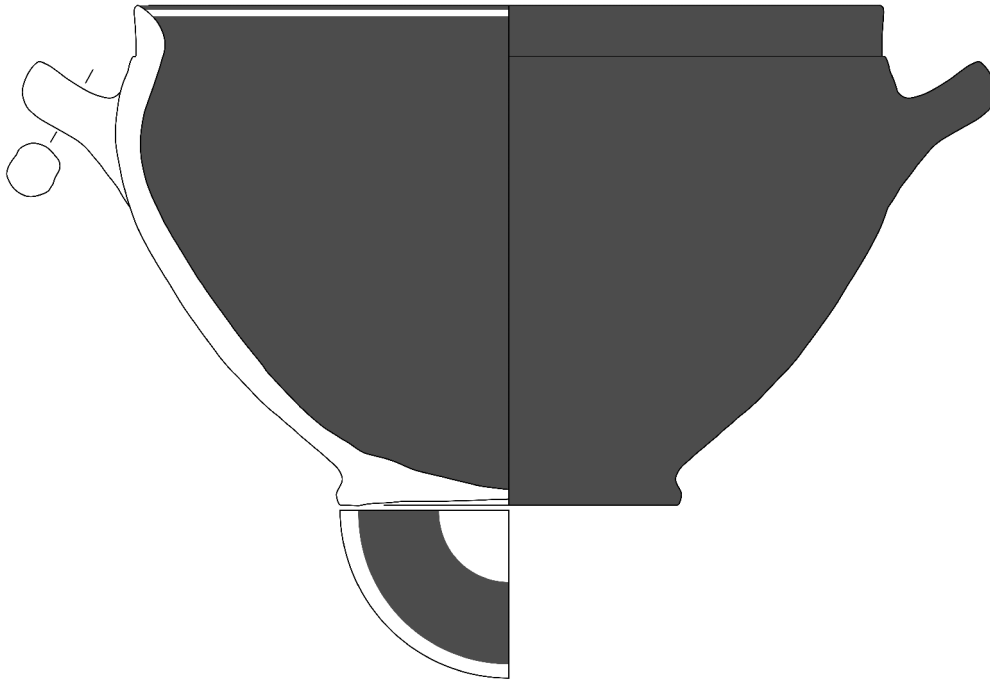
Dekorvariante

c.
b.

32.
33.–36.



37. Milet, Kalabaktepe K 92.269.11



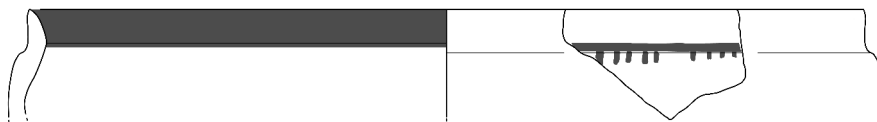
38. Samos, Hera-Heiligtum K 5614



39. Milet, Kalabaktepe K 90.607.31



40. Samos, Hera-Heiligtum K 2635



41. Milet, Kalabaktepe K 93.252.14

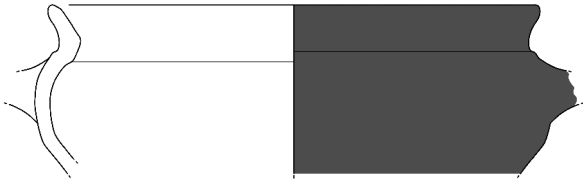
Typus 1
Formvariante
2,2.B
2,3.A
2,3.B

37.
38.
39.–41.

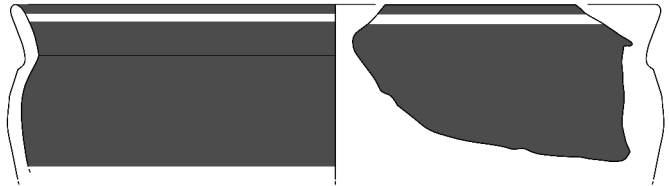
Dekorvariante
b. (?)
a.
c.
c.–d.

37.
38.
39.–40.
41.

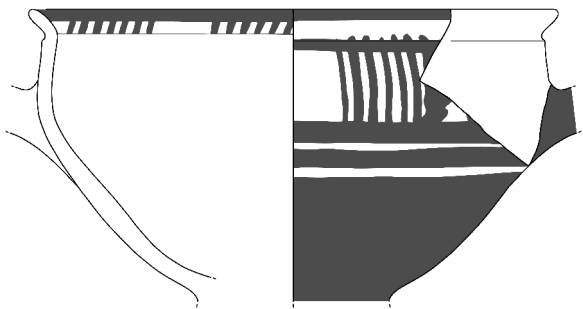
Tafel 8



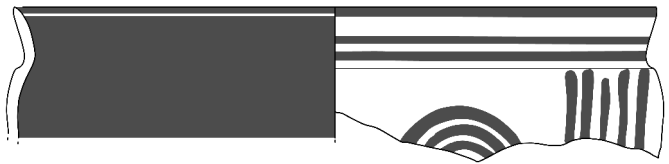
42. Milet, Athena-Heiligtum AT 55.74.3



43. Milet, Athena-Heiligtum AT 55.33.2



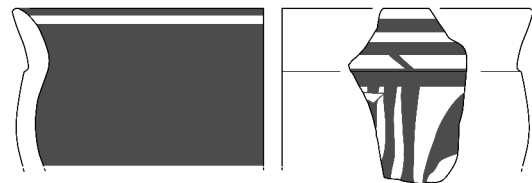
44. Milet, Südschnitt S 66.215.3



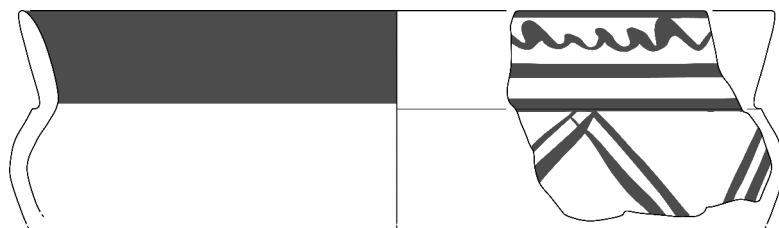
45. Milet, Athena-Heiligtum AT 56.KA.9a.2



46. Milet, Athena-Heiligtum AT 68.2.1



47. Milet, Kalabaktepe K 91.113.16



48. Milet, Kalabaktepe K 93.165.10

Typus 1
Formvariante
2,4.B

42.–48.

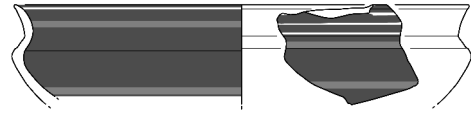
Dekorvariante

a.
c.
d.

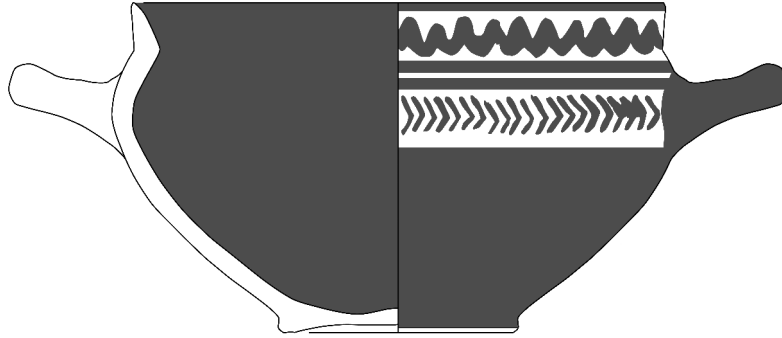
42.–43.
44.–47.
48.



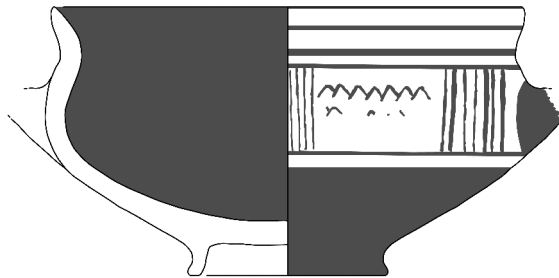
49. Milet, Aphrodite-Heiligtum Z 94.133.12



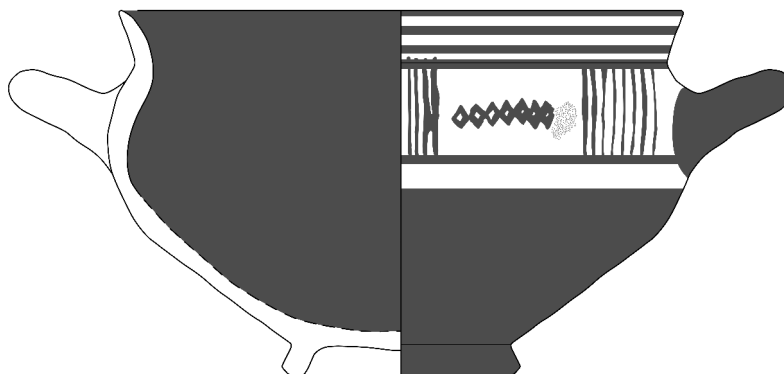
50. Milet, Aphrodite-Heiligtum Z 94.127.99 + Z 94.166.4



51. Samos, Hera-Heiligtum K 2368



52. Samos, Hera-Heiligtum K 5384



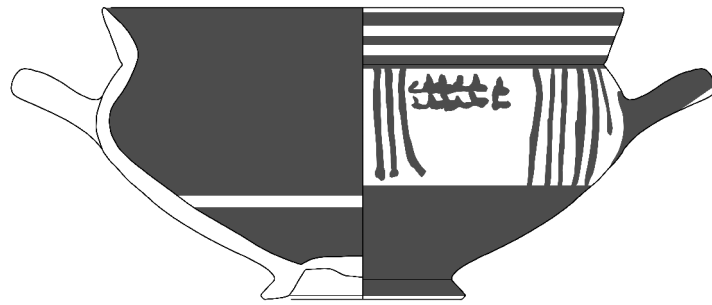
53. Samos, Hera-Heiligtum K 5248

Typus 2; 1./3.
Formvariante
ostdorisch
1./3.A

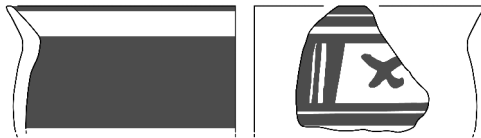
49.–50.
51.–53.

Dekorvariante

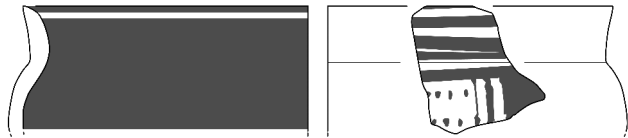
a. 49.
aa. 50.
b. 51.
c. 52.–53.



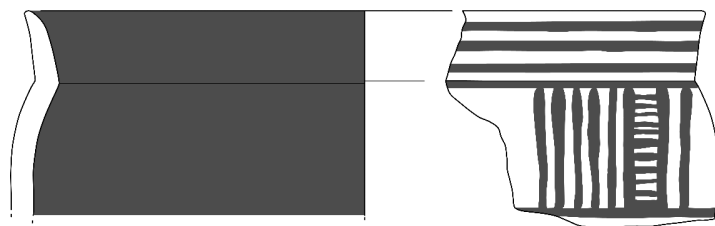
54. Samos, Hera-Heiligtum K 2103



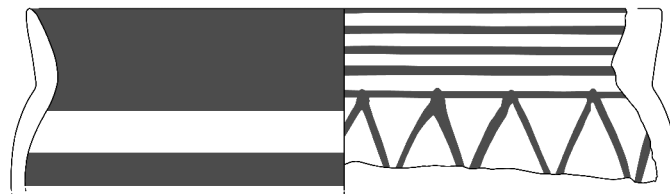
55. Milet, Kalabaktepe K 90.520.10



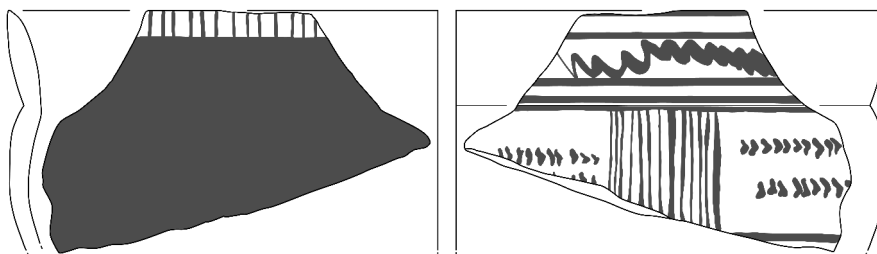
56. Milet, Kalabaktepe K 89.272.3



57. Milet, Athena-Heiligtum AT 55.KA.10a.3



58. Milet, Südschnitt S 66.129.3



59. Samos, Hera-Heiligtum K 6750

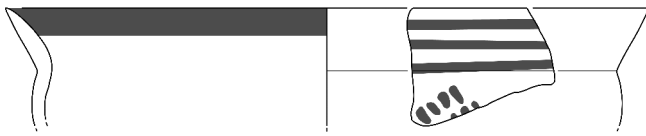
Typus 3
Formvariante
3,1.B

54.–59.

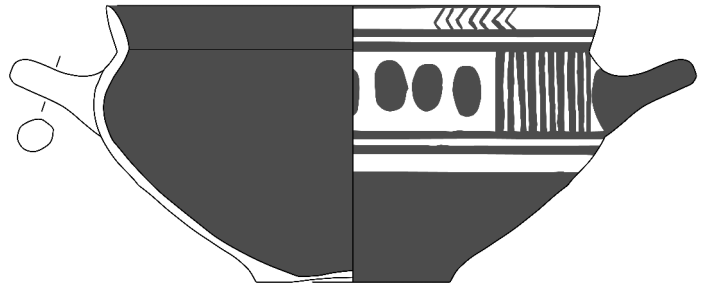
Dekorvariante

c.
d.

54.–57.; 59.
58.



60. Milet, Aphrodite-Heiligtum Z 94.114.348



61. Samos, Hera-Heiligtum K 2016



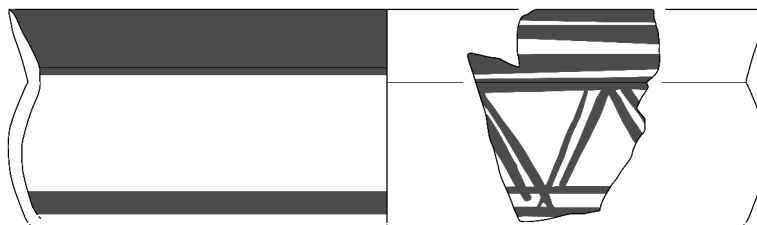
62. Milet, Kalabaktepe K 93.166.2



63. Samos, Hera-Heiligtum K 2036



64. Milet, Kalabaktepe K 93.507.3



65. Milet, Kalabaktepe K 90.407.1



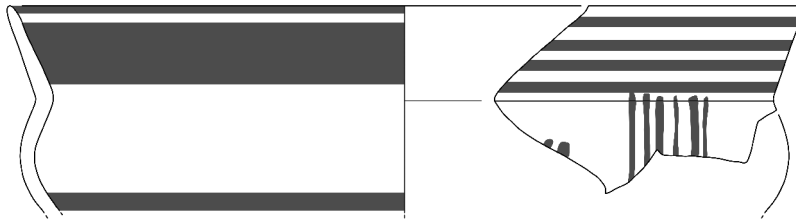
66. Milet, Kalabaktepe K 92.61.4

Typus 3
Formvariante
3,2.B
3,2.A

60.; 62.–66.
61.

Dekorvariante
c.
b.
d.
c.–d.

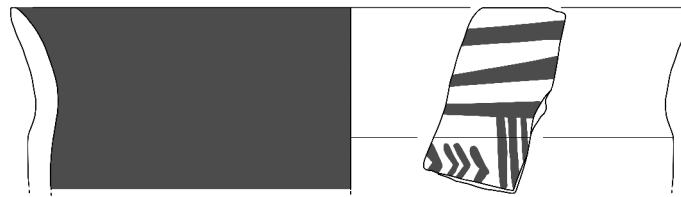
60.; 62.–64.
61.
65.
66.



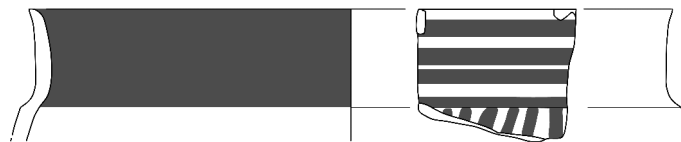
67. Milet, Athena-Heiligtum AT 55.12.3



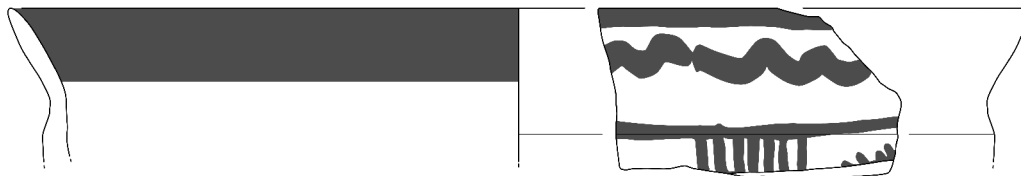
68. Milet, Athena-Heiligtum AT 57.N.37.1



69. Milet, Südschnitt S 68.26.1



70. Milet, Kalabaktepe K 92.543.18



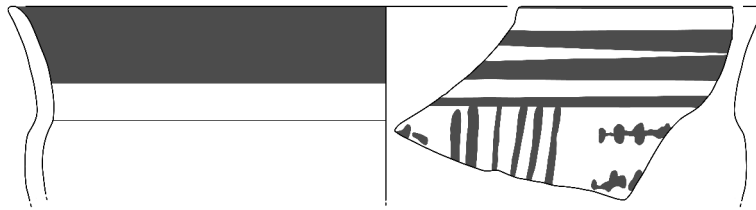
71. Milet, Kalabaktepe K 90.222.9

Typus 3
Formvariante
3,2.B
3,3.B

67.
68.–71.

Dekorvariante
c.
c.–d.

67.; 69.; 71.
68.; 70.



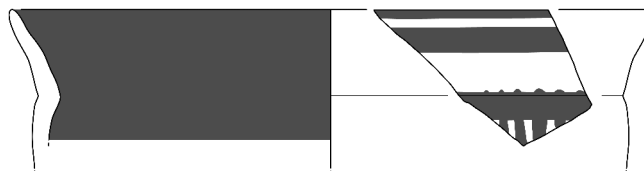
72. Milet, Kalabaktepe K 93.110.8



73. Milet, Athena-Heiligtum AT 57.N.96.2



74. Milet, Kalabaktepe K 92.490.33



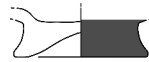
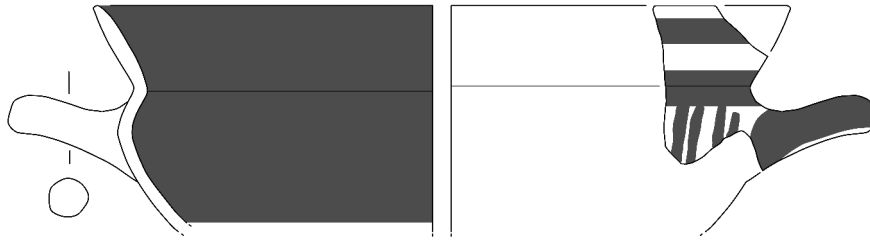
75. Milet, Südschnitt S 63.33.2

Typus 3/4
Formvariante
3,3.B
4,1.B

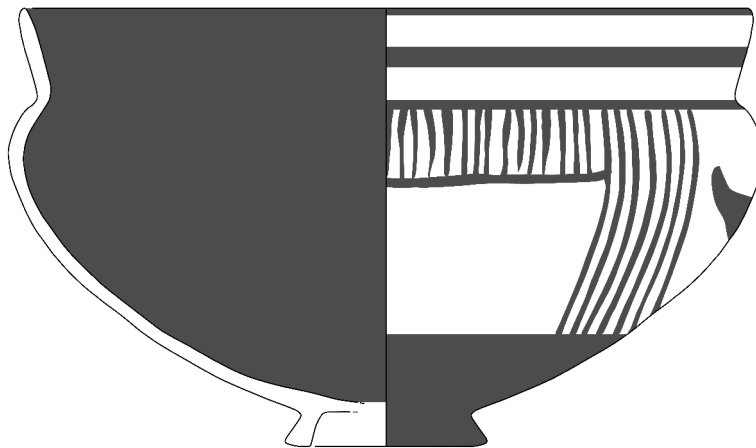
72.
73.–75.

Dekorvariante
c.
d.

72.
73.–75.



76. Milet, Kalabaktepe K 92.422.6



77. Milet, Aphrodite-Heiligtum Z 08.472.212
(mit Anpassungen aus Z 08.476 + Z 08.477 + Z 08.478 + Z 08.482 + Z 08.484 + Z 08.485 + Z 09.13 + Z 09.22)



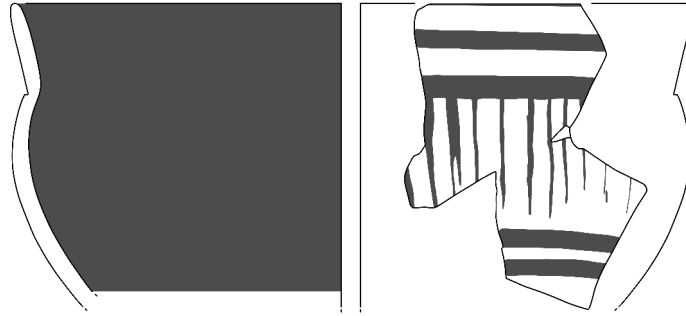
78. Milet, Kalabaktepe K 90.807.1

Typus 4
Formvariante
4,2.B
4,3.B

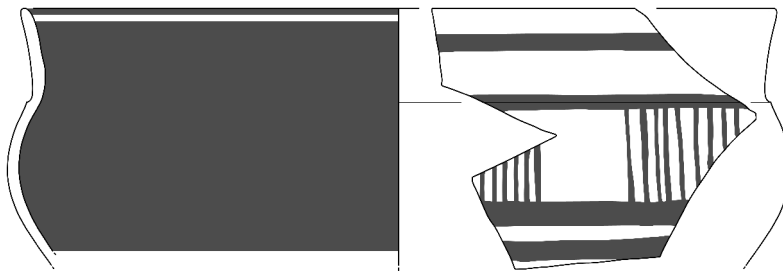
76.-77.
78.

Dekorvariante
d.

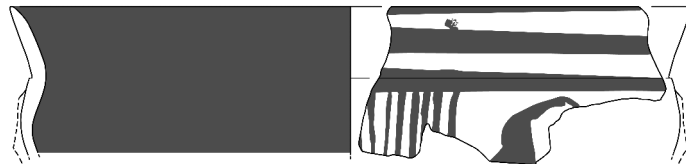
76.-78.



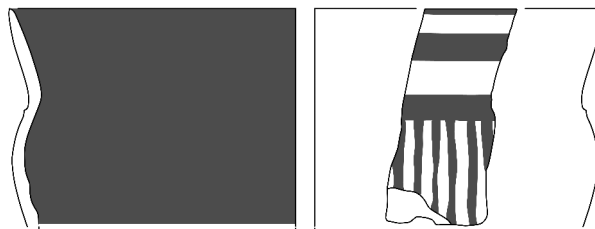
79. Milet, Kalabaktepe K 92.171.3



80. Milet, Athena-Heiligtum AT 55.13.4



81. Milet, Kalabaktepe K 91.147.6



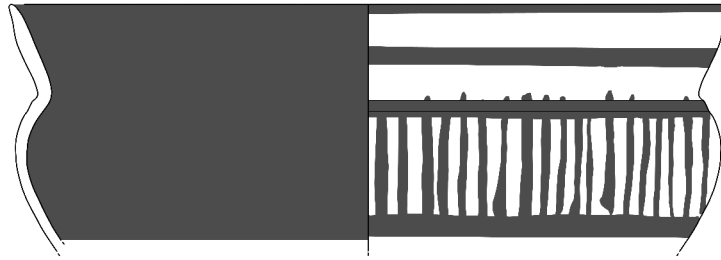
82. Milet, Kalabaktepe K 91.113.17

Typus 4
Formvariante
4,3.B

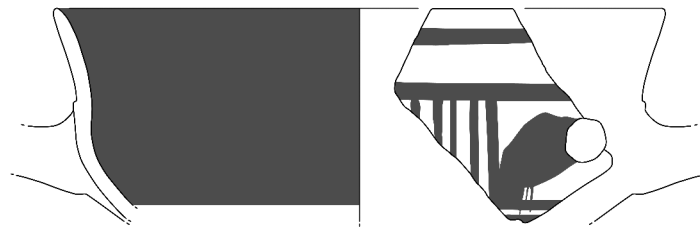
79.–82.

Dekorvariante
d.

79.–82.



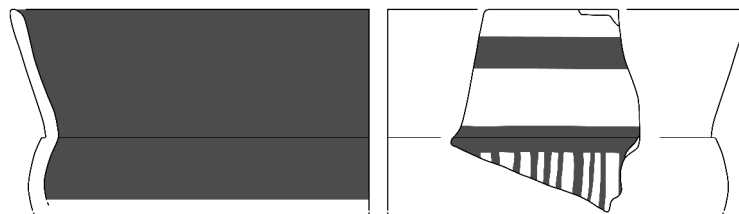
83. Milet, Südschnitt K 63.114.1



84. Milet, Kalabaktepe K 93.535.11



85. Milet, Südschnitt S 63.53.1



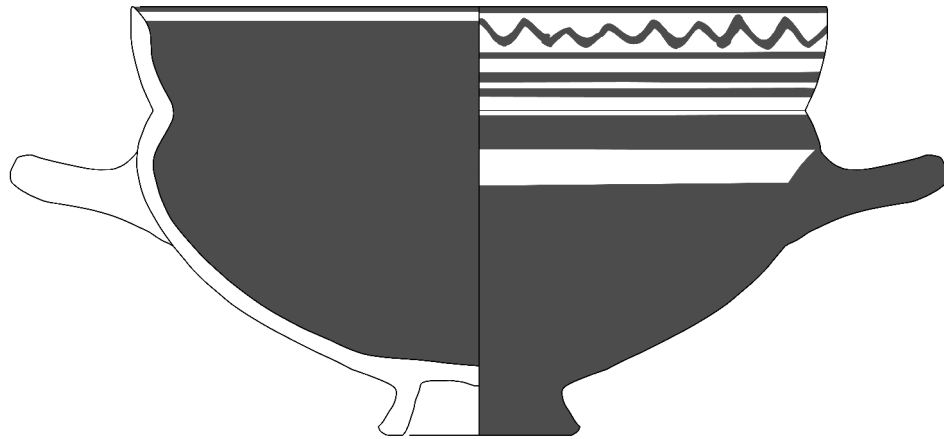
86. Milet, Kalabaktepe K 92.85.8

Typus 4
Formvariante
4,3.B

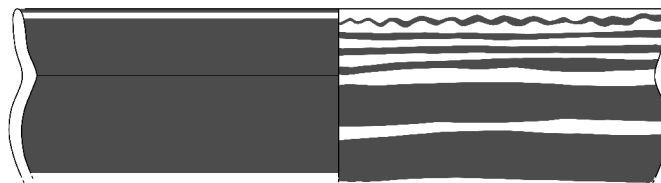
83.–86.

Dekorvariante
d.

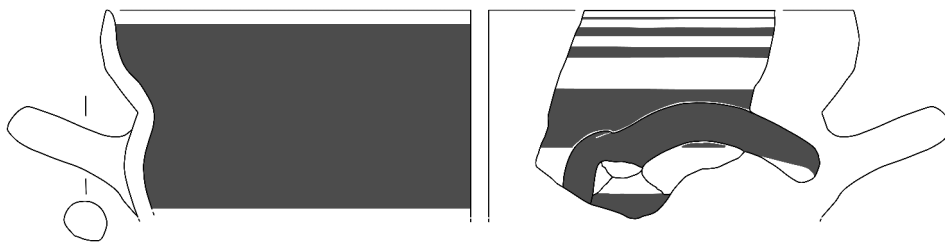
83.–86.



87. Samos, Hera-Heiligtum K 5612



89. Milet, Südschnitt S 63.90.1



90. Milet, Kalabaktepe K 92.37.6



91. Milet, Kalabaktepe K 92.432.3



92. Milet, Südschnitt S 63.80.1

Typus 5
Formvariante
5,1.B

87.–92.

Dekorvariante
ea.
e.

87.–89.
90.–92.



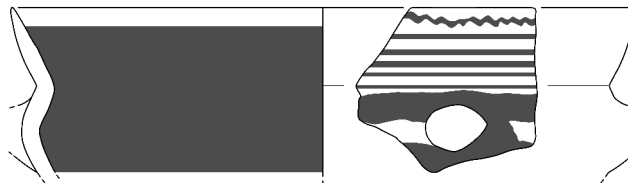
93. Milet, Südschnitt S 63.79.1-3



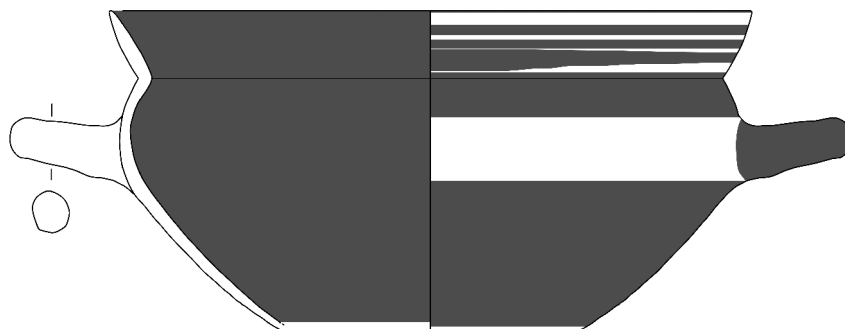
95. Milet, Südschnitt S 63.90.2



96. Milet, Südschnitt S 63.86.3



97. Milet, Kalabaktepe K 92.368.18



98. Milet, Kalabaktepe K 91.461.1

Typus 5
Formvariante
5,1.B
5,2.B

93.-95.
96.-98.

Dekorvariante
e.
ea.

93.-95.; 98.
96.-97.



99. Milet, Kalabaktepe K 92.410.2



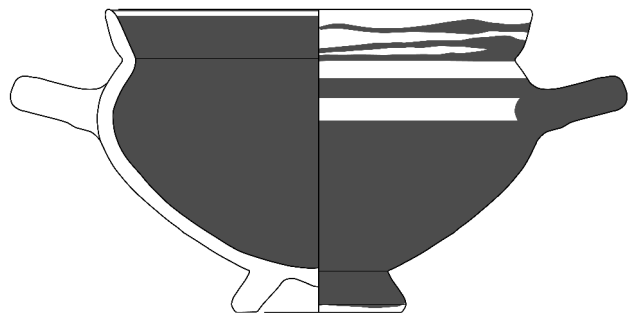
100. Milet, Kalabaktepe K 91.90.22



101. Milet, Kalabaktepe K 92.269.10



102. Milet, Kalabaktepe K 93.165.11



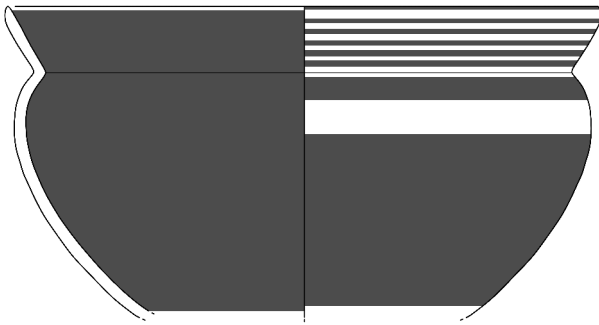
103. Samos, Hera-Heiligtum K 5221

Typus 5
Formvariante
5,2.B
5,3.B

99.–100.
101.–103.

Dekorvariante
e.
ea.

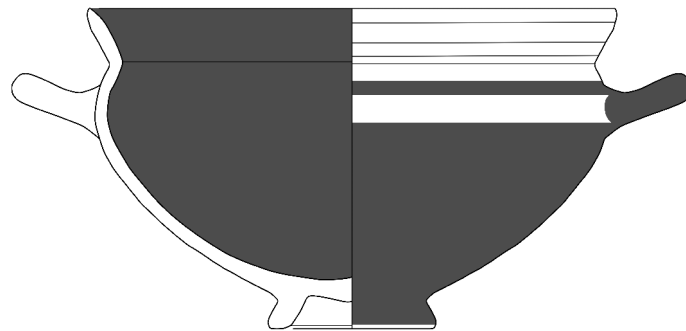
99.–100.; 103.
101.–102.



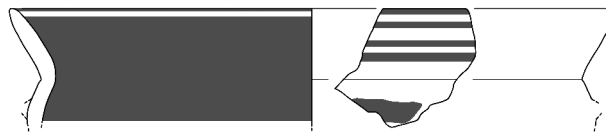
104. Milet, Kalabaktepe K 89.202.1



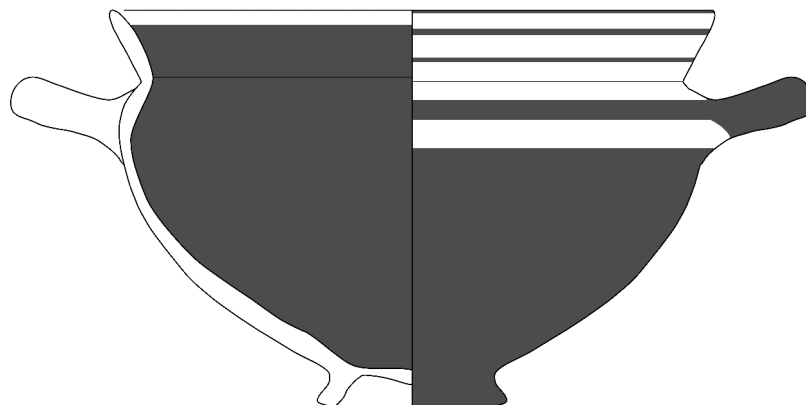
105. Milet, Kalabaktepe K 93.109.4



106. Samos, Hera-Heiligtum K 6615



107. Milet, Aphrodite-Heiligtum Z 91.12.13



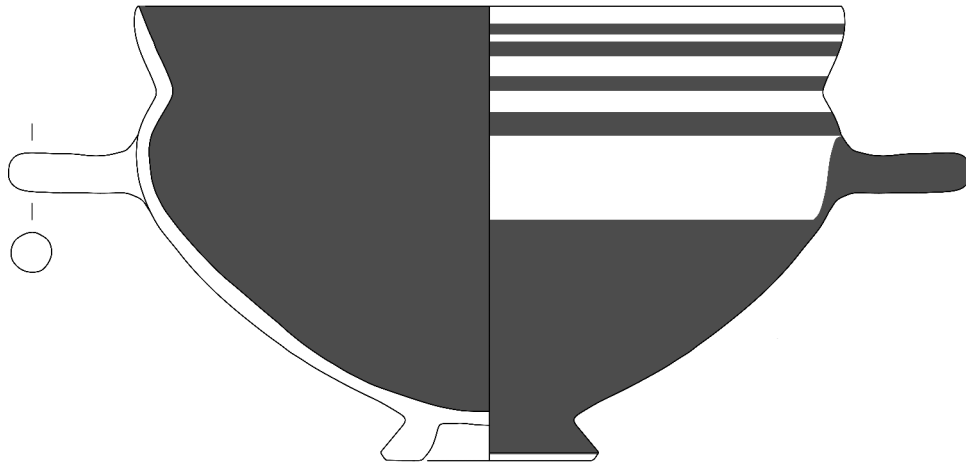
108. Samos, Hera-Heiligtum K 1732

Typus 5
Formvariante
5,3.B

104.–108.

Dekorvariante
e.
ea.

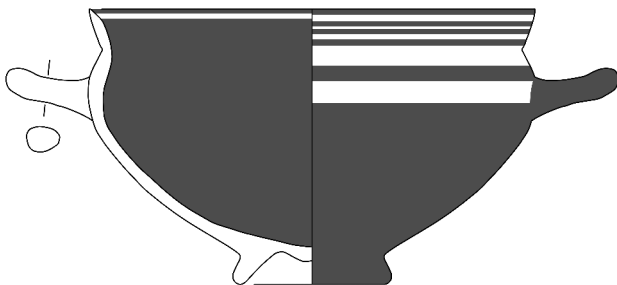
104.; 106.–108.
105.



109. Milet, Aphrodite-Heiligtum Z 08.425.466
(mit Anpassungen aus Z 08.463 + Z 08.465 + Z 08.466 + Z 08.472 + Z
08.478 + Z 08.486 + Z 08.572)



110. Milet, Südschnitt S 63.14.9



111. Samos, Hera-Heiligtum K 1706



112. Samos, Hera-Heiligtum K 1708



113. Milet, Aphrodite-Heiligtum Z 09.89.32 + Z 09.102.48

Typus 5
Formvariante
5,3.B

109.–113.

Dekorvariante
e.

109.–113.



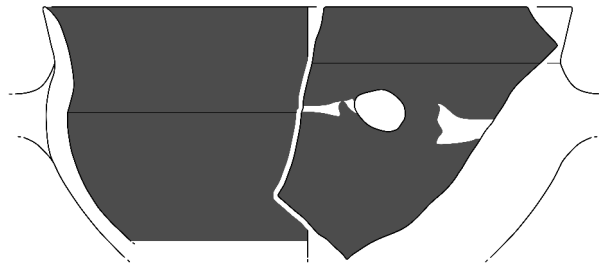
114. Milet, Südschnitt S 63.68.1



115. Milet, Südschnitt S 63.252.1



116. Milet, Südschnitt S 63.68.13



117. Milet, Kalabaktepe K 92.50.1



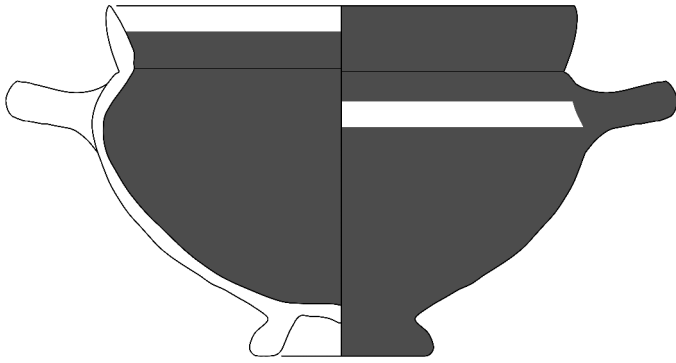
118. Milet, Athena-Heiligtum AT 57.N.77.1

Typus 5/ 6
Formvariante
5,4.B
6,1.B

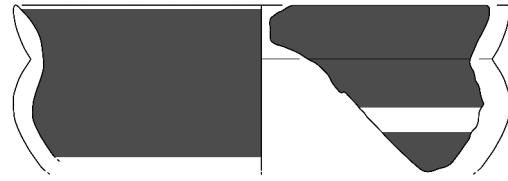
114.–116.
117.–118.

Dekorvariante
e.
a.

114.–116.
117.–118.



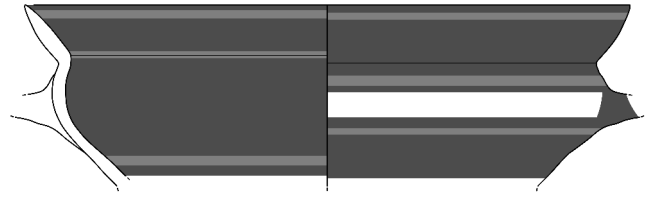
119. Samos, Hera-Heiligtum K 461



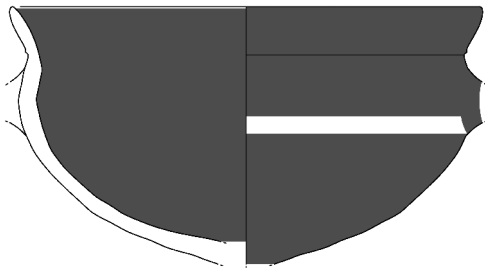
120. Milet, Kalabaktepe K 93.602.2



121. Milet, Kalabaktepe K 92.78.5



122. Milet, Kalabaktepe K 92.414.1



123. Milet, Kalabaktepe K 89.530.14



124. Milet, Kalabaktepe K 89.530.15



125. Milet, Kalabaktepe K 92.788.9



126. Milet, Kalabaktepe K 92.212.5

Typus 6
Formvariante
6,2.B
6,3.B

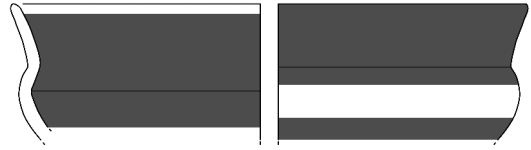
119.–122.
123.–126.

Dekorvariante
a.
ay.

119.–121.; 123.–126.
122.



127. Milet, Kalabaktepe K 92.99.32



128. Milet, Kalabaktepe K 92.65.3



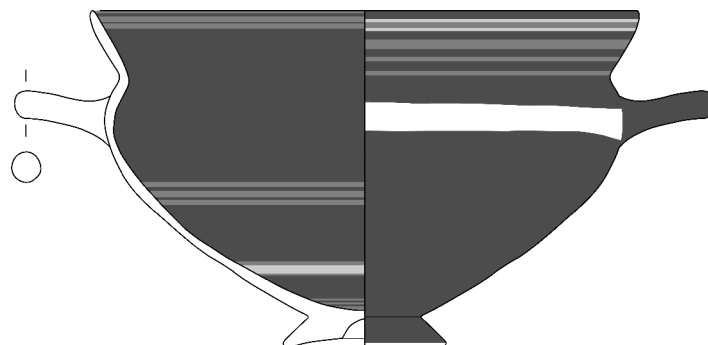
129. Milet, Kalabaktepe K 92.585.39



130. Milet, Aphrodite-Heiligtum Z 08.467.171 + Z 08.473.21



131. Milet, Kalabaktepe K 92.840.2



132. Milet, Aphrodite-Heiligtum Z 08.465.31

Typus 6
Formvariante
6,3.B
6,4.B
6,5.B

127.–129.
130.–131.
132.

Dekorvariante
a.
ay.

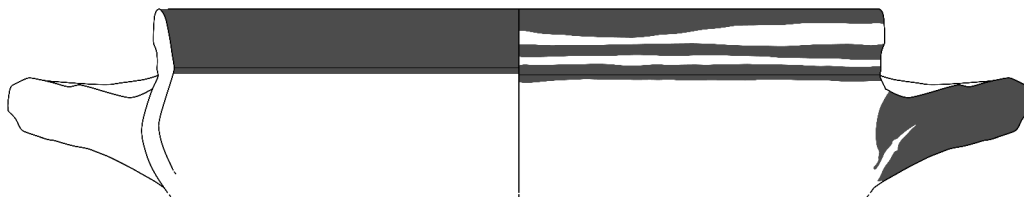
127.–129.; 131.
130.; 132.



133. Milet, Aphrodite-Heiligtum Z 08.463.207 + Z 08.466.72



134. Milet, Südschnitt S 66.197.1



135. Milet, Südschnitt S 63.120.2



136. Milet, Südschnitt S 63.121.1



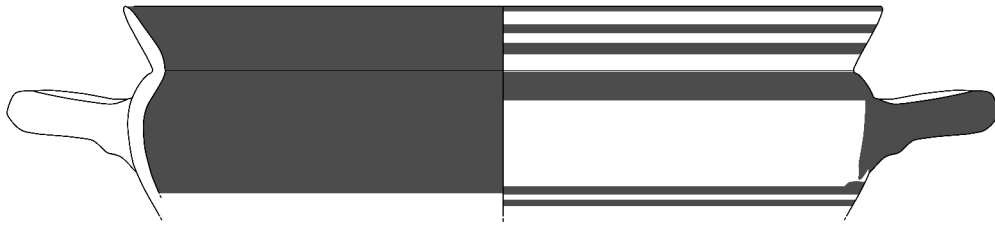
137. Milet, Kalabaktepe K 89.530.11

Typus 6/ 7
Formvariante
6,5.B
6,6.B
7,1.B
7,2.B

133.
134.
135.–136.
137.

Dekorvariante
ay.
a.
f.

133.
134.
135.–137.



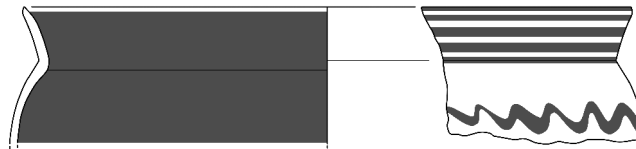
138. Milet, Südschnitt S 63.26.1



139. Milet, Kalabaktepe K 92.235.10



140. Milet, Kalabaktepe K 89.261.13 + K 89.275.5



141. Milet, Athena-Heiligtum AT 57.O.27.1



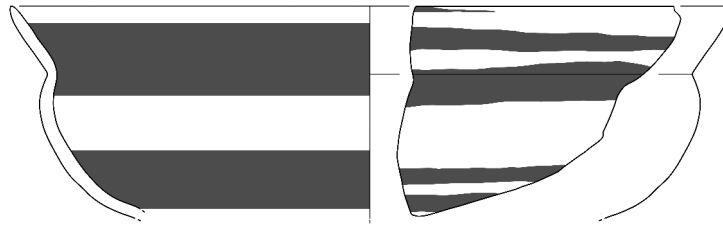
142. Milet, Kalabaktepe K 92.266.7

Typus 7
Formvariante
7,2.B
7,3.B

138.
139.–142.

Dekorvariante
f.
fa.

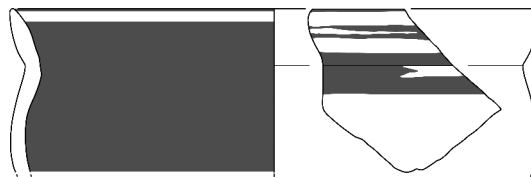
138.–140.; 142.
141.



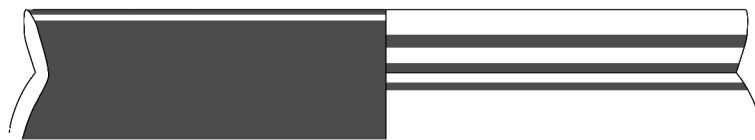
143. Milet, Kalabaktepe K 90.828.11



144. Milet, Kalabaktepe K 92.365.6



145. Milet, Kalabaktepe K 89.419.10



146. Milet, Kalabaktepe K 89.265.15



147. Milet, Kalabaktepe K 92.72.2

Typus 7
Formvariante
7,3.B
7,4.B

143.–144.
145.–147.

Dekorvariante
f.

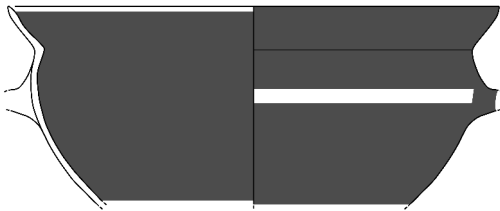
143.–147.



148. Milet, Kalabaktepe K 89.514.43



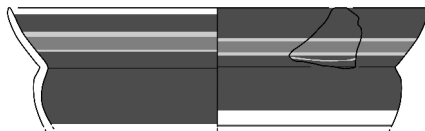
149. Milet, Kalabaktepe K 91.137.5



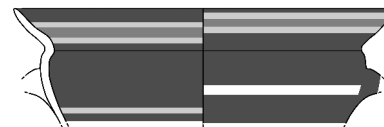
150. Milet, Kalabaktepe K 91.49.36



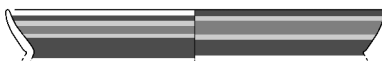
151. Milet, Kalabaktepe K 92.306.2



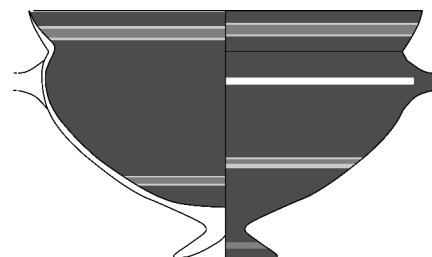
152. Milet, Kalabaktepe K 92.560.11



153. Milet, Kalabaktepe K 90.414.10



154. Milet, Kalabaktepe K 92.472.1



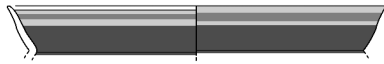
155. Milet, Kalabaktepe Z 08.425.467
(mit Anpassungen aus Z 08.467 + Z 08.468 + Z 08.472 +
Z 08.478 + Z 09.4 + Z 09.23)

Typus 7/ 8
Formvariante
7,5.B
8,1.B

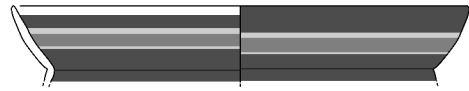
148.–149.
150.–155.

Dekorvariante
f.
fa.
a.
ay.

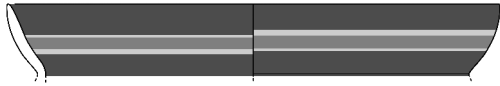
148.
149.
150.–151.
152.–155.



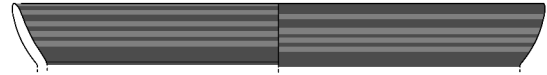
156. Milet, Kalabaktepe K 92.461.15



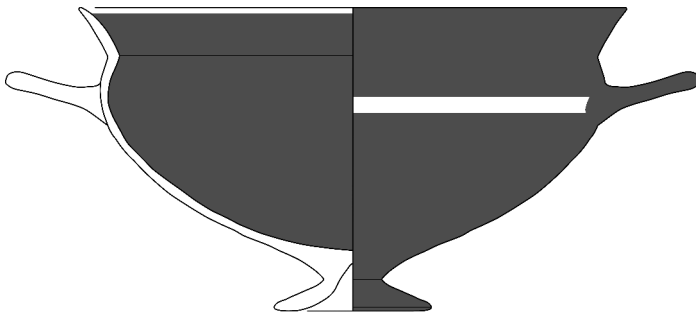
157. Milet, Kalabaktepe K 92.422.4



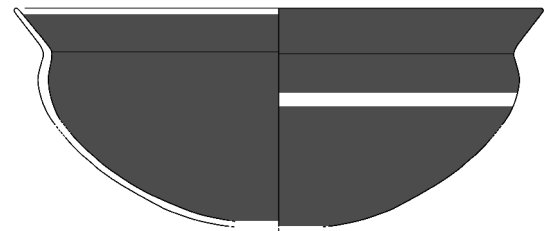
158. Milet, Kalabaktepe K 92.306.20



159. Milet, Kalabaktepe K 89.281.10



160. Samos, Hera-Heiligtum K 6571



161. Milet, Aphrodite-Heiligtum Z 91.5.28



162. Milet, Kalabaktepe K 90.828.10



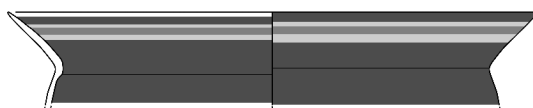
163. Milet, Kalabaktepe K 92.314.2



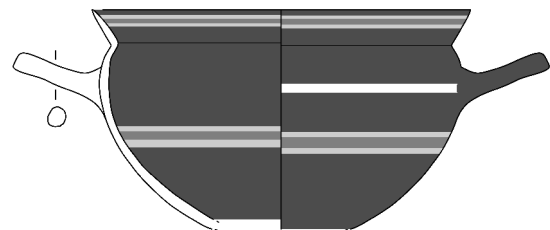
164. Milet, Kalabaktepe K 89.247.6



165. Milet, Kalabaktepe K 89.280.22



166. Milet, Kalabaktepe K 91.185.5



167. Milet, Aphrodite-Heiligtum Z 94.269.7

Typus 8
Formvariante
8,1.B
8,2.B

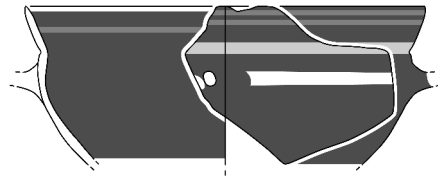
156.–159.
160.–167.

Dekorvariante
ay.
a.

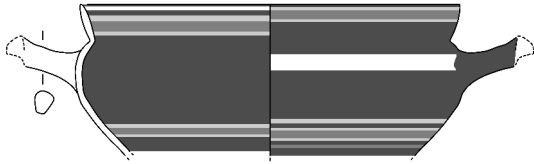
156.–159.; 166.–167.
160.–165.



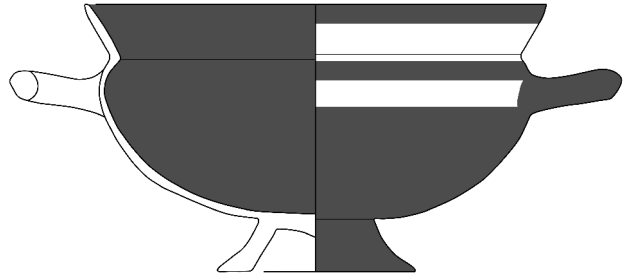
168. Milet, Aphrodite-Heiligtum Z 09.4.111



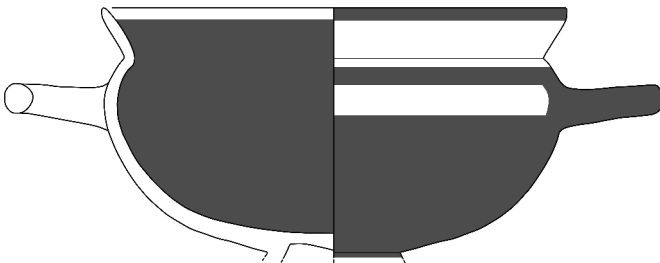
169. Milet, Aphrodite-Heiligtum Z 09.37.63



170. Milet, Südschnitt S 63.20.1



171. Milet, Aphrodite-Heiligtum Z 05.131.28



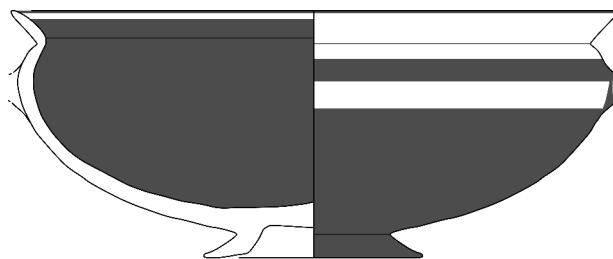
172. Milet, Aphrodite-Heiligtum Z 05.131.18



173. Milet, Aphrodite-Heiligtum Z 91.15.22



174. Milet, Kalabaktepe K 89.211.1 + K89.265.23



175. Milet, Südschnitt S 63.128.7

Typus 8/9
Formvariante
8,2.B
9,1.B
9.1.C

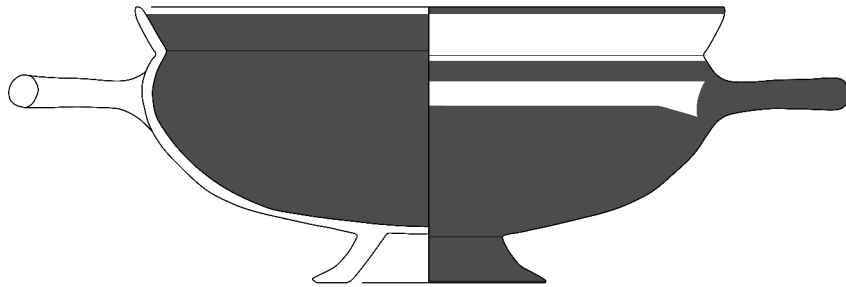
168.–170.
171.–174.
175.

Dekorvariante
ay.
g.

168.–170.
171.–175.



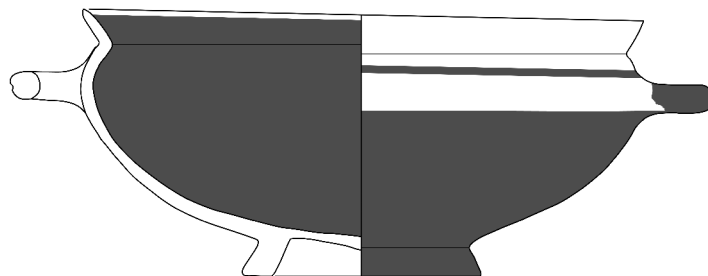
176. Milet, Kalabaktepe K 89.19.13



177. Milet, Aphrodite-Heiligtum Z 05.131.29 + Z 05.131.32



178. Milet, Aphrodite-Heiligtum Z 05.131.2



179. Milet, Aphrodite-Heiligtum Z 05.131.8



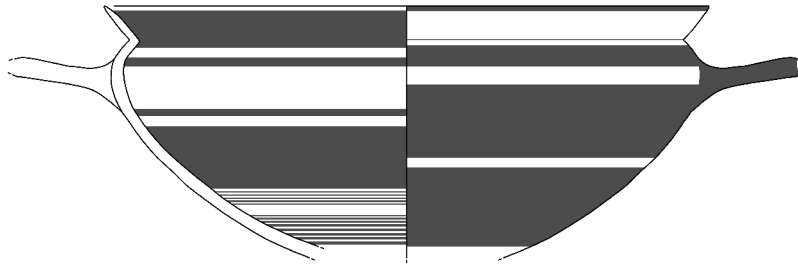
180. Milet, Südschnitt S 63.91.7

Typus 8/9
Formvariante
9,1.C

176.–180.

Dekorvariante
g.
i.

176.–179.
180.



181. Milet, Kalabaktepe K 89.156.1



182. Milet, Kalabaktepe K 89.493.16



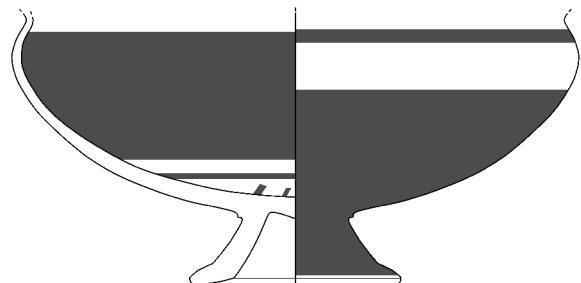
183. Milet, Aphrodite-Heiligtum Z 05.131.14



184. Milet, Aphrodite-Heiligtum Z. 92.92.45



185. Milet, Aphrodite-Heiligtum Z 91.38.143



186. Milet, Athena-Heiligtum AT 57.N.54.12

Typus 9

Formvariante

9,1.C

9.C (Sonderform)

181.–184.; 186.

185.

Dekorvariante

i.

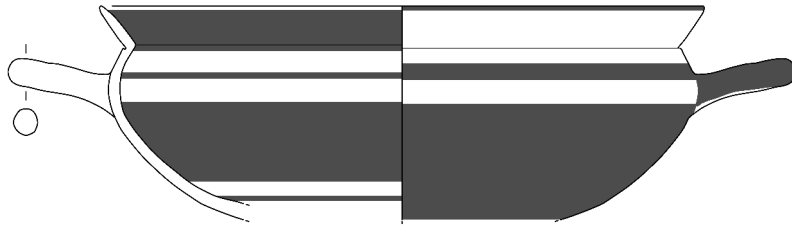
h.-i.

h.

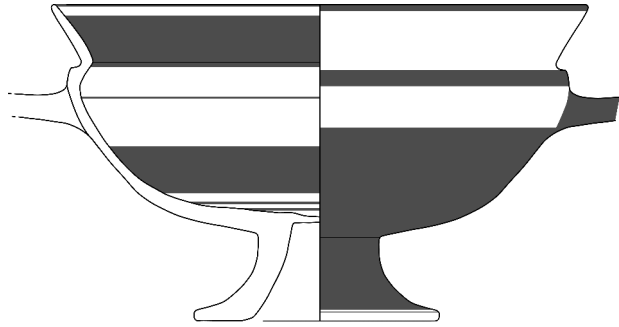
181.; 183.; 186.

182.; 185.

184.



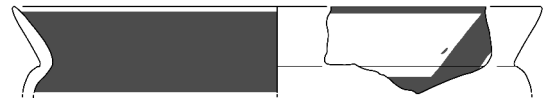
187. Milet, Kalabaktepe K 93.540.1



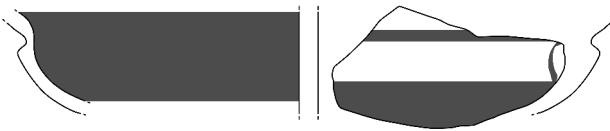
188. Milet, Aphrodite-Heiligtum Z 92.88.20



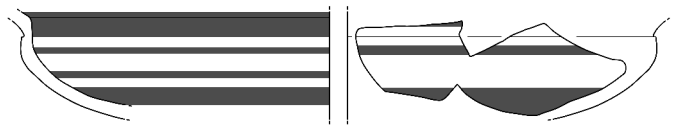
189. Milet, Aphrodite-Heiligtum Z 91.9.10



190. Milet, Aphrodite-Heiligtum Z 91.52.7



191. Milet, Aphrodite-Heiligtum Z 91.39.6



192. Milet, Aphrodite-Heiligtum Z 91.38.144



193. Milet, Südschnitt S 63.114.3



194. Milet, Kalabaktepe K 89.183.27



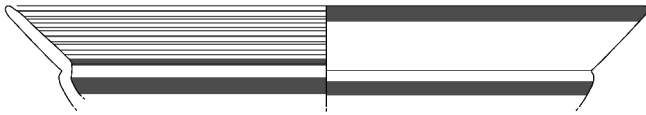
195. Milet, Aphrodite-Heiligtum Z 91.38.141 + Z 91.38.142

Typus 9
Formvariante
9,2.C
9,3.C

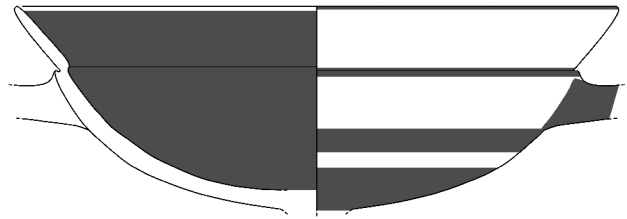
187.–194.
195.

Dekorvariante
h.-i.
i.
g.-i.
j.

187.; 189.; 192.
188.
190.–191.
193.–195.



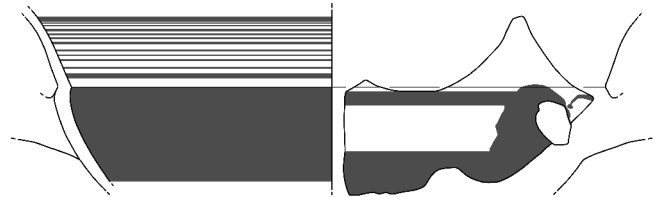
196. Milet, Südschnitt S 63.79.9



197. Milet, Aphrodite-Heiligtum Z 91.33.4



198. Milet, Südschnitt S 63.15.1



199. Milet, Kalabaktepe K 93.529.1



200. Milet, Aphrodite-Heiligtum Z 91.10.3



201. Milet, Kalabaktepe K 85.154.1



202. Milet, Kalabaktepe K 89.416.8



203. Milet, Kalabaktepe K 89.436.6



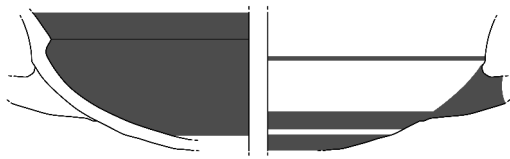
204. Milet, Südschnitt S 63.109.1

Typus 9
Formvariante
9,3.C
9,4.C

196.–202.
203.–204.

Dekorvariante
j.
g.

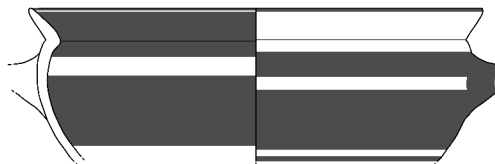
196.; 198.–201.
197.; 202.–204.



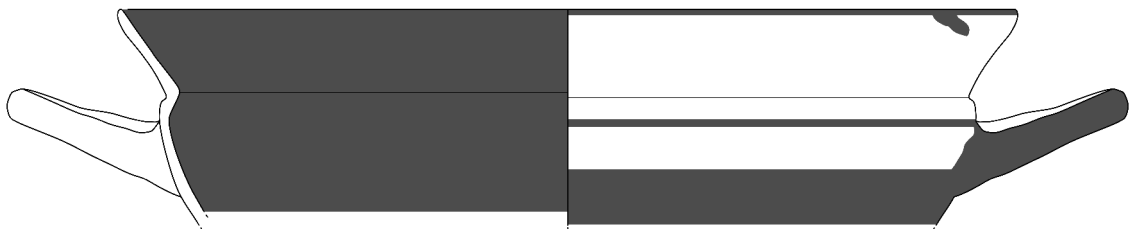
205. Milet, Kalabaktepe K 92.141.2



206. Milet, Kalabaktepe K 89.438.7



207. Milet, Südschnitt S 63.148.13



208. Milet, Südschnitt S 63.78.9



209. Milet, Aphrodite-Heiligtum Z 91.86.36



210. Milet, Kalabaktepe K 89.433.16



211. Milet, Kalabaktepe K 89.183.28

Typus 9

Formvariante

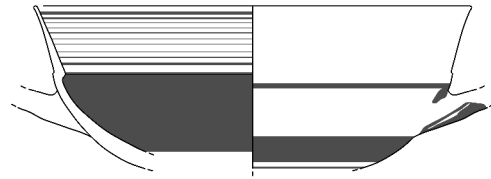
9,4.D	205.–206.
9,1.B	207.
9,2.B/C	208.
9,2.C	209.–210.
9,3.C	211.

Dekorvariante

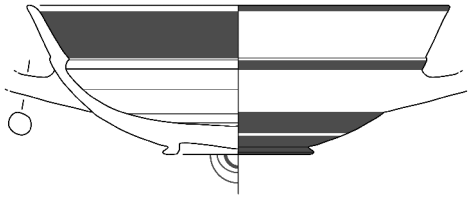
g.	205.–206.; 208.
h.	207.
i.	209.–211.



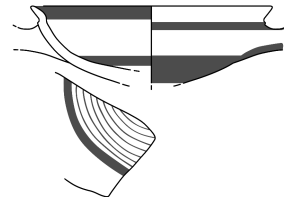
212. Milet, Aphrodite-Heiligtum Z 91.5.29



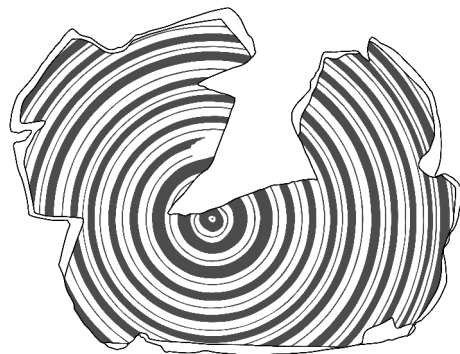
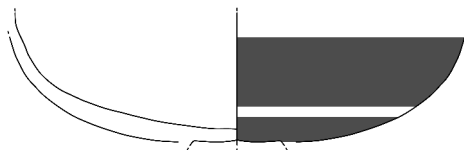
213. Milet, Zeytintepe Z 04.77.39 + Z 04.121.27



214. Samos, Hera-Heiligtum K 6319



215. Milet, Aphrodite-Heiligtum Z 04.101.13



216. Milet, Aphrodite-Heiligtum Z 91.58.2 + Z 91.59.29 + Z 91.65.15 + Z 91.88.14 + Z 91.92.14



217. Milet, Kalabaktepe K 90.64.9



218. Milet, Aphrodite-Heiligtum Z 91.38.153

Typus 9

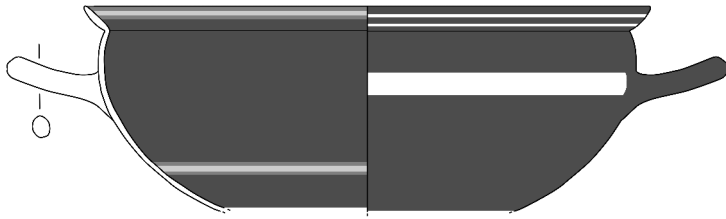
Formvariante

9,3.C	212.
9,4.C	213.
9,4.D	214.
9,1/3.D	215.
9,2-3.C	216.
9,2-3.C-D	217.
9,2-4.C-D	218.

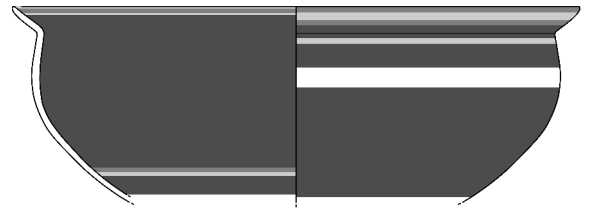
Dekorvariante

i.	212.; 214.-215.
j.	213.
i.-j.	216.-218.

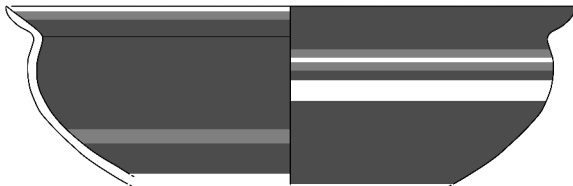
Tafel 37



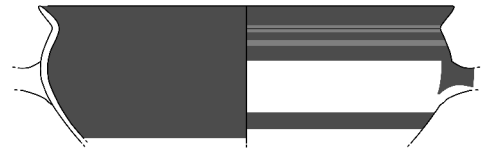
219. Milet, Südschnitt S 63.68.2



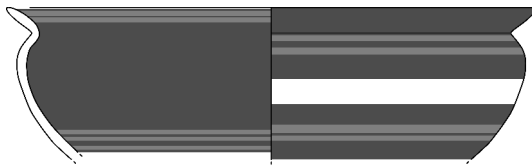
220. Milet, Südschnitt S 63.68.7



221. Milet, Kalabaktepe K 92.99.23



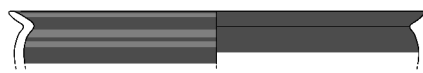
222. Milet, Südschnitt S 63.114.21



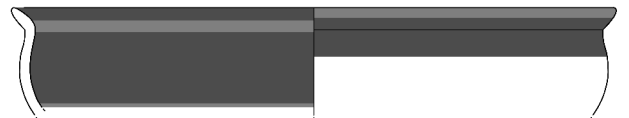
223. Milet, Aphrodite-Heiligtum Z 91.9.11



224. Milet, Aphrodite-Heiligtum Z 91.59.26



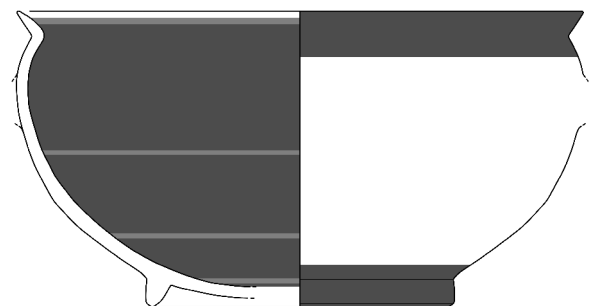
225. Milet, Aphrodite-Heiligtum Z 91.12.12



226. Milet, Kalabaktepe K 92.18.3



227. Milet, Aphrodite-Heiligtum Z 91.13.22



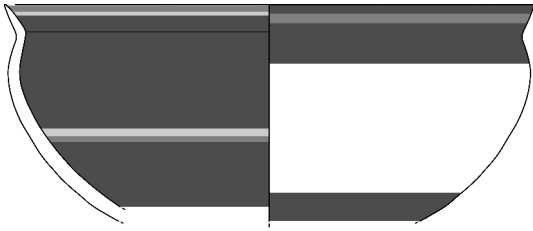
228. Milet, Kalabaktepe K 89.5.48

Typus 10
Formvariante
10,1.C
10,2.B

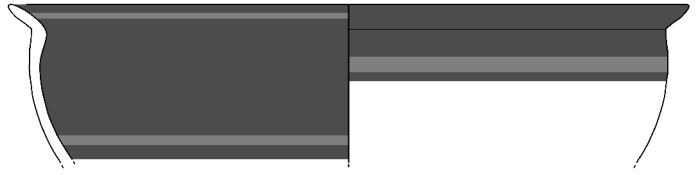
219.–221.
222.–228.

Dekorvariante
ay.
ky.
ky. (?)
m.

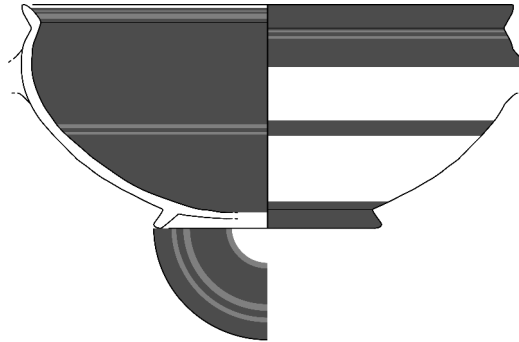
219.–221.; 223.
222.; 226.; 228.
224.–225.
227.



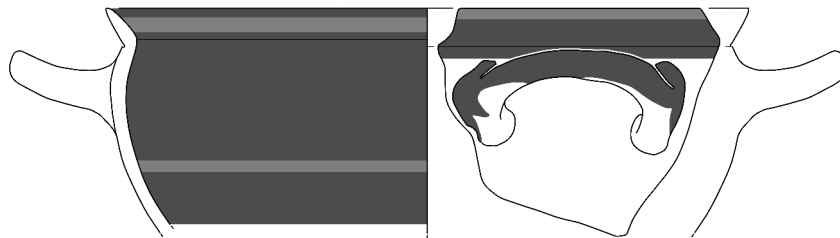
229. Milet, Kalabaktepe K 91.49.27



230. Milet, Kalabaktepe K 90.216.12



231. Milet, Südschnitt S 63.106.1



232. Milet, Kalabaktepe K 91.78.2



233. Milet, Kalabaktepe K 92.14.4



234. Milet, Südschnitt S 63.72.9

Typus 10
Formvariante
10,2.B

229.–234.

Dekorvariante
ky.
k.
Sonderform

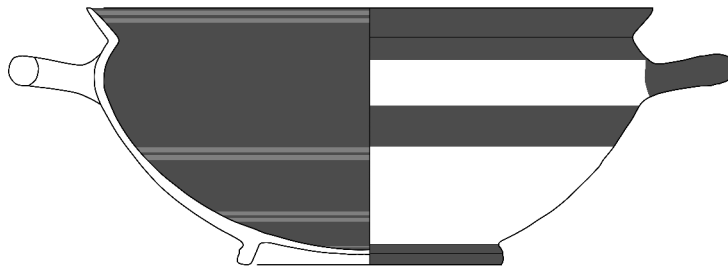
229.–232.
233.
234.



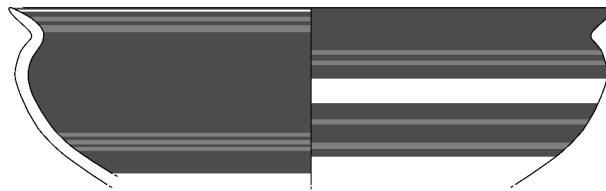
235. Milet, Kalabaktepe K 91.193.13



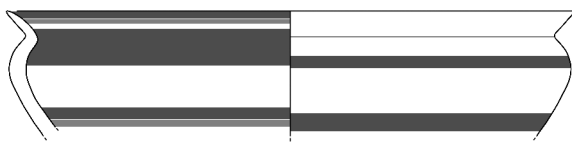
236. Milet, Kalabaktepe K 91.420.2 + K 91.420.3 + K 91.420.10



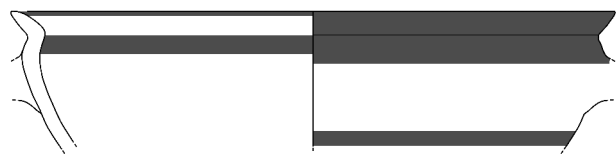
237. Milet, Aphrodite-Heiligtum Z 05.131.50



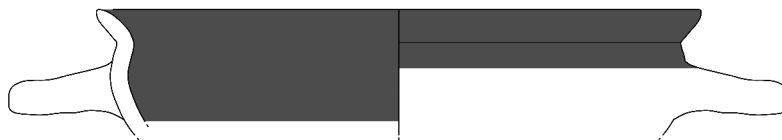
238. Milet, Kalabaktepe K 90.646.2



239. Milet, Aphrodite-Heiligtum Z 91.38.163



240. Milet, Aphrodite-Heiligtum Z 91.33.6



241. Milet, Kalabaktepe K 89.430.11

Typus 10
Formvariante
10,2.B
10,3.B

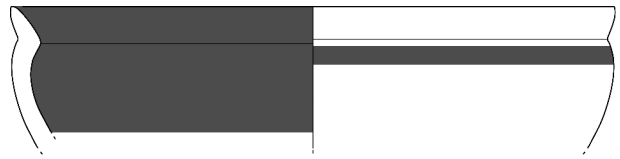
235.–239.
240.–241.

Dekorvariante
k.
ky.
ny.
m.

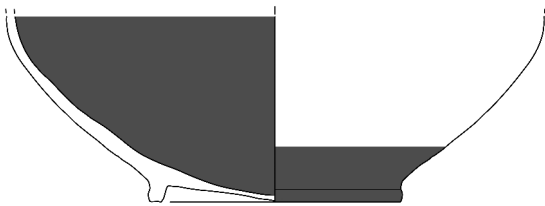
235.–236.; 241.
237.–238.
239.
240.



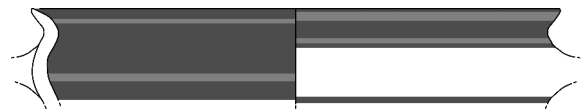
242. Milet, Südschnitt S 63.91.12



243. Milet, Kalabaktepe K 89.27.3



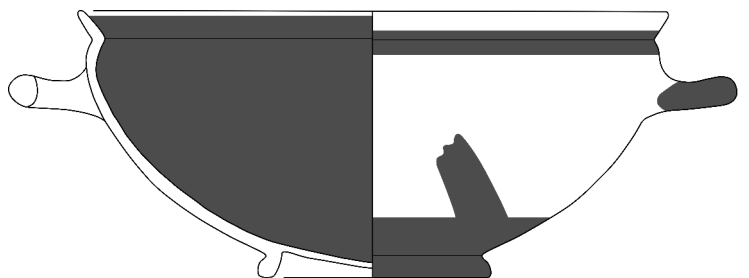
244. Milet, Aphrodite-Heiligtum Z 05.131.44



245. Milet, Aphrodite-Heiligtum Z 91.5.30



246. Milet, Aphrodite-Heiligtum Z 91.58.3



247. Milet, Aphrodite-Heiligtum Z 05.131.41



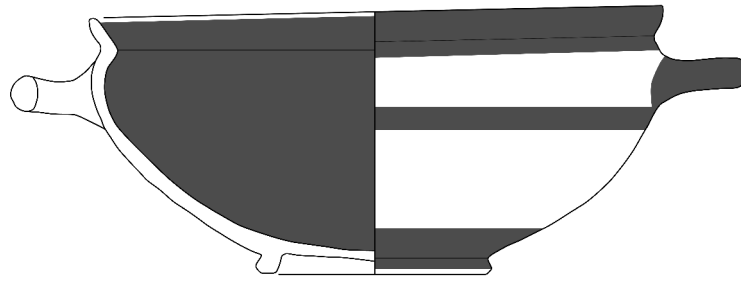
248. Milet, Kalabaktepe K 85.1.12

Typus 10
Formvariante
10,3.B
10,4.B
10.B

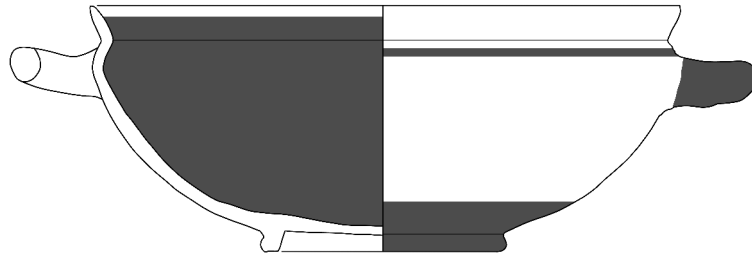
242.–243.; 245.–246.
247.–248.
244.

Dekorvariante
k.
l.
k.-l.
ky.
ny.

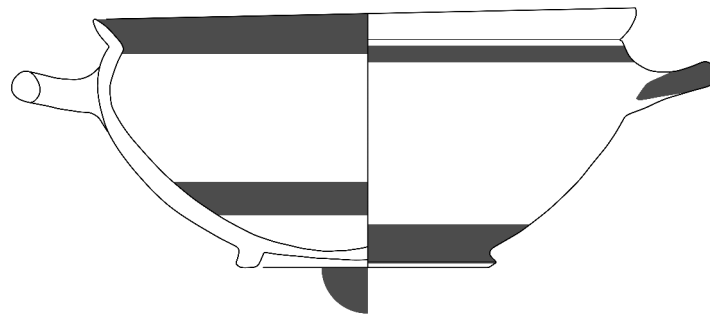
242.
243.; 247.–248.
244.
245.
246.



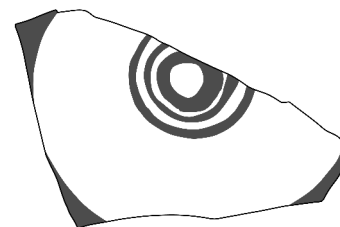
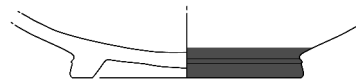
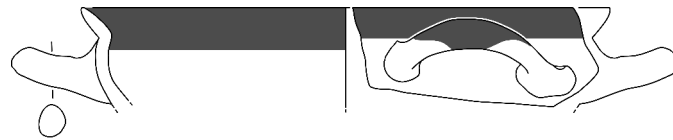
249. Milet, Aphrodite-Heiligtum Z 05.131.5



250. Milet, Aphrodite-Heiligtum Z 05.132.7



251. Milet, Aphrodite-Heiligtum Z 05.131.17



252. Milet, Aphrodite-Heiligtum Z 91.17.9

Typus 10
Formvariante
10,4.B

249.–252.

Dekorvariante

k.

249.

l.

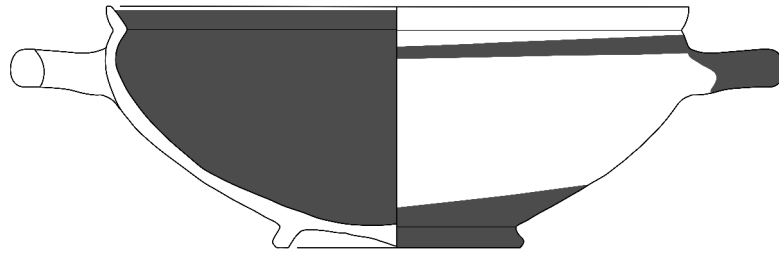
250.

n.

251.

m.

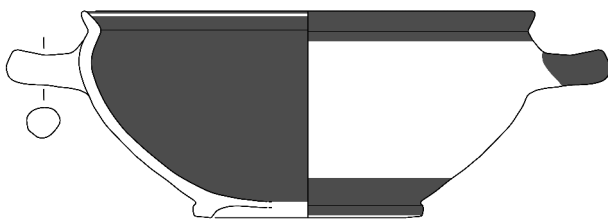
252.



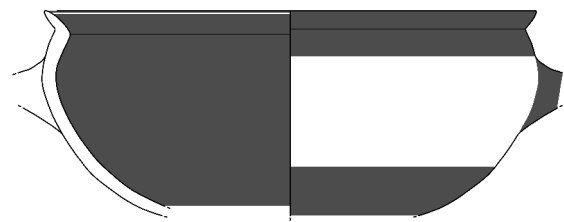
253. Milet, Aphrodite-Heiligtum Z 05.131.37



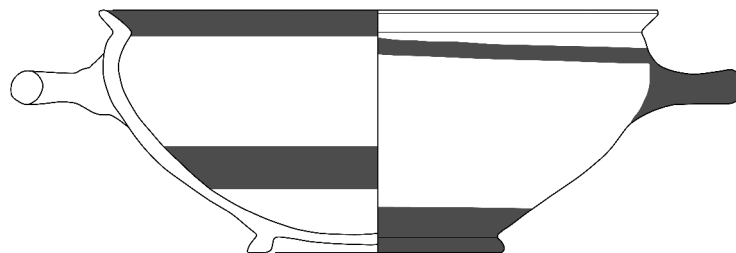
254. Milet, Südschnitt S 63.85.3



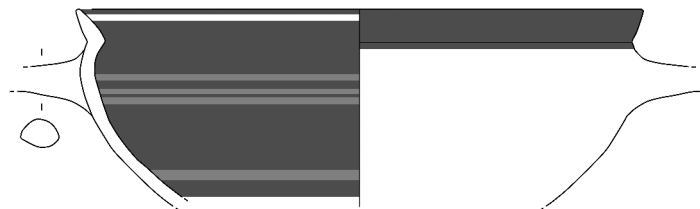
255. Milet, Kalabaktepe K 92.143.20



256. Milet, Kalabaktepe K 90.569.12



257. Milet, Aphrodite-Heiligtum Z 05.131.20



258. Milet, Aphrodite-Heiligtum Z 05.132.15

Typus 10
Formvariante
10,5.C

253.–258.

Dekorvariante

l.

253.

m.

254.

k.

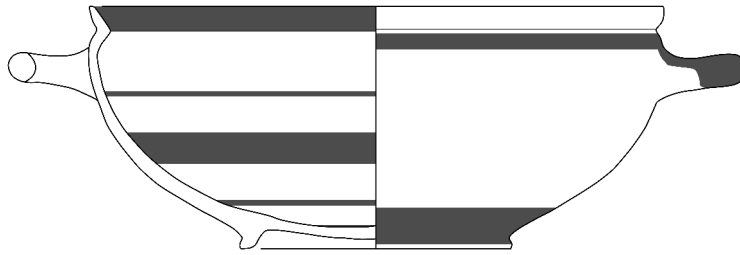
255.–256.

n.

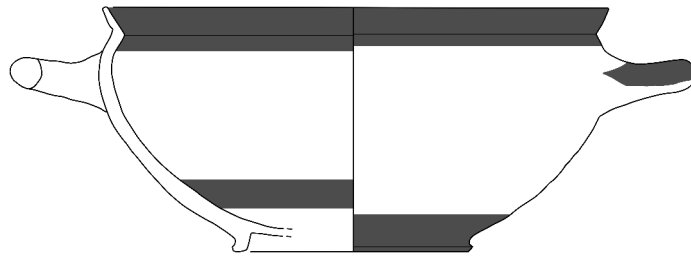
257.

ky.

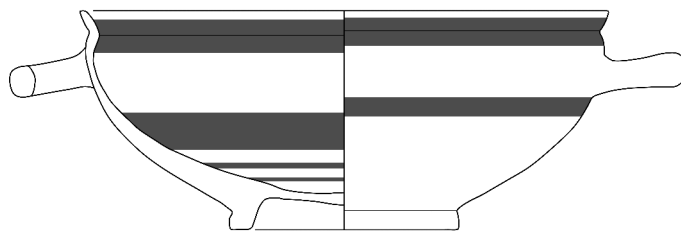
258.



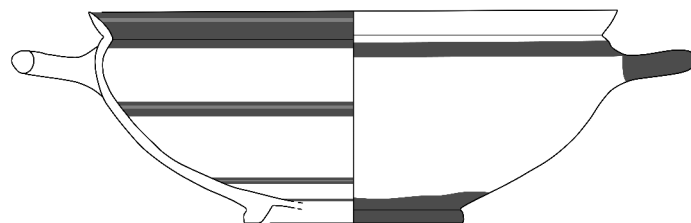
259. Milet, Aphrodite-Heiligtum Z 05.131.27



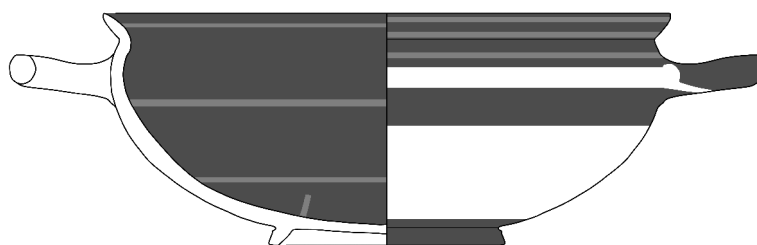
260. Milet, Aphrodite-Heiligtum Z 05.132.10



261. Milet, Aphrodite-Heiligtum Z 05.131.22



262. Milet, Aphrodite-Heiligtum Z 05.131.40



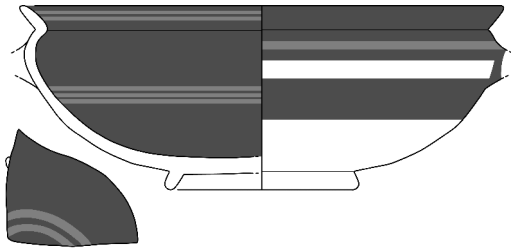
263. Milet, Aphrodite-Heiligtum Z 05.131.16

Typus 10
Formvariante
10,5.C
10,6.C

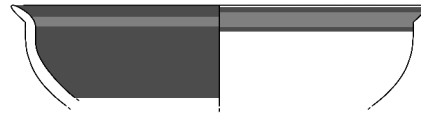
259.–261.
262.–263.

Dekorvariante
n.
m.
ny.
my.

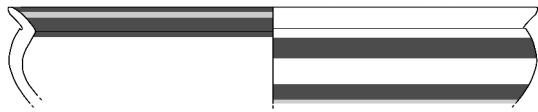
259.; 261.
260.
262.
263.



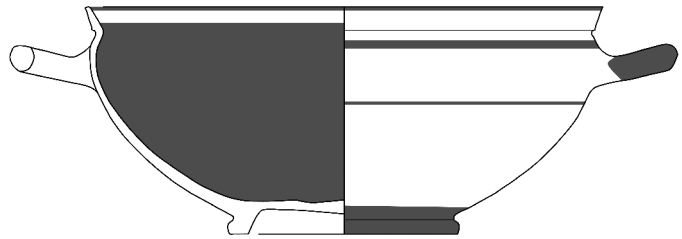
264. Milet, Aphrodite-Heiligtum Z 91.66.18



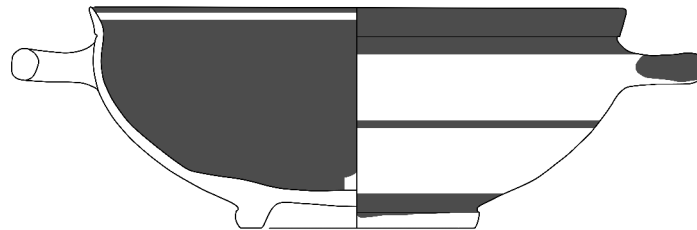
265. Milet, Kalabaktepe K 91.255.10



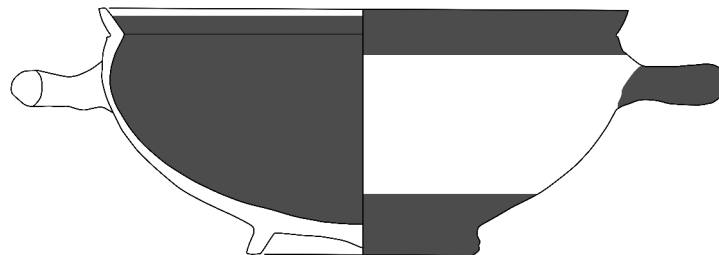
266. Milet, Aphrodite-Heiligtum Z 91.69.6



267. Milet, Aphrodite-Heiligtum Z 05.131.34



268. Milet, Aphrodite-Heiligtum Z 05.131.19



269. Milet, Aphrodite-Heiligtum Z 05.131.21



270. Milet, Kalabaktepe K 89.491.17

Typus 10
Formvariante
10,6.C
10,7.C

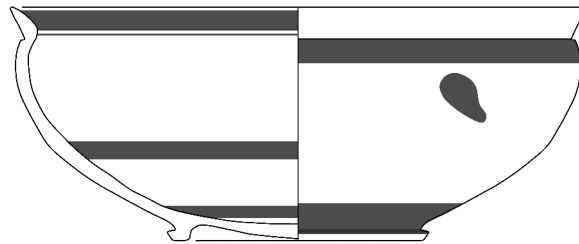
264.–265.
266.–270.

Dekorvariante
my.
ny.
l.
k.

264.–265.
266.
267.
268.–270.



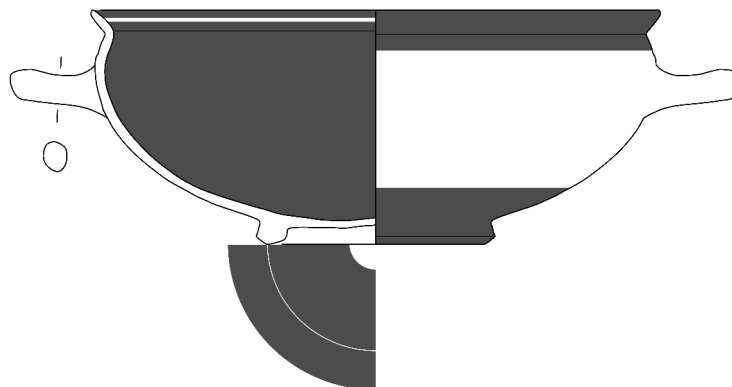
271. Milet, Kalabaktepe K 89.48.8



272. Milet, Kalabaktepe K 89.36.1



273. Milet, Kalabaktepe K 89.288.1



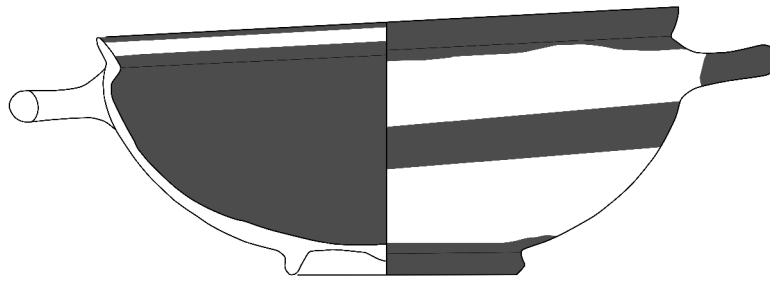
274. Milet, Kalabaktepe K 91.568.1

Typus 10
Formvariante
10,7.C
10,8.C

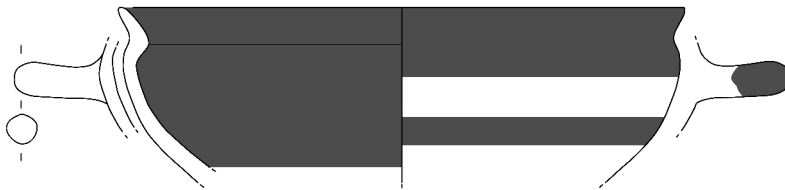
271.–272.
273.–274.

Dekorvariante
l.
n.
k.

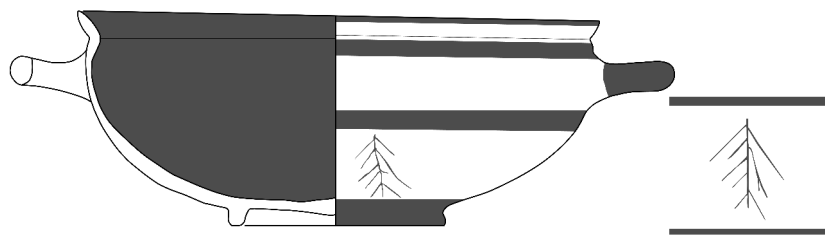
271.
272.
273.–274.



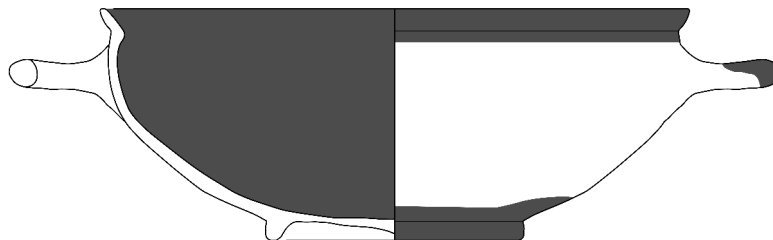
275. Milet, Aphrodite-Heiligtum Z 05.131.11 + Z 05.132.8



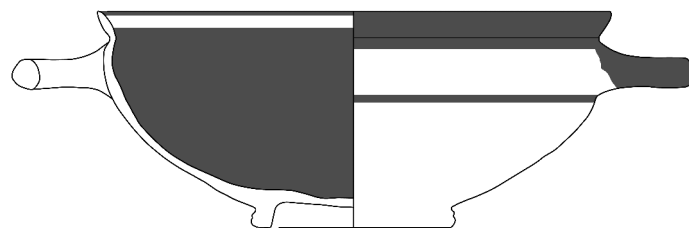
276. Milet, Aphrodite-Heiligtum Z 05.131.52



277. Milet, Aphrodite-Heiligtum Z 05.131.3



278. Milet, Aphrodite-Heiligtum Z 05.131.51



279. Milet, Aphrodite-Heiligtum Z 05.131.42

Typus 10
Formvariante
10,8.C

275.–279.

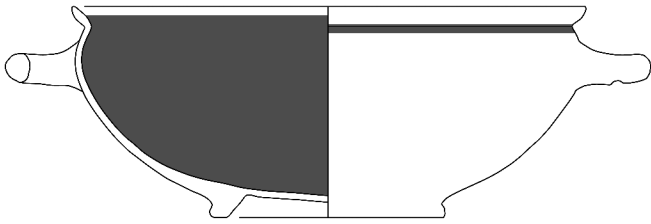
Dekorvariante

k.
l.
k. (Sonderform)

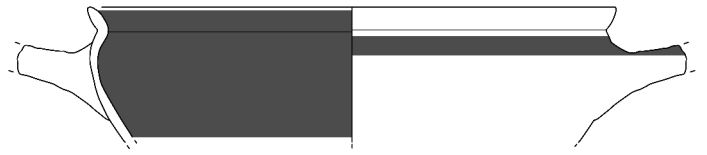
275.–276.; 278.

277.

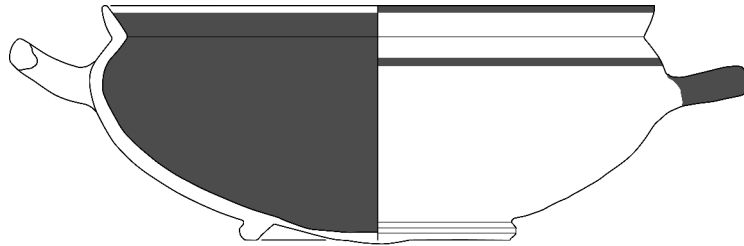
279.



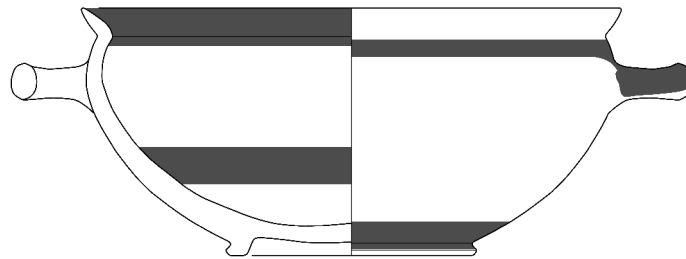
280. Milet, Aphrodite-Heiligtum Z 05.131.43



281. Milet, Aphrodite-Heiligtum Z 05.131.46



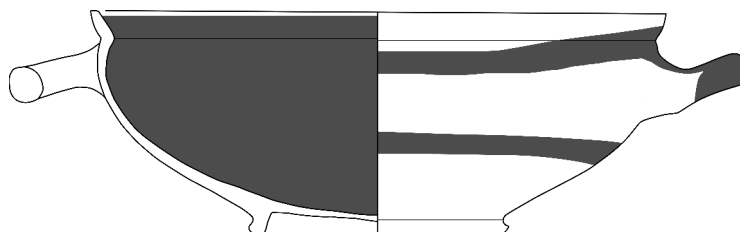
282. Milet, Aphrodite-Heiligtum Z 05.131.6



283. Milet, Aphrodite-Heiligtum Z 05.131.26



284. Milet, Aphrodite-Heiligtum Z 05.131.10



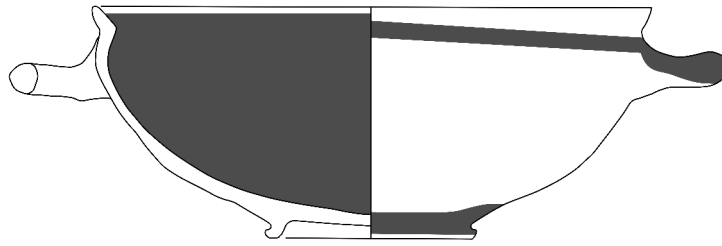
285. Milet, Aphrodite-Heiligtum Z 05.131.38

Typus 10
Formvariante
10,8.C
10,9.C

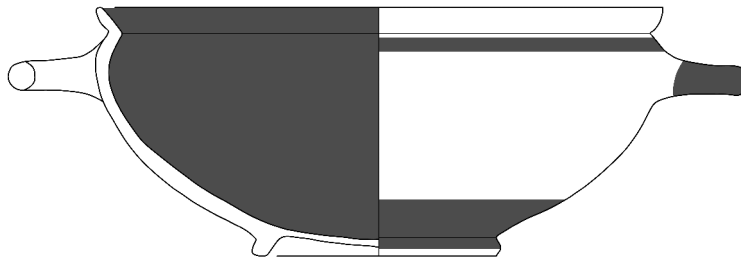
280.–281.
282.–285.

Dekorvariante
l. (Sonderform)
l.
n.
k.

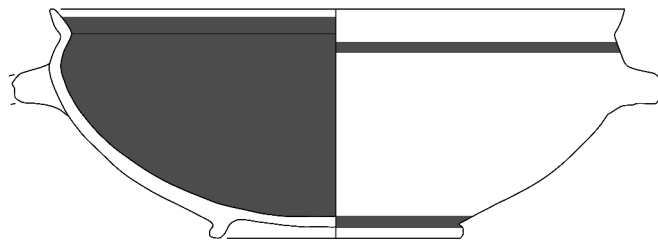
280.; 285.
281.–282.
283.
284.



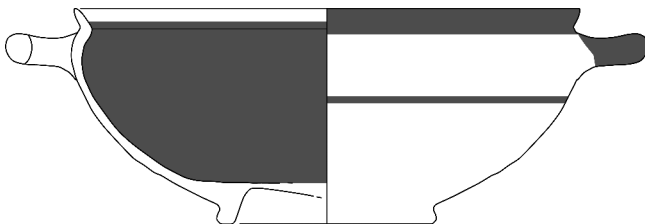
286. Milet, Aphrodite-Heiligtum Z 05.131.24



287. Milet, Aphrodite-Heiligtum Z 05.131.39



288. Milet, Aphrodite-Heiligtum Z 05.131.45



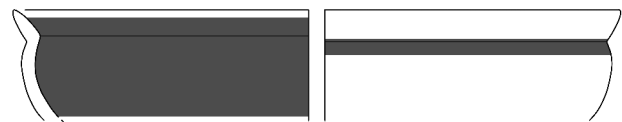
289. Milet, Aphrodite-Heiligtum Z 05.131.49



290. Milet, Kalabaktepe K 89.447.7



291. Milet, Kalabaktepe K 89.66.8



292. Milet, Kalabaktepe K 89.26.30

Typus 10
Formvariante
10,9.C

286.–292.

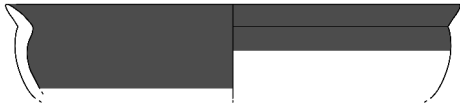
Dekorvariante

l.
k. (Sonderform)
k.

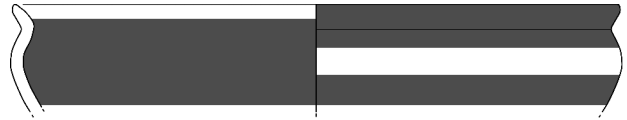
286.–288.; 291.–292.

289.

290.



293. Milet, Kalabaktepe K 89.52.1



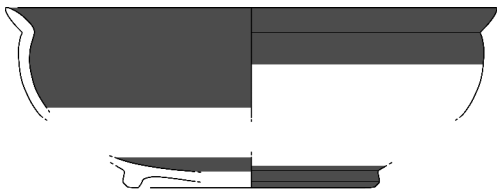
294. Milet, Kalabaktepe K 89.26.27



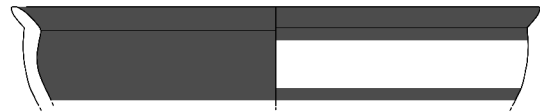
295. Milet, Kalabaktepe K 89.49.4



296. Milet, Aphrodite-Heiligtum Z 91.32.13



297. Milet, Aphrodite-Heiligtum Z 91.315



298. Milet, Aphrodite-Heiligtum Z 91.12.11



299. Milet, Kalabaktepe K 89.19.17



300. Milet, Kalabaktepe K 89.407.9



301. Milet, Kalabaktepe K 89.416.10



302. Milet, Kalabaktepe K 89.140.5

Typus 10
Formvariante
10,9.C
10,10.C

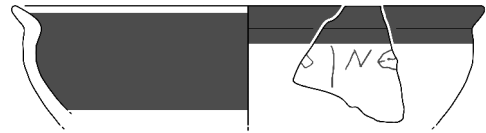
293.
294.–302.

Dekorvariante
k.
l.

293.–298.; 300.
299.; 301.–302.



303. Milet, Kalabaktepe K 92.40.50



304. Milet, Kalabaktepe K 89.111.42



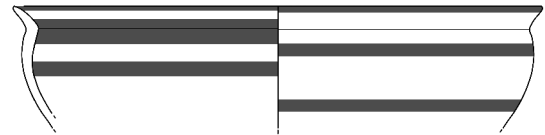
305. Milet, Kalabaktepe Z 89.183.29



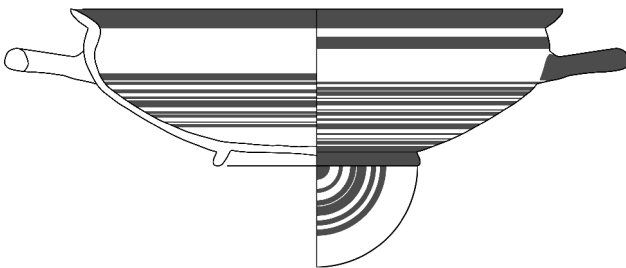
306. Milet, Kalabaktepe K91.423.14



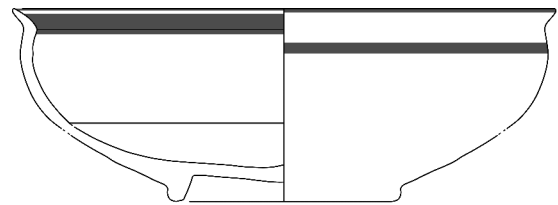
307. Milet, Kalabaktepe K91.485.18 + K 91.226.10



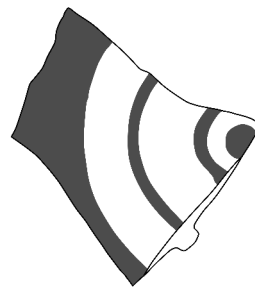
308. Milet, Südschnitt S 63.78.6



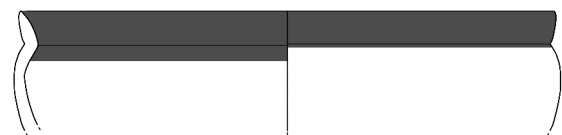
309. Milet, Athena-Heiligtum AT 55.4a.1



310. Milet, Aphrodite-Heiligtum Z 91.10.5



311. Milet, Aphrodite-Heiligtum Z 91.38.138



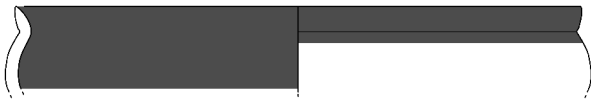
312. Milet, Kalabaktepe K 89.74.5

Typus 10
Formvariante
10,11.C/D
10,11.D
10,12.C

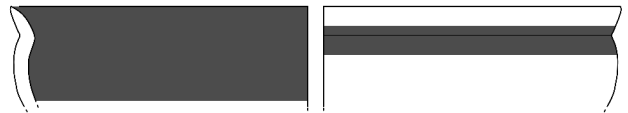
303.–305.
306.–311.
312.

Dekorvariante

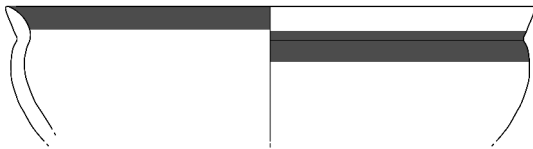
m. 303.
k. 304.–306.
ny. 307.; 311.
n. 308.; 312.
m. (Sonderform) 309.
n. (Sonderform) 310.



313. Milet, Kalabaktepe K 89.89.11



314. Milet, Kalabaktepe K 89.26.29



315. Milet, Kalabaktepe K 89.137.6



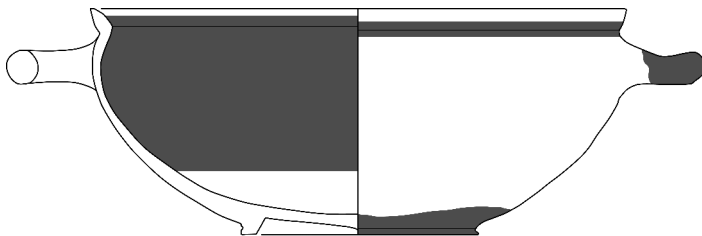
316. Milet, Kalabaktepe K 89.27.2



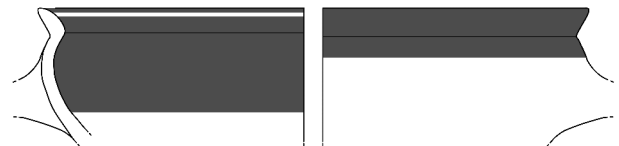
317. Milet, Kalabaktepe K 91.423.13



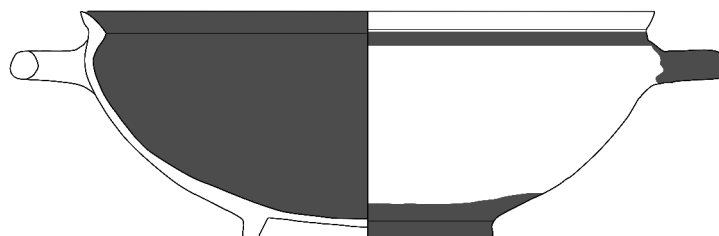
318. Milet, Kalabaktepe Z 91.13.20



319. Milet, Aphrodite-Heiligtum Z 05.131.4



320. Milet, Aphrodite-Heiligtum Z 91.53.3



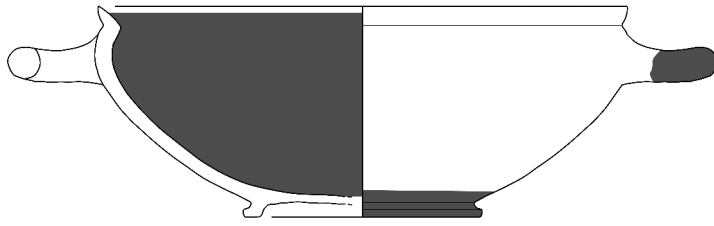
321. Milet, Aphrodite-Heiligtum Z 05.131.7

Typus 10
Formvariante
10,12.C
10,13.C

313.–315.
316.–321.

Dekorvariante

k. 313.; 317.
l. 314.; 320.
n. 315.; 318.–319.
m. 316.; 321.



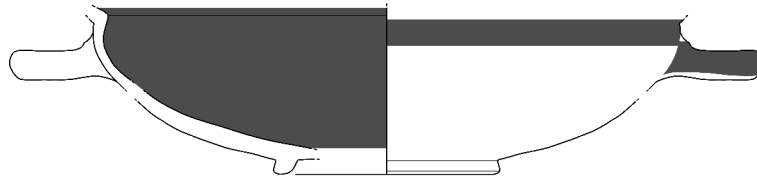
322. Milet, Aphrodite-Heiligtum Z 05.132.9



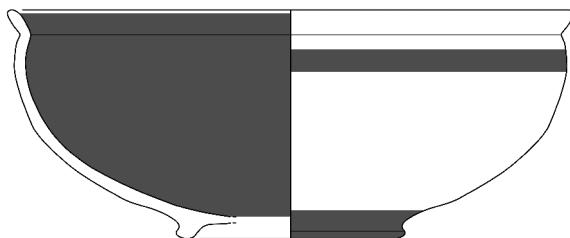
323. Milet, Aphrodite-Heiligtum Z 91.13.21



324. Milet, Kalabaktepe K 92.2.22



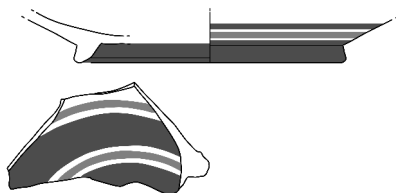
325. Milet, Aphrodite-Heiligtum Z 91.26.4



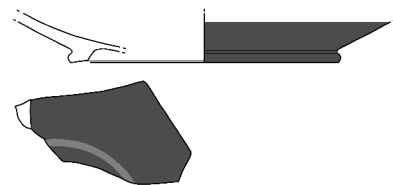
326. Milet, Aphrodite-Heiligtum Z 91.16.4



327. Milet, Kalabaktepe K 89.456.11



328. Milet, Aphrodite-Heiligtum Z 91.66.18



329. Milet, Kalabaktepe K 92.2.23

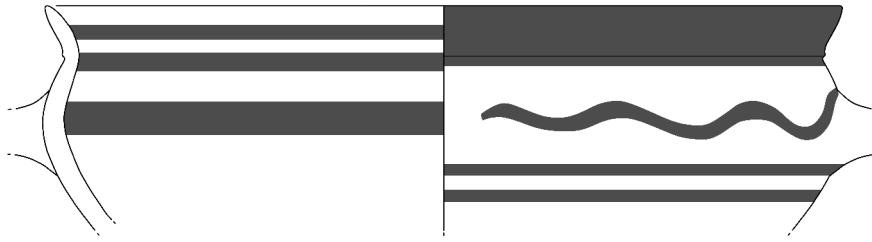
Typus 10

Formvariante

10,13.C	322.–324.
10,13.D	325.
10.C (Sonderform)	326.–327.
10.C/D	328.–329.

Dekorvariante

m. (Sonderform)	322.
m.	323.
k.	324.; 327.
k./l.	325.
l.	326.
m./ny.	328.
k.-ny.	329.



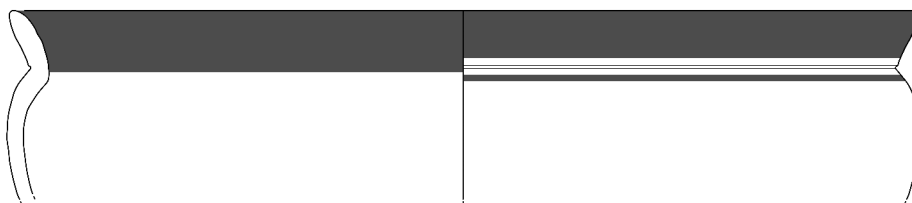
330. Milet, Südschnitt S 63.81.41



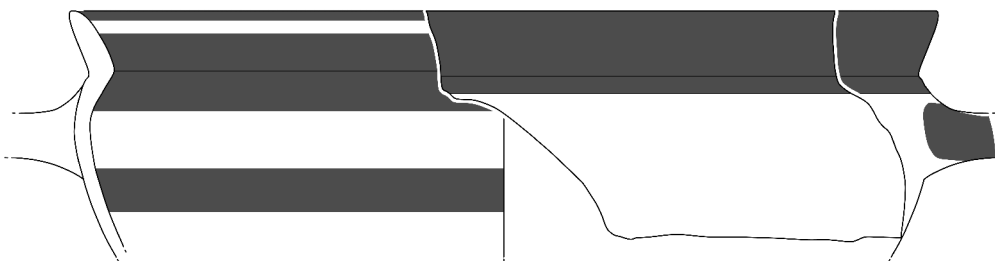
331. Milet, Wiegand-Grabungen WD.3



332. Milet, Südschnitt S 63.114.6



333. Milet, Kalabaktepe K 89.229.2



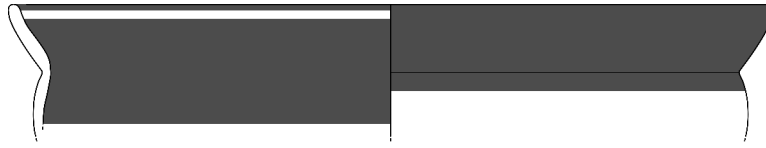
334. Milet, Südschnitt S 63.2.1

Typus 11
Formvariante
11,1.B

330.–334.

Dekorvariante
m α .
l α .
m.

330.
331.
332.–334.



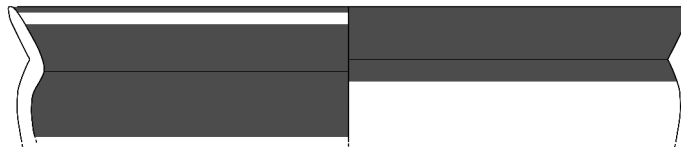
335. Milet, Kalabaktepe K 89.200.9



336. Milet, Kalabaktepe K 89.114.8



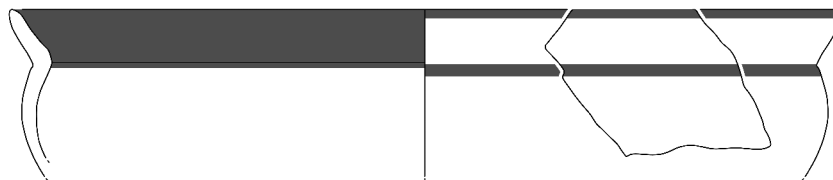
337. Milet, Kalabaktepe K 92.21.12



338. Kalabaktepe K 89.21.2



339. Milet, Kalabaktepe K 89.116.1



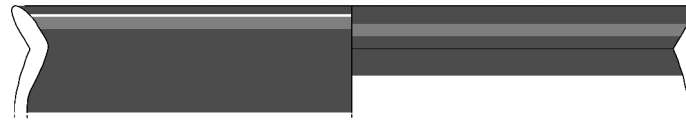
340. Milet, Südschnitt S 63.73.4

Typus 11
Formvariante
11,2.B
11,3.B
11,4.B

335.–336.
337.–339.
340.

Dekorvariante
k.
m.
n.

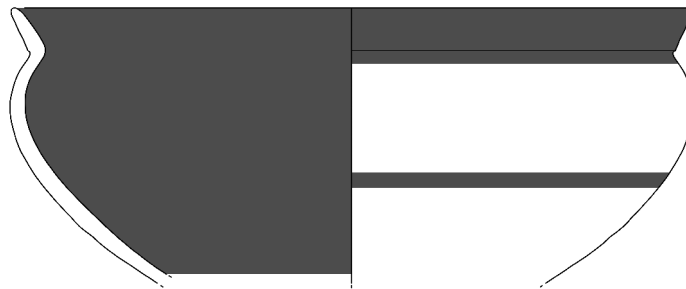
335.; 337.–339.
336.
340.



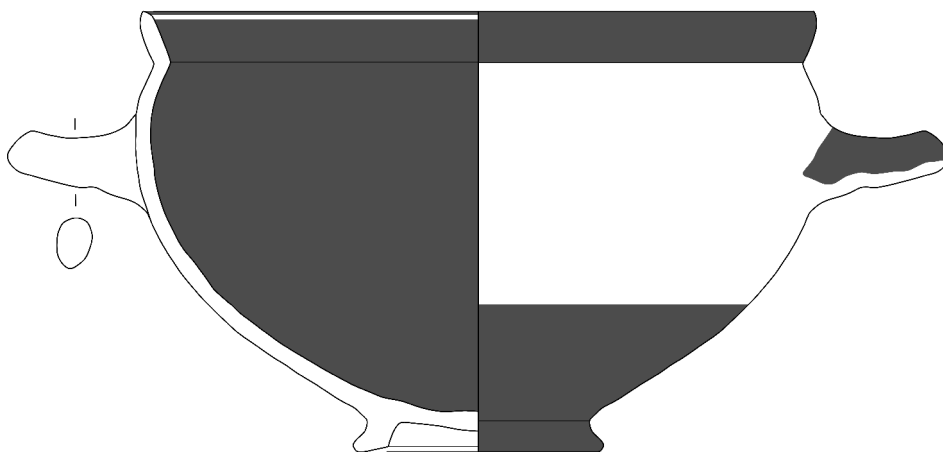
341. Milet, Kalabaktepe K 89.510.19



342. Milet, Kalabaktepe K 89.510.29



343. Milet, Kalabaktepe K 90.725.4



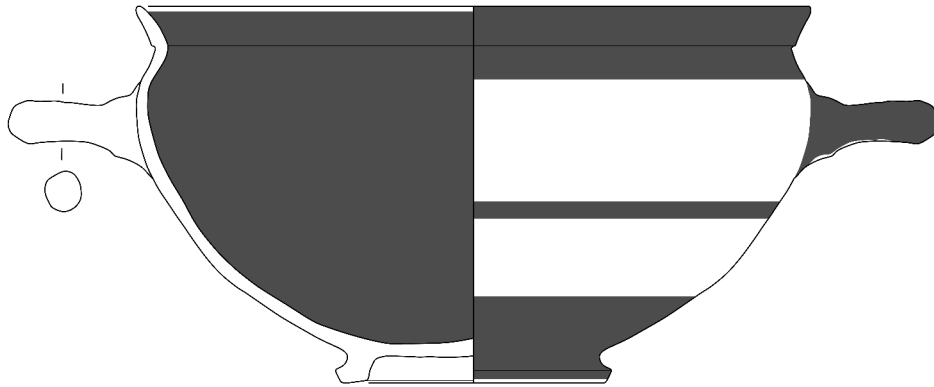
344. Milet, Kalabaktepe K 90.649.5

Typus 11
Formvariante
11,4.B

341.–344.

Dekorvariante
ky.
k.

341.–342.
343.–344.



345. Milet, Kalabaktepe K 92.806.1



346. Milet, Kalabaktepe K 89.195.5



347. Milet, Kalabaktepe K 89.19.11



348. Milet, Kalabaktepe K 89.155.14



349. Milet, Kalabaktepe K 89.211.7



350. Milet, Kalabaktepe K 89.506.38

Typus 11

Formvariante

11,4.B (Sonderform)

11,4.B

345.

346.–350.

Dekorvariante

k.

n.

345.–346.; 348.–350.

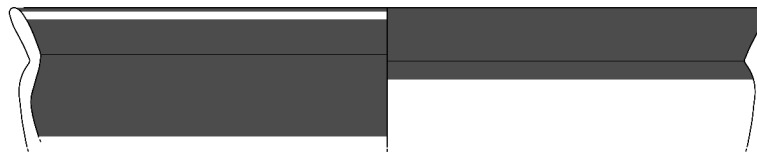
347.



351. Milet, Kalabaktepe K 89.481.3



352. Milet, Kalabaktepe K 89.506.43



353. Milet, Kalabaktepe K 89.506.41



354. Milet, Kalabaktepe K 89.501.23



355. Milet, Kalabaktepe K 89.276.13



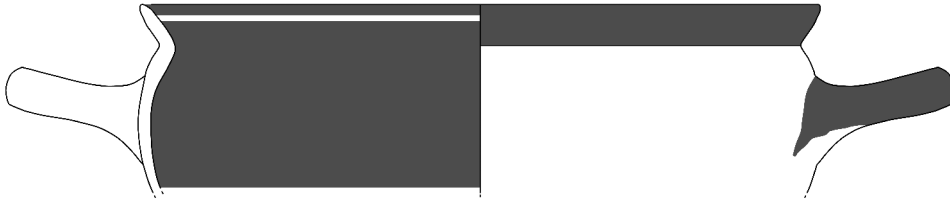
356. Milet, Südschnitt S 63.87.1

Typus 11
Formvariante
11,4.B

351.–356.

Dekorvariante
k.

351.–356.



357. Milet, Athena-Heiligtum AT 57.O.52.1



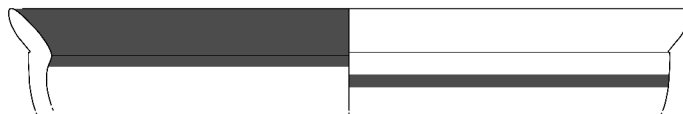
358. Milet, Kalabaktepe K 89.125.6



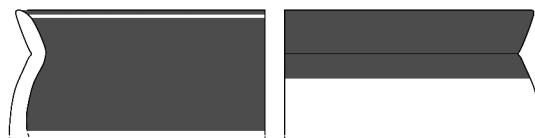
359. Milet, Kalabaktepe K 90.649.6



360. Milet, Kalabaktepe K 89.77.8



361. Milet, Kalabaktepe K 89.66.7



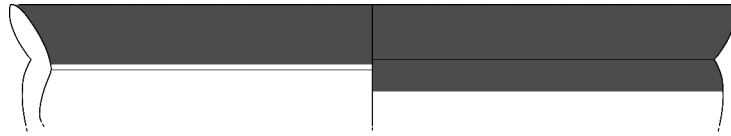
362. Milet, Kalabaktepe K 92.40.46

Typus 11
Formvariante
11,4.B
11,5.B

357.–358.
359.–362.

Dekorvariante
k.
n.

357.–360.; 362.
361.



363. Milet, Kalabaktepe K 89.19.19



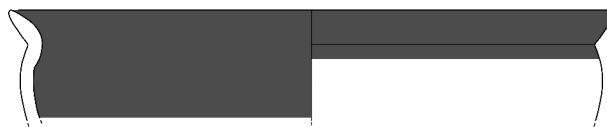
364. Milet, Kalabaktepe K 89.453.23



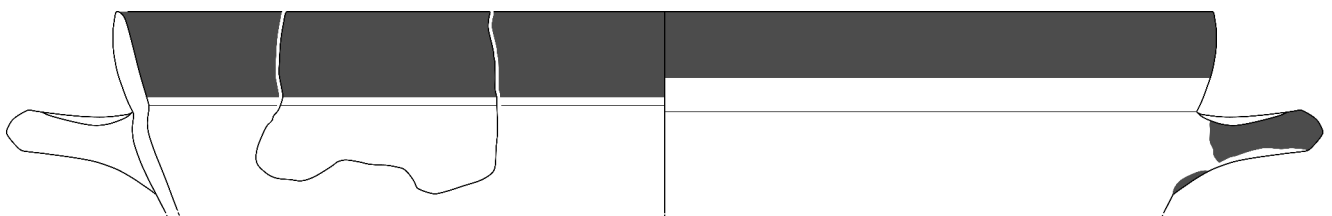
365. Milet, Kalabaktepe K 89.216.1



366. Milet, Kalabaktepe K 89.111.65



367. Milet, Kalabaktepe K 89.237.1



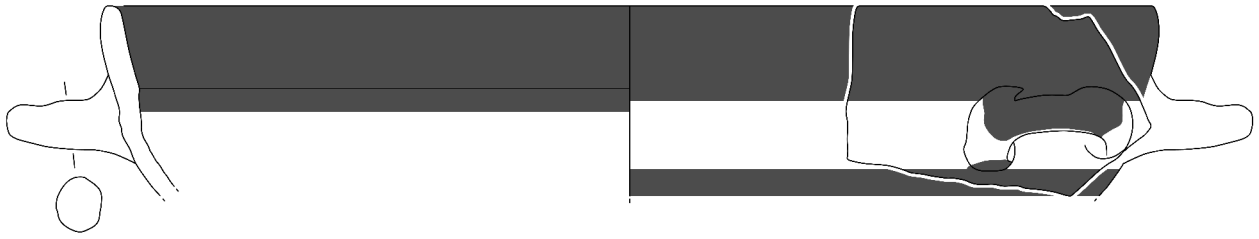
368. Milet, Südschnitt S 63.78.15

Typus 11/12
Formvariante
11,5.B
12,1.B

363.–367.
368.

Dekorvariante
m.
k.
l.
n.

363.
364.–365.; 367.
366.
368.



369. Milet, Kalabaktepe K 93.114.1 + K 93.115.1



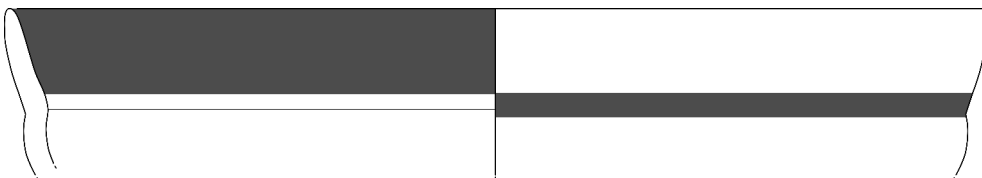
370. Milet, Kalabaktepe K 89.407.8



371. Milet, Kalabaktepe K 89.48.8



372. Milet, Kalabaktepe K 92.59.4



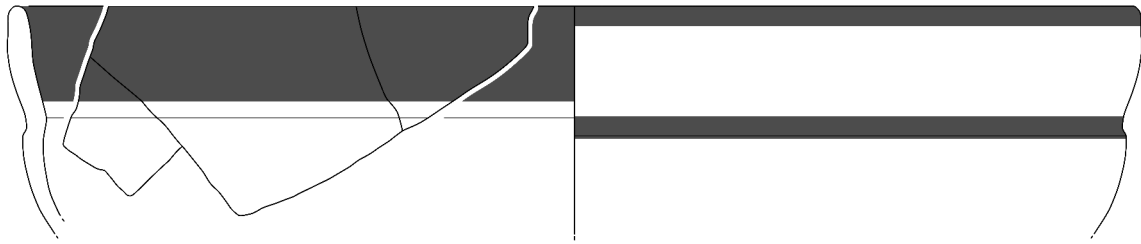
373. Milet, Kalabaktepe K 89.111.63

Typus 12
Formvariante
12,1.B

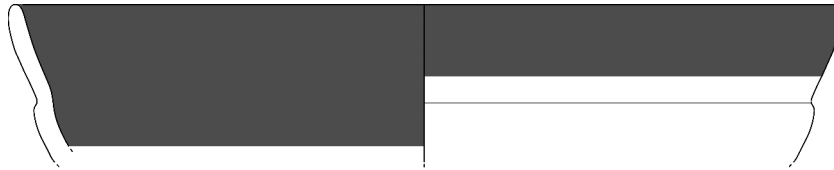
369.–373.

Dekorvariante
n.
m.

369.; 371.; 373.
370.; 372.



374. Milet, Südschnitt K 63.120.24



375. Milet, Kalabaktepe K 89.26.26 + K 89.115.31



376. Milet, Kalabaktepe K 89.17.3



377. Milet, Kalabaktepe K 91.374.1

Typus 12
Formvariante
12,2.B

374.-377.

Dekorvariante

n.

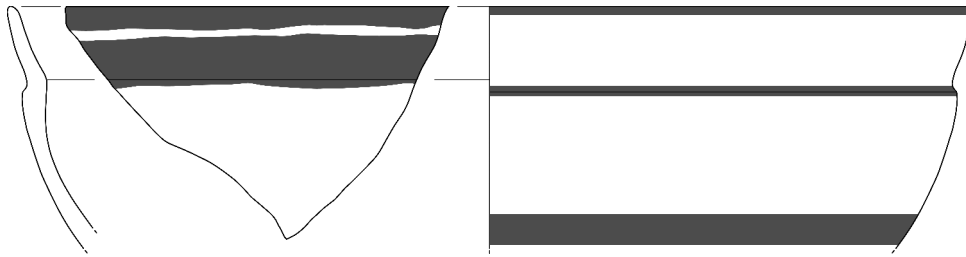
l.

m.

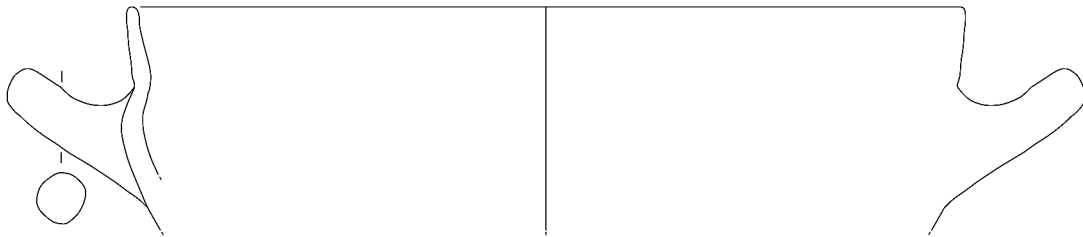
374.

375.

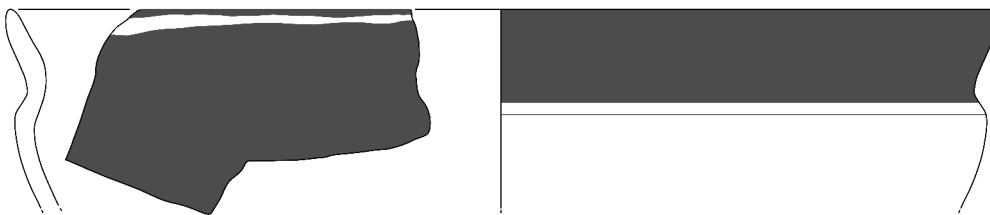
376.-377.



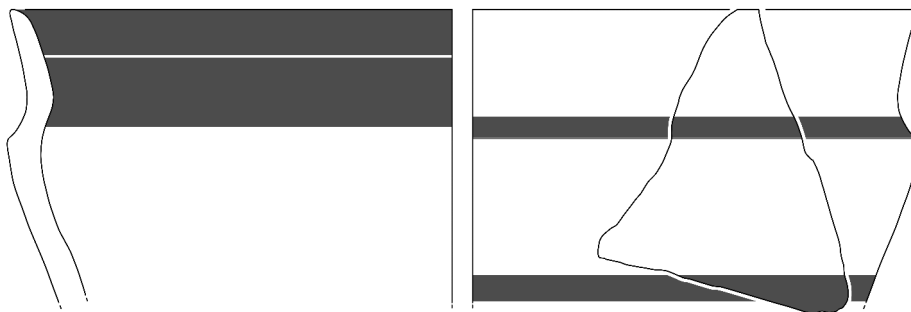
378. Milet, Südschnitt S 63.109.3



379. Milet, Kalabaktepe K 92.357.7



380. Milet, Südschnitt S 63.78.16



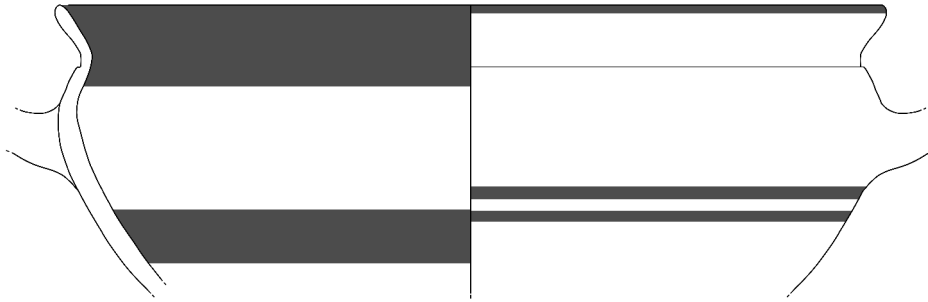
381. Milet, Kalabaktepe K 91.283.14

Typus 12
Formvariante
12,2.B

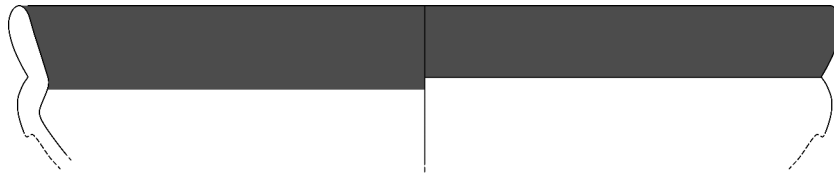
378.-381.

Dekorvariante
n.
k.

378.; 381.
380.



382. Milet, Kalabaktepe K 91.407.1



383. Milet, Kalabaktepe K 93.170.7



384. Milet, Kalabaktepe K 92.40.85



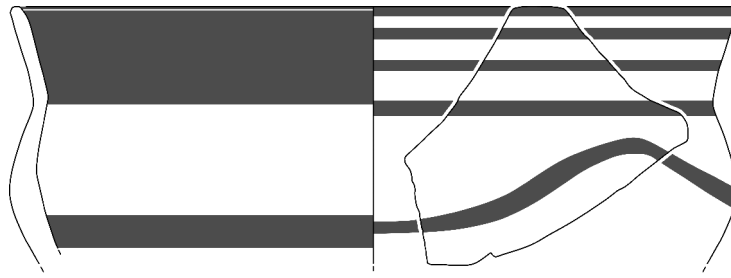
385. Milet, Kalabaktepe K 90.848.1

Typus 12/13
Formvariante
12,2.B
12,3.B
13,1.B

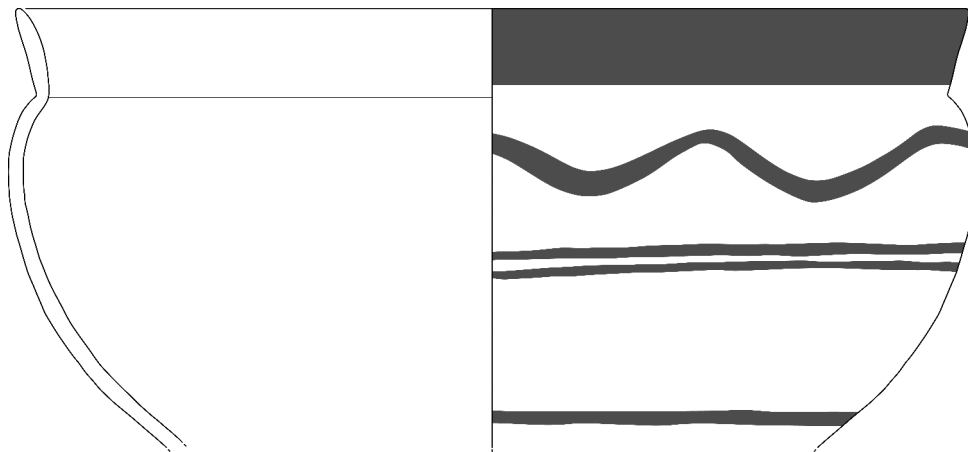
382.
383.–384.
385.

Dekorvariante
m.
n.
c.

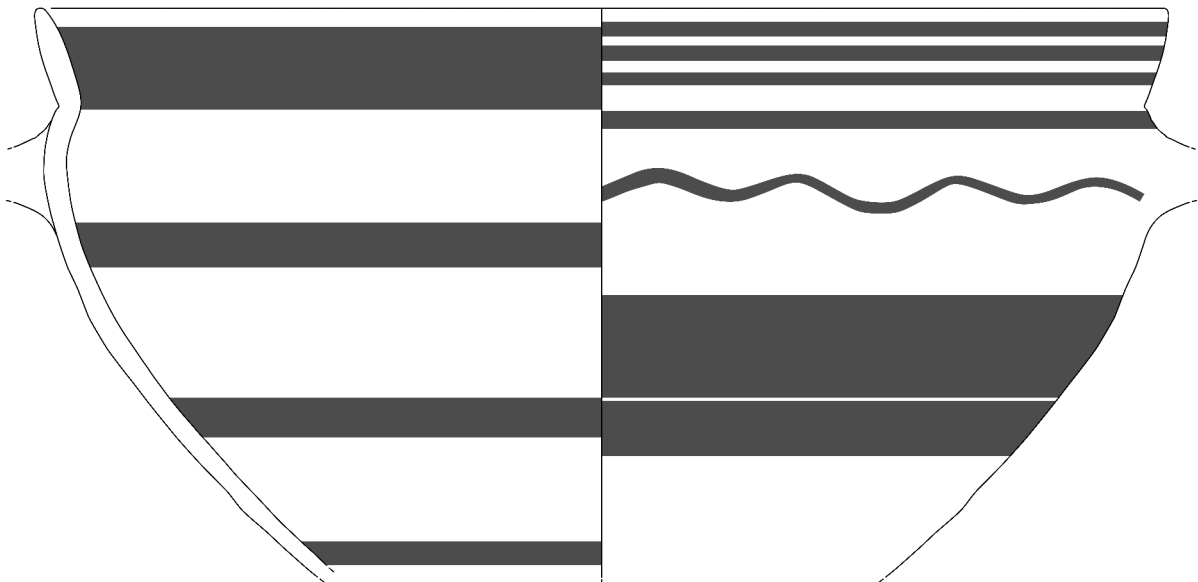
382.–383.
384.
385.



386. Milet, Zeytintepe Z 09.87.26



387. Milet, Kalabaktepe K 90.572.1



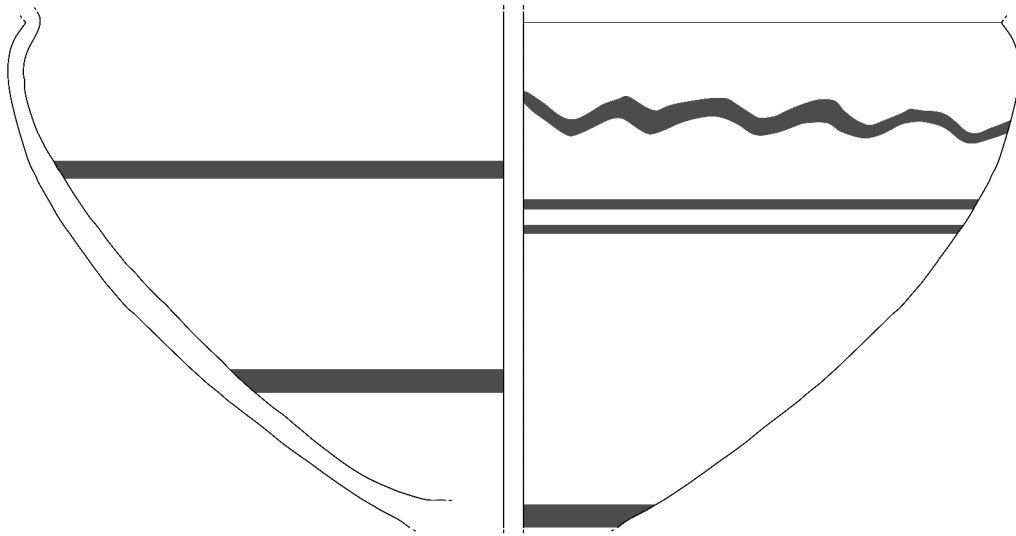
388. Milet, Stadtmauer-Schnitt SM 97.232.6

Typus 13
Formvariante
13,1.B

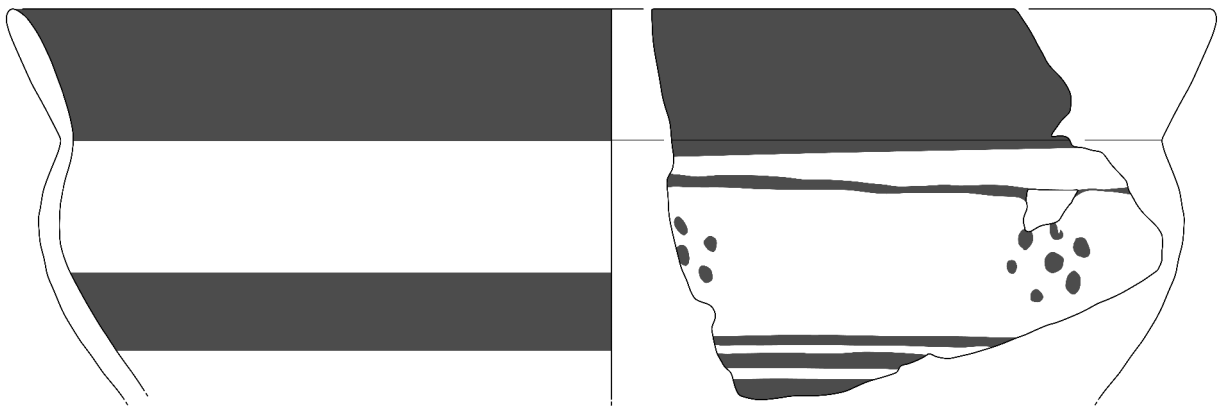
386.-388.

Dekorvariante
α.
λα.

386.; 388.
387.



389. Milet, Kalabaktepe K 95.385.1



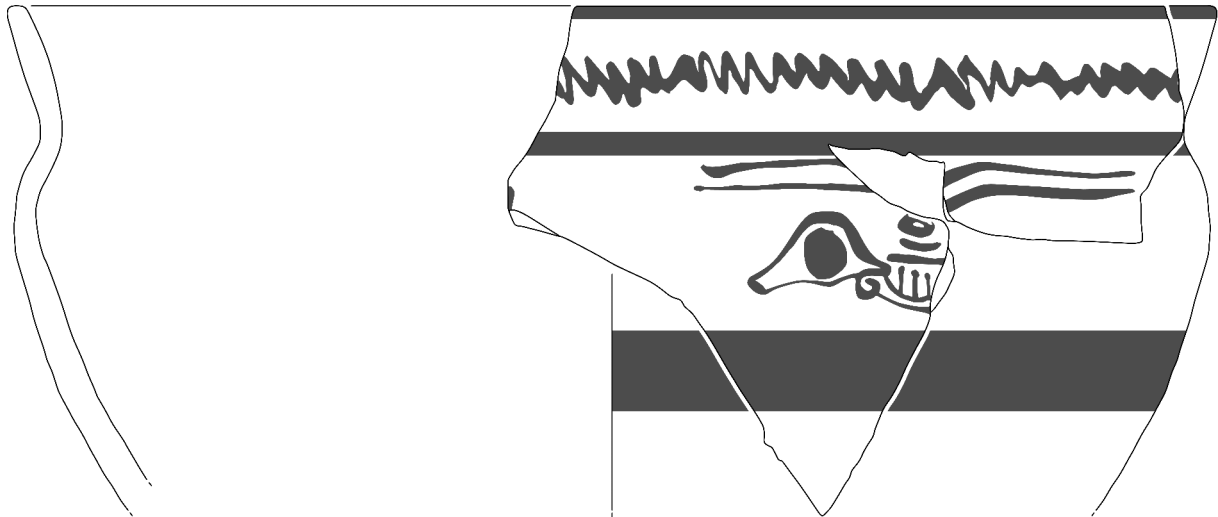
390. Milet, Kalabaktepe K 86.47.20

Typus 13
Formvariante
13,1.B

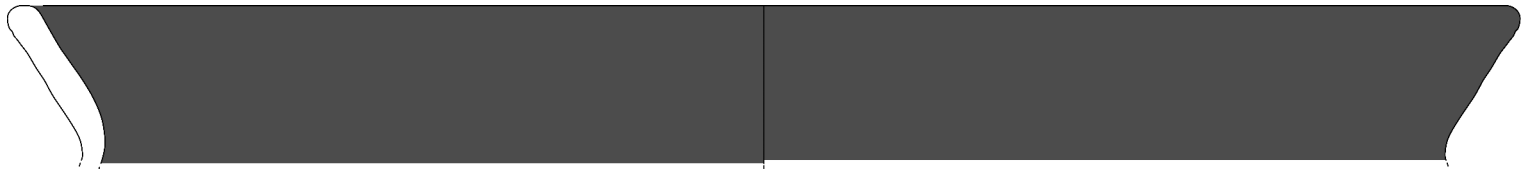
389.-390.

Stilphase/ Dekorvariante
m/nα.
m/SiA I/II.

389.
390.



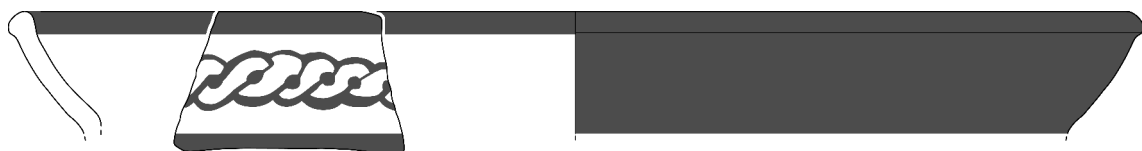
391. Milet, Kalabaktepe K 90.662.22 + K 91.129.2



392. Milet, Kalabaktepe K 92.381.9



393. Milet, Kalabaktepe K 89.406.1



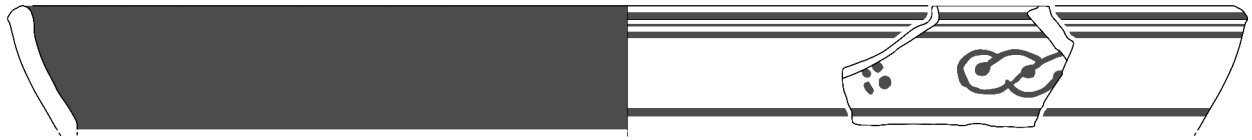
394. Milet, Kalabaktepe K 91.418.15

Typus 13
Formvariante
13,2.B
13,3.B

391.–393.
394.

Stilphase/ Dekorvariante

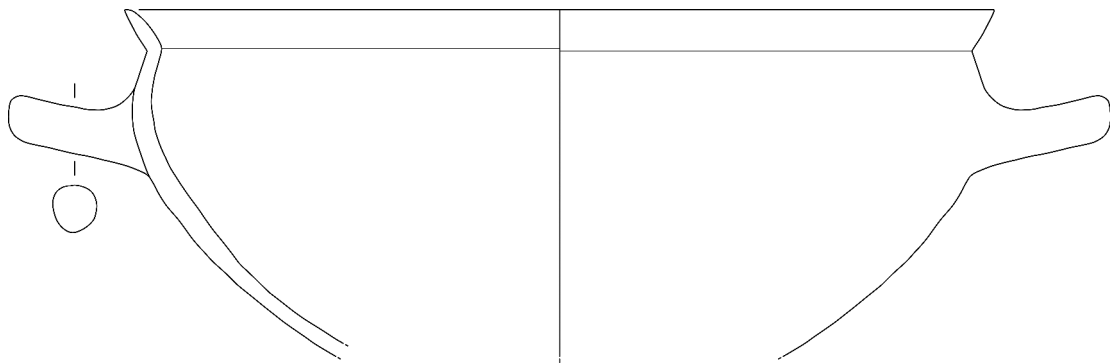
m/SiA I.	391.
k-m.	392.
l-n.	393.
m/SiA I/II.	394.



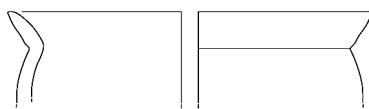
395. Milet, Kalabaktepe K 92.44.1



396. Milet, Kalabaktepe K 92.465.2 + K 92.465.3



397. Milet, Kalabaktepe K 92.871.3



398. Milet, Kalabaktepe K 92.326.5



399. Milet, Aphrodite-Heiligtum Z 94.192.10

Typus 13/ Graue Ware

Formvariante

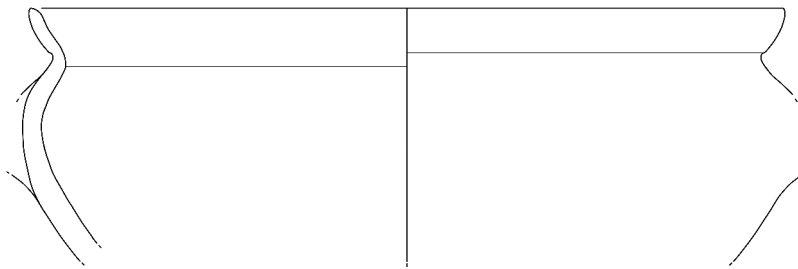
13,3.B	395.
11,3.B	396.
11,4.B	397.–398.
10,3.B	399.

Stilphase/ Dekorvariante

m/SiA II.	395.
k./m.?	396.
a.	399.



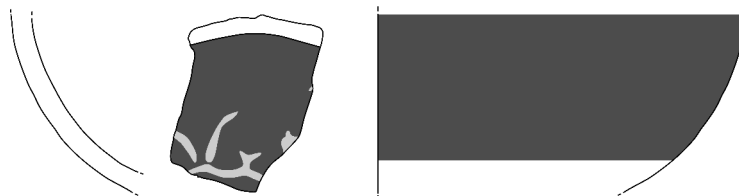
400. Milet, Aphrodite-Heiligtum Z 94.53.179



401. Milet, Kalabaktepe K 92.430.12



402. Milet, Aphrodite-Heiligtum Z 94.99.37



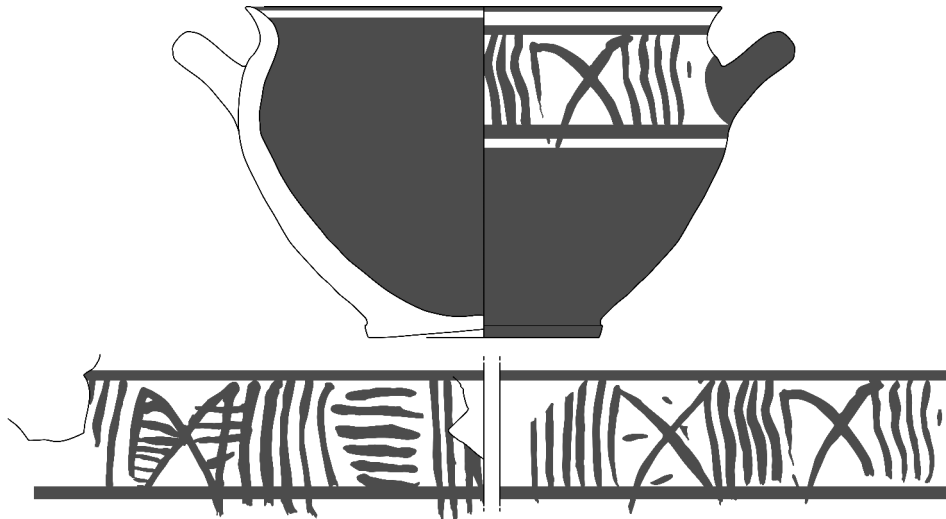
403. Milet, Aphrodite-Heiligtum Z 94.75.55

Typus Graue Ware
Formvariante
10,8-9.C
12,2.B
9-10.C

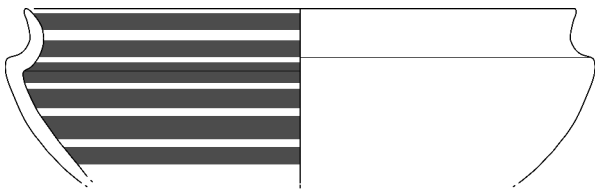
400.
401.
402.-403.

Stilphase/ Dekorvariante

a. 400.; 402. (?)
SiA IIγ. 403.



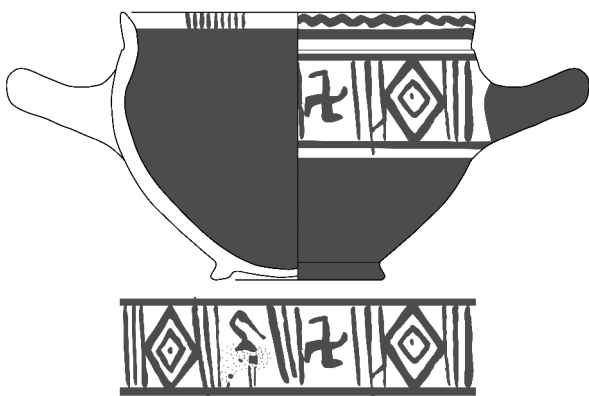
404. Samos, Hera-Heiligtum K 1759



405. Samos, Hera-Heiligtum K 2397



406. Milet, Aphrodite-Heiligtum Z 94.2.4 + Z 94.233.45



407. Samos, Hera-Heiligtum K 2011



408. Milet, Kalabaktepe K 91.516.6

Typus 1.A/ 2.A/B, südionisch
Formvariante

1,2.A	404.
2,1.B	405.
2,2.B	406.
2,3.A	407.
2,4.B	408.

Stilphase
SiG spät

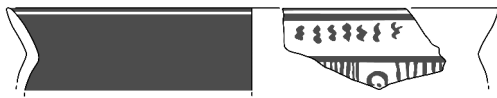
404.–408.



409. Samos, Hera-Heiligtum K 2733



410. Milet, Aphrodite-Heiligtum Z94.234.5



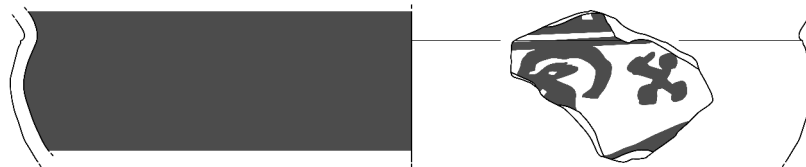
411. Milet, Athena-Heiligtum AT 57.O.152.14



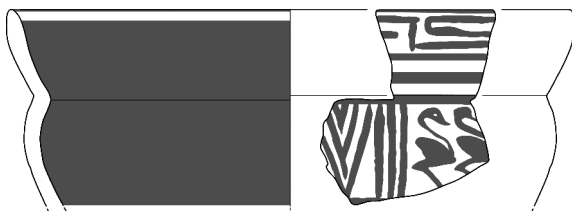
412. Milet, Kalabaktepe K 92.126.5



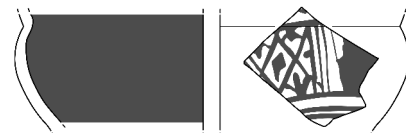
413. Milet, Athena-Heiligtum AT 57.N.20.4



414. Milet, Wiegand-Depot WD.2



415. Samos, Hera-Heiligtum 3095



416. Milet, Kalabaktepe K 91.84.7

Typus 3.B, südionisch

Formvariante

3,1/5,2.B	409.
3,2.B	410.–412.
3,3.B	413.
4,3.B	414.
5,1.B	415.–416.

Stilphase

SiA Ia/subgeometrisch	409.–412.
SiA Ia	413.
SiA/MileA Ia	414.; 416.
SiA/MileA Ia/subgeometrisch	415.



417. Milet, Aphrodite-Heiligtum Z 94.53.102 + Z94.127.120



418. Milet, Kalabaktepe K 90.487.3



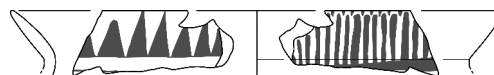
419. Milet, Kalabaktepe K 89.261.3



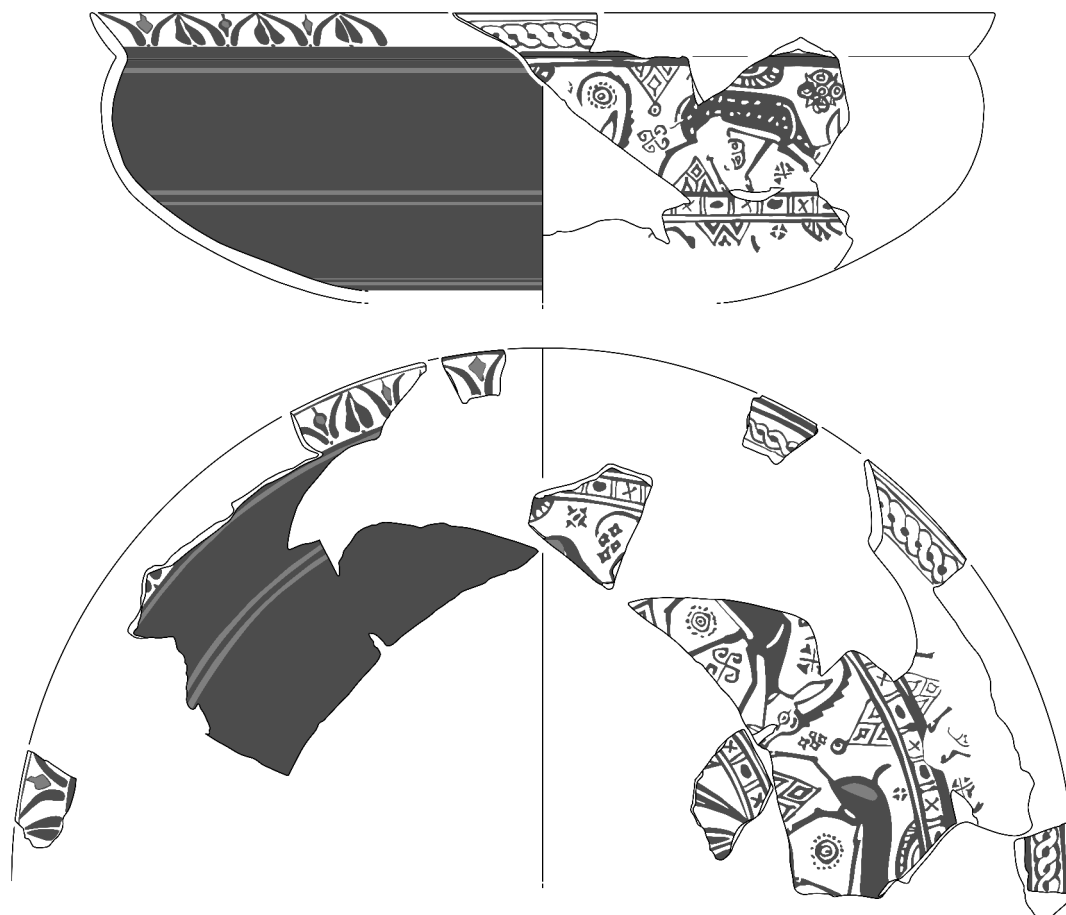
420. Samos, Hera-Heiligtum K 5110



421. Samos, Hera-Heiligtum 3186



422. Milet, Aphrodite-Heiligtum Z 91.86.38



423. Milet, Aphrodite-Heiligtum
Z 94.7.186 + Z 94.14.85 + Z 94.136.8 + Z 94.145.68 + Z 94.163.15 + Z 94.163.19
+ Z 94.170.33 + Z 94.178.22 + Z 94.178.48 + Z 94.228.41 + Z 94.248.9

Typus 6.B + 8.B, südionisch/ 9.C, milesisch

Formvariante

6,2.B (Sonderform)

417.

8,2.B

418.–420.; 422.

8,1.B

421.

9,1.C

423.

Stilphase

SiA/MileA Ia

417.; 419.–420.

SiA/MileA Ia/subgeometrisch

418.

SiA/MileA Ic

421.

SiA/MileA Id/IIa

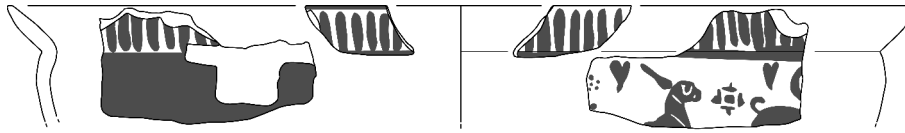
422.

MileA IIa, Bilingue

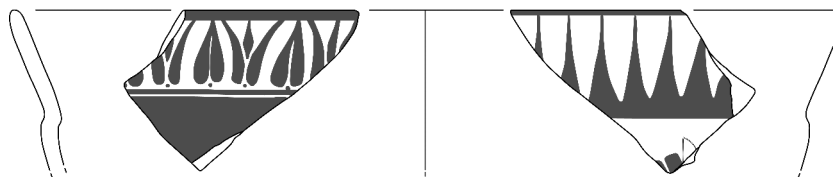
423.



424. Milet, Aphrodite-Heiligtum Z 94.64.26



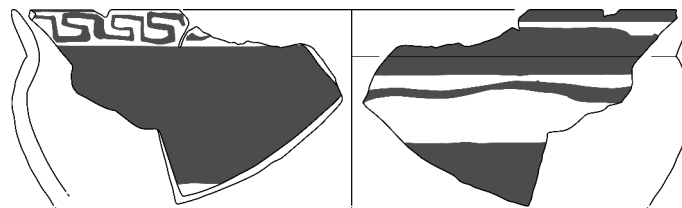
425. Milet, Kalabaktepe K 91.528.14



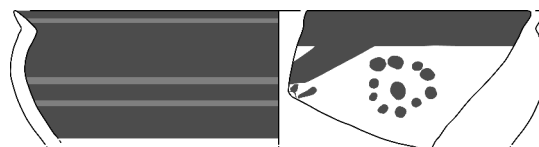
426. Milet, Zeyintepe Z 05.143.13



427. Milet, Aphrodite-Heiligtum Z 05.1.30



428. Milet, Kalabaktepe K 91.137.16



429. Milet, Kalabaktepe K 91.102.19

Typus 9.C, milesisch/ 10.B, südionisch/milesisch

Formvariante

9,1.C 424.–425.

9,2.C 426.

9,3.C 427.

10,2.B 428.

10,13.C 429.

Stilphase

MileA IIa/b

MileA IIa/b (Umfeld des Altenburg-Malers)

MileA IIb

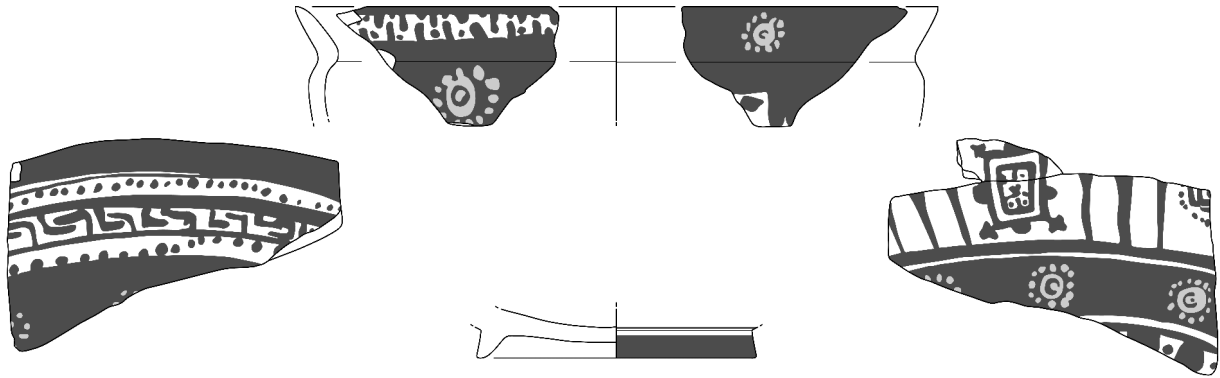
MileA I/II

424.

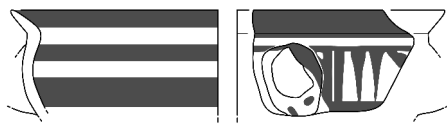
425.

426.–427.

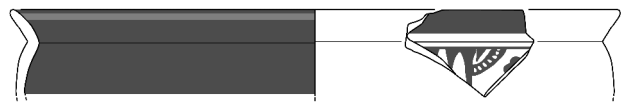
428.–429.



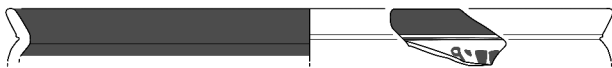
430. Milet, Kalabaktepe K 90.110.1 + K 91.49.9 + K 91.283.5



431. Milet, Kalabaktepe K 91.54.14



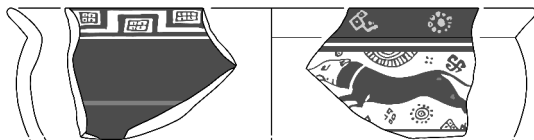
432. Milet, Aphrodite-Heiligtum Z 94.150.13



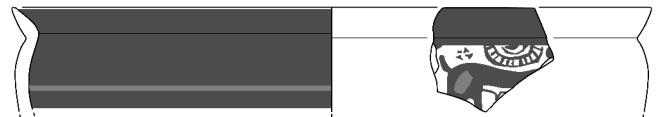
433. Milet, Aphrodite-Heiligtum Z 94.145.89



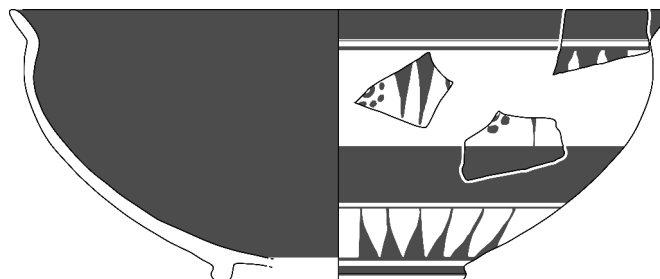
434. Milet, Kalabaktepe K 92.454.4



435. Milet, Kalabaktepe K 91.280.16



436. Milet, Aphrodite-Heiligtum Z 94.246.13



437. Milet, Kalabaktepe K 89.506.23 + K 89.510.19

Typus 10.B, milesisch

Formvariante

10,4.B/11,3.B

10,3.B

10,4.B

10,3.B (Sonderform)

430.

431.; 434.

432.; 435.–437.

433.

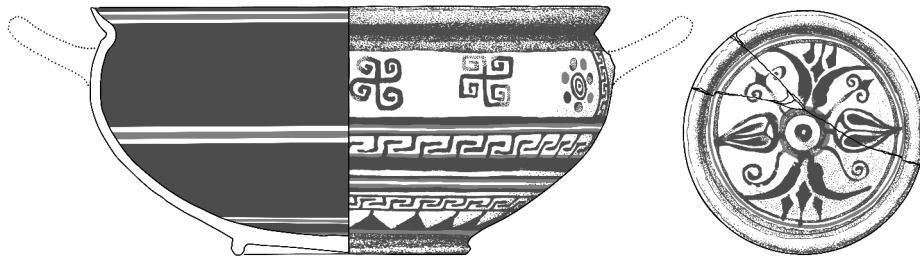
Stilphase

SiA/MileA Ic-d

SiA/MileA Id

430.–435.

436.–437.



438. Milet, Aphrodite-Heiligtum Z 01.15.2 + Z 01.60.2



439. Milet, Aphrodite-Heiligtum
Z 92.120.3 + Z 01.71.32 + Z 01.74.40 + Z 01.75.20 + Z 01.80.33



440. Milet, Aphrodite-Heiligtum
Z 01.15.3 + Z 01.70.2 + Z 02.20.3 + Z 02.56.1

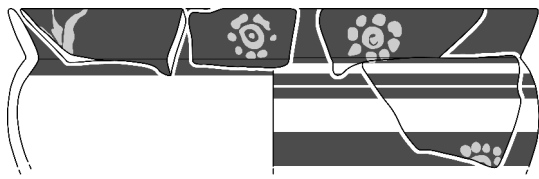
Typus 10.B, milesisch
Formvariante
10,1.B
10,1.B (Sonderform)

438.-439.
440.

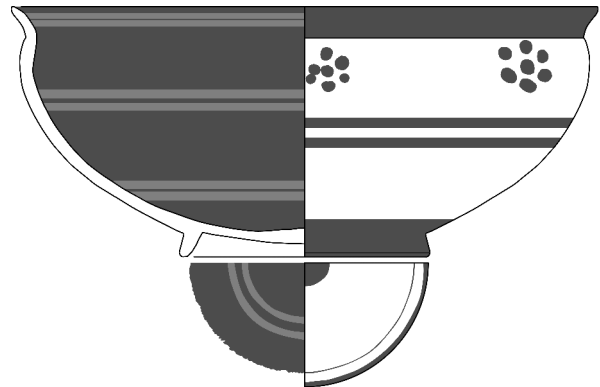
Stilphase

MileA IIa, Bilingue

438.-440.



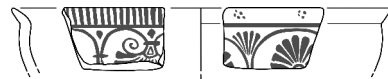
441. Milet, Aphrodite-Heiligtum
Z 94.7.550 + Z 94.53.420 + Z 94.75.158



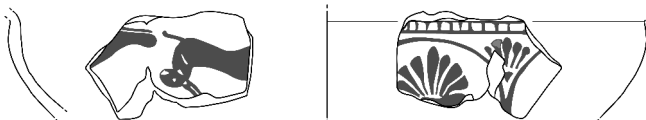
442. Milet, Kalabaktepe K 90.224.10



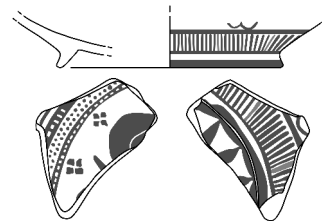
443. Milet, Aphrodite-Heiligtum Z 94.281.101



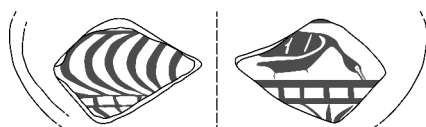
444. Milet, Aphrodite-Heiligtum Z 05.24.28



445. Milet, Aphrodite-Heiligtum Z 94.56.47



446. Milet, Aphrodite-Heiligtum Z 05.24.27



447. Milet, Aphrodite-Heiligtum Z 94.66.15



448. Milet, Aphrodite-Heiligtum Z 94.186.3

Typus 10.B–10.D, milesisch

Formvariante

10,4.B/11,3.B

10,4.B

10,11.C/D

10,10.B/C

441.

442.–443.

444.–446.

448.

Stilphase

MileA IIa

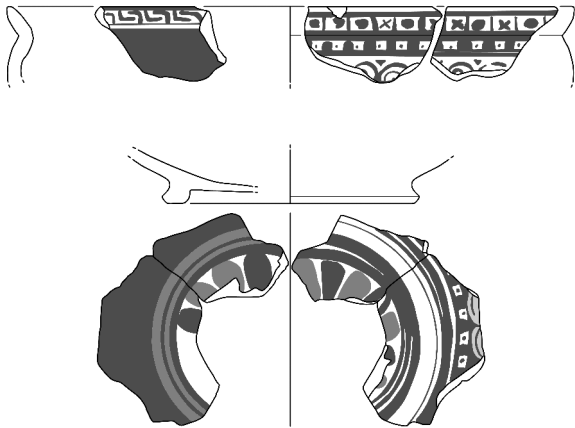
MileA IIa (Ganswürger-Maler?)

MileA IIa-b

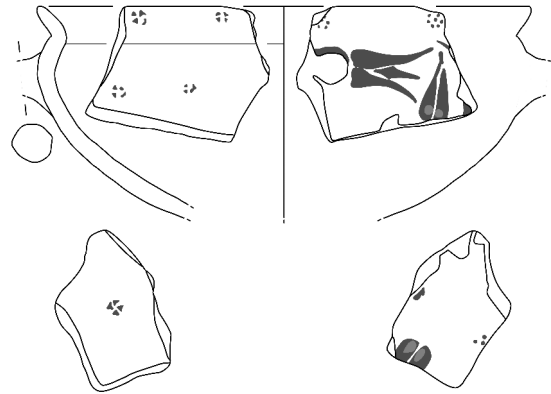
441.–443.

444.–447.

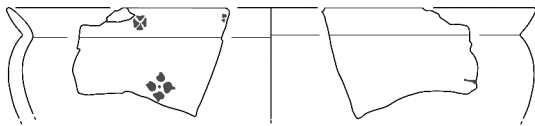
448.



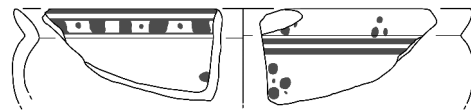
449. Milet, Aphrodite-Heiligtum
Z 94.7.92 + Z 94.7.203 + Z 94.56.32 + Z 94.69.37 + Z 94.261.16



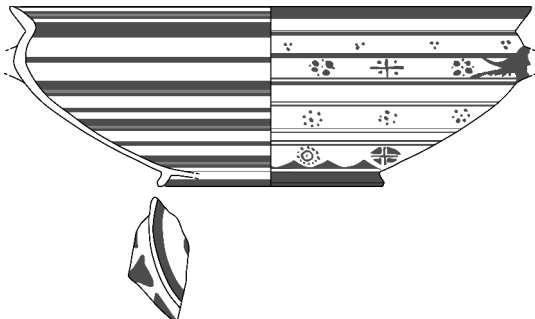
450. Milet, Aphrodite-Heiligtum Z 94.64.28 + Z 94.166.18



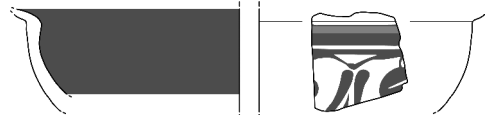
451. Milet, Aphrodite-Heiligtum Z 94.90.21



452. Milet, Aphrodite-Heiligtum Z 94.147.9



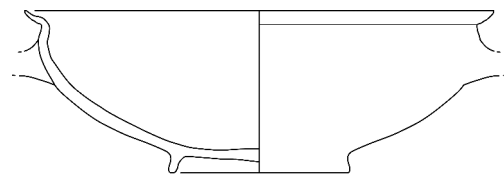
453. Milet, Aphrodite-Heiligtum Z 91.30.4 + Z 91.30.9



454. Milet, Kalabaktepe K 89.506.22



455. Milet, Kalabaktepe K 90.39.14



456. Milet, Kalabaktepe K 92.377.1

Typus 10.B/10.C, milesisch

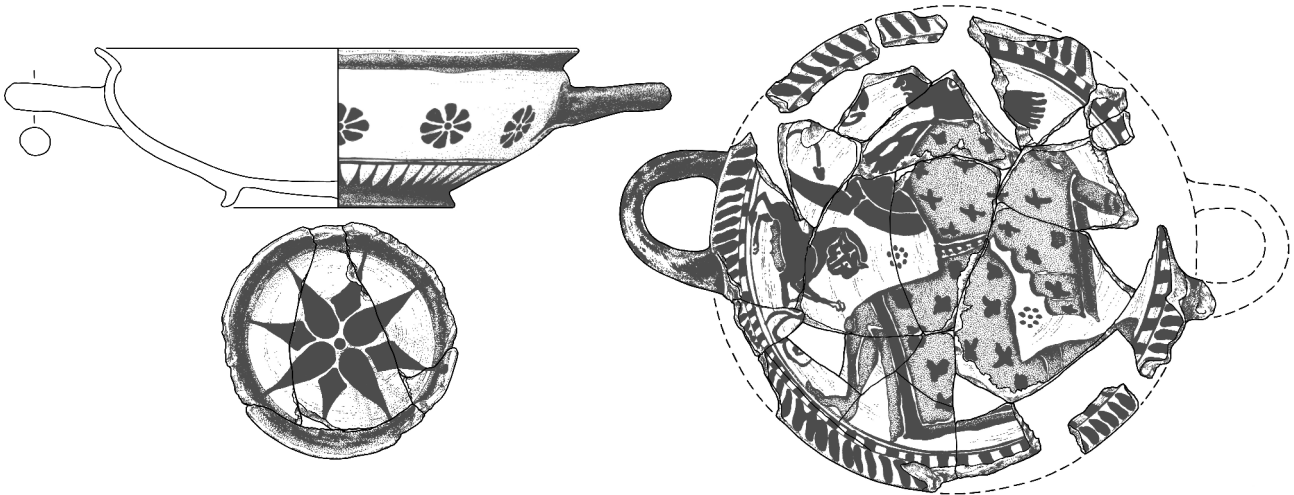
Formvariante

10,3.C	449.–450.
10,10.C	451.–452.
10,11.C	453.
10,13.C	454.–456.

Stilphase

MileA IIa-b
MileA IIb

449.
450.–456.



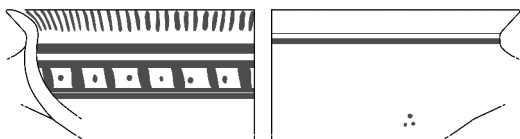
457. Milet, Aphrodite-Heiligtum Z 04.14.64 + Z 04.21.19



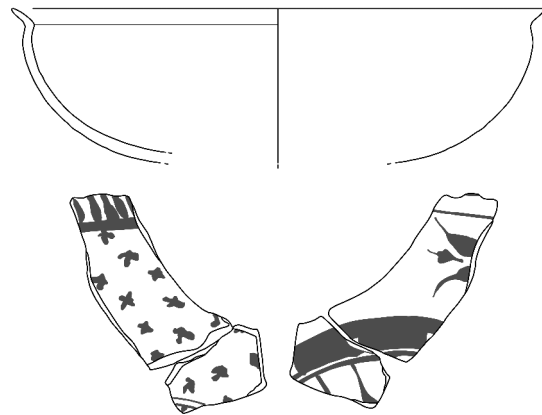
458. Milet, Kalabaktepe K 91.438.13 + K 91.440.16



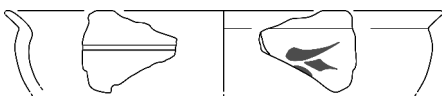
459. Milet, Aphrodite-Heiligtum Z 94.95.170



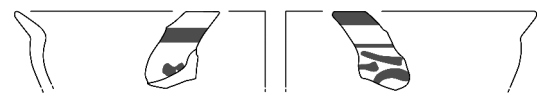
460. Milet, Kalabaktepe K 91.175.3



461. Milet, Aphrodite-Heiligtum
Z 94.8.83 + Z 94.126.47 + Z 94.180.3



462. Milet, Aphrodite-Heiligtum Z 94.236.5



463. Milet, Aphrodite-Heiligtum Z 94.85.1

Typus 10.C/10.D, milesisch

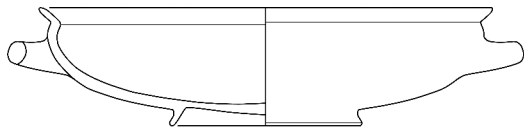
Formvariante

10,11.D 457.
10,11.C 458.–460.
10,11.C/D 461.–463.

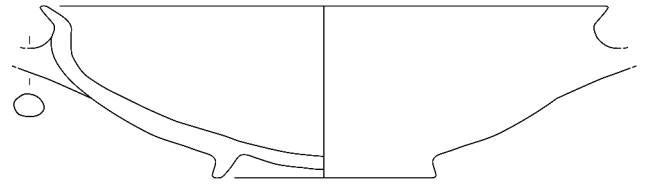
Stilphase

MileA IIb
MileA II

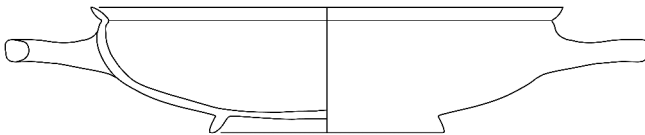
457.
458.–463.



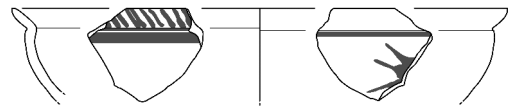
464. Milet, Aphrodite-Heiligtum Z 04.82.39 + Z 04.82.43



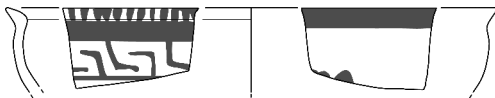
465. Milet, Aphrodite-Heiligtum Z 05.42.13



466. Milet, Aphrodite-Heiligtum Z 04.23.12



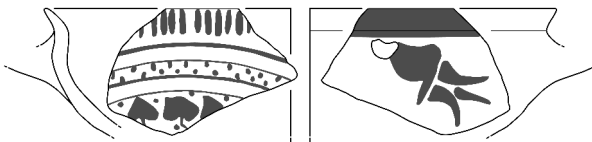
468. Milet, Aphrodite-Heiligtum Z 94.166.19



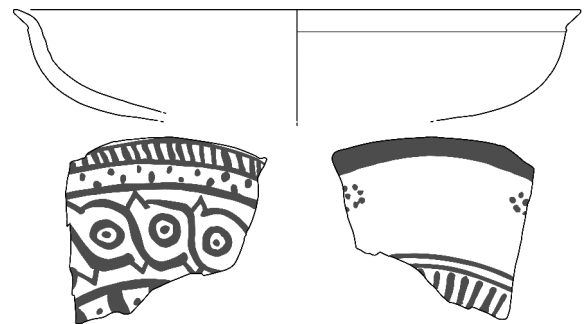
469. Milet, Aphrodite-Heiligtum Z 91.7.5



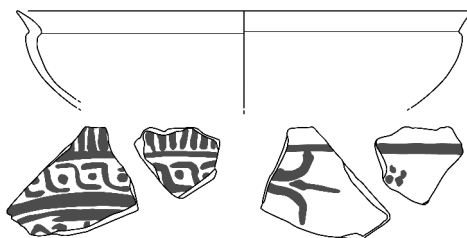
470. Milet, Aphrodite-Heiligtum Z 91.38.162



471. Milet, Kalabaktepe K 93.92.1



472. Milet, Kalabaktepe K 91.139.11



473. Milet, Aphrodite-Heiligtum Z 93.21.83 + Z 93.27.89



474. Milet, Südschnitt S 63.24.1

Typus 10.D, milesisch
Formvariante
10,11.D
10,11.D (Sonderform)

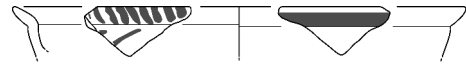
464.–466.; 468.–471.; 474.
472.–473.

Stilphase
MileA II

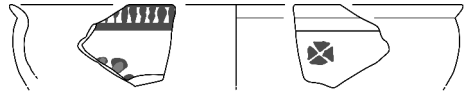
464.–466.; 468.–474.



475. Milet, Aphrodite-Heiligtum Z 94.63.28



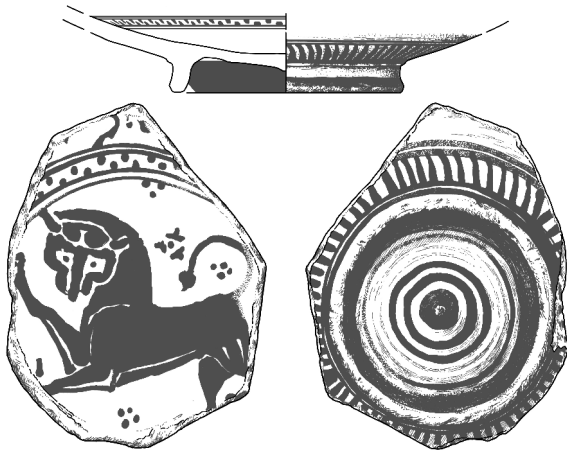
476. Milet, Aphrodite-Heiligtum Z 94.75.112



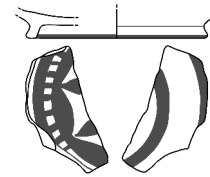
477. Milet, Aphrodite-Heiligtum Z 94.95.68



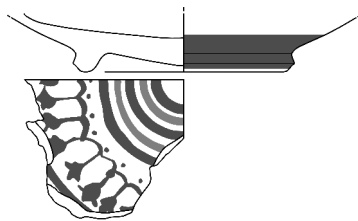
478. Milet, Aphrodite-Heiligtum Z 94.95.171



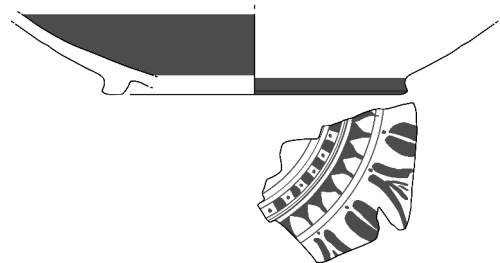
479. Milet, Aphrodite-Heiligtum Z 06.150.155



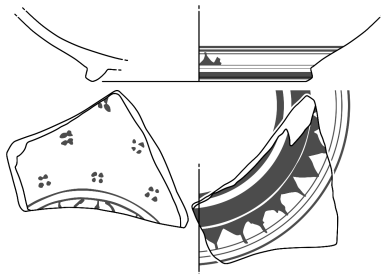
481. Milet, Aphrodite-Heiligtum Z 94.7.101



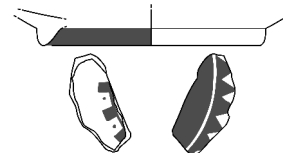
482. Milet, Aphrodite-Heiligtum Z 94.7.187 + Z 94.8.20



483. Milet, Kalabaktepe K 86.62a.4



484. Milet, Aphrodite-Heiligtum Z 94.66.6

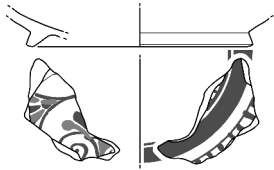


485. Milet, Kalabaktepe K 91.195.13

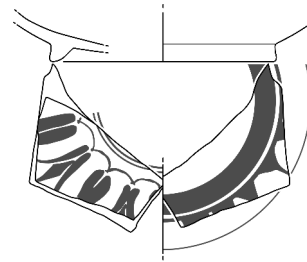
Typus 10.D, milesisch und Füße Typus 10.C/D, milesisch
 Formvariante
 10,13.C/D 475.-478.
 10.C/D? 479.
 10.C 481.-485.

Stilphase
 MileA II
 MileA IIa/b

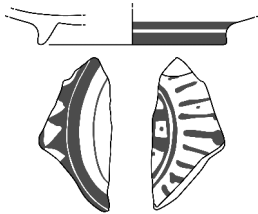
475.-478.; 481.-485.
 479.



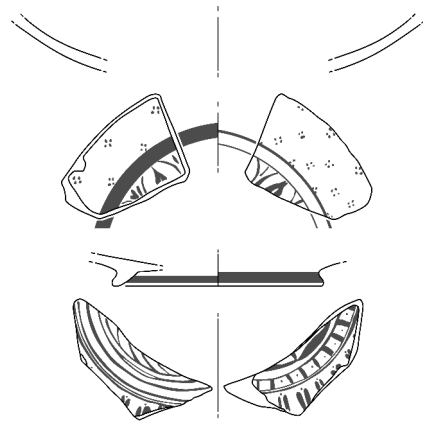
486. Milet, Aphrodite-Heiligtum Z 94.95.15



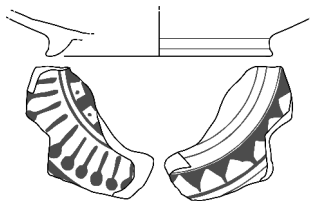
487. Milet, Aphrodite-Heiligtum Z 94.98.7



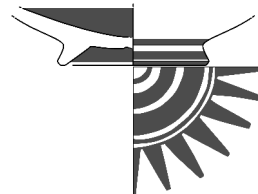
488. Milet, Aphrodite-Heiligtum Z 91.38.160



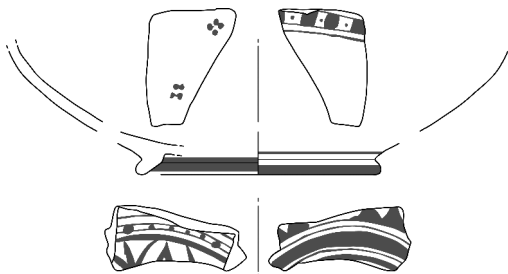
489. Milet, Aphrodite-Heiligtum Z 94.144.11 + Z94.171.12



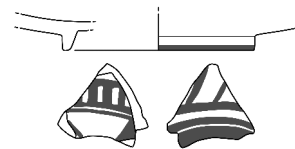
490. Milet, Aphrodite-Heiligtum Z 91.32.15



491. Milet, Kalabaktepe K 89.24.1



492. Milet, Aphrodite-Heiligtum
Z 91.10.2 + Z 91.13.15 + Z 91.30.15



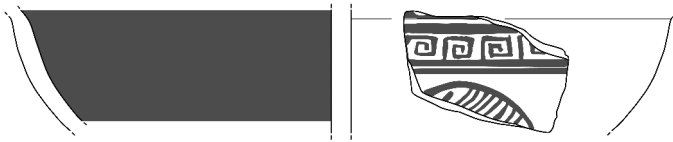
493. Milet, Aphrodite-Heiligtum Z 91.38.161

Typus FüÙe Typus 10.C/D, milesisch
Formvariante
10.C

486.–493.

Stilphase
MileA II

486.–493.



494. Milet, Wiegand-Depot WD.4



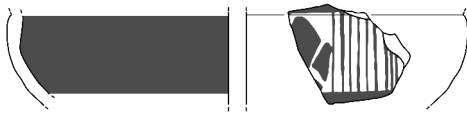
495. Milet, Kalabaktepe K 91.393.6



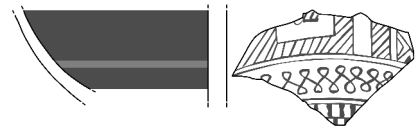
496. Milet, Südschnitt S 66.203.8



497. Milet, Kalabaktepe K 91.539.5



498. Milet, Kalabaktepe K 89.240.4



499. Milet, Kalabaktepe K 92.148.1



500. Milet, Aphrodite-Heiligtum
Z 94.121.1 + Z 94.125.83 + Z 94.229.7



501. Milet, Kalabaktepe K 91.593.2



502. Milet, Kalabaktepe K 93.165.14



503. Milet, Aphrodite-Heiligtum Z 94.67.13



504. Milet, Aphrodite-Heiligtum Z 94.212.7



505. Milet, Kalabaktepe K 92.868.1



506. Milet, Kalabaktepe K 90.463.2



507. Milet, Aphrodite-Heiligtum Z 91.73.24

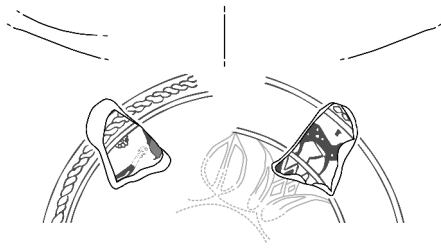
Wandfragmente: Typus nicht eindeutig, milesisch
Formvariante

2-3.B	494.; 496.–499.
2-4.B	495.
3./5.B	500.
3./5.B?	501.–502.
5/8?	503.–504.; 507.
5/6/11?	505.
5/6?	506.

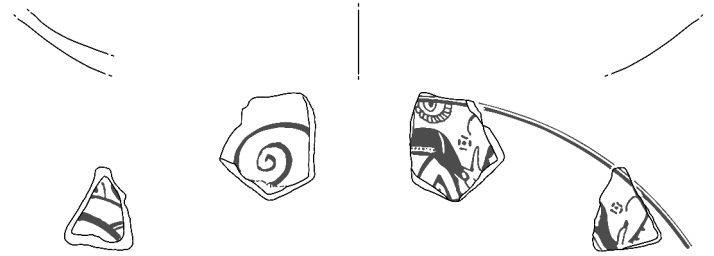
Stilphase

SiG spät	494.–496.
SiG spät/ SiA Ia	497.–498.
SiG spät/ SiA Ib	499.
SiA Ia	500.
SiA Ia-b	501.
SiA Ia-c	502.
SiA Ib-c	503.–507.

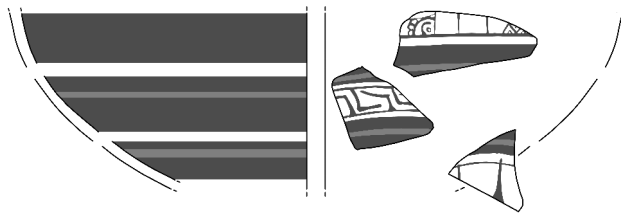
Tafel 82



508. Milet, Aphrodite-Heiligtum Z 94.56.38



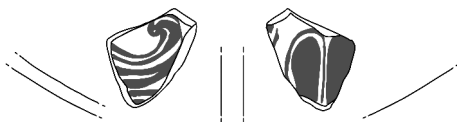
509. Milet, Aphrodite-Heiligtum Z 94.7.106 + Z 94.111.5



510. Milet, Kalabaktepe K 89.501.12



511. Milet, Aphrodite-Heiligtum Z 94.170.33



512. Milet, Kalabaktepe K 85.46.2a



513. Milet, Aphrodite-Heiligtum Z 94.259.24



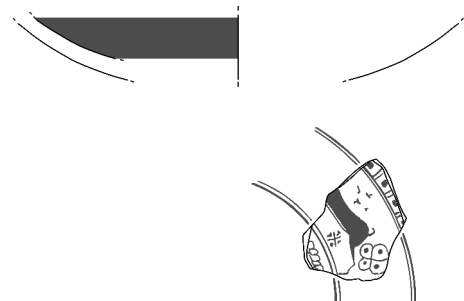
514. Milet, Kalabaktepe K 90.688.1



515. Milet, Aphrodite-Heiligtum Z 94.263.65



516. Milet, Kalabaktepe K 91.313.1



517. Milet, Aphrodite-Heiligtum Z 94.114.106

Wandfragmente: Typus nicht eindeutig, milesisch
Formvariante

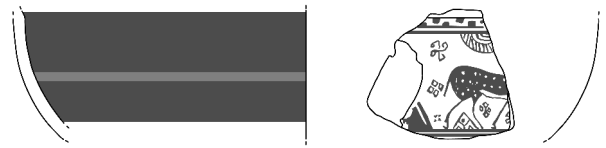
5/8?	508.–509.
5/8/10.B?	510.–511.
5/8/10.?	512.–515.
5/10?	516.–517.

Stilphase
SiA Ib-c
SiA Ic-d
SiA Ic

508.–509.
510.–516.
517.



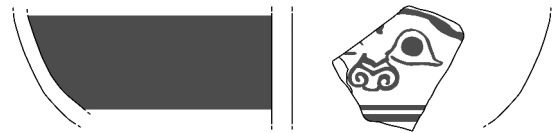
518. Milet, Aphrodite-Heiligtum Z 94.281.121



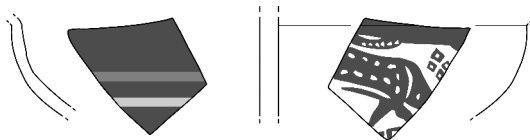
519. Milet, Aphrodite-Heiligtum Z 94.114.128



521. Milet, Aphrodite-Heiligtum Z 94.204.71



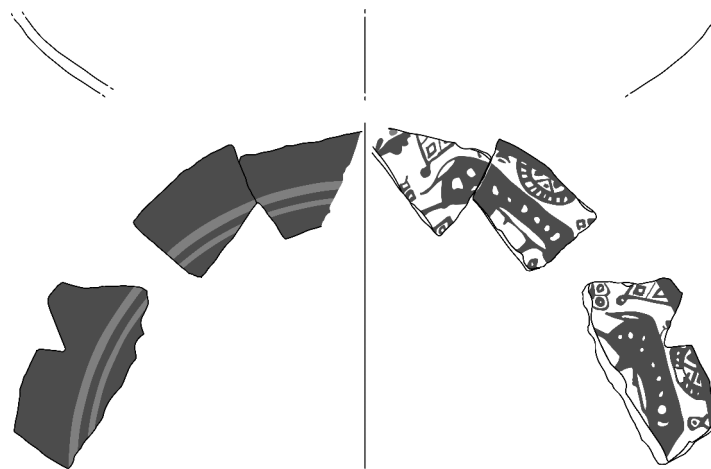
522. Milet, Athena-Heiligtum AT 57.O.III.2,3.1



523. Milet, Kalabaktepe K 91.420.5



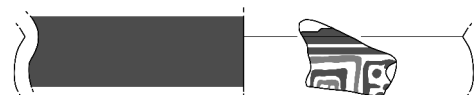
524. Milet, Aphrodite-Heiligtum Z 94.281.147



525. Milet, Aphrodite-Heiligtum
Z 94.7.188 + Z 94.208.16 + Z 94.263.31 + Z 94.286.58



526. Milet, Aphrodite-Heiligtum Z 94.5.36



528. Milet, Aphrodite-Heiligtum Z 94.164.12

Wandfragmente: Typus vornehmlich 10.C?, milesisch
Formvariante

5/10?	518.
5/8/10?	519.
10.B/C?	521.–522.
10.C?	523.–526.; 528.

Stilphase

SiA Ic-d	518.–519.
SiA/MileA Ic-d?/(MileA Ila?)	521.
SiA/MileA Id/(MileA Ila?)	522.
SiA Id	523.–526.
SiA Id/MileA Ila	528.



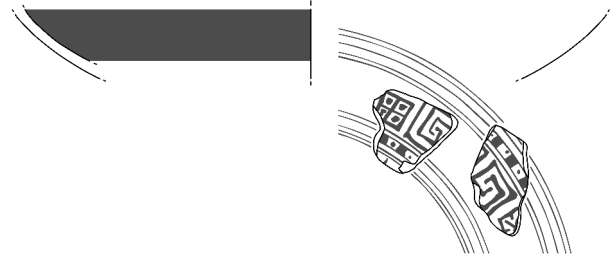
529. Milet, Kalabaktepe K 89.4.17



530. Milet, Aphrodite-Heiligtum Z 94.114.207 + Z 94.148.8



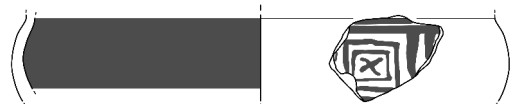
531. Milet, Aphrodite-Heiligtum Z 94.7.443 + Z 94.174.7



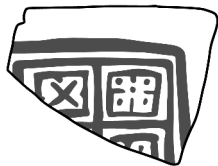
532. Milet, Aphrodite-Heiligtum Z 94.7.204 + Z 94.7.205



533. Milet, Aphrodite-Heiligtum Z 94.163.17



534. Milet, Aphrodite-Heiligtum Z 94.197.4



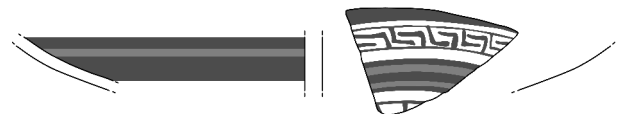
535. Milet, Kalabaktepe K 90.497.15



536. Milet, Kalabaktepe K 89.480.2



537. Milet, Kalabaktepe K 91.524.2



538. Milet, Kalabaktepe K 91.34.5



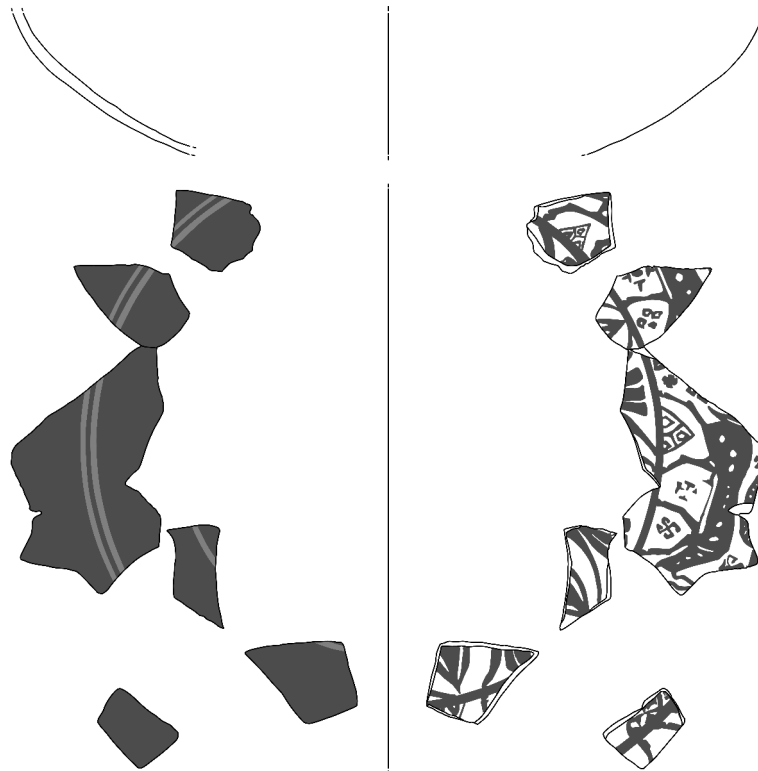
539. Milet, Aphrodite-Heiligtum Z 94.26.8



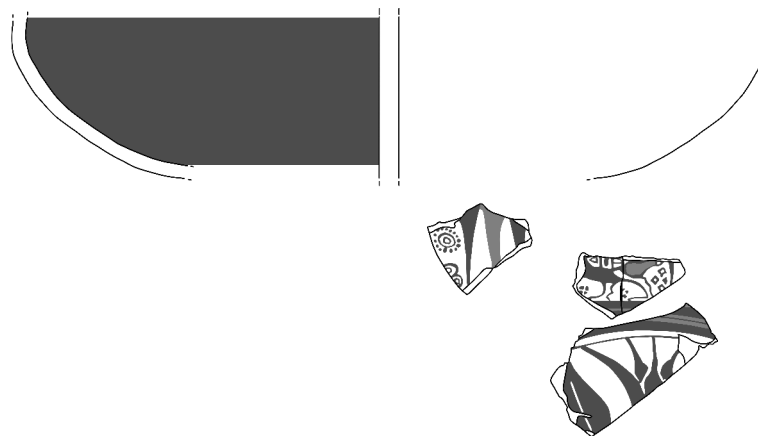
540. Milet, Kalabaktepe K 89.462.7

Wandfragmente: Typus vornehmlich 10.C?, milesisch
 Formvariante
 10.C? 529.–538.
 10.B/C? 539.
 9.C? 540.

Stilphase
 SiA Id/MileA IIa 529.–540.



541. Milet, Aphrodite-Heiligtum
 Z 94.8.5 + Z 94.263.65 + Z 94.269.8 + Z 94.270.70 +
 Z 94.270.73



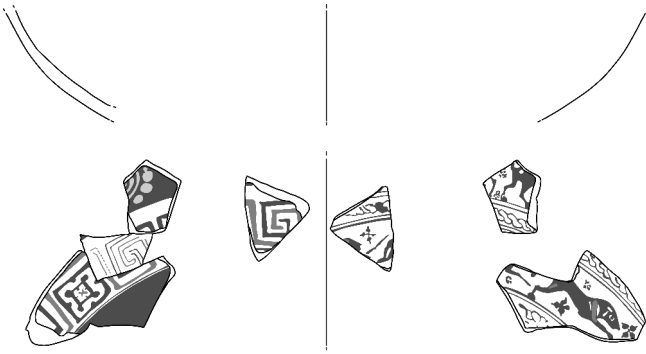
542. Milet, Kalabaktepe K 90.725.1 + K90.725.2

Wandfragmente: Typus vornehmlich 9.C/10.C?, milesisch
 Formvariante
 9.C/10.C?

541.–542.

Stilphase
 MileA IIa, Bilingue

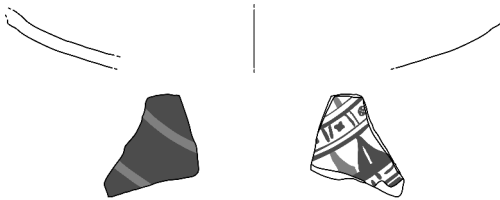
541.–542.



543. Milet, Aphrodite-Heiligtum
Z 94.14.63 + Z 94.52.2 + Z 94.68.17



544. Milet, Aphrodite-Heiligtum Z 94.221.10



545. Milet, Aphrodite-Heiligtum Z 94.202.48



546. Milet, Aphrodite-Heiligtum Z 94.14.134



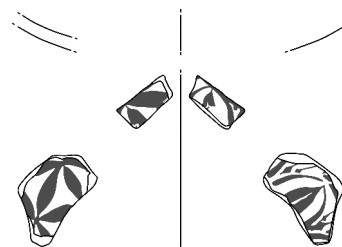
547. Milet, Aphrodite-Heiligtum Z 91.86.37



548. Milet, Aphrodite-Heiligtum Z 94.227.11



549. Milet, Aphrodite-Heiligtum Z 94.256.12



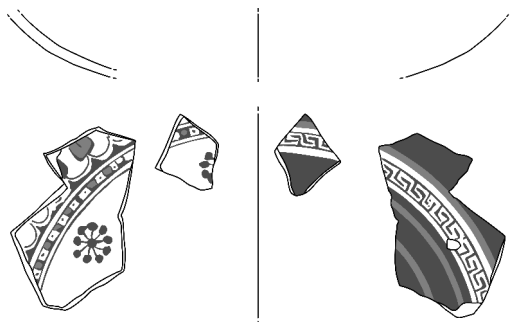
551. Milet, Aphrodite-Heiligtum Z 94.102.11 + Z 94.115.4

Wandfragmente: Typus vornehmlich 9./10.B./C?, milesisch
Formvariante

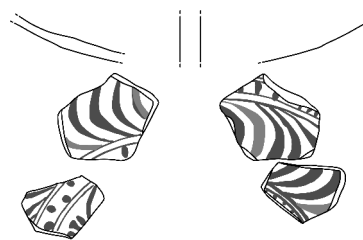
9.C?	543.
9.C/10.C?	544.–545.
10.B?	546.
10.B/C?	547.–548.
9./10.B/C?	549.; 551.

Stilphase

MileA IIa, Bilingue	543.
MileA IIa	544.
MileA IIa, (Bilingue?)	545.
MileA IIa-b	546.–547.
MileA IIa-b, Blüten-Typus A	548.–549.; 551.



552. Milet, Aphrodite-Heiligtum Z 94.53.104 + Z 94.127.84



553. Milet, Aphrodite-Heiligtum Z 93.27.84 + Z 93.36.9



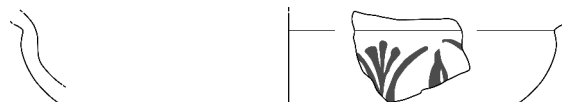
554. Milet, Kalabaktepe K 90.577.3



555. Milet, Aphrodite-Heiligtum Z 94.61.42 + Z 94.69.92



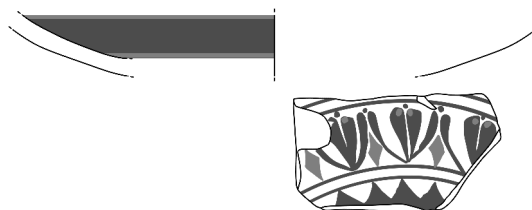
556. Milet, Kalabaktepe K 89.496.3



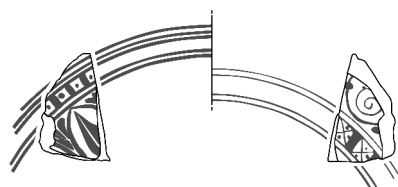
557. Milet, Aphrodite-Heiligtum Z 94.99.62



558. Milet, Aphrodite-Heiligtum Z 94.95.101



559. Milet, Aphrodite-Heiligtum Z 94.202.1



560. Milet, Aphrodite-Heiligtum Z 94.197.29



561. Milet, Aphrodite-Heiligtum Z 94.185.50



562. Milet, Aphrodite-Heiligtum Z 91.95.2



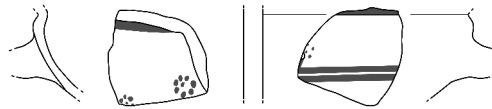
564. Milet, Kalabaktepe K 90.31.1

Wandfragmente: Typus vornehmlich 9./10.B./C?, milesisch
Formvariante

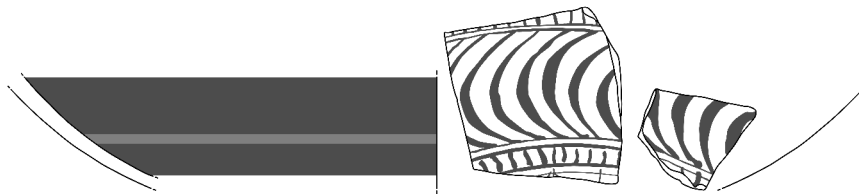
9./10.C?	552.–553.; 558.–559.; 561.–562.; 564.
9.C?	554.
10.B/C?	555.
9./10.B/C?	557.

Stilphase

MileA IIa-b	552.
MileA IIa-b, Blüten-Typus B	553.–556.
MileA II, Blüten-Typus B	557.–558.; 560.–561.
MileA II, Blüten-Typus C	559.
MileA II	562.–564.



565. Milet, Aphrodite-Heiligtum Z 91.38.159



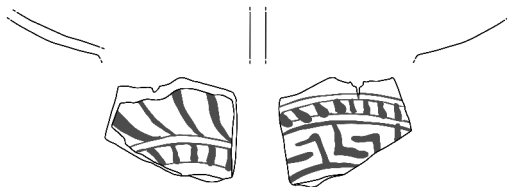
566. Milet, Aphrodite-Heiligtum Z 93.21.90 + Z 93.37.74



567. Milet, Aphrodite-Heiligtum Z 94.67.10



568. Milet, Athena-Heiligtum AT 55.54.1



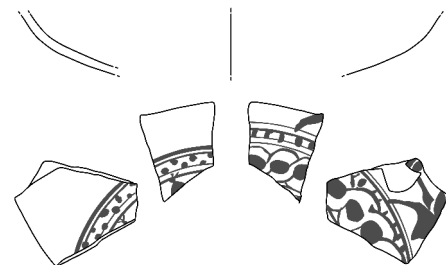
569. Milet, Athena-Heiligtum AT 68.O.I.1



570. Milet, Aphrodite-Heiligtum Z 94.7.104



571. Milet, Kalabaktepe K 91.200.2

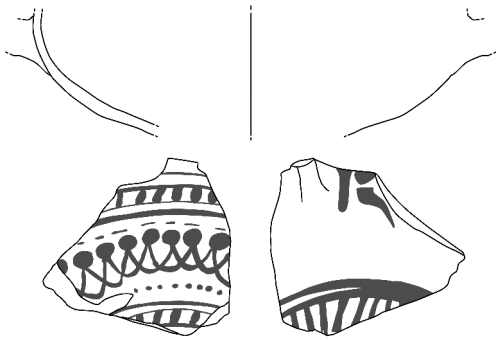


572. Milet, Aphrodite-Heiligtum Z 94.51.28 + Z 94.184.4

Wandfragmente: Typus vornehmlich 9./10.B./C?, milesisch
 Formvariante
 10.C? 565.; 569.
 9./10.C? 566.–568.; 570.
 9./10.B./C? 572.

Stilphase
 MileA II

565.–572.



573. Milet, Kalabaktepe K 95.14.3



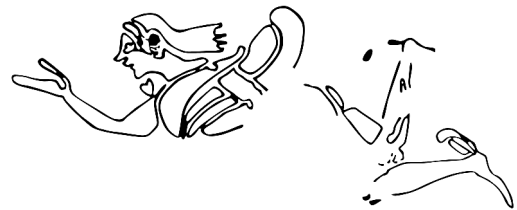
574. Milet, Kalabaktepe K 89.215.2



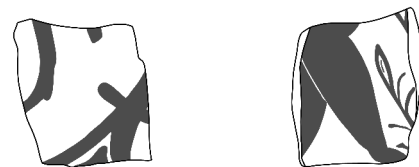
575. Milet, Aphrodite-Heiligtum Z 94.234.16+ Fig. vom Stamnos aus Histria



576. Milet, Kalabaktepe K 92.165.3+ Fig. Heraion-Schale, Samos



577. Milet, Aphrodite-Heiligtum Z 94.126.13 + Z 94.130.67



578. Milet, Aphrodite-Heiligtum Z 91.19.9



579. Milet, Kalabaktepe K 91.414.16



580. Milet, Aphrodite-Heiligtum Z 91.95.3

Wandfragmente: Typus vornehmlich 9./10.B./C?, milesisch

Formvariante

10.C?

9./10.B/C?

9.C?

9./10.B?

573.

575.

576.

577.

Stilphase

MileA II

MileA IIa

MileA II (Laufender Satyr-Maler)

MileA II (Umfeld Gorgoneion-Maler)

573.; 577.–580.

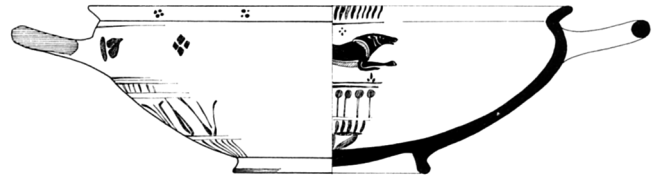
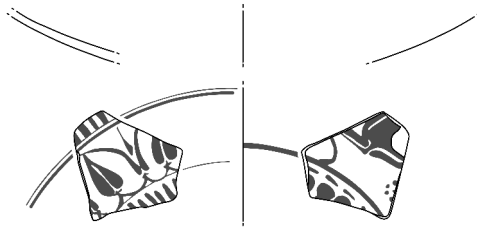
574.

575.

576.



581. Milet, Aphrodite-Heiligtum Z 93.33.120



582. Milet, Aphrodite-Heiligtum Z 94.126.15 + Heraion von Samos K 3938



584. Milet, Aphrodite-Heiligtum Z 93.21.65



585. Milet, Aphrodite-Heiligtum Z 94.45.12



586. Milet, Kalabaktepe K 91.175.2



587. Milet, Kalabaktepe K 89.313.5



588. Milet, Aphrodite-Heiligtum Z 91.38.155



589. Milet, Aphrodite-Heiligtum Z 94.98.9



590. Milet, Aphrodite-Heiligtum Z 94.98.10



591. Milet, Kalabaktepe/ Aphrodite-Heiligtum

Wandfragmente: Typus vornehmlich 9./10.B./C?, milesisch

Formvariante

10.C?

9./10.C?

10.B?

9,1-3.C

582.; 589.–590.

584.; 587.

585.

591.

Stilphase

MileA II

MileA II (Nordtor-Maler)

MileA IIb

MileA II (Umfeld Altenburg-Maler)

MileA II, Sondergruppe Kleinmeister (?)

581.; 584.–585.; 588.–590.

582.

586.

587.

591.



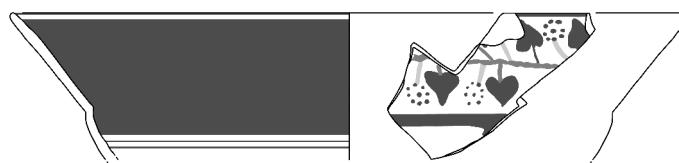
592. Milet, Aphrodite-Heiligtum Z 91.38.139



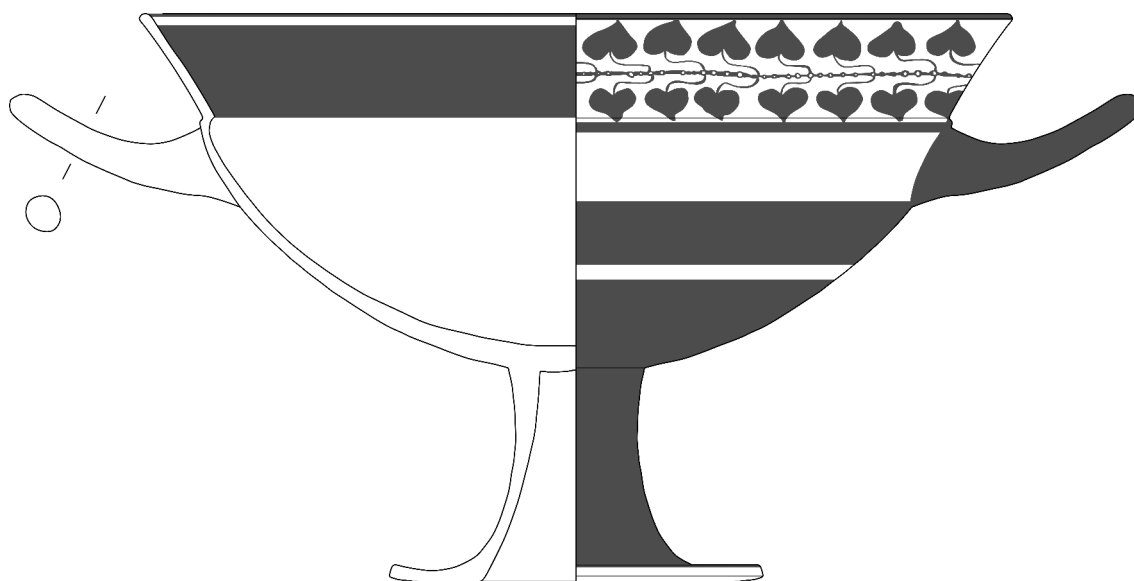
593. Milet, Aphrodite-Heiligtum Z 91.38.140



594. Milet, Aphrodite-Heiligtum Z 94.125.43



595. Milet, Aphrodite-Heiligtum Z 94.14.79 + Z 94.141.17



596. Italien, Paris, Musee du Louvre F 68



597. Milet, Aphrodite-Heiligtum Z 91.52.8

Typus 9,1-3., milesisch

Formvariante

9,1-3.C

9,2-3.C

9,3.C

592.-593.

594.

595.-597.

Stilphase

MileA II, Sondergruppe Kleinmeister (?)

MileA II, Sondergruppe Ionische Kleinmeisterschale

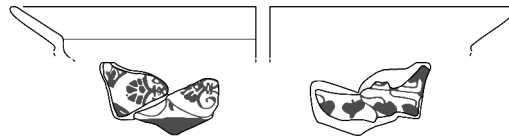
MileA II, Sondergruppe Ionische

Kleinmeisterschale (Maler der Weinbergschale)

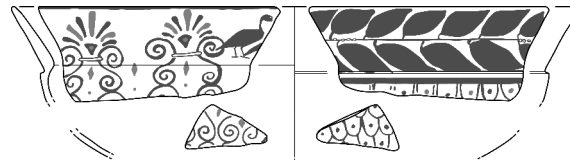
592.-593.

594.-595.

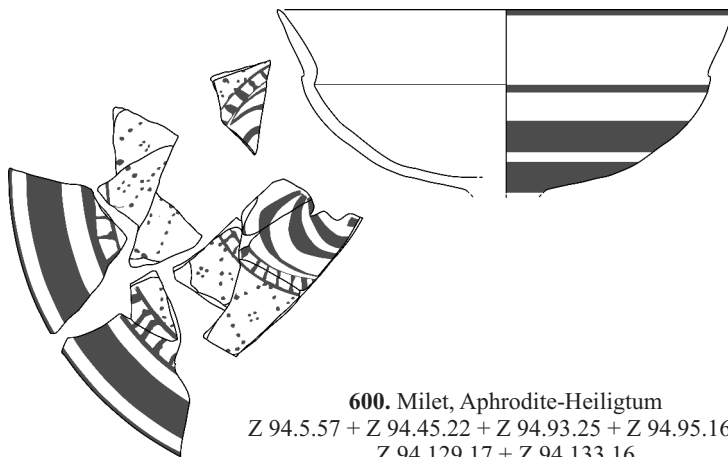
596.-597.



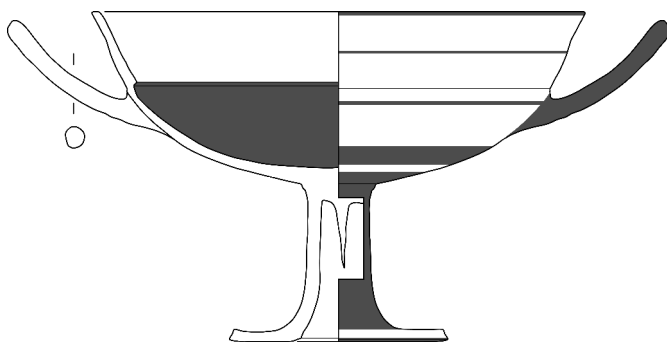
598. Milet, Aphrodite-Heiligtum Z 94.164.17 + Z 94.164.18



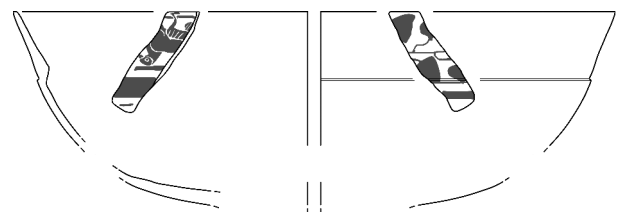
599. Milet, Aphrodite-Heiligtum
Z 93.33.84 + Z 94.44.56 + Z 94.95.182 + Z 94.148.16 +
Z 94.209.8



600. Milet, Aphrodite-Heiligtum
Z 94.5.57 + Z 94.45.22 + Z 94.93.25 + Z 94.95.168 +
Z 94.129.17 + Z 94.133.16



601. Italien, Wien, Kunsthistorisches Museum IV 3579



602. Milet, Aphrodite-Heiligtum
Z 93.27.47 + Z 94.8.89 + Z 94.13.36 + Z 94.215.3

Typus 9,1-3./9,4., milesisch

Formvariante

9,3.D Sonderform/Miniaturistisch 598.; 600.

9,3.C/D Sonderform/Miniaturistisch 599.

9,4.D Sonderform/Miniaturistisch 601.–602.

Stilphase

MileA II, Sondergruppe Ionische

Kleinmeisterschale (Maler der musizierenden Satyrn) 598.

MileA II, Sondergruppe Ionische Kleinmeisterschale 599.–600.

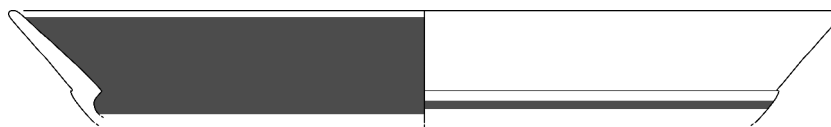
MileA II, Sondergruppe Ionische Kleinmeisterschale
(Maler der Wiener Hirschjagd-Schale) 601.–602.



603. Samos, Museum Vathy K 60 + K 905



604. Samos, Hera-Heiligtum K 1383 + K 1419 + K 1956



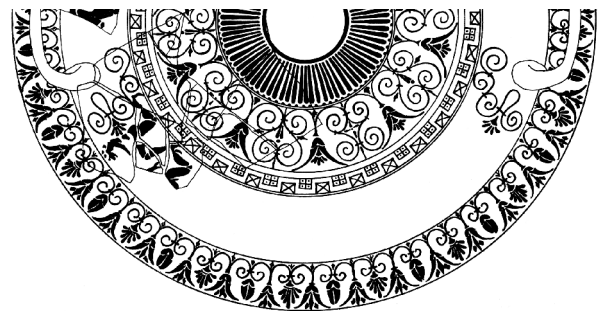
605. Samos, Hera-Heiligtum K 908



606. Milet, Aphrodite-Heiligtum Z 94.95.99



607. Milet, Kalabaktepe K 89.436.3 + Heraion-Schale, Samos



608. Milet, Aphrodite-Heiligtum Z 94.7.189

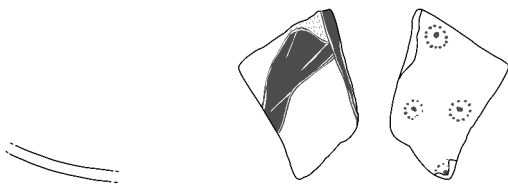
Typus 9,4./ 9,1-4., milesisch
Formvariante
9,4.C/D
9,4.D
9,1-4.C/D?

603.
604.-605.
606.-608.

Stilphase

MileA II, Sondergruppe Ionische Kleinmeisterschale (Löwen-Maler)
MileA II, Sondergruppe Ionische Kleinmeisterschale (Widder-Maler)
MileA II, Sondergruppe Ionische Kleinmeisterschale (Gorgoneion-Maler)

603.
604.-605.
606.; 608.
607.



609. Milet, Aphrodite-Heiligtum Z 94.64.32



609. Milet, Aphrodite-Heiligtum Z 94.174.3



609. Milet, Aphrodite-Heiligtum Z 94.223.9



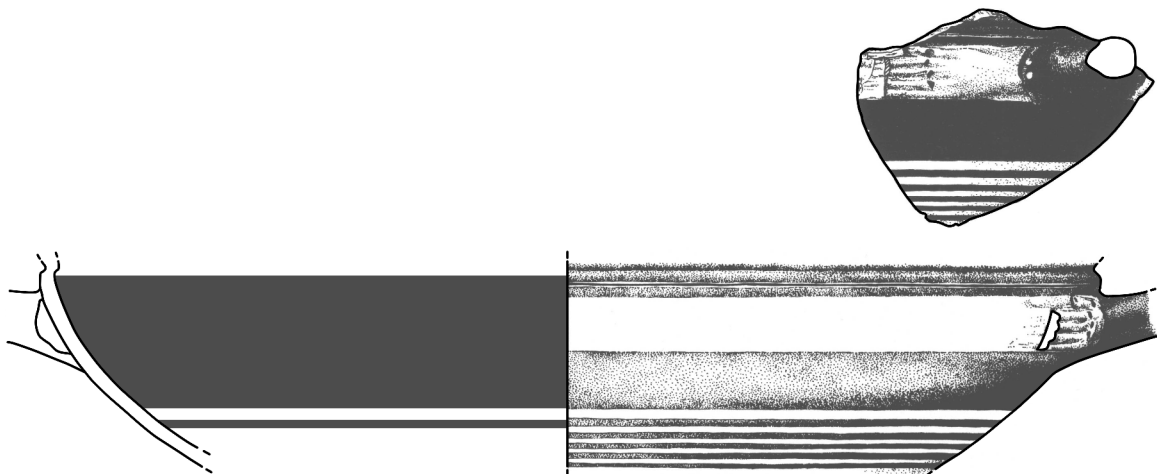
609. Milet, Aphrodite-Heiligtum Z 94.233.3



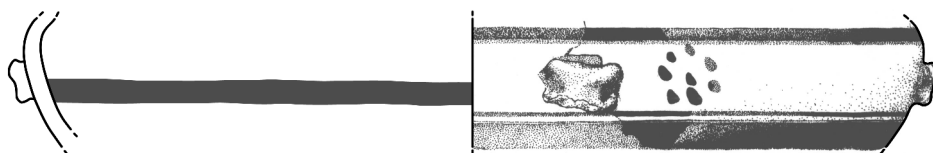
609. Milet, Aphrodite-Heiligtum Z 94.269.4



610. Milet, Aphrodite-Heiligtum Z 94.296.1



611. Milet, Aphrodite-Heiligtum Z 92.88.14



612. Milet, Aphrodite-Heiligtum Z 01.74.14

Typus 9,1-4./ 9,2-3., milesisch
Formvariante
9,1-4.D?
9,2-3.C

609.-610.
611.-612.

Stilphase
MileA II, Sondergruppe Ionische Kleinmeisterschale
MileA II, Variante Ionische Kleinmeisterschale
mit Applikation

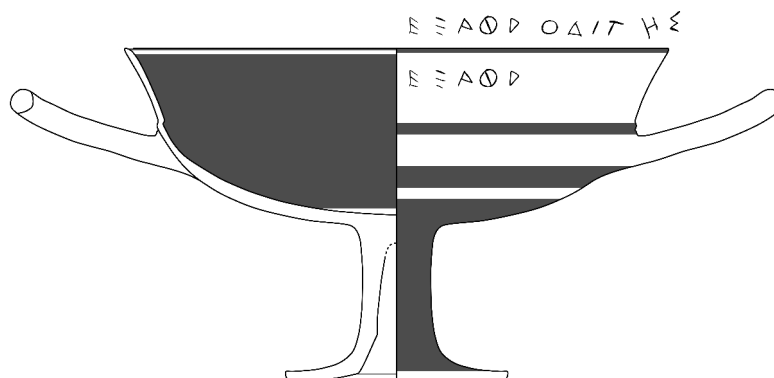
609.-610.
611.-612.



614. Milet, Aphrodite-Heiligtum Z 05.6.103
(mit Anpassungen aus Z 05.49; Z 05.66)



615. Milet, Aphrodite-Heiligtum Z 03.11.14



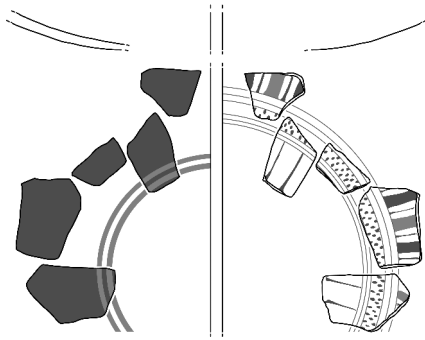
616. Milet, Aphrodite-Heiligtum Z 05.12.18

Typus Ionische Bandschale/ 9,4, milesisch, attisch/ Attische Randschale, attisch
Formvariante

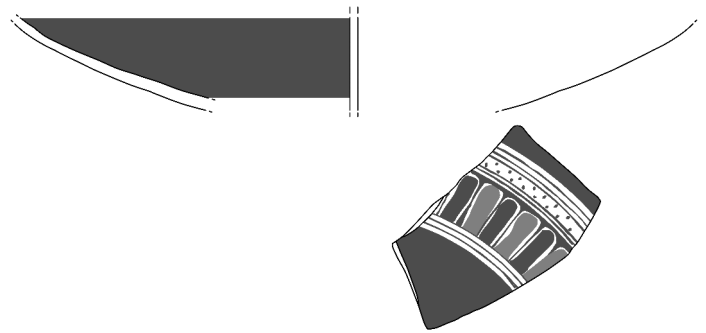
Ionische Bandschale 614.
9,4.D (= Attische Randschale) 615.
9,3.D (= Attische Randschale) 616.

Stilphase

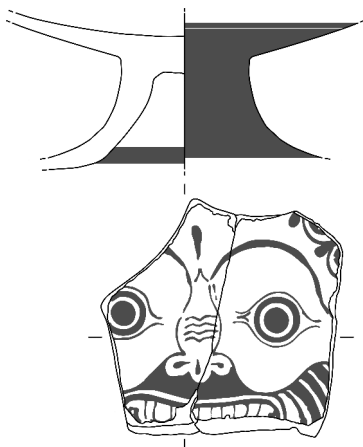
MileA II, Variante Ionische Kleinmeisterschale 614.
AtheA II, Ionische Kleinmeisterschale attischer
Provenienz 615.
Attisch Schwarzfirnis 616.



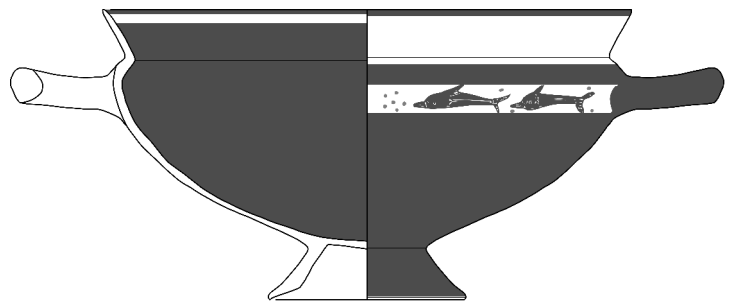
617. Milet, Aphrodite-Heiligtum
Z 94.7.95 + Z 94.7.185 + Z 94.44.20 + Z 94.169.14 +
Z 94.276.15



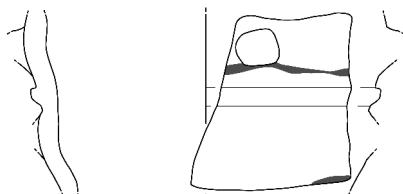
618. Milet, Aphrodite-Heiligtum Z 94.7.103 + Z 94.7.112



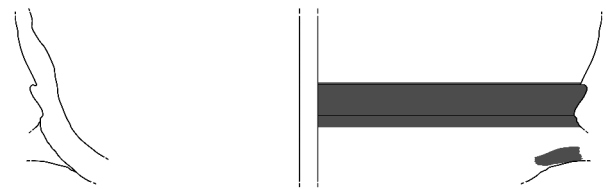
619. Milet, Aphrodite-Heiligtum Z 02.34.10



620. Bochum, Kunstsammlung S 1002



621. Milet, Aphrodite-Heiligtum Z 94.7.96



622. Milet, Aphrodite-Heiligtum Z 94.300.10

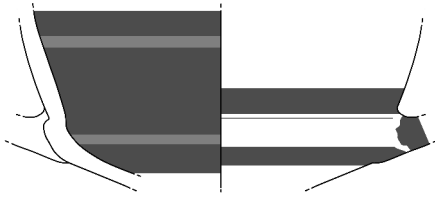
Typus Kleinmeisterschale, attisch, lakonisch, großgriechisch; Typus Mehrfachschale, milesisch
Formvariante

9,1.C Lakonische Randschale;
Stibbe 1972, Formgruppen IV-V
9,1.C
10.C; Sonderform, Stapelschale
10.D; Sonderform, Stapelschale

619.
620.
621.
622.

Stilphase/ Dekorvariante
Attische Kleinmeisterschale (?) / Schwarzfigurig
Art des Naukratis-Malers
KataA II, Ionische Kleinmeisterschale
sizilischer Provenienz (Katane)
m.

617.–618.
619.
620.
622.



623. Milet, Aphrodite-Heiligtum Z 94.64.40



624. Milet, Aphrodite-Heiligtum
Z 94.63.29+36 + Z 94.64.7+35+38 + Z 94.66.13 +
Z 94.74.20

Typus Sonderform Kelch, milesisch
Formvariante
Sonderform Kelch

623.–624.

Stilphase/ Dekorvariante
k./l.
MileA II

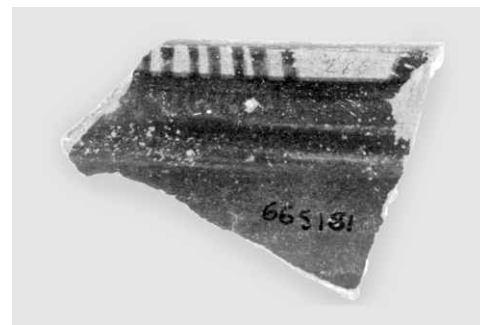
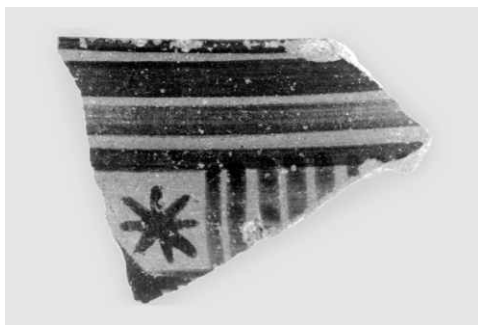
623.
624.



3. Samos, Hera-Heiligtum K 6526



4. Samos, Hera-Heiligtum K 6527



5. Milet, Südschnitt S 66.181.1



7. Milet, Kalabaktepe K 89.493.17

Typus 1
Formvariante
1,2.A
1,2.B

3.-4.; 5.
7.

Dekorvariante
b.

3.-4. 5.; 7.



13. Milet, Kalabaktepe K 92.51.4



16. Milet, Kalabaktepe K 92.51.3



17. Milet, Kalabaktepe K 91.440.14



21. Milet, Kalabaktepe K 92.81.1

Typus 1
Formvariante
1,2.-4.A/B
1,2.A
1,2.B
1,3.B

13.
16.
17.
21.

Dekorvariante
b.
c.

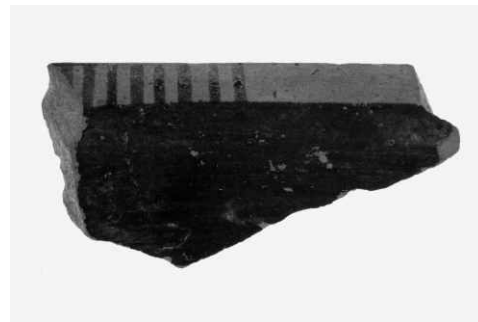
13.
16.-17.; 21.



25. Milet, Kalabaktepe K 89.139.3



26. Milet, Athena-Heiligtum AT 55.KA 27a.4



27. Milet, Kalabaktepe K 93.180.1



28. Milet, Kalabaktepe K 90.424.4

Typus 1

Formvariante

1,2.A (Euböisch)

25.

1,1.A (Attisch)

26.

1,2.A (Attisch)

27.–28.

Dekorvariante

a.

25.; 27.

b.

26.; 28.



29. Milet, Kalabaktepe K 90.252.125



30. Milet, Kalabaktepe K 89.514.36



31. Milet, Kalabaktepe K 91.211.5



32. Milet, Kalabaktepe K 88.180.6

Typus 1

- Formvariante
- 1,2.B (Attisch)
- 2,1.B
- 2,2.B

- 29.
- 30.–31.
- 32.

Dekorvariante

- b.
- c.

- 29.–31.
- 32.



33. Milet, Kalabaktepe K 92.655.1



34. Milet, Kalabaktepe K 93.552.1



35. Milet, Kalabaktepe K 92.30.2



37. Milet, Kalabaktepe K 92.269.11

Typus 1
Formvariante
2,2.B

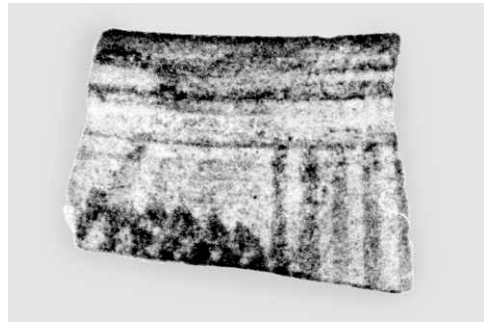
33.–35.; 37.

Dekorvariante
b.
b. (?)

33.–35.
37.



38. Samos, Hera-Heiligtum K 5614



39. Milet, Kalabaktepe K 90.607.31



40. Samos, Hera-Heiligtum K 2635



41. Milet, Kalabaktepe K 93.252.14



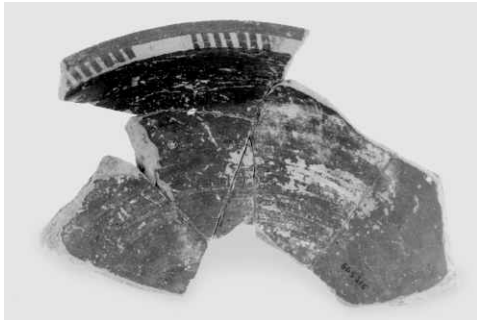
42. Milet, Athena-Heiligtum AT 55.74.3

Typus 1
Formvariante
2,3.A
2,3.B
2,4.B

38.
39.–41.
42.

Dekorvariante
a.
c.
c.–d.

38.; 42.
39.–40.
41.



44. Milet, Südschnitt S 66.215.3



46. Milet, Athena-Heiligtum AT 68.2.1



48. Milet, Kalabaktepe K 93.165.10



51. Samos, Hera-Heiligtum K 2368



52. Samos, Hera-Heiligtum K 5384



53. Samos, Hera-Heiligtum K 5248



54. Samos, Hera-Heiligtum K 2103

Typus 1–Typus 3

Formvariante

2,4.B

1./3.A

3,1.B

44.; 46.; 48.

51.–53.

54.

Dekorvariante

c.

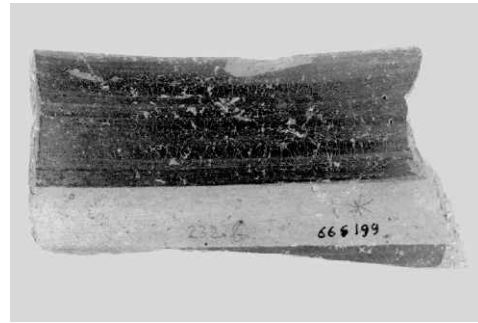
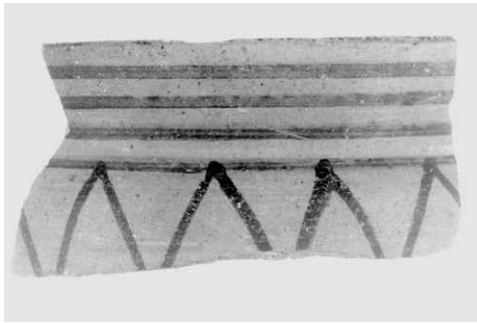
d.

b.

44.; 46.; 52.–54.

48.

51.



58. Milet, Südschnitt S 66.129.3



59. Samos, Hera-Heiligtum K 6750



60. Milet, Aphrodite-Heiligtum Z 94.114.348



61. Samos, Hera-Heiligtum K 2016



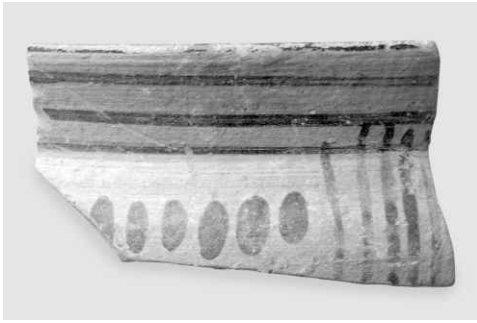
62. Milet, Kalabaktepe K 93.166.2

Typus 3
Formvariante
3,1.B
3,2.B
3,2.A

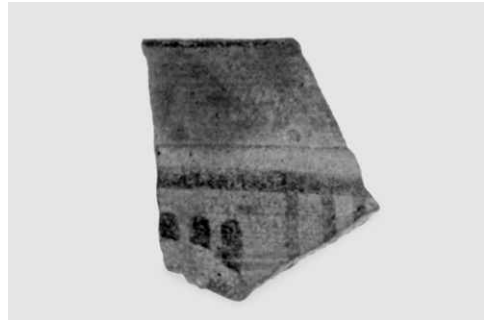
58.–59.
60.; 62.
61.

Dekorvariante
d.
c.
b.

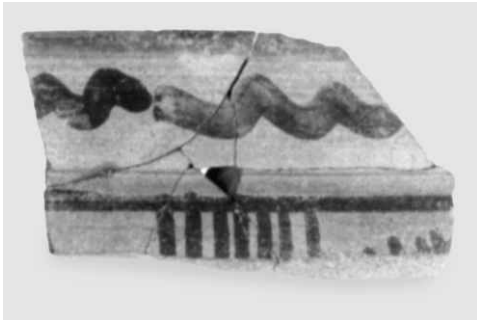
58.
59.–60.; 62.
61.



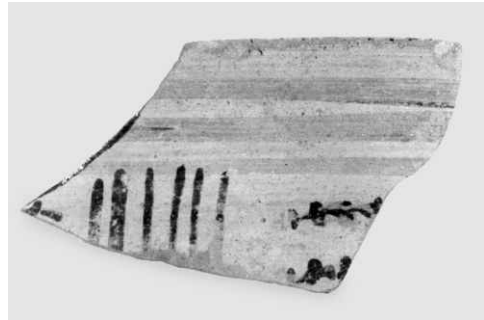
63. Samos, Hera-Heiligtum K 2036



64. Milet, Kalabaktepe K 93.507.3



71. Milet, Kalabaktepe K 90.222.9



72. Milet, Kalabaktepe K 93.110.8



73. Milet, Athena-Heiligtum AT 57.N.96.2



74. Milet, Kalabaktepe K 92.490.33

Typus 3–Typus 4
Formvariante
3,2.B
3,3.B
4,1.B

63.–64.
71.–72.
73.–74.

Dekorvariante
c.
d.

63.–64.; 71.–72.
73.–74.



76. Milet, Kalabaktepe K 92.422.6



77. Milet, Aphrodite-Heiligtum Z 08.472.212

(mit Anpassungen aus Z 08.476 + Z 08.477 + Z 08.478 + Z 08.482 + Z 08.484 + Z 08.485 + Z 09.13 + Z 09.22)

Typus 4
Formvariante
4,2.B

76.-77.

Dekorvariante
d.

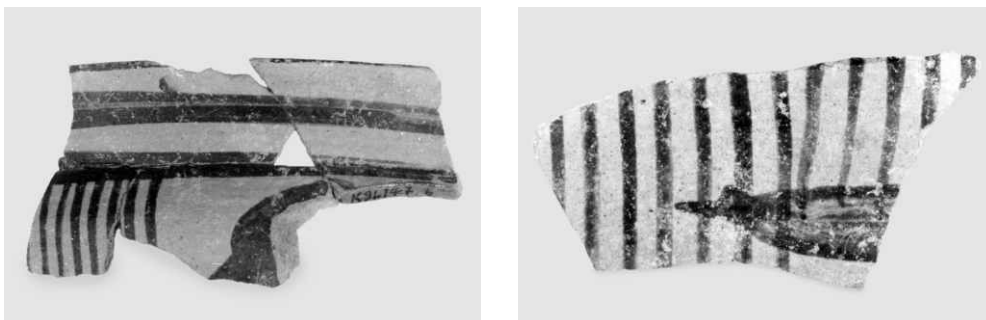
76.-77.



78. Milet, Kalabaktepe K 90.807.1



79. Milet, Kalabaktepe K 92.171.3



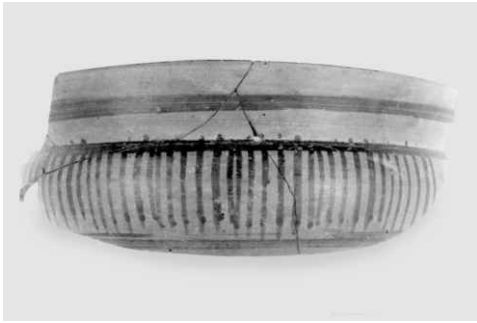
81. Milet, Kalabaktepe K 91.147.6

Typus 4
Formvariante
4,3.B

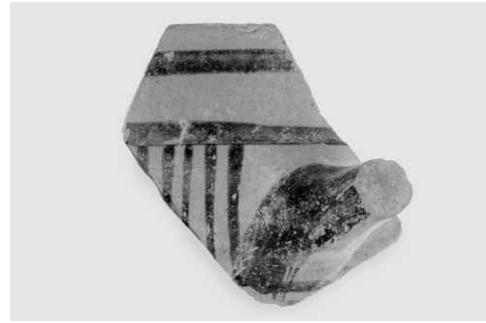
78.-79.; 81.

Dekorvariante
d.

78.-79.; 81.



83. Milet, Südschnitt K 63.114.1



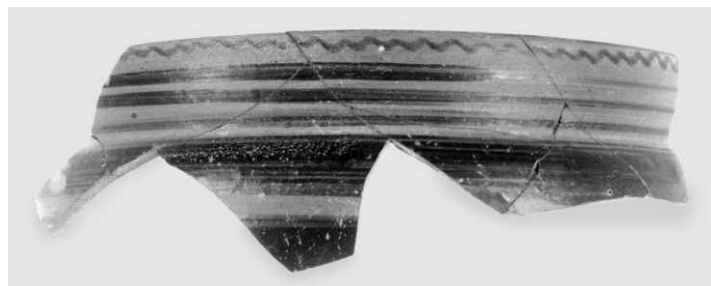
84. Milet, Kalabaktepe K 93.535.11



87. Samos, Hera-Heiligtum K 5612



88. Milet, Aphrodite-Heiligtum Z 09.53.83



89. Milet, Südschnitt S 63.90.1

Typus 4; Typus 5
Formvariante
4,3.B
5,1.B

83.–84.
87.–89.

Dekorvariante
d.
ea.

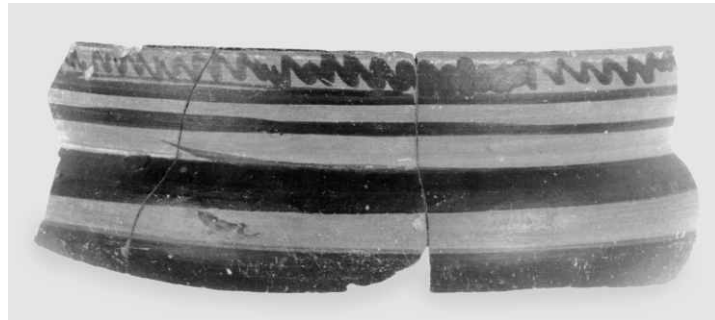
83.–84.
87.–89.



90. Milet, Kalabaktepe K 92.37.6



94. Milet, Aphrodite-Heiligtum Z 09.120.49



96. Milet, Südschnitt S 63.86.3



97. Milet, Kalabaktepe K 92.368.18

Typus 5
Formvariante
5,1.B
5,2.B

90.; 94.
96.–97.

Dekorvariante
e.
ea.

90.; 94.
96.–97.



98. Milet, Kalabaktepe K 91.461.1



99. Milet, Kalabaktepe K 92.410.2



101. Milet, Kalabaktepe K 92.269.10



104. Milet, Kalabaktepe K 89.202.1

Typus 5
Formvariante
5,2.B
5,3.B

98.-99.
101.; 104.

Dekorvariante
e.
ea.

98.-99.; 104.
101.



105. Milet, Kalabaktepe K 93.109.4



107. Milet, Aphrodite-Heiligtum Z 91.12.13



108. Samos, Hera-Heiligtum K 1732



109. Milet, Aphrodite-Heiligtum Z 08.425.466
(mit Anpassungen aus Z 08.463 + Z 08.465 + Z 08.466 +
Z 08.472 + Z 08.478 + Z 08.486 + Z 08.572)



111. Samos, Hera-Heiligtum K 1706



112. Samos, Hera-Heiligtum K 1708

Typus 5
Formvariante
5,3.B

105.; 107.–109.; 111.–112.

Dekorvariante
e.
ea.

107.–109.; 111.–112.
105.



113. Milet, Aphrodite-Heiligtum Z 09.89.32 + Z 09.102.48



117. Milet, Kalabaktepe K 92.50.1



118. Milet, Athena-Heiligtum AT 57.N.77.1



120. Milet, Kalabaktepe K 93.602.2

Typus 5; Typus 6
Formvariante
5,3.B
6,1.B
6,2.B

113.
117.–118.
120.

Dekorvariante
e.
a.

113.
117.–118.; 120.



121. Milet, Kalabaktepe K 92.78.5



122. Milet, Kalabaktepe K 92.414.1



125. Milet, Kalabaktepe K 92.788.9



126. Milet, Kalabaktepe K 92.212.5

Typus 6
Formvariante
6,2.B
6,3.B

121.–122.
125.–126.

Dekorvariante
a.
ay.

121.; 125.–126.
122.



127. Milet, Kalabaktepe K 92.99.32



129. Milet, Kalabaktepe K 92.585.39



130. Milet, Aphrodite-Heiligtum Z 08.467.171 + Z 08.473.21



131. Milet, Kalabaktepe K 92.840.2

Typus 6
Formvariante
6,3.B
6,4.B

127.; 129.
130.–131.

Dekorvariante
a.
ay.

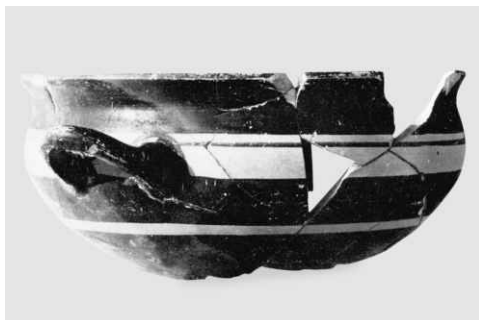
127.; 129.; 131.
130.



132. Milet, Aphrodite-Heiligtum Z 08.465.31



133. Milet, Aphrodite-Heiligtum Z 08.463.207 + Z 08.466.72



134. Milet, Südschnitt S 66.197.1



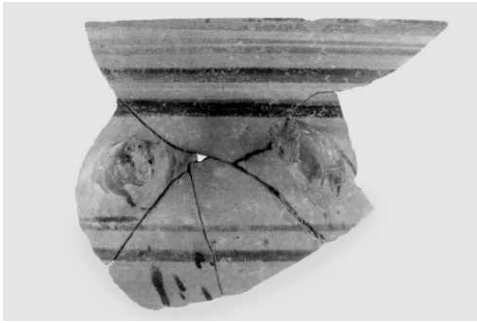
135. Milet, Südschnitt S 63.120.2

Typus 6; Typus 7
Formvariante
6,5.B
6,6.B
7,1.B

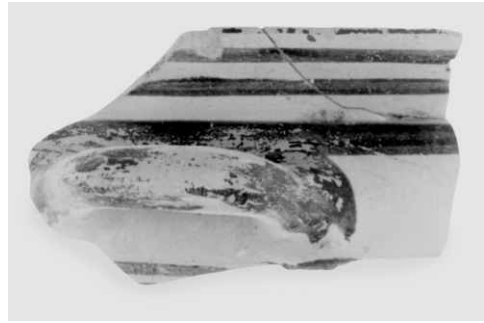
132.–133.
134.
135.

Dekorvariante
ay.
a.
f.

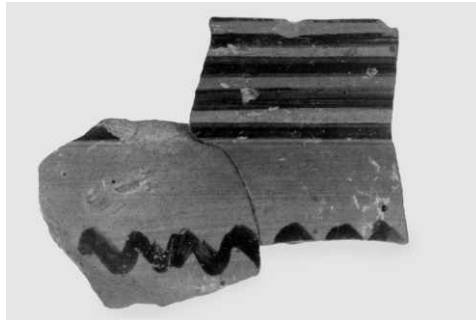
132.–133.
134.
135.



136. Milet, Südschnitt S 63.121.1



138. Milet, Südschnitt S 63.26.1



141. Milet, Athena-Heiligtum AT 57.O.27.1



142. Milet, Kalabaktepe K 92.266.7



143. Milet, Kalabaktepe K 90.828.11

Typus 7
Formvariante
7,1.B
7,2.B
7,3.B

136.
138.
141.–143.

Dekorvariante
f.
fa.

136.; 138.; 142.–143.
141.



144. Milet, Kalabaktepe K 92.365.6



147. Milet, Kalabaktepe K 92.72.2



149. Milet, Kalabaktepe K 91.137.5



150. Milet, Kalabaktepe K 91.49.36

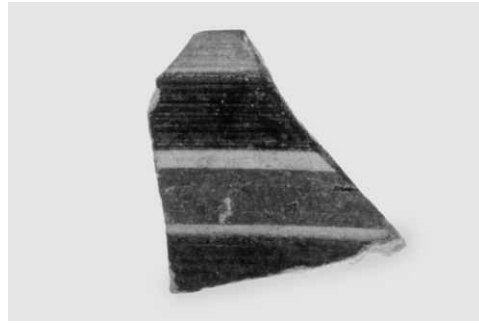
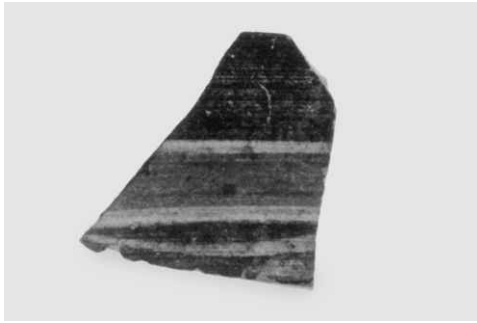
Typus 7–Typus 8

Formvariante

7,3.B	144.
7,4.B	147.
7,5.B	149.
8,1.B	150.

Dekorvariante

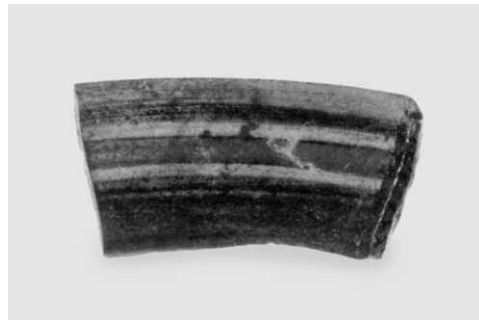
f.	144.; 147.
fa.	149.
a.	150.



152. Milet, Kalabaktepe K 92.560.11



153. Milet, Kalabaktepe K 90.414.10



154. Milet, Kalabaktepe K 92.472.1



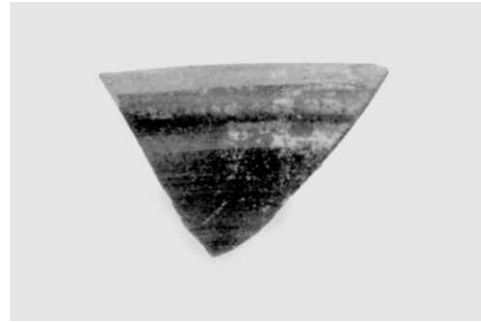
155. Milet, Kalabaktepe Z 08.425.467
(mit Anpassungen aus Z 08.467 + Z 08.468 + Z 08.472 + Z 08.478 + Z 09.4 + Z 09.23)

Typus 8
Formvariante
8,1.B

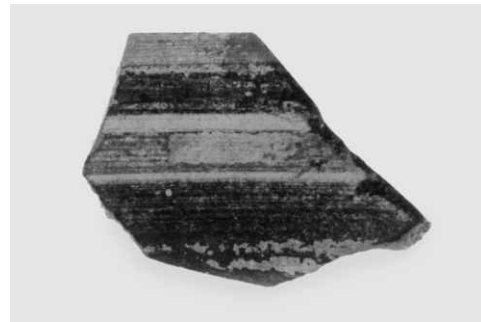
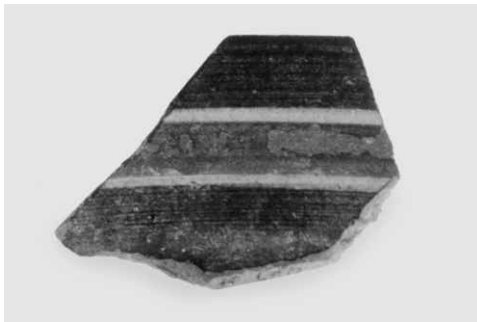
152.–155.

Dekorvariante
ay.

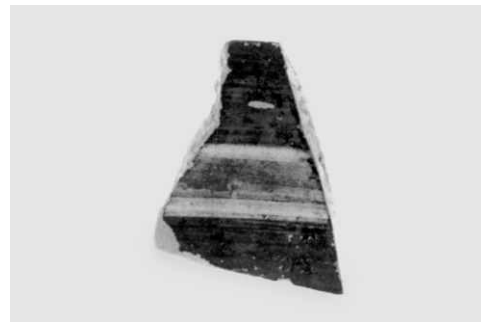
152.–155.



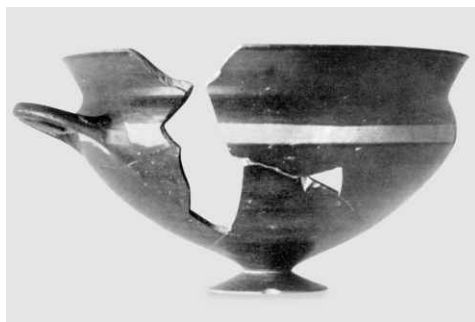
156. Milet, Kalabaktepe K 92.461.15



157. Milet, Kalabaktepe K 92.422.4



158. Milet, Kalabaktepe K 92.306.20



160. Samos, Hera-Heiligtum K 6571

Typus 8
Formvariante
8,1.B
8,2.B

156.–158.
160.

Dekorvariante
ay.
a.

156.–158.
160.



162. Milet, Kalabaktepe K 90.828.10



166. Milet, Kalabaktepe K 91.185.5



167. Milet, Aphrodite-Heiligtum Z 94.269.7



168. Milet, Aphrodite-Heiligtum Z 09.4.111

Typus 8
Formvariante
8,2.B

162.; 166.–168.

Dekorvariante
a.
ay.

162.
166.–168.



169. Milet, Aphrodite-Heiligtum Z 09.37.63



171. Milet, Aphrodite-Heiligtum Z 05.131.28



172. Milet, Aphrodite-Heiligtum Z 05.131.18



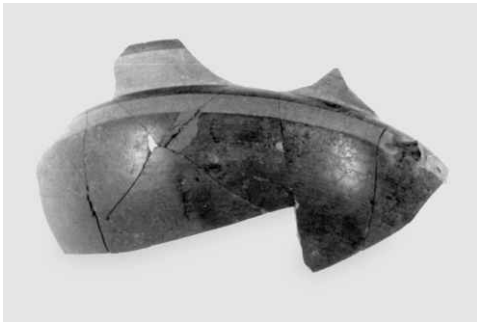
173. Milet, Aphrodite-Heiligtum Z 91.15.22

Typus 8–Typus 9
Formvariante
8,2.B
9,1.B

169.
171.–173.

Dekorvariante
ay.
g.

169.
171.–173.



174. Milet, Kalabaktepe K 89.211.1 + K89.265.23



177. Milet, Aphrodite-Heiligtum Z 05.131.29 + Z 05.131.32



178. Milet, Aphrodite-Heiligtum Z 05.131.2



179. Milet, Aphrodite-Heiligtum Z 05.131.8



181. Milet, Kalabaktepe K 89.156.1



184. Milet, Aphrodite-Heiligtum Z. 92.92.45

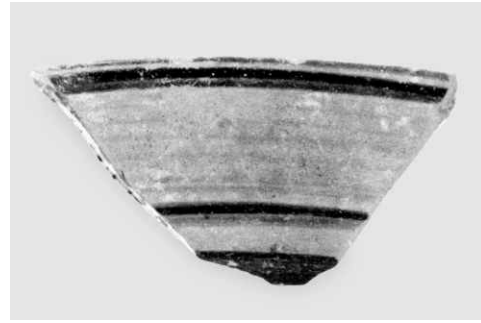
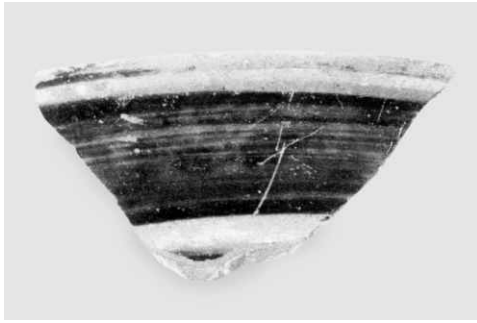


Typus 9
Formvariante
9,1.B
9,1.C

174.
177.–179.; 181.; 184.

Dekorvariante
g.
i.
h.

174.; 177.–179.
181.
184.



185. Milet, Aphrodite-Heiligtum Z 91.38.143



187. Milet, Kalabaktepe K 93.540.1



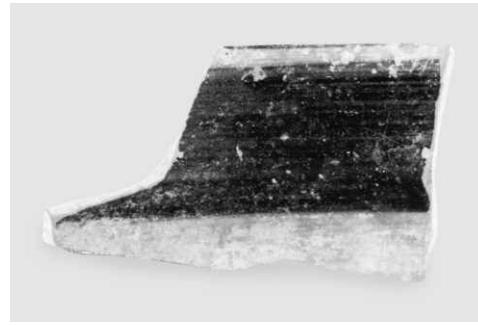
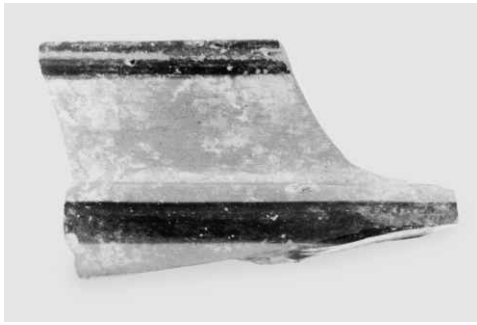
188. Milet, Aphrodite-Heiligtum Z 92.88.20

Typus 9
Formvariante
9.C (Sonderform)
9,2.C

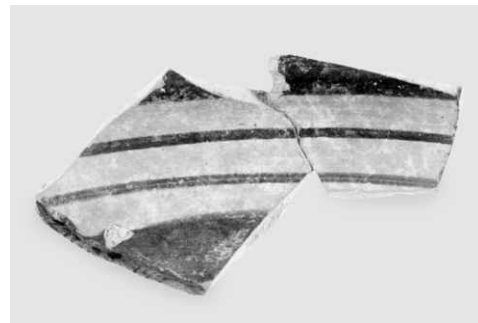
185.
187.–188.

Dekorvariante
h.-i.
i.

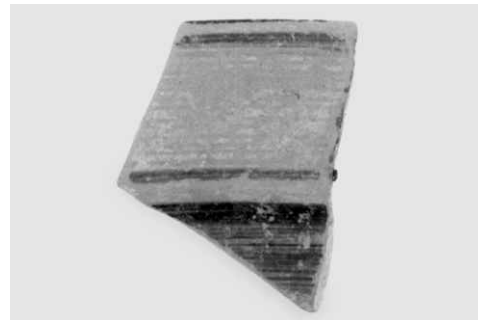
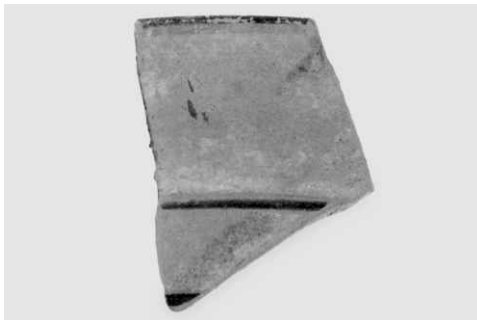
185.; 187.
188.



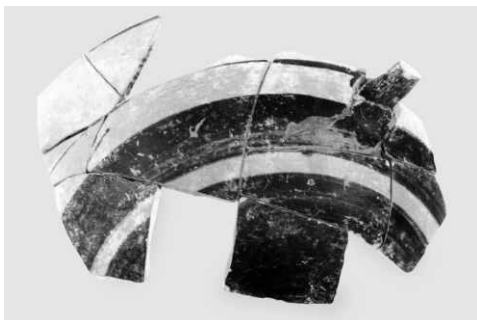
189. Milet, Aphrodite-Heiligtum Z 91.9.10



192. Milet, Aphrodite-Heiligtum Z 91.38.144



195. Milet, Aphrodite-Heiligtum Z 91.38.141 + Z 91.38.142



197. Milet, Aphrodite-Heiligtum Z 91.33.4

Typus 9
Formvariante
9,2.C
9,3.C

189.; 192.
195.; 197.

Dekorvariante
h.-i.
j.
g.

189.; 192.
195.
197.



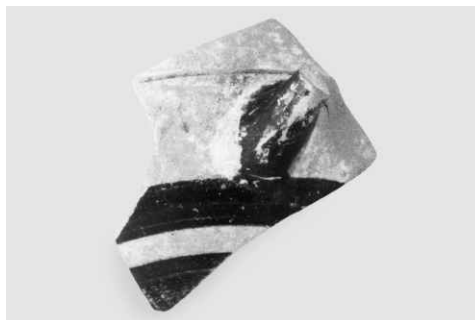
199. Milet, Kalabaktepe K 93.529.1



200. Milet, Aphrodite-Heiligtum Z 91.10.3



201. Milet, Kalabaktepe K 85.154.1



205. Milet, Kalabaktepe K 92.141.2

Typus 9
Formvariante
9,3.C
9,4.D

199.–201.
205.

Dekorvariante
j.
g.

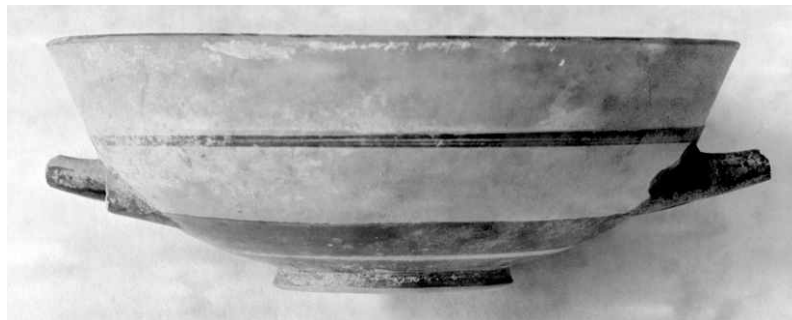
199.–201.
205.



209. Milet, Aphrodite-Heiligtum Z 91.86.36



213. Milet, Zeytintepe Z 04.77.39 + Z 04.121.27



214. Samos, Hera-Heiligtum K 6319



215. Milet, Aphrodite-Heiligtum Z 04.101.13

Typus 9
Formvariante
9,2.C
9,4.C
9,4.D
9,1/3.D

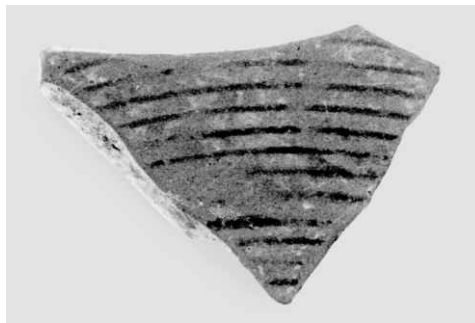
209.
213.
214.
215.

Dekorvariante
i.
j.

209.; 214.–215.
213.



216. Milet, Aphrodite-Heiligtum Z 91.58.2 + Z 91.59.29 + Z 91.65.15 +
Z 91.88.14 + Z 91.92.14



218. Milet, Aphrodite-Heiligtum Z 91.38.153



222. Milet, Südschnitt S 63.114.21



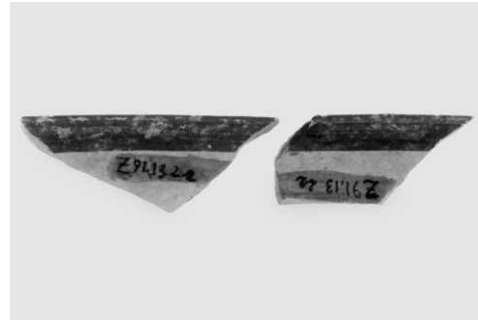
224. Milet, Aphrodite-Heiligtum Z 91.59.26

Typus 9–Typus 10
Formvariante
9,2-3.C
9,2-4.C-D
10,2.B

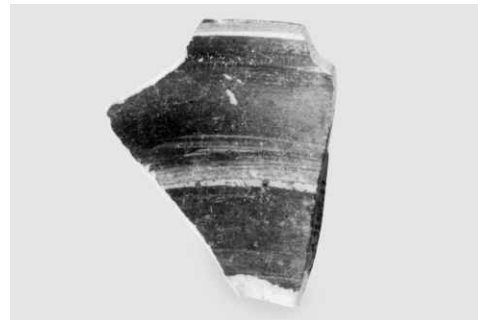
216.
218.
222.; 224.

Dekorvariante
i.-j.
ky.
ky.(?)

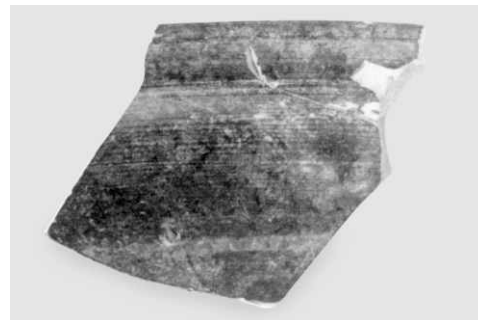
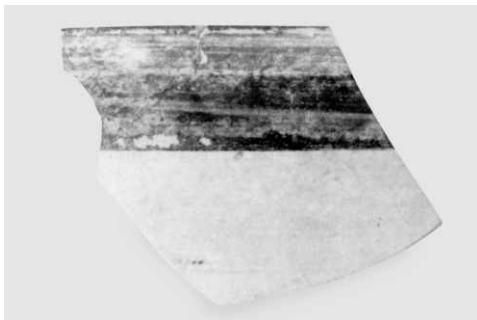
216.; 218.
222.
224.



227. Milet, Aphrodite-Heiligtum Z 91.13.22



229. Milet, Kalabaktepe K 91.49.27



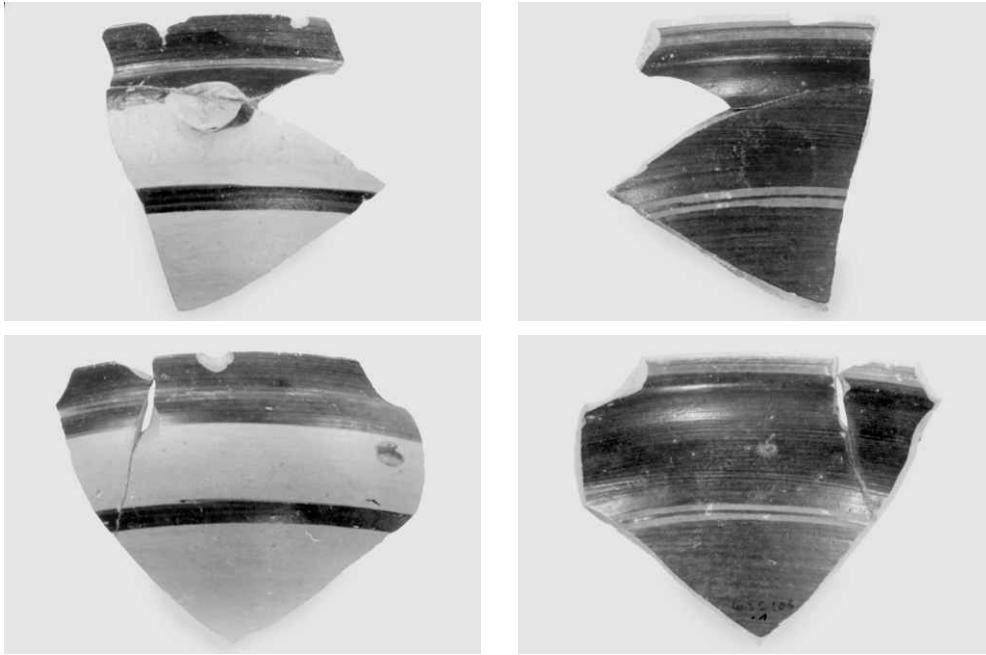
230. Milet, Kalabaktepe K 90.216.12

Typus 10
Formvariante
10,2.B

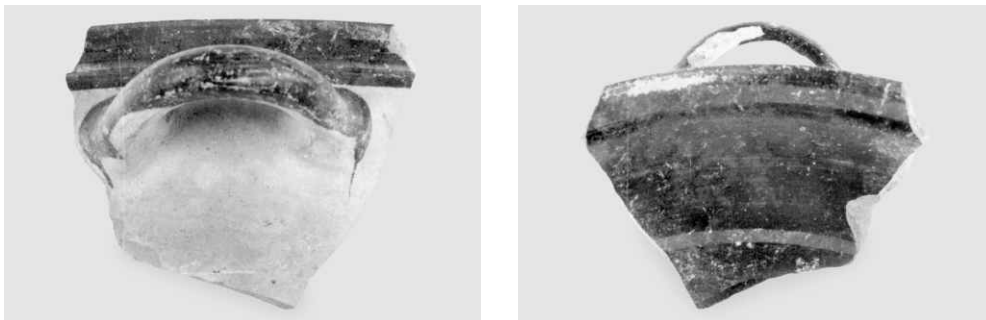
227.; 229.–230.

Dekorvariante
m.
ky.

227.
229.–230.



231. Milet, Südschnitt S 63.106.1



232. Milet, Kalabaktepe K 91.78.2



236. Milet, Kalabaktepe K 91.420.2 + K 91.420.3 + K 91.420.10

Typus 10
Formvariante
10,2.B

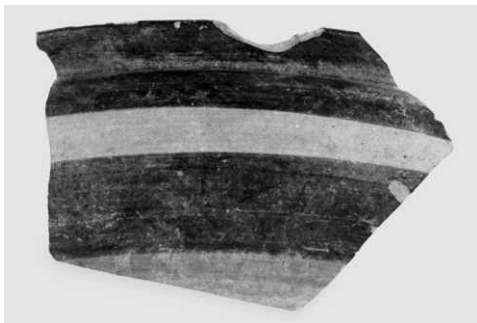
231.–232.; 236.

Dekorvariante
ky.
k.

231.–232.
236.



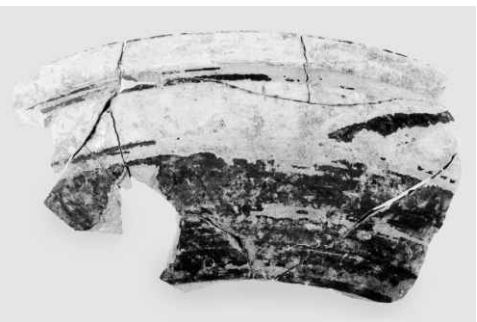
237. Milet, Aphrodite-Heiligtum Z 05.131.50



238. Milet, Kalabaktepe K 90.646.2



239. Milet, Aphrodite-Heiligtum Z 91.38.163



246. Milet, Aphrodite-Heiligtum Z 91.58.3

Typus 10
Formvariante
10,2.B
10,3.B

237.–239.
246.

Dekorvariante
ky.
ny.

237.–238.
239.; 246.



247. Milet, Aphrodite-Heiligtum Z 05.131.41



248. Milet, Kalabaktepe K 85.1.12



249. Milet, Aphrodite-Heiligtum Z 05.131.5

Typus 10
Formvariante
10,4.B

247.–249.

Dekorvariante
l.
k.

247.–248.
249.



252. Milet, Aphrodite-Heiligtum Z 91.17.9



253. Milet, Aphrodite-Heiligtum Z 05.131.37



254. Milet, Südschnitt S 63.85.3



255. Milet, Kalabaktepe K 92.143.20

Typus 10
Formvariante
10,4.B
10,5.C

252.
253.–255.

Dekorvariante
m.
l.
k.

252.; 254.
253.
255.



256. Milet, Kalabaktepe K 90.569.12



257. Milet, Aphrodite-Heiligtum Z 05.131.20



259. Milet, Aphrodite-Heiligtum Z 05.131.27



261. Milet, Aphrodite-Heiligtum Z 05.131.22

Typus 10
Formvariante
10,5.C

256.–257.; 259., 261.

Dekorvariante
k.
n.

256.
257.; 259.; 261.



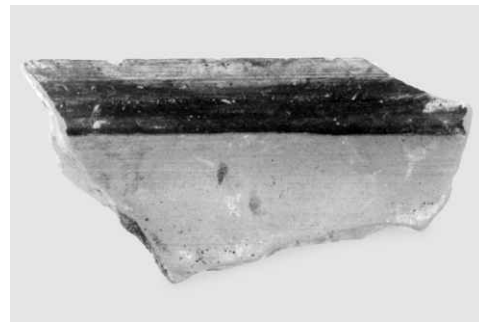
262. Milet, Aphrodite-Heiligtum Z 05.131.40



263. Milet, Aphrodite-Heiligtum Z 05.131.16



264. Milet, Aphrodite-Heiligtum Z 91.66.18



266. Milet, Aphrodite-Heiligtum Z 91.69.6

Typus 10
Formvariante
10,6.C
10,7.C

262.–264.
266.

Dekorvariante
ny.
my.

262.; 266.
263.–264.



267. Milet, Aphrodite-Heiligtum Z 05.131.34



268. Milet, Aphrodite-Heiligtum Z 05.131.19



269. Milet, Aphrodite-Heiligtum Z 05.131.21

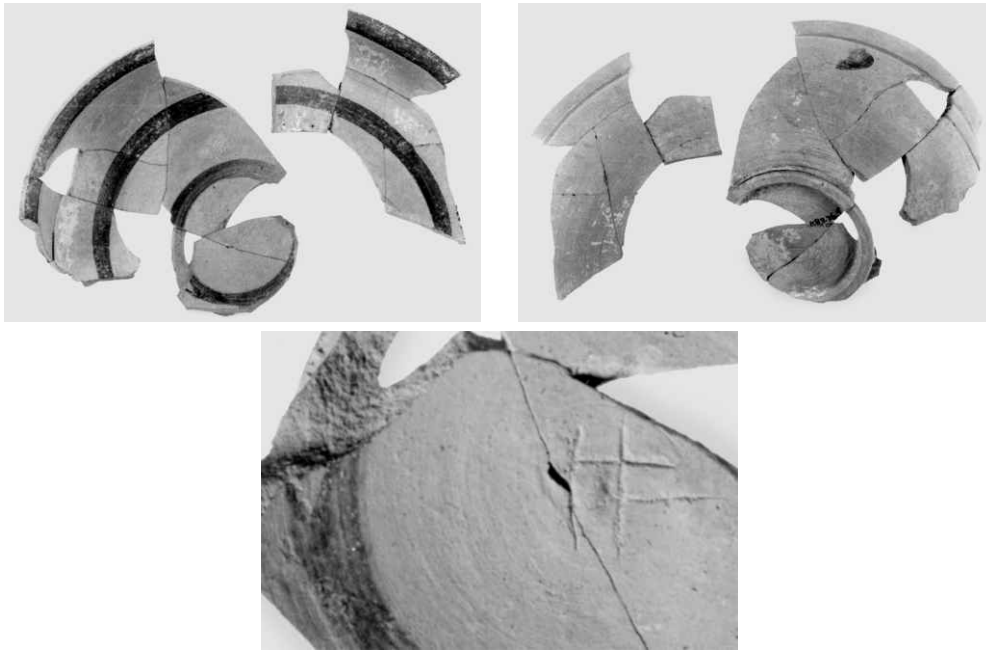
Typus 10
Formvariante
10,7.C

267.–269.

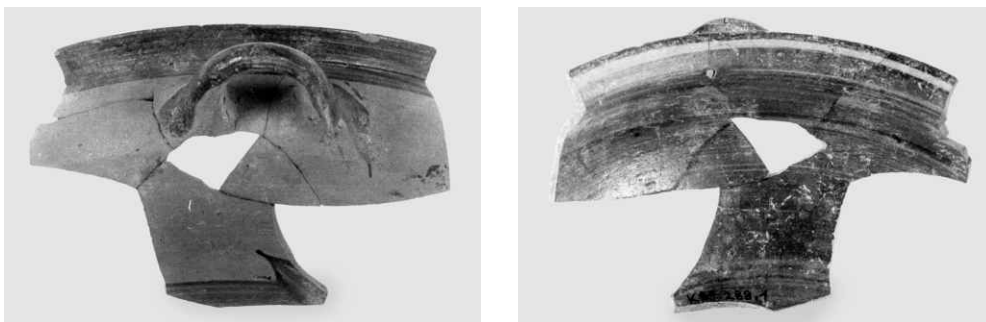
Dekorvariante

l.
k.

267.
268.–269.



272. Milet, Kalabaktepe K 89.36.1



273. Milet, Kalabaktepe K 89.288.1



275. Milet, Aphrodite-Heiligtum Z 05.131.11 + Z 05.132.8

Typus 10
Formvariante
10,7.C
10,8.C

272.
273.; 275.

Dekorvariante
n.
k.

272.
273.; 275.



277. Milet, Aphrodite-Heiligtum Z 05.131.3



278. Milet, Aphrodite-Heiligtum Z 05.131.51



279. Milet, Aphrodite-Heiligtum Z 05.131.42



280. Milet, Aphrodite-Heiligtum Z 05.131.43



282. Milet, Aphrodite-Heiligtum Z 05.131.6

Typus 10
Formvariante
10,8.C
10,9.C

277.–280.
282.

Dekorvariante
l.
k.
k. (Sonderform)
l. (Sonderform)

277.; 282.
278.
279.
280.



283. Milet, Aphrodite-Heiligtum Z 05.131.26



284. Milet, Aphrodite-Heiligtum Z 05.131.10



285. Milet, Aphrodite-Heiligtum Z 05.131.38

Typus 10
Formvariante
10,9.C

283.–285.

Dekorvariante
n.
k.
l. (Sonderform)

283.
284.
285.



286. Milet, Aphrodite-Heiligtum Z 05.131.24



287. Milet, Aphrodite-Heiligtum Z 05.131.39



288. Milet, Aphrodite-Heiligtum Z 05.131.45



289. Milet, Aphrodite-Heiligtum Z 05.131.49

Typus 10
Formvariante
10,9.C

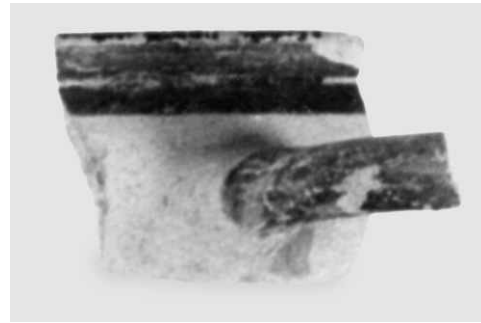
286.–289.

Dekorvariante
l.
k. (Sonderform)

286.–288.
289.



304. Milet, Kalabaktepe K 89.111.42



306. Milet, Kalabaktepe K91.423.14



307. Milet, Kalabaktepe K91.485.18 + K 91.226.10



309. Milet, Athena-Heiligtum AT 55.4a.1



310. Milet, Aphrodite-Heiligtum Z 91.10.5

Typus 10
Formvariante
10,11.C/D
10,11.D

304.
306.-307.; 309.

Dekorvariante
k.
ny.
m. (Sonderform)

304.; 306.
307.
309.



311. Milet, Aphrodite-Heiligtum Z 91.38.138



318. Milet, Kalabaktepe Z 91.13.20



319. Milet, Aphrodite-Heiligtum Z 05.131.4



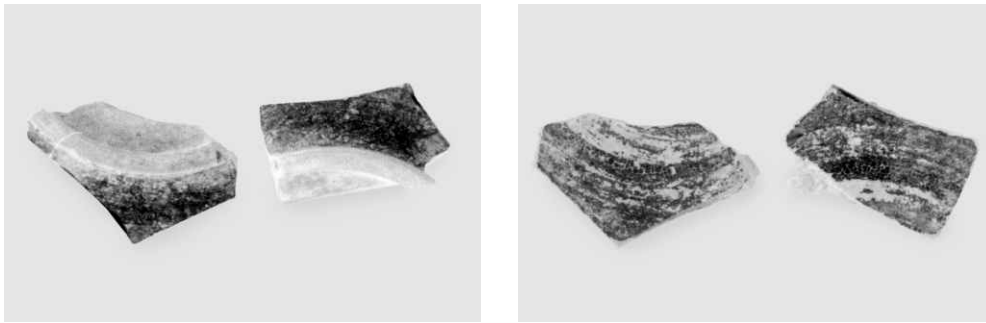
321. Milet, Aphrodite-Heiligtum Z 05.131.7

Typus 10
Formvariante
10,11.D
10,13.C

311.
318.–319.; 321.

Dekorvariante
ny.
n.
m.

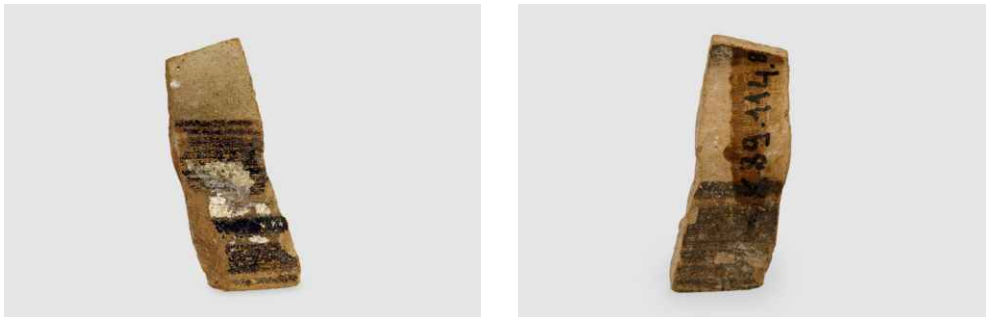
311.
318.–319.
321.



329. Milet, Kalabaktepe K 92.2.23



331. Milet, Wiegand-Grabungen WD.3



336. Milet, Kalabaktepe K 89.114.8



342. Milet, Kalabaktepe K 89.510.29

Typus 10–Typus 11
Formvariante
10.C/D
11,1.B
11,2.B
11,4.B

329.
331.
336.
342.

Dekorvariante
k.-ny.
la.
m.
ky.

329.
331.
336.
342.



344. Milet, Kalabaktepe K 90.649.5



345. Milet, Kalabaktepe K 92.806.1



350. Milet, Kalabaktepe K 89.506.38



353. Milet, Kalabaktepe K 89.506.41

Typus 11
Formvariante
11,4.B
11,4.B (Sonderform)

344.; 350.; 353.
345.

Dekorvariante
k.

344.–345.; 350.; 353.



354. Milet, Kalabaktepe K 89.501.23



357. Milet, Athena-Heiligtum AT 57.O.52.1



365. Milet, Kalabaktepe K 89.216.1



369. Milet, Kalabaktepe K 93.114.1 + K 93.115.1

Typus 11–Typus 12
Formvariante
11,4.B
11,5.B
12,1.B

354.; 357.
365.
369.

Dekorvariante
k.
n.

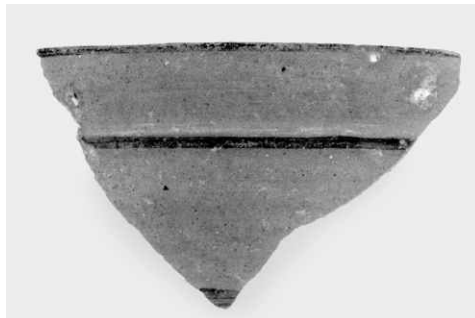
354.; 357.; 365.
369.



376. Milet, Kalabaktepe K 89.17.3



377. Milet, Kalabaktepe K 91.374.1



378. Milet, Südschnitt S 63.109.3



379. Milet, Kalabaktepe K 92.357.7

Typus 12
Formvariante
12.2.B

376.-379.

Dekorvariante
m.
n.

376.-377.
378.



382. Milet, Kalabaktepe K 91.407.1



385. Milet, Kalabaktepe K 90.848.1



386. Milet, Zeytintepe Z 09.87.26



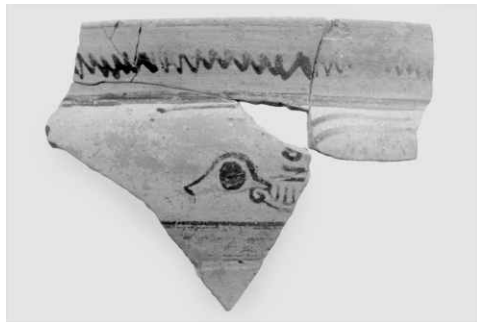
390. Milet, Kalabaktepe K 86.47.20

Typus 12–Typus 13
Formvariante
12,2.B
13,1.B

382.
385.–386., 390.

Dekorvariante
m.
c.
da.
m/SiA I/II.

382.
385.
386.
390.



391. Milet, Kalabaktepe K 90.662.22 + K 91.129.2



396. Milet, Kalabaktepe K 92.465.2 + K 92.465.3



397. Milet, Kalabaktepe K 92.871.3

Typus 13; Graue Ware: Typus 11
 Formvariante
 13,2.B 391.
 11,3.B 396.
 11,4.B 397.

Dekorvariante
 m/SiA I. 391.
 k./m.? 396.



398. Milet, Kalabaktepe K 92.326.5



399. Milet, Aphrodite-Heiligtum Z 94.192.10



400. Milet, Aphrodite-Heiligtum Z 94.53.179



401. Milet, Kalabaktepe K 92.430.12

Graue Ware: Typus 10–Typus 12

Formvariante

11,4.B	398.
10,3.B	399.
10,8-9.C	400.
12,2.B	401.

Dekorvariante

a.	399.–400.
----	-----------



403. Milet, Aphrodite-Heiligtum Z 94.75.55



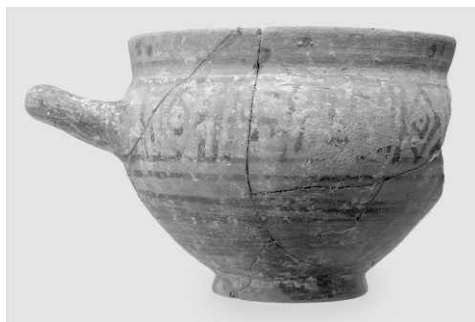
404. Samos, Hera-Heiligtum K 1759



405. Samos, Hera-Heiligtum K 2397



406. Milet, Aphrodite-Heiligtum Z 94.2.4 + Z 94.233.45



407. Samos, Hera-Heiligtum K 2011

Graue Ware: Typus 9–Typus 10; Typus 1–Typus 2

Formvariante

9-10.C

1,2.A

2,1.B

2,2.B

2,3.A

403.

404.

405.

406.

407.

Stilphase

SiA IIγ.

SiG spät

403.

404.–407.



408. Milet, Kalabaktepe K 91.516.6



409. Samos, Hera-Heiligtum K 2733



410. Milet, Aphrodite-Heiligtum Z94.234.5



412. Milet, Kalabaktepe K 92.126.5

Typus 2.A/B/ 3.B südionisch

Formvariante

2,4.B

3,1/5,2.B

3,2.B

408.

409.

410.; 412.

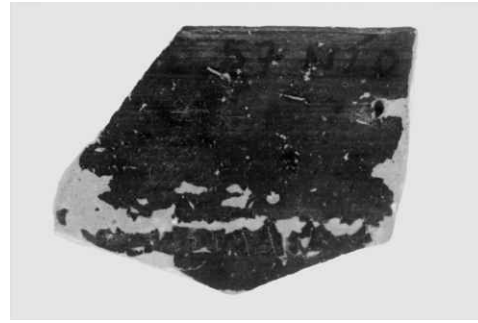
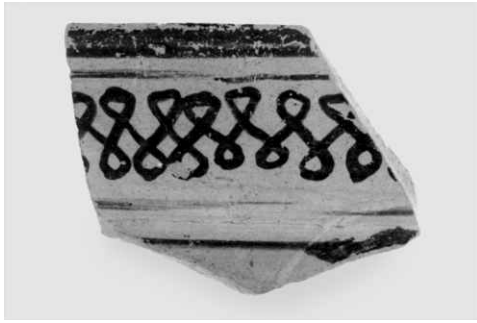
Stilphase

SiG spät

SiA Ia/subgeometrisch

408.

409.; 410.; 412.



413. Milet, Athena-Heiligtum AT 57.N.20.4



414. Milet, Wiegand-Depot WD.2

415. Samos, Hera-Heiligtum 3095



416. Milet, Kalabaktepe K 91.84.7



417. Milet, Aphrodite-Heiligtum Z 94.53.102 + Z94.127.120

Typus 3.B, südionisch; 6.B + 8.B, südionisch/ 9.C, milesisch

Formvariante

3,3.B	413.
4,3.B	414.
5,1.B	415.–416.
6,2.B (Sonderform)	417.

Stilphase

SiA Ia	413.
SiA/MileA Ia	414.; 416.–417.
SiA/MileA Ia/subgeometrisch	415.



418. Milet, Kalabaktepe K 90.487.3



419. Milet, Kalabaktepe K 89.261.3



420. Samos, Hera-Heiligtum K 5110



421. Samos, Hera-Heiligtum 3186

Typus 8.B, südionisch
Formvariante
8,2.B
8,1.B

418.-420.
421.

Stilphase

SiA/MileA Ia/subgeometrisch
SiA/MileA Ia
SiA/MileA Ic

418.
419.-420.
421.



423. Milet, Aphrodite-Heiligtum
 Z 94.7.186 + Z 94.14.85 + Z 94.136.8 + Z 94.145.68 + Z 94.163.15 + Z 94.163.19
 + Z 94.170.33 + Z 94.178.22 + Z 94.178.48 + Z 94.228.41 + Z 94.248.9



424. Milet, Aphrodite-Heiligtum Z 94.64.26



425. Milet, Kalabaktepe K 91.528.14



426. Milet, Zeytintepe Z 05.143.13

Typus 9.C, milesisch/ 10.B, südionisch/milesisch
 Formvariante
 9,1.C
 9,2.C

423.–425.
 426.

Stilphase
 MileA IIa, Bilingue
 MileA IIa/b
 MileA IIa/b (Umfeld des Altenburg-Malers)
 MileA IIb

423.
 424.
 425.
 426.



428. Milet, Kalabaktepe K 91.137.16



429. Milet, Kalabaktepe K 91.102.19



430. Milet, Kalabaktepe K 90.110.1 + K 91.49.9 + K 91.283.5



431. Milet, Kalabaktepe K 91.54.14

Typus 10.B, südionisch/milesisch

Formvariante

10,2.B 428.

10,13.C 429.

10,4.B/11,3.B 430.

10,3.B 431.

Stilphase

MileA I/II

SiA/MileA Ic-d

428.–429.

430.–431.



432. Milet, Aphrodite-Heiligtum Z 94.150.13



433. Milet, Aphrodite-Heiligtum Z 94.145.89



434. Milet, Kalabaktepe K 92.454.4



435. Milet, Kalabaktepe K 91.280.16

Typus 10.B, milesisch
Formvariante
10,4.B
10,3.B (Sonderform)
10,3.B

432.; 435.
433.
434.

Stilphase
SiA/MileA Ic-d

432.–435.



436. Milet, Aphrodite-Heiligtum Z 94.246.13



437. Milet, Kalabaktepe K 89.506.23 + K 89.510.19



438. Milet, Aphrodite-Heiligtum Z 01.15.2 + Z 01.60.2

Typus 10.B, milesisch
Formvariante
10,4.B
10,1.B

436.-437.
438.

Stilphase
SiA/MileA Id
MileA IIa, Bilingue

436.-437.
438.



439. Milet, Aphrodite-Heiligtum
Z 92.120.3 + Z 01.71.32 + Z 01.74.40 + Z 01.75.20 + Z 01.80.33



440. Milet, Aphrodite-Heiligtum
Z 01.15.3 + Z 01.70.2 + Z 02.20.3 + Z 02.56.1

Typus 10.B–10.D, milesisch
Formvariante
10,1.B 439.
10,1.B (Sonderform) 440.

Stilphase
MileA IIa, Bilingue 439.–440.



441. Milet, Aphrodite-Heiligtum
Z 94.7.550 + Z 94.53.420 + Z 94.75.158



442. Milet, Kalabaktepe K 90.224.10



443. Milet, Aphrodite-Heiligtum Z 94.281.101

Typus 10.B–10.D, milesisch
Formvariante
10,4.B/11,3.B 441.
10,4.B 442.
10,4.B 443.

Stilphase
MileA IIa

441.–443.



444. Milet, Aphrodite-Heiligtum Z 05.24.28



445. Milet, Aphrodite-Heiligtum Z 94.56.47



446. Milet, Aphrodite-Heiligtum Z 05.24.27

Typus 10.B–10.D, milesisch
Formvariante
10,11.C/D

444.–446.

Stilphase
MileA IIa (Ganswürger-Maler?)

444.–446.



447. Milet, Aphrodite-Heiligtum Z 94.66.15



448. Milet, Aphrodite-Heiligtum Z 94.186.3



449. Milet, Aphrodite-Heiligtum
Z 94.7.92 + Z 94.7.203 + Z 94.56.32 + Z 94.69.37 + Z 94.261.16



450. Milet, Aphrodite-Heiligtum Z 94.64.28 + Z 94.166.18

Typus 10.B/10.C, milesisch

Formvariante

10,10.B/C

10,3.C

448.

449.-450.

Stilphase

MileA IIa (Ganswürger-Maler?)

MileA IIa-b

MileA IIb

447.

448.-449.

450.



451. Milet, Aphrodite-Heiligtum Z 94.90.21



452. Milet, Aphrodite-Heiligtum Z 94.147.9



453. Milet, Aphrodite-Heiligtum Z 91.30.4 + Z 91.30.9



454. Milet, Kalabaktepe K 89.506.22

Typus 10.B/10.C, milesisch

Formvariante

10,10.C

10,11.C

10,13.C

451.–452.

453.

454.

Stilphase

MileA IIb

451.–454.



455. Milet, Kalabaktepe K 90.39.14



456. Milet, Kalabaktepe K 92.377.1



457. Milet, Aphrodite-Heiligtum Z 04.14.64 + Z 04.21.19

Typus 10.C/10.D, milesisch
Formvariante
10,13.C
10,11.D

455.–456.
457.

Stilphase
MileA IIb

455.–457.



458. Milet, Kalabaktepe K 91.438.13 + K 91.440.16



459. Milet, Aphrodite-Heiligtum Z 94.95.170



460. Milet, Kalabaktepe K 91.175.3



461. Milet, Aphrodite-Heiligtum
Z 94.8.83 + Z 94.126.47 + Z 94.180.3

Typus 10.C/10.D, milesisch

Formvariante

10,11.C

10,11.C/D

458.–460.

461.

Stilphase

MileA II

458.–461.



462. Milet, Aphrodite-Heiligtum Z 94.236.5



463. Milet, Aphrodite-Heiligtum Z 94.85.1



464. Milet, Aphrodite-Heiligtum Z 04.82.39 + Z 04.82.43



465. Milet, Aphrodite-Heiligtum Z 05.42.13

Typus 10.C/10.D, milesisch
Formvariante

10,11.C/D
10,11.D

462.–463.
464.–465.

Stilphase

MileA II

462.–465.



466. Milet, Aphrodite-Heiligtum Z 04.23.12



467. Milet, Südschnitt S 68.2.1



468. Milet, Aphrodite-Heiligtum Z 94.166.19

Typus 10.D, milesisch
Formvariante
10,11.D

466.-468.

Stilphase
MileA II

466.; 468.



469. Milet, Aphrodite-Heiligtum Z 91.7.5



470. Milet, Aphrodite-Heiligtum Z 91.38.162



471. Milet, Kalabaktepe K 93.92.1



472. Milet, Kalabaktepe K 91.139.11

Typus 10.D, milesisch
Formvariante
10,11.D
10,11.D (Sonderform)

469.-471.
472.

Stilphase
MileA II

469.-472.



473. Milet, Aphrodite-Heiligtum Z 93.21.83 + Z 93.27.89



474. Milet, Südschnitt S 63.24.1



475. Milet, Aphrodite-Heiligtum Z 94.63.28



476. Milet, Aphrodite-Heiligtum Z 94.75.112

Typus 10.C/D, milesisch

Formvariante

10,11.D (Sonderform) 473.

10,11.D 474.

10,13.C/D 475.–476.

Stilphase

MileA II

473.–476.



477. Milet, Aphrodite-Heiligtum Z 94.95.68



478. Milet, Aphrodite-Heiligtum Z 94.95.171



480. Milet, Aphrodite-Heiligtum Z 05.24.57 + Z05.72.34 + Z05.88.142



481. Milet, Aphrodite-Heiligtum Z 94.7.101

Typus 10.D, milesisch und Füße Typus 10.C/D, milesisch
 Formvariante
 10,13.C/D 477.-478.
 10.C/D? 480.
 10.C 481.

Stilphase
 MileA II 477.-478.; 481.
 MileA IIa/b 480.



482. Milet, Aphrodite-Heiligtum Z 94.7.187 + Z 94.8.20



483. Milet, Kalabaktepe K 86.62a.4



484. Milet, Aphrodite-Heiligtum Z 94.66.6



485. Milet, Kalabaktepe K 91.195.13

Typus 10.C/D, milesisch
Formvariante
10.C

482.-485.

Stilphase
MileA II

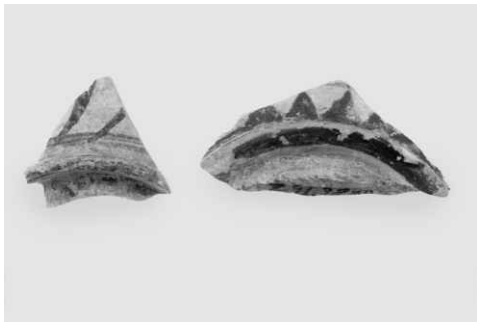
482.-485.



486. Milet, Aphrodite-Heiligtum Z 94.95.15



487. Milet, Aphrodite-Heiligtum Z 94.98.7



488. Milet, Aphrodite-Heiligtum Z 91.38.160



489. Milet, Aphrodite-Heiligtum Z 94.144.11 + Z94.171.12

Typus Füße Typus 10.C/D, milesisch
Formvariante
10.C

486.-489.

Stilphase
MileA II

486.-489.



490. Milet, Aphrodite-Heiligtum Z 91.32.15



492. Milet, Aphrodite-Heiligtum
Z 91.10.2 + Z 91.13.15 + Z 91.30.15



493. Milet, Aphrodite-Heiligtum Z 91.38.161



494. Milet, Wiegand-Depot WD.4

Typus FüÙe Typus 10.C/D, milesisch/ Wandfragmente: Typus nicht eindeutig, milesisch

Formvariante

10.C

490; 492.-493.

Stilphase

MileA II

490; 492.-493.

2-3.B

494.

SiG spät

494.



495. Milet, Kalabaktepe K 91.393.6



497. Milet, Kalabaktepe K 91.539.5



498. Milet, Kalabaktepe K 89.240.4



499. Milet, Kalabaktepe K 92.148.1

Wandfragmente: Typus nicht eindeutig, milesisch

Formvariante

2-4.B

495.

2-3.B

497.-499.

Stilphase

SiG spät

SiG spät/ SiA Ia

SiG spät/ SiA Ib

495.

497.-498.

499.



500. Milet, Aphrodite-Heiligtum
Z 94.121.1 + Z 94.125.83 + Z 94.229.7



501. Milet, Kalabaktepe K 91.593.2



502. Milet, Kalabaktepe K 93.165.14



503. Milet, Aphrodite-Heiligtum Z 94.67.13

Wandfragmente: Typus nicht eindeutig, milesisch

Formvariante

3./5.B

3./5.B?

5/8?

500.

501.–502.

503.

Stilphase

SiA Ia

SiA Ia-b

SiA Ia-c

SiA Ib-c

500.

501.

502.

503.



504. Milet, Aphrodite-Heiligtum Z 94.212.7



505. Milet, Kalabaktepe K 92.868.1



506. Milet, Kalabaktepe K 90.463.2



507. Milet, Aphrodite-Heiligtum Z 91.73.24

Wandfragmente: Typus nicht eindeutig, milesisch
 Formvariante
 5/8? 504.; 507.
 5/6/11? 505.
 5/6? 506.

Stilphase
 SiA Ib-c 504.–507.



508. Milet, Aphrodite-Heiligtum Z 94.56.38



509. Milet, Aphrodite-Heiligtum Z 94.7.106 + Z 94.111.5



510. Milet, Kalabaktepe K 89.501.12



511. Milet, Aphrodite-Heiligtum Z 94.170.33

Wandfragmente: Typus nicht eindeutig, milesisch

Formvariante

5/8?

508.–509.

5/8/10.B?

510.–511.

Stilphase

SiA Ib-c

SiA Ic-d

508.–509.

510.–511.



512. Milet, Kalabaktepe K 85.46.2a



513. Milet, Aphrodite-Heiligtum Z 94.259.24



514. Milet, Kalabaktepe K 90.688.1



515. Milet, Aphrodite-Heiligtum Z 94.263.65

Wandfragmente: Typus nicht eindeutig, milesisch
 Formvariante
 5/8/10.?

512.–515.

Stilphase
 SiA Ic-d

512.–515.



516. Milet, Kalabaktepe K 91.313.1



517. Milet, Aphrodite-Heiligtum Z 94.114.106



518. Milet, Aphrodite-Heiligtum Z 94.281.121



519. Milet, Aphrodite-Heiligtum Z 94.114.128

Wandfragmente: Typus nicht eindeutig, milesisch/ Typus vornehmlich 10.C?, milesisch
Formvariante

5/10?

516.–518.

Stilphase

SiA Ic-d

516.; 518.–519.

5/8/10?

519.

SiA Ic

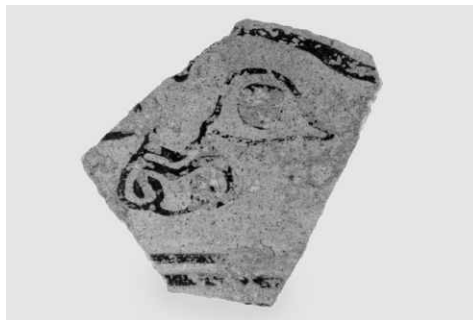
517.



520. Milet, Aphrodite-Heiligtum Z 94.14.110 + Z 94.204.70 + Z 94.244.6 + Z 94.248.12 + Z 94.272.37



521. Milet, Aphrodite-Heiligtum Z 94.204.71



522. Milet, Athena-Heiligtum AT 57.O.III.2,3.1



523. Milet, Kalabaktepe K 91.420.5

Wandfragmente: Typus vornehmlich 10.C?, milesisch
 Formvariante
 10.B/C? 521.-522.
 10.C? 523.

Stilphase
 SiA Ic 520.
 SiA/MileA Ic-d?/(MileA IIa?) 521.
 SiA/MileA Id/(MileA IIa?) 522.
 SiA Id 523.



524. Milet, Aphrodite-Heiligtum Z 94.281.147



525. Milet, Aphrodite-Heiligtum
Z 94.7.188 + Z 94.208.16 + Z 94.263.31 + Z 94.286.58



526. Milet, Aphrodite-Heiligtum Z 94.5.36



527. Milet, Aphrodite-Heiligtum Z 02.52.3

Wandfragmente: Typus vornehmlich 10.C?, milesisch
Formvariante
10.C?

524.–526.

Stilphase
SiA Id

524.–526.



528. Milet, Aphrodite-Heiligtum Z 94.164.12



529. Milet, Kalabaktepe K 89.4.17



530. Milet, Aphrodite-Heiligtum Z 94.114.207 + Z 94.148.8



532. Milet, Aphrodite-Heiligtum Z 94.7.204 + Z 94.7.205

Wandfragmente: Typus vornehmlich 10.C?, milesisch
Formvariante
10.C?

528.–530.; 532.

Stilphase
SiA Id/MileA IIa

528.–530.; 532.



533. Milet, Aphrodite-Heiligtum Z 94.163.17



534. Milet, Aphrodite-Heiligtum Z 94.197.4



535. Milet, Kalabaktepe K 90.497.15



536. Milet, Kalabaktepe K 89.480.2



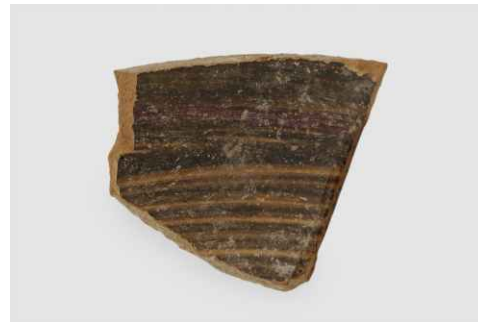
537. Milet, Kalabaktepe K 91.524.2



Wandfragmente: Typus vornehmlich 10.C?, milesisch
Formvariante
10.C? 533.–537.

Stilphase
SiA Id/MileA IIa

533.–537.



538. Milet, Kalabaktepe K 91.34.5



539. Milet, Aphrodite-Heiligtum Z 94.26.8



540. Milet, Kalabaktepe K 89.462.7



541. Milet, Aphrodite-Heiligtum
Z 94.8.5 + Z 94.263.65 + Z 94.269.8 + Z 94.270.70 +
Z 94.270.73

Wandfragmente: Typus vornehmlich 9.C/10.C?, milesisch
Formvariante
10.C? 538.
10.B/C? 539.
9.C? 540.
9.C/10.C? 541.

Stilphase
SiA Id/MileA IIa 538.–540.
MileA IIa, Bilingue 541.



542. Milet, Kalabaktepe K 90.725.1 + K90.725.2



543. Milet, Aphrodite-Heiligtum
Z 94.14.63 + Z 94.52.2 + Z 94.68.17



544. Milet, Aphrodite-Heiligtum Z 94.221.10



545. Milet, Aphrodite-Heiligtum Z 94.202.48

Wandfragmente: Typus vornehmlich 9./10.B/C?, milesisch
Formvariante
9.C/10.C? 542.; 544.–545.
9.C? 543.

Stilphase
MileA IIa, Bilingue 542.–543.
MileA IIa 544.
MileA IIa, (Bilingue?) 545.



546. Milet, Aphrodite-Heiligtum Z 94.14.134



547. Milet, Aphrodite-Heiligtum Z 91.86.37



548. Milet, Aphrodite-Heiligtum Z 94.227.11



549. Milet, Aphrodite-Heiligtum Z 94.256.12

Wandfragmente: Typus vornehmlich 9./10.B/C?, milesisch
 Formvariante
 10.B? 546.
 10.B/C? 547.–548.
 9./10.B/C? 549.

Stilphase
 MileA IIa-b 546.–547.
 MileA IIa-b, Blüten-Typus A 548.–549.



551. Milet, Aphrodite-Heiligtum Z 94.102.11 + Z 94.115.4



552. Milet, Aphrodite-Heiligtum Z 94.53.104 + Z 94.127.84



553. Milet, Aphrodite-Heiligtum Z 93.27.84 + Z 93.36.9



554. Milet, Kalabaktepe K 90.577.3

Wandfragmente: Typus vornehmlich 9./10.B/C?, milesisch

Formvariante

9./10.B/C? 551.
9./10.C? 552.–553.
9.C? 554.

Stilphase

MileA IIa-b, Blüten-Typus A 551.
MileA IIa-b 552.
MileA IIa-b, Blüten-Typus B 553.–554.



555. Milet, Aphrodite-Heiligtum Z 94.61.42 + Z 94.69.92



556. Milet, Kalabaktepe K 89.496.3



557. Milet, Aphrodite-Heiligtum Z 94.99.62



558. Milet, Aphrodite-Heiligtum Z 94.95.101

Wandfragmente: Typus vornehmlich 9./10.B/C?, milesisch
 Formvariante
 10.B/C? 555.
 9./10.C? 556.; 558.
 9./10.B/C? 557.

Stilphase
 MileA IIa-b, Blüten-Typus B 555.–556.
 MileA II, Blüten-Typus B 557.–558.



559. Milet, Aphrodite-Heiligtum Z 94.202.1



560. Milet, Aphrodite-Heiligtum Z 94.197.29



561. Milet, Aphrodite-Heiligtum Z 94.185.50



562. Milet, Aphrodite-Heiligtum Z 91.95.2

Wandfragmente: Typus vornehmlich 9./10.B/C?, milesisch
 Formvariante
 9./10.C? 559.; 561.–562.

Stilphase
 MileA II, Blüten-Typus C 559.
 MileA II, Blüten-Typus B 560.–561.
 MileA II 562.



564. Milet, Kalabaktepe K 90.31.1



565. Milet, Aphrodite-Heiligtum Z 91.38.159



566. Milet, Aphrodite-Heiligtum Z 93.21.90 + Z 93.37.74



567. Milet, Aphrodite-Heiligtum Z 94.67.10

Wandfragmente: Typus vornehmlich 9./10.B/C?, milesisch
 Formvariante
 9./10.C?
 10.C?

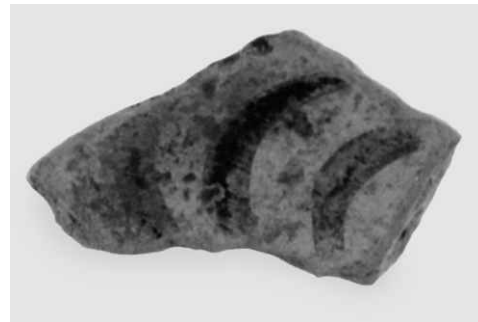
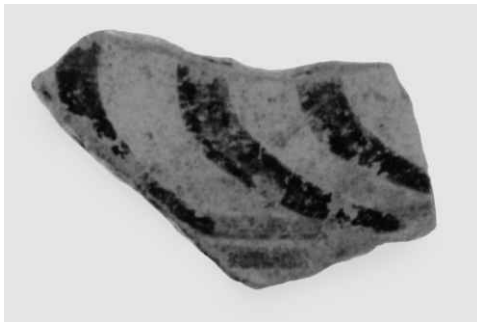
564.; 566.–567.
 565.

Stilphase
 MileA II

564.–567.



569. Milet, Athena-Heiligtum AT 68.O.I.1



570. Milet, Aphrodite-Heiligtum Z 94.7.104



571. Milet, Kalabaktepe K 91.200.2

Wandfragmente: Typus vornehmlich 9./10.B/C?, milesisch
 Formvariante 10.C? 569. Stilphase
 9./10.C? 570. MileA II

569.–571.



573. Milet, Kalabaktepe K 95.14.3



574. Milet, Kalabaktepe K 89.215.2



575. Milet, Aphrodite-Heiligtum Z 94.234.16+ Fig. vom Stamnos aus Histria

Wandfragmente: Typus vornehmlich 9./10.B/C?, milesisch

Formvariante

10.C?

9./10.B/C?

573.

575.

Stilphase

MileA II

MileA IIa

MileA II (Laufender Satyr-Maler)

573.

574.

575.



576. Milet, Kalabaktepe K 92.165.3+ Vergleich Heraion-Schale, Samos

Wandfragmente: Typus vornehmlich 9./10.B/C?, milesisch

Formvariante

9.C?

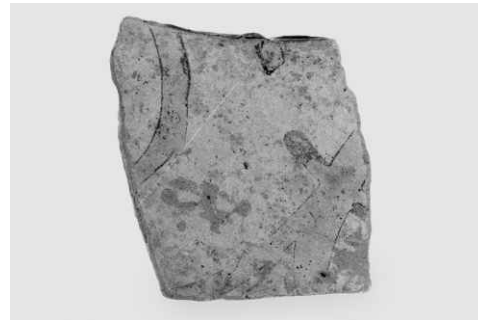
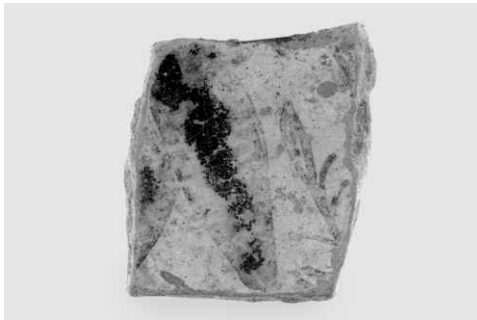
576.

Stilphase

MileA II (Umfeld Gorgoneion-Maler) 576.



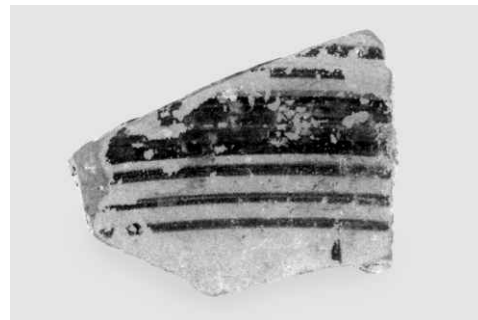
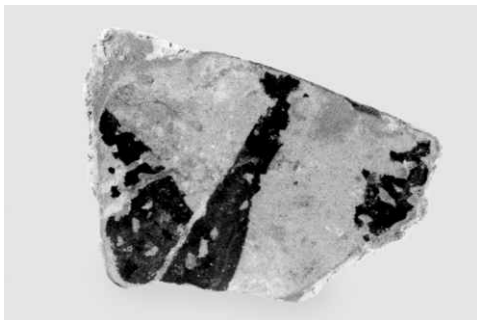
577. Milet, Aphrodite-Heiligtum Z 94.126.13 + Z 94.130.67



578. Milet, Aphrodite-Heiligtum Z 91.19.9



579. Milet, Kalabaktepe K 91.414.16



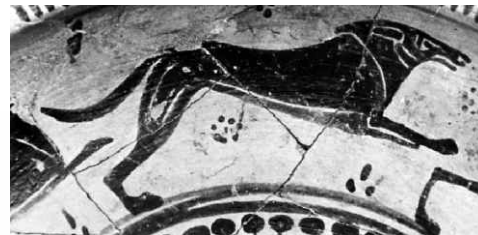
580. Milet, Aphrodite-Heiligtum Z 91.95.3

Wandfragmente: Typus vornehmlich 9./10.B/C?, milesisch
 Formvariante 9./10.B? 577. Stilphase MileA II

577.-580.



581. Milet, Aphrodite-Heiligtum Z 93.33.120



582. Milet, Aphrodite-Heiligtum Z 94.126.15 + Vergleich Heraion von Samos K 3938

Wandfragmente: Typus vornehmlich 9./10.B/C?, milesisch
 Formvariante 10.C?

582.

Stilphase
 MileA II
 MileA II (Nordtor-Maler)

581.
 582.



583. Milet, Aphrodite-Heiligtum Z 05.72.33 + Z04.14.91



584. Milet, Aphrodite-Heiligtum Z 93.21.65



585. Milet, Aphrodite-Heiligtum Z 94.45.12



586. Milet, Kalabaktepe K 91.175.2

Wandfragmente: Typus vornehmlich 9./10.B/C?, milesisch
 Formvariante
 9./10.C? 584. Stilphase
 10.B? 585. MileA II
 586. MileA IIb

584.–585.
 586.



587. Milet, Kalabaktepe K 89.313.5



588. Milet, Aphrodite-Heiligtum Z 91.38.155



589. Milet, Aphrodite-Heiligtum Z 94.98.9

Wandfragmente: Typus vornehmlich 9./10.B/C?, milesisch

Formvariante

9./10.C?

10.C?

587.

589.

Stilphase

MileA II (Umfeld Altenburg-Maler)

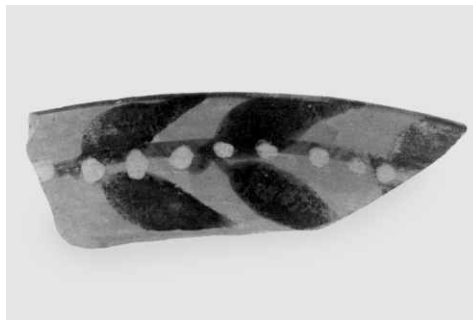
MileA II

587.

588.



590. Milet, Aphrodite-Heiligtum Z 94.98.10



591. Milet, Kalabaktepe/ Aphrodite-Heiligtum



594. Milet, Aphrodite-Heiligtum Z 94.125.43



595. Milet, Aphrodite-Heiligtum Z 94.14.79 + Z 94.141.17

Typus 10.C, 9,1-3., milesisch
 Formvariante
 10.C? 590.
 9,1-3.C 591.
 9,2-3.C 594.
 9,3.C 595.

Stilphase
 MileA II
 MileA II, Sondergruppe Kleinmeister (?)
 MileA II, Sondergruppe Ionische Kleinmeisterschale

590.
 591.
 594.–595.



596. Italien, Paris, Musee du Louvre F 68



597. Milet, Aphrodite-Heiligtum Z 91.52.8

Typus 9,3. milesisch
Formvariante
9,3.C

596.–597.

Stilphase
MileA II, Sondergruppe Ionische
Kleinmeisterschale (Maler der Weinbergschale)

596.–597.



598. Milet, Aphrodite-Heiligtum Z 94.164.17 + Z 94.164.18



599. Milet, Aphrodite-Heiligtum
Z 93.33.84 + Z 94.44.56 + Z 94.95.182 + Z 94.148.16 + Z 94.209.8



600. Milet, Aphrodite-Heiligtum
Z 94.5.57 + Z 94.45.22 + Z 94.93.25 + Z 94.95.168 + Z 94.129.17 + Z 94.133.16

Typus 9,3. milesisch
Formvariante
9,3.D Sonderform/Miniaturistisch
9,3.C/D Sonderform/Miniaturistisch

Stilphase
598.; 600. MileA II, Sondergruppe Ionische
599. Kleinmeisterschale (Maler der musizierenden Satyrn) 598.
MileA II, Sondergruppe Ionische Kleinmeisterschale 599.–600.



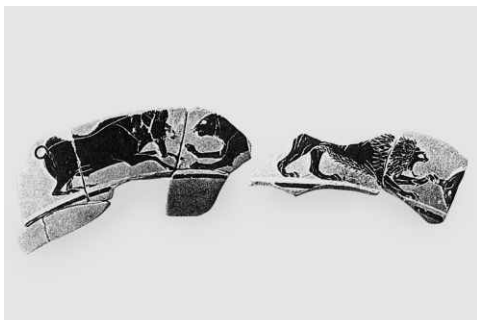
601. Italien, Wien, Kunsthistorisches Museum IV 3579



602. Milet, Aphrodite-Heiligtum
Z 93.27.47 + Z 94.8.89 + Z 94.13.36 + Z 94.215.3



603. Samos, Museum Vathy K 60 + K 905 + Vergleich Gravisca



604. Samos, Hera-Heiligtum K 1383 + K 1419 + K 1956

Typus 9,4. milesisch

Formvariante

9,4.D Sonderform/Miniaturistisch

9,4.C/D

9,4.D

601.–602.

603.

604.

Stilphase

MileA II, Sondergruppe Ionische Kleinmeisterschale
(Maler der Wiener Hirschjagd-Schale)

MileA II, Sondergruppe Ionische Kleinmeisterschale
(Löwen-Maler)

MileA II, Sondergruppe Ionische Kleinmeisterschale
(Widder-Maler)

601.–602.

603.

604.



605. Samos, Hera-Heiligtum K 908 + Vergleiche K 906 + K 907



606. Milet, Aphrodite-Heiligtum Z 94.95.99



607. Milet, Kalabaktepe K 89.436.3

Typus 9,4./ 9,1-4., milesisch
Formvariante
9,4.D
9,1-4.C/D?

605.
606.-607.

Stilphase

MileA II, Sondergruppe Ionische Kleinmeisterschale
(Widder-Maler)
MileA II, Sondergruppe Ionische Kleinmeisterschale
MileA II, Sondergruppe Ionische Kleinmeisterschale
(Gorgoneion-Maler)

605.
606.
607.



608. Milet, Aphrodite-Heiligtum Z 94.7.189



609. Milet, Aphrodite-Heiligtum Z 94.64.32



610. Milet, Aphrodite-Heiligtum Z 94.296.1



611. Milet, Aphrodite-Heiligtum Z 92.88.14

Typus 9,1-4./ 9,2-3., milesisch
 Formvariante
 9,1-4.C/D?
 9,1-4.D?
 9,2-3.C

608.
 609.–610.
 611.

Stilphase
 MileA II, Sondergruppe Ionische Kleinmeisterschale
 MileA II, Variante Ionische Kleinmeisterschale
 mit Applikation

608.–610.
 611.



612. Milet, Aphrodite-Heiligtum Z 01.74.14



613. Milet, Aphrodite-Heiligtum Z 05.48.1



614. Milet, Aphrodite-Heiligtum Z 05.6.103 (mit Anpassungen aus Z 05.49; Z 05.66)



615. Milet, Aphrodite-Heiligtum Z 03.11.14

Typus 9,2-3., milesisch /Ionische Bandschale/ 9,4, milesisch, attisch/ Attische Randschale, attisch			
Formvariante		Stilphase	
9,2-3.C	612.; 613.	MileA II, Variante Ionische Kleinmeisterschale	
Ionische Bandschale	614.	mit Applikation	612.; 613.
9,4.D (= Attische Randschale)	615.	MileA II, Variante Ionische Kleinmeisterschale	614.
		AtheA II, Ionische Kleinmeisterschale attischer	
		Provenienz	615.



617. Milet, Aphrodite-Heiligtum
Z 94.7.95 + Z 94.7.185 + Z 94.44.20 + Z 94.169.14 + Z 94.276.15



618. Milet, Aphrodite-Heiligtum Z 94.7.103 + Z 94.7.112



619. Milet, Aphrodite-Heiligtum Z 02.34.10



620. Bochum, Kunstsammlung S 1002

Typus Kleinmeisterschale, attisch, lakonisch, großgriechisch; Mehrfachschele, milesisch
Formvariante

9,1.C Lakonische Randschale;
Stibbe 1972, Formgruppen IV-V
9,1.C

619.
620.

Stilphase/ Dekorvariante
Attische Kleinmeisterschale (?)/Schwarzfigurig
Art des Naukratis-Malers
KataA II, Ionische Kleinmeisterschale
sizilischer Provenienz (Katane)

617.–618.
619.
620.



621. Milet, Aphrodite-Heiligtum Z 94.7.96



622. Milet, Aphrodite-Heiligtum Z 94.300.10



623. Milet, Aphrodite-Heiligtum Z 94.64.40



624. Milet, Aphrodite-Heiligtum
Z 94.63.29+36 + Z 94.64.7+35+38 + Z 94.66.13 + Z 94.74.20

Typus Kleinmeisterschale, attisch, lakonisch, großgriechisch; Mehrfachsche/Sonderform Kelch, milesisch			
Formvariante			
10.C; Sonderform, Stapelschale	621.	Stilphase/ Dekorvariante	622.
10.D; Sonderform, Stapelschale	622.	m.	623.
Sonderform Kelch	623.–624.	k./l.	624.
		MileA II	

Appendix



I. Schalendeponierungen

Appendix



II. Schalendeponierungen



III. Schalendeponierungen

Appendix



IV. Schalendeponierungen

Appendix



V. Schalendeponierungen

Appendix



VI. Milet, Aphrodite-Heiligtum Z 01.21.4 (Archäometrie Mile 88)



VII. Milet, Aphrodite-Heiligtum Z 02.19.5



VIII. Milet, Aphrodite-Heiligtum Z 05.6.222



IX. Milet, Aphrodite-Heiligtum Z 05.6.250

Appendix



X. Milet, Aphrodite-Heiligtum Z 05.12.1



XI. Milet, Aphrodite-Heiligtum Z 05.42.167



XII. Milet, Aphrodite-Heiligtum Z 05.91.26 (Archäometrie Mile 87)



XIII. Milet, Stadtmauergrabung SM 97.232.609

Appendix



XIV. Milet, Aphrodite-Heiligtum Z 05.49.38



XV. Milet, Aphrodite-Heiligtum Z 05.88.107



XVI. Milet, Aphrodite-Heiligtum Z 05.91.28



XVII. Milet, Aphrodite-Heiligtum Z 91.83.13 (Archäometrie Mile TR-3K/289)

Appendix



XVIII. Milet, Aphrodite-Heiligtum Z 93.27.99 + Z 94.17.58



XIX. Milet, Aphrodite-Heiligtum Z 94.5.58



XX. Milet, Aphrodite-Heiligtum Z 94.7.93



XXI. Milet, Aphrodite-Heiligtum Z 94.34.3

Appendix



XXII. Milet, Aphrodite-Heiligtum Z 94.127.225



XXIII. Milet, Aphrodite-Heiligtum Z 94.132.6

Appendix



Sammelfoto 1 (v.l. nach r.)

1: Z94.163.18 / o.Nr. / 95 / Z94.148.7 / 69+69+27+126

2: 17 / 51 / Z94.184.5 / 14 / Z94.14 / 124 / 154

3: 125 / 270 / Z94.134.10 / Z94.7.11 / 7 / Z93.27 / o.Nr.

4: 162 / 95 / 95 / Z94.123.15 / 211 / Z94.95 / Z94.53.95

5: Z94.95.70 / Z94.134.9 / Z94.91 / 95 / Z94.7.104 / 247 / Z93.27.84



Sammelfoto 2 (v.l. nach r.)

1: Z05.6.o.Nr. / Z05.6.25 / Z05.6.o.Nr. / Z05.6.o.Nr.

2: Z05.6.o.Nr. / Z05.6.o.Nr. / Z05.6.o.Nr. / Z94.211.26 / Z93.27.

Appendix



Sammelfoto 3 (v.l. nach r.)

1: Z94.203.47 / Z94.227.6 / Z94.238.44 / 17

2: 4+53 / 95 / 185

Appendix



Sammelfoto 4 (v.l. nach r.)

1: Z94 / 114 / Z94.150.14 / Z94.227.9

2: Z94.127.97 / 212 / Z94.114.3 / Z94.106.24

3: Z94.115.5 / Z94.263.36 / o.Nr. / 130

Appendix



Sammelfoto 5 (v.l. nach r.)
Z94.145.66 / 126



Sammelfoto 6 (v.l. nach r.)
Z94.148.8 / o.Nr. / 61 / o.Nr.



Sammelfoto 7 (v.l. nach r.)

1: 300 / 14 / Z94.187.82

2: 4 / 171 / 69

3: Z94.68.10 / o.Nr. / 7



Sammelfoto 8 (v.l. nach r.)

1: 91 / 281 / 125 / Z94.73.25

2: 8 / Z94.209 / 130 / Z94.281.99

3: 127 / Z94.207.37 / Z94.145.69 / Z94.114.198 / 169

Appendix



Sammelfoto 9 (v.l. nach r.)

1: Z91.13.15 / Z94.141.99 / 221 / 99 / 95 / Z91.13.15

2: Z91.13.15 / 132 / o.Nr. / Z91.38.162 / 4 / 53

3: Z04.45 / 7 / Z94.145.44 / 212 / 127 / Z94.7.94

4: 63 / 169 / 28d / Z94.154.50 / 95 / Z94.114.103

Appendix



Sammelfoto 10 (v.l. nach r.)

1: o.Nr. / 179 / Z94.125.55

2: 259 / Z94.281(?).105



Sammelfoto 11 (v.l. nach r.)

1: Z94.157.1 / Z94.705.30 / 154 / Z94.101.9

2: 69 / 185 / Z94.182.48 / Z94.178.54 / 7

3: Z94.102.12 / 53 / 145 / Z94.66.19

Appendix



Sammelfoto 12 (v.l. nach r.)

1: Z05.6 + Z05.42 + Z05.19 / Z05.133 / Z05.44

2: Z05.91.28 / 42

3: Z05.133 / Z05.99 / Z05.59 / o.Nr. / Z05.6

4: Z05.19 / 66 / Z05.42 / Z05.42

Appendix



Sammelfoto 13A (v.l. nach r.)

1: Z05.19 / Z05.73 / Z05.49 / Z05.14 / Z05(?) .73

2: Z05.72 / Z05.88 / Z05.4 / Z05.20 / Z05.19

3: Z05.19 / Z05.49 / Z05.19 / Z05.19 / Z05.102 / o.Nr.

Appendix



Sammelfoto 13B (v.l. nach r.)

1: Z05.144 / Z05.24 / Z05.118 / Z05.102 / Z05.19

2: Z05.19 / Z05.66 / Z05.19 / Z05.14 / Z05.112 / Z05.118

3: Z05.43 / Z05.19 / Z05.6 / Z05.19

Appendix



Sammelfoto 14 (v.l. nach r.)

1: Z05.6 / Z05.133 / Z05.42 / Z05.99 / Z05.73

2: Z05.86 / Z05.52 / Z05.52 / Z05.19



Sammelfoto 15A (v.l. nach r.)

1: Z05.49 / Z05.6 + Z05.19 / Z05.88 / Z05.6

2: Z05.88 / 42 / Z05.42 / Z05.42 / Z05.66

3: Z05.6 / Z05.118 / Z05.42

Appendix



Sammelfoto 15B (v.l. nach r.)

1: o.Nr. / o.Nr. / Z05.6 / Z05.19 / Z05.6

2: Z05.19 / Z05.43 / Z05.43 / Z05.43 / Z05.43

3: Z05.42 / Z05.118 / Z05.6 / o.Nr. / Z05.42 / Z05.19



Sammelfoto 16 (v.l. nach r.)

Z05.42.167 + Z05.66.41 + Z05.42.167 + Z05.118 + Z05.19



Sammelfoto 17 (v.l. nach r.)

1: Z05.24.29 / Z05.19.365

2: Z05.19.355 / Z05.42 / Z05.40

3: Z05.6 / Z05.72.24 / Z05.11



Sammelfoto 18 (v.l. nach r.)

Z04.44.1 / Z05.6.288

Z05.6.290 / Z05.6.289



Sammelfoto 19 (v.l. nach r.)

Z05.6.291 / Z05.121.29

Z05.5.19 + Z05.6.192 / Z05.6.293 + Z05.6.293

Z05.6.294 + Z05. 6.294



Sammelfoto 20 (v.l. nach r.)

Z05.42.255 / Z05.12.21 + Z05.49.77

Z05.6.295 / Z05.61.185

Appendix



Sammelfoto 21 (v.l. nach r.)

1: Z94.7.443 / Z94.174 / Z94.286.39 / Z94.263.33

2: Z94.197.28 / 160 / Z94.163.17 / o.Nr.

3: o.Nr. / 145 / Z94.164.12 / 8

Appendix



Zugehörig Sammelfoto 21
Z94.281.104 (?)



Sammelfoto 22
91

Nachtrag zum Katalog

Taf. 198, 596 Paris, Musée du Louvre © bpk Berlin, Foto: Hervé Lewandowski, RMN